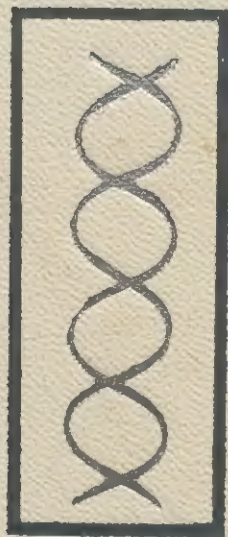
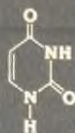
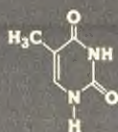


ОРГАНИЧЕСКАЯ
ХИМИЯ
НУКЛЕИНОВЫХ
КИСЛОТ

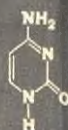




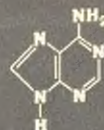
Ura
урацил



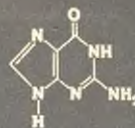
Thy
тимин



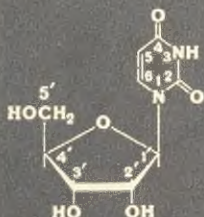
Cyt
цитозин



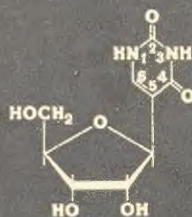
Ade
аденин



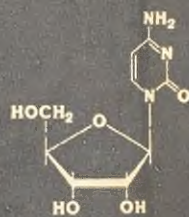
Gua
гуанин



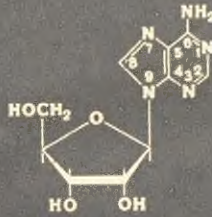
U, Urd
уридин



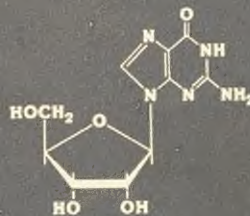
ψ, ψrd
псевдоуридин



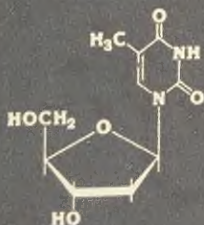
C, Cyt
цитидин



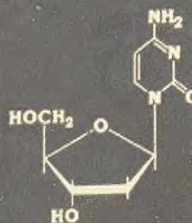
A, Ado
аденозин



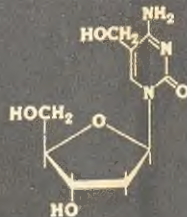
G, Guo
гуанозин



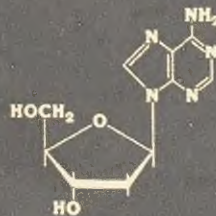
dT, dThd
тимидин



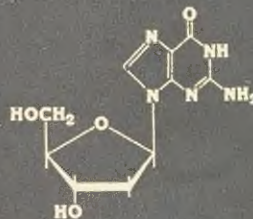
dC, dCyt
дезоксицитидин



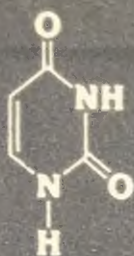
5-оксиметилдезоксицитидин



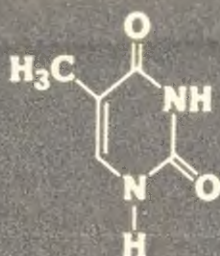
dA, dAdo
дезоксиаденозин



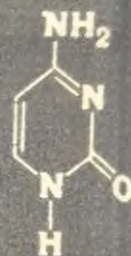
dG, dGuo
дезоксигуанозин



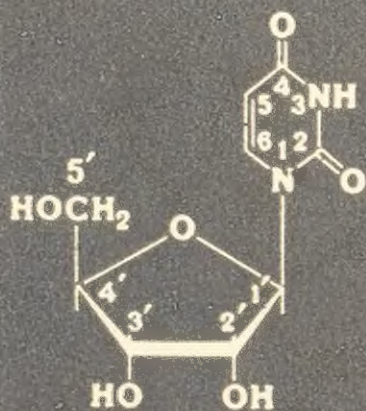
Ura
урацил



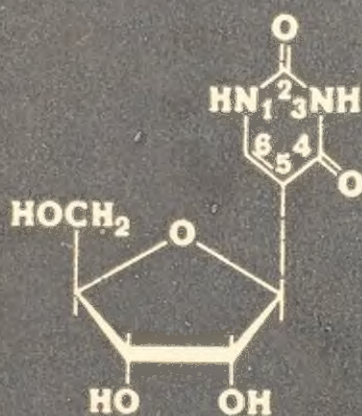
Thy
тимин



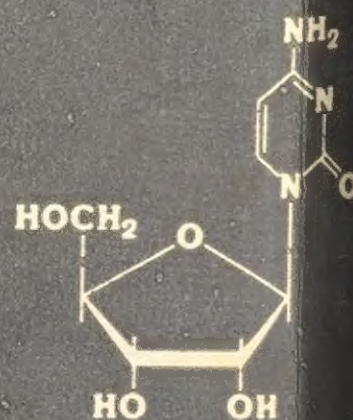
Cyt
цитозин



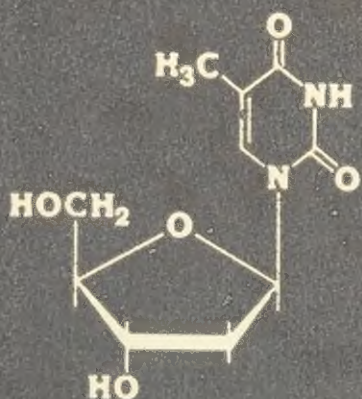
U, Urd
уридин



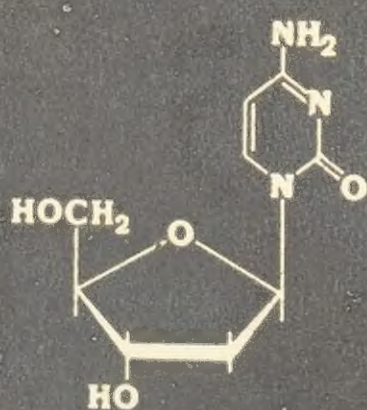
ψ, ψrd
псевдоуридин



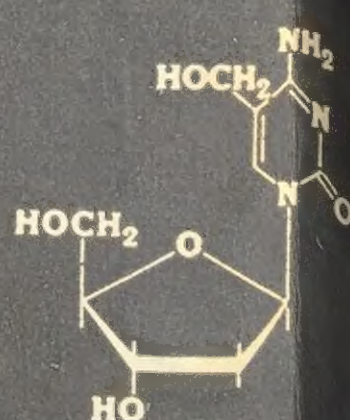
C, Cyt
цитидин



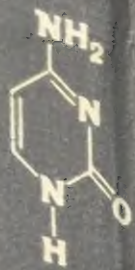
dT, dThd
тимидин



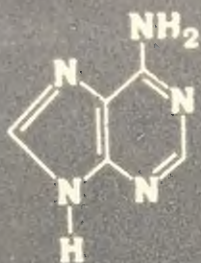
dC, dCyd
дезоксицитидин



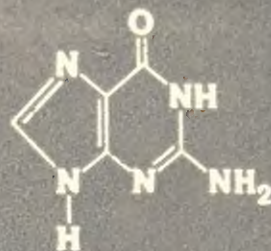
5-оксиметилдезоксицитидин



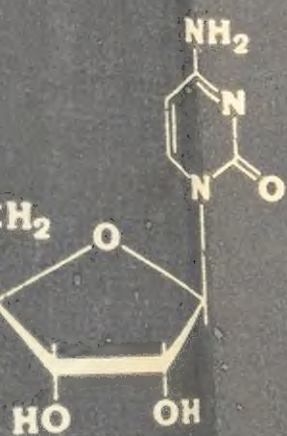
Cyt
ЦИТОЗИН



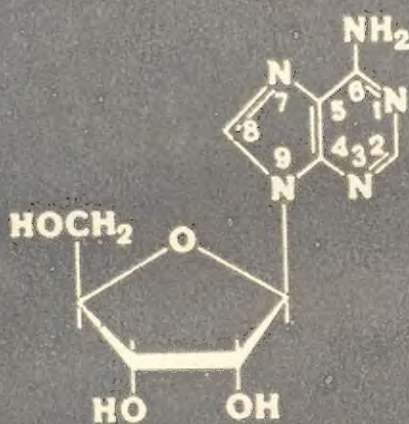
Ade
аденин



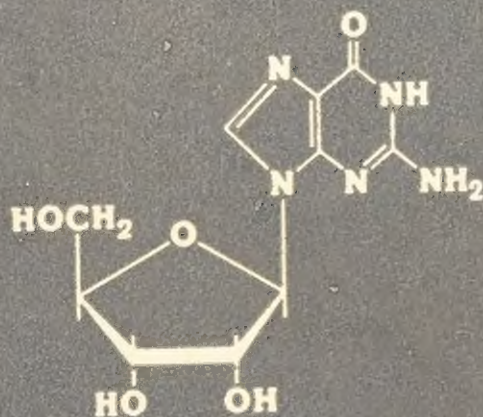
Gua
гуанин



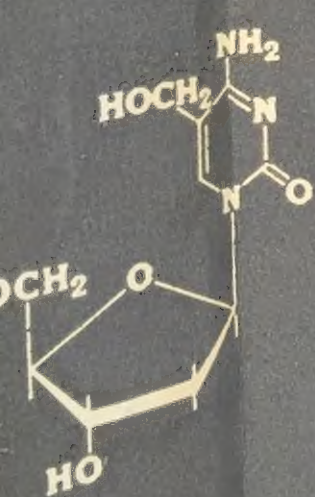
C, Cyt
цитидин



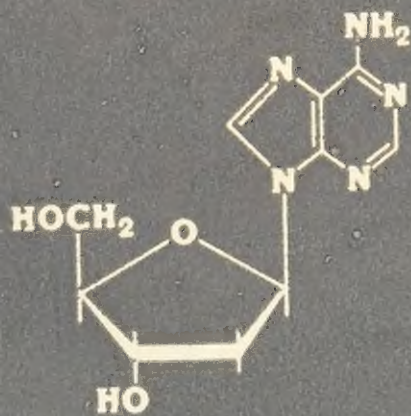
A, Ado
аденозин



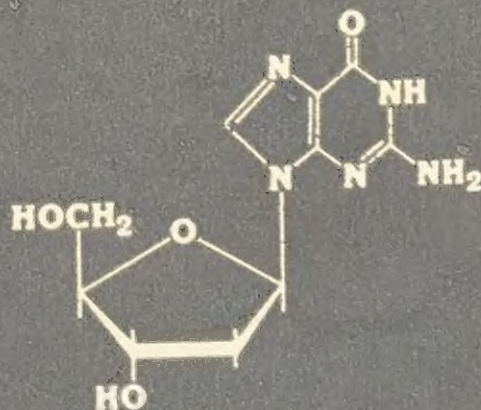
G, Guo
гуанозин



1-метилдезоксцитидин



dA, dAdo
дезоксаденозин



dG, dGuo
дезоксигуанозин

Н. К. КОЧЕТКОВ, Э.
Н. А. СИМУКОВА, М.

ОРГА ХИМ НУКЛ

ПОД РЕДАК
Н. К. КОЧЕТК

ИЗДАТЕЛЬСТВО «ХИ

И. К. КОЧЕТКОВ, Э. И. БУДОВСКИЙ, Е. Д. СВЕРДЛОВ,
Н. А. СИМУКОВА, М. Ф. ТУРЧИНСКИЙ, В. Н. ШИБАЕВ

ОРГАНИЧЕСКАЯ ХИМИЯ НУКЛЕИНОВЫХ КИСЛОТ

100
2

ПОД РЕДАКЦИЕЙ
И. К. КОЧЕТКОВА И Э. И. БУДОВСКОГО



ИЗДАТЕЛЬСТВО «ХИМИЯ» МОСКВА 1970

Н. К. Кочетков, Э. И. Будовский, Е. Д. Свердлов, Н. А. Симукова, М. Ф. Турчинский, В. Н. Шibaев, Органическая химия нуклеиновых кислот.

В книге систематизированы данные по органической химии нуклеиновых кислот и их компонентов — гетероциклических оснований, углеводных остатков и фосфатных групп. Основное внимание уделено строению, физико-химическим свойствам и реакционной способности компонентов нуклеиновых кислот. Рассмотрены основные реакции, используемые при изучении структуры и функций нуклеиновых кислот, нуклеопротеидов и нуклеотидкоферментов.

Книга предназначена для научных работников, преподавателей, студентов и аспирантов, занимающихся вопросами биоорганической химии, молекулярной биологии и генетики.

В книге 720 стр., 108 табл., 78 рис., 2733 библ. ссылки.

СОДЕРЖАНИЕ

Предисловие
Введение
Рекомендуемая литература
Символы и сокращения
Производных

Глава 1. Строение

I. Введение
II. Методы исследования
III. Методы получения
IV. Структура нуклеиновых кислот
V. Концевые группы
VI. Строение нуклеиновых кислот
1. Основные
2. Редкие
3. Основные
4. Редкие
VII. Нуклеотиды
в полинуклеотидах
VIII. Последовательность
1. Частичное
2. Принципы
3. Исследования
IX. Синтетические
1. Химические
2. Принципы
Литература

Глава 2. Конформация

I. Введение
II. Конформация
1. Конформация
2. Конформация

СОДЕРЖАНИЕ

Предисловие	10
Введение	13
Рекомендуемая обзорная литература	20
Символы и сокращенные обозначения полинуклеотидов, их компонентов и производных	20
Глава 1. Строение нуклеиновых кислот	25
I. Введение	25
II. Методы получения и характеристики ДНК. Основные виды ДНК	29
III. Методы получения и характеристики РНК. Основные виды РНК	35
IV. Структура полинуклеотидной цепи	41
V. Концевые группы полинуклеотидной цепи	44
VI. Строение нуклеозидов, входящих в состав нуклеиновых кислот	49
1. Основные компоненты РНК	49
2. Редкие (минорные) компоненты РНК	50
3. Основные компоненты ДНК	56
4. Редкие компоненты ДНК	57
VII. Нуклеотидный состав и обнаружение идентичных последовательностей в полинуклеотидах	58
VIII. Последовательность нуклеотидов в полинуклеотидной цепи	64
1. Частичное расщепление полинуклеотидов	64
2. Принципы блочного метода	73
3. Исследование первичной структуры полинуклеотидов	73
IX. Синтетические полинуклеотиды	83
1. Химические методы синтеза	83
2. Принципы ферментативного синтеза олиго- и полинуклеотидов	96
Литература	106
Глава 2. Конформация нуклеозидов и нуклеотидов	121
I. Введение	121
II. Конформация компонентов нуклеиновых кислот	124
1. Конформация гетероциклических ядер	124
2. Конформация углеводных остатков	127

3. Взаимное расположение углеводных остатков и гетероциклических ядер	134
4. Внутримолекулярные взаимодействия	140
Литература	143
Глава 3. Электронная структура и реакционная способность мономерных компонентов нуклеиновых кислот	146
I. Введение	146
II. Распределение электронной плотности в гетероциклических основаниях нуклеиновых кислот	146
1. Теоретические положения	147
2. Экспериментальные данные и их сопоставление с расчетными	156
III. Энергетические характеристики оснований нуклеиновых кислот	158
1. Энергия резонанса	159
2. Энергия высшего занятого и низшего свободного уровней	160
IV. Таутомерия оснований нуклеиновых кислот	162
1. Теоретические положения	163
2. Экспериментальные данные	165
Уридин и тимидин	165
Цитидин	169
Гуанозин и инозин	175
Аденозин	176
V. Константы ионизации оснований нуклеиновых кислот	177
1. Общие положения	177
2. Локализация присоединения и отщепления протонов в нуклеозидах и нуклеотидах	178
3. Локализация зарядов в ионах оснований	181
4. Влияние различных факторов на кислотно-основное равновесие оснований	182
Структурные факторы	183
Внешние факторы	190
VI. Общие вопросы реакционной способности оснований нуклеиновых кислот	195
1. Использование квантовохимических расчетов	197
2. Применение корреляционных уравнений	205
Литература	211
Глава 4. Вторичная структура нуклеиновых кислот	216
I. Введение	216
II. Общие вопросы взаимодействия оснований нуклеиновых кислот друг с другом	216
1. Комплементационные (поперечные) взаимодействия	216
Экспериментальные исследования специфичности взаимодействия между основаниями	218
Теоретическое рассмотрение проблемы стабильности водородно-связанных пар	227

III. Характеристика взаимодействия оснований нуклеиновых кислот и их производных в водных растворах	230
1. Ассоциация и гомоассоциация оснований, нуклеозидов и нуклеотидов	230
2. Термодинамические константы гомоассоциации пуриновых и пиримидиновых производных	233
3. Концентрационные изменения оптических свойств растворов мономерных компонентов нуклеиновых кислот	233
4. Концентрационные изменения спектров ЯМР растворов оснований и нуклеозидов	234
5. Изменение свойств оснований, входящих в состав олигонуклеотидов, по сравнению с мономерными соединениями	235
6. Термодинамические характеристики взаимодействия между основаниями в динуклеозидфосфатах	242
7. Природа сил, стабилизирующих ассоциаты оснований в водном растворе	247
IV. Исследование макроструктуры двухцепочечных ДНК	249
1. Гипотеза Уотсона и Крика	250
2. Вторичная и высшие структуры циклических ДНК	256
V. Исследование вторичной структуры двухцепочечных РНК	261
VI. Разрушение макромолекулярной структуры двухспиральных молекул (денатурация)	262
1. Факторы, влияющие на тепловую денатурацию	264
2. Особенности денатурации циклических ДНК	268
VII. Процессы, приводящие к восстановлению двухспиральной структуры (ренатурация)	273
1. Факторы, влияющие на процесс ренатурации	275
2. Внутримолекулярные взаимодействия в ДНК	279
VIII. Одноцепочечные полинуклеотиды	282
1. Вторичная структура тРНК	285
2. Проблема третичной структуры тРНК	294
3. Вторичная и третичная структуры 5S РНК	298
Литература	301
Глава 5. Реакции замещения и присоединения по гетероциклическим ядрам оснований нуклеиновых кислот и их производных	311
I. Введение	311
II. Реакции замещения и присоединения по атомам углерода	311
1. Галоидирование	321
2. Нитрование	322
3. Оксиметилирование, аминометилирование и хлорметилирование	323
4. Реакции с солями диазония	325
5. Реакции с N-арилгидроксиламинами и их производными	326
6. Изотопный обмен атомов водорода	330
7. Реакции присоединения по двойной связи C-5—C-6 пиримидиновых производных	330

Галоидирование в водной среде	330
Окисление четырехокисью осмия и перманганатом калия	333
8. Восстановление	336
9. Реакции с нуклеофильными реагентами, проходящие без расщепления цикла	342
Действие гидроксилamina и его O-алкилпроизводных	343
Действие гидразина и его производных	349
Прочие реакции замещения аминogрупп	353
III. Реакции замещения и присоединения по атомам азота	358
1. Взаимодействие с алкилирующими агентами	359
Метилирование диазометаном	359
Действие алкилгалогенидов и эфиров серной и сульфоновых кислот	365
Действие α -окисей и β -лактонов	371
Действие эпиминoв	374
Действие монозамещенных (β -хлорэтил)-аминов и (β -хлорэтил)-суль- фидов	375
Действие ди- и тризамещенных алкилирующих агентов	378
2. Взаимодействие с реагентами, содержащими поляризованные C=C-связи	380
3. Взаимодействие с реагентами, содержащими связи C=N	383
4. Взаимодействие с реагентами, содержащими C=O-группы	385
5. Окисление перекислотами	388
Литература	392
Глава 6. Реакции экзоциклических заместителей оснований нуклеиновых кислот и их производных	401
I. Введение	401
II. Реакции замещения по атому азота экзоциклической аминogруппы	401
1. N-Ацилирование	402
2. Взаимодействие с альдегидами	408
3. Взаимодействие с азотистой кислотой	416
4. Прочие реакции замещения по аминogруппе	421
III. Реакции замещения у экзоциклических атомов кислорода и серы	426
1. O-Алкилирование и образование циклонуклеозидов	427
2. S-Алкилирование производных тиопиримидинов	428
3. Окисление производных тиопиримидинов	431
Литература	432
Глава 7. Реакции расщепления и перегруппировки гетероциклических ядер оснований нуклеиновых кислот и их производных	437
I. Введение	437
II. Реакции расщепления и перегруппировки циклов под действием нуклео- фильных агентов	437
1. Расщепление имидазольного цикла в пуриновых производных	437
2. Раскрытие пиримидинового цикла в пуриновых производных	442
3. Перегруппировка 1-N-алкиладениновых производных в 6-экзо-N-алкил- соединения	450

4. Расщепление и перегруппировки цикла в пиримидиновых производных	455
III. Расщепление под действием гидразина	459
IV. Расщепление под действием гидроксилamina	467
V. Расщепление циклов под действием перманганата калия и четырехокси- осмия	473
VI. Расщепление под действием перекисных производных	478
Литература	481

Глава 8. Расщепление N-гликозидных связей в нуклеозидах, нуклеотидах и их производных

I. Введение	485
II. Гидролиз N-гликозидных связей, катализируемый кислотами	485
1. Влияние структурных факторов на кинетику гидролиза пиримидино- вых производных	491
2. Влияние структурных факторов на кинетику гидролиза пуриновых производных	495
3. Кислотный гидролиз N-гликозидных связей в полинуклеотидах	500
III. Расщепление N-гликозидных связей в пиримидиновых дезоксирибо- нуклеозидах, не катализируемое кислотами или основаниями	503
IV. Расщепление N-гликозидных связей в щелочной среде	504
V. Другие реакции, приводящие к расщеплению гликозидных связей	506
Литература	508

Глава 9. Реакции углеводных остатков нуклеиновых кислот

I. Введение	511
II. Ацилирование гидроксильных групп углеводных остатков	512
1. Ацилирование	512
2. Аминоацилирование	518
3. Получение эфиров с неорганическими кислотами	521
III. Алкилирование гидроксильных групп углеводных остатков	522
1. Взаимодействие с диазометаном	522
2. Взаимодействие с галоидными алкилами	523
3. Взаимодействие с триарилхлорметанами	524
IV. Реакции гидроксильных групп углеводных остатков с виниловыми эфи- рами	525
V. Реакции гидроксильных групп углеводных остатков с карбонильными соединениями и их производными	527
VI. Окисление углеводных остатков	529
1. Окисление изолированной гидроксильной группы	529
2. Окисление <i>цис</i> -гликольной группировки в рибопроизводных	531
Литература	535

Глава 10. Расщепление фосфоэфирных связей и некоторые другие реакции фосфатных групп нуклеиновых кислот и их компонентов . . .	541
I. Введение	541
II. Реакции с разрывом связей Р—О	542
1. Гидролиз фосфомоноэфирных связей в рибонуклеотидах и расщепле- ние РНК до нуклеозидов	542
2. Гидролиз фосфоэфирных связей в рибонуклеозидциклофосфатах . .	547
3. Гидролиз фосфодиэфирных связей в полинуклеотидах	553
Щелочной гидролиз РНК	553
Щелочной гидролиз тиацетальных производных апуриновых ДНК .	561
Кислотный гидролиз РНК и изомеризация фосфодиэфирных связей .	562
Гидролиз РНК под действием соединений тяжелых металлов . . .	568
III. Реакции с разрывом связей С—О	569
1. Расщепление фосфоэфирных связей после удаления гетероциклических оснований	572
Кислотный гидролиз ДНК	572
Щелочной гидролиз ДНК с частично удаленными основаниями . .	575
Расщепление ДНК с частично удаленными основаниями под действием аминов	581
Расщепление РНК с частично удаленными основаниями	583
2. Расщепление фосфоэфирных связей у концевых звеньев полинуклео- тидов	587
Ступенчатая деградация олиго- и полирибонуклеотидов с 3'-конца цепи	587
Ступенчатая деградация ДНК	590
3. Некоторые другие реакции нуклеиновых кислот, приводящие к рас- щеплению фосфодиэфирных связей	593
IV. Некоторые реакции, приводящие к образованию фосфоэфирных связей	594
1. Алкилирование по фосфатной группе	594
2. Реакции концевых фосфатных групп в полинуклеотидах	597
Литература	599
Глава 11. Некоторые реакции редких компонентов нуклеиновых кислот	605
I. Введение	605
II. Реакции 6-экзо-N-изопентениладенозина и его производных	605
III. Реакции псевдоуридина и его производных	607
IV. Реакции 5-оксиметилпиримидиновых производных	612
Литература	615
Глава 12. Фотохимия нуклеиновых кислот и их компонентов	615
I. Введение	615
II. Основные понятия и закономерности фотохимии	615
III. Спектры поглощения нуклеиновых кислот и их компонентов	618
IV. Возбужденные состояния нуклеиновых кислот и их компонентов . . .	620

I. Характеристика возбужденных состояний	620
Мономерные компоненты	620
Полинуклеотиды	625
2. Электронная структура оснований нуклеиновых кислот в возбужден- ных состояниях	627
Пиримидиновые основания	627
Пуриновые основания	630
V. Фотохимические превращения нуклеиновых кислот и их компонентов	631
1. Фотореакции пиримидиновых производных	631
Урацил и его производные	631
5-Галогидурацилы	644
4-Тиоуридин	647
Псевдоуридин и его производные	648
6-Азаурацил	648
Тимин и его производные	649
6-Азатимин	663
Цитозин и его производные	663
2. Фотореакции пуриновых производных	672
VI. Фотосенсибилизированные реакции	677
Димеризация пиримидинов	677
Расщепление фотодимеров	680
VII. Фотодинамический эффект	681
VIII. Действие видимого света в присутствии ионов железа	685
IX. Фотореакции, вызванные возбуждением реагента	685
X. Влияние комплексообразователей на фотодимеризацию	687
Литература	688
Предметный указатель	698

ПРЕДИСЛОВИЕ

Изучение нуклеиновых кислот является одной из точек наиболее бурного развития современного естествознания. Исключительный интерес, который приобрели нуклеиновые кислоты для познания сущности процесса жизнедеятельности, находит отражение в посвященной им огромной литературе, в том числе в целом ряде превосходных монографий и обзоров. Наиболее подробно рассмотрены в литературе вопросы, касающиеся путей биосинтеза и метаболизма нуклеиновых кислот и разнообразных биологических функций этих биополимеров. Почти столь же большое внимание уделяется вопросам макромолекулярной химии нуклеиновых кислот — выяснению размера и формы их молекулы, изучению физико-химических свойств их растворов и соответствующим методическим вопросам.

Химическая обзорная литература по нуклеиновым кислотам посвящена почти исключительно синтезу, в особенности синтетической химии мономеров (нуклеозидов и нуклеотидов), и в меньшей степени синтезу полинуклеотидов. Между тем имеется еще один важнейший аспект химии нуклеиновых кислот, который находится пока еще в процессе становления. Речь идет об изучении реакционной способности макромолекул нуклеиновых кислот и их компонентов, что важно как для выяснения вопросов, касающихся строения этих важнейших биополимеров, так и для правильного понимания их биологических функций. В последние годы подобные исследования начали очень быстро расширяться. Однако до сих пор данная сторона химии нуклеиновых кислот, по существу, не нашла должного отражения в обзорной литературе, за исключением нескольких обзоров по более или менее частным вопросам.

Авторы настоящей монографии делают попытку восполнить этот пробел, отдавая себе отчет в трудности поставленной задачи. Книга посвящена реакциям нуклеиновых кислот и их компонентов; эти реакции приводят к изменениям структуры, к так называемой химической модификации нуклеиновых кислот.

Хотя конечной целью книги является ознакомление читателя с химическими реакциями полинуклеотидов, основная часть ма-

териала касается все же химических превращений мономерных компонентов нуклеиновых кислот — нуклеозидов и нуклеотидов. Это связано прежде всего с тем, что правильное понимание вопросов реакционной способности полимеров немыслимо без знания реакций мономерных звеньев. Вместе с тем основная масса исследований проведена в настоящее время еще именно на мономерном уровне, и лишь немногие достаточно серьезные работы посвящены химической модификации самих биополимеров. Тем не менее уже данные о реакциях мономеров, особенно в тех случаях, когда имело место глубокое и детальное изучение вопроса, представляют большой интерес для правильного понимания и решения проблем структуры нуклеиновых кислот и в еще большей степени для целесообразного использования соответствующих реакций при изучении биологической функции нуклеиновых кислот.

В настоящей книге использована литература по конец 1968 г., а также отдельные работы, опубликованные позже. Весь материал монографии делится на две части. Первая часть книги (гл. 1—4) посвящена общим вопросам органической химии нуклеиновых кислот. В ней рассматриваются вопросы конформации и электронной структуры мономеров, реакционной способности гетероциклических оснований (в том числе квантовохимический аспект проблемы), а также важный вопрос о нековалентных взаимодействиях в полимерной цепи нуклеиновых кислот. Мы сочли целесообразным начать первую часть книги с краткого обзора, посвященного классификации, распространению нуклеиновых кислот и принципам установления их первичной структуры.

Вторая часть книги (гл. 5—12) посвящена, так сказать, частной органической химии нуклеиновых кислот. Здесь рассматриваются отдельные типы реакций гетероциклических ядер, реакции углеводного остатка и фосфатной группы. Отдельная глава посвящена краткому изложению фотохимии нуклеиновых кислот.

Приводится рекомендуемый список символов и сокращений полинуклеотидов, их компонентов и производных.

В книге не излагаются специально вопросы синтетической химии нуклеиновых кислот и их мономерных компонентов. Наличие ряда монографий по этому разделу и желание ограничить объем книги делают нецелесообразным рассмотрение обширной литературы по методам синтеза нуклеозидов и нуклеотидов; крайне сжато рассмотрены лишь вопросы синтеза полинуклеотидов. Тем не менее многие разделы книги тесно соприкасаются с вопросами синтеза и могут быть, по нашему мнению, полезны химику-синтетику, который найдет здесь материал о реакционной способности функциональных групп, входящих в состав нуклеозидов и нуклеотидов, а также описание отдельных реакций, весьма полезных для синтетических целей.

Авторы отлично сознают слабые стороны написанной работы — условность и отчасти искусственность разбивки материала, возможную ошибочность некоторых приводимых ими собственных точек зрения и ряд других недостатков. Оправданием настоящей попытки может послужить отчасти то, что, как уже указывалось, органикохимический аспект химии нуклеиновых кислот лишь в самое последнее время привлек пристальное внимание и это направление находится сейчас в стадии становления. Вместе с тем именно данное обстоятельство и дает авторам право надеяться, что обобщение имеющихся в настоящее время данных особенно полезно. Мы будем считать свою задачу выполненной, если издание этой книги будет способствовать дальнейшему развитию исследований по органической химии нуклеиновых кислот.

Авторы выражают глубокую благодарность за помощь при создании этой книги чл.-корр. АН СССР Д. Г. Кнорре, чл.-корр. АН СССР М. А. Прокофьеву, проф. З. А. Шабаровой, проф. Ю. С. Лазуркину, канд. хим. наук М. А. Кузьмину, канд. физ.-мат. наук Э. Н. Трифонову, канд. физ.-мат. наук М. Д. Франк-Каменецкому и канд. физ.-мат. наук В. И. Данилову.

Авторы

Москва, май 1969 г.

ВВЕДЕНИЕ

Комплекс наук, связанный с познанием существа жизненных процессов, занимает в современном естествознании особое место. Развитию этого направления отдали свой талант и свой труд многие крупнейшие ученые нашего времени; уровень знаний здесь растет с необычайной стремительностью. Желание понять самую суть дела, наиболее интимные стороны процесса жизнедеятельности привели исследователей к необходимости проникнуть в самые глубины биологического процесса, доводя понимание его до молекулярного уровня, когда внешние физиологические проявления могут быть объяснены в конечном счете химическим превращением или физическим изменением отдельной молекулы. Становление этой генеральной концепции молекулярной биологии в огромной степени стимулировало интерес к изучению химических веществ, превращения и изменения которых и лежат в основе процесса жизнедеятельности. К ним относятся прежде всего природные высокомолекулярные соединения — белки, нуклеиновые кислоты, полисахариды, а также смешанные биополимеры.

Нуклеиновые кислоты занимают исключительное место в процессе жизнедеятельности, они, по сути дела, лежат у самого его истока. Они являются той материальной субстанцией, которая несет в себе генетическую информацию — основу всего развития будущего организма. С другой стороны, нуклеиновые кислоты являются инструментом, с помощью которого осуществляется синтез специфических белков. Сказанного достаточно для того, чтобы полностью осознать ту особую роль, какую занимает в современном естествознании наука о нуклеиновых кислотах, и оправдать то необычайное внимание, которое уделяют исследованию этой науки сотни лабораторий в разных странах.

В 1869 г. Мишер выделил из ядер клеток вещество, обладающее кислотными свойствами, и назвал его нуклеиновой кислотой. За истекшее столетие в исследованиях нуклеиновых кислот можно выделить следующие этапы.

1. Предварительные исследования. Этот этап охватывает историческую работу Мишера, выделившего нуклеиновую кислоту и

показавшего, что в ее состав входят углерод, водород, кислород, азот и фосфор, а также исследования Косселя, установившего наличие двух типов нуклеиновых кислот в клетках, и, наконец, работы Э. Фишера по изучению пуринов и пиримидинов, являющихся компонентами нуклеиновых кислот.

2. Второй этап — с начала нашего века по тридцатые годы. Здесь проводилось изучение главным образом продуктов расщепления нуклеиновых кислот. В ходе исследований были выделены и изучены мономерные компоненты нуклеиновых кислот. Левин и отчасти Гулланд установили структуру углеводных остатков, нуклеозидов и нуклеотидов. На основании полученных данных Левин выдвинул так называемую тетрануклеотидную гипотезу строения нуклеиновых кислот, не подтвердившуюся впоследствии. Отсутствие подходящих методов выделения, физико-химической и биологической характеристики нуклеиновых кислот и данных об их роли в процессах жизнедеятельности сдерживало развитие исследований в этой области.

3. В начале сороковых годов нашего столетия были получены косвенные, а затем и прямые доказательства участия нуклеиновых кислот в передаче генетической информации (Эвери, Маклеод и Маккарти). Это послужило мощным стимулом развития органической химии нуклеиновых кислот. В результате работ, проведенных главным образом кембриджской школой под руководством Тодда, было полностью доказано строение нуклеозидов и нуклеотидов, разработаны методы их синтеза и установлены основные принципы строения нуклеиновых кислот как высокомолекулярных соединений. Эти данные, а также результаты изучения нуклеотидного состава, полученные Чаргаффом, легли в основу гипотезы Уотсона и Крика (1953 г.) — одного из краеугольных камней современной молекулярной биологии.

4. Последующий этап ознаменован бурным развитием исследований нуклеиновых кислот, в ходе которых тесно переплетались и взаимно обогащали друг друга результаты, полученные биологами, физиками и химиками. В этот период изучены биосинтез нуклеиновых кислот (Корнберг, Очоа), механизм передачи и реализации генетической информации (Крик, Жакоб, Моно, Ниренберг). Большое внимание уделялось физической и синтетической химии нуклеиновых кислот (Доти, Корана). В исследованиях широко использовались природные и синтетические олиго- и полинуклеотиды, что позволило выяснить ряд структурных и функциональных особенностей нуклеиновых кислот, однозначно установить код белкового синтеза.

5. Наконец, на современном этапе, начало которого можно датировать 1965 г., помимо развития биологических и физических методов изучения нуклеиновых кислот все большее внимание привлекают химические подходы. Этот период отмечен разработкой

методов установления первичной структуры низкомолекулярных рибонуклеиновых кислот (Холли, Сангер), синтезом достаточно крупных дезоксиполинуклеотидных матриц (Корана), широким изучением органической химии нуклеиновых кислот и их компонентов, использованием химических методов на всех стадиях исследования — для выделения, изучения структуры и функций нуклеиновых кислот и нуклеопротеидных комплексов.

Необходимо отметить, что химия нуклеиновых кислот, как и всякая химия высокомолекулярных веществ, имеет ряд существенных отличий от химии соответствующих мономерных компонентов. Уже нуклеозиды и нуклеотиды являются полифункциональными соединениями, хотя различие в реакционной способности определенных группировок, входящих в состав четырех обычных типов нуклеотидных звеньев, сравнительно невелико. Полинуклеотиды представляют собой гигантские молекулы с множеством реакционных центров. Особые сложности в химию нуклеиновых кислот вносят следующие обстоятельства. Реакционная способность отдельных группировок в нуклеотидных звеньях зависит не только от условий реакции (растворителя, pH, температуры и т. д.), но и от наличия и характера взаимодействия отдельных звеньев друг с другом (в одной и той же цепи и на комплементарном участке в двухспиральных двухцепочечных молекулах), а также взаимодействия с молекулами белков, ионами металлов и т. д. Все эти взаимодействия, как правило, кооперативны, т. е. нелинейно изменяются при изменении условий реакции. Модификация одного из звеньев полинуклеотидной цепи приводит к изменению характера и силы взаимодействия этого звена с соседними звеньями (или с молекулой белка в случае нуклеопротеидов), что в конечном счете сказывается на реакционной способности звеньев на обширных участках полинуклеотидной цепи.

Реакционная способность нуклеотидных звеньев, механизм и кинетика реакций, а также строение и свойства модифицированных звеньев в первом приближении могут быть изучены на мономерных соединениях обычными методами органической и физической химии. Однако для учета взаимодействий, сказывающихся на реакционной способности отдельных нуклеотидных звеньев в составе полимера, необходимо исследовать модельные полимерные соединения — олигонуклеотиды, монотонные одно- и двухспиральные полинуклеотиды и, наконец, гетерополинуклеотиды. Полученных в ходе подобных исследований данных в большинстве случаев бывает достаточно для рационального использования реакции при изучении структуры и функций нуклеиновых кислот.

Для изучения структуры и функций полинуклеотидов наиболее удобным представляется использовать высокоспецифические реакции, приводящие к образованию стабильных модифицированных звеньев с известными химическими и функциональными свойствами.

Однако, в сущности, не известно ни одной реакции, полностью отвечающей этим требованиям. Учитывая это, легко понять, насколько важно детальное изучение органической химии нуклеиновых кислот. К сожалению, зачастую результаты, полученные при использовании химических методов, трактуются весьма поверхностно и примитивно, что приводит лишь к дискредитации органохимических подходов к изучению структуры и функций нуклеиновых кислот.

Естественно, что глубина и объем органохимических исследований определяются той задачей, для решения которой будет использована реакция. В общем виде эти задачи можно сформулировать следующим образом:

1. Очистка и фракционирование олиго- и полинуклеотидов.
2. Изучение первичной структуры нуклеиновых кислот *.
3. Изучение высших структур нуклеиновых кислот и нуклеопротеидов.
4. Исследование функциональных (биологических) свойств нуклеиновых кислот.

Химические методы, применяемые для выделения полинуклеотидов или нуклеиновых кислот, могут быть основаны на специфической реакционной способности минорных компонентов или концевых групп. Эти группы могут быть непосредственно или после предварительной химической модификации связаны с нерастворимым носителем или такой молекулой, которая резко изменяет физические свойства полинуклеотида (растворимость, коэффициенты распределения или седиментация и т. д.). Подобные методы нашли применение для выделения и фракционирования транспортных РНК.

Для изучения первичной структуры нуклеиновых кислот возможны три химических подхода: а) последовательное отщепление и определение концевых звеньев; б) специфическое расщепление полинуклеотидной цепи по определенным типам звеньев; в) специфическая модификация нуклеозидных звеньев полинуклеотида и пря-

* Здесь и далее мы используем термин «первичная, вторичная, третичная и четвертичная структуры нуклеиновых кислот» в следующем смысле. Первичная структура — последовательность нуклеозидных звеньев, соединенных фосфодиэфирной связью в непрерывную и неразветвленную полинуклеотидную цепь. Вторичная структура — в случае одноцепочечных, главным образом монотонных полинуклеотидов, — пространственное расположение нуклеозидных звеньев, обусловленное межплоскостным взаимодействием оснований. В случае двухкомпонентных цепей вторичная структура представляет собой жесткую двойную спираль, стабилизированную как межплоскостным взаимодействием соседних оснований в пределах одной цепи, так и водородными связями между противолежащими основаниями в параллельных цепях. Третичная структура образуется в результате реализации наряду с двухспиральными типами фиксированной укладки полинуклеотидных цепей. Четвертичная структура — пространственное расположение взаимодействующих макромолекул (обычно полинуклеотидов и полипептидов) в нуклеопротеидах — рибосомах, вирусах и т. д.

мое электронно-микроскопическое определение распределения этих модифицированных звеньев вдоль цепи полимера.

Путь *а* (как при использовании чисто химических средств, так и при комбинированном использовании химических реакций и ферментов) предъявляет очень жесткие, практически в настоящее время еще недостижимые требования к специфичности и количественности протекающих химических и ферментативных реакций. Поэтому данный путь используется пока лишь для определения сравнительно коротких концевых последовательностей или для установления строения олигонуклеотидов, содержащих до десяти нуклеотидных остатков.

Путь *б* — специфическое расщепление полинуклеотидной цепи на блоки с последующей расшифровкой строения образующихся таким путем блоков и воссозданием первичной структуры исходного полимера — предъявляет значительно менее жесткие требования к специфичности и полноте протекания превращений. Расщепление проводится однократно, и возникающие при этом ошибки не накапливаются. Для избирательного расщепления полинуклеотидной цепи могут быть использованы химические или химико-ферментативные методы. В первом случае необходимо, чтобы химическая модификация приводила к лабильности межинуклеотидных связей. Такие реакции, обладающие групповой специфичностью (разрушение всех пиримидиновых или отщепление всех пуриновых оснований), широко используются для изучения распределения нуклеотидов в молекуле ДНК. Аналогичные методы для РНК обладают более высокой специфичностью. Второй метод расщепления — химико-ферментативный — заключается в избирательном химическом изменении структуры определенных нуклеозидных звеньев, приводящем к повышению стабильности соответствующих межинуклеозидных связей к действию нуклеаз, и последующем действии нуклеаз. Так, после модификации урацильных ядер гидроксиламином или карбодиимидом панкреатическая рибонуклеаза расщепляет РНК только по цитидиновым звеньям, что равносильно использованию цитидил-рибонуклеазы, не найденной в природных объектах.

Однако блочный метод определения первичной структуры, несмотря на явные преимущества по сравнению с методом последовательного отщепления концевых фрагментов, принципиально не может быть применен при изучении высокомолекулярных полинуклеотидов. По мере увеличения длины цепи количество идентичных блоков возрастает, что приводит к неопределенности при воссоздании исходной структуры.

Для определения первичной структуры полинуклеотидов любого типа (РНК или ДНК) и любой длины в настоящее время наиболее перспективным кажется путь *в*. Принцип этого подхода состоит в специфической модификации (пометке) каждого из

четырех нуклеотидов посредством определенной химической реакции, в результате чего последовательность моонуклеотидов в полимерной цепи можно непосредственно «рассматривать» под электронным микроскопом. Одна из ключевых проблем такого подхода — специфическое связывание определенных оснований с контрастирующей группой (один или несколько тяжелых атомов, сильно рассеивающих электроны) — может быть решена химическими методами. Попытки использования изложенного принципа предпринимаются, однако пока без большого успеха. Это, вероятно, объясняется использованием в настоящее время для введения контрастирующих групп таких реакций, специфичность и количественность которых исследованы явно недостаточно. Тем не менее если учесть, что для определения первичной структуры с помощью электронной микроскопии достаточно, по-видимому, 10^2 — 10^3 молекул полинуклеотида, то становится очевидной актуальность разработки методов специфического введения контрастирующих групп.

Как указывалось выше, реакционная способность нуклеотидных звеньев существенно зависит от наличия нековалентных взаимодействий с соседними звеньями; это позволяет использовать химические методы для изучения вторичной структуры нуклеиновых кислот. В частности, влияние комплементационных взаимодействий оснований на их реакционную способность настолько велико, что возможно избирательно модифицировать звенья полинуклеотидной цепи, находящиеся в односпиральных зонах, и таким образом определить состав и размеры этих зон. Если к тому же известна первичная структура молекулы, то возможно провести и локализацию таких односпиральных участков в цепи. Исследования такого рода широко проводятся во многих лабораториях при помощи реакций с формальдегидом, акрилонитрилом, водорастворимым карбодимидом, гидроксиламином и другими агентами.

Значительно слабее влияет на реакционную способность оснований межплоскостное взаимодействие, однако и в этом случае эффект вполне достаточен; он используется при изучении структуры одонитевых полинуклеотидов и нуклеотидных коферментов.

Весьма перспективно использование химических методов для изучения высших структур нуклеиновых кислот и нуклеопротеидов (фермент-субстратных комплексов, вирусов, рибосом и т. д.) в функционально активном состоянии. В этом направлении сделаны пока еще первые шаги, но полученные результаты дают все основания для оптимизма. Следует отметить, что при изучении первичной и высших структур нуклеиновых кислот добиваются, как правило, максимальной (в пределе — количественной) степени модификации определенного типа звеньев или изучают кинетику основной реакции. При этом механизм реакции, кинетика промежуточных стадий и строение промежуточных продуктов (а при изучении

высших структур — и специфичность реакции) не играют решающей роли. Зачастую допустим и довольно высокий уровень побочных реакций.

Существенно иного подхода требуют химические методы, используемые для функциональных (биологических) исследований нуклеиновых кислот. Во-первых, при функциональных исследованиях допустима, как правило, модификация лишь очень малого количества мономерных звеньев полимера, поэтому для корреляции химических и функциональных изменений необходимо располагать сведениями о механизме и кинетике основных и побочных реакций, строении и свойствах (включая функциональные свойства) не только конечных, но и промежуточных продуктов реакции. Во-вторых, поскольку модификации подвергается незначительное количество звеньев, важно знать не только их количество, но и распределение по цепи. В-третьих, модифицированные звенья разного строения могут иметь различные функциональные свойства, так что побочные реакции, даже если их скорость на порядки ниже скорости основной, могут вносить существенный вклад в изменение функциональных свойств полинуклеотида, затрудняя, а иногда и делая невозможной рациональную трактовку результатов. Последнее обстоятельство особенно важно учитывать при функциональных исследованиях генетических нуклеиновых кислот (ДНК, вирусных РНК). Применяемые методы детектирования позволяют обнаружить в этом случае изменения отдельных молекул полимера, которые могут содержаться в анализируемой смеси в незначительных количествах. При модификации же негенетических нуклеиновых кислот (например, транспортной РНК) удастся наблюдать лишь суммарное изменение функциональных свойств, причем вклад каждого из модифицированных компонентов пропорционален его содержанию в смеси.

Совершенно ясно, что чем более достоверны и точны данные о специфичности, механизме и кинетике реакций, протекающих под действием химического агента, а также данные о строении и химических свойствах модифицированных звеньев, образующихся в ходе основной и побочных реакций, тем лучше можно будет понять химические основы функциональной специфичности нуклеиновых кислот.

Изложенный в этом разделе материал свидетельствует об огромных возможностях и перспективах развития органической химии нуклеиновых кислот. Поэтому чрезвычайно важным представляется детальное изучение механизмов и кинетики реакций компонентов нуклеиновых кислот с различными агентами; поиск и разработка новых специфических реакций; исследование влияния условий реакции на реакционную способность компонентов нуклеиновых кислот и нуклеопротеидов; выяснение характера и природы нековалентных взаимодействий компонентов нуклеиновых кислот друг с другом, с белковыми молекулами, ионами металлов и т. д.

Нет сомнений в том, что в ближайшие годы гармоничное развитие органической и синтетической химии, физической химии и биохимии нуклеиновых кислот позволит еще глубже проникнуть в сущность процессов, протекающих в живой клетке, понять химические механизмы биосинтеза и регуляции, лежащие в основе метаболизма.

РЕКОМЕНДУЕМАЯ ОБЗОРНАЯ ЛИТЕРАТУРА

- Levene P., Bass L. W., *Nucleic Acids*, Chem. Catalog Co., N. Y., 1931.
 Jordan D. O., *Chemistry of the Nucleic Acids*, Butterworth, L., 1960.
 Steiner R. F., Beers R. F., *Polynucleotides*, Elsevier Publ. Co., Amsterdam, 1961.
 Allen F. W., *Ribonucleoproteins and Ribonucleic Acids*, Elsevier Publ. Co., Amsterdam, 1962.
 Brown D. M., Ulbricht T. L. V., in «Comprehensive Biochemistry», v. 8, Florkin M., Stolz E. H. (eds), Elsevier Publ. Co., Amsterdam, 1963, p. 157.
 Harbers E., *Die Nukleinsäuren*, Thieme Verlag, Stuttgart, 1964.
 Микельсон А., *Химия нуклеозидов и нуклеотидов*, Изд. «Мир», 1966.
 Chargaff E., Davidson J. N. (eds), *The Nucleic Acids*, v. 1, 2 (1955), v. 3 (1960), Academic Press, N. Y.—L. (отдельные главы из т. 1, 2 переведены в сб. «Нуклеиновые кислоты», Издательство, 1957; т. 3 переведен: «Нуклеиновые кислоты», Издательство, 1962).
 Davidson J. N., Cohn W. E. (eds), *Progress in Nucleic Acid Research*, v. 1, 2 (1963), v. 3 (1964), v. 4 (1965), v. 5 (1966), v. 6, 7 (1967), v. 8 (1968), v. 9 (1969), Academic Press, N. Y.—L. (перевод т. 1: «Нуклеиновые кислоты», Изд. «Мир», 1965; отдельные главы из т. 2 и 3: «Нуклеиновые кислоты», Изд. «Мир», 1966).
 Дэвидсон Дж., *Биохимия нуклеиновых кислот*, Изд. «Мир», 1968.
 Химия и биохимия нуклеиновых кислот под ред. Збарского И. Б., Дебова С. С., Изд. «Медицина», 1968.

СИМВОЛЫ И СОКРАЩЕННЫЕ ОБОЗНАЧЕНИЯ ПОЛИНУКЛЕОТИДОВ, ИХ КОМПОНЕНТОВ И ПРОИЗВОДНЫХ

При написании любого обзорного труда авторы сталкиваются с трудной задачей приведения в более или менее стройную систему символов и сокращений, использованных в многочисленных оригинальных работах. Особенно сложна эта задача для такой бурно развивающейся области, как химия нуклеиновых кислот. Отсутствие единой системы, а также невозможность строгого проведения какого-либо бесспорного логического принципа делает эту задачу почти неразрешимой или, точнее, весьма уязвимой для критики, так как понятие «приемлемость» весьма субъективно. Однако, руководствуясь рекомендациями комиссии по номенклатуре Международного союза чистой и прикладной химии (IUPAC) и Международного союза биохимиков (IUB), 3-е Всесоюзное рабочее совещание по химии нуклеотидов приняло правила, предусматривающие унификацию символики нуклеиновых кислот, их компонентов и производных. Эти правила, приведенные ниже, авторы использовали при написании книги. Хотелось бы надеяться, что в дальнейшем эти правила с минимальными изменениями станут общепринятыми и существенно облегчат читателям понимание не только данной книги, но и обзоров и оригинальных работ, публикуемых в отечественной и иностранной печати.

1. АЛФАВИТ

Использование кириллицы допускается только для широко распространенных аббревиатур — ДНК, РНК и приставки «поли» в названиях полимеров. Во всех остальных случаях необходимо использовать только латинский алфавит.

II. НУКЛЕОЗИДЫ

1. Обычные нуклеозиды обозначаются первой буквой латинского названия:

A — аденозин	U — уридин
G — гуанозин	T — риботимидин
C — цитидин	N — любой нуклеозид

2. Для некоторых минорных компонентов нуклеиновых кислот используют следующие символы:

I — инозин	$\begin{matrix} \text{H} \\ \text{U} \end{matrix}$ — 5,6-дигидроуридин
X — ксантозин	$\begin{matrix} \text{S} \\ \text{U} \end{matrix}$ — тиюридин
Ψ — псевдоуридин	$\begin{matrix} \text{H}_2\text{O} \\ \text{C} \end{matrix}$ — 6-окси-5,6-дигидроцитидин.

Другие одно- и двухбуквенные символы для этих нуклеозидов (SU, H, HU, CH и др.) использовать не рекомендуется.

3. Присутствие в нуклеозиде остатка 2'-дезоксирибозы обозначается символом «d», который ставится перед символом нуклеозида; при отсутствии его подразумевается рибонуклеотид.

Например: T — риботимидин (тиминрибозид); dT — тимидин (тимин-2'-дезоксирибозид).

4. В олигонуклеотидах, если все составляющие — нуклеозидные звенья дезоксирибоза, символ «d» ставится либо перед символом каждого нуклеозида, либо перед символом всего олигомера. В последнем случае символ олигонуклеотида заключается в скобки.

Например: pdApdTpdCpdG или d(pApTpCpG).

Если в олигонуклеотиде одни составляющие нуклеозиды являются производными 2'-дезоксирибозы, а другие производными рибозы, то символ «d» ставится перед каждым дезоксирибозидным звеном.

Например: pApTpGpC.

5. В случае присутствия иных (кроме рибозы и 2'-дезоксирибозы) пентозных остатков перед символом нуклеозида ставятся символы сахара: а — арабинозы, х — ксилозы и l — ликсозы.

Например: aC — арабинозилцитозин; xU — ксилозилурацил; lG — ликсозилгуанин.

6. Для α-аномеров перед символом нуклеозида пишется знак «α».

Например: αC — α-рибозилцитозин; αdA — α-2'-дезоксирибозиладенин.

7. В тех работах, где упоминаются одновременно основания нуклеиновых кислот и нуклеозиды, во избежание недоразумений, могущих возникнуть при использовании однобуквенных символов, можно использовать следующие трехбуквенные символы.

Основания:

Ade — аденин	Hyp — гипоксантин
Cyt — цитозин	Xan — ксантин
Gua — гуанин	Thy — тимин
Ura — урацил	Oro — оротовая кислота

Нуклеозиды:

Ado — аденозин	Xao — ксантозин
Cyd — цитидин	Thd — риботимидин
Guo — гуанозин	Ord — оротидин
Urd — уридин	dAdo — 2'-дезоксаденозин и т. д.
Ino — инозин	

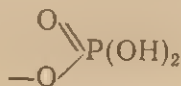
Puo — любой пуриновый нуклеозид
Pyd — любой пиримидиновый нуклеозид

8. Для других нуклеозидов вплоть до общего соглашения можно вводить в каждой статье свои обозначения со следующими ограничениями:

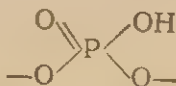
- а) сокращение должно быть написано латинским алфавитом;
- б) сокращение не должно совпадать ни с одним общепринятым (для других соединений или группировок);
- в) внутри сокращения не должно быть дефисов или запятых;
- г) значения этих сокращений должны быть оговорены в каждой публикации.

III. ЗАМЕЩЕНИЕ ПО САХАРНОМУ ОСТАТКУ

1. Для обозначения остатка моноэфира фосфорной кислоты



употребляется символ «р». Этот же символ применяется и для обозначения остатка диэфира фосфорной кислоты



в пирофосфатах и олигонуклеотидах. В последнем случае символ «р» ставится между символами двух нуклеозидных звеньев, связанных фосфодиэфирной связью. Для обозначения остатка диэфира фосфорной кислоты в олиго- и особенно в полинуклеотидах употребляется также знак «-» (дефис).

Например:



2. Символ заместителя (в том числе и фосфатных групп), если он располагается слева от символа нуклеозида, обозначает замещение у 5'-гидроксильной группы сахарного остатка. Символ, записываемый справа от символа нуклеозида, — замещение у 3'-гидроксильной группы.

Например: Ap — аденозин-3'-фосфат, pU — уридин-5'-фосфат, pppdG — 2'-дезоксигуанозин-5'-трифосфат, pCp — цитидин-3',5'-дифосфат.

Символ фосфатной группы, расположенной у 2'-гидроксильной группы рибозы рибонуклеозида, помещается справа от символа нуклеозида, и между ними в скобках отмечается положение заместителя.

Например: G(2')p — гуанозин-2'-фосфат.

3. Бифункциональный фосфатный заместитель, присоединенный по 2',3'-положениям нуклеозида, помещается справа от символа нуклеозида и отделяется от него знаком «>».

Например: C > p — цитидин-2',3'-циклофосфат.

Если бифункциональный фосфатный заместитель присоединен по 3',5'- или 2',5'-положениям, то перед знаком «>» в скобках пишутся цифры, указывающие положение этого заместителя.

Например: A(3',5') > p — аденозин-3',5'-циклофосфат.

4. Для других (кроме фосфатных) заместителей по гидроксильным группам сахарного остатка нуклеозидов могут быть рекомендованы следующие символы:

Me — метил	Bz — бензоил (не бензил)
Et — этил	Tr — тритил
Ac — ацетил	

IV. ЗАМЕЩЕНИЕ ПО ГЕТЕРОЦИКЛИЧЕСКИМ ОСНОВАНИЯМ

Символы заместителей в гетероциклических основаниях мономерных компонентов нуклеиновых кислот и олиго- и полинуклеотидов рекомендуется помещать над символом соответствующего нуклеозида. Положение такого заместителя указывается верхним цифровым индексом при символе заместителя, число замещающих групп — нижним индексом.

Например: $\overset{\text{Me}^1}{\text{pA}}$ — 1-метиладенозин-5'-фосфат (замещение по основанию);
 $\dots\text{-A-U-C-C-G-A}\dots$ — полинуклеотид с остатком диметилгуанозина в цепи (замещение по основанию).

V. ПОЛИНУКЛЕОТИДНЫЕ ПОСЛЕДОВАТЕЛЬНОСТИ

1. В олигонуклеотидах (или фрагментах полинуклеотидов) с известной последовательностью и природным ($3' \rightarrow 5'$) типом межнуклеозидной фосфодиэфирной связи символы нуклеозидов разделяются символом «p» или «-» (дефисом).

Например: pArGrArT или pA-G-A-T

Для полинуклеотидов предпочтительно использование знака «-» (дефис).

Например: $\dots\text{-A-C-G-G-C-U-G-A-A-U}\dots$

При любом способе сокращенной записи полинуклеотидной последовательности ее следует располагать так, чтобы справа находился 3'-конец цепи, слева — 5'-конец. Это в равной мере относится как к полной последовательности полинуклеотида, так и к его отдельным фрагментам.

Например:

5'-конец

3'-конец

$\text{pG-A-U}\dots\text{-A-U-U-U-C-G-A-G-U}\dots\text{-C-C-A}$

2. Если последовательность звеньев неизвестна, символы нуклеозидов заключают в скобки и разделяют запятыми.

Например: $\dots(\text{A, G, C})\dots$

Частично известные последовательности обозначаются следующим образом (пример):

$\dots\text{-G-C-(A, G)-C}\dots$

3. Концевые фосфатные и пирозифосфатные группировки в олиго- и полинуклеотидах обозначаются символами «p», «pp» и т. д.

Например: $\text{pppA-C-G-U}\dots$

4. В случае не природной межнуклеозидной фосфодиэфирной связи рядом с символом межнуклеотидной связи в скобках указываются номера атомов, при которых находятся гидроксильные группы, образующие фосфоэфирную связь.

Например:

$\text{Cp}(2' \rightarrow 5')\text{A}$ или $\text{C-(2' } \rightarrow 5')\text{A}$ — цитидилил-($2' \rightarrow 5'$)-аденозин
 $\text{U}(5' \rightarrow 5')\text{pU}$ или $\text{U(5' } \rightarrow 5')\text{-U}$ — уридилил-($5' \rightarrow 5'$)-уридин

VI. ПРИРОДНЫЕ ПОЛИНУКЛЕОТИДЫ

1. Природные полинуклеотиды обозначаются тривиальными аббревиатурами и записываются кириллицей; функциональная характеристика отмечается строчной буквой перед аббревиатурой, которая от нее не отделяется ни интервалом, ни дефисом, ни запятой:

pРНК — рибосомальная РНК

iРНК — информационная РНК

тРНК — транспортная РНК

В ряде случаев для характеристики РНК используются константы седиментации. В таких случаях характеристика отделяется от аббревиатуры интервалом и рекомендуется следующий способ написания (пример):

16S РНК — РНК, имеющая константу седиментации 16 единиц Сведберга.

2. Индивидуальные транспортные РНК помечаются справа сверху символом соответствующей аминокислоты.

Например: tRNA^{Val} — индивидуальная тРНК, способная акцептировать и переносить остаток валина.

Для изоакцепторных тРНК пишется дополнительный индекс справа внизу.

Например: $\text{tRNA}_1^{\text{Val}}$, $\text{tRNA}_2^{\text{Ser}}$.

Аминоацилированные индивидуальные тРНК обозначаются, например, так: $\text{Val-tRNA}_1^{\text{Val}}$; $\text{Ala-tRNA}^{\text{Cys}}$.

VII. СИНТЕТИЧЕСКИЕ ПОЛИНУКЛЕОТИДЫ

1. Монотонные полинуклеотиды с неизвестным числом звеньев обозначаются поли-N или $(N)_n$. Если точное или среднестатистическое число звеньев известно, то рекомендуется следующее написание (пример):

U_{10} — декауридиловая кислота

$U_{\overline{10}}$ — олигоуридиловая кислота со средним числом нуклеотидных звеньев в цепи, равным 10.

2. Смешанные полинуклеотиды с известной последовательностью записываются следующим образом (пример):

поли-(A-U) или $(A-U)_n$ — полимер аденилдезидридиловой кислоты.

Если распределение нуклеотидных звеньев вдоль цепи статистическое или неизвестно, то полимеры записываются, например, так:

поли-(A, C) или $(A, C)_n$ — сополимер адениловой и цитидиловой кислот с соотношением мономерных единиц 1:1;

поли-(G₂, C) или $(G_2, C)_n$ — сополимер гуаниловой и цитидиловой кислот с соотношением мономерных единиц 2:1;

$(A_2U)_{\overline{50}}$ — сополимер адениловой и уридиловой кислот с соотношением мономерных единиц 2:1 и средним числом звеньев 150;

поли-(dA-dT), или поли-d(A-T), или $(dA-dT)_n$, или $[d(A-T)]_n$ — полимер дезоксиаденилдезокситимидиловой кислоты.

В случае изображения полной последовательности нуклеотидных звеньев в полимере или ее части, прилегающей к какому-либо концу цепи, концевые группировки обозначаются особо (см. раздел V.3).

VIII. КОМПЛЕМЕНТАРНЫЕ ПАРЫ

1. Комплементарные пары оснований при упоминании в тексте пишутся через точку.

Например: «...прочность взаимодействия комплементарной пары гуанин-цитозин выше, чем для пары аденин-тимин...».

Аналогично изображаются и комплементарные пары нуклеозидов.

Если речь идет о составе полинуклеотида, то мономерные составляющие единицы разделяются знаком «+».

Например: «...повышение содержания в ДНК гуанина + цитозина приводит к повышению T_m ...».

2. При изображении развернутых структур комплементарные (поперечные) взаимодействия обозначаются точками:

Например: $\cdots\text{A-G-U-C-G}\cdots$

$\begin{array}{ccccc} & \cdot & \cdot & \cdot & \cdot \\ \cdots & \text{U} & \text{C} & \text{A} & \text{G} & \text{C} \cdots \end{array}$

3. В случае двухспиральных двухцепочечных комплексов сокращенные названия компонентов комплекса разделяются точкой.

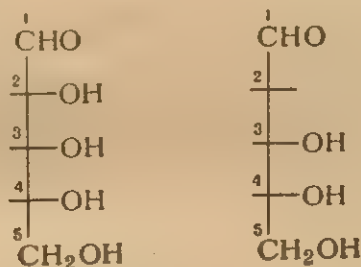
Например: (поли-A) · (поли-U) или $(A)_n \cdot (U)_n$ — двухспиральный комплекс полиадениловой и полиуридиловой кислот.

СТРОЕНИЕ НУКЛЕИНОВЫХ КИСЛОТ

I. ВВЕДЕНИЕ

Нуклеиновыми кислотами принято называть фосфорсодержащие биополимеры, построенные из остатков нуклеозидов — N-гликозидов пентоз, производных гетероциклических оснований ряда пурина или пиримидина; остатки нуклеозидов соединены в полимерной цепи фосфодиэфирными связями. При расщеплении нуклеиновых кислот образуются с высоким выходом нуклеозиды или их фосфорные эфиры — нуклеотиды.

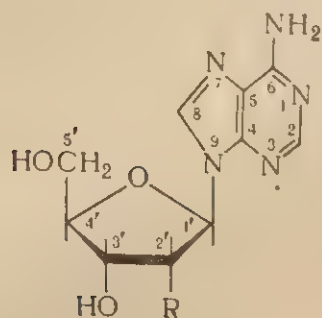
Углеводный компонент нуклеиновых кислот может быть *D*-рибозой или 2-дезоксид-*D*-рибозой.



В соответствии с этим различают рибонуклеиновые кислоты (РНК) и дезоксирибонуклеиновые кислоты (ДНК).

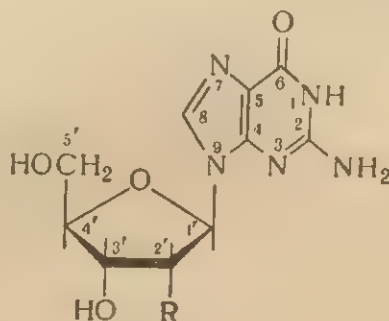
Нуклеозиды являются β -N-пентофуранозидами гетероциклических оснований, их структуру можно представить формулами I—IV. Обычно как в состав РНК, так и в состав ДНК входят остатки по меньшей мере четырех нуклеозидов. Обычными компонентами РНК являются аденозин Ia, гуанозин IIa, цитидин IIIa и уридин IVa; в случае ДНК из четырех наиболее часто встречающихся нуклеозидов три — дезоксиаденозин Ib, дезоксигуанозин IIб и дезоксицитидин IIIб — содержат те же основания, что и рибонуклеозиды, а четвертый — тимидин IVб — отличается от соответствующего

щего рибонуклеозида (уридина) наличием дополнительной метильной группы в гетероциклическом основании.



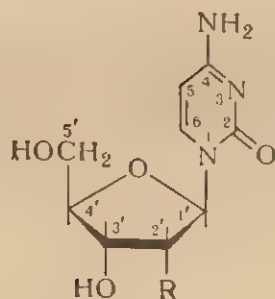
Ia (R=OH)

Iб (R=H)



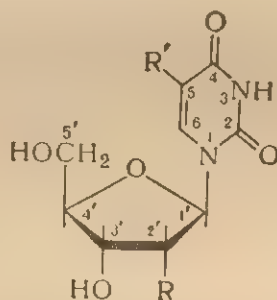
IIa (R=OH)

IIб (R=H)



IIIa (R=OH)

IIIб (R=H)



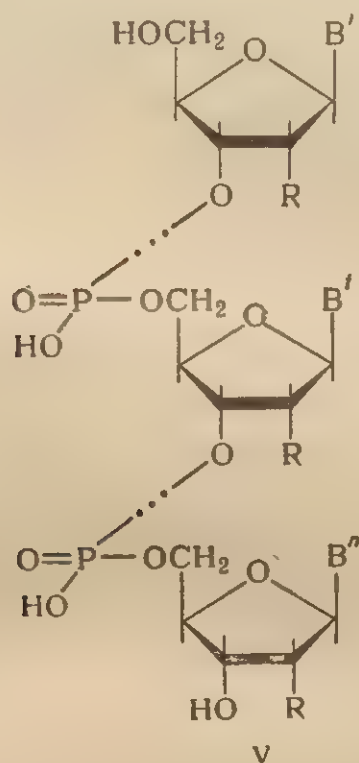
IVa (R=OH, R'=H)

IVб (R=H, R'=CH₃)

Нуклеозиды, являющиеся мономерными составляющими нуклеиновых кислот, связаны друг с другом фосфодиэфирными связями и образуют цепь полинуклеотида. Фосфодиэфирная группировка связывает между собой 3'-гидроксильную группу остатка одного нуклеозида с 5'-гидроксильной группой остатка соседнего нуклеозида. Таким образом, полинуклеотидная цепь нуклеиновых кислот представляет собой линейную структуру, в которой моонуклеозиды связаны между собой 3',5'-фосфодиэфирными связями, причем моонуклеозиды расположены в цепи в строго определенной для данной нуклеиновой кислоты последовательности. Об-

Как видно из
номерные эссен
ны: гидроксиль
мономерные
оксида, в т
пировкой Э
в фазе, и
Решение
нуклеиновых
спец. рибоз
ными парам
дов полинук
вания водород
«комплементар

щая структура РНК и ДНК может быть представлена приведенной ниже формулой V:



$B' \dots B' \dots B''$ — остатки оснований

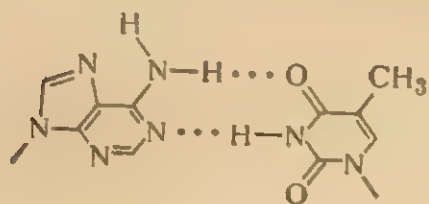
$R = H$ (в случае ДНК)

$R = OH$ (в случае РНК)

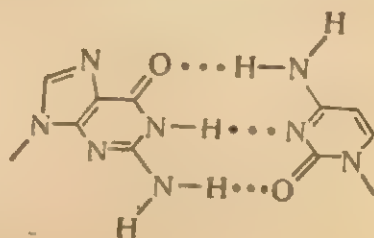
Как видно из схемы, в дезоксирибонуклеиновой кислоте все мономерные звенья, за исключением концевых, не содержат свободных гидроксильных групп; в рибонуклеиновых кислотах, напротив, мономерные звенья полинуклеотидной цепи имеют свободную гидроксильную группу при C-2', соседнюю с фосфодиэфирной группировкой. Это различие в структуре определяет глубокое различие в физико-химических свойствах РНК и ДНК.

Решающее значение для понимания биологических функций нуклеиновых кислот имело выяснение того факта, что возможно специфическое нековалентное взаимодействие между определенными парами оснований, входящими в состав остатков нуклеозидов полинуклеотидной цепи. Такое взаимодействие за счет образования водородных связей происходит между так называемыми «комплементарными парами» оснований; таковыми являются пары

природных оснований аденин — тимин (VIa) и гуанин — цитозин (VIб).



VIa



VIб

Предположение о существовании такого взаимодействия было впервые высказано при изучении макромолекулярной структуры ДНК (гипотеза Уотсона — Крика) *; в дальнейшем это предположение получило обширное экспериментальное подтверждение (подробнее см. гл. 4) и является в настоящее время одним из краеугольных камней молекулярной биологии и молекулярной генетики.

Наряду с белками, полисахаридами и липидами, нуклеиновые кислоты являются необходимыми компонентами всех живых клеток, причем в их состав обычно входит как РНК, так и ДНК. Более того, нуклеиновые кислоты входят в состав более простых, паразитических форм жизни — вирусов. Частицы вирусов состоят часто лишь из белка и ДНК или РНК.

Для гистохимического и цитохимического обнаружения нуклеиновых кислот в живых клетках (обзоры и монографии — см. ¹⁻³) используют обычно характерное УФ-поглощение нуклеиновых кислот и специфические цветные реакции, основанные на высвобождении восстанавливающих групп остатков 2-деоксирибозы при мягком кислотном гидролизе (реакция Фельгена для ДНК) или на способности полинуклеотидов образовывать комплексы с основными красителями (реакция Браше для РНК; люминесцентные методы, основанные на взаимодействии с акридиновым оранжевым). Весьма существенным признаком, который позволяет надежно идентифицировать вещество, дающее упомянутые выше реакции на срезе ткани, как ДНК или РНК, является исчезновение характерного УФ-поглощения или цитохимической реакции после обработки среза препаратами нуклеаз — ферментов, катализирующих расщепле-

* Для ДНК характерно существование в растворах в виде комплексов, образующихся из двух полинуклеотидных цепей, которые стабилизируются за счет взаимодействия комплементарных оснований различных цепей и гидрофобного взаимодействия между основаниями в одной и той же цепи. Такие комплексы называют двухцепочечными, двухнитевыми или двухтяжевыми.

* Специфический метод в разделе об обнаружении нуклеиновых кислот (см. стр. 61) найти в недавней литературе.

ние полимерных нуклеиновых кислот до низкомолекулярных соединений*.

Этот признак — расщепление полимерного препарата до низкомолекулярных соединений под действием РНК-аз или ДНК-аз (нуклеаз, расщепляющих соответственно РНК и ДНК) — имеет решающее значение и при идентификации выделенного из клетки полимера как нуклеиновой кислоты; другие характерные свойства препаратов нуклеиновых кислот — это ультрафиолетовое поглощение с максимумом около 260 мкм и присутствие фосфора и рибозы или 2-дезоксирибозы, что можно легко доказать соответствующими колориметрическими реакциями (обзоры — см.^{5, 494}).

II. МЕТОДЫ ПОЛУЧЕНИЯ И ХАРАКТЕРИЗАЦИИ ДНК. ОСНОВНЫЕ ВИДЫ ДНК

Как уже отмечалось, ДНК является необходимым компонентом всех живых клеток, а также входит в состав многих вирусов. К их числу относится большинство бактериофагов и вирусов насекомых и почти все известные вирусы животных.

Главной задачей при выделении ДНК из природных объектов является отделение ДНК от других биополимеров — белка, РНК и полисахаридов.

В современных методиках выделения ДНК (обзоры — см.⁶⁻⁸) основной стадией является обычно экстракция биологического материала фенолом⁹. При этом ДНК после разделения слоев переходит в водный слой или остается в виде осадка в интерфазе, а большая часть белка денатурирует и переходит в фенольный слой. Для удаления белка из препаратов ДНК используют также обработку детергентами¹⁰, смесью хлороформ — изоамиловый (или октиловый) спирт^{11, 12}, а также инкубацию с протеолитическими ферментами, например с проназой¹³. РНК отделяют от ДНК фракционным осаждением спиртом и обработкой препарата рибонуклеазами. Большая часть полисахаридов обычно удаляется при фракционном осаждении этанолом или изопропанолом; в некоторых случаях приходится применять дополнительную очистку (экстракция метилцеллозольвом, фракционирование цетавлоновых солей, электрофорез).

Специфической проблемой при выделении ДНК является крайняя чувствительность длинных линейных молекул к гидродинамическому сдвигу. При перемешивании или фильтровании раствора и засасывании его в пипетку в линейных молекулах большой

* Специфичность и механизм действия нуклеаз более подробно рассмотрены в разделе об определении последовательности нуклеотидов в нуклеиновых кислотах (см. стр. 67); обсуждение других вопросов, касающихся нуклеаз, можно найти в недавно вышедшей монографии⁴.

длины возникают напряжения, достаточные для разрыва ковалентных связей¹⁴, что приводит к фрагментированию молекул ДНК. Вследствие этого в современных методиках выделения ДНК подобные операции стараются свести до минимума, хотя это и может приводить к уменьшению выхода ДНК и худшей депротеинизации¹⁵. Полученные препараты ДНК характеризуют обычно молекулярным весом и составом оснований.

Для определения молекулярного веса ДНК (обзоры — см. 7, 16, 17) наиболее широко используются методы, основанные на определении скорости седиментации макромолекул. Это определение может быть выполнено по различным методикам; наиболее широкое распространение в последнее время приобрела методика, основанная на зональном центрифугировании в градиенте плотности сахарозы в препаративной ультрацентрифуге^{18, 21}. В данном случае распределение веществ по скорости осаждения можно контролировать по радиоактивной метке, что обеспечивает высокую чувствительность; с другой стороны, методика практически без изменений может быть применена и для препаративного разделения нуклеиновых кислот. Предложен ряд эмпирических уравнений, связывающих скорость седиментации двухцепочечного комплекса ДНК со значением молекулярного веса^{19–24}, определенным независимыми методами. Последнее из этих уравнений²⁴ охватывает пределы мол. веса $0,2–130 \cdot 10^6$.

Подобное же эмпирическое уравнение было предложено для зависимости вязкости от молекулярного веса для двухцепочечных комплексов ДНК²⁴. Ограниченное применение для определения молекулярного веса находят методы светорассеяния⁷, они пригодны приблизительно до значений мол. веса $25 \cdot 10^6$.

Единственно надежным абсолютным методом определения молекулярного веса, используемым для высокополимерной ДНК, является метод²⁰, основанный на автордиографии молекул ДНК, меченных ³²P; подсчет «звезд» на эмульсии фотопластинки позволяет определить количество атомов фосфора в исследуемой молекуле. Этот метод является весьма трудоемким и использован лишь в немногих случаях. Гораздо шире применяется другой метод, основанный на непосредственном наблюдении молекул ДНК — измерение длины молекул под электронным микроскопом²⁵ (обзор — см.²⁶). Исходя из данных рентгеноструктурных исследований двухспиральных комплексов ДНК, показывающих, что длине двухцепочечного комплекса 1 Å соответствует мол. вес. 192, можно определить значение молекулярного веса полученного препарата. Наконец, в последнее время начали применять методы определения молекулярного веса, основанные на химическом определении концевых групп (см. стр. 44).

Для определения нуклеотидного состава ДНК используют обычно количественную хроматографию пуриновых и пиримидино-

вых оснований или нуклеотидов, полученных после расщепления полимера (подробнее — см. стр. 58). С нуклеотидным составом ДНК однозначно связаны два физических свойства двухцепочечных комплексов, которые часто используются для характеристики полученных препаратов^{27, 28}. Одно из них — так называемая «температура плавления» T_m — это температура, при которой происходит распад двухцепочечного комплекса на одноцепочечные молекулы; этот процесс легко наблюдать по изменению УФ-поглощения или оптического вращения раствора (подробнее см. в гл. 4). Другая характерная константа ДНК — «плавучая плотность» ρ — может быть определена из результатов равновесного ультрацентрифугирования²⁹. Такое центрифугирование проводят обычно в растворах солей, обладающих высокой плотностью; чаще всего применяют хлорид или сульфат цезия. При длительном центрифугировании устанавливается градиент плотности раствора, а ДНК собирается в узкой зоне, где существует равновесие между центробежной силой и выталкивающей силой, которая определяется разностью плотности осаждаемого вещества и применяемого солевого раствора в данной зоне. Равновесное центрифугирование в градиенте плотности CsCl может служить не только аналитическим методом для характеристики препарата ДНК, но и полезным препаративным методом для разделения ДНК, различающихся по нуклеотидному составу. Подобным же образом препаративное ультрацентрифугирование в градиенте плотности сахарозы используется для разделения молекул ДНК, различающихся по скорости седиментации.

Для фракционирования ДНК могут быть использованы и хроматографические методы. Наибольшее распространение получила хроматография на колонках с метилированным альбумином на кизельгуре (МАК)³⁰ или с фосфатом кальция (оксиапатитом)³¹. В последнее время для фракционирования ДНК начинают применяться и методы противоточного распределения³²; для этой цели используют распределение между несмешивающимися водными растворами декстрана и полиэтиленгликоля.

ДНК вирусов и фагов (обзоры — см. ^{33–36}, 495). Выделение ДНК из вирусов является относительно простой задачей, поскольку вирусные частицы могут быть получены в высокоочищенном состоянии и во многих случаях для получения ДНК необходимо лишь отделить белок. В этом случае можно применять максимально мягкие методы выделения³⁷, например депротенинизацию концентрированным раствором перхлората натрия³⁸. Операции, вызывающие гидродинамический сдвиг, можно свести к минимуму, и ДНК вирусов удастся получать в высокополимерном состоянии. Процесс выделения вирусных ДНК и их нативность легко контролировать, так как эти соединения имеют легко измеряемую количественно биологическую активность (инфекционность).

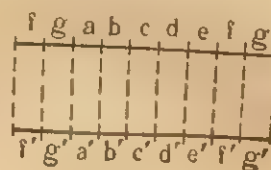
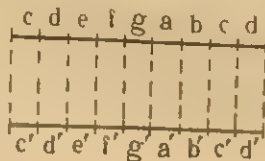
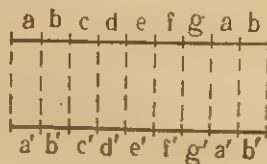
Большая часть вирусов и фагов содержит ДНК в виде двухцепочечного комплекса с мол. весом $30-200 \cdot 10^6$. Излюбленным объектом для выделения фаговых ДНК являются бактериофаги серии Т, поражающие *Escherichia coli*; значительное внимание было уделено также изучению ДНК бактериофагов λ , α и SP8. Из вирусов животных наиболее подробно изучались ДНК вирусов простого герпеса, осповакцины, а также вирусов полиомы, папилломы и аденовирусов (ДНК последних имеет значительно меньший молекулярный вес — порядка $4-5 \cdot 10^6$).

Существует группа мелких бактериофагов (ФХ174, fd, S13 и др.), в состав которых входит одноцепочечная ДНК с довольно низким молекулярным весом. Для ДНК бактериофага ФХ174 найдено значение мол. веса $1,7 \cdot 10^6$.

Из клеток, зараженных фагом ФХ174, наряду с одноцепочечной ДНК, присутствующей в вирусных частицах, можно с помощью центрифугирования в градиенте плотности и хроматографией на МАК получить двухцепочечный комплекс ДНК с вдвое большим молекулярным весом³⁹ — так называемую «репликативную форму» ДНК фага ФХ174. Присутствие в зараженной вирусом клетке форм вирусной ДНК, отличающихся по своей структуре от ДНК вирусных частиц, показано и для многих других вирусов.

Определение содержания ДНК на одну вирусную частицу показывает, что обычно в состав частицы входит либо одна молекула ДНК, либо один двухцепочечный комплекс. Естественно поэтому ожидать, что препараты ДНК, выделенные из вирусов, будут индивидуальными в химическом смысле молекулами ДНК или по крайней мере комплексами из двух индивидуальных молекул. Это предположение оправдывается во многих случаях, причем иногда удается после разрушения двухцепочечного комплекса разделить с помощью равновесного центрифугирования индивидуальные полинуклеотидные цепи.

Однако не всегда дело обстоит так просто. В некоторых случаях макромолекула ДНК фаговой частицы состоит не из двух длинных полинуклеотидных цепей, а из нескольких более коротких цепей (например, ДНК фага Т5). В других случаях (в частности, ДНК фага Т2) препарат ДНК из вирусных частиц содержит смесь молекул, отличающихся по своей химической структуре за счет «циклически переставленных» фрагментов, как, например



где a, b, \dots, g — некоторые участки одной полинуклеотидной цепи, а a', b', \dots, g' — комплементарные участки другой цепи.

ДНК клеточного ядра (обзоры — см. 7, 17, 40–42). В ядре клеток бактерий и других микроорганизмов ДНК можно наблюдать в виде нитевидных структур, толщина которых, по данным электронной микроскопии, соответствует толщине двухспирального комплекса ДНК⁴³.

Генетические данные позволяют предположить, что в состав клеточного ядра бактерий входит одна молекула ДНК чрезвычайно высокого молекулярного веса. После разрушения бактерий в очень мягких условиях удалось наблюдать⁴⁴ с помощью метода автордиографии структуры ДНК, длина которых соответствует мол. весу $\sim 2800 \cdot 10^6$. Современные методы выделения нуклеиновых кислот не позволяют получить такие огромные молекулы в интактном состоянии. Даже при самом тщательном выделении препараты ДНК имеют значительно меньший молекулярный вес. Так, из *Haemophilis influenzae* получен препарат ДНК^{45, 46}, поведение которого при ультрацентрифугировании и длина под электронным микроскопом соответствуют мол. весу $400 \cdot 10^6$, а из *Bacillus subtilis* и *Escherichia coli* — препараты¹³ с мол. весом $\sim 250 \cdot 10^6$. Полученные образцы содержат довольно значительное количество белка и РНК; при более эффективной депротеинизации и удалении РНК молекулярный вес падает^{47, 48} до $120 \cdot 10^6$. При обычных же методах получения ДНК^{8, 12, 37, 49, 50} выделяют двухцепочечный комплекс с мол. весом $10 - 30 \cdot 10^6$ (это соответствует приблизительно одной сотой части интактной молекулы бактериальной ДНК). Естественно ожидать, что полученные препараты бактериальной ДНК являются многокомпонентными смесями и выделение индивидуальных соединений из этих смесей представляется при современных методах фракционирования весьма затруднительным.

Генетические данные показывают, что помимо основной массы ДНК бактерии внутри клетки имеются элементы генетического материала, которые могут функционировать независимо. Такие элементы известны под названием «эписом» или «плазмид»; некоторые из них были выделены и идентифицированы как двухцепочечные комплексы ДНК с относительно низким молекулярным весом^{51–55}. Представляется вероятным, что полученные препараты эписомных ДНК являются химически индивидуальными соединениями.

В ядрах клеток высших животных и растений ДНК входит в состав сложного морфологического образования — хромосомы^{56, 57}, главным компонентом которого помимо ДНК являются основные белки — гистоны, в небольших количествах присутствует также РНК и негистонные белки. Молекулярная организация хромосом сложна и еще не вполне выяснена; установлено, во всяком случае, что внутри одной клетки содержится набор гетерогенных молекул ДНК. Вопрос о размерах интактных молекул ДНК внутри

хромосом остается открытым. Авторадиографическим методом удалось наблюдать⁵⁸ нити ДНК, достигающие длины 1,8 мм, что приблизительно вдвое превосходит длину молекул интактной бактериальной ДНК⁴⁴; в другой работе⁵⁹ получены даже нити длиной более 2 см. Так или иначе, существующие методы выделения ДНК из тканей животных^{37, 60} приводят к препаратам существенно меньшего молекулярного веса ($50-60 \cdot 10^6$).

Хотя доступные в настоящее время препараты ДНК бактерий, животных и растений, несомненно, представляют собой многокомпонентные смеси, эффективного их фракционирования с помощью существующих методов добиться не удастся. В отдельных случаях, однако, удается получить данные, указывающие на присутствие в суммарном препарате ДНК полинуклеотидов, отличающихся по своим свойствам от основной массы ДНК клеточного ядра и являющихся, таким образом, особыми разновидностями ДНК. Так, из препаратов ДНК бактерий при фракционировании с помощью противоточного распределения, центрифугирования в градиенте сахарозы, хроматографии на фосфате кальция или колонках с МАК получены фракции, свойства которых соответствуют свойствам одноцепочечной ДНК (см., например,⁶¹⁻⁶⁵); предполагается, что такая ДНК является промежуточным продуктом при воспроизведении ДНК в клетке.

При равновесном центрифугировании в градиенте плотности CsCl препаратов ДНК многих животных и растений было обнаружено присутствие наряду с основным пиком ДНК небольшого пика «спутника»^{66, 67}. В ряде случаев было доказано, что возникновение «спутника» связано с присутствием в препарате внеядерной ДНК (см. ниже). В других случаях, прежде всего в ДНК из тканей млекопитающих, показано, что ДНК-«спутник» * локализована в клеточном ядре. Наиболее изучены два представителя таких полинуклеотидов: ДНК-«спутник» из печени мышей^{66-70, 498} и ДНК-«спутник» из тканей некоторых видов крабов⁷¹⁻⁷³. Их количество составляет от 10 до 30% общего количества ДНК клеточного ядра; мол. вес. ДНК-«спутника» мышей найден равным $40 \cdot 10^6$. Эти полинуклеотиды существуют в виде двухцепочечных комплексов; характерным их свойством⁷⁴ является легкая ренатурируемость, т. е. способность двухцепочечного комплекса восстанавливаться после разрушения.

Внеядерная ДНК (обзоры — см. ^{75-78, 503}). Хотя, по цитохимическим данным, основная масса ДНК сосредоточена в клеточном ядре, было показано присутствие ДНК и в других субклеточных частицах⁷⁹. Этот цитохимический вывод подтвержден выделением ДНК из митохондрий и хлоропластов.

* В русской литературе для названия этого класса полинуклеотидов иногда употребляют термин «сателлитная ДНК». По нашему мнению, термин ДНК-«спутник» ближе по смыслу к английскому термину «satellite» DNA.

Выделение ДНК из митохондрий⁸⁰⁻⁸² основано на тех же методах, которые используются для выделения ДНК из клеточного ядра; в этом случае, однако, предварительно выделяют соответствующие субклеточные частицы и перед разрушением обрабатывают их ДНК-азой, что позволяет удалить возможную примесь ядерной ДНК. Исследование физических свойств митохондриальных ДНК, выделенных из разных источников, показывает, что во многих случаях этот вид ДНК отличается от ядерной ДНК по плавучей плотности и температуре плавления и, следовательно, имеет другой нуклеотидный состав. Митохондриальная ДНК имеет мол. вес⁸³⁻⁸⁷ около $10 \cdot 10^6$ и существует в виде двухцепочечного комплекса, который обладает способностью легко ренатурировать.

Для выделения ДНК из хлоропластов⁸⁸⁻⁹⁰ используют тот же самый прием, что и при выделении митохондриальной ДНК, — обработку субклеточных частиц ДНК-азой перед их разрушением. В этом случае, однако, не удается добиться полного удаления ядерной ДНК, и ДНК хлоропластов очищают далее равновесным центрифугированием в градиенте плотности CsCl. Наиболее подробному исследованию подвергалась ДНК из хлоропластов зеленой водоросли *Euglena gracilis*⁹¹; она отличается от ДНК ядра по составу оснований и существует в виде двухцепочечного комплекса с мол. весом $10 \cdot 10^6$.

Изложенный материал показывает, что внутри каждой живой клетки существует несколько типов дезоксирибополинуклеотидов, различающихся по своему составу и свойствам. Биологическая функция всех типов ДНК не выяснена окончательно, хотя, по современным представлениям, она во всех случаях аналогична — обеспечение возможности самовоспроизведения клетки (или субклеточной частицы), хранение и перенос генетической информации, наконец, обеспечение синтеза РНК, участвующей далее в синтезе белков в клетке.

III. МЕТОДЫ ПОЛУЧЕНИЯ И ХАРАКТЕРИЗАЦИИ РНК. ОСНОВНЫЕ ВИДЫ РНК

Подобно ДНК, РНК является необходимым компонентом всех живых клеток. Она входит, кроме того, в состав всех исследованных вирусов растений, а также ряда бактериофагов, многих вирусов насекомых и животных. В то время как биологические функции ДНК разных типов, по-видимому, сходны, разные типы РНК имеют различные биологические функции. Функции вирусной РНК, по-видимому, аналогичны вирусной ДНК, т. е. этот тип РНК содержит генетическую информацию, необходимую для построения вирусной частицы, передает ее из поколения в поколение и, кроме того, обеспечивает синтез необходимых для построения вирусных частиц ферментов и белков вирусной оболочки. Как хорошо известно, в живой клетке различают по крайней мере три типа РНК, отли-

чающиеся по своей биологической функции. Во-первых, это рибосомальная РНК, входящая в состав структуры субклеточных частиц, в которых происходит синтез белка. Далее, существует относительно низкомолекулярная РНК, которая способна соединяться с аминокислотами, причем образующиеся аминокислотные производные служат исходными веществами при биосинтезе белка; эта фракция РНК известна под названием транспортной РНК *. Наконец, показано существование так называемой «информационной РНК» **, последовательность нуклеотидов в которой определяет последовательность аминокислот в белке.

Методы выделения РНК (обзоры — см. ^{6,8}), в общем, довольно близки к методам выделения ДНК. Экстракцию клеток или субклеточных частиц для получения РНК проводят обычно фенолом ⁹²⁻⁹⁵; остаточный белок часто удаляют обработкой детергентом или смесью хлороформа с октиловым спиртом. Отделение ДНК от РНК происходит обычно на стадии экстракции, так как можно подобрать условия, в которых РНК переходит в водный слой, а ДНК остается в интерфазе. Часто применяют для этой цели фракционное осаждение, реже — обработку препарата ДНК-азой. Различные типы клеточной РНК могут быть разделены фракционным осаждением, центрифугированием в градиенте плотности сахарозы ^{96,97}, методами хроматографии ^{30,98,99} и электрофореза в геле ¹⁰⁰⁻¹⁰³.

Поскольку РНК имеет обычно значительно меньший молекулярный вес, чем ДНК, проблема деградации за счет гидродинамических сдвигов при выделении препаратов здесь стоит значительно менее остро. Очень насущной зато является проблема ферментативной деградации РНК под действием внутриклеточных и вносимых в систему РНК-аз (например, с пальцев рук экспериментатора ¹⁰⁴). РНК-азы являются обычно весьма устойчивыми ферментами, не инактивирующимися при нагревании и обработке фенолом. В связи с этим при выделении РНК рекомендуется постоянно добавлять ингибиторы РНК-аз, например бентонит (алюмосиликат), поливинилсульфат или иодацетамид.

Основными оцениваемыми характеристиками РНК являются, как и в случае ДНК, молекулярный вес и нуклеотидный состав. Молекулярный вес РНК можно определить с помощью метода светорассеяния ¹⁰⁵ или химически — определением концевых групп (см. стр. 44); чаще для этой цели пользуются ультрацентрифугированием в градиенте сахарозы. Предложен ряд эмпирических уравнений, связывающих константу седиментации *** в определенных

* Иногда применяют термины «растворимая РНК» и «адапторная РНК».

** Иногда используют термин «мессенджер-РНК».

*** Для устранения влияния вторичной структуры предложено определять константу седиментации в диметилсульфоксиде ⁴⁹⁶ или в присутствии формальдегида ⁴⁹⁷.

условиях и молекулярный вес ¹⁰⁵⁻¹⁰⁷; чаще всего применяется уравнение, выдвинутое ¹⁰⁷ А. С. Спириным. Определение нуклеотидного состава РНК основано обычно на количественном анализе нуклеотидов, образующихся после расщепления полимера (см. стр. 58).

Во многих случаях для характеристики препарата РНК предпочитают использовать не значение молекулярного веса, а величину константы седиментации или электрофоретическую подвижность, которая хорошо коррелирует с константой седиментации ¹⁰⁸.

РНК вирусов (обзоры — см. ¹⁰⁹⁻¹¹²). РНК вирусов выделяют обычно из очищенных вирусных частиц с помощью фенольного или детергентного метода (типичные методики — см. ¹¹³⁻¹¹⁶). Как правило, нуклеиновые кислоты вирусов существуют в виде одноцепочечной молекулы с мол. весом $1-3 \cdot 10^6$, хотя известны примеры значительно более низкого молекулярного веса. Так РНК одной из разновидностей фага Q_{β} имеет мол. вес $\sim 2 \cdot 10^5$, что соответствует содержанию 550 остатков нуклеотидов ¹¹⁷. Излюбленными объектами изучения являются РНК из вируса табачной мозаики и вируса желтой мозаики турнепса, полиовирусов животных и вирусов гриппа. Наконец, значительное число работ посвящено исследованию вирусов бактериофагов, таких, как $\phi 2$, MS2, R17, M12, ϕr , Q_{β} и др. Нативность выделяемой вирусной РНК можно контролировать с помощью биохимического теста — по способности инфицировать организмы, являющиеся хозяином данного вируса.

Известна небольшая группа вирусов, РНК которых существует в виде двухцепочечного комплекса; при выделении РНК получают обычно несколько компонентов. К числу таких вирусов относятся реовирус ¹¹⁸, вирус опухолей ран растений ¹¹⁹ и вирус карликовой кустистости риса ¹²⁰.

Двухцепочечный комплекс, построенный из исходной (+)-цепи вирусной РНК и комплементарной к ней (—)-цепи РНК, синтезирующейся в организме хозяина при вирусной инфекции, является промежуточным продуктом при воспроизведении вируса в клетке («репликативная форма»). Для такого комплекса характерна устойчивость к действию небольших концентраций РНК-азы, он может быть выделен и отделен от других форм РНК с помощью центрифугирования в градиенте плотности или хроматографии на МАК (см., например, ¹²¹).

РНК рибосом (обзоры — см. ⁴⁰, ¹²²⁻¹²⁵). Большая часть РНК живой клетки сосредоточена в цитоплазме и локализована в рибонуклеопротеидных гранулах, называемых рибосомами. Эти гранулы могут находиться в цитоплазме в свободном состоянии; в клетках животных и растений они обычно связаны с мембранами эндоплазматической сети, образуя так называемый «шероховатый эндоплазматический ретикулум». Рибосомы могут быть препаративно выделены ультрацентрифугированием и использованы в качестве исходного объекта для получения рибосомальной РНК.

Предварительное выделение рибосом не является, однако, необходимым, так как рибосомальная РНК составляет до 85% всей РНК клетки и может быть легко отделена от других компонентов¹²⁶⁻¹²⁸.

При хроматографировании на МАК или центрифугировании в градиенте сахарозы РНК рибосом может быть разделена на три компонента. Два из них, открытые раньше, получили название «тяжелого» и «легкого» компонентов; третий компонент, известный под названием «5S РНК», может быть легко отделен от основной массы рибосомальной РНК¹²⁹⁻¹³⁰.

Тяжелый компонент рибосомальной РНК в препаратах, полученных из тканей животных и растений, имеет константу седиментации 28—32S; для РНК, полученной из рибосом бактерий, характерно значение константы седиментации 23S. Это соответствует молекулярному весу приблизительно $1,6 \cdot 10^6$ для РНК из животных и растений и $1,1 \cdot 10^6$ для РНК из бактерий.

Легкий компонент рибосомальной РНК имеет константу седиментации 16—18S, что отвечает мол. весу $\sim 5 \cdot 10^5$. Компонент 5S имеет молекулярный вес $\sim 40\,000$, что соответствует полинуклеотидной цепи из 120 остатков нуклеотидов.

Недавно установлено, что «тяжелый» компонент РНК рибосом из клеток млекопитающих является в действительности комплексом двух молекул РНК⁴⁸⁵. При обработке его агентами, разрушающими водородные связи, удается выделить помимо 28S РНК новый компонент с молекулярным весом, соответствующим цепи из 130 остатков нуклеотидов. Этот компонент РНК рибосом известен под названием «7S РНК» или «28SA РНК».

Транспортные РНК (тРНК) (обзоры — см. 131—133). Этот вид РНК присутствует в цитоплазме клетки в свободном состоянии; количество его может достигать 10—15% от всей РНК клетки. Транспортная РНК обладает способностью взаимодействовать в присутствии соответствующих ферментов с аминокислотами, образуя соответствующие аминокислот-тРНК, которые служат активированной формой аминокислот при белковом синтезе. Каждый вид тРНК способен связываться только с одной аминокислотой; соответственно этому число видов индивидуальных тРНК в клетке не должно быть меньше числа аминокислот. В действительности, однако, число видов индивидуальных тРНК еще больше, так как для многих аминокислот показана способность связываться с двумя и иногда даже пятью специфическими тРНК. Способность тРНК присоединять аминокислоту может быть легко количественно измерена; ферментативное аминокислотирование используется для очистки тРНК.

Отделение тРНК от других видов РНК может быть достигнуто с помощью фракционированного осаждения, гель-фильтрации и других хроматографических методов. Относительно низкомолеку-

лярный характер тРНК (мол. вес $\sim 3 \cdot 10^4$) позволяет осуществить эффективное фракционирование смеси тРНК (обзоры — см. 6, 8, 131, 134). Для этого используют противоточное распределение¹³⁵⁻¹³⁸ и различные хроматографические методы¹³⁹⁻¹⁴⁵. Разработаны также методы, основанные на различии в свойствах концевых групп тРНК и аминоксил-тРНК; применяют окисление концевого нуклеозидного остатка в тРНК действием NaIO_4 ¹⁴⁶⁻¹⁴⁹ или наращивание полипептидной цепи на остаток аминокислоты, входящий в состав аминоксил-тРНК^{150, 151}. С помощью сочетания различных методов очистки некоторые виды тРНК удалось получить в индивидуальном состоянии*.

РНК клеточного ядра (обзоры — см. 153-156, 499). Значительное количество РНК содержится в клеточном ядре, где она локализована главным образом в ядрышке. Для выделения РНК из клеточного ядра требуются особые методы, так как при обычных методах экстракции эта фракция РНК не переходит в раствор. Наиболее распространенным методом получения РНК из клеточных ядер является экстракция горячим фенолом. При этом, изменяя температуру экстракции, удается получить разные фракции ядерной РНК. Наблюдаемая картина довольно сложна, однако можно с уверенностью констатировать, что помимо рибосомальной РНК и тРНК в клеточном ядре присутствуют по крайней мере три вида РНК, отличающиеся по молекулярному весу и нуклеотидному составу от описанных выше типов.

Первый из них — это РНК, близкая по составу к рибосомальной РНК, но имеющая значительно более высокий молекулярный вес. Показано, что этот тип РНК является предшественником рибосомальной РНК (обзор — см. 157)**. Общеизвестным является присутствие РНК с константами седиментации 45S и 32S; при исследовании ядерной РНК с помощью электрофореза в полиакриламидном геле было показано присутствие еще нескольких компонентов¹⁵⁸.

Другой тип РНК отличается от всех иных компонентов клеточной РНК характерным нуклеотидным составом, близким к составу ДНК клетки^{159, 160}. Большая часть РНК этого типа имеет константу седиментации, близкую к константе седиментации легкого компонента рибосомальной РНК. Показано, однако, присутствие и значительно более высокополимерных фракций РНК аналогичного состава (с константой седиментации 40—60S и больше)¹⁶¹⁻¹⁶³.

* Недавно предложен общий метод очистки тРНК, основанный на ацилировании аминокислот в аминоксил-тРНК производным ароматической кислоты с сильно гидрофобными свойствами и последующем хроматографическом отделении таких ациламиноацил-тРНК от других тРНК¹⁵².

** Недавно в цитоплазме клеток HeLa показано присутствие низкомолекулярной РНК — предшественника тРНК⁴⁹³.

Наконец, из хромосом была получена низкомолекулярная РНК (молекулярный вес отвечает содержанию приблизительно 40 остатков нуклеотидов), характеризующаяся совершенно необычным нуклеотидным составом¹⁶⁴⁻¹⁶⁶. О различных низкомолекулярных ядерных РНК см. также⁴⁸⁶⁻⁴⁹¹.

Информационная РНК цитоплазмы (обзоры — см.^{154, 156, 167-169}). Общепринятая схема биосинтеза белка требует присутствия в цитоплазме живой клетки особого вида РНК, нуклеотидная последовательность которой определяет аминокислотную последовательность синтезируемого белка. Справедливость этой схемы была подтверждена получением в бесклеточной системе белкового синтеза полипептидов определенной аминокислотной последовательности в присутствии синтетических полинуклеотидов (см. стр. 83) и специфических вирусных белков в присутствии РНК вирусов. Однако до сих пор из нормальной клетки не удалось получить в индивидуальном состоянии РНК, которая была бы способна вызывать синтез определенного белка при взаимодействии с рибосомами и аминоацил-тРНК.

Описаны многочисленные случаи обнаружения в клетках фракций РНК, которые отличаются высокой скоростью биосинтеза и более или менее близки по нуклеотидному составу к ДНК соответствующих клеток. Эти фракции способны вызывать включение радиоактивных аминокислот в белок в присутствии бесклеточной системы биосинтеза белка. На основании совокупности этих данных считается возможным рассматривать их как информационные РНК.

Выделение информационных РНК в значительной степени осложняется их гетерогенностью (из-за обилия типов белков, синтезируемых в клетке) и относительно высокой скоростью распада по сравнению с другими типами РНК. При выделении РНК зачастую происходит существенная деградация информационных РНК; это находит свое отражение в разноречивости данных о молекулярном весе этого типа РНК. Разные авторы приводят значения констант седиментации 6—14S, 18S и до 35—40S для информационных РНК из близких природных объектов.

Трудности выделения информационных РНК могут быть в значительной степени преодолены использованием клеток животных, специализированных на выработке одного белка. Так, из ретикулоцитов кроликов была выделена фракция РНК с константой седиментации 9S, которая по своему молекулярному весу соответствует информационной РНК для синтеза глобина (обзор — см.¹⁷⁰), однако прямого экспериментального подтверждения ее биологической роли получить не удалось.

Прочие виды РНК. Присутствие РНК обнаружено во всех исследованных субклеточных частицах.

Внутриклеточные мембраны содержат РНК, отличающуюся по своему составу и константе седиментации от рибосомальной РНК¹⁷¹⁻¹⁷⁴.

Как уже отмечалось выше, митохондрии и хлоропласты содержат собственную ДНК и в значительной степени независимы от клеточного ядра при переносе генетической информации. Внутри этих субклеточных частиц происходит синтез белка; естественно предполагать, что в них присутствуют рибосомальная, транспортная и информационная РНК. Это предположение подтвердилось, причем было показано, что рибосомальная РНК из митохондрий *Neurospora crassa*¹⁷⁵⁻¹⁷⁷, а также тРНК из того же источника^{178, 179} и тРНК из печени крыс¹⁸⁰ заметно отличаются от соответствующих цитоплазматических РНК. Аналогичная ситуация имеет место для рибосомальной РНК из хлоропластов *Euglena gracilis*¹⁸¹, которая по константе седиментации неотличима от бактериальных рибосомальных РНК, но заметно отличается от рибосомальной РНК, встречающейся в цитоплазме этих водорослей.

Недавно появилось сообщение об обнаружении РНК в клеточной стенке высших растений¹⁸².

IV. СТРУКТУРА ПОЛИНУКЛЕОТИДНОЙ ЦЕПИ *

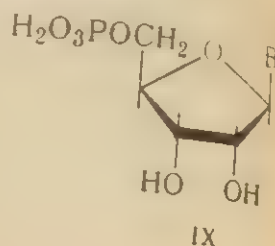
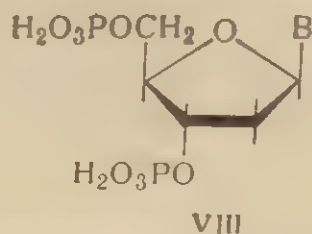
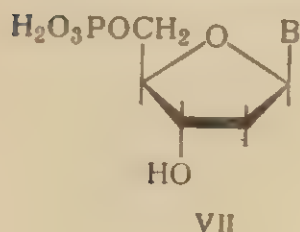
Как видно из материала двух предыдущих разделов, выделение индивидуальных нуклеиновых кислот в интактном состоянии является довольно сложной проблемой, которая и по сей день разрешена удовлетворительно только для низкомолекулярных РНК (таких, как тРНК, 5S РНК, и, возможно, других компонентов рибосомальной РНК), а также РНК и ДНК из вирусов. Естественно, что речь о полном определении химической структуры может идти только для этих соединений.

Однако правильное понимание основного принципа построения нуклеиновых кислот и способа соединения мономерных единиц между собой (см. формулу V) было достигнуто уже в начале пятидесятых годов, когда исследователи имели в своем распоряжении весьма деградированные препараты нуклеиновых кислот.

Присутствие фосфодиэфирной связи в нуклеиновых кислотах как основного типа межмономерной связи было установлено на основании результатов потенциометрического титрования¹⁸⁴. Структура V ($R=H$) для ДНК¹⁸⁵ — единственный возможный тип структуры, согласующийся с выделением дезоксинуклеозид-5'-фосфатов VII при ферментативном гидролизе ДНК (под действием фосфодиэстеразы кишечника¹⁸⁶) и 3',5'-дифосфатов пиримидиновых

* Обзор — см. 183.

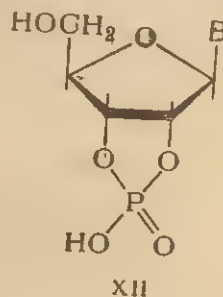
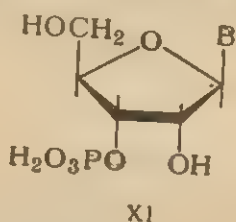
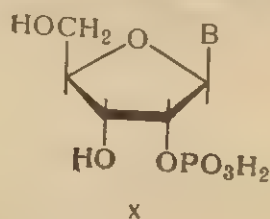
дезоксинуклеозидов VIII при кислотном гидролизе ДНК¹⁸⁷.



B—остаток основания

В случае РНК участие 5'-гидроксильной группы остатка рибозы в образовании фосфодиэфирной связи доказано образованием рибонуклеозид-5'-фосфатов IX с почти количественным выходом при расщеплении РНК фосфодиэстеразой змеиного яда¹⁸⁸.

При щелочном гидролизе РНК образуется смесь нуклеозид-2'-фосфатов X и нуклеозид-3'-фосфатов XI*, что согласуется как со структурой V (R=OH) для РНК, так и с изомерной ей структурой, содержащей 2'—5'-фосфодиэфирные связи, и с любой структурой, в которой 2'—5'- и 3'—5'-фосфодиэфирные связи чередуются в произвольном порядке. Исследование механизма щелочного гидролиза РНК показало¹⁸⁵, что этот результат объясняется участием гидроксильной группы при C-2' остатка рибозы в процессе расщепления фосфодиэфирной связи и промежуточным образованием нуклеозид-2',3'-циклофосфатов XII, которые расщепляются далее с образованием смеси X и XI (более подробно — см. гл. 10).

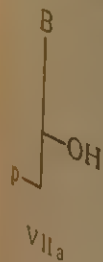


B—остаток основания

Выбор между двумя типами (2'—5'- или 3'—5'-) фосфодиэфирных связей и определение истинной природы межнуклеотидной связи в РНК были сделаны на основании изучения данных ферментативного гидролиза. Действие панкреатической рибонуклеазы на РНК приводит к пиримидиновым нуклеозид-3'-фосфатам и олигонуклеотидам, оканчивающимся остатком нуклеозид-3'-фосфата. Исследование действия этого фермента на синтетические модельные соединения показало, что алкильные эфиры пиримидино-

* Для обозначения этой смеси часто употребляют термин «нуклеозид-2'(3')-фосфаты».

В этих
прямой лин
или фосфод
иногда испо
кислот; нап
вуют соедин

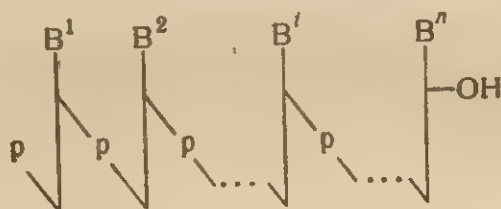


Подобные
полинуклеоти
Международ
родного би

вых нуклеозид-3'-фосфатов легко расщепляются до нуклеозид-3'-фосфатов XI, а соответствующие производные нуклеозид-2'-фосфатов не затрагиваются ферментом. Следовательно, в РНК — природном субстрате панкреатической рибонуклеазы — также существует 3'—5'-фосфодиэфирная связь¹⁸⁹. Такой вывод был подтвержден далее выделением нуклеозид-3'-фосфатов при расщеплении РНК под действием фосфодиэстеразы селезенки, причем при этой реакции промежуточного образования циклического фосфата XII не происходит и миграция фосфорильной группы исключена^{190, 191}.

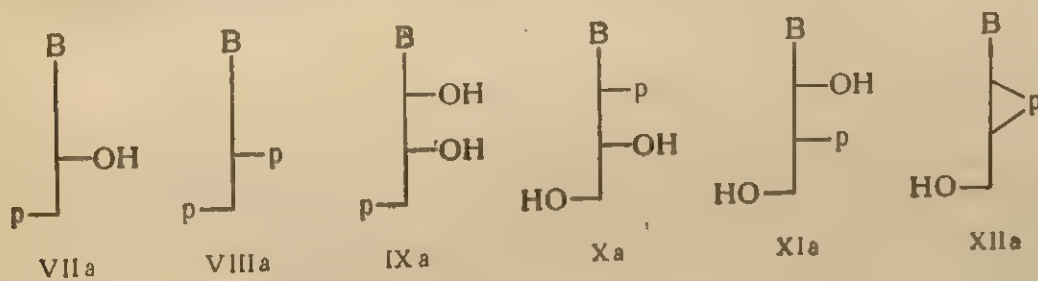
Правильность структуры V для ДНК и РНК, предложенной впервые Тоддом и Брауном¹⁸⁵, подтверждается и более новыми данными, в частности идентичностью синтетических олигонуклеотидов с 3'—5'-фосфодиэфирными связями и продуктов расщепления нуклеиновых кислот.

Поскольку мономерные единицы в полинуклеотидной цепи соединены однотипно, часто для обозначения структуры полинуклеотидной цепи применяются сокращенные формулы, а именно:



$B^1 \dots B' \dots B''$ — остатки оснований

В этих формулах остаток сахара изображается вертикальной прямой линией, а символ «р», как обычно, обозначает фосфомоноили фосфодиэфирные группировки. Такие сокращенные формулы иногда используют и для продуктов расщепления нуклеиновых кислот; например, сокращенные формулы VIIa—XIIa соответствуют соединениям со структурой VII—XII.



B — остаток основания

Подобные же принципы положены в основу сокращений для полинуклеотидов¹⁹², рекомендованных комиссией по номенклатуре Международного союза чистой и прикладной химии и Международного биохимического союза.

Доказательство основного принципа построения нуклеиновых кислот было получено при использовании сильно деградированных препаратов РНК и ДНК, и, строго говоря, нельзя утверждать, что нативные нуклеиновые кислоты состоят из единой полинуклеотидной цепи, а не из более или менее длинных полинуклеотидных участков, соединенных связями каких-либо иных типов.

Последнее предположение кажется, однако, весьма маловероятным на основании биогенетических соображений. В настоящее время удалось очистить ферменты, катализирующие образование из нуклеозид-5'-трифосфатов как рибо-, так и дезоксирибонуклеотидных цепей, в которых остатки нуклеотидов соединены 3'—5'-фосфодиэфирными связями. С помощью таких ферментов удалось получить *in vitro* биологически активные РНК фага Q_{β} ¹⁹³ и ДНК бактериофага ФХ174¹⁹⁴. Этот результат показывает, что даже полинуклеотиды с молекулярным весом в несколько миллионов не содержат в своей структуре каких-либо иных типов связей, кроме фосфодиэфирных. Из авторадиграфических данных о воспроизведении ДНК *Escherichia coli* вытекает, что вся эта огромная молекула построена по единому плану и не содержит аномальных связей⁴⁴.

Сложнее обстоит дело с нативными ДНК из клеток высших растений и животных. Были высказаны предположения, что нативная молекула ДНК в этом случае построена из субъединиц — полинуклеотидных цепей, соединенных между собой участками полипептидов или аминокислотами. В качестве возможного типа связи указывалась сложноэфирная связь между карбоксилем аминокислоты и 3'-гидроксильной группой остатка нуклеозида и, с другой стороны, фосфоэфирная связь между остатком нуклеозид-5'-фосфата и гидроксильной группой остатка оксиаминокислоты¹⁹⁵ или фосфоамидная связь с аминогруппой остатка аминокислоты¹⁹⁶. Однако прямые экспериментальные доказательства, подтверждающие подобные предположения, отсутствуют.

V. КОНЦЕВЫЕ ГРУППЫ ПОЛИНУКЛЕОТИДНОЙ ЦЕПИ

Концевые остатки нуклеозидов в полинуклеотидной цепи* могут иметь свободные или фосфорилированные 3'- или 5'-гидр-

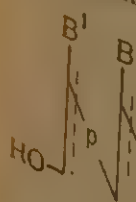
* Концевой остаток нуклеозида (или нуклеотида), связанный с полимерной цепью только через гидроксильную группу при С-5', принято называть 3'-концевым остатком полинуклеотидной цепи. Аналогично 5'-концевым остатком называется остаток нуклеозида (или нуклеотида), связанный с цепью полимера только через гидроксильную группу при С-3'. При обычном способе написания сокращенных формул полинуклеотидов (для одноцепочечных полимеров) 3'-концевой остаток находится на формуле справа, а 5'-концевой — слева.

Опр
тифика
которы
и олиго
ций ха
полнук
клеозид

При
Р—О (С
ментати
lus acido
действи
нуклеози
боден, и
рилирова
дифосфа

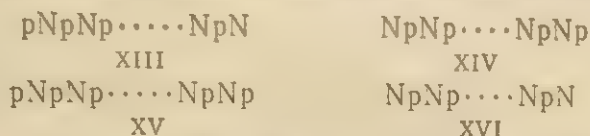


При р
(с помощ
менты об
нуклеотид
оксильной



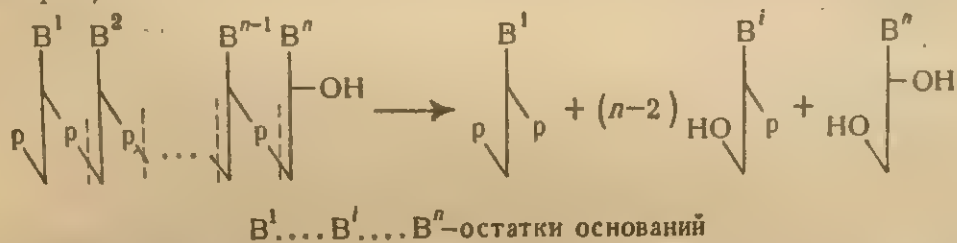
Казало
цеплений
или XIV

окисильные группы; в соответствии с этим возможны четыре типа структуры нуклеиновых кислот, изображенные на формулах XIII—XVI:

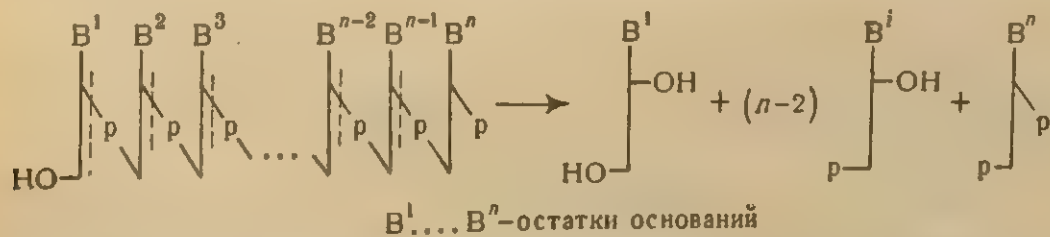


Определение природы концевых групп полинуклеотида и идентификация концевых остатков нуклеозидов — одна из первых задач, которые встают при установлении структуры нуклеиновых кислот и олигонуклеотидов. Эта задача может быть решена идентификацией характерных фрагментов в продуктах полного расщепления полинуклеотида или специфической меткой концевых остатков нуклеозидов.

При расщеплении полинуклеотидной цепи с разрывом связей Р—О (О при С-5') (такое расщепление может быть выполнено ферментативным гидролизом с помощью фосфодиэстеразы *Lactobacillus acidophilus* или селезенки телят, а в случае РНК — также при действии щелочи) образуются следующие характерные фрагменты: нуклеозид, если 3'-концевой остаток полинуклеотидной цепи свободен, и нуклеозид-3',5'-дифосфат, если 5'-концевой остаток фосфорилирован (в случае щелочного гидролиза — нуклеозид-2'(3'),5'-дифосфат).



При расщеплении же с разрывом связей Р—О (О при С-3') (с помощью фосфодиэстеразы змеиного яда) аналогичные фрагменты образуются из 3'-концевого фосфорилированного остатка нуклеотида и 5'-концевого остатка нуклеозида со свободной гидроксильной группой:



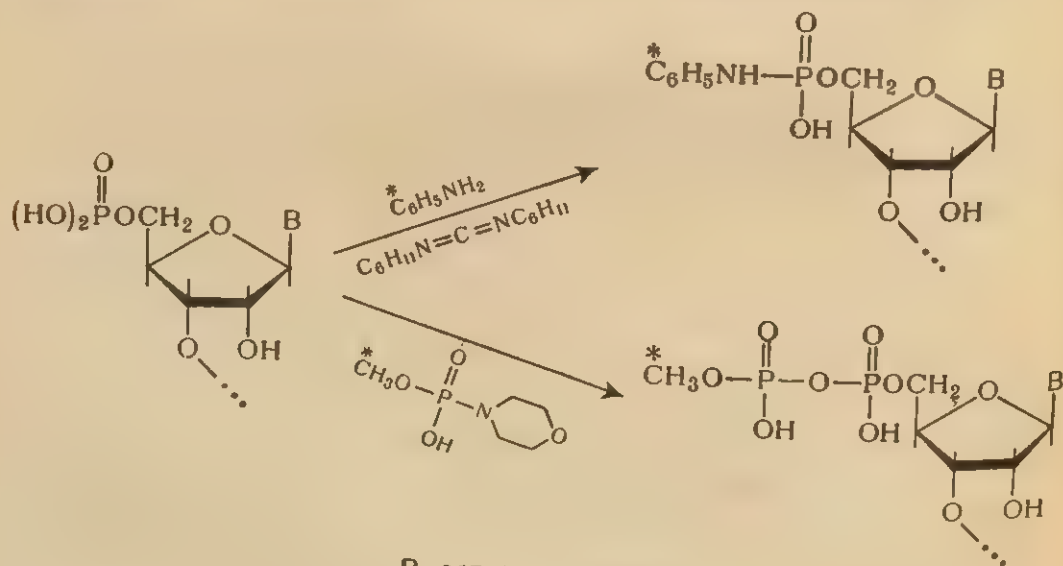
Казалось бы, что с помощью уже одного из рассмотренных расщеплений можно надежно идентифицировать структуру типа XIII или XIV и определить оба концевых остатка нуклеозида

полимерной цепи; в случае же полимеров типа XV или XVI эта задача может быть решена сочетанием двух типов расщепления.

Практически, однако, дело обстоит несколько сложнее. Расщепление полинуклеотидов с концевой фосфатной группой гладко протекает лишь при использовании химических методов деградации, при расщеплении же под действием ферментов существенным условием быстрого протекания реакции является отсутствие фосфатной группы на 3'-конце полинуклеотидной цепи в случае фосфодиэстеразы змеиного яда и на 5'-конце — в случае фосфодиэстеразы селезенки (см. стр. 67). По этой причине перед ферментативным расщеплением необходимо удаление концевых фосфатных групп действием фосфомоноэстеразы, что приводит к исчезновению специфического фрагмента, образующегося из фосфорилированного конца цепи.

Значительные методические трудности создаются при определении специфических продуктов гидролиза, образующихся из концевых групп полинуклеотидной цепи, в присутствии большого избытка продуктов, возникающих из центральных звеньев цепи. Это особенно существенно для нуклеиновых кислот с высоким значением молекулярного веса. Существенное повышение чувствительности определения концевых групп достигается введением радиоактивной метки. Для этой цели могут быть использованы химические или ферментативные методы.

Концевая фосфатная группа полинуклеотидной цепи может быть превращена в фосфоанилид взаимодействием с ^{14}C -анилином и дициклогексилкарбодимидом¹⁹⁷; более общий метод состоит в превращении концевого остатка нуклеотида в двузамещенный пиррофосфат¹⁹⁸ при реакции с ^{14}C -метилфосфоморфолидом.

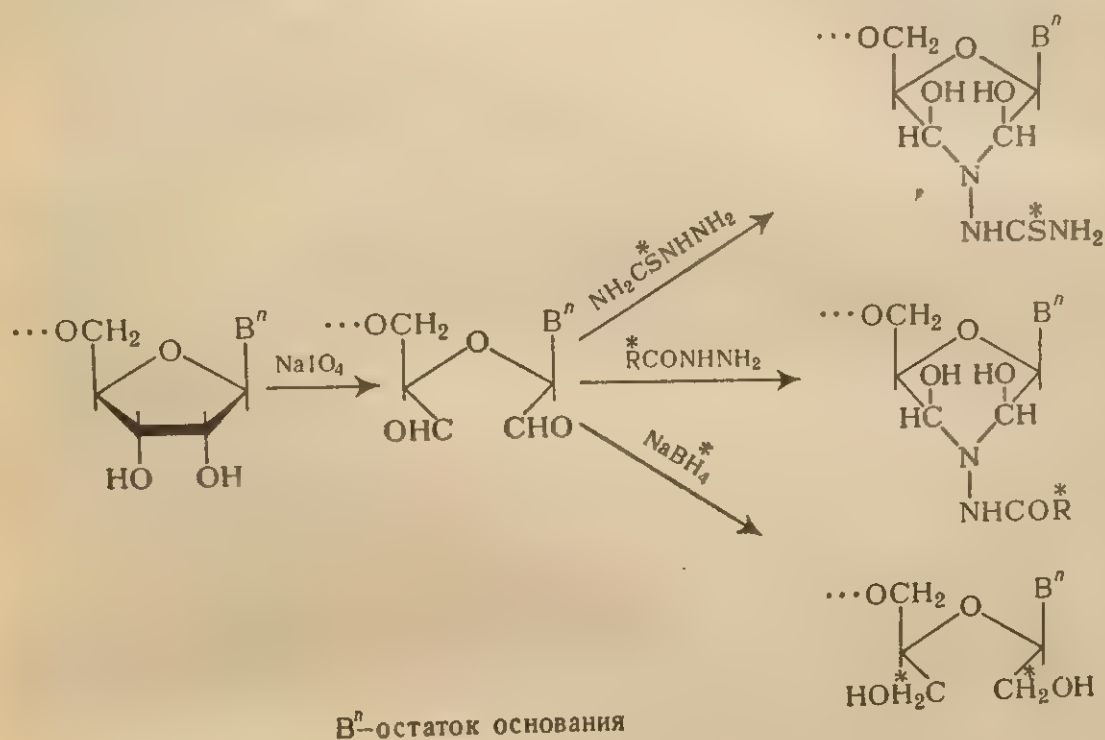


В-остаток основания

Свободны
оксирибозы
меченым ук
чивы в усло
Наконец,
гидроксили
ферментати
аденозин-5'
ментом поли
фагами T2 и
ком нуклеоз
удалена

Такие производные могут быть получены из 5'-концевого остатка нуклеотида в РНК и из 3'- и 5'-концевых остатков нуклеотида в ДНК (см. гл. 10); после расщепления полимера действием щелочи или ферментов соответствующие производные могут быть легко идентифицированы.

Для введения радиоактивной метки по 3'-концевому остатку нуклеозида в РНК используют способность вицинальной диольной группировки окисляться периодатом и взаимодействие образующегося диальдегида с такими реагентами, как ^{35}S -тиосемикарбазид¹⁹⁹, ^{14}C -семикарбазид²⁰⁰, ^3H -гидразид изоникотиновой кислоты²⁰¹ или ^3H -боргидрид натрия²⁰².

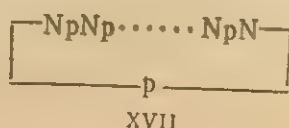


Свободные гидроксильные группы на 3'- или 5'-конце цепи дезоксирибополинуклеотида могут быть подвергнуты ацетилированию меченым уксусным ангидридом²⁰³, образующиеся ацетаты устойчивы в условиях ферментативного гидролиза.

Наконец, для специфического введения метки по 5'-концевой гидроксильной группе в ДНК можно использовать специфическую ферментативную реакцию — фосфорилирование под действием ^{32}P -аденозин-5'-трифосфата^{204–206}. Эта реакция катализируется ферментом полинуклеотидкиназой из *Escherichia coli*, инфицированной фагами Т2 или Т4. В том случае, если полимер оканчивается остатком нуклеозид-5'-фосфата, концевая фосфатная группа может быть удалена обработкой фосфоэстеразой.

С биогенетической точки зрения наиболее вероятным типом структуры полинуклеотидной цепи является структура XIII, поскольку показано, что и рибо-, и дезоксирибополинуклеотиды образуются путем ферментативной полимеризации соответствующих нуклеозид-5'-трифосфатов. Такой тип структуры действительно был обнаружен во многих случаях — в транспортных РНК, 5S РНК, в других компонентах рибосомальной РНК, в некоторых РНК вирусов. РНК ряда вирусов имеют на 5'-конце цепи остаток нуклеозид-5'-трифосфата²⁰⁷⁻²¹⁰ или нуклеозид-5'-дифосфата⁵⁰⁴.

Для многих ДНК относительно низкого молекулярного веса характерна циклическая форма, схематически представленная формулой XVII:



Подобные ковалентно-связанные циклические структуры ДНК* были доказаны для ДНК фага ΦX174 и соответствующей репликативной формы ДНК, ДНК вирусов полиомы, папилломы, простого герпеса, вируса SV40, репликативных форм ДНК ряда других вирусов, ДНК митохондрий (обзоры — см.^{16, 26, 78}). Для ДНК митохондрий было показано электронно-микроскопически, что кольцевые молекулы могут соединяться между собой как звенья в цепи, образуя димеры, тримеры и тетрамеры, аналогичные катенанам²⁴¹⁻²⁴³.



Существование молекул ДНК в циклической форме было впервые обнаружено при электронно-микроскопических исследованиях. Ковалентный характер связи в упомянутых выше соединениях доказывается неспособностью их подвергаться гидролизу под действием экзонуклеаз (см. стр. 67) даже в присутствии фосфомоноэстеразы. Появление единичных разрывов в полинуклеотидной цепи циклических ДНК под действием эндодезоксирибонуклеаз приводит к характерным изменениям конформации молекул (см. гл. 4), которые могут быть обнаружены по изменению коэффициента седиментации, вязкости и при наблюдении под электронным микроскопом, причем измеренная длина молекул, а следовательно, и молекулярный вес при этом не изменяются.

* В биологической литературе не всегда приводится четкое различие между ковалентно-связанными циклическими ДНК (XVII) и линейными молекулами ДНК, которые могут принимать циклическую конформацию за счет нековалентного взаимодействия между концами полинуклеотидной цепи (см., например, LIII на стр. 62).

VI. СТРОЕНИЕ
В СОСТАВ НУК

Нуклеиновые
носительно мате
в их состав. При
кислот на основ
Под основными
мерные единицы
лящие в состав
5'. Содержани
вило, не более 2
ых кислот. О
как производные
довольно просты
ние, гидрирован
Классификаци
страненности им
время как основ
ся в виде монон
зид-5'-трифосфат
нуклеиновых кис
ловных уже в с
в определенном
фическому метил
возникает остаток

I. Основные

Как уже отме
остатки четырех
длина IIIa и урид
из РНК дрожже
показано, что
С. по
казано.

Циклическая структура ДНК фага ФХ174 подтверждена полным ферментативным синтезом; получение биологически активной ДНК стало возможным лишь после открытия фермента, катализирующего циклизацию линейных полинуклеотидных цепей.

Возможно, что циклические структуры ДНК распространены еще более широко. Авторадиографические и генетические данные указывают, например, на циклическую структуру интактной ДНК бактерий⁴⁴. Присутствие кольцевых ДНК было обнаружено с помощью метода электронной микроскопии и в препаратах ДНК из высших животных и растений²¹⁴, однако доказательства ковалентного характера циклизующей связи в них не проведено.

VI. СТРОЕНИЕ НУКЛЕОЗИДОВ, ВХОДЯЩИХ В СОСТАВ НУКЛЕИНОВЫХ КИСЛОТ

Нуклеиновые кислоты отличаются от других биополимеров относительно малым разнообразием мономерных единиц, входящих в их состав. Принято разделять мономерные единицы нуклеиновых кислот на основные компоненты и редкие (минорные) компоненты. Под основными компонентами нуклеиновых кислот понимают мономерные единицы, имеющие универсальное распространение и входящие в состав полимеров в значительных количествах (не менее 5%). Содержание редких компонентов заметно меньше (как правило, не более 2%); они встречаются далеко не во всех нуклеиновых кислотах. Обычно редкие компоненты можно рассматривать как производные основных компонентов, образующиеся из них при довольно простых химических реакциях (таких, как алкилирование, гидрирование и т. д.).

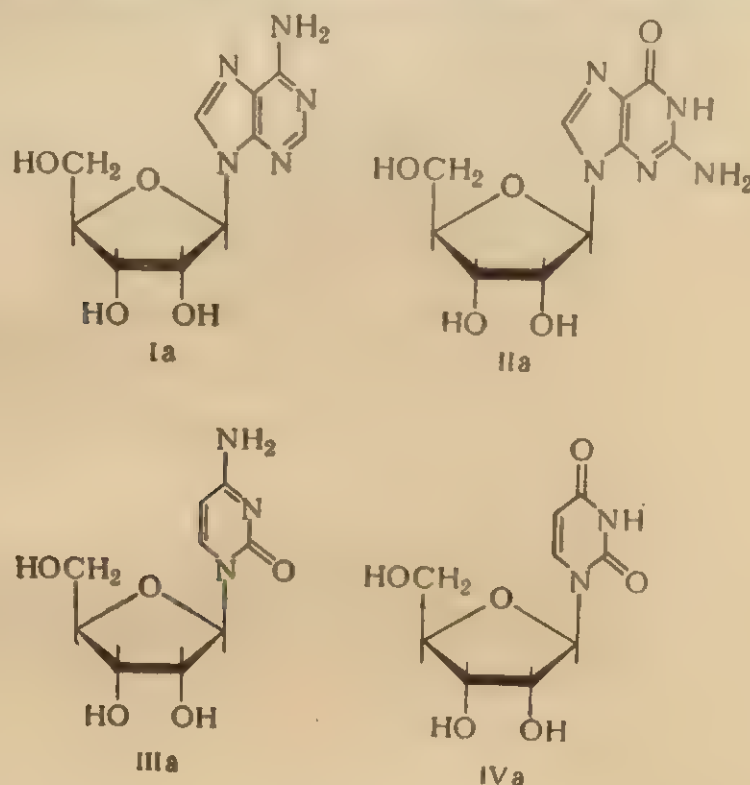
Классификация компонентов нуклеиновых кислот по их распространенности имеет под собой и биогенетическую основу. В то время как основные компоненты нуклеиновых кислот синтезируются в виде мононуклеотидов, которые затем превращаются в нуклеозид-5'-трифосфаты и подвергаются полимеризации с образованием нуклеиновых кислот, редкие компоненты обычно образуются из основных уже в составе полимера. При этом остаток нуклеозида в определенном месте полинуклеотидной цепи подвергается специфическому метилированию, гидрированию и т. д., в результате чего возникает остаток редкого компонента.

1. Основные компоненты РНК

Как уже отмечалось выше (см. стр. 25), в состав РНК входят остатки четырех нуклеозидов: аденозина Ia, гуанозина IIa, цитидина IIIa и уридина IVa. Эти соединения были впервые выделены из РНК дрожжей еще в начале нашего века; в дальнейшем было показано, что они входят в состав всех исследованных видов РНК.

С помощью классических методов органической химии было показано, что аденозин является 9-(β -D-рибофуранозил)-6-аминопу-

рином, а гуанозин — 9-(β -D-рибофуранозил)-2-аминодигидропуриноном-6; пиримидиновые же нуклеозиды — цитидин и уридин — представляют собой соответственно 1-(β -D-рибофуранозил)-4-аминодигидропиримидин-2 и 1-(β -D-рибофуранозил)-тетрагидропиримидиндион-2,4*. Структура нуклеозидов была подтверждена химическим синтезом и результатами рентгеноструктурного исследования**.



2. Редкие (минорные) компоненты РНК

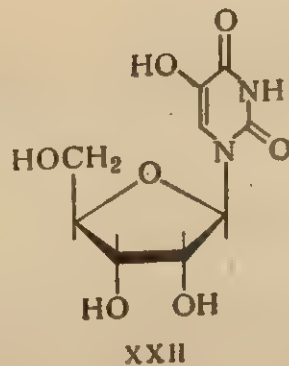
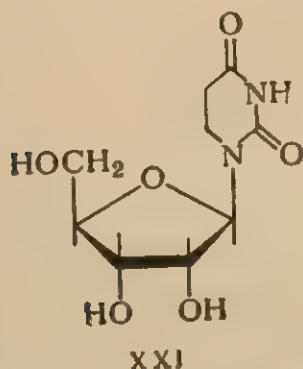
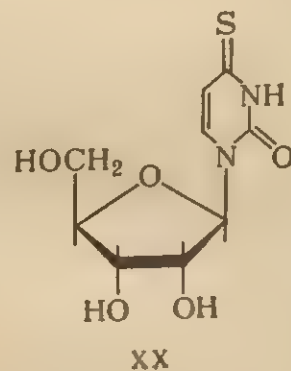
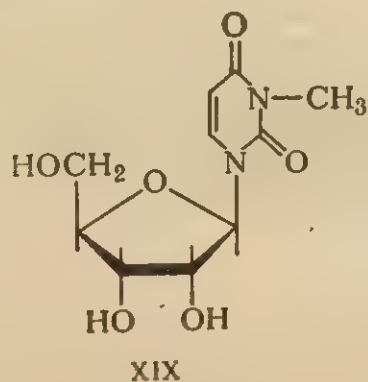
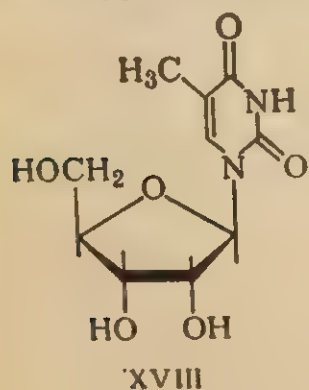
Развитие хроматографических методов анализа нуклеотидного состава РНК позволило обнаружить, что многие препараты РНК содержат довольно богатый набор различных нуклеозидов — редких компонентов, которые можно рассматривать как производные основных компонентов. В настоящее время известно свыше 20 соединений такого рода (обзор — см. ²¹⁸). Особенно богата редкими компонентами тРНК, однако они найдены также в составе тяжелого и легкого компонентов рибосомальной РНК, а также в хромосомной РНК.

* Наряду с принятой в этой книге нумерацией атомов пиримидинового кольца в нуклеозидах (по «Chemical Abstracts») в литературе встречается и другая система нумерации, по которой уридин и цитидин обозначаются как 3-(β -D-рибофуранозил)-тетрагидропиримидиндион-2,6 и 3-(β -D-рибофуранозил)-6-аминодигидропиримидин-2 соответственно.

** Данные об установлении строения обычных нуклеозидов и нуклеотидов суммированы в многочисленных монографиях, см. например ^{215–217}.

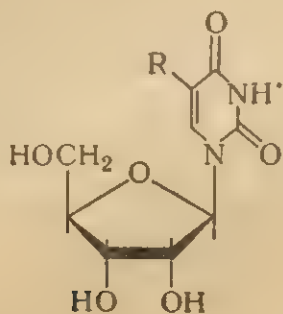
Наиболее общим методом выделения редких компонентов РНК является, по-видимому, метод, предложенный Холлом²¹⁹. Он состоит в ферментативном расщеплении РНК до нуклеозидов под действием смеси фосфодиэстеразы змеиного яда и щелочной фосфомоноэстеразы из *Escherichia coli*. Смесь нуклеозидов разделяют далее с помощью распределительной хроматографии на целите. Мягкость условий расщепления полимера сочетается здесь с высокой эффективностью разделения мономеров, что и позволило обнаружить целый ряд неизвестных ранее редких компонентов РНК.

В настоящее время известно десять редких компонентов РНК, которые можно рассматривать как аналоги или производные уридина. К их числу относятся рибонуклеозидный аналог тимидина — 5-метилуридин (риботимидин)²²⁰ XVIII, другой продукт метилирования уридина — 3-N-метилуридин XIX²²¹, сернистый аналог уридина — 4-тиоуридин XX²²², 5,6-дигидроуридин XXI²²³ и 5-оксиуридин XXII²²⁴.

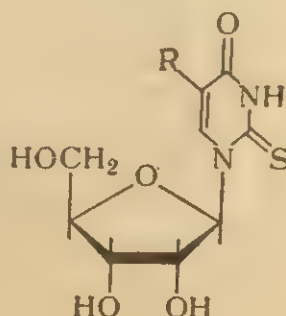


5-Метилуридин и 5-оксиуридин были впервые обнаружены при анализе суммарных препаратов РНК из печени крыс и из дрожжей, 3-N-метилуридин и 5,6-дигидроуридин выделены из тРНК дрожжей. Очень большое количество 5,6-дигидроуридина (до 25%) входит в состав хромосомной РНК из проростков гороха^{164, 166}. В хромосомной РНК из асцитной опухоли крыс обнаружен 5-метил-5,6-дигидроуридин⁴⁹². 4-Тиоуридин входит в состав тРНК из *E. coli*. Относительно недавно появились сообщения об обнаружении метилового эфира 5-карбоксиметилуридина XXIII

($R=CH_3OCOCH_2$)²²⁵ в тРНК зародышей пшеницы, 5-оксиметилуридина XXIII ($R=HOCH_2$)²²⁶ в тРНК клеток культуры тканей *L* и о выделении метилового эфира 5-карбоксиметил-2-тиоуридина XXIV ($R=CH_3OCOCH_2$)²²⁷ из тРНК дрожжей. Из тРНК *E. coli* выделен 5-метиламинометил-2-тиоуридин XXIV ($R=CH_3NHCH_2$)^{228, 229}.

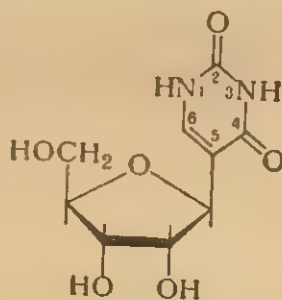


XXIII



XXIV

Помимо этих компонентов с N-гликозидной связью в состав тРНК входит в довольно значительных количествах необычный нуклеозид с C-гликозидной связью — так называемый псевдоуридин — 5-(β -D-рибофуранозил)-урацил XXV²³⁰; он найден также в составе рибосомальной РНК.

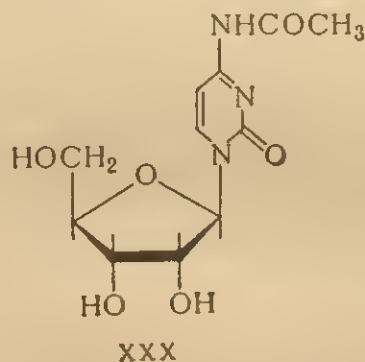
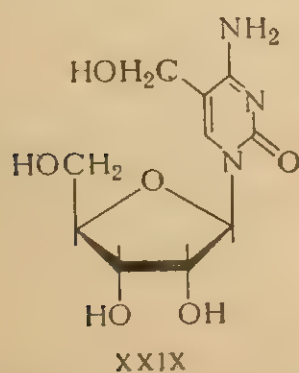
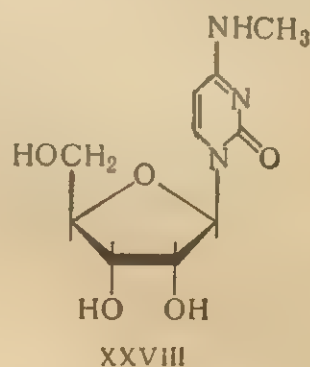
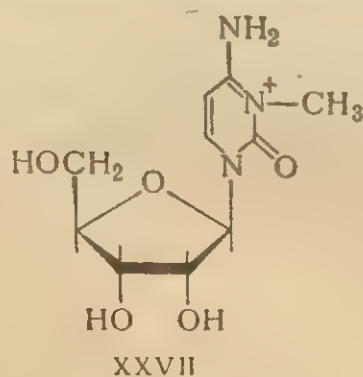
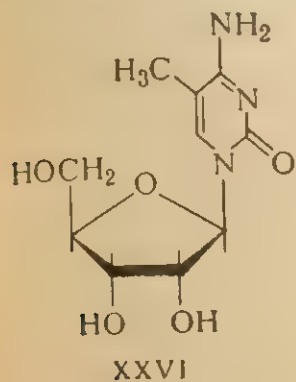


XXV

На формуле изображена структура природного изомера псевдоуридина («псевдоуридина С»); при обработке кислотами и щелочами образуется смесь изомеров, которые были идентифицированы как 5-(α -D-рибофуранозил)-, 5-(β -D-рибопиранозил)- и 5-(α -D-рибопиранозил)-урацилы (см. гл. II).

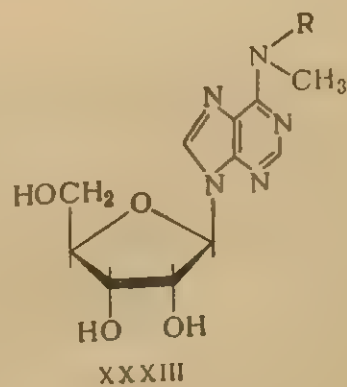
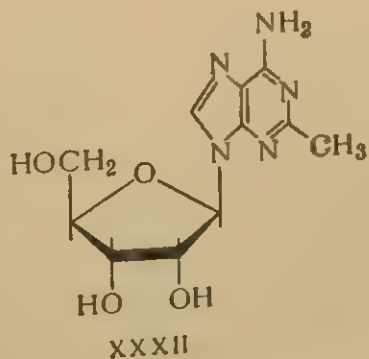
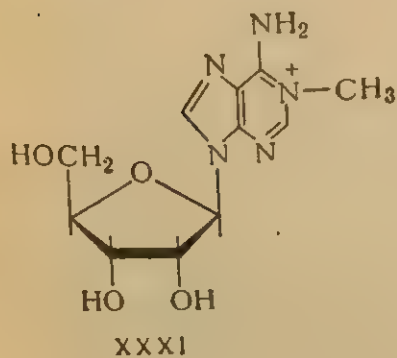
Структуры редких компонентов РНК производных цитидина отличаются значительно меньшим разнообразием, чем в случае производных уридина. Здесь прежде всего характерны различные метилированные цитидины, выделенные из тРНК дрожжей, причем метильная группа может находиться у углеродного атома, как в 5-метилцитидине XXVI²³¹, у азота гетероциклического ядра, как в 3-N-метилцитидине XXVII²²¹, или у азота экзоциклической аминогруппы, как в 4-экзо-N-метилцитидине XXVIII²³². В тРНК, выделенной из *E. coli*, обнаружен 2-тиоцитидин²²⁹. Описано выделение

из тРНК 5-оксиметилцитидина XXIX²³¹, а также 3-N-алкилцитидина, в котором алкильная группа отличается от метила²³³. При определении структуры сериновых тРНК дрожжей обнаружен в качестве редкого компонента²³⁴ 4-экзо-N-ацетилцитидин XXX.

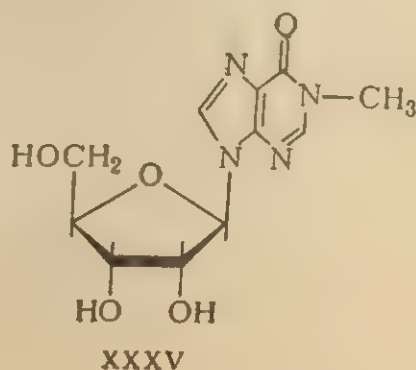
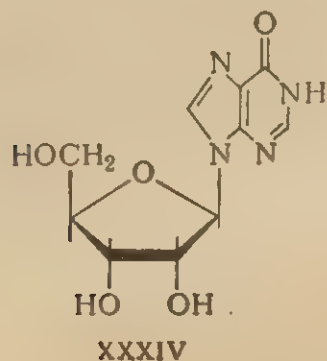


После щелочного гидролиза суммарной РНК дрожжей удается выделить небольшое количество нуклеотидов — производных 1-(α -D-рибофуранозил)-цитозина (α -цитидина)²³⁵. Неясно еще, однако, является ли этот нуклеозид природным компонентом РНК.

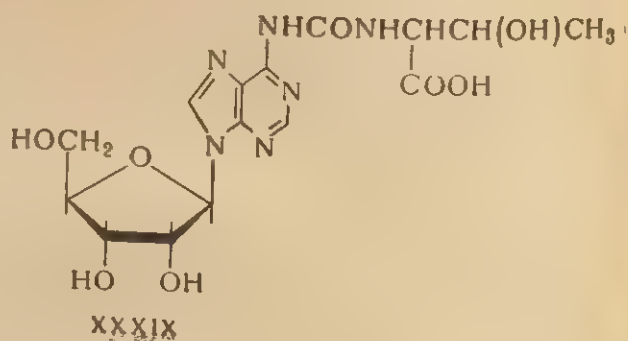
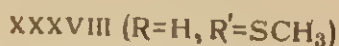
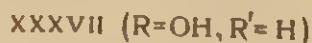
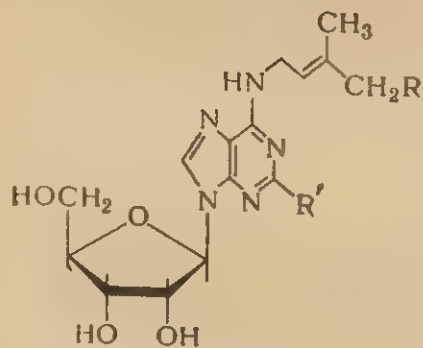
Редкие компоненты РНК — производные аденозина представлены прежде всего различными метилированными производными: 1-метиладенозином XXXI²³⁶, 2-метиладенозином XXXII²²⁰, 6-экзо-N-метил- и 6-экзо-N,N-диметиладенозинами XXXIII (R = H или CH₃)²²⁰.



В состав тРНК также входит остаток продукта дезаминирования аденозина — инозин XXXIV и его 1-N-метильное производное XXXV²³⁷.



Показано присутствие в тРНК продуктов алкилирования аденозина по 6-экзо-N-атому, содержащих изопреноидные цепи. В тРНК из дрожжей, высших растений и млекопитающих обнаружен 6-экзо-N-(γ,γ-диметилаллил)-аденозин (6-экзо-N-изопентенил-аденозин) XXXVI^{238, 239}, а в тРНК из растений — 6-экзо-N-(цис-4''-окси-3''-метил-бутен-2''-ил-1'')-аденозин XXXVII²⁴⁰. В тРНК из *E. coli* найден 2-метилтио-6-экзо-N-(γ,γ-диметилаллил)-аденозин XXXVIII²⁴¹.

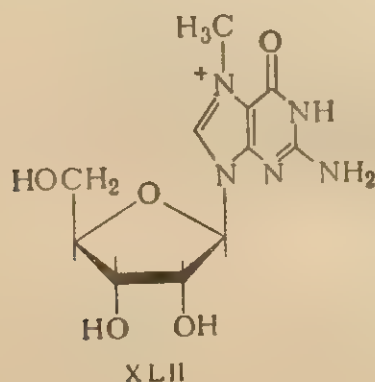
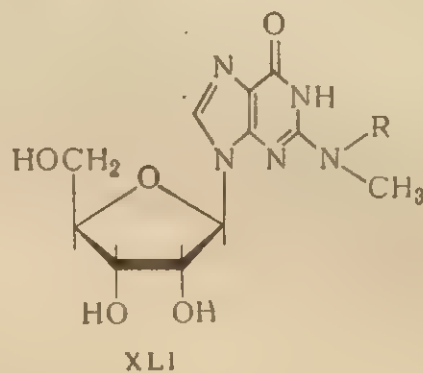
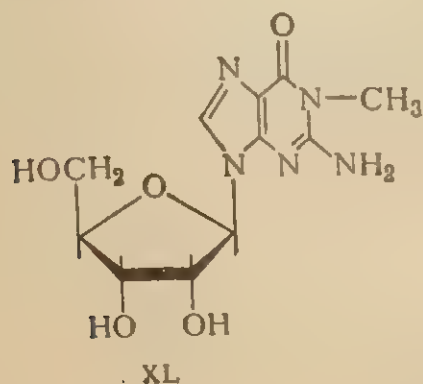


Сообщалось также^{242, 243} о выделении различных 6-экзо-N-аминоацладенозинов. Однако недавно структура этих редких компонентов была пересмотрена. По новым данным⁵⁰⁰, выделенное ранее производное аденозина является N-[9-(β-D-рибофуранозил)-пури-н-6-карбамоил]-треонином XXXIX.

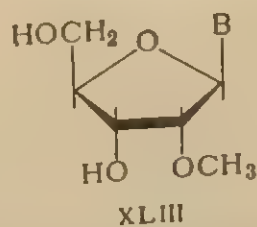
Многие
числения,
компонент
его замест
гидроксил

2'-О-мети
гидроли-

В ряду редких компонентов РНК производных гуанозина известны различные продукты его метилирования: 1-метилгуанозин XL²⁴⁴, 2-экзо-N-метилгуанозин XLI (R = H)²⁴⁴, 2-экзо-N,N-диметилгуанозин XLI (R = CH₃)²⁴⁹ и 7-метилгуанозин XLII²⁴⁵.



Многие редкие компоненты РНК являются, как видно из перечисления, продуктами биохимического метилирования основных компонентов по тем или иным атомам гетероциклического ядра и его заместителей. Такое метилирование может происходить и по гидроксильной группе остатка рибозы, на что указывает выделение



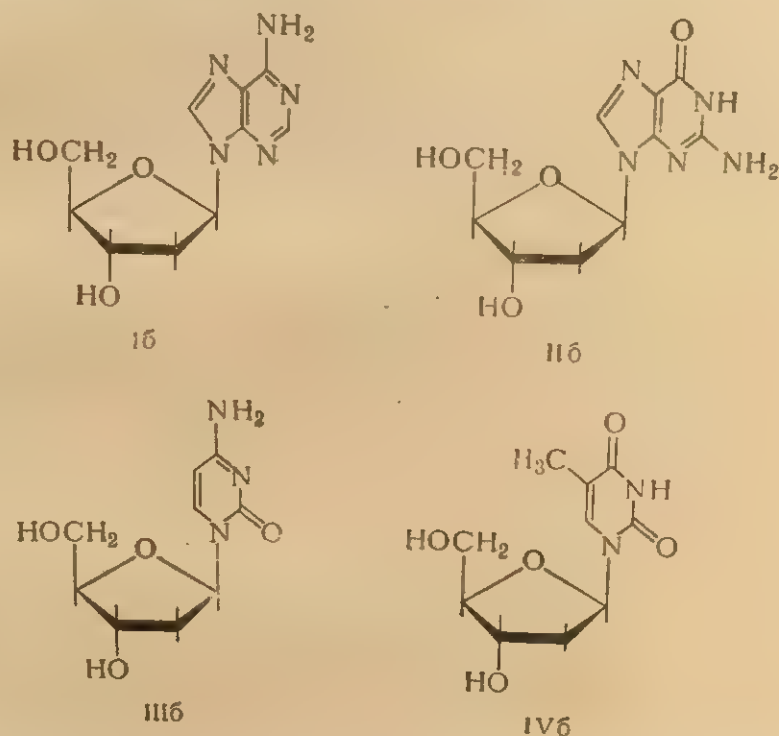
В-остаток основания

2'-О-метилрибонуклеозидов XLIII из продуктов ферментативного гидролиза различных РНК, а также из устойчивых к действию

щелочи динуклеотидов. Были выделены метилированные по остатку рибозы производные аденозина^{246, 247}, гуанозина²⁴⁷, цитидина²⁴⁷, уридина²⁴⁷, псевдоуридина²⁴⁷ и 4-экзо-N-метилцитидина²⁴⁸.

3. Основные компоненты ДНК

Как уже отмечалось выше, три из четырех основных компонентов ДНК — 2'-дезоксаденозин Iб, 2'-дезоксигуанозин IIб и 2'-дезоксцитидин IIIб — аналогичны по строению соответствующим рибонуклеотидам, а четвертый основной компонент — тимидин IVб — отличается присутствием дополнительной метильной группы у С-5 пиримидинового кольца.



Эти нуклеозиды, впервые идентифицированные в продуктах расщепления ДНК зубной железы телят, были в дальнейшем выделены из ДНК большинства других биологических объектов. Исключение составляют ДНК некоторых фагов, в состав которых входят необычные пиримидиновые компоненты.

Так, в ДНК Т-четных фагов (Т2, Т4 и Т6) 2'-дезоксцитидин полностью заменен на 5-оксиметил-2'-дезоксцитидин XLIVа²⁴⁹, причем последний может входить в состав ДНК также в виде гликозидов по оксиметильной группе гетероциклического ядра^{250, 251}. Были выделены производные α -D-глюкопиранозил- XLIVб, β -D-глюкопиранозил- XLIVв и α -(6- β -D-глюкопиранозил)-D-глюко-

ОН
НО

a

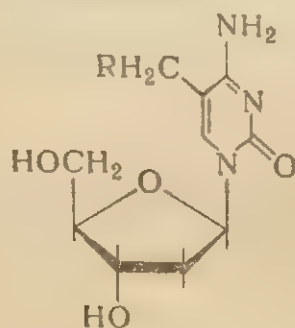
В ДНК
уридин XLV

4. Редк

В ДНК
редких ком
понентов Д
тил-2'-дезо
количества
в ДНК м

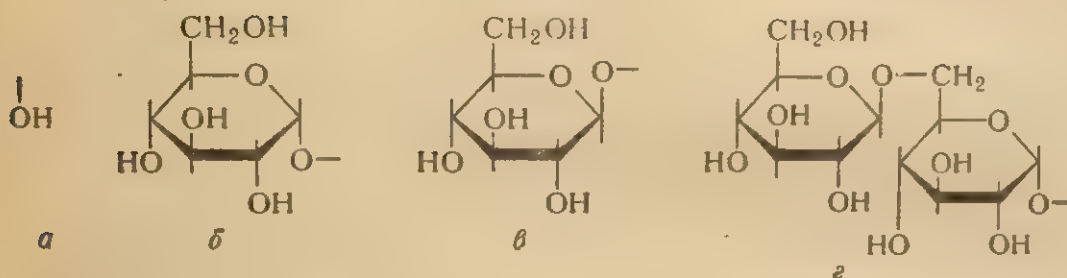
• Об

пиранозил-5-оксиметил-2'-дезокситидина XLIV_Г (α-генциобнозил-5-оксиметил-2'-дезокситидина).

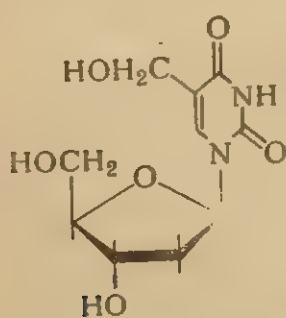


XLIV

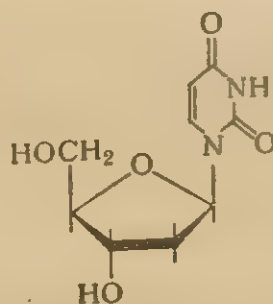
где R следующие остатки:



В ДНК фага SP8 тимидин замещен на 5-оксиметил-2'-дезоксипуридин XLV²⁵², а в ДНК фага PBS-1 — на 2'-дезоксипуридин XLVI²⁵³.



XLV



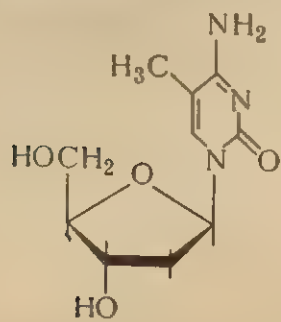
XLVI

4. Редкие компоненты ДНК*

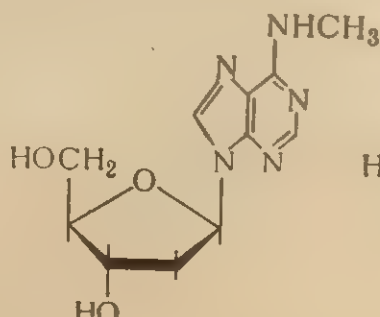
В ДНК из различных источников обнаружено присутствие ряда редких компонентов — продуктов метилирования нормальных компонентов ДНК. Наиболее распространенным из них является 5-метил-2'-дезокситидин XLVII²⁵⁵, который входит в значительных количествах в состав ДНК растений и в небольших количествах в ДНК млекопитающих, рыб и насекомых. В ДНК, выделенных из

* Обзор — см. ²⁵⁴.

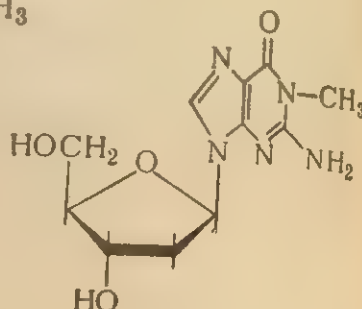
ряда бактерий и вирусов, показано²⁵⁶ присутствие остатков 6-экзо-N-метил-2'-дезоксаденозина XLVIII. Недавно выяснено, что в ДНК встречаются и метилированные производные 2'-дезоксигуанозина²⁵⁷: 1-метил- XLIX, 2-экзо-N,N-диметил- L и 7-метилдезоксигуанозина LI.



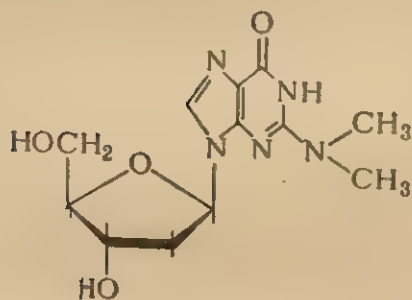
XLVII



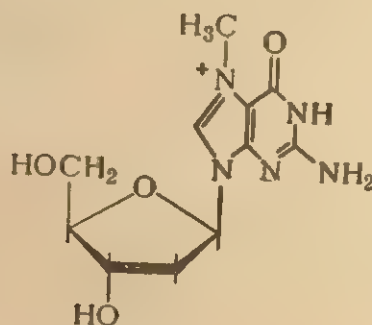
XLVIII



XLIX



L



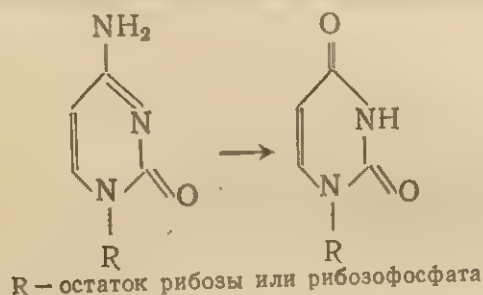
LI

VII. НУКЛЕОТИДНЫЙ СОСТАВ И ОБНАРУЖЕНИЕ ИДЕНТИЧНЫХ ПОСЛЕДОВАТЕЛЬНОСТЕЙ В ПОЛИНУКЛЕОТИДАХ

Одной из важных характеристик различных типов нуклеиновых кислот является состав входящих в них компонентов. Результаты многочисленных анализов состава нуклеиновых кислот, проведенных в конце сороковых — начале пятидесятих годов, послужили решающим аргументом, позволившим отбросить старое представление о нуклеиновых кислотах как тетрануклеотидах или полимерах, содержащих повторяющиеся тетрануклеотидные последовательности. Эти данные подготовили почву для создания современных представлений о макромолекулярной структуре ДНК.

Употреблявшиеся ранее методы изучения состава нуклеиновых кислот были основаны на анализе продуктов, образующихся при кислотном гидролизе биополимеров. При жестком кислотном гидролизе (72%-ная хлорная кислота, 100°С или 85%-ная муравьиная кислота, 175°С) за счет расщепления N-гликозидных связей образуется смесь пуриновых и пиримидиновых оснований; в более мягких условиях (1 н. соляная кислота, 100°С) из РНК образуется смесь пуриновых оснований и пиримидиновых нуклеозид-2' (3')-фос-

фатов. Эти смеси могут быть разделены с помощью хроматографии на бумаге, и их компоненты определены спектрофотометрически²⁵⁸. Широко используется также щелочной гидролиз РНК (0,5 н. КОН, 37°С), приводящий к образованию смеси нуклеозид-2'(3')-фосфатов, которые могут быть разделены с помощью ионообменной хроматографии²⁵⁹, электрофореза²⁶⁰ и хроматографии на бумаге²⁶¹. В последнее время для анализа продуктов расщепления нуклеиновых кислот широко используют тонкослойную хроматографию²⁶². Довольно жесткие условия, применяемые для расщепления полинуклеотидов, могут приводить к некоторой деградации их компонентов; наиболее существенное значение имеют ошибки, связанные с частичным дезаминированием производных цитидина в производные уридина, происходящим в сильнокислой или щелочной среде²⁶³:



Значительно большей деградации могут подвергаться некоторые редкие компоненты нуклеиновых кислот. Дигидроуридин, например, разрушается в обычных условиях щелочного гидролиза РНК (см. стр. 456).

Вследствие этого в современных исследованиях предпочитают проводить анализ нуклеотидного состава с помощью ферментативного расщепления полимеров.

Для определения нуклеотидного состава ДНК использовались и исследования физических характеристик двухцепочечных комплексов. Показано, что существует хорошая корреляция между температурой плавления²⁷ или плавучей плотностью²⁸ таких комплексов и их нуклеотидным составом.

Результаты многочисленных анализов показывают, что за редким исключением в состав нуклеиновых кислот входят все четыре основных компонента, характерных для данного типа полинуклеотида, а содержание редких компонентов может меняться в значительных пределах. Для большей части образцов ДНК довольно строго соблюдается правило Чаргаффа²⁶⁴ — эквивалентность строго соблюдается правило Чаргаффа — эквивалентность содержания аденина и тимина, с одной стороны, и гуанина и цитозина (или цитозин + 5-метилцитозин) — с другой. Из этого правила чисто арифметически вытекают другие закономерности, известные под названием правил Чаргаффа: эквивалентность содержания пуринов и пиримидинов и эквивалентность содержания оснований с кетогруппой (гуанин + тимин) и с аминогруппой (аденин + цитозин). Напротив, отношение суммы гуанина и

цитозина к сумме аденина и тимина отличается от единицы и обычно не может быть выражено отношением целых чисел. Эту величину, характеризующую нуклеотидный состав данного полимера, принято называть коэффициентом специфичности. Часто для этой цели используют и процентное содержание суммы гуанина и цитозина в данной ДНК.

Смысл правила Чаргаффа для ДНК стал понятным после выдвижения Уотсоном и Криком своей модели структуры ДНК: эквивалентно содержание тех пар оснований, которые являются комплементарными при образовании двухцепочечного комплекса. Состав одноцепочечных ДНК, например ДНК фага ФХ174, не подчиняется правилам Чаргаффа.

Многочисленные анализы нуклеотидного состава ДНК из разных источников (обзоры — см. ²⁶⁵⁻²⁶⁷) показывают, что, если у бактерий процентное содержание суммы гуанина и цитозина может меняться в значительной степени (например, для *Bacillus cereus* 37%, *Escherichia coli* 50%, *Mycobacterium phlei* 73%), у высших животных и растений эта величина составляет 40—49%. Внеядерные ДНК и ДНК-«спутник» могут иметь как большее, так и меньшее содержание суммы гуанина и цитозина, чем основной компонент ДНК клеточного ядра данного вида, но различия обычно невелики. Существенным исключением в этом отношении является ДНК-«спутник» из тканей некоторых видов крабов, которая содержит меньше 3% суммы гуанин + цитозин и является практически почти чистым сополимером дезоксиадениловой и тимидиловой кислот.

Состав двухцепочечных комплексов вирусной РНК также подчиняется правилу Чаргаффа для ДНК (с заменой тимина на урацил), РНК реовируса и вируса тканевой опухоли ран растений имеют соответственно 44 и 38% гуанина + цитозина. Для остальных видов РНК обычно не наблюдается эквивалентности между содержанием комплементарных оснований.

Анализ суммарных препаратов РНК (который, видимо, довольно близко отражает состав компонентов рибосомальных РНК) показывает, что, как правило, коэффициент специфичности больше единицы и довольно мало меняется от вида к виду даже у бактерий (обзор — см. ²⁶⁵); состав рибосомальных РНК обычно существенно отличается от состава ДНК. Напротив, состав некоторых фракций ядерной РНК и информационной РНК цитоплазмы высших животных характеризуется значениями коэффициента специфичности меньше единицы и приближается, таким образом, к суммарному составу ДНК. Нуклеотидный состав препаратов суммарной РНК (а также состав тяжелого и легкого компонентов рибосомальной РНК) хорошо подчиняется правилу Чаргаффа для РНК ²⁶⁸; отношение количества оснований с кетогруппой и оснований с аминогруппой близко к единице. Смысл этой закономерности для макромолекулярной структуры рибосомальной РНК остается

показатель
тидного состава
Оказалось, что
различия м
как это пок
культуры Не
Таблица 1.1 Ну

Вид РНК

РНК цит
28S рРНК . . .
18S рРНК . . .
7S рРНК . . .
5S рРНК . . .
тРНК . . .
иРНК . . .
Прочие виды Р

РНК кле
45S РНК . . .
32S РНК . . .
ДНК-подобная

Естественн
означает даж
сти в химиче
ностью нукле
(см. следующ
шенной пробл
ки соответств
последователь
мических иссл
Первый м
ция» ²⁶⁹, основ
ральный комп
ленно охлажд
присутствии
восстановлен
которого коли
комплекса, в
надлежащие
образуется
добавлен

пока неясным. В последнее время удалось провести анализ нуклеотидного состава разных РНК внутри клеток одного и того же типа. Оказалось, что существуют небольшие, но вполне определенные различия между компонентами рибосомальной и ядерной РНК, как это показано в табл. 1.1 для полирибонуклеотидов из клеток культуры HeLa⁴⁹⁹.

Таблица 1.1 Нуклеотидный состав различных видов РНК из клеток HeLa⁴⁹⁹

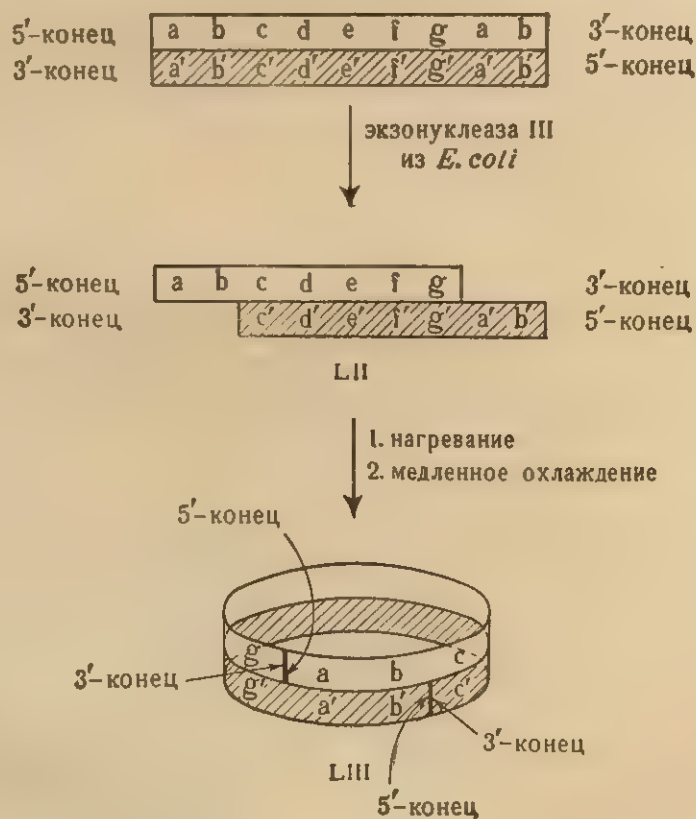
Вид РНК	Содержа- ние РНК данного вида в клетке, %	Содержание оснований РНК, %				Кoeffи- циент специфи- чности
		цитозин	аденин	гуанин	урацил	
РНК цитоплазмы:						
28S рРНК	53	32	16	36	16	2,1
18S рРНК	24	27	21	30	22	1,3
7S рРНК	1	28	21	28	23	1,3
5S рРНК	1	26	18	34	22	1,5
тРНК	12	27	22	27	24	1,2
иРНК	3	24	26	21	28	0,83
Прочие виды РНК . . .	2	—	—	—	—	—
РНК клеточного ядра:						
45S РНК	1	33	13	37	17	2,3
32S РНК	3	33	14	37	16	2,3
ДНК-подобная РНК . .	—	22	26	21	31	0,75

Естественно, что одинаковый состав двух полинуклеотидов не означает даже при одинаковом молекулярном весе их идентичности в химическом смысле: они могут отличаться последовательностью нуклеотидов. Поскольку установление последовательности (см. следующий раздел) является сложной и не до конца разрешенной проблемой, были разработаны методы приближенной оценки соответствия различных полинуклеотидов по нуклеотидной последовательности. Эти методы широко применяются в биохимических исследованиях.

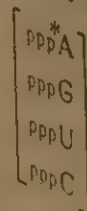
Первый метод, известный обычно под названием «гибридизация»²⁶⁹, основан на следующем принципе. Если нагреть двухспиральный комплекс ДНК выше его температуры плавления и медленно охлаждать смесь полученных одноцепочечных полимеров в присутствии другого одноцепочечного полинуклеотида, наряду с восстановлением исходного комплекса происходит образование нового количества «гибридного» двухцепочечного комплекса, т. е. которого количества «гибридного» двухцепочечного комплекса, в состав которого входят полинуклеотидные цепи, принадлежавшие ранее различным макромолекулам. Такой комплекс образуется тем в большей степени, чем больше в цепи добавленного полимера нуклеотидных последовательностей,

комплементарных соответствующим участкам одной из цепей исходной ДНК. «Гибридные комплексы» могут быть получены между двумя видами ДНК или между ДНК и РНК. Их образование может быть обнаружено, а количество их оценено с помощью равновесного ультрацентрифугирования в градиенте плотности или по способности двухцепочечных комплексов задерживаться нитроцеллюлозными фильтрами. Наиболее удобным вариантом метода является, однако, использование для этой цели колонок с ДНК, «заключенной» в агар^{270, 271}. Полинуклеотиды с мол. весом $0,5-1,0 \cdot 10^6$ задерживаются в такой колонке лишь за счет образования комплексов с ДНК. Количество задержанного на колонке полинуклеотида легко определить. С помощью такого варианта можно исследовать и способность различных полинуклеотидов конкурировать между собой за связывание с одной и той же ДНК; таким путем можно обнаружить присутствие общих нуклеотидных последовательностей в различных препаратах РНК.

По существу аналогичный принцип (принцип циклизации) используется для обнаружения так называемых «липких концов» двухцепочечных ДНК — взаимно комплементарных одноцепочечных концевых участков полинуклеотидной цепи (см. схематическую формулу LII). ДНК такой структуры присутствует в некоторых бак-



... нуклеиновых кислот
... ДНК фала ТЗ, та
... временем ферм
... работкой экзонук
... Нагревание
... ниже температу
... ние приводит к
... нековалентного
... ция». Такая стру
... тронной микроск
... тельства того, что
... фатов ТЗ и ТТ и
... сочетанием «гибр
... русные ДНК, сод
... тидов и представ
... ментов²⁷¹ (см. ст
... Другой метод
... дованию полиме
... ностью, — «анали
... возможно в том
... быть получен из
... В ферментати
... 5'-трифосфатов (с
... жит радиоактивны
... далее до мононук
... Р-О (О при С-5'
... ролиз смесью ДН
... яда, в случае РН
... ния радиоактивн
... 3'-фосфата, остат
... остатком введен
... относительно со
... АрА, ГрА, УрА и
... α-³²P-аденозин-5'
... ствующих нуклео



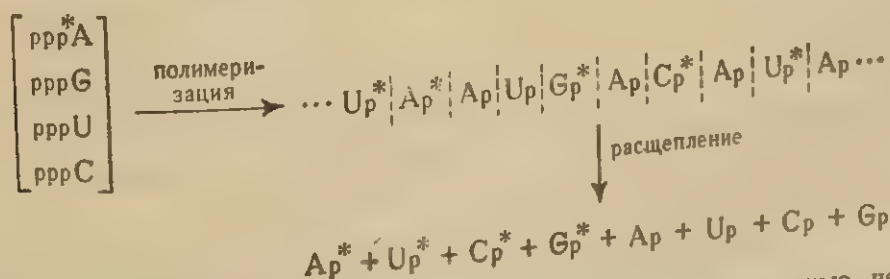
* Ана
методов

териофагах, например в фаге λ ²⁷². В других случаях, например для ДНК фага ТЗ, такие полинуклеотиды могут быть получены кратковременным ферментативным гидролизом нативной ДНК²⁷³ — обработкой экзонуклеазой III из *Escherichia coli* (см. стр. 67).

Нагревание полинуклеотида LII при температуре несколько ниже температуры плавления и последующее медленное охлаждение приводит к образованию циклической структуры LIII за счет нековалентного взаимодействия комплементарных «липких концов». Такая структура может быть обнаружена с помощью электронной микроскопии. Этот прием был использован для доказательства того, что концевые участки полинуклеотидных цепей ДНК фагов ТЗ и Т7 имеют одинаковую последовательность. Пользуясь сочетанием «гибридизации» и «циклизации», можно различить вирусные ДНК, содержащие уникальную последовательность нуклеотидов и представляющие набор циклически переставленных фрагментов²⁷⁴ (см. стр. 32).

Другой метод идентификации полимеров, применимый к исследованию полимеров с близкой нуклеотидной последовательностью, — «анализ ближайших соседей»^{275–277}. Применение его возможно в том случае, когда исследуемый полинуклеотид может быть получен из радиоактивных предшественников*.

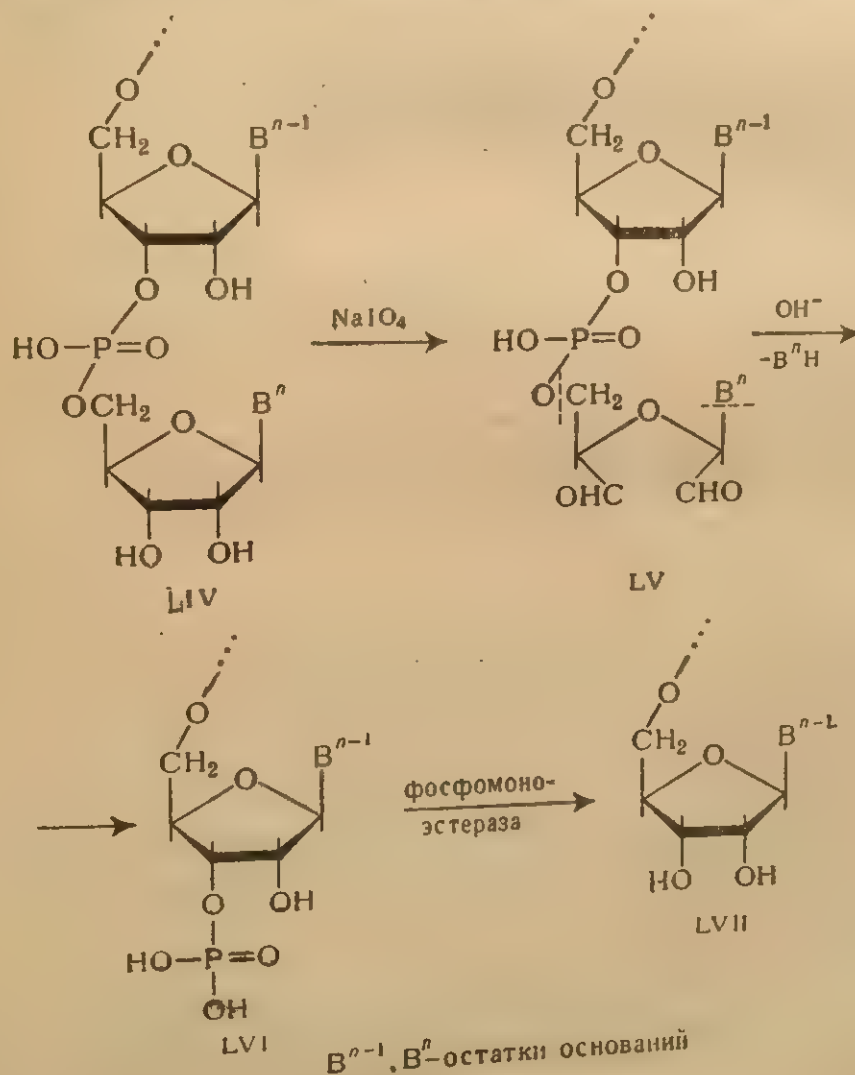
В ферментативную полимеризацию вводят смесь нуклеозид-5'-трифосфатов (см. стр. 98), один из компонентов которой содержит радиоактивный фосфор. Образующийся полимер расщепляют далее до мононуклеотидов таким образом, что разрывается связь Р—О (О при С-5'); для этой цели в случае ДНК используется гидролиз смесью ДНК-азы микрококков и фосфодиэстеразы змеиного яда, в случае РНК — гидролиз щелочью. После такого расщепления радиоактивный фосфат оказывается в составе нуклеозид-3'-фосфата, остаток которого в полимерной цепи был соседним с остатком введенного меченого предшественника. Так, например, относительное содержание динуклеотидных последовательностей АрА, ГрА, УрА и СрА можно определить, вводя в полимеризацию α -³²P-аденозин-5'-трифосфат и измеряя радиоактивность соответствующих нуклеозид-3'-фосфатов после расщепления:



* Анализ ближайших соседей можно проводить и с помощью некоторых методов химического расщепления полинуклеотидов — подробнее см. 69.

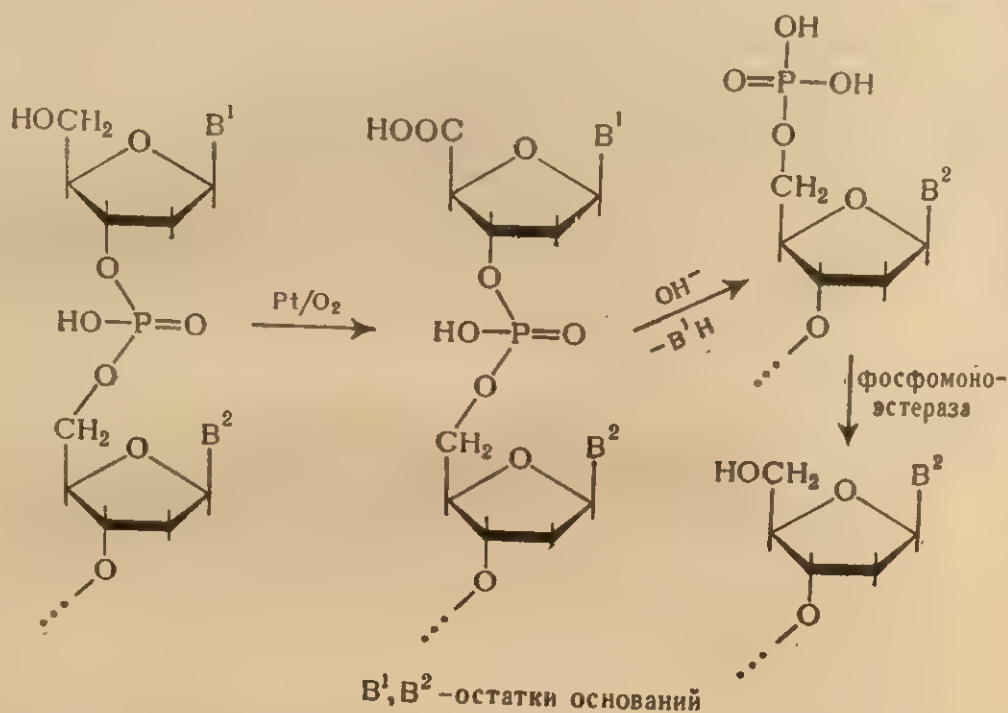
блоки путем разрыва внутренних фосфодиэфирных связей. В обоих подходах могут быть использованы как химические, так и ферментативные методы; последние имеют пока более широкое распространение.

Химический метод последовательного отщепления нуклеозидных остатков с 3'-конца полирибонуклеотидной цепи^{282, 283} основан на следующей схеме. Полинуклеотид LIV, содержащий на 3'-конце цепи единственную на весь полимер диольную группировку, обрабатывают периодатом; полученный диальдегид LV в мягких условиях избирательно расщепляется за счет β -элиминации с образованием полинуклеотида LVI, укороченного на одно звено. После ферментативного дефосфорилирования последнего образуется полинуклеотид LVII, идентичный по концевой углеводной группировке исходному LIV; этот новый укороченный нуклеотид может быть вновь подвергнут той же ступенчатой деградации. Разработано



несколько удобных вариантов проведения ступенчатого отщепления нуклеозидов по этому методу²⁸⁴⁻²⁸⁸, удалось подобрать мягкие условия проведения расщепления и разработать удобные методики для определения образующихся оснований.

Для отщепления 5'-концевого остатка ДНК предложен метод, основанный на каталитическом окислении первичной гидроксильной группы и последующей β -элиминации²⁸⁹.



Ступенчатое отщепление нуклеотидов с 3'-конца полидезоксирибонуклеотида может быть выполнено обработкой полимера смесью диметилсульфоксида и уксусного ангидрида²⁹⁰. При этом происходит окисление 3'-концевой гидроксильной группы до карбонильного соединения и β -элиминация.

Последовательное отщепление остатков нуклеотидов с концов полинуклеотидной цепи может быть осуществлено и при действии ферментов — экзонуклеаз (обзор — см. 4), о которых уже упоминалось выше*. Некоторые сведения о наиболее широко применяемых ферментах такого рода приведены в табл. 1.2.

* Последовательное отщепление нуклеотидов может быть осуществлено также с помощью полинуклеотидфосфорилазы (см. стр. 98). Продуктами катализируемой этим ферментом реакции олигорибонуклеотида с фосфорной кислотой являются нуклеозид-5'-дифосфаты.

VII. ПОСТЕ

Таблица 1.2.

Фер

Фосфодиэсте
ного ядаФосфодиэсте
зеньки быка
cillus acidoЭкзонуклеаза
richia coliЭкзонуклеаза
cherichia co

Процесс
анализируя
ты времени;
состава нед
можно прод
октануклеот
аланиновой
тельность 4
днэстеразой
нуклеотид 1

Сравнение
нуклеотида
LVIII им
LXII ме
ни Р

Таблица 1.2. Действие ряда экзонуклеаз на полинуклеотиды⁴

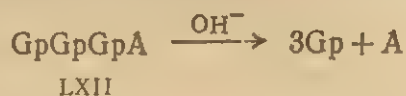
Фермент	Субстрат	Продукт реакции	Конец полинуклеотидной цепи, от которого происходит отщепление мононуклеотидов
Фосфодиэстераза змеиного яда	Одноцепочечный полинуклеотид со свободной 3'-ОН-концевой группой	pN	3'-ОН
Фосфодиэстеразы селезенки быка и <i>Lactobacillus acidophilus</i>	Одноцепочечный полинуклеотид со свободной 5'-ОН-концевой группой	Np	5'-ОН
Экзонуклеаза I из <i>Escherichia coli</i>	Одноцепочечный дезоксирибополинуклеотид со свободной 5'-ОН-концевой группой	dNp	5'-ОН
Экзонуклеаза III из <i>Escherichia coli</i>	Двухцепочечный комплекс дезоксирибополинуклеотида, цепи имеют 3'-ОН-концевые группы	pdN	3'-ОН (обе цепи)

Процесс ферментативного расщепления можно контролировать, анализируя отщепляющиеся мононуклеотиды в различные моменты времени; более удобным во многих случаях оказывается анализ состава недеградировавших фрагментов^{291, 292}. Последний подход можно продемонстрировать на примере установления структуры октануклеотида LVIII, выделенного при частичном расщеплении аланиновой тРНК дрожжей (см. схему 1 на стр. 75, последовательность 41—47). После обработки этого октануклеотида фосфодиэстеразой змеиного яда выделены гептануклеотид LIX, гексануклеотид LX, пентануклеотид LXI и тетрануклеотид LXII:

GpGpGpApGpApGpU	LVIII
GpGpGpApGpApG	LIX
GpGpGpApGpA	LX
GpGpGpApG	LXI
GpGpGpA	LXII

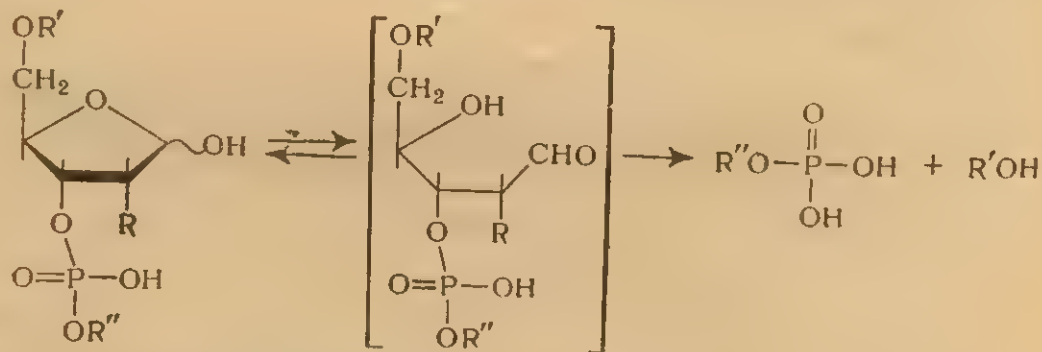
Сравнение их нуклеотидного состава и состава исходного олигонуклеотида позволяет однозначно заключить, что 3'-конец цепи LVIII имеет структуру —GpApGpU. Структура тетрануклеотида LXII может быть в данном случае однозначно написана на основании результатов определения 3'-концевой группы (см. стр. 44), так

как единственным нуклеозидом, образующимся при щелочном гидролизе, является аденозин:



Как химические, так и ферментативные методы определения последовательности нуклеотидов поочередным отщеплением концевых мономеров полинуклеотидной цепи имеют свои ограничения: при химическом методе это связано с неколичественным протеканием процесса и частичным расщеплением псевдоуридина под действием периодата, при ферментативном — с отдельными разрывами фосфодиэфирных связей в середине полинуклеотидной цепи (за счет примесей других ферментов). Вследствие этого редко удается определить таким образом последовательности более 5—6 остатков нуклеотидов; метод, однако, широко применяется для анализа олигонуклеотидов, образующихся при частичном расщеплении цепи РНК.

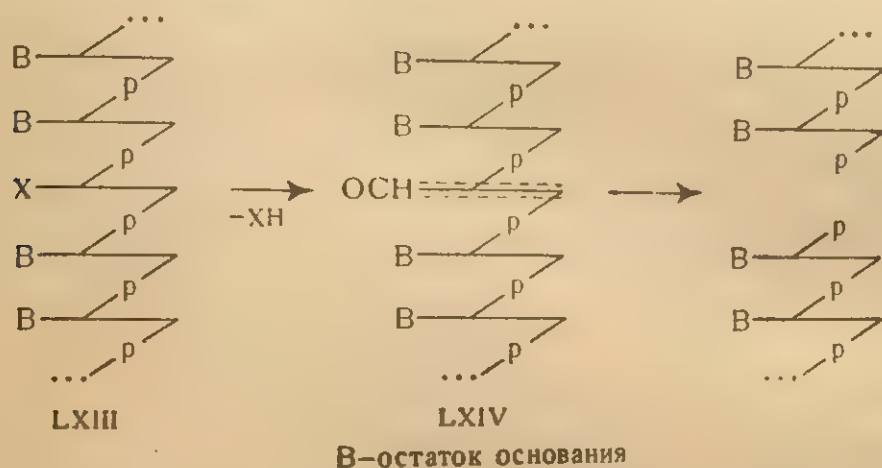
Как указывалось выше, другой принцип установления последовательности мономеров в полинуклеотидной цепи основан на расщеплении ее на более мелкие блоки; для этого необходимы методы расщепления цепи по месту определенных мономеров или их комбинаций. Химический метод такого расщепления основан на повышении лабильности фосфоэфирной связи в производных рибозы или 2-деоксирибозо-3-фосфата за счет перехода остатка сахара в альдегидную форму и последующей β -элиминации²⁹³.



$R \neq \text{H}$ или OH ; R' и R'' остатки моно- или полинуклеотидов

Для реализации этого в полинуклеотиде LXIII должны быть избирательно удалены некоторые типы оснований (обозначенные через X). Полученный таким образом полинуклеотид, содержащий остатки пентозо-3'5'-дифосфата (LXIV) со свободным гликозид-

ным центром рибозы, может в относительно мягких условиях претерпевать распад с расщеплением связи Р—О (О при С-3'), в результате которого образуются олигонуклеотиды, не содержащие нуклеозидов с основаниями Х*.



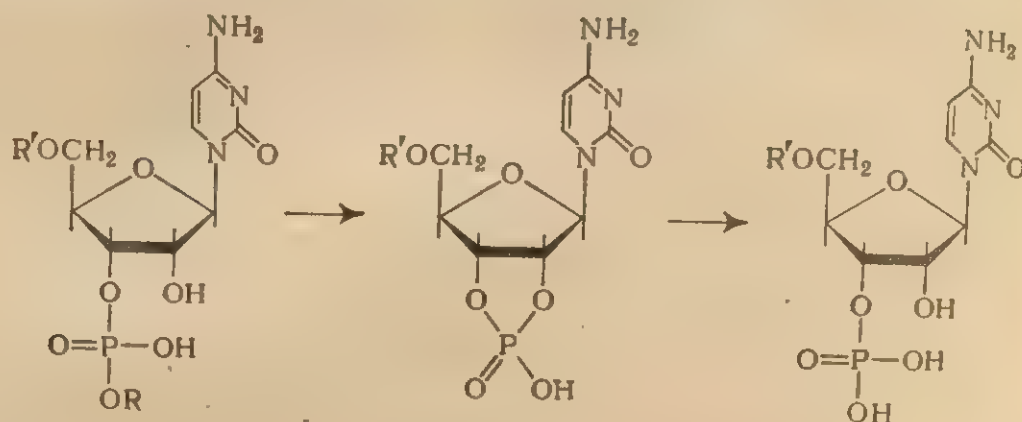
Превращение ДНК в полинуклеотиды типа LXIV довольно хорошо разработано: при кислотном гидролизе может быть получена апуриновая ДНК^{294, 295}, при обработке гидразином — апиримидиновая ДНК²⁹⁶, а при действии азотистой кислоты и гидроксиламина — ацитидиловая дезаминированная ДНК²⁹⁷. Недавно подобные превращения были осуществлены и для более лабильной РНК — при действии гидроксиламина удалось получить дезуридиловую РНК^{298, 299}.

Более подробное обсуждение получения полинуклеотидов типа LXIV и их расщепления — см. гл. 7, 10.

Для специфического ферментативного расщепления полинуклеотидной цепи используется действие эндонуклеаз. Наиболее широко этот прием применяется для РНК, так как известны два достаточно легко доступных фермента, обладающих ярко выраженной и хорошо охарактеризованной специфичностью, — пиримидил-РНК-аза (панкреатическая РНК-аза) и гуанил-РНК-азы (РНК-аза Т₁ из такадиастазы; РНК-аза из актиномицетов). Пиримидил-РНК-аза катализирует расщепление фосфодиэфиров нуклеозидов, производных 2-кетопиримидинов, не имеющих заместителя при N-3. При этом получают соответствующие нуклеозид-3'-фосфаты или их

* При жестком щелочном расщеплении полимера LXIV остаток нуклеозида, соседний с остатком расщепленного нуклеозида, превращается в нуклеозид-3',5'-дифосфат pNp. Это можно использовать для анализа «ближайших соседей» (см. стр. 63).

производные; промежуточными продуктами являются нуклеозид-2', 3'-циклофосфаты.



R и R'—остатки моно- или полинуклеотидов

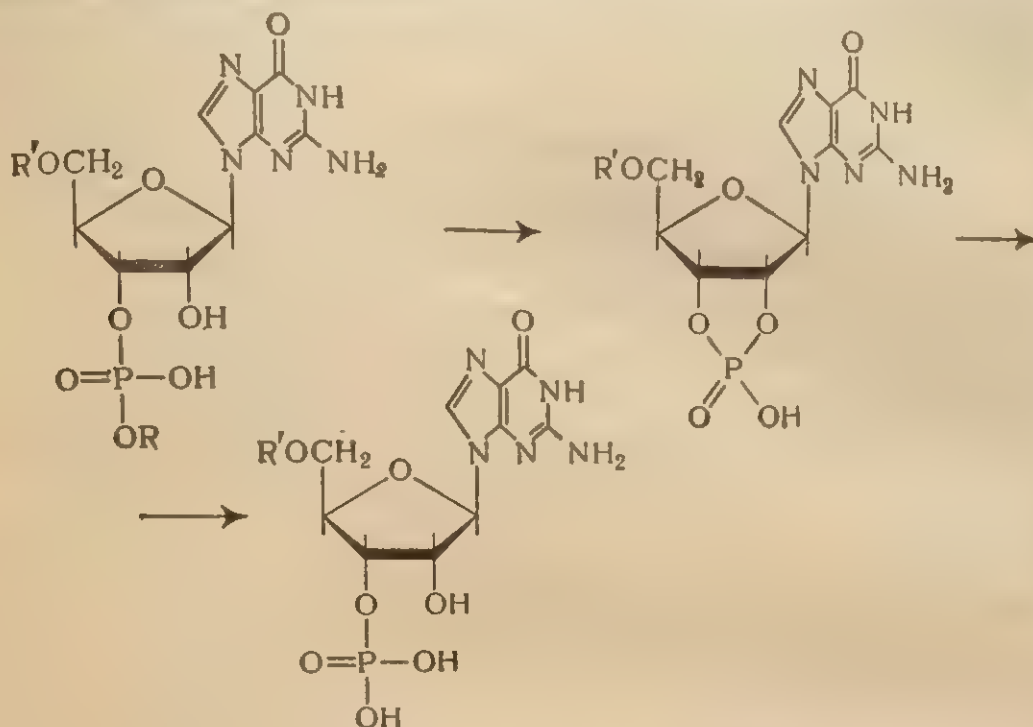
Под действием пириимидил-РНК-азы расщепляются фосфодиэфирные связи, образованные производными уридина и цитидина, а также фосфодиэфиры некоторых редких компонентов РНК, в частности псевдоуридина, 5,6-дигидроуридина и риботимидина*. Вопрос о влиянии природы пириимидинового кольца нуклеозида на скорость реакции, катализируемой пириимидил-РНК-азой, рассмотрен в обзоре Витцеля³⁰² (см. также³⁰³). При расщеплении РНК под действием пириимидил-РНК-азы образуется смесь 3'-фосфатов пириимидиннуклеозидов и олигонуклеотидов, terminated остатком пириимидин-3'-фосфата. Скорость ферментативной реакции сильно зависит от природы отщепляющегося остатка и конформации полинуклеотида (см. стр. 291); можно осуществить специфическое частичное расщепление полинуклеотидов в условиях, когда скорость процесса уменьшена.

Гуанилрибонуклеаза (РНК-аза T₁ из такадиастазы, обзор см.³⁰⁴) катализирует расщепление фосфодиэфиров нуклеозид-3'-фосфатов, производных 6-кетопурина, не замещенных по N-1 и N-7 (стр. 71).

К этой группе нуклеозидов из основных компонентов РНК относится гуанозин, из редких — инозин, 2-экзо-N-метилгуанозин и 2-экзо-N, N-диметилгуанозин. Продуктами реакции являются соответствующие нуклеозид-3'-фосфаты или олигонуклеотиды с концевым гуанозин-3'-фосфатом. Как и в случае пириимидил-РНК-азы,

* При тщательном исследовании на модельных соединениях было показано, что обычные препараты пириимидил-РНК-азы могут с очень малой скоростью расщеплять производные и пуриновых нуклеозидов³⁰⁰. Это связано, по-видимому, с присутствием в этих препаратах примесей РНК-аз другой специфичности (см.³⁰¹). При структурных исследованиях, однако, этой побочной реакцией можно пренебречь.

с помощью гуанил-РНК-аз можно осуществить специфическое расщепление полинуклеотидов.



R и R' — остатки моно- или полинуклеотидов

Близкой специфичностью обладает РНК-аза, выделенная из актиномицетов³⁰⁵; наряду с перечисленными выше типами нуклеотидов она катализирует также расщепление производных 1-N-метилгуанозин-3'-фосфата.

Промежуточными продуктами при расщеплении фосфодиэфирных связей под действием гуанил-РНК-азы, так же как и пиримидил-РНК-азы, являются циклические нуклеозид-2',3'-фосфаты, которые переходят затем в нуклеозид-3'-фосфаты. В некоторых случаях эта вторая стадия реакции протекает очень медленно и циклические фосфаты накапливаются в значительных количествах.

Помимо рассмотренных выше эндонуклеаз известен целый ряд ферментов, отличающихся меньшей специфичностью. Свойства ряда эндонуклеаз, которые могут быть применены для структурного анализа, приведены в табл. 1.3.

Возможно, наконец, и применение смешанных химико-ферментативных методов для расщепления полинуклеотидов. Так, перед ферментативным расщеплением полинуклеотид подвергают специфической химической модификации, приводящей к тому, что один из типов нуклеотидов, фосфодиэфирная связь которого способна расщепляться под действием данного фермента, превращается в производное, неспособное вступать в ферментативную реакцию. Примером может служить специфическое расщепление модифици-

рованной РНК под действием пиримидил-РНК-азы по остаткам цитидина после предварительного алкилирования остатков уридина в цепи РНК по N-3 с помощью производных карбодиимида^{306, 307} или после расщепления остатков уридина с помощью гидроксил-амин³⁰⁸. Другим примером такого рода является специфическое расщепление РНК с помощью гуанил-РНК-азы по остаткам инозина и 2-экзо-N, N-диметиламиногуанозина после предварительной реакции производных гуанозина и 2-экзо-N-метилгуанозина с глиоксалем³⁰⁹. Более подробно эти реакции будут рассмотрены ниже.

Таблица 1.3. Некоторые эндонуклеазы, расщепляющие полинуклеотиды⁴

Фермент	Субстрат	Предпочтительно разрываемые типы связей	Конечные продукты расщепления полинуклеотида
РНК-аза T ₂ из та-кадиастазы	РНК	...Ap Nr...	Нуклеозид-3'-фосфаты
РНК-аза <i>Bacillus subtilis</i>	РНК	...Gp Ap... ...Gp Gp...	Нуклеозид-3'-фосфаты и динуклеотиды
РНК-аза <i>Escherichia coli</i>	РНК	...Ap Nr... ...Up Nr...	Нуклеозид-3'-фосфаты
Кислая РНК-аза селезенки	РНК	...Ap Nr...	Нуклеозид-3'-фосфаты и короткие олигонуклеотиды
Нуклеаза микрококков	РНК, одноцепочечная ДНК	...Ap Nr...Up Nr... аналогично для дезоксирибы	Нуклеозид-3'-фосфаты и динуклеотиды
Панкреатическая ДНК-аза I	Двухцепочечные комплексы ДНК	d(...pA pT...) d(...pA pC...) d(...pG pT...) d(...pG pC...)	Нуклеозид-5'-фосфаты и динуклеотиды (65%) + тринуклеотиды (25%)
ДНК-аза II селезенки свиньи	То же	d(...Gp Gp...) d(...Ap Cp...)	Крупные олигонуклеотиды
ДНК-аза I <i>Escherichia coli</i>	»	—	Олигонуклеотиды с концевым 5'-фосфатным остатком и средней длиной цепи ~7
Стрептодорназа	»	d(...pN pG...) d(...pN pA...)	Олигонуклеотиды

Другим возможным сочетанием химических и ферментативных методов является химическая модификация фермента, приводящая к изменению его специфичности. Было показано, например, что расщепление 5S РНК частично алкилированной пиримидил-РНК-азой приводит к более крупным олигонуклеотидным фрагментам, чем действие необработанным ферментом³¹⁰.

2. Принципы блочного метода

Единственный подход, который позволил в настоящее время установить полную структуру ряда РНК, — так называемый «блочный метод» — основан на реконструкции структуры полинуклеотида на основании данных о структуре фрагментов, полученных при его частичном расщеплении. При этом проводят расщепление, по крайней мере, двумя разными методами, различающимися по своей специфичности. Обычно для РНК применяют гидролиз пиримидил- и гуанил-РНК-азами. После разделения полученных коротких олигонуклеотидных фрагментов (обзоры — см. ³¹¹⁻³¹⁷) их строение устанавливают с помощью рассмотренных ниже методов.

Для тринуклеотидов строение однозначно вытекает из определения концевых нуклеотидных остатков (см. стр. 44). Строение полинуклеотидов большей длины может быть в некоторых случаях установлено однозначно перекрестным расщеплением эндонуклеазой другой специфичности, как это показано ниже для одного из тетрануклеотидов, выделенного при расщеплении аланиновой тРНК пиримидил-РНК-азой:



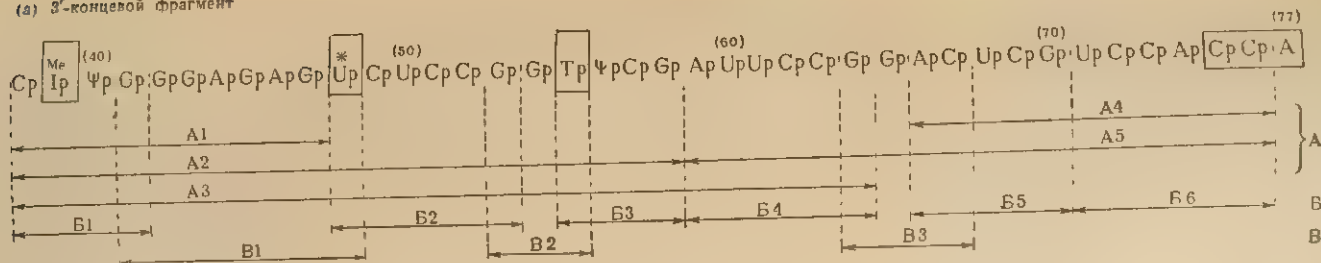
В других случаях оказывается полезным последовательное отщепление нуклеотидов с конца цепи или частичный гидролиз олигонуклеотида тем или иным методом.

Известная специфичность ферментов позволяет воссоздать некоторые частичные последовательности полинуклеотидной цепи. Далее проводят расщепление исходного полинуклеотида на более крупные блоки (чаще всего для этой цели применяют частичный гидролиз гуанил-РНК-азой) и отыскивают в них участки нуклеотидных последовательностей, позволяющие однозначно расставить в полинуклеотидной цепи фрагменты, полученные ранее, и воссоздать таким образом полную структуру полинуклеотида. Существенным моментом для успеха такой реконструкции является присутствие в нуклеотидной последовательности уникальных участков, которые могут быть использованы как отправные точки. Для этой цели можно использовать концевые группы, а также редкие компоненты или олигонуклеотиды, встречающиеся в продуктах ферментативного гидролиза полинуклеотида только один раз.

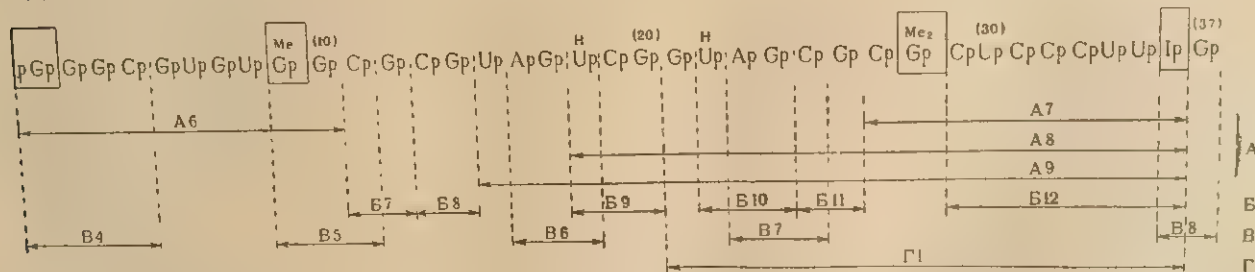
3. Исследование первичной структуры полинуклеотидов

тРНК (обзоры см. ^{521, 522}). Первым примером полного установления структуры нуклеиновой кислоты была опубликованная в 1965 г. работа Холли с сотр.³¹⁸, в которой сообщалось о расшифровке структуры аланиновой тРНК из дрожжей. Мы рассмотрим

(а) 3'-концевой фрагмент



(б) 5'-концевой фрагмент



(в) реконструкция молекулы

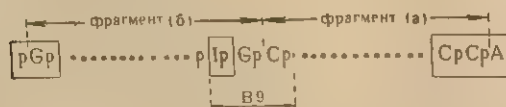


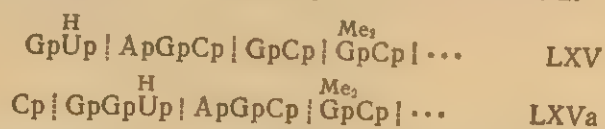
Схема 1. Установление первичной структуры аланиновой тРНК из дрожжей: A1 ... A9 — продукты частичного гидролиза гуанил-РНК-азой; B1 ... B12 — продукты полного гидролиза гуанил-РНК-азой; B1 ... B9 — продукты полного гидролиза пиридил-РНК-азой; Γ1 — продукт частичного гидролиза продуктов А гуанил-РНК-азой. Помимо стандартных сокращений (см. стр. 20) приняты сле-

дующие обозначения: G — 1-метилгуанозин; G^{Me₂} — 2-экто-N,N-диметилгуанозин;

I — 1-метилюридин; U — 5,6-дигидроуридин; U^{*} — смесь уридина и 5,6-дигидроуридина. Выделены концевые группы и редкие нуклеотиды, использованные как опорные точки при реконструкции последовательности.

РНК-азой, который оканчивается компонентом \bar{U} . С другой стороны, октануклеотид В1 входит в состав фрагмента Б2, что позволяет в итоге реконструировать последовательность нуклеотидов 38—53*. Вся данная последовательность входит в состав олигонуклеотида А2, выделенного при частичном гидролизе гуанил-РНК-азой. При полном гидролизе А2 тем же ферментом образуется кроме продуктов, которых можно ожидать на основании уже имеющихся данных, еще 1 моль гуанозин-3'-фосфата и уникальный тетрануклеотид $\text{Tr}\Psi\text{rCpGr}$ (Б3). Поскольку риботимидин встречается в молекуле только один раз и при гидролизе тРНК пиримидил-РНК-азой образуется тринуклеотид GrGrTr (В2), последовательность нуклеотидов в А2 (38—58) устанавливается однозначно. Наконец, при частичном гидролизе тРНК гуанил-РНК-азой найден олигонуклеотид А3, который при полном расщеплении гуанил-РНК-азой дает кроме продуктов, образующихся при расщеплении А2, уже знакомый нам гексануклеотид Б4; таким образом может быть реконструирована полная последовательность 3'-концевого фрагмента.

Аналогичным путем была установлена последовательность 5'-концевого фрагмента аланиновой тРНК [фрагмент (б) на схеме 1]. В качестве исходных точек можно использовать концевой остаток гуанозин-5'-фосфата и редкие компоненты — 1-метилгуанозин (9), 2-экзо-N,N-диметилгуанозин (28) и инозин (36). Последовательность 1—11 вытекает из сопоставления структуры фрагментов А6, В4 и В5, последовательность 27—36 — соответственно из структуры фрагментов А7 и Б12. Некоторые трудности возникли при реконструкции участка 18—26. При полном гидролизе фрагмента А8, содержащего этот участок, под действием гуанил-РНК-азы были обнаружены помимо продуктов гидролиза А7 два тринуклеотида, содержащие дигидроуридиловую кислоту (Б9 и Б10), динуклеотид CpGr (Б11) и гуанозин-3'-фосфат. Присутствие в продуктах расщепления тРНК пиримидил-РНК-азой тринуклеотида ArGrCp (В7) позволяет считать, что фрагменты Б10 и Б11 соединены между собой. При частичном гидролизе гуанил-РНК-азой олигонуклеотид А8 удалось расщепить на тринуклеотид Б9 и фрагмент, состоящий из 16 остатков нуклеотидов (Г1); следовательно, Б9 составляет 5'-конец последовательности А8. 5'-Конец олигонуклеотида Г1 может иметь структуру LXV или LXVa.



* Недавно показано⁵⁰⁵, что фрагмент В1 является в действительности не окта-, а нонануклеотидом и предложенная Холли с сотр. последовательность аланиновой тРНК должна быть изменена: в нее входит дополнительный остаток гуанозина между положениями 47 и 48.

Выбор между ними был сделан на основании того, что при расщеплении Г1 пиримидил-РНК-азой единственным тринуклеотидным продуктом гидролиза является ArGrCp , в то время как при структуре LXVa должен был бы присутствовать также GrGrUp . Сопоставление продуктов, образующихся при гидролизе фрагментов А8 и А9 гуанил-РНК-азой, позволяет продлить цепь еще на три нуклеотидных звена и получить таким образом последовательность 15—35.

В продуктах гидролиза 5'-фрагмента (б) аланиновой тРНК под действием пиримидил-РНК-азы обнаружен уникальный динуклеотид IpGr (В8); это однозначно показывает структуру 3'-концевого участка изучаемого фрагмента. Близость редкого компонента к концу цепи изучаемого фрагмента позволяет однозначно решить, что два динуклеотида CpGr (фрагменты В7 и В8) должны находиться на участке последовательности 11—14; поскольку структуры обоих динуклеотидов одинаковы, последовательность всего фрагмента (1—36) устанавливается однозначно.

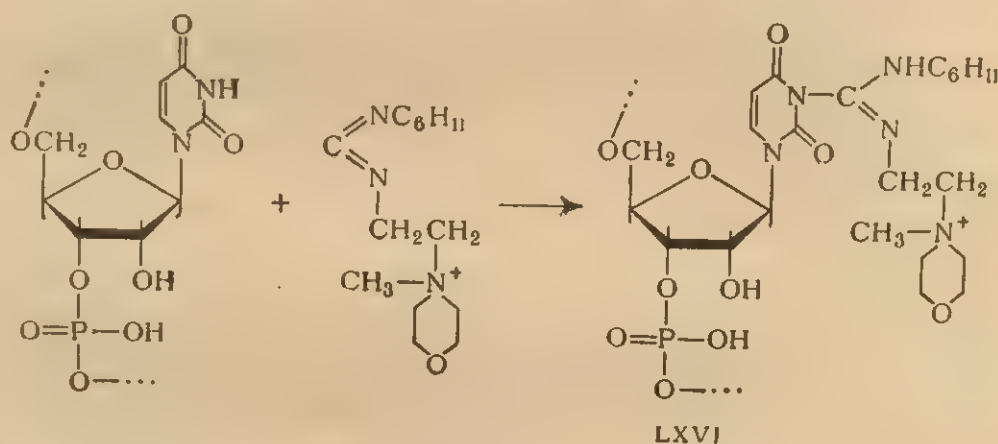
Оба исследуемых фрагмента (а) и (б) имеют, естественно, концевые группы, характерные для полной молекулы тРНК, поэтому их объединение может быть выполнено только одним путем [часть (в) схемы 1]; правильность реконструкции подтверждается выделением уникального тринуклеотида IpGrCp (В9) при расщеплении тРНК пиримидил-РНК-азой. Таким образом, последовательность нуклеотидов вдоль всей цепи молекулы тРНК установлена полностью.

Аналогичные методы были применены для выяснения структуры других транспортных РНК. В 1966—1967 гг. опубликованы данные об установлении структуры тРНК из дрожжей, специфичных для переноса серина³²⁰, тирозина³²¹, валина³²² и фенилаланина³²³; позднее появился еще ряд работ, посвященных установлению строения различных тРНК^{324-327, 506-512}. В первичной структуре различных тРНК наблюдаются определенные общие закономерности; они будут рассмотрены подробнее в гл. 4, посвященной макроструктуре нуклеиновых кислот.

5S РНК. Задача установления строения 5S РНК является более сложной, чем в случае тРНК. Во-первых, этот полинуклеотид имеет несколько большую длину цепи (120 остатков нуклеотидов) и, во-вторых, в его составе отсутствуют редкие компоненты, что уменьшает число опорных точек и делает необходимым получение перекрывающихся последовательности выделенных фрагментов на большем протяжении. Однако и в данном случае задачу можно решить на основании анализа структур продуктов частичного гидролиза на основании анализа структур продуктов частичного гидролиза полинуклеотида гуанил-РНК-азой; приходится только выделять и идентифицировать значительно большее число таких фрагментов.

Это было показано на примере установления структуры 5S РНК из клеток культуры тканей КВ³²⁸.

Более интересным является подход, развитый Браунли и сотр. в работе³²⁹, посвященной установлению структуры 5S РНК из *Escherichia coli*, — первой работе, в которой удалось полностью установить последовательность в такого рода полинуклеотидах. Этот подход основан на применении для частичного расщепления полинуклеотидов значительно большего набора методов. В дополнение к частичному расщеплению полинуклеотидов гуанил-РНК-азой, использованному Холли и сотр., здесь применены еще два ферментативных метода частичного расщепления — частичный гидролиз пиридил-РНК-азой и частичный гидролиз кислот РНК-азой селезенки, не обладающей абсолютной специфичностью (см. стр. 72), а также два химико-ферментативных метода. Первый из них состоит во взаимодействии полинуклеотида с тозилатом N-циклогексил-N'-(β-метилморфолинилэтил)-карбодиимида, который при реакции с остатком уридина дает производное LXVI, устойчивое к действию пиридил-РНК-азы; при последующей обработке этим ферментом происходит расщепление только фосфодиэфирных связей, образуемых цитидин-3'-фосфатом (см. стр. 72).



Второй метод состоит в частичном метилировании полинуклеотида диметилсульфатом и последующей обработке гуанил-РНК-азой. Фосфодиэфирные связи остатков гуанозина, подвергшихся метилированию по N-7, не расщепляются.

В качестве иллюстрации эффективности такого подхода рассмотрим определение 5'-концевой последовательности 5S РНК из 16 нуклеотидов [схема 2, часть (а)]. Отправной точкой здесь может служить концевой остаток уридин-5'-фосфата: он входит в состав динуклеотида Е1, полученного при полном гидролизе гуанил-РНК-азой, и тринуклеотида Д1, полученного с помощью хи-

мико-ферментативного расщепления по остаткам цитидина. При расщеплении полинуклеотида гуанил-РНК-азой после частичного метилирования выделен гексануклеотид Г1, структура которого однозначно вытекает из того факта, что в продуктах полного гидролиза РНК гуанил-РНК-азой присутствует тетрануклеотид СрСрUpGr (Е2) и отсутствует изомерный продукт СрUpСрGr. Из продуктов частичного гидролиза пиримидил-РНК-азой выделен фрагмент В1, который при полном гидролизе этим ферментом дает наряду с другими продуктами 2 моль тринуклеотида GrGrСр (Ж1 и Ж2); структура его реконструируется однозначно. Далее, сравнение продуктов гидролиза В1 и фрагмента В1, образующегося при действии кислой РНК-азы селезенки, позволяет добавить к 3'-концу реконструируемой последовательности остаток Ср. Сравнение В1 с фрагментом А1, полученным при частичном гидролизе гуанил-РНК-азой, дает возможность добавить к известным еще остаток Gr; наконец, фрагмент В2 содержит еще один остаток Up. Выделенный из продуктов расщепления полинуклеотида гуанил-РНК-азой после частичного метилирования (до действия фермента) гексануклеотид Г2 имеет перекрывающуюся с фрагментом В2 тетрануклеотидную последовательность; это позволяет добавить к 3'-концу цепи еще два остатка нуклеотида и завершить реконструкцию фрагмента 1.

Аналогично была проведена реконструкция фрагментов 2, 3, 4 и 5 [см. часть (б) схемы 2]; в качестве исходных точек использовались 3'-концевой остаток РНК и уникальные декануклеотиды, найденные в продуктах полного гидролиза полимера под действием гуанил-РНК-азы (последовательности 24—33 и 87—96).

Значительные трудности представляла окончательная реконструкция структуры молекулы, так как на 3'-конце фрагментов 1—4 и на 5'-конце фрагментов 2—5 имеется одинаковая последовательность GrUpArGr. Положение фрагментов 1 и 5 однозначно определяется концевыми группами; наконец, из продуктов частичного гидролиза 5S РНК гуанил-РНК-азой удалось выделить олигонуклеотиды, позволившие связать фрагменты 2, 3 и 4.

Другие компоненты рибосомальной РНК. Молекулярный вес компонентов рибосомальной РНК 23S и 16S значительно выше, чем 5S РНК, и задача полного установления полинуклеотидной последовательности в таких полимерах остается пока нерешенной.

Удалось установить структуру на 5'-концевом остатке рибосомальной РНК из ряда источников^{330, 331}; 5'-концевой остаток нуклеотида в полимере был помечен радиоактивным фосфатом с помощью полинуклеотидкиназы (см. стр. 47). Для компонента 16S рибосомальной РНК из *Escherichia coli* была, например, показана пентануклеотидная последовательность рArArArUpGr ..., для компонента 23S — тринуклеотидная рGrGrUp

та) 5'-концевой фрагмент (фрагмент 1):

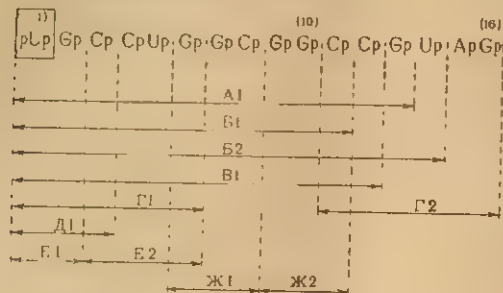
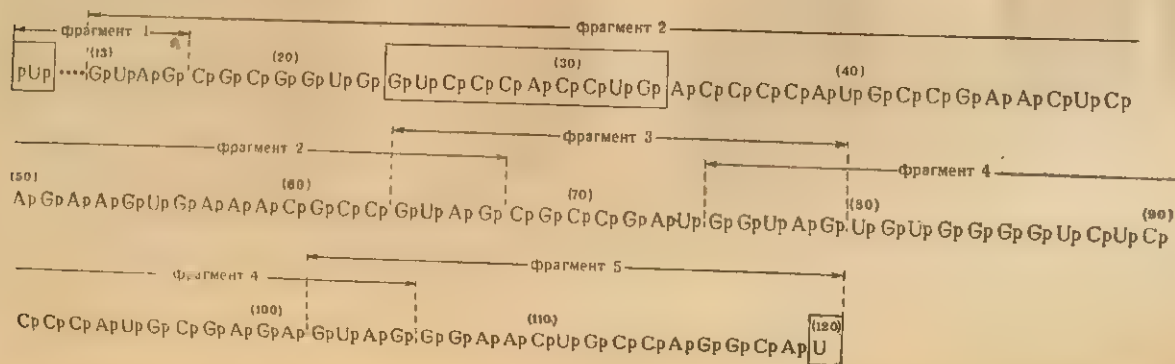


Схема 2. Установление первичной структуры 5S РНК из *Escherichia coli*: А, — продукт частичного гидролиза гуанил-РНК-азой; В1, В2—продукты частичного гидролиза пириимидил-РНК-азой; В1 — продукт частичного гидролиза кислой РНК-азой селазенки; Г1, Г2 — продукты гидролиза гуанил-РНК-азой после предварительного метилирования; Д1 — продукт гидролиза пириимидил-РНК-азой после обработки карбодиямидом; Е1, Е2 — продукты полного гидролиза гуанил-РНК-азой, Ж1, Ж2 — продукты полного гидролиза пириимидил-РНК-азой.

б) реконструкция последовательности молекулы



Осуществлен анализ продуктов, образующихся при полном расщеплении высокомолекулярных компонентов рибосомальных РНК под действием пиридил- и гуанил-РНК-азы^{332, 513}; описано также частичное расщепление упомянутых полинуклеотидов под действием этих ферментов^{333, 334}, причем получены фрагменты, сравнимые по молекулярному весу с тРНК или 5S РНК. Используя в качестве метки метилированные нуклеозиды, входящие в состав рибосомальной РНК, удалось установить последовательность нуклеотидов на участках, примыкающих к этим компонентам в составе 16S и 23S РНК из *Escherichia coli*⁵¹⁴.

РНК вирусов. В случае вирусных РНК успехи, достигнутые при изучении структуры, еще более ограничены.

С помощью химического метода последовательного отщепления мононуклеотидов удалось показать присутствие последовательности GrCpCpCpA на 3'-конце РНК вируса табачной мозаики²⁸⁷; этот результат был подтвержден и другим методом^{335, 515}. Сочетанием различных методов удалось установить идентичную ундекануклеотидную последовательность на 3'-конце РНК фагов f2^{288, 515, 516}, MS2^{336, 515}, R17⁵¹⁶, а также последовательность из 16 нуклеотидов на 3'-конце РНК фага Q_B⁵¹⁶. Интересно, что 3'-концевая тетра-нуклеотидная последовательность во всех исследованных случаях одинакова.

Оригинальный прием был применен для анализа 5'-концевой последовательности РНК фага Q_B³³⁷. Эта РНК может быть получена биосинтетическим путем с использованием меченых предшественников, что позволяет применить метод «ближайших соседей» (см. стр. 63). На основании распределения радиоактивной метки в 5'-концевом олигонуклеотиде, полученном при гидролизе полимера пиридил-РНК-азой, при использовании поочередно α -³²P-гуанозин-, α -³²P-аденозин- и α -³²P-цитидин-5'-трифосфатов удается однозначно реконструировать концевую последовательность rrrGrGrGrGrArArCpC... В другой работе⁵¹⁷ найдено, что препарат РНК фага Q_B негомогенен. Наряду с молекулами, имеющими указанную выше 5'-концевую последовательность, присутствуют также молекулы, содержащие дополнительный остаток гуанозина на 5'-конце. О 5'-концевой последовательности РНК фага MS2 см.^{518, 519}

При гидролизе РНК вируса табачной мозаики действием гуанил-РНК-азы удалось выделить три длинных олигонуклеотида уникальной последовательности³³⁸; для локализации их положения в молекуле РНК использован прием частичной депротеинизации РНК фага. Известно, что депротеинизация фаговой РНК под действием дэдецилсульфата происходит последовательно, начиная с 5'-конца цепи РНК³³⁹. Прерывая процесс депротеинизации в разные моменты времени и расщепляя освободившуюся РНК, можно определить относительное расположение различных фрагментов.

Из продуктов частичного гидролиза РНК фага R17 под действием гуанил-РНК-азы T_1 выделен ряд длинных олигонуклеотидов, для одного из которых удалось установить последовательность⁵²⁰. Он содержит 57 моонуклеотидных остатков; его нуклеотидная последовательность соответствует последовательности аминокислот 81—99 в белке оболочки фага.

ДНК. Установление полной последовательности оснований в природных ДНК представляется делом довольно отдаленного будущего. Это связано помимо чрезвычайно большого молекулярного веса ДНК с отсутствием специфических методов расщепления, которые позволяли бы получать олигонуклеотидные фрагменты достаточно большой длины и однозначно устанавливать их последовательность.

Доступные в настоящее время методы химического расщепления ДНК (см. стр. 68) позволяют получить полипиримидиновые или полипуриновые фрагменты, содержащие обычно до 6—7 остатков моонуклеотидов^{340—342}. Такие фрагменты, вероятно, могли бы оказаться полезными при установлении структуры более длинных фрагментов ДНК, однако специфические методы получения последних не разработаны. Метод химического расщепления был применен для решения некоторых частных вопросов структуры ДНК, например об относительном расположении гликозилированных и негликозилированных остатков 5-оксиметилцитидина в ДНК Т-четных фагов³⁴³.

С другой стороны, существуют методы расщепления ДНК (например, при помощи гидродинамического сдвига), приводящие к фрагментам, размеры которых для структурных исследований слишком велики; эти фрагменты можно примерно оценить по их нуклеотидной последовательности с помощью метода гибридизации (см. стр. 61). Так, подвергая ДНК контролируемому расщеплению при помощи ультразвука, разделяя полученные фрагменты центрифугированием в градиенте плотности хлористого цезия и изучая их способность к гибридизации с разными видами РНК, удалось определить приблизительную длину участков ДНК, ответственных за биосинтез некоторых компонентов рибосомальной РНК, и определить их взаимное расположение³⁴⁴.

В связи с проблемой установления нуклеотидной последовательности в полинуклеотидах очень большой длины, подобных ДНК, большие перспективы имеют, по-видимому, методы, основанные на применении электронной микроскопии. Расстояние между основаниями в полинуклеотидной цепи денатурированной ДНК составляет около 7 Å. Можно надеяться, что применение электронных микроскопов с достаточно высокой разрешающей способностью позволит непосредственно увидеть отдельные нуклеиновые основания в полинуклеотидной цепи и определить таким образом последовательность мономерных звеньев. Возможность реализации та-

IX. С

Как
ления п
сложной
В связи
туры и ре
приобрета
строения.
получены
зование м
ских и би
работки
с помощью
методы с
соединени
ментатив

1. Хим

Ключе
здание 3'
дов, вход
использук
В перв
возникает

* Обзор

кого подхода зависит от успешного разрешения двух проблем. С одной стороны, существенное значение имеет усовершенствование техники электронной микроскопии и методики приготовления образцов. С другой стороны, необходима разработка методов химической модификации ДНК, позволяющих избирательно пометить различные виды оснований. Важно, чтобы вводимая метка была достаточно хорошо видна при электронной микроскопии, т. е. модифицирующий агент должен содержать атомы тяжелых металлов (например, свинца, ртути, меди, урана) или функциональные группы, способные образовывать устойчивые комплексы с катионами этих металлов. Некоторые реагенты, по крайней мере частично удовлетворяющие поставленным требованиям, уже созданы; они будут упомянуты ниже. Практическая проверка этого интересного подхода к установлению последовательности нуклеотидов в полинуклеотидных цепях, однако, пока еще не осуществлена.

IX. СИНТЕТИЧЕСКИЕ ПОЛИНУКЛЕОТИДЫ

Как видно из материала предыдущего раздела, задача установления первичной структуры нуклеиновых кислот является весьма сложной и разрешена пока лишь в некоторых простейших случаях. В связи с этим большое значение для исследований связи структуры и реакционной способности, а также биологической активности приобретают модельные олиго- и полинуклеотиды определенного строения. Некоторые полинуклеотиды такого типа (см. стр. 64) получены из природных объектов, однако систематическое использование модельных полинуклеотидов для решения физико-химических и биологических проблем стало возможным только после разработки методов препаративного получения подобных соединений с помощью химического или ферментативного синтеза. Химические методы синтеза имеют значение для получения олигонуклеотидных соединений; для получения же полинуклеотидов применяются ферментативные и химико-ферментативные методы.

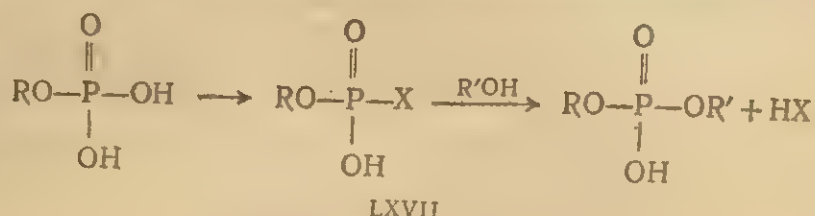
1. Химические методы синтеза *

Ключевой стадией при синтезе олигонуклеотидов является создание 3'—5'-фосфодиэфирной связи между остатками нуклеозидов, входящими в состав полимера. В настоящее время для этого используют два основных метода.

В первом из них («фосфодиэфирном») межу нуклеотидная связь возникает при взаимодействии активированного производного

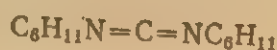
* Обзоры — см. 345—348.

моноэфира фосфорной кислоты (нуклеотидный компонент) и гидроксильной группы второго (нуклеозидного) компонента:

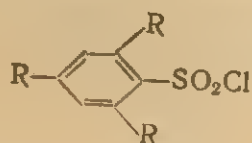


R и R' — различные радикалы

Как правило, активированное производное нуклеотида LXVII получают из нуклеотидного компонента непосредственно в реакционной смеси под действием соответствующего конденсирующего агента (сравнительное изучение таких агентов — см. ^{349, 350}). Наиболее широко применяются для этой цели дициклогексилкарбодиимид LXVIII (первый реагент, использованный для полимеризации нуклеотидов) ³⁵¹ и хлорангидриды ароматических сульфокислот, прежде всего мезитилсульфонилхлорид LXIX (R = CH₃) и 2, 4, 6-триизопропилбензолсульфонилхлорид LXIX [R = (CH₃)₂CH] ³⁵².

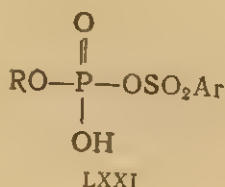
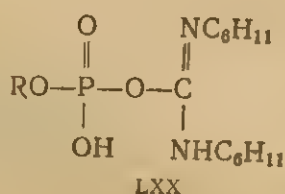


LXVIII

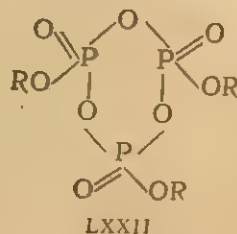


LXIX

Механизм образования фосфодиэфирной связи под действием дициклогексилкарбодиимида и других подобных реагентов довольно сложен ^{353, 523}. Первоначально образуются соединения, имеющие, вероятно, структуру имидоилфосфата LXX или смешанного ангидрида LXXI; они превращаются далее через ряд стадий в производное триметафосфата LXXII, которое, по-видимому, является истинным активированным производным нуклеотидного компонента. Подобное производное не может образоваться из диэфира фосфорной кислоты.

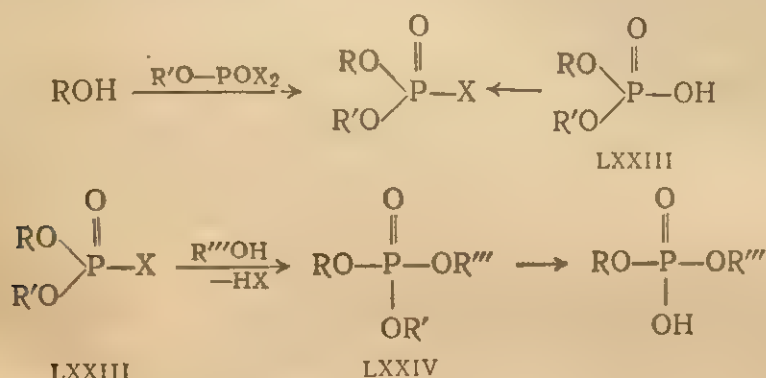


R — различные радикалы



Вследствие этого дальнейшего превращения диэфира в триэфир не происходит даже при заметном избытке нуклеозидного компонента; этот факт позволяет использовать в качестве нуклеозидного компонента не только производные нуклеозидов, но и защищенные производные нуклеотидов (см. ниже).

Под действием хлорангидридов ароматических сульфокислот может происходить активация и фосфодиэфиров. Эта реакция лежит в основе другого подхода к синтезу олигонуклеотидов (так называемый «триэфирный метод синтеза») ³⁵⁴:



R и R''' — остатки нуклеозидов; R' — защитная группа

Промежуточные активированные соединения фосфодиэфиров имеют, видимо, структуру LXXIII (X=SO₂Ar); аналогичные соединения можно получить и из соответствующих нуклеозидов. Так, при фосфорилировании нуклеозидов с помощью β,β,β-трихлорэтилфосфодихлорида CCl₃CH₂OP(O)Cl₂ образуется активированный диэфир LXXIII (X=Cl, R''=CCl₃CH₂) ³⁵⁵. Группировка R' в исходном диэфире или фосфорилирующем агенте выбирается таким образом, чтобы она могла быть избирательно удалена из промежуточного триэфира LXXIV без расщепления межинуклеотидной связи, что позволяет осуществить переход к желаемому фосфодиэфиру.

Полинуклеотиды можно рассматривать как полимеры нуклеозид-3'-фосфатов или нуклеозид-5'-фосфатов; соответственно нуклеотидный компонент, вводимый в реакцию, может быть производным нуклеозид-3'- или нуклеозид-5'-фосфата. В ряду дезоксирибонуклеотидов наибольшее распространение получил второй путь, в ряду же рибонуклеотидов — первый.

Активированное производное нуклеотидного компонента может вступать в реакцию не только с гидроксильной группой нуклеозидного компонента, но и с другими нуклеофильными функциональными группами присутствующих в реакционной смеси соединений (аминогруппы и гидроксильные группы оснований, фосфатные группы, гидроксильные группы углеводного остатка при C-2'). Для устранения этих побочных реакций необходима защита

функциональных групп в нуклеотидном и нуклеозидном компонентах. Примеры использования различных защитных групп будут рассмотрены ниже; существенно отметить только, что должны применяться лишь такие защитные группы, которые могут быть отщеплены в мягких условиях, не приводящих к расщеплению или изомеризации межнуклеотидной связи (см. главу 10).

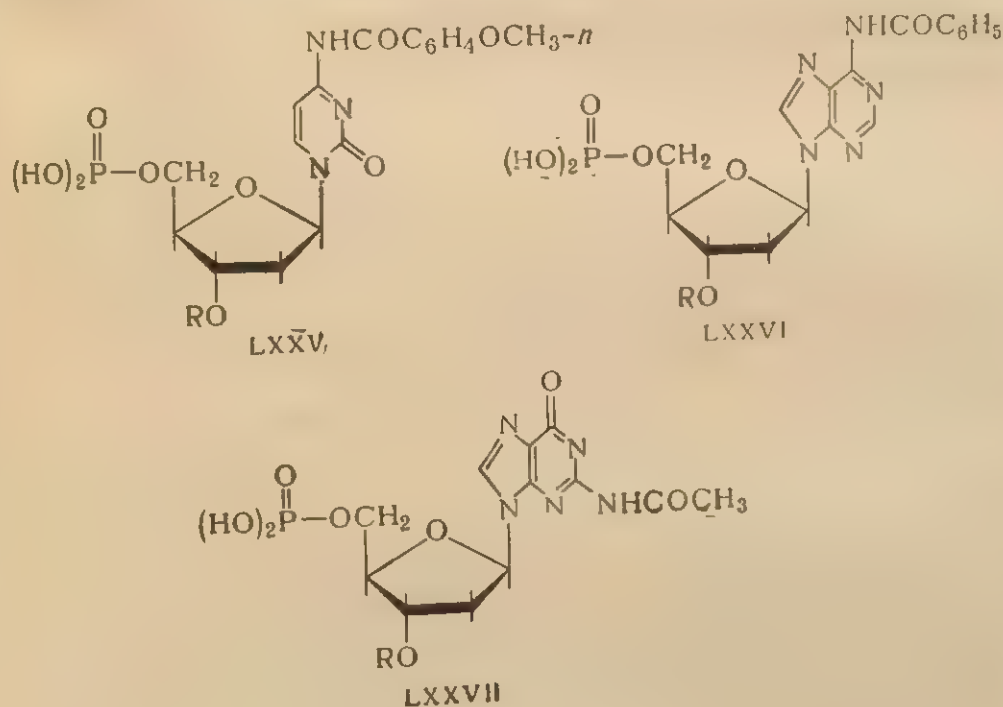
Возможность взаимодействия активированного производного нуклеотида с водой делает необходимым проведение синтеза олигонуклеотидов в строго безводных условиях; в некоторых случаях это вызывает трудности из-за плохой растворимости производных нуклеотидов в органических растворителях.

Несмотря на применение защищенных производных нуклеотидов и нуклеозидов, некоторые побочные реакции (например, образование пирофосфатов при синтезе исходя из моноэфиров фосфорной кислоты) все же имеют место; вследствие этого требуется тщательная хроматографическая очистка продуктов реакции. Одним из приемов, позволяющих существенно упростить очистку продуктов реакции, является фиксация одного из компонентов реакционной смеси на полимерном носителе³⁵⁶⁻³⁶⁰. Такой полимер может быть легко отделен от других компонентов реакционной смеси. Продукт реакции, фиксированный на полимере, можно подвергать дальнейшим превращениям, что значительно упрощает многостадийные синтезы. Наконец, после выполнения всех стадий продукт может быть отщеплен от полимера и выделен в чистом состоянии. Такой подход к синтезу олигонуклеотидов привлекает сейчас большое внимание*. Неспецифичность химических методов создания межнуклеотидной связи, являющаяся недостатком химического подхода к синтезу олигонуклеотидов (получение защищенных производных нуклеозидов и нуклеотидов требует многостадийных синтезов), в данном случае дает ряд преимуществ, поскольку в синтез олигонуклеотидов могут быть введены самые разнообразные производные нуклеозидов, в том числе и синтетические аналоги компонентов нуклеиновых кислот. Это открывает широкие возможности исследования связи структуры и функции природных полинуклеотидов.

Олигодезоксирибонуклеотиды. Простейшим подходом к получению гомогенных олигодезоксинуклеотидов является полимеризация (точнее поликонденсация) мононуклеотидов. Так, при полимеризации тимидин-5'-фосфата под действием дициклогексилкарбодимида были получены олигонуклеотиды общей формулы $(pdT)_n$ со степенью полимеризации до 15³⁶¹⁻³⁶³. Одной из существенных побоч-

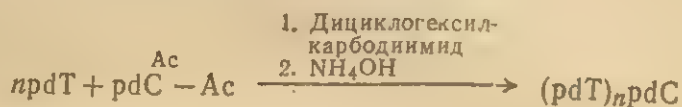
* Существенным условием успеха при многостадийном синтезе на полимерных носителях является количественное протекание отдельных стадий процесса: этого не удается пока достичь с помощью существующих методов создания фосфодиэфирной связи,

ных реакций, происходящих при полимеризации, является образование циклических олигонуклеотидов; для ее подавления к реакционной смеси добавляют «терминатор полимеризации» — 3'-О-ацетилтимидин-5'-фосфат; в этом случае образуются олигонуклеотиды, у которых 3'-концевая гидроксильная группа блокирована, что позволяет исключить циклизацию. Аналогичный прием был использован для полимеризации других дезоксинуклеозид-5'-фосфатов. В реакцию вводились защищенные по ядру производные: 4-экзо-N-анизоилдезокситидин-5'-фосфат LXXV ($R=H$), 6-экзо-N-бензоилдезоксиаденозин-5'-фосфат LXXVI ($R=H$) или 2-экзо-N-ацетилдезоксигуанозин-5'-фосфат LXXVII ($R=H$) в качестве полимеризующего звена и их 3'-О-ацетаты (LXXV—LXXVII; $R=CH_3CO$) в качестве терминаторов полимеризации. После отщепления защитных групп действием аммиака удастся получить олигоцитидиловые³⁶⁴, олигоадениловые³⁶⁵ и олигогуаниловые³⁶⁶ кислоты, содержащие 5'-концевую фосфатную группу.



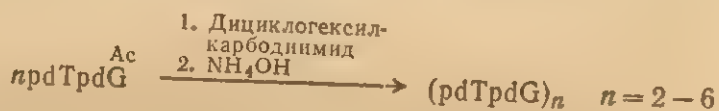
При использовании в качестве терминатора полимеризации ацетильного производного нуклеозид-5'-фосфата, отличающегося по структуре гетероциклического ядра от полимеризующегося звена, удастся получить олигонуклеотиды общей структуры (pN)_mpX. Подобные соединения были получены, например, при

полимеризации смеси тимидин-5'-фосфата и 4-экзо-N,3'-О-диацетилдезокситидин-5'-фосфата ³⁶²:



Подход, основанный на полимеризации защищенных дезокси-нуклеозид-3'-фосфатов, был также исследован ³⁶⁷; в этом случае получают менее удовлетворительные результаты.

В качестве полимеризующегося звена можно использовать динуклеотиды с 5'-концевой фосфатной группой (получение таких соединений — см. ниже); в результате такой блок-полимеризации образуются олигонуклеотиды, содержащие повторяющуюся динуклеотидную последовательность ^{368, 369}, например, в случае 5'-фосфотимидил- (3' → 5')-2-экзо-N-ацетилдезоксигуанозина:

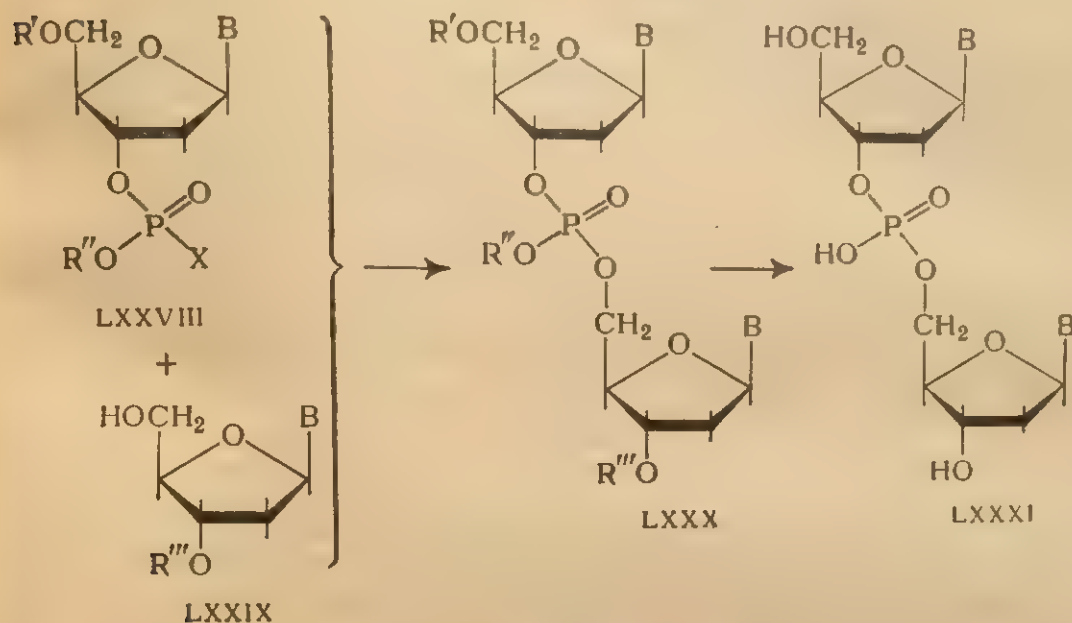


Аналогичный подход — полимеризация три- или тетрануклеотидного блока — был также использован для получения олигонуклеотидов с повторяющейся тринуклеотидной ^{370, 371} и тетрануклеотидной ³⁷² последовательностью. Для синтеза соединений такого типа часто применяется и другой подход, основанный на ступенчатом наращивании цепи олигонуклеотида.

В этом случае возможно уже получение олигонуклеотидов с любой заранее заданной последовательностью мономерных звеньев. В простейшем варианте синтеза динуклеозидмонофосфата оба компонента, вводимые в реакцию, — нуклеотидный и нуклеозидный — являются мономерами. Первый синтез природного динуклеозидмонофосфата ³⁷³ — тимидил- (3' → 5')-тимидина — был осуществлен с помощью фосфотриэфирного метода. Взаимодействием 5'-О-ацетилтимидин-3'-бензилхлорфосфата LXXVIII ($R' = \text{Ac}$; $R'' = \text{PhCH}_2$, $X = \text{Cl}$) с 3'-О-ацетилтимидином LXXIX ($R''' = \text{Ac}$) получен промежуточный триэфир LXXX ($R' = R''' = \text{Ac}$; $R'' = \text{PhCH}_2$), который после гидролиза для удаления бензильной группы и дезацетилирования обработкой щелочью превращался в динуклеозидфосфат LXXXI (стр. 89).

Аналогичные синтезы с помощью фосфотриэфирного метода были выполнены и в последнее время ^{354, 355}. В качестве нуклеотидного компонента использовали 5'-О-тримитилтимидин-3'- (β,β,β-трихлорэтил)-фосфат LXXVIII ($R' = \text{Tg}$; $R'' = \text{CCl}_3\text{CH}_2$; $X = \text{Cl}$) или

5'-О-тримитилтимидин-3'-(β-цианоэтил) фосфат LXXVIII ($R' = \text{Tr}$; $R' = \text{CNCH}_2\text{CH}_2$; $X = \text{OH}$), активированный 2,4,6-триизопропилбензолсульфохлоридом. Отщепление β,β,β-трихлорэтильной группы от промежуточного триэфира может быть выполнено восстановлением с помощью цинк-медной пары, а отщепление β-цианоэтильной группы — мягкой обработкой щелочью.

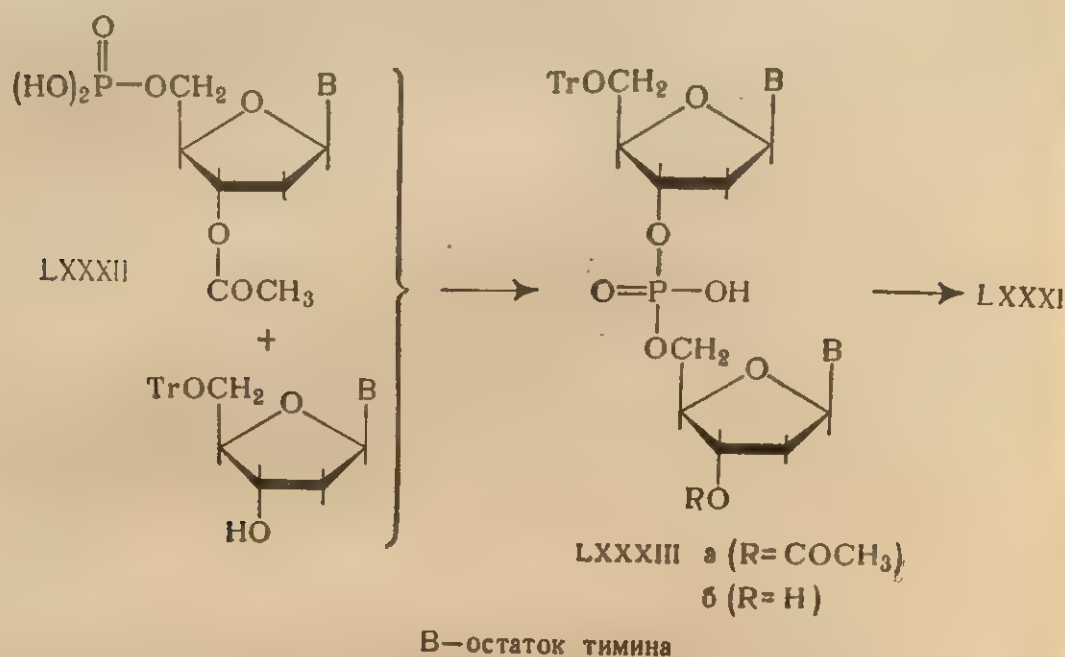


B-остаток тимина

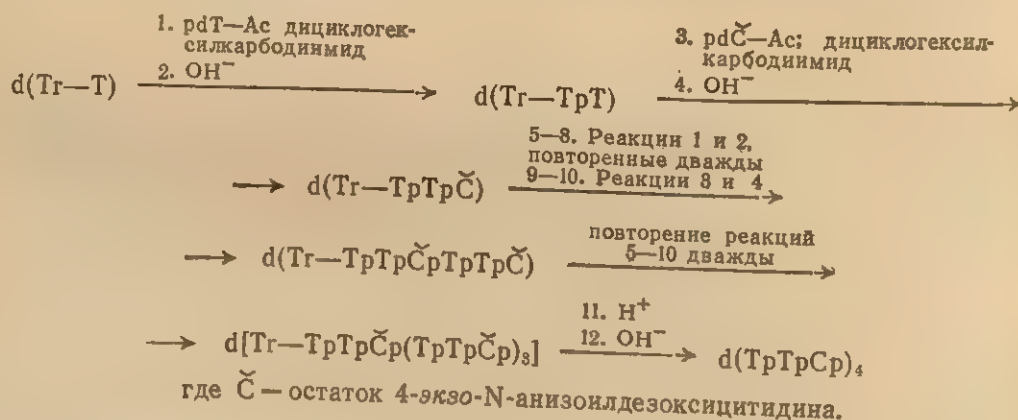
При ступенчатом синтезе олигонуклеотидов фосфодиэфирным методом в качестве нуклеотидного компонента обычно применяют производные нуклеозид-5'-фосфатов. Так, тимидил- $(3' \rightarrow 5')$ -тимидин был получен взаимодействием 3'-О-ацетилтимидин-5'-фосфата LXXXII и 5'-О-тримитилтимидина в присутствии дициклогексилкарбодимида³⁵¹ (стр. 90).

Полученный защищенный динуклеозидмонофосфат LXXXIIa после обработки разбавленной кислотой для удаления трифенилметильной группы и аммиаком для удаления ацетильной группы может быть превращен в динуклеозидмонофосфат LXXXI. Промежуточный продукт LXXXIIb, возникающий после отщепления только одной из защитных групп, может быть вновь использован в качестве нуклеотидного компонента для создания фосфодиэфирной связи. Конденсация его с соответствующим защищенным нуклеозид-5'-фосфатом [например, LXXV—LXXVII ($R = \text{COCH}_3$)] позволяет получить защищенный тринуклеозиддифосфат; этот процесс

наращивания нуклеотидной цепи на 3'-конце может быть повторен и далее.

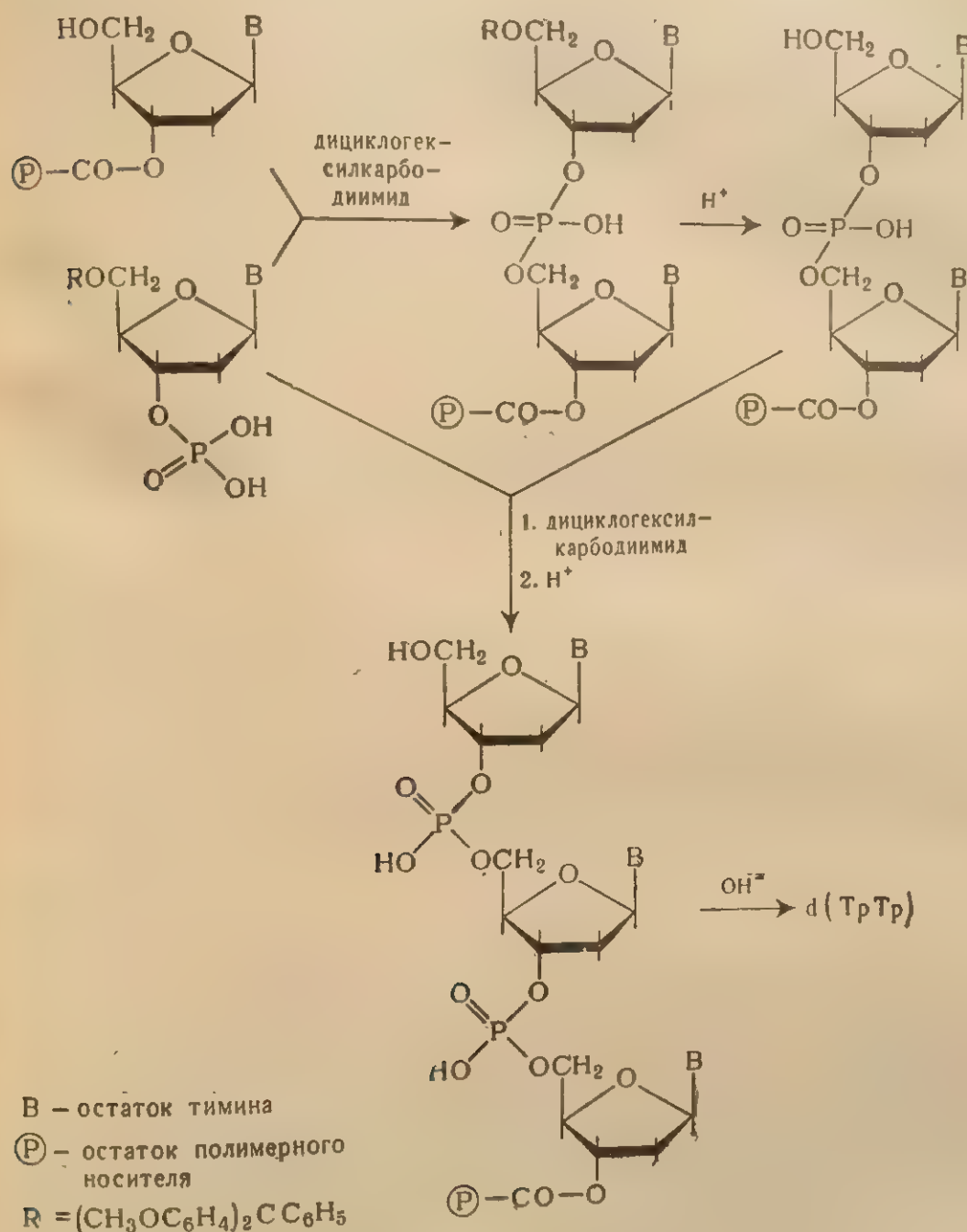


Подобная последовательность реакций была использована для синтеза многих олигодезоксинуклеотидов^{369, 374–378}, например додекануклеотида, содержащего остатки тимидина и цитидина:



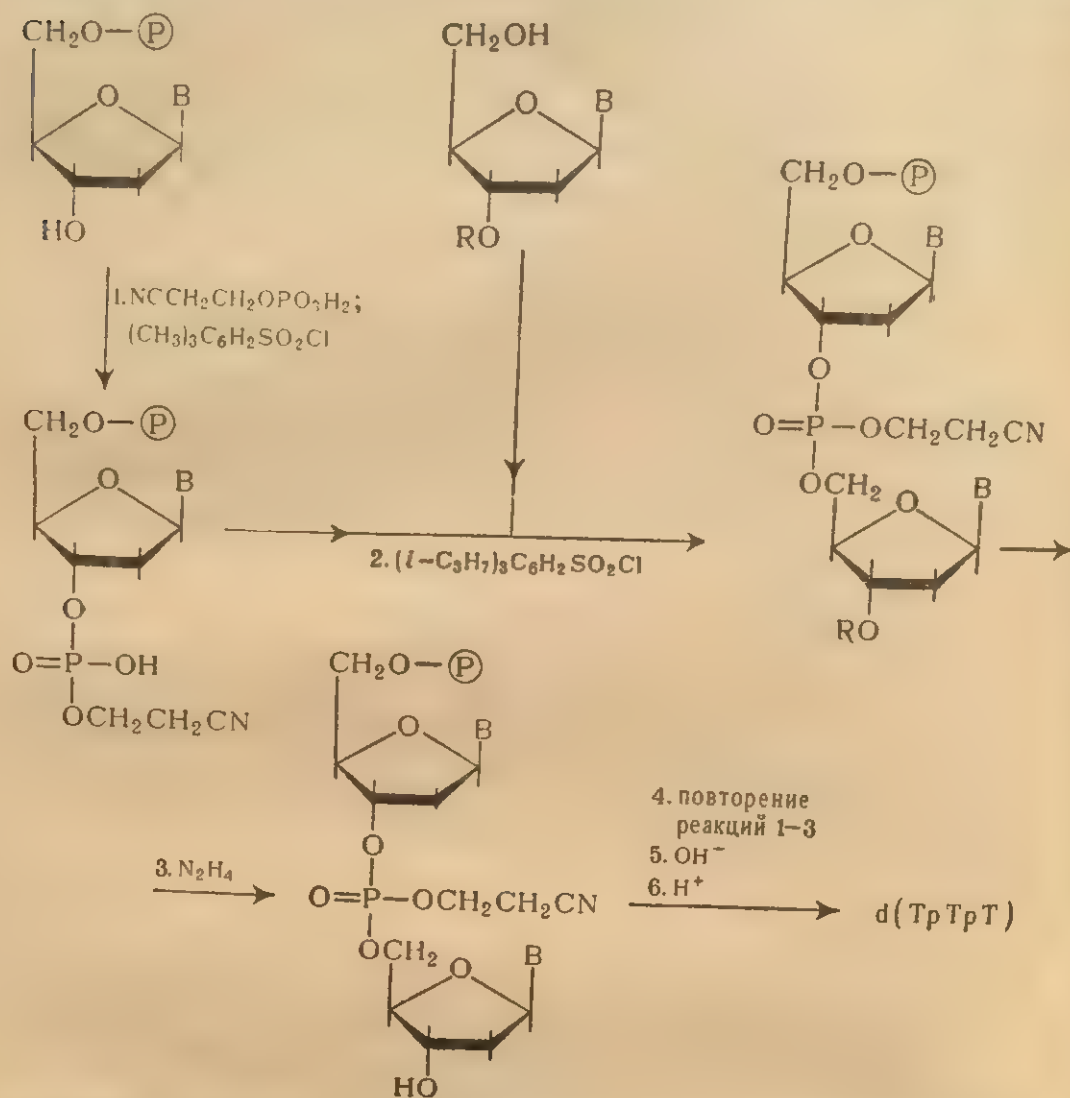
Аналогичный прием — использование в качестве нуклеозидного компонента олигонуклеотида и наращивание полимерной цепи с 3'-конца — был использован и при синтезе олигонуклеотидов на полимерном носителе^{357–360}. В этом случае был успешно реализован и другой вариант — наращивание полимерной цепи с 5'-конца с ис-

пользованием в качестве нуклеозидного компонента 3'-защищенного олигонуклеотида (на первой стадии — защищенного нуклеотида) ³⁷⁹:



Более удобным в этом случае является, однако, использование в качестве нуклеотидного компонента олигонуклеотида с

3'-концевой фосфатной группой^{356, 380}, как показано на следующей схеме:

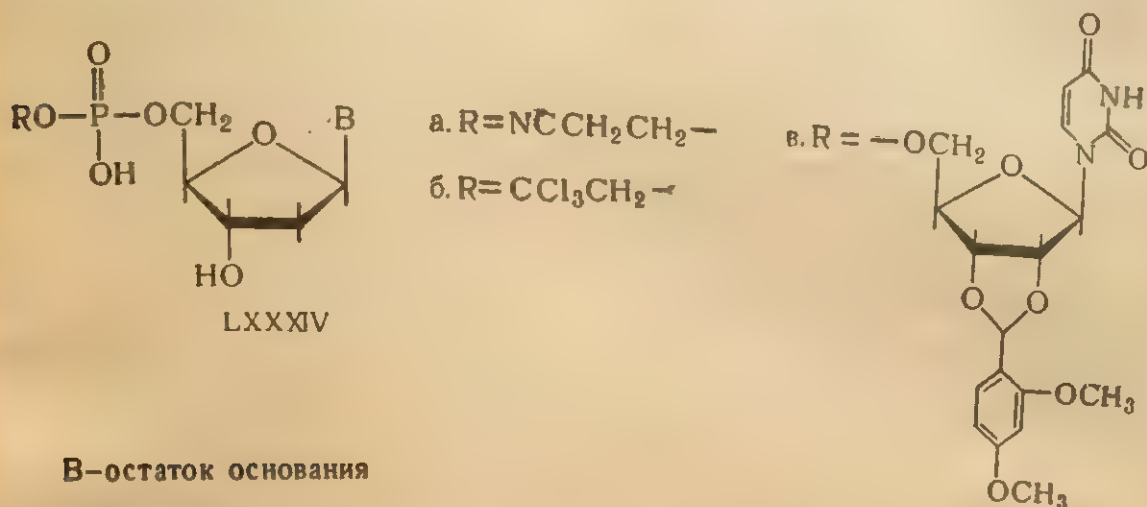


B-остаток тимина; P -остаток полимерного носителя; $\text{R}=\text{C}_6\text{H}_5\text{COCH}_2\text{CH}_2\text{CO}-$

Аналогичный подход к наращиванию олигонуклеотидной цепи был осуществлен и для реакции без полимерного носителя^{354, 355}.

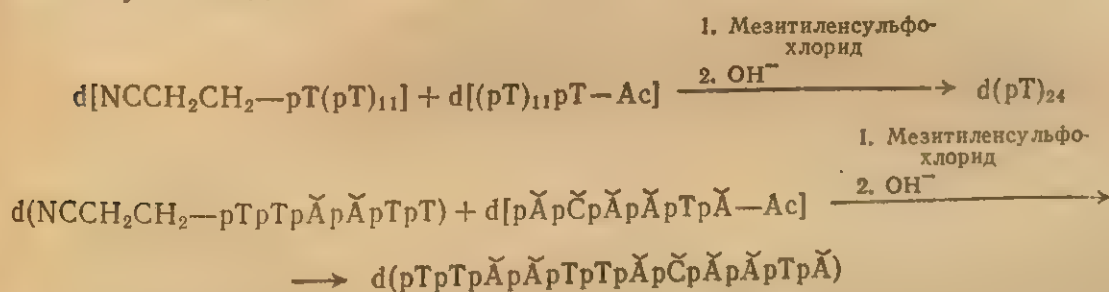
В качестве нуклеотидного компонента можно применять и олигонуклеотид с 5'-концевой фосфатной группой^{381, 382}. Такие олигонуклеотиды могут быть получены ступенчатым наращиванием олигонуклеотидной цепи с 3'-конца при использовании в качестве «нуклеозидного» компонента защищенных по фосфатной группе производных нуклеозид-5'-фосфатов типа LXXXIV, например нуклеозид-5'-(β -цианоэтил)-фосфатов LXXXIVa³⁸³⁻³⁸⁵, нуклеозид-5'-(β , β , β -трихлорэтил)-фосфатов LXXXIVb^{386, 387} или продуктов конденсации

дезоксинуклеозид-5'-фосфатов с 2',3'-(диметоксибензилиден)-уридином (LXXXIV)^{388, 389}.



В-остаток основания

Конденсация олигомерного нуклеозидного компонента с олигомерным нуклеотидным компонентом позволяет наращивать полимерную цепь сразу на несколько звеньев, что существенно облегчает получение длинных олигонуклеотидов. Примером эффективности такого приема может служить синтез олигонуклеотида, содержащего 24 остатка тимидина, конденсацией двух додекануклеотидов³⁹⁰, а также синтез додекануклеотида с разными остатками нуклеозидов:

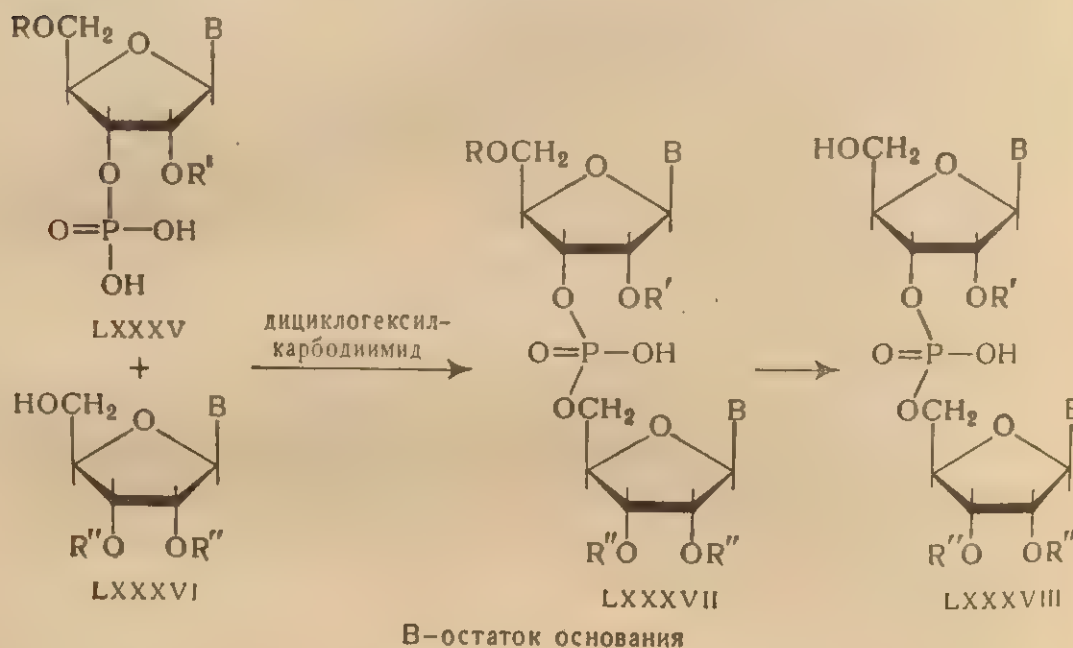


где \check{A} — остаток 6-экзо-N-бензоилдезоксиаденозина, \check{C} — остаток 4-экзо-N-анизоилдезоксцитидина.

Олигорибонуклеотиды. Методы химического синтеза в этом ряду соединений разработаны значительно меньше, чем в случае олигодезоксинуклеотидов. Относительно доступными являются лишь тринуклеозиддифосфаты^{391, 392}, синтезу же олигонуклеотидов более высокой степени полимеризации посвящено лишь несколько работ³⁹³⁻³⁹⁵. Это связано, прежде всего, со значительной лабильностью межнуклеотидной связи рибонуклеотидов в щелочной среде и способностью ее к изомеризации в кислой среде (см. главу 10), что осложняет выбор защитных групп; значительные трудности

возникают также из-за необходимости защиты 2'-гидроксильной группы вводимых в реакцию нуклеозидов и нуклеотидов.

Обычный подход к синтезу олигорибонуклеотидов состоит в ступенчатом наращивании олигонуклеотидной цепи с 5'-конца. Для синтеза динуклеозидфосфатов используют обычно в качестве нуклеотидного компонента 2',5'-защищенные рибонуклеозид-3'-фосфаты LXXXV, а в качестве нуклеозидного компонента — 2',3'-защищенные рибонуклеозиды LXXXVI.



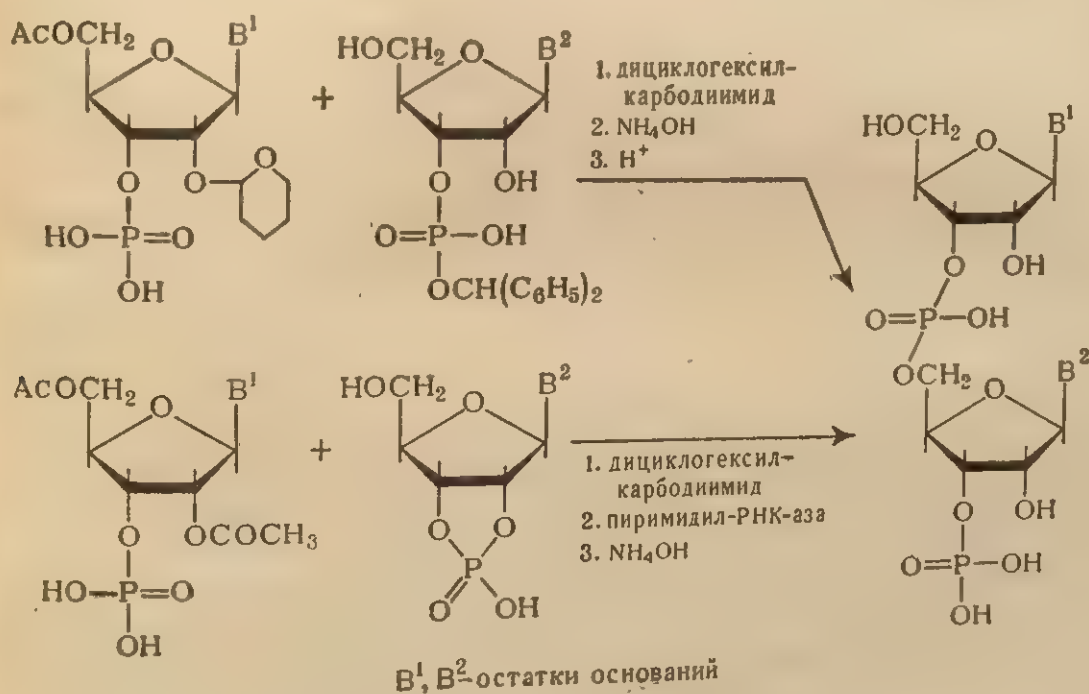
Так, удобно вводить в реакцию 2',5'-ди-О-ацетилнуклеозид-3'-фосфаты и 2',3'-О-(*n*-метоксибензилиден)- или 2',3'-О-(*n*-диметиламинобензилиден)-нуклеозиды^{396, 397}. После мягкого щелочного и кислотного гидролиза защищенный динуклеозид LXXXVII ($R=R'=Ac$; $R''+R''=>CHAr$) переводят в свободный динуклеозидмонофосфат LXXXVIII ($R'=R''=H$).

Для дальнейшего наращивания цепи существенно, чтобы 5'-гидроксильная группа промежуточного защищенного динуклеозида могла быть освобождена в условиях, когда остальные защитные группы остаются незатронутыми, т. е. чтобы был возможен переход от защищенного LXXXVII к частично защищенному динуклеозидмонофосфату LXXXVIII (R' и R'' — защитные группировки). Такой частично защищенный динуклеозидфосфат может быть использован в качестве нуклеозидного компонента при дальнейшем синтезе — его конденсация с нуклеотидом LXXXV приводит к защищенному тринуклеозиддифосфату.

Наиболее успешным оказался подход, основанный на использовании в качестве нуклеотидного компонента 5'-О-моно(или ди-)метокситритил-2'-О-ацетилнуклеозид-3'-фосфатов, а в качестве нуклеогруппы гетероциклических ядер обоих компонентов также должны быть защищены). Таким путем были получены все 64 возможных тринуклеозиддифосфата, составленные из обычных нуклеотидов, входящих в состав РНК³⁹.

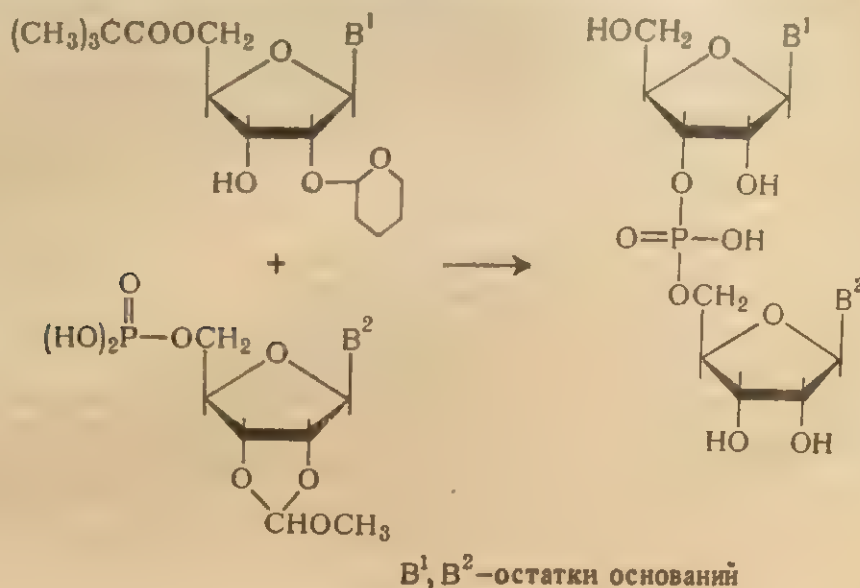
Реализация другого подхода, основанного на применении для защиты 5'-гидроксильной группы нуклеотидного компонента ацетильной (щелочнолабильной) группы, оказалась несколько более сложной³⁹⁸⁻⁴⁰⁰, однако, исходя из 5'-О-ацетил-2'-О-(α -этоксиметил)-нуклеозид-3'-фосфатов и 2',3'-О-этоксиметилденнуклеозидов (для защиты аминогрупп ядра использованы диметиламинометилденнуклеозиддифосфатов^{392, 401, 402}).

Динуклеотиды с 3'-концевой фосфатной группой могут быть получены прямым фосфорилированием динуклеозидмонофосфатов⁴⁰³ или синтезом с использованием в качестве нуклеотидного компонента защищенных производных нуклеозид-3'-фосфатов⁴⁰⁴⁻⁴⁰⁷ или нуклеозид-2',3'-циклофосфатов⁴⁰⁷⁻⁴⁰⁹, например:



Предложен и другой подход к получению динуклеозидмонофосфатов, основанный на конденсации 2',3'-дизамещенного нуклеозид-

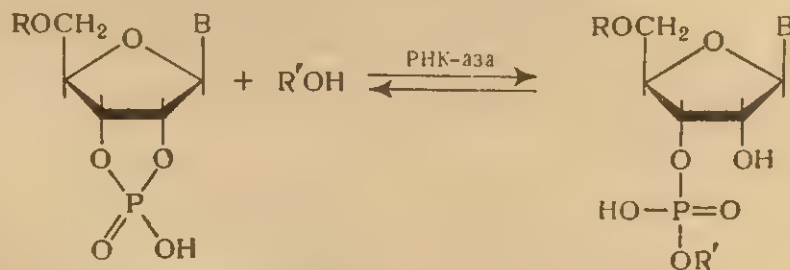
5'-фосфата и 2',5'-дизамещенного нуклеозида ^{410, 411}, например:



2. Принципы ферментативного синтеза олиго- и полинуклеотидов

Для ферментативного синтеза фосфодиэфирной связи в олиго- и полинуклеотидах используются ферменты трех различных групп.

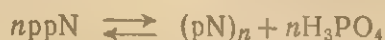
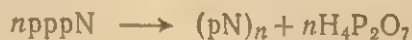
Выше уже рассматривалось (см. стр. 69) расщепление поли- и олигорибонуклеотидов под действием рибонуклеаз. Первая стадия реакции — превращение фосфодиэфира рибонуклеозида в циклофосфат — в значительной степени обратима, и в определенных условиях при обработке циклического фосфата моно- или олигонуклеотида (нуклеотидный компонент) избытком нуклеозида или нуклеозид-3'-фосфата (нуклеозидный компонент) удастся достигнуть образования 3'→5'-фосфодиэфирной связи:



Здесь B — остаток основания; R — атом водорода, остаток моно- или олигонуклеотида; R' — остаток нуклеозида или нуклеотида. Возможность применения рибонуклеаз для синтеза межинуклеотидной связи была впервые обнаружена в случае пиримидил-

РНК-азы (панкреатической РНК-азы) ⁴¹²⁻⁴¹⁵. Аналогичные реакции удалось осуществить с гуанил-РНК-азой T_1 ⁴¹⁶⁻⁴¹⁹ и гуанил-РНК-азой актиномицетов ⁴²⁰, а также с некоторыми другими РНК-азами, обладающими менее ярко выраженной специфичностью к структуре основания нуклеотидного компонента ⁴²¹.

Другая группа ферментов катализирует образование олиго- или полинуклеотидов с 3'→5'-фосфодиэфирными связями из рибо- или дезоксирибонуклеозид-5'-трифосфатов или рибонуклеозид-5'-дифосфатов. Протекающие при этом реакции могут быть схематически представлены уравнениями:



Некоторые свойства ферментов этой группы, используемых для получения полинуклеотидов, приведены в табл. 1.4.

Можно видеть, что перечисленные ферменты обладают довольно узкой специфичностью по отношению к структуре сахарного остатка нуклеозидди- или трифосфата; в то же самое время специфичность их по отношению к природе гетероциклического основания довольно широка. Помимо ди- и трифосфатов нуклеозидов, входящих в состав нуклеиновых кислот, в ряде случаев удается добиться включения в полимер и аналогов природных нуклеотидов.

В полимеризацию, катализируемую ферментами этой группы, могут вступать только производные мононуклеотидов; попытки осуществить аналогичную полимеризацию производных ди- и олигонуклеотидов оказались безуспешными. Молекулярный вес образующегося полимера в значительной степени зависит от условий полимеризации; часто удается получить как олигонуклеотиды (например, тринуклеозиддифосфаты при реакции, катализируемой полинуклеотидфосфорилазой), так и полинуклеотиды с молекулярным весом в несколько миллионов.

Для протекания ферментативной полимеризации нуклеозид-5'-ди- и трифосфатов, как правило, необходимо присутствие в инкубационной смеси помимо фермента и мононуклеотидных предшественников определенного количества олиго- или полинуклеотида, который может выполнять различные функции.

1) Олигонуклеотид с 3'-концевой гидроксильной группой может служить «затравкой» полимеризации, т. е. акцептором, к которому присоединяются полимеризующиеся остатки мононуклеотидов. Последовательность мономеров в растущей полимерной цепи при этом не зависит от последовательности мономеров в добавленном олиго- или полинуклеотиде; добавленная затравка входит в состав продукта реакции, составляя его 5'-концевую последовательность. Такая функция олиго- или полинуклеотида наблюдается для реакций, катализируемых терминальной дезоксирибонуклеотидилтрансферазой и полинуклеотидфосфорилазой.

Таблица 1.4. Ферменты, катализирующие полимеризацию нуклеозид-5'-ди- и -трифосфатов

Фермент	Обычный источник выделения	Структура субстрата	Возможность полимеризации без добавления олиго- или полинуклеотида	Возможность функционирования олиго- или полинуклеотида в качестве			Литература
				инициатора	заправки	матрицы	
ДНК-полимераза (дупликаза)	<i>Escherichia coli</i> , тимус телянка	Дезоксирибонуклеозид-5'-трифосфат	+	—	+	+	Обзоры: 41, 422—424
Терминальная дезоксинуклеотидилтрансфераза (аддаза)	Тимус телянка	То же	—	—	+	—	425—427
Полинуклеотидфосфорилаза	<i>Azotobacter vinelandii</i> , <i>Micrococcus lysodeikticus</i>	Рибонуклеозид-5'-дифосфат	+	(?)	+	+	Обзоры: 428, 429
РНК-полимераза (транскриптаза)	Печень крыс, <i>Azotobacter vinelandii</i> , <i>Escherichia coli</i>	Рибонуклеозид-5'-трифосфат	+	—	—	+	Обзоры: 424, 428, 430—432
РНК-синтетаза (РНК-репликаза)	<i>Escherichia coli</i> , инфицированная фагами f2, MS2, Q _φ и др.	Рибонуклеозид-5'-трифосфат	—	—	—	+	433—435

и синтез
2) О.
реже, чем
складывае
ность кон
действует
высвешен
интерпрет
нуклеотид
3) Нав
те из, кото
зв'язан
Пер матр
ной кинети
дается в р
мозной и
Прода
нуклеотид
ни в ДНК
нуклеотид
досривае
одна из це
тая — матр
синтезиру
Если в
только оп
тез полно
ней кинети
синтезе «п
на участие
те-ность
тарных до
дней обра
позучено
ферментат
тив.
В некото
и в отсут
препятст
чно интес
сторон ин
она нест
очень ос
ощущен
познатель
Полимер
Синтези
структур

2) Олигонуклеотид с 3'-концевой фосфатной группой может резко увеличивать скорость ферментативной полимеризации, не включаясь в состав продукта реакции и не влияя на последовательность мономеров в нем. В этом случае говорят, что олигонуклеотид действует как «инициатор». Механизм действия инициаторов не выяснен; единственный надежно доказанный случай такого функционирования олигонуклеотида — реакция, катализируемая полинуклеотидфосфорилазой.

3) Наконец, олиго- или полинуклеотид может служить «матрицей», которая определяет последовательность нуклеотидов в образующемся полимере и сама не входит в состав продукта реакции. При матричном синтезе продукт реакции является комплементарной копией полинуклеотидной цепи матрицы. Этот случай наблюдается в реакциях, катализируемых ДНК-полимеразой, РНК-полимеразой и РНК-синтетазой.

Иногда наблюдается и более сложная функция олиго- или полинуклеотида в ферментативной полимеризации. Так, при добавлении к ДНК-полимеразе двухцепочечных комплексов олигодезоксинуклеотидов, цепи которых имеют различную длину, происходит достраивание их до полных двухцепочечных комплексов. При этом одна из цепей комплекса служит затравкой полимеризации, а другая — матрицей, определяющей нуклеотидную последовательность синтезирующегося участка полимера.

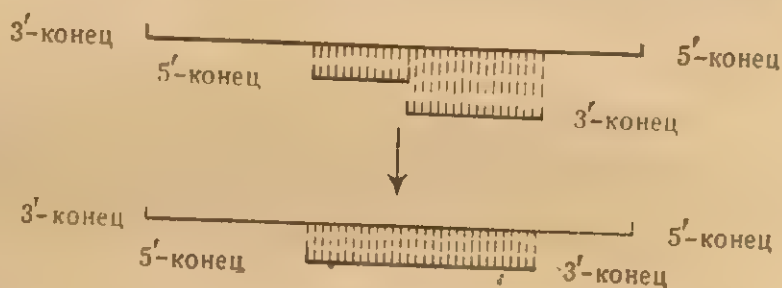
Если в реакцию, катализируемую РНК-полимеразой, вводится только один нуклеозид-5'-трифосфат (из четырех), происходит синтез гомополимера, структура которого не является комплементарной копией добавленного полинуклеотида. При таком синтезе — синтезе «повторением» (reiteration) — полимеризация начинается на участке полинуклеотидной матрицы, содержащем последовательность по крайней мере трех остатков нуклеотидов, комплементарных добавленному единственному нуклеозидтрифосфату. Продукт, образовавшийся в результате такого частичного копирования последовательности матрицы, служит затравкой для дальнейшей ферментативной полимеризации, приводящей к гомополинуклеотиду.

В некоторых случаях возможна ферментативная полимеризация и в отсутствие добавляемого олиго- или полинуклеотида. Обычные препараты полинуклеотидфосфорилазы катализируют полимеризацию нуклеозиддифосфатов и без затравки или инициатора. Такая способность, однако, теряется при дальнейшей очистке фермента; она связана, очевидно, с присутствием олигонуклеотидов в малоочищенных ферментных препаратах. В некоторых условиях удастся осуществить синтез полинуклеотидов без матрицы с ДНК- и РНК-полимеразами; эти случаи будут рассмотрены ниже.

Специфичность рассматриваемых ферментов по отношению к структуре добавляемого олиго- или полинуклеотида, как правило,

весьма широкая. Единственным исключением служат РНК-синтазы, которые значительно более эффективно используют в качестве матрицы РНК соответствующих фагов. Для терминальной дезоксирибонуклеотидилтрансферазы затравкой могут служить как полидезоксинуклеотиды, так и олигодезоксинуклеотиды, начиная с тринуклеозиддифосфата. Эффективными затравками реакции, катализируемой полинуклеотидфосфорилазой, являются низкомолекулярные олигорибонуклеотиды, в том числе динуклеозидмонофосфаты. В реакции, катализируемой ДНК-полимеразой, в качестве матрицы могут выступать полидезоксинуклеотиды и некоторые полирибонуклеотиды. Однако полимеризация происходит и в присутствии коротких олигодезоксинуклеотидов. Очень медленная полимеризация наблюдается уже с тринуклеозиддифосфатами, заметно больше скорость реакции с гепта — декадезоксинуклеотидами. РНК-полимеразы из микроорганизмов могут использовать в качестве матрицы одно- и двухцепочечные полидезоксирибонуклеотиды и полирибонуклеотиды, а также олигодезоксирибонуклеотиды со степенью полимеризации 5 и выше и олигорибонуклеотиды приблизительно такого же размера.

Наконец, представителем еще одной группы ферментов, которая может быть использована для получения синтетических полинуклеотидов, является недавно открытый фермент*, катализирующий образование фосфодиэфирных связей между 5'-концевой фосфатной группой и 3'-концевой гидроксильной группой олигодезоксинуклеотидов, входящих в состав двухцепочечных комплексов^{436 438}. Реакция может быть схематически представлена следующим образом:

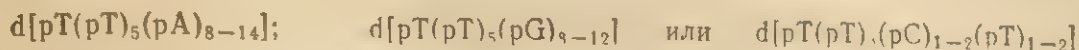


В рассматриваемую ферментативную реакцию могут вступать как полидезоксирибонуклеотиды (двухспиральные комплексы ДНК, одна из цепей которых содержит разрывы фосфодиэфирных связей), так и относительно короткие олигодезоксирибонуклеотиды со степенью полимеризации 6—7⁴³⁹.

Олиго- и полидезоксирибонуклеотиды. В ряду олигодезоксирибонуклеотидов ферментативные методы синтеза имеют весьма огра-

* Этот фермент известен под названиями: полинуклеотид-соединяющий фермент, ДНК-лигаза, ДНК-силаза (от seal -- запаивать).

ниченное применение. Подобраны условия, в которых терминальная дезоксирибонуклеотидилтрансфераза катализирует присоединение лишь небольшого количества мономерных единиц к добавленной затравке. Таким путем можно получить блок-олигомеры, например ⁴⁴⁰



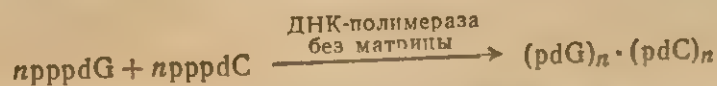
В ряду полидезоксирибонуклеотидов лучше всего разработаны методы получения гомополимеров и полимеров, содержащих повторяющуюся олигонуклеотидную последовательность.

Синтез полимеров первого типа может быть выполнен с помощью концевой дезоксирибонуклеотидилтрансферазы. Так, исходя из олигодезоксиадениловых кислот и 2'-дезоксиаденозин-5'-трифосфата, получают полидезоксиадениловую кислоту ⁴⁴¹:

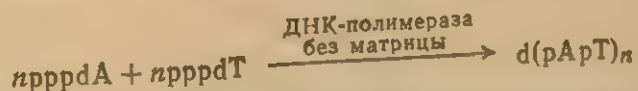


Продуктами реакции являются одноцепочечные полидезоксинуклеотиды, степень полимеризации которых в ряде случаев достигает 600 *.

Двухцепочечные комплексы гомогенных полидезоксинуклеотидов могут быть получены с помощью ДНК-полимеразы. При инкубации фермента без матрицы со смесью дезоксицитидин-5'-трифосфата и дезоксигуанозинтрифосфата (или дезоксиинозин-5'-трифосфата) после некоторого индукционного периода происходит ^{442, 443} синтез комплексов (поли-pdC) · (поли-pdG) или (поли-pdC) · (поли-pdI). После денатурации и центрифугирования в градиенте сульфата цезия удается получить соответствующие одноцепочечные полимеры ⁴⁴⁴.



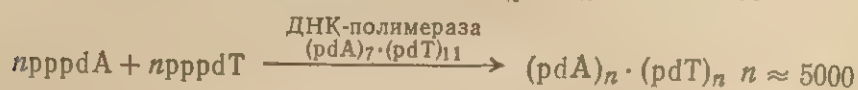
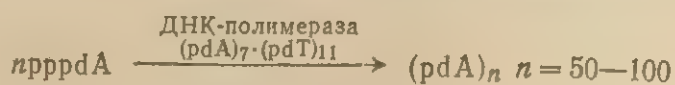
При аналогичной реакции с ДНК-полимеразой без матрицы из смеси дезоксиаденозин-5'-трифосфата и тимидин-5'-трифосфата образуется полимер с чередующейся последовательностью нуклеозидов ⁴⁴⁵:



Для получения гомогенных полидезоксиадениловой и политимидиновой кислот необходимо использовать полимеризацию в присутствии матрицы. В качестве последней могут быть использованы полиадениловая или полиуридиловая кислоты ^{446, 447}, а также синте-

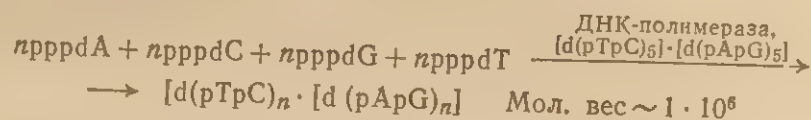
* Относительная доступность некоторых гомодезоксиполинуклеотидов дает возможность получать соответствующие олигодезоксинуклеотиды их ферментативной деградацией. Для этой цели используют ДНК-азу I и нуклеазу микрококков (см. стр. 72).

тические олигодезоксирибонуклеотиды, например комплекс $(pdA)_7 \cdot (pdT)_{11}$ ⁴⁴⁸.



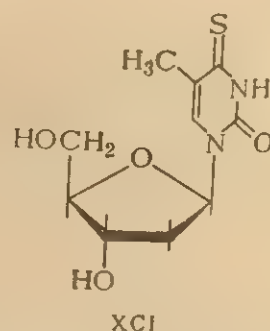
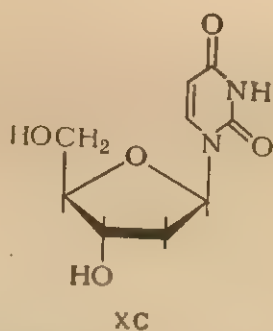
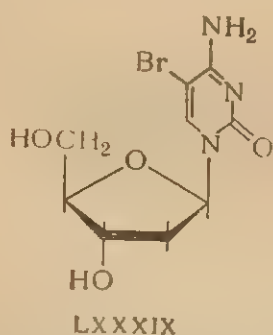
Образующиеся в результате реакции двухцепочечные комплексы могут быть разделены препаративным центрифугированием в градиенте хлористого цезия после денатурации действием щелочи ⁴⁴⁹. Полученные продукты имеют мол. вес. от 10^5 до $4 \cdot 10^6$.

В качестве матрицы для ДНК-полимеразы можно использовать синтетические олигодезоксинуклеотиды, содержащие чередующуюся последовательность остатков нуклеотидов ^{448, 450}; продуктом реакции в этом случае являются соответствующие полидезоксинуклеотиды, например:



Аналогичный подход был применен для синтеза полидезоксинуклеотидов с повторяющимися тринуклеотидными ⁴⁵¹ и тетра нуклеотидными ⁴⁵² последовательностями.

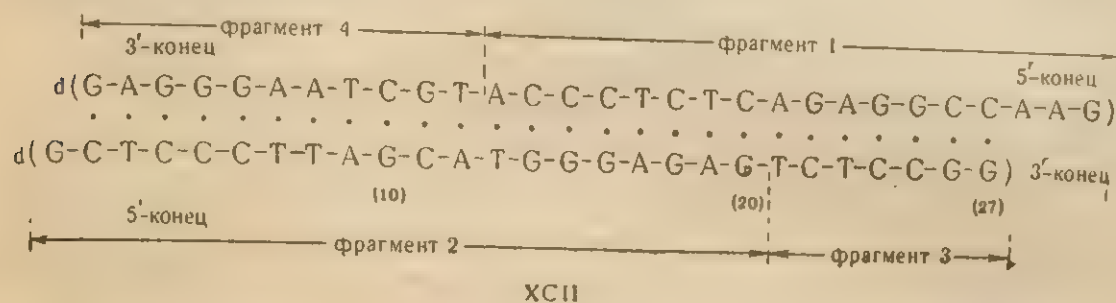
С помощью ДНК-полимеразы удается осуществить и синтез полинуклеотидов, содержащих аналоги природных нуклеозидов ⁴⁵³. В частности, получены полинуклеотиды, содержащие остатки 5-замещенных пиримидиновых дезоксинуклеотидов ⁴⁴⁴ (например, 5-бромдезоксицитидина LXXXIX), 2'-дезоксиуридина ⁴⁵⁴ XC и 4-тио-тимидина XCI ⁴⁵⁵.



Гетерополидезоксинуклеотиды со случайным расположением нуклеозидных остатков можно получить с помощью реакции, катализируемой терминальной дезоксирибонуклеотидилтрансферазой ⁴⁵⁶⁻⁴⁵⁸.

Соединение синтетических олигодезоксирибонуклеотидов с помощью полинуклеотидсоединяющего фермента позволяет осуще-

ствить синтез полинуклеотидов со специфической последовательностью оснований. Так, Коране с сотр.⁴⁵⁸ удалось получить двухцепочечный полинуклеотид ХСII, соответствующий по своему строению фрагменту ДНК, ответственному за синтез части последовательности аланиновой тРНК:



Использованные для ферментативной реакции олигонуклеотидные фрагменты 1—4 были получены химическим синтезом. Можно использовать для частичного синтеза подобных полинуклеотидов и ферментативную полимеризацию. Так, полинуклеотид, содержащий фрагменты 1 и 2, может быть достроен до двухцепочечного комплекса полинуклеотида ХСI действием ДНК-полимеразы и смеси дезоксинуклеозид-5'-трифосфатов⁴⁶⁰.

Совместное использование ДНК-полимеразы и полинуклеотидсоединяющего фермента позволило осуществить также первый синтез природной ДНК — ДНК фага ФХ174¹⁹³. В этом случае в качестве матрицы для синтеза была использована природная однонитевая ДНК фага. С помощью ферментативной реакции получен двухспиральный комплекс, вновь синтезированная цепь которого содержала вместо остатков тимидина остатки 5-бром-2'-дезоксинуридина, поскольку в инкубационной смеси тимидин-5'-трифосфат был заменен на 5-бром-2'-дезоксинуридин-5'-трифосфат. Комплементарные полинуклеотиды разделялись центрифугированием в градиенте плотности, и биосинтетический полинуклеотид вновь использовался как матрица в ферментативной реакции. Продукт реакции представлял собой полностью синтетический полинуклеотид, идентичный по всем исследованным характеристикам однонитевой ДНК фага ФХ174.

Олигорибонуклеотиды *. Для получения олигорибонуклеотидов, прежде всего тринуклеозиддифосфатов, предложен ряд фермента-

* Некоторые олигонуклеотиды наиболее удобно получать расщеплением соответствующих полимеров. Это относится к гомогенным олигорибонуклеотидам, легко получаемым кратковременным щелочным гидролизом соответствующих гомогенных полирибонуклеотидов, а также к олигорибонуклеотидам типа $(Xp)_nYp$, которые легко получить, расщепляя продукт полимеризации ppX и ppY (под действием полинуклеотидфосфорилазы) нуклеазой, специфичной к остатку Yp . (Здесь X и Y — остатки нуклеозидов.) Ряд ди-, три- и тетра-нуклеотидов может быть достаточно легко выделен из продуктов расщепления РНК под действием РНК-аз.

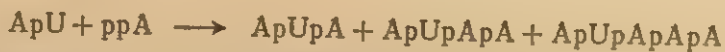
тивных методов. Их несомненным преимуществом перед химическими методами является относительная простота проведения реакции и отсутствие необходимости введения защитных групп.

Наиболее широкое распространение имеет синтез тринуклеозиддифосфатов с помощью рибонуклеаз. В качестве нуклеотидного компонента при таком синтезе необходимо использовать циклофосфат мононуклеотида, способного взаимодействовать с данным ферментом (о специфичности нуклеаз см. стр. 69—72), или олигонуклеотид, имеющий на 3'-конце остаток такого нуклеозид-2',3'-циклофосфата; нуклеозидный компонент может иметь любую структуру. Так, с помощью гуанил-РНК-азы можно осуществить синтез тринуклеозиддифосфатов двух типов (X и Y — остатки нуклеозидов):



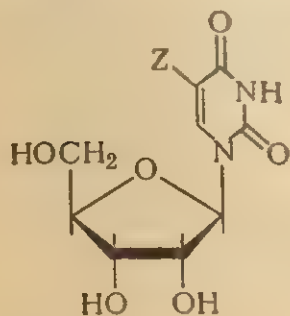
При надлежащем подборе условий можно получать относительные высокие выходы динуклеозидмонофосфатов и тринуклеозиддифосфатов.

Удалось подобрать условия, в которых тринуклеозиддифосфаты являются основным продуктом, образующимся при реакции, катализируемой полинуклеотидфосфорилазой⁴⁶¹⁻⁴⁶³; структура их однозначно определяется структурой добавленной затравки (динуклеозидмонофосфата) и структурой полимеризующегося нуклеозид-5'-дифосфата, например:



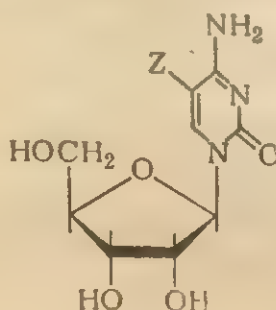
Полирибонуклеотиды. Наиболее удобным методом синтеза гомополирибонуклеотидов является полимеризация нуклеозид-5'-дифосфатов, катализируемая полинуклеотидфосфорилазой. В зависимости от условий реакции удается получить полимеры с мол. весом от $3 \cdot 10^4$ до $2 \cdot 10^6$. Благодаря широкой специфичности фермента к структуре гетероциклического ядра таким путем получены гомополимеры не только нуклеотидов, являющихся основными компонентами РНК^{464, 465}, но и гомополимеры — производные редких компонентов, в частности полипсевдоуридиловая⁴⁶⁶, полиинозиновая⁴⁶⁴, поли-3-метил- и поли-5-метилуридиновые кислоты^{467, 468}, гомополимеры различных метилпроизводных цитидиловой⁴⁶⁹ и адениловой кислот⁴⁷⁰. Удалось, далее, получить гомополимеры, содержащие остатки аналогов природных нуклеозидов, например 5-галоидуридина ХСIII⁴⁷¹, 5-галоидцитидина ХСIV⁴⁷², изoadено-

зина ХСV⁴⁷³, 2-аминоаденозина⁴⁷⁴ и ряда других соединений.



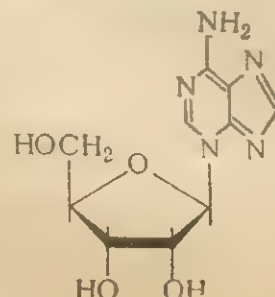
ХСIII

Z = F, Cl, Br, I



ХСIV

Z = Br, I

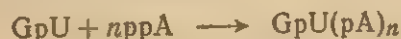


ХСV

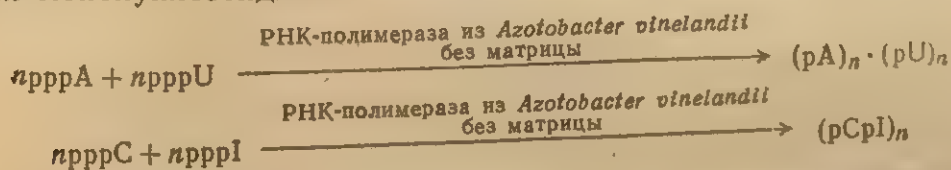
Используя в качестве затравок для реакции с высокоочищенной полинуклеотидфосфорилазой олигонуклеотид, являющийся производным другого нуклеотида, получают блок-полимеры типа $(pX)_n(pY)_m$. Например:



В частности, когда затравка является динуклеозидмонофосфатом, образуется гомополинуклеотид, содержащий на 5'-конце специфический нуклеотидный триплет:



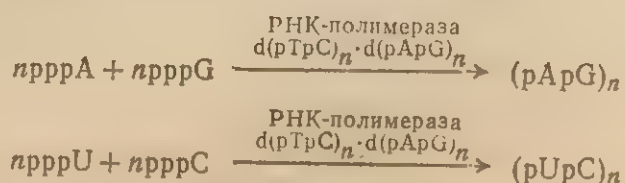
Для получения гомополирибонуклеотидов может быть использована и реакция, катализируемая РНК-полимеразой. Как и в случае ДНК-полимеразы, в некоторых условиях может происходить синтез полимера без добавления матрицы; при этом из смеси аденозин-5'-трифосфата и уридин-5'-трифосфата образуется двухцепочечный комплекс гомополинуклеотидов⁴⁷⁵, а из смеси цитидин-5'-трифосфата и инозин-5'-трифосфата — полимер с чередующимися мононуклеотидными звеньями⁴⁷⁶.



Полиадениловая, полиуридиловая и полицитидиловая кислоты могут быть получены при полимеризации, катализируемой РНК-полимеразой, в условиях «синтеза с повторением» (стр. 99), в качестве исходной матрицы могут быть использованы различные ДНК. Для получения полигуаниловой кислоты используют синтез на матрице полицитидиловой кислоты⁴⁷⁷.

РНК-полимеразная реакция широко применяется для получения полирибонуклеотидов с чередующейся последовательностью

мономерных звеньев. В качестве матрицы могут быть использованы олигодезоксирибонуклеотиды с определенной последовательностью, полученные химическим синтезом^{478, 479}; полимеры более высокого молекулярного веса образуются при применении в качестве заправки полидезоксирибонуклеотидов с повторяющейся последовательностью ди-, три- и тетрануклеозидных звеньев. Например⁴⁸⁰:



В присутствии РНК-полимеразы могут образовываться полимеры, содержащие остатки редких компонентов РНК, в частности дигидроуридина⁴⁸¹ (полимер этого соединения не может быть получен с полинуклеотидфосфорилазой), и аналогов основных компонентов РНК, например 5-бромуридина⁴⁸². Таким путем могут быть получены также полимеры нуклеозидных антибиотиков — туберцидина⁴⁸³ и формицина⁴⁸⁴ — аналогов аденозина.

При полимеризации смеси нуклеозиддифосфатов под действием полинуклеотидфосфорилазы образуются полинуклеотиды, в которых распределение различных мономерных единиц близко к статистическому. Задача получения полирибонуклеотидов известного строения со специфической нуклеотидной последовательностью пока не решена, хотя возможность получения таких соединений с помощью РНК-полимеразной реакции с использованием в качестве матрицы соответствующих полидезоксирибонуклеотидов не вызывает сомнений.

ЛИТЕРАТУРА

1. Пирс Э., Гистохимия, Издательство, 1962, стр. 171.
2. Свифт Х., в кн. «Нуклеиновые кислоты», под ред. Чаргаффа Э., Дэвидсона Д., Издательство, 1957, стр. 388.
3. Зеленин А. В., Люминесцентная гистохимия нуклеиновых кислот, Изд. «Наука», 1967.
4. Шапот В. С., Нуклеазы, Изд. «Медицина», 1968.
5. Дише Э., в кн. «Нуклеиновые кислоты», под ред. Чаргаффа Э., Дэвидсона Д., Издательство, 1957, стр. 548.
6. Кирби К. С., в кн. «Нуклеиновые кислоты», под ред. Дэвидсона Д., Кона В., Изд. «Мир», 1966, стр. 10.
7. Josse J., Eigner J., Ann. Rev. Biochem., **35**, 789 (1966).
8. Kirby K. S., Ulbricht T. L. V., Ann. Repts. Progr. Chem., **63**, 536 (1966).
9. Kirby K. S., Biochem. J., **66**, 495 (1957); **70**, 206 (1958).
10. Kay E. R. M., Simmons N. S., Dounce A. L., J. Am. Chem. Soc., **74**, 1724 (1952).
11. Sevag M. G., Lackman D. B., Smolens J., J. Biol. Chem., **124**, 425 (1938).

12. Marmur J., in «Methods in Enzymology», v. 6, Colowick S. P., Kaplan N. O. (eds), Acad. Press, N. Y.—L., 1963, p. 726; J. Mol. Biol., 3, 208 (1961).
13. Massie H. R., Zimm B. H., Proc. Nat. Acad. Sci. US, 54, 1636 (1965).
14. Davison P. F., Proc. Nat. Acad. Sci. US, 45, 1560 (1959).
15. Davison P. F., Nature, 185, 918 (1960).
16. Thomas C. A., McHattie L. A., Ann. Rev. Biochem., 36, 485 (1967).
17. Edwards P. A., Shooter K. V., Quarth. Rev., 19, 369 (1965).
18. Smith H. O., Levine M., in «Methods in Enzymology», v. 12, part A, Grossman L., Moldave K. (eds), Acad. Press, N. Y.—L., 1967, p. 557.
19. Doty P., McGill B. B., Rice S. A., Proc. Nat. Acad. Sci. US, 44, 432 (1958).
20. Rubinstein I., Thomas C. A., Hershey A. D., Proc. Nat. Acad. Sci. US, 47, 1113 (1961).
21. Burgi E., Hershey A. D., Biophys. J., 3, 309 (1963).
22. Studier F. W., J. Mol. Biol., 11, 373 (1965).
23. Eigner J., Doty P., J. Mol. Biol., 12, 549 (1965).
24. Crothers D. M., Zimm B. H., J. Mol. Biol., 12, 525 (1965).
25. Kleinschmidt A. K., Lang D., Jacherts D., Zahn R. K., Biochim. Biophys. Acta, 61, 857 (1962).
26. Kleinschmidt A. K., Naturwiss., 54, 417 (1967).
27. Marmur J., Doty P., J. Mol. Biol., 5, 109 (1962).
28. Schildkraut C. L., Marmur J., Doty P., J. Mol. Biol., 4, 430 (1962).
29. Vinograd J., Hearst J. E., Fortschr. Chem. Org. Naturstoffe, 20, 372 (1962).
30. Sueoka N., Cheng T. Y., J. Mol. Biol., 4, 161 (1962).
31. Main R. K., Wilkins M. J., Cole L. J., J. Am. Chem. Soc., 81, 6490 (1959); Bernardi G., Biochim. Biophys. Acta, 174, 423 (1969).
32. Albert B. M., in «Methods in Enzymology», v. 12, part A, Grossman L., Moldave K. (eds), Acad. Press, N. Y.—L., 1967, p. 566.
33. Синсхеймер Р., в кн. «Нуклеиновые кислоты», под ред. Чаргаффа Э., Дэвидсона Д., Издательство, 1962, стр. 156.
34. Гендон Ю. З., в кн. «Вирусология и иммунология», под ред. Зильбера Л. А., Изд. «Наука», 1964, стр. 36.
35. Cohen J. A., Science, 158, 343 (1967).
36. Cohen J. A., Bull. Soc. chim. biol., 50, 293 (1968).
37. Thomas C. A., Abelson J., in «Procedures in Nucleic Acid Research», Cantoni G. L., Davies D. R. (eds), Harper and Row Co., N. Y.—L., 1966, p. 553.
38. Freifelder D., in «Methods in Enzymology», v. 12, part A, L. Grossman, K. Moldave (eds), Acad. Press, N. Y.—L., 1967, p. 550.
39. Sinsheimer R. L., in «Procedures in Nucleic Acid Research» Cantoni G. L., Davies D. R. (eds), Harper and Row Co., N. Y.—L., 1966, p. 569.
40. Спирин А. С., Усп. биол. хим., 4, 93 (1962).
41. Тихоненко Т. И., в кн. «Биосинтез белка и нуклеиновых кислот», под ред. Спирина А. С., Изд. «Наука», 1965, стр. 193.
42. Kit S., Ann. Rev. Biochem., 32, 43 (1963).
43. Руководство по цитологии, под ред. Жинкина Л. Н., Румянцев П. П., т. 1, Изд. «Наука», 1965, стр. 355.
44. Cairns J., J. Mol. Biol., 6, 208 (1963).
45. Berns K. I., Thomas C. A., J. Mol. Biol., 11, 476 (1965).
46. MacHattie L. A., Berns K. I., Thomas C. A., J. Mol. Biol., 11, 643 (1965).
47. Safert E., Venner H., Z. physiol. Chem., 344, 278 (1966).
48. Pitout M. J., Maré I. J., Nature, 215, 1187 (1967).
49. Lehman I. R., J. Biol. Chem., 235, 1479 (1960).
50. Miura K., in «Methods in Enzymology», v. 12, part A, Grossman L., Moldave K. (eds), Acad. Press, N. Y.—L., 1967, p. 543.

51. Falkow S., Citarella R. V., *J. Mol. Biol.*, **12**, 138 (1965).
52. Roth T. F., Helinski D. R., *Proc. Nat. Acad. Sci. US*, **58**, 650 (1967).
53. Hikson P. T., Roth T. F., *Proc. Nat. Acad. Sci. US*, **58**, 1731 (1967).
54. Cozzarelli N. R., Kelly R. B., Kornberg A., *Proc. Nat. Acad. Sci. US*, **60**, 922 (1968).
55. Freifelder D. R., Freifelder D., *J. Mol. Biol.*, **32**, 25 (1968).
56. Кроленок С. А., Черноградская И. А., в кн. «Руководство по цитологии», под ред. Вахтина Ю. Б., т. 2, Изд. «Наука», 1966, стр. 280.
57. Тэйлор Дж. Г., в кн. «Молекулярная генетика», под ред. Тэйлора Дж. Г., ч. 1, Изд. «Мир», 1964, стр. 78.
58. Huberman J. A., Riggs A. D., *Proc. Nat. Acad. Sci. US*, **55**, 599 (1966).
59. Sasaki M. S., Norman A., *Exptl. Cell Res.*, **44**, 642 (1966).
60. Zamenhof S., in «Methods in Enzymology», v. 3, Colowick S. P., Kaplan N. O. (eds), Acad. Press, N. Y.—L., 1957, p. 696.
61. Kidson C., *J. Mol. Biol.*, **17**, 1 (1966).
62. Sakabe K., Okazaki R., *Biochim. Biophys. Acta*, **129**, 651 (1966).
63. Oishi M., *Proc. Nat. Acad. Sci. US*, **60**, 329 (1968).
64. Holoubek V., *Anal. Biochem.*, **18**, 375 (1967).
65. Levis A. G., Krsmanovic V., Miller-Faures A., Errera M., *Europ. J. Biochem.*, **3**, 57 (1967).
66. Kit S., *J. Mol. Biol.*, **3**, 711 (1961).
67. Cheng T. Y., Sueoka N., *Science*, **141**, 1194 (1963).
68. Borst P., Ruttenberg G. J. C. M., *Biochim. Biophys. Acta*, **114**, 647 (1966).
69. Flamm W. G., Bond H. E., Burr H. E., Bond S. B., *Biochim. Biophys. Acta*, **123**, 652 (1966).
70. Bond H. E., Flamm W. G., Burr H. E., Bond S. B., *J. Mol. Biol.*, **27**, 289 (1967).
71. Sueoka N., *J. Mol. Biol.*, **3**, 31 (1961).
72. Sueoka N., Cheng T. Y., *Proc. Nat. Acad. Sci. US*, **48**, 1851 (1962), *J. Mol. Biol.*, **4**, 161 (1962).
73. Klett R. P., Smith M., in «Methods in Enzymology», v. 12, part A, Grossman L., Moldave K. (eds), Acad. Press, N. Y.—L., 1967, p. 554.
74. Warring M., Britten R. J., *Science*, **154**, 794 (1966).
75. Шмерлинг Ж. Г., *Усп. совр. биол.*, **59**, 33 (1965).
76. Granick S., Gibor A., *Progr. Nucl. Acid Res.*, **6**, 143 (1967).
77. Iwamura T., *Progr. Nucl. Acid Res.*, **5**, 133 (1966).
78. Rabinowitz M., *Bull. Soc. chim. biol.*, **50**, 311 (1968).
79. Roels H., *Intern. Rev. Cytol.*, **19**, 1 (1966).
80. Luck D. J., *Proc. Nat. Acad. Sci. US*, **49**, 223 (1963); Luck D. J., Reich E., *Proc. Nat. Acad. Sci. US*, **52**, 931 (1964).
81. Rabinowitz M., Singlair J. H., DeSalle L., Haselkorn R., Swift H., *Proc. Nat. Acad. Sci. US*, **53**, 1126 (1965).
82. Kafil G. F., Créce M. A., in «Methods in Enzymology», v. 12, part A, Grossman L., Moldave K. (eds), Acad. Press, N. Y.—L., 1967, p. 533.
83. David I. B., Wolstenholme D. B., *J. Mol. Biol.*, **28**, 233 (1967).
84. Fukuhara U., *Proc. Nat. Acad. Sci. US*, **58**, 1065 (1967).
85. Nass M. M. K., *Proc. Nat. Acad. Sci. US*, **56**, 1215 (1966).
86. Kroon A. M., Borst P., Van Bruggen E. F. J., Ruttenberg G. J. C. M., *Proc. Nat. Acad. Sci. US*, **56**, 1836 (1966).
87. Singlair J. H., Stevens B. J., Gross N., Rabinowitz M., *Biochim. Biophys. Acta*, **145**, 528 (1967).
88. Naas M., Naas S., *J. Cell. Biol.*, **19**, 593 (1963).
89. Chun E. H. L., Vaughan M. H., Rich A., *J. Mol. Biol.*, **7**, 130 (1963).
90. Eisenstadt J. M., Brawerman G., in «Methods in Enzymology», v. 12, part A, Grossman L., Moldave K. (eds), Acad. Press, N. Y.—L., 1967, p. 541.
91. Richards O. C., *Proc. Nat. Acad. Sci. US*, **57**, 156 (1967).

92. Kirby K. S., *Biochim. Biophys. Acta*, **55**, 545 (1962); *Biochem. J.*, **96**, 206 (1965).
93. Hiatt H. H., *J. Mol. Biol.*, **5**, 217 (1962).
94. Midgley J. E. M., *Biochim. Biophys. Acta*, **108**, 358 (1965).
95. Scherrer K., Darnell S. E., *Biochem. Biophys. Res. Comm.*, **7**, 486 (1962).
96. Britton R. J., Roberts R. B., *Science*, **131**, 32 (1960).
97. McConkey E. H., in «Methods in Enzymology», v. 12, part A, Grossman L., Moldave K. (eds), Acad. Press, N. Y. — L., 1967, p. 620.
98. Mandell J. D., Hershey A. D., *Anal. Biochem.*, **1**, 66 (1962).
99. Murakami T., in «Methods in Enzymology», v. 12, part A, Grossman L., Moldave K. (eds), Acad. Press, N. Y. — L., 1967, p. 634.
100. Tsanev R., *Biochim. Biophys. Acta*, **103**, 374 (1965).
101. Richards E. G., Coll J. A., Gratzer W. B., *Anal. Biochem.*, **12**, 452 (1965).
102. Loening V. E., *Biochem. J.*, **102**, 251 (1967).
103. Bishop D. H. L., Claybrook J. R., Spiegelman S., *J. Mol. Biol.*, **26**, 373 (1967).
104. Himmel J. P., Anderson B. S., *Arch. Biochem. Biophys.*, **112**, 443 (1965).
105. Kurland C. G., *J. Mol. Biol.*, **2**, 83 (1960).
106. Maeda A., *J. Biochem.*, **50**, 377 (1961).
107. Спирин А. С., *Биохимия*, **26**, 511 (1961).
108. Hadjiolov A. A., Venkov P. V., Tsanev R. G., *Anal. Biochem.*, **17**, 263 (1966).
109. Шустер Г., в кн. «Нуклеиновые кислоты», под ред. Чаргаффа Э., Дэвидсона Д., Издательство, 1962, стр. 205.
110. Маркхем Р., в кн. «Нуклеиновые кислоты», под ред. Кона В., Дэвидсона Д., Изд. «Мир», 1966, стр. 73.
111. Weissman C., Ochoa S., *Progr. Nucl. Acid. Res.*, **6**, 353 (1967).
112. Wittmann H. G., Scholtissek C., *Ann. Rev. Biochem.*, **35**, 299 (1966).
113. Girard M., in «Methods in Enzymology», v. 12, part A, Grossman L., Moldave K. (eds), Acad. Press, N. Y. — L., 1967, p. 581.
114. Fraenkel-Conrat H., in «Procedures in Nucleic Acid Res.», Cantoni G. L., Davies D. R. (eds), Harper and Row, N. Y. — L., 1966, p. 480.
115. Summers D. F., *ibid.*, p. 488.
116. Comatos P. J., *ibid.*, p. 493.
117. Mills D., Bishop D. H. L., Spiegelman S., *Proc. Nat. Acad. Sci. US*, **60**, 713 (1968).
118. Comatos P. J., Tamm I., *Proc. Nat. Acad. Sci. US*, **49**, 707 (1963).
119. Tomita K. L., Rich A., *Nature*, **201**, 1160 (1964).
120. Sato T., Kyoguko Y., Higuchi S., Mitsui Y., Iitaka Y., Tsuboi M., Miura K., *J. Mol. Biol.*, **16**, 180 (1966).
121. Hofschneider P. H., Ammann J., Francke B., in «Methods in Enzymology», v. 12, part A, Grossman L., Moldave K. (eds), Acad. Press, N. Y. — L., 1967, p. 613.
122. Спирин А. С., в кн. «Нуклеиновые кислоты», под ред. Кона В., Дэвидсона Д., Изд. «Мир», 1965, стр. 341.
123. Богданов А. А., Шакулов А. С., в кн. «Биосинтез белка и нуклеиновых кислот», под ред. Спирина А. С., Изд. «Наука», 1965, стр. 86.
124. Питерман М., Физические и химические свойства рибосом, Изд. «Мир», 1967.
125. Спирин А. С., Гаврилова Л. П., Рибосома, Изд. «Наука», 1968.
126. Moldave K., in «Methods in Enzymology», v. 12, part A, Grossman L., Moldave K. (eds), Acad. Press, N. Y. — L., 1967, p. 607.
127. Bolton E. L., in «Procedures in Nucleic Acid Research», Cantoni G. L., Davies D. R. (eds), Harper and Row, N. Y. — L., 1966, p. 437.

128. Barlow J., Mathias A. P., in «Procedures in Nucleic Acid Research», Cantoni G. L., Davies D. R. (eds), Harper and Row, N. Y. — L., 1966, p. 444.
129. Rosset R., Montier R., Julien J., Bull. Soc. chim. biol., 46, 87 (1964).
130. Comb D. G., Zehavi-Willner T., J. Mol. Biol., 23, 441 (1967).
131. Brown G. L., Progr. Nucl. Acid Res., 2, 259 (1963).
132. Баев А. А., в кн. «Биосинтез белка и нуклеиновых кислот», под ред. Спирина А. С., Изд. «Наука», 1965, стр. 50.
133. Баев А. А., Усп. биол. хим., 7, 67 (1965).
134. Tanaka K., in «Procedures in Nucleic Acid Research», Cantoni C. L., Davies D. R. (eds), Harper and Row, N. Y. — L., 1966, p. 466.
135. Apgar J., Holley R. W., Merrill S. H., J. Biol. Chem., 237, 796 (1962).
136. Холли Р., Аппар Д., Эверетт Г., Медисон Д., Меррил С., Замир А., в сб. «Синтез и структура нуклеиновых кислот», под ред. Варшавского Я. М., Изд. «Мир», 1966, стр. 94.
137. Tada M., Schweiger M., Zachau H. G., Z. physiol. Chem., 328, 85 (1962).
138. Doctor B. P., in «Methods in Enzymology», v. 12, part A, Grossman L., Moldave K., (eds), Acad. Press, N. Y. — L., 1967 p. 664.
139. Bock R. M., Cherayil J. D., *ibid.*, p. 638.
140. Bergquist P. L., Bagulev B. C., Ralph R. K., *ibid.*, p. 660.
141. Sueoka N., Yamane T., *ibid.*, p. 658.
142. Stern R., Littauer U. Z., Biochemistry, 7, 3469 (1968).
143. Gillam I., Millward S., Blew D., von Tigerstorm M., Wimmer E., Tener G. M., Biochemistry, 6, 3043 (1967).
144. Kelmers A. D., Novelli G. D., Stubberg M. P., J. Biol. Chem., 240, 3979 (1965).
145. Weiss J. F., Kelmers A. D., Biochemistry, 6, 2507 (1967); Weiss J. F., Pearson R. L., Kelmers A. D., Biochemistry, 7, 3479 (1968).
146. Zamecnick P. C., Stephenson M. L., Scott J. F., Proc. Nat. Acad. Sci. US, 46, 811 (1960).
147. Stephenson M. L., Zamecnick P. C., Proc. Nat. Acad. Sci. US, 47, 1627 (1961).
148. Stephenson M. L., Zamecnick P. C., in «Methods in Enzymology», v. 12, part A, Grossman L., Moldave K., (eds), Acad. Press, N. Y. — L., 1967, p. 670.
149. Грачев М. А., Мензорова Н. И., Сандакчиев Л. С., Будовский Э. И., Кнорре Д. Г., Биохимия, 31, 840 (1966).
150. Mehler A. H., Bank A., J. Biol. Chem., 238, 2888 (1963).
151. Simon S., Littauer U. Z., Katchalski E., Biochim. Biophys. Acta, 80, 169 (1964).
152. Gillam I., Blew D., Warrington R. C., von Tigerstrom M., Tener G. M., Biochemistry, 7, 3459 (1968).
153. Гаррис Г., в сб. «Нуклеиновые кислоты», под ред. Кона В., Дэвидсона Д., Изд. «Мир», 1966, стр. 215.
154. Овчинников Л. П., Усп. биол. хим., 9, 3 (1968).
155. Georgiev G. P., Progr. Nucl. Acid Res., 6, 259 (1967).
156. Hadjiolov A. A., Progr. Nucl. Acid Res., 7, 196 (1967).
157. Perry R. P., Progr. Nucl. Acid Res., 6, 219 (1967).
158. Weinberg R. A., Loening U., Willems A., Penman S., Proc. Nat. Acad. Sci. US, 58, 1088 (1967).
159. Газарян К. Г., Шуппе Н. Г., Прокошкин Б. Д., Биохимия, 31, 108 (1966).
160. Лерман М. И., Владимирцева Е. А., Терских В. В., Георгиев Г. П., Биохимия, 30, 375 (1965).
161. Bautz E. K. F., J. Mol. Biol., 17, 298 (1966).
162. Scherrer K., Marcaud L., Zajdela F., Breckenridge B., Cros F., Bull. Soc. chim. biol., 48, 1037 (1966).

163. Soeiro R., Birnboim C., Darnell J., *J. Mol. Biol.*, **19**, 362 (1966).
164. Huang R. C., Bonner J., *Proc. Nat. Acad. Sci. US*, **54**, 960 (1965).
165. Benjamin W., Levander O. A., Gellhorn A., DeBellis R. H., *Proc. Nat. Acad. Sci. US*, **55**, 858 (1966).
166. Bonner J., Widholm J., *Proc. Nat. Acad. Sci. US*, **57**, 1379 (1967).
167. Липман Ф., в сб. «Нуклеиновые кислоты», под ред. Кона В., Дэвидсона Д., Изд. «Мир», 1965, стр. 155.
168. Басс И. А., Гвоздев В. А., в кн. «Биосинтез белка и нуклеиновых кислот», под ред. Спирина А. С., Изд. «Наука», 1965, стр. 50.
169. Singer M. F., Leder P., *Ann. Rev. Biochem.*, **35**, 195 (1966).
170. Chantreune H., Burny A., Marbaix G., *Progr. Nucl. Acid Res.*, **7**, 173 (1967).
171. Shapot V., Pitot H. C., *Biochim. Biophys. Acta*, **119**, 37 (1966).
172. Rodionova N. P., Shapot V. S., *Biochim. Biophys. Acta*, **129**, 206 (1966).
173. Bergeron-Bouvet C., Moule Y., *Biochim. Biophys. Acta*, **123**, 617 (1966).
174. King H. W. S., Fitschen W., *Biochim. Biophys. Acta*, **155**, 32 (1968).
175. Rogers P. J., Preston B. N., Titchener E. B., Linnam A. W., *Biochem. Biophys. Res. Comm.*, **27**, 405 (1967).
176. Rifkin M. R., Wood D. D., Luck D. J. D., *Proc. Nat. Acad. Sci. US*, **58**, 1025 (1967).
177. Kuntel H., Noss H., *Nature*, **215**, 1340 (1967).
178. Barnett E., Brown D. H., *Proc. Nat. Acad. Sci. US*, **57**, 452 (1967).
179. Epler J. J., Barnett E., *Biochem. Biophys. Res. Comm.*, **28**, 328 (1967).
180. Buck C. A., Nass M. M. K., *Proc. Nat. Acad. Sci. US*, **60**, 1045 (1968).
181. Stuts E., Noll H., *Proc. Nat. Acad. Sci. US*, **57**, 774 (1967).
182. Phetthean P. D., Jervis L., Hallway M., *Biochem. J.*, **108**, 25 (1968).
183. Brown D. M., Todd A. R., in «Nucleic Acids», v. 1, Chargaff, E., Davidson D., (eds), Acad. Press, N. Y. — L., 1955, p. 409.
184. Levene P. A., Simms H. S., *J. Biol. Chem.*, **65**, 519 (1925); **70**, 327 (1927).
185. Brown D. M., Todd A. R., *J. Chem. Soc.*, **1952**, 52.
186. Carter C. E., *J. Am. Chem. Soc.*, **73**, 1537 (1951).
187. Dekker C. A., Michelson A. M., Todd A. R., *J. Chem. Soc.*, **1953**, 947.
188. Cohn W. E., Volkin E., *J. Biol. Chem.*, **203**, 319 (1953).
189. Brown D. M., Todd A. R., *J. Chem. Soc.*, **1953**, 2040.
190. Heppell L. A., Whitfield P. R., *Biochem. J.*, **60**, 1 (1955).
191. Whitfield P. R., Heppell L. A., Markham R., *Biochem. J.*, **60**, 15 (1955).
192. IUPAC — IUB Combined Commission on Biochemical Nomenclature, *Biochemistry*, **5**, 1445 (1966).
193. Goulian M., Kornberg A., Sinsheimer R. L., *Proc. Nat. Acad. Sci. US*, **58**, 2321 (1967).
194. Spiegelman S., Haruna I., Holland I. B., Beaudreau G., Mills D., *Proc. Nat. Acad. Sci. US*, **54**, 919 (1965).
195. Бендич А., Розенкранц Г., в сб. «Нуклеиновые кислоты», под ред. Кона В., Дэвидсона Д., Изд. «Мир», 1965, стр. 245.
196. Дрыгин Ю. Ф., Богданов А. А., Прокофьев М. А., *Химия природных соединений*, **1966**, 218.
197. Ralph R. K., Young R. J., Khorana H. G., *J. Am. Chem. Soc.*, **84**, 1490 (1962).
198. Rajbhandary U. L., Young R. J., Khorana H. G., *J. Biol. Chem.*, **239**, 3875 (1964).
199. Dulbecco R., Smith J. D., *Biochim. Biophys. Acta*, **39**, 358 (1960).
200. Steinschneider A., Fraenkel-Conrat H., *Biochemistry*, **5**, 2729 (1966).

201. Hunt J. A., *Biochem. J.*, **95**, 541 (1965).
202. RajBhandary U. L., *J. Biol. Chem.*, **243**, 556 (1968).
203. Stuart A., Khorana H. G., *J. Biol. Chem.*, **239**, 3885 (1964).
204. Novogrodsky A., Hurwitz J., *J. Biol. Chem.*, **241**, 2923 (1966).
205. Wu R., Kaiser A. D., *Proc. Nat. Acad. Sci. US*, **57**, 170 (1967).
206. Weiss R., Richardson C. C., *J. Mol. Biol.*, **23**, 405 (1967).
207. Bishop D. H. L., Pace N. R., Spiegelman S., *Proc. Nat. Acad. Sci. US*, **58**, 1790 (1967).
208. Roblin R., *J. Mol. Biol.*, **31**, 51 (1968).
209. De Wachter R., Verhassel J. P., Fiers W., *Biochem. Biophys. Acta*, **157**, 195 (1968).
210. Watanabe M., August J. T., *Proc. Nat. Acad. Sci. US*, **59**, 513 (1968).
211. Clayton D. A., Vinograd J., *Nature*, **216**, 652 (1967).
212. Hudson B., Vinograd J., *Nature*, **216**, 647 (1967).
213. Pikó L., Blair D. J., Tyler A., Vinograd J., *Proc. Nat. Acad. Sci. US*, **59**, 838 (1968).
214. Hotta Y., Bassel A., *Proc. Nat. Acad. Sci. US*, **53**, 357 (1965).
215. Levene P. A., Bass L. W., *Nucleic Acid, Chemical Catalog Co., N. Y.*, 1931.
216. Jordan D. O., *Chemistry of the Nucleic Acids*, Butterworth, L., 1960.
217. Микельсон А., *Химия нуклеозидов и нуклеотидов*, Изд. «Мир», 1966.
218. Венкстерн Т. В., *Усп. биол. хим.*, **6**, 3 (1964).
219. Hall R. H., *Biochemistry*, **4**, 661 (1965).
220. Littlefield J. W., Dunn D. B., *Biochem. J.*, **70**, 642 (1958).
221. Hall R. H., *Biochem. Biophys. Res. Comm.*, **12**, 361 (1963).
222. Lipsett M. N., *J. Biol. Chem.*, **240**, 3975 (1965).
223. Madison J. T., Holley R. W., *Biochem. Biophys. Res. Comm.*, **18**, 152 (1965).
224. Lis A. W., Passarge W. E., *Arch. Biochem. Biophys.*, **114**, 593 (1966).
225. Gray M. W., Lane B. G., *Biochemistry*, **7**, 3441 (1968).
226. Iwanami Y., Brown G. M., *Arch. Biochem. Biophys.*, **124**, 472 (1968).
227. Baczynsky L., Biemann K., Hall R. H., *Science*, **159**, 1481 (1968).
228. Carbon J. A., Hung L., Jones D. S., *Proc. Nat. Acad. Sci. US*, **53**, 979 (1965).
229. Carbon J. A., David H., Studier M. H., *Science*, **161**, 1146 (1968).
230. Cohn W. E., *J. Biol. Chem.*, **235**, 1488 (1960).
231. Dunn D. B., *Biochim. Biophys. Acta*, **38**, 176 (1960).
232. Cantoni G. L., Gelboin H. V., Luborsky S. W., Richards H. H., *Biochim. Biophys. Acta*, **61**, 354 (1962).
233. RajBhandary U. L., Faulkner R. D., Stuart A., *J. Biol. Chem.*, **243**, 575 (1968).
234. Feldmann H., Dütting D., Zachau H. G., *Z. physiol. Chem.*, **347**, 236 (1966).
235. Gassen H. G., Witzel H., *Biochim. Biophys. Acta*, **95**, 244 (1965).
236. Dunn D. B., *Biochim. Biophys. Acta*, **46**, 198 (1961).
237. Hall R. H., *Biochem. Biophys. Res. Comm.*, **13**, 394 (1963).
238. Biemann K., Tsunakawa S., Sonnenbichler J., Feldmann H., Dütting H., Zachau H. G., *Angew. Chem.*, **78**, 600 (1966).
239. Robins M. J., Hall R. H., Thedford R., *Biochemistry*, **6**, 1837 (1967).
240. Hall R. H., Csonka L., David H., McLennan B., *Science*, **156**, 69 (1967).
241. Harada F., Gross H. J., Kimura F., Chang S. H., Nishimura S., RajBhandary U. L., *Biochem. Biophys. Res. Comm.*, **33**, 299 (1968); Burrows W. J., Armstrong D. J., Skoog F., Hecht S. M., Boyle J. T. A., Leonard N. J., Occolowitz J., *Science*, **161**, 691 (1968).
242. Hall R. H., *Biochemistry*, **3**, 769 (1964).
243. Hall R. H., Chedda G. B., *J. Biol. Chem.*, **240**, PC 2754 (1965).

244. Smith J. B., Dunn D. B., *Biochem. J.*, **72**, 294 (1959).
245. Dunn D. B., *Biochem. J.*, **86**, 14p (1963).
246. Smith J. D., Dunn D. B., *Biochim. Biophys. Acta*, **31**, 573 (1959).
247. Hall R. H., *Biochemistry*, **3**, 876 (1961).
248. Nichols J. L., Lane B. G., *Canad. J. Biochem.*, **44**, 1633 (1966); *Biochim. Biophys. Acta*, **166**, 605 (1968).
249. Wyatt G. R., Cohen S. S., *Nature*, **170**, 1072 (1952).
250. Lehman I. R., Pratt E. A., *J. Biol. Chem.*, **235**, 3524 (1960).
251. Kuno S., Lehman I. R., *J. Biol. Chem.*, **237**, 1266 (1962).
252. Kallen R. G., Simon M., Marmur J., *J. Mol. Biol.*, **5**, 248 (1962).
253. Takahashi I., Marmur J., *Nature*, **197**, 794 (1963).
254. Ванюшин Б. Ф., *Усп. совр. биол.*, **65**, 163 (1968).
255. Wyatt R. G., *Biochem. J.*, **48**, 581 (1951).
256. Dunn D. B., Smith J. B., *Biochem. J.*, **68**, 627 (1958).
257. Unger G., Venner H., *Z. physiol. Chem.*, **344**, 280 (1966).
258. Bendich A., in «Methods in Enzymology», v. 3, Colowick S. P., Kaplan N. O. (eds), Acad. Press, N. Y.—L., 1957, p. 715.
259. Cohn W. E., in «Methods in Enzymology», v. 3, Colowick S. P., Kaplan N. O. (eds), Acad. Press, N. Y.—L., 1957, p. 724.
260. Smith J. D., in «Methods in Enzymology», v. 12, part A, Grossman L., Moldave K., (eds), Acad. Press, N. Y.—L., 1967, p. 350.
261. Markham R., in «Methods in Enzymology», v. 3, Colowick S. P., Kaplan N. O. (eds), Acad. Press, N. Y.—L., 1957, p. 743.
262. Randerath K., Randerath E., in «Methods in Enzymology», v. 12, part A, Grossman L., Moldave K. (eds), Acad. Press, N. Y.—L., 1967, p. 323.
263. Будовский Э. И., Клебанова Л. М., *Вопр. мед. хим.*, **13**, 299 (1967).
264. Chargaff E., *Experientia*, **6**, 201 (1950).
265. Белозерский А. Н., Спирин А. С., в кн. «Нуклеиновые кислоты», под ред. Чаргаффа Э., Дэвидсона Д., Издательство, 1962, стр. 123.
266. Белозерский А. Н., Труды V Международного биохимического конгресса, симпозиум III, Изд. АН СССР, 1962, стр. 123.
267. Антонов А. С., *Усп. совр. биол.*, **60**, 161 (1965).
268. Elson D., Chargaff E., *Biochim. Biophys. Acta*, **17**, 367 (1955).
269. Hall B. D., Spiegelman S., *Proc. Nat. Acad. Sci. US*, **47**, 137 (1961).
270. Bolton E. T., McCarthy J., *Proc. Nat. Acad. Sci. US*, **48**, 1390 (1962); *J. Mol. Biol.*, **8**, 201 (1964).
271. Bautz E. K. F., Hall B. D., *Proc. Nat. Acad. Sci. US*, **48**, 400 (1962).
272. Strack H. B., Kaiser A. D., *J. Mol. Biol.*, **12**, 36 (1965).
273. MacHattie L. A., Ritchie D. S., Thomas C. A., Richardson C. C., *J. Mol. Biol.*, **23**, 355 (1967).
274. Abelson J., Thomas C. A., *J. Mol. Biol.*, **18**, 262 (1966).
275. Josse J., Kaiser A. D., Kornberg A., *J. Biol. Chem.*, **236**, 861 (1961).
276. Weiss S. B., Nakamoto T., *Proc. Nat. Acad. Sci. US*, **47**, 1400 (1961).
277. Hurwitz J., Furth J. J., Andrews M., Evans A., *J. Biol. Chem.*, **237**, 3752 (1962).
278. Баев А. А., в кн. Шапота В. С. «Нуклеазы», Изд. «Медицина», 1968, стр. 164.
279. RajBhandary U. L., Stuart A., *Ann. Rev. Biochem.*, **35**, 759 (1966).
280. Burton K., in «Essays in Biochemistry», v. 1, Campbell P. N., Greville D. (eds), Acad. Press, N. Y.—L., 1965 p. 57.
281. Schütt M., *Z. Chem.*, **8**, 12 (1968).
282. Whitfield P., *Biochem. J.*, **58**, 390 (1954).
283. Brown D. M., Fried M., Todd A. R., *J. Chem. Soc.*, **1955**, 2206.
284. Yu C.-T., Zamecnik P. C., *Biochim. Biophys. Acta*, **45**, 148 (1960).
285. Neu H. C., Heppel L. A., *J. Biol. Chem.*, **239**, 2927 (1964).
286. Whitfield P., *Biochim. Biophys. Acta*, **108**, 202 (1965).
287. Steinschneider A., Fraenkel-Conrat H., *Biochemistry*, **5**, 2735 (1966).

288. Weith H. L., Gilham P. T., J. Am. Chem. Soc., 89, 5473 (1967).
289. Moss G. P., Reese C. B., Schofield K., Shapiro R. S., Todd A. R., J. Chem. Soc., 1963, 1149.
290. Gabriel T., Nussbaum A. L., Abstr. Papers of XXIst Intern. Congress Pure Appl. Chem., Nucleic Acid Components, Prague, 1967, № 51; Gabriel T., Chen W. Y., Nussbaum A. L., J. Am. Chem. Soc., 90, 6833 (1968).
291. Holley R. W., Madison J. T., Zamir A., Biochem. Biophys. Res. Comm., 17, 389 (1964).
292. Василенко С. К., Демушкин В. П., Будовский Э. И., Кнорре Д. Г., ДАН СССР, 162, 694 (1965).
293. Bayley C. R., Brammer K. W., Jones A. S., J. Chem. Soc., 1961, 1903.
294. Tamm C., Hodes M. E., Chargaff E., J. Biol. Chem., 195, 49 (1952).
295. Jones A. S., Tittensor J. R., Walker R. T., Nature, 209, 296 (1966).
296. Takemura S., Biochim. Biophys. Acta, 29, 447 (1958); Bull. Chem. Soc. Japan, 32, 920 (1959).
297. Chargaff E., Shapiro H. S., Biochemistry, 5, 3012 (1966).
298. Kochetkov N. K., Budowsky E. I., Turchinsky M. F., Simukova N. A., Biochem. Biophys. Res. Comm., 19, 49 (1965).
299. Kochetkov N. K., Budowsky E. I., Demushkin V. P., Turchinsky M. F., Simukova N. A., Sverdlov E. D., Biochim. Biophys. Acta, 142, 35 (1967).
300. Beers K. T., J. Biol. Chem., 235, 2393 (1960).
301. Москвитина Т. А., Будовский Э. И., ДАН СССР, 171, 999 (1966).
302. Witzel H., Progress in Nucleic Acid Res., v. 2, Acad. Press, N. Y.—L., 1963, p. 221.
303. Gassen G. H., Witzel H., Europ. J. Biochem., 1, 36 (1967).
304. Эгами Ф., Такасахи К., Усида Ц., в сб. «Нуклеиновые кислоты», под ред. Кона В., Дэвидсона Д., Изд. «Мир», 1966, стр. 144.
305. Татарская Р. И., Абросимова-Амельянчик Н. М., Аксельрод В. Д., Коренько А. И., Венкстерн Т. В., Мирзабеков А. Д., Баев А. А., ДАН СССР, 157, 725 (1964); Татарская Р. И., Абросимова-Амельянчик Н. М., Аксельрод В. Д., Коренько А. И., Ниедра Н. Я., Баев А. А., Биохимия, 31, 1017 (1966).
306. Lee J. C., Ho N. W. Y., Gilham P. T., Biochim. Biophys. Acta, 95, 503 (1965).
307. Иванова О. И., Кнорре Д. Г., Малыгин Э. Г., Мол. биол., 1, 335 (1967).
308. Кочетков Н. К., Будовский Э. И., Турчинский М. Ф., Демушкин В. П., ДАН СССР, 152, 1005 (1963).
309. Kochetkov N. K., Budowsky E. I., Broude N. E., Klebanova L. M., Biochim. Biophys. Acta, 134, 492 (1967).
310. Goldstein J., J. Mol. Biol., 25, 23 (1967).
311. Штэелин М., в сб. «Нуклеиновые кислоты», под ред. Кона В. и Дэвидсона Д., Изд. «Мир», 1966, стр. 44.
312. Laskowski M., in «Methods in Enzymology», v. 12, part A, Grossman L., Moldave K., (eds), Acad. Press, N. Y.—L., 1967, p. 281.
313. Furlong N. B., ibid., p. 318.
314. Sanger F., Brownlee G. G., ibid., p. 361.
315. Miura K., Hayashi Y., ibid., p. 390.
316. Rushizky G. W., ibid., p. 295.
317. Tener G. M., ibid., p. 398.
318. Holley R. W., Apgar J., Everett G. A., Madison J. T., Marquisee M., Merrill S. H., Penswick J. H., Zamir A., Science, 147, 1462 (1965); русск. пер. в сб. «Синтез и структура нуклеиновых кислот», под ред. Варшавского Я. М., Изд. «Мир», 1966, стр. 128.
319. Penswick J. P., Holley R. W., Proc. Nat. Acad. Sci. US 53, 543 (1965).

320. Zachau H. G., Dütting D., Feldman H., *Z. physiol. Chem.*, **347**, 212 (1966).
321. Madison J. T., Everett G. A., Kung H., *Science*, **153**, 531 (1966).
322. Баев А. А., Венкстери Т. В., Мирзабеков А. Д., Крутилина А. И., Ли Л., Аксельрод В. Д., *Мол. биол.*, **1**, 754 (1967).
323. RajBhandary U. L., Chang S. H., Stuart A., Faulkner R. D., Hoskinson R. M., Khorana H. G., *Proc. Nat. Acad. Sci. US*, **57**, 751 (1967).
324. Goodman H. M., Abelson J., Landy A., Brenners S., Smith J. D., *Nature*, **217**, 1019 (1968).
325. Dube S. K., Marcker K. A., Clark B. F. C., Cory S., *Nature*, **218**, 232 (1968).
326. Takemura S., Mizutani T., Miyazaki M., *J. Biochem.*, **63**, 227 (1968).
327. Staehelin M., Rogg H., Baguley B. C., Ginsberg T., Wehrli W., *Nature*, **219**, 1363 (1968).
328. Forget B. G., Weissman S. H., *Science*, **158**, 1695 (1967); *J. Biol. Chem.*, **244**, 3148 (1969).
329. Brownlee G. G., Sanger F., Barrell B. G., *Nature*, **215**, 735 (1967); *J. Mol. Biol.*, **34**, 379 (1968).
330. Sugiura M., Takanami M., *Proc. Nat. Acad. Sci. US*, **58**, 1595 (1967).
331. Takanami M., *J. Mol. Biol.*, **23**, 135 (1967); **29**, 323 (1967).
332. Sanger F., Brownlee G. G., Barrell B. G., *J. Mol. Biol.*, **13**, 373 (1965).
333. Delihans N., *Biochemistry*, **6**, 3356 (1967).
334. Gound H. J., *J. Mol. Biol.*, **29**, 307 (1967).
335. Mandelless S., *J. Biol. Chem.*, **242**, 3103 (1967).
336. de Wachter R., Fiers W., *J. Mol. Biol.*, **30**, 507 (1967).
337. Bishop D. L. H., Miles D. R., Spiegelman S., *Biochemistry*, **7**, 3744 (1968).
338. Mandeles S., *J. Biol. Chem.*, **243**, 3671 (1968).
339. May D. S., Knight C. A., *Virology*, **25**, 502 (1965).
340. Shapiro H. S., in «Methods in Enzymology», v. 12, part A, Grossman L., Moldave K. (eds), Acad. Press, N. Y.—L., 1967, p. 205.
341. Burton K., *ibid.*, p. 222.
342. Shapiro H. S. *ibid.*, p. 212.
343. Lunt M. R., Burton K., *Biochim. Biophys. Acta*, **55**, 1005 (1962).
344. Brown D. D., Weber C. S., *J. Mol. Biol.*, **34**, 661, 681 (1968).
345. Корана Г., Новые направления в химии биологически важных эфиров фосфорной кислоты, Изд. «Мир», 1964.
346. Женодарова С. М., *Усп. хим.*, **34**, 82 (1965).
347. Женодарова С. М., Хабарова М. И., *Усп. хим.*, **35**, 1265 (1966).
348. Cramer F., *Angew. Chem.*, **78**, 186 (1966).
349. Khorana H. G., Vizsolyi J. P., Ralph R. K., *J. Am. Chem. Soc.*, **84**, 414 (1962).
350. Jacob T. M., Khorana H. G., *J. Am. Chem. Soc.*, **86**, 1630 (1964).
351. Gilham P. T., Khorana H. G., *J. Am. Chem. Soc.*, **80**, 6212 (1958).
352. Lohrmann R., Khorana H. G., *J. Am. Chem. Soc.*, **88**, 829 (1966).
353. Wiemann G., Khorana H. G., *J. Am. Chem. Soc.*, **84**, 4329 (1962).
354. Letsinger R. L., Ogilvie K. K., *J. Am. Chem. Soc.*, **89**, 4801 (1967); *J. Am. Chem. Soc.*, **91**, 3350 (1969); Letsinger R. L., Ogilvie K. K., Miller P. S., *J. Am. Chem. Soc.*, **91**, 3360 (1969).
355. Eckstein F., Rizk I., *Angew. Chem.*, **79**, 684, 939 (1967); *Chem. Ber.*, **102**, 2362 (1969).
356. Letsinger R. L., Mahadevan V., *J. Am. Chem. Soc.*, **87**, 3526 (1965); **88**, 5319 (1966).

357. Cramer F., Hellig R., Hettler H., Scheit K. H., Seliger H., *Angew. Chem.*, **78**, 640 (1966).
358. Hayatsu H., Khorana H. G., *J. Am. Chem. Soc.*, **88**, 3182 (1966); **89**, 3881 (1967).
359. Melby L. R., Strobach D. R., *J. Am. Chem. Soc.*, **89**, 450 (1967).
360. Blackburn G. M., Brown M. J., Harris M. R., *J. Chem. Soc., C*, **1967**, 2438.
361. Tener G. M., Khorana H. G., Markham R., Pol E. H., *J. Am. Chem. Soc.*, **80**, 6223 (1958).
362. Khorana H. G., Vizsolyi J. P., *J. Am. Chem. Soc.*, **83**, 675 (1961).
363. Talahashi A., Adler J., Khorana H. G., *J. Biol. Chem.*, **238**, 3080 (1963).
364. Khorana H. G., Turner A. F., Vizsolyi J. P., *J. Am. Chem. Soc.*, **83**, 686 (1961).
365. Ralph R. K., Khorana H. G., *J. Am. Chem. Soc.*, **83**, 2926 (1961).
366. Ralph R. K., Connors W. J., Schaller H., Khorana H. G., *J. Am. Chem. Soc.*, **85**, 1983 (1963).
367. Turner A. F., Khorana H. G., *J. Am. Chem. Soc.*, **81**, 4651 (1959).
368. Ohtsuka E., Moon M. W., Khorana H. G., *J. Am. Chem. Soc.*, **87**, 2956 (1965).
369. Wiemann G., Schaller H., Khorana H. G., *J. Am. Chem. Soc.*, **85**, 3835 (1963).
370. Narang S. A., Jacob T. M., Khorana H. G., *J. Am. Chem. Soc.*, **89**, 2167 (1967).
371. Cramer F., Frölke W., Matzura H., *Angew. Chem.*, **79**, 580 (1967).
372. Jacob T. M., Narang S. A., Khorana H. G., *J. Am. Chem. Soc.*, **89**, 2177 (1967).
373. Michelson A. M., Todd A. R., *J. Chem. Soc.*, **1955**, 2632.
374. Jacob T. M., Khorana H. G., *J. Am. Chem. Soc.*, **87**, 368 (1965).
375. Jacob T. M., Khorana H. G., *J. Am. Chem. Soc.*, **87**, 2971 (1965).
376. Narang S. A., Khorana H. G., *J. Am. Chem. Soc.*, **87**, 2981 (1965).
377. Narang S. A., Jacob T. M., Khorana H. G., *J. Am. Chem. Soc.*, **87**, 2988 (1965).
378. Kössel H., Büchi H., Khorana H. G., *J. Am. Chem. Soc.*, **89**, 2185 (1967).
379. Letsinger R. L., Caruthers M. H., Jerina D. M., *Biochemistry*, **6**, 1379 (1967).
380. Letsinger R. L., Caruthers M. H., Miller P. S., Ogilvie K. K., *J. Am. Chem. Soc.*, **89**, 7146 (1967).
381. Kössel H., Moon M. W., Khorana H. G., *J. Am. Chem. Soc.*, **89**, 2148 (1967).
382. Ohtsuka E., Khorana H. G., *J. Am. Chem. Soc.*, **89**, 2195 (1967).
383. Schaller H., Khorana H. G., *J. Am. Chem. Soc.*, **85**, 3828, 3841 (1963).
384. Weimann G., Schaller H., Khorana H. G., *J. Am. Chem. Soc.*, **85**, 3835 (1963).
385. Ohtsuka E., Moon M. W., Khorana H. G., *J. Am. Chem. Soc.*, **87**, 2956 (1965).
386. Eckstein F., *Chem. Ber.*, **100**, 2236 (1967).
387. Franke A., Eckstein F., Scheit K. H., Cramer F., *Chem. Ber.*, **101**, 944 (1968).
388. Kathawala F., Cramer F., *Ann.*, **709**, 185 (1967).
389. Kathawala F., Cramer F., *Ann.*, **712**, 195 (1968).
390. Narang S. A., Dheer S. K., Michniewicz, *J. Am. Chem. Soc.*, **90**, 2702 (1968).
391. Lohrmann R., Söll D., Hayatsu H., Ohtsuka E., Khorana H. G., *J. Am. Chem. Soc.*, **88**, 819 (1966).
392. Holý A., Smrt J., *Coll. Czech. Chem. Comm.*, **31**, 3800 (1966).

393. Lapidot Y., Khorana H. G., J. Am. Chem. Soc., **85**, 3852 (1963).
394. Smrt J., Coll. Czech. Chem. Comm., **29**, 2049 (1964); Smrt J., Sorm F., Coll. Czech. Chem. Comm. **29**, 2971 (1964).
395. Coutsogeorgopoulos C., Khorana H. G., J. Am. Chem. Soc., **86**, 2926 (1964).
396. Smith M., Rammler D. H., Goldberg I. H., Khorana H. G., J. Am. Chem. Soc., **84**, 130 (1962).
397. Cramer F., Rhaese H. J., Rittner S., Scheit K. H., Ann., **683**, 199 (1965).
398. Smrt J., Sorm F., Coll. Czech. Chem. Comm., **27**, 73 (1962); **28**, 61 (1963).
399. Chladek S., Smrt J., Coll. Czech. Chem. Comm., **29**, 211 (1964).
400. Rammler D. H., Khorana H. G., J. Am. Chem. Soc., **84**, 3112 (1962).
401. Zemlička J., Chladek S., Holý A., Smrt J., Coll. Czech. Chem. Comm., **31**, 3198 (1966).
402. Smrt J., Coll. Czech. Chem. Comm., **33**, 1462 (1968).
403. Holý A., Coll. Czech. Chem. Comm., **33**, 223 (1968).
404. Söll D., Khorana H. G., J. Am. Chem. Soc., **87**, 360 (1965).
405. Cramer F., Scheit K. H., Rhaese H. J., Ann., **693**, 244 (1966).
406. Тихомирова-Сидорова Н. С., Кавуненко А. П., Пяйвинен Э. А., ЖОХ, **37**, 1923 (1967).
407. Söll D., Khorana H. G., J. Am. Chem. Soc., **87**, 350 (1965).
408. Smrt J., Sorm F., Coll. Czech. Chem. Comm., **28**, 2415 (1963).
409. Rhaese H. J., Siehr W., Cramer F., Ann., **703**, 215 (1967).
410. Griffin B. E., Jarman M., Reese C. B., Tetrahedron, **24**, 639 (1968).
411. Griffin B. E., Reese C. B., Tetrahedron **24**, 2537 (1968).
412. Heppel L. A., Whitfield P. A., Biochem. J., **60**, 1 (1955).
413. Heppel L. A., Whitfield P. A., Markham R., Biochem. J., **60**, 8 (1955).
414. Bernfield M. R., J. Biol. Chem., **241**, 2014 (1966); **240**, 4753 (1965).
415. Тихомирова-Сидорова Н. С., Устюжанин Г. Е., Коган Э. М., ЖОХ, **36**, 2219 (1966); Биохимия, **32**, 867 (1967).
416. Sato-Asano K., Egami F., Biochim. Biophys. Acta, **29**, 655 (1958); J. Biochem. (Japan), **48**, 284 (1960).
417. Hayashi H., Egami F., J. Biochem. Japan, **53**, 176 (1963).
418. Scheit K. H., Cramer F., Tetrahedron Letters, **1964**, 2975.
419. Grünberger D., Holý A., Sorm F., Coll. Czech. Chem. Comm., **33**, 286 (1968).
420. Абросимова-Амельянчик Н. М., Татарская Р. И., Баев А. А., Мол. биол., **1**, 307 (1967).
421. Zhenodarova S. M., Sedelnikova E. M., Biochim. Biophys. Acta, **169**, 559 (1968).
422. Боллум Ф., в сб. «Нуклеиновые кислоты», под ред. Кона В., Дэвидсона Д., Изд. «Мир», 1965, стр. 9.
423. Keir H. M., Progr. Nucl. Acid Res., **4**, 82 (1965).
424. Elson D., Ann. Rev. Biochem., **34**, 449 (1965).
425. Krakow J. S., Coutsogeorgopoulos C., Cannellanis E. S., Biochim. Biophys. Acta, **55**, 639 (1962).
426. Keir H. M., Smith S. M., Biochim. Biophys. Acta, **68**, 589 (1963).
427. Bollum F. J., Groeniger E., Yoneda M., Proc. Nat. Acad. Sci. US, **51**, 853 (1964).
428. Тонгур В. С., в кн. «Биосинтез белка и нуклеиновых кислот», под ред. Спирина А. С., Изд. «Наука», 1965, стр. 277.
429. Грюнберг-Маного М., в сб. «Нуклеиновые кислоты», под ред. Кона В., Дэвидсона Д., Изд. «Мир», 1965, стр. 112.
430. Смелли Р., в сб. «Нуклеиновые кислоты», под ред. Кона В., Дэвидсона Д., Изд. «Мир», 1965, стр. 39.

431. Хервиц Дж., Огест Дж., в сб., «Нуклеиновые кислоты», под ред. Кона В. Дэвидсона Д., Изд. «Мир», 1965, стр. 74.
432. Остерман Л. А., Усп. биол. хим., 7, 116 (1965).
433. Haruna I., Nozu K., Ohtaka Y., Spiegelman S., Proc. Nat. Acad. Sci. US, 50, 905 (1963).
434. Haruna I., Spiegelman S., Proc. Nat. Acad. Sci. US, 54, 579 (1965).
435. Weissman C., Borst P., Burdon R. H., Billeter M. A., Ochoa S., Proc. Nat. Acad. Sci. US, 51, 682, 690 (1964).
436. Gellert M., Proc. Nat. Acad. Sci. US, 57, 148 (1967).
437. Weiss B., Richardson C. C., Proc. Nat. Acad. Sci. US, 57, 1021 (1967).
438. Olivera B. M., Lehman I. R., Proc. Nat. Acad. Sci. US, 57, 1426 (1967).
439. Gupta N. K., Ohtsuka E., Weber H., Chang S. H., Khorana H. G., Proc. Nat. Acad. Sci. US, 60, 285 (1968).
440. Hayes F. N., Mitchell V. E., Ratliff R. L., Williams D. L., Biochemistry, 6, 2488 (1967).
441. Bollum F. J., Groeniger E., Yoneda H., Proc. Nat. Acad. Sci. US, 51, 853 (1964).
442. Radding C. M., Josse J., Kornberg A., J. Biol. Chem., 237, 2869 (1962).
443. Richardson C. C., Schildkraut C. L., Aposhian H. V., Kornberg A., J. Biol. Chem., 239 (1964).
444. Inman R. B., Baldwin B. L., J. Mol. Biol., 8, 452 (1964).
445. Schachman H. K., Adler J., Radding C. M., Lehman I. R., Kornberg A., J. Biol. Chem., 235, 3242 (1960).
446. Lee-Huang S., Cavallieri L., Proc. Nat. Acad. Sci. US, 51, 1022 (1964).
447. Riley M., Maling B., Chamberlin M. J., J. Mol. Biol. 20, 359 (1966).
448. Byrd C., Ohtsuka E., Moon M. W., Khorana H. G., Proc. Nat. Acad. Sci. US, 53, 79 (1965).
449. Wells R. D., Blair J. E., J. Mol. Biol., 27, 273 (1967).
450. Wells R. D., Ohtsuka E., Khorana H. G., J. Mol. Biol., 14, 221 (1965).
451. Wells R. D., Jacob T. M., Narang S. A., Khorana H. G., J. Mol. Biol., 27, 237 (1967).
452. Wells R. D., Büchi H., Kösell H., Ohtsuka E., Khorana H. G., J. Mol. Biol., 27, 265 (1967).
453. Bessman M. J., Lehman I. R., Adler J., Zimmerman S. B., Simms E. S., Kornberg A., Proc. Nat. Acad. Sci. US, 44, 633, (1958).
454. Chamberlin M., Baldwin R. L., Berg P., J. Mol. Biol., 7, 334 (1963).
455. Lezius A. G., Scheit K. H., Europ. J. Biochem., 3, 85 (1967).
456. Ratliff R. L., Hoard D. E., Ott D. G., Hayes F. N., Biochemistry, 6, 851 (1967).
457. Ratliff T. L., Schwartz A. W., Kerr V. N., Williams D. L., Ott D. G., Hayes F. N., Biochemistry, 7, 412 (1968).
458. Kato K., Concalves J. M., Houls G. E., Bollum F., J. Biol. Chem., 242, 2780 (1967).
459. Gupta N. K., Ohtsuka E., Sgaramella V., Büchi H., Kumar A., Weber H., Khorana H. G., Proc. Nat. Acad. Sci. US, 60, 1338 (1968).
460. Gupta N. K., Khorana H. G., Proc. Nat. Acad. Sci. US, 61, 215 (1969).
461. Thach R., Doty P., Science, 147, 1310 (1965); 148, 632 (1965).
462. Leder P., Singer M. F., Brimacombe R. C. L., Biochemistry, 4, 1561 (1965).
463. Bernfield M. R., Nirenberg M. W., Science, 147, 479 (1965).
464. Grunberg-Manago M., Ortiz P. J., Ochoa S., Biochim. Biophys. Acta, 20, 269 (1956).
465. Thang M. N., Graffe M., Grunberg-Manago M., Biochim. Biophys. Acta, 108, 125 (1965).

466. Pochon F., Michelson A. M., Grunberg-Manago M., Cohn W. E., Dondon L., *Biochim. Biophys. Acta*, **80**, 441 (1964).
467. Griffin B. E., Todd A. R., *Proc. Nat. Acad. Sci. US*, **44**, 1123 (1958).
468. Szer W., Shugar D., *Acta Biochim. Polon.*, **8**, 235 (1961).
469. Brimacombe R. L. C., Reese C. B., *J. Mol. Biol.*, **18**, 529 (1966).
470. Griffin B. E., Haslam W. J., Reese C. B., *J. Mol. Biol.*, **10**, 353 (1964).
471. Michelson A. M., Dondon J., Grunberg-Manago M., *Biochim. Biophys. Acta*, **55**, 528 (1962).
472. Michelson A. M., Monny C., *Biochim. Biophys. Acta*, **149**, 88 (1967).
473. Michelson A. M., Monny C., Laursen R. A., Leonard N. J., *Biochim. Biophys. Acta*, **119**, 258 (1966).
474. Howard F. B., Frazier J., Miles H. T., *J. Biol. Chem.*, **241**, 4293 (1966).
475. Smith D. A., Ratliff R. L., Williams D. L., Martines A. M., *J. Biol. Chem.*, **242**, 590 (1967).
476. Krakow J. S., Karstadt M., *Proc. Nat. Acad. Sci. US*, **58**, 2094 (1967).
477. Haselkorn R., Fox C. F., *J. Mol. Biol.*, **13**, 780 (1965).
478. Melhotra B. D., Khorana H. G., *J. Biol. Chem.*, **240**, 1750 (1965).
479. Nishimura S., Jacob T. M., Khorana H. G., *Proc. Nat. Acad. Sci. US*, **52**, 1494 (1964).
480. Nishimura S., Jones D. S., Khorana H. G., *J. Mol. Biol.*, **13**, 302 (1965).
481. Roy-Burman P., Roy-Burman S., *Biochim. Biophys. Acta*, **142**, 355 (1967).
482. Chamberlin M., Baldwin R. L., Berg P., *J. Mol. Biol.*, **7**, 334 (1963).
483. Nishimura S., Harada F., Ikehara M., *Biochim. Biophys. Acta*, **129**, 301 (1966).
484. Ikehara M., Murao K., Harada F., Nishimura S., *Biochim. Biophys. Acta*, **155**, 82 (1968).
485. Pene J. J., Knight E., Darnell J. E., *J. Mol. Biol.*, **33**, 609 (1968).
486. Weinberg R. A., Penman S., *J. Mol. Biol.*, **38**, 289 (1968).
487. Hodnett J. J., Bush H., *J. Biol. Chem.*, **243**, 6334 (1968).
488. Peacock A. C., Dingman C. W., *Biochemistry*, **6**, 1818 (1967).
489. Dingman C. W., Peacock A. C., *Biochemistry*, **7**, 659 (1968).
490. Nakamura T., Prestayko A. W., Busch H., *J. Biol. Chem.*, **243**, 1368 (1968).
491. Prestayko A. W., Busch H., *Biochim. Biophys. Acta*, **169**, 327 (1968).
492. Jacobson R. A., Bonner J., *Biochem. Biophys. Res. Comm.*, **33**, 716 (1968).
493. Bernhardt D., Darnell J. E., *J. Mol. Biol.*, **42**, 43 (1969).
494. Munro H. M., Fleck A., *Methods of Biochemical Analysis*, **14**, 113 (1966).
495. Тихоненко Т. И., *Биохимия вирусов*, Изд. «Медицина», 1966, стр. 53.
496. Strauss J. H., Kelly R. B., Sinsheimer R. L., *Biopolymers*, **6**, 793 (1968).
497. Boedtker H., *J. Mol. Biol.*, **35**, 61 (1968).
498. Corneo C., Ginelli E., Soave C., Bernardi G., *Biochemistry*, **7**, 4373 (1968).
499. Darnell J. E., *Bacter. Rev.*, **32**, 262 (1968).
500. Schweizer M. P., Chheda G. B., Banczynskyj L., Hall R. H., *Biochemistry*, **8**, 3283 (1969).
501. Dütting D., *Fortschr. Chem. Org. Naturst.*, **26**, 356 (1968).
502. Madison J. T., *Ann. Rev. Biochem.*, **37**, 131 (1968).
503. Nass M. M. K., *Science*, **165**, 25 (1969).
504. Wimmer E., Reichman M. E., *Science*, **160**, 1452 (1968).
505. Merrill R. C., *Biopolymers*, **6**, 1727 (1968).
506. Cory S., Marcker K. A., Dube S. K., Clark B. F. C., *Nature* **220**, 1039 (1968).

507. Barrell B. G., Sanger F., FEBS Letters, **3**, 275 (1969).
508. Yaniv M., Barrell B. G., Nature, **222**, 278 (1969).
509. Doctor B. P., Loebel J. E., Sodd M. S., Winter D. B., Science, **163**, 693 (1969).
510. Dudock B. S., Katz G., J. Biol. Chem., **244**, 3069 (1969); Dudock B. S., Katz G., Taylor E. K., Holley R. W., Proc. Nat. Acad. Sci. US, **62**, 941 (1969).
511. Takemura S., Murakami M., Miyazaki M., J. Biochem. (Japan), **65**, 489, 553 (1969).
512. Hashimoto S., Miyazaki M., Takamura S., J. Biochem. (Japan), **65**, 659 (1969).
513. Amaldi F., Attardi G., J. Mol. Biol., **33**, 737 (1968).
514. Fellner P., Sanger F., Nature, **219**, 236 (1968).
515. Glitz D. G., Bradley A., Fraenkel-Conrat H., Biochim. Biophys. Acta, **161**, 1 (1968).
516. Dahlberg J. E., Nature, **220**, 548 (1968).
517. De Wachter R., Fiers W., Nature, **221**, 233 (1969).
518. Glitz D. G., Biochemistry, **7**, 927 (1968).
519. De Wachter R., Verhassel J. P., Fiers W., FEBS Letters, **1**, 93 (1968); Biochim. Biophys. Acta, **157**, 195 (1968).
520. Adams J. M., Jeppesen P. G. N., Sanger F., Barrell B. G., Nature, **223**, 1009 (1969).
521. Holley R. W., Progr. Nucl. Acid. Res., **8**, 37 (1968).
522. Zachau H. G., Angew. Chem., **81**, 645 (1969).
523. Blackburn G. M., Brown M. J., Harris M. R., Shire D., J. Chem. Soc., (C), **1969**, 676.
524. Cramer F., Köster H., Angew. Chem., **80**, 488 (1968).
525. Melby L. R., Strobach D. R., J. Org. Chem., **34**, 421, 427 (1969).

КОР
I. ВВ
Пони
биологи
висит о
простра
тов эти
Как
C—N, C
ностью
возможн
ризующ
Устойчи
ной стор
ших ме
другой
нальным
действи
ние. Ка
ную ко
моделях
однозна
данного
действи
оценка
статочн
законом
более ус
Для
торые я
данные
зонанса

КОНФОРМАЦИЯ НУКЛЕОЗИДОВ И НУКЛЕОТИДОВ *

I. ВВЕДЕНИЕ

Понимание факторов, определяющих химическое поведение и биологическую специфичность нуклеиновых кислот, во многом зависит от информации о распределении электронной плотности и пространственном расположении различных структурных элементов этих соединений.

Как известно, вращение вокруг ординарных связей С—С, С—N, С—O и т. д. в органических соединениях не является полностью свободным, и из бесчисленного множества теоретически возможных конформаций реализуются лишь некоторые, характеризующиеся относительным минимумом потенциальной энергии. Устойчивость той или иной конформации молекулы зависит, с одной стороны, от ван-дер-ваальсовых сил отталкивания, возникающих между соседними ковалентно-несвязанными атомами, и, с другой стороны, от сил притяжения между различными функциональными группами за счет, например, диполь-дипольных взаимодействий, водородных связей и т. д., которые вызывают их сближение. Качественное рассмотрение факторов, стабилизирующих данную конформацию, обычно можно провести на молекулярных моделях соединения. В ряде случаев это позволяет сделать довольно однозначные предсказания о наиболее устойчивой конформации данного соединения. В тех случаях, когда имеется ряд факторов, действующих в противоположных направлениях, количественная оценка устойчивости различных конформаций представляется достаточно сложной; вместе с тем имеются некоторые эмпирические закономерности, позволяющие в отдельных случаях выбирать наиболее устойчивую конформацию данного соединения.

Для определения конформации нуклеозидов и нуклеотидов, которые являются довольно сложными молекулами, имеют значение данные рентгеноструктурного анализа, ядерного магнитного резонанса и дисперсии оптического вращения.

* Обзор — см.: Преображенская Н. Н., Шабарова З. А., Усп. химии 38, 222 (1969).

Исследование картины дифракции рентгеновских лучей в кристалле данного соединения позволяет при благоприятных условиях локализовать положение атомов, входящих в состав этого соединения, с точностью, в лучших работах достигающей нескольких тысячных ангстрема, и определить тем самым конформацию молекулы в кристалле. Получение такой картины требует, однако, очень большой вычислительной работы, которая заметно упрощается, если в кристалле присутствует один или несколько атомов с большим атомным номером. Лишь немногие нуклеозиды и нуклеотиды исследованы пока с помощью рентгеноструктурного анализа; это связано помимо трудоемкости метода с существенным техническим ограничением — необходимостью иметь монокристалл вещества размером около 0,1 мм, получение которого в случае производных нуклеозидов и нуклеотидов может представлять значительные трудности*.

При использовании метода ЯМР** наибольшую информацию о конформации молекулы получают обычно из величины $J_{1,2}$ — константы спин-спинового взаимодействия между двумя протонами, находящимися у соседних атомов углерода. Величина $J_{1,2}$ зависит в первую очередь от величины двугранного угла $\Phi_{1,2}$ между плоскостями C-1—C-2—H (при C-1) и C-1—C-2—H (при C-2), подчиняясь уравнению Карпласа:

$$J_{1,2} = J_0 \cos^2 \Phi_{1,2} - 0,28$$

Величина константы спин-спинового взаимодействия зависит, однако, и от других факторов: углов C-1—C-2—H (при C-2) (или C-2—C-1—H (при C-1)), длины связи C-1—C-2 и электроотрицательности атомов, связанных с атомами углерода. Вследствие это-

* Подробнее о методе рентгеноструктурного анализа см.: Китайгородский А. Н., Теория структурного анализа, Изд. «Наука», 1957; Гинье А., Рентгенография кристаллов, Физматгиз, 1961; Бокий Г. Б., Порай-Кошиц М. А., Рентгеноструктурный анализ, Изд. МГУ, 1964; Stout G. H., Jensen L. H., X-Ray Structure Determination, McMillan Co., N. Y.—L., 1968; Обзор по применению рентгеноструктурного анализа для исследования нуклеиновых кислот и их компонентов — см Davies D. R., Ann. Rev. Biochem., 36, 321 (1967).

** Подробнее о спектроскопии ЯМР см.: Робертс Дж., Ядерный магнитный резонанс, Издательство, 1961; Робертс Дж., Введение в анализ спектров ЯМР высокого разрешения, Издательство, 1963; Попп Дж., Шнейдер В., Бернштейн Г., Спектры ядерного магнитного резонанса высокого разрешения, Издательство, 1962; Конрай Г., Усп. орг. хим., 2, 255 (1964); Стозерс Дж. Б., в кн.: «Установление структуры органических соединений физическими и химическими методами», кн. 1, Изд. «Химия», 1967, стр. 204, Бхакка Н., Уильямс Д., Применение ЯМР в органической химии, Изд. «Мир», 1966; Эмсли Дж., Финей Дж., Сатклиф Л., Спектроскопия ЯМР высокого разрешения, Изд. «Мир», 1968; Ионин Б. И., Ершов Б. А., ЯМР-спектроскопия в органической химии, Изд. «Химия», 1967; Bible R. H., Interpretation of NMR spectra, N. Y. Plenum press, 1965.

го расчеты д
только при
о конформа
исследовани
ция была бы
Некоторые

можно получ
мов в модел
входит, между
ваемого сосед
зотропией. Хо
определение з

В методе
ских исследов
литуа эффек
дисперсии оп
ния данного
рии электрич
мофор, т. е.
лы. Для цело
соединений и
сравнение кр
соединения и
конформации
получить и из
нения*.

Необходимо
ленных основ
дов необходи
вещества. Ре
данные о ко
сильные меж
налов ЯМР
ные (0,2—0,5
ные взаимодей
кривые диспе
шения можно
творях. В по

* Подробнее
хронизма см. Д
1962; Клайн
Грожан М., C
Optical Rotatory
den-Day, San-Fr
Circular Dichrois

го расчеты двугранных углов по уравнению Карпласа могут быть только приближительными, и для однозначного решения вопроса о конформации данного соединения иногда бывает необходимо исследование ряда модельных соединений, в которых конформация была бы фиксирована.

Некоторые данные о конформации исследуемого соединения можно получить, сравнивая химические сдвиги тех или иных атомов в модельных соединениях. Величина химического сдвига зависит, между прочим, и от наведенного магнитного поля, создаваемого соседними функциональными группами с магнитной анизотропией. Хотя точную величину этого влияния оценить трудно, определение знака эффекта не представляет обычно затруднений.

В методе дисперсии оптического вращения для стереохимических исследований имеет значение в первую очередь знак и амплитуда эффекта Коттона — характерного экстремума на кривой дисперсии оптического вращения в районе полосы УФ-поглощения данного соединения. Эти величины зависят от асимметрии электрического и магнитного поля, в котором находятся хромофор, т. е. определяются структурой и конформацией молекулы. Для целей конформационного анализа сложных органических соединений имеет значение пока лишь эмпирический подход: сравнение кривых дисперсии оптического вращения исследуемого соединения и дисперсионных кривых соединений с фиксированной конформацией. Аналогичную, по существу, информацию можно получить и из спектров кругового дихроизма исследуемого соединения*.

Необходимо подчеркнуть, что для применения трех перечисленных основных методов при изучении конформации нуклеозидов необходимы существенно различные состояния исследуемого вещества. Рентгеноструктурное исследование позволяет получить данные о конформации молекулы в кристалле, где существуют сильные межмолекулярные взаимодействия. При измерении сигналов ЯМР необходимо использовать довольно концентрированные (0,2—0,5 М) растворы вещества, в которых межмолекулярные взаимодействия могут быть еще значительными. Наконец, кривые дисперсии оптического вращения в области полосы поглощения можно получить лишь в разбавленных (10^{-3} — 10^{-4} М) растворах. В последнем случае межмолекулярные взаимодействия

* Подробнее о методах дисперсии оптического вращения и кругового дихроизма см. Джерасси К., Дисперсия оптического вращения, Издательство, 1962; Клайн В., Усп. орг. хим., 1, 261 (1963); Веллюз Л., Легран М., Грожан М., Оптический круговой дихроизм, Изд. «Мир», 1967; Crabbé P., Optical Rotatory Dispersion and Circular Dichroism in Organic Chemistry, Holden-Day, San-Francisco, 1965; Djerassi C., Optical Rotatory Dispersion and Circular Dichroism in Organic Chemistry, Heyden and Sons, L., 1967.

можно считать практически исключенными и конформация исследуемого соединения может заметно отличаться от конформации в кристалле или в концентрированных растворах

Рассмотрение структурных формул нуклеозидов показывает, что свободное вращение вокруг ординарных связей в этих соединениях в значительной степени ограничено за счет существования в молекуле двух циклических структур — гетероциклического ядра и остатка пентофуранозы. Соответственно этому конформационный анализ нуклеозидов должен включать рассмотрение конформации гетероциклического ядра, углеводного остатка и взаимного расположения в пространстве этих двух циклических систем.

II. КОНФОРМАЦИЯ КОМПОНЕНТОВ НУКЛЕИНОВЫХ КИСЛОТ

1. Конформация гетероциклических ядер

Гетероциклические основания, входящие в состав обычных компонентов нуклеиновых кислот, являются квазиароматическими соединениями (см. гл. 3), для которых условием эффективного взаимодействия π -электронов в кольце является копланарность входящих в него атомов. Соответственно этому остатки гетероциклических оснований нуклеиновых кислот можно в первом приближении считать плоскими, что и используется обычно в современных пространственных моделях структуры нуклеиновых кислот и нуклеотидов.

Однако точные рентгеноструктурные исследования показали существование небольшой, но выходящей за пределы ошибки опыта искривленности пуринового и пиримидинового ядер, а также заметного отклонения от плоскости гетероциклического ядра экзоциклических заместителей в некоторых из исследованных соединений. Данные об отклонении атомов гетероциклического ядра от средней плоскости, а также о величинах межатомных расстояний и валентных углов сведены в табл. 2.1. Можно видеть, что катион цитозиния (гетероциклическое ядро в составе цитидин-3'-фосфата) существует в кристалле в виде чрезвычайно плоской ванны со слегка отклоненными в одну и ту же сторону атомами C-4 и N-1; в производных урацила и тимина такие отклонения не выходят за пределы ошибок опыта. Экзоциклические заместители C-1', O при C-2 и C-4 или N при C-4, а также метильная группа при C-5 обычно довольно заметно выведены из плоскости гетероциклического кольца; связи их с соответствующими углеродными атомами образуют угол в $1,5-8^\circ$ с плоскостью кольца. Обращает на себя внимание также заметное отклонение формы пиримидинового кольца от правильного шестиугольника и близость длины

II. КОНФ
связей
группой
В с
плоско
щем в
в остат
Знач
ческих
неясным
построен
Гетер
тов нукл
простран
соответс
ные для
Искл
роуридин
конформ
изучения
производ
соединен

Этот в
ротимина
лиза ряд
мация гет
что показ

* В ра
ных углов
последних р

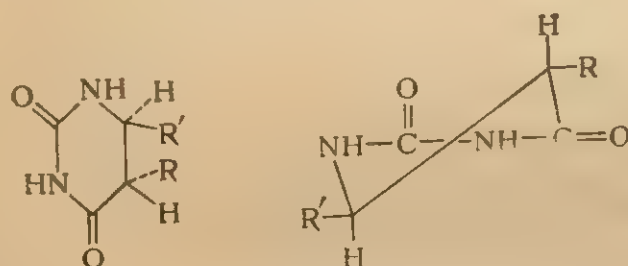
связей C—N в кольце и связи C—N с экзоциклической аминогруппой.

В случае производных пуринов можно отметить отклонение от плоскости кольца атомов C-5 и N-1 в катионе аденина, входящем в состав аденозин-5'- и 3'-фосфатов, и атома N-9 аденина в остатке 2'-дезоксаденозина.

Значение обнаруженных небольших искривлений гетероциклических ядер нуклеозидов и нуклеотидов в кристаллах остается пока неясным, однако эти данные должны, вероятно, учитываться при построении более точных моделей нуклеиновых кислот*.

Гетероциклические основания большинства редких компонентов нуклеиновых кислот, по-видимому, довольно близки по своей пространственной структуре к гетероциклическим основаниям соответствующих обычных компонентов; рентгеноструктурные данные для оснований редких компонентов отсутствуют.

Исключением из аналогии является, очевидно, лишь 5,6-дигидроуридин, в котором гетероциклическое основание должно иметь конформацию, заметно отличающуюся от плоской. На основании изучения спектров ЯМР для дигидроурацила I и его метильных производных (II, III) был сделан вывод о существовании этих соединений в конформации полукресла⁸:



I (R = R' = H)

II (R = CH₃, R' = H)

III (R = H, R' = CH₃)

Этот вывод подтвержден рентгеноструктурным анализом дигидроротимина⁹ и изучением кинетики кислотного и щелочного гидролиза ряда производных дигидроурацила¹⁰. Аналогичная конформация гетероциклического ядра преобладает и в дигидроурациле, что показано также и рентгеноструктурным анализом⁶⁷.

* В работе⁶⁸ приведены усредненные значения для длин связей и валентных углов гетероциклических оснований нуклеиновых кислот, полученные из последних рентгеноструктурных данных.

Таблица 2.1. Структура гетероциклических оснований компонентов нуклеиновых кислот по данным рентгеноструктурного анализа

Соединение	Отклонение атомов от средней плоскости кольца Å	Межатомные расстояния Å	Валентные углы в градусах
Катион цитозиния в цитидин-3'-фосфате ¹			
Катион цитозиния в цитидин-3'-фосфате ²			
Тимин в тимидин-5'-фосфате ³			
Урацил в уридин-5'-фосфате ⁴			

Катион цитозиния* в аденин-5'-фосфате

Катион адениния* в аденин-3'-фосфате

* Указано

2. Кон

Как из-
числями я-
один атом
мания) н

Продолжение табл. 2.1

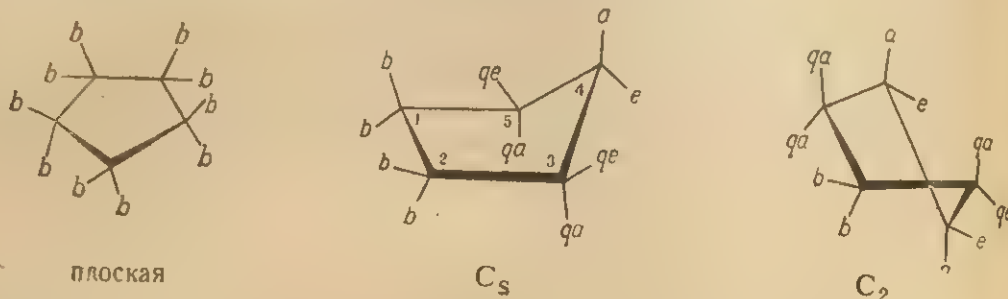
Соединение	Отклонение атомов от средней плоскости кольца Å	Межатомные расстояния Å	Валентные углы в градусах
Аденин* в 2'-дезоксиденозине 5			
Катион адениния* в аденозин-5'-фосфате 6			
Катион адениния* в аденозин-3'-фосфате 7			

* Указаны только наиболее значительные величины отклонений атомов от плоскости.

2. Конформация углеводных остатков

Как известно, для производных цикlopentана наиболее устойчивыми являются не плоские конформации, а такие, в которых один атом углерода несколько выведен из плоскости (C_s -конформация) или два соседних атома углерода выведены из плоскости

в противоположные стороны (C_2 -конформация)¹¹.



Заместители у атомов углерода, расположенных в плоскости цикла, занимают симметричные, так называемые биссекториальные положения b . Для атомов, выведенных из плоскости, эти положения

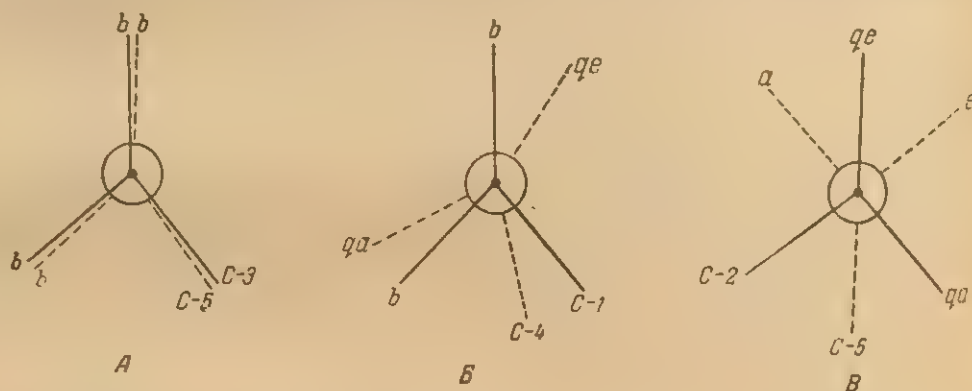


Рис. 2.1. Ньюменовские проекции в C_s -конформации цикlopentана вдоль связей:
C-1—C-2 (А); C-2—C-3 (Б); C-3—C-4 (В); нумерацию атомов в цикле см. выше.

неравноценны. Связь углерода с заместителем, занимающим экваториальное положение e , приблизительно параллельна плоскости кольца, связь же с аксиальным заместителем a приблизительно перпендикулярна ей. Наконец, расположение заместителей у атомов углерода, соседних с выведенным из плоскости, носит промежуточный характер: можно говорить о квазиэкваториальном qe - и квазиаксиальном qa -положении заместителей. Как видно из рис. 2.1, взаимодействие ковалентно-несвязанных заместителей у соседних углеродных атомов сильно изменяется при выведении соответствующего углеродного атома из плоскости цикла.

Пятичленный цикл остатка пентофуранозы может принимать конформации, аналогичные конформациям цикlopentана. Вследствие асимметрии тетрагидрофуранового цикла каждой конфор-

II. КОНФОР

мации ци
возможн
конформа
формации
верта (еп
мер угле
индекс ст
сторону, в
ра, и сни
сторону. Д
ций — C_n -
мации, со
ваются из
но обозна

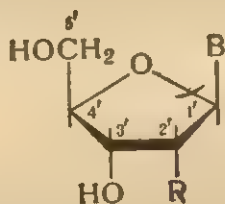
Можно
фуранозн
энергетич
не этого а
C-2' или

Соответ
рибозы в
дены поло
C-4', остат
а в случае
формациях
один из ос
триальное
нии, по-вид
В табл.
ция остатка
наиболее о
положения
веден кисло
ные группы
годные (см.

9 Зак.

мации циклопентана соответствуют пять различных теоретически возможных конформаций тетрагидрофурана и десять различных конформаций пентофураноз. Конформации, аналогичные C_s -конформации циклопентана, принято называть конформациями конверта (envelope) и сокращенно обозначать¹² как V^n , где n — номер углеродного атома пентозы, выведенного из плоскости; индекс ставится сверху, если атом выведен из плоскости в ту же сторону, в которую обращена оксиметильная группа остатка сахара, и снизу, если углеродный атом выведен в противоположную сторону. Другое принятое обозначение для V^n - и V_n -конформаций — C_n -эндо- и C_n -экзо-конформации соответственно. Конформации, соответствующие C_2 -конформации циклопентана, называются изогнутыми (twist) или твист-конформациями и сокращенно обозначаются T_{n+1}^n и T_n^{n+1} или C_n -эндо- и C_{n+1} -экзо-.

Можно ожидать, что, поскольку при атоме кислорода пентофуранозного цикла не имеется заместителей, более выгодным с энергетической точки зрения будет выведение из плоскости цикла не этого атома или соседних с ним атомов C-1' или C-4', а атомов C-2' или C-3'.



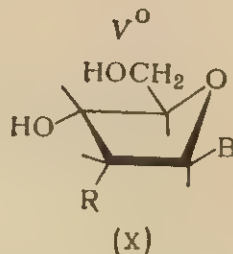
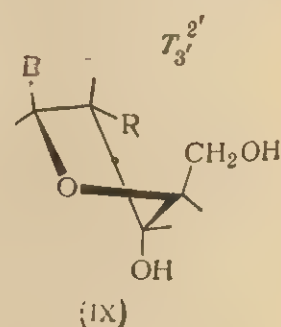
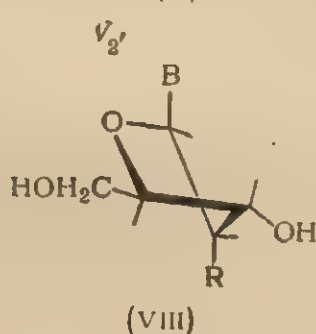
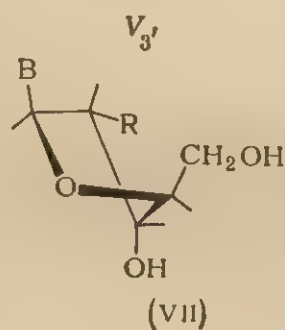
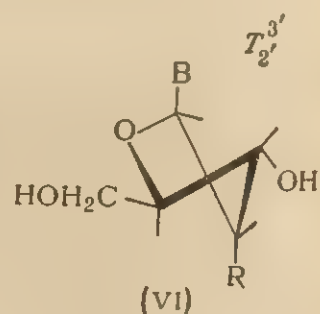
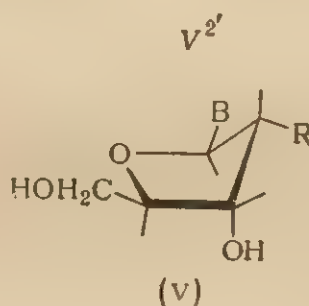
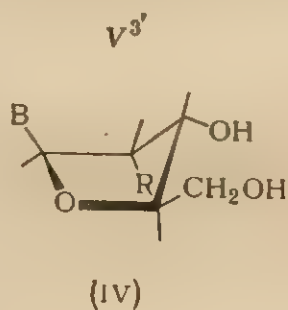
В-остаток основания; R=H или OH

Соответствующие конформации остатков рибозы или дезоксирибозы в нуклеозидах представлены в табл. 2.2; здесь же приведены положения, занимаемые заместителями цикла (CH_2OH при C-4', остаток основания при C-1', гидроксильная группа при C-3', а в случае рибозы — гидроксильная группа и при C-2') в этих конформациях. Можно видеть, что во всех случаях по крайней мере один из объемистых заместителей занимает невыгодное биссектриальное или квазиаксиальное положение и различные конформации, по-видимому довольно близки по своей устойчивости.

В табл. 2.2 показана также единственно возможная конформация остатка рибозы или дезоксирибозы в нуклеозидах, при которой наиболее объемистые заместители занимают квазиэкваториальные положения — конформации V^0 (О-эндо-)Х, когда из плоскости выведен кислород цикла. При этой конформации, однако, гидроксильные группы при C-2' и C-3' остатка рибозы занимают крайне невыгодные (см. рис. 2.1) биссектриальные положения.

Таблица 2.2 Конформации нуклеозидов и положение заместителей остатка рибозуранозы в них

Конформа- ция	Формула	Положение заместителей			
		CH ₂ OH	гетероцикли- ческое основание В	ОН (при C-3')	R (при C-2')
V ^{3'}	IV	qe	b	e	qa
V ^{2'}	V	b	qe	qa	e
V _{3'}	VII	qa	b	a	qe
V _{2'}	VIII	b	qa	qe	a
T _{2'} ^{3'}	VI	qe	qa	e	a
T _{3'} ^{2'}	IX	qa	qe	a	e
V ⁰	X	qe	qe	b	b



В-остаток основания; R=H или OH

Экспериментальные данные, полученные с помощью рентгеноструктурного анализа, показывают, что остаток рибозы в нуклеозидах и нуклеотидах имеет обычно конформацию $V^{3'}$. Такая конформация углеводного остатка была, например, показана рентгеноструктурным исследованием кристаллов цитидина^{13, 14}, уридина¹⁴, уридин-5'-фосфата⁴, аденозина¹⁴ и комплекса аденозин-5-бромуридин¹⁵. Более точные рентгеноструктурные исследования (табл. 2.3) показывают, что наряду со значительным отклонением (0,5—0,6 Å) 3'-углеродного атома остатка рибозы от плоскости кольца, соседний (C-2') углеродный атом также выведен из этой плоскости на 0,10—0,15 Å в ту же самую или противоположную сторону. Остаток рибозы, таким образом, имеет при этом конформацию, промежуточную между идеализированными конформациями, рассмотренными выше. Так, конформация остатка рибозы в аденозин-3'-фосфате⁷ является промежуточной между конформациями $V^{3'}$ и $V^{2'}$ (ближе к первой), а в аденозин-5'-фосфате⁸ — между конформациями $V^{3'}$ и $T_2^{3'}$.

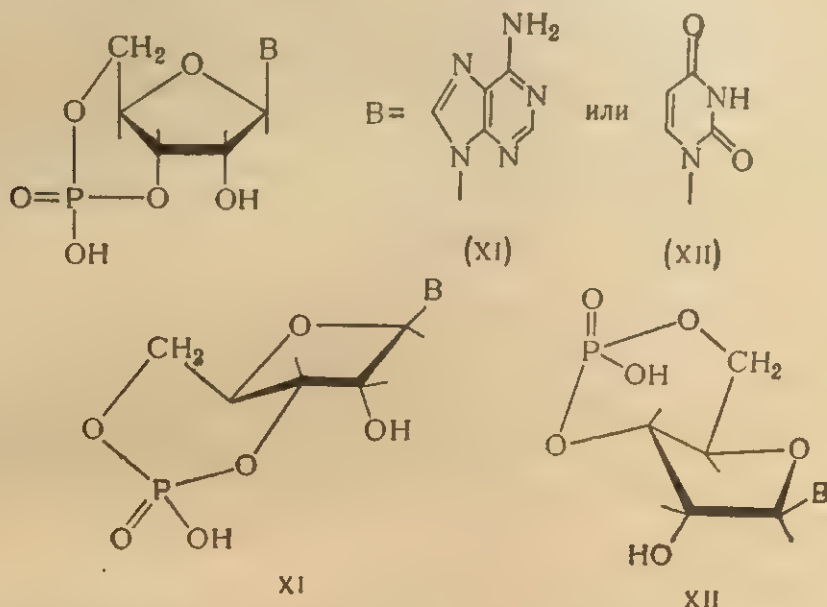
Таблица 2.3 Отклонения атомов в остатке рибозы рибонуклеотидов от плоскости C-1'—C-4'—O

Соединение	Отклонение, Å				Литература
	C-2'	C-3'	C-5'	N (гетероциклического кольца)	
Цитидин-3'-фосфат . . .	0,434	—0,146	1,236	0,889	1
Аденозин-5'-фосфат . . .	—0,120	0,573	0,722	1,273	6
Аденозин-3'-фосфат . . .	0,075	0,620	—	—	7
Уридин-5'-фосфат . . .	0,52	—0,02	1,16	0,92	4

В ряде случаев, однако, доказано существование и других конформаций рибозного остатка. Так, в случае цитидин-3'-фосфата¹ остаток сахара имеет конформацию, промежуточную между $V^{2'}$ и $T_2^{3'}$ (ближе к первой), а для 5-бромуридина¹⁶ — конформацию $V_2^{2'}$.

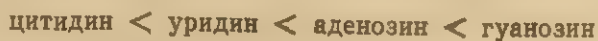
Необычная конформация остатка рибозы, в которой из плоскости кольца выступает углеродный атом C-4', была обнаружена в кристаллах аденозин-3', 5'-циклофосфата XI¹⁷; такое изменение конформации вызвано образованием конденсированной системы, содержащей шести- и пятичленные циклы. В другом исследованном нуклеозиде аналогичной структуры — уридин-3',5'-циклофосфате

XII¹⁸ остаток сахара имеет V^{3'}-конформацию.



Были сделаны попытки применить для определения конформации углеводного остатка нуклеозидов и нуклеотидов в растворах метод ЯМР, однако полученные результаты не поддаются однозначной трактовке и проблема остается нерешенной.

Обычно исследование конформации остатка рибозы в нуклеозидах и нуклеотидах с помощью спектроскопии ЯМР основано на анализе изменения константы взаимодействия протона при C-1' в различных нуклеозидах ($J_{1,2'}$), поскольку сигнал этого протона заметно отличается по величине химического сдвига от сигналов других протонов нуклеозидов и его расщепление легко наблюдать. Как показывает рассмотрение молекулярных моделей, конформации V^{3'} отвечает двугранный угол $\Phi_{1,2'} = 115^\circ$, а конформации V^{2'} — угол $\Phi_{1,2'} = 150^\circ$, что отвечает значениям констант расщепления $J_{1,2'}$ 1,7 и 6,9 гц соответственно*. По экспериментальным данным (табл. 2.4), значения $J_{1,2'}$ в нуклеозидах и нуклеотидах находятся в пределах 3—6,5 гц и увеличиваются в ряду



В ранней работе²³ по спектрам ЯМР нуклеозидов и нуклеотидов был сделан вывод о преобладании конформации V^{2'} в пуриновых нуклеозидах и V^{3'} в пиримидиновых нуклеозидах, однако

* Эти значения получены при помощи первоначальных параметров уравнения Карпласа (см. стр. 122). В последнее время предложен ряд других эмпирических уравнений, связывающих величину константы спин-спинового взаимодействия с двугранным углом.

Этот вывод не является достаточно строгим, так как изменение $J_{1',2'}$ может быть обусловлено и другими факторами, например изменением электроотрицательности заместителя у C-1' (ср. гл. 3). Показано далее, что длины связей и валентные углы в производных рибофуранозы заметно отличаются от стандартных значений²⁴, и использовать обычные молекулярные модели для точного определения угла $\Phi_{1',2'}$ очевидно, невозможно. Наблюдаемые значения для нуклеозидов можно, по-видимому, считать достаточно хорошо согласующимися как с конформацией $V^{3'}$ (которая преобладает в кристаллах по данным рентгеноструктурных исследований), так и с конформацией $V^{2'}$.

Таблица 2.4 Экспериментально определенные значения константы спин-спинового взаимодействия $J_{1',2'}$ для нуклеозидов и нуклеотидов

Соединение	$J_{1',2'}$ в D ₂ O, гц		
	по данным ²⁰	по данным ²¹	по данным ²²
Гуанозин	6,4	6,4	—
Аденозин	5,0	5,5	5,7
Аденозин-5'-фосфат	4,5	—	—
Аденозин-3'-фосфат	4,2	—	5,2
	(по данным ¹⁹)		
Уридин	—	3,3	4,0
Уридин-3'-фосфат	—	—	4,2
Цитидин	3,0	3,0	—

Рентгеноструктурный анализ нуклеозидов и нуклеотидов (рибо- и дезоксирибо-ряда) показывает близкую аналогию конформации остатков 2'-дезоксирибозы и рибозы в них. Наиболее точные, по нашему мнению, данные об отклонении атомов в остатках моносахарида дезоксирибонуклеозидов и дезоксирибонуклеотидов от плоскости C-1'—C-4'—O сведены в табл. 2.5.

Эти данные показывают, что конформацию 2'-дезоксиаденозина следует считать промежуточной между $V_{3'}$ - и $T_{3'}^{2'}$ -конформациями; конформацию тимидин-5'-фосфата — близкой к конформации аденозин-3'-фосфата (промежуточная между $V^{3'}$ - и $V^{2'}$ -конформациями), а 5-фтор-2'-дезоксинуридина — к конформации цитидин-3'-фосфата (промежуточная между $V^{2'}$ - и $T_{3'}^{2'}$ -конформациями). В других исследованиях остатку 2'-дезоксирибозы приписана $V^{2'}$ -конформация; она обнаружена в 5-бром-2'-дезоксинуридине²⁶, 5-иод-2'-дезоксинуридине²⁷ и нуклеозидах, входящих в комплекс 2'-дезоксигуанозина с 5-бром-2'-дезоксипитидином²⁸.

Исследование конформации 2'-дезоксинуклеозидов в растворе с помощью ЯМР-спектроскопии привело к выводу о V^0 -конформации

остатка 2'-дезоксирiboзы²⁹. Этот вывод основан на предположении о количественном выполнении уравнения Карпласа и измерении двугранных углов $\Phi_{1',2'}$ и $\Phi_{2',3'}$ в атомных моделях различных конформаций 2'-дезоксирiboзы; однако такой подход кажется в настоящее время неправомерным и нуждается в пересмотре.

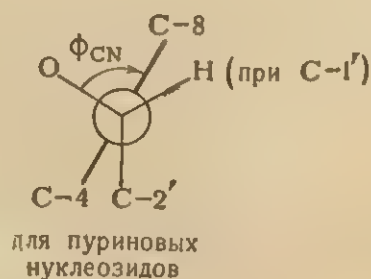
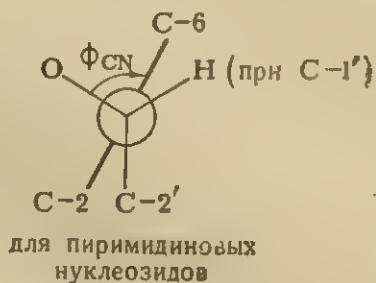
Таким образом, в целом полученные данные показывают, что в разных природных нуклеозидах и нуклеотидах реализуются различные конформации остатка сахара; это указывает на значительную близость значений энергии разных конформаций.

3. Взаимное расположение углеводных остатков и гетероциклических ядер

Для однозначного определения взаимного расположения остатка сахара и гетероциклического основания в нуклеозидах необходимо помимо знания длины C—N-гликозидной связи и угла, образуемого ею с плоскостью гетероциклического основания (см. табл. 2.1), определить еще две угловые величины.

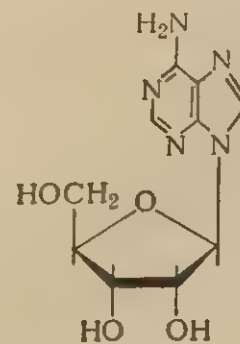
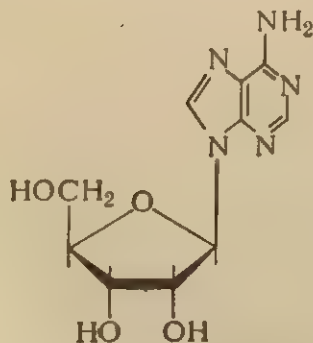
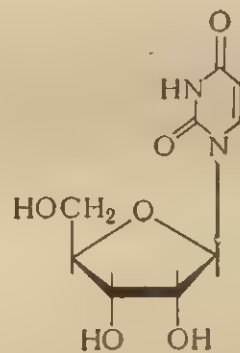
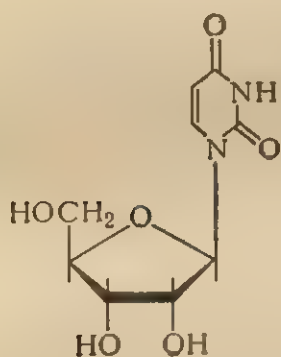
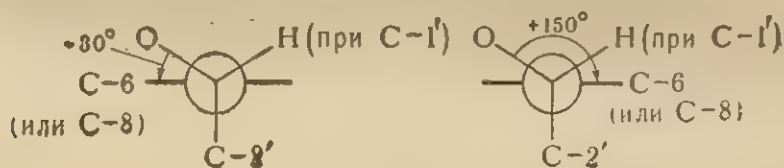
Одна из них — двугранный угол, образуемый плоскостями основания и пентофуранозного остатка; этот угол может быть определен лишь из данных рентгеноструктурного анализа. Найденные значения двугранного угла находятся в пределах 65—80°; при определении его за плоскость пентофуранозы принимают обычно не плоскость C-1'—C-4'—O, а «среднюю» плоскость (плоскость, сумма квадратов отклонений от которой всех атомов пентофуранозного цикла минимальна), так что найденные различия могут частично отражать различия в конформации углеводного остатка. Большинство определенных экспериментально значений попадает, однако, в интервал 70—75°.

Другая дополнительная угловая величина характеризует взаимный поворот остатка сахара и гетероциклического основания вокруг гликозидной связи C-1—N. Этот поворот принято характеризовать углом вращения $\Phi_{C,N}$, образуемым проекциями связей C-1'—O и N-1—C-6 в пиримидиновых (или C-1'—O и N-9—C-8 в пуриновых) остатках на плоскость, перпендикулярную связи C-1'—O, как это показано на приведенных ниже ньюменовских проекциях:



Угол $\Phi_{C,N}$ принято считать положительным при отсчете по часовой стрелке.

Рассмотрение молекулярных моделей показывает, что свободное вращение вокруг N-гликозидной связи в нуклеозидах затруднено. Особенно сильные ограничения наблюдаются в пиримидиновых нуклеозидах вследствие взаимодействия кислородного атома при C-2 или атома водорода при C-6 гетероциклического ядра с заместителями при C-2' и C-3' остатка сахара, а также с кислородом фуранозного цикла. Меньшие взаимодействия, по-видимому, существуют в пуриновых нуклеозидах, однако и в этом случае атом N-3 пуринового кольца может при повороте остатка рибозы вокруг N-гликозидной связи приходить в близкое соприкосновение с циклическим кислородом остатка сахара и атомом водорода при C-2' или C-3'. Наименьшие взаимодействия наблюдаются при значениях $\Phi_{C,N}$, равных -30° и $+150^\circ$; конформации, отвечающие этим значениям угла вращения, принято называть *анти*- и *син*-конформациями нуклеозидов³⁰. Например, в случае уридина и аденозина:



Данный качественный вывод, полученный на основании рассмотрения молекулярных моделей, был подтвержден более точным анализом изменения межатомных расстояний при вращении остатка рибозы вокруг N-гликозидной связи³¹ в нуклеозидах и нуклеотидах, а также квантовохимическим расчетом изменений энергии системы при изменении угла $\Phi_{C,N}$ ³².

Таблица 2.5. Отклонения атомов в остатках моносахарида дезоксирибонуклеозидов и дезоксинуклеотидов от плоскости C-1'—C-4'—O

Соединение	Отклонение, Å				Литература
	C-2'	C-3'	C-5'	N (гетероциклического кольца)	
2'-Дезоксиаденозин . .	0,60	-0,504	1,358	1,187	5
Тимидин-5'-фосфат . .	0,098	0,602	0,698	1,103	13
5-Фтор-2'-дезоксиуридин	0,494	-0,170	1,281	1,183	25

Результаты рентгеноструктурного исследования ряда рибонуклеозидов и рибонуклеотидов показывают, что, как правило, во всех изученных случаях конформация этих соединений в кристалле довольно близка к *анти*-конформации (табл. 2.6), хотя для производных пиримидинов абсолютная величина угла $\Phi_{C,N}$ обычно несколько больше, чем для производных пуринов.

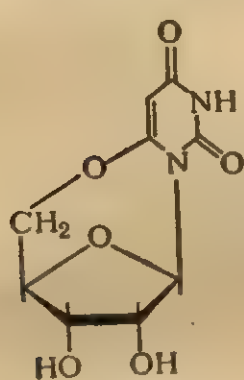
Таблица 2.6. Значения угла вращения $\Phi_{C,N}$ для ряда рибонуклеозидов и рибонуклеотидов

Соединение	$\Phi_{C,N}$, градусы	Литература
Пиримидиновые производные		
Уридин-5'-фосфат	-43	4
Цитидин-3'-фосфат	-42	1
Цитидин	-18	13
5-Бромуридин (в комплексе с аденозином)	-20	15
Пуриновые производные		
Аденозин-5'-фосфат	-18	6
Аденозин-3'-фосфат	-4	7
Аденозин (в комплексе с 5-бромуридином)	-10	15

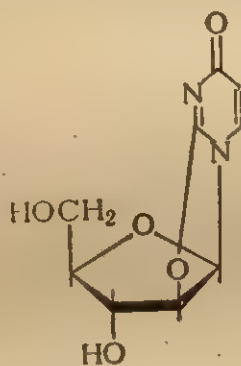
Таблица 2.7 Значение амплитуды эффекта Коттона α для нуклеозидов, нуклеотидов и некоторых модельных ангидросоединений пириимидинового ряда³³

Соединение	Формула	$\alpha \cdot 10^{-2}$, градусы	Φ_C, N , (приблизительное значение), градусы
Уридин	—	+117	—
Цитидин	—	+152	—
Цитидин-3'-фосфат	—	+204	—
Цитидин-5'-фосфат	—	+137	—
5',6-экзо-О-Цикло-6-оксиуридин . . .	XIII	+490	— 30
2',2-экзо-О-Циклоуридин	XIV	+266	— 60
3',2-экзо-О-Циклоуридин	XV	+43	+105
2',3'-О-Изопропилиден-5',2-экзо-О-ци- клоуридин	XVI	—539 *	+150
2-О-Этил-2',3'-О-изопропилиденуридин	XVII	+227	—

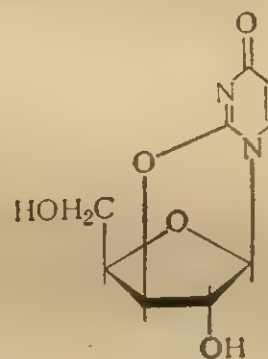
* Значение занижено по абсолютной величине.



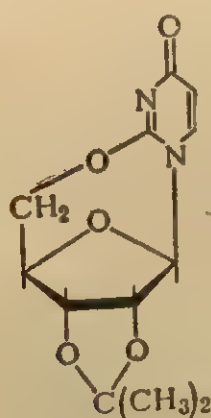
XIII



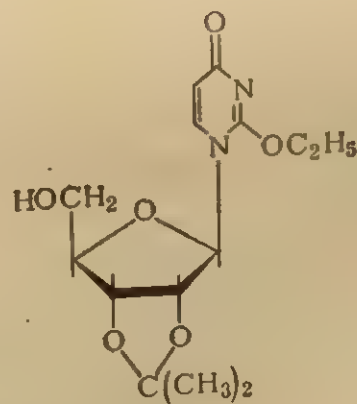
XIV



XV



XVI



XVII

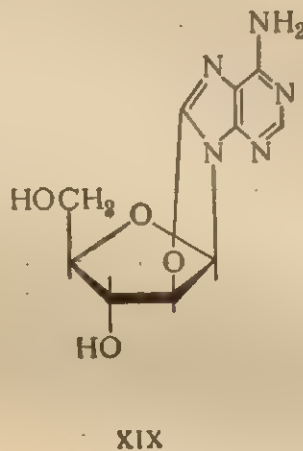
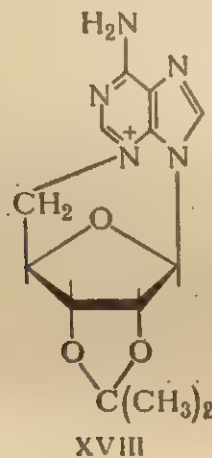
Исключением являются кристаллы аденозин-3',5'-циклофосфата¹⁷: в элементарную ячейку кристалла входят две молекулы соединения, одна из которых находится в *анти*-конформации ($\Phi_{C, N} - 50^\circ$), а другая — в *син*-конформации ($\Phi_{C, N} + 102^\circ$). Недавно показано⁶⁹, что 4-тиоуридин имеет в кристаллах *син*-конформацию ($\Phi_{C, N} + 83^\circ$).

Для пиримидиновых нуклеозидов *анти*-конформация является предпочтительной конформацией и в растворах, как показало изучение дисперсии оптического вращения. Эти соединения имеют положительный эффект Коттона с довольно большой амплитудой³³⁻³⁶ (табл. 2.7). Изучение кривых дисперсии оптического вращения модельных ангидросоединений (XIII—XVI)³³ с фиксированным положением остатка рибозы и гетероциклического основания показывает, что амплитуда эффекта Коттона сильно зависит от их взаимной ориентации.

Увеличение угла вращения $\Phi_{C, N}$ приводит к уменьшению амплитуды положительного эффекта Коттона; для соединения XVI с фиксированной *син*-конформацией наблюдается большой отрицательный эффект Коттона, причем изменение знака эффекта Коттона не связано с изменением хромофора при переходе от уридина к 2-О-замещенным производным уридина, как это видно из значенния амплитуды для 2-О-этил-2',3'-О-изопропилиденуридина XVII. Эти данные ясно показывают, что для пиримидиновых нуклеозидов в растворе предпочтительной является *анти*-конформация, хотя вращение вокруг С-1'—N-гликозидной связи все же возможно; это и приводит к уменьшению амплитуды эффекта Коттона по сравнению с соединениями с фиксированной конформацией. *анти*-Конформация пиримидиновых нуклеозидов в растворах подтверждается и данными ЯМР. Это было показано для растворов ацетатов нуклеозидов в диметилсульфоксиде, где изменение химического сдвига протонов ацетильной группы при С-2' при переходе от производных уридина к производным 5,6-дигидроуридина указывает на заметное влияние магнитной анизотропии двойной связи и, следовательно, на сближенность в пространстве метильных протонов ацетильной группы при С-2' и двойной связи³⁷. Изучение зависимости химического сдвига протона при С-6 пиримидинового кольца в нуклеозид-5'-фосфатах от рН указывает на пространственную близость фосфатной группы к этому протону, что возможно лишь при *анти*-конформации^{38, 71}.

Вопрос о предпочтительной конформации пуриновых нуклеозидов в растворах не выяснен до конца. Для этих соединений в растворах характерен отрицательный эффект Коттона^{34, 35}. Аналогичный знак эффекта Коттона наблюдается и в случае 2',3'-О-изопропилиден-3,5'-циклонуклеозидов пуринового ряда^{36, 39}, например в производном аденозина XVIII.

С другой стороны, модельные соединения, в которых остаток рибозы фиксирован в *анти*-конформации, например 8,2'-ангидро-8-окси-9-β-D-арабинофуранозиладенин XIX, имеют положительный эффект Коттона^{40, 41}, что позволяет сделать вывод о *син*-конформации пуриновых нуклеозидов в растворе. Это заключение подтверждается⁴² изменением знака эффекта Коттона производных аденозина при введении по С-5' объемистых заместителей, которые делают невозможным существование соединения в *син*-конформации*.



Данные спектров ЯМР нуклеозид-5'-фосфатов указывают, однако, на заметное влияние ионизации фосфатной группы на химический сдвиг протона при С-8, но не при С-2, что возможно лишь при *анти*-конформации³⁸. Наконец, как недавно было обнаружено, при изменении рН происходит изменение знака эффекта Коттона для производных гуанозина⁴³; это можно трактовать как возможность обратимых переходов между *син*- и *анти*-конформациями нуклеозида**.

Преимущественная конформация дезоксирибонуклеозидов и дезоксирибонуклеотидов, по-видимому, аналогична конформации соответствующих производных рибозы. Имеющиеся данные рентгеноструктурных исследований (табл. 2.8) показывают, что в большинстве случаев конформация дезоксинуклеозидов и дезоксирибонуклеотидов в кристалле близка к *анти*-конформации, хотя в одном случае получено доказательство *син*-конформации.

* С гипотезой об *анти*-конформации производных аденозина согласуются результаты приближенных расчетов вращательной силы этих соединений⁷⁰.

** Исследование спектров ЯМР 2',3'-О-изопропилиденаденозина, 2',3'-О-изопропилиденгуанозина и 3,5'-цикло-2',3'-О-изопропилиденаденозина методом двойного резонанса позволяет сделать вывод о возможности обратимых переходов между *син*- и *анти*-конформациями, причем для производных аденозина *анти*-конформация менее выгодна, чем для производных гуанозина⁷².

Кривые дисперсии оптического вращения пиримидиндезоксирибозидов имеют положительный эффект Коттона^{34, 44}, для модельного соединения с фиксированной *син*-конформацией 5',2'-экзо-О-циклотимидина отмечен отрицательный эффект Коттона, что позволяет предполагать преобладание *анти*-конформеров в растворах

Таблица 2.8 Значения угла вращения $\Phi_{C, N}$ для ряда дезоксирибонуклеозидов и дезоксирибонуклеотидов

Соединение	$\Phi_{C, N}$, градусы	Литература
Пиримидиновые производные		
Тимидин-5'-фосфат	-48	3
2'-Дезокси-5-бромцитидин (в комплексе с 2'-дезоксигуанозином)	-61	28
2'-Дезокси-5-фторуридин	-62	26
2'-Дезокси-5-бромурдин	-43	26
2'-Дезокси-5-иодуридин	-65	27
Пуриновые производные		
2'-Дезоксиаденозин	-3	5
2'-Дезоксигуанозин (в комплексе с 2'-дезоксигуано- цитидином)	+138	28

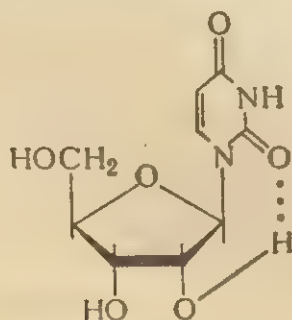
соединений, у которых возможно вращение вокруг гликозидной связи. Пуриндезоксирибозиды аналогичны пуринрибозидам, как можно судить по характеру кривых дисперсии оптического вращения (отрицательный эффект Коттона) и изменению спектра ЯМР при изменении pH; отсюда можно сделать вывод, что конформации этих соединений, по-видимому, близки.

4. Внутримолекулярные взаимодействия

В приведенном выше обсуждении теоретически возможных конформаций нуклеозидов (см. стр. 129) мы принимали во внимание в качестве главных факторов, определяющих конформацию, лишь ван-дер-ваальсовы силы отталкивания. Между тем в молекулах нуклеозидов и нуклеотидов имеется достаточное количество функциональных групп, между которыми могут возникать взаимодействия. Такие внутримолекулярные взаимодействия могут оказывать существенное влияние на конформацию нуклеозидов и нуклеотидов в разбавленных растворах. Хотя детальное рассмотрение этого вопроса в настоящее время невозможно, краткое обсуждение имеющихся данных о внутримолекулярных взаимодействиях в нуклеозидах и нуклеотидах кажется целесообразным.

Существует довольно обширная литература, касающаяся возможности возникновения внутримолекулярных водородных свя-

зей между гидроксильной группой при С-2' остатка рибозы и карбонильной группой при С-2 пиримидинового основания:



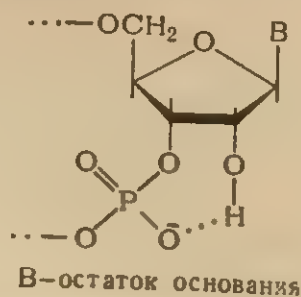
Возможность образования такой водородной связи может быть легко продемонстрирована на молекулярных моделях нуклеозидов с *анти*-конформацией. Впервые предположение о таком взаимодействии было выдвинуто для объяснения различия УФ-спектров в сильнощелочной среде уридина и уридин-3'-фосфата, с одной стороны, и уридин-2'-фосфата, с другой стороны⁴⁵. Прямых доказательств образования такого рода водородной связи до сих пор не получено. Расстояние между атомами кислорода 2-экзо-О и 2'-экзо-О в кристаллах пиримидиновых рибонуклеозидов и рибонуклеотидов, полученное на основании данных рентгенографии, превышает расстояние, требуемое для образования водородной связи. Однако это не удивительно, так как в кристаллической решетке и тот и другой атомы кислорода находятся в непосредственной близости с функциональными группами соседних молекул нуклеотида; такие межмолекулярные взаимодействия могут преобладать в данном случае над внутримолекулярными взаимодействиями, существующими в разбавленных растворах.

Имеющиеся косвенные доказательства существования водородной связи между карбонильной группой при С-2 пиримидинового кольца и водородом гидроксильной группы при С-2' остатка рибозы можно разбить на две группы. Одна группа — это данные о различии физических свойств или химической реакционной способности для пиримидиновых нуклеозидов и их производных, в которых имеется гидроксильная группа при С-2' (например, уридин, уридин-3'-фосфат, уридин-5'-фосфат) и производных, в которых эта гидроксильная группа отсутствует (например, 2'-дезоксидиурин, уридин-2'-фосфат, алкил урацилы). Помимо уже упоминавшихся данных по УФ-спектрам производных уридина сюда относятся данные о различии констант ионизации для производных цитозина этих двух групп⁴⁶, отличия в спектрах ЯМР пиримидиновых нуклеотидов³⁸, а также различие в скоростях протекания некоторых реакций рибо- и дезоксирибонуклеозидов (например, фотохимической гидратации производных цитидина⁴⁷, каталитического гидрирования⁴⁸ и гидроксилламинолиза⁴⁹ производных уридина).

Другая группа косвенных доказательств — это данные по изменению реакционной способности функциональных групп остатка сахара или фосфата в зависимости от природы гетероциклического основания. Такого рода различия отмечались часто, однако детальные кинетические исследования в этой области почти отсутствуют. Примером подобных исследований может служить работа Витцеля⁵⁰ по кинетике гидролиза динуклеозидмонофосфатов, содержащих остаток пириимидиновых нуклеозид-3'-фосфатов, по сравнению с аналогичными соединениями, содержащими остаток пуриновых нуклеозид-3'-фосфатов. Наблюдаемые кинетические отличия можно объяснить повышенной нуклеофильностью гидроксильной группы при С-2' пириимидиннуклеозидов за счет образования водородной связи с гетероциклическим ядром. Представления о взаимодействии карбонильной группы при С-2 пириимидина с гидроксильной группой при С-2' остатка рибозы используются для объяснения механизма действия панкреатической рибонуклеазы^{51, 52}.

В литературе имеются также данные, которые можно рассматривать как косвенные указания на возможность внутримолекулярного образования водородных связей и в пуриновых нуклеозидах с участием N-3 гетероциклического ядра и гидроксила при С-2' рибозы. К их числу относятся некоторые различия в УФ-спектрах⁵¹ и спектрах ЯМР^{38, 53} пуриновых рибо- и 2'-дезоксирибонуклеозидов.

В настоящее время накоплен достаточно большой фактический материал по различию физико-химических характеристик олиго- и полинуклеотидов, содержащих рибо- и дезоксирибонуклеотиды (подробнее — см. гл. 4). Разумной причиной таких различий является, по-видимому, какое-либо участие гидроксильной группы при С-2' остатка рибозы в стабилизации конформации полинуклеотидной цепи в случае рибополимеров. Помимо образования водородной связи с карбонильной группой пириимидинового основания (или N-3 пуринового основания), для объяснения наблюдаемых свойств предполагается образование водородных связей с кислородами фосфатной группы⁵⁴:



Такое взаимодействие, очевидно, возможно и в мономерных нуклеозид-3'-фосфатах.

ЛИТЕРАТУРА
Витцель
ными
куляр
фосф
тиды
В
стве
за
тическ
взаимо
ческих
полинук
взаимо
нуклео
водных
Сил
основа
в дину
важнук
полинук

- ЛИТЕРАТУРА
1. Sun
 2. Bug
 3. Tru
 4. She
 5. Wat
 6. Kra
 7. Sun
 8. Rou
 9. Fur
 10. Kur
 11. Kilp
 12. Hall
 13. Fur
 14. Fur
 15. Has
 16. Ibal
 17. Wat
 18. Cou
 19. Jar
 20. Jar
 21. Catl
 22. From
 23. Tret
 24. Jar
 25. Sund

Внутримолекулярные взаимодействия, обусловленные водородными связями, могут существовать и в более сложных низкомолекулярных нуклеотидных производных, таких, как нуклеозиддифосфатсахара⁵⁵, нуклеозид-5'-фосфо(P—N)аминокислоты и -пептиды⁵⁶.

В подобных нуклеотидпроизводных, которые содержат в качестве заместителя остатки гетероциклических оснований (с ароматическими свойствами), могут возникать внутримолекулярные взаимодействия другого рода — взаимодействие двух ароматических систем, аналогичное взаимодействиям, наблюдающимся в полинуклеотидах (см. гл. 4). Такого рода внутримолекулярные взаимодействия надежно доказаны для никотинамидадениндинуклеотида^{57–62}, флавинадениндинуклеотида^{63–66} и их производных.

Сильные взаимодействия между двумя гетероциклическими основаниями наблюдаются в P¹,P²-динуклеозид-5'-пирофосфатах и в динуклеозидмонофосфатах. Такого рода взаимодействия играют важную роль в стабилизации определенной конформации олиго- и полинуклеотидов, они будут подробнее рассмотрены в гл. 4.

ЛИТЕРАТУРА

1. Sundaralingam M., Jensen L. H., J. Mol. Biol., 13, 914 (1965).
2. Bugg C. E., Marsh R. E., J. Mol. Biol., 25, 67 (1967).
3. Trueblood K. N., Horn P., Luzzati V., Acta cryst., 14, 965 (1961).
4. Shefter E., Trueblood K. N., Acta cryst., 18, 1067 (1965).
5. Watson D. G., Sutor D. J., Tollin P., Acta cryst. 19, 111 (1965).
6. Kraut J., Jensen L. H., Acta cryst., 16, 79 (1963).
7. Sundaralingam M., Acta cryst., 21, 495 (1966).
8. Roullier P., Delmau J., Nofre C., Bull. Soc. chim. France, 1966, 3515.
9. Furberg S., Jensen L. H., J. Am. Chem. Soc., 90, 470 (1968).
10. Kurtev B., Pojarliev I., Blagoeva I., Burgudjiev I., Abstr. Papers XXIst Intern. Congr. Pure. Appl. Chem., Nucl. Acid Components, № 2, Prague, 1967.
11. Kilpatrick J. E., Pitzer K. S., Spitzer R., J. Am. Chem. Soc., 69, 2483 (1947).
12. Hall L. D., Chem. a. Ind., 1963, 950.
13. Furberg S., Peterson C. S., Romming C., Acta cryst., 18, 313 (1965).
14. Furberg S., Acta Chem. Scand., 4, 751 (1950).
15. Haschemeyer A. E., Sobell H. M., Acta cryst., 18, 525 (1965).
16. Iball J., Morgan C. H., Wilson H. R., Proc. Roy. Soc., A295, 320 (1966).
17. Watenpaugh K., Dow J., Jensen L. H., Furberg S., Science, 159, 206 (1968).
18. Coulter C. L., Science, 159, 888 (1968).
19. Jardetzky C. D., J. Am. Chem. Soc., 84, 62 (1962).
20. Jardetzky C. D., Jardetzky O., J. Am. Chem. Soc., 82, 222 (1960).
21. Catlin L., Davis J. C., J. Am. Chem. Soc., 84, 4464 (1962).
22. Fromageot H. P. M., Griffin R. E., Reese C. B., Sulston J. E., Tretham D. R., Tetrahedron, 22, 705 (1965).
23. Jardetzky C. D., J. Am. Chem. Soc., 82, 229 (1960).
24. Sundaralingam M., J. Am. Chem. Soc., 87, 599 (1965).

25. Harris D. R., Macintyre W. M., *Biophys. J.*, 1964, 203.
26. Iball J., Morgan C. H., Wilson H. R., *Nature*, 209, 1230 (1966).
27. Camerman N., Trotter J., *Acta Cryst.*, 18, 203 (1965).
28. Haschemeyer A. E. V., Sobell H. M., *Acta Cryst.*, 19, 125 (1965).
29. Jardetzky C. D., *J. Am. Chem. Soc.*, 83, 2919 (1961).
30. Donohue J., Trueblood K., *J. Mol. Biol.*, 2, 363 (1960).
31. Haschemeyer A. E. V., Rich A., *J. Mol. Biol.*, 27, 369 (1967).
32. Jordan F., Pullman B., *Theoret. Chim. Acta*, 9, 242 (1968).
33. Emerson T. R., Swan R. J., Ulbricht T. L. V., *Biochemistry*, 6, 842 (1967).
34. Yang J. T., Samejima T., Sarkar P. K., *Biopolymers*, 4, 623 (1966).
35. Nishimura T., Shimizu B., *Biochim. Biophys. Acta*, 157, 221 (1968).
36. Miles D. W., Robins R. K., Eyring H., *Proc. Nat. Acad. Sci. US*, 57, 1138 (1967).
37. Cushley R. J., Watanabe K. A., Fox J. J., *J. Am. Chem. Soc.*, 89, 394 (1967).
38. Schweizer M. P., Broom A. D., Ts'o P. O. P., Hollis D. P., *J. Am. Chem. Soc.*, 90, 1042 (1968).
39. Hampton A., *J. Org. Chem.*, 32, 1688 (1967).
40. Ikehara M., Kaneko M., Muneyama K., Tanaka K., *Tetrahedron Letters*, 1967, 3977.
41. Ikehara M., Kaneko M., Sagai M., *Chem. Pharm. Bull.*, 16, 1151 (1968).
42. Klee W. A., Mudd S. H., *Biochemistry*, 6, 988 (1967).
43. Gushelbauer V., Courteis Y., *FEBS Letters*, 1, 183 (1968).
44. Ulbricht T. L. V., Jennings J. P., Scopes P. M., Klyne M., *Tetrahedron Letters*, 1964, 695.
45. Fox J. J., Cavalieri L. F., Chang N., *J. Am. Chem. Soc.*, 75, 4315 (1953).
46. Lewin S., Humphreys D. A., *J. Chem. Soc. (B)*, 1966, 210.
47. Wierzechowsky K. L., Shugar D., *Biochim. Biophys. Acta*, 25, 355 (1957); *Acta Biochim. Polon.*, 8, 219 (1961).
48. Кочетков Н. К., Будовский Э. И., Шibaев В. Н., Елисеева Г. И., *ДАН СССР*, 159, 609 (1964).
49. Кочетков Н. К., Будовский Э. И., Шibaев В. Н., Елисеева Г. И., *ДАН СССР*, 172, 603 (1967).
50. Witzel H., *Ann.*, 635, 182 (1960).
51. Witzel H., in «Progress in Nucleic Acid Research and Molecular Biology», v. 2, Davidson D. N., Cohn W. E. (eds.), Acad. Press, N. Y., 1963, p. 221.
52. Gassen H. G., Witzel H., *Europ. J. Biochem.*, 1, 36 (1967).
53. Broom A. D., Schweizer M. P., Ts'o P. O. P., *J. Am. Chem. Soc.*, 89, 3612 (1967).
54. Brahm J., Maurizot J. C., Michelson A. M., *J. Mol. Biol.*, 25, 481 (1967).
55. Кочетков Н. К., Будовский Э. И., Шibaев В. Н., *Биохимия*, 28, 741 (1963).
56. Соколова Н. И., Стумбравичуте Э. А., Пурьгин П. П., Шабарова З. А., Прокофьев М. А., *ДАН СССР*, 174, 722 (1967).
57. Weber G., *J. chim. phys.*, 55, 878 (1958).
58. Velick S. F., *J. Biol. Chem.*, 233, 1455 (1958).
59. Meyer W. L., Mahler H. R., Baker B. R., *Biochim. Biophys. Acta*, 64, 353 (1962).
60. Jardetzky O., Wade-Jardetzky N. G., *J. Biol. Chem.*, 241, 85 (1966).
61. Pfeleiderer G., Woenckhaus G., Scholz K., Feller H., *Ann.*, 675, 205 (1964).
62. Pfeleiderer G., Woenckhaus C. W., *Ann.*, 690, 170 (1965).
63. Bessey O. A., Lowry O. H., Love R. H., *J. Biol. Chem.*, 180, 755 (1949).

ЛИТЕРАТУРА

64. Web
65. Chas
66. Tsib
- 504 (
67. Roh
68. Don
69. Saen
70. Mile
- J. Phys
71. Feld
72. Hart

64. Weber G., Biochem. J., 47, 114 (1950).
65. Chassy B. M., McCormick D. B., Biochemistry, 4, 2612 (1965).
66. Tsibris I. C. M., McCormick D. B., Wright L. B., Biochemistry, 504 (1965).
67. Rohrer D., Sundaralingam M., Chem. Comm., 1968, 746.
68. Donohue J., Arch. Biochem. Biophys., 128, 591 (1968).
69. Saenger W., Scheit K. H., Angew. Chem., 81, 121 (1969).
70. Miles D. W., Hahn S. J., Robins R. K., Robins M. J., Eyring H., J. Phys. Chem., 72, 1483 (1968).
71. Feldman I., Agarwal R. P., J. Am. Chem. Soc., 90, 7329 (1968).
72. Hart P. A., Davis J. P., J. Am. Chem. Soc., 91, 512 (1969).

ЭЛЕКТРОННАЯ СТРУКТУРА И РЕАКЦИОННАЯ СПОСОБНОСТЬ МОНОМЕРНЫХ КОМПОНЕНТОВ НУКЛЕИНОВЫХ КИСЛОТ

I. ВВЕДЕНИЕ

Специфичность функционирования нуклеиновых кислот и нуклеотидкоферментов определяется реакционной способностью нуклеозидных звеньев и в первую очередь входящих в их состав гетероциклических оснований. При этом реакционную способность следует понимать в самом широком смысле, имея в виду не только взаимодействия, приводящие к образованию или разрыву ковалентных связей, но и взаимодействия иных типов — с соседними основаниями в той же полинуклеотидной цепи или с комплементарными основаниями другого полинуклеотида, с белками (гистонами, белками вирусной оболочки, ферментами нуклеинового обмена и т. д.), ионами металлов и т. д.

Для изучения химических свойств компонентов нуклеиновых кислот используется весь арсенал классической и современной органической химии — как теоретические квантовохимические расчеты, так и эмпирические методы, основанные на изучении реакционной способности аналогов. В данной главе с этой точки зрения рассматриваются основные характеристики компонентов нуклеиновых кислот и нуклеотидкоферментов, определяющие их химическую специфичность в основном электронном состоянии. Свойства компонентов нуклеиновых кислот в возбужденном состоянии будут рассмотрены в гл. 12.

II. РАСПРЕДЕЛЕНИЕ ЭЛЕКТРОННОЙ ПЛОТНОСТИ В ГЕТЕРОЦИКЛИЧЕСКИХ ОСНОВАНИЯХ НУКЛЕИНОВЫХ КИСЛОТ

Свойства молекул определяются особенностями их электронной структуры, и поэтому, прежде чем обсуждать вопросы, связанные с реакционной способностью гетероциклических оснований, входящих в состав нуклеиновых кислот, необходимо рассмотреть вопрос о распределении электронной плотности в молекулах оснований. При этом мы остановимся на теоретической стороне проблемы и, поневоле более кратко, на немногочисленных экспе-

и рас
римент
скольк
сдвину
видимо
мы ра
разом

Рис. 3.1.
атомов
ских сс
а — Атом
у и Z. На
битой ато
соответст
б + .

б — Атом
и Z. На р
битой ато
бите, рас
и N—Z, на
Соответст
ченны знак
в — Атом
мами Z и
щейся с
трона. Н
ной под
дятся два
щие ато
(образую
в сопряже
г — Атом
с р-орбита
желных
п-электро
обр

таутоме
ние или
на или
молеку
нейтра
проведе
молеку
ных хи
состоян

1. Т
Гет
новые
ляют с
между
тронны
п-элект

риментальных попытках подтверждения данных положений. Поскольку таутомерное равновесие оснований обычно очень сильно сминуто в сторону одной из форм (см. стр. 165 и далее), которая, видимо, и является ответственной за свойства соединения, здесь мы рассмотрим вопрос о распределении электронов главным образом в наиболее стабильных при обычных условиях (25°C , 1 ат)

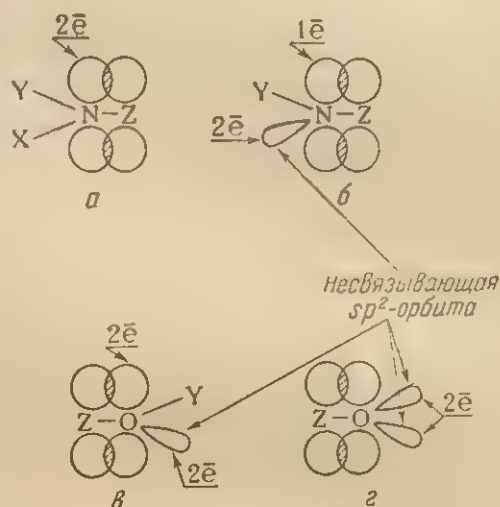
Рис. 3.1. Способы участия в сопряжении атомов азота и кислорода гетероциклических оснований:

а — Атом азота образует три σ -связи с атомами X, Y и Z. На p -орбите азота, перекрывающейся с p -орбитой атома Z, находятся два электрона. На рис. 3.3 соответствующие атомы азота отмечены знаком „ $\delta+$ “.

б — Атом азота образует две σ -связи с атомами Y и Z. На p -орбите азота, перекрывающейся с p -орбитой атома Z, находится один электрон. На p -орбите, расположенной под углом 120° к связям N—Y и N—Z, находятся два несвязывающих электрона. Соответствующие атомы азота на рис. 3.3 отмечены знаком „ $\delta-$ “.

в — Атом кислорода образует две σ -связи с атомами Z и Y. На p -орбите кислорода, перекрывающейся с p -орбитой атома Z, расположены два электрона. На несвязывающей p -орбите, расположенной под углом 120° к связям Z—O и O—Y, находятся два несвязывающих электрона. Соответствующие атомы кислорода на рис. 3.3 имеют „ $\delta+$ “ (образующий две σ -связи атом серы участвует в сопряжении аналогично).

г — Атом кислорода образует одну σ -связь. На p -орбите кислорода, перекрывающейся с p -орбитой атома Z, находится один электрон. На двух несвязывающих p -орбитах, расположенных под углом 120° по отношению друг к другу и к связи O—Z, находятся по два π -электрона. Соответствующие атомы в основаниях на рис. 3.3 имеют „ $\delta-$ “ (атом серы, образующий одну σ -связь, также вносит в сопряженную систему один электрон).



таутомерных формах оснований. Кроме того, хотя протонирование или депротонирование с образованием соответственно катиона или аниона может заметно менять распределение электронов в молекулах оснований, в данном разделе рассматриваются только нейтральные основания, так как почти все теоретические расчеты проведены именно для этой формы. Рассмотрение нейтральных молекул дает значительную информацию при изучении различных химических свойств оснований, в том числе и в ионизованном состоянии.

1. Теоретические положения

Гетероциклические основания как сопряженные системы. Пуриновые и пиримидиновые основания нуклеиновых кислот представляют собой циклические системы, составленные из связанных между собой тригональных (sp^2 -гибридизованных) атомов, p -электронные атомные орбитали которых, перекрываясь, образуют π -электронные молекулярные орбитали. В соответствии с общепри-

нятыми представлениями¹⁻³ о способах сопряжения sp^2 -гибридизованных гетероатомов атом азота, который в рассматриваемых соединениях связан с тремя другими атомами, вносит в общую π -электронную систему два электрона и не имеет несвязывающих орбит или n -орбит (рис. 3.1). Такими атомами являются, например, атомы азота экзоциклических аминогрупп в цитозине, аденине или гуанине.

Атом азота, связанный лишь с двумя другими атомами, т. е. имеющий две σ -связи, вносит в общую систему всего один π -электрон, и на его несвязывающей орбите находятся два электрона. Примером таких атомов могут являться атомы N-3 цитозина (рис. 3.2) и N-7 гуанина и аденина.

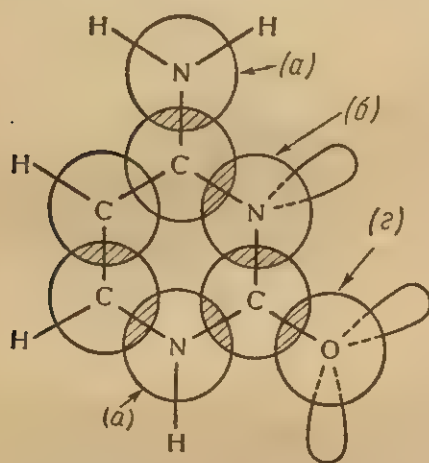


Рис. 3.2. Молекула цитозина как пример сопряженной системы с гетероатомами типа *a*, *b* и *g* (см. рис. 3.1).

Аналогично образующий две σ -связи атом кислорода вносит в систему два p -электрона и имеет два электрона на одной несвязывающей орбите; образующий одну σ -связь карбонильный кислород отдает в общее пользование лишь один электрон и имеет на двух несвязывающих орбитах по два электрона. Участвующий в сопряжении атом углерода вносит в общую π -электронную систему один электрон. Естественно, что свойства соединений определяются распределением π -, n -, и σ -электронов. Однако во многих случаях, а именно для процессов,

проходящих без разрыва σ -связей, основную роль играют более лабильные π -электроны. Здесь нужно иметь в виду, что они взаимодействуют определенным образом с σ -электронами, однако этим взаимодействием в первом приближении можно пренебречь и рассматривать π - и σ -электронные системы по отдельности.

Даже чисто качественное рассмотрение роли отдельных атомов в сопряжении позволяет сделать ряд довольно важных выводов о химических свойствах оснований (рис. 3.3). В частности, те атомы, которые вносят в общую π -электронную систему два электрона — типы *a* и *b* по обозначениям рис. 3.1, — должны иметь некоторый недостаток электронов или, иными словами, на них должен быть сосредоточен частичный положительный заряд δ^+ . Атомы, вносящие в систему один p -электрон и имеющие на несвязывающей орбите два электрона (по обозначениям рис. 3.1, типы *b* и *g*), должны обладать частичным отрицательным зарядом δ^- (рис. 3.3). В соответствии с этим первые атомы должны значи-

II. РАСП
тельно м
тами, че
Распр
тину ра
получит

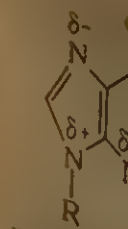
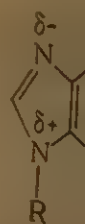


Рис. 3.3.
гетероцикл

оказывает
ых основа
С-8 пурино
ком электр
ваются чре
дения моле
ственный,

тельно менее охотно взаимодействовать с электрофильными агентами, чем вторые.

Распределение π -электронной плотности. Качественную картину распределения электронной плотности в молекуле можно получить путем построения мезомерных структур⁴. При этом

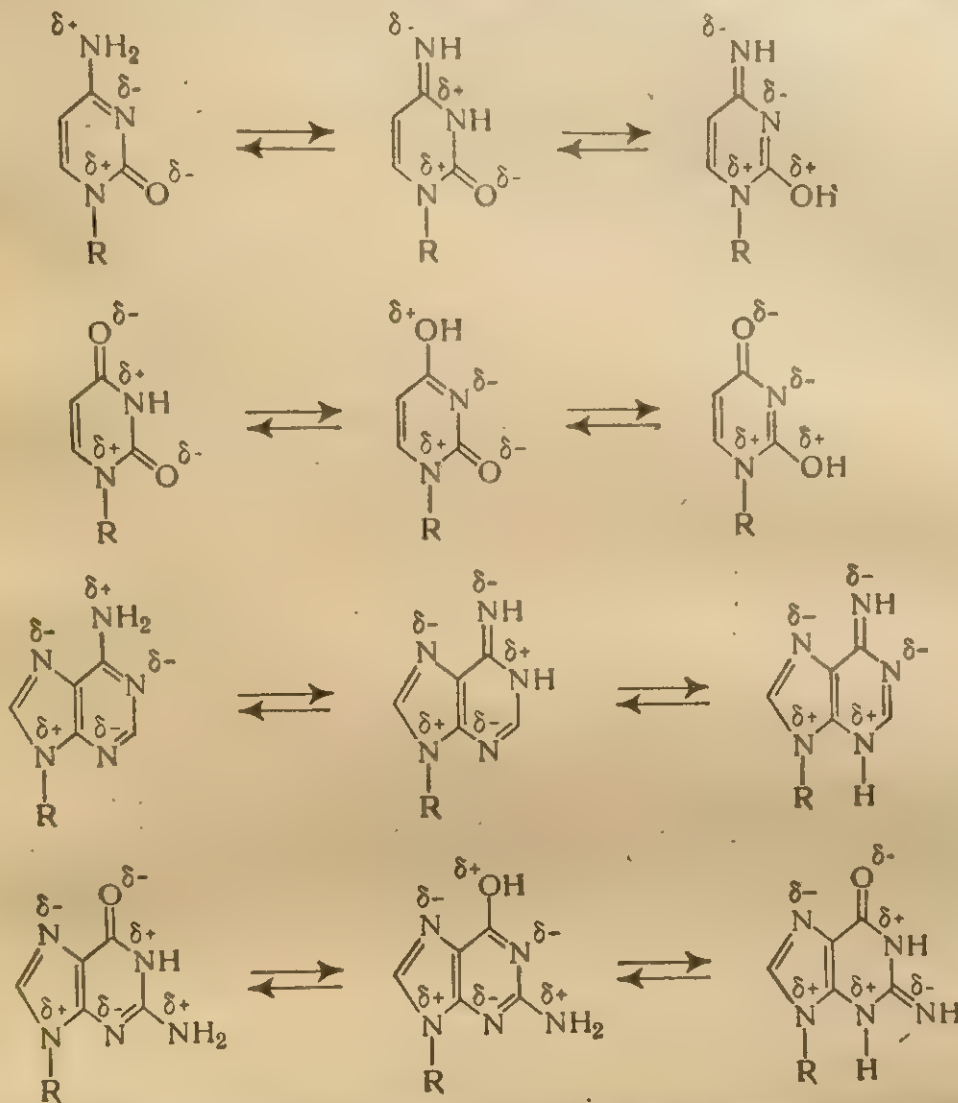


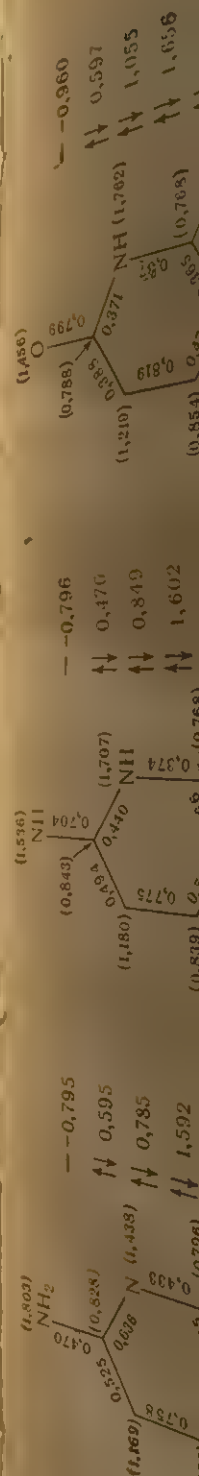
Рис. 3.3. Сопряжение гетероатомов в таутомерных формах производных гетероциклических оснований нуклеиновых кислот.

оказывается, в частности, что электронная плотность в пиримидиновых основаниях повышена на С-5 по сравнению с С-6 и что атом С-8 пуриновых оснований должен обладать некоторым недостатком электронов. Хотя даже качественные выводы часто оказываются чрезвычайно полезными при трактовке химического поведения молекул, предпочтительным, естественно, является количественный, или хотя бы полуколичественный, анализ, который

можно провести расчетным путем. В применении к основаниям нуклеиновых кислот для расчетов используются обычно различные варианты метода молекулярных орбиталей в приближении линейной комбинации атомных орбиталей. Еще недавно единственными доступными данными были результаты, полученные при использовании простейшего метода — метода Хюккеля^{2, 5, 6}. Метод является полумэмпирическим, так как при расчетах используются ранее подобранные в соответствии с экспериментом или на основании общих соображений параметры и результаты расчета сильно зависят от их величины, которая, в свою очередь, часто выбирается довольно произвольно. Поэтому хотя, как правило, наиболее фундаментальные выводы, сделанные на основании расчетов, проведенных различными авторами, согласуются между собой, часто наблюдаются не только количественные, но и качественные расхождения в результатах, касающихся более частных проблем. Информация, получаемая в результате такого расчета, касается плотности π -электронов на отдельных атомах, участвующих в сопряжении, порядков связей между двумя связанными атомами (эти порядки характеризуют плотность электронного облака между атомами) и распределения энергетических уровней молекулы. Результаты расчета представляются в виде молекулярной диаграммы. На скелете молекулы вдоль связей указывают их подвижные порядки, а рядом со скелетными и экзо-атомами в скобках — плотности π -электронов около них.

На рис. 3.4 представлены молекулярные диаграммы некоторых наиболее важных таутомерных форм гетероциклических оснований нуклеиновых кислот (свободных оснований и в составе различных производных), полученные Пюльманом² с использованием метода Хюккеля*. Пользуясь приведенными на молекулярных диаграммах электронными плотностями на атомах, легко рассчитать величины частичных зарядов ($\delta+$ или $\delta-$) на соответствующих атомах путем вычитания из числа электронов, поставляемых данным атомом в общую π -систему, величины π -электронной плотности на этом атоме. При этом получается более наглядная картина роли данного атома как электроположительного или электроотрицательного центра в молекуле. Соответствующие диаграммы, полученные расчетом по методу Хюккеля, приведены на рис. 3.5; полученные методом самосогласованного поля — на рис. 3.6. Легко видеть, что качественные предсказания, сделанные на основании построения мезомерных структур, подтверждаются и при расчетах методом молекулярных орбиталей в приближении Хюккеля. Среди углеродных атомов ядер пиримидиновых оснований

* Метод Хюккеля не учитывает взаимодействия электронов в молекуле. Этот недостаток частично устраняется в усовершенствованных методах, например методах самосогласованного поля^{7, 8}.



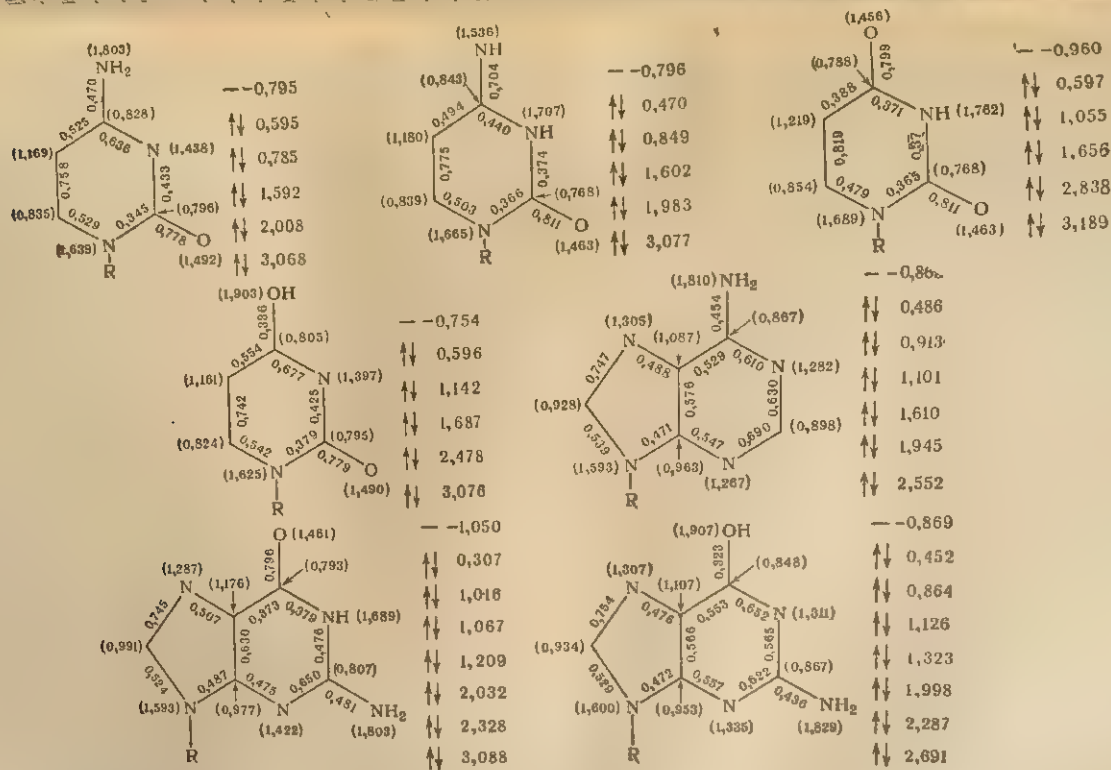


Рис. 3.4. Молекулярные диаграммы некоторых таутомерных форм оснований нуклеиновых кислот (свободных оснований и в составе различных производных).

Рядом с диаграммами приведены схемы распределения π -электронов по молекулярным энергетическим уровням в условных единицах энергии (β разность энергий между двумя разрешенными энергетическими уровнями в этилене равна 2β). Незаполненные электронные орбитали обозначены знаком "-", электронные орбитали, на которых находятся два электрона с противоположными спинами, — знаком " $\uparrow\downarrow$ ".

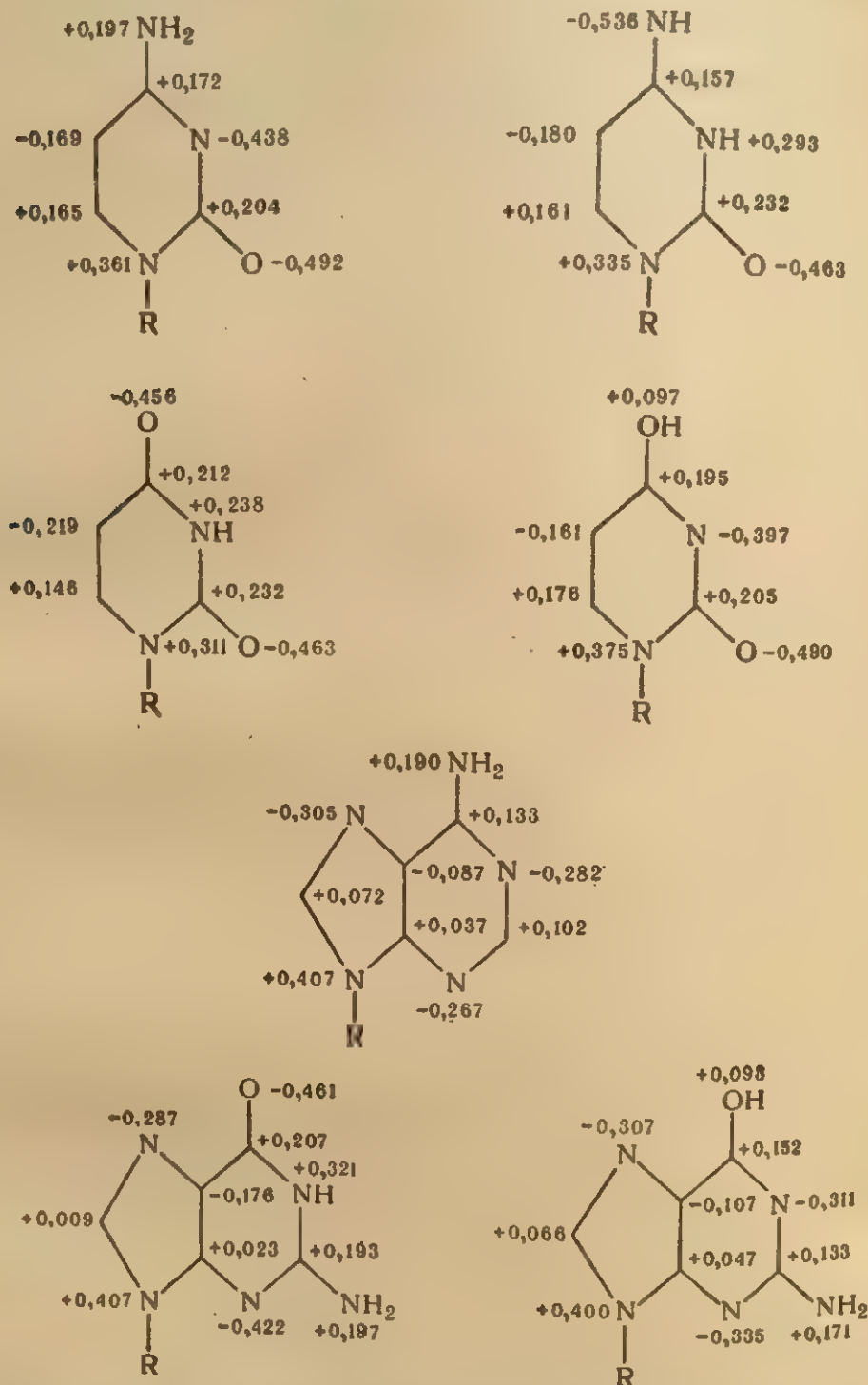


Рис. 3.5. Распределение частичных („суммарных“) зарядов на скелетных и экзоатомах некоторых таутомерных форм оснований нуклеиновых кислот (свободных оснований и их производных), рассчитанное по методу молекулярных орбиталей в приближении Хюккеля².

II. РАСПРЕД
частичны
да как на
рицатель
тельные
ший — на
два π-эле

+0,021
+0,36

Рис. 3
в скел
(свобо
соглас

стичные
одному
ные зар
подтвер
гими ав
тодами
расчете
способн
Тем
торов

* Им
эмпириче
разработ
ненными

частичным положительным зарядом обладают С-2, С-4 и С-6, тогда как на С-5 сосредоточен довольно значительный отрицательный заряд. Значительные по величине частичные положительные заряды расположены на С-2 и С-6 и существенно меньший — на С-8 пуриновых оснований. Группы, поставляющие по два π -электрона в систему (например, NH_2 , OH и др.), несут ча-

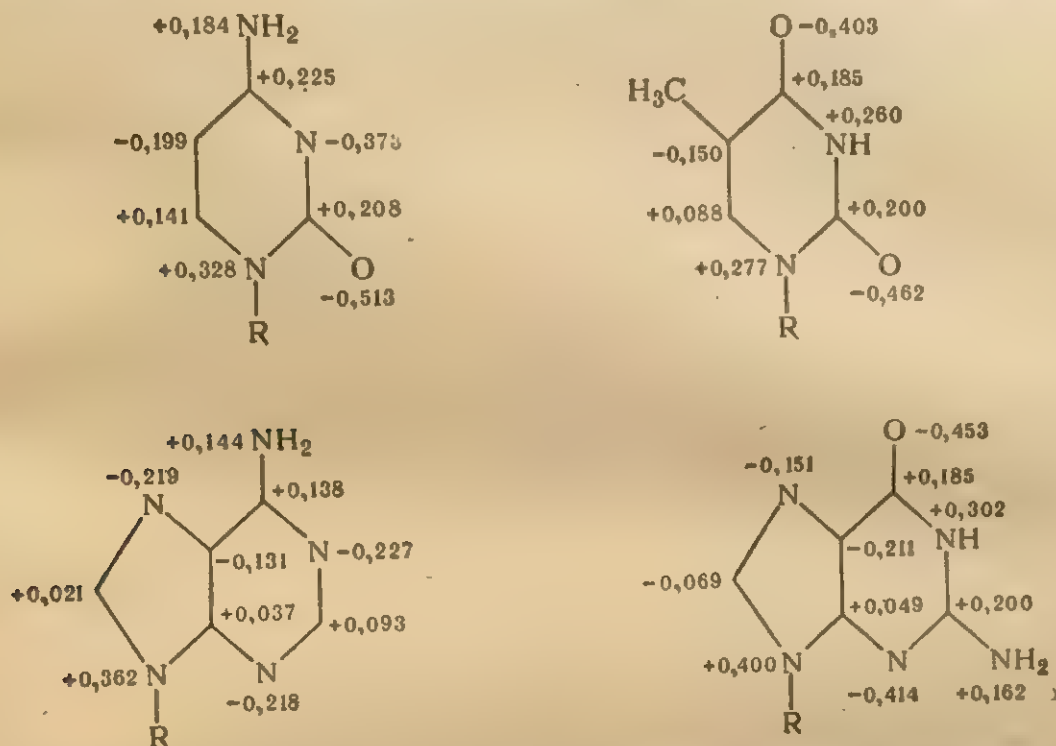


Рис. 3.6. Распределение частичных („суммарных“) зарядов π -электронов в скелетных и экзоатомах кетоаминоформ оснований нуклеиновых кислот (свободных оснований и их производных), рассчитанное по методу само-согласованного поля⁷.

стичные положительные заряды, гетероатомы, поставляющие по одному π -электрону, несут значительные частичные отрицательные заряды. Эти выводы о распределении электронной плотности подтверждаются и в расчетах, проведенных тем же методом другими авторами^{5,6}, а также при расчетах более совершенными методами (см., например,^{7,8}) *. Выводы, сделанные на основании расчетов, имеют большое значение для предсказания реакционной способности молекул оснований.

Тем не менее нельзя не отметить, что в расчетах различных авторов наблюдаются порой и значительные расхождения. Это

* Имеются работы (см., например,⁹), где вследствие неудачного выбора эмпирических параметров при расчетах методами, еще находящимися в стадии разработки, получаются результаты, не согласующиеся ни с расчетами, выполненными другими методами, ни с экспериментальными данными.

относится как к упрощенному методу молекулярных орбиталей, так и к более совершенным методикам. Хотя в последнем случае, по-видимому, получаются более удовлетворительные энергетические характеристики молекулы, электронные плотности в расчетах разных авторов остаются различными как по численным значениям,

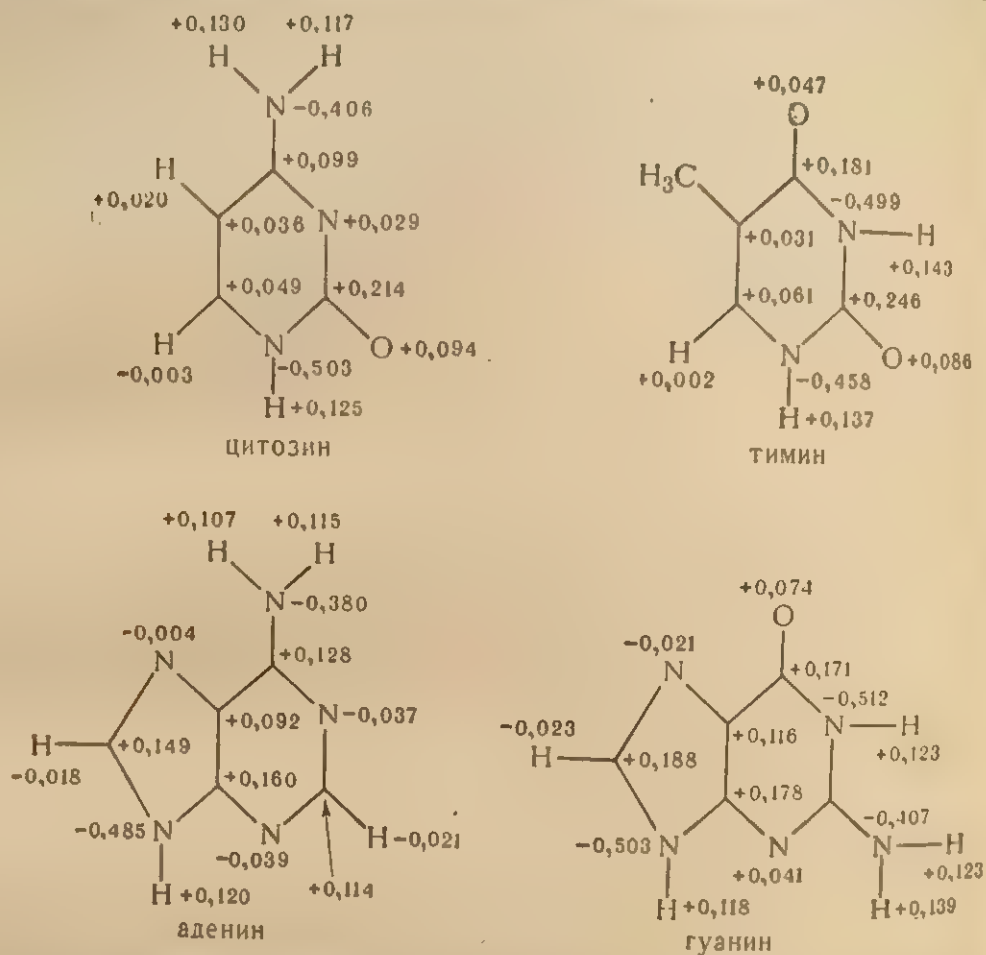


Рис. 3.7. Распределение σ -электронных зарядов для кетоаминоформ оснований унклеиновых кислот ⁷.

так и по относительным величинам. В качестве примера можно сопоставить полученный при расчете порядок увеличения электронной плотности на атомах азота пиридинового типа в аминокетонной форме аденина:

Упрощенный метод молекулярных орбиталей ¹³	N-7 >	N-1 >	N-3
Метод самосогласованного поля по В. А. Куприевичу ¹⁰	N-7 >	N-1 >	N-3
То же, по Пюльману ¹¹	N-7 >	N-3 >	N-1
То же, по Нагата и сотр. ¹²	N-1 >	N-3 >	N-7
То же, по Гисне-Претре ⁷	N-1 >	N-7 >	N-3

II. РАСПРЕДЕЛЕНИЕ
Эти и т.
несовершен
ностью в вы
вление теор
цов даст в
ление элект
тироваться

Рис. 3.8.
нуклеино

при расче
придержи
с химичес
Учет
плотности
польные
ных хара
тем хими
вами о-с
лекуле ч
электрон
о-электр

Эти и другие наблюдаемые расхождения связаны, очевидно, с несовершенством методов расчета и со значительной произвольностью в выборе исходных параметров. Можно надеяться, что развитие теоретических представлений и техники расчета в конце концов даст возможность более надежно предсказывать распределение электронной плотности, пока же, очевидно, следует ориентироваться только на те результаты, которые воспроизводятся

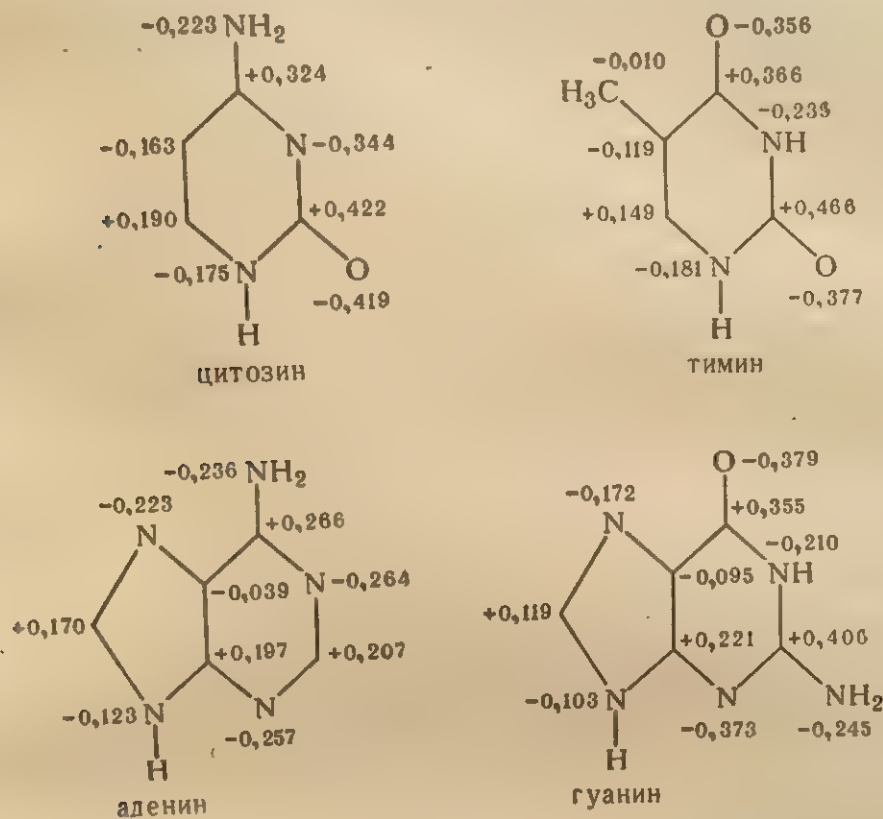


Рис. 3.8. Суммарные π - и σ -заряды для кетоаминоформ оснований нуклеиновых кислот⁷.

при расчете по различным методам. Именно этого принципа мы придерживаемся при дальнейшем изложении вопросов, связанных с химическими свойствами оснований.

Учет σ -электронов и суммарное распределение электронной плотности. Многие физические свойства оснований, например дипольные моменты, зависят и от π -электронных, и от σ -электронных характеристик молекулы. Очевидно, это относится также к тем химическим свойствам оснований, которые связаны с разрывом σ -связей. Поэтому знание распределения σ -электронов в молекуле чрезвычайно важно. На рис. 3.7 приведено распределение электронной плотности в основаниях нуклеиновых кислот для σ -электронов и на рис. 3.8 — распределение суммарных зарядов⁷.

Как легко видеть, качественное распределение зарядов при включении в расчет σ -электронов остается тем же, что и при рассмотрении только π -электронов (см. рис. 3.6). Так, например, можно сопоставить заряды на атомах С-5 и С-6 пиримидиновых оснований, рассчитанные только с учетом π -электронов и с учетом π - и σ -электронов. В обоих случаях большая электронная плотность соответствует атому С-5. Далее оба расчета предсказывают, что на С-6 аденина и цитозина сосредоточены частичные положительные заряды и т. д. Возможно, что для предсказания химических особенностей оснований расчеты с учетом σ -электронов окажутся более подходящими, однако в настоящее время они малодоступны.

2. Экспериментальные данные и их сопоставление с расчетными

Для того чтобы выбрать лучший метод расчета, необходимо иметь совокупность экспериментальных данных для проверки получаемых результатов. Распределение электронной плотности определяет, очевидно, такие характеристики молекул, как длина связей, дипольные моменты, химические сдвиги (при измерении ЯМР), структуру сигналов ЭПР и ядерного квадрупольного резонанса.

Рентгеноструктурный анализ. Данные рентгенографии кристаллических веществ дают возможность определить длины связей в молекуле соединений. Длины связей, определяемые по данным рентгеноструктурного анализа, могут быть сопоставлены с длинами связей, рассчитанными теоретически, исходя из порядков связей⁸.

В табл. 3.1 приводится в качестве примера сопоставление величин длин связей в молекуле непротонированного цитозина, найденных экспериментально¹⁴ и расчетных¹⁵.

Таблица 3.1 Сопоставление расчетных¹⁵ и экспериментальных¹⁴ длин связей в молекуле непротонированного цитозина

Связь	Порядок связи	Расчетная длина связи, Å	Найденная длина связи, Å
N-1—C-2	0,38	1,38	1,376
N-1—C-6	0,53	1,36	1,361
C-2—2-экзо-O	0,78	1,24	1,260
C-2—N-3	0,48	1,38	1,354
C-4—N-3	0,64	1,33	1,351
C-4—C-5	0,53	1,41	1,432
C-4—4-экзо-N	0,47	1,36	1,332
C-5—C-6	0,76	1,38	1,348

* Рентгенометрические величины

Наблюдается достаточно хорошее качественное соответствие. Это позволяет считать, что расчеты дают картину распределения электронных плотностей, которая по крайней мере качественно отражает истинное распределение*. Из данных табл. 3.1 видно также, что с увеличением порядка связей их длина уменьшается.

Спектры ЯМР. Химические сдвиги протонов в спектрах ЯМР различных соединений зависят от электронной плотности на атомах, с которыми они связаны. Для бензоидных систем наблюдается довольно хорошая корреляция между π -электронной плотностью, рассчитанной для какого-либо атома, и величиной химического сдвига протона, связанного с этим атомом¹⁷⁻²⁰. Попытки провести подобное сопоставление экспериментально найденных значений химических сдвигов протонов при C-2, C-6 и C-8 пурина с электронными плотностями на этих атомах углерода были значительно менее успешны²¹⁻²⁵. Такой результат становится, однако, понятным, если учесть, что в данном случае на величине химического сдвига должен сильно сказываться эффект поля соседних гетероатомов, обладающих высоким частичным отрицательным зарядом, а также то обстоятельство, что влияние магнитной анизотропии цикла различно для протонов, занимающих разное положение в цикле. Если, используя вычисленные величины зарядов на атомах, провести расчеты значений химических сдвигов, учитывая все указанные эффекты, то удастся правильно предсказать порядок возрастания величин химического сдвига в пурине: $\delta(\text{C-8}) < \delta(\text{C-2}) < \delta(\text{C-6})$ ²⁵. Тем не менее в качестве метода исследования распределения электронной плотности в молекулах таких сложных соединений, как основания нуклеиновых кислот, ЯМР-спектроскопия, по-видимому, малоэффективна.

Исследование дипольных моментов. В то время как данные рентгеноструктурного анализа и ЯМР дают возможность делать выводы о состоянии отдельных атомов в молекуле, дипольный момент определяется электронной структурой молекулы в целом²⁶. К сожалению, в литературе имеется очень мало сведений о дипольных моментах гетероциклических оснований нуклеиновых кислот, поэтому широких сопоставлений провести не удастся. Однако рассчитанные с учетом эффекта σ -электронов величины дипольных моментов ряда оснований довольно хорошо совпадают с найденными значениями (табл. 3.2)²⁷.

Таким образом, справедливость расчетов электронной плотности для оснований, входящих в состав нуклеиновых кислот, в настоящее время может быть проверена лишь косвенным образом. При этом оказывается, что количественные результаты не очень хорошо согласуются как между собой (когда они получены

* Рентгеноструктурные данные по другим основаниям — см. гл. 2; расчетные величины — см. 1, 5-12, 16.

необходимо
я провер
й плотност
как для
и измерен
льного резе

ни кристал
связей в мо
ным рентг
длинам
в связей
вление ве
зина, най

длины связей

Найденная
длина
связи,
Å

1,376
1,361
1,260
1,354
1,351
1,432
1,332
1,348

различными методами расчета), так и с экспериментальными данными. Тем не менее ряд фундаментальных качественных выводов, которые можно сделать на основании расчетных данных, вполне согласуются с наблюдаемыми результатами (например, при сопоставлении порядков и длин связей, при предсказании реакционной способности, величин дипольных моментов и т. д.).

Таблица 3.2 Дипольные моменты некоторых гетероциклических соединений^{27, 29, 30—32, 37}

Учет эффекта σ -связей проводился по²⁸

Соединение	Дипольные моменты, D			
	рассчитанные			найденные
	μ_{π}	μ_{σ}	$\mu_{\text{сумм}}$	
Пиримидин	0,87	1,50	2,37	2,42
9-Метилпурин	3,53	0,73	4,26	4,3
9-Метиладенин	2,70	0,37	3,06	3,0
1,3-Диметилурацил	3,28	0,86	3,94	3,9
5-Бромурацил	3,20	1,45	3,98	4,5 \pm 0,3

Представляется достаточно вероятным поэтому, что в основном качественная картина распределения электронов, полученная посредством расчетов, недалеко от истинной.

III. ЭНЕРГЕТИЧЕСКИЕ ХАРАКТЕРИСТИКИ ОСНОВАНИЙ НУКЛЕИНОВЫХ КИСЛОТ

Энергетические характеристики молекул в отличие от картины распределения электронной плотности определяются с помощью квантовохимических расчетов достаточно точно. Для химиков наибольший интерес представляют такие энергетические характеристики соединений, как энергия резонанса и энергия высшего занятого и низшего свободного уровня, смысл и значимость которых кратко рассмотрены ниже.

Как уже было отмечено, в результате расчетов электронных свойств молекулы методом молекулярных орбиталей получается набор разрешенных энергетических уровней, на которых могут располагаться π -электроны. Естественно, что в основном состоянии молекулы электроны занимают уровни с минимально возможной энергией, причем на каждой молекулярной орбитали, которой соответствует данный энергетический уровень, располагается по два электрона с противоположными спинами (см. рис. 3.4). Общая энергия π -электронов в соответствии с этим равна удвоенной сумме энергий занятых уровней.

1. Энергия резонанса *

Для расчета энергии резонанса каждый π -электрон вначале рассматривается как делокализованный, т. е. принадлежащий всей молекуле в целом, и рассчитывается суммарная энергия таких делокализованных электронов. Если, с другой стороны, рассматривать молекулу как соединение, состоящее из ординарных и локализованных, не взаимодействующих друг с другом двойных связей, как это условно изображается при классическом написании ее формулы, и рассчитать сумму энергий π -электронов ее отдельных двойных связей, то эта энергия оказывается заметно выше, чем у соответствующей молекулы с делокализованными электронами. Разность между этими, рассчитанными для данной молекулы, энергиями носит название энергии резонанса (энергии делокализации), и ее величина может характеризовать стабильность молекулы в целом. Поскольку энергия резонанса зависит от числа электронов, участвующих в сопряжении, более подходящей характеристикой увеличения стабильности за счет сопряжения является «приведенная» энергия резонанса — энергия резонанса в расчете на один делокализованный электрон³⁴. Молекула, для которой величина приведенной энергии резонанса более высока, при прочих равных условиях более стабильна, чем молекула с более низкой приведенной энергией резонанса. Ниже приводятся вычисленные двумя методами величины энергии резонанса некоторых оснований нуклеиновых кислот в расчете на один π -электрон¹¹:

	По методу молекулярных орбиталей единицы β	По методу самосогласованного поля $\beta\beta$
Урацил	0,19	0,260
Цитозин	0,23	0,373
Аденин	0,32	0,904
Гуанин	0,27	0,446

Эти значения убывают в ряду

аденин > гуанин > цитозин > урацил

Отсюда должно следовать, что во всякого рода превращениях под действием физических факторов или под влиянием химических агентов ядро аденина должно быть наиболее стабильным; это действительно и наблюдается.

Значения энергии резонанса могут быть использованы при оценке относительной стабильности различных таутомерных форм (см. стр. 163), а также при изучении различных равновесных превращений. Однако, к сожалению, расчетные величины энергии

* Обзоры — см. 33—35.

резонанса оснований нуклеиновых кислот в настоящее время вряд ли могут быть подвергнуты непосредственной экспериментальной проверке^{36, 37}.

2. Энергия высшего занятого и низшего свободного уровней^{38, 39}

Энергия высшей занятой орбитали непосредственно связана с легкостью удаления электронов из молекулы: чем она выше, тем легче может быть удален электрон с образованием катиона. Энергия низшей свободной орбитали, наоборот, характеризует легкость присоединения электрона — чем ниже лежит соответствующий энергетический уровень, тем легче молекула присоединяет электрон, становясь анионом. Расчеты, проведенные с использованием различных методов, дают для энергий высшего занятого уровня следующие ряды:

по Пюльману³⁹

гуанин > аденин > тимин > цитозин > урацил

по Фернандесу-Алонсо⁶

гуанин > тимин > аденин > урацил > цитозин

по Нагата¹²

гуанин > аденин > цитозин > урацил > тимин

по В. В. Куприевичу¹⁰ и Гисне-Претре⁷

гуанин > аденин > цитозин > тимин > урацил

Таким образом, при оценке энергий высшего занятого уровня все приведенные расчеты показывают, что лучшим донором электронов из всех оснований должен быть гуанин, а худшими — урацил и тимин; пурины в общем являются лучшими донорами, чем пиримидины.

Значения энергии высшего занятого уровня могут быть сопоставлены с экспериментальными значениями потенциала ионизации (табл. 3.3).

Таблица 3.3 Энергия высшего занятого уровня и потенциалы ионизации некоторых пуриновых и пиримидиновых оснований⁴⁰

Соединение	Потенциал ионизации, эв	Энергия высшего занятого уровня, эв	Соединение	Потенциал ионизации, эв	Энергия высшего занятого уровня, эв
6-Азаурацил . . .	10,18	9,65	Ксантин	9,30	8,82
Урацил	9,82	9,15	Гипоксантин	9,17	8,00
Пурип	9,68	8,87	Аденин	8,91	7,92
Тимин	9,43	8,80	Цитозин	8,90	8,16

Другим возможным способом экспериментальной проверки значений энергии высшего занятого и низшего свободного электронного уровней является полярографическое исследование оснований. В процессе полярографии происходит передача электронов соединения электроду (окисление) или, наоборот, переход электронов от электрода к соединению (восстановление). Легкость процессов может быть непосредственно сопоставлена с высотой соответственно высшего занятого и низшего свободного электронных уровней. При этом оказывается, что полярографическое окисление также дает результаты, в основном согласующиеся с предсказываемыми теоретически. Так, на графитовом электроде все пуриновые основания, за исключением самого пурина, дают окислительную волну, причем гуанин окисляется легче, чем аденин³⁹. Таким образом, электронодонорные свойства оснований нуклеиновых кислот, по-видимому, достаточно хорошо предсказываются теоретически на основании современных представлений, особенно при использовании усовершенствованных методов расчета.

Менее согласующиеся результаты получаются при оценке энергии низшего свободного электронного уровня оснований, которая определяет электроноакцепторные свойства. Расчеты, проведенные с использованием различных методов, дают для энергии низшего свободного уровня следующие ряды:

по Пюльману^{11, 39}

цитозин < аденин < тимин < урацил < гуанин

по Пюльману¹¹ (усовершенствованная методика)

аденин < цитозин < урацил < тимин < гуанин

по В. А. Куприевичу¹⁰

цитозин < урацил < тимин < гуанин < аденин

по Нагата¹²

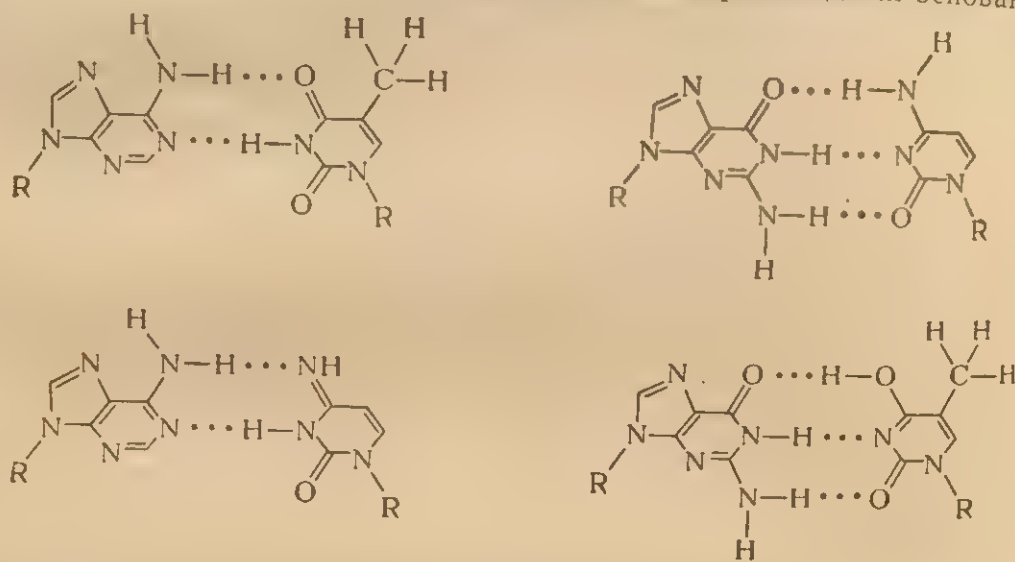
тимин < урацил < цитозин < гуанин < аденин

Получающиеся ряды различаются настолько сильно, что в настоящее время делать какие-либо выводы или предсказания относительно электроноакцепторных свойств оснований не представляется возможным.

Таким образом, результаты квантовохимических расчетов, полученные с использованием разных методов, совпадают между собой в наиболее существенных выводах, однако в целом ряде деталей они зачастую приводят к противоречивым результатам. Поэтому не стоит переоценивать предсказательную способность современных теоретических методов. Вместе с тем вне всякого сомнения, они могут служить отправной точкой при проведении экспериментальных исследований и полезным подспорьем при трактовке получаемых результатов.

IV. ТАУТОМЕРИЯ ОСНОВАНИЙ НУКЛЕИНОВЫХ КИСЛОТ

Одной из важнейших проблем химии нуклеиновых оснований является проблема их таутомерии. Так, одна из наиболее общепринятых теорий спонтанного возникновения мутаций основана на возможности существования оснований в различных таутомерных формах. Действительно, можно ожидать, например, что цитозин в аминформе должен по своей электронной структуре образовывать комплементарную пару с гуанином, тогда как в иминоформе — с аденином; тимин (урацил) в дикетоформе должен образовывать пару с аденином, а в таутомерной 4-оксиформе — с гуанином. Та же картина должна наблюдаться и для производных оснований.



R-атом водорода или различные радикалы

Это предположение остается пока еще не более чем гипотезой, но тем не менее оно очень привлекательно и указывает один из путей изучения проблемы матричного синтеза — поиск корреляций между таутомерной формой того или иного основания и его ролью в процессе биосинтеза.

Различные таутомерные формы оснований должны, естественно, обладать различной реакционной способностью. Если можно до некоторой степени судить о реакционной способности истинных (чистых) таутомерных форм соединений по реакционной способности их моделей, то становится очевидным резкое различие в поведении различных таутомерных форм. В качестве примера можно сопоставить поведение уридина и 1-(β-D-рибозил)-4-этоксидигидропиримидона-2 (модель редкой таутомерной 4-оксиформы уридина) по отношению к нуклеофильным агентам. Если уридин в нейтральной среде довольно инертен, то его аналог

легко реагирует с самыми различными агентами⁴¹⁻⁴² и служит благодаря этому чрезвычайно полезным промежуточным продуктом при синтезе разнообразных аналогов нуклеозидов.

В данном разделе мы кратко остановимся на проблеме таутомерии оснований нуклеиновых кислот, затронув сначала теоретическую сторону проблемы и затем экспериментальные доказательства существования тех или иных таутомерных форм оснований и их равновесия. Пользуясь тем, что общие проблемы таутомерии гетероциклических соединений достаточно подробно рассмотрены в превосходном обзоре Катрицкого⁴³, мы остановимся на более частных проблемах, связанных с таутомерией оснований нуклеиновых кислот в составе нуклеозидов, обращаясь к самим основаниям только в случае необходимости подтвердить выводы, сделанные для нуклеозидов, или когда данные для нуклеозидов отсутствуют.

1. Теоретические положения

Каждое основание, входящее в состав нуклеиновых кислот, вообще говоря, может существовать в нескольких таутомерных формах, число которых зависит от числа экзоциклических групп в пуриновом или пиримидиновом цикле.

Известно (см., например,⁴³ или⁴⁴), что гетероциклические окси- и аминосоединения существуют в основном (при обычных условиях) в кето- и аминных таутомерных формах. Как будет показано ниже, основания нуклеиновых кислот в этом смысле не представляют исключения. При рассмотрении *a priori* вопроса о том, какая из таутомерных форм будет более стабильна в данных условиях, следует учитывать несколько факторов, определяющих свободную энергию реакции перехода соединения из одной таутомерной формы в другую и, следовательно, константу равновесия этой реакции. Во-первых, при изменении таутомерной формы происходит перестройка системы σ -связей молекулы. Во-вторых, меняется структура π -электронной системы в сопряженных молекулах и, следовательно, их энергия резонанса. В-третьих, меняется степень сольватированности молекулы, если рассматривается таутомерное равновесие в растворах, представляющее наибольший интерес для решения химических и биохимических проблем. И, наконец, в-четвертых, при переходе соединения из одной таутомерной формы в другую меняется система внутримолекулярных водородных связей. Суммарное действие этих факторов и определяет относительную стабильность различных таутомерных форм при данных условиях. Для первоначальной ориентировки можно теоретически оценить относительную стабильность различных таутомерных форм, пренебрегая разницей в их сольватации. При этом для каждой таутомерной формы можно либо, исходя из экспериментальных данных по энергии изолированных

связей, представленных в канонической формуле, рассчитать энергию молекулы в целом и затем добавить к ней вычисленную квантовохимическим путем энергию резонанса, либо провести полный квантовохимический расчет с учетом π - и σ -связей. Оценка значений энергии резонанса, рассчитанных для таутомерных окси- и кетоформ при стандартных условиях (25°C , 1 ат), приводит к заключению, что оксиформы являются более выгодными (табл. 3.4). Однако, с другой стороны, расчет энергии молекулы по изолированным связям соответствующих таутомерных форм показывает, что при стандартных условиях кетоформы значительно стабильнее оксиформ, причем разность суммарных энергий изолированных связей для кето- и оксиформ больше разности соответствующих значений энергии резонанса. Таким образом, с точки зрения энергии связей в таутомерном равновесии оснований нуклеиновых кислот при стандартных условиях кетоформы должны преобладать над оксиформами.

Таблица 3.4 Суммарная энергия изолированных связей и энергия резонанса для окси- и кетоформ оснований

Основание	Суммарная энергия изолированных связей ⁴⁵ , ккал/моль			Энергия резонанса *, ккал/моль		
	для оксиформы	для кето- формы	Δ	для оксиформы	для кето- формы	Δ
Гипоксантин	1123	1140	17	75	68	7
Гуанин	1257	1275	18	83	77	6
Цитозин	1035	1053	18	53	46	7
Урацил	998	1015,8	18	43	38	5
	(4-окси- форма)			(4-окси- форма)		

* Пересчитано из данных 34.

В случае amino-иминного равновесия энергии σ -связей в двух таутомерных формах можно принять одинаковыми; в таком случае стабильность этих форм может определяться соотношением энергий резонанса. Расчеты, проведенные с помощью метода молекулярных орбиталей в приближении Хюккеля ³⁴, показывают, что энергия резонанса аминформы выше, чем энергия резонанса иминформы, и, следовательно, первая является более стабильной *.

* Имеются работы, где расчеты простым методом молекулярных орбиталей дают противоречивые результаты (см., например, ⁶). Результаты расчетов данным методом сильно зависят от выбора параметров. Этого недостатка в значительной степени удастся избежать при использовании более современных методов расчета (см., например, ¹⁰⁻¹²).

Расчеты, проведенные с учетом влияния σ -электронов⁴⁶, также дают возможность сделать выбор в пользу кето- и аминотом (при стандартных условиях).

Таблица 3.5 Расчетная энергия перехода таутомерных форм некоторых оснований нуклеиновых кислот⁴⁶

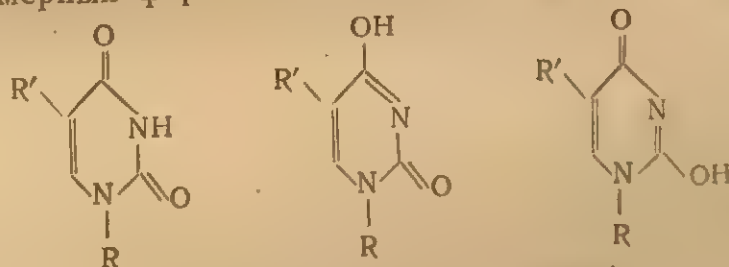
Основание	Тип таутомерного равновесия	ΔH , эв	Основание	Тип таутомерного равновесия	ΔH , эв
Аденин	Амино-иминное	1,477	Тимин	Кето-енольное	0,345
Цитозин	»	0,550	Урацил	4-Кето-—4-окси-	0,329
Гуанин	Кето-енольное	0,185			

В табл. 3.5 приведены значения энергии перехода из кетоформы в енольную и из амина- в иминоформу для оснований нуклеиновых кислот. Из этих данных следует, что наиболее сильно таутомерное равновесие в сторону аминотомы сдвинуто в случае аденина; сдвиг в сторону более стабильной формы для амина-иминного равновесия выражен сильнее, чем аналогичный сдвиг в случае кето-енольной таутомерии. Эти выводы согласуются с экспериментальными данными, которые для ряда оснований приводятся ниже.

2. Экспериментальные данные

Уридин и тимидин

Теоретически оба эти соединения могут существовать в виде трех таутомерных форм:



R — остаток рибозы или 2'-дезоксирибозы

R' = H или CH₃

С помощью рентгенографии⁴⁷ было показано, что в кристаллическом состоянии урацил существует в дикетоформе. Однако, как уже отмечалось, данные, полученные для кристаллических веществ, нельзя непосредственно переносить на состояние их в растворе; в связи с этим необходимо рассмотреть экспериментальные данные, относящиеся к растворам.

УФ-Спектры. Сравнение УФ-спектров урацила, 1-метил-, 3-метил- и 1,3-диметилурацилов⁴⁸ в воде при pH 7,2 (рис. 3.9) показывает, что при переходе от урацила к 1-метилурацилу и от 3-метилурацила к 1,3-диметилурацилу наблюдается совершенно одинаковый батохромный сдвиг и одинаковые характерные изменения в молярном коэффициенте экстинкции. Две метильные группы в

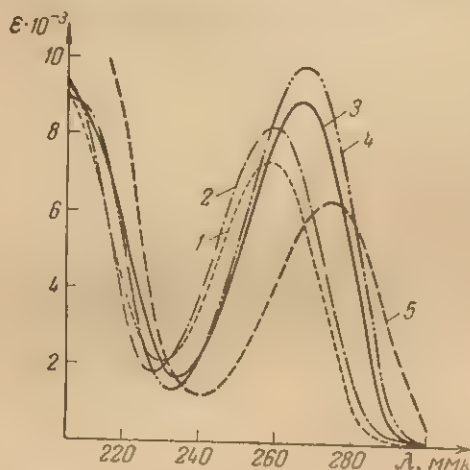


Рис. 3.9. УФ-Спектры производных урацила (водные растворы, pH 7,2)⁴⁸.

1 — 3-метилурацила; 2 — урацила;
3 — 1,3-диметилурацила; 4 — 1-метилурацила;
5 — 1-метил-4-этоксидигидропири-
мидина 2

дует, что и урацил, и уридин в водных растворах существуют в дикетоформе.

ИК-Спектры. Еще более точную информацию можно получить из сопоставления ИК-спектров изучаемого соединения и модельных фиксированных таутомерных форм. В работах Милса^{49, 50} было проведено сопоставление ИК-спектров уридина, 3-метилуридина, 1-(β-D-глюкопиранозил)-урацила, 1-(β-D-глюкопиранозил)-4-этоксидигидропириимидона-2, уридин-5'-фосфата и аналогичных производных тимина в тяжелой воде (табл. 3.6). Из этих данных видно, что спектры урацила и тимина, замещенных в положении 1 сахарным остатком, и спектры соответствующих 3-метилпроизводных очень близки и заметно отличаются от спектров 4-оксипроизводных. Это означает, что все подобные производные урацила и тимина при выбранных условиях в D₂O существуют в дикетоформе. К подобному же выводу привели и более поздние исследования⁵¹⁻⁵² (см. также⁵² для кристаллических соединений). Анджел отмечает⁵¹, что ИК-спектры нуклеозидов в твердом состоянии и в водных растворах практически одинаковы.

Спектр
раствор
подвижн
ЯМР, по
сдвигов
соответс
сигналом
мидин и

Таблица 3
в D₂O^{49, 50}

Уридин

3-Метилури

1-(β-D-Глюк

1-(β-D-Глюк

оксидигид

Уридин-5'-ф

Тимидин

1-(β-D-Глюк

урацил

Дейксурин

3-Метилтим

1-(β-D-Глюк

1-(β-D-Глюк

тимин

1-(β-D-Глюк

5-метил-д

* Рядом
теневности (с
и — слабая; sh
ная полоса в

Таким
свидетель
кристалли
дикетопир
ждать, что
данных со
форм) ме

Спектры ЯМР. Спектры ЯМР при исследовании в неводных растворителях дают возможность определить место локализации подвижных протонов. В случае уридина и тимидина в спектре ЯМР, полученном в диметилсульфоксиде в области химических сдвигов примерно 11 м. д., наблюдается пик, площадь которого соответствует одному протону, и который является резонансным сигналом протона N—H. Это означает, что в данных условиях тимидин и уридин существуют в дикетоформе^{53, 61}.

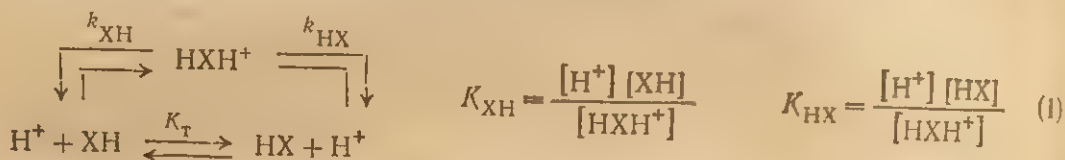
Таблица 3.6. ИК-Спектры различных производных урацила и тимина в D₂O^{49, 50}

Соединение	Характеристические полосы, мк *
Уридин	5,92 (s); 6,05 (vs); 6,19 (m); 6,84 (s); 7,18 (m); 7,74 (m)
3-Метилуридин	5,90 (s); 6,04 (vs); 6,20 (s); 6,80 (s); 7,05 (w); 7,25 (w); 7,73 (w)
1-(β-D-Глюкопиранозил)-урацил	5,91 (vs); 6,04 (vs); 6,17 (m); 6,85 (s); 7,20 (m); 7,55 (w); 7,71 (m)
1-(β-D-Глюкопиранозил)-4-этоксидигидропиримидон-2	6,05 (vs); 6,13 (s); 6,31 (w); 6,49 (s); 6,74 (s); 6,85 (s); 7,21 (m); 7,27 (m); 7,61 (vs); 7,81 (w)
Уридин-5'-фосфат	5,96 (s); 6,0 (vs); 6,21 (m); 6,85 (s); 7,07 (vw); 7,20 (m); 7,73 (m)
Тимидин	5,97 (s, sh); 6,03 (vs); 6,15 (s); 6,78 (m); 7,33 (m); 7,70 (m)
1-(β-D-Глюкопиранозил)-3-метилурацил	5,90 (s); 6,05 (vs); 6,19 (s)
Дезоксиуридин	5,91 (s, sh); 6,01 (vs)
3-Метилтимидин	5,93 (s); 6,00 (s); 6,18 (vs)
1-(β-D-Глюкопиранозил)-тимин	5,90 (s); 6,00 (vs); 6,10 (vs)
1-(β-D-Глюкопиранозил)-3-метилтимин	5,93 (s); 6,00 (s); 6,16 (vs)
1-(β-D-Глюкопиранозил)-4-этокси-5-метил-дигидропиримидон-2	— 6,00 (vs); 6,15 (s)

* Рядом с указанием длины волны полосы в скобках приведена характеристика ее интенсивности (vs — очень интенсивная полоса, s — интенсивная, m — средней интенсивности, w — слабая; sh — полоса в виде плеча на другой полосе; vw — очень слабая; s, sh — интенсивная полоса в виде плеча на другой полосе).

Таким образом, вся совокупность экспериментальных данных свидетельствует о преобладании в производных уридина как в кристаллическом состоянии, так и в водных и неводных растворах дикетопиримидиновой структуры. Однако нет оснований утверждать, что эта таутомерная форма единственно возможная для данных соединений. Количество другой таутомерной формы (или форм) может быть настолько малым, что физические методы в их

сегодняшнем состоянии не позволяют обнаружить ее содержания. Вместе с тем решение многих проблем требует знания констант таутомерного равновесия между возможными таутомерными формами. Поскольку перечисленные выше физические методы не дают информации о величине таких констант, единственным возможным методом их оценки является сопоставление величин констант ионизации фиксированных моделей таутомерных форм⁴³. Подобный подход применим в случае, когда изучаемые таутомерные формы дают катион или анион одинакового строения. Равновесие между обеими таутомерными формами и общей ионизированной формой может быть записано в виде



Здесь XH и NH — две таутомерные формы, отличающиеся положением протона; K_T — константа таутомерного равновесия. При этом наблюдаемая экспериментально константа ионизации равна

$$K_{\text{набл}} = \frac{[\text{N}^+]([\text{XH}] + [\text{NH}])}{[\text{NHN}^+]} \quad (2)$$

Сопоставление выражений для трех констант ионизации дает:

$$K_{\text{набл}} = K_{\text{XH}} + K_{\text{NH}}$$

Из определения $K_T = [\text{NH}]/[\text{XH}]$ очевидно, что $K_T = K_{\text{XH}}/K_{\text{NH}}$. Следовательно, если известна константа ионизации исследуемого соединения и константа ионизации хотя бы одной из таутомерных форм, можно определить константу таутомерного равновесия. Константу ионизации одной из форм обычно определяют с помощью модели, в которой определенная таутомерная форма фиксирована посредством введения заместителя, находящегося у соответствующего атома, например путем введения метильной группы (предполагая, что метильная группа не очень сильно меняет константу ионизации по сравнению с истинной таутомерной формой). В случае производных урацила применение этого подхода, однако, довольно затруднительно, поскольку в щелочной среде О-алкильные производные уридина, являющиеся моделями его таутомерных форм, не диссоциируют, а константа диссоциации его в кислой области очень мала. Константы ионизации модельных метилированных соединений были определены Катрицким⁵⁴. Ниже приводятся значения pK'_a ряда модельных пиримидинов производных

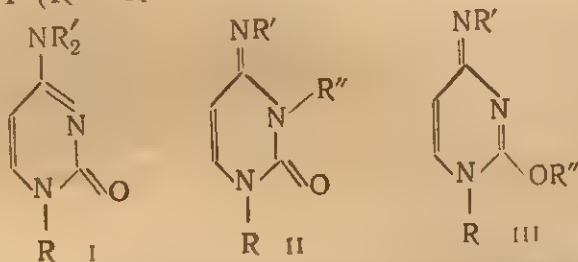
урацила (в концентрированных водных растворах серной кислоты) ⁵⁴:

	pK'_a
Урацил	-3,38
1-Метилурацил	-3,40
5-Бромурацил	-7,25
1-Метил-5-бромурацил	-6,60
1,3-Диметилурацил	-3,25
1,3-Диметил-5-бромурацил	-6,44
4-Этоксидигидропиримидон-2	+1,00
1-Метил-4-метоксидигидропиримидон-2	+0,65
1-Метил-4-метокси-5-бромдигидропиримидон-2	-3,32

Из этих данных можно вычислить константу таутомерного равновесия, которая оказывается равной $10^{4,0}$, что свидетельствует в пользу дикетоформы *. Интересно отметить, что введение такого электроотрицательного заместителя, как бром, в положение 5 пиримидинового цикла заметно сдвигает равновесие в сторону енольной формы. В этом случае K_T составляет $10^{3,3}$. Полученные данные, несмотря на относительную неточность, показывают, что в исследуемых условиях равновесие чрезвычайно сильно сдвинуто в сторону дикетоструктуры, и объясняют невозможность (на сегодняшний день) обнаружения минорных таутомерных форм экспериментальным путем.

Цитидин

Цитидин может, очевидно, существовать в виде трех таутомерных форм I—III ($R = R' = R'' = H$):



Из данных рентгеноструктурного анализа следует, что цитидин в кристаллическом состоянии существует в аминформе ⁵⁶. Исследование структуры цитидина в водных и неводных растворителях проведено различными методами.

УФ-Спектры. Сопоставление УФ-спектров нейтральных форм 1-метилцитозина и 4-имино-2-метокси-1-метил-1,4-дигидропирими-

* Этот результат может расцениваться лишь как приближенный ⁵⁴, ввиду того что определение pK производилось в среде очень концентрированной серной кислоты с помощью функции кислотности Гамметта H_0 ⁵⁵, которая определяется уравнением $H_0 = \lg(V/VH^+) - pK_a$. Однако экспериментально определенный угол наклона зависимости $\lg(V/VH^+)$ от H_0 сильно отличался от единицы. Определение константы таутомерного равновесия другим способом дает для K_T значение $10^{3,3}$.

дина, являющегося моделью таутомерной формы III, позволяет заключить, что она не является преобладающей в таутомерном равновесии (табл. 3.7). Однако на основании УФ-спектров не представляется возможным сделать выбор между формами I и II, поскольку спектры 1-метилцитозина, 1-метил-4-экзо-N,N-диметиламинодигидропиримидона-2 (модельное соединение формы I) и 1,3-диметилцитозина (модельное соединение формы II) довольно близки между собой.

Таблица 3.7. УФ-Спектры нейтральных форм производных цитозина^{57, 58}

Соединение	Формула	Среда	λ_{max} , м.мк	Ig ϵ_{max}
1-Метилцитозин	I (R=Me, R'=H)	pH 7,0	274	3,92
		Этанол, 10 ⁻² M NaOH	230 (плечо) 275	3,89 3,94
1,3-Диметилцитозин	II (R=R''=Me, R'=H)	pH 11,5	273	3,94
4-Имино-2-метокси-1-метил- 1,4-дигидропиримидин	III (R=R''=Me, R'=H)	Этанол, 10 ⁻² M NaOH	225 275 (плечо) 246	4,0 3,78 4,16
1-Метил-4-экзо-N,N-дими- тиламинодигидропирими- дон-2	I (R=R'=Me)	pH 7,0	282 219 (плечо)	4,08 4,04

ИК-Спектры. Растворы цитидина, дезоксицитидина и 1-(β -D-глюкопиранозил)-4-экзо-N,N-диметиламинодигидропиримидона-2 в D₂O имеют близкие ИК-спектры в области карбонильных колебаний (табл. 3.8)⁵⁰.

Таблица 3.8. ИК-Спектры гликозидных производных цитозина в D₂O⁵⁰

Соединение	Характеристические полосы, мк		
Цитидин	6,08	6,21	—
Дезоксицитидин	6,05	6,15	—
1-(β -D-Глюкопиранозил)-4-экзо-N, N-диметиламинодигидропирими- дон-2	6,09	6,15	6,50

Однако поскольку последнее соединение имеет фиксированную кетоструктуру, то цитидин также, по-видимому, обладает кетоструктурой. Тщательное отнесение полос в спектре цитидина и его производных позволяет выделить полосы колебаний, связан-

IV. ГАЗ
ных с
тидину
Сле
невод
ЯМР.
дается
тическ
ответст
нам⁵³
N—H
блюдае
при ср
тидина
или ур
следует
сиде ц
туру. С
оксидит
шенно
таутоме
соедине
Око
ством
выводо
ЯМР
и 1-ме
(рис. 3.
В с
ответств
расщеп.
доказы
аминог
клическ
ния, что
стоянии
кетоами
По д
преобла
цитидин
Знач
изводны
* В с
таутомерн
показано
вывод, об
ной форме

ных с аминогруппой⁵¹ и карбонильной группой, и приписать цитидину и его аналогам кетоаминоструктуру.

Спектры ЯМР. Кетоаминоструктура цитидина сохраняется и в неводных растворителях, как это следует из изучения спектров ЯМР. Так, в диметилсульфоксиде в области $\delta \approx 7,5$ м. д. наблюдается характерный для ароматической аминогруппы пик, соответствующий двум протонам⁵³, тогда как пик протона N—H в области 11 м. д. не наблюдается. Это хорошо видно при сравнении спектра ЯМР цитидина со спектрами тимидина или уридина (см. выше). Отсюда следует, что в диметилсульфоксиде цитидин имеет аминоструктуру. Спектры основания в дезоксицитидине и цитидине совершенно аналогичны^{59, 60}, так что таутомерная структура этих двух соединений одинакова*.

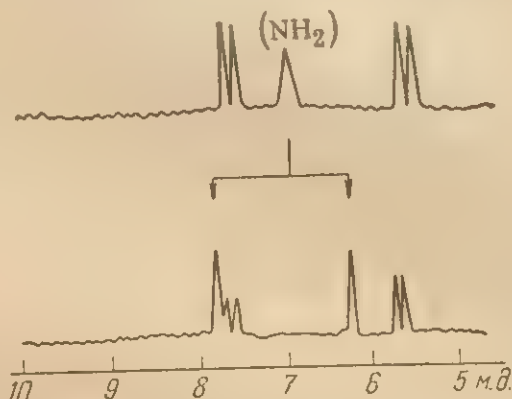


Рис. 3.10. Спектры ЯМР растворов * 1-метилцитозина (верхняя кривая) и 1-метил-4-экзо-¹⁵N-цитозина (нижняя кривая) в диметилсульфоксиде при 23° С⁶².

Окончательным доказательством справедливости этих выводов является сравнение ЯМР спектров 1-метилцитозина и 1-метил-4-экзо-¹⁵N-цитозина⁶² (рис. 3.10).

* Здесь и далее, если особо не оговорен используемый растворитель, имеются в виду водные растворы соединений.

В спектре меченного тяжелым азотом соединения пик, соответствующий протонам, связанным с азотом (или азотами) ядра, расщепляется на два симметричных пика. Это с несомненностью доказывает принадлежность обоих протонов к экзоциклической аминогруппе, а не к двум иминогруппам — циклической и экзоциклической. Таким образом, в настоящее время не вызывает сомнения, что различные производные цитозина в кристаллическом состоянии и в растворах присутствуют (практически полностью) в кетоаминоформе.

По данным ряда исследований, кетоаминоструктура является преобладающей также и для аналогов цитидина, например 6-азацитидина^{63, 64} и 5-азацитидина⁶⁵.

Значения рК. Степень преобладания в водных растворах производных цитидина таутомерной кетоаминоформы можно оценить

* В одной из работ⁶¹ цитидину и дезоксицитидину были приписаны разные таутомерные структуры (амино- и имино- соответственно). Однако, как было показано позднее^{59, 60}, различие в спектрах ЯМР, на которых основывался этот вывод, обусловлено тем обстоятельством, что сравнивались цитидин в нейтральной форме и протонированный дезоксицитидин.

из данных по основности моделей таутомерных форм, в частности из известных⁶⁶ констант диссоциации 1,4-экзо-N,N-триметилцитозина (pK'_a 4,20) и 1,3-диметилцитозина (pK'_a 9,29). Поскольку УФ-спектры катионных форм этих соединений свидетельствуют об их одинаковом строении, удалось определить константу таутомерного равновесия (см. стр. 168), которая оказывается равной приблизительно 10^5 . Можно сравнить константы таутомерного равновесия,

Таблица 3.9. Значения pK'_a различных метилированных производных цитозина и цитидина

Соединение	pK'_a	Литература
1-Метилцитозин	4,55	67
1,3-Диметилцитозин	9,4	68
	9,29	66
1,4-экзо-N,N-Триметилцитозин	4,20	66
Цитидин ¹	4,1	67
3-Метилцитидин	8,7	68
4-экзо-N,N-Диметилцитидин	3,62	67

вычисленные исходя из различных моделей. В табл. 3.9 приведены значения pK'_a метилированных производных цитидина и соответствующих производных 1-метилцитозина. Из этих данных можно определить значение константы таутомерного равновесия аминокислотной и иминоформ цитозина, сопоставив результаты для 1-метилцитозина и 1,3-диметилцитозина ($K_T 10^{4,9}$) или для 1,3-диметилцитозина и 1,4-экзо-N,N-триметилцитозина ($K_T 10^5$), а также константу таутомерного равновесия цитидина, сопоставив данные для цитидина и 3-метилцитидина ($K_T 10^{4,6}$) и для 3-метилцитидина и 4-экзо-N,N-диметилцитидина ($K_T 10^{5,1}$). Все полученные таким образом значения констант равновесия близки между собой и свидетельствуют о сильном смещении равновесия в сторону аминокислотной формы.

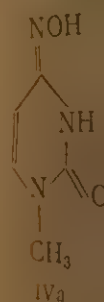
Сопоставление значений константы таутомерного равновесия цитидина и уридина показывает, что в случае уридина содержание редкой формы примерно в 5—10 раз выше, чем в случае цитидина (в водных растворах при обычных условиях). Это согласуется и с данными квантовохимических расчетов, предсказывающими более легкий таутомерный переход в случае уридина (см. стр. 165) по сравнению с цитидином.

Таким образом, количество таутомерной формы II в растворе цитидина очень мало. Однако приводимые до сих пор доказательства преобладания кетоаминокислотной формы не исключают существования заметных количеств таутомерной формы III, и имеются доводы в пользу того, что пренебрегать этой формой нельзя^{58, 69, 70}.

IV ТАУТОМЕР

Они основаны на моделировании 1-метилцитозина — в основном — в неизменном состоянии, происходящем в течение 4-минутного периода, дополненного вкладом таутомерной формы.

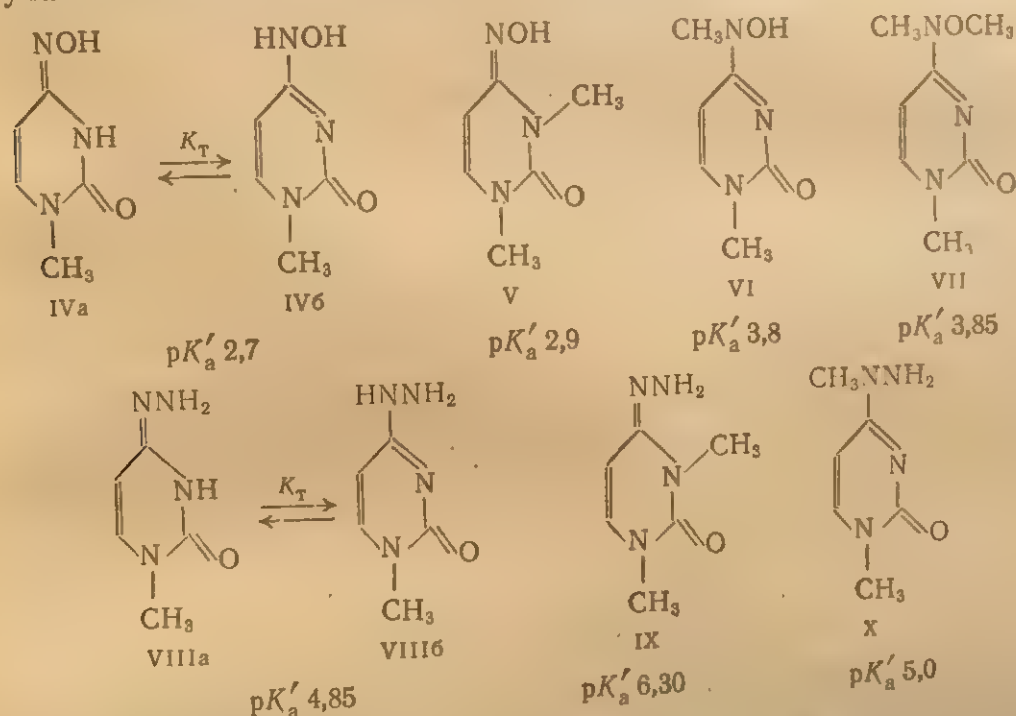
Значит, природные факторы, обходящиеся в случае 4-экзо-N,N-диметилцитидина.



Соединения, катионные равновесия, значения констант равновесия, состав таутомерного равновесия.

Они основаны, в частности, на одинаковом фотохимическом поведении 1-метил-2-метокси-4-иминодигидропиримидина (являющегося моделью формы III) и 1-метилцитозина в этаноле при УФ-облучении — оба соединения подвергаются фотохимическому превращению — в то время как 1,3-диметилцитозин остается в этих условиях неизменным. Наиболее эффективная длина волны, при которой происходит указанное фотохимическое превращение, близка к длине волны максимума адсорбции в спектре 1-метил-2-метокси-4-иминодигидропиримидина (~ 240 ммк)⁵⁸. Необходимы, однако, дополнительные данные, чтобы сделать окончательный вывод о вкладе таутомерной формы III.

Значительный интерес представляют исследования аналогов природных нуклеотидов, поскольку они должны помочь выявить факторы, влияющие на таутомерное равновесие. В этой связи необходимо остановиться на изучении таутомерного равновесия в случае 4-экзо-N-окси и 4-экзо-N-аминоцитозинов⁷¹.



Соединения IV—VII и VIII—X дают катионы одинаковой структуры, как следует из их УФ-спектров, и константы таутомерного равновесия для этих соединений могут быть оценены исходя из значений констант ионизации, соответствующих различным таутомерным формам. При этом оказалось, что K_T между IVa и IVb равна примерно 10, а для перехода между VIIIa и VIIIb значение K_T составляет $1/30$. Создается впечатление, что с увеличением электроотрицательности заместителя у атома азота ($H < NH_2 < OH$) равновесие сдвигается в сторону иминоформы.

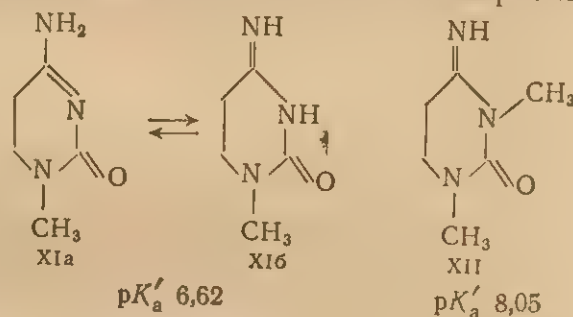
Таким образом, модификация пиримидинового ядра путем введения электроотрицательных заместителей в положение 5 уридина (см. стр. 169) или в экзоциклическую аминогруппу цитидина заметно сдвигает таутомерное равновесие в сторону минорных форм.

Влияние насыщения связи С-5—С-6 в молекуле пиримидиновых оснований на таутомерное равновесие. В химии и биологии нуклеиновых кислот важную роль играет насыщение связи С-5—С-6 в молекуле пиримидиновых оснований, что происходит, например, при облучении нуклеиновых кислот УФ-светом (см. гл. 12), часто применяемом при функциональных и особенно при генетических исследованиях. Сравнение характеристических полос⁵⁰ в ИК-спектрах 5,6-дигидроуридина и 5,6-дигидротимидина с ИК-спектром 3-метил-5,6-дигидроуридина в D₂O дает следующую картину:

	λ, мк	
5,6-Дигидроуридин	5,85;	5,98
5,6-Дигидротимидин	5,88;	6,00
3-Метил-5,6-дигидроуридин	5,85;	6,02

Из приведенных данных очевидно, что преобладание дикетоструктуры и в этом случае сохраняется. Такой вывод подтверждается и рентгенографическими исследованиями структуры дигидротимина⁷².

Более сложный случай представляет изучение таутомерного равновесия дигидроцитозина, поскольку это соединение нестабильно. Тем не менее данные по ЯМР- и УФ-спектроскопии соединений



XI—XII приводят к заключению⁷³, что в водных растворах таутомерное равновесие для этих соединений сдвинуто в сторону аминотомы. Сравнение pK_a соединений XI и XII дает возможность оценить K_t между XIa и XIb; она равна ~ 25 . Сравнение этой величины с соответствующим значением K_t для цитидина показывает, что в первом случае имеет место сильный сдвиг в сторону иминоформы. Такой вывод согласуется и с результатами квантово-химических расчетов⁷⁴ значений энергии резонанса таутомерных форм дигидроцитозина.

Таким образом, вся совокупность имеющихся в настоящее время не слишком многочисленных данных приводит к предположению,

IV. ТИПО...
что любое...
туре прир...
спе (в об...
судить, св...
результат...
общая зако...
о важной р...
можно, что...
частым пер...
сывались, та...
сти. С этой...
приобретает

Гуаноэ

При изу...
нуклеинов...
чительную...
ных таутоме

Таблица 3.10.
в D₂O^{76, 78}

Гуанозин...
1,9-Диметилгу...
9-(β-D-Рибофу...
Иполн...
1-Бензилинози...
9-(β-D-Рибофу

ИК-спек...
и 9-(β-D-ри...
вает близк...
метное отл...
зает карбон...
картину мо...
5,97 мк в с...
исчезновени...
обладание...
зина устан

* Полоса...
на как карбон

что любое из известных на сегодня изменений в химической структуре природных оснований заметно сдвигает таутомерное равновесие (в обычных условиях) в сторону редких форм. Трудно пока судить, связано ли это с односторонним характером имеющихся результатов или же является общей закономерностью. Если это общая закономерность, то она дает веский довод в пользу гипотезы о важной роли таутомерии в биогенезе нуклеиновых кислот. Возможно, что в процессе эволюции основания, способные к слишком частым переходам из одной таутомерной формы в другую, отбраковывались, так как они приводили к излишне большой изменчивости. С этой точки зрения исследование таутомерных превращений приобретает особый интерес.

Гуанозин и инозин

При изучении таутомерного равновесия пуриновых оснований нуклеиновых кислот использование УФ-спектров дает лишь незначительную информацию, поскольку спектры различных закрепленных таутомерных форм мало отличаются друг от друга⁷⁵.

Таблица 3.10. ИК-Спектры производных гуанозина и инозина в D_2O ^{76, 78}

Соединение	Характеристические частоты, μK		
Гуанозин	6,00	6,34	6,37
1,9-Диметилгуанин	5,98	6,28	6,46
9-(β -D-Рибофуранозил)-2-амино-6-метоксипурин	6,18	6,27	6,54
Инозин	5,97	—	—
1-Бензилинозин	5,97	—	—
9-(β -D-Рибофуранозил)-6-метоксипурин	6,21	6,28	—

ИК-спектры. Сравнение спектров гуанозина, 1,9-диметилгуанина и 9-(β -D-рибофуранозил)-2-амино-6-метоксипурина в D_2O показывает близкое сходство в случае первых двух соединений и заметное отличие для третьего соединения, в спектре которого исчезает карбонильная полоса 6—6,25 μK (табл. 3,10)*. Аналогичную картину можно наблюдать в случае инозина: наличие полосы 5,97 μK в спектре инозина и его 1-бензильного производного и ее исчезновение при переходе к енольной модели указывает на преобладание кетоструктуры в случае инозина. Аминоструктура гуанозина установлена на основании идентификации в кристаллическом

* Полоса 6,2 μK в спектре гуанозина и 5,9 μK для инозина идентифицированы как карбонильная на основании ИК-спектров 6- ^{18}O -нуклеозидов⁷⁷.

состоянии полос, соответствующих NH_2 -группе, с помощью метода дейтерирования⁵¹.

Данные, полученные на пуриновых нуклеозидах и нуклеотидах, совпадают с данными, полученными на основаниях⁷⁵.

Спектры ЯМР. Сравнение спектров ЯМР гуанозина и 1,9-диметилгуанина (рис. 3.11) в диметилсульфоксиде приводит к выводу,

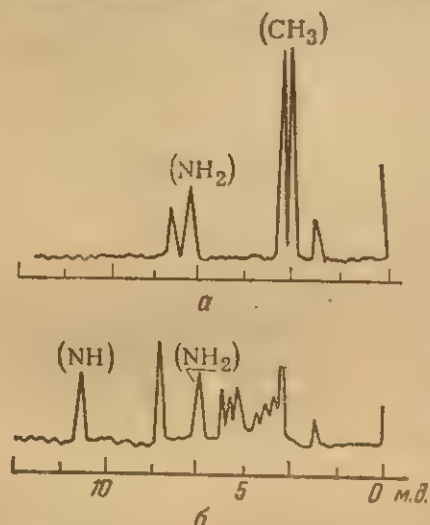


Рис. 3.11. Спектры ЯМР 1,9-диметилгуанина (а) и гуанозина (б) в дейтеродиметилсульфоксиде.

должно быть смещено в сторону енольной формы сильнее, чем в случае уридина.

Аденозин

Аденозин может существовать в двух таутомерных: амино- или иминоформах. Аналогия ИК-спектров 9-(β -D-рибофуранозил)-6-экзо-N,N-диметиламинопурина и аденозин-5'-фосфата (мононатриевой соли)⁵⁰ в D_2O дает возможность предполагать, что в водном растворе аденозин существует в виде аминосоединения. В кристаллическом состоянии аминоструктура аденозина сохраняется, как это следует из рентгеноструктурных данных⁷⁹ и ИК-спектров кристаллического соединения⁵¹. В спектре ЯМР аденозина и дезоксиаденозина в диметилсульфоксиде наблюдается характерный двухпротонный сигнал аминогруппы в области 7,5 м. д. и не наблюдается сигналов других протонов, способных к обмену с растворителем^{53, 61}. Это означает, что и в диметилсульфоксиде аденозин существует в аминоформе. Если предположить, что амино- и иминоформы аденозина дают при протонировании один и тот же катион, то константа таутомерного равновесия в воде может быть оценена из значений pK'_a 6-экзо-N,N-диметиламинопуринарибозид

что однопротонный сигнал в области химических сдвигов 11—12 м. д. в спектре гуанозина соответствует протону, связанному с атомом азота N-1. Синглетный двухпротонный сигнал в области ~ 7 м. д. соответствует легко обменивающимся протонам^{53, 61}. Нерасщепленность этого сигнала означает, что оба протона связаны с одним и тем же атомом, которым может быть только экзоциклический азот. Все это свидетельствует в пользу кетоаминоструктуры гуанозина в диметилсульфоксиде⁷⁶.

К сожалению, данные по константам таутомерного равновесия для гуанозина отсутствуют, однако исходя из квантовохимических расчетов (стр. 165) можно полагать, что равновесие здесь

У. КОНСТА

(3.62 при
и = 0.5).

Таким

заключен

полностью

ванных сл

рону прео

методами

Установ

еще недост

Как прави

многих из

или депрот

среде основ

вращения:

Тогда «

в виде

где (В).

нентов.

В щело

равновесие

«Кислая

Определ

истинными

ризуют кис

бавленных

кажущиеся

центрации

соединений

зуемых в х

12 Зак.

(3,62 при ионной силе $\mu=0,5$) и 1-N-метиладенозина (8,25 при $\mu=0,5$). Такая оценка ¹⁴³ дает величину $K_T \approx 4 \cdot 10^4$.

Таким образом, теоретические представления, приводящие к заключению о кетоаминоструктуре оснований нуклеиновых кислот, полностью подтверждаются экспериментально. Во всех исследованных случаях равновесие чрезвычайно сильно смещено в сторону преобладающей таутомерной формы, так что оптическими методами не удастся обнаружить редких форм соединений.

V. КОНСТАНТЫ ИОНИЗАЦИИ ОСНОВАНИЙ НУКЛЕИНОВЫХ КИСЛОТ

1. Общие положения

Установление преобладания той или иной таутомерной формы еще недостаточно для понимания химических свойств оснований. Как правило, все реакции оснований происходят в растворах и во многих из них принимают участие протонированные (катионные) или депротонированные (анионные) формы оснований. В кислой среде основания могут протонироваться путем равновесного превращения:



Тогда «основная» константа ионизации будет записываться в виде

$$K_{1a}^0 = \frac{(\text{B})(\text{H}^+)}{(\text{BH}^+)} \quad (4)$$

где (B), (H⁺) и (BH⁺) — активности соответствующих компонентов.

В щелочной среде основания теряют протон в соответствии с равновесием:



«Кислая» константа диссоциации записывается в виде

$$K_{2a}^0 = \frac{(\text{B}^-)(\text{H}^+)}{(\text{BH})} \quad (6)$$

Определенные через активности константы ионизации называют истинными или термодинамическими константами и они характеризуют кислотно-основные свойства оснований в бесконечно разбавленных растворах. На практике определяют так называемые кажущиеся константы ионизации, которые выражаются через концентрации изучаемого соединения и зависят от присутствия других соединений в растворе. В частности, при наиболее часто используемых в химии нуклеиновых кислот потенциометрических и спек-

трофотометрических определениях значений констант ионизации эмпирически найденные величины определяются уравнениями:

$$K'_{1a} = \frac{(H^+) [B]}{[BH^+]} = \frac{(B) (H^+)}{(BH^+)} \cdot \frac{f_{BH^+}}{f_B} \quad (7)$$

$$K'_{2a} = \frac{(H^+) [B^-]}{[BH]} = \frac{(B^-) (H^+)}{(BH)} \cdot \frac{f_{BH}}{f_{B^-}} \quad (8)$$

Здесь величины в квадратных скобках соответствуют концентрациям компонентов, участвующих в равновесии, в круглых — их активностям, а f — коэффициенты активности.

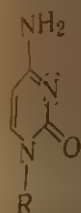
Для определения истинных констант равновесия необходима экстраполяция к бесконечному разбавлению. Несколько более подробно эта проблема рассматривается на стр. 190. Константы равновесия принято характеризовать величиной

$$pK_a = -\lg K_a$$

Одни из оснований нуклеиновых кислот обладают выраженными основными свойствами и протонируются в слабокислой среде, но депротонируются лишь в сильнощелочной; другие основания, наоборот, являются слабыми кислотами и, образуя анионы в слабощелочной среде, протонируются только в сильнокислой. К первой группе принадлежат цитозин и аденин; относящиеся к ним значения pK_a связаны с уравнениями (3) и (4). Ко второй группе относятся тимин и урацил, и их обычные значения pK_a связаны с уравнениями (5) и (6). Гипоксантин, ксантин и гуанин занимают промежуточное положение; они протонируются при сравнительно высоких для этих соединений значениях pH согласно уравнению (3) и депротонируются согласно уравнению (5) при довольно низких для этих соединений значениях pH в щелочной области. В соответствии с этим их кислотно-основные свойства описываются двумя величинами pK_a , из которых одна связана с первым процессом, а другая — со вторым.

2. Локализация присоединения и отщепления протонов в нуклеозидах и нуклеотидах

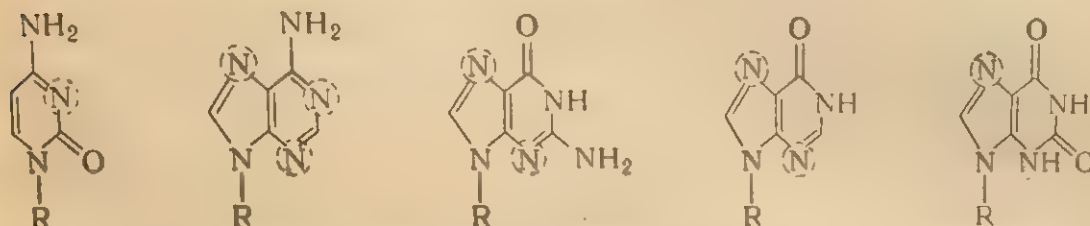
Естественно ожидать, что протон должен присоединяться к тем атомам в молекуле, на которых сосредоточен наибольший частичный отрицательный заряд, обусловленный π -электронами, т. е. к атомам азота, образующим две σ -связи. Эти атомы обладают, кроме того, неподеленной электронной парой, что, в свою очередь, должно облегчать протонирование. Экзоциклические атомы азота, образующие три σ -связи, во-первых, как показано на рис. 3.5, несут частичный положительный заряд. Во-вторых, присоединение про-



Однако
ности выбо
протониро
мают учас
зи с этим
тором учт
вильно пре
но должно
ксантина.
При вы
основания
влияние це
личными в
Данные
ность выво
сталличес
тидов.
Результ
катионе ад
фосфата 83
азота N-1.
протона к
фосфата 86.
тозиния б
Справе
соображен
ждается со
нений. На
вило, с с

тона к таким атомам потребовало бы выведения из сопряжения пары электронов, расположенной на *p*-орбитали (см. стр. 147 и рис. 3.1), т. е. дополнительных затрат энергии.

В соответствии с этими представлениями возможными местами протонирования (взяты в кружок) в преобладающих таутомерных формах оснований являются N-3 в цитозине; N-1, N-3 и N-7 в аденине; N-3 и N-7 в гуанине и гипоксантине и N-7 в ксантине. То же относится и к производным оснований.



R—атом водорода или различные радикалы

Однако на основании распределения только π -электронной плотности выбор преимущественного (из нескольких возможных) места протонирования сделать не удастся, поскольку в процессе принимают участие несвязывающие электроны неподеленных пар. В связи с этим Пюльман и Накаяма разработали метод расчета, в котором учитываются неподеленные электроны⁸⁰. Такой расчет правильно предсказывает, что присоединение протона преимущественно должно происходить по N-1 аденина и по N-7 гуанина и гипоксантина.

При выбранном подходе не учитывается влияние на ионизацию основания среды, в которой происходит протонирование, а также влияние целого ряда эффектов, связанных с сольватацией и различными внутримолекулярными взаимодействиями.

Данные рентгеноструктурного анализа подтверждают правильность выводов о месте присоединения протонов к основаниям кристаллических протонированных оснований, нуклеозидов и нуклеотидов.

Результаты рентгеноструктурного анализа показывают, что в катионе адениния как таковом⁸², а также в составе аденозин-3'-фосфата⁸³ или аденозин-5'-фосфата⁸⁴ протон присоединен к атому азота N-1. В случае гуанина был сделан вывод о присоединении протона к N-7⁸⁵, и, наконец, на основании данных для цитидин-3'-фосфата^{86, 87} и 5-карбоксиметилцитозина⁸⁸ протон в катионе цитозиния был локализован при N-3.

Справедливость выводов, сделанных исходя из теоретических соображений, а также рентгеноструктурного анализа, подтверждается совокупностью спектральных данных для растворов соединений. Наиболее убедительные доказательства связаны, как правило, с синтезом моделей и сопоставлением их спектральных

характеристик с аналогичными для протонированной молекулы. Основываясь на изучении УФ-спектров оснований и их производных, Дэккер в своем обзоре⁸⁹ приводит ряд аргументов, позволяющих уточнить локализацию протонов в ионизованных соединениях. Здесь лишь кратко суммируем его положения:

1. УФ-Спектры катионных форм 7-метилгуанина и 7-метилдезоксигуанозин-5'-фосфата аналогичны спектрам протонированных гуанина и дезоксигуанозин-5'-фосфата. Следовательно, вероятно протонирование по N-7 гуанина.

2. Спектры 3-N-метил- и 7-N-метиладенозинов в катионной форме несхожи со спектром протонированного аденозина, и, следовательно, в случае последнего соединения наиболее вероятно присоединение протона по N-1.

3. Сравнение спектров катионных форм цитидина, 1,3-диметилцитозина и 2-экзо-О, 2'-циклоцитидина показывает большое сходство спектров первых двух соединений, тогда как спектр третьего сильно отличается от них. Это, очевидно означает, что из двух возможных мест присоединения протона — по карбонильному кислороду или по азоту N-3 — для цитидина в основном реализуется присоединением по N-3.

Еще более убедительными, чем данные, приводимые Дэккером⁸⁹, служат результаты сравнения ИК-спектров катионных форм соединений с закрепленной таутомерной структурой со спектрами соответствующих протонированных соединений. В монопротонированной форме гуанозин показывает в D₂O ИК-спектр, аналогичный ИК-спектру 1,7,9-триметилгуанина, что указывает на кетоструктуру протонированной формы гуанозина. Спектры 7,9-ди-(β-оксиэтил)-гуанина и 1,7,9-триметилгуаниниййодида в катионной форме аналогичны спектру протонированного гуанозина, что свидетельствует о протонировании последнего по N-7⁷⁶.

Характеристическая полоса 1215 см⁻¹, приписываемая колебаниям C—NH₂, наблюдается и в нейтральной, и в протонированной формах кристаллического аденозина⁹⁰. То же самое относится к двум полосам 3100 и 3300 см⁻¹, связанным с колебаниями аминогруппы⁵¹. Это означает, по-видимому, что протон присоединяется по N-1, N-3 или N-7, но не к азоту экзоциклической аминогруппы.

В спектре цитидина при протонировании сохраняется полоса 1285 см⁻¹, наблюдаемая в нейтральной форме. Эта полоса приписывается колебаниям C—NH₂, и отсутствие сдвига при протонировании означает, что NH₂-группа не затрагивается. Следовательно, наиболее вероятным местом присоединения протона⁹⁰ является N-3. Этот вывод подтверждается также и характером изменений в частотах, соответствующих колебаниям C=O, при протонировании цитидина в D₂O и в кристаллическом состоянии⁹⁰.

Наконец, ряд доводов в пользу протонирования аденозина по N-1 и гуанозина по N-7, а также доказательство протонирования

в конста
цитидина,
данные с
Велич
формы ад
ставляет
мический
нозине по
очень вели
может слу
римидинов
Структ
ния в дим
сомненнос
присоедин
Величи
по сравнен
свидетельс
текает так
Таким
что при пр
формы ад
тидов). Од
мами прис
катионы с
лекулы, ко
вительности
Доводы
аденина ка
ной формы
на основан
производны
случае про
объясняет
3-N-метилад
ресценции.
ресценцию
экзоциклич
аденозина с
по N-1, по
существова
аденозина и
3. Локал
Таким о
протониров
ствование к

цитидина, по крайней мере в неводных растворителях, по N-3 дают данные спектров ЯМР.

Величина химического сдвига протона при C-8 протонированной формы аденозина в D_2O по сравнению с непротонированной составляет 0,2—0,3 м. д. в сторону слабых полей. В то же время химический сдвиг соответствующего протона в протонированном гуанозине по сравнению с непротонированной формой нуклеозида очень велик и составляет 0,95 м. д. в сторону слабых полей⁹¹⁻⁹³. Это может служить доводом в пользу протонирования аденозина в пиримидиновом, а гуанозина в имидазольном циклах.

Структура спектров ЯМР катионов цитозиния и 1-метилцитозиния в диметилсульфоксиде⁹¹ и в трифторуксусной кислоте⁹⁵ с несомненностью доказывает, что в протонированной молекуле протон присоединен по N-3.

Величина химического сдвига протона при C-8 катиона инозина по сравнению с нейтральной формой этого нуклеозида⁹³ возможно свидетельствует о том, что в данном случае протонирование протекает так же, как у гуанозина, — по N-7 имидазольного цикла.

Таким образом, в настоящее время уже не вызывает сомнений, что при протонировании в основном образуются указанные выше формы аденина, гуанина и цитозина (или их нуклеозидов и нуклеотидов). Однако совершенно не исключено, что наряду с этими формами присутствуют, пусть в значительно меньших количествах, катионы с протоном, присоединенным по другим положениям молекулы, которые не обнаруживаются в силу недостаточной чувствительности используемых в настоящее время методов.

Доводы в пользу существования других протонированных форм аденина как основания, отличающихся от упомянутой выше основной формы (протонирование по N-1), были недавно приведены⁹⁶ на основании изучения спектров флуоресценции метилированных производных аденина при pH 2. Был сделан вывод, что в данном случае протонирование по N-1, хотя и имеет место, однако не объясняет явления флуоресценции, поскольку 1-N-метиладенин, 3-N-метиладенин и 3,7-N,N-диметиладенин не показывают флуоресценции. Высказано предположение, что в этом случае за флуоресценцию ответственен дважды протонированный таутомер — по экзоциклической аминогруппе и по N-7. Тем не менее в случае аденозина флуоресценция может быть объяснена протонированием по N-1, поскольку никаких доказательств или доводов в пользу существования других протонированных таутомерных форм для аденозина не имеется.

3. Локализация зарядов в ионах оснований

Таким образом, можно считать доказанным, что из возможных протонированных форм наибольшую роль играют именно те, существование которых было предсказано теоретически. Однако место

присоединения протона не обязательно соответствует месту локализации положительного заряда в молекуле. Поскольку основания нуклеиновых кислот являются сопряженными молекулами, то положительный заряд в них в значительной мере делокализован, и на каком-либо атоме может оказаться сосредоточенной большая часть заряда, чем на атоме, к которому присоединен протон. Так, несмотря на то, что в протонированной форме аденина протон присоединен по N-1, положительный заряд в значительно большей степени локализован на экзоциклическом азоте аминогруппы и на атоме N-9⁸².

То же относится и к локализации отрицательного заряда, образующегося при отщеплении протона от нуклеозидов типа уридина или гуанозина. На основании близкой аналогии ИК-спектров гуанозина и его О-метилпроизводного в щелочной среде⁷⁶ и исчезновения характеристической полосы колебаний C=O-группы при высоких значениях pH⁷⁷ делается вывод о преимущественной локализации отрицательного заряда на кислородном атоме. Этот же вывод можно сделать из аналогии УФ-спектров аниона 9-этилгуанина и 2,6-дiamiнопурина⁹⁷. По-видимому, эти выводы справедливы также и для инозина.

Аналогия УФ-спектров аниона уридина и его 4-экзо-О-алкильного производного приводит к выводу о преимущественной локализации отрицательного заряда на кислородном атоме O-4^{48, 98}. С этим согласуется и близость ИК-спектра уридина в щелочной среде с ИК-спектром дигидропиримидона-2⁹⁹. Однако для тимидина предложены различные структуры аниона — с локализацией отрицательного заряда на O-2⁹⁹ и на O-4^{48, 98}.

В ряде работ (см., например,⁹⁰) для анионов приняты структуры с зарядами на азоте, от которого мигрировал протон, однако, по-видимому, экспериментально более обоснованы представления о локализации большей части отрицательного заряда на кислородных атомах.

Подводя итог сказанному выше, отметим, что если вопрос о преобладании той или иной таутомерной формы и локализации протона в протонированных формах можно считать решенным, то вопрос о распределении электронной плотности в образующихся катионах и анионах пока еще недостаточно ясен. Решение его имеет большое значение для понимания ряда особенностей оснований и в том числе влияния заместителей на их кислотно-основные свойства.

4. Влияние различных факторов на кислотно-основное равновесие оснований

На кислотно-основные свойства оснований, так же как и на таутомерное равновесие, прежде всего влияют структурные особенности самих молекул оснований (наличие заместителей; раз-

У КОНСТАНТЫ
личные внут
родных свя
и внешние ф
мента (темпер

Структу

Роль угле
ния заместит
чие в констан
бопроизводны
ны в табл. 3

Таблица 3.11. З
и рибонуклеозид
Определения прои
в растворе с констан
татном буферах

Производны

Урацила
Цитозина
Тимина
Гуанина
Гипоксантина
Ксантина
Аденина

основания к
может быть
хара, котор
дезоксириб
рK_a в случа
ном, посколь
тельностью,
остается нег
пентофурано
содержат од
но, должны
можно, в это
родной связи
и атомом ки
ого ядра. Д
теозидов и

личные внутримолекулярные взаимодействия — образование водородных связей, цвиттерионов и т. д.). Кроме того, играют роль и внешние факторы, зависящие от условий проведения эксперимента (температура, ионная сила и т. п.).

Структурные факторы

Роль углеводного остатка. Наиболее известным примером влияния заместителя на кислотно-основные свойства является различие в константах ионизации оснований и их рибо- и дезоксирибопроизводных. Соответствующие константы ионизации приведены в табл. 3.11. Наблюдаемое уменьшение pK_a при переходе от

Таблица 3.11. Значение pK'_a оснований, дезоксирибонуклеозидов и рибонуклеозидов

Определения производились спектрофотометрически. Для производных гуанина и аденина в растворе с ионной силой $\mu = 1$; в остальных случаях в 0,1 М глициновом или 0,025 М ацетатном буферах

Производные	pK'_a основания	Литература	pK'_a дезоксирибонуклеозида	Литература	pK'_a рибонуклеозида	Литература
Урацила	9,5	100	9,3	100	9,25	100
Цитозина	4,46	100	4,3	100	4,1	100
Тимина	9,9	48	9,8	98	9,68	101
Гуанина	—	—	9,33	102	9,22	102
Гипоксантина	8,94	103	—	—	8,75	103
Ксантина	7,53	104	—	—	5,50	104
Аденина	4,1	102	3,8	102	3,6	102

основания к дезоксирибопроизводным и далее к рибопроизводным может быть объяснено индуктивным эффектом ($-I$) остатка сахара, который, очевидно, выше в случае рибозы, чем в случае дезоксирибозы. С этим согласуется заметное уменьшение величины pK'_a в случае 2'-дезокси-2'-фторцитидина по сравнению с цитидином, поскольку фтор обладает заметно большей электроотрицательностью, чем гидроксильная группа. Однако с этой точки зрения остается непонятным изменение pK'_a в серии стереоизомерных пентофуранозилтиминов (табл. 3.12), углеводные остатки которых содержат одинаковое число гидроксильных групп и, следовательно, должны обладать близкими индуктивными эффектами. Возможно, в этом случае какую-то роль играет образование водородной связи между водородом 2'-гидроксильной группы пентозы и атомом кислорода карбонильной группы при С-2 пиримидинового ядра. Доводы за и против существования такой связи в нуклеозидах и нуклеотидах рассмотрены в гл. 2. Разграничить влия-

ние индуктивного эффекта и образования водородной связи на основании имеющихся данных не представляется возможным, поскольку для этого требуется систематическое изучение влияния заместителей в углеводном остатке на величину pK_a .

Таблица 3.12. Влияние строения углеводного остатка на величину pK'_a производных оснований нуклеиновых кислот

Соединение	pK'_a	Литература
1-(β -D-Рибофуранозил)-тимин	9,68	101
1-(β -D-Дезоксирибофуранозил)-тимин	9,8	101
1-(β -D-Ксилофуранозил)-тимин	9,75	101
1-(β -D-Арабинофуранозил)-тимин	9,8	101
1-(β -D-Ликсофуранозил)-тимин	9,92	101
1-(β -D-Рибофуранозил)-5-фторурацил	7,57	100
1-(β -D-Арабинофуранозил)-5-фторурацил	7,63	105
1-(β -D-Рибофуранозил)-5-фторцитозин	2,26	100
1-(β -D-Арабинофуранозил)-5-фторцитозин	2,33	106
1-(β -D-2'-Дезокси-2'-фторрибофуранозил)-цитозин	3,9	107

Роль заместителей в гетероциклическом ядре. Менее изучено влияние заместителей в различных положениях гетероциклических оснований; доступные данные относятся в основном к пиримидиновым производным. Наиболее подробно исследовано влияние заместителей в положении 5 пиримидинового цикла. В табл. 3.13 приведены значения pK'_a некоторых 5-замещенных производных пиримидиновых нуклеозидов.

Таблица 3.13. Влияние различных заместителей в положении 5 пиримидинового ядра на величину pK'_a нуклеозидов

Нуклеозид	pK'_a	Литература	Нуклеозид	pK'_a	Литература
Цитидин	4,1	100	5-Фтор-2'-дезокситидин	2,39	100
5-Метилцитидин	4,28	108	Уридин	9,5	100
5-Фторцитидин	2,26	100	Риботимидин	9,68	101
2'-Дезоксцитидин	4,3	100	5-Фторуридин	7,57	100
5-Метил-2'-дезоксцитидин	4,40	100			

Легко видеть, что электронодонорные заместители несколько увеличивают значение pK_a , тогда как электроноакцепторные уменьшают основность соединений. Подобного эффекта следовало ожидать, если принять во внимание возможность делокализации заряда в ионизованных основаниях.

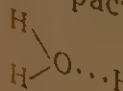
констант

В огли
при введе
вают пон
метно бол
ные, как э

Таблица 3.14
в экзотич
Измерения про

Цитозин . . .
4-экзо-N-Мет
5-Фторцитози
5-Фтор-4-экзо
Цитидин . . .
4-экзо-N-Мет
4-экзо-N, N-
5-Фторцитид
5-Фтор-4-экзо
2'-Дезоксици
4-экзо-N-Мет
4-экзо-N, N-
5-Фтор-2'-дез
5-Фтор-4-экзо
5-Фтор-4-экзо
1-Метилцитоз
1,4-экзо-N-Д
1,4-экзо-N, N
5-Метил-2'-д
4-экзо-N, 5-Д
4-экзо-N-(β -

Подобный
ный замес
ватной об
заряда в
ность про
зей с рас

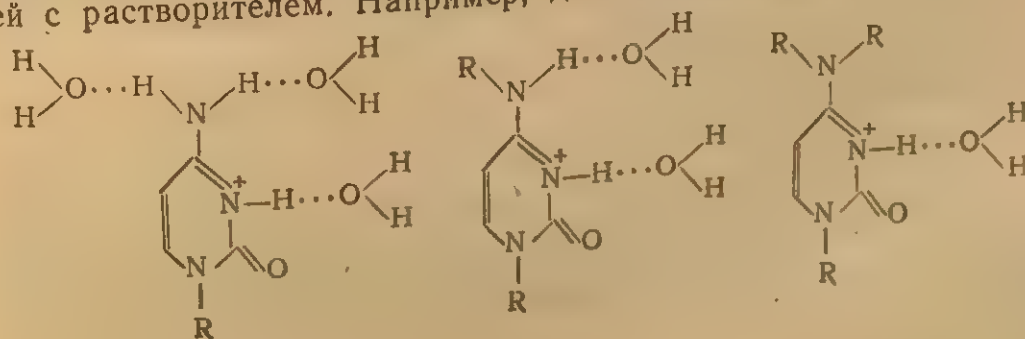


В отличие от этого электронодонорные алкильные заместители при введении их в экзоциклические аминогруппы цитидина вызывают понижение pK_a , причем диалкильные производные имеют заметно более низкое значение pK_a , чем моноалкильные производные, как это легко видеть из данных, приведенных в табл. 3.14.

Таблица 3.14. Зависимости pK'_a производных цитозина от заместителей в экзоциклической аминогруппе¹⁰⁰
Измерения проводились в 0,025 М ацетатном буфере

Соединение	pK'_a
Цитозин	4,61
4-экзо-N-Метилцитозин	4,55
5-Фторцитозин	2,90
5-Фтор-4-экзо-N-метилцитозин	2,66
Цитидин	4,1
4-экзо-N-Метилцитидин	3,92
4-экзо-N, N-Диметилцитидин	3,62
5-Фторцитидин	2,26
5-Фтор-4-экзо-N-метилцитидин	2,05
2'-Дезоксицитидин	4,3
4-экзо-N-Метилдезоксицитидин	4,01
4-экзо-N, N-Диметил-2'-дезоксицитидин	3,79
5-Фтор-2'-дезоксицитидин	2,39
5-Фтор-4-экзо-N-метил-2'-дезоксицитидин	2,14
5-Фтор-4-экзо-N-диметил-2'-дезоксицитидин	1,89
1-Метилцитозин	4,55
1,4-экзо-N-Диметилцитозин	4,47
1,4-экзо-N, N-Триметилцитозин	4,20
5-Метил-2'-дезоксицитидин	4,40
4-экзо-N,5-Диметил-2'-дезоксицитидин	4,04
4-экзо-N-(β -Фенилэтил)-5-метил-2'-дезоксицитидин	3,83

Подобный эффект можно объяснить двумя причинами. Алкильный заместитель может, во-первых, затруднить образование сольватной оболочки вокруг центров локализации положительного заряда в протонированной молекуле и, во-вторых, понизить способность протонированной молекулы к образованию водородных связей с растворителем. Например, для производных цитозина



По-видимому, оба эти эффекта играют существенную роль в стабилизации или дестабилизации катиона.

Ниже приведены значения pK'_a ряда производных цитозина с алкильным заместителем в экзоциклической аминогруппе (в 0,025 М ацетатном буфере) ¹⁰⁰:

	pK'_a
Цитозин	4,61
4-экзо-N-Метилцитозин	4,55
4-экзо-N-Этилцитозин	4,58
4-экзо-N-(н-Бутил)-цитозин	4,69
5-Фтор-2'-дезоксцитидин	2,39
5-Фтор-4-экзо-N-метил-2'-дезоксцитидин	2,14
5-Фтор-4-экзо-N-этил-2'-дезоксцитидин	2,21
5-Фтор-4-экзо-N-(н-пропил)-2'-дезоксцитидин	2,19
5-Фтор-4-экзо-N-(н-бутил)-2'-дезоксцитидин	2,21

Некоторое возрастание pK'_a при увеличении длины алкильного заместителя — явление, трудно поддающееся объяснению. Возможно, что здесь играет роль индуктивный эффект алкильного радикала (+I-), который нарастает при удлинении алкильной цепи.

Обращает на себя внимание большая разность в величинах pK'_a при переходе от 5-метил-2'-дезоксцитидина к 4-экзо-N,5-диметил-2'-дезоксцитидину, а именно 0,36 единицы pK . Возможно, что в данном случае, наряду со стерическими препятствиями сольватации и с уменьшением числа водородных связей с растворителем, имеет место стерическое взаимодействие 5-метильной и 4-экзо-N-метильной групп. В результате такого взаимодействия аминогруппа выводится из плоскости цикла, что, в свою очередь, приводит к нарушению сопряжения. Поскольку аминогруппа является ¹⁰⁹ заместителем типа (+M- — I-)*, то нарушение сопряжения должно приводить к уменьшению величины мезомерного эффекта +M-, тогда как индуктивный эффект (—I-) остается неизменным. Это увеличивает электроноакцепторные свойства аминогруппы и уменьшает pK_a за счет относительной дестабилизации протонированной формы. Аналогичный эффект наблюдается и в случае производных аденина ^{110, 111}:

	pK'_a
Аденин	4,22
6-экзо-N-Метиладенин	4,18
6-экзо-N, N-Диметиладенин	3,87
Аденозин	3,8
6-экзо-N-(β-Оксиэтил)-аденозин	3,1

* Заместителями типа (+M-, —I-) являются электроотрицательные заместители, такие, как азот, кислород, галоиды, отдающие в сопряженную систему два π -электрона (см. стр. 147). Такие заместители оттягивают на себя электроны по системе σ -связей (—I-эффект), но являются донорами электронов в системе π -связей (+M-эффект).

Таким образом, очевидно, что введение заместителя в различные положения нуклеиновых оснований заметно меняет их кислотности-основные свойства. Систематическое изучение влияния заместителей на величину pK_a могло бы оказаться немаловажным для понимания химических особенностей и биологической роли различных гетероциклических оснований нуклеиновых кислот, в том числе редких компонентов.

С этой точки зрения интересно выяснить, существует ли корреляция в действии одного и того же заместителя на различные основания, т. е. соблюдается ли в данном случае известное в теоретической органической химии правило линейной зависимости свободных энергий ¹¹²⁻¹¹⁴ (для гетероциклических соединений, см. обзор Жаффе ¹¹⁵). Оказывается, что наблюдается довольно хорошая линейная зависимость между pK'_a производных урацила и

pK'_a производных цитозина (рис. 3.12, табл. 3.15). Это означает, что в случае оснований нуклеиновых кислот вполне приме-

нимы такие корреляции и можно думать, что их использование окажется полезным при изучении механизмов химических и, возможно, ферментативных превращений нуклеиновых кислот.

Из общей линейной зависимости выпадают pK'_a соединений с 5-метильным заместителем. Можно полагать, что такой эффект — следствие пространственных препятствий сольватации ионов. При этом в случае цитозиновых производных должна понижаться стабильность катиона, и, следовательно, в соответствии с уравнениями (3) и (4) уменьшается значение pK'_a ; в случае урацила уменьшение стабильности аниона должно приводить к увеличению значения pK'_a в соответствии с уравнениями (5) и (6), что полностью согласуется с наблюдаемой картиной (см. рис. 3.12).

Роль фосфатных групп в нуклеотидах. Заметное влияние на величину pK_a основания оказывают фосфатные группы в нуклеотидах. В табл. 3.16 приведены значения pK_a ионизации некоторых нуклеозидов и нуклеотидов ¹⁰².

Причиной наблюдаемого возрастания pK_a в ряду:

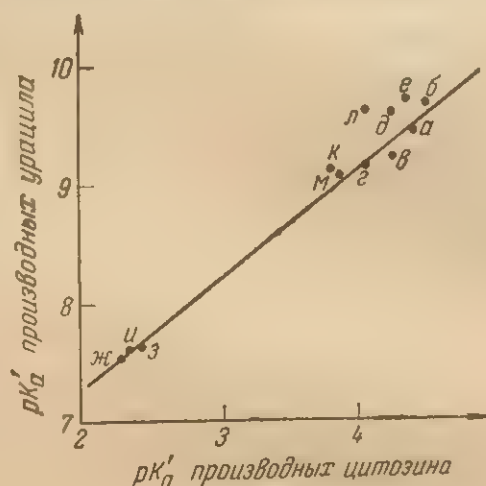
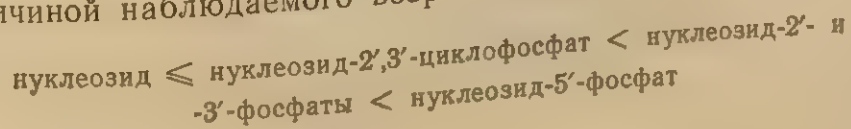


Рис. 3.12. Корреляция значений pK'_a производных урацила и цитозина (обозначение точек — см. индексы в табл. 3.15).

является, очевидно, взаимодействие ионизованного основания с фосфатной группой нуклеотида.

Таблица 3.15. Корреляция pK'_a ряда производных урацила и цитозина

Определения производились спектрофотометрическим методом в 0,025 М ацетатном буфере для производных цитозина и в 0,1 М глициновом буфере для производных урацила

Индекс обозначения на рис. 3.12	Заместитель в основании	pK'_a для ряда урацила	Литература	pK'_a для ряда цитозина	Литература
а	—	9,5	100	4,45	100
б	1-Метил-	9,75	98	4,55	98
в	1-(β-D-2'-Дезоксирибофуранозил)-	9,3	100	4,3	100
г	1-(β-D-Рибофуранозил)-	9,25	100	4,1	100
д	1-(β-D-Рибофуранозил)-5-метил	9,68	116	4,28	108
е	1-(β-D-2'-Дезоксирибофуранозил)-5-метил-	9,8	98	4,40	109
ж	1-(β-D-Рибофуранозил)-5-фтор-	7,57	100	2,26	100
з	1-(β-D-2'-Дезоксирибофуранозил)-5-фтор-	7,66	100	2,39	100
и	1-(β-D-Арабинофуранозил)-5-фтор-	7,63	105	2,33	106
к	1-(Пиранозил)-*	9,2	98	3,85	98
л	1-(Пиранозил)-5-метил-*	9,7	98	4,1	98
м	1-(β-D-2'-Дезокси-2'-фторрибофуранозил)-	9,14	117	3,9	107

* Использовались следующие пиранозильные производные: 1-(β-D-глюкопиранозил)-, 1-(β-D-галактопиранозил)-, 1-(β-D-арабинопиранозил)- и 1-(β-D-ксилопиранозил)-, для которых значения pK'_a одинаковы.

Исходя из конформационных форм рибозы и дезоксирибозы (см. гл. 2), можно заключить, что возможность такого взаимодействия особенно велика в случае нуклеозид-5'-фосфатов, фосфатные группы которых могут находиться в пространственной близости к циклу основания. Значительно менее тесного контакта с основанием следует ожидать для 2'- и 3'-фосфатных групп, которые находятся в *транс*-положении по отношению к основанию*. В случае производных цитозина, где при ионизации ядра образуются цвиттерионы, стабильность последних, таким образом, должна быть выше в случае 5'-фосфатов, что, очевидно, приводит к большему увеличению pK'_a по сравнению с нуклеозидом, чем в случае 2'- и 3'-фосфатов. При диссоциации производных ура-

* Большая степень взаимодействия 5'-фосфатных групп по сравнению с 2'- и 3'-фосфатными группами проявляется, в частности, во влиянии на величину химического сдвига протонов в спектрах ЯМР соответствующих нуклеотидов по сравнению с нуклеозидами (см., например, 92, 118).

В. КОНСТАНТ

цила взаимодей-
вания и от-
водить к
вания и к
 pK'_a долж-
эксперимен-

Таблица 3.15.
на константу
Определения
ионизации

Производ

Цитозина . . .
Аденина . . .
Урацила . . .
Тимина . . .
Гуанина . . .
Гипоксанти

* pK_a дезо

Иониза-
(за исклю-
ладают сво-
имеют две
низации р
оне pK_a 6
кислоты с
влияние н
групп в н

Таблица 3.1.
нуклеозид-5'
Определения
тической по

Производное

Аденозина
Гуаноина
Инозина

сила взаимодействия отрицательного заряда ионизованного основания и отрицательных зарядов фосфатной группы должно приводить к уменьшению стабильности ионизованной формы основания и к сдвигу равновесия в сторону нейтральной формы, т. е. pK'_a должно увеличиваться и в этом случае, что согласуется с экспериментальными данными (см. табл. 3.16).

Таблица 3.16. Влияние фосфатной группы нуклеотида на константу ионизации основания¹⁰²

Определения производились спектрофотометрическим методом при 20° С и ионной силе

Производные	pK_a					
	рибонуклеозида	2'-фосфата	3'-фосфата	2' (3')-фосфата смеси	5'-фосфата	2', 3'-циклофосфата
Цитозина	4,17	—	—	4,43	4,54	4,12
Аденина	3,52	3,81	3,70	—	3,88	—
Урацила	9,38	—	—	9,96	10,06	9,47
Тимины	9,93	—	—	—	10,47	—
Гуанины	9,42 *	9,87	9,84	—	10,00	—
Гипоксантины	9,02	—	—	—	9,62	—

* pK_a дезоксигуанозина 9,52; pK_a дезоксигуанозин-5'-фосфата 10,00.

Ионизация фосфатных групп в нуклеотидах. В мононуклеотидах (за исключением циклофосфатов) остатки фосфорной кислоты обладают свойствами двухосновных кислот и в соответствии с этим имеют две константы ионизации. При этом первая константа ионизации pK_a имеет значение ~ 1 , тогда как вторая лежит в районе pK_a 6—7. Циклофосфаты представляют собой одноосновные кислоты с $pK_a \sim 1$. Природа основания оказывает незначительное влияние на величину вторичной константы ионизации фосфатных групп в нуклеозидфосфатах (табл. 3.17).

Таблица 3.17. Значения pK_a вторичной ионизации нуклеозид-5'-моно-, -ди- и -трифосфатов¹²²

Определения проводились при 25°С с учетом поправки на ионную силу, но без учета статистической поправки

Производное	pK_a			Производное	pK_a		
	5'-монофосфат	5'-дифосфат	5'-трифосфат		5'-монофосфат	5'-дифосфат	5'-трифосфат
Аденозина	6,57	7,20	7,68	Цитидина Урацидина	6,62	7,18	7,65
Гуанозина	6,66	7,19	7,65		6,63	7,16	7,58
Инозина	6,66	7,18	7,68				

Дигидропиримидины. При насыщении двойной связи в пиримидиновом ядре наблюдается резкое увеличение (табл. 3.18) соответствующих значений pK'_a , что в случае производных цитозина связано, возможно, с увеличением вклада других таутомерных

Таблица 3.18. Значения pK'_a дигидропиримидиновых производных

Соединение	pK'_a	Литература	Соединение	pK'_a	Литература
1-Метилурацил	9,75	119	Цитидин	4,1	100
1-Метил-5,6-дигидроурацил	~ 12	119	5,6-Дигидроцитидин	6,1	120
Цитозин	4,45	100	1-Метил-5,6-дигидроцитозин	6,62	73
5,6-Дигидроцитозин	6,3	119	6-Окси-5,6-дигидроцитидин	5,56	121

форм в таутомерное равновесие, тогда как в случае производных урацила основную роль, по-видимому, играют условия делокализации отрицательного заряда в анионе, более благоприятные в урациле, чем в дигидроурациле.

Внешние факторы

Влияние ионной силы среды. Если в уравнения (4) и (6) (см. стр. 177) подставить выражения для коэффициентов активности, определяемые в соответствии с законом Дебая — Хюккеля (см., например, ^{123, 124}), то связь между кажущейся и термодинамической константами равновесия определится следующим уравнением:

$$pK'_a = pK_a^0 + \frac{0,5 \sqrt{\mu} (2m - 1)}{1 + b \sqrt{\mu}} \quad (9)$$

где μ — ионная сила раствора; m — заряд сопряженной кислоты; b — константа, зависящая, в частности, от эффективного радиуса иона в растворе.

Исходя из соотношения (9), следует ожидать, что при увеличении ионной силы среды соединения, диссоциирующие по уравнению (5) (стр. 177) и не обладающие в недиссоциированном виде зарядами — уридин, инозин, гуанозин — в щелочной области (но не их нуклеотиды), — будут уменьшать наблюдаемое значение pK_a . В то же время при диссоциации в кислой области цитидин, гуанозин, инозин, аденозин (но не их нуклеотиды), сопряженные кислоты которых обладают зарядом m , равным +1 [уравнение (3), стр. 177], при увеличении ионной силы должны увеличивать значения pK'_a . В первом приближении уравнением (9) можно воспользоваться для оценки эффекта ионной силы среды на нуклео-

тиды, определяя суммарный заряд молекулы сопряженной кислоты¹⁰². Исходя из подобных соображений, можно составить таблицу, качественно прогнозирующую изменение значений pK'_a с увеличением ионной силы среды (табл. 3.19)¹⁰².

Таблица 3.19. Предсказываемые уравнением (9) изменения pK'_a при увеличении ионной силы

Соединение	Область pH, в которой определяется pK'_a	Суммарный заряд m сопряженной кислоты	Изменения pK'_a при увеличении ионной силы среды $\Delta pK'_a$
Аденин, аденозин	2,0—7,0	+1	>0
Цитозин, цитидин	2,0—7,0	+1	>0
Фосфаты цитидина и гуанозина . .	2,0—7,0	0	<0
Урацил, уридин	7,0—12,0	0	<0
Тимин, тимидин	7,0—12,0	0	<0
Гуанозин	7,0—12,0	0	<0
Уридин-2', 3'-циклофосфат	7,0—12,0	-1	≤0
Уридин-, гуанозин- и инозинфосфаты	7,0—12,0	-2	≤0

Проведенные эксперименты полностью подтверждают эти выводы (табл. 3.20).

Следует отметить, что при повышении ионной силы среды константы ионизации нуклеотидов приближаются к константам ионизации нуклеозидов вследствие экранирования фосфатной группы. При достаточно малых значениях ионной силы, когда в уравнении (9) выражение $b \sqrt{\mu} \ll 1$, получаем:

$$pK'_a = pK_a^0 + 0,5 \sqrt{\mu} (2m - 1) \quad (10)$$

Уравнение (10) показывает, что при невысоких значениях ионной силы можно получить линейные зависимости pK'_a от $\sqrt{\mu}$ (см., например,¹²⁵).

При исследованиях, связанных с изменением ионной силы среды, следует также учитывать влияние структуры и заряда катиона и аниона. Здесь можно отметить следующие закономерности¹⁰²:

1. Двухвалентные ионы более эффективно уменьшают коэффициент активности оснований нуклеиновых кислот, чем одновалентные.

2. Более сильное влияние на величину pK_a оказывают ионы, имеющие меньший ионный радиус; одновалентные ионы по степени влияния располагаются в ряд:



Таблица 3.20. Экспериментально определенные значения pK'_a для оснований, нуклеозидов и нуклеотидов, полученные при разной ионной силе¹⁰²
 Определения производились спектрофотометрическим методом 20°C

Соединение	pK'_a		$\Delta pK'_a$
	при $\mu = 0$	при $\mu = 1$	
Цитозин	4,68	4,78	+0,10
Цитидин	4,17	4,19	+0,02
Цитидин-3' (2')-фосфат	4,43	4,32	-0,11
Цитидин-5'-фосфат	4,54	4,43	-0,11
Цитидин-2', 3'-циклофосфат	4,19	4,10	-0,09
Аденин	4,18	4,35	+0,17
Аденозин	3,52	3,70	+0,18
Аденозин-2'-фосфат	3,81	3,72	-0,09
Аденозин-3'-фосфат	3,70	3,68	-0,02
Аденозин-5'-фосфат	3,88	3,80	-0,08
2'-Дезоксиаденозин	—	3,79	—
2'-Дезоксиаденозин-5'-фосфат	—	3,79	—
Урацил	9,52	9,26	-0,26
Уридин	9,38	9,11	-0,27
Уридин-3' (2')-фосфат	9,96	9,12	-0,84
Уридин-5'-фосфат	10,96	9,24	-0,82
2'-Дезоксиуридин	9,50	9,22	-0,28
Тимин	10,00	9,74	-0,26
Тимидин-5'-фосфат	10,47	9,65	-0,82
Тимидин	9,93	9,65	-0,28
Уридин-2', 3'-циклофосфат	9,47	8,95	-0,52
Гуанозин	9,42	9,22	-0,20
Гуанозин-2'-фосфат	9,87	9,20	-0,67
Гуанозин-3'-фосфат	9,84	9,19	-0,65
Гуанозин-5'-фосфат	10,00	9,33	-0,67
2'-Дезоксигуанозин	9,52	9,33	-0,19
2'-Дезоксигуанозин-5'-фосфат	10,00	9,33	-0,67
Инозин	9,02	8,81	-0,21
Инозин-5'-фосфат	9,62	8,92	-0,70

Влияние температуры. Одним из важнейших факторов, оказывающих влияние на константу равновесия вообще и, естественно, на константу кислотно-основного равновесия в частности, является температура. В табл. 3.21 показано изменение pK'_a для цитидина¹²⁸ и уридин-5'-фосфата¹²⁵ в кислой и щелочной средах при различной температуре. В обоих случаях наблюдается заметное уменьшение pK_a с повышением температуры. Это изменение константы ионизации описывается уравнением

$$pK_a = \frac{1}{2,3} \cdot \frac{\Delta F}{RT} = \frac{1}{2,3} \left(\frac{\Delta H}{RT} - \frac{\Delta S}{R} \right) \quad (11)$$

где ΔF , ΔH и ΔS — свободная энергия, энтальпия и энтропия реакции ионизации; T — абсолютная температура; R — универсальная газовая постоянная.

Таблица 3.21. Изменение pK'_a цитидина и уридин-5'-фосфата с температурой
Определения производились потенциометрически при ионной силе $\mu = 0,2$

Темпера- тура, °C	pK'_a		Темпера- тура, °C	pK'_a	
	цитидина 126	уридин-5'- фосфата 125		цитидина 126	уридин-5'- фосфата 125
20	4,32	9,34	40	4,15	9,01
30	4,22	9,18	50	4,06	8,85

В табл. 3.22 приведены определенные в настоящее время значения ΔF , ΔH и ΔS для некоторых оснований, нуклеозидов и нуклеотидов.

Таблица 3.22. Термодинамические параметры ионизации оснований нуклеозидов и нуклеотидов 125, 127, 132

Значения pK_a определялись спектрофотометрически при $\mu = 0,1$ и 25° С или потенциометрически при $\mu = 0,1$ и 20° С

Соединение	Диссоциация в кислой среде				Диссоциация в щелочной среде			
	pK_a	$\frac{\Delta F}{\text{ккал}} \frac{\text{моль}}{\text{моль}}$	$\frac{\Delta H}{\text{ккал}} \frac{\text{моль}}{\text{моль}}$	$\frac{\Delta S}{\text{кал}} \frac{\text{моль}}{\text{моль} \cdot \text{град}}$	pK_a	$\frac{\Delta F}{\text{ккал}} \frac{\text{моль}}{\text{моль}}$	$\frac{\Delta H}{\text{ккал}} \frac{\text{моль}}{\text{моль}}$	$\frac{\Delta S}{\text{кал}} \frac{\text{моль}}{\text{моль} \cdot \text{град}}$
Аденин	4,1	5,6	4,2	4,7	9,7	13,2	9,5	-12,4
Аденозин	4,1	—	3,99	—	—	—	—	—
Дезоксиаденозин	3,6	4,8	3,8	-3,4	—	—	—	—
Цитозин	3,6	—	3,81	—	—	—	—	—
Дезоксицитидин	3,8	—	3,87	—	11,8	16,1	11,0	-17,1
Цитидин	4,5	6,1	5,0	-3,7	—	—	—	—
Дезоксицитидин	4,5	—	4,47	—	—	—	—	—
Гуанин	4,2	5,7	4,4	-5,0	—	—	—	—
Дезоксигуанин	4,3	—	4,3	—	9,4	12,8	10,1	-9,1
Гуанозин	—	—	—	—	9,2	12,6	8,6	13,0
Дезоксигуанозин	1,6	2,2	1,00	-4,0	—	—	—	—
Дезоксигуанозин-5'-фосфат	1,6	—	0,99	—	—	—	—	—
Гипоксантин	2,5	—	1,91	—	—	—	—	—
Инозин	2,9	—	0,14	—	—	—	—	—
Уридин	—	—	—	—	8,8	12,0	7,2	-16,1
Уридин-5'-фосфат	—	—	—	—	8,9	12,1	7,2	-16,1
	—	—	—	—	9,5	13,0	8,7	-1,8
	—	—	—	—	9,4	12,6	6,6	-19,1

Воздействие растворителя и концентрационный эффект. В настоящее время уже установлено, что пуриновые основания, нуклеозиды и нуклеотиды образуют в растворе ассоциаты, концентрация которых в соответствии с законом действующих масс растет с увеличением концентрации компонентов (см. гл. 4). Можно

ожидать, что с увеличением концентрации компонентов в растворе будут меняться их константы диссоциации. Действительно, в случае гуанозина такая зависимость была обнаружена¹³¹, причем, как видно из рис. 3.13, с увеличением концентрации нуклеозида значение его pK'_a уменьшается. Это может служить объяснением различных значений получаемых при определении pK'_a спектро-

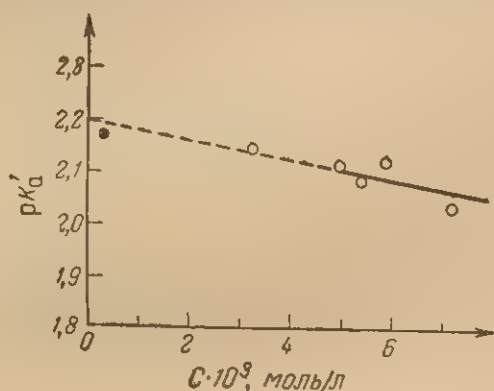


Рис. 3.13. Зависимость pK'_a гуанозина от его концентрации в растворе¹³¹.

жирными точками показаны результаты спектрофотометрических определений, кружочками — данные потенциометрических определений; 25°C , $\mu = 0,1$.

ства и неионного характера также могут приводить к изменению константы равновесия. Механизм этого влияния может быть либо неспецифическим, как, например, изменение степени сольватации, либо специфическим, включающим образование химических связей между молекулами растворенного вещества и растворителя. Сооб-

* Следует отметить, что при определении термодинамических констант ионизации гуанозина так же, как и в значении его pK'_a , наблюдается несоответствие данных разных авторов. Так, Б. И. Сухоруков¹²⁷ приводит для гуанозина $pK'_a 1,6$ [спектральный метод определения, значения свободной энергии, теплоты и энтропии ионизации, равные $2,2 \text{ ккал/моль}$, 1 ккал/моль и $4 \text{ кал/(моль} \cdot \text{град)}$ соответственно]. Такая же величина pK'_a гуанозина дана в обзорах^{128, 129} и найдена с помощью потенциометрического метода¹³⁰. В то же время в ряде работ (см., например,¹³¹) pK'_a гуанозина спектрофотометрически было найдено равным $2,2$. В соответствии с этим величины свободной энергии, теплоты и энтропии ионизации равны $2,62 \text{ ккал/моль}$, $2,22 \text{ ккал/моль}$ и $2,5 \text{ кал/(моль} \cdot \text{град)}$ соответственно. Бунвилл и Швальб объясняют отличие своих данных¹³¹ от результатов, полученных потенциометрически¹³⁰, концентрационными эффектами. Разница между результатами, получаемыми одним и тем же методом разными авторами, совершенно необъяснима.

фотометрически (когда концентрация соединения колеблется в интервале 10^{-4} — 10^{-5} моль/л) или потенциометрическим методом (при котором используются значительно более высокие концентрации веществ, что может приводить к ассоциации). Там, где это возможно, предпочтительным кажется применение спектрофотометрического метода*.

Очень важным фактором, влияющим на величину константы кислотно-основного равновесия, является природа растворителя. Выше мы уже рассматривали влияние ионной силы на равновесия, следует, кроме того, указать, что растворенные веще-

и объясне
иается из
лоты неск
счет неспе
величина
творами)

величине
лоты 0,47
лочной об
диловой к
растает с
появляются
зованием

От спо
зации зав
этих соеди
же такие
ческие ил
случаях с
ние иониз
дом данн

где C_i —
трация и
Отно
и широк
фической
ственно
форезе д
обходим
зарядов
виях экс
оптималь

VI. ОН
ОСНО
Данн
отно-ос
торые н
способность

щается¹³³, что в 48%-ном растворе сахарозы pK'_a гуаниловой кислоты несколько понижено; это, по-видимому, следует отнести за счет неспецифических эффектов. Однако в 8 М растворе мочевины величина pK'_a значительно выше (по сравнению с водными растворами) для всех четырех основных нуклеотидов. Различие в величине pK'_a составляет в кислой области для цитидиловой кислоты 0,47 единицы и для адениловой кислоты 0,5 единицы; в щелочной области для гуаниловой кислоты 0,58 единицы и для уридиниловой кислоты 0,53 единицы¹³³. Величина сдвига линейно возрастает с увеличением концентрации мочевины; в УФ-спектрах появляются заметные изменения, что может быть вызвано образованием водородных связей между основаниями и мочевиной.

От способности оснований, нуклеозидов и нуклеотидов к ионизации зависят многочисленные физические и химические свойства этих соединений, в частности их реакционная способность, а также такие важные показатели, как спектральные, хроматографические или электрофоретические характеристики. Во всех этих случаях обычно бывает необходимо знать относительное содержание ионизованной формы в растворе соединения, которое при каждом данном значении pH может быть определено по формулам:

$$\frac{C_i}{C_0} = \frac{1}{1 + 10^{pH - pK'_a}} \quad \text{ионизация по уравнению (3)}$$

$$\frac{C_i}{C_0} = \frac{1}{1 + 10^{pK'_a - pH}} \quad \text{ионизация по уравнению (5)}$$

где C_i — концентрация ионизованной формы; C_0 — общая концентрация исследуемого вещества.

Отношение C_i/C_0 иногда называют величиной заряда молекулы и широко используют для предварительной оценки хроматографической или электрофоретической подвижности вещества. Естественно, что и при ионообменной хроматографии, и при электрофорезе для максимального разделения различных мономеров необходимо использовать такие значения pH, при которых различие зарядов на молекулах максимально. Знание значений pK'_a в условиях эксперимента может существенно облегчить задачу подбора оптимальных условий разделения.

VI. ОБЩИЕ ВОПРОСЫ РЕАКЦИОННОЙ СПОСОБНОСТИ ОСНОВАНИЙ НУКЛЕИНОВЫХ КИСЛОТ

Данные об электронных характеристиках, таутомерии и кислотно-основных свойствах позволяют а priori предсказать некоторые наиболее общие положения, связанные с реакционной способностью оснований нуклеиновых кислот. Естественно ожидать,

что различные таутомерные формы должны обладать разной реакционной способностью. Однако, к сожалению, экспериментально очень трудно определить, какая из форм в действительности принимает участие в исследуемой реакции, поскольку равновесие между таутомерными формами устанавливается очень быстро. Различной реакционной способностью должны обладать также нейтральные и ионная формы оснований; в данном случае экспериментально значительно легче сделать заключение о том, какая из них принимает участие в реакции. Следует ожидать, что катионные и нейтральные (но не анионные) формы оснований наиболее легко должны реагировать с нуклеофильными агентами, тогда как анионные и нейтральные формы (но не катионные) — с электрофильными.

Как уже отмечалось, в настоящее время в подавляющем большинстве случаев мы не знаем, какая из таутомерных форм принимает участие в той или иной реакции, и в дальнейшем изложении все рассуждения будут основываться на предположении, что реагирует главная (при данных условиях) таутомерная форма, хотя, вообще говоря, это вовсе не обязательно. Такое предположение (об участии одной главной формы) до некоторой степени оправдывается, поскольку многие предсказания, сделанные на его основе, согласуются с экспериментальными данными.

При теоретическом обсуждении реакционной способности мы будем оперировать с нейтральными формами оснований, допуская, что относительное распределение электронной плотности молекулы хотя и меняется при ионизации, но качественно остается близким к распределению к нейтральной молекуле. Такое допущение также экспериментально подтверждается: при участии в реакции заряженных молекул направление реакции правильно предсказывается на основании рассмотрения нейтральных молекул. Существует ряд подходов, позволяющих оценивать относительную реакционную способность различных атомов (групп) в одной молекуле или одинаковых атомов (групп) в различных молекулах. Часть этих подходов основана на квантовохимических расчетах; другая часть — на эмпирически найденных закономерностях и корреляциях. В химии нуклеиновых кислот пока больше используются подходы первого типа. Это удобно с той точки зрения, что можно делать предсказания без предварительных экспериментов, связанных с данными соединениями или с их ближайшими аналогами, используя часто закономерности, полученные для совершенно других классов соединений. Подход с использованием корреляционных уравнений требует исследования ближайших аналогов данного соединения для предсказания какого-то интересующего экспериментатора свойства. Однако аналоги оснований, нуклеозидов и нуклеотидов довольно трудно доступны, и этот метод, очень широко распростра-

ненный в органической химии, получил относительно малое признание в химии нуклеиновых оснований. Рассмотрим оба указанных подхода.

1. Использование квантовохимических расчетов

Большинство реакций оснований нуклеиновых кислот протекает без разрушения их циклической структуры, и поэтому часто при изучении различных реакций достаточно рассматривать только те свойства молекул, которые определяются распределением в них π -электронов. Больше того, такое приближение оказывается зачастую достаточным даже в тех случаях, когда происходит разрыв σ -связей. Поэтому в дальнейшем мы рассматриваем проблему реакционной способности в основном только с точки зрения свойств ее π -электронных орбиталей.

Существуют два подхода при предсказании химических свойств молекулы¹³⁴⁻¹³⁶, первый из которых рассматривает характеристики изолированной молекулы, второй — учитывает изменения, происходящие в молекуле при взаимодействии с реагентом. Первый подход известен под названием «приближение изолированной молекулы», второй — под названием «приближение реагирующей молекулы».

Метод «приближения изолированной молекулы». В начале этой главы был рассмотрен ряд квантовохимических характеристик оснований нуклеиновых кислот: электронные плотности на атомах, порядки связей, энергии заполненных и свободных электронных уровней. Все эти характеристики могут быть использованы для предсказания реакционной способности молекулы, причем наиболее обычным для органической химии является использование электронных плотностей на атомах как меры их реактивности. Считается, что при реакциях с электрофильными реагентами наиболее реакционноспособным является атом с наибольшей электронной плотностью, тогда как при реакциях с нуклеофильными реагентами — с наименьшей. С этой точки зрения данные расчетов, представленные на молекулярных диаграммах (см. стр. 151—155), предсказывают, что атаке нуклеофильными реагентами в пиримидинах должны подвергаться атомы С-2, С-4 и С-6, несущие частичный положительный заряд, в пуринах — соответственно атомы С-2, С-4, С-6 и С-8. Электрофильной же атаке должны подвергаться атомы С-5 в пиримидинах, атомы кислорода карбонильных групп и атомы азота пиридинового типа, т. е. атомы, несущие частичный отрицательный заряд. Как будет показано ниже, эти выводы в основном подтверждаются экспериментальными данными и, таким образом, простейшее приближение оправдывает себя в смысле качественного предсказания реакционной способности атомов оснований нуклеиновых кислот.

Другая характеристика реакционной способности — порядок связи. Принято считать, что чем больше порядок связи, тем легче должно происходить электрофильное присоединение к этой связи. Из молекулярных диаграмм (см. стр. 151 сл.) следует, что в пиримидинах двойная связь C-5—C-6 имеет значительно более высокий порядок, чем связь C-4—C-5 в пуринах. Тогда в первом случае

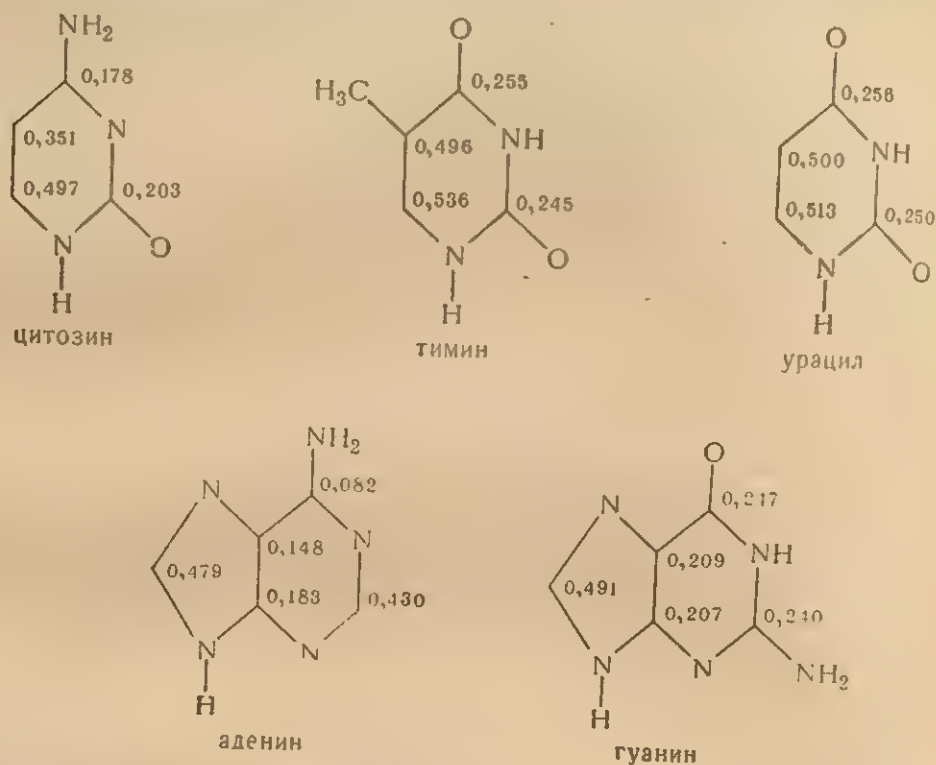


Рис. 3.14. Индексы свободной валентности атомов углерода оснований нуклеиновых кислот.

реакции присоединения должны протекать значительно легче — вывод, согласующийся с экспериментом (хотя, возможно, определенную роль здесь играют также и другие факторы).

Реакционную способность молекул в радикальных реакциях принято характеризовать индексом свободной валентности. Расчетные индексы свободной валентности углеродных атомов оснований нуклеиновых кислот приведены на рис. 3.14. Общий вывод, даваемый всеми методами расчета, заключается в следующем: в пиримидиновых основаниях наиболее реакционноспособной по отношению к гомолитическим реагентам является двойная связь C-5—C-6. К сожалению, отсутствие тщательных исследований по радикальным реакциям в ряду нуклеиновых оснований и их компонентов не дает возможности в настоящее время заключить, так

ли это на самом деле. Понятие «индекс свободной валентности» применяется также для характеристики нуклеофильных и электрофильных реакций, причем общее положение остается тем же, что и для радикальных процессов: реакция идет тем легче, чем выше индекс свободной валентности. Исходя из этого, можно сделать вывод, что двойная связь C-5—C-6 в пиримидинах представляет собой наиболее реакционноспособное место и что урацил более активен, чем цитозин. Эти выводы, в общем, согласуются с экспериментом, хотя имеются и определенные исключения. Так, например, и индекс свободной валентности, и заряды на атомах предсказывают, что атомы C-2 и C-4 в молекуле урацила должны быть примерно одинаковыми по своей реакционной способности и что в молекуле цитозина атом C-2 должен быть значительно более активен по отношению к нуклеофильным реагентам, чем C-4. Однако в обоих случаях в основаниях и в производных от них нуклеозидах и нуклеотидах более реакционноспособным является атом C-4 пиримидинового ядра.

При предсказании реакционной способности используются также энергетические характеристики молекулы. В добавление к сказанному ранее (см. стр. 159) здесь следует дать два общих положения, связанные с энергией высшего занятого и низшего свободного электронных уровней¹³⁶:

1. Реакция данного соединения с электрофильным реагентом возможна, если энергия высшего занятого уровня для этого соединения выше энергии низшего свободного уровня реагента.

2. Реакция данного соединения с нуклеофильным реагентом возможна, если энергия низшего свободного уровня соединения ниже энергии высшего занятого уровня реагента.

Отсюда следуют два следующих вывода:

1. При прочих равных условиях к электрофильным реакциям более склонно соединение с более высоким высшим занятым уровнем.

2. К реакциям с нуклеофильными реагентами более склонны соединения с более низко расположенным низшим свободным уровнем.

Исходя из этого, следует признать из пуринов более склонным к электрофильным реакциям гуанин, что подтверждается всеми расчетными методами, а из пиримидинов — цитозин, если считать, что наиболее достоверные результаты дают усовершенствованные методы расчета. Эти выводы согласуются с экспериментом. В частности, например, известно, что при действии галогенов на пуриновые нуклеозиды и нуклеотиды производные гуанина реагируют очень легко, тогда как соответствующие производные аденина реагируют только в довольно жестких условиях (см. гл. 5). К сожалению, большие различия в результатах, касающихся расчета энергий низших свободных орбиталей (см. стр. 161), не дают возможности

ляет собой реакцию присоединения по двойной связи, из сопряжения выключаются сразу два атома, принадлежащие этой связи.

Сопоставление энергии локализации с экспериментально определенными величинами свободной энергии активации ΔF , энтальпии активации ΔH (или с отличающейся от нее на RT энергией активации E) и энтропии активации ΔS приводит к выводу, что для данного класса реакций энергия локализации оказывается мерой относительной реакционной способности различных атомов в данной молекуле или одинаковых атомов в различных молекулах. При этом необходимо, чтобы, во-первых, для всех подобных реакций в процессе образования активированного комплекса энергии изменения σ -связей в молекуле были одинаковыми и, во-вторых, чтобы энтропии активации были постоянны или пропорциональны изменениям энергии π -связей. В настоящее время доступно довольно мало расчетных данных, относящихся к энергиям локализации.

В монографии Пюльманов приводятся¹³⁴, в частности, данные расчетов энергии локализации атомов С-2, С-6 и С-8 пурина и мочевой кислоты. При этом оказывается, что для обоих соединений порядок изменения энергий локализации при переходе от атома к атому одинаков. Мы приводим здесь взятую из этой книги таблицу с расчетами, выполненными для пурина (табл. 3.23).

Таблица 3.23. Величины энергии локализации E_L для атомов углерода в пурине

Скелетный атом	E_L в единицах β		
	нуклеофильные реакции	электрофильные реакции	радикальные реакции
С-2	2,32	2,57	2,45
С-6	2,18	2,48	2,33
С-8	2,18	2,39	2,29

Исходя из этих данных, можно полагать, что в пурине по отношению и к нуклеофильным, и к электрофильным, и к гомолитическим реакциям наиболее реакционноспособным должен быть атом С-8. Отличие мочевой кислоты (по данной картине) заключается в том, что расчеты предсказывают для нее большую реакционную способность в нуклеофильных реакциях атома С-6.

Если перенести эти данные на другие пурины, то можно предсказать значительную реакционную способность атома С-8 в различного рода реакциях, причем для электрофильных реакций более высокую, чем у С-2 и С-6; для нуклеофильных реакций более несколько более низкую, чем у С-6, но значительно более

высокую по сравнению с С-2. Этот вывод полностью согласуется с известными экспериментальными данными, в частности с легкостью обмена протона при С-8 пуринов на дейтерий и тритий и с отсутствием обмена протона, связанного с атомом С-2 (см. стр. 326). Выше уже упоминалось, что галондирование пуринов происходит с замещением водорода при С-8. Это превращение является примером электрофильных реакций.

К сожалению, известно довольно мало примеров нуклеофильных реакций с участием пуринов, так что здесь трудно сопоставить выводы теории с экспериментом. Были рассчитаны значения энергии локализации нуклеофильного присоединения по двойной связи и замещения аминногруппы в цитидине и его 5-метилпроизводном¹³⁷ и получено удовлетворительное согласие расчетных данных с относительными скоростями реакций этих соединений с гидроксилами. Сопоставление энергий локализации присоединения по двойной связи в урациле и цитозине также хорошо согласуется с относительной реакционной способностью этих соединений (см. гл. 5). Меньшая величина энергии локализации присоединения по двойной связи в урациле (по сравнению с цитозином) согласуется также с известным фактом большей стабильности фотогидрата уридина [1-(β-D-рибофуранозил)-6-окси-5,6-дигидроурацила] по сравнению с фотогидратом цитидина [1-(β-D-рибофуранозил)-6-окси-5,6-дигидроцитозин] (см. гл. 12).

Подводя итоги, можно указать следующие общие принципы определения наиболее реакционноспособных мест в молекулах на основе квантовомеханических расчетов.

1. По отношению к электрофильным реакциям наиболее активны атомы с наименьшей электрофильной энергией локализации, наибольшей электронной плотностью и наибольшим индексом свободной валентности. Такими атомами являются: С-8 в пуринах (по энергии локализации и индексу свободной валентности) и С-5 в пиримидинах (по индексу свободной валентности и по электронной плотности).

2. По отношению к нуклеофильным реакциям наиболее реакционноспособны атомы с минимальной нуклеофильной энергией локализации, наибольшим индексом свободной валентности и наименьшей электронной плотностью. Такими атомами являются: в пиримидинах С-6 (по электронной плотности и индексу свободной валентности), С-2 и С-4 (по электронной плотности); в пуринах С-8 (по энергии локализации и индексу свободной валентности) и С-6 (по энергии локализации и электронной плотности).

3. По отношению к радикальным актам наиболее реакционноспособны атомы с наименьшей энергией радикальной локализации и наибольшим индексом свободной валентности, а именно: С-8 в пуринах (по обоим признакам), С-5 и С-6 в пиримидинах.

4. Что касается присоединения по двойной связи, то здесь наиболее активны соединения с минимальной энергией локализации двойной связи и максимальным ее порядком.

Ограниченность рассмотренных квантовохимических подходов состоит в том, что они не учитывают многих чрезвычайно важных факторов, зачастую определяющих и направление, и скорость реакции. Таковыми, например, являются влияние растворителя, пространственные эффекты заместителей и др. О пространственных эффектах заместителей мы уже говорили при рассмотрении кислотно-основных свойств оснований. Отметим еще несколько примеров подобного влияния. Из данных по конформации нуклеозидов и нуклеотидов (см. гл. 2) следует, в частности, что для этих соединений в обычных условиях предпочтительной является *анти*-конформация, при которой в пиримидиновых нуклеозидах и нуклеотидах остаток рибозы и карбонильная группа находятся по разные стороны от N-гликозидной связи. Если эта конформация сохраняет свое преимущество и в растворе, то можно ожидать, что остаток сахара будет пространственно затруднять нуклеофильное присоединение по двойной связи, вследствие чего реакции подобного рода с объемистыми реагентами могут стать даже невозможными. Не исключено, например, что такие реагенты, как семикарбазид или реактив Жирара (см. стр. 350), не присоединяются по двойной связи именно в силу пространственных затруднений. Более трудная фотохимическая гидратация двойной связи в уридин-5'-фосфате по сравнению с уридин-3'-фосфатом, возможно, также связана с пространственными эффектами (см. гл. 12). Несмотря на эти довольно многочисленные факты, детального исследования пространственного влияния остатка сахара на реакционную способность оснований до сих пор еще нет.

Заместители в положении 5 пиримидинового цикла также оказывают определенное пространственное влияние на протекание различных реакций. Выше указывалось их влияние на величину pK_a , здесь следует отметить затрудненность присоединения по двойной связи в нуклеофильных реакциях 5-замещенных пиримидинов (что, очевидно, связано с индуктивными и пространственными эффектами). Так, например, при реакции тимидина с производными гидразина или гидроксиламина в щелочной среде скорость модификации значительно ниже по сравнению с соответствующими реакциями для уридина (см. стр. 459 сл. и 467 сл.).

Еще одним фактором, который не учитывается квантовохимическими расчетами, является возможность образования различного рода внутримолекулярных связей, например водородной связи остатка сахара с основанием (см. стр. 141). Естественно ожидать, что возникновение таких связей также должно влиять на реакционную способность, увеличивая ее (если в реакционном комплексе эти дополнительные связи становятся более прочными по

сравнению с исходной молекулой) или уменьшая (если для образования переходного комплекса необходим разрыв таких внутри-молекулярных связей).

Наконец, на скорость и направление реакции оказывает влияние и растворитель. Он неспецифически сольватирует исходные молекулы и переходные комплексы или может образовывать с исходными молекулами и переходными комплексами специфические химические связи (например, водородные). Если сольватация или способность к образованию таких связей в переходном комплексе выражена сильнее, чем в исходных молекулах, то данный растворитель ускоряет реакцию; если же образование подобных связей в исходных молекулах энергетически более выгодно, чем в реакционном комплексе, то растворитель замедляет реакцию. Эти эффекты могут оказаться настолько сильными, что возможно даже изменение направления реакции; поэтому данные, полученные в одном растворителе, нельзя непосредственно переносить на другой растворитель. Кроме того, растворитель может конкурировать с реагентом в процессе реакции. Случаи, когда реакции в разных растворителях протекают в различных направлениях, известны. Например, при галогенировании пиримидиновых оснований в безводном растворителе происходит замещение водородного атома в положении 5 гетероцикла; в присутствии воды эта реакция идет по пути присоединения брома и оксигруппы по С-5 и С-6 двойной связи (подробнее см. стр. 330 сл.). Влияние всех этих факторов необходимо учитывать при попытках оценивать реакционную способность соединений.

Если сопоставить различные потенциально реакционные места в одной и той же молекуле, например в нуклеозиде, то можно видеть их неэквивалентность, хотя бы с точки зрения пространственного влияния остатка сахара. При *анти*-конфигурации нуклеозида атом С-8 в пуриновых производных должен быть в большей степени пространственно экранирован по сравнению с атомами С-2 и С-6. Соответственно, реакции по С-8 будут идти медленнее, чем можно было бы предполагать исходя из простого квантовохимического рассмотрения.

Можно ожидать, что даже для реакций с одними и теми же реагентами различные участки молекулы будут образовывать реакционные комплексы, отличающиеся по степени сольватированности, что также приведет к отклонению экспериментальных данных от теоретически предсказываемых. С этой точки зрения кажется более правильным применять квантовохимические расчеты для сравнения эквивалентных реакционных центров в разных молекулах, фиксируя таким образом до некоторой степени другие факторы, влияющие на реакционную способность. Именно подобным путем поступают в органической химии при изучении влияния

2. Примене

Детальное
и их поведения
деления места
личающихся д
характеристик
дающих разл
пространствен
ленную реакц
нообразными
оценить роль
деления хими
нуклеотида. П
ской химии д
ся, что своб
линейной ф
одного замес
стителя в раз
известен и ф
бодных энер
этого правил
связывают р
ний по отно
характеристи
ниями типа

Здесь k_1
теlem i ; k_0 —
лем, выбран
иорциональн
ристика э
данного зам
Зависим
реляции с
бодной эне

• Обзор
• В ряд
иголки
з. ...

условий на скорость реакции, в частности при корреляциях реакционной способности с электронными характеристиками заместителей.

2. Применение корреляционных уравнений *

Детальное изучение химических особенностей самих оснований и их поведения в составе нуклеозидов и нуклеотидов требует определения места этих соединений в ряду ближайших аналогов, отличающихся друг от друга какой-либо монотонно меняющейся характеристикой, например наличием разных заместителей, обладающих различными индуктивными эффектами или различным пространственным эффектом. Так, изучая какую-нибудь определенную реакцию ряда 1-N-алкилзамещенных пиримидинов с разнообразными алкильными заместителями, можно было бы лучше оценить роль рибозного (или дезоксирибозного) остатка в определении химических свойств основания в составе нуклеозида или нуклеотида. Подобным подходом широко пользуются в органической химии для изучения механизмов реакций, причем оказывается, что свободная энергия активации многих реакций является линейной функцией некоторой характеристики, меняющейся от одного заместителя к другому, но постоянной для данного заместителя в разных соединениях. Данный принцип достаточно хорошо известен и формулируется как правило линейной зависимости свободных энергий. Хорошо известны частные случаи применения этого правила — уравнения Гамметта или уравнение Тафта. Они связывают реакционную способность ряда родственных соединений по отношению к одному и тому же реагенту с электронными характеристиками заместителей в этих соединениях соотношениями типа

$$\lg \frac{k_i}{k_0} = \rho \sigma_i$$

Здесь k_i — константа скорости реакции соединения с заместителем i ; k_0 — константа скорости реакции с некоторым заместителем, выбранным в качестве стандартного; ρ — коэффициент пропорциональности, характерный для данной реакции; σ_i — характеристика электронных свойств заместителя, постоянная для данного заместителя в различных соединениях и реакциях **.

Зависимости подобного типа достаточно универсальны, и корреляции с величинами σ существуют не только для значений свободной энергии реакций, но и для разнообразных характеристик

* Обзоры — см. 112—114.

** В ряде случаев один и тот же заместитель может характеризоваться несколькими значениями σ , например, в зависимости от того, участвует ли он в сопряжении или нет и т. д.

соединения, например для частот в ИК-спектрах, величин химических сдвигов в спектрах ЯМР и т. д.

Примеры применения такого рода корреляций, хотя пока и немногочисленные, существуют и в ряду производных оснований нуклеиновых кислот, показывая принципиальную применимость правила линейной зависимости свободных энергий и для этого

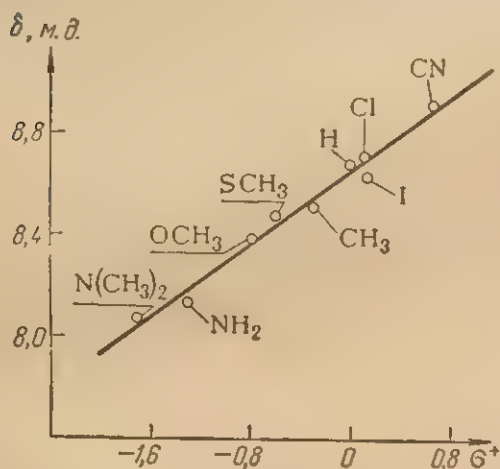


Рис. 3.16. Зависимость химического сдвига протона при С-8 6-замещенных пуринов от σ^+ -констант заместителей¹³⁹.

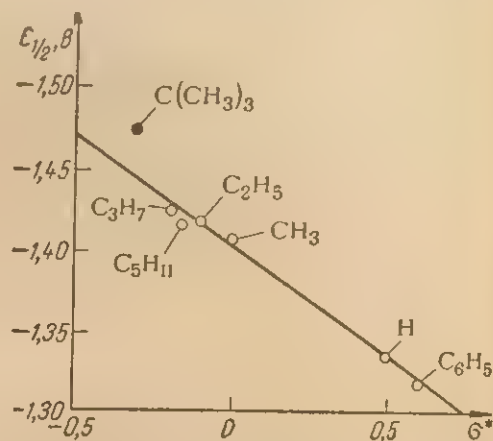


Рис. 3.17. Зависимость потенциала полуволны полярографического восстановления (относительно насыщенного каломельного электрода) 5-замещенных 6-азаурацилов от σ^+ -констант 5-заместителя (в водном растворе при рН 8,3)¹⁴⁰.

класса соединений. Выше (см. стр. 187) мы уже рассматривали корреляцию pK_a в ряду урацила и цитозина. Существование такой корреляции означает, что в обоих этих случаях один и тот же заместитель может быть охарактеризован определенной, постоянной для данного заместителя величиной; это и является одной из формулировок правила линейной зависимости свободных энергий.

Более того, известны случаи, когда проводились корреляции непосредственно с одной или одновременно с несколькими σ -постоянными. В работах Кобурна и др.^{138, 139} получена хорошая линейная зависимость (рис. 3.16) величины химического сдвига сигналов протонов при С-2 и С-8 в спектре ЯМР 6-замещенных пуринов от константы Брауна¹¹⁴ заместителя в положении 6. Аналогичная картина получена и для зависимости величины химического сдвига протона при С-8 от суммы величин σ^+ для заместителей, находящихся в положениях 2 и 6 в ряду 2,6-дизамещенных пуринов¹³⁹. Эти же авторы попытались провести корреляцию химических сдвигов протонов и с другим набором σ -постоянных, а именно с индуктивной σ_I и резонансной σ_R константами Тафта^{138, 139}. При

этом для 6-замещенных пуринов были получены следующие уравнения:

$$\Delta\delta = 0,4\sigma_I + 0,7\sigma_R \quad (\text{для протона при C-8})$$

$$\Delta\delta = 0\sigma_I + 0,9\sigma_R \quad (\text{для протона при C-2})$$

где $\Delta\delta$ — представляет собой разность химических сдвигов соответствующего протона в замещенном и незамещенном пуринах.

Как следует из этих уравнений, химический сдвиг протона при C-2 определяется только мезомерными эффектами, тогда как химический сдвиг протона при C-8 определяется и мезомерными, и индуктивными эффектами (см. стр. 186). Рассмотрение мезомерных формул приводит к выводу, что между положениями 2 и 6 в 6-замещенном пурине должно иметься лишь незначительное мезомерное взаимодействие (мета-расположение). Наблюдаемая зависимость может означать, что химический сдвиг определяется в основном электронной плотностью на соседних атомах азота, один из которых находится в орто-, а другой в пара-положении к 6-заместителю. В случае химического сдвига протона при C-8 полученная зависимость не неожиданна, поскольку атом C-8 может взаимодействовать с 6-заместителем и по индуктивному, и по мезомерному механизмам. Из этого примера видно, что такого рода анализ может дать очень много сведений о тонкой структуре электронного влияния заместителей на свойства молекул.

Другим примером ¹⁴⁰ является применение констант Тафта для коррелирования зависимости потенциала полуволны полярографического восстановления на ртутном капельном электроде 5-замещенных 6-азаурацилов от σ -константы заместителя. Полученная линейная зависимость для ряда заместителей (рис. 3.17) показывает общность механизма восстановления соответствующих соединений и зависимость его от полярных эффектов заместителей. Выпадение из общей зависимости величины потенциала полуволны восстановления в случае 5-трет-бутилпроизводного означает, вероятно, что для достаточно объемистых заместителей заметную роль начинает играть пространственный эффект. Отрицательный наклон прямой является совершенно естественным: значит, с увеличением электроотрицательности заместителя восстановление (т. е. процесс передачи данному соединению электрона) облегчается.

Таким образом, принципиальных ограничений для применения правила линейной зависимости свободных энергий при исследовании свойств производных оснований нуклеиновых кислот не существует. Использование подобных закономерностей может дать много ценной информации о свойствах компонентов нуклеиновых кислот.

Влияние ионизации на реакционную способность оснований. Выше уже отмечалось, что многие реакции в ряду исследуемых соединений идут с участием протонированных или депротонированных оснований. В тех случаях, когда электрофильный или

нуклеофильный реагент сам не способен к ионизации и реакция представляет собой простую одностадийную необратимую реакцию, можно ожидать простых зависимостей скорости реакции от концентрации водородных ионов. В случае нуклеофильной реакции непротонирующегося в данных условиях нуклеофильного агента с протонирующейся молекулой основания наблюдаемая константа скорости определяется следующим соотношением:

$$k_{\text{набл}} = k_0 \frac{[\text{H}^+]}{K'_a + [\text{H}^+]} \quad (12)$$

где $k_{\text{набл}}$ — наблюдаемая константа скорости; k_0 — истинная константа скорости реакции катиона с нуклеофильным агентом, K'_a — кажущаяся константа ионизации основания по уравнению (3); $[\text{H}^+]$ — концентрация водородных ионов.

Зависимостей такого рода можно ожидать при различных гидrolитических превращениях оснований нуклеиновых кислот. В качестве примера можно привести дезаминирование дигидроцитозиновых производных (см. гл. 5).

Зависимость скорости дезаминирования фотогидрата цитидина (6-окси-5,6-дигидроцитидина) ¹²¹ от величины pH характеризуется монотонным возрастанием величины наблюдаемой константы скорости при уменьшении pH. Это же следует и из уравнения (12). Анализ показывает, однако, что значительную роль в процессе дезаминирования играет также нейтральная форма основания (в составе нуклеозида). Поэтому при достаточно высоких значениях pH константа скорости не равна нулю, как можно было бы ожидать, если бы реагировала только протонированная форма, и имеет определенное, не зависящее от pH значение.

В том случае, когда происходит электрофильная реакция с анионом, образующимся при диссоциации нейтральной молекулы типа уридина или гуанозина и когда сам электрофильный агент не способен к депротонизации, зависимость наблюдаемой константы скорости реакции от концентрации водородных ионов может быть представлена в виде

$$k_{\text{набл}} = k_0 \frac{K'_a}{[\text{H}^+] + K'_a} \quad (13)$$

где k_0 — истинная константа скорости реакции аниона с электрофильным агентом; K'_a — кажущаяся константа ионизации основания по уравнению (5).

Реакциями такого типа, по-видимому, являются некоторые реакции алкилирования, например взаимодействие гуанозина, уридина, инозина и псевдоуридина с акрилонитрилом (подробнее см. гл. 5). В случае реакции акрилонитрила с уридином изучение зависимости скорости реакции от pH показывает, что величины k_0 ,

вычисленные по формуле (15) исходя из экспериментальных значений $k_{\text{набл}}$, сохраняют в пределах ошибки опыта постоянные значения ¹⁴¹:

pH	$k_{\text{набл}}, \text{мин}^{-1}$	$k_0, \text{мин}^{-1}$
9,15	4,57	17,5
9,70	8,97	16,1
10,05	15,40	20,9

Постоянство k_0 подтверждает справедливость принятого механизма для реакции электрофильного агента с анионом.

Однако указанные простейшие случаи, когда ионизуется лишь одно из реагирующих веществ, в реакциях оснований нуклеиновых кислот встречаются довольно редко. Значительно чаще приходится иметь дело с процессами, в которых к ионизации способны оба реагирующих соединения. Здесь целесообразно рассмотреть несколько наиболее часто встречающихся типов превращений.

1. Реакции катионной формы основания со способным к протонированию нуклеофильным реагентом. К реакциям этого типа относится большинство нуклеофильных реакций цитидина, аденозина и гуанозина. Если реакция представляет собой одностадийный процесс взаимодействия катиона с нуклеофильным агентом, величина наблюдаемой константы скорости реакции определяется следующим уравнением:

$$k_{\text{набл}} = k_0 \frac{(K'_a)_N \cdot [H^+]}{\{(K'_a)_{\text{осн}} + [H^+]\} \cdot \{(K'_a)_N + [H^+]\}} \quad (14)$$

где k_0 — истинная константа скорости реакции катиона основания с нуклеофильным реагентом; $[H^+]$ — концентрация водородных ионов; $(K'_a)_{\text{осн}}$ и $(K'_a)_N$ — константы протонирования основания и нуклеофильного реагента по уравнениям (3) и (7).

Анализ этого выражения позволяет сделать вывод, что зависимость наблюдаемой константы скорости от pH имеет максимум при значении

$$\text{pH} = \frac{(\text{p}K'_a)_{\text{осн}} + (\text{p}K'_a)_N}{2}$$

и что при pH, равном $(\text{p}K'_a)_{\text{осн}}$ и $(\text{p}K'_a)_N$, наблюдаемые константы скорости равны. В качестве примера такого рода превращений можно привести реакцию замещения аминогруппы в цитидине на семикарбазидную группу ¹⁴² (см. также стр. 350).

2. Совершенно аналогичное уравнение получается и для зависимости $k_{\text{набл}}$ от концентрации водородных ионов при реакции нейтральной формы способного к потере протона основания с анионным нуклеофильным агентом. В этом случае в формуле (14) $(K'_a)_{\text{осн}}$ и $(K'_a)_N$ — константы ионизации основания и нуклеофильного

реагента по уравнению (5), величина которых определяется выражением (8).

3. Уравнение этого же типа описывает зависимость наблюдаемой константы скорости от концентрации водородных ионов в случае, когда нейтральное основание, способное депротонироваться в соответствии с уравнением (5), реагирует с нейтральным нуклеофильным реагентом, способным протонироваться в соответствии с уравнением (3). В формуле (14) для этого случая $(K'_a)_N$ — константа ионизации нуклеофильного реагента по уравнению (3), определяемая выражением (7), и $(K'_a)_{осн}$ — константа ионизации основания по уравнению (5), определяемая выражением (8).

4. Для реакции нейтральной формы основания, способного протонироваться, с нейтральной формой способного протонироваться нуклеофильного реагента константа скорости $k_{набл}$ запишется формулой [обозначения те же, что в уравнении (14)]

$$k_{набл} = k_0 \frac{(K'_a)_{осн} \cdot (K'_a)_N}{\{(K'_a)_{осн} + [H^+]\} \cdot \{(K'_a)_N + [H^+]\}} \quad (15)$$

Реакции нейтральных оснований с нейтральными реагентами, хотя и идут медленнее, чем реакции ионизованных оснований с нейтральными реагентами, тем не менее часто искажают зависимости, приведенные выше. Кроме того, очень часто истинные механизмы протекающих реакций на самом деле значительно сложнее, чем простые одностадийные превращения. Поэтому хотя практически все реакции оснований нуклеиновых кислот проявляют зависимость от pH, тем не менее не всегда можно удовлетвориться приведенными выше простыми формулами и в каждом конкретном случае для понимания зависимости скорости реакции от кислотности среды необходимо детальное исследование механизмов превращений. В той мере, в какой это возможно в настоящее время, такой анализ для конкретных реакций приведен во второй половине данной книги.

Влияние на скорость реакции ионной силы. Во всех приведенных выше уравнениях зависимости наблюдаемой константы скорости реакции от концентрации водородных ионов фигурирует кажущаяся константа ионизации K'_a ¹⁴³. Как, уже отмечалось (см. стр. 190), эта константа зависит от ионной силы. Таким образом, следует ожидать зависимости величины константы скорости реакции от ионной силы в тех случаях, когда для реакции необходимо предварительное протонирование или депротонирование реагирующих веществ. Для реакции заряженного основания с заряженным реагентом зависимость скорости реакции от ионной силы связана не только с изменением констант ионизации соединений,

пропорцио
находящего
этого равнове
стей компо
активности
Исследо
дом конкре
механизме
нием ионно
их произво
Таким о
просы, связ
себе и в со
ставления
предшеств
тов и под
не взаимо
ниями или

ЛИТЕ

1. Стрэй
Изд. «М
2. Пюль
стр. 80.
3. Хигас
Изд. «М
4. Мать
стр. 38.
5. Hofm
6. Fern
7. Giess
8. Kwia
9. Pullm
10. acta. 10
11. Купр
хим., 2
12. Veill
13. Naga
Soc. Ja
14. Пюль
стр. 12
15. Sund
16. Пюль
стр. 12
17. Iman
(1962)

но и с более общим эффектом, который вытекает из постулата о том, что скорость любой реакции



пропорциональна концентрации активированного комплекса $X_{\text{акт}}$, находящегося в равновесии с исходными продуктами. Константа этого равновесия, как обычно, выражается отношением активностей компонентов, и концентрация $X_{\text{акт}}$ зависит от коэффициентов активности и, следовательно, от ионной силы.

Исследование влияния ионной силы на скорость реакции в каждом конкретном случае может дать значительную информацию о механизме реакции. К сожалению, эффекты, связанные с изменением ионной силы, в реакциях оснований нуклеиновых кислот и их производных практически не изучались.

Таким образом, в данной главе мы рассмотрели некоторые вопросы, связанные с реакционной способностью оснований самих по себе и в составе нуклеозидов и моонуклеотидов. Изложенные представления могут быть использованы при изучении превращений предшественников нуклеиновых кислот, нуклеотидных коферментов и подобных им соединений, где гетероциклическое основание не взаимодействует или слабо взаимодействует с другими основаниями или ненуклеотидными веществами.

ЛИТЕРАТУРА

1. Стрэйтвизер Э., Теория молекулярных орбит для химиков-органиков, Изд. «Мир», 1965, стр. 242.
2. Пюльман Б., Пюльман А., Квантовая биохимия, Изд. «Мир», 1965, стр. 80.
3. Хигаси К., Баба Х., Рембаулг А., Квантовая органическая химия, Изд. «Мир», Москва, 1967, стр. 160.
4. Матье Ж., Алле А., Принципы органического синтеза, Издательство, 1962, стр. 38.
5. Hofman T. A., Ladic J., Adv. Chem. Phys., 7, 84 (1964).
6. Fernandez-Alonzo J. I., Adv. Chem. Phys., 7, 5 (1964).
7. Giessner-Prettre C., Pullman A., Theoret. chim. acta, 9, 279 (1968).
8. Kwiatkowski J. S., Theoret. chim. acta, 10, 47 (1968).
9. Pullman A., Kochanski E., Gilbert M., Denis A., Theoret. chim. acta, 10, 231 (1968).
10. Куприевич В. А., Данилов В. И., Шрамко О. В., Теор. и эксперим. хим., 2, 734 (1966).
11. Veillard A., Pullman B., J. Theoret. Biol., 4, 37 (1963).
12. Nagata C., Imamura A., Tagashira Y., Kodama M., Bull. Chem. Soc. Japan, 38, 1638 (1965).
13. Пюльман Б., Пюльман А., Квантовая биохимия, Изд. «Мир», 1965, стр. 125.
14. Sundaralingam M., Jensen L. H., J. Mol. Biol., 13, 930 (1965).
15. Пюльман Б., Пюльман А., «Квантовая биохимия», Изд. «Мир», 1965, стр. 128.
16. Imamura A., Fujita H., Nagata C., Bull. Chem. Soc. Japan, 40, 522 (1967).

17. Fraenkel G., Carter R. E., McLachlan A., Richards J. H., *J. Am. Chem. Soc.*, **82**, 5846 (1960).
18. Spiessche H., Schneider W. G., *Tetrahedron Letters*, **1961**, 468.
19. Shaefer T., Schneider W. G., *Canad. J. Chem.*, **41**, 966 (1963).
20. MacLean C., Mackor E. L., *Mol. Phys.*, **4**, 241 (1961).
21. Pullman B., *Tetrahedron Letters*, **1963**, 231.
22. Lykos P. G., Miller R. L., *Tetrahedron Letters*, **1963**, 1743.
23. Veillard A., *J. chim. phys.*, **59**, 1056 (1962).
24. Veillard A., Pullman B., *C. r.*, **253**, 2418 (1961).
25. Schweizer M. P., Chan S. J., Helmkamp G. H., Ts'o P. O. P., *J. Am. Chem. Soc.*, **86**, 696 (1964).
26. Стрэйтвизер Э., Теория молекулярных орбит для химиков-органиков, Изд. «Мир», 1965, стр. 135.
27. Berthod H., Pullman A., *J. chim. phys.*, **62**, 942 (1965).
28. Delre J., *J. Chem. Soc.*, **1958**, 4031.
29. Smith C. P., *Dielectric Behaviour and structure*, McGraw-Hill, N. Y., 1955.
30. DeVoe H., Tinico I. jr., *J. Mol. Biol.*, **4**, 500 (1962).
31. Berthod H., Giessner-Prettre G., Pullman A., *Theoret. chim. acta*, **5**, 53 (1966).
32. Berthod H., Giessner-Prettre G., Pullman A., *Theoret. chim. acta*, **8**, 212 (1967).
33. Стрэйтвизер Э., Теория молекулярных орбит для химиков-органиков, Изд. «Мир», 1965, стр. 225.
34. Пюльман Б., Пюльман А., *Квантовая биохимия*, Изд. «Мир», 1965, стр. 102, 172.
35. Коулсон Ч., *Валентность*, Изд. «Мир», 1965, стр. 254.
36. Стрэйтвизер Э., Теория молекулярных орбит для химиков-органиков, Изд. «Мир», 1965, стр. 231.
37. Коулсон Ч., *Валентность*, Изд. «Мир», 1965, стр. 268.
38. Стрэйтвизер Э., Теория молекулярных орбит для химиков-органиков, Изд. «Мир», 1965, стр. 166.
39. Пюльман Б., Пюльман А., *Квантовая биохимия*, Изд. «Мир», 1965, стр. 110 и 177.
40. Lifschitz C., Bergman E. D., Pullman B., *Tetrahedron Letters*, **1967**, 4583.
41. Janion C., Shugar D., *Acta Biochim. Polon.*, **15**, 261 (1968).
42. Janion C., Shugar D., *Biochem. Biophys. Res. Comm.*, **18**, 617 (1965).
43. Katritzky A. R., Lagowski J. M., in «*Advances in Heterocyclic chemistry*», v. I, Acad. Press, N. Y.—L., 1963, p. 312.
44. Mason S. F., *The Chemistry and Biology of Purines. A Ciba Foundation Symposium*, London, 1957, p. 60.
45. Карапетьянц М. X., *Химическая термодинамика*, Госхимиздат, 1953, стр. 46.
46. Данилов В. И., *Биофизика*, **12**, 540 (1967).
47. Trueblood K. N., Horn P., Luzzati V., *Acta cryst.*, **14**, 965 (1961); Shefter E. Trueblood K. N., *Acta cryst.*, **18**, 1067, (1965).
48. Shugar D., Fox J. J., *Biochim. Biophys. Acta*, **9**, 199 (1952).
49. Miles H. T., *Biochim. Biophys. Acta*, **22**, 247 (1956).
50. Miles H. T., *Biochim. Biophys. Acta*, **27**, 46 (1958).
51. Angell C. L., *J. Chem. Soc.*, **1961**, 504.
52. Сухоруков Б. И., Айказян В. Ц., Ершов Ю. А., *Биофизика*, **11**, 753 (1966).
53. Kokko J. P., Goldstein J. H., Mandell L., *J. Am. Chem. Soc.*, **83**, 2909 (1961).
54. Katritzky A. R., Waring A. J., *J. Chem. Soc.*, **1962**, 1540.
55. Paul M. A., Long F. A., *Chem. Rev.*, **57**, 1 (1957).

56. Spencer M., *Acta cryst.*, **12**, 59 (1959).
57. Brown D. J., Lyall J. M., *Austr. J. Chem.*, **15**, 851 (1962).
58. Hebne C., Rivail J. L., *C. r.*, **D264**, 861 (1967).
59. Ulbricht T. L. V., *Tetrahedron Letters*, **1963**, 1027.
60. Miles H. T., *J. Am. Chem. Soc.*, **85**, 1007 (1963).
61. Gatlin L., Davis J. C., *J. Am. Chem. Soc.*, **84**, 4464 (1962).
62. Miles H. T., Bradley B. R., Becker E. D., *Science*, **142**, 1569 (1963).
63. Pitha J., Beranek J., *Coll. Czech. Chem. Comm.*, **28**, 1507 (1963).
64. Ulbricht T. L. V., *J. Chem. Soc.*, **1965**, 6131.
65. Pithova P., Piskala A., Pitha J., Sorm F., *Coll. Czech. Chem. Comm.*, **30**, 1626 (1965).
66. Kenner G. W., Reese C. B., Todd A. R., *J. Chem. Soc.*, **1955**, 855.
67. Wempen J., Duschinsky R., Kaplan L., Fox J. J., *J. Am. Chem. Soc.*, **83**, 4755 (1961).
68. Brookes P., Lawley P. D., *J. Chem. Soc.*, **1962**, 1348.
69. Helene C., Hang A., Delbrück M., Douzou P., *C. r.* **259**, 3385 (1964).
70. Helene C., Douzou P., *C. r.*, **259**, 4853 (1964).
71. Brown D. M., Hewlins M. J. E., Schell P., *J. Chem. Soc., C*, **1968**, 1925.
72. Furberg S., Jensen L. H., *J. Am. Chem. Soc.*, **90**, 470 (1968).
73. Brown D. M., Hewlins M. J. E., *J. Chem. Soc., C*, **1968**, 2050.
74. Dupuy-Mamelle N., Pullman B., *J. chim. phys.*, **64**, 708 (1967).
75. Brown D. J., Mason S. F., *J. Chem. Soc.*, **1957**, 682.
76. Miles H. T., Howard F. B., Frazier J., *Science*, **142**, 1458 (1963).
77. Howard F. B., Miles H. T., *J. Biol. Chem.*, **240**, 801 (1965).
78. Miles H. T., *Biochim. Biophys. Acta*, **35**, 275 (1959).
79a. Watson D. G., Sutor D. J., Tollin P., *Acta cryst.*, **19**, 111 (1965);
79b. Steward R. F., Jensen L. H., *J. Chem. Phys.*, **40**, 2071 (1964).
80. Пюльман Б., Пюльман А., *Квантовая биохимия*, Изд. «Мир», 1965, стр. 189.
81. Albert A., *Heterocyclic Chemistry*, London, 1959, p. 336—346.
82. Cochran W., *Acta cryst.*, **4**, 81 (1951).
83. Sundaralingam M., *Acta cryst.*, **21**, 495 (1966).
84. Kraut J., Jensen L. H., *Acta cryst.*, **16**, 79 (1963).
85. Broomhead J. M., *Acta cryst.*, **1**, 324 (1948); *Acta cryst.*, **4**, 92 (1951).
86. Bugg C. E., Marih R. E., *J. Mol. Biol.*, **25**, 67 (1967).
87. Sundaralingam M., Jensen L. H., *J. Mol. Biol.*, **13**, 914, 930 (1965).
88. Marsh R. E., Bierstedt R., Eichhorn E. L., *Acta cryst.*, **15**, 310 (1962).
89. Dekker C. R., *Ann. Rev. Biochem.*, **29**, 453 (1960).
90. Tsuboi M., Kyogoku Y., Shimanouchi T., *Biochim. Biophys. Acta*, **55**, 1 (1962).
91. Jardetzky C. D., Jardetzky O., *J. Am. Chem. Soc.*, **82**, 222 (1960).
92. Danyluk S., Hruska F. E., *Biochemistry*, **7**, 1038 (1968).
93. Bullock F. J., Jardetzky O., *J. Org. Chem.*, **29**, 1988 (1964).
94. Katritzky A. R., Waring A. J., *J. Chem. Soc.*, **1963**, 3046.
95. Jardetzky O., Pappas P., Wade N. C., *J. Am. Chem. Soc.*, **85**, 1657 (1963).
96. Børresen H. C., *Acta Chem. Scand.*, **21**, 2463 (1967).
97. Clark L. B., Tinoco J., *J. Am. Chem. Soc.*, **87**, 11 (1965).
98. Fox J. J., Shugar D., *Biochim. Biophys. Acta*, **9**, 369 (1952).
99. Sinsheimer R. J., Nutter R. L., Hopkins G. R., *Biochim. Biophys. Acta*, **18**, 13 (1955).
100. Wempen J., Duschinsky R., Kaplan L., Fox J. J., *J. Am. Chem. Soc.*, **83**, 4755 (1961).

101. Fox J. J., Codington J. F., Yung N. C., Kaplan L., Lampen J. O., J. Am. Chem. Soc., **80**, 5155 (1958).
102. Clauwaert Y., Stockx Y., Z. Naturforsch., **23b**, 25 (1968).
103. Fox J. J., Wempen J., Hampton A., Doerr I. L., J. Am. Chem. Soc., **80**, 1669 (1958).
104. Cavalieri L. F., Fox J. J., Stone A., Chang N., J. Am. Chem. Soc., **76**, 1119 (1954).
105. Yung N. C., Burchenol J. H., Fecher R., Duschinsky R., Fox J. J., J. Am. Chem. Soc., **83**, 4060 (1961).
106. Fox J. J., Miller N., Wempen J., J. Med. Chem., **9**, 101 (1966).
107. Doerr J. L., Fox J. J., J. Org. Chem. **32**, 1462 (1967).
108. Fox J. J., Van Praag D., Wempen J., Doerr I. L., Cheong L., Knoll J. E., Eidinoff M. L., Bendich A., Brown G. B., J. Am. Chem. Soc., **81**, 178 (1959).
109. Матве Ж., Алле А., Принципы органического синтеза, Издательство, 1962, стр. 569.
110. Windmueller F., Kaplan N. O., J. Biol. Chem., **236**, 2716 (1961).
111. Mason S. F., The Chemistry and Biology of Purines. A Ciba Foundation Symposium, London, 1957, p. 66; J. Chem. Soc., 1954, 2071.
112. Тафт Р. У. мл., в кн. «Пространственные эффекты в органической химии», Издательство, 1960, стр. 562.
113. Пальм В. А., Основы количественной теории органических реакций, Изд. «Химия», 1967.
114. Wells P. R., Chem. Rev., **63**, 171 (1963).
115. Jaffe H. H., Jones H. L., in «Advances in Heterocyclic chemistry», Katritzky A. R. (eds), Acad. Press, N. Y.—L., 1964, p. 209.
116. Fox J. J., Yung N., Davall J., Brown G. B., J. Am. Chem. Soc., **78**, 2117 (1956).
117. Codington J. F., Doerr J. J., Fox J. J., J. Org. Chem., **29**, 558 (1964).
118. Tso P. O. P., Rappaport S. A., Bollum F. J., Biochemistry, **5**, 4153 (1966).
119. Janion C., Shugar D., Acta Biochim. Polon., **7**, 309 (1960).
120. Ono J., Wilson R. G., Grossman L., J. Mol. Biol. **11**, 600 (1965).
121. Johns H. E., LeBlanc J. C., Freeman K. B., J. Mol. Biol., **13**, 849 (1965).
122. Philips R., Eisenberg P., George P., Rutman R. J., J. Biol. Chem., **240**, 4393 (1965).
123. Edsall J. T., Wyman J., Biophysical Chemistry, Acad. Press. Inc., v. 1, New York, 1958, p. 441.
124. Физические методы в химии гетероциклических соединений, под ред. Катрицкого А. Р., Изд. «Химия», 1966.
125. Aylward N. N., J. Chem. Soc., B, **1967**, 401.
126. Lewin S., Humphreys D. A., J. Chem. Soc., B, **1966**, 210.
127. Сухоруков Б. И., Полтев В. И., Блюменфельд Л. А., ДАН СССР, **149**, 1380 (1963).
128. Ulbricht T. L. V., Comprehensive Biochemistry, **8**, 199, (1963).
129. Jordan D. O., The Chemistry of the Nucleic Acids, Butterworth, London, 1960, p. 134.
130. Levene P. A., Simms H. S., J. Biol. Chem., **65**, 519 (1925).
131. Bunvill L. G., Schwalbe S. J., Biochemistry, **5**, 3521 (1966).
132. Rawitscher M., Sturtevant J. M., J. Am. Chem. Soc., **82**, 3739 (1960).
133. Stockx J., Vandendriessche L., Biochim. Biophys. Acta, **72**, 137 (1963).
134. Пюльман Б., Пюльман А., Квантовая биохимия, Изд. «Мир», 1965, стр. 129.

135. Стрэйтвизер Э., Теория молекулярных орбит для химиков-органиков, Изд. «Мир», 1965, стр. 291.
136. Фуено Т., *Ann. Rev. Phys. Chem.*, **12**, 303 (1961).
137. Будовский Э. И., Свердлов Е. Д., Шибаета Р. П., Монастырская Г. С., Кочетков Н. К., *Мол. биол.*, **2**, 329 (1968).
138. Coburn W. C., Thorpe M. C., Montgomery J. A., Hewson K., *J. Org. Chem.*, **30**, 1110 (1965).
139. Coburn W. C., Thorpe M. C., Montgomery J. A., Hewson K., *J. Org. Chem.*, **30**, 1114 (1965).
140. Krupička J., Gut J., *Coll. Czech. Chem. Comm.*, **27**, 546 (1962).
141. Chambers R. W., *Biochemistry*, **4**, 219 (1965).
142. Hayatsu H., Takeishi K.-I., Ukita T., *Biochim. Biophys. Acta*, **123**, 445 (1966).
143. Wolfenden R. V., *J. Mol. Biol.*, **40**, 307 (1969).

ВТОРИЧНАЯ СТРУКТУРА НУКЛЕИНОВЫХ КИСЛОТ *

I. ВВЕДЕНИЕ

Свойства полимерных молекул нуклеиновых кислот определяются во многом взаимодействием между составляющими их компонентами, а именно: остатками фосфорной кислоты, углеводов и гетероциклических оснований. При этом свойства молекулы, которые определяются наличием большого числа отрицательно заряженных остатков фосфорной кислоты, ничем существенно не отличаются от свойств других полимерных анионов и в той мере, в какой это в настоящее время возможно, описываются в рамках электростатических представлений. Особые специфические свойства олиго- и полинуклеотидов в основном определяются взаимодействиями между основаниями. При этом возможны два типа взаимодействий;

1) взаимодействия между плоскостями циклов соседних оснований в одной цепи (межплоскостные, вертикальные, продольные взаимодействия); они реализуются и в одноцепочечных, и в двухцепочечных молекулах;

2) взаимодействия между основаниями, расположенными в одной плоскости в разных цепях (комплементационные взаимодействия); к таким относится, в частности, образование водородных связей.

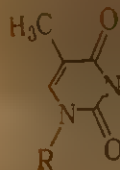
В данной главе мы рассмотрим различные типы взаимодействий, кратко останавливаясь на теоретических представлениях и на экспериментальных фактах, подтверждающих эти представления. Взаимодействия оснований друг с другом будут рассмотрены отдельно; эффекты, связанные с взаимодействием зарядов фосфатных групп, — в разделах, посвященных конкретным чертам вторичной структуры нуклеиновых кислот.

II. ОБЩИЕ ВОПРОСЫ ВЗАИМОДЕЙСТВИЯ ОСНОВАНИЙ НУКЛЕИНОВЫХ КИСЛОТ ДРУГ С ДРУГОМ

1. Комплементационные (поперечные) взаимодействия

В 1953 г. была выдвинута гипотеза Уотсона — Крика о двухспиральной структуре ДНК, согласно которой в противоположных це-

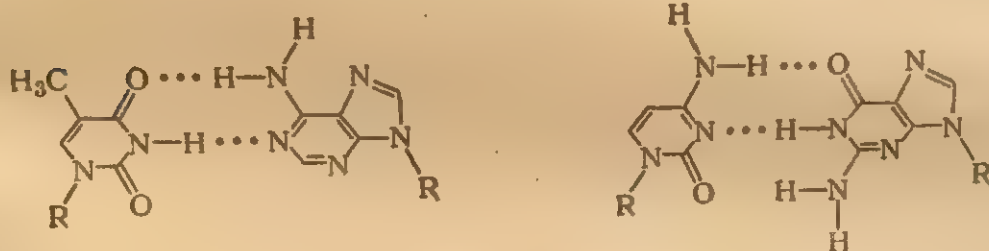
* См. примечание на стр. 16.



Специфи-
ном и Крик
периментал
виться, отм
доказательс
нуклеозид
фичности в
дов, будут
Взаимод
ся к рас
действием
собны к об
этому иссле
ниями про
таких, как
оксид и т.
твора иссле
ляются НК
анализ.

пях попарно связаны друг с другом основания аденин и тимин, гуанин и цитозин. Впоследствии было приложено немало усилий для теоретического обоснования и экспериментальных подтверждений именно этого, а не другого типа спаривания оснований, доказательства его специфичности и установления структуры пар, или, иными словами, определения взаимосвязанных атомов в комплементарных парах.

Уотсон и Крик¹ выдвинули идею о специфическом спаривании на основании имевшихся в их распоряжении данных о нуклеотидном составе различных ДНК. Из этих данных следовало, что отношения аденин:тимин и гуанин:цитозин близки к единице. Уотсон и Крик дали наиболее вероятную схему образования пар.



R—остаток дезоксирибозы

Специфичность спаривания оснований, предположенная Уотсоном и Криком, была впоследствии доказана многочисленными экспериментальными работами, на которых здесь следует остановиться, отметив сразу, что в этом разделе мы обсудим только те доказательства, которые были проведены на уровне нуклеотидов, нуклеозидов и оснований. Дополнительные доказательства специфичности взаимодействия, проведенные на уровне полинуклеотидов, будут обсуждены отдельно.

Взаимодействия между комплементарными основаниями относятся к разряду слабых взаимодействий и легко нарушаются под действием температуры или различных связей, в частности воды. Поэтому исследования специфичности взаимодействия между основаниями проводят, как правило, в органических растворителях, таких, как четыреххлористый углерод, хлороформ, диметилсульфат, оксид и т. д. или в кристаллических образцах, полученных из раствора исследуемой смеси. Основными методами исследования являются ИК- и ЯМР-спектроскопия, а также рентгеноструктурный анализ.

менее образование комплекса с производным цитидина выражено сильнее. Исследование состава образующегося комплекса, выполненное аналогично описанному выше (характерные частоты 3488 и 3300 см^{-1}), приводит к стехиометрическому отношению компонентов, равному 1:1.

Образование подобных комплексов представляет собой равновесную реакцию, и при уменьшении концентрации смеси равновесие сдвигается в сторону исходных компонентов. Так, при суммарной концентрации компонентов $1,5 \cdot 10^{-4}$ моль/л образования комплексов между 9-этиладенином и 2', 3', 5'-О-триацетилуридином, а также между 9-этиладенином и 3', 5'-О-диацетилтимидином в CDCl_3 обнаружить не удастся. Однако в этом же интервале концентраций 2', 3', 5'-О-триацетилгуанозин образует комплексы состава 1:1 с 1-метилцитозином, диметил-5-азацитозином и 2', 3', 5'-О-трибензоил-6-азацитидином⁵. Данное различие связано с большей энергией взаимодействия пары гуанин·цитозин по сравнению с парой аденин·урацил (см. ниже).

Образование водородно-связанных комплексов не было обнаружено в растворах смесей 9-этиладенина с 2', 3'-О-бензилиден-5'-О-тримитилцитидином и гуанозином в дейтерохлороформе при суммарных концентрациях компонентов 0,0016 и 0,0080 М, а также в смесях 2', 3'-О-бензилиден-5'-О-тримитилгуанозина с циклогексилурацилом в тех же условиях и при тех же суммарных концентрациях⁴.

Таким образом, производные оснований нуклеиновых кислот специфически взаимодействуют друг с другом, образуя предпочтительно водородно-связанные пары аденин·урацил и гуанин·цитозин*.

Спектры ЯМР. Как известно, в спектрах ЯМР различных соединений сигнал от протонов, участвующих в образовании водородных связей, сдвигается в сторону более слабых полей по сравнению с несвязанными протонами⁶. Использование этой закономерности для изучения специфичности образования водородно-связанных пар между основаниями нуклеиновых кислот⁷⁻⁹ приводит к подтверждению выводов, сделанных на основании ИК-спектров.

На рис. 4.2 в качестве примера приводится сопоставление спектров ЯМР 1-метилцитозина, 9-этилгуанина и их эквимольной смеси в диметилсульфоксиде. Из данных, приведенных на рисунке, следует, что в образовании водородных связей участвуют протоны аминогрупп цитозина и гуанина и иминогруппы гуанина. Аналогичные изменения в спектрах ЯМР по сравнению со спектрами индивидуальных оснований происходят при смешении в этом же

* Специфическое образование водородных связей наблюдалось также между 2', 3'-О-бензилиден-5'-О-тримитилцитидином и 2', 3'-О-бензилиден-5'-О-тримитилцитидином в растворах хлороформа⁸¹⁷.

растворителе 1-метилтимина и 9-этиладенина, 1-метилтимина и 2-аминоаденозина, тогда как при смешении неспецифических пар никаких изменений в спектрах не происходит и спектр смеси соответ-

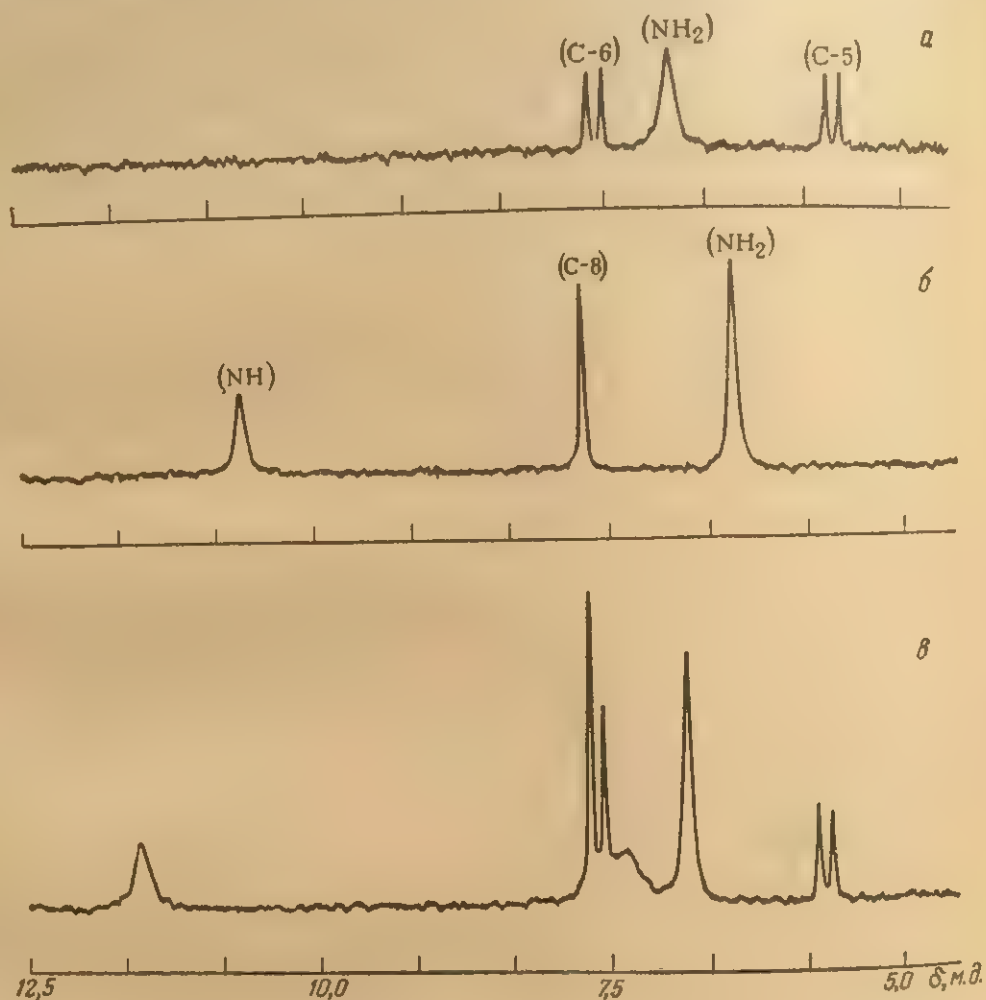


Рис. 4.2. Спектры протонного магнитного резонанса 1-метилцитозина (а), 9-этилгуанина (б) и их эквимольной смеси (в) в полностью дейтерированном диметилсульфоксиде. Суммарная концентрация компонентов во всех случаях 0,2 моль/л; 20° С.

ствует суммарному спектру индивидуальных оснований в соответствующих концентрациях^{7,8} (табл. 4.1).

Из результатов, представленных в табл. 4.1, видно, что величина изменения химического сдвига при смешивании растворов соответствующих оснований значительно меньше в случае образования пары 9-этиладенин + 1-метилтимин, чем в случае образова-

Таблица 4.1. Спектры пар оснований

Пары оснований

9-Этилгуанин + цитозин

9-Этиладенин + тимин

9-Этилгуанин + тимин

9-Этилгуанин + аденин

Из табл. 4.1 видно, что величина изменения химического сдвига при смешивании растворов соответствующих оснований значительно меньше в случае образования пары 9-этиладенин + 1-метилтимин, чем в случае образова-

Итак, со-
тствует о-
ний в полно-
о структуре
сделать выв-
показывают
участие ам-
нина. Это в

ния пары 9-этилгуанин + 1-метилцитозин. Это свидетельствует о более слабом взаимодействии между основаниями в первой паре.

Тот же вывод, но с еще большей очевидностью следует и из спектров ЯМР смесей нуклеозидов и их аналогов в различных растворителях⁸. Так, если гуанозин с цитидином сильно взаимодействуют в диметилсульфоксиде, то взаимодействие между 9-этиладенином и 1-циклогексилурацилом удастся наблюдать лишь в малополярных растворителях, например в дейтерохлороформе⁸. Тем не менее и в этом случае специфичность взаимодействия сохраняется. Следует отметить, что при высоких концентрациях наблюдается также незначительная гомоассоциация производных аденина и гуанина.

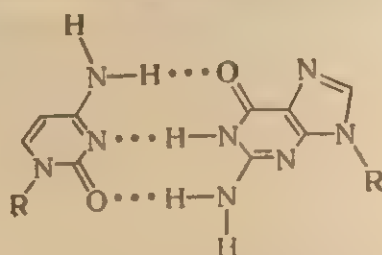
Таблица 4.1. Специфичность образования водородно-связанных пар оснований⁷ по данным ЯМР

Пары оснований	Концентрация оснований, моль/л	Температура, °C	Величина химического сдвига протонов группировок по сравнению с одним основанием, м. д.				
			NH	NH ₂	NH ₂	NH	NH ₂
			9-этилгуанина	1-метилцитозина	1-метилцитозина	1-метилтимина	9-этиладенина
9-Этилгуанин + 1-метилцитозин	0,1 + 0,1	40	0,5	0,24	0,29	—	—
	0,1 + 0,1	20	0,71	0,34	0,36	—	—
	0,2 + 0,2	40	0,7	0,34	0,46	—	—
	0,2 + 0,2	20	0,94	0,41	0,43	—	—
9-Этиладенин + 1-метилтимин	0,1 + 0,1	20	—	—	—	0,05	0,02
	0,2 + 0,2	20	—	—	—	0,08	0,02
9-Этилгуанин + 1-метилтимин	0,2 + 0,2	20	0,00	0,00	—	0,00	—
9-Этилгуанин + 9-этиладенин	0,2 + 0,2	20	0,02	0,00	—	—	0,00

Из табл. 4.1 видно также, что при увеличении концентрации компонентов и понижении температуры^{7,8} взаимодействие оснований усиливается.

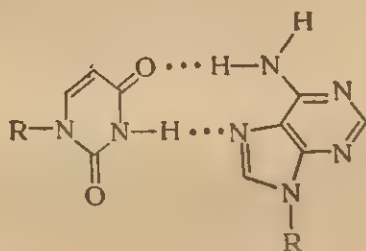
Итак, совокупность данных ИК- и ЯМР-спектроскопии свидетельствует о строгой специфичности при образовании пар оснований в полном соответствии с гипотезой Уотсона—Крика. Однако о структуре образующихся пар на основании этих данных можно сделать вывод лишь в случае пары гуанин·цитозин, где оба метода показывают^{5,7,8}, что в образовании водородной связи принимают участие аминогруппы гуанина и цитозина и иминогруппа гуанина. Это возможно только при условии, что структура пары

соответствует изображенной ниже структуре, которая была предложена Полингом¹⁰.

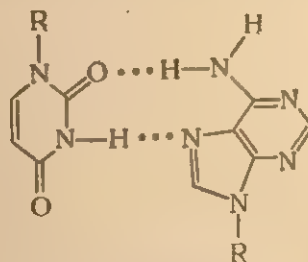


R—различные радикалы

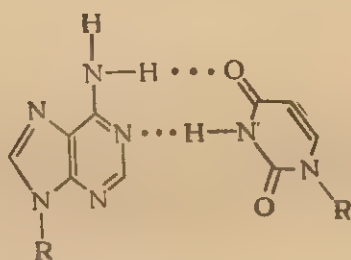
Более строго структура пар оснований может быть определена рентгеноструктурным методом, однако при этом, конечно, следует иметь в виду, что влияние сил упаковки в кристалле может внести изменения по сравнению со структурой этой же пары в растворе.



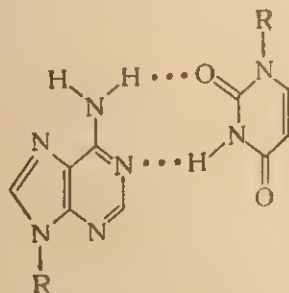
по Хугстину



по Хашемейеру
(„обратная“ структура по Хугстину)



по Уотсону и Крику



„обратная“ структура
по Уотсону и Крику

Рис. 4.3. Возможные структуры пары аденин·урацил (и их производных; названия парам даны по имени исследователей, расшифровавших их структуру — см. табл. 4.2.).

Рентгеноструктурный анализ*. Этим методом удалось установить структуру пар аденин·тимин и аденин·урацил (и их производных), для которых данные ИК- и ЯМР-спектроскопии не дают однозначных выводов.

* Обзор — см. ¹¹.

В органических
аденин·тимин
Из результатов
видно, что в
в кристаллах
лином в струк
аденин·урацил
отвечает струк
Хугстина, либо
лей в ядрах вз

Таблица 4.2. Обра
основания по дан

Компоненты
комплекс

9-Метиладенин +
+ 1-метилтимин
9-Этиладенин +
+ 1-метилурацил
9-Метиладенин +
+ 1-метил-5-
бромурацил
9-Этиладенин +
+ 1-метил-5-
фторурацил
Аденлин + 5-
бромуридин
9-Этиладенин +
+ 1-метил-5-
бромурацил
9-Этилгуанин +
+ 1-метилцитозин
9-Этилгуанин +
+ 1-метил-5-
бромцитозин
2'-Дезоксигуано-
зин + 5-бром-
дезокситидин
9-Этилгуанин +
+ 1-метил-5-
фторцитозин

Закрываю
бенностях эн
кристалличес

В принципе возможно существование четырех «изомерных» пар аденин·тимин или аденин·урацил (рис. 4.3).

Из рентгеноструктурных данных, приведенных в табл. 4.2, видно, что при взаимодействии производных гуанина и цитозина в кристаллах образуется пара в соответствии с предложенной Полингом¹⁰ структурой. Структура образующейся в кристаллах пары аденин·урацил (точнее, производных этих оснований) никогда не отвечает структуре Уотсона и Крика и соответствует либо модели Хугстина, либо модели Хашемейера (в зависимости от заместителей в ядрах взаимодействующих оснований).

Таблица 4.2. Образование водородно-связанных комплексов между парами оснований по данным рентгеноструктурного анализа

Компоненты комплекса	Атомные группы, участвующие в образовании водородной связи		Длина водородной связи, Å	Тип образующегося комплекса	Литература
	в пуриновом компоненте	в пиримидиновом компоненте			
9-Метиладенин + 1-метилтимин	6-экзо-NH ₂ N-7	4-экзо-О Н при N-3	2,85 2,92	По Хугстину	12
9-Этиладенин + 1-метилурацил	6-экзо-NH ₂ N-7	4-экзо-О Н при N-3	2,98 2,83	По Хугстину	13
9-Метиладенин + 1-метил-5-бромурацил	6-экзо-NH ₂ N-7	4-экзо-О Н при N-3	2,98 2,86	По Хугстину	14
9-Этиладенин + 1-метил-5-фторурацил	6-экзо-NH ₂ N-7	4-экзо-О Н при N-3	2,96 2,78	По Хугстину	15
Аденозин + 5-бромуридин	6-экзо-NH ₂ N-7	2-экзо-О Н при N-3	3,10 2,80	По Хашемейеру	16
9-Этиладенин + 1-метил-5-бромурацил	6-экзо-NH ₂ N-7	2-экзо-О Н при N-3	3,04 2,80	По Хашемейеру	17
9-Этилгуанин + 1-метилцитозин	6-экзо-О Н при N-1 2-экзо-NH ₂	4-экзо-NH ₂ N-3 2-экзо-О	2,93 2,91 2,82	По Уотсону и Крику	18, 19
9-Этилгуанин + 1-метил-5-бромцитозин	6-экзо-О Н при N-1 2-экзо-NH ₂	4-экзо-NH ₂ N-3 2-экзо-О	2,86 2,95 2,91	По Уотсону и Крику	20
2'-Дезоксигуанозин + 5-бром-дезокситидин	6-экзо-О Н при N-1 2-экзо-NH ₂	4-экзо-NH ₂ N-3 2-экзо-О	2,82 2,91 2,78	По Уотсону и Крику	21
9-Этилгуанин + 1-метил-5-фторцитозин	6-экзо-О Н при N-1 2-экзо-NH ₂	4-экзо-NH ₂ N-3 2-экзо-О	2,96 2,94 2,82	По Уотсону и Крику	19, 22

Заключаются ли причины такой схемы образования пары в особенностях энергетики взаимодействия оснований или в требованиях кристаллической упаковки, в настоящее время не вполне ясно.

Значительный интерес для понимания природы сил, стабилизирующих комплементарные пары, является также структура гомоассоциатов, поскольку образование комплементарных пар является реакцией, конкурирующей с образованием гомоассоциатов. На

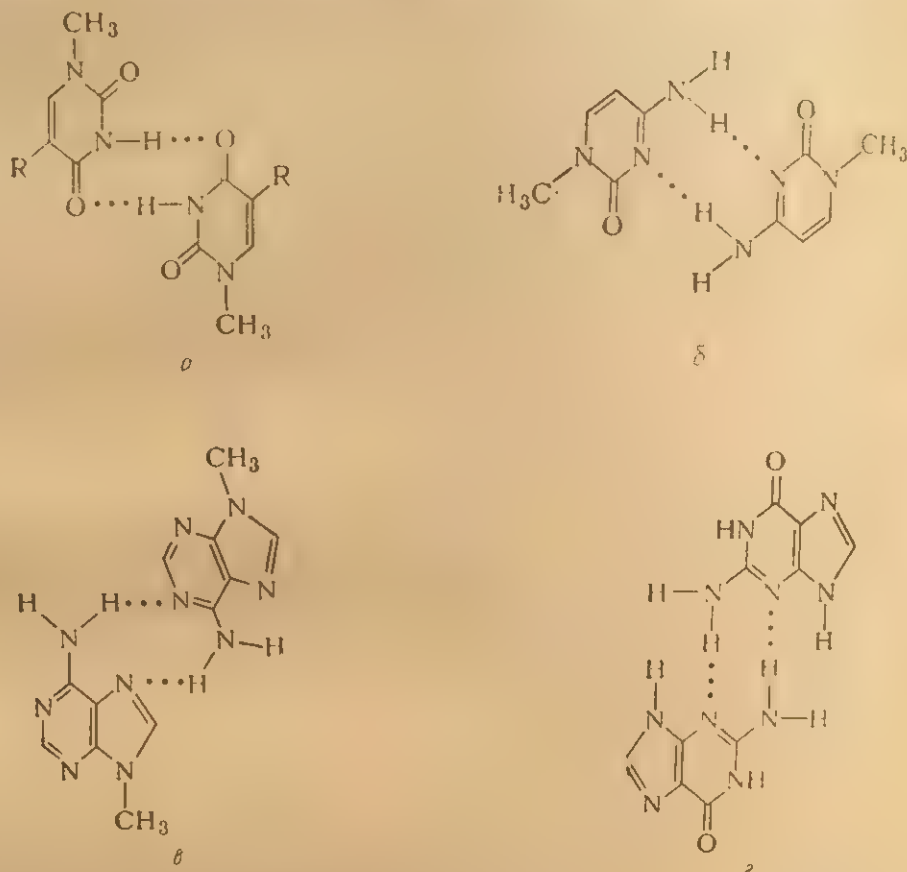


Рис. 4.4. Структуры гомоассоциативных димеров производных оснований в кристаллическом состоянии:

а — гомоассоциативный димер 1-метилтимина ($R = \text{CH}_3$) и 1-метилурацила ($R = \text{H}$)²³; б — 1-метилцитозина²⁴; в — 9-метиладенина²⁵; г — димер гуанина (по данным рентгенографии кристаллов гуанинийхлорида)²⁶.

рис. 4.4 приведены полученные на основе рентгеноструктурных данных²³⁻²⁷ структуры водородно-связанных димеров, образующихся при кристаллизации различных производных оснований нуклеиновых кислот (обсуждение см.²⁷). Во всех случаях образующиеся димеры связаны двумя водородными связями. Для ассоциатов урацила и аденина это положение сохраняется, по-видимому, и для растворов в дейтерохлороформе, как это явствует из термодинамических характеристик, полученных методом ИК-спектроскопии²⁸ (хотя структура комплексов в этой работе не доказывается).

Таким образом, как следует из приведенных качественных данных, во всех разобранных случаях образование комплементарных пар более выгодно, чем образование гомоассоциатов. Этот вывод подтверждается и количественными исследованиями констант ассоциации.

Количественные характеристики взаимодействия оснований при образовании водородно-связанных пар. Из данных ИК-спектров можно вычислить значения констант гомоассоциации различных производных оснований, а также констант образования водородно-связанных комплексов между комплементарными основаниями. Значения этих констант для некоторых соединений приводятся в табл. 4.3 и 4.4. Легко видеть, что константы образования комплементарных пар значительно выше констант гомоассоциации.

Таблица 4.3. Константы гомоассоциации ряда производных 1-циклогексилурацила и 9-этиладенина²⁹ (по данным ИК-спектров в дейтерохлороформе при 25°C)

Производное 1-циклогексилурацила	$K_{\text{ассоц.}}$ л/моль	Производное 9-этиладенина	$K_{\text{ассоц.}}$ л/моль
3-Метил-	0	6-экзо-N, N-Диметил-	0
5,6-Дигидро-	2,9	6-экзо-N-Метил-	1,5
4-Тио-	2,7	Незамещенный	3,1
Незамещенный	6,1	6-Дезамино-2-амино- (2-амино- пурин)	2,0
5-Метил	3,2	2-Амино-	11
5-Бром-	4,1	8-Бром-	120
5-Иод-	5,7		

Калориметрические определения дают для константы ассоциации между 1-циклогексилурацилом и 9-этиладенином величину 92 л/моль, тогда как величины констант гомоассоциации 1-циклогексилурацила и 9-этиладенина соответственно равны 19 и 13 л/моль³⁰. Меньшая величина констант гомоассоциации по сравнению с константами образования пар получена также³¹ при исследовании образования комплементарных пар между 2',3'-О-изопропилиден-5'-О-тритильными производными аденозина и уридина в CCl_4 . Однако в этом случае величина констант примерно в 10 раз выше, чем в CDCl_3 , что связано, очевидно, с меньшей полярностью CCl_4 и с его меньшей способностью к образованию водородных связей с растворенными веществами.

Значительно сильнее взаимодействие при образовании пары гуанин-цитозин (как это следует и из качественных данных). Приближенно оцененная величина константы образования комплекса между 1-метилцитозином и 2',3',5'-О-триацетилгуанозином⁵

составляет $\sim 10^5$ л/моль в CDCl_3 , что примерно в 1000 раз больше величины соответствующей константы пары аденин-урацил.

Таблица 4.4. Константы образования комплексов между производными 1-циклогексилурацила и 9-этиладенина²⁹ (по данным ИК-спектров в дейтерохлороформе при 25° С)

Пиримидиновое основание	$K_{\text{компл}}, \text{ л/моль}$					
	с 6-экзо- N, N-диметил-9-этил- аденином	с 6-экзо- N-метил-9-этилоде- нином	с 9-этил- аденином	с 2-ами- но-9- этил- пурином	с 2-амино-9- этиладенином	с 8-бром- 9-этил- адени- ном
3-Метил-1-цикло- гексилурацил	—	—	< 1	—	—	—
1-Циклогексил- 5,6-дигидроура- цил	—	15	30	10	100	—
1-Циклогексил-4- тиоурацил . . .	—	—	90	—	—	—
1-Циклогексил- урацил	1,5	50	100 (150 ± 50 ²⁴)	45	170 (300 ± 100 ²⁴)	140
1-Циклогексилти- мин	—	70	130	56	210	—
5-Бром-1-цикло- гексилурацил .	—	100	240 (350 ± 75 ²⁴)	75	550 (600 ± 150 ²⁴)	—
5-Иод-1-цикло- гексилурацил .	—	—	220	—	—	—

Сильная ассоциация наблюдается также между производными гипоксантина и цитозина. Константа ассоциации при 25° С в хлороформе для 2',3'-бензилиден-5'-О-трителинозина и 2',3'-бензилиден-5'-О-тритилцитидина, по данным ИК-спектров³¹⁷, составляет $2 \cdot 10^3$ л/моль.

Можно отметить следующие закономерности во влиянии заместителей на константу образования пар.

1. Введение метильных заместителей по N-3 в молекуле урацила или по экзоциклической аминогруппе аденина предотвращает образование пары; это означает, что в незамещенных соединениях протоны при N-3 участвуют в образовании водородной связи.

2. Насыщение в пиримидиновом цикле двойной связи C-5—C-6 резко уменьшает стабильность комплекса, что связано, возможно, с уменьшением положительного характера водорода при N-3 (как это следует из факта увеличения pK_a дигидроурацила по сравнению с урацилом; см. стр. 190) и соответственно с понижением тенденции к образованию водородной связи.

3. Определенных закономерностей в стабильности комплекса при введении заместителя в положение 5 урацильного остатка не

II. ОБЩИЕ ВО
наблюдаетс
торные за
комплекс
ными.

Особо н
сти между
Действител
урацила и
ных связей
чем гомоас
связей в к
урацила и
рина) посл
вопреки да
дует, что п
зуются три
плекса мно
Таким обр
комплекс
В настояш
лондоновск
плоскости

Теоре
стаби.

Рассмот
лит к необх
водородных
Удовлетвор
менных те
лондоновск
родными с
шего за сч
существуют
Первый
как два ди
лондоновск
ваемый ти
между дип
гого и дис
взаимодейс
дуцирован
модейств
Такой подх
поскольку

наблюдается. Так, и электронодонорный (CH_3), и электроноакцепторные заместители (Br , I) приводят к увеличению стабильности комплексов замещенных урацилов по сравнению с незамещенными.

Особо нужно подчеркнуть, что не существует прямой зависимости между числом водородных связей и стабильностью комплекса. Действительно, несмотря на то что и в димерных, гомоассоциатах урацила и аденина, и в комплексе аденин-урацил число водородных связей одинаково, комплекс пары значительно более стабилен, чем гомоассоциаты. Аналогично при одинаковом числе водородных связей в комплексе производных 2-аминопурина с производными урацила и в соответствующих комплексах аденина (6-аминопурина) последние являются в 2 раза более стабильными. Наконец, вопреки данным ИК-^{29, 32} и ЯМР-спектроскопии⁷, из которых следует, что при взаимодействии 2,6-диаминопурина и урацила образуются три водородные связи, стабильность возникающего комплекса много ниже, чем стабильность комплекса гуанин-цитозин. Таким образом, помимо числа водородных связей в стабилизации комплексов важную роль играют, по-видимому, и другие силы. В настоящее время принято считать, что это ван-дер-ваальсово-лондоновские взаимодействия между расположенными в одной плоскости основаниями.

Теоретическое рассмотрение проблемы стабильности водородно-связанных пар

Рассмотрение приведенных экспериментальных данных приводит к необходимости ответить на вопрос, почему при равном числе водородных связей одни ассоциаты более стабильны, чем другие. Удовлетворительный ответ может быть получен, исходя из современных теоретических представлений о роли ван-дер-ваальсово-лондоновских сил в стабилизации комплексов, образованных водородными связями. Для оценки энергии взаимодействия, возникающего за счет этих сил между основаниями, в настоящее время существуют два подхода.

Первый из них³³ рассматривает взаимодействующие основания как два диполя и в соответствии с этим под ван-дер-ваальсово-лондоновскими силами подразумевает суммарный эффект, вызываемый диполь-дипольными взаимодействиями, взаимодействиями между диполем одного основания и индуцированным диполем другого и дисперсионными (лондоновскими) взаимодействиями, т. е. взаимодействиями между флуктуационно-возникшим диполем и индуцированным им диполем. Дополнительный вклад в энергию взаимодействия вносят рассматриваемые независимо водородные связи. Такой подход дает возможность лишь для очень грубой оценки, поскольку основания в комплементарной паре расположены

слишком близко друг к другу, чтобы их можно было рассматривать как два независимых диполя.

Более корректным, по-видимому, является другой подход — рассматривать взаимодействие оснований в паре как суммарный эффект взаимодействия отдельных атомов одного основания с атомами другого. При этом под ван-дер-ваальсово-лондоновскими взаимодействиями подразумевается суммарный эффект кулоновского взаимодействия между частичными зарядами атомов двух оснований (соответствующие силы обозначают F_{pp}), взаимодействия между частичными зарядами атомов одного основания и индуцированными ими диполями в другом основании (F_{pz}) и, наконец, дисперсионные силы взаимодействия (лондоновские F_L) между флуктуационно-возникающим диполем на одном основании и индуцируемыми им диполями на другом. Общая энергия взаимодействия оснований E_m , таким образом, выразится суммой:

$$E_m = E_{pp} + E_{pz} + E_L$$

Каждая из этих составляющих энергетических величин может быть оценена независимо. Наибольший вклад в сумму вносит член E_{pp} , который рассчитывают исходя из вычисленного квантовохимически распределения частичных σ - и π -зарядов между атомами оснований (см. гл. 3).

В табл. 4.5 приводятся значения энергии взаимодействия между различными основаниями, вычисленные для экспериментально определенных конфигураций соответствующих гомоассоциатов или пар, а также для некоторых других вероятных (с точки зрения возможности образования водородных связей) конфигураций. Расчеты такого рода правильно предсказывают, что стабильность пар аденин·тимин по Хугстину и Хашемейеру (вторая и третья пары в табл. 4.5) выше, чем пары по Уотсону и Крику (первая пара в таблице), и выше стабильности любого из димерных гомоассоциатов аденина и тимина. Правильно предсказывается также значительнее более высокая стабильность пары гуанин·цитозин по сравнению с парой аденин·тимин и с любой из гомоассоциативных пар гуанина и цитозина. Это означает, что из мономерных единиц будет происходить преимущественное образование пар аденин·тимин и гуанин·цитозин по сравнению с образованием гомоассоциатов.

Энергия пар гуанин·тимин ($-7,40$ ккал/моль) и аденин·цитозин ($-7,75$ ккал/моль) ниже энергии образования гомоассоциатов гуанозина ($-14,52$ ккал/моль) и цитозина ($-12,97$ ккал/моль), т. е. образование гетерогенных пар в этом случае менее выгодно по сравнению с образованием гомоассоциатов. Расчеты также в основном правильно предсказывают структуру гомоассоциатов оснований в кристаллическом состоянии. Подобные результаты, но с учетом только электростатического взаимодействия получены также в работах ^{34, 35}.

II. ОБЩИЕ
Таблица
пар основ

Взаимодей-
основ

Аденин +

Гуанин +

Аденин +

Гуанин +

Тимин +

Цитозин +

Аденин +

Гуанин +

Прив-
рациям
точки зр
и другие
следить
носитель
ровав п
образом
вающее
стояние,
танные
взаим

Таблица 4.5. Энергетические характеристики взаимодействия пар оснований и гомоассоциатов²⁷

Взаимодействующие основания	Атомные группы, участвующие в образовании водородной связи		E_{pp}	E_{pa}	E_L	E_m
	в пуриновом компоненте	в пиримидиновом компоненте				
Аденин + тимин	N-1	H при N-3	-4,6	-0,2	-0,7	-5,5
	6-экзо-NH ₂	4-экзо-O				
	N-7	H при N-3	-5,9	-0,2	-0,9	-7,0
	6-экзо-NH ₂	4-экзо-O				
Гуанин + цитозин	N-7	H при N-3	-5,6	0,15	-0,9	-6,65
	6-экзо-NH ₂	2-экзо-O				
	2-экзо-NH ₂	2-экзо-O	-15,91	-2,02	-1,25	-19,18
	H при N-1	N-3				
Аденин + аденин	6-экзо-NH ₂	4-экзо-NH ₂	-5,23	-0,11	-0,45	-5,79
	N-1	N-1				
Гуанин + гуанин	H при N-1	6-экзо-O	-13,37	-0,62	-0,53	-14,52
	6-экзо-O	H при N-1				
	2-экзо-NH ₂	N-7	-5,79	-0,73	-0,63	-7,15
	N-7	2-экзо-NH ₂				
Тимин + тимин	H при N-3	4-экзо-O	-3,62	-0,38	-1,19	-5,19
	4-экзо-O	H при N-3				
	H при N-3	2-экзо-O	-2,61	-0,15	-1,10	-3,86
	2-экзо-O	H при N-3				
Цитозин + цитозин	N-3	4-экзо-NH ₂	-10,65	-1,09	-1,23	-12,97
	4-экзо-NH ₂	N-3				
Аденин + цитозин	6-экзо-NH ₂	N-3	-6,20	-0,59	-0,96	-7,75
	N-7	4-экзо-NH ₂				
Гуанин + тимин	H при N-1	2-экзо-O	-4,41	-0,50	-0,58	-5,49
	6-экзо-O	H при N-3				
	H при N-1	4-экзо-O	-6,24	-0,58	-0,58	-7,40
	6-экзо-O	H при N-3				

Приведенный расчет относится к уже фиксированным конфигурациям пар оснований и не исключает вероятности того, что с точки зрения энергии ван-дер-ваальсовых взаимодействий имеются и другие, более выгодные конфигурации. Поэтому интересно проследить за изменением энергии взаимодействия при изменении относительного положения оснований³³. Это можно сделать, фиксируя положение одного из оснований и, самым разнообразным образом меняя положение другого, поставив только одно ограничивающее условие: атомы оснований не должны сближаться на расстояние, меньшее суммы их ван-дер-ваальсовых радиусов. Рассчитанные энергии кулоновского взаимодействия в зависимости от взаимного расположения оснований имеют ярко выраженные

минимумы, соответствующие конфигурациям пар, связанных водородными связями. Следует отметить, что в расчетах такого рода не учитывается образование водородных связей между атомами и рассматриваются только электростатические взаимодействия. Тем не менее получающиеся наиболее стабильные конфигурации соответствуют традиционным конфигурациям связанных водородными связями пар.

Эти расчеты не учитывают эффектов, связанных с растворителем. Кроме того, здесь используются в качестве исходных данных суммарные σ - и π -электронные плотности, рассчитываемые квантовохимическим путем, что, как было показано в предыдущей главе, не очень точно*. Однако близкое соответствие экспериментальным данным позволяет сделать вывод, что в поперечном взаимодействии между основаниями главными стабилизирующими силами являются именно ван-дер-ваальсово-лондоновские силы.

III. ХАРАКТЕРИСТИКА ВЗАИМОДЕЙСТВИЯ ОСНОВАНИЙ НУКЛЕИНОВЫХ КИСЛОТ И ИХ ПРОИЗВОДНЫХ В ВОДНЫХ РАСТВОРАХ

Если в неводных растворах и в кристаллическом состоянии основания, нуклеозиды и нуклеотиды ассоциируют путем образования водородных связей, то в водных растворах взаимодействий между мономерными компонентами нуклеиновых кислот (и их аналогами) не наблюдается, как это следует, например, из изучения спектров комбинационного рассеяния смесей комплементарных нуклеозидов при концентрации 1,0 М³⁶. Тем не менее в водных растворах для мономеров наблюдается сильная ассоциация вертикального типа, при которой основания, располагаясь друг над другом в параллельных плоскостях, образуют «стопку» (межплоскостные взаимодействия). Ниже рассмотрены экспериментальные доказательства и кратко теоретическая трактовка этого типа взаимодействия.

1. Ассоциация и гомоассоциация оснований, нуклеозидов и нуклеотидов

Одной из первых работ, в которых было показано существование ассоциатов оснований и нуклеозидов, явилось исследование изменения давления пара раствора с изменением концентрации пурина, уридина и цитидина³⁷. В результате были определены константы равновесия ассоциации и установлено, что образуются на-

* Тем не менее расчеты взаимодействия между основаниями, выполненные с использованием различных распределений электронных плотностей (полученных с использованием различных методов разными авторами), дают близкие качественные картины зависимости энергии взаимодействия от взаимного расположения оснований³⁵.

боры а
ветств
получе
ного
можно

Таблица
(по данн

Инозин

1-Метил
Пурин
Рибозил

Аденозин
2'-О-Мет
2'-Дезок

6-Метил
6-экзо-N
6-экзо-N
6-экзо-N
Уридин

Цитидин
5-Бромур
Тимидин
2'-Дезокс
9-Метил
9-Этилпу
9-Изопро
9-трет-Бу
6-трет-Бу
2-трет-Бу
8-Изопро

* Зна
всимость
** Зна
*** Зна

1. А
наблюда
дах

адено

боры ассоциатов, содержащих различное число мономеров (в соответствии с серией равновесий). Константы равновесия ассоциации, полученные в этой работе, а также в последующих работах подобного рода³⁸⁻⁴⁰, приведены в табл. 4.6. Из сопоставления их величин можно сделать следующие выводы.

Таблица 4.6. Константы гомоассоциации оснований и нуклеозидов (по данным изменения давления пара водных растворов при 25° С)

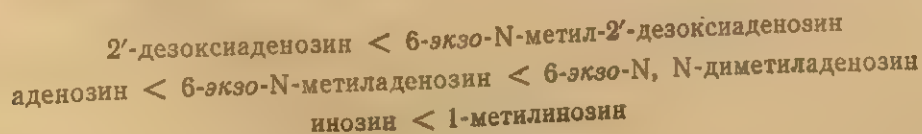
Соединение	$K_{ассоц}$ моль ⁻¹	Литера- тура
Инозин	3,0	40
	1,8 *	38
1-Метинозин	1,8-2,0	38
Пурин	2,1	37
Рибозилпурин	1,9	38
	3,5 **	40
Аденозин	4,5	38
2'-О-Метиладенозин	5,1	38
2'-Дезоксиаденозин	4,7-7,5	38
	12	40
6-Метилпурин	6,7	39
6-экзо-N-Метиладенозин	11,8-14,9	38
6-экзо-N-Метил-2'-дезоксиаденозин	15,9	38
6-экзо-N, N-Диметиладенозин	22,2	38
Уридин	0,61	38
	0,70	40
Цитидин	0,87	38
5-Бромуридин	1,0	39
Тимидин	0,91 ***	40
2'-Дезоксицитидин	0,91	40
9-Метилпурин	1,8	50
9-Этилпурин	2,06	50
9-Изопропилпурин	2,28	50
9-трет-Бутилпурин	2,49	50
6-трет-Бутилпурин	8,72	50
2-трет-Бутилпурин	9,18	50
8-Изопропилпурин	4,37	50

* Значение $K_{ассоц}$ определялось⁴⁰ также по изменению константы седиментации в зависимости от концентрации при ультрацентрифугировании и оказалось равным 2,0.

** Значение $K_{ассоц}$ определенное⁴⁰ по коэффициенту седиментации, равно 1,7.

*** Значение $K_{ассоц}$ определенное⁴⁰ по коэффициенту седиментации, равно 1,2.

1. Ассоциация вызвана не водородными связями, поскольку наблюдаемые изменения в величинах константы ассоциации в рядах



противоположны тем, которые должны наблюдаться при замещении на алкильную группу протонов, способных к образованию водородных связей.

2. Остаток сахара не оказывает значительного влияния на величину взаимодействия, как это следует из сравнения значений константы равновесия пурина, рибозилпурина, а также рибо-, дезоксирибо- и 2'-О-метилрибопроизводных, так что ассоциация является в основном специфическим свойством оснований.

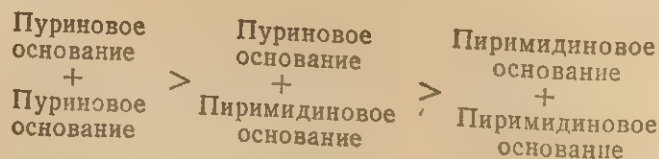
3. Введение метильного заместителя или галогена в гетероциклическое ядро увеличивает величину константы ассоциации.

Образование ассоциатов происходит также в растворах смесей нуклеозидов, однако по данным об изменении давления пара⁴⁰ нельзя оценить взаимодействие между различными основаниями. Константы ассоциации между различными основаниями можно определить по изменению растворимости одних оснований в присутствии других. Полученные таким путем значения приведены ниже (при 25,5 °C):

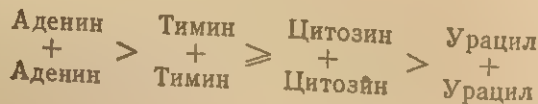
Взаимодействующая пара	$K_{ассоц}$ моль ⁻¹	Взаимодействующая пара	$K_{ассоц}$ моль ⁻¹
Аденин + пурин	9,3	Аденин + фенол	2,3—3,1
Аденин + цитозин	4,6—5,0	Тимин + пурин	1,6—2,3
Аденин + уридин	4,3—4,9	Тимин + уридин	1,1—1,2
Аденин + пиримидин	1,8—2,3	Тимин + пиримидин	0,8—0,9

Эти результаты показывают, что и в случае различных оснований образование водородных связей вряд ли играет существенную роль, поскольку константа взаимодействия между комплементарной парой аденин + урацил, например, не превосходит по величине константу гомоассоциации аденина, которую можно оценить по значению константы взаимодействия пары аденин + пурин.

Сопоставление приведенных выше данных по ассоциации между различными основаниями и данных по гомоассоциации (см. табл. 4.6) позволяет заключить, что в водных растворах степень ассоциации уменьшается в ряду



причем



Следует отметить также, что для гуанина гомоассоциация, по-видимому, выражена сильнее, чем для других оснований, как это следует из сильных отклонений свойств даже разбавленных растворов дезоксигуанозина от идеальных⁴⁰. Введение фосфатного остатка не предотвращает гомоассоциации, о чем можно судить, например, по результатам изучения седиментационных равновесий растворов аденозин-5'-фосфата⁴¹.

Совокупность рассмотренных данных, таким образом, дает информацию о степени взаимодействия между основаниями, но не позволяет ничего сказать о взаимном расположении взаимодействующих оснований в образующемся комплексе. Информация такого рода может быть получена на основе анализа изменения спектров ЯМР растворов различных пуриновых и пиримидиновых производных в D₂O в зависимости от их концентрации (см. ниже).

2. Термодинамические константы гомоассоциации пуриновых и пиримидиновых производных

Для некоторых пуриновых и пиримидиновых производных рассчитаны энтальпии и энтропии гомоассоциации^{42, 43}. Эти величины приведены в табл. 4.7.

Таблица 4.7. Термодинамические константы гомоассоциации некоторых пуриновых и пиримидиновых производных (в воде при 25° С)

Соединение	ΔH , ккал/моль	Литера- тура	ΔS , э. е.	Литера- тура	ΔF , ккал/моль	Литера- тура
Пурин	$-4,2 \pm 0,2$	42	-13	42	-0,44	39
6-Метилпурин . .	$-6,0 \pm 0,4$	42	-16	42	-1,12	39
Пуринрибозид . .	$-2,5 \pm 0,1$	43	-7	43	-0,380	38
Дезоксиаденозин	$-3,7 \pm 0,6$	43	-7	43	-1,5	40
Цитидин	$-2,8 \pm 0,1$	43	-10	43	0,080	37
Уридин	$-2,7 \pm 0,1$	43	-10	43	0,290	37

Легко видеть, что нет корреляции между изменениями свободной энергии взаимодействия и энтальпийными изменениями. Все соединения имеют значительно различающиеся величины энтропии гомоассоциации.

3. Концентрационные изменения оптических свойств растворов мономерных компонентов нуклеиновых кислот

Взаимодействие оснований в водных растворах приводит также к отклонению оптических свойств таких растворов от аддитивности. Так, например, при увеличении концентрации растворов

дезоксиаденозина наблюдается⁴⁰ заметное уменьшение мольного коэффициента экстинкции * (рН 6, 7):

C , моль/л	$\epsilon_{259,5} \text{ м.мк.} \cdot 10^{-3}$	$\epsilon_{207} \text{ м.мк.} \cdot 10^{-3}$	C , моль/л	$\epsilon_{259,5} \text{ м.мк.} \cdot 10^{-3}$	$\epsilon_{207} \text{ м.мк.} \cdot 10^{-3}$
$2,75 \cdot 10^{-4}$	15,3	21,0	$2,36 \cdot 10^{-2}$	13,9	—
$7,64 \cdot 10^{-3}$	15,0	—	$3,04 \cdot 10^{-2}$	13,7	—
$1,02 \cdot 10^{-2}$	14,4	20,0	$4,25 \cdot 10^{-2}$	13,2	19,3
$2,06 \cdot 10^{-2}$	14,1	19,9	$4,50 \cdot 10^{-2}$	13,1	—

Эти данные свидетельствуют об образовании гомоассоциатов.

4. Концентрационные изменения спектров ЯМР растворов оснований и нуклеозидов

При увеличении концентрации пуриновых производных в водных растворах наблюдаются заметные сдвиги сигналов протонного резонанса в сторону сильных полей, причем величина сдвига тем

Таблица 4.8. Зависимость величин химического сдвига протонов от концентрации соединений в D_2O ³⁸ (изменение концентрации от 0 до 0,2 М; частота генератора 60 Мгц)

Соединение	Температура, °С	$\Delta\delta$, гц					$K_{асс.он.}$ моль ⁻¹
		протоны при С-2	протоны при С-8	протоны при С-6	протоны при С-1'	протоны СН ₃	
Инозин	32	6,4	5,3	—	7,1	—	—
1-Метилинозин	33	8,9	6,4	—	6,8	5,3	1,8—2
Пурин	25—27	12,6	9,6	14,2	—	—	2,1
6-Метилпурин	25—27	19,4	13,3	—	—	17,0	6,7
Рибозилпурин	30	10,7	6,4	13,1	8,8	—	1,9
Аденозин *	32	14,8	8,3	—	6,9	—	4,5
2'-Дезоксиаденозин	30	19,8	13,0	—	13,6	—	4,7—7,5
6-экзо-N-Метил-2'-дезоксиаденозин	32	26,0	15,8	—	14,0	15,2	15,9
6-экзо-N,N-Диметиладенозин	28	27,2	14,5	—	14,4	25,5	22,2
6-экзо-N-Метиладенозин	26	32,8	17,5	—	12,6	18,1	11,8—14,9
2'-Дезоксиаденозин *	30	14,8	10,0	—	9,8	—	4,7—7,5
2'-О-Метиладенозин	31	13,7	7,5	—	8,8	—	5,1
3'-Дезоксиаденозин *	25	15,8	9,0	—	9,6	—	—

* Изменение концентрации от 0 до 0,1 М.

* Ассоциация с изменением адсорбции и дисперсии оптического вращения описана также для гуанозин-3'- и гуанозин-5'-фосфатов^{44, 45}, изогуанозина⁴⁶. Однако в этих случаях, по-видимому, помимо чистого взаимодействия между плоскостями оснований происходит образование высокополимерных комплексов, связанных водородными связями.

больше, чем больше значение константы ассоциации данного основания (табл. 4.8). Эти эффекты уменьшаются при повышении температуры^{47, 48, 50}, при замене воды органическими растворителями⁴⁷ и при протонировании⁴⁷.

Наблюдаемые явления объясняются образованием комплексов, в которых основания уложены в стопки, так что плоскость одного основания параллельна плоскости другого⁴⁷⁻⁵¹. При такой конформации комплексов протоны каждого из оснований должны быть дополнительно экранированы за счет магнитной анизотропии, вызываемой токами кольца другого основания. В случае растворов пиримидиновых производных этот эффект не обнаруживается⁴⁹, но в присутствии пуриновых производных такие сдвиги сигналов протонов пиримидинов в сторону сильных полей наблюдаются. В свою очередь, пиримидиновые производные уменьшают сдвиги, вызываемые взаимодействием пуриновых оснований⁴⁹.

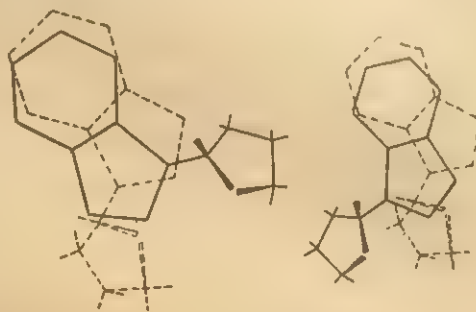


Рис. 4.5. Схематическое изображение вероятных „средних“ конформаций при взаимодействии пуриновых нуклеозидов в водных растворах (пунктиром изобраен нуклеозид, удаленный от наблюдателя)³⁸.

Из данных ЯМР можно получить некоторые сведения о конформации образующихся комплексов^{38, 48, 50} (речь идет о средней конформации, поскольку энергии ассоциации имеют порядок величины kT и, следовательно, комплексы, обладающие разной конформацией, быстро превращаются друг в друга). Из табл. 4.8 видно, что $\Delta\delta$ протонов при C-2 существенно выше, чем для протонов при C-8 или C-1' во всех исследованных соединениях. Это, очевидно, вызвано тем, что существует какой-то предпочтительный тип взаимодействия оснований с определенным положением их относительно друг друга в стопке. Наиболее вероятные конформации, объясняющие наблюдаемые различия в химических сдвигах протонов в нуклеозидах, изображены на рис. 4.5. Однако, по-видимому, существуют и другие способы взаимодействия оснований (см. ^{48, 50}).

5. Изменение свойств оснований, входящих в состав олигонуклеотидов, по сравнению с мономерными соединениями

Межплоскостные взаимодействия оснований еще более сильны, когда основания входят в состав олиго- и полинуклеотидов. Основным критерием таких взаимодействий в олигонуклеотидах является

отклонение оптических свойств от аддитивности, т. е. от картины, получаемой при суммировании соответствующих характеристик составляющих мономеров. Это отклонение четко прослеживается уже на простейших олигонуклеотидах — динуклеозидмонофосфатах (присутствие второй фосфатной группы оказывает незначительное влияние на оптические свойства). В этих соединениях по стерическим соображениям невозможно образование внутримолекулярной водородной связи между основаниями, и поскольку наблюдаемые эффекты не зависят от концентрации *, то нет и межмолекулярной ассоциации. Следовательно, изменение оптических свойств обусловлено внутримолекулярным взаимодействием оснований — путем образования стопки.

Гипохромный эффект. В квантовой механике взаимодействие света с веществом связано с определенным для каждого вещества вектором μ , называемым моментом перехода. Величина и направление этого вектора зависят от волновой функции состояния, в котором электрон находился до взаимодействия (основное состояние), и от волновой функции состояния, в которое электрон перешел под влиянием светового кванта (возбужденное состояние).

Поглощается только та часть света, электрический вектор которой параллелен моменту перехода. Интенсивность поглощения зависит от абсолютной величины $[\mu]$. В классическом представлении взаимодействующую со светом молекулу можно представить в виде осциллятора, колеблющегося в направлении вектора момента перехода, и считать, что энергия поглощенного света расходуется на увеличение энергии колебаний осциллятора. Если две молекулы находятся в непосредственной близости друг от друга, причем их положения фиксированы, то за счет взаимодействия моментов перехода (или в классическом представлении — осцилляторов) оптические свойства каждой из этих молекул должны измениться (см., например, ⁵²⁻⁵⁴). Это проявляется прежде всего в изменении интенсивности поглощения и смещении максимума адсорбции, которые зависят от взаимного расположения осцилляторов. В определенной величине угла ϕ между ними интенсивность поглощения в длинноволновой области должна уменьшаться **.

Уменьшение интенсивности поглощения можно характеризовать с помощью так называемой процентной гипохромии h , определяемой формулой ⁵⁶

$$h = \left(1 - \frac{\epsilon_d(\lambda)}{\epsilon_m(\lambda)} \right) 100 \quad (1)$$

* Независимость от концентрации наблюдается в интервале концентраций $10^{-4} - 10^{-5}$ моль/л, используемых для оптических определений. При более высоких концентрациях порядка $(10^{-3} - 10^{-1})$ моль/л, которые применяются для исследований методом ЯМР, наблюдается ассоциация олигонуклеотидов ^{318, 319}.

** Подробнее см. в сборнике «Физические методы исследования белков и нуклеиновых кислот», под ред. Лазуркина Ю. С., Изд. «Наука», 1967, стр. 113.

где $\epsilon_d(\lambda)$ и $\epsilon_m(\lambda)$ — мольные коэффициенты экстинкции динуклеозидмонофосфата и эквимольной смеси входящих в его состав мономеров.

Длину волны λ обычно выбирают соответствующей максимуму поглощения динуклеозидмонофосфата. Другой величиной, с помощью которой характеризуют уменьшение интенсивности поглощения, является процентный гипохромизм H , определяемый⁵⁶ формулой

$$H = \left(1 - \frac{f_d}{f_m}\right) 100 \quad (2)$$

Здесь f_d и f_m — так называемые силы осцилляторов, которые непосредственно связаны с величиной момента перехода μ и могут быть вычислены теоретически или определены экспериментально из площади пика поглощения, соответствующего данному электронному переходу в спектре, по формуле

$$f = 4,32 \cdot 10^{-2} \int_{\lambda_1}^{\lambda_2} \frac{\epsilon(\lambda)}{\lambda^2} d\lambda \quad (3)$$

где λ_1 — длина волны минимума поглощения в коротковолновой области; λ_2 — длина волны в длинноволновой области, при которой $\epsilon(\lambda)$ становится равной нулю.

Гипохромные эффекты в динуклеозидмонофосфатах различного состава хорошо известны⁵⁵⁻⁶². В табл. 4.9 в качестве примера приводятся процентная гипохромия и процентный гипохромизм всех 16 возможных обычных динуклеозидмонофосфатов при трех значениях рН⁵⁶. Видно, что во всех случаях наблюдается заметное понижение адсорбции УФ-света по сравнению с составляющими мономерами. Если оба основания в динуклеозидфосфате при данном рН заряжены одинаково, можно ожидать, что взаимодействия между ними не будет из-за отталкивания одноименных зарядов. И действительно, в большинстве случаев, наблюдается уменьшение гипохромных эффектов при протонировании или депротонировании обоих оснований в динуклеозидмонофосфате, хотя имеются и не совсем понятные исключения, когда гипохромия при этом возрастает (UrU и GrU при рН 7 и 11,5 соответственно).

При повышении температуры оптическая плотность увеличивается и поглощение динуклеозидфосфатов становится равным или по крайней мере близким суммарному поглощению смеси компонентов той же концентрации^{55, 57, 60, 61}. Это также означает, что между основаниями в динуклеозидфосфатах существует определенное взаимодействие.

Наличие гипохромного эффекта свидетельствует о взаимодействии оснований, однако его отсутствие еще не означает, что взаи-

модействия нет, и попытки ряда авторов по величине гипохромного эффекта разделить основания на способные и неспособные к меж-плоскостному взаимодействию^{56, 59} мало обоснованы. Это относится также к данным, полученным с помощью измерения дисперсии оптического вращения и циркулярного дихроизма (см. ниже).

Таблица 4.9. Процентный гипохромизм H и процентная гипохромия h динуклеозидмонофосфатов * при различных рН (25° С, ионная сила 0,1)⁵⁶

Соединение	H , %	h , %	H , %	h , %	H , %	h , %
	при рН 1		при рН 7		при рН 11,5	
GrC	(6,8)	(10,7)	7,2	8,7	4,4	6,0
CrG	(6,8)	(9,8)	6,2	3,2	5,4	9,2
UrG	6,5	5,6	7,6	5,3	(3,0)	(4,2)
GrU	4,9	6,2	-1,2	2,4	(0)	(4,3)
UrA	3,0	3,3	1,4	3,0	1,7	1,5
ArU	2,7	3,0	1,6	5,0	0	3,8
GrA	(2,7)	(3,7)	6,0	7,6	2,9	5,8
ArG	(1,4)	(3,0)	2,6	5,8	1,3	4,0
CrU	1,5	2,7	4,2	6,3	4,2	4,0
UrC	-0,3	3,2	0,7	2,4	1,2	1,8
ArC	(0)	(1,8)	7,3	7,6	9,7	9,0
CrA	(-2,3)	(-1,0)	5,2	7,8	6,3	6,5
ArA	(-0,5)	(0,3)	6,8	9,4	7,4	9,4
CrC	(-5,5)	(0,1)	4,9	7,2	5,7	7,2
GrG	(-1,0)	(0,5)	9,1	6,9	(4,4)	(-0,8)
UrU	-2,0	3,0	-3,6	1,7	(0,8)	(2,5)

* В скобки взяты величины для соединений, в которых оба основания при данном значении рН заряжены.

Обращает на себя внимание различная величина гипохромных эффектов изомерных динуклеозидфосфатов. Возможно, что в данном случае взаимное расположение оснований в стопке для двух изомеров различно.

Дисперсия оптического вращения и круговой дихроизм. Еще более заметны изменения свойств оснований в составе олигонуклеотидов (по сравнению с мономерными компонентами) при сопоставлении кривых дисперсии оптического вращения и кругового дихроизма в ультрафиолетовой области.

Большая часть доступных в настоящее время данных относится к динуклеозидмонофосфатам и тринуклеозиддифосфатам. Показано, что наличие концевой фосфатной группы в положении 5' мало

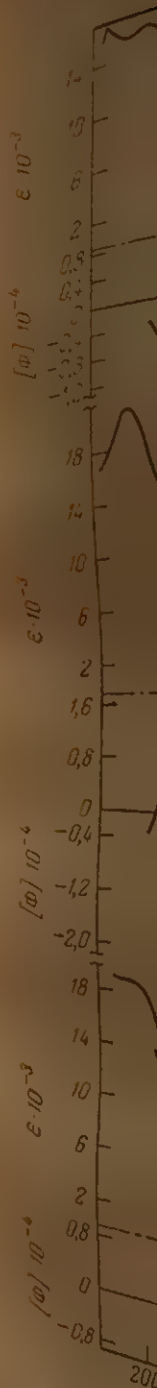


Рис. 4.6. Кривые дисперсии оптического вращения и кругового дихроизма ряда нейтральных нуклеотидов.

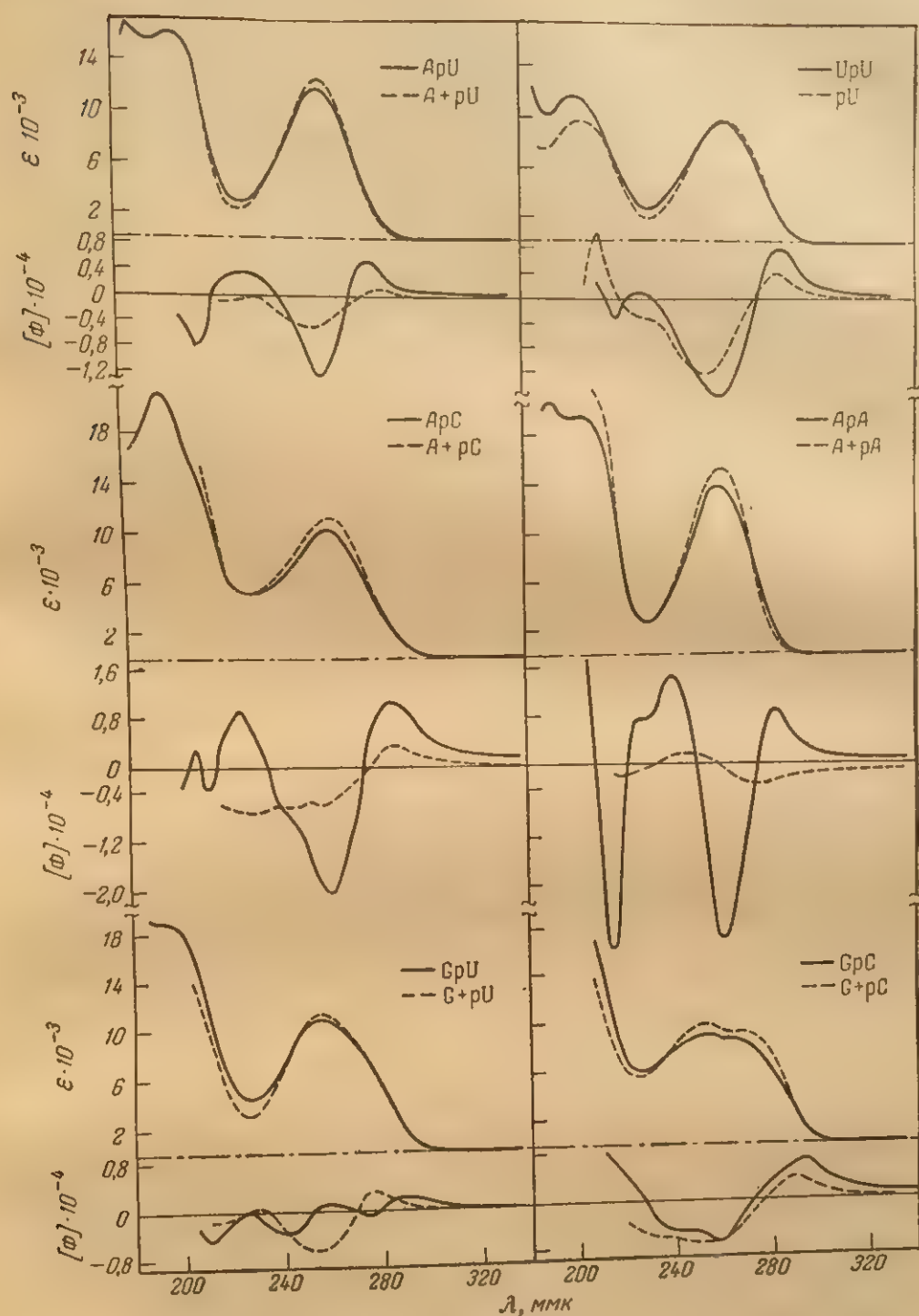


Рис. 4.6. Кривые оптической плотности и дисперсии оптического вращения ряда динуклеозидмонофосфатов и их мономерных составляющих при нейтральных значениях pH²³⁶.

сказывается на спектре кругового дихроизма и стабильности ассоциации в динуклеозидмонофосфатах ^{327, 340}, в то время как 3'-концевая фосфатная группа существенно влияет и на спектр кругового дихроизма ^{327, 319} и на дисперсию оптического вращения ³²⁹ динуклеозидмонофосфатов, заметно ослабляя взаимодействие оснований в них ³²⁷.

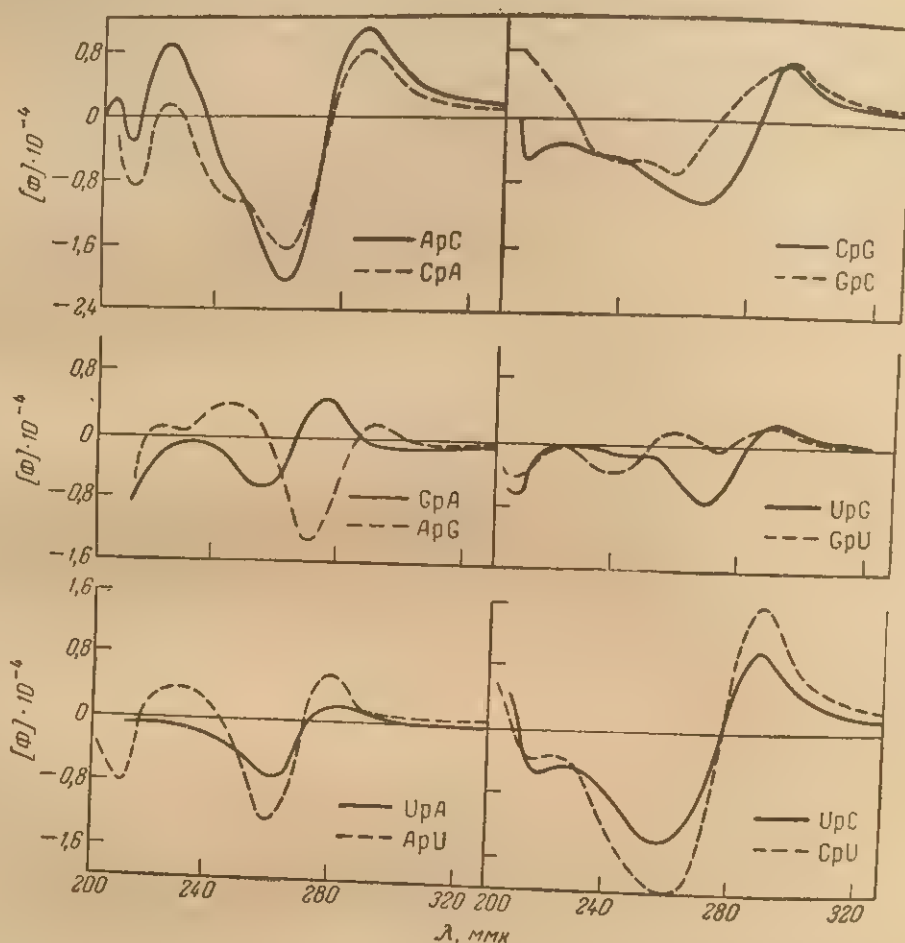


Рис. 4.7. Кривые дисперсии оптического вращения изомерных динуклеозидмонофосфатов при нейтральных значениях pH ⁵⁶.

На рис. 4.6 приводятся кривые оптической плотности и дисперсии оптического вращения для некоторых динуклеозидмонофосфатов в сопоставлении с дисперсией оптического вращения суммы компонентов ⁵⁶. Легко видеть, что эти кривые различаются как интенсивностью вращения, так и своей формой. По форме кривой отличаются друг от друга также изомеры с разной последовательности оснований (рис. 4.7). Эти эффекты не зависят от концентрации. С повышением температуры кривая дисперсии оптического вращения олигонуклеотида приближается к кривой дисперсии оп-

III ВЗМ
тическ
наблюд
возмо
зи
что дис
рН, при
вания в
За м
зидфос
максим
и сумм
симости
приводя
фосфате
такой э
сия оп
ниями
Из
лать о
Таблица
при разл
Соеди
нение
GpC
CpG
UpG
GpU
UpA
ApU
GpA
ApG
CpU
UpC
ApC
CpA
ApA
CpC
GpG
UpU
В ско
чений рН за

тического вращения^{56, 61} суммы мономеров. Подобные эффекты наблюдаются и для тринуклеозиддифосфатов, где также вряд ли возможно образование внутримолекулярной водородной связи⁶³⁻⁶⁶. Как и в случае гипохромного эффекта, можно ожидать, что дисперсия оптического вращения будет меняться с изменением рН, приближаясь к дисперсии суммы мономеров, когда оба основания в динуклеозидфосфате заряжены.

За меру отклонения дисперсии оптического вращения динуклеозидфосфата от аддитивности можно принять абсолютную величину максимальной разницы $[\Phi_d - \sum \Phi_m]$ вращения динуклеозидфосфата и суммы мономеров, которая определяется путем построения зависимости $[\Phi_d - \sum \Phi_m]$ от длины волны λ . Из данных табл. 4.10, где приводятся величины этой разности для разных динуклеозидмонофосфатов при трех различных значениях рН, можно заключить, что такой эффект действительно наблюдается. Таким образом, дисперсия оптического вращения также показывает, что между основаниями в динуклеотидах существует определенное взаимодействие.

Из данных по дисперсии оптического вращения можно сделать определенные выводы относительно взаимной ориентации

Таблица 4.10. Значения $[\Phi_d - \sum \Phi_m]$ динуклеозидмонофосфатов при различных рН (25° С, ионная сила 0,1)⁵⁶

Соединение	$[\Phi_d - \sum \Phi_m] \cdot 10^{-4}$ при рН 1	λ , мкм	$[\Phi_d - \sum \Phi_m] \cdot 10^{-4}$ при рН 7	λ , мкм	$[\Phi_d - \sum \Phi_m] \cdot 10^{-4}$ при рН 11,5	λ , мкм
GpC	(1,1) *	265	0,38	293	0,31	276
SpG	(0,30)	265	0,68	273	0,59	273
UpG	0,32	257	0,90	273	0,16	270; 250
GpU	1,62	257	0,74	255	0,17	251
UpA	0,23	263	0,32	267	0,03	262
ApU	0,18	262	0,80	261	0,37	262
GpA	(0,31)	275	0,76	277	0,16	265
ApG	(0,45)	273	1,08	270	0,75	258
SpU	0,70	272	1,22	265	0,78	267
UpC	0,49	275	0,57	267	0,22	270
ApC	(0,28)	270	1,52	265	1,33	264
SpA	(0,11)	270	1,11	263	1,11	265
ApA	(0,36)	257	2,86	260	2,72	260
SpC	(0,43)	280	1,61	272	1,57	271
GpG	(0,58)	253	0,66	249	(0)	—
UpU	0,67	263	0,67	264	(0,19)	240

* В скобки взяты величины для соединений, в которых оба основания при данном значении рН заряжены.

оснований в динуклеозидфосфатах. Теоретические расчеты эффекта дисперсии оптического вращения⁶⁷, выполненные в предположении, что основания в динуклеозидфосфате образуют правовращающую спираль с углом поворота $\gamma \approx 36^\circ$, как это изображено на рис. 4.8, дают качественно верную картину дисперсии, тогда как левовращающая спираль дает противоположный знак эффекта Коттона.

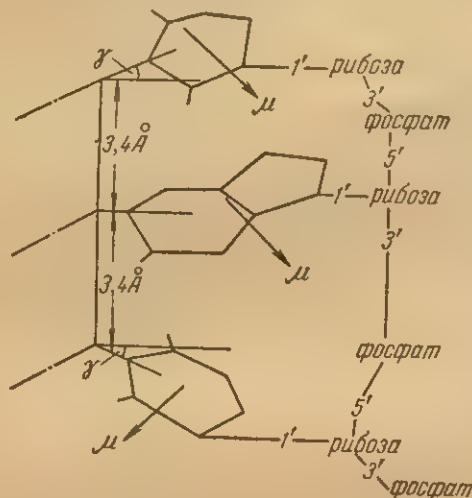


Рис. 4.8. Схематическое изображение возможного расположения оснований в олигонуклеотиде (показан тринуклеотидный фрагмент), вытекающее из сопоставления расчетных и экспериментальных данных дисперсии оптического вращения. Правовращающая спираль ($\gamma > 0$)⁶⁷.

существует межплоскостное взаимодействие. Такое взаимодействие, например, ярко проявляется в спектре ЯМР аденилиладенозинциклофосфата (рис. 4.10). При 5°C наблюдаются четыре сигнала от протонов динуклеотида, что свидетельствует о неравноценном расположении оснований в комплексе. Кроме того, сигналы сдвинуты в сторону сильных полей по сравнению с адениловой кислотой, что должно наблюдаться при образовании межплоскостного комплекса. При повышении температур до 67°C в спектре остаются два сигнала, которые сдвинуты в сторону слабых полей, что говорит о нарушении взаимодействия между основаниями.

6. Термодинамические характеристики взаимодействия между основаниями в динуклеозидфосфатах

Из данных ЯМР так же, как и из данных по дисперсии оптического вращения и круговому дихроизму (см. стр. 238), следует, что при наличии взаимодействия оснований в олигонуклеотиде этот

Аналогичную информацию дают спектры кругового дихроизма^{68–71}. На рис. 4.9 приведены спектры кругового дихроизма некоторых динуклеозидмонофосфатов в сопоставлении со спектрами соответствующих мономерных единиц (нуклеозидов или нуклеотидов). Наблюдаемая разница практически исчезает при повышении температуры. Из данных кругового дихроизма, сопоставленных с теоретическими расчетами, также следует, что угол поворота γ должен быть положительным и иметь величину⁷¹ между 30 и 45° .

Наконец, в последнее время стали доступны спектры ЯМР некоторых олигонуклеотидов^{61, 72–75, 318–322}. Из этих данных также следует, что между основаниями в динуклеозидфосфатах

III ВЗАИМ
ОЛИГОНУК
ВОЯНТОВ
АКТИ-КОП
НО. И СИ
ОСНОВАНИ



Рис. 4.9.
(сплошные
кривые);

Кривые
ма дидезон
гов меньш
и мало ме
изводными
зидфосфат
арабинози
тельности
нозы прин
счет гидро
изма тако
составляю
бозы или
гидроксил
этого дин
аналогичн
Спектры
дифирной
компонент
как показа

олигонуклеотид существует преимущественно в конформации праввинтовой спирали, нуклеозидные звенья которой находятся в анти-конфигурации³¹⁸⁻³²². Взаимное расположение, а следовательно, и сила взаимодействия между составляющими олигонуклеотид основаниями определяется целым рядом факторов.

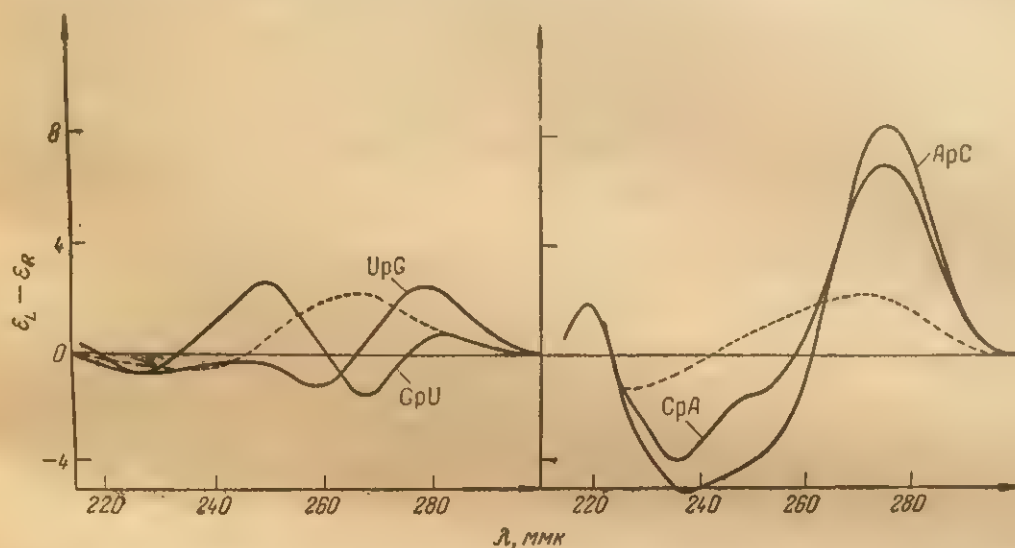


Рис. 4.9. Спектры кругового дихроизма ряда динуклеозидмонофосфатов (сплошные кривые) и составляющих их мономерных единиц (пунктирные кривые); 20° С, рН 7,0⁶⁹.

Кривые дисперсии оптического вращения и кругового дихроизма дидезоксирибонуклеозидфосфатов и диарабинонуклеозидфосфатов меньше отличаются от рассчитанных для суммы компонентов и мало меняются с температурой^{68, 323-326} по сравнению с рибонуклеотидами. Спектры кругового дихроизма смешанных динуклеозидфосфатов, содержащих рибозильные и дезоксирибозильные или арабинозильные звенья, изменяются в зависимости от последовательности этих звеньев. Если остаток дезоксирибозы или арабинозы принимает участие в образовании фосфодиэфирной связи за счет гидроксильной группы при С-3', то спектр кругового дихроизма такого динуклеозидфосфата не отличается от спектра смеси составляющих компонентов^{324, 325, 327}. Если же остаток дезоксирибозы или арабинозы участвует в фосфодиэфирной связи за счет гидроксильной группы при С-5', то спектр кругового дихроизма этого динуклеозидфосфата практически совпадает со спектром аналогичного дирибонуклеозидфосфата^{324, 325, 327}.

Спектры кругового дихроизма олигонуклеотидов с 2',5'-фосфодиэфирной связью мало отличаются от спектров суммы мономерных компонентов и лишь незначительно меняются с температурой, как показано³²⁷ например цитидилил-(2'→5')-цитидина.

Эти данные могут свидетельствовать либо об отсутствии взаимодействия между основаниями в динуклеозидфосфатах, либо о специфическом взаимном расположении их моментов перехода. Однако спектры ЯМР аденилил-(2'→5')-цитидина³¹⁸ свидетельствуют о значительном перекрывании плоскостей оснований, даже более выраженном, чем в случае цитидилил-(3'→5')-аденозина. Можно по этому полагать, что отсутствие эффекта взаимодействия в спектрах

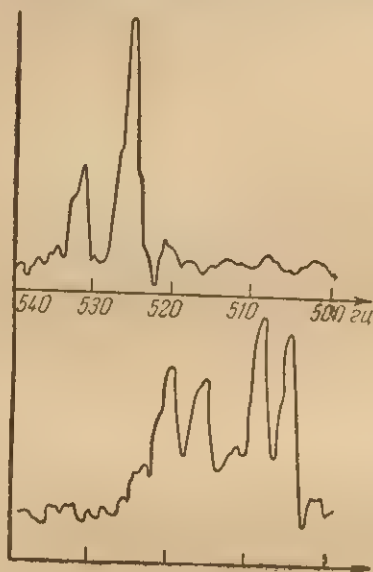


Рис. 4.10. Спектры ЯМР АрА > р в D₂O при температуре 5 (нижняя кривая) и 67° С (верхняя кривая). Ионная сила 0,1 рD 7,1⁷⁴. Величины химических сдвигов даны в δ относительно сигнала ТМС.

и кругового дихроизма⁶⁹ был сделан вывод о меньшей (в сравнении с другими основаниями) склонности к ассоциации урацила. Это подтверждается величинами констант ассоциации, полученными методом титрования (при 20° С; рН 7,0; 0,1 М NaCl)⁷⁸:

UpU	0,00
UpA	0,05
ApU	0,41
ApA	5,38

Данное заключение также, кажется, согласуется с данными ЯМР³¹⁸, показывающими, что в UpG остаток урацила перекрывается остатком гуанина в меньшей степени, чем остатки цитозина и гуанина в составе CpG.

Исходя из спектров кругового дихроизма, был сделан, кроме того, вывод о малой способности к ассоциации гуанина³²⁸. Однако

кругового дихроизма является следствием специфического взаимного расположения составляющих оснований, а не отсутствия взаимодействия³¹⁸.

Выше (см. стр. 240) уже отмечалось, что изомерные динуклеозидфосфаты различаются по дисперсии оптического вращения и круговому дихроизму. Спектры ЯМР дают основания полагать³¹⁸, что в ApU остаток урацила перекрывается с шестичленным циклом остатка аденина, тогда как в UpA такое перекрывание происходит с пятичленным циклом остатка аденина. Этот вывод согласуется с данными по титрованию указанных изомеров кислотами и щелочами⁷⁸. Определенные в этом случае константы ассоциации для UpA и ApU оказались равными соответственно 0,05 и 0,41.

На основании имеющихся данных довольно трудно определить, какие из оснований более, а какие менее способны к ассоциации. Тем не менее из данных по дисперсии оптического вращения

III ВЗАИМО
данные Я
ваний в А
Белли
модинам
гонуклеоз
динуклеоз
вующими
зависимост
ловни зна
делить тер

Такие с
нофосфатов
ния 61, 62, 77,
ности 57, 60

Таблица 4.11
основания
по данным р
Измерения
деления кругов

Соединение

ApA
ApG
ApC
ApU
GpA
GpC
GpU
CpA
CpC
CpU
UpA
UpG
UpC
UpU

* T_m — так п
соединений с вза
дась по данным к

данные ЯМР позволяют считать, что перекрывание остатков оснований в АрG и GrC больше, чем в АрА и АрС соответственно.

Были предприняты попытки количественного определения термодинамических параметров ассоциации оснований в составе олигонуклеотидов. Если принять, что возможны только два состояния динуклеозидфосфатов — с взаимодействующими и не взаимодействующими основаниями, — то можно на основании температурной зависимости каких-либо характеристик взаимодействия и при условии знания этих характеристик для предельных состояний определить термодинамические параметры перехода:



Такие определения были выполнены для ряда динуклеозиднофосфатов на основе изменений дисперсии оптического вращения^{61, 62, 77}, кругового дихроизма^{68, 69, 70, 71, 327, 328}, оптической плотности^{57, 60} и, наконец, изменений сигналов ЯМР⁷⁴ с температурой.

Таблица 4.11. Термодинамические параметры перехода взаимодействующие основания \rightleftharpoons не взаимодействующие основания по данным различных методов

Измерения дисперсии оптического вращения проводились при pH 7, 25,2% LiCl⁶¹; определения кругового дихроизма — при pH 7,5, 4,7 M KF, 0,01 M трис-буфер⁶⁹

Соединение	По данным дисперсии оптического вращения		По данным циркулярного дихроизма		T_m^* , °C
	ΔH° , ккал/моль	ΔS° , э. е.	ΔH° , ккал/моль	ΔS° , э. е.	
АрА	5,3	20	8	2,8	25
АрG	4,8	18	—	—	—
АрС	6,2	22	6,1	21	25
АрU	8,4	32	6,7	24	11
GrA	5,6	20	6,1	22	9
GrC	7,8	28	—	—	—
GrU	6,8	25	—	—	—
CrA	7,3	27	7,0	24	15
CrC	6,9	25	7,5	25	24
CrU	7,8	28	6,8	24	6
UrA	5,1	21	—	—	—
UrG	6,0	23	—	—	—
UrC	6,2	22	—	—	—
UrU	7,8	29	—	—	—

* T_m — так называемая температура плавления перехода, при которой концентрации соединений с взаимодействующими и не взаимодействующими основаниями равны (определялась по данным кругового дихроизма).

В табл. 4.11 приводятся найденные с помощью методов дисперсии оптического вращения и кругового дихроизма значения ряда термодинамических параметров перехода для динуклеозидмонофосфатов. Из табличных данных следует, что эти два метода приводят к довольно различным значениям термодинамических параметров; величины, получаемые для разных пар внутри каждого метода, довольно близки. Еще более отчетливо это проявляется при сравнении констант, например, для АрА, полученных с помощью двух данных и других методов (табл. 4.12).

Таблица 4.12. Величины энтальпии денатурации АрА по данным различных методов

Метод	ΔH , ккал/моль	Литература
Дисперсия оптического вращения	5,3	61
УФ-Спектроскопия	6,5	77
	8,5	61
	9,4	60
	10	57
Круговой дихроизм	8	69
ЯМР (для АрА > р)	8,2	74

Значительные расхождения в величинах термодинамических констант перехода, по данным различных методов, могут быть вызваны двумя причинами. Во-первых, могут быть неверно найдены предельные значения, характеризующие полностью взаимодействующую и полностью не взаимодействующую молекулы. Во-вторых, гипотеза о существовании только двух состояний может быть неверна, и имеется целый ряд промежуточных состояний между полностью ассоциированной и полностью диссоциированной формами.

Вне всякого сомнения, предельные значения устанавливаются существующими методами чрезвычайно неточно; тем не менее, поскольку различия величин, характеризующих ассоциацию, столь велики, есть основания считать, что вторая причина⁶¹ может быть основательнее. Были сделаны попытки разработать модель со многими состояниями^{79, 61}, однако полученные при этом результаты также неадекватно объясняют экспериментально наблюдаемые величины.

Подводя итог приведенному выше экспериментальному материалу по взаимодействию оснований в водной среде, надо еще раз отметить следующие основные выводы:

1. В водных растворах свободные основания, нуклеозиды и нуклеотиды, а также основания, входящие в состав олигонуклеотидов, способны к ассоциации с образованием комплексов, в которых пло-

скость одного основания расположена параллельно плоскости другого.

2. Взаимодействие такого рода выражено сильнее в случае олигонуклеотидов.

3. Из данных по мономерным компонентам следует, что пуриновые основания ассоциируют сильнее, чем пиримидиновые; с этим согласуются и данные по динуклеозидмонофосфатам. Урацильное ядро взаимодействует слабее остальных.

4. Образующиеся ассоциаты ассиметричны, причем в случае олигонуклеотидов взаимное расположение плоскостей соседних оснований зависит от их последовательности.

5. Указанные ассоциаты разрушаются органическими растворителями, повышением температуры и изменением кислотности среды.

7. Природа сил, стабилизирующих ассоциаты оснований в водном растворе

Стабильность ассоциатов в растворах, очевидно, определяется двумя факторами, а именно: силами взаимодействия оснований друг с другом и эффектами, связанными с взаимодействием растворителя со свободными и ассоциированными основаниями.

Взаимодействие оснований друг с другом в основном обусловлено, по-видимому, ван-дер-ваальсово-лондоновскими силами (см. стр. 227).

Сопоставление расчетных⁸⁰ данных с экспериментальными данными по ΔH^0 оснований (см. табл. 4.7) показывает, что при расчете получаются довольно сильно завышенные результаты, хотя и правильно предсказывается увеличение ассоциации 6-метилпурина по сравнению с пурином. К сожалению, возможно сопоставление только этих двух соединений, остальные определения энтальпии проведены на нуклеозидах, тогда как расчеты выполнены для оснований. Эти расчеты дают значения свободной энергии без учета энтропийного фактора; они несопоставимы с приводимыми ранее величинами констант ассоциации, поскольку энтропийные изменения при гомоассоциации разных оснований могут быть различными (см. табл. 4.7).

Тем не менее обращает на себя внимание большая разница энергий взаимодействия урацила и цитозина при гомоассоциации и при ассоциации с пурином. Это, возможно, объясняет экспериментально наблюдаемое различие в свойствах соответствующих динуклеозидмонофосфатов. Следует отметить, однако, что экспериментально определяемые величины энтальпии гомоассоциации уридина и цитидина близки между собой (см. табл. 4.7).

Теория влияния растворителя на ассоциацию оснований нуклеиновых кислот разработана в настоящее время далеко не во всех

деталей. Наиболее подробные исследования в этом направлении проведены Синаноглу и др.^{81, 82}. Аналогичные расчеты, хотя и отличающиеся в деталях, проведены также Пюльманом⁸⁰. Здесь приводится обсуждение по схеме, данной в последней работе. Рассматриваются два эффекта, связанные с влиянием растворителя. Во-первых, это различные для ассоциированных и свободных молекул эффекты электростатического взаимодействия, приводящие к изменению свободной энергии при ассоциации ΔF_p . Величину ΔF_p мы будем в дальнейшем называть электростатическим изменением свободной энергии. Во-вторых, рассматривается изменение поверхности соприкосновения растворенного вещества с растворителем при переходе от диссоциированных к ассоциированным молекулам, что приводит к изменению свободной энергии ΔF_n ; эту величину мы будем называть изменением поверхностной свободной энергии.

Фактор ΔF_p . За счет электростатических взаимодействий с растворителем стабилизируется состояние, характеризующееся большим дипольным моментом и меньшими размерами. Это приводит к большей стабилизации отдельных молекул по сравнению с комплексом, поскольку комплекс больше по размеру и обладает меньшим дипольным моментом из-за компенсации дипольных моментов компонентов в положении, соответствующем минимуму энергии. Поэтому $\Delta F_p > 0$, т. е. такое взаимодействие приводит к невыгодности комплексообразования. При этом ΔF_p пары цитозин + цитозин $> \Delta F_p$ пары урацил + урацил $> \Delta F_p$ пары пурин + пурин. Величина ΔF_p относительно мала по сравнению с ΔF_n .

Фактор ΔF_n . Изменение свободной энергии в связи с изменением поверхности взаимодействия растворенного вещества с растворителем, в свою очередь, может быть рассмотрено как состоящее из двух частей. Во-первых, здесь вносит вклад изменение энергии поверхностного натяжения:

$$\Delta F'_n = \gamma \Delta A$$

где γ — поверхностное натяжение; ΔA — изменение поверхности при переходе от комплекса к несвязанным молекулам.

Во-вторых, в выражение ΔF_n входит составляющая $\Delta F''_n$, характеризующая изменение числа упорядоченных молекул растворителя вокруг растворенного вещества при ассоциации:

$$\Delta F''_n = -T \Delta S''_n$$

где T — абсолютная температура; $\Delta S''_n$ — изменение энтропии растворителя при переходе из объема в поверхностный слой.

Величина $\Delta F''_n$ мала по сравнению с $\Delta F'_n$; оба эти изменения энергии приводят к стабилизации комплекса по сравнению с диссоциированными молекулами.

Можно
при обра
что неас
лость ц
и 50 Å² д
бодными
поверхнос
случае пу
 $\Delta F'_n$ и $\Delta F''_n$
нов $\sim 8,4$
лее склон
нию расти
творители
оказывают
модейств
растворите
процесс ф

Резуль
ван-дер-ва
процессе
сугубо ка
относитель
новению в
Рассмо
ные (путем
счет ван-д
модейств
ры нуклеин
типа взаим
реализуютс
ральных го
клетные че

Одним
биологии я
в 1953 г. Э
ные о стру
чественно н
нальной ро
гипотезы Ус
пользован д
формации к
белка. В да

Можно провести оценку величин изменения свободной энергии при образовании ассоциатов $Pu + Pu$ и $Pu + Py$, если принять, что неассоциированные основания образуют в растворителе плоскость цилиндрической формы с площадью основания 30 \AA^2 для Py и 50 \AA^2 для Pu . Тогда разность в величине поверхности между свободными основаниями и комплексом будет определяться разностью поверхностей, которая в случае пиримидинов равна $2 \times 30 \text{ \AA}^2$, а в случае пуринов $2 \times 50 \text{ \AA}^2$. Величина ΔF_{π} (равная сумме факторов $\Delta F'_{\pi}$ и $\Delta F''_{\pi}$) для пуринов равна $\sim 14 \text{ ккал/моль}$, а для пиримидинов $\sim 8,4 \text{ ккал/моль}$. Это означает, что пурины должны быть более склонны к ассоциации, чем пиримидины. Такой подход к влиянию растворителя дает ответ на вопрос, почему органические растворители, поверхностная энергия которых меньше, чем у воды, оказывают дестабилизирующее влияние на межплоскостные взаимодействия, а также позволяет понять закономерности влияния растворителя на некоторые химические реакции, в частности на процесс фотодимеризации тимина⁸³ (см. гл. 12).

Результаты теоретических расчетов, проведенных для оценки ван-дер-ваальсово-лондоновских сил и влияния растворителя в процессе ассоциации оснований, можно рассматривать лишь как сугубо качественные. Тем не менее они полезны для понимания относительной роли различных факторов, приводящих к возникновению вторичной структуры нуклеиновых кислот.

Рассмотренные два типа взаимодействия оснований: поперечные (путем образования водородных связей со стабилизацией за счет ван-дер-ваальсово-лондоновских сил) и межплоскостные взаимодействия — определяют стабильность и специфичность структуры нуклеиновых кислот. В определенных случаях имеют место оба типа взаимодействия (как, например, в ДНК или РНК), в других реализуются только межплоскостные взаимодействия (в односпиральных гомополинуклеотидах). Далее будут рассмотрены конкретные черты вторичной и третичной структур полинуклеотидов.

IV. ИССЛЕДОВАНИЕ МАКРОСТРУКТУРЫ ДВУХЦЕПОЧЕЧНЫХ ДНК

Одним из краеугольных камней современной молекулярной биологии является гипотеза Уотсона и Крика¹, выдвинутая ими в 1953 г. Эта гипотеза обобщила имевшиеся к тому времени данные о структуре и функциях ДНК и стимулировала развитие качественно новых подходов к изучению химии, физики и функциональной роли нуклеиновых кислот. В частности, вытекающий из гипотезы Уотсона и Крика¹ принцип комплементарности был использован для объяснения механизмов передачи генетической информации как при воспроизведении генов, так и при биосинтезе белка. В дальнейшем эти механизмы нашли экспериментальное

подтверждение в работах Корнберга по матричному синтезу ДНК, Берга — по матричному синтезу РНК на ДНК и в работах Ниренберга и Кораны по коду белкового синтеза.

1. Гипотеза Уотсона и Крика

К моменту выдвижения гипотезы Уотсона и Крика^{1, 84} существовало несколько вариантов описания структуры ДНК, однако ни один из них не мог объяснить ряд фундаментальных проблем. Наиболее важной из них был вопрос о том, каким образом обладающие разными размерами основания, в определенном, но не повторяющемся порядке расположенные вдоль полинуклеотидной цепи, могут давать высокосимметричную картину дифракции рентгеновских лучей.

Выдвижение гипотезы Уотсона и Крика стало возможным благодаря накоплению фактов, касающихся химического строения и нуклеотидного состава ДНК. Когда обсуждают эту проблему, обычно в качестве основного фактора, способствовавшего возникновению гипотезы, называют открытые Чаргаффом закономерности (см. стр. 59) в нуклеотидном составе различных ДНК, из которых следовало, что отношения аденин:тимин и гуанин:цитозин для всех исследованных к тому времени молекул примерно равны 1. Указывают также на имевшиеся тогда рентгеноструктурные данные, из которых можно было сделать вывод, что ДНК имеет спиральное и высокосимметричное строение. Здесь следует отметить, что основным подходом Уотсона и Крика при выяснении структуры ДНК было построение стереохимических моделей, не противоречащих имевшимся экспериментальным данным. Такое построение было бы невозможно, если бы к этому моменту не были получены данные о 3',5'-характере фосфодиэфирной связи, соединяющей отдельные нуклеотидные звенья^{85, 86}, о неразветвленности полинуклеотидной цепи, о фуранозной форме дезоксирибозы⁸⁷ и о β -конфигурации N-гликозидной связи⁸⁸. Кроме того, имелись сведения (из данных рентгеноструктурного анализа) по структуре гетероциклических оснований аденина, гуанина⁸⁹⁻⁹¹ и цитозина⁹², а также по конформации фуранозного кольца⁹² и по стереохимии N-гликозидной связи⁹³.

Используя всю эту совокупность фактов, и удалось построить адекватную модель ДНК.

Первая модель ДНК была построена для одной из двух известных в то время форм ДНК (см. ниже) — формы В, поскольку из рентгеноструктурных данных, относящихся к ней, можно было извлечь больше информации о геометрии молекулы. Такой анализ различных препаратов ДНК дал возможность сделать следующие выводы:

1. Структура ДНК может быть представлена в виде высоко-симметричной спирали.

2. Параметры этой спирали не зависят от состава ДНК; радиус спирали 10—12 Å, период идентичности 34 Å и расстояние между основаниями, плоскости которых перпендикулярны оси спирали, 3,4 Å, так что на период идентичности в одной цепи приходится 10 оснований.

3. В сочетании с данными по плотности препаратов ДНК следует принять, что в молекуле ДНК содержатся две полинуклеотидные цепочки.

Следовательно, модель структуры должна быть такой, чтобы вне зависимости от нуклеотидного состава и порядка чередования нуклеотидных звеньев вдоль цепи получалась одна и та же спираль. Это возможно лишь в том случае, если мономерные единицы двойной спирали одинаковы по размерам и симметрии. Отвлекаясь на время от вопроса о том, каким образом различные по размерам основания могут образовывать одинаковые по размерам мономерные звенья в двойной спирали, следует попытаться построить модель двойной спирали с одинаковыми мономерными единицами с тем, чтобы выяснить возможные расположения фосфатно-углеводного остова молекулы. Построение такой стереохимической модели, удовлетворяющей рентгеноструктурным данным и принципу соблюдения ван-дер-ваальсовых радиусов, позволило сделать вывод, что фосфатные группы должны быть расположены на внешней стороне спирали, а основания — внутри.

Другой вопрос, связанный со структурой ДНК, заключается в следующем: соответствует ли периоду идентичности полный виток спирали или его половина. Второй вариант возможен, если двойная спираль ДНК имеет ось симметрии второго порядка, параллельную оси спирали. В первом случае (для того, чтобы на период идентичности приходилось 10 нуклеотидов) угол между направлением N-гликозидных связей соседних оснований в одной цепи должен быть равным 36° , во втором случае — 18° . Построение стереохимической модели одной из цепей дало возможность сделать выбор в пользу первого варианта — соответствие периода идентичности полному витку спирали, — поскольку во втором случае невозможно построить модель без нарушения ван-дер-ваальсовых радиусов.

Таким образом, не выдвигая конкретных соображений по поводу структуры мономерных единиц, удалось ответить на два существенных вопроса: о расположении фосфатных групп и о соответствии одного витка спирали ее периоду идентичности.

Следующим шагом в построении модели является гипотеза о силах, удерживающих вместе две полинуклеотидные цепочки ДНК. Уотсон и Крик высказали предположение, что это является следствием образования водородных связей между основаниями,

которые, как уже было ясно, расположены внутри двойной спирали. Отсюда сразу вытекало два необходимых следствия:

1. Связи должны образовываться между пуриновыми и пиримидиновыми основаниями, поскольку именно от таких пар можно ожидать близких размеров для разных оснований; пары $Pu + Pu$ и $Pu + Py$ сильно отличались бы друг от друга.

2. В соответствии с правилом Чаргаффа пары должны образоваться только между гуанином и цитозином и аденином и урацилом.

Для того чтобы удовлетворять требованию высокой симметричности спирали, пары должны отвечать следующим требованиям:

1. Необходимо, чтобы расстояние между гликозидными связями оснований, образующих пару, были близки для обеих пар.

2. Углы, образуемые гликозидными связями, должны быть примерно равными в обеих парах.

3. Для того чтобы обеспечить эквивалентность всех углеводных и фосфатных групп в двойной спирали, полинуклеотидная цепочка должна обладать осью симметрии второго порядка, перпендикулярной оси спирали. В соответствии с этим N-гликозидные связи также имеют ось симметрии второго порядка. На основании рентгеноструктурных данных относительно размеров оснований и их конформации, а также предположения о кето-аминотавтомерных формах оснований были построены модели пар оснований в составе полинуклеотида (рис. 4.11), и оказалось, что они удовлетворяют всем перечисленным выше требованиям.

Наконец, последний вопрос — о типе спирали (правовращающая или левовращающая) был также решен путем построения стереохимической модели, в которой основания образовывали комплементарные пары аденин·урацил и гуанин·цитозин. При этом использовались данные по конформации дезоксирибозы, длине и расположению N-гликозидной связи и длине и углах связей $P-O$ при тетраэдрической конфигурации атома фосфора. Как оказалось, спираль должна быть правовращающей, поскольку построение левовращающей модели без нарушения ван-дер-ваальсовых радиусов затруднительно (см. стр. 255). Следует еще подчеркнуть, что, если ось симметрии второго порядка перпендикулярна оси спирали, направление двух цепей, составляющих молекулу, должно быть противоположным. Следовательно, на каждом конце двухспиральной молекулы находится 3'-конец одной и 5'-конец другой односпиральных компонент. В построенной таким образом модели угол между соседними парами оснований (т. е. линиями, соединяющими атомы $C-1'$ остатков дезоксирибозы в комплементарных парах) составляет 36° . Основания расположены вдоль оси параллельно друг другу, и их плоскости составляют угол примерно 90° с осью спирали; плоскости дезоксирибофуранозного кольца почти параллельны оси спирали. Основания, образующие

Участок пары, входящий в двойную спираль

Углы между соседними парами оснований

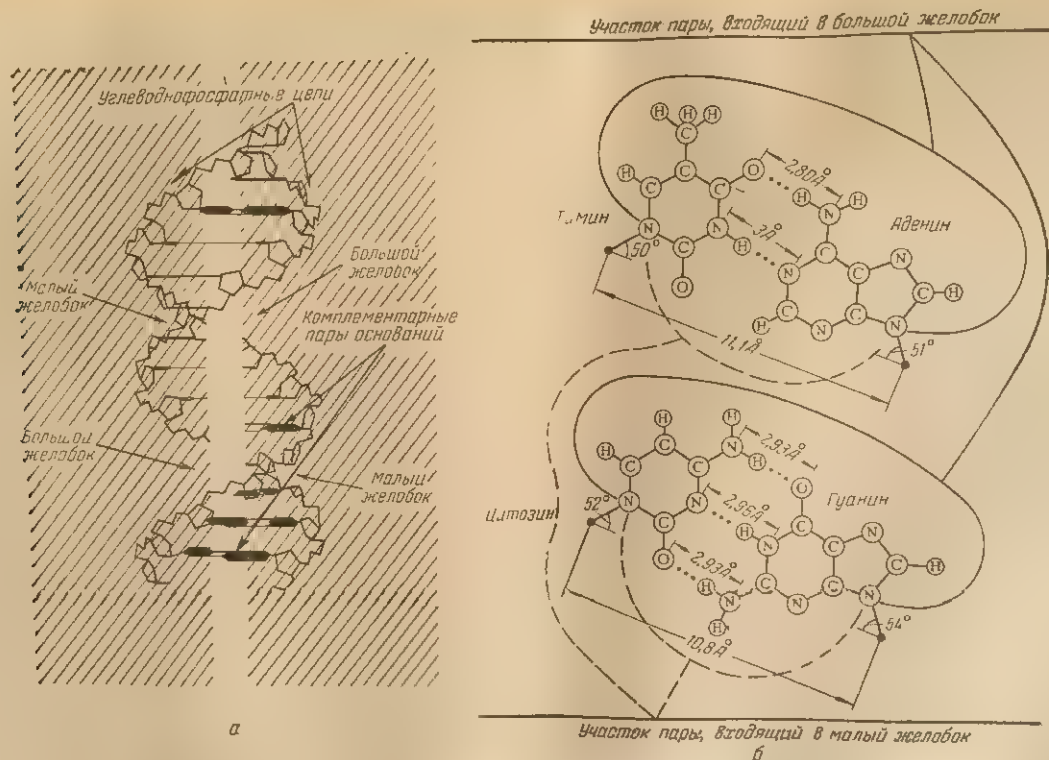


Рис. 4.11. Схематическое изображение двойной спирали ДНК^а (а) и комплементарных пар оснований (б).

комплементарную пару, расположены в одной плоскости. Схематическое изображение полученной модели дано на рис. 4.11, а.

Таким образом, модель, предложенная Уотсоном и Криком, соответствовала рентгеноструктурным данным и давала структуру ДНК, позволявшую не только объяснить ее физико-химические свойства, но и выдвинуть предположение о способе удвоения ДНК в процессе репликации на основании принципа комплементарности⁹⁴. Однако модель нуждалась в экспериментальных подтверждениях.

Прежде всего необходимо было доказать, что кето- и аминокислотные группы оснований действительно принимают участие в образовании водородных связей. Существуют ряд доказательств правильности этого предположения.

1. Еще до построения модели были известны данные по потенциометрическому титрованию ДНК, согласно которым титрование нативных препаратов ДНК приводит в конечном итоге к необратимым изменениям кислотно-основных свойств ДНК. Кривая обратного титрования существенно отличается от кривой прямого титрования: точки эквивалентности нативной ДНК сдвинуты в значительно более кислую область при кислотном и в значительно более щелочную область при щелочном титровании по сравнению с соответствующими точками при обратном титровании.

Это дало основание считать, что титруемые группы оснований нуклеиновых кислот принимают участие в образовании водородных связей⁹⁵.

2. В ИК-спектрах растворов в D_2O двухспиральных синтетических полирибонуклеотидов, могущих служить моделями ДНК, наблюдаются типичные для образования водородных связей сдвиги характеристических частот кето- и аминокислотных групп оснований^{96, 97}.

3. Существование водородных связей в водных растворах ДНК подтверждается также измерениями скорости изотопного обмена с дейтерием и тритием^{98, 99, 341, 342}. Эти измерения показывают, что в ДНК имеется определенное число сравнительно медленно обменивающихся протонов n , которое зависит от содержания пар аденин-тимин и гуанин-цитозин в молекуле ДНК^{341, 342}.

4. В случае двухспиральной ДНК не наблюдается реакции аминокислотных групп оснований с формальдегидом (см. гл. 6), что свидетельствует, если не об их участии в образовании водородных связей, то по крайней мере об их сильной пространственной экранированности (в соответствии с моделью Уотсона и Крика).

Необходимо было также доказать строгую специфичность взаимодействия оснований. Доказательства этого рода были получены как на уровне мономеров (см. стр. 218), так и на уровне взаимодействия синтетических полинуклеотидов. Оказалось, что полимерные производные аденина (полинуклеотиды) взаимодействуют избирательно с производными урацила, но не цитозина, так же как

IV ИССЛЕДОВАНИЕ
производных
но не урацила
Кроме того
соном и Криком
справедлив
уровне молекул
тетических
той Уотсона
дородных с
структурном
Таким образом
тезы Уотсона
Кориберга
теза — о специфичности
следующие
привели к
ставленным
сание трех
превращаю
ности и титрования
Форма
форму соли
ности преп
приходится
пендикуляр
ставляет 2,5
составляющ
ними состав
рядка, пер
ставляющие
правление.
раль, постро
Форма
и является
ных форма
спирали¹⁰³
друг в дру
такая же н
Форма
она являет
растворе. В
был уточне
ности, диа
мещены бл
отклонены
Уотсона и

производные гуанина взаимодействуют с производными цитозина, но не урацила¹⁰⁰.

Кроме того, следовало доказать правильность принятых Уотсоном и Криком таутомерных форм оснований. Доказательства справедливости этого предположения также были получены на уровне мономерных единиц (см. гл. 3) и при исследовании синтетических полинуклеотидов⁹⁷. И, наконец, правильность принятой Уотсоном и Криком (см. рис. 4.11, а) схемы образования водородных связей была подвержена в дальнейшем при рентгеноструктурном анализе литиевой соли В-формы ДНК¹⁰¹.

Таким образом, подтвердились все основные положения гипотезы Уотсона и Крика о строении ДНК. В дальнейшем в работах Корнберга и сотр. была подтверждена также и вторая их гипотеза — о способе удвоения ДНК в биологических системах. Последующие работы по рентгеноструктурному анализу ДНК^{101–103} привели лишь к незначительному изменению параметров, представленных Уотсоном и Криком. Ниже приводится краткое описание трех основных кристаллических форм ДНК, которые легко превращаются друг в друга в зависимости от относительной влажности и типа катиона, связанного с остатком фосфорной кислоты.

Форма А¹⁰⁴ представляет собой истинную кристаллическую форму соли ДНК, которая образуется при относительной влажности препарата ниже 80%. На один виток спирали в этой форме приходится 11 оснований, которые отклонены на угол 20° от перпендикуляра к оси спирали. Расстояние между основаниями составляет 2,56 Å и угол вращения 32,7°. Плоскости двух оснований, составляющих пару, не копланарны, и двугранный угол между ними составляет 16°. Молекула имеет ось симметрии второго порядка, перпендикулярную оси спирали, следовательно, две составляющие двойную спираль цепи имеют противоположное направление. Форма А представляет собой правовращающую спираль, построение левовинтовой спирали для нее невозможно.

Форма В существует при относительной влажности >80% и является паракристаллической формой. В свете последних данных форма В все-таки может быть построена в виде левовинтовой спирали¹⁰⁵. Однако поскольку формы А и В легко превращаются друг в друга, то из правовинтового характера формы А следует такая же направленность спирали в форме В¹⁰⁵.

Форма В играет особо важную роль, поскольку, по-видимому, она является той формой, в которой ДНК существует в водном растворе. В последующих работах по исследованию формы В^{101–103} был уточнен ряд параметров, данных Уотсоном и Криком. В частности, диаметр спирали оказался равным 18 Å, основания размещены ближе к оси спирали, углеводные остатки значительно отклонены от оси спирали. Однако основные положения гипотезы Уотсона и Крика остались без изменения.

Сохранение формы В в водном растворе следует из данных по малоугловому рентгеновскому рассеянию, которые определяют расстояние между соседними парами оснований в растворе ДНК, равным 3,2 Å в соответствии с моделью формы В^{107, 332, 334}. Однако в водном растворе ДНК ведет себя как линейная молекула, если только ее длина достаточно мала (мол. вес $< 0,3 \cdot 10^6$). При увели-

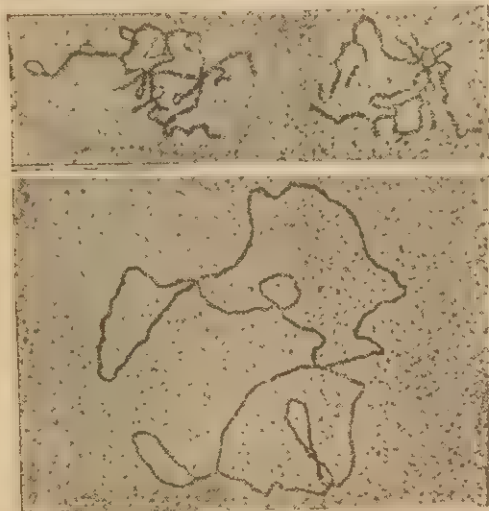


Рис. 4.12. Электронные микрофотографии ковалентно-замкнутых циклических ДНК митохондрий ооцитов *X. laevis* (а) и циклической ДНК этого же происхождения с одним разрывом в цепи (б)¹¹³.

ДНК: нековалентно-замкнутой и ковалентно-замкнутой циклической ДНК. Вторичная структура таких молекул не отличается от вторичной структуры линейных ДНК, т. е. эти молекулы, очевидно, представляют собой обычную двойную спираль В-формы.

В случае ковалентно-замкнутых ДНК появляются характерные особенности, которые необходимо рассмотреть более подробно ввиду важной роли этого типа ДНК в биологических системах^{111, 335}.

Доказательства существования таких ДНК были рассмотрены в гл. 1 (см. стр. 48). Эти молекулы отличаются от линейных и нековалентно-замкнутых циклических ДНК значительно более высоким коэффициентом седиментации^{111, 112}. Так, например, репликативная форма ДНК фага ΦX174, обладающая ковалентно-замкнутой структурой¹¹², имеет коэффициент седиментации в 2 М NaCl при нейтральных значениях pH, равный 21 S, тогда как эта же ДНК, но с разрывами в одной из цепей имеет коэффициент седи-

чения длины полинуклеотида его свойства постепенно приближаются к свойствам статистического клубка и при молекулярных весах выше $100 \cdot 10^6$ могут быть полностью описаны на основании этой модели¹⁰⁸⁻¹¹⁰.

Форма С¹⁰⁶, третья и наименее влажная из всех трех форм, имеет виток спирали, состоящий из 9,3 нуклеотидных пар, и основания в ней отклонены от перпендикуляра к оси спирали на 5°.

2. Вторичная и высшие структуры циклических ДНК

Значительный интерес представляет структура недавно открытых циклических ДНК. Выше (см. стр. 48) уже упоминалось о существовании двух типов циклических молекул

О связи
лической ДНК
В струк
общего числа
ратуры, pH сре
рвно также ч
другой цепи

ментации 17S*. На электронных микрофотографиях видны отчетливые различия между нековалентно-замкнутыми и ковалентно-замкнутыми циклическими ДНК (рис. 4.12). Во втором случае отчетливо видны циклические формы, тогда как в первом случае наблюдается большое число пересечений между цепями¹¹¹⁻¹¹⁹. Эти данные позволяют сделать предположение о наличии у ковалентно-замкнутых циклических ДНК (из природных объектов) особой третичной структуры, в которой двойная спираль типа Уотсона — Крика уложена таким образом, что она образует еще дополнительную суперспираль, как это схематически изображено на рис. 4.13. Такая суперспираль может быть тороидальной (рис. 4.13, а) или самозакручивающейся (рис. 4.13, б). Эффект сверхспирализации наблюдается только для циклических ковалентно-замкнутых ДНК, выделенных из природных объектов или полученных с помощью полинуклеотид-лигазы (ДНК-лигазы^{21, 315, 316}). Разрыв хотя бы одной фосфодиэфирной связи в сверхспиральной ДНК (например, под действием ДНК-зы) приводит к образованию нескрученной циклической молекулы.

Можно провести топологическое рассмотрение образования сверхспиральных структур¹²²⁻¹²⁴. Предположим, что в некоторых определенных условиях линейная двухцепочечная двухспиральная молекула имеет число витков двойной спирали, равное α^{**} , и замыкается в этих условиях в циклическую структуру, так что 5'-конец каждой из цепей соединяется с 3'-концом этой же цепи. При этом ось двойной спирали образует плоский цикл, а каждая из цепей по-прежнему совершает вокруг нее α витков, как и в линейной молекуле. Если теперь изменить внешние условия, так что число витков двойной спирали изменится и станет не равным α (обозначим это новое число витков через β), то в силу замкнутости цикла ось двойной спирали сама станет спиральной, образуя сверхспираль и компенсируя таким образом изменение числа витков двойной спирали.

На рис. 4.14 схематически представлен гипотетический случай, когда в исходной

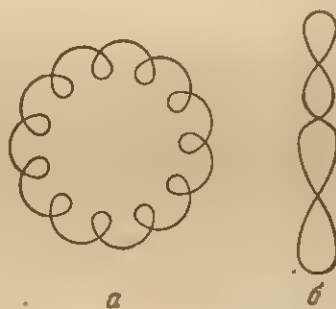


Рис. 4.13. Схематическое изображение тороидальной (а) и скрученной (б) форм сверхспиральной молекулы ковалентно-замкнутой циклической ДНК.

* О связи гидродинамических характеристик с молекулярным весом циклической ДНК см.⁸³⁰

** В структуре Уотсона и Крика число витков двойной спирали равно $1/10$ общего числа пар оснований в молекуле. Однако при изменении условий (температуры, рН среды и т. д.) это число может уменьшаться (см. стр. 259). Число α равно также числу витков каждой из цепей вокруг оси спирали или вокруг другой цепи.

линейной двухцепочечной молекуле α равно 0 (две отдельные неспирализованные цепи). Замыкание такой молекулы в цикл дает циклическую структуру из двух цепей без сверх-спирализации (рис. 4.14, а). При закручивании цепей этой последней структуры в правовинтовую двойную спираль, например, по типу Уотсона — Крика ось молекулы должна образовывать либо правовращающую

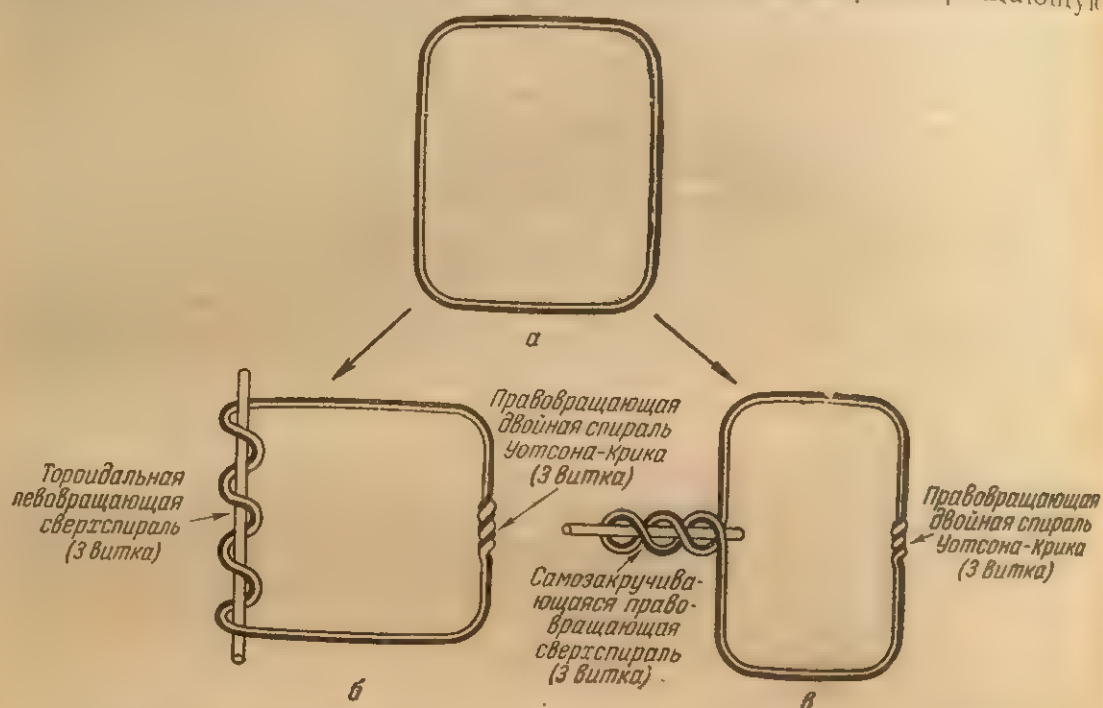


Рис. 4.14. Схема образования сверхспиральных структур в циклической ковалентно-замкнутой ДНК при $\alpha < \beta$ (см. текст).

самозакручивающуюся (рис. 4.14, б), либо левовращающую тороидальную (рис. 4.14, в) сверхспираль. При этом число витков τ сверхспиралей (обоих типов) равно числу вновь образовавшихся витков двойной спирали. Если бы две цепи образовали левовинтовую двойную спираль, то направление витков сверхспиралей было бы противоположным разобранным выше.

Если исходная линейная молекула уже спирализована по правовинтовому типу и после замыкания в цикл при изменении условий число правых витков увеличивалось, так что $[\beta] > [\alpha]$, то ось молекулы должна образовывать либо левовинтовую тороидальную, либо правовинтовую самозакручивающуюся сверхспираль с числом витков, равным числу вновь образованных витков двойной спирали $[\tau] = [\alpha] - [\beta]$. При уменьшении числа витков двойной спирали после циклизации получились бы сверхспирали противоположного направления. Если условиться считать величины α и β положительными для правовинтовых двойных спиралей, то число и направление витков сверхспиралей задаются простой формулой $\tau = \alpha - \beta$.

Изуч
интеркал
красител

* Пр
среднего
тельно др

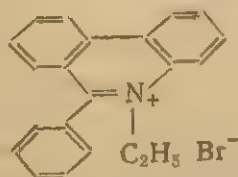
При $\beta > \alpha$ образуется левовинтовая тороидальная или правовинтовая самозакручивающаяся сверхспираль. В соответствии с приведенной формулой такие сверхспирали характеризуются отрицательным знаком τ . Правовинтовая тороидальная и левовинтовая самозакручивающаяся сверхспирали образуются при $\beta < \alpha$ и характеризуются положительным знаком τ .

Все известные в настоящее время ковалентно-замкнутые циклические ДНК, выделенные из природных объектов, обладают сверхспирализацией правовинтового самозакручивающегося типа ($\tau < 0$). Сверхспирали с $\tau > 0$ образуются в искусственных условиях при расплетании двойной спирали в ковалентно-замкнутых ДНК (из природных источников) под действием внешних факторов (см., например, стр. 271).

Таким образом, число и направление витков сверхспирали зависит от условий, в которых происходит замыкание ковалентного цикла (они определяют величину α), и от условий, в которых рассматривается изучаемая молекула (определяют величину β). Изучение сверхспирализации ДНК, замкнутых *in vitro* с помощью ДНК-лигазы^{315, 316, 331, 332}, подтверждает это положение. При этом оказывается³¹⁵, что степень сверхспирализации в каждом данном условиях зависит от соотношения температуры и ионной силы среды при образовании сверхспирали и в процессе замыкания цикла*. Очень высокую степень сверхспирализации удается получить³¹⁶, если замыкание цикла проводить в присутствии интеркалирующих красителей (вызывающих частичное расплетание двойной спирали ДНК), а после циклизации удалить их из молекулы ДНК. Исследование сверхспирализации ковалентно-замкнутых ДНК, выделенных из различных источников, может пролить свет на условия их образования *in vivo*. В качестве меры степени сверхспирализации ДНК можно принять число витков сверхспирали, приходящееся на единицу длины молекулы. Иногда используют величину σ , называемую плотностью сверхспирали, которая является частным от деления числа сверхспиральных витков τ на число β° , равное $1/20$ общего числа нуклеотидов в изучаемой двухспиральной молекуле.

$$\sigma = \tau / \beta^\circ$$

Изучение третичной структуры циклических ДНК с помощью интеркалирующих красителей. Как известно¹²⁴, фенантридиновый краситель этидийбромид



* Предполагают, что изменение ионной силы среды приводит к изменению среднего угла поворота соседних пар оснований в двойной спирали относительно друг друга^{331, 332}.

способен взаимодействовать с ДНК. При этом предполагают³³⁷, что ароматический цикл красителя внедряется (интеркалируется) между двумя соседними парами оснований*, уменьшая угол поворота между ними примерно на 12° . По мере внедрения этидийбромид должно происходить, следовательно, расплетание двойной спирали, что для циклической ДНК означает уменьшение β . При начальном условии $\alpha < \beta$ действие красителя должно приводить к уменьшению числа супервитков, и молекула ДНК в целом должна стремиться к плоской циклической конфигурации, в которой $\alpha = \beta$. По мере дальнейшего внедрения красителя β становится меньше α , и следует ожидать закручивания суперспирали в противоположную сторону.

В том случае, когда уже в исходной молекуле $\alpha > \beta$, молекула ДНК не будет превращаться под действием этидийбромид в исходную плоскую форму, закручиваясь сильнее по мере увеличения количества внедрившегося в нее красителя. Есть данные, что по мере увеличения количества внедрившегося красителя коэффициент седиментации циклических ДНК сначала убывает, а затем, пройдя через минимум, начинает возрастать, стремясь в пределе к постоянному значению^{126, 127}.

Минимальное значение коэффициента седиментации соответствует, очевидно, превращению молекулы из сверхспирализованной в плоскую циклическую; последующее увеличение коэффициента седиментации соответствует закручиванию в противоположную сторону. Эти опыты показывают, что в ДНК, выделенных из природных источников, $\alpha < \beta$. Из данных подобного рода можно оценить число сверхспиральных витков в циклической ДНК. Зная число молей связанного красителя, приходящееся на одну пару нуклеотидов в точке эквивалентности, молекулярный вес ДНК и угол поворота, вызываемого внедрением молекулы красителя, легко рассчитать, сколько витков двойной спирали и, следовательно, суперспирали разовьется под действием данного количества красителя.

Эксперименты такого рода приводят к выводу, что во многих случаях плотности сверхспирали σ для различных ДНК близки по величине и для ДНК вирусов папилломы^{127, 128}, митохондриальной ДНК печени цыпленка¹²⁶, ДНК вируса SV 40¹²⁴ и вируса полиомы^{127, 128} σ колеблется от $-0,03$ до $-0,04$. Подобные значения получены также для циклических ДНК из *E. coli*³³² фага λ ³³² и репликативной формы ДНК фага ФХ174³³⁸. Значительно более низкие значения плотности сверхспирали найдены для ДНК клеток HeLa и яиц морского ежа³¹⁶.

Число и знак сверхспиральных витков могут быть определены также с помощью электронной микроскопии^{114, 129, 336}.

* Аналогичный эффект вызывают антибиотики, такие, как актиномицин³³⁸.

В. ИССЛЕДОВАНИЕ
МОЖНОСТИ
ТЫХ ДНК
ВЫШЕ, ЧТО
ЛИНЕЙНЫМ

В. ИССЛЕДОВАНИЕ
ДВУХ

В наст
количеств
односпир

1. По
нин: ура

2. Обл
чем обы

3. При
спиральн

4. В об
актерно

но-связан

5. Обл
устойчиво

вию рибо
ными РН

Строен
различных

довольно
помощью

да 130-133, 13

удалось п
ных вывод

кулы, как

руса карл

данных ре

кругового

принята ст

от структу

принять, ч

образуют

цилиндра

нуклеотид

ко провед

двухспира

граммы хо

спиральной

звеньев на

вания долж

Можно полагать, что во всех циклических ковалентно-замкнутых ДНК наблюдаются третичные структуры, подобные описанным выше, что придает таким молекулам особые, отличные от обычных линейных ДНК свойства.

V. ИССЛЕДОВАНИЕ ВТОРИЧНОЙ СТРУКТУРЫ ДВУХЦЕПОЧЕЧНЫХ РНК

В настоящее время уже известно¹³⁰⁻¹⁴¹ довольно значительное количество двухспиральных РНК, которые отличаются от обычных односпиральных следующими показателями:

1. Подчиняются правилу Чаргаффа (т. е. отношения аденин:урацил и гуанин:цитозин примерно равны 1).

2. Обладают значительно более низкой молярной экстинкцией, чем обычные РНК.

3. При нагревании подвергаются кооперативному переходу из спиральной в денатурированную форму (см. ниже).

4. В обычных условиях не реагируют с формальдегидом, что характерно для двухспиральных водородно-связанных молекул.

5. Обладают значительно большей устойчивостью по отношению к действию рибонуклеазы по сравнению с обычными РНК.

Строение двухспиральных РНК из различных объектов за последнее время довольно интенсивно исследовалось с помощью рентгеноструктурного метода^{130-133, 136, 140}, однако до сих пор не удалось получить столь же определенных выводов о тонкой структуре молекулы, как в случае ДНК. Для РНК вируса карликовости риса¹³⁶ на основании данных рентгеноструктурного анализа и кругового дихроизма в ИК-области была принята структура, которая отличается от структуры А- и В-форм ДНК. Если принять, что атомы фосфора этой РНК образуют стенки цилиндра, то диаметр цилиндра равен 18 или 24 Å с числом нуклеотидов на один виток спирали, равным 10 (рис. 4.15). Однако проведенные недавно исследования структуры кристаллов двухспиральных РНК реовируса¹³¹⁻¹³³ показывают, что рентгенограммы хорошо согласуются с двумя возможными моделями двухспиральной РНК, одна из которых включает 10 нуклеотидных звеньев на виток спирали, а другая 11. Для первой модели основания должны быть отклонены от перпендикуляра к оси спирали

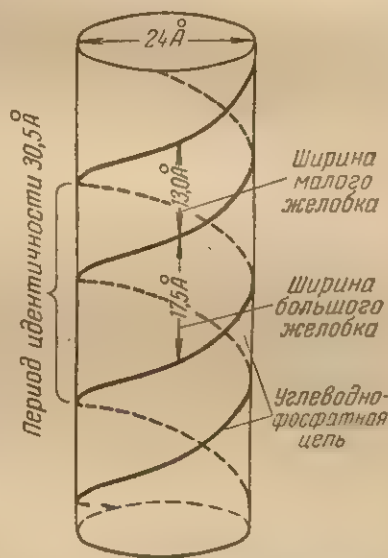


Рис. 4.15. Одна из возможных макроструктур двухспиральной РНК вируса карликовости риса¹³⁶.

на 10° , для второй — на 14° . В первой модели (10 нуклеотидов на виток) основания повернуты относительно друг друга на 36° , во второй модели — на $32,7^\circ$. Расстояние между парами оснований для двух моделей равно 3 и 2,73 Å соответственно при высоте витка в обоих случаях 30 Å. Несмотря на то что вторая модель — с 11 нуклеотидами на виток спирали — несколько лучше согласуется с экспериментальными данными, в настоящее время нельзя исключить и первую модель, с 10 нуклеотидами на виток спирали*.

Отличительной чертой двухспиральной РНК является независимость конформации от содержания воды в кристалле^{112, 143}, что наблюдается также для синтетических двухспиральных полирибонуклеотидов. По-видимому, эти отличительные особенности связаны не с тем фактом, что в РНК содержится урацил вместо тимина (в ДНК), поскольку ДНК фага PBS2, которая содержит урацил вместо тимина, обладает обычной для ДНК конформацией¹⁴⁴. Следовательно, можно предположить, что либо тип спаривания оснований в молекуле двухспиральной РНК отличается от того, который имеет место в двухспиральной ДНК, либо каким-то образом на конформацию полинуклеотида влияет остаток сахара, различный в этих двух типах полинуклеотидов. Первое из этих предположений следует исключить, поскольку рентгеноструктурный анализ двухспиральных молекул, получаемых при взаимодействии синтетических полирибонуклеотидов, показывает, что дифракционную картину, близкую к наблюдаемой для двухспиральных РНК, дают лишь те двойные спирали, которые образованы комплементарными полинуклеотидами¹⁴³. Таким образом, отличие конформации двухспиральной РНК от двухспиральной ДНК связано, по-видимому, с различиями в строении углеводного остатка в этих двух макромолекулах.

VI. РАЗРУШЕНИЕ МАКРОМОЛЕКУЛЯРНОЙ СТРУКТУРЫ ДВУХСПИРАЛЬНЫХ МОЛЕКУЛ (ДЕНАТУРАЦИЯ)

Вторичная структура двухспиральных** двухцепочечных нуклеиновых кислот может быть разрушена в результате различных

* Недавно обсуждалась возможность существования трех форм РНК (по данным рентгеноструктурного анализа двухспиральных синтетических полирибонуклеотидов). Эти формы отличаются числом пар оснований на виток спирали и другими количественными характеристиками, однако они значительно ближе друг к другу, чем А- и В-формы ДНК¹³⁹.

** Здесь и далее под термином «односпиральный» полинуклеотид понимается однотяжевая структура, в которой имеются лишь межплоскостные (стопочные) взаимодействия между соседними основаниями цепи. Под термином «двухспиральный» полинуклеотид понимается структура, в которой помимо указанного стопочного взаимодействия наблюдается образование комплементарных пар оснований, принадлежащих различным участкам одной цепи или разным полинуклеотидным цепям. В такие комплементационные взаимодействия могут вовлекаться все основания вдоль полинуклеотидных цепей (двухспиральная ДНК) или лишь некоторые из них — частично двухспиральные структуры (например, тРНК).

VI ДЕНАТ
воздейст
происход
ной спир
одинари
Если
клеотидо
тида инте

Рис. 4.16
турации
1 — ДНК М
4 — ДНК 30
соедин; 7 —
0,015 М цитр

раствора -
ского вра
ции и т. д
молекулы,
плементар
ным спосо
измерение
рис. 4.16 в
ности раз
плотности
причем, на
стает меня
температу
а в конце
ной струк
ральных
хода по ф

воздействий, причем в зависимости от степени воздействия может происходить полная или частичная потеря характерных для двойной спирали свойств, и в конечном итоге могут образоваться две одинарные полинуклеотидные цепи.

Если постепенно нагревать раствор двухспиральных полинуклеотидов, то в некотором, определенном для данного полинуклеотида интервале температур, наблюдается резкое изменение свойств

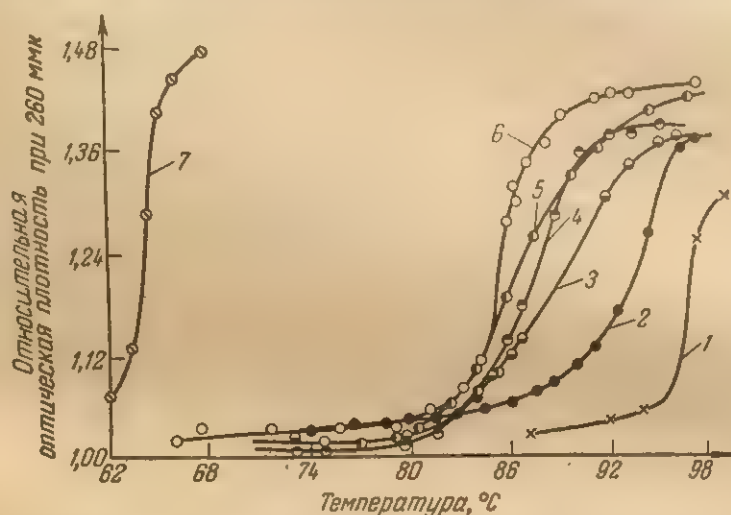


Рис. 4.16. Изменение оптической плотности при 260 мкм в процессе денатурации двухспиральных полинуклеотидов¹⁴⁵:

1 — ДНК *Mycobacterium phlei*; 2 — ДНК *Serratia marcescens*; 3 — ДНК *Escherichia coli*; 4 — ДНК зубной железы телят; 5 — ДНК спермы лосося; 6 — ДНК *Diplococcus pneumoniae*; 7 — двухспиральный комплекс поли-dAdT; все в 0,1 М растворе NaCl с добавкой 0,015 М цитрата натрия.

раствора — возрастание оптической плотности, уменьшение оптического вращения и вязкости, увеличение коэффициента седиментации и т. д. Эти изменения связаны с разрушением двухспиральной молекулы, приводящим в конечном итоге к разделению двух элементарных полинуклеотидных цепей. Наиболее распространенным способом детектирования момента такого перехода является измерение оптической плотности в процессе денатурации. На рис. 4.16 в качестве примера приведено изменение оптической плотности различных ДНК при нагревании. Видно, что увеличение плотности происходит в довольно узком интервале температур, причем, начиная с некоторой температуры, поглощение вновь перестает меняться. Если принять, что оптическая плотность при низкой температуре соответствует полностью спирализованной молекуле, а в конце плавления — молекуле с полностью разрушенной вторичной структурой, то легко вычислить долю спиральных и неспиральных участков в некоторой промежуточной точке перехода по формуле

$$\theta = \frac{D_{\infty} - D_t}{D_{\infty} - D_0}$$

где D_∞ — оптическая плотность раствора полностью денатурированной молекулы; D_t — оптическая плотность раствора полинуклеотида при некоторой промежуточной температуре; D_0 — оптическая плотность раствора полинуклеотида при низкой температуре.

Температура, при которой доли спиральных и неспиральных участков равны ($\theta = 1 - \theta = 0,5$), называется температурой пла-

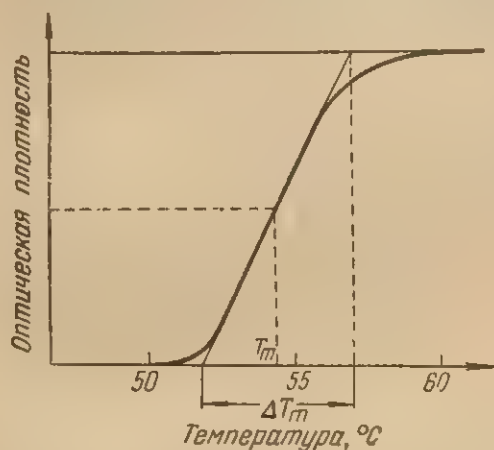


Рис. 4.17. Анализ кривой денатурации ДНК (см. текст).

вления полинуклеотида и обозначается T_m (рис. 4.17). Для данного двухспирального полинуклеотида при постоянных внешних условиях (значение pH, ионная сила среды, давление и т. д.) величина T_m постоянна и характеризует стабильность двухспиральной структуры. Другой характеристикой процесса денатурации является ширина интервала перехода из нативного в денатурированное состояние ΔT_m , которая отражает кооперативность перехода, т. е. степень одновременности разрушения всех звеньев спиральной структуры при повышении температуры. Если бы все звенья ДНК разрушались одновременно при одной и той же температуре, то ΔT_m было бы равно нулю. Однако «плавление» ДНК никогда не происходит таким образом, и процесс проходит через непрерывный ряд частично денатурированных состояний, поэтому ΔT_m не равно нулю (см. стр. 263). Величина ΔT_m определяется разностью температур, при которых касательная к точке T_m на кривой зависимости $1 - \theta$ от температуры пересекает прямые $1 - \theta = 1$ (полная денатурация) и $1 - \theta = 0$ (отсутствие денатурации), как показано на рис. 4.17¹⁴⁶. Для двухспиральных молекул характерна довольно малая величина ΔT_m (3—7°C), что существенно отличает их от односпиральных и частично двухспиральных молекул.

Температура плавления двухспиральных молекул зависит от многих факторов, важнейшие из которых рассмотрены ниже.

1. Факторы, влияющие на тепловую денатурацию

Длина молекулы. С уменьшением молекулярного веса полинуклеотида величина его T_m понижается^{147—151}. Этот эффект исследовался на природных и синтетических полинуклеотидах и особенно четко проявляется в случае коротких олигомеров. Так, например, при взаимодействии поли-А и поли-У в присутствии ионов магния в D_2O при рD7 тетрапуклеотиды образуют комплекс с

В ДЕНАТУ
 $T_m = 17^\circ$
чения д.л.
спиральн
Нукле

полнук.
держания
но увел
как показ
данными
нований.
модели д.
мости T_m
става осн
зовать с
клеотиды.
ности обр
ных связ
температу
ствующих
нуклеотид
менее чис
на пару о
не опред
двухспира
тида. Так,
вой кислот
для двухс
лигуанило
наково¹⁴⁷.
номерных
Природ
тиды расп

(поли-с

Эти ряды
более стаб
Такая зак
тидов. Так
15° выше,
эффект, во
жду гидро

$T_m = 17^\circ \text{C}$, а гексануклеотиды — с $T_m = 27^\circ \text{C}$ ¹⁴⁷. По мере увеличения длины молекулы различия в температурах плавления двухспиральных полинуклеотидов уменьшаются.

Нуклеотидный состав. Температура плавления двухспиральных полинуклеотидов зависит также от их состава. С увеличением содержания пар гуанин · цитозин T_m двухспиральных молекул линейно увеличивается^{121, 145, 212, 343–347},

как показано на рис. 4.18 (ср. с данными о стабильности пар оснований, стр. 225). В качестве модели для установления зависимости T_m полинуклеотида от состава оснований можно использовать синтетические олигонуклеотиды. При наличии возможности образования трех водородных связей на пару оснований температура плавления соответствующих двухспиральных полинуклеотидов повышается. Тем не менее число водородных связей на пару оснований само по себе не определяет однозначно T_m двухспирального полинуклеотида. Так, для двухспирального комплекса поли-2-аминоадениловой кислоты с полиуридиловой кислотой T_m значительно ниже, чем для двухспирального комплекса полицитидиловой кислоты с полигуаниловой кислотой, хотя число водородных связей у них одинаково¹⁴⁷. Этот эффект уже был отмечен при взаимодействии мономерных компонентов нуклеиновых кислот (см. стр. 227).

Природа углеводного остатка. Двухспиральные полинуклеотиды располагаются по стабильности в следующий ряд¹⁴⁷:

$$\begin{aligned} (\text{поли-dI}) \cdot (\text{поли-C}) &< (\text{поли-dI}) \cdot (\text{поли-dC}) < (\text{поли-I}) \cdot (\text{поли-dC}) < \\ &< (\text{поли-I}) \cdot (\text{поли-C}) \\ (\text{поли-dG}) \cdot (\text{поли-dC}) &< (\text{поли-dG}) \cdot (\text{поли-C}) < \\ &< (\text{поли-G}) \cdot (\text{поли-dC}) < (\text{поли-G}) \cdot (\text{поли-C}) \end{aligned}$$

Эти ряды показывают, что двухспиральные рибополинуклеотиды более стабильны, чем двухспиральные дезоксирибополинуклеотиды. Такая закономерность наблюдается и для природных полинуклеотидов. Так, T_m двухспиральной РНК вируса карликовости риса на 15° выше, чем T_m ДНК с подобным составом оснований¹³⁵. Данный эффект, возможно, связан с образованием водородных связей между гидроксилом остатка рибозы и соответствующим основанием

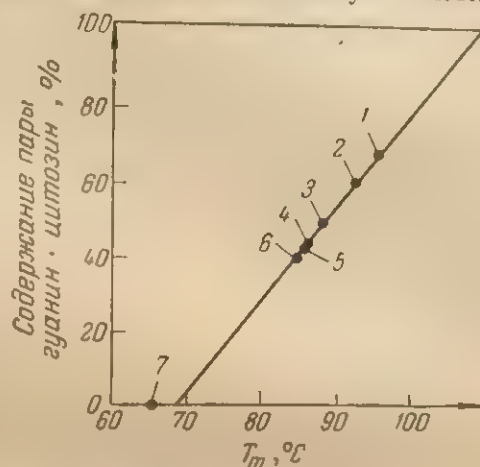


Рис. 4.18. Зависимость T_m двухспиральных полинуклеотидов от содержания пары гуанин · цитозин (обозначение точек на прямой — см. рис. 4.16).

в полирибонуклеотиде, что приводит к усилению межплоскостных взаимодействий вследствие уменьшения свободы вращения основания вокруг гликозидной связи⁷⁶ (см. стр. 142). Однако такое объяснение нельзя считать единственным. Различия в стабильности двухспиральных комплексов может быть связано с взаимодействиями с растворителем или с изменением конформации кольца углеводного остатка.

Зависимость от внешних факторов. Температура плавления двухспиральных полинуклеотидных комплексов повышается с увеличением ионной силы раствора, что связано с экранированием зарядов фосфатных групп. Практически линейная зависимость T_m от логарифма концентрации одновалентных ионов, наблюдаемая экспериментально (вплоть до концентрации 0,3 моль/л)³⁴⁸, хорошо предсказывается теоретически на основании рассмотрения разности значений электростатической свободной энергии фосфатных групп спирализованного и денатурированного состояний¹⁴⁷ (см. стр. 279). При более высоких значениях ионной силы T_m двухспиральных полинуклеотидов достигает максимального значения и далее не меняется или падает^{152a, 347}. Предпринимались попытки представить T_m двухспиральных полинуклеотидов в виде функции от содержания пар гуанин · цитозин и от логарифма ионной силы среды^{212, 346}. В ряде случаев были получены уравнения, довольно хорошо согласующиеся с экспериментальными данными³⁴⁶.

При концентрации солей $\sim 10^{-4}$ М ДНК денатурирует при комнатной температуре. Наблюдается определенная специфичность по отношению к различным ионам, присутствующим в растворе. Присутствие некоторых двухвалентных ионов (Mg^{2+} , Ba^{2+} , Co^{2+} , Mn^{2+} , Ni^{2+} , Zn^{2+}) увеличивает T_m ДНК, тогда как другие (Cu^{2+} , Cd^{2+} , Pb^{2+}) оказывают противоположный эффект.

В настоящее время нет единого мнения по поводу причин различного действия ионов и, хотя известно, что катионы сильно связываются с ДНК, не ясно, происходит ли это за счет неспецифических электростатических эффектов или имеет место также и специфическое химическое связывание¹⁴⁷.

Температура перехода от упорядоченного к денатурированному состоянию сильно зависит и от кислотно-основных свойств среды^{153—155}; при pH ниже 2,7 и выше 12 денатурация ДНК наблюдается уже при комнатной температуре. В то же время в интервале pH 5,5—8,5 T_m ДНК мало зависит от pH^{109, 154}. Наблюдаемая зависимость от pH объясняется ионизацией оснований¹⁵⁴. Исходя из изменений УФ-спектров^{348—351}, дисперсии оптического вращения^{350—353} и кругового дихроизма³⁵⁴ при кислотном титровании двухспиральных полинуклеотидов, был сделан вывод, что денатурация предшествует значительное протонирование остатков одного из оснований пары гуанин · цитозин. Однако пока неясно, какое из этих двух оснований протонируется в большей степени. При щелоч-

ной денатурации первым этапом, по-видимому, является ионизация остатков гуанина³⁵⁵.

Наконец, на T_m двухспиральных молекул влияет присутствие в растворе различных веществ, таких, как мочевина, гуанидин и т. д.¹⁰⁹. На T_m ДНК оказывает влияние присутствие органических растворителей. Это понятно с точки зрения теории Синапоглу (см. стр. 248), поскольку с уменьшением поверхностной энергии растворителя уменьшается различие в свободной энергии нативной ДНК, обладающей малой поверхностью, и денатурированной ДНК, обладающей большой поверхностью. На переход спираль — клубок для ДНК отмечалось также влияние давления^{156, 356}, концентрации ДНК^{157, 357} и т. д.

Конечным итогом денатурации при действии температуры, кислоты или щелочи может быть разделение цепей двухспиральной молекулы¹⁰⁹. Это следует из очень медленного восстановления свойств, характерных для исходной (нативной) ДНК, в процессе ренатурации (см. ниже) после достаточно продолжительного инкубирования ДНК в условиях денатурации. С этим согласуется, кроме того, второй порядок скорости реакции ренатурации, данные электронной микроскопии^{358, 359}, а также изменение гидродинамических характеристик молекулы при денатурации^{109, 360}. Однако наиболее убедительным доказательством, по-видимому, является возможность разделения комплементарных цепей после денатурации^{109, 185—195}.

Менее ясен вопрос о денатурации под действием органических растворителей. Хотя при действии формамида разделение цепей происходит¹⁹⁸, вероятно, возможны случаи денатурации и без разделения цепей¹⁵⁸.

Процесс денатурации не является процессом типа «все или ничего» и проходит через ряд промежуточных состояний, характеризующихся при каждой данной температуре определенным равновесным распределением локально денатурированных областей. Это следует, в частности, из сопоставления изменения вязкости и оптической плотности в процессе денатурации¹⁸². Из подобных сопоставлений удастся также оценить среднюю длину локально денатурированных областей в интервале плавления¹⁸². Образование в процессе денатурации частично денатурированных молекул является причиной известного эффекта расхождения температур плавления ДНК, определенных путем измерения изменений оптической плотности непосредственно в процессе нагревания раствора и после охлаждения нагретого до каждой данной температуры раствора. Величина T_m , определенная первым способом, на несколько градусов ниже, поскольку изменение оптической плотности непосредственно в процессе нагревания отражает нарушение спиральной структуры, не обязательно сопровождающееся разделением комплементарных цепей, тогда как при втором способе разделение

комплементарных цепей является обязательным условием фиксируемого изменения оптической плотности¹⁰⁹. Эти опыты привели к предположению о существовании в ДНК термостабильных «ядер» — участков, богатых парами гуанин · цитозин, которые удерживают комплементарные цепи частично денатурированной молекулы вместе.

Возможность существования двухспиральной молекулы ДНК как целого со значительными нарушениями внутри двойной спирали следует из опытов по денатурации ДНК путем нагревания в присутствии формальдегида^{179—181}. На электронных микрофотографиях обработанной таким образом ДНК обнаруживаются локально денатурированные участки, относительное содержание нуклеотидов в которых увеличивается с повышением температуры или увеличением продолжительности обработки формальдегидом. Распределение таких участков не случайно, а соответствует всегда определенным местам молекулы. Можно полагать, что это участки, богатые парами аденин · тимин. По мере повышения температуры размеры таких участков увеличиваются, они сливаются, и конечным результатом является разделение комплементарных цепей. Следует отметить, что денатурация в присутствии формальдегида отличается от обычной тепловой денатурации, поскольку она сопровождается химическим взаимодействием с формальдегидом, так что ренатурация областей, содержащих модифицированные звенья, невозможна. В результате этого при каждой данной температуре — а не только при температуре плавления — конечным итогом денатурации является разделение цепей¹⁸¹. Поэтому на основании опытов с использованием формальдегида для фиксации частично денатурированных областей в молекулах ДНК в интервале плавления нельзя делать выводов об истинных размерах и распределении этих областей при данной температуре в отсутствие формальдегида.

2. Особенности денатурации циклических ДНК

Если в линейной и в нековалентно-замкнутых ДНК в процессе денатурации возможно разделение цепей, то в двухспиральной циклической ковалентно-замкнутой ДНК этот процесс исключен. Кроме того, на процессы денатурации в этом случае оказывает влияние наличие сверхспиральной структуры.

При определении плавучей плотности ковалентно-замкнутой ДНК вируса полиомы (так называемой ДНК I) в градиенте плотности хлористого цезия с изменяющимся значением pH (щелочная область) наблюдается двухстадийный переход к денатурированному состоянию, характеризующемуся большей плавучей плотностью. Сопоставление этих результатов с аналогичными данными по изменению плавучей плотности той же самой ДНК, но с раз-

VI ДЕНАТУРАЦИЯ
в
ДНК-азы
ранний пер
мх. чем
ДНК I пр



Рис. 4.19.
(см. текст)

Аналогичны
сти коэффи
Это, по
ковалентно
ральной ст
шается ве
 $\alpha < \beta$ (см.
ходит раск
нем плоско
ванной рас

рывом в одной из цепей, вызванным, в частности, действием ДНК-азы (так называемой ДНК II, рис. 4.19), показывает, что ранний переход для ДНК I наблюдается в областях pH более низких, чем для ДНК II, тогда как поздняя стадия денатурации для ДНК I происходит при заметно более высоких значениях pH¹²².

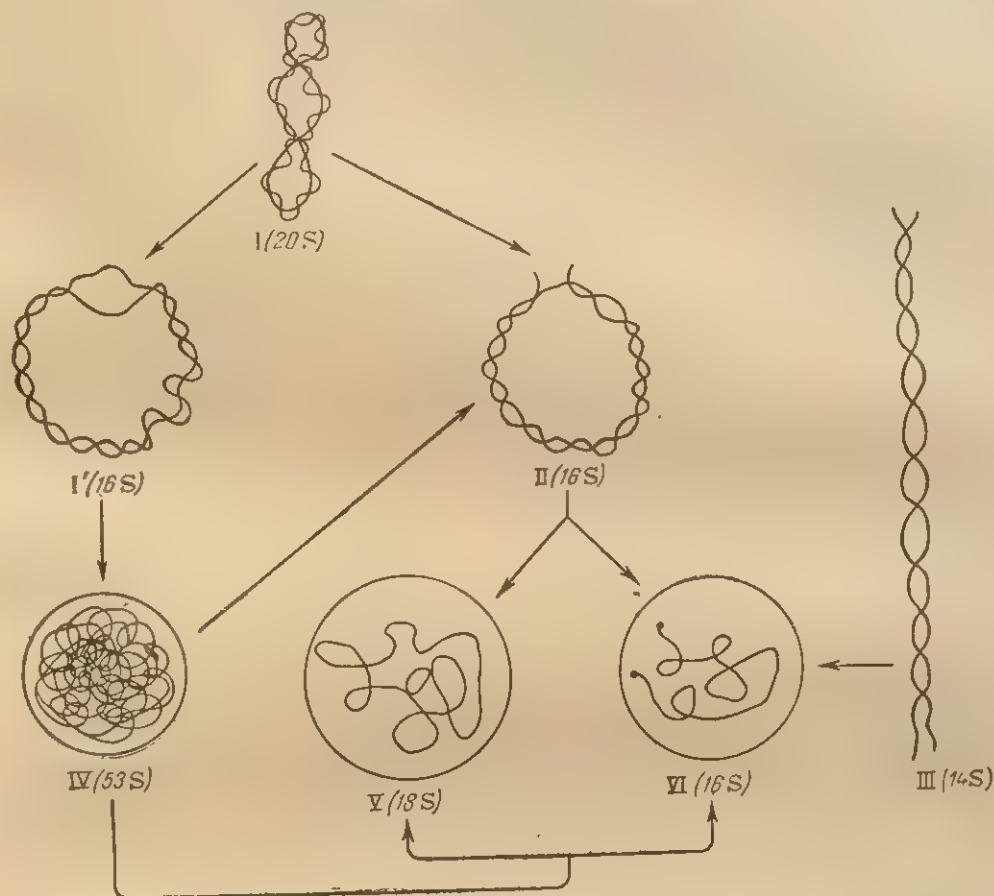


Рис. 4.19. Схема превращений циклической ковалентно-замкнутой ДНК (см. текст)¹⁶¹.

Аналогичные изменения наблюдаются при исследовании зависимости коэффициента седиментации от pH^{117, 159, 161}.

Это, по-видимому, означает, что первым этапом денатурации ковалентно-замкнутой ДНК является расплетание части двухспиральной структуры Уотсона — Крика, в результате чего уменьшается величина β (см. стр. 257) и соответственно, поскольку $\alpha < \beta$ (см. стр. 259), уменьшается число супервитков τ , т. е. происходит раскручивание молекулы, которое заканчивается образованием плоской циклической молекулы ДНК с частично денатурированной расплетенной областью или областями (I' на рис. 4.19).

При дальнейшем подщелачивании ДНК I' продолжается раскручивание двойной спирали Уотсона — Крика, однако в отличие от линейной и нековалентно-замкнутой ДНК этот процесс происходит без разделения цепей, что понижает энтропию денатурированного состояния и, следовательно, делает денатурацию менее выгодной (чем в случае линейной и нековалентно-замкнутой ДНК). Конечным итогом денатурации является образование плотного клубка с высоким коэффициентом седиментации (IV на рис. 4.19). Если в такой денатурированной молекуле провести разрыв в одной из цепей, то возникают циклическая одноцепочечная ДНК с коэффициентом седиментации 18S (V на рис. 4.19) и линейная одноцепочечная ДНК с коэффициентом седиментации 16S (VI). Формы V и VI получаются также при щелочной денатурации ДНК II.

Другой интересной особенностью циклических ДНК, наблюдаемой при щелочной денатурации, является очень быстрая ренатурация при нейтрализации щелочного раствора такой денатурированной ДНК, если значение pH не превышает 12,5. При денатурации щелочью более высоких концентраций не удается добиться ренатурации (после нейтрализации)¹⁵⁹ в условиях, когда ДНК II легко ренатурирует*. Необратимо денатурированная ковалентно-замкнутая ДНК после нейтрализации и обработки панкреатической ДНК-зой спонтанно ренатурирует³⁶¹, образуя циклическую ДНК II с односпиральными разрывами; данный процесс протекает значительно быстрее, чем ренатурация ДНК II. Это означает, по-видимому, что необратимая денатурация ДНК I происходит без разрыва цепей ДНК, однако в процессе денатурации они сдвигаются относительно друг друга вдоль оси спирали, после чего образование полностью комплементарной структуры при нейтрализации затруднено из-за случайного образования «ненативных» комплементарных пар^{159, 362}. Возможно также, что воссоздание вновь исходной комплементарной структуры затруднено стерически из-за образования сверхспиральной структуры. Быстрая спонтанная ренатурация после образования единственного одноцепочечного разрыва объясняется, очевидно, тем, что при этом происходит быстрое раскручивание сверхспиральной денатурированной структуры и две цепи, находясь в непосредственной близости друг от друга, могут легко образовать полностью комплементарную двухспиральную структуру, как это происходит, например, при ренатурации денатурированной ДНК со сшивками между комплементарными цепями¹⁶⁰.

Термическая денатурация циклической ДНК происходит при значительно более высокой температуре и характеризуется более высокой величиной ΔT_m по сравнению с линейными или некова-

* В щелочном растворе при pH 12 и температуре 50°С ренатурация такой ДНК происходит, однако, довольно быстро.

лентно-замкнутыми ДНК¹²². Такое возрастание T_m циклической ДНК легко понять с точки зрения энтальпийно-энтропийных изменений, происходящих при плавлении. Поскольку $T_m = \Delta H / \Delta S$ и поскольку, как уже отмечалось, ΔS при денатурации циклической ДНК меньше, чем ΔS при денатурации линейных ДНК (вследствие невозможности расхождения цепей), тогда как ΔH в обоих случаях одинаковы, то T_m для циклической ДНК должна быть существенно выше. Следует отметить, что гиперхромного эффекта, соответствующего первой стадии перехода (раскручивание сверхспиральной структуры), при тепловой денатурации заметить не удастся, так как переход в форму I сопровождается расплетанием всего $\sim 1-3\%$ спиральной структуры.

Образование формы I наблюдается также при денатурации циклических ковалентно-замкнутых ДНК в присутствии формальдегида¹⁶². Нагревание ДНК I вируса полиомы в присутствии формальдегида приводит к образованию молекулы, седиментирующей с той же скоростью, что и ДНК II, однако не имеющей разрывов. Формальдегид, присоединяясь по денатурированным за счет нагревания участкам, препятствует их последующей спирализации при охлаждении¹⁶³. Электронная микрофотография обработанной таким образом ДНК вируса папилломы¹⁶² показывает, что после обработки образуется смесь сверхспирализованных и плоских циклических ДНК, причем относительное содержание последних в смеси растет с повышением температуры обработки. Максимальное число плоских молекул образуется при 42°C ; при этой температуре найдено всего лишь 8% сверхспирализованных молекул. Однако при повышении температуры их число снова увеличивается. Это означает, что процесс тепловой денатурации происходит таким же способом, как и щелочная денатурация: форма I превращается в плоскую форму I', которая затем снова образует сверхспиральную структуру, но уже с противоположным направлением сверхспирали.

Кинетика денатурации. Понимание особенностей вторичной структуры полимеров во многом зависит от знания кинетических характеристик процессов ее разрушения и образования. До последнего времени этой проблеме в исследованиях нуклеиновых кислот уделялось мало внимания, что было связано во многом с отсутствием техники измерения скоростей быстрых процессов. Однако теперь уже имеется ряд сведений по этому вопросу, позволяющих сделать некоторые выводы о механизме денатурации.

Основной принцип измерения кинетики денатурации заключается в быстром помещении ДНК в денатурирующие условия и определении изменений любых характерных для двухспиральной молекулы особенностей в зависимости от времени. Наиболее часто для характеристики процесса денатурации используют изменение оптических свойств. Денатурацию вызывают либо действием тепла, либо изменением кислотности среды.

При быстром добавлении к раствору ДНК щелочи до pH 12,5 наблюдается быстрая денатурация, как это следует из изменения оптических свойств^{164, 165} (наблюдается максимальный гиперхромный эффект). Однако если через достаточно короткий промежуток времени произвести нейтрализацию раствора, то исходная двухспиральная структура сохраняется, о чем можно судить по значению коэффициента седиментации^{166, 167}. Нейтрализация после более продолжительного воздействия щелочью не приводит к восстановлению исходной вторичной структуры и, судя по коэффициенту седиментации, ее результатом является образование односпиральных клубкообразных молекул. Меняя продолжительность обработки щелочью, можно определить время, необходимое для необратимой денатурации. Это время зависит от температуры и вязкости среды*. Полученные результаты согласуются с предположением о денатурации путем раскручивания двухспиральной молекулы. Скорость такого процесса должна уменьшаться с увеличением вязкости среды, время раскручивания должно увеличиваться с увеличением длины молекулы.

Более полную информацию о механизме процесса можно получить из кинетических данных по тепловой денатурации — раствор ДНК нагревают в течение очень короткого времени и затем регистрируют изменения оптической плотности^{168–174} или полярографических характеристик^{175–177}. При этом оказывается, что кинетическая картина превращения различна в зависимости от соотношения между температурой T_1 исходного раствора ДНК, температурой плавления данной ДНК T_m и конечной температурой T_2 . Если T_1 на 20–30°С ниже T_m и если T_2 не очень высока (на 5–10°С выше T_m), то фиксируемые изменения свойств молекулы начинаются после заметного индукционного периода¹⁷². Этот индукционный период исчезает при увеличении T_1 или T_2 . Если уже при T_1 молекула ДНК имеет некоторое количество деспирализованных звеньев, то при достаточно высоком значении T_2 наблюдается стадия мгновенного увеличения степени деспирализации, характеризующаяся моментальным увеличением оптической плотности, после чего следует быстрый, но поддающийся измерению процесс дальнейшего возрастания оптической плотности. Величина первоначального скачка увеличивается с увеличением T_1 и T_2 , и при достаточно высоких значениях T_2 фиксируемая вторичная структура исчезает полностью на первой, мгновенной, стадии. Время завершения процесса, следующего за моментальной стадией (при условии достаточно большой T_2 **), приблизительно пропорционально квадра-

* См. также³⁶³. Данные относительно зависимости скорости денатурации от молекулярного веса противоречивы^{166, 167, 363}.

** При малых T_2 наблюдается еще одна стадия, которая нами здесь не рассматривается, поскольку природа ее пока неясна.

VII. РЕНАТУРА
ту молекулы
наблюдается
удельный ве
жением кон
Мгновенно
механизму
между основ
шая стадия
нуклеотиды
Труднее
низких нача
мостью возн
для эффекти

VII. ПРОЦ ДВУХСПИ

Процесс
зывается ре
ричной стр
способов, ч
исследован
ции денату
будет сказа
частичное в
Такой вывод

1. Ренат (гипохромиз ствующими
 2. Гидро ванной ДН тивной двух стик денату
 3. Рентге типичную д
 4. Элект (в случае п зуются мол ным 109, 183, 1
- Совокуп ждать, что соотвеству это истинна

* Обзор

ту молекулярного веса. Наличие мгновенной стадии денатурации наблюдалось также в опытах по кислотной денатурации ДНК, удельный вес этой стадии в общем процессе увеличивался с понижением конечной величины рН¹⁷⁸.

Мгновенная денатурация, по-видимому, происходит по тому же механизму, что и денатурация циклической ДНК — взаимодействие между основаниями нарушается без расплетания цепей. Последующая стадия, по-видимому, является процессом разделения полинуклеотидных цепей.

Труднее интерпретировать наличие индукционного периода при низких начальных температурах; возможно, он связан с необходимостью возникновения каких-то активных центров, требующихся для эффективного протекания процесса расплетания цепей¹⁷².

VII. ПРОЦЕССЫ, ПРИВОДЯЩИЕ К ВОССТАНОВЛЕНИЮ ДВУХСПИРАЛЬНОЙ СТРУКТУРЫ (РЕНАТУРАЦИЯ) *

Процесс восстановления разрушенной вторичной структуры называется ренатурацией. Изучение процессов восстановления вторичной структуры, нарушенной каким-либо из описанных выше способов, чрезвычайно важно и имеет не меньшее значение, чем исследование процессов ее разрушения. При проведении ренатурации денатурированной ДНК в оптимальных условиях (о которых будет сказано ниже) конечным итогом является по крайней мере частичное восстановление исходной (нативной) структуры ДНК. Такой вывод можно сделать на основании следующих данных.

1. Ренатурированная ДНК обладает оптическими свойствами (гипохромизм, оптическое вращение, круговой дихроизм), соответствующими нативным препаратам¹⁰⁹.

2. Гидродинамические характеристики полностью ренатурированной ДНК лишь незначительно отличаются от таковых для нативной двухцепочечной ДНК и сильно отличаются от характеристик денатурированной молекулы^{109, 198}.

3. Рентгеноструктурный анализ ренатурированной ДНК дает типичную для В-формы ДНК дифракционную картину¹⁰⁹.

4. Электронно-микроскопические исследования показывают, что (в случае недеградированных препаратов) при ренатурации образуются молекулы, соответствующие по длине и диаметру нативным^{109, 183, 184}.

Совокупность перечисленных данных дает возможность утверждать, что ренатурированная молекула по физическим свойствам соответствует нативной, однако делать из них выводы о том, что это истинная нативная форма, нельзя. Информация об этом в на-

* Обзор — см. 109, 384.

стоящее время может быть получена, по-видимому, только путем биологической оценки ренатурированной ДНК. Существует уже довольно много исследований, в которых констатируется восстановление биологических свойств при ренатурации. Среди них можно отметить восстановление трансформирующей активности «трансформирующих» ДНК (денатурированные молекулы неактивны). Восстановление биологической активности происходит в процессе ренатурации, причем скорость этого процесса совпадает со скоростью ренатурации (по оценке с помощью спектрофотометрии¹⁵²).

В последние годы разработаны методы разделения комплементарных цепей ДНК¹⁸⁵⁻¹⁹⁵. При ренатурации отдельных нитей ДНК фага λ , каждая из которых не обладает биологической активностью (не более 10% исходной), наблюдается восстановление биологической функции примерно наполовину¹⁸⁸. Важно отметить, что взаимодействуют с образованием двухспиральной молекулы только комплементарные цепи; цепи одного типа не способны к ренатурации.

При ренатурации восстанавливаются также иммунохимические свойства, характерные для двухспиральных молекул¹⁰⁹.

При использовании для ренатурации деградированных препаратов ДНК наблюдаются заметные отличия в физических свойствах ренатурированных и исходных молекул¹⁹⁸. Например, на электронных микрофотограммах ренатурированных молекул наблюдаются клубкообразные концы, тогда как середина молекулы имеет вид, характерный для двухспиральных комплексов³⁵⁹. Односпиральные концы этих молекул могут образовывать двухспиральные участки с комплементарными односпиральными концами, в результате чего возникают агрегаты большого молекулярного веса¹⁹⁸. Молекулы, отличающиеся от нативных, получают также, по-видимому, при ренатурации денатурированной ДНК с циклическими перестановками, как, например, для ДНК Т-четных фагов. Здесь также возможно образование агрегатов, состоящих из большого числа молекул¹⁹⁸.

Все это является свидетельством случайного сочетания комплементарных цепей в процессе ренатурации, в результате чего могут объединяться цепи, имеющие различную длину.

Случайный характер процесса ренатурации был убедительно показан в опытах с молекулами ДНК мечеными тяжелыми изотопами азота и водорода. Двухспиральная молекула, обе цепи которой содержат тяжелые изотопы, имеет заметно большую плавучую плотность, чем полностью немеченая ДНК. После денатурации эквимольной смеси меченой таким образом и немеченой ДНК последующая ренатурация приводит к возникновению трех зон, соответствующих по плавучей плотности полностью меченой (тяжелой), полностью немеченой и промежуточной ДНК, т. е. двухспи-

VII. РЕНАТУРАЦИЯ

гальной ДНК
ными цепями
ствозависимо
ции^{109, 196}.

1. Факторы

Имеются факторы, зависящие от условий ренатурации, связанные с физическими свойствами молекул, с их взаимодействием с растворителем, с наличием в растворе ионов, с наличием в ДНК выделенных примесей, с наличием в ДНК повторов, с наличием в ДНК повторных единиц.

Структура

относятся к структуре молекул, к их физической характеристике, к числу нуклеотидов, к числу нуклеотидов ДНК^{184, 365}.

просто число нуклеотидов, к числу нуклеотидов молекулы, к числу нуклеотидов, входящих в состав ДНК.

в ДНК выделены повторные единицы, к числу повторных единиц.

Исследования в различных областях и разделение ДНК, к числу нуклеотидов, к числу нуклеотидов ДНК^{109, 184}.

Для дальнейшего разделения ДНК, к числу нуклеотидов, к числу нуклеотидов ДНК.

дробления ДНК, к числу нуклеотидов, к числу нуклеотидов ДНК.

ренатурация ДНК, к числу нуклеотидов, к числу нуклеотидов ДНК.

нальной конформации ДНК, к числу нуклеотидов, к числу нуклеотидов ДНК.

определяет структуру ДНК, к числу нуклеотидов, к числу нуклеотидов ДНК.

полинуклеотидов ДНК, к числу нуклеотидов, к числу нуклеотидов ДНК.

Сопоставление фрагментов ДНК, к числу нуклеотидов, к числу нуклеотидов ДНК.

фрагментов ДНК, к числу нуклеотидов, к числу нуклеотидов ДНК.

фрагментов ДНК, к числу нуклеотидов, к числу нуклеотидов ДНК.

ральной ДНК с одной меченой и одной немеченой комплементарными цепями *. Отношение количества ДНК в этих зонах соответствовало 1:1:2, что отвечает случайному характеру ренатурации^{109, 196}.

1. Факторы, влияющие на процесс ренатурации

Имеются два рода факторов, влияющих на ренатурацию: факторы, зависящие от свойств самой ДНК, т. е. структурные, и факторы, связанные с условиями ренатурации.

Структурные факторы. К первой группе факторов, естественно, относятся молекулярный вес и нуклеотидный состав ДНК, а также особая характеристика — сложность ДНК. Она представляет собой число нуклеотидных пар в неповторяющихся последовательностях ДНК^{184, 365}. Для ДНК вирусов и бактерий сложность ДНК равна просто числу нуклеотидных пар в интактной недеградированной молекуле, поскольку ДНК этих организмов не содержит повторяющихся последовательностей достаточно большой длины³⁶⁵. Однако в ДНК высших организмов имеется, по-видимому, очень большое число повторяющихся последовательностей по 200—300 нуклеотидных единиц³⁶⁵.

Исследование кинетики ренатурации ДНК в различных условиях и разными методами дало возможность сделать вывод, что данный процесс является реакцией второго порядка, причем наблюдаются следующие закономерности, определяемые свойствами ДНК^{109, 184, 198, 199, 366}.

Для данной ДНК уменьшение ее молекулярного веса путем дробления сопровождается¹⁸⁴ уменьшением константы скорости ренатурации k_2 , так что последняя все время остается пропорциональной корню квадратному из длины молекулы L (длина здесь определяется как среднее число нуклеотидов в одноцепочечном полинуклеотиде): $k_2 \approx \sqrt{L}$.

Сопоставление скорости ренатурации одинаковых по длине фрагментов, полученных из ДНК разной сложности, приводит к выводу, что скорость ренатурации обратно пропорциональна сложности^{184, 197, 366}. Это обстоятельство дает принципиальную возможность определять сложность молекулы, т. е. для вирусных и бактериальных ДНК — молекулярный вес¹⁸⁴, по кинетике ренатурации деградированных образцов ДНК, исходя из известной (например, определенной по константе седиментации) длины одноцепочечных фрагментов. Таким образом, при одинаковой длине ренатурирую-

* Описываемые опыты были одним из первых адекватных доказательств разделения цепей ДНК в результате денатурации.

щих фрагментов различные ДНК могут быть расположены по скорости ренатурации в ряд:

ДНК фагов и вирусов > ДНК бактерий ≫ ДНК животных
(медленный компонент, см. ниже)

Сопоставление наблюдаемых констант скорости ренатурации для денатурированных ДНК разного происхождения приводится в табл. 4.13. Общее выражение для константы скорости второго порядка, таким образом, дается формулой

$$k_2 \approx \frac{\sqrt{L}}{N}$$

где L — средняя длина одноцепочечного полинуклеотида; N — сложность нативной молекулы ДНК.

Таблица 4.13. Зависимость скорости ренатурации от среднего молекулярного веса денатурированных ДНК и от сложности нативной ДНК¹⁸⁴

Источник ДНК	Содержание пар гуанин-цитозин, %	Константа седиментации денатурированных ДНК при pH 13 S _{20, W}	k_2 , $\frac{L}{\text{моль} \cdot \text{сек}}$	Мол. вес нативной ДНК (из k_2)
Аспитный рак	42	6,8	0,0026	$(2,5 \pm 0,5) \cdot 10^{12}$
крысы				
<i>Escherichia coli</i>	50	12,3	6,0	$(2,5 \pm 0,5) \cdot 10^9$
Фар Т4	34	28 5 8,0	190 39	$(1,3 \pm 0,10) \cdot 10^8$
Фар № 1	64	30 7,9	1490 330	
Фар Т7	49	34,7 7,5	1790 320	$(2,5 \pm 0,1) \cdot 10^7$
Вирус SV 40	41	6,6	1080	$(3,3 \pm 0,1) \cdot 10^6$

Скорость ренатурации зависит от нуклеотидного состава ДНК, она несколько увеличивается при увеличении содержания пар гуанин-цитозин^{184, 366}. Если исходная нативная ДНК содержит повторяющиеся последовательности, то при ее деградации до фрагментов, примерно соответствующих длине такой последовательности, концентрация подобных фрагментов превышает концентрацию каждого из фрагментов с уникальной последовательностью во столько раз, сколько раз повторяющаяся последовательность представлена в ДНК. В связи с этим ренатурация денатурированных ДНК высших организмов носит сложный характер и включает быстрые стадии, когда происходит ренатурация более многочислен-

ных повторяющихся последовательностей, и медленные стадии — для уникальных последовательностей. Кинетика ренатурации, таким образом, может использоваться для детектирования повторяющихся последовательностей^{365, 369}.

Теоретическое рассмотрение кинетики процесса ренатурации основывается на следующих положениях.

Первым этапом, который определяет скорость процесса, является образование «ядра», представляющего собой одну или несколько пар оснований, соответствующих парам, присутствовавшим в нативной молекуле. Возникновение такого «ядра» (или «ядер») может происходить на одном или нескольких определенных участках денатурированной молекулы. После возникновения «ядра» протекает быстрый процесс образования двойной спирали.

Можно показать, что константа скорости ренатурации определяется формулой

$$k_2 = \beta^3 k_N L/N$$

где β — отношение числа нуклеотидов, могущих быть компонентами образующегося «ядра», к общему числу нуклеотидов в нативной молекуле; k_N — константа скорости образования одного из ядер.

Расхождение предсказаний теории и экспериментальных данных по зависимости скорости ренатурации от длины молекулы связано, возможно, с тем, что вследствие клубкообразного характера денатурированных молекул на все потенциальные ядра образуются с одинаковой скоростью, так как часть из них «спрятана» внутри клубка.

В отдельных цепях денатурированной ДНК возможно образование спирализованных участков за счет взаимодействия комплементарных оснований, расположенных в разных местах цепи^{359, 367, 368}. Количество и стабильность таких участков, естественно, увеличивается с понижением температуры и повышением ионной силы среды^{367, 198}. Образование подобных участков может влиять на образование «ядер», уменьшая скорость ренатурации, и на процесс последующей спирализации. Если взаимодействуют две цепи со стабильными спиральными участками, может произойти лишь частичная ренатурация. Во взаимодействующих цепях при этом могут остаться участки, способные к образованию новых «ядер» с другими цепями, в результате чего в конечном итоге возможно образование разветвленных агрегатов из многих цепей³⁶⁷. Поэтому ренатурацию важно проводить в условиях, в которых образование внутренних двухспиральных участков сведено к минимуму, тогда как двухцепочечная структура еще достаточно прочна.

Воздействие внешних условий. Зависимость константы скорости ренатурации ДНК от температуры имеет максимум * при темпе-

* См., однако,⁸⁶⁸

ратуре порядка $T_m - 25^\circ \text{C}$ ^{109, 184}, точное положение этого максимума зависит от прочих условий, в частности от ионной силы среды ³⁶⁸.

В интервале рН 5—9 скорость ренатурации не зависит от значения рН; при более низких и более высоких значениях рН скорость ренатурации понижается вследствие ионизации оснований.

В зависимости от температуры, при которой проводится ренатурация, ионная сила среды различным образом влияет на скорость процесса ³⁶⁸. При достаточно высоких температурах ($60-80^\circ \text{C}$), когда в цепях денатурированной ДНК практически нет внутримолекулярных двухспиральных участков, скорость ренатурации монотонно возрастает с увеличением ионной силы ^{366, 368}. В условиях, при которых эти спиральные участки достаточно прочны (при $25-36^\circ \text{C}$), зависимость от ионной силы носит сложный характер. При увеличении концентрации соли скорость ренатурации сначала увеличивается за счет экранирования зарядов фосфатных групп и уменьшения отталкивания между цепями. Затем в момент, когда степень внутримолекулярной спирализации равна примерно половине максимально возможной, скорость ренатурации проходит через максимум и далее падает ³⁶⁸. При ионной силе, отвечающей максимуму внутримолекулярной спирализации в цепях, скорость реакции падает до минимума и при дальнейшем увеличении концентрации солей возрастает ³⁶⁸. При температурах, применяемых для ренатурации ($50-60^\circ \text{C}$), оптимальной концентрацией соли является примерно 0,4 М. При высоких ионных силах среды может измениться даже порядок реакции.

Наконец, константа скорости ренатурации обратно пропорциональна вязкости среды ^{184, 198, 199} при постоянном значении разности между T_m ДНК и температурой ренатурации.

В итоге для практических целей оптимальными являются следующие условия ренатурации: температура на 25°C ниже T_m данной ДНК; ионная сила 0,4; рН раствора в интервале 5—9.

Причины наблюдаемой зависимости скорости ренатурации от температуры и вязкости в настоящее время являются предметом обсуждения ^{184, 366}.

Взаимодействие денатурированных ДНК с комплементарными цепями РНК протекает, по-видимому, по такому же механизму и с такими же закономерностями ^{200, 364, 370-372}.

Образование стабильной двухспиральной структуры при взаимодействии комплементарных цепей широчайшим образом используется в молекулярной биологии для установления генетического родства различных микроорганизмов, для определения происхождения различных видов РНК в цитоплазме клеток и, наконец, для локализации некоторых видов мутаций в цепи ДНК. Во всех этих исследованиях экспериментатора интересует не восстановление структуры исходной денатурированной ДНК, а образование сме-

VII РЕНАТУРАЦИЯ
шанных, гибр
ных цепей
изучаемых Д
ных молеку
Описанные

применения д
что приводит
рации. Если п
жающих стаб
растворителей
щую концент
силы, удаётся
точно быстро

В итоге, по
ДНК, можно з
ная структура
разделенные

2. Внутри

Особеннос
действием ме
статическими
между основа
рами основан
смотрены. Стр
основаниями
образуется во
сколько велич
ДНК, которую
с радиусом 1
цепочечных м
теории Синан
быть значите
зрения влияни

Помимо в
очень важным
ной молекулы
В нативной Д
дами соседни
дами групп в
В денатуриро
вия фосфатны
ними фосфат
Крика (7 Å)
котором они

шанных, гибридных молекул путем соединения двух комплементарных цепей ДНК, принадлежащих различным организмам, или изучаемых ДНК и РНК. Для ренатурации с образованием гибридных молекул применяют термин «гибридизация»^{109, 201–211}.

Описанные методы ренатурации в водных растворах требуют применения довольно высоких температур (порядка $T_m - 25^\circ\text{C}$), что приводит к деградации нуклеиновых кислот в процессе ренатурации. Если проводить ренатурацию в присутствии веществ, понижающих стабильность двойной спирали, например органических растворителей^{373–375} или мочевины³⁷⁶, то, подобрав соответствующую концентрацию денатурирующего агента и величину ионной силы, удастся провести высокоспецифичную ренатурацию достаточно быстро и при сравнительно низкой температуре.

В итоге, исходя из исследований по денатурации и ренатурации ДНК, можно заключить, что в определенных условиях двухспиральная структура ДНК типа Уотсона—Крика более стабильна, чем ее разделенные одноцепочечные компоненты.

2. Внутримолекулярные взаимодействия в ДНК

Особенности поведения ДНК в растворе определяются взаимодействием между основаниями, влиянием растворителя и электростатическими эффектами фосфатных групп. Типы взаимодействий между основаниями и межплоскостные взаимодействия между парами оснований, связанных водородными связями, уже были рассмотрены. Структура ДНК очень компактна, и пространство между основаниями непроницаемо для молекул воды; гидратная оболочка образуется вокруг внешней поверхности двойной спирали ДНК. Поскольку величина внешней поверхности двухспиральной молекулы ДНК, которую приближенно можно рассматривать как цилиндр с радиусом 10 Å, значительно меньше величины поверхности одноцепочечных молекул, образующихся при денатурации, то, согласно теории Синаноглу (см. стр. 248), двухспиральное состояние должно быть значительно более выгодным, чем односпиральное, с точки зрения влияния растворителя на свободную энергию системы.

Помимо взаимодействия оснований и эффектов растворителя очень важным фактором, влияющим на стабильность двухспиральной молекулы, является взаимодействие зарядов фосфатных групп. В нативной ДНК эти взаимодействия происходят как между зарядами соседних фосфатных групп в одной цепи, так и между зарядами групп в противоположных цепях двухспирального комплекса. В денатурированном состоянии сохраняются только взаимодействия фосфатных групп внутри одной цепи. Расстояние между соседними фосфатными группами в одной цепи спирали Уотсона и Крика (7 Å) соответствует почти максимальному расстоянию, на котором они могут находиться. В денатурированном состоянии

соседние фосфатные группы также находятся на максимально возможном расстоянии друг от друга, по-видимому, вследствие отталкивания отрицательных зарядов. Поэтому взаимодействие соседних фосфатных групп одной цепи и в нативном, и в денатурированном состоянии должно быть примерно одинаковым и не должно оказывать существенного влияния на различие в стабильности этих двух состояний. Однако взаимодействие между удаленными фосфатными группами, принадлежащими одной и той же цепи, может быть различным в нативном и денатурированном состоянии вследствие различия конформаций двухспиральной и односпиральной молекул. Если же этим эффектом пренебречь, то следует признать, что основным различием между двумя состояниями является отсутствующее в одноцепочечном полинуклеотиде взаимодействие между фосфатами, принадлежащими противоположным цепям двухспиральной структуры. Основываясь на этом, можно рассчитать электростатический потенциал, создаваемый в точке нахождения любой фосфатной группы одной цепи всеми зарядами фосфатов другой цепи, а также оценить величину электростатической свободной энергии, обусловленную этим взаимодействием^{147, 212-214}.

В присутствии солей вследствие изменения экранирования зарядов фосфатных групп за счет ионной атмосферы величина электростатической свободной энергии меняется. Поскольку электростатическая свободная энергия является разностью свободных энергий взаимодействия зарядов фосфатных групп в нативном и денатурированном состоянии ДНК, то изменение этой величины должно сказываться на температуре плавления двухспиральной структуры. Действительно, между рассчитанными для разных значений ионной силы величинами электростатической свободной энергии и соответствующими значениями T_m наблюдается линейная зависимость. Увеличение экранирования фосфатных групп, вызывающее уменьшение свободной энергии взаимодействия между фосфатами, повышает стабильность двухспирального состояния, что приводит к повышению T_m .

Таким образом, если эффекты, связанные с взаимодействием оснований друг с другом и с взаимодействием полинуклеотидов с растворителем, стабилизируют двухспиральную структуру молекулы, то электростатические взаимодействия зарядов фосфатных групп дестабилизируют ее.

Важным вопросом, возникающим в связи с процессом денатурации ДНК, является вопрос о причинах кооперативности перехода в денатурированное состояние. Эта проблема решается в рамках современных теорий перехода спираль — клубок для ДНК, рассматривающих данный процесс с точки зрения статистической физики^{146, 215-222, 377-380}. Причиной кооперативности плавления в ДНК являются межплоскостные взаимодействия пар оснований. Если ϵ есть изменение свободной энергии при межплоскостной

ассоциации
зьями пар о
модели Уо
охарактери

где R —
температура
В случае
ла перехода

т. е. пропор
раль — клуб
Процесс
промежуточ
что в перехо
и неспираль
в точке пла
для двухсп
чайным рас
двойной спи

Для ДНК
от гомополи
в первую оч
ширины инте

Таким обр
ления ДНК
плоскостного
интервала не
ных участках
Свободну
нований мож
ных по опре
рины интерва
то изменение
мерно 7 ккал
тических гом
 ΔT_m хорошо

ассоциации двух изолированных, но связанных водородными связями пар оснований, взаимное положение которых соответствует модели Уотсона — Крика, то кооперативность перехода можно охарактеризовать так называемым фактором кооперативности σ :

$$\sigma = e^{-\frac{\varepsilon}{RT}}$$

где R — универсальная газовая постоянная; T — абсолютная температура в $^{\circ}\text{K}$.

В случае синтетических гомополинуклеотидов ширина интервала перехода связана с фактором кооперативности соотношением

$$\Delta T_m = 12,4R \frac{T_m^2}{\Delta H} \sigma^{2/3}$$

т. е. пропорциональна $\sigma^{2/3}$ (здесь ΔH — энтальпия перехода спираль — клубок, остальные обозначения известны).

Процесс плавления ДНК, как уже отмечалось, протекает с промежуточным образованием дефектов в двойной спирали, так что в переходном состоянии образуются чередующиеся спиральные и неспиральные участки. Средняя длина спирального участка ν в точке плавления также связана с фактором кооперативности и для двухспиральных синтетических гомополинуклеотидов со случайным распределением вдоль цепи дефектов, возникающих в двойной спирали при плавлении. Эта зависимость выражается так:

$$\nu \approx \frac{1}{\sigma^{2/3}}$$

Для ДНК, несколько отличающейся по механизму плавления от гомополинуклеотидов, дефекты в двойной спирали возникают в первую очередь в местах, богатых парами аденин-тимин. Для ширины интервала перехода ДНК имеем:

$$\Delta T_m \approx \frac{1}{[\ln \sigma]} \approx \frac{1}{\varepsilon}$$

Таким образом, из теоретического рассмотрения процесса плавления ДНК вытекает, что с увеличением свободной энергии межплоскостного взаимодействия пар оснований уменьшается ширина интервала перехода и увеличивается число нуклеотидов в спиральных участках в точке перехода.

Свободную энергию межплоскостного взаимодействия пар оснований можно определить из известных экспериментальных данных по определению энтальпии перехода спираль — клубок и ширины интервала перехода. Если принять $\Delta H = 8$ ккал/моль^{147, 155}, то изменение свободной энергии ε при ассоциации составляет примерно 7 ккал/моль для двойных спиралей, составленных из синтетических гомополинуклеотидных цепей. Рассчитанные значения ΔT_m хорошо согласуются с экспериментальными величинами

интервала перехода. Согласуется с экспериментом также и вывод, что с уменьшением молекулярного веса ДНК должна уменьшаться величина T_m и увеличиваться ΔT_m .

Заканчивая рассмотрение двухспиральных молекул, следует сказать несколько слов о влиянии макромолекулярной структуры на реакционную способность оснований, входящих в состав этих молекул, по отношению к различным химическим агентам. Общей закономерностью здесь, по-видимому, является резкое снижение скорости реакций по сравнению с мономерами.

В качестве примера можно привести реакцию с формальдегидом, широко применяющуюся для исследований структуры нуклеиновых кислот. Этот реагент, легко реагируя с основаниями в составе нуклеозидов и нуклеотидов, практически не реагирует с ДНК²²³. Аналогичные эффекты наблюдаются для таких реагентов, как карбодимид^{224, 225}, семикарбазид²²⁶ и т. д. Более детально для разных реагентов этот вопрос рассматривается во второй половине книги. Сейчас пока трудно дать точное определение всех факторов, вызывающих подобное снижение реакционной способности, однако, вне всякого сомнения, большую роль здесь играют пространственные факторы, связанные с упаковкой оснований внутри двойной спирали, а также энергетические факторы, когда реакция проходит по атому, принимающему участие в системе водородных связей.

В этой связи необходимо отметить, что ДНК в растворах представляет собой не статическую, раз навсегда закрепленную структуру, а динамическую, непрерывно испытывающую локальные денатурации и ренатурации²²⁷. Этим, по-видимому, и объясняется возможность протекания ряда химических реакций с группами оснований, расположенными внутри упаковки двойной спирали. В частности, это относится к обмену протонов ДНК, принимающих участие в образовании водородных связей, на дейтерий и тритий^{97, 98, 228, 341}, а также к реакции с формальдегидом³⁸¹. Вероятность локальной денатурации и, следовательно, скорость химической реакции уменьшаются с увеличением степени кооперативности двухспиральной молекулы.

VIII. ОДНОЦЕПОЧЕЧНЫЕ ПОЛИНУКЛЕОТИДЫ

Природные полинуклеотиды не в денатурированном состоянии не обладают односпиральной конформацией. Они либо двухспиральны, как ДНК, либо включают в себя двухспиральные участки, чередующиеся с односпиральными, как РНК. Поэтому для понимания свойств одноцепочечных РНК необходимы модельные соединения, представляющие собой практически односпиральные молекулы, на основании свойств которых можно было бы сделать выводы о свойствах односпиральных участков РНК. Такими модельными соединениями являются синтетические гомополинук-

VIII. ОДНОЦЕПОЧЕЧНЫЕ

леотиды — по
ральной и ш
зор — см. 100)

Несмотря на то, что в среде предс
гипохромного
дисперсии оп
что между ос
модействия. К
дихроизма оч
зидмонофосф
жить, что в с
ниями не об
вращения для
полненные ис
таты, согласу
ми доказател
тидов являет
дов, у которы
замещения с
ми 71, 239, 240, а
ции с формал

Причиной
изолированны
взаимодействи
горможенност
друга. Этот э
фосфатов (см
постепенное
носящее неск
примера пок
тельной поло
длины с повы
Анализ кр
изменения эн

* В кист
плексы 100
** Структу
выяснена 130
*** В случа
гласно с эксп
зываемым кон
и внутри цепи.
между рибо- и д
Интересно
клеотиды 382

леотиды — полиадениловая и полицитидиловая кислоты в нейтральной и щелочной средах * и полиуридиловая кислота ** (обзор — см.¹⁰⁰).

Несмотря на то что по гидродинамическим свойствам полиадениловая и полицитидиловая кислоты в нейтральных и щелочных средах представляют собой статистические клубки²²⁹⁻²³², наличие гипохромного эффекта^{57, 60, 232, 233}, кругового дихроизма^{71, 234, 235} и дисперсии оптического вращения^{62, 236, 237} свидетельствует о том, что между основаниями в этих полинуклеотидах существуют взаимодействия. Кривые дисперсии оптического вращения и кругового дихроизма очень схожи с аналогичными кривыми для динуклеозидмонофосфатов (см. стр. 238), и это дает основание предположить, что в случае гомополимера водородные связи между основаниями не образуются. Расчеты кривых дисперсии оптического вращения для полиадениловой и полицитидиловой кислот,²³⁸ выполненные исходя из свойств динуклеозидфосфатов, дают результаты, согласующиеся с экспериментальными***. Наиболее прямыми доказательствами односпиральной структуры этих полинуклеотидов является аналогия их свойств со свойствами полинуклеотидов, у которых невозможно образование водородных связей в силу замещения соответствующих водородов алкильными радикалами^{71, 239, 240}, а также результаты кинетических исследований реакции с формальдегидом²⁴¹.

Причиной различия оптических свойств гомополинуклеотидов и изолированных мономерных единиц являются межплоскостные взаимодействия между соседними основаниями, приводящие к заторможенности хромофорных групп оснований относительно друг друга. Этот эффект наблюдается уже на уровне динуклеозидмонофосфатов (см. стр. 236). При повышении температуры происходит постепенное изменение оптических свойств гомополинуклеотидов, носящее некооперативный характер^{57, 70}. На рис. 4.20 в качестве примера показано изменение величины силы вращения положительной полосы кругового дихроизма олигоаденилатов различной длины с повышением температуры.

Анализ кривых приводит к выводу, что значения T_m , а также изменения энтальпии, энтропии и свободной энергии олигоадени-

* В кислой среде эти полинуклеотиды образуют двухспиральные комплексы¹⁰⁰.

** Структура полигуаниловой кислоты в настоящее время еще недостаточно выяснена¹⁰⁰.

*** В случае дезоксиполинуклеотидов подобные расчеты не приводят к согласию с экспериментальными данными³⁴⁰. Это связано, по-видимому, с так называемым концевым эффектом: нуклеозидные звенья, находящиеся на концах и внутри цепи, в разной степени взаимодействуют с водой. Причины различий между рибо- и дезоксирибоолиго- и полинуклеотидами не ясны^{76, 340}.

Интересно отметить, что 2'-О-метилрибополинуклеотиды³⁸² по свойствам ближе к рибо-, чем к дезоксирибопроизводным.

латов при переходе от состояния, в котором основания взаимодействуют, к состоянию, где (судя по оптическим свойствам) такого взаимодействия нет, примерно одинаковы независимо от длины цепи^{57, 70}.

Эти результаты подтверждаются данными по гипохромному эффекту и дисперсии оптического вращения^{57, 60, 77, 242}. Хотя так же,

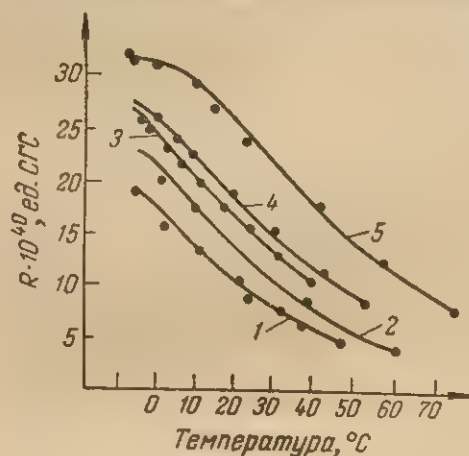


Рис. 4.20. Изменение силы вращения положительной полосы растворов олигонуклеотидов различной длины с увеличением температуры при pH 7,4⁷⁰:

1 — (A)₃; 2 — (A)₅; 3 — (A)₇; 4 — (A)₁₂; 5 — (A)_n ($n > 50$).

модействий и существенно отличает их от кооперативных (см. стр. 281). С точки зрения макромолекулярной структуры это означает, что в односпиральных полинуклеотидах в каждый данный момент существуют только короткие последовательности уложенных в стопку оснований, между которыми находятся области невзаимодействующих компонентов, причем упорядоченные области непрерывно разрушаются и образуются случайным образом вдоль полинуклеотидной цепи. Это является первой и основной отличительной особенностью вторичной структуры односпиральных полинуклеотидов; в двухспиральных полинуклеотидах взаимодействие между соседними парами оснований значительно более стабильно.

Средняя длина упорядоченных участков в одноцепочечных полинуклеотидах увеличивается с понижением температуры. Так, при 20° C в спиральных областях содержится примерно $\frac{2}{3}$ общего количества оснований, а при 0° C — уже $\frac{7}{8}$ всех оснований. Это приводит к изменению конформации всей молекулы, что проявляется, например, в быстром увеличении вязкости¹⁰⁰.

Вторым существенным отличием односпиральных полинуклеотидов является независимость температуры плавления, определяе-

как в случае АрА (см. стр. 246), величины термодинамических параметров отличаются при определении различными методами, общий вывод о их независимости от длины цепи остается неизменным. Это означает, что свободная энергия присоединения одного основания к уже существующей последовательности упорядоченных оснований равна свободной энергии возникновения взаимодействия между двумя основаниями при отсутствии предварительной упорядоченности. Следовательно, константа равновесия между взаимодействующими и невзаимодействующими основаниями в динуклеотиде равна соответствующей константе равновесия в полимере. Такое положение типично для некооперативных взаи-

VIII. ОДНОЦЕП...

мой по изм... среды⁵⁷, на... следствием... ных групп... уложены в... взаимодейств... спиральной... к беспорядоч... ческих взаи... спиральных... ральных мол... доступности... кулах.

Таким об... шественно от... лекулах РНК... ваний, как... односпираль... ний во мног... смотренными... в реакционн... ским агентам...

Свойства... мере двух к... время в ряд... транспортны... сокомолекул... ны, однако... обсуждаться... последователь... зор — см. 243.

1. Вторич...

Как уже... по-видимому... ных полинук... полинуклеот... нентов. Эти... тРНК первы... ность постр... Однако еще... сделан ряд... туры тРНК... Форма м... При повыше...

мой по изменению оптических характеристик, от ионной силы среды⁵⁷, начиная с $\mu = 0,01$ и выше. Это является, по-видимому, следствием максимально возможной удаленности соседних фосфатных групп как в том случае, когда соответствующие основания уложены в стопку, так и в том случае, когда между ними нет взаимодействия (аналогично положению внутри одной цепи двухспиральной молекулы — см. выше). Переход от упорядоченного к беспорядочному состоянию не должен зависеть от электростатических взаимодействий. Наконец, реакционная способность односпиральных полинуклеотидов значительно выше, чем у двухспиральных молекул. Это является следствием значительно большей доступности реакционноспособных групп в односпиральных молекулах.

Таким образом, свойства односпиральных полинуклеотидов существенно отличаются от свойств двухспиральных молекул. В молекулах РНК, где содержатся в одной цепи все четыре типа оснований, как будет показано ниже, имеются и двухспиральные, и односпиральные области, в результате чего свойства этих соединений во многом носят промежуточный характер между двумя рассмотренными выше случаями. Особенно заметно это проявляется в реакционной способности по отношению к различным химическим агентам.

Свойства рибонуклеиновых кислот будут рассмотрены на примере двух классов этих соединений, для которых в настоящее время в ряде случаев известна первичная структура, а именно: транспортных РНК и 5S рибосомальных РНК. Свойства более высокомолекулярных рибонуклеиновых кислот во многом аналогичны, однако их вторичная структура в настоящее время не может обсуждаться на уровне конкретных моделей, поскольку неизвестна последовательность оснований в их полинуклеотидной цепи (обзор — см.^{243, 388}).

1. Вторичная структура тРНК

Как уже отмечалось (см. гл. I), тРНК представляют собой, по-видимому, наиболее короткие из известных до сих пор природных полинуклеотидов. Кроме того, они отличаются от других полинуклеотидов наличием большего количества редких компонентов. Эти два обстоятельства позволили установить для ряда тРНК первичную структуру, что, в свою очередь, дало возможность построить конкретные модели их вторичной структуры. Однако еще до установления последовательности нуклеотидов был сделан ряд выводов о некоторых общих чертах вторичной структуры тРНК (обзор — см.^{244, 245}).

Форма молекулы тРНК в растворе. Температурные переходы. При повышении температуры растворов тРНК наблюдается уве-

личение оптической плотности при 260 мкм²⁴⁶⁻²⁴⁹ и уменьшение оптического вращения²⁵⁰. Плавление макроструктуры в присутствии одновалентных катионов носит слабо выраженный кооперативный характер, и ширина интервала ΔT_m составляет около 40°С. Величина T_m для различных тРНК меняется в зависимости от ионной силы среды. Например, для суммарной тРНК из дрожжей

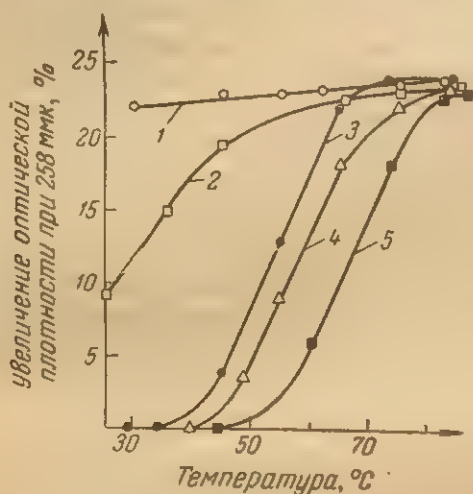


Рис. 4.21. Температурное изменение оптической плотности растворов тРНК при различных значениях ионной силы среды²⁴⁶:

1 — раствор тРНК в воде; 2 — в 6 М растворе мочевины; 3 — в 0,001 М фосфатном буфере, pH 6,7; 4 — в 0,1 М растворе NaCl; 5 — в 1 М растворе NaCl.

растание T_m с увеличением содержания гуанина и цитозина и с увеличением ионной силы среды, а также усиление кооперативности перехода в присутствии ионов магния.

Выраженная зависимость T_m от ионной силы раствора существенно отличает тРНК от односпиральных гомополинуклеотидов. Это обстоятельство дает основание предполагать наличие в молекуле тРНК двухспиральных участков с основаниями, связанными по типу структуры Уотсона и Крика. Такая точка зрения находит подтверждение в различии реакционной способности оснований, входящих в состав тРНК, по отношению к некоторым химическим агентам. После быстрой реакции какого-либо реагента с молекулой тРНК наблюдается значительно более медленная стадия, причем анализ показывает, что по окончании быстрой стадии в реакцию вступает лишь часть потенциально-реакционноспособных оснований, определенная для данных условий эксперимента. Если предположить, что быстро реагирующие основания расположены в односпиральных, а медленно реагирующие — в двухспиральных

в 0,001 М фосфатном буфере (pH 6,7) T_m равна 50°С, а в 1 М NaCl — около 65°С (рис. 4.21). Наблюдаемый гиперхромный эффект имеет величину 23—28% и полностью обратим, исчезая при охлаждении^{246, 247} (даже при быстром охлаждении¹⁴⁹, когда двухспиральные полинуклеотиды не ренатурируют). В присутствии двухвалентных ионов характер плавления тРНК меняется: значительно повышается T_m и сужается интервал плавления. Так, T_m суммарной дрожжевой тРНК в присутствии $3 \cdot 10^{-3}$ М хлористого магния повышается до 72°С, и 75% общего гипохромного эффекта наблюдается в интервале 10°С. Для различных индивидуальных тРНК значения T_m и ее изменения при добавлении ионов магния различны, однако общей тенденцией здесь является воз-

участках, то так
всей молекулы по
Данные по
присутствии Mg
тРНК с H₂O
оснований молеку
тарных пар.

Различная акт
сирована также
торая реагирует
вых остатков
Акрилонитрил в
щения 2,2, соде
далее не реаги
гидроксилами в
пературе (~10°
держания ураци
ратуры реакции
все урацильные
ральные и одно
ной чувствитель
стно²³⁶, расщеп
значительно ме

Исследования
дов, и в частно
уридиловой кис
лот, привели к
обладающих де
ставляют собой
друга распола
ние этих предс
чайной последо
случайной посл
структуры с 60
Это примерно
тодами. В свет
туре РНК степ
основываясь н
разных длинах
Очевидно, что
ричной структ
шением пар т
ний-урацил и
основаниями
можно принять
в изменении

участках, то таким путем можно оценить степень спирализации всей молекулы полинуклеотида.

Данные по взаимодействию тРНК с формальдегидом²⁵¹⁻²⁵⁵ в присутствии Mg^{2+} и по способности к обмену водородных атомов тРНК с 3H_2O ²²⁸ привели к заключению, что примерно 70—75% оснований молекулы принимает участие в образовании комплементарных пар.

Различная активность оснований в составе тРНК была зафиксирована также при модификации ее перфталевой кислотой²⁵⁷, которая реагирует в присутствии Mg^{2+} , окисляя всего 10% адениновых остатков от их общего количества на молекулу тРНК. Акрилонитрил в 0,5 М растворе хлористого натрия после превращения 2,2% содержащегося в тРНК псевдоуридина практически дальше не реагирует с основаниями²⁵⁸. Избирательно действует и гидроксилламин в щелочной среде²⁵⁹, модифицируя при низкой температуре ($\sim 10^\circ C$) лишь 25% урацильных остатков от общего содержания урацила в тРНК. Вместе с тем при повышении температуры реакции до $40^\circ C$ превращению подвергаются практически все урацильные нуклеотиды (см. стр. 470). Кроме того, двухспиральные и односпиральные участки цепи тРНК обладают различной чувствительностью к действию РНК-аз, которые, как известно²⁵⁶, расщепляют двухспиральные полирибонуклеотиды со значительно меньшей скоростью, чем односпиральные.

Исследования с использованием синтетических полинуклеотидов, и в частности опыты по комплексообразованию между полиуридиловой кислотой и сополимером адениловой и уридиловой кислот, привели к выводу о возможности существования комплексов, обладающих дефектами в двойной спирали. Такие дефекты представляют собой неспиральные участки, в которых друг против друга располагаются некомплементарные основания²⁶⁰. Применение этих представлений к гипотетической РНК, обладающей случайной последовательностью оснований, привело к выводу, что для случайной последовательности из 90 нуклеотидов можно построить структуры с 60% оснований, связанных водородными связями²⁶⁰. Это примерно совпадает с оценкой, полученной химическими методами. В свете представлений о спиральной с дефектами структуре РНК степень спирализации можно, помимо того, определить, основываясь на данных по изменению оптической плотности при разных длинах волн с повышением температуры растворов тРНК. Очевидно, что повышение оптической плотности при плавлении вторичной структуры связано с тремя основными эффектами: разрушением пар типа гуанин-цитозин, разрушением пар типа аденин-урацил и нарушением межплоскостных взаимодействий между основаниями в неспиральных участках. В первом приближении можно принять, что все три эффекта вносят независимый вклад в изменение свойств тРНК при плавлении вторичной структуры.

Оценка изменений УФ-спектра тРНК, происходящих при разрушении пар оснований, может быть произведена по данным плавления синтетических двухспиральных полинуклеотидных комплексов (поли-А) · (поли-У) и (поли-Г) · (поли-С). Характеристикой изменений является разность в экстинкциях между денатурированной и спиральной формами при различных длинах волн $^{261, 262}$ — так называемый спектр денатурации (рис. 4.22).

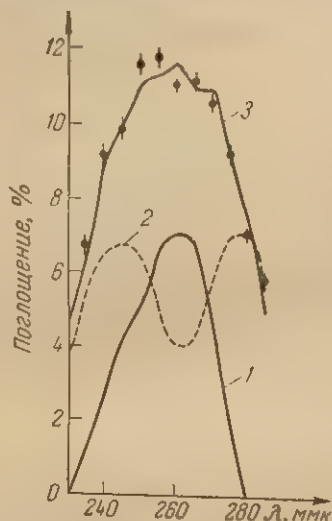


Рис. 4.22. Спектры денатурации полинуклеотидов, полученные вычитанием спектра при 0°C из спектра при 100°C^{262} . 1 — двухспиральный комплекс (поли-А) · (поли-У); 2 — двухспиральный комплекс (поли-Г) · (поли-С); 3 — тРНК из дрожжей.

хромного эффекта, обусловленного односпиральными участками РНК.

Если через x обозначить долю нуклеотидов в двухспиральных участках, через h_t — процентную гипохромию нативной РНК, через h_d — процентную гипохромию, обусловленную плавлением двухспиральных областей, через $h_{од}$ — обусловленную плавлением односпиральных областей, то при допущении независимости h_d и $h_{од}$ можно записать:

$$h_t = xh_d + (1 - x)h_{од}$$

Используя значения, приведенные в табл. 4.14 для h_t и $h_{од}$, и принимая h_d равной 30%, можно вычислить x . Для тРНК эта величина оказывается порядка 59—63%. Если пренебречь плавлением односпиральных участков, то соответствующие величины возрастают до 65—70%. Эти весьма приближенные оценки тем не

легко видеть, что при 255 и 270 мμ вклад в изменение спектра от разрушения пар аденин · урацил и гуанин · цитозин при денатурации одинаков, в результате чего при денатурации изменение оптической плотности тРНК в этих точках не должно зависеть от нуклеотидного состава РНК.

Гипохромный эффект при 255 мμ, вызванный разрушением пар оснований, может быть оценен по данным плавления двухспиральных комплексов (поли-А) · (поли-У) и (поли-Г) · (поли-С). Процентная гипохромия при изменении температуры растворов от 15 до 85°C для обеих пар оснований при 255 мμ примерно одинакова и составляет 30% 263 .

Сложнее оценить гипохромный эффект, обусловленный плавлением односпиральных областей. В случае РНК, обработанной формальдегидом 263 , когда образование пар оснований исключено, процентная гипохромия составляет 4—6% (табл. 4.14). Эту величину можно принять как оценку гипохромного эффекта, обусловленного односпиральными участками РНК.

или односпираль-
нее дают
ские методы
Предварител-
ные на кри-
ст. наприм
детельствуют
спиральных
Таблица 4.14. Г
и обработанных

тРНК из Esche-
тРНК из дрож-
РНК фага R17
РНК вируса та

Итак, со-
значительной
предполагает
кулы РНК,
рис. 4.23 при
кулы аланин

Некоторые
вносят данн
в присутстви
общий для в
дальнейшее
ствует, очеви
не принимает
личие от дру
ляется полин
видимому, та
вания тРНК
ность вопрос
были установ
кул индивиду
Модели в
ной тРНК, по

* Спектры
держание пар
или пренебречь
ками 261

менее дают то же значение степени спирализации, что и химические методы.

Предварительные рентгеноструктурные данные³⁸⁹⁻³⁹², полученные на кристаллических препаратах тРНК, приготовление которых (см., например,³⁸⁹⁻³⁹²) стало возможным в последнее время, свидетельствуют о наличии в кристаллических образцах тРНК двухспиральных областей.

Таблица 4.14. Гипохромные эффекты нативных и обработанных формальдегидом РНК²⁶³

Полинуклеотид	Процентная гипохромия, %	
	нативная РНК	РНК, обработанная формальдегидом
тРНК из <i>Escherichia coli</i>	19,5	4,5
тРНК из дрожжей	21	6
РНК фага R17	23	4,5
РНК вируса табачной мозаики (ВТМ) . .	21	4

Итак, совокупность различных методов приводит к выводу о значительной степени спирализации тРНК*. Априорно можно предполагать достаточно много способов такой организации молекулы РНК, чтобы в ней были двухспиральные участки²⁶⁰. На рис. 4.23 приведено несколько возможных способов укладки молекулы аланиновой тРНК из дрожжей (обсуждение — см. стр. 291).

Некоторую конкретность в вопрос о вторичной структуре тРНК вносят данные по расщеплению молекулы фосфодиэстеразами в присутствии ионов магния²⁶⁴⁻²⁶⁶. В результате отщепляется только общий для всех молекул тРНК 3'-концевой тринуклеотид рСрСрА; дальнейшее расщепление не происходит. Этот факт свидетельствует, очевидно, о том, что указанный 3'-концевой тринуклеотид не принимает участия в образовании макроструктуры тРНК. В отличие от других полирибонуклеотидов тРНК не до конца расщепляется полинуклеотидфосфорилазой в присутствии Mg^{2+} , что, по видимому, также свидетельствует о большой степени структурирования тРНК в этих условиях²⁴⁴. Значительно большую конкретность вопрос о макроструктуре тРНК приобрел после того, как были установлены последовательности нуклеотидов в ряде молекул индивидуальных тРНК^{267-276, 290}.

Модели вторичной структуры тРНК. Для первой индивидуальной тРНК, первичная структура которой была полностью расшиф-

* Спектры денатурации РНК позволяют также приближенно оценить содержание пар гуанин-цитозин и аденин-урацил в двухспиральных участках, если пренебречь малым вкладом, вносимым в спектры односпиральными участками²⁶¹.

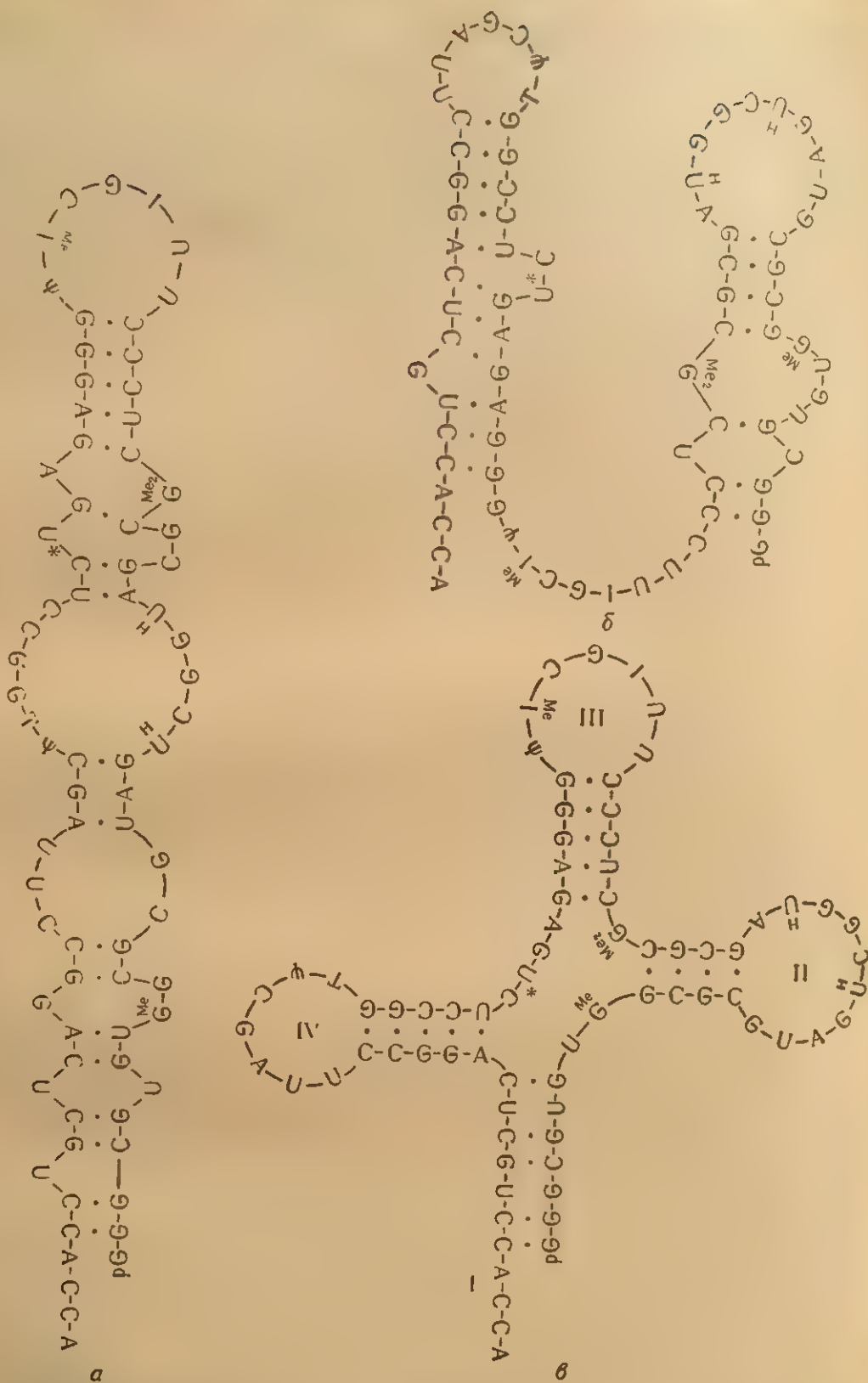


Рис. 4.23. Возможные схемы вторичной структуры аланиновой тРНК из дрожжей²⁶⁷:

а — одношпильчатая модель; б — двухшпильчатая модель; в — модель «клеверный лист» (римскими цифрами обозначены отдельные петли структуры)

VIII. ОД
рована
димос
были
Два
основа
(а) и
назван
структ
постро
тидов)
к наст
структ
Суд
типа «
1. Р
панкре
с моде
структ
лист»
участв
2. Х
ствием
мого к
ствую
вниман
ном» с
циними
наблюд
лонитр
ности
трудно
тидов,
лагаем
структу
уже не
тельств
располо
таткам
следова
различ
структу
довател
различ
Анал
чающих
РНК-аз

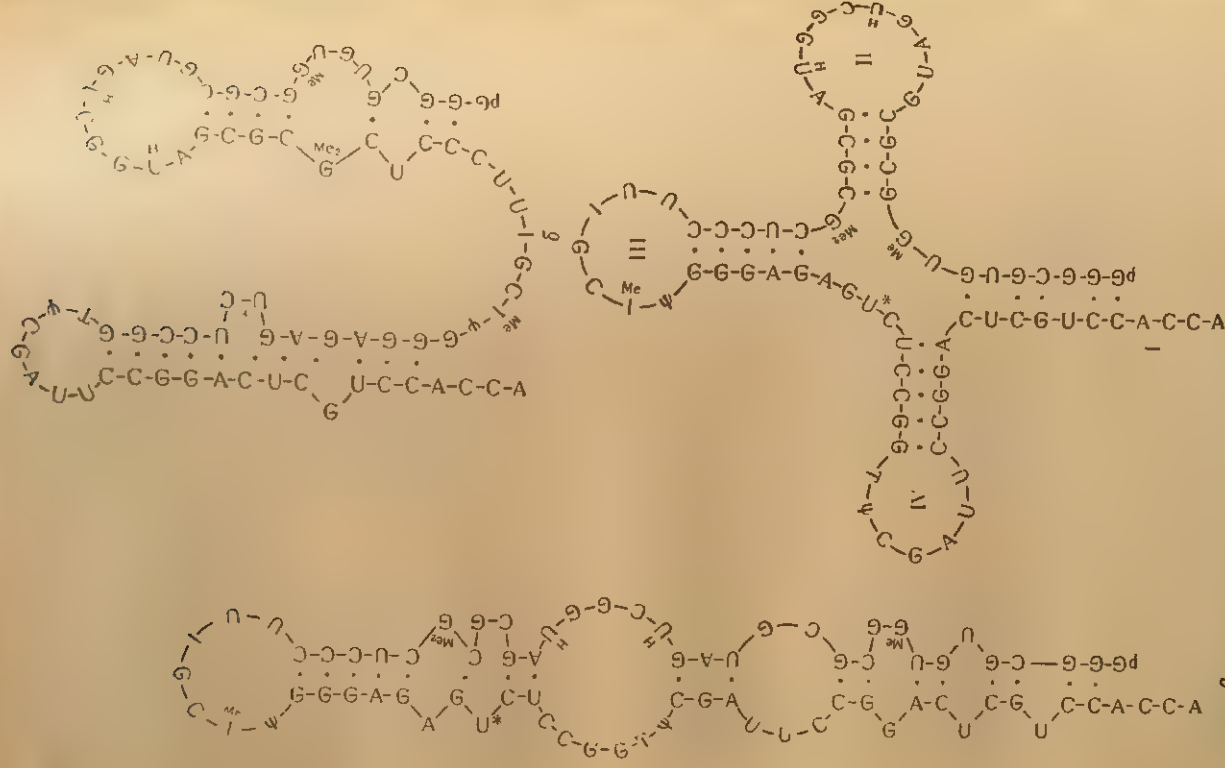


Рис. 4.23. Возможные схемы вторичной структуры аланиновой тРНК из дрожжей ²⁰⁷.
 а - одноцепочечная модель; б - двухцепочечная модель; в - модель "клевверный лист" (численными цифрами обозначены отдельные петли структуры)

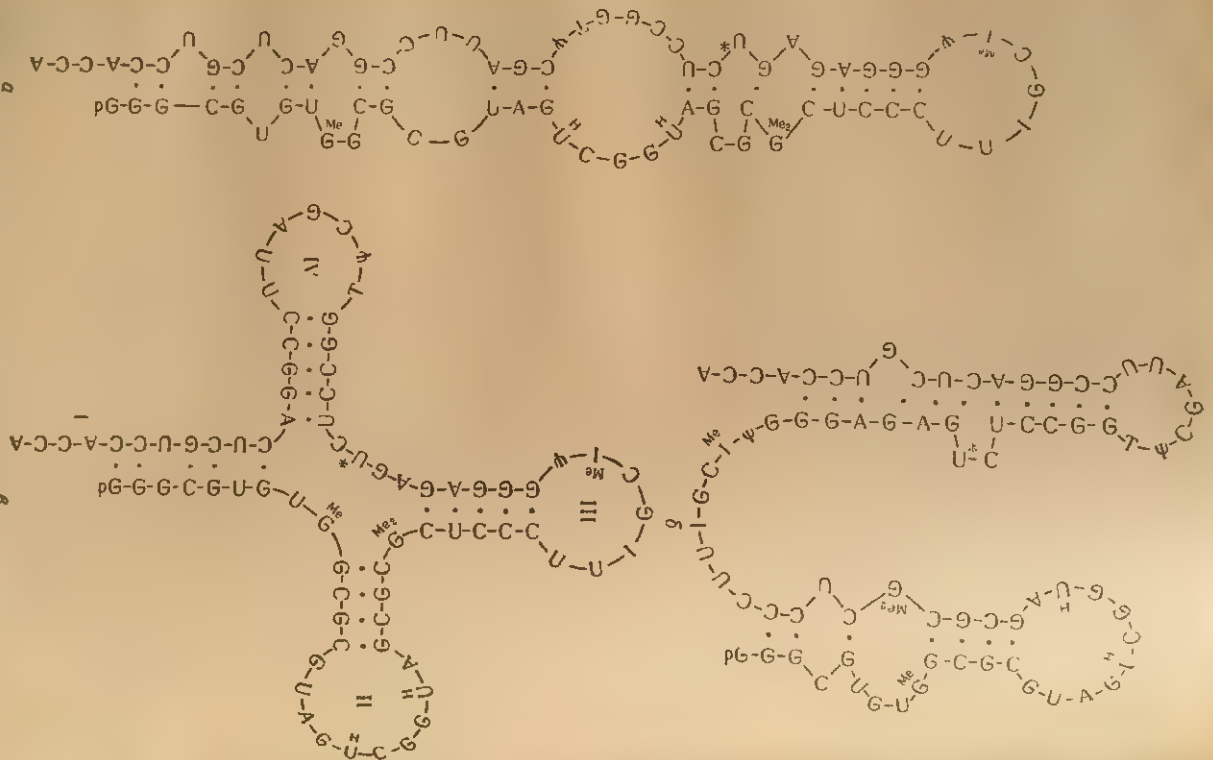


Рис. 4.23. Возможные схемы вторичной структуры аланиновой тРНК из дрозофилы 207.

а - одноцепочечная модель, б - двухцепочечная модель; в - модель «хвост-верный лист» (рискини циркулярно обозначены отдельные петли структуры)

рована, — аланиновой тРНК²⁶⁷ — на основании принципа необходимости максимально возможного числа спаренных оснований были предложены три вероятные структуры (см. рис. 4.23).

Две из этих структур соответствуют уже предлагавшимся²⁶⁰ на основании случайной последовательности структурам «шпильки» (а) и разветвленной модели (б). Конформация (в), получившая название «клеверный лист», отличается от ранее предлагавшихся структур (хотя не исключено, что подобная структура может быть построена и для некоторой случайной последовательности нуклеотидов). Неожиданно оказалось, что для всех расшифрованных к настоящему времени молекул тРНК может быть построена структура типа «клеверный лист».

Существует ряд доводов в пользу достоверности структуры типа «клеверный лист».

1. Результаты расщепления сериновой тРНК из дрожжей²⁶⁸ панкреатической РНК-азой и гуанил-РНК-азой более согласуются с моделью вторичной структуры типа «клеверный лист», чем со структурой типа «шпилька». Кроме того, в модели «клеверный лист» большее число оснований (по сравнению со «шпилькой») участвует в образовании водородных связей.

2. Химическая модификация аланиновой дрожжевой тРНК действием бромсукцинимиды, азотистой кислоты²⁷⁷ или водорастворимого карбодиимида²⁷⁸ затрагивает в основном участки, соответствующие петлям в модели «клеверного листа». Следует обратить внимание на отсутствие модификации в петлевом «универсальном» олигонуклеотиде рGrTrΨpC как при действии N-бромсукцинимиды, так и при действии карбодиимида. Такой же эффект наблюдается при модификации суммарных препаратов тРНК акрилонитрилом²⁷⁹, что говорит в пользу одинаковой труднодоступности этого олигонуклеотида во всех тРНК. В настоящее время трудно судить, связана ли такая дифференциация свойств нуклеотидов, находящихся в петлевых участках, с некорректностью предлагаемой вторичной структуры или с существованием третичной структуры у тРНК (см. ниже). Возможно, еще одним доводом, уже не экспериментального характера, может служить то обстоятельство, что структура «клеверного листа» дает возможность расположить антикодонный тринуклеотид, олигонуклеотиды с остатками дигидроуридина и «универсальную» нуклеотидную последовательность рGrTrΨpC в одинаковых петлевых участках различных тРНК. Не исключено, что универсальная вторичная структура с универсальным расположением гомологичных последовательностей имеет непосредственную связь с одинаковой ролью различных тРНК в процессе биосинтеза белка.

Анализ физико-химических свойств половинок молекул, получающихся при расщеплении гуанил-РНК-азой T₁ и панкреатической РНК-азой молекул аланиновой и валиновой тРНК из дрожжей в

условиях, когда вторичная структура тРНК максимально стабилизирована, приводит к выводу^{280, 281}, что эти тРНК в данных условиях имеют двухшпильную конфигурацию типа структуры б, изображенной на рис. 4,23. Кроме того, расчетным путем было показано, что для аланиновой тРНК из дрожжей структура, содержащая максимальное число водородно-связанных пар оснований, лучше отвечает двухшпильной модели²⁸².

Однако для ряда тРНК двухшпильная модель опровергается данными по ассоциации половинок молекулы с образованием комплекса, близко соответствующего по физико-химическим свойствам интактной тРНК (см., например,^{283, 383-385}). Более того, такой комплекс обладает акцепторной активностью, близкой к активности интактной тРНК²⁸³. Образование комплекса между половинками происходит, по-видимому, за счет образования водородных связей, что согласуется с одношпильной моделью или с моделью «клеверного листа» (в которых половинки связаны между собой), но не с двухшпильной моделью, все водородные связи которой сосредоточены внутри половинок.

Дисперсия оптического вращения. Некоторую дополнительную информацию о вторичной структуре тРНК можно получить, используя данные по дисперсии оптического вращения^{238, 284}. Основываясь на некооперативном характере межплоскостного взаимодействия оснований, из известных данных по дисперсии оптического вращения 16 возможных динуклеозидмонофосфатов (имеются в виду обычные нуклеозиды)^{56, 236} и моонуклеотидов, можно рассчитать дисперсию оптического вращения РНК, не обладающей никакой иной вторичной структурой, кроме определяемой межплоскостными взаимодействиями. Расчеты такого рода, проведенные для полиадениловой, полицитидиловой и полиуридиловой кислот, дают удовлетворительное совпадение с экспериментальными данными, полученными в условиях, когда эти полинуклеотиды существуют в односпиральной конформации²³⁸. Однако подобные же расчеты для тРНК дают картину, резко отличающуюся от экспериментальной, что связано, по-видимому, со значительным вкладом пар оснований во вторичную структуру тРНК.

Задавшись определенной моделью вторичной структуры тРНК с определенным содержанием комплементарных пар аденин·урацил и гуанин·цитозин, можно рассчитать соответствующую этой модели дисперсию оптического вращения, если известны изменения, вносимые в картину дисперсии односпиральной молекулы при образовании пар оснований. Величину этих изменений можно приближенно оценить, сопоставляя кривые дисперсий оптического вращения двухспиральных комплексов (поли-А)·(поли-У) и (поли-Г)·(поли-С) и односпиральных молекул поли-А, поли-У, поли-Г и поли-С^{285, 286}. Такое сопоставление, вообще говоря, дает принципиальную возможность выбора наиболее вероятных типов

VIII. ОДНО

укладки
проведен
для алани
ски одно
ностью до
риментал
модель а
изменени
лист», им
ных пар
и при со
при испо
аланинов

Таких
вращени
родно-св
возможн
ИК-Сп

ниями в
да как
нию^{96, 97}
1700 см
в D₂O п
симумов
цил и п
ствующи
нижае
1651 см
плавлен
Максим
го звена
чает, чт
вании в
коэффи
звеньев
волн [о
(поли-А
рассчит
ривани
формил

* Со
очень по
одноцеп
ченных
ротких в
нуклеоти

укладки вторичной структуры. Однако расчеты подобного рода, проведенные для трех типов вторичной структуры, предложенных для аланиновой тРНК из дрожжей (см. стр. 290), дают практически одну кривую. По-видимому, это связано с большой неточностью допускаемых приближений. Наилучшее совпадение с экспериментальными данными по дисперсии оптического вращения дает модель аланиновой тРНК, представляющая собой несколько видоизмененный (по сравнению в предложенным Холли²⁶⁷) «клеверный лист», имеющий максимально возможное число водородно-связанных пар²³⁸. Но вполне удовлетворительные результаты получаются и при сопоставлении экспериментальных кривых с рассчитанными при использовании оригинальных моделей «клеверного листа» для аланиновой и тирозиновой тРНК из дрожжей²⁸⁴.

Таким образом, имеющиеся данные по дисперсии оптического вращения дают дополнительные подтверждения образования водородно-связанных участков в молекуле тРНК*, но они не дают возможности правильно выбрать тип вторичной структуры.

ИК-Спектры. Межплоскостные взаимодействия между основаниями в полинуклеотидах мало сказываются на ИК-спектрах, тогда как образование водородно-связанных пар приводит к появлению^{96, 97, 386, 387, 393, 395} характеристических пиков в области 1500—1700 см^{-1} . В ИК-спектре формилметиониновой тРНК из *E. coli* в D_2O при 33° С в области 1450—1750 см^{-1} наблюдается семь максимумов адсорбции, обусловленных поглощением пар аденин·урацил и гуанин·цитозин, а также нуклеотидных звеньев, не участвующих в образовании пар³⁸⁶. При повышении температуры понижается поглощение при 1686 см^{-1} и повышается поглощение при 1651 см^{-1} , что связано с разрушением пар оснований. Профиль плавления в ИК-спектре такой же, как при 260 мкм в УФ-области. Максимум при 1620 см^{-1} , соответствующий поглощению аденилового звена в полинуклеотиде, не меняется вплоть до 97° С; это означает, что адениловые звенья в малой степени участвуют в образовании водородно-связанных пар. Исходя из значений молярного коэффициента экстинкции свободных нуклеотидных звеньев и звеньев, связанных водородными связями, при различных длинах волн [определены по данным для нуклеотидов и комплексов (поли-А)·(поли-У) и (поли-Г)·(поли-С) соответственно], можно рассчитать ИК-спектры тРНК, отвечающие различным схемам спаривания³⁸⁶. Наилучшее совпадение с экспериментальным спектром формилметиониновой тРНК из *E. coli* получено при использовании

* Сопоставление расчетных и экспериментальных данных может служить очень полезным методом детектирования двухспиральных участков в молекулах одноцепочечных полинуклеотидов, ибо экспериментальные кривые для одноцепочечных молекул с двухспиральными участками сильно сдвинуты в сторону коротких волн по сравнению с кривыми, рассчитанными для односпиральных полинуклеотидов.

модели типа «клеверный лист»²⁷⁴. Аналогичное сопоставление расчетных и экспериментальных данных для фрагмента, соответствующего антикодоновой петле этой тРНК³⁸⁷, также показывает совпадение для схемы спаривания по типу модели «клеверного листа»²⁷⁴.

Наконец, возможно сопоставление экспериментального профиля плавления тРНК с теоретически рассчитанным, подобно тому как это делается в случае ДНК (см. стр. 281)³⁹⁶. Такое сопоставление было проведено для ряда индивидуальных тРНК, и в случае сериновой тРНК из дрожжей показано хорошее совпадение экспериментальных данных с расчетными, полученными на основе модели типа «клеверный лист». Для аланиновой и тирозиновой тРНК из дрожжей обнаружены, однако, значительные расхождения между расчетом и экспериментом. Следует отметить, что расчеты такого рода можно рассматривать лишь как весьма приближенные, поскольку пренебрегают межплоскостными взаимодействиями в неспаренных областях, а также влиянием катионов и третичной структуры на термические переходы тРНК³⁹⁶.

Подводя итоги, следует сказать, что в настоящее время пока не существует ни одного убедительного доказательства в пользу существования той или другой выдвинутой модели вторичной структуры тРНК. Пользующаяся в настоящее время наибольшей популярностью модель «клеверного листа» также экспериментально мало обоснована.

Исследования тРНК методами двойного лучепреломления, электронной микроскопии, поляризации флуоресценции²⁵¹, рентгеновского рассеяния под малыми углами^{287, 288} привели к выводу о палочкообразном характере молекул тРНК с размерами 100 Å в длину и 20 Å в ширину. Этот вывод подтверждается также и изучением гидродинамических свойств молекул тРНК²⁸⁹. Естественно, что в случае любой разветвленной схемы вторичной структуры необходима еще некоторая надструктура, обуславливающая палочкообразный характер молекулы.

2. Проблема третичной структуры тРНК

Как уже отмечалось, «универсальный» для всех исследованных индивидуальных тРНК тетрануклеотид рGpTpΨpC, который находится, очевидно, в петлевой области, не модифицируется при действии различных химических агентов. Это является, возможно, следствием экранирования соответствующих нуклеотидов за счет образования некой третичной структуры полимерной молекулы. При действии нуклеаз на различные тРНК в условиях стабилизации вторичной структуры молекулы из всех возможных мест атаки ферментом прежде всего расщепляется петля, содержащая предполагаемый антикодон^{283, 290}. В результате молекулу тРНК удается расщепить на две половинки. Это, по-видимому, означает, что пет-

VIII. ОДНО-
ля с анти-
спиральны-
нии особой
ричной ст-
Дальше
изучении
держит по-
когда опти-
ра тРНК
тельно, ги-
ристики м-
рактирсти-
фициент с-
ют сушес-
(рис. 4.24)
свойства в
межплоско-
ми между
оснований
ские — об-
лы, эти р-
при малом
плоскостны-
вторичной
происходят
в простран-
отдельных
т. е. в ее т-
Двухфа-
при денат-
также из-
зации ф-
акрифлави-
ком адени-
лы тРНК,
тРНК^{292, 2}
Свидете-
ствования
ряде инди-
характер и
для 4-тиоу-
* Метод
рация алани-
менее трех ф-
структурой
«клеверно-

ля с антикодоном находится в несколько отличных от других неспиральных участков условиях и наводит на мысль о существовании особой укладки молекулы, сверх той, которая обусловлена вторичной структурой.

Дальнейшие подтверждения такого вывода были найдены при изучении процесса тепловой денатурации тРНК. Если среда не содержит ионов магния, то в момент, когда оптическая плотность раствора тРНК меняется еще незначительно, гидродинамические характеристики молекулы (такие, как характеристическая вязкость и коэффициент седиментации) претерпевают существенное изменение^{289, 291} (рис. 4.24). Поскольку оптические свойства в основном определяются межплоскостными взаимодействиями между основаниями (и парами оснований) цепи, а гидродинамические — объемом и формой молекулы, эти результаты означают, что при малом изменении степени межплоскостных взаимодействий (т. е. вторичной структуры молекулы) происходят значительные изменения в пространственном расположении отдельных частей молекулы тРНК, т. е. в ее третичной структуре.

Двухфазный характер перехода при денатурации тРНК* следует также из исследований по поляризации флуоресценции красителя акрифлавина, связанного с остатком аденозина на 3'-конце молекулы тРНК, в процессе денатурации тРНК^{292, 293}.

Свидетельством в пользу существования третичной структуры в ряде индивидуальных тРНК из *E. coli* является⁴⁰⁰ двухфазный характер изменения поглощения в области 335 мк, характерного для 4-тиоуридина. Поскольку, как правило, в одной молекуле

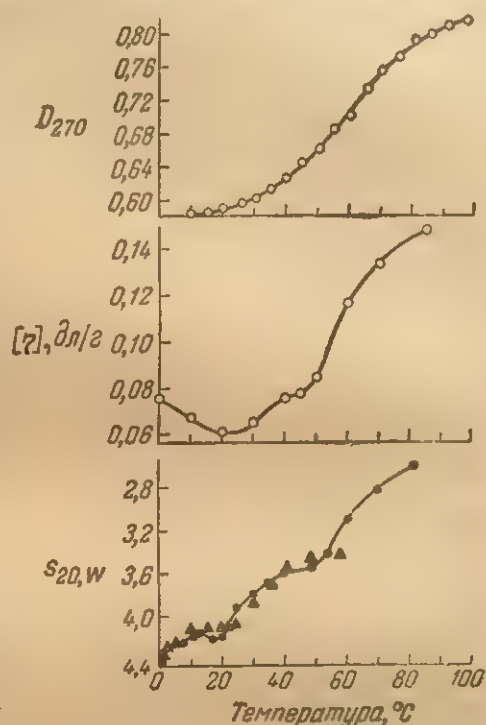


Рис. 4.24. Температурная зависимость некоторых физических параметров тРНК дрожжей в растворе 0,2 М NaCl + 0,01 М фосфата натрия + 0,0005 М динатриевой соли этилендиамина тетрауксусной кислоты, pH 6,85 (эффекты, наблюдаемые при повышении температуры от 0 до 20°С, связаны с агрегацией тРНК)²⁹¹.

* Методом дифференциальной спектрофотометрии при термической денатурации аланиновой тРНК из дрожжей недавно обнаружено существование не менее трех фазовых переходов³⁹⁷. Неясно, однако, связаны ли они с третичной структурой или с независимым плавлением отдельных спиральных участков «клеверного листа».

тРНК содержится один остаток 4-тиоуридина, то двухфазный характер плавления вряд ли является следствием независимого плавления отдельных спиральных участков, а скорее всего является результатом поочередного разрушения третичной и вторичной структур молекулы⁴⁰⁰.

Интересно отметить, что в присутствии ионов магния и гидродинамические, и оптические свойства тРНК меняются синхронно, причем заметно увеличиваются величина T_m и степень кооперативности перехода²⁹¹ (увеличение концентрации одновалентных катионов приводит к возрастанию T_m , но не степени кооперативности). Такой эффект также может быть приписан существованию третичной структуры, если принять, что стабилизированная ионами магния третичная структура предохраняет отдельные спиральные области полинуклеотида от сепаратного плавления, характерного для нестабилизированной молекулы тРНК (в отсутствие ионов магния); при этом третичная структура разрушается одновременно со вторичной.

Рассмотренные физические данные не исключают возможности того, что все наблюдаемые эффекты связаны просто с незначительными изменениями во вторичной структуре. Тем не менее в сочетании с данными по химической модификации и по ферментативному расщеплению стабилизированных молекул тРНК эти эффекты, по-видимому, с большей вероятностью должны быть приписаны изменениям в третичной структуре.

Возможным следствием способности тРНК к образованию третичной структуры является открытое в последние годы существование ряда индивидуальных транспортных РНК^{289, 291, 294-301} в двух отличающихся по конформации и способных к взаимному превращению формах, только одна из которых соответствует биологически активной (нативной) форме. Эти две формы заметно отличаются друг от друга по гидродинамическим свойствам, причем биологически неактивная (так называемая «денатурированная») форма менее компактна, чем нативная, и только незначительно отличается по гипохромному эффекту. Оценки различий в числе пар оснований между активной и неактивной формами^{291, 297} приводят к величинам 2—5. Условия взаимопревращения этих форм таковы, что позволяют предполагать наличие заметного энергетического барьера между ними. Нативная форма может быть превращена в «денатурированную» при инкубации с комплексообразующими агентами, такими, как трилон В, даже при 0° С²⁹¹. Однако обратный переход при добавлении ионов магния при комнатной температуре протекает медленно и может быть ускорен, если раствор «денатурированной» тРНК нагреть примерно до 60° С, а затем охладить. Это, возможно, означает, что для перехода «денатурированной» формы в нативную необходимо разрушить какую-то структуру (возможно, третичную). Аналогичные переходы происходят при изменении рН. Конечно, не исключено также, что при

денатурации происходит просто значительная перестройка вторичной структуры, приводящая к возникновению структуры, обладающей близким к нативной числом пар оснований, но существенно отличающейся от нее расположением спиральных и петлевых областей.

Можно предположить, что условием биологической активности тРНК является правильно сформированная при данной вторичной третичная структура. Изменения в этой третичной структуре, возможно являющиеся следствием изменений (незначительных) во вторичной структуре, приводят к утрате биологической активности. Условия, в которых возможно восстановление правильной вторичной и третичной структур, приводят и к восстановлению биологической активности.

Предположение о существовании третичной структуры тРНК ставит также вопрос о конкретных способах образования такой структуры. Имеющиеся по этому поводу сведения очень немногочисленны. Как уже отмечалось, петля с антикодоном, вероятно, в меньшей степени экранирована третичной структурой по сравнению с петлей, содержащей «универсальную» последовательность рGrTrΨrC. Этот тетрануклеотидный участок, по-видимому, играет какую-то особую роль при образовании третичной структуры, как следует из сопоставления свойств нативной тРНК и тРНК, в которой остаток псевдоуридина в тетрануклеотиде цианэтилирован действием акрилонитрила²⁶⁴. Цианэтилированная тРНК значительно легче расщепляется панкреатической рибонуклеазой в присутствии ионов магния, чем нативная тРНК. При действии фосфодиэстеразы змеиного яда на цианэтилированную тРНК в присутствии Mg^{2+} расщепление не останавливается после отщепления концевой тринуклеотидной последовательности рСрСрА, как это наблюдается для нативной тРНК. Анализ кривых плавления показывает, что после цианэтирования число образованных пар аденин·урацил и гуанин·цитозин (по сравнению с нативным препаратом) меняется мало; гиперхромные эффекты в обоих случаях низки. Судя по этим данным, цианэтирование мало сказывается на вторичной структуре, но вызывает значительные изменения третичной структуры. Такой вывод подтверждается также и тем, что плавление макроструктуры цианэтилированной тРНК в присутствии Mg^{2+} представляет менее кооперативный процесс, чем плавление нативной тРНК.

Высказывались предположения о возможности поддержания третичной структуры за счет образования комплементарных пар между основаниями из разных петель, что становится возможным при наложении петель друг на друга^{290, 398}. Для тирозиновой тРНК из дрожжей, например, при наложении боковых петель друг на друга возможно образование двух таких пар гуанин·цитозин и двух пар аденин·урацил.

Отмечалось³⁹⁸, что в ряде тРНК возможна укладка петель за счет образования водородных связей между динуклеотидами рΨрС в рТрΨрС-петле и рАрГ в дигидроуридиновой петле, а также между рGrG дигидроуридиновой петли и рСрС 3'-концевого тринуклеотида рСрСрА. Для сериновой тРНК из дрожжей возможна, кроме того, связь последовательности рUrU в дополнительной петле с рАрА-фрагментом в дигидроуридиновой петле. Такая структура согласуется с данными по окислению тРНК моноперфталевой кислотой при различных температурах³⁹⁸, однако данные ИК-спектроскопии³⁸⁶ не согласуются с числом пар оснований, предполагаемым в этой модели.

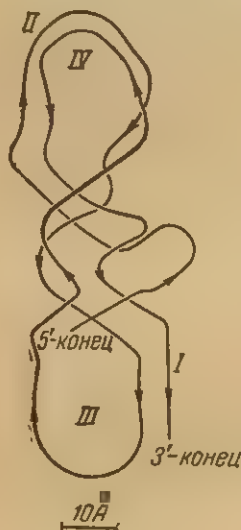


Рис. 4.25. Предлагаемая схема третичной структуры аланиновой тРНК из дрожжей (вторичная структура соответствует модели типа «клеверный лист», обозначение петель см. рис. 4.23, в)²⁸⁸.

участка. Изложенное, конечно, не исключает возможности существования и других³⁹⁹ моделей*.

3. Вторичная и третичная структуры 5S РНК

В настоящее время для двух индивидуальных 5S РНК установлена первичная структура молекулы³⁰²⁻³⁰⁴. Коэффициент седиментации 5S РНК мало зависит от концентрации ионов магния (в интервале до 10^{-2} М) и ионов натрия (в интервале до 0,5 М)³⁰⁵, что дает основание предположить довольно высокую жесткость трехмерной структуры молекулы 5S РНК.

* Имеется ряд работ по малоугловому рассеянию рентгеновских лучей, где на основании вычисленных параметров длины и диаметра молекулы в качестве наиболее вероятной для тРНК принимается конформация шпильки (см., например,²⁸⁷).

Значительное увеличение молярной экстинкции препаратов 5S РНК из *E. coli* после обработки формальдегидом³⁰⁵ позволяет сделать вывод о существовании в молекуле большого числа спаренных оснований. Этот вывод подтверждается и данными по дисперсии оптического вращения (сопоставление экспериментальных данных с рассчитанными для известной нуклеотидной последовательности в предположении, что такая последовательность не дает спирализованных участков, см. стр. 292)^{306, 307}. О том же свидетельствует и различная устойчивость олигонуклеотидных участков молекулы к действию нуклеаз, и, наконец, различная реакционная способность одинаковых оснований в полинуклеотидной последовательности 5S РНК³⁰⁸.

Оценка количества спаренных оснований в молекуле 5S РНК проведена несколькими способами. Исходя из различий гипохромии при 255 мкм^{305, 306} нативной и обработанной формальдегидом 5S РНК из *E. coli* (см. стр. 288), было сделано заключение о том, что в двухспиральные участки входит от 63%³⁰⁵ до 67—72%³⁰⁶ от общего числа нуклеотидов молекулы. Оценка относительного содержания комплементарных пар оснований аденин·урацил и гуанин·цитозин³⁰⁶, проведенная по спектрам денатурации (см. стр. 288), дает величину 60—70% пар гуанин·цитозин. При окислении адениновых ядер молекулы 5S РНК из *E. coli* моноперфталевой кислотой³⁰⁸ при 20°С реакционноспособными оказываются только 43,7% оснований, т. е. 23 адениновых звена, что согласуется с количеством пар аденин·урацил, оцениваемым на основании спектров денатурации¹⁹⁷. Таким образом, для 5S РНК, как и для тРНК, наблюдается высокая степень спирализации молекулы.

В настоящее время предложено несколько моделей вторичной структуры 5S РНК^{302, 303, 307, 309}. Модель Сенжера, выдвинутая для 5S РНК из *E. coli*, содержит 23 пары оснований. Это соответствует степени спирализованности полинуклеотида ~38% и плохо согласуется с приведенными выше данными. Другие модели близки между собой по содержанию спаренных оснований и согласуются с найденными физико-химическими характеристиками 5S РНК. Сейчас пока трудно отдать предпочтение какой-либо из них. Все эти модели близко напоминают структуру типа «клеверный лист», предложенную для тРНК. Подобная структура может быть построена для обеих расшифрованных к настоящему времени 5S РНК³⁰⁹. Однако сейчас еще рано говорить об ее общности.

Для того чтобы принять компактную форму, соответствующую наблюдаемым гидродинамическим свойствам, молекула 5S РНК должна, вероятно, обладать также и третичной структурой. Недавно были обнаружены различные формы 5S РНК³¹⁰, условия взаимопревращаемости которых близки к условиям взаимопревращений «конформомеров» тРНК^{310, 401}. Получаемая «денатурированная» форма 5S РНК не обладает биологической активностью. Не

ясно пока, насколько это обстоятельство свидетельствует о близкой аналогии конформаций 5S РНК и тРНК, однако можно полагать, что взаимопревращение различных форм 5S РНК (так же, как и в случае тРНК) наиболее вероятно объясняется перестройкой третичной структуры молекулы при малых изменениях в ее вторичной структуре. Таким образом, на примере двух типов молекул РНК, обладающих одноцепочечной структурой, видно, что для таких молекул в растворе наблюдается образование двухспиральных участков, разделенных неспиральными областями; этим вызвано различие свойств одних и тех же оснований в составе одной молекулы.

Ситуация подобного рода, по-видимому, характерна и для более высокомолекулярных РНК, таких, как 16S и 23S рибосомальные РНК и вирусные РНК. Имеется ряд доводов в пользу такого предположения (см. ²⁴³); в частности, результаты по расщеплению высокомолекулярных РНК нуклеазами показывают, что в этих молекулах имеются достаточно длинные олигонуклеотиды, устойчивые к действию ферментов ³¹¹⁻³¹⁴. Теми же методами, что и в случае тРНК и 5S РНК, установлена высокая степень спирализации таких высокополимерных молекул, однако до построения конкретных моделей вторичной структуры здесь еще, естественно, очень далеко. Данная проблема даже при условии установления первичной структуры высокополимерных РНК значительно сложнее, чем в случае низкомолекулярных РНК, поскольку должно иметься, очевидно, существенно большее число вариантов образования различных двухспиральных участков.

Следует заметить, однако, что установление точной вторичной структуры для высокополимерных РНК, возможно, и не имеет особого смысла, ибо в биологических системах такие РНК существуют, как правило, в виде различных комплексов с белками. Вторичная структура РНК в этих комплексах может совершенно отличаться от структуры входящей в них «чистой» нуклеиновой кислоты, и, таким образом, знание последней вряд ли даст значительную информацию о биологических функциях РНК. Более того, не исключено, что высокомолекулярные РНК не обладают единой вторичной структурой, а представлены в растворе набором (может быть, довольно большим) молекул с различными схемами спаривания оснований.

Наиболее важным для химиков следствием существования вторичной и третичной структур полимерных молекул нуклеиновых кислот является различие реакционной способности оснований в двухспиральных и односпиральных молекулах и участках молекул, а также различие реакционной способности оснований в виде мономерных единиц и в составе полинуклеотидных цепей.

1.	Wat
2.	Han
3.	Gre
4.	Ku
5.	Pr
6.	Pol
7.	Sho
8.	Kat
9.	Sch
10.	Pa
11.	Ba
12.	Ho
13.	Ma
14.	Ba
15.	Tom
16.	Has
17.	Kat
18.	O'Br
19.	O'Br
20.	So
21.	Has
22.	O'Br
23.	Ho
24.	Ma
25.	Stev
26.	Ibal
27.	Pull
28.	Kyo
29.	Kyo
30.	Bin
31.	Kucl
32.	Mill
33.	de V
34.	Nas
35.	Nas
36.	Lor
37.	Ts'o
38.	Bro
39.	Ts'o
40.	Soli
41.	Ross

ЛИТЕРАТУРА

1. Watson J. D., Crick F. H. C., *Nature*, **171**, 156, 740 (1953).
2. Hamlin R. M., Lord R. C., Rich A., *Science*, **148**, 1734 (1965).
3. Green D. W., Mathews F. S., Rich A., *J. Biol. Chem.*, **237**, 3573, (1962).
4. Kyogoku Y., Lord R. C., Rich A., *Science*, **154**, 518 (1966).
5. Pitha J., Jones R., Pithova P., *Canad. J. Chem.*, **44**, 1045 (1966).
6. Попл Дж., Шнейдер В., Бернштейн Г., в кн. «Спектры ядерного магнитного резонанса высокого разрешения», под ред. Соколова Н. Д., Издательство, 1962, стр. 477.
7. Shoup R. R., Miles H. T., Becker E. D., *Biochem. Biophys. Res. Comm.*, **23**, 194 (1966).
8. Katz L., Penman S., *J. Mol. Biol.*, **15**, 220 (1966).
9. Scheit K. H., *Angew. Chem.*, **79**, 90 (1967).
10. Pauling L., Corey R., *Arch. Biochem. Biophys.*, **65**, 164 (1956).
11. Баклагина Ю. Г., *Мол. биол.*, **2**, 635 (1968).
12. Hoogsteen K., *Acta cryst.*, **12**, 822 (1959); **16**, 907 (1963).
13. Mathews F. S., Rich A., *J. Mol. Biol.*, **8**, 89 (1964).
14. Баклагина Ю. Г., Волькенштейн М. В., Кондрашев Ю. Д., *Биофизика*, **10**, 165 (1965); *Ж. структ. хим.*, **7**, 399 (1966); *ДАН СССР*, **169**, 229 (1966).
15. Tomita K., Katz L., Rich A., *J. Mol. Biol.*, **30**, 545 (1967).
16. Haschemeyer A. E. V., Sobell H. M., *Proc. Nat. Acad. Sci. USA*, **50**, 872 (1963); *Acta cryst.*, **18**, 525 (1965).
17. Katz L., Tomita R., Rich A., *J. Mol. Biol.*, **13**, 340 (1965); *Acta cryst.*, **21**, 754 (1966).
18. O'Brien E. J., *J. Mol. Biol.*, **7**, 107 (1963).
19. O'Brien E. J., *Acta cryst.*, **23**, 92 (1967).
20. Sobell H. M., Tomita K., Rich A., *Proc. Nat. Acad. Sci. USA*, **49**, 885 (1963).
21. Haschemeyer A. E. V., Sobell H. M., *Nature*, **202**, 969 (1964); *Acta cryst.*, **19**, 125 (1965).
22. O'Brien E. J., *J. Mol. Biol.*, **22**, 377 (1966).
23. Hoogsteen K., *Acta cryst.*, **16**, 28 (1963).
24. Mathews F. S., Rich A., *Nature*, **201**, 179 (1964).
25. Stewart R. F., Jensen L. H., *J. Chem. Phys.*, **40**, 2071 (1964).
26. Iball J., Wilson H. R., *Nature*, **198**, 1193 (1963).
27. Pullman B., Claverie P., Caillett J., *Proc. Nat. Acad. Sci., USA*, **55**, 904 (1966).
28. Kyogoku Y., Lord R. C., Rich A., *J. Am. Chem. Soc.*, **89**, 496 (1967).
29. Kyogoku Y., Lord R. C., Rich A., *Proc. Nat. Acad. Sci. USA*, **57**, 250 (1967).
30. Binford J. S., Holloway D. M., *J. Mol. Biol.*, **31**, 91 (1968).
31. Kuchler E., Derkosch J., *Z. Naturforsch.*, **21b**, 209 (1966).
32. Miller J. H., Sobell H. M., *J. Mol. Biol.*, **24**, 345 (1967).
33. de Voe H., Tinoco I. jr., *J. Mol. Biol.*, **4**, 500 (1962).
34. Nash H. A., Bradley D. F., *Biopolymers*, **3**, 261 (1965).
35. Nash H. A., Bradley D. F., *J. Chem. Phys.*, **45**, 1380 (1966).
36. Lord R. C., Thomas G. J., *Biochim. Biophys. Acta*, **142**, 1 (1967).
37. Ts'o P. O. P., Melvin I. S., Olson A. C., *J. Am. Chem. Soc.*, **85**, 1289 (1963).
38. Broom A. D., Schweizer M. P., Ts'o P. O. P., *J. Am. Chem. Soc.*, **89**, 3612 (1967).
39. Ts'o P. O. P., Chan S. I., *J. Am. Chem. Soc.*, **86**, 4176 (1964).
40. Solie T. N., Schellman J. A., *J. Mol. Biol.*, **33**, 61 (1968).
41. Rossetti G. P., Van Holde K. E., *Biochem. Biophys. Res. Comm.*, **26**, 717 (1967).

42. Gill S. J., Downing M., Sheats G. F., *Biochemistry*, 6, 272 (1967).
43. Farquhar E. L., Downing M., Gill S. J., *Biochemistry*, 7, 1224 (1968).
44. Gellert M., Lipsett M. N., Davies D. K., *Proc. Nat. Acad. Sci. USA*, 48, 2013 (1962).
45. Sarkar P. K., Yang J. T., *Biochem. Biophys. Res. Comm.*, 20, 346 (1965).
46. Ravindranathan R. W., Miles H. T., *Biochim. Biophys. Acta*, 94, 603 (1965).
47. Chan S. J., Schweizer M. P., Ts'o P. O. P., Helmkamp G. K., *J. Am. Chem. Soc.*, 86, 4182 (1964).
48. Helmkamp G. K., Kondo N. S., *Biochim. Biophys. Acta*, 145, 27 (1967).
49. Schweizer M. P., Chan S. J., Ts'o P. O. P., *J. Am. Chem. Soc.*, 87, 5241 (1965).
50. Helmkamp G. K., Kondo N. S., *Biochim. Biophys. Acta*, 157, 242 (1968).
51. Jardetzky O., *Biopolymers Symposia*, № 1, 501 (1964).
52. DeVoe H., *J. Chem. Phys.*, 43, 3199 (1965).
53. Tinoco I. jr., in «Molecular Biophysics», Pullman B., Weissbiuth A. (eds), N. Y., Academic Press, 1965, p. 269.
54. Tinoco I. jr., *J. Am. Chem. Soc.*, 82, 4785 (1960).
55. Микельсон А., *Химия нуклеозидов и нуклеотидов*, Изд. «Мир», 1966, стр. 520.
56. Warshaw H. M., Tinoco I. jr., *J. Mol. Biol.*, 20, 29 (1966), 13, 54 (1965).
57. Felsenfeld G., Leng M., *J. Mol. Biol.*, 15, 455 (1966).
58. Stanley W. M., Bock R. M., *Anal. Biochem.*, 13, 43 (1965).
59. Warshaw M., Bush C. A., Tinoco I., *Biochem. Biophys. Res. Comm.*, 18, 633 (1965).
60. Applequist J., Damle V., *J. Am. Chem. Soc.*, 88, 3895 (1966).
61. Davis R. C., Tinoco I., *Biopolymers*, 6, 223 (1968).
62. Holcomb D. N., Tinoco I., *Biopolymers*, 3, 121 (1965).
63. Jnoue Y., Aoyagi S., Nakanishi K., *J. Am. Chem. Soc.*, 89, 5701 (1967).
64. Jnoue Y., Aoyagi S., Nakanishi K., *Tetrahedron Letters*, 1967, 3575.
65. Vournakis J. M., Scheraga H. A., Rushizky G. W., Sober H. A., *Biopolymers*, 4, 33 (1966).
66. Aoyagi S., Jnoue Y., *J. Biol. Chem.*, 243, 514 (1968).
67. Bush C. A., Tinoco I., *J. Mol. Biol.*, 23, 601 (1967).
68. Brahms J., Maurizot J. C., Michelson A. M., *J. Mol. Biol.*, 25, 465 (1967).
69. Brahms J., Maurizot J. C., Michelson A. M., *J. Mol. Biol.*, 25, 481 (1967).
70. Brahms J., Michelson A. M., Van Holde K. E., *J. Mol. Biol.*, 15, 467 (1966).
71. Van Holde K. E., Brahms J., Michelson A. M., *J. Mol. Biol.*, 12, 726 (1965).
72. Jnoue Y., Aoyagi S., *Biochem. Biophys. Res. Comm.*, 28, 973 (1967).
73. Scheit K. H., Cramer F., Franke A., *Biochim. Biophys. Acta*, 145, 21 (1967).
74. Hruska F. E., Danyluk S. S., *Biochim. Biophys. Acta*, 157, 238 (1968).
75. Chan S. J., Bangerter B. W., Peter H. H., *Proc. Nat. Acad. Sci. USA*, 55, 720 (1966).
76. Ts'o P. O. P., Rappaport S. A., Bollum F. J., *Biochemistry*, 5, 4153 (1966).
77. Poland D., Vournakis J. N., Scheraga H. A., *Biopolymers*, 4, 223 (1966).
78. Simpkins H., Richards E. G., *Biochemistry*, 6, 2513 (1967).
79. Glaubiger D., Lloyd D. A., Tinoco I., *Biopolymers*, 6, 4091 (1968).
80. Claverie P., Pullman B., Cailliet J., *J. Theoret. Biol.*, 12, 419 (1966).
81. Sinanoglu O., Abdalnur S., *Photochem. Photobiol.*, 3, 333 (1964).

82. Sinanoglu O.
83. Wacker
84. Crick
85. Brown
86. Dekk
87. Brown
88. Lythg
89. Lythg
90. Tadd
91. Chem S
92. Coch
93. Broom
94. Broom
95. Fube
96. Zussm
97. Watso
98. Gulla
99. Cambrid
100. Miles
101. Miles
102. Print
103. (1965)
104. Von Hi
105. Miche
106. Acid Re
107. Arnot
108. J. Mol
109. Feng
110. Wilso
111. Hami
112. Langr
113. Hami
114. vin D.
115. kins
116. Fulle
117. J. Mol
118. Coop
119. ton L
120. Mary
121. J. Mol
122. Luzz
123. Joss
124. Mapm
125. лоты».
126. Croth
127. Vinog
128. hen J.
129. Janz
130. Older
131. Shap
132. J. Mol
133. Bode
134. Hicks
135. 58, 173
136. Pikó
137. USA, 5
138. W

82. Sinanoglu O., Abdalnur S., Fed. Proc., 24, № 2, part 3, S12 (1965).
83. Wacker A., Lodemann E., Angew. Chem., 77, 133 (1965).
84. Crick F. H. C., Watson J. D., Proc. Roy. Soc., A223, 80 (1954).
85. Brown D. M., Todd A. R., J. Chem. Soc., 1952, 52.
86. Dekker C. R., Michelson A. M., Todd A. R., J. Chem. Soc., 1953, 947.
87. Brown D. M., Lithgoe B., J. Chem. Soc., 1950, 1990.
88. Lithgoe B., Smith H., Todd A. R., J. Chem. Soc., 1947, 355; Davoll J., Lithgoe B., Todd A. R., J. Chem. Soc., 1944, 833; Clark V. M., Todd A. R., Zussman J., J. Chem. Soc., 1951, 2952; Furberg S., Acta Chem. Scand., 4, 751 (1950).
89. Cochran W., Acta cryst., 4, 81 (1951).
90. Broomhead J. M., Acta cryst., 1, 324 (1948).
91. Broomhead J. M., Acta cryst., 4, 92 (1951).
92. Furberg S., Acta cryst., 3, 325 (1950).
93. Zussman J., Acta cryst., 6, 504 (1953).
94. Watson J. D., Crick F. H. C., Nature, 171, 964 (1953).
95. Gulland J. M., Jordan D. O., Symp. Soc. Exp. Biol. I. Nucleic acids, 56, Cambridge Univ. Press (1946).
96. Miles H. T., Proc. Nat. Acad. Sci. USA, 51, 1104 (1964).
97. Miles H. T., Proc. Nat. Acad. Sci. USA, 47, 791 (1961).
98. Printz M. P., von Hippel P. H., Proc. Nat. Acad. Sci. USA, 53, 364 (1965).
99. Von Hippel P. H., Printz M. P., Fed. Proc., 24, 1458 (1965).
100. Michelson A. M., Massoulie J., Guschlbauer W., Prog. Nucl. Acid Res., 6, 83 (1967).
101. Arnott S., Wilkins M. H. F., Hamilton L. D., Langridge R., J. Mol. Biol., 11, 391 (1965).
102. Fenghelman M., Langridge R., Seeds W. E., Stokes A. R., Wilson H. R., Hooper C. W., Wilkins M. H. F., Barkley R. K., Hamilton L. D., Nature, 175, 834 (1955).
103. Langridge R., Wilson H. R., Hooper C. W., Wilkins M. H. F., Hamilton L. D., J. Mol. Biol., 2, 19 (1960); Langridge R., Marvin D. A., Seeds W. E., Wilson H. R., Hooper C. W., Wilkins M. H. F., Hamilton L. D., J. Mol. Biol., 2, 38 (1960).
104. Fuller W., Wilkins M. H. F., Wilson H. R., Hamilton L. D., J. Mol. Biol., 12, 60 (1965).
105. Cooper P. J., Hamilton L. D., J. Mol. Biol., 16, 562 (1966); Hamilton L. D., Nature, 218, 633 (1968).
106. Marvin D. A., Spencer M., Wilkins M. H. F., Hamilton L. D., J. Mol. Biol., 3, 547 (1961).
107. Luzzati V., Nikolaieff A., Masson F., J. Mol. Biol., 3, 185 (1961).
108. Josse J., Eigner J., Ann. Rev. Biochem., 35, 789 (1966).
109. Мармур Дж., Раунд Р., Шильдкраут К., в кн. «Нуклеиновые кислоты», под ред. Кона В., Дэвидсона Д., Изд. «Мир», 1965, стр. 258.
110. Crothers D. M., Zimm B. H., J. Mol. Biol., 12, 525 (1965).
111. Vinograd J., Lebowitz J., J. Gen. Physiol., 49, part 2, 103 (1966); Cohen J. A., Science, 158, 343 (1967).
112. Janz H. S., Baces P. D., Pouwel P. H., Van Bruggen E. E. J., Oldenziel H., J. Mol. Biol., 32, 159 (1968).
113. Shapiro L., Grosman L., Marmur J., Kleinschmidt A. V., J. Mol. Biol., 33, 907 (1968).
114. Bode V. C., MacHattie L. A., J. Mol. Biol., 32, 673 (1968).
115. Hickson F. T., Roth T. F., Helinski D. K., Proc. Nat. Acad. Sci. USA, 58, 1731 (1967).
116. Pikó L., Blair D. G., Tyler A., Vinograd J., Proc. Nat. Acad. Sci. USA, 59, 838 (1968).
117. Wolstenholme D. R., Dawid I. B., Chromosoma, 20, 445 (1967).

118. Dawid J. B., Wolstenholme D. R., J. Mol. Biol., 28, 233 (1967).
119. Van Bruggen E. F. J., Runner C. M., Ruttenberg G. J. C. M., Kroon A. M., Schurmans-Stekhoven F. M. A. H., Biochim. et Biophys. Acta, 161, 402 (1968).
120. Young E. T., Sinsheimer R. L., J. Mol. Biol., 30, 165 (1967).
121. Gellert M., Proc. Nat. Acad. Sci. USA, 57, 148 (1967).
122. Vinograd J., Leibowitz J., Watson R., J. Mol. Biol., 33, 173 (1968).
123. Glaubiger D., Hearst J. E., Biopolymers, 5, 591 (1967).
124. Bauer W., Vinograd J., J. Mol. Biol., 33, 141 (1968).
125. Thomas C. A., MacHattie L. A., Ann. Rev. Biochem., 36, 485 (1967).
126. Ruttenberg G. J. C. M., Smit E. M., Borst P., Van Bruggen E. F. J., Biochim. Biophys. Acta, 157, 429 (1968).
127. Crawford L. V., Waring M. J., J. Mol. Biol., 25, 23 (1967); J. Gen. Virol., 1, 387 (1967).
128. Bujard H., J. Mol. Biol., 33, 503 (1968).
129. Lang D., Bujard H., Wolff B., Russell D., J. Mol. Biol., 23, 163 (1967).
130. Arnott S., Hutchinson K., Spencer M., Wilkins M. H. F., Fuller W., Langridge R., Nature, 211, 227 (1966).
131. Arnott S., Wilkins M. H. F., Fuller W., Langridge R., J. Mol. Biol., 27, 525 (1967).
132. Arnott S., Wilkins M. H. F., Fuller W., Langridge R., J. Mol. Biol., 27, 535 (1967).
133. Arnott S., Wilkins M. H. F., Fuller W., Venable J. H., Langridge R., J. Mol. Biol., 27, 549 (1967).
134. Samejima T., Hashizume H., Imahori K., Fujii Y., Miura K., J. Mol. Biol., 34, 39 (1968).
135. Miura K. I., Kimura Y., Suzuki N., Virology, 28, 571 (1966).
136. Sato T., Kyogoku Y., Higuchi S., Mitsui I., Itaka Y., Tsuboi M., Miura K. I., J. Mol. Biol., 16, 180 (1966).
137. Blach L. M., Markham R., Neth J., Plant. Path., 69, 215 (1965).
138. Gomatos P. J., Tamm J., Proc. Nat. Acad. Sci. USA, 49, 707 (1963).
139. Langridge R., Gomatos P. J., Science, 141, 694 (1963).
140. Tomita K., Rich A., Nature, 201, 1160 (1964).
141. Hashizume H., Imahori K., J. Biochem. (Japan), 61, 738 (1967).
142. Kraut J., Ann. Rev. Biochem., 34, 247 (1965).
143. Davies D. R., Ann. Rev. Biochem., 36, 646 (1967).
144. Langridge R., Margur J., Science, 143, 1450 (1964).
145. Микельсон А., в кн. «Химия нуклеозидов и нуклеотидов», Изд. «Мир», 1965, стр. 375.
146. Франк-Каменецкий М. Д., в сб. «Физические методы исследования белков и нуклеиновых кислот», под ред. Лазуркина Ю. С., Изд. «Наука», 1967, стр. 130.
147. Felsenfeld G., Miles H. T., Ann. Rev. Biochem., 36, 407 (1967).
148. Singer M. F., Heppel L. A., Rushizky G. W., Sober H. A., Biochim. Biophys. Acta, 61, 474 (1962).
149. Doty P., J. Polymer. Sci., 55, 1 (1961).
150. Lipsett M. N., Heppel L. A., Bradley D. F., J. Biol. Chem., 236, 857 (1961).
151. Lipsett M. N., Heppel L. A., Bradley D. F., Biochim. Biophys. Acta, 41, 175 (1960).
152. Hamaguchi K., Geiduschek E. P., J. Am. Chem. Soc., 84, 1329 (1962); Robinson D. K., Grant M. E., J. Biol. Chem., 241, 4030 (1966); Emanuel C. E., Biochim. Biophys. Acta, 42, 91 (1960).
153. Микельсон А., в кн. «Химия нуклеозидов и нуклеотидов», Изд. «Мир», 1965, стр. 562.
154. Record M. T., Biopolymers, 5, 993 (1967).

ЛИТЕРАТУРА

155. Bunville
vant J. M.
Weila B.
156. Lin H. J.
157. Микельсон
1965, стр. 58
158. Ponwells
hen J. A. J.
159. Alberts B.
J. Mol. Biol.
47, 950 (1961)
160. Vinograd
Proc. Nat. Acad.
161. Follett E.
(1968).
162. Crawford
163. Ageno M.
fis. mat. e na
164. Ageno M.
fis. mat. e na
165. Davison F.
166. Davison I.
167. Spatz H. C.
168. Tawashir
169. Spatz H.
170. Евдоким
171. Евдоким
3, 163 (1969)
172. Rice S. A.
173. Peacocke
174. Berg H., B
175. Берг Х., Е
биол., 2, 830
176. Евдоким
биол. (в печ
177. Bunville
vant J. M.
178. Follett E.
179. Jnman R.
180. Jnman R.
181. Шугалин
Мол. биол.,
182. Thomas C
(1964).
183. Wettmur
184. Muriel R.
185. Karkas J.
60, 915 (1966)
186. Rudner R.
921 (1968).
187. Doerfler
Aurisccl
188. Davies D. R.
189. Wu R., Ka
190. Sherdric
191. Corneo G
192. Guha A., S
193. 20 зак

155. Bunville L. G., Geiduschek E. P., Rawitscher M. A., Sturtevant J. M., *Biopolymers*, **3**, 213 (1965).
156. Weila B., Gill S. J., *Biochim. Biophys. Acta*, **112**, 179 (1966).
157. Lin H. J., Chargaff E., *Biochim. Biophys. Acta*, **145**, 398 (1967).
158. Микельсон А., в кн. «Химия нуклеозидов и нуклеотидов», Изд. «Мир», 1965, стр. 597.
159. Ponwels P. H., Knijnenburg C. M., Van Rotterdam J., Cohen J. A., Jansz H. S., *J. Mol. Biol.*, **32**, 169 (1968).
160. Alberts B. M., *J. Mol. Biol.*, **32**, 405 (1968); Alberts B. M., Doty P., *J. Mol. Biol.*, **32**, 379 (1968); Geiduschek E. P., *Proc. Nat. Acad. Sci. USA*, **47**, 950 (1961).
161. Vinograd J., Leibowitz J., Radloff R., Watson R., Laipis P., *Proc. Nat. Acad. Sci. USA*, **53**, 1104 (1965).
162. Follett E. A. C., Crawford L. V., *J. Mol. Biol.*, **28**, 455 (1967); **34**, 565 (1968).
163. Crawford L. V., *J. Mol. Biol.*, **13**, 362 (1965).
164. Ageno M., Dore E., Frontali K., *Atti. Acad. naz. Lincei Rend. Cl. Sci. fis. mat. e natur.*, **40**, 346 (1966).
165. Ageno M., Dore E., Frontali K., *Atti. Acad. naz. Lincei Rend. Cl. Sci. fis. mat. e natur.*, **40**, 540 (1966).
166. Davison P. F., *J. Mol. Biol.*, **22**, 97 (1966).
167. Davison P. F., *Biopolymers*, **5**, 715 (1967).
168. Spatz H. C., Baldwin R. L., *J. Mol. Biol.*, **11**, 213 (1965).
169. Tawashima S., Arnolds E. A., *Biochim. Biophys. Acta*, **94**, 546 (1965).
170. Spatz H., Crothers D. M., *J. Mol. Biol.*, **42**, 191 (1969).
171. Евдокимов Ю. М., Варшавский Я. М., *ДАН СССР*, **170**, 1205 (1966).
172. Евдокимов Ю. М., Кнорре К. Г., Варшавский Я. М., *Мол. биол.*, **3**, 163 (1969).
173. Rice S. A., Doty P., *J. Am. Chem. Soc.*, **79**, 3939 (1957).
174. Peacocke A. R., Walker L. O., *J. Mol. Biol.*, **5**, 560 (1962).
175. Berg H., Bär H., Gollmick F. A., *Biopolymers*, **5**, 61 (1967).
176. Берг Х., Евдокимов Ю. М., Бёр Х., Варшавский Я. М., *Мол. биол.*, **2**, 830 (1968).
177. Евдокимов Ю. М., Берг Х., Бёр Х., Варшавский Я. М., *Мол. биол.* (в печати).
178. Bunville L. G., Geiduschek E. P., Rawitscher M. A., Sturtevant J. M., *Biopolymers*, **3**, 213 (1965).
179. Follett E. A. C., Crawford L. V., *J. Mol. Biol.*, **28**, 461 (1967).
180. Jnman R. B., *J. Mol. Biol.*, **18**, 464 (1966).
181. Jnman R. B., *J. Mol. Biol.*, **28**, 103 (1967).
182. Шугалий А. В., Франк-Каменецкий М. Д., Лазуркин Ю. С., *Мол. биол.*, **3**, 133 (1969).
183. Thomas C. A., MacHattie L. A., *Proc. Nat. Acad. Sci. USA*, **52**, 1297 (1964).
184. Wetttmur J. C., Davidson N., *J. Mol. Biol.*, **31**, 349 (1968).
185. Muriel R., *Proc. Nat. Acad. Sci. USA*, **59**, 200 (1968).
186. Karkas J. D., Rudner K., Chargaff E., *Proc. Nat. Acad. Sci. USA*, **60**, 915 (1968).
187. Rudner R., Karkas J., Chargaff E., *Proc. Nat. Acad. Sci. USA*, **60**, 921 (1968).
188. Doerfler W., Hogness D. S., *J. Mol. Biol.*, **33**, 635 (1968).
189. Aurisicchio S., in «Procedures in Nucleic Acids Research», Cantoni G. L., Davies D. R. (eds.), N. Y. — L., 1966, p. 562.
190. Wu R., Kaiser A. D., *Proc. Nat. Acad. Sci. US*, **57**, 170 (1967).
191. Sherdrick P., Szybalski W., *J. Mol. Biol.*, **29**, 217 (1967).
192. Corneo G., Ginelli E., Polli E., *J. Mol. Biol.*, **33**, 331 (1968).
193. Guha A., Szybalski W., *Virology*, **34**, 608 (1968).

194. Chilton M. D., *Science*, **157**, 817 (1967).
195. Cordes S., Epstein H. T., Marmur J., *Nature*, **191**, 1097 (1961).
196. Schildkraut C. L., Marmur J., Doty P., *J. Mol. Biol.*, **3**, 595 (1961).
197. Waring M., Britten R. J., *Science*, **154**, 791 (1966).
198. Subirana J. A., Doty P., *Biopolymers*, **4**, 171 (1966); Subirana J. E., *Biopolymers*, **4**, 189 (1966).
199. Thrower K. J., Peacocke A. R., *Biochim. Biophys. Acta*, **119**, 652 (1966).
200. Nygaard A. P., Hall B. D., *J. Mol. Biol.*, **9**, 125 (1964).
201. Davis R. W., Davidson N., *Proc. Nat. Acad. Sci. US*, **60**, 243 (1968).
202. Brimacombe R. L. C., Kirby K. S., *Biochim. Biophys. Acta*, **157**, 362 (1968).
203. Arcá M., Di Mauro E. D., Frontali L., Tecce G., *Europ. J. Biochem.*, **5**, 466 (1968).
204. Landy A., Abelson J., Goodman H. M., Smith J. D., *J. Mol. Biol.*, **29**, 457 (1967).
205. Ageno M., Dore E., Frontali C., Area M., Frontali L., Tecce G., *J. Mol. Biol.*, **15**, 555 (1966).
206. Zehavi-Willner T., Comb D. G., *J. Mol. Biol.*, **16**, 250 (1966).
207. Warnaar S. O., Cohen J. A., *Biochem. Biophys. Res. Comm.*, **24**, 554 (1966).
208. McConcey E. H., Dubin D. T., *J. Mol. Biol.*, **15**, 102 (1966).
209. Murata N., Szybalski W., *J. Gen. Appl. Microbiol.*, **14**, 57 (1968).
210. Winocour E., *Virology*, **31**, 15 (1967).
211. Brenner D. J., Martin M. A., Hoyer B. H., *J. Bacteriol.*, **94**, 486 (1967).
212. Schildkraut C., Lifson S., *Biopolymers*, **3**, 195 (1965).
213. Kotin L., *J. Mol. Biol.*, **7**, 309 (1963).
214. Record M. T., *Biopolymers*, **5**, 975, 993 (1967).
215. Zimm B. H., Bragg J. K., *J. Chem. Phys.*, **31**, 526 (1959).
216. Crothers D. M., Zimm B. H., *J. Mol. Biol.*, **9**, 1 (1964).
217. Веденов А. А., Дыхне А. М., Франк-Каменецкий А. Д., Франк-Каменецкий М. Д., *Мол. биол.*, **1**, 313 (1967).
218. Франк-Каменецкий М. Д., Франк-Каменецкий А. Д., *Мол. биол.*, **3**, 375 (1969).
219. Crothers D. M., *Biopolymers*, **6**, 1391 (1968).
220. Montroll E. W., Goel N. S., *Biopolymers*, **4**, 855 (1966).
221. Fink T. R., Crothers D. M., *Biopolymers*, **6**, 783 (1968).
222. Kallenbach N. R., Crothers D. M., *Proc. Nat. Acad. Sci. US*, **56**, 1018 (1966).
223. Fraenkel-Conrat H., *Biochim. Biophys. Acta*, **15**, 307 (1954).
224. Древич В. Ф., Кнорре Д. Г., Малыгин Э. Г., Салганик Р. И., *мол. биол.*, **1**, 299 (1967).
225. Drevich V. F., Salganic R. J., Knorre D. G., Malygin E. G., *Biochim. Biophys. Acta*, **123**, 207 (1966).
226. Hayatsu H., Ukita T., *Biochim. Biophys. Acta*, **123**, 458 (1966).
227. Eigen M., *J. chim. Phys.*, **65**, 53 (1968).
228. Englander S. W., Englander J. J., *Proc. Nat. Acad. Sci. US*, **53**, 370 (1965).
229. Fresco J. R., Doty P., *J. Am. Chem. Soc.*, **79**, 3928 (1957).
230. Steiner R., Beers R., *Biochim. Biophys. Acta*, **26**, 336 (1957).
231. Stevens C. L., Felsenfeld G., *Biopolymers*, **2**, 293 (1964).
232. Barszcz D., Shugar D., *Acta Biochim. Polon.*, **11**, 481 (1964).
233. Helmcamp G. K., Ts'o P. O. P., *Biochim. Biophys. Acta*, **55**, 601 (1962).
234. Brahms J., *Nature*, **202**, 797 (1964).
235. Brahms J., *J. Am. Chem. Soc.*, **85**, 3298 (1963).
236. Warshaw H. M., Tinoco I. jr., *J. Mol. Biol.*, **13**, 54 (1965).
237. Fasman G. D., Lindblow C., Grossman L., *Biochemistry*, **3**, 1015 (1964); Adler A., Grossman L., Fasman G. D., *Proc. Nat. Acad. Sci. US*, **57**, 423 (1967).

238. Cant...
239. Brima...
240. Griffi...
- (1964).
241. Stev...
242. Еран...
243. Спирн...
- на Д. И...
244. Brow...
245. Miura...
246. Tissie...
247. Cox R...
248. Brow...
249. Oifeng...
- (1961).
250. Fasma...
251. Кисел...
252. Penni...
253. Zubay...
254. Кисел...
- Бюхим...
255. Marci...
256. Hayas...
257. Seide...
258. Yoshi...
259. Кочет...
- 168, 102
260. Fresc...
261. Fresc...
- sia, 28,
262. Фреск...
- стр. 100.
263. Boedt...
264. Millar...
265. McCul...
266. Zubay...
267. Holley...
- se M.,
- (1965).
268. Zacha...
- Cold Sp...
269. Zacha...
270. Баев...
- на А. И...
271. Rajbh...
272. Takem...
- 277 (196...
273. Goodm...
- Nature, 2
274. Dube...
- 232 (196...
275. Cory...
- 1039 (19...
276. Staeh...
- Nature, 2
277. Nelson...
- 590 (196...

238. Cantor C. R., Jaskunas S. K., Tinoco J., *J. Mol. Biol.*, **20**, 39 (1966).
239. Brimacombe R. L. C., *Biochim. Biophys. Acta*, **142**, 24 (1967).
240. Griffin B. E., Haslam W. J., Reese C. B., *J. Mol. Biol.*, **10**, 353 (1964).
241. Stevens C. L., Rosenfeld A., *Biochemistry*, **5**, 2714 (1966).
242. Eprand R. M., Scheraga H. A., *J. Am. Chem. Soc.*, **89**, 3888 (1967).
243. Спирин А. С., в кн. «Нуклеиновые кислоты», под ред. Кона В., Дэвидсона Д., Изд. «Мир», 1965, стр. 341.
244. Brown G. L., *Progr. Nucl. Acid Res.*, **2**, 259 (1963).
245. Miura K.-I., *Progr. Nucl. Acid Res.*, **6**, 39 (1967).
246. Tissiers A., *J. Mol. Biol.*, **1**, 365 (1960).
247. Cox R. A., Littauer U. Z., *J. Mol. Biol.*, **2**, 166 (1960).
248. Brown G. L., Zubay G., *J. Mol. Biol.*, **2**, 287 (1960).
249. Ofengand E. J., Dieckman M., Berg P., *J. Biol. Chem.*, **236**, 1741 (1961).
250. Fasman G. D., Lindblow C., Seaman F., *J. Mol. Biol.*, **12**, 630 (1965).
251. Киселев Л. Л., *Усп. совр. биол.*, **58**, 177 (1964).
252. Penniston J. T., Doty P., *Biopolymers*, **1**, 145 (1963).
253. Zubay G., Marciello R., *Biochem. Biophys. Res. Comm.*, **11**, 79 (1963).
254. Киселев Л. Л., Фролова Л. Ю., Борисова О. Ф., Куханова М. К., *Биохимия*, **29**, 116 (1964).
255. Marciello R., Zubay G., *Biochem. Biophys. Res. Comm.*, **14**, 272 (1964).
256. Hayashi M., Spiegelman S., *Proc. Nat. Acad. Sci. USA*, **47**, 1564 (1961).
257. Seidel H., Cramer F., *Biochim. Biophys. Acta*, **108**, 367 (1965).
258. Yoshida M., Ukita T., *J. Biochem. (Japan)*, **58**, 191 (1965).
259. Кочетков Н. К., Будовский Э. И., Дёмушкин В. П., *ДАН СССР*, **168**, 102 (1966).
260. Fresco J. R., Alberts N. M., Doty P., *Nature*, **188**, 98 (1960).
261. Fresco J. R., Klotz L. C., Richards E. G., *Cold Spring Harbor Symposia*, **28**, 83 (1963).
262. Фреско Ж., в кн. «Информационные макромолекулы», Изд. «Мир», 1965, стр. 100.
263. Boedtker H., *Biochemistry*, **6**, 2718 (1967).
264. Millar D. B., *Biochim. Biophys. Acta*, **174**, 32 (1969).
265. McCully K. S., Cantoni G. L., *J. Mol. Biol.*, **5**, 497 (1962).
266. Zubay G., Takanami M., *Biochem. Biophys. Res. Comm.*, **15**, 207 (1964).
267. Holley R. W., Apgar J., Everett G. A., Madison T. J., Marquisse M., Merrill S. H., Penswic J. K., Zamir A., *Science*, **147**, 1462 (1965).
268. Zachau H. G., Düttig D., Feldman H., Melchers F., Karau W., *Cold Spring Harbor Symposia Quant Biol.*, **31**, 417 (1966).
269. Zachau H., Düttig D., Feldman H., *Angew. Chem.*, **78**, 392 (1966).
270. Баев А. А., Венкстерн Т. В., Мирзабеков А. И., Крутили-на А. И., Ли Л., Аксельрод В. Д., *Мол. биол.*, **1**, 754 (1967).
271. RajBhandary U. L., Chang S. H., *J. Biol. Chem.*, **243**, 598 (1967).
272. Takemura S., Mirutani T., Mijazahi J., *J. Biochem. (Japan)*, **63**, 277 (1968).
273. Goodman H. M., Abelson J., Landy A., Brenner S., Smith J. D., *Nature*, **217**, 1019 (1968).
274. Dube S. K., Marcker K. A., Clark B. F. C., Cory S., *Nature*, **218**, 232 (1968).
275. Cory S., Marcker K. A., Dube S. K., Clark B. F. C., *Nature*, **220**, 1039 (1968).
276. Staehelin M., Rogg H., Baguley B. C., Ginsburg T., Wehrli W., *Nature*, **219**, 1363 (1968).
277. Nelson J. A., Ristow S. C., Holley R. W., *Biochim. Biophys. Acta*, **149**, 590 (1967).

278. Brostoff S. W., Ingram W. M., *Science*, **158**, 666 (1967).
279. Yoshida M., Ukita T., *Biochim. Biophys. Acta*, **123**, 214 (1966).
280. Armstrong A., Hagopian H., Ingram V. M., Wagner E. K., *Biochemistry*, **5**, 3027 (1966).
281. Wagner E. K., Ingram V. M., *Biochemistry*, **5**, 3019 (1966).
282. Туманян В. Г., в сб. «Нуклеиновые кислоты», под ред. Ореховича В. И., Изд. «Медицина», 1966, стр. 72—77.
283. Баев А. А., Фодор И., Мирзабеков А. Д., Аксельрод В. Д., Казаринова Л. Я., *Мол. биол.*, **1**, 859 (1967).
284. Vournakis J. N., Scheraga H. A., *Biochemistry*, **5**, 2997 (1966).
285. Sarkar P. K., Yang J. T., *J. Biol. Chem.*, **240**, 2088 (1965).
286. Sarkar P. K., Yang J. T., *Biochemistry*, **4**, 1238 (1965).
287. Туманян В. Г., Есипова Н. Г., Киселев Л. Л., *ДАН СССР*, **168**, 211 (1966).
288. Lake J. A., Beeman W. W., *J. Mol. Biol.*, **31**, 115 (1968).
289. Henley D. D., Lindahl T., Fresco J. R., *Proc. Nat. Acad. Sci. USA*, **55**, 191 (1966).
290. Madison J. T., Everett G. A., Kung H., *Science*, **153**, 531 (1966).
291. Fresco J. R., Adams A., Ascione R., Henley D., Lindahl T., *Cold Spring Harbor Symposia Quant. Biol.*, **31**, 527 (1966).
292. Millar D. B., Steiner R. F., *Biochemistry*, **5**, 2289 (1966).
293. Millar D. B., McKenzie M. C., *Biochem. Biophys. Res. Comm.*, **23**, 724 (1966).
294. Lindahl T., Adams A., Geroch M., Fresco J. R., *Proc. Nat. Acad. Sci. USA*, **57**, 178 (1967).
295. Lindahl T., Adams A., Fresco J. R., *Proc. Nat. Acad. Sci. US*, **55**, 941 (1966).
296. Gartland W., Sueoka N., *Proc. Nat. Acad. Sci. USA*, **55**, 948 (1966).
297. Ishida T., Sueoka N., *Proc. Nat. Acad. Sci. USA*, **58**, 1080 (1967).
298. Lindahl T., Adams A., *Science*, **152**, 512 (1966).
299. Sueoka N., Kano-Sueoka T., Gartland W. J., *Cold Spring Harbor Symposia Quant. Biol.*, **31**, 571 (1966).
300. Muench K., *Cold Spring Harbor Symposia Quant. Biol.*, **31**, 539 (1966).
301. Adams A., Lindahl T., Fresco J. R., *Proc. Nat. Acad. Sci. USA*, **57**, 1684 (1967).
302. Brownlee G. G., Sanger F., Barrell B. G., *Nature*, **215**, 735 (1967).
303. Brownlee G. G., Sanger F., Barrell B. G., *J. Mol. Biol.*, **34**, 379 (1968).
304. Forget B. G., Weissman N., *Science*, **158**, 1695 (1967).
305. Boedtker H., Kelling D. G., *Biochem. Biophys. Res. Comm.*, **29**, 758 (1968).
306. Cantor C. R., *Proc. Nat. Acad. Sci. USA*, **59**, 478 (1968).
307. Cantor C. R., *Nature*, **216**, 513 (1967).
308. Cramer F., Erdmann V. A., *Nature*, **218**, 92 (1968).
309. Raacke J. D., *Biochem. Biophys. Res. Comm.*, **31**, 528 (1968).
310. Aubert M., Scott J. F., Reynier M., Monier R., *Proc. Nat. Acad. Sci. USA*, **61**, 292 (1968).
311. McPhie P., Hounsell J., Gratzner W. B., *Biochemistry*, **5**, 988 (1966).
312. Gould H., *Biochemistry*, **5**, 1103 (1966); *Biochim. Biophys. Acta*, **123**, 441 (1966).
313. Gould H., *J. Mol. Biol.*, **29**, 307 (1967).
314. Strauss J. H., Sinsheimer R. L., *J. Mol. Biol.*, **34**, 453 (1968).
315. Wang J. C., Baumgarten D., Olivera B. M., *Proc. Nat. Acad. Sci. USA*, **58**, 1852 (1967).
316. Hudson B., Upholt W. B., Devinny J., Vinograd, J., *Proc. Nat. Acad. Sci. USA*, **62**, 813 (1969).
317. Kyogoku Y., Lord R. C., Rich A., *Biochim. Biophys. Acta*, **179**, 10 (1969).

318. Ts'o
319. Ch
320. Mc
321. Sm
322. Sh
323. Ad
324. Ma
325. Ma
326. Ad
327. Bra
328. Bra
329. Ino
330. Op
331. J. M
332. Wa
333. Eis
334. Luz
335. Na
336. Bo
337. Ful
338. Wa
339. Arn
340. Bus
341. Pri
342. Mc
343. Ma
344. Sil
345. Bon
346. Ow
347. Gru
348. Dot
349. Proc.
350. Lobb
351. Mic
352. Luc
353. Zim
354. Cou
355. 6, 49
356. Luc
357. Zim
358. Cha
359. Bas
360. Bar
361. Bag
362. Acta
363. Ky

318. Ts'o P. O. P., Kondo N. S., Schweizer M. P., Hollis D. P., *Biochemistry*, **8**, 997 (1969).
319. Chan S. I., Nelson J. H., *J. Am. Chem. Soc.*, **91**, 168 (1969).
320. McDonald C. C., Phillips W. D., Lazar J., *J. Am. Chem. Soc.*, **89**, 4166 (1967).
321. Smith I. C. P., Blackburn B. J., Yamane T., *Canad. J. Chem.*, **47**, 513 (1969).
322. Sheit K. H., Saenger W., *FEBS Letters*, **2**, 305 (1969).
323. Adler A. J., Grossman L., Fasman C. D., *Biochemistry*, **7**, 3836 (1968).
324. Maurizot J. C., Wechter W. J., Brahms J., Sadron Ch., *Nature*, **219**, 377 (1968).
325. Maurizot J. C., Brahms J., Eckstein F., *Nature*, **222**, 559, (1969).
326. Adler A. J., Grossman L., Fasman C. D., *Proc. Nat. Acad. Sci. USA*, **57**, 423 (1967).
327. Brahms J., Maurizot J. C., Pilet J., *Biochim. Biophys. Acta*, **186**, 110 (1969).
328. Brahms J., Aubertin A., Dithheimer G., Grunberg-Manago M., *Biochemistry*, **8**, 3269 (1969).
329. Inoue Y., Satoh K., *Biochem J.*, **113**, 843 (1969).
330. Opschoor A., Pouwels P. H., Knijnenberg C. M., Aten J. B. T., *J. Mol. Biol.*, **37**, 13 (1968).
331. Wang J. C., *J. Mol. Biol.*, **43**, 45 (1969).
332. Wang J. C., *J. Mol. Biol.*, **43**, 263 (1969).
333. Eisenberg H., Cohen G., *J. Mol. Biol.*, **37**, 355 (1968).
334. Luzzati V., Masson F., Mathis A., Saludjan P., *Biopolymers*, **5**, 491 (1967).
335. Nass M. M. K., *Science*, **165**, 25 (1969).
336. Bourguignon M. F., Bourgaux P., *Biochim. Biophys. Acta*, **169**, 476 (1968).
337. Fuller W., Waring M. J., *Ber. Bunsenges. physik. Chem.*, **68**, 805 (1964).
338. Waring M. J., *Biochem J.*, **109**, 28 p (1968).
339. Arnott S., Fuller W., Hodson A., Prutton J., *Nature*, **220**, 561 (1968).
340. Bush C. A., Scheraga H. A., *Biopolymers*, **7**, 395 (1969).
341. Printz M. P., von Hippel P. H., *Biochemistry*, **7**, 3194 (1968).
342. McConnel B., von Hippel P. H., *Fed. Proc.*, **27**, 802 (1968).
343. Marmur J., Doty P., *J. Mol. Biol.*, **5**, 109 (1962).
344. Silvestri L. G., Hill L. R., *J. Bacteriol.*, **90**, 136 (1965).
345. Bonachek J., Kokur M., Martinec T., *J. Gen. Microbiol.*, **46**, 369 (1969).
346. Owen R. J., Hill L. R., Lapage S. R., *Biopolymers*, **7**, 503 (1969).
347. Gruenwedel D. W., Hsu C.-H., *Biopolymers*, **7**, 557 (1969).
348. Doty P., Boedtker H., Fresco J. R., Haselkorn R., Litt M., *Proc. Nat. Acad. Sci. USA*, **45**, 482 (1959).
349. Löber G., Zimmer C. H., *Biochem Biophys. Res. Comm.*, **31**, 641 (1968).
350. Michelson A. M., Pöchon F., *Biochim. Biophys. Acta*, **174**, 604 (1969).
351. Luck G., Zimmer Ch., *Biochim. Biophys. Acta*, **169**, 466 (1968).
352. Zimmer Ch., Luck G., Venner H., Fric J., *Biopolymers*, **6**, 563 (1968).
353. Courtois Y., Fromageot P., Gushlbauer W., *Europ. J. Biochem.*, **6**, 493 (1968).
354. Luck G., Zimmer Ch., Shatzke G., *Biochim Biophys. Acta*, **169**, 548 (1968).
355. Zimmer Ch., *Biochim. Biophys. Acta*, **161**, 584 (1968).
356. Chapman R. E., Sturtewant J. M., *Biopolymers*, **7**, 527 (1969).
357. Basu S., *Z. Naturforsch.*, **24b**, 511 (1969).
358. Bartl P., Boublik M., *Biochim. Biophys. Acta*, **103**, 678 (1965).
359. Bagchi B., Misra D. N., Basu S., Das Gupta N. N., *Biochim. Biophys. Acta*, **182**, 551 (1969).
360. Кушнер В. П., Захарова Н. В., *Мол биол.* **3**, 384 (1969).

361. Jansz H. S., Baas P. D., Pouwels P. H., van Bruggen E. F. J., Oldenziel H. J., *J. Mol. Biol.*, **32**, 159 (1968).
362. Pouwels P. H., van Rotterdam J., Cohen J. A., *J. Mol. Biol.*, **40**, 379 (1969).
363. Massie H. R., Zimm B. H., *Biopolymers*, **7**, 475 (1969).
364. McCarthy B. J., *Bacter. Rev.*, **31**, 215 (1967).
365. Britten R. J., Kohne D. E., *Science*, **161**, 529 (1968).
366. Thrower K. J., Peacocke A. R., *Biochem. J.*, **109**, 543 (1969).
367. Studier F. W., *J. Mol. Biol.*, **41**, 189 (1969).
368. Studier F. W., *J. Mol. Biol.*, **41**, 199 (1969).
369. Wood D. D., Luck D. J. L., *J. Mol. Biol.*, **41**, 211 (1969).
370. Bishop J. O., *Biochem. J.*, **108**, 35p (1968).
371. Bishop J. O., *Biochem. J.*, **113**, 805 (1969).
372. Melli M., Bishop J. O., *J. Mol. Biol.*, **40**, 117 (1969).
373. Bonner J., Kung G., Bekhor I., *Biochemistry*, **6**, 3650 (1967).
374. McCaughy B. L., Laird C. D., McCarthy B. J., *Biochemistry*, **8**, 3289 (1969).
375. Legault-Demare J., Dessaux B., Heyman T., Seror S., Ress G. P., *Biochem. Biophys. Res. Comm.*, **28**, 550 (1967).
376. Bekhor I., Bonner J., Dahmus G. K., *Proc. Nat. Acad. Sci. USA*, **62**, 271 (1969).
377. Klotz L. C., *Biopolymers*, **7**, 265 (1969).
378. Lehman G. W., McTague J. P., *J. Chem. Phys.*, **49**, 3170 (1969).
379. Франк-Каменецкий А. Д., Франк-Каменецкий М. Д., *Мол. биол.*, **2**, 778 (1968).
380. Goel N. S., Maitra S. C., *J. Theoret. Biol.*, **23**, 87 (1969).
381. Hiroyashi I., Doty P., *Repts. Progr. Polym. Phys. Japan.*, **11**, 533 (1968).
382. Bobst A. M., Cerrutti P. A., Rottman F., *J. Am. Chem. Soc.*, **91**, 1246 (1969).
383. Mirzabekov A. D., Kazarinova L. Ya., Latity D., Baev A. A., *FEBS Letters*, **3**, 268 (1969).
384. Imura N., Weiss G. B., Chambers R. W., *Nature*, **222**, 1147 (1969).
385. Imura N., Schwamm H., Chambers R. W., *Proc. Nat. Acad. Sci. USA*, **62**, 1203 (1969).
386. Tsuboi M., Higuchi S., Kyogoku Y., Nishimura S., *Biochim. Biophys. Acta*, **195**, 23 (1969).
387. Morikawa K., Tsuboi M., Kyogoku Y., Seno T., Nishimura S., *Nature*, **223**, 537 (1969).
388. Cox R. A., *Quart. Rev.*, **82**, 499 (1968).
389. Clark B. F., Doctor B. P., Holmes K. C., Klug A., Marcker K. A., Morris S. J., Paradies H. H., *Nature*, **219**, 1222 (1968).
390. Vold B. S., *Biochem. Biophys. Res. Comm.*, **35**, 222 (1969).
391. Fresco J. R., Blake R. D., Langridge R., *Nature*, **220**, 1285 (1968).
392. Doctor B. P., Fuller W., Webb N. L., *Nature*, **221**, 58 (1969).
393. Thomas G. J. jr., *Biopolymers*, **7**, 325 (1969).
394. Cotter R. I., Gratzer W. B., *Nature*, **221**, 154 (1969).
395. Thomas G. J. jr., Spencer M., *Biochim. Biophys. Acta*, **179**, 360 (1969).
396. Kallenbach N. R., *J. Mol. Biol.*, **37**, 445 (1968).
397. Riesner D., Römer R., Maass G., *Biochem. Biophys. Res. Comm.*, **35**, 369 (1969).
398. Cramer F., Doepner H., Haar F., Schlimme E., Seidel H., *Proc. Nat. Acad. Sci. US*, **61**, 1384 (1969).
399. Melcher G., *FEBS Letters*, **3**, 185 (1969).
400. Seno T., Kobayashi M., Nishimura S., *Biochim. Biophys. Acta*, **174**, 71 (1969).
401. Scott J. F., Monier R., Aubert M., Reynier M., *Biochem. Biophys. Res. Comm.*, **33**, 794 (1968).

РЕАКЦИИ ЗАМЕЩЕНИЯ И ПРИСОЕДИНЕНИЯ ПО ГЕТЕРОЦИКЛИЧЕСКИМ ЯДРАМ ОСНОВАНИЙ НУКЛЕИНОВЫХ КИСЛОТ И ИХ ПРОИЗВОДНЫХ

I. ВВЕДЕНИЕ

Реакции замещения в гетероциклическом ядре оснований нуклеиновых кислот характерны как для пуриновых, так и для пиримидиновых производных. Они включают реакции электрофильного замещения протонов, связанных с атомами углерода или азота, входящими в состав цикла, а также реакции нуклеофильного замещения экзоциклических аминогрупп. Реакции присоединения по углерод-углеродной двойной связи гетероцикла, которые могут быть как электрофильными, так и нуклеофильными, пока известны только для пиримидиновых оснований, тогда как у пуринов связь С-4—С-5, по-видимому, весьма стабильна. К реакциям присоединения можно условно, как сделано в этой книге, отнести также электрофильные реакции по атомам азота пиридинового типа, обладающим свободной электронной парой. В результате таких реакций в гетероциклическом ядре появляется новая группа без удаления групп или атомов, уже бывших в составе ядра до реакции.

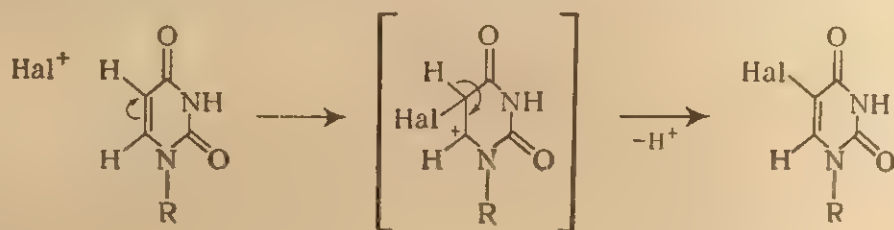
В данной главе рассматриваются все указанные типы реакций. Они характерны тем, что приводят к модификации гетероциклического ядра без его разрушения. Попутно здесь рассматриваются также некоторые реакции, в которых продукты присоединения или замещения являются нестабильными и претерпевают дальнейшие превращения. Более подробно такие реакции рассмотрены в других главах.

II. РЕАКЦИИ ЗАМЕЩЕНИЯ И ПРИСОЕДИНЕНИЯ ПО АТОМАМ УГЛЕРОДА

1. Галоидирование

Пиримидиновые производные. При галоидировании в безводной среде происходит непосредственное замещение атома водорода у углеродного атома С-5 пиримидинового цикла. Такое замещение может быть осуществлено действием либо свободных галоидов, либо N-галоидами.

Действие галоидов. Наиболее распространенным способом получения 5-хлор- и 5-бром(но не 5-иод-)производных пиридиновых оснований нуклеозидов и нуклеотидов является галоидирование действием свободных галогенов в безводной среде. Реакция может быть, по-видимому, представлена следующей схемой, которая предполагает электрофильную атаку положительным ионом галоида по атому С-5, обладающему избытком π -электронной плотности (см. стр. 153).



R-атом водорода или углеводный остаток

Обычно хлорирование производных урацила осуществляют добавлением раствора хлора в четыреххлористом углеороде к раствору исходного соединения в ледяной уксусной кислоте. Реакция протекает очень легко и заканчивается в течение нескольких часов при комнатной температуре или за несколько минут в более жестких условиях. Таким способом удалось получить 5-хлоруридин^{1,2}, 5-хлордезоксидуридин³, 5-хлоруридин-5'-фосфат^{4,5} и 5-хлоруридин-2'(3')-фосфат⁶. Цитидин в этих условиях хлорируется плохо, и получить с удовлетворительным выходом 5-хлорцитидин не удается⁷. Скорее всего это связано с тем, что в ледяной уксусной кислоте цитидин существует в протонированной форме и электрофильная атака катиона цитидина затруднена. Однако при облучении ультрафиолетовым светом реакционной смеси, содержащей хлор и цитидин⁷ (или дезоксицитидин⁸), 5-хлорпроизводное образуется очень гладко. Большая легкость реакции обусловлена, возможно, тем обстоятельством, что в реакцию вступает возбужденное цитозинное ядро (см. гл. 12); не исключено, однако, что при облучении меняется механизм реакции и вместо электрофильного происходит гомолитическое замещение за счет образования радикалов хлора.

Бромирование производных урацила бромом в органических растворителях также протекает в очень мягких условиях. Так, например, в диметилформамиде при добавлении брома 5-бромпроизводные уридина образуются с практически количественными выходами за несколько минут уже при 0°C⁹. Аналогично, хотя и в несколько более жестких условиях, при бромировании в этиловом спирте был получен 5-бромурин¹⁰. При использовании в качестве растворителей диметилформамида⁹, пиридина¹¹ и формамида¹¹

II. РЕАКЦИИ ЗАМЕЩЕНИЯ
были получены на 11. Мягкие условия вводить галогены, как нуклеобазы, для получения при комнатной температуре на реакционном центре. Присутствие в реакционной смеси образуются 5-бромидофосфат той раствором 5-бромуридина. В данном случае механизму непосредственно в качестве промежуточного гидронуклеотида 5-бромпроизводного временным образом хлорирования низу протекает. Иодирование тельно более жидкофа^{13,14}, широко уридина и дезоксиридина с иодом в хлорной азотной кислоте. Метода заключаются в концентрации, в иодиды или разности использовались уридина^{14,16} и производных уридина получают иодирование уридина возможным является иодирование чп^{14,18}. Применение цитидина и дезоксицитидина в реакциях связи²¹. Описаны выходы нуклеозидных соединений. Следует отметить

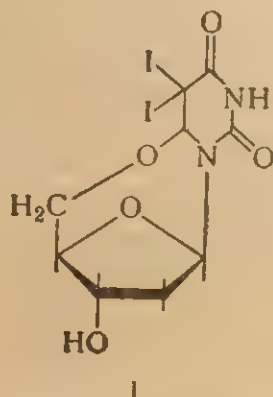
были получены 5-бромпроизводные цитидина⁹ и дезоксицитидина¹¹. Мягкие условия бромирования позволяют непосредственно вводить галоид в пиримидиновое ядро таких лабильных соединений, как нуклеозидтрифосфаты, что и было использовано, в частности, для получения 5-бромдезоксицитидинтрифосфата действием при комнатной температуре раствора брома в четыреххлористом углероде на растворенный в формамиде трифосфат¹².

Присутствие воды в органических растворителях приводит к присоединению по двойной связи⁹ (см. стр. 330), однако если в реакционной смеси присутствует кислота, то в конечном итоге образуются 5-бромпроизводные. Так, при бромировании нуклеозидмонофосфатов в смеси диоксиана с разбавленной азотной кислотой раствором брома в CCl_4 образуются почти количественно 5-бромуридинмонофосфаты^{4, 6} и 5-бромцитидинмонофосфаты⁵. В данном случае остается неясным, идет ли бромирование по механизму непосредственного электрофильного замещения, или в качестве промежуточного продукта образуется 5-бром-6-окси-5,6-дигидронуклеозидмонофосфаты (см. стр. 330). С хорошими выходами 5-бромпроизводные получают также при действии брома с одновременным облучением ультрафиолетовым светом^{7, 8}. Как и в случае хлорирования (см. стр. 312), пока неясно, по какому механизму протекает эта реакция.

Иодирование пиримидиновых оснований протекает в значительно более жестких условиях. Так, например, в методе Прусофа^{13, 14}, широко применяющемся для синтеза 5-иодпроизводных уридина и дезоксиуридина, используется нагревание нуклеозида с иодом в хлороформенном растворе в присутствии разбавленной азотной кислоты в течение нескольких часов. Модификации этого метода заключаются в применении азотной кислоты разной концентрации, в использовании различных органических растворителей или разной продолжительности реакции. Эти модификации использовались для получения 5-иодуридина^{13, 15-17}, 5-иоддезоксиуридина^{14, 16} и меченных радиоактивными изотопами иода 5-иодпроизводных уридина^{13, 18} и дезоксиуридина^{18, 19}. Хорошие результаты получают также при использовании метода Прусофа для иодирования уридин-5'-фосфата^{4, 20} и уридин-2'(3')-фосфата⁶. Другим возможным способом получения 5-иодпроизводного урацила является иодирование элементарным иодом в присутствии щелочи^{14, 18}.

Применение метода Прусофа для получения 5-иодпроизводных цитидина и дезоксицитидина малоэффективно, поскольку в условиях реакции в сильной степени происходит гидролиз N-гликозидной связи²¹. Однако если заменить азотную кислоту HIO_3 , то с хорошими выходами и в довольно мягких условиях удастся получить нуклеозидные и нуклеотидные производные 5-иодцитидина^{6, 21, 22}. Следует отметить, что при использовании последнего метода

наблюдается побочная реакция, приводящая к образованию 9—10% соединения, насыщенного по С-5—С-6-двойной связи^{24, 25}, которое, по-видимому, является 5,5-диод-5,6-дигидро-6-оксицикло-дезоксинурином I²³.



Образование этого продукта, очевидно, аналогично образованию 5,5-дибром-6-окси-5,6-дигидропроизводных урацила и цитозина при бромировании в водной среде (см. стр. 331).

В значительно более мягких условиях иодирование протекает, если в качестве иодирующего агента используется хлористый иод ICl ^{24, 25}. Проведение реакции в N-этилацетамиде^{24, 25} и диметилсульфоксиде²⁴ приводит к высоким выходам иодпроизводных уже при комнатной температуре. При использовании в качестве растворителя диметилформамида²⁶ образуются значительные количества 5-иод-6-окси-5,6-дигидропиримидиновых производных, что связано, по-видимому, с трудностями полного удаления воды из данного растворителя. Параллельно, однако, проходит и прямое замещение водорода с образованием 5-иодпроизводного. Следует отметить, что образование иодпроизводных при использовании в качестве галоидирующего агента хлористого иода свидетельствует об электрофильном характере рассматриваемой реакции.

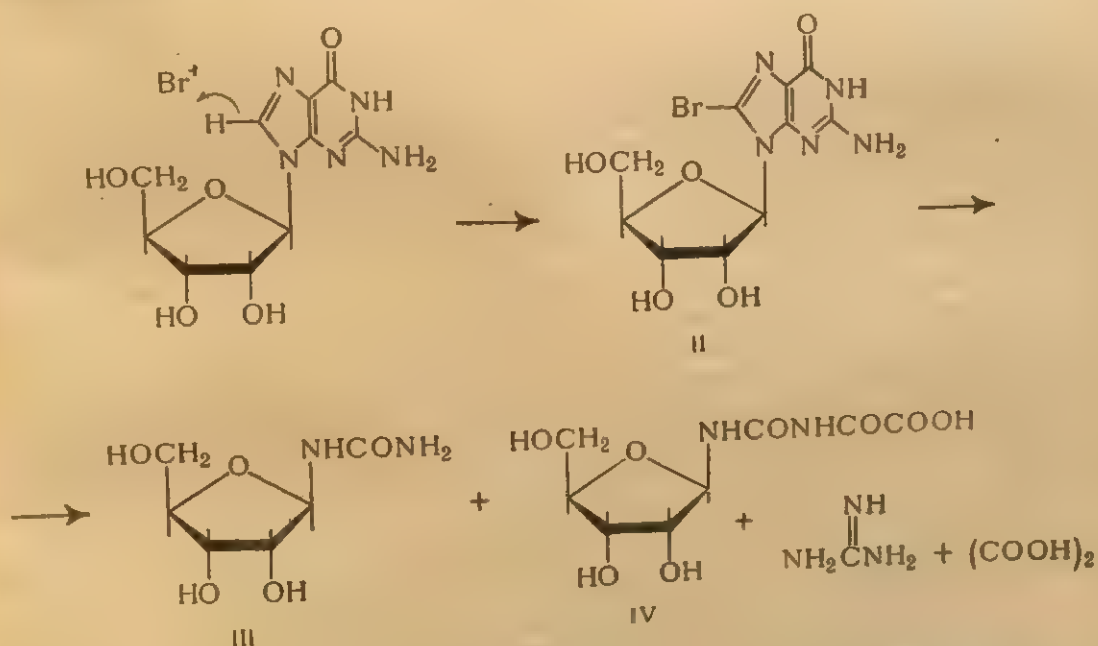
Действие N-галоидамидов и N-галоидимидов. N-Галоидамиды и N-галоидимиды являются эффективными галоидирующими агентами, позволяющими в чрезвычайно мягких условиях производить замену водорода при С-5 пиримидинового цикла. 5-Хлорпроизводные уридина и цитидина образуются при действии на уридин и цитидин N-хлорсукцинимидов в диметилформамиде^{27, 28}. Аналогично при действии N-бромсукцинимидов на триалкил-аммониевые соли уридинфосфатов в диоксане за несколько дней при комнатной температуре удастся получить практически количественные выходы соответствующих 5-бромпроизводных^{29—32}.

Интересно отметить, что для иодирования N-подсукцинимидом в диметилсульфоксиде²⁴ необходимы каталитические количества ди-n-бутилдисульфида; в N-этилацетамиде как растворителе реакция не идет даже в присутствии катализатора. Возможно, что

ди-*n*-бутилдисульфид необходим для образования промежуточного галоидирующего агента, например *n*-бутилсульфенилоксида³³. Другим интересным обстоятельством является тот факт, что если иодирование производных урацила идет легко и в мягких условиях, так что удается из уридинтрифосфата с хорошим выходом получить 5-иодуридинтрифосфат²⁴, то производные цитозина в этих же условиях не иодируются. Причина этого явления пока не ясна.

Пуриновые производные. Если в пиримидинах замещение водорода на галоид происходит только в безводной среде, то в пуринах, где невозможна конкурирующая реакция присоединения по двойной связи С-4—С-5, замещение наблюдается как в водных, так и в безводных растворителях, причем, как уже отмечалось ранее (см. стр. 199), производные гуанина галоидируются значительно легче, чем производные аденина.

При бромировании бромной водой при комнатной температуре происходит быстрое разрушение гуанинового цикла, что приводит к исчезновению поглощения растворов гуанозина в области 250—300 мμк^{34—36}. Среди продуктов, образующихся при бромировании гуанозина в воде, удается выделить 8-бромгуанозин II^{37,38}, который, однако, быстро окисляется бромом с разрушением как пиримидинового, так и имидазольного циклов³⁸. В конечном итоге образуются рибозилмочевина III, рибозилоксалуровая кислота IV, щавелевая кислота и гуанидин.



Тем не менее действие бромной воды в мягких условиях может быть использовано для препаративного получения производных гуанина^{339,340}. Так, при использовании 1,2 экв бромной воды

в буферном растворе (рН 3) при комнатной температуре был получен 8-бромгуанозин-5'-фосфат; выход более 60%³⁴⁰. Повышение или понижение рН среды уменьшало выход продукта.

При использовании органических растворителей основным продуктом реакции гуанозина с бромом является 8-бромгуанозин независимо от того, проводится ли реакция в диметилформамиде⁹, ледяной уксусной кислоте³⁹, диоксане⁴⁰ или в смеси диоксана с метилцеллозольвом⁴¹. При проведении реакции между эквивалентными количествами гуанозина и брома при 0°C в диметилформамиде выход бромпроизводного уже через 30 сек достигает 50% и далее не меняется в течение часа⁹. Скорость образования 8-бромгуанозина приблизительно равна скорости образования в тех же условиях 5-бромцитидина и 5-бромуридина.

При бромировании в диметилформамиде при 0°C аденозин не затрагивается, однако при проведении реакции при 50—60°C в ледяной уксусной кислоте довольно легко образуется^{39, 42} 8-бромаденозин*.

Причины различного поведения аденозина в этих двух растворителях пока не ясны.

В водных растворах производные аденина под действием бромной воды не бромруются. Однако в присутствии щелочи^{43, 340, 341} или в буферных растворах с $\text{pH} \geq 3$ образуются соответствующие 8-бромпроизводные^{340, 341}. При значениях $\text{pH} \geq 7$ в процессе бромирования, по-видимому, протекает деградация гетероциклического основания. При значениях $\text{pH} < 3$ реакция замедляется, вероятно, вследствие протонирования аденинового ядра, которое затрудняет электрофильную атаку. Бромированием в буфере с рН, примерно равным 4, при комнатной температуре были получены с высокими выходами 2'-, 3'- и 5'-фосфаты 8-бромаденозина, а также 8-бром-аденозинди- и трифосфаты^{43, 341}.

Реакция иодирования с помощью хлористого иода в органических растворителях, таких, как N-этилацетамид²⁵ или диметилформамид²⁶, затрагивает только гуанозин, тогда как адениновое ядро при этом остается неизменным.

Превращения, происходящие с пуриновыми основаниями (в составе нуклеозидов) при их галоидировании с использованием в качестве галоидирующих агентов N-галоидамидов и N-галоидимидов, исследованы пока недостаточно. В настоящее время можно заключить лишь следующее: при действии на пуриновые нуклеозиды N-хлорсукцинимиды в диметилформамиде аденин не затрагивается, тогда как гуаниновый цикл разрушается, возможно, с промежуточным образованием 8-хлоргуанозина^{27, 28}.

В отличие от этого бромирование аденозина и дезоксиаденозина в виде их 2',3',5'-три- и 3',5'-ди-O-ацетильных производных в хлоро-

* Для реакции в ледяной уксусной кислоте используются 2',3',5'-три-O-ацетильные производные аденозина³⁹ или 2',3'-изопропилиденаденозин⁴².

форме дей-
8-бромпро-
трагивает
ваннем, п
де 37 не реа-
сульфоксид
мягких уст
гда как ад

Заканчи
компонент
основные 3

а) гало

по атому С

б) по с

можно рас

в) скор

висят от пр

воды, а в

кислот — о

фиды).

Характе

роцикличес

фиолетовой

рованным

метно для

сдвига увел

же ряду у

дированных

Таблица 5.1.

нуклеозидных

Соединение

Уридин . . .

Дезоксиуридин . . .

5-Фторуридин . . .

6-Фтордезокс

уридин . . .

5-Хлоруридин . . .

5-Хлордезокс

уридин . . .

Уменьше

ядро дает

от негалоид

личине заря

форме действием N-бромацетамида в очень мягких условиях дает 8-бромпроизводные³⁹. Действие N-бромсукцинимид в воде не затрагивает аденозин, но приводит к изменению гуанозина с образованием, по-видимому, 8-бромгуанозина³⁷. N-Иодсукцинимид в воде³⁷ не реагирует ни с аденозином, ни с гуанозином, но в диметилсульфоксиде в присутствии ди-*n*-бутилдисульфида гуанозин в очень мягких условиях иодируется с образованием 8-иодгуанозина²⁴, тогда как аденозин в этих условиях остается неизменным.

Заканчивая рассмотрение реакций галоидирования мономерных компонентов нуклеиновых кислот, следует отметить следующие основные закономерности:

а) галоидирование протекает путем первичной атаки галоида по атому С-5 пиримидиновых и атому С-8 пуриновых оснований;

б) по своей реакционной способности в этой реакции галоиды можно расположить в ряд $\text{Cl}_2, \text{Br}_2 > \text{ICl} > \text{I}_2$;

в) скорость и направление реакции галоидирования сильно зависят от природы растворителя, присутствия в реакционной смеси воды, а в случае N-галоидамидов и N-галоидимидов карбоновых кислот — от присутствия катализаторов (таких, как алкилдисульфиды).

Характеристики галоидпроизводных. Введение галоида в гетероциклическое ядро приводит к батохромному сдвигу в ультрафиолетовой области спектра по сравнению с исходным негалоидированным соединением (см., например, ^{6, 15, 39}). Особенно это заметно для пиримидиновых производных. Величина батохромного сдвига увеличивается в ряду $\text{F}^- < \text{Cl}^- < \text{Br}^- < \text{I}^-$ (табл. 5.1). В этом же ряду уменьшается разность между значениями pK_a негалоидированных и галоидсодержащих нуклеозидов.

Таблица 5.1. Спектральные и кислотно-основные характеристики нуклеозидных производных урацила и их галоидзамещенных^{15,44}

Соединение	λ_{max} , м.мк (рН 1,0–5,0)	pK_a	Соединение	λ_{max} , м.мк (рН 1,0–5,0)	pK_a
Уридин	262	9,25	5-Бромуридин . .	279	8,20
Дезоксиуридин . .	262	9,30	5-Бромдезоксиуридин	280	7,90
5-Фторуридин . .	271	7,75	5-Иодуридин . .	291	8,50
5-Фтордезоксиуридин	271	7,80	5-Иоддезоксиуридин	287	8,20
5-Хлоруридин . .	278	8,20			
5-Хлордезоксиуридин	279	7,90			

Уменьшение pK_a при введении галоида в гетероциклическое ядро дает возможность отделять галоидированные нуклеозиды от негалоидированных методами, основанными на различии в величине заряда, например ионообменной хроматографией^{18, 19}.

Введение галоида в гетероциклическое ядро пиримидиновых производных понижает стабильность N-гликозидной связи соответствующих нуклеозидов в кислой среде (см. стр. 486), а также снижает устойчивость гетероциклического ядра к щелочному расщеплению. Введение галоида существенно сказывается и на фотохимическом поведении пиримидиновых оснований и их производных (см. гл. 12).

Реакционная способность галоидного заместителя в пиримидиновом цикле довольно низка. Тем не менее, известен ряд реакций обмена галоида, дающих возможность синтезировать 5-замещенные аналоги, широко используемые в биологических исследованиях. Так, например, при кипячении 5-бромуридина с морфолином был получен 5-морфолиноуридин⁴⁵; из 5-бромпроизводных урацила под действием бикарбоната натрия в щелочной среде образуются 5-оксипроизводные^{46, 47}. Описано также превращение 5-бромуридина^{48, 49} и 5-бромдезоксиуридина⁵⁰ в 5-аминопроизводные при действии аммиака при 50—55°С под давлением. Значительно более подвижен галоид, связанный с атомом С-8 в пуриновых производных. Это позволяет получать 8-замещенные аналоги природных нуклеозидов и нуклеотидов путем обмена галоида под действием различных нуклеофильных реагентов^{39, 51, 52, 339—341}, а также синтезировать циклонуклеозиды, у которых кислород гидроксильной группы углеводного остатка связан с атомом С-8 пурина^{41, 42}.

5-Галоидпроизводные пиримидиновых нуклеозидов и нуклеотидов широко применяются в различного рода биологических исследованиях, связанных, например, с изучением механизмов ферментативных реакций⁵³ или мутационных процессов^{53—56}.

Полинуклеотиды. Вследствие плохой растворимости полинуклеотидов в малополярных растворителях их галоидирование в среде, не содержащей воды, не получило широкого распространения. Трудностей, связанных с малой растворимостью, до некоторой степени удается избежать путем использования тетраалкиламмониевых солей полинуклеотидов, содержащих длинные алкильные радикалы. Так, при использовании растворов триметилгексадецил-аммониевых (цетавлоновых) солей ДНК⁵⁷, рибосомальной и транспортнй РНК⁵⁸ в безводном диметилформамиде удалось провести бромирование этих полинуклеотидов бромом.

При галоидировании рибонуклеиновых кислот (в течение 30 сек при 0°С, добавлением в реакционную смесь различного количества брома) было обнаружено, что так же, как и в случае мономеров, адениновые ядра не галоидируются, тогда как урацильные, цитозиновые и гуаниновые ядра бромруются, давая соответственно 5-бром урацил-, 5-бромцитозин- и 8-бромгуанинпроизводные. Степень галоидирования возрастает с увеличением концентрации брома в реакционной среде, причем после реакции при

любых
содерж
зуются
ной т
брома
40—60
цитозин
ваний
лоидиро
шение
бромир
ультра
матогра
мальной
циенты
до знач
нию вт
степени
плавле
ДНК г
основан

Таблица
бромной

Число мол
на 1 л
основ

Исходная	0,25	0,5	0,75	1,0	3,0
...

В зна
и совер
кации т
сколько
дит к 5
видимом
Из д
же как
новых я
(как и
практич

любых концентрациях брома содержание 8-бромгуанина превышает содержание 5-бромурацила; 5-бромцитозинные продукты образуются в наименьшем количестве. Так, при бромировании суммарной тРНК из дрожжей с использованием соотношения 2 моль брома на 1 моль нуклеотидов было получено (в виде производных) 40—60% 8-бромгуанина, 30—50% 5-бромурацила и 10% 5-бромцитозина, считая от исходного содержания каждого из этих оснований в реакционной смеси. Следует отметить, что в процессе галогенирования в данных условиях происходило частичное разрушение гуаниновых ядер. Полинуклеотидная цепь тРНК при бромировании не расщеплялась, как это следует из данных по ультрацентрифугированию, гель-фильтрации и ионообменной хроматографии препаратов. При обработке в этих условиях рибосомальной РНК наблюдалась заметная деградация цепи — коэффициенты седиментации как 16S, так и 23S компонентов снижались до значения 5S⁵⁸. Бромирование приводит, кроме того, к нарушению вторичной структуры тРНК, возрастающему с увеличением степени модификации, что выражается в уменьшении температуры плавления и величины гипохромного эффекта. При бромировании ДНК гуанин также оказывается наиболее реакционноспособным основанием (табл. 5.2).

Таблица 5.2. Относительный состав оснований ДНК после обработки бромной водой (0 °С, 10 мин) с последующим гидролизом хлорной кислотой⁵⁷

Число молей брома на 1 моль основания	Относительный состав оснований				
	аденин	гуанин	цитозин	тимин	8-бромгуанин
Исходная ДНК	1	0,82	0,82	1,09	—
0,25	1	0,73	0,71	1,04	0,08
0,5	1	0,63	0,76	0,97	0,16
0,75	1	0,52	0,77	1,08	0,16
1,0	1	0,49	0,74	1,06	0,21
3,0	1	0,15	0,50	1,22	0,20

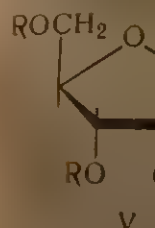
В значительно меньшей степени модифицируется ядро цитозина, и совершенно не затрагивается ядро тимина. Отсутствие модификации тимина в составе ДНК остается пока не объясненным, поскольку бромирование самого тимина в этих же условиях приводит к 5-бром-6-окси-5,6-дигидротимину, который образуется, по видимому, за счет присутствия следов воды в растворителе.

Из данных табл. 5.2 видно, что при бромировании ДНК, так же как и в случае РНК, наблюдается частичное разрушение гуаниновых ядер. В используемых условиях при бромировании ДНК (как и для РНК) бромирование цитозиновых ядер происходит практически мгновенно, причем модифицируется определенная

доля оснований, после чего количество модифицированных звеньев не увеличивается. Например, при соотношении 1 моль брома на 1 моль оснований ДНК при 0°С в первые 10 мин модифицируется 16% цитозиновых ядер, и это количество не меняется в последующие 30 ч. Для гуанина после первой быстрой реакции наблюдается более медленное нарастание степени модификации, так что если в первые 10 мин модифицируется 22% от содержания гуанина, то через 30 ч количество 8-бромгуанинпроизводных достигает 60%. Бромирование ДНК, как и в случае тРНК, приводит к изменению ее вторичной структуры, о чем можно судить по уменьшению вращения, характеристической вязкости раствора, а также по уменьшению T_m , ослаблению гипохромного эффекта и расширению интервала плавления⁵⁹. Различия в поведении ДНК и РНК при бромировании, а также обнаруженные кинетические закономерности пока не объяснены.

Если при бромировании нуклеиновых кислот наиболее реакционноспособным основанием является гуанин, то при иодировании под действием хлористого иода более реакционноспособными оказываются пиримидиновые основания²⁵. Так, после иодирования триметилгексадециламмониевой соли тРНК 0,02 М раствором хлористого иода в растворе диметилформамида в течение 18 ч при комнатной температуре было модифицировано 8,5% цитозиновых, 30% урацильных и 9% гуаниновых звеньев (с образованием соответственно 5-иодцитозин-, 5-иодурацил- и 8-иодгуанинпроизводных)²⁵. При обработке в тех же условиях цетавлоновой соли предварительно денатурированной ДНК реагировало 2% гуаниновых и 14% цитозиновых остатков. Для уяснения различия в реакционной способности оснований в составе нуклеиновых кислот при бромировании и иодировании необходимы дополнительные исследования. Следует, однако, отметить, что как при бромировании, так и при иодировании нуклеиновых кислот не наблюдается количественного галоидирования составляющих оснований даже при избытке галоидирующего агента. Возможно, что это является следствием существования какой-то вторичной структуры нуклеиновых кислот в органических растворителях. Действительно, если иодированию подвергается триметилгексадециламмониевая соль предварительно неденатурированной ДНК, то степень галоидирования значительно ниже (примерно в 4 раза), чем в случае обработки предварительно денатурированной ДНК.

При хлорировании триметилгексадециламмониевой соли рибосомальной и транспортной РНК из дрожжей в диметилформамиде N-хлорсукцинимидом основным процессом является разрушение гуанинового ядра, вероятно, с промежуточным образованием 8-хлоргуанина²⁸. В меньшей степени модифицируются урацильные остатки (с образованием 5-хлорпроизводных) и совершенно не затрагиваются остатки цитозина и аденина. Закономерность, наблю-



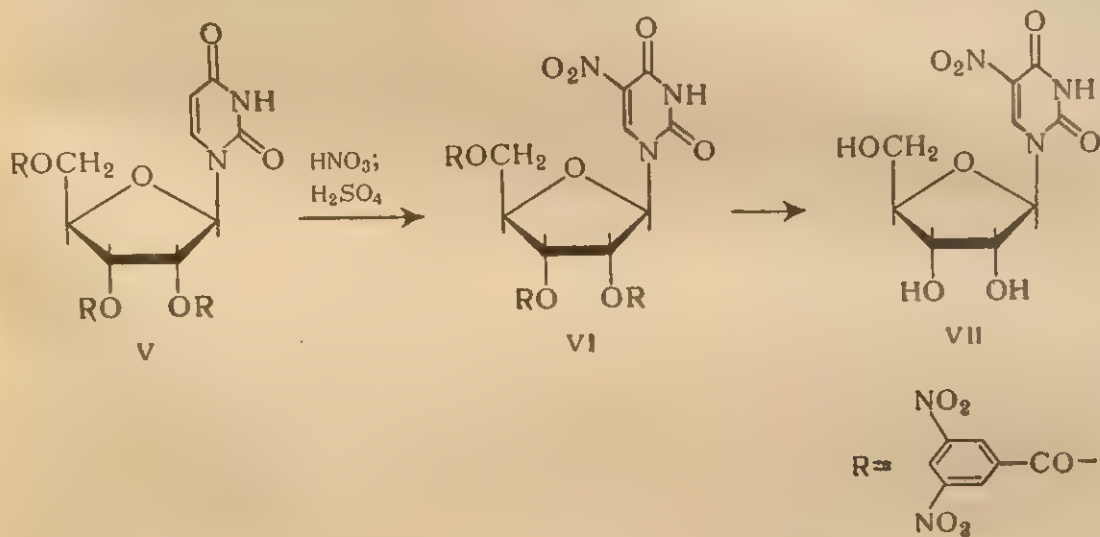
В эти
менным
реакции

Восста
ответ

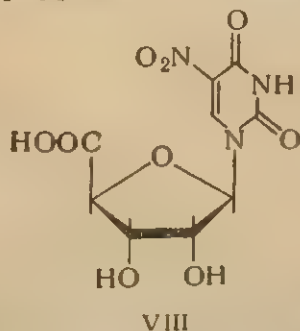
даемая при бромировании РНК, таким образом, сохраняется и при хлорировании: гуанин и урацил в составе РНК оказываются самыми реакционноспособными основаниями.

2. Нитрование

Помимо галоидирования существует еще ряд реакций, приводящих к замещению по углеродным атомам гетероциклических оснований. Эти реакции, однако, требуют существенно более жестких условий. При действии (при температуре не выше 50°C) смеси концентрированных серной и азотной кислот на 2',3',5'-три-О-(динитробензоил)-уридин V образуется с выходом около 70% соответствующее 5-нитропроизводное VI. Из соединений VI после снятия динитробензоильной защиты был получен 5-нитроуридин VII⁶⁰.



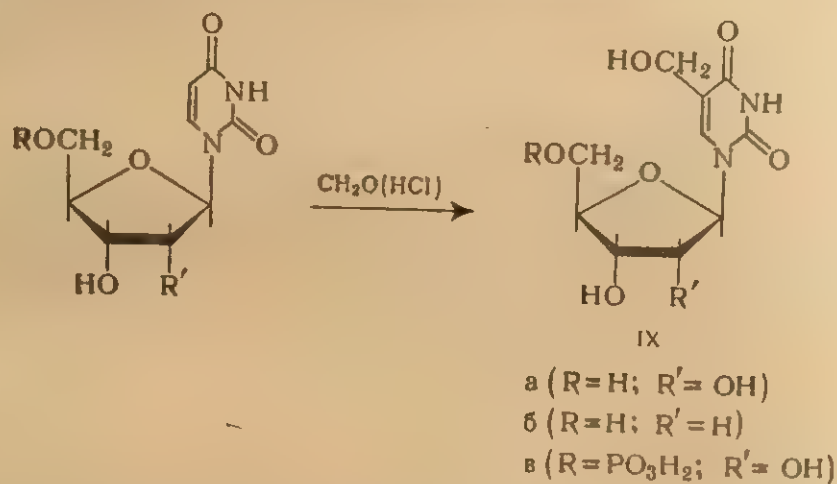
В этих же условиях незащищенный уридин нитруется с одновременным окислением 5'-CH₂OH-группы рибозы, так что продуктом реакции является 5-нитурацил-1-β-D-рибуоновая кислота VIII:



Восстановлением 5-нитропроизводных могут быть получены соответствующие 5-аминозамещенные соединения⁶⁰.

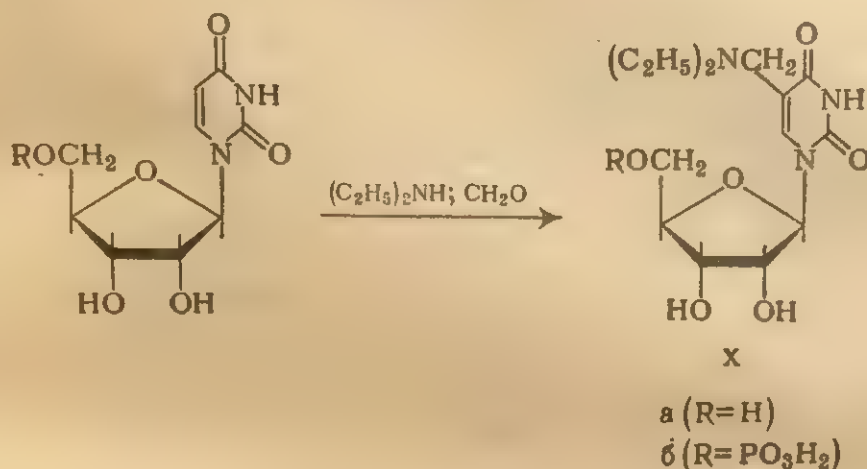
3. Оксиметилирование, аминометилирование и хлорметилирование

Реакция оксиметилирования оснований пукленновых кислот, хотя и не может, очевидно, быть применена для полинуклеотидов из-за жестких условий обработки, все же заслуживает здесь рассмотрения, поскольку она в какой-то мере моделирует процесс биосинтеза 5-оксиметилпроизводных из формальдегида и цитидиловой и уридиловой кислот⁶¹⁻⁶⁴. Довольно хорошие выходы 5-оксиметилуридина IXa и 5-оксиметилдезоксиуридина IXб удается получить при кипячении нуклеозидов с формальдегидом в присутствии 0,5 н. соляной кислоты⁶⁵. При более низкой температуре (50° C), использовании большого избытка формальдегида и при такой же кислотности среды⁶⁶ из дезоксиуридин-5'-фосфата практически количественно получается 5-оксиметилдезоксиуридин-5'-фосфат IXв.



Реакция оксиметилирования, являясь электрофильной, должна сильно замедляться при протонировании основания; поэтому естественно, что цитидин, который в кислой среде находится в протонированной форме, в этих условиях не оксиметилируется⁶⁷. Тем не менее, проводя превращение в щелочной среде, удастся получить оксиметилированные цитидин- и дезоксцитидинмонофосфаты⁶⁷, и, хотя выходы здесь довольно низки (приблизительно 10%), реакция представляет значительный интерес вследствие труднодоступности 5-оксиметилпроизводных цитозина. Механизм и кинетика данной реакции исследованы пока еще недостаточно. Оксиметилирование производных урацила в щелочной среде также приводит к 5-оксиметилзамещенным соединениям, однако выходы продуктов низки⁶⁷, так что для производных урацила предпочтительнее обработка в кислой среде.

Реакция аминотилирования производных урацила протекает достаточно легко. Так, например, при нагревании в течение 7 ч при 100°C уридина и уридин-5'-фосфата^{68, 69} со смесью диэтиламина и формальдегида образуются с выходами до 50% соответствующие 5-диэтиламинотимилпроизводные X:



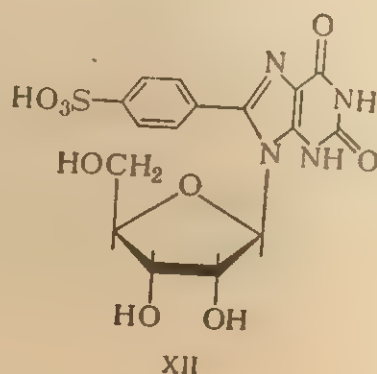
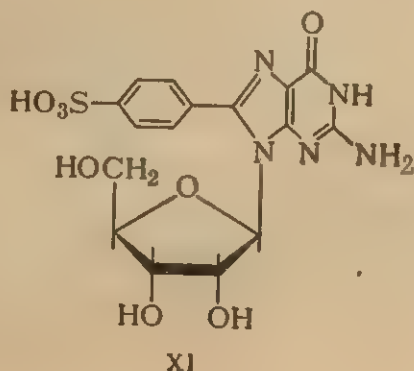
Для самого урацила известна, кроме того, реакция хлорметилирования⁷⁰, однако для нуклеозидов и нуклеотидов она не применялась.

5-Оксиметил- и 5-аминотимилпроизводные могут быть восстановлены до соответствующих 5-метилзамещенных соединений путем гидрирования над окисью платины^{65, 68, 69} или над родием на окиси алюминия. Эта реакция представляется очень важной для получения 5-метилзамещенных нуклеозидов и нуклеотидов пиримидинового ряда. Помимо этого, 5-оксиметилпроизводные могут быть превращены в простые или сложные эфиры (по оксиметильной группе) или окислены до соответствующих альдегидов или кислот^{65, 70}. В щелочной среде реакция оксиметилирования обратима: 5-оксиметильные производные, отщепляя формальдегид, медленно превращаются в исходные нуклеозиды или нуклеотиды⁶⁷.

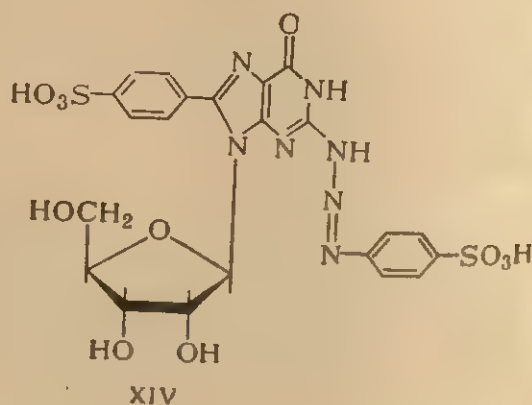
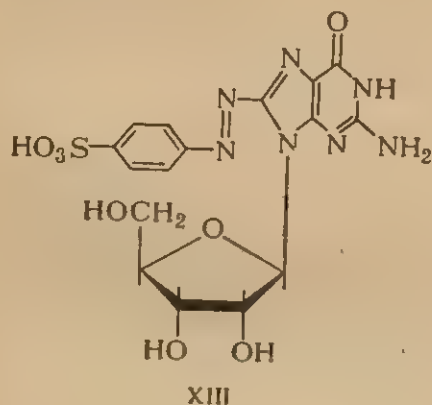
4. Реакции с солями диазония

Нуклеозиды и нуклеотиды, основания которых содержат экзоциклические аминогруппы, способны к реакциям с солями диазония, в результате которых образуются диазоаминосоединения (см. стр. 423). В случае гуанозина (и, возможно, аденозина)⁷¹ в условиях взаимодействия с солями диазония образуются также продукты замещения протонов, связанных с атомами С-8 пуринового ядра.

Так, например, при взаимодействии гуанозина с диазотированной *n*-сульфаниловой кислотой ⁷¹ при pH 9 с суммарным выходом около 50% образуются продукты замещения водорода на *n*-сульфофенильный остаток (XI и XII).



Не исключено, что в результате азосочетания получается также 8-азо-(*n*-сульфофенил)-гуанозин XIII; образование соединения XII, вероятно, является результатом разложения диазоаминопроизводного XIV.

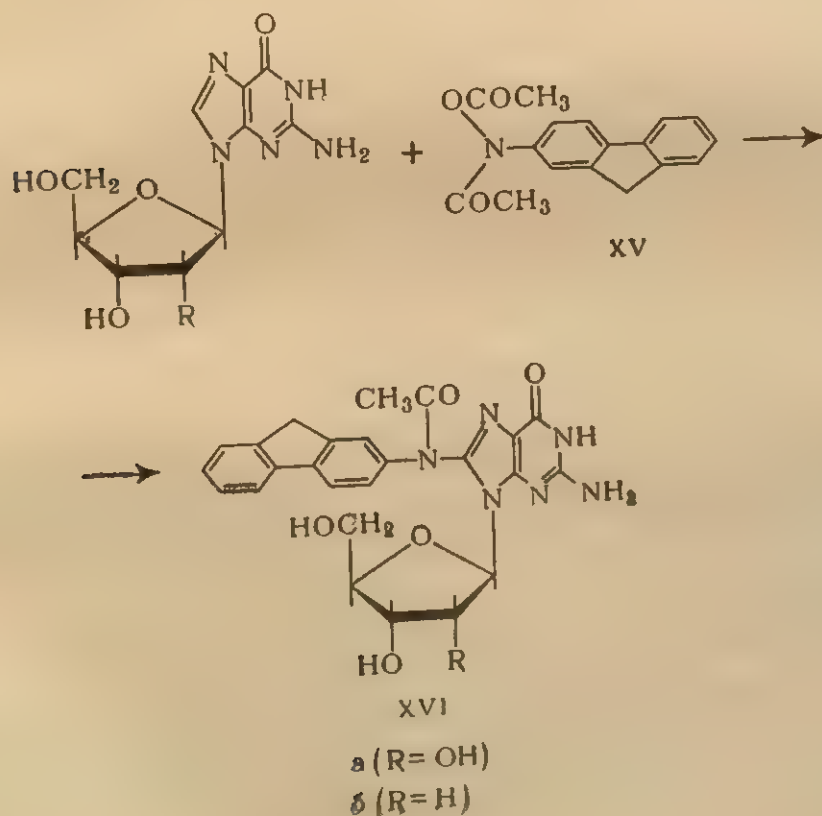


Подобные реакции применялись для специфического маркирования гуанозина в ДНК ⁷² и РНК ⁷³ с целью последующего электронно-микроскопического детектирования. Специфичность введения метки в гуанозин при этом могла быть достигнута благодаря двум обстоятельствам. Во-первых, скорость реакции гуанозина с солями диазония выше, чем скорость реакции других нуклеозидов. Так, при pH 9 диазотированная 2-аминофенил-1,4-дисульфокислота

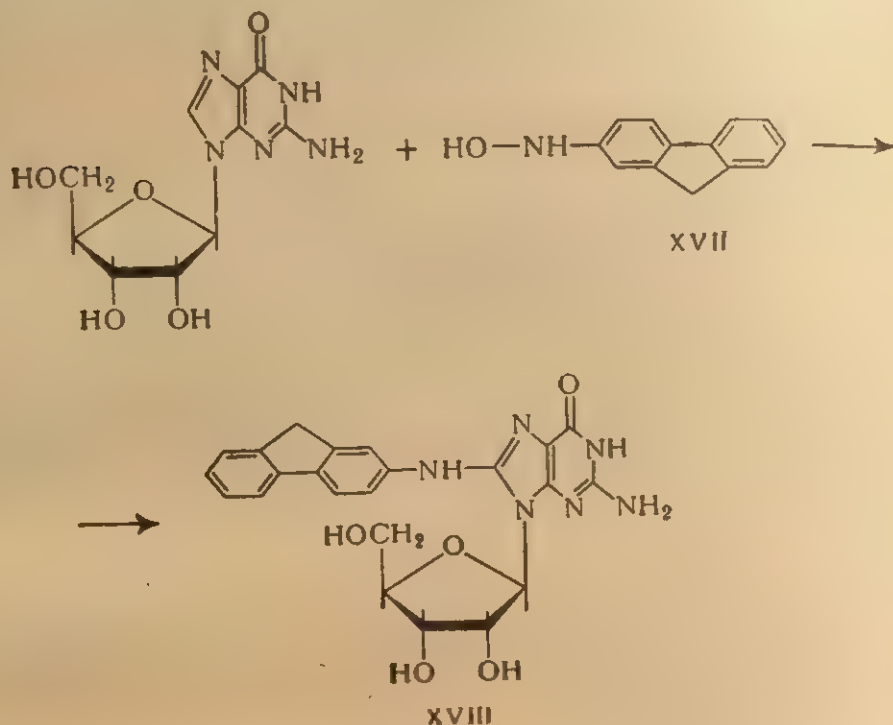
реагирует с гуанозином в 60 раз быстрее, чем с любыми другими обычными нуклеозидами⁷⁴. Во-вторых, образующийся продукт замещения при С-8 устойчив в кислой среде, тогда как диазоаминосоединения гидролизуются кислотой.

5. Реакции с N-арилгидроксиламинами и их производными

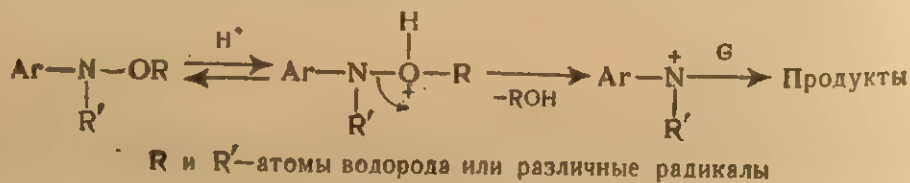
В отличие от самого гидроксиламина и его O-алкилпроизводных, которые в кислой и нейтральной средах реагируют с цитозиновым ядром (см. стр. 343), N-арилзамещенные гидроксиламины и их ацильные производные, по-видимому, специфически взаимодействуют с гуанином, давая продукты замещения протона при С-8⁷⁵⁻⁷⁸. В этом плане наиболее исследованной с химической точки зрения является реакция N-ацетокси-N-ацетил-2-аминофлуорена XV с гуанозином и дезоксигуанозином; при pH 7 и 37°С в водно-спиртовых растворах образуется 8-(N-флуоренилацетидамо)-гуанозин XVIa или замещенный дезоксигуанозин XVIb⁷⁵:



Аналогичная реакция протекает, по-видимому, и с неацетилированным N-оксифлуорениламином XVII⁷⁶.



Эти реакции, вероятно, являются реакциями электрофильного замещения, идущими по схеме⁷⁶



Как с первым^{75,77}, так и со вторым реагентом⁷⁶ реакция по гуаниновому циклу наблюдается также на уровне денатурированной ДНК и РНК. Возможно, что эта реакция играет определенную роль в канцерогенных свойствах аминифлуоренов и их N-окси-производных.

6. Изотопный обмен атомов водорода

Другим типом реакций замещения в гетероциклическом ядре являются реакции изотопного обмена атомов водорода гетероциклических оснований нуклеиновых кислот на дейтерий и тритий. В данном разделе рассматриваются реакции обмена протонов, свя-

II. РЕАКЦИИ
занных с угл.
связанные с
та. (но).

Наиболее
С-8 пуринов
ного в D₂O.
исчезает пик
нам при С-8
нов при С-2
ными⁷⁹. Ана
связанных
ми аденинов
мену подвер
С-8⁸⁰. Скор
нозина при
обмена про
ядра (рис.
от 2 до 11
вается⁸¹, а
виях (0,35
тенсивный
для обоих
чиняется з
первого пор
повышенных
дит обмен п
пуриновых
(3' → 5')-аде
(3' → 5')-гуа
среде скоро
за нескольк
В то же вр
в случае ад
чение неск
использоват
температура
приготовлен
вия изотопн
тием нукле
выдерживая
90°С в сла
мена в опно
Довольно
производны
растворе Д
при

занных с углеродными атомами гетероциклического ядра (протоны, связанные с атомами азота, подвижны и обмениваются моментально).

Наиболее быстро обмениваются протоны, связанные с атомом С-8 пуриновых оснований. Так, при нагревании пурина, растворенного в D_2O , в течение 4 ч при $105^\circ C$ в спектре ЯМР соединения исчезает пик, соответствующий протонам при С-8, тогда как сигналы протонов при С-2 и С-6 остаются неизменными⁷⁹. Аналогично из двух протонов, связанных с углеродными атомами аденинового ядра, в аденозине обмену подвергается только протон при С-8⁸⁰. Скорость обмена протонов гуанозина при С-8 выше, чем скорость обмена протонов при С-8 аденинового ядра (рис. 5.1). При повышении рН от 2 до 11 скорость обмена увеличивается⁸¹, а при более щелочных условиях (0,35 н. NaOH) происходит интенсивный обмен протонов при С-8 для обоих соединений. Реакция подчиняется закономерностям реакций первого порядка. Так же быстро при повышенных температурах происходит обмен протонов при С-8 остатков

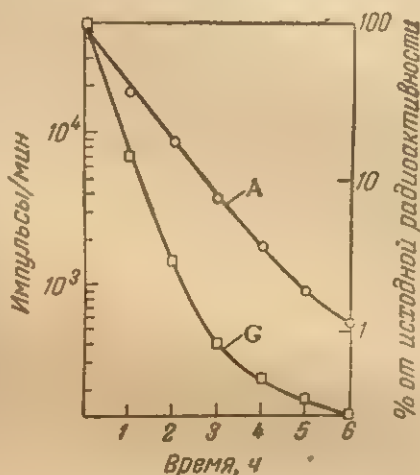
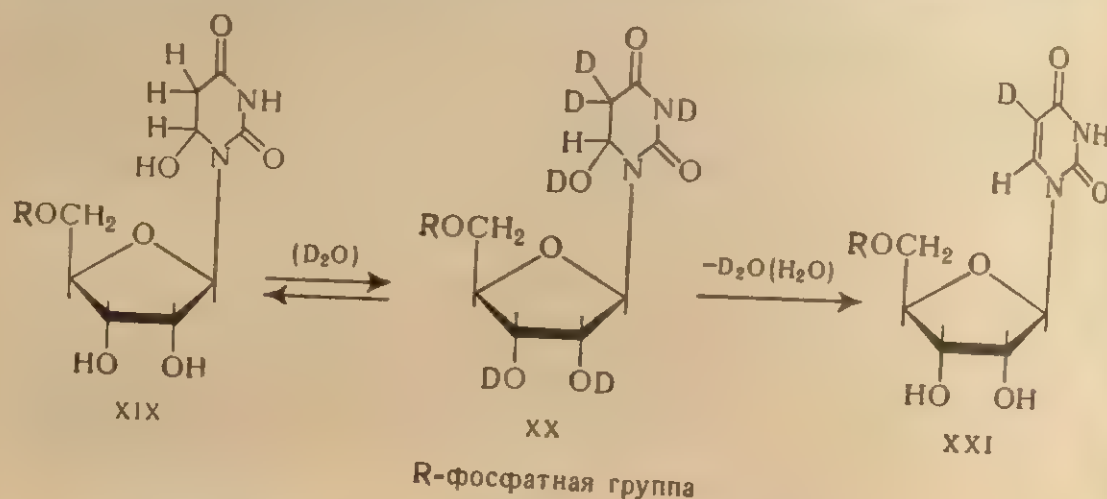


Рис. 5.1. Кинетика обмена 8-^3H -аденозина и 8-^3H -гуанозина с водой при $100^\circ C$ и pH 7⁸¹.

пуриновых оснований в составе аденозин-5'-фосфата, аденилил-(3' → 5')-аденозина, аденилил-(3' → 5')-гуанозина и гуанилил-(3' → 5')-гуанозина⁸¹, а также в инозине. При $37^\circ C$ в нейтральной среде скорость изотопного обмена пуриновых оснований мала и за несколько дней обмен проходит всего на несколько процентов. В то же время при повышенных температурах ($100^\circ C$) обмен как в случае аденозина, так и в случае гуанозина заканчивается в течение нескольких часов (см. рис. 5.1). Это дает возможность использовать в биологических экспериментах, проводимых при температурах $30\text{--}40^\circ C$ и нейтральных рН, меченые соединения, приготовленные обменом при высоких температурах. Мягкие условия изотопного обмена дают возможность получать меченные трифосфаты, например аденозин-5'-трифосфат⁸², выдерживая аденозинтрифосфат в течение нескольких часов при $90^\circ C$ в слабоосновной тритиевой воде. Механизм изотопного обмена в описанных случаях пока не выяснен.

Довольно быстро обмениваются протоны при С-5 в 5,6-дигидропроизводных урацила. Так, за 18 ч при комнатной температуре в растворе D_2O интенсивность сигнала в спектре ЯМР протонов при С-5 6-окси-5,6-дигидроуридин-5'-фосфата XIX значительно

уменьшается вследствие обмена на дейтерий⁸³. При нагревании получающегося 5,5-дидейтеропроизводного XX образуется идентифицированный по ЯМР-спектру 5-дейтероуридин-5'-фосфат XXI:



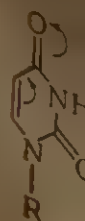
Аналогичный обмен происходит и с тритием⁸³. По-видимому, такая реакция вполне возможна и в случае 5,6-дигидропроизводных цитидина. Реакция, очевидно, может быть применена для получения меченных дейтерием и тритием пиримидиновых нуклеотидов.

В отличие от рассмотренных случаев обмен протонов в производных пиримидиновых оснований в отсутствие катализатора протекает только в очень жестких условиях⁸⁴⁻⁸⁶, причем водород, связанный с атомом С-5, оказывается значительно более подвижным, чем водород, связанный с атомом С-6. Так, например, при 100°С в 1 н. серной кислоте период полуобмена трития, связанного с С-5 уридина, составляет 0,5 дня, тогда как обмена трития, связанного с атомом С-6, не было обнаружено даже после двух недель подобной обработки⁸⁴. Протоны тимина в этих условиях практически не обмениваются. Атом водорода при С-5 цитидина обменивается в подобных условиях значительно медленнее, чем у уридина (период полуобмена в случае цитидина 6 дней). При обработке 2 н. гидроокисью бария при 100°С цитидин проявляет большую по сравнению с уридином реакционную способность⁸⁴, однако в условиях, применяемых для такого обмена, происходит гидролиз N-гликозидных связей и дезаминирование цитидина (в щелочной среде). Поэтому для приготовления меченых пиримидиновых производных используют обмен в присутствии палладиевого катализатора⁸⁷ (18 ч при 100°С).

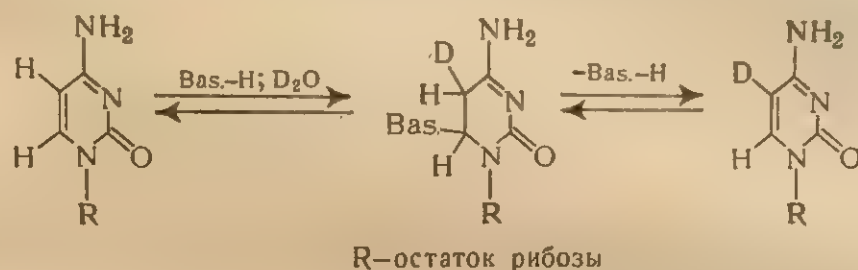
Специфический изотопный обмен протонов при атомах углерода цикла в пиримидиновых производных наблюдается в присутствии кислотных или основных гомогенных катализаторов. В кислом ци-

II РЕАКЦИ
тратном
творе D
растает
рость с
максим
первого
0,5 моль
зано, во
цитратн

Реак
ядра пр
стать с
нии pH.
тому, к
В от
не обмен
кислых
2-меркап
исходит
это было
монофос
условиях
этиламин
температу
ционност
происход
ствием ка

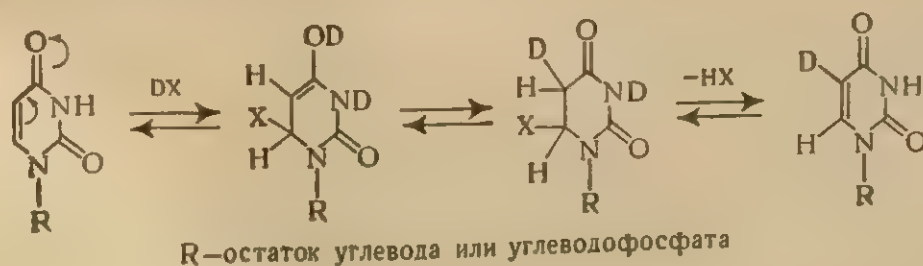


тратном буфере протоны при атоме С-5 цитидина при 95°С в растворе D₂O обмениваются на дейтерий, причем скорость обмена возрастает с увеличением концентрации цитратного буфера⁸⁸. Скорость обмена, кроме того, зависит от кислотности среды и имеет максимальное значение при рD 4,9 (константа скорости реакции первого порядка при рD 4,9 и концентрации цитратного буфера 0,5 моль/л равна 0,12 ч⁻¹). Каталитическое влияние цитрата связано, возможно, с протеканием равновесной реакции присоединения цитратного аниона по двойной связи С-5—С-6 цитидина:



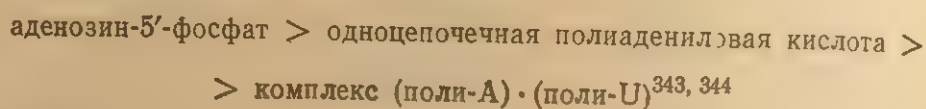
Реакция должна облегчаться при протонировании цитозинового ядра при понижении рН; вместе с тем скорость ее должна возрастать с увеличением концентрации анионов Bas⁻ при увеличении рН. Эти два противоположные процесса и приводят, по-видимому, к возникновению оптимума рН для скорости обмена.

В отличие от цитозиновых производных производные урацила не обменивают протоны при атомах углерода цикла в присутствии кислых буферов⁸⁹. Однако в присутствии таких оснований, как 2-меркаптоэтиламин, этаноламин, этиламин или едкий натр⁸⁹, происходит обмен водорода, связанного с атомом С-5 урацила, как это было показано на примере уридина, дезоксиуридина и уридин-монофосфатов. Изотопный обмен протекает в довольно мягких условиях и при использовании в качестве катализатора меркаптоэтиламина полностью заканчивается за 21 день при комнатной температуре или за 4 дня при 60°С. Цитидин в этих условиях не реакционноспособен⁸⁹. Это приводит к предположению, что реакция происходит по механизму 1,4-присоединения катализатора с участием карбонильной группы урацила согласно следующей схеме:



Реакции изотопного обмена пиримидиновых производных под действием катализаторов могут оказаться полезными для получения меченных тритием нуклеозидов и нуклеотидов.

Изотопный обмен водородных атомов гетероциклических оснований происходит также и в полинуклеотидах. Например, в растворах ДНК в D_2O ³⁴² и T_2O ^{90, 345} после быстрого обмена подвижных протонов наблюдается медленный обмен, обусловленный замещением атомов водорода, связанных с атомами С-8 пуринов^{90, 342}. На скорость изотопного обмена, по-видимому, влияет вторичная структура полинуклеотидов. Так, скорость обмена протонов аденинового ядра уменьшается в ряду



Из других реакций замещения у углеродных атомов гетероциклического ядра следует отметить реакцию образования 8-нитроксантозина, которая протекает как побочный процесс при дезаминировании гуанозина азотистой кислотой (см. стр. 418). При дезаминировании аденозина подобного замещения не наблюдается⁹¹.

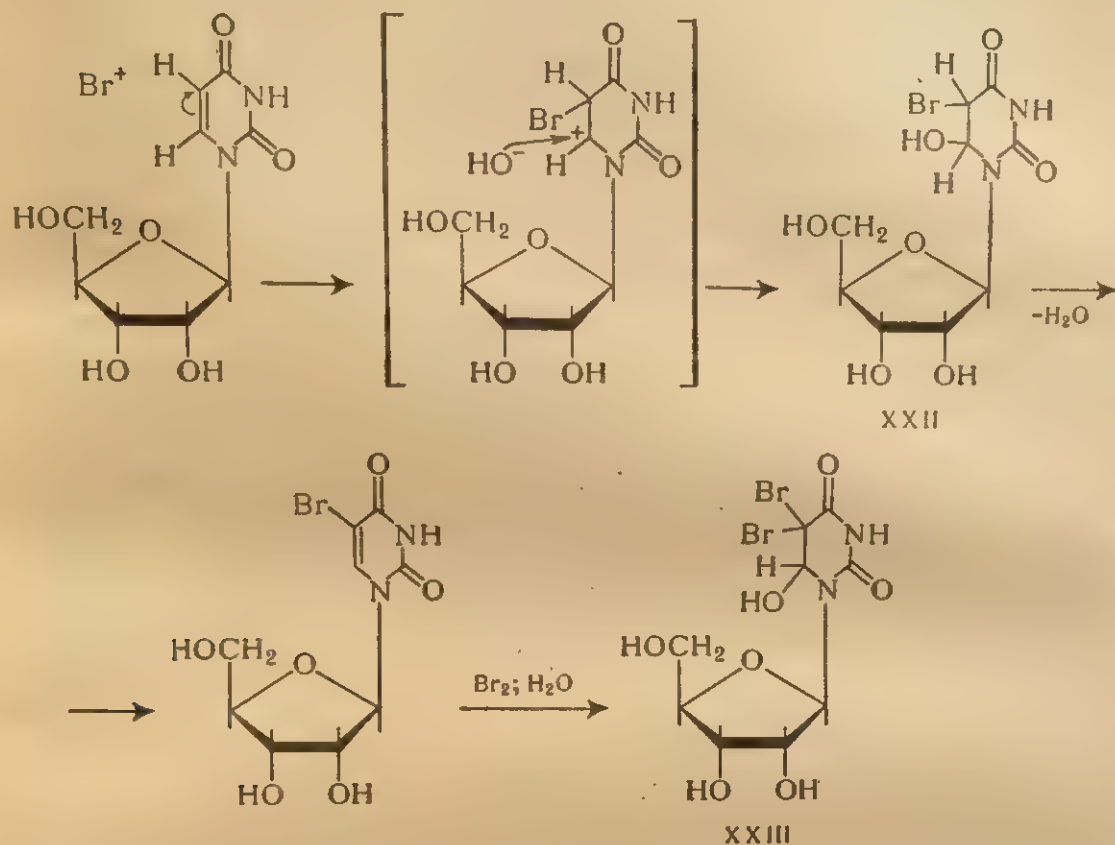
7. Реакции присоединения по двойной связи С-5—С-6 пиримидиновых производных

Все рассмотренные выше реакции представляют собой реакции непосредственного замещения в гетероциклическом ядре оснований нуклеиновых кислот. Однако в случае пиримидиновых оснований, обладающих реакционноспособной двойной связью С-5—С-6, известны также реакции, приводящие к насыщению этой связи. Некоторые из них применяются для исследования структуры нуклеиновых кислот, другие — для исследования связи между их структурой и функцией. Рассмотрим эти реакции подробнее.

Галоидирование в водной среде

Одной из наиболее применимых в химии нуклеиновых кислот реакций присоединения по двойной связи ядра оснований является реакция галоидирования в водной среде. Наиболее исследованным, по-видимому, является бромирование. При действии водных растворов брома на урацил и его нуклеозиды и нуклеотиды⁹²⁻⁹⁴, а также на соответствующие производные цитозина³⁷ на первой стадии реакции образуются 5-бром-6-окси-5,6-дигидропиримидиновые производные ХХII, которые при нагревании или под действием кислоты³⁷

в присутствии избытка брома могут отщеплять элементы воды и подвергаться дальнейшему бромированию:



- Скорость образования дибромпроизводного XXIII зависит от скорости дегидратации монобромпроизводного XXII, которая для нуклеозидов при низких температурах довольно мала. Так, например, при комнатной температуре и pH 2 за 24 ч всего 10% 5-бром-6-окси-5,6-дигидроуридина XXII превращается в 5-бромуридин⁹⁴. Вследствие этого при низких температурах и непродолжительном времени бромирования в основном образуются дигидросоединения, содержащие один атом брома⁹⁴. Для получения производных типа XXIII необходимы либо длительное воздействие с использованием избытка брома, либо более высокая температура реакции. При бромировании производных тимина конечным продуктом реакции является 5-бром-6-окси-5,6-дигидротимин⁹⁵; бромирование бромной водой в этом случае протекает практически мгновенно даже при комнатной температуре.

Несколько медленнее, но с образованием тех же веществ идут реакции пиримидиновых гетероциклических оснований (и их производных) с N-бромсукцинимидом³⁷. Поскольку реакция с бромом

как при галоидировании цитозинового, так и урацильного ядра в составе нуклеозидов протекает практически мгновенно, не удается обнаружить какой-либо избирательности. Однако при галоидировании оснований в составе полинуклеотидов все же наблюдается некоторая специфичность реакции. Так, при бромировании РНК вируса табачной мозаики³⁷ при рН 7 было найдено, что наиболее реакционноспособным основанием является цитозин, тогда как при рН 9 в отношении присоединения по двойной связи более реакционноспособен урацил. Это согласуется с электрофильным характером реакции галоидирования — при нейтральных значениях рН более реакционноспособным должно быть нейтральное ядро цитозина, при щелочных — анионы урацила и гуанина.

В случае более медленно реагирующего в водных растворах N-бромсукцинимид³⁷ специфичность действия удается проследить уже на уровне мономеров: при рН 7 и 0° С из нуклеотидов с наибольшей скоростью галоидируется цитидиловая кислота.

Реакция с N-бромсукцинимидом в определенной степени специфична по отношению к вторичной структуре нуклеиновых кислот. Так, при бромировании этим реагентом аланиновой тРНК⁹⁶ из дрожжей наиболее реакционноспособными оказываются основания в составе петлевых участков этой молекулы (см. стр. 291). Бромирование нуклеотидов в составе ДНК⁹⁷⁻⁹⁹, по-видимому, приводит в итоге к тем же продуктам, которые получаются в случае мономерных производных.

В оксигалоиддигидропроизводных пиримидинов атом галоида, находящийся у насыщенного углеродного атома, более реакционноспособен, чем в сопряженных 5-галоидпиримидинах. Это дает возможность использовать такие соединения в качестве исходных веществ для получения 5-замещенных аналогов пиримидиновых производных. Так, при пропускании раствора 5-бром-6-окси-5,6-дигидроцитидина через анионнообменную смолу в ОН-форме был получен 5-оксицитидин⁹⁹, при нагревании 5-бром-6-окси-5,6-дигидроуридина с избытком пиридина — 5-оксиуридин⁴⁵.

N-Гликозидная связь в соединениях типа XXII и XXIII, как и вообще в дигидропиримидиновых нуклеозидах, более лабильна в кислой среде по сравнению с аналогичными производными пиримидинов с ненасыщенной связью С-5—С-6. Используя это обстоятельство, бромирование в водных растворах применяют в качестве предварительной операции при определении рибозы или дезоксирибозы в пиримидиновых нуклеозидах и нуклеотидах, для чего необходимым условием является гидролиз N-гликозидной связи¹⁰⁰⁻¹⁰².

При галоидировании в водных растворах происходит насыщение двойной связи С-5—С-6 пиримидинов и разрушение гуанина (см. стр. 315); соответственно исчезает характерное для этих оснований ультрафиолетовое поглощение в длинноволновой области, тогда как адениновое ядро остается неизменным. На этом основа-

нии данную реакцию можно применить для определения нуклеотидного состава двухспиральных полинуклеотидов спектральным способом¹⁰³. Галоидирование в водных растворах довольно широко используется при функциональных исследованиях нуклеиновых кислот¹⁰⁴⁻¹⁰⁶.

Окисление четырехокисью осмия и перманганатом калия

Реакция с четырехокисью осмия, широко применяемая в органической химии для окисления двойных связей¹⁰⁷, была использована также для окисления двойных связей пиримидиновых оснований нуклеиновых кислот¹⁰⁸⁻¹¹¹.

Если окисление проводится в растворах, содержащих аммиак, активным агентом является, по-видимому, комплекс OsO_4 с аммиаком³⁶⁵; в отсутствие аммиака окисление протекает медленнее^{108, 365}.

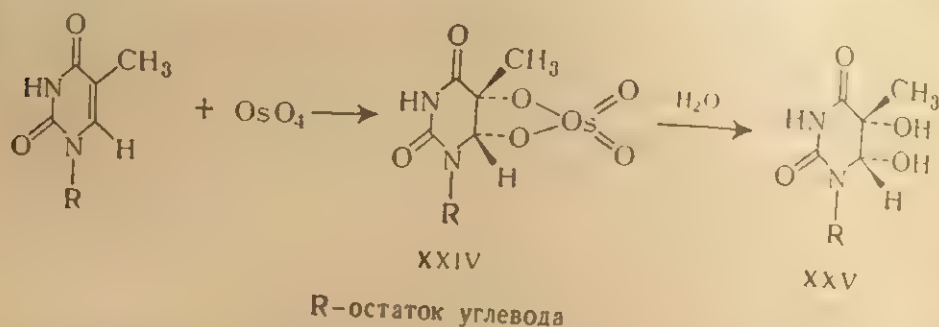
При проведении реакции с нуклеозидами в 0,4 н. растворе аммиака¹⁰⁹ было найдено, что при концентрации OsO_4 $7 \cdot 10^{-3}$ М при 0° С реагируют только пиримидиновые производные. Тимидин реагирует с максимальной скоростью, окисляясь полностью за несколько минут; пуриновые производные не модифицируются. Относительные скорости реакции различных пиримидиновых нуклеозидов с четырехокисью осмия в указанных условиях приводятся ниже¹⁰⁹.

Дезоксицитидин	1	5-Метилдезоксицитидин	13
Цитидин	1,8	5-Бромдезоксиуридин	13
Дезоксиуридин	2,8	Тимидин	45
Уридин	4,5		

Таким образом, в данных условиях скорость реакции возрастает при переходе от дезоксирибо- к рибопроизводным и от незамещенных к 5-замещенным соединениям. Скорость модификации нуклеотидов мало отличается от скорости модификации нуклеозидов; большая скорость модификации тимина наблюдается также и в случае олигонуклеотидов, содержащих тимин и цитозин¹⁰⁹. Исследование кинетики реакции с четырехокисью осмия показывает, что с увеличением pH скорость реакции с пиримидиновыми нуклеозидами увеличивается, но при всех значениях pH тимин модифицируется значительно быстрее, чем цитозин*. Хотя структура конечного продукта реакции пиримидиновых производных с четырехокисью осмия в работах^{108, 109} специально не исследовалась, можно полагать, что по крайней мере на первых стадиях реакции

* В работе¹⁰⁸ при проведении реакции при pH 7 и 23° С было найдено, что в отличие от приведенных выше данных бромурцил модифицируется медленнее, чем урацил. Причина такого отклонения не ясна; вероятно, она связана с различной для разных оснований зависимостью скорости реакции от pH.

образуются *цис*-5,6-диокси-5,6-дигидропиримидины XXV, являющиеся продуктами гидролиза циклического эфира осмиевой кислоты XXIV:

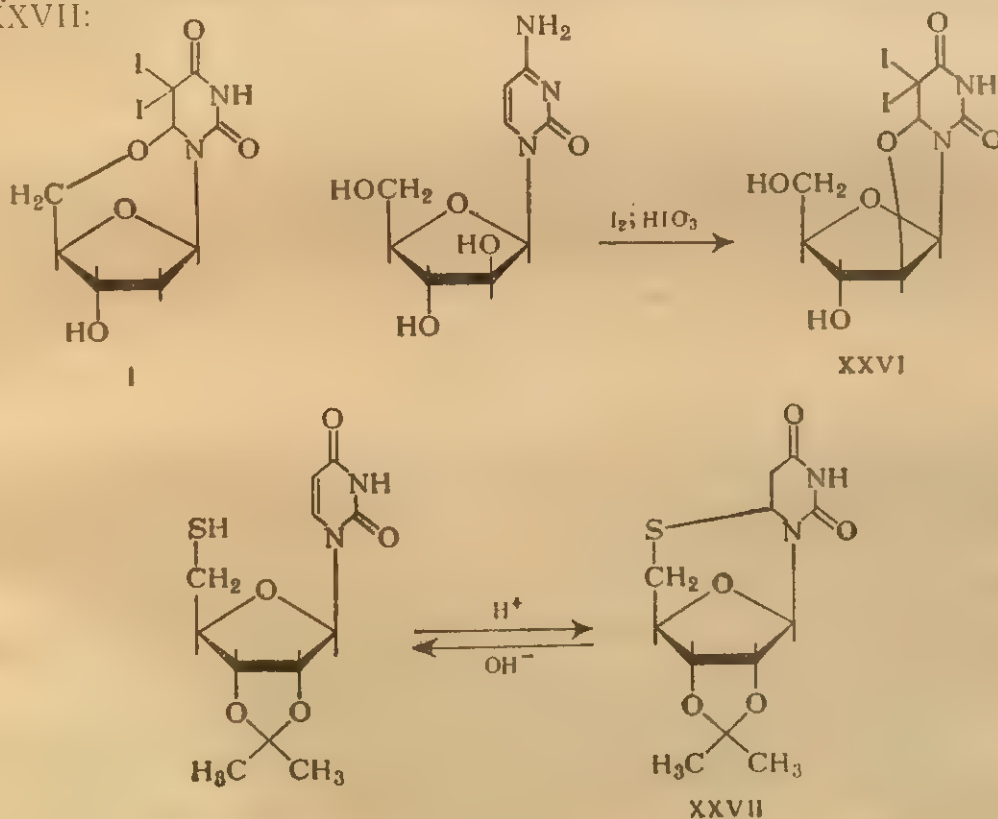


5,6-Диокси-5,6-дигидротимидин был выделен и идентифицирован при обработке тимидина водным раствором четырехокиси осмия в присутствии перхлората бария¹¹⁰. Если при проведении реакции в водных растворах не удается обнаружить циклического эфира XXIV, то при обработке в бензоле¹¹¹ в случае 3',5'-диацетилтимидина был выделен аддукт, содержащий эквимольное количество осмия. Строение этого соединения, по-видимому, соответствует циклическому эфиру XXIV. В нейтральных водных растворах аддукты тимидина, содержащие осмий, обнаруживаются в присутствии цианид-ионов¹¹¹. В этом случае циклический эфир XXIV, по-видимому, стабилизируется за счет комплексообразования (аддукт содержит 1 моль осмия и 2 моль цианида на 1 моль тимидина). Поскольку специфичность по отношению к тимину сохраняется, реакция с четырехокисью осмия в присутствии цианидов может быть использована для специфического маркирования тимина тяжелым атомом осмия с целью детектирования его распределения в природных полинуклеотидах методом электронной микроскопии. Специфичность взаимодействия с тимином сохраняется и в случае денатурированной ДНК^{108, 109, 111}. С нативной ДНК реакции наблюдать, однако, не удалось¹⁰⁸; очевидно, здесь проявляется влияние вторичной структуры. При модификации четырехокисью осмия в присутствии цианистого калия расщепления полинуклеотидной цепи не наблюдается³⁴⁶. В случае тРНК¹¹² окисление пиримидинов происходит, по-видимому, только по односпиральным участкам.

Образование 5,6-диокси-5,6-дигидротимидина в качестве промежуточного продукта наблюдалось также при окислении тимидина перманганатом калия в водном растворе (при 37°С и рН 8,5)¹¹³. При окислении тимина перманганатом калия была обнаружена 5-метил-5-оксибарбитуровая кислота³⁴⁷. Не исключено, что это соединение образуется также и при окислении тимидина. По-видимому, 5,6-диокси-5,6-дигидропиримидины в качестве промежуточных продуктов образуются при окислении перманганатом также и других пиримидиновых производных. Однако выделить их не удается.

ся, возможно, вследствие того что на последующей стадии происходит быстрое расщепление пиримидинового цикла (см. стр. 473). Перманганат калия разрушает гуаниновое ядро, но не затрагивает адениновое. Более подробно реакция с перманганатом рассмотрена в гл. 7 (см. стр. 473).

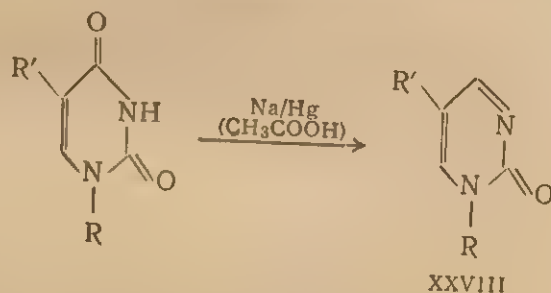
Продукты присоединения по двойной связи пиримидиновых оснований нуклеиновых кислот образуются в качестве промежуточных также при расщеплении гетероциклического ядра под действием перекиси водорода, перекисей органических кислот и рентгеновского излучения. Эти реакции рассматриваются в гл. 7 (см. стр. 478); фотохимическое присоединение по двойной связи обсуждается в гл. 12 (см. стр. 631). Следует упомянуть, кроме того, внутримолекулярное присоединение гидроксильной группы сахара по двойной связи пиримидиновых оснований, наблюдаемое при иодировании нуклеозидов в присутствии иодноватой кислоты (см. стр. 314). В результате такого присоединения при иодировании дезоксицитидина образуется 5,5-дииод-5,6-дигидро-6-оксициклодезоксиуридин²³ I, а из 1-(β-D-арабинофуранозил)-цитозина в аналогичных условиях образуется 5,5-дииод-5,6-дигидро-6-оксициклопро-изводное XXVI¹¹⁴. Аналогично реагирует 2',3'-изопропилиден-5'-тио-уридин, который при обработке кислотой образует¹¹⁵ продукт XXVII:



8. Восстановление

Пиримидиновые производные. Двойная связь в пиримидиновых основаниях (свободных или в виде производных) может быть насыщена также путем восстановления. Первые исследования по восстановлению пиримидиновых нуклеозидов были выполнены в связи с проблемой идентификации остатка сахара, входящего в состав этих соединений. N-Гликозидная связь в пиримидиновых нуклеозидах довольно устойчива к действию кислот (см. гл. 8), что сильно затрудняет выделение недеградированного углеводного фрагмента. Гидролиз N-гликозидной связи существенно облегчается при нарушении ароматичности системы пиримидинового кольца, в частности при восстановлении пиримидиновых производных¹¹⁶.

Восстановление пиримидиновых нуклеозидов может быть осуществлено действием натрия в спирте и жидком аммиаке¹¹⁷. Более общим методом является действие амальгамы натрия в воде¹¹⁸ или уксусной кислоте¹¹⁹; в этих случаях удается добиться восстановления как нуклеозидов, так и нуклеотидов. Из дезоксиуридина и тимидина при этом образуются дезоксирибозиды дигидропиримидина-2 (XXVIIIa) и 5-метилдигидропиримидина-2 (XXVIIIб):

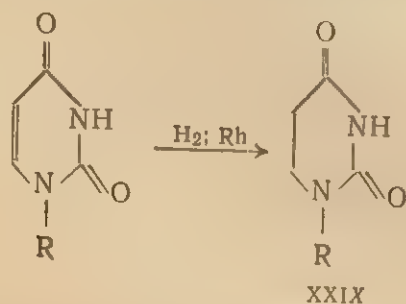


а ($R' = H$) } R — остаток
 б ($R' = CH_3$) } 2'-дезоксирибозы

Эти соединения, однако, были выделены лишь с небольшим выходом, и помимо них в реакционной смеси присутствуют еще по крайней мере четыре вещества.

Гораздо более однозначные результаты получаются при каталитическом гидрировании пиримидиновых рибонуклеозидов. Легче всего гидрирование протекает над родием на окиси алюминия^{120–122}; реакцию можно проводить в присутствии в качестве катализатора пластины на окиси алюминия¹²³, коллоидной платины¹²⁴ и коллоидного палладия¹¹⁶; в последнем случае восстановление протекает очень медленно. Гидрирование уридина и его производных в нейтральной или слабокислой среде заканчивается после по-

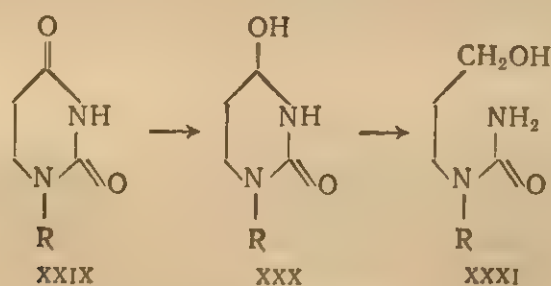
глощения одного моля водорода ^{120, 121}; в результате образуются соответствующие производные 5,6-дигидроуридина XXIX ^{120, 121, 123-126}.



R — остаток рибозы

Реакция протекает быстро в водных растворах при комнатной температуре и атмосферном давлении. Гидрирование производных уридина резко замедляется в присутствии аденозина ¹²⁰ или α -метилглюкозида ¹²⁷. Аналогичное уменьшение скорости гидрирования наблюдается при переходе от уридин-5'-фосфата к уридиндифосфатглюкозе ¹²⁷. Этот эффект может быть следствием внутримолекулярного взаимодействия гетероциклического основания и остатка сахара в молекуле нуклеозиддифосфатуглевода.

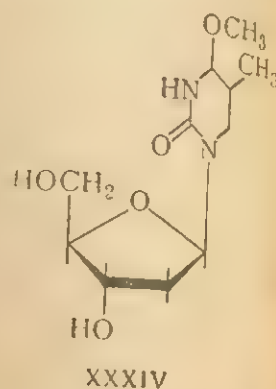
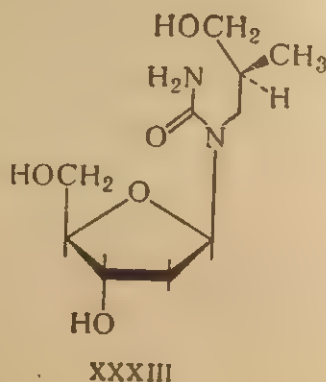
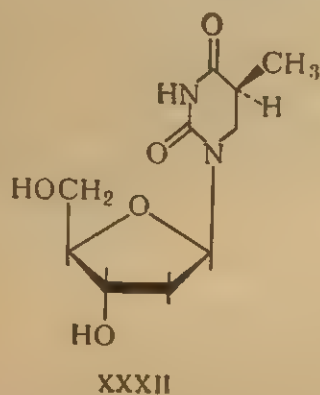
При исчерпывающем гидрировании уридина над родиевым катализатором в щелочной среде наряду с 5,6-дигидроуридином XXIX образуется 3,4,5,6-тетрагидроурин XXX ¹²⁸. Это соединение может быть получено также при восстановлении 5,6-дигидроуридина боргидридом натрия в мягких условиях ¹²⁸; в более жестких условиях происходит расщепление пиримидинового цикла с образованием производных 3-уреидопропанола-1 (XXXI) ^{129, 130}.



R — остаток рибозы

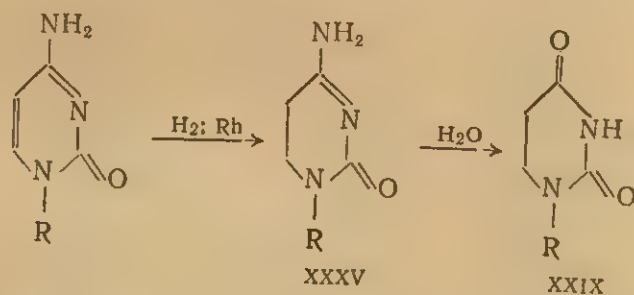
Аналогично уридину протекает и восстановление тимидина ^{121, 128}. Насыщение 5,6-двойной связи при гидрировании над родиевым катализатором происходит стереоспецифически, так что образуется L-изомер XXXII ¹³¹; при дальнейшем его восстановлении действием боргидрида натрия и обработке метанолом выделены производное

2-метил-3-уреидопропанола-1 XXXIII и метиловый эфир тетрагидротимида XXXIV.



Сложнее обстоит дело при гидрировании цитидина и его производных. В этом случае реакция не останавливается после поглощения одного моля водорода, а происходит дальнейшее восстановление. Кроме того, аминогруппа в производных 5,6-дигидроцитидина крайне легко замещается под действием нуклеофильных агентов (см. стр. 355), в частности воды.

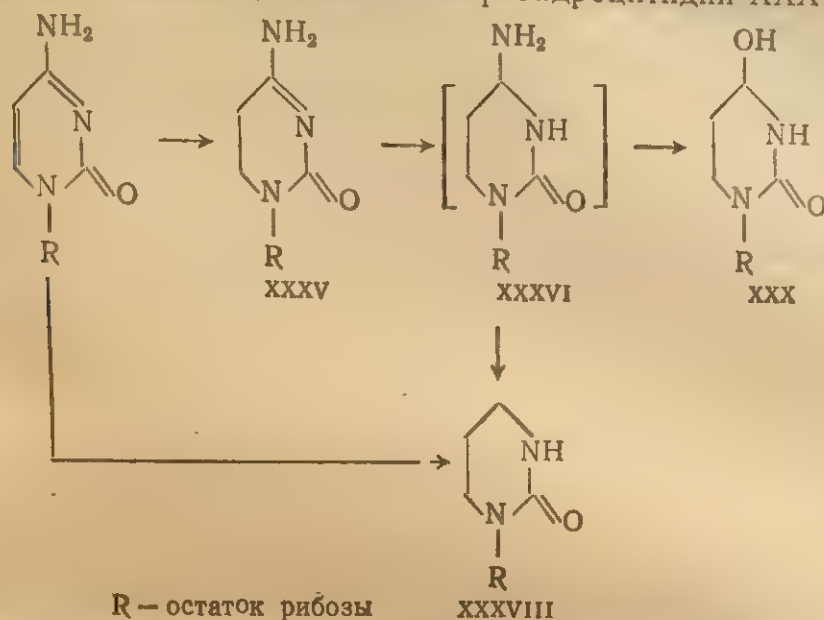
Тем не менее при тщательном контроле условий гидрирования и проведении реакции при низкой температуре удается превратить цитидин¹²², дезоксицитидин¹²² и цитидин-2',3'-циклофосфат¹³² в соответствующие 5,6-дигидропроизводные XXXV; в водных растворах эти соединения легко дезаминируются с образованием производных 5,6-дигидроуридина. При восстановлении цитидин-2'(3')-фосфата¹²⁰ и цитидин-5'-фосфата¹²² образующиеся фосфаты 5,6-дигидроуридина являются практически единственным продуктом реакции.



Исчерпывающее гидрирование цитидина над родиевым катализатором приводит к смеси тетрагидроуридина XXX и производного гексагидропиримидинона-2 (XXXVIII)¹²⁸; промежуточным продук-

При
в качес
ное XXX
становле
удалось
тидин-2'
Катали
редких ко
характерн
3-N-метил
не был. I
урацил 135
Некото
вливаясь
-дигидроу
дин легко
тетрагидро
лирование

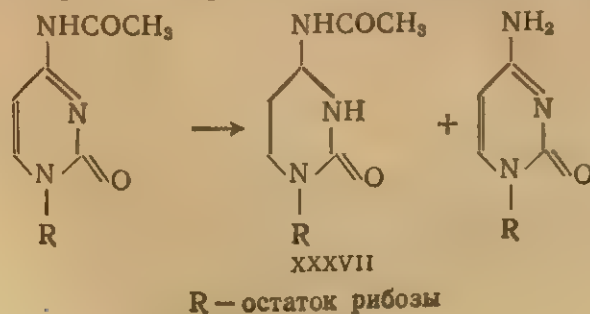
том при этом, очевидно, является тетрагидроцитидин XXXVI.



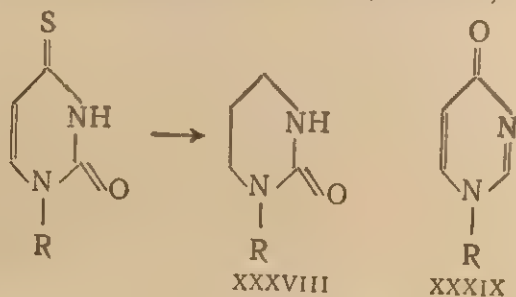
При восстановлении цитидина над платиновым катализатором в качестве единственного продукта реакции образуется производное XXXVIII^{128, 133}. Уридин, тимидин и цитидин могут быть восстановлены электрохимически на капельном ртутном катоде¹³⁴; удалось подобрать условия для препаративного получения из цитидин-2'(3')-фосфата 5,6-дигидроцитидин-2'(3')-фосфата.

Каталитическое гидрирование пириимидиновых нуклеозидов — редких компонентов РНК-изучено слабо. Отмечено исчезновение характерного УФ-поглощения при 260 мμ при восстановлении 3-N-метилуридин-5'-фосфата¹²⁷, однако продукт реакции выделен не был. При гидрировании псевдоуридина образуется 5-рибитилурацил¹³⁵.

Некоторые из редких компонентов тРНК способны восстанавливаться под действием боргидрида натрия. Восстановление 5,6-дигидроуридина уже рассматривалось выше. 4-экзо-N-Ацетилцитидин легко переходит при реакции с боргидридом натрия в тетрагидропроизводное XXXVII, одновременно протекает деацетилирование (см. стр. 406), приводящее к цитидину.



Восстановление 3-N-метилцитидина под действием боргидрида натрия сопровождается исчезновением характерного ультрафиолетового поглощения соединения и отщеплением аммиака¹³⁷. При восстановлении 4-тиоуридина образуется 1-рибозилгексагидропиримидин-2 (XXXVIII). Это соединение получено при действии боргидрида натрия¹³⁸ и никеля Ренея¹³⁹. 2-Теоуридин при обработке боргидридом натрия не восстанавливается¹³⁰; при действии же скелетного никелевого катализатора образуется 1-(β-D-рибофуранозил)-дигидропиримидон-4 (XXXIX)¹⁴⁰.

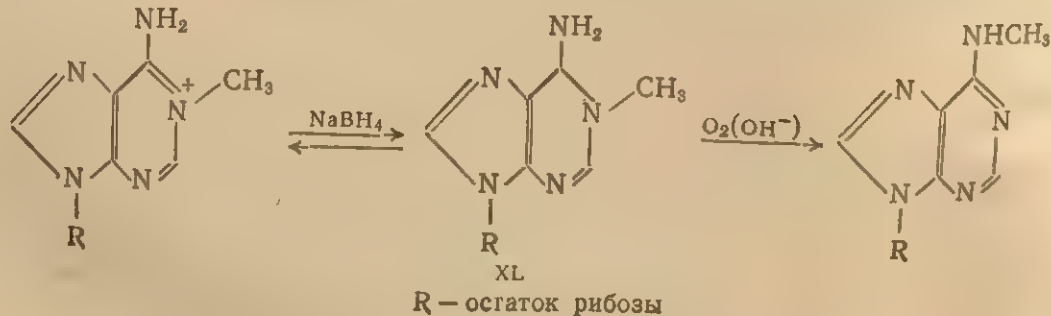


R — остаток рибозы

Взаимодействие редких нуклеозидов РНК с боргидридом натрия протекает в мягких условиях и может быть использовано для специфической модификации тРНК, поскольку уридин и цитидин не вступают в эту реакцию. При облучении УФ-светом уридин, однако, восстанавливается боргидридом натрия с образованием 5,6-дигидроуридина (см. стр. 636).

Пуриновые производные. Пуриновое ядро в нуклеозидах весьма устойчиво к действию восстанавливающих агентов. Оно не гидрируется над платиновыми и палладиевыми катализаторами; воздействие родиевого катализатора, оказавшегося столь эффективным при гидрировании пиримидинов, остается пока неисследованным.

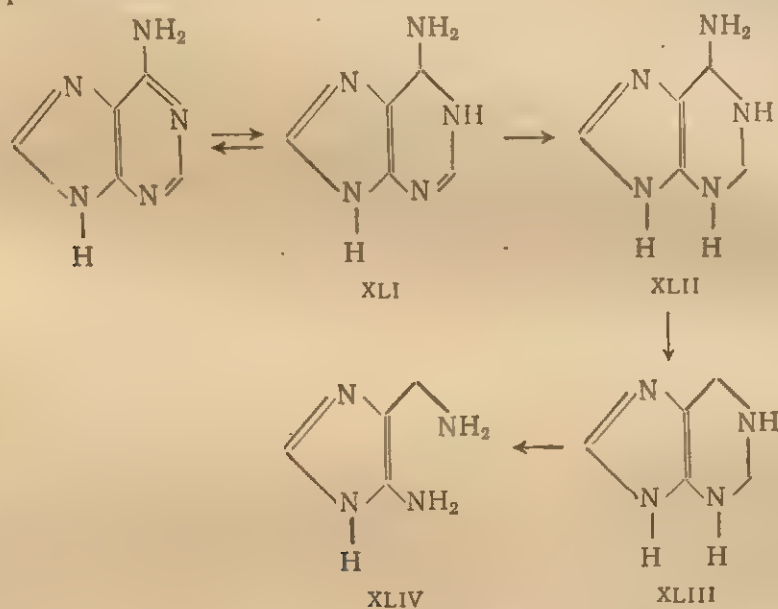
Обработка аденозина натрием в жидком аммиаке приводит к исчезновению характерного ультрафиолетового поглощения соединения¹¹⁷; строение продуктов реакции не изучалось. Единственным хорошо исследованным примером химического восстановления пуриновых нуклеозидов является превращение 1-метиладенозина под действием боргидрида натрия¹³⁷ в 1-метил-1,6-дигидроаденозин XL:



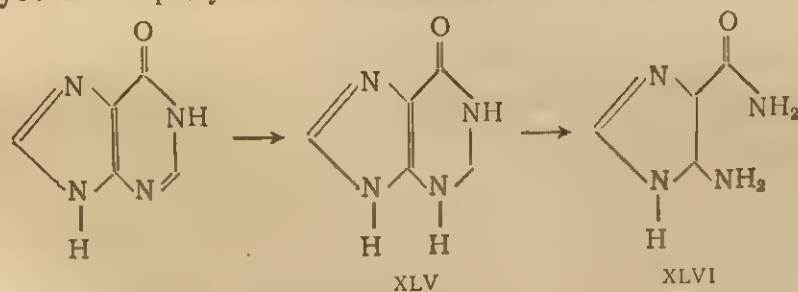
R — остаток рибозы

Реакция протекает достаточно быстро при pH 8,2; с увеличением основности среды скорость восстановления уменьшается. Продукт реакции легко окисляется под действием нитрита натрия при pH 5,4; в щелочной среде происходит окисление под действием кислорода воздуха, которое сопровождается перегруппировкой Димрота (см. стр. 450) и приводит к 6-экзо-N-метиладенозину.

Описано электрохимическое восстановление аденина и гипоксантина¹⁴¹. Конечными продуктами восстановления являются производные имидазола XLIV и XLVI. В случае аденина найдены три промежуточных продукта: дигидропроизводное XLI, легко окисляющееся под действием кислорода воздуха в аденин, и два тетрагидропроизводных XLII и XLIII.



Для гипоксантина показано, что имеется по крайней мере один промежуточный продукт — по-видимому, дигидропроизводное XLV.



Электрохимическое восстановление аденозина и его фосфатов протекает в условиях, практически идентичных условиям восстановления аденина¹⁴²; это позволяет предполагать аналогичный механизм реакции. Интересно отметить, что в условиях гладкого

ции. Во многих случаях проведены сравнительные кинетические исследования, найдены оптимальные условия проведения реакций и сопоставлены скорости модификации различных оснований. Как и следовало ожидать из теоретических положений (см. гл. 3), скорость модификации цитозинового ядра нуклеофильными реагентами значительно выше скорости модификации других аминооснований в составе нуклеозидов и нуклеотидов; доступные по литературе сведения в основном касаются именно реакции с цитозиновым ядром.

Наиболее распространенными нуклеофильными реагентами, применяемыми для модификации оснований, являются гидроксил-амин и О-алкилзамещенные гидроксиламины, а также гидразин и его производные.

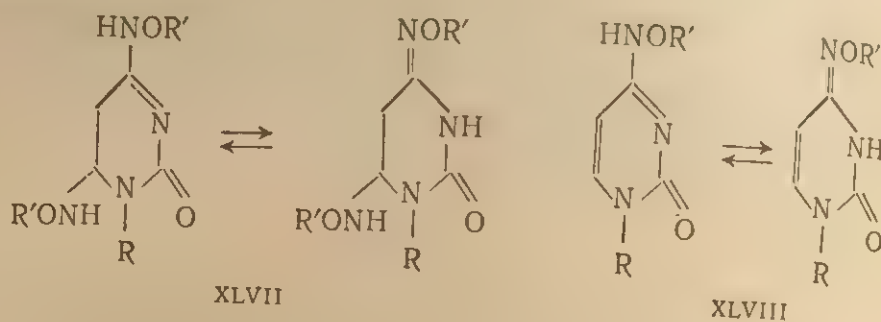
Действие гидроксил-амин и его О-алкилпроизводных

Реакции гидроксил-амин с компонентами нуклеиновых кислот исследованы значительно глубже других реакций и являются в настоящее время наиболее разработанными в теоретическом и препаративном отношении реакциями химической модификации рассматриваемого класса соединений. Сам гидроксил-амин в зависимости от рН реакционной среды проявляет различную специфичность по отношению к основаниям нуклеиновых кислот: при кислых и нейтральных значениях рН он реагирует в основном с цитозиновым ядром, а при щелочных — с урацильным ядром^{144, 145}. Взаимодействие с производными урацила приводит в конечном итоге к расщеплению гетероцикла и рассматривается в гл. 7 (см. стр. 468). Реакция с цитозиновым ядром в составе нуклеозидов, нуклеотидов и полинуклеотидов рассмотрена ниже.

Специфичность О-алкилпроизводных гидроксил-амин значительно выше — эти соединения не реагируют с производными урацила даже в щелочной области¹⁴⁶, что обусловлено, вероятно, участием в реакции как гидроксильной, так и аминной функциональных групп гидроксил-амин (см. стр. 467). Гуаниновое ядро гидроксил-амином и его О-алкилпроизводными, по-видимому, не модифицируется, а модификация аденина идет со значительно меньшей скоростью по сравнению с производными цитозина (см. стр. 348).

Скорость модификации производных цитозина зависит от основности реакционной смеси и имеет максимальное значение при рН 6 для гидроксил-амин^{144, 145} и при рН 5,1 для О-метилгидроксил-амин¹⁴⁷. Существование оптимума рН объясняется, вероятно, тем, что реакция в основном обусловлена взаимодействием протонированной молекулы производного цитозина с нейтральной молекулой реагента. Расхождение между наблюдаемыми оптимальными значениями рН и вычисленными исходя из значений pK_a реагентов^{148, 149} объясняется, возможно, сложным характером реакции.

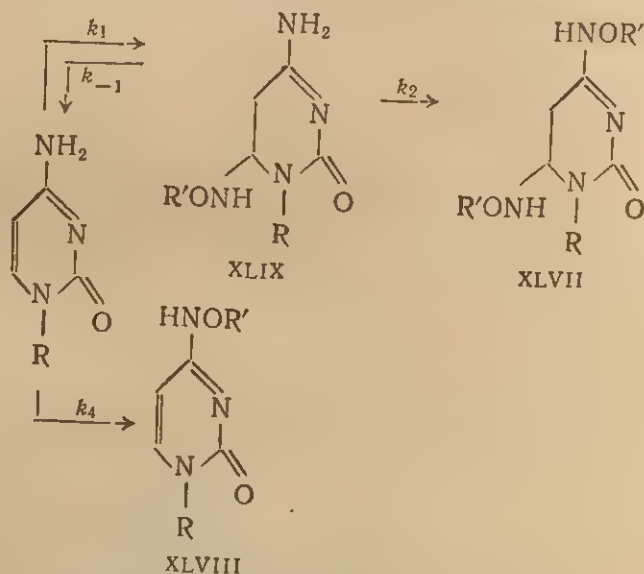
При реакции производных цитозина с гидроксиламином и *O*-метилгидроксиламином основными продуктами реакции, обнаруживаемыми в реакционной смеси, являются соответствующие 4,6-ди-(оксиамино)-5,6-дигидро-2-оксопроизводные XLVII и 4-оксиамино-2-оксопроизводные XLVIII ^{145, 146, 150–152}.



R — остаток углевода или углеводофосфата
 $R' = H$ или CH_3

Образование этих продуктов объясняется установленным недавно ^{150–152} механизмом реакции, включающим две параллельные стадии:

1) присоединение реагента по двойной связи цитозинового ядра с последующим замещением лабильной аминогруппы в образующемся производном дигидроцитозина (XLIX); 2) непосредственное замещение аминогруппы цитозина на оксиаминогруппу.



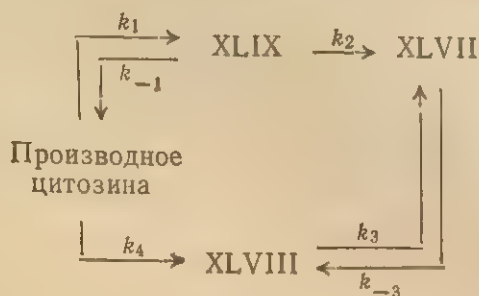
R — остаток углевода или углеводофосфата
 $R' = H$ или CH_3

II. РЕАКЦИИ
 Приводи
 щей схемы

принятым, п
 скорости ис
 Протека
 распредел
 стр. 149), с
 вергаться а
 тозиновом
 тем, что в р
 личества со
 типа XLVII
 медленно с
 Оценка кон
 дина с гидр
 что скорости
 выше скорос
 менее благо
 ния, варьиру
 тов, добыва
 Из кинетич
 выходов сое
 но обратной
 нием

где k_1^0 , k_2^0 и
 полученные
 скорости пе
 Это обст
 делах соот
 или повыша
 данные под
 акции XLVI
 концентрац

Приводимая схема является первым приближением более общей схемы



принятым, поскольку k_3 и k_{-3} значительно меньше общей константы скорости исчезновения цитидина в реакционной смеси.

Протекание превращения по этим двум направлениям отвечает распределению электронной плотности в цитозиновом ядре (см. стр. 149), согласно которому нуклеофильной атаке должны подвергаться атомы С-6 и С-4. Прямое замещение аминогруппы в цитозиновом ядре при реакции с гидроксиламинами доказывалось тем, что в реакционной смеси всегда образуются значительные количества соединений типа XLVIII, тогда как дигидропроизводное типа XLVII в условиях реакции (в интервале pH 3—7) лишь очень медленно отщепляет гидроксиламин, превращаясь в XLVIII⁵¹. Оценка констант скоростей отдельных стадий реакции^{153, 154} цитидина с гидроксиламином и О-метилгидроксиламином показывают, что скорость присоединения по двойной связи С-5—С-6 значительно выше скорости непосредственного замещения аминогруппы. Тем не менее благодаря обратимости первой стадии реакции присоединения, варьируя условия, можно менять относительный выход продуктов, добиваясь преимущественного образования XLVII или XLVIII. Из кинетического анализа схемы реакции следует, что отношение выходов соединений XLVIII и XLVII должно быть пропорционально обратной концентрации гидроксиламина в соответствии с уравнением

$$\frac{[\text{XLVIII}]}{[\text{XLVII}]} = \frac{k_4^0}{k_1^0} \cdot \frac{k_{-1}^0}{k_2^0} \cdot \frac{1}{[\text{NH}_2\text{OR}]} + \frac{k_4^0}{k_1^0}$$

где k_1^0 , k_2^0 и т. д. — константы скорости реакции второго порядка, полученные делением определяемых экспериментально констант скорости псевдопервого порядка на концентрацию гидроксиламина.

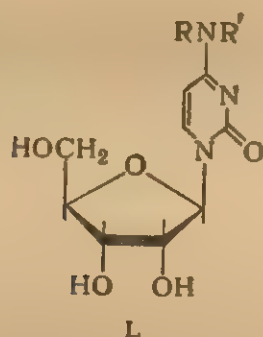
Это обстоятельство дает возможность изменять в широких пределах соотношение продуктов реакции, соответственно понижая или повышая концентрацию гидроксиламина. Экспериментальные данные подтверждают, что отношения концентраций продуктов реакции XLVIII и XLVII действительно линейно зависят от обратной концентрации гидроксиламинов (рис. 5.2). Найдено^{153, 154}, что

выход продукта XLVIII увеличивается при понижении pH и ионной силы реакционной смеси и при повышении температуры реакции.

Пользуясь установленными закономерностями, можно провести практически количественное превращение цитозинового ядра до соединений типа XLVII или до XLVIII. Так, например, обработкой цитидин-5'-трифосфата 7 M раствором гидроксиламина при pH 6,5 и 30° C был получен модифицированный нуклеозидтрифосфат, соответствующий XLVII ($R' = H$), тогда как обработка 1 M раствором гидроксиламина при pH 5 и 50° C приводила к трифосфату XLVIII ($R' = H$). Аналогично реакцией с гидроксиламином были получены также полинуклеотиды, содержащие модифицированные звенья либо типа XLVII, либо XLVIII¹⁵⁵.

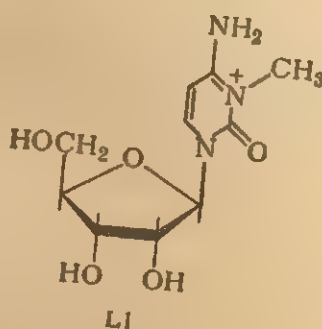
Описанная недавно реакция цитидина с O-(β-диэтиламиноэтил)-гидроксиламином¹⁵⁶, по-видимому, протекает подобным же образом. Для модификации цитозинового ядра применялся также O-бензилгидроксиламин¹⁵⁸, который, однако, не получил широкого распространения из-за плохой растворимости в воде.

Сходный механизм реакции с гидроксиламинами предлагается и для таких производных цитидина, как 4-экзо-N-метил- La, 4-экзо-N,N-диметил- Lб, 3-N-метилцитидины LI, а также для их 5'-фосфатов.



a ($R = H, R' = CH_3$)

б ($R = R' = CH_3$)



Однако соотношение продуктов типа XLVIII и XLVII в случае реакции указанных N-производных существенно образом меняется по сравнению с цитидином (как показано на примере реакции 5'-фосфатов соединений с 2,5 M раствором O-метилгидроксиламина при pH 4,9 и 30° C)¹⁵⁷:

Соединение	Выход XLVIII/Выход XLVII
Цитидин	0,36
4-экзо-N-Метилцитидин	0,20
4-экзо-N,N-Диметилцитидин	XLVIII не обнаружен
3-N-Метилцитидин	0,47

и реакции заме
Выход проду
стител в экзо
лированн цик
Результаты.
мещенных ана
объясняются не

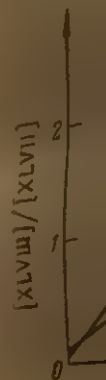


Рис. 5.2. Реакции
амином (б). За
и XLVII в конце
различной темпе
а — pH 6, μ = 1; б —

увеличением степ
в нее алкильных
женного с ядром
цикла должно з
С-6, поскольку д
необходима допо
роль в подобных
факторы. При мо
5-оксиметилпроиз
ственное замеще
так же протекает
и нуклеотидов, о
не было. Следует
амин, если он не
циях (10⁻³ — 10⁻⁴
с разложением
неспецифическим
основания нукле
Со значитель
цитозиновыми

Выход продукта типа XLVII увеличивается при введении заместителя в экзоциклическую аминогруппу и уменьшается при метилировании циклического азота N-1.

Результаты, полученные при исследовании реакции 4-экзо-N-замещенных аналогов цитозина с гидроксилaminaми, по-видимому, объясняются не только различием pK_a этих соединений, но и

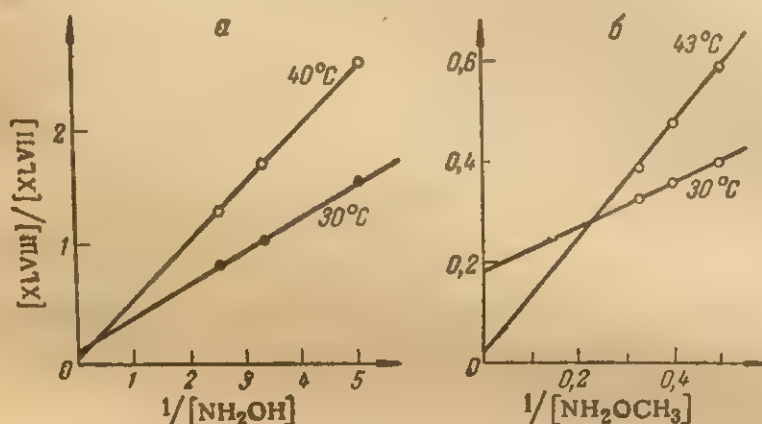


Рис. 5.2. Реакция цитидина с гидроксиламином (а) и О-метилгидроксиламином (б). Зависимость отношения концентраций продуктов XLVIII и XLVII в конце реакции от обратной концентрации гидроксилamina при различной температуре^{153, 154}:

а — pH 6, $\mu = 1$; б — pH 4,9, $\mu = 3$.

увеличением степени сопряжения аминогруппы с ядром при введении в нее алкильных заместителей. С другой стороны, введение сопряженного с ядром заместителя в положение 5 или 6 пиримидинового цикла должно затруднять присоединение по двойной связи С-5—С-6, поскольку для выведения из сопряжения таких заместителей необходима дополнительная энергия. По-видимому, определенную роль в подобных реакциях могут играть также пространственные факторы. При модификации гидроксиламином 5-метил-, 6-метил- и 5-оксиметилпроизводных цитозина наблюдается только непосредственное замещение экзоциклической аминогруппы¹⁵⁹. Очевидно так же протекает реакция и в случае соответствующих нуклеозидов и нуклеотидов, однако исследований в этом направлении проведено не было. Следует отметить, что в случае незамещенного гидроксилamina, если он используется для модификации в низких концентрациях ($10^{-3} - 10^{-2} M$), наблюдаются побочные эффекты, связанные с разложением реагента. Продукты разложения гидроксилamina неспецифически разрушают все (кроме аденина) гетероциклические основания нуклеиновых кислот¹⁶⁰⁻¹⁶² (см. стр. 478).

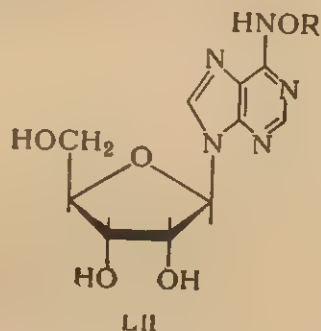
Со значительно меньшей скоростью (по сравнению с цитозиновыми и урацильными ядрами) гидроксилamin и

О-метилгидроксиламин реагируют с ядром аденина¹⁶³. В табл. 5.3 приводятся величины констант скорости реакции второго порядка, вычисленные для реакции гидроксиламина и О-метилгидроксиламина с аденозином.

Таблица 5.3. Вычисленные значения констант скорости второго порядка для реакции аденозина с гидроксиламином и О-метилгидроксиламином¹⁶³

Реагент	$k_2, \text{л} \cdot \text{моль}^{-1} \cdot \text{с}^{-1}$		
	при pH 4	при pH 5	при pH 6
Гидроксиламин	0,0010	0,0039	0,0032
О-Метилгидроксиламин	0,0010	0,0013	0,0005

Хотя точное значение оптимума pH не было определено, в обоих случаях он находится в области 4—5. Как и в случае цитидина, скорость реакции аденозина с гидроксиламином выше, чем с О-метилгидроксиламином. Единственными образующимися соединениями являются продукты замещения аминогруппы аденинового ядра на оксиамино- (LIIa) или О-метилоксиаминогруппу (LIIб); структура этих соединений была доказана их встречным синтезом из 6-метилмеркаптопуририбозиде.



a (R=H)

б (R=CH₃)

В кислой области pH гидроксиламин проявляет определенную специфичность по отношению к вторичной структуре полинуклеотидов. Гидроксиламин не реагирует с нативной ДНК¹⁶⁴, но с денатурированной ДНК¹⁶⁴ и полицитидиловой кислотой^{165, 166} реакция протекает, хотя и медленнее, чем с мономерами. Модификация гидроксиламином и О-метилгидроксиламином широко применяется в биологических исследованиях, в особенности генетического характера (обзоры — см. ^{167, 168}). Избирательность действия О-метил-

II. РЕАКЦИИ
гидроксиламина
кислот не
вторичной
от двухспир

Действ

В щелоч
новые прои
он реагируе
аминогрупп
твором гидр
продукта за
то-1,2-дигид

Количес
несмотря на
быток гидр
с мономети
или LVI обр
становлении
этом образ
4-экзо-N-ме

Замещен
ствии цитоз
ния цитозин
тилгидразин
5 M раство
кислорода

4-экзо-N-аминоцитидина. В этих условиях также наблюдалось восстановление тимидина до 5,6-дигидротимидина и, по-видимому, восстановление 5-метилцитозина до 5,6-дигидропроизводного.

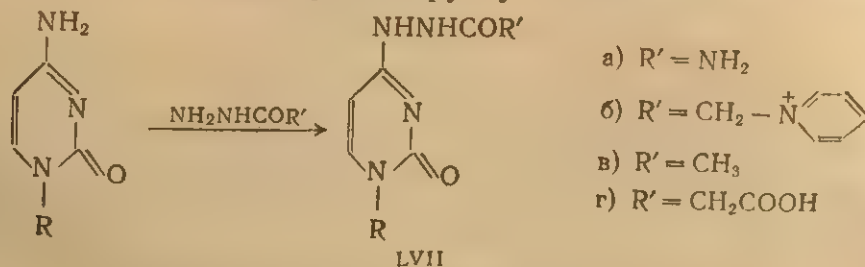
Пуриновые производные взаимодействуют с гидразином значительно медленнее, чем пиримидиновые; так, при обработке дезокси-гуанозин- и дезоксиаденозин-5'-фосфатов при 60° С безводным гидразином после 4 ч реакции не удается обнаружить каких-либо продуктов взаимодействия. Интересно отметить, что при переходе к 2,4-динитрофенилгидразину специфичность действия по отношению к основаниям теряется¹⁷², так что в этаноле, содержащем 1% HCl, экзоциклические аминогруппы всех аминонуклеозидов замещаются на динитрофенилгидразиновые остатки. В водных растворах эта реакция не исследовалась.

Реакция замещения аминогруппы в цитозине и его производных является, по-видимому, нуклеофильной реакцией, которая резко замедляется при протонировании гидразина. При pH 6 (в этих условиях исследовалась реакция гидразина с цитозином) всего 0,36% молекул реагента существует в непротонированной форме (значение pK_a гидразина равно 8,5)¹⁴⁸. Это приводит к необходимости создания достаточно жестких условий для протекания реакции.

Значительный интерес в качестве модифицирующих агентов оснований представляют ацильные производные гидразина. Эти соединения обладают более низкими по сравнению с гидразином, значениями pK_a , поэтому оптимум pH для реакций с их участием сдвинут в более кислую область. Для модификации гетероциклических оснований нуклеиновых кислот исследовано несколько типов ацильных производных гидразина: гидразид карбаминовой кислоты (семикарбазид)^{165, 173-175}, реактив Жирара^{176, 177}



ацетилгидразид¹⁷⁸ и ряд гидразидов многоосновных кислот (малоновой, 3,5-дисульфобензойной и 3,4-дикарбоксибензойной)¹⁷⁸. Все эти соединения оказались реагентами, специфичными по отношению к цитозиновому ядру. Основная реакция, происходящая при таком взаимодействии, представляет собой замещение аминогруппы цитозина на ацилгидразидогруппу:



R — атом водорода или различные радикалы

a) $\text{R}' = \text{NH}_2$

b) $\text{R}' = \text{CH}_2 - \text{N}^+ \text{C}_6\text{H}_5$

в) $\text{R}' = \text{CH}_3$

г) $\text{R}' = \text{CH}_2\text{COOH}$

Оптимал.т
реактивом Ж
ных кислот с
4 и 5 итс. Пр
рость реакци
мера на рис.
с семикарбаз
Изучение
карбазида с
Жиара с ш
зывает, что
мость скоро
описывается
рядка, если
большой из
этом реакти
значительно
ным по сравн
Так, при pH
рости реакци
базидом и ци
тивом Жиара
0,0144 л·мо
В этих же ус
сти реакции
более исследо
нов многоосно
цитидином со
карбоксибензо
но с такой же
не удается до
высокой скоро
сульфобензоил
дом и реактив
зидом, причем
экранирующих
медляет скоро
сульфобензоил
4,5 скорость е
удается обнару
Исследован
производных
скорости реак
по крайней ме
оптимума pH
но, свидетельс

Оптимальное значение рН для реакции с семикарбазидом и реактивом Жирара примерно 4,8; в случае гидразидов многоосновных кислот оптимум рН также лежит в интервале значений между 4 и 5¹⁷⁸. При значениях рН, отличающихся от оптимальных, скорость реакции значительно и резко уменьшается. В качестве примера на рис. 5.3 показана зависимость скорости реакции цитидина с семикарбазидом от рН среды.

Изучение кинетики реакции семикарбазида с цитидином и реактива Жирара с цитидин-5'-фосфатом показывает, что в обоих случаях зависимость скорости реакции от времени описывается уравнением первого порядка, если в смеси присутствует большой избыток гидразида. При этом реактив Жирара оказывается значительно менее реакционноспособным по сравнению с семикарбазидом. Так, при рН 4,2 и 37°С константа скорости реакции цитидина с семикарбазидом и цитидин-5'-фосфата с реактивом Жирара составляет 0,072 и 0,0144 л·моль⁻¹·ч⁻¹ соответственно. В этих же условиях константа скорости реакции малонилгидразида (наиболее исследованного из ацилгидразидов многоосновных кислот) с дезоксицитидином составляет¹⁷⁸ около 0,05 л·мин⁻¹·ч⁻¹. Гидразид 3,4-дикарбоксибензойной кислоты реагирует с дезоксицитидином примерно с такой же скоростью, однако он плохо растворим в воде, так что не удается достичь концентраций, необходимых для обеспечения высокой скорости модификации. Реакция дезоксицитидина с 3,5-дисульфобензоилгидразидом¹⁷⁹ идет медленнее, чем с семикарбазидом и реактивом Жирара, а также медленнее, чем с ацетилгидразидом, причем добавление в реакционную смесь ионов Ca²⁺ и Mg²⁺, экранирующих отрицательный заряд сульфогрупп, еще больше замедляет скорость превращения. Реакцию дезоксицитидина с 3,5-дисульфобензоилгидразидом проводили при рН 4, поскольку при рН 4,5 скорость ее снижена примерно в 3 раза, а при рН 5,3 за 70 ч не удается обнаружить продукта реакции.

Исследовано также влияние температуры на скорость реакции производных цитозина с рядом ацилгидразинов. Первый порядок скорости реакции производных цитозина с ацилгидразидами и — по крайней мере в случае реакции с семикарбазидом — совпадение оптимума рН с теоретически вычисленным (см. стр. 209), возможно, свидетельствует о том, что данный тип реакций в основном

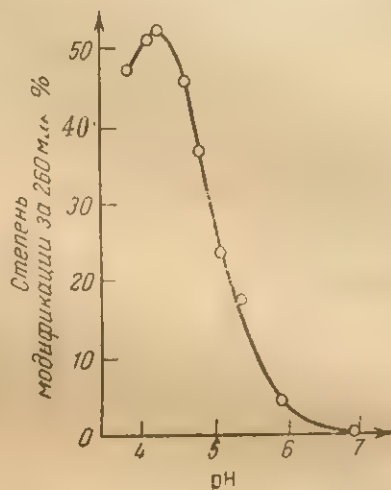


Рис. 5.3. Зависимость скорости реакции цитидина с 2М раствором семикарбазида от рН реакционной смеси при 37°С¹⁷³.

является прямым замещением аминогруппы цитозинового ядра на ацилгидразинную группу. Тем не менее не исключено, что, хотя бы частично, реакция протекает с первоначальным присоединением реагентов по двойной связи с последующим замещением лабильной аминогруппы образующегося дигидроцитозинового производного, как это протекает в случае реакции с гидрокситаминами (см. стр. 344). Действительно, при взаимодействии цитидина с семикарбазидом в реакционной смеси было обнаружено некоторое количество продукта, не имеющего максимума поглощения в области 250—300 мкм и легко превращающегося в основной продукт реакции в кислой области pH. Возможно, что это соединение является продуктом присоединения семикарбазида по двойной связи цитозинового ядра.

Наиболее важным преимуществом ацилгидразидных реагентов является то, что при модификации полинуклеотидов модифицируется только цитозिनное ядро и образуются те же продукты реакции, что и в случае мономеров*.

Действие семикарбазида и реактива Жирара на полинуклеотиды чувствительно ко вторичной структуре полимера. Так, в случае модификации под действием семикарбазида скорость реакции с цитозиновыми ядрами в денатурированной ДНК примерно равна скорости модификации этих звеньев в тРНК¹⁷⁴. Скорость модификации нативной ДНК примерно в 25 раз ниже. Скорость реакции цитозиновых ядер в составе тРНК с семикарбазидом и реактивом Жирара также понижена по сравнению с цитидином. Значения константы скорости реакции тРНК с семикарбазидом¹⁷⁴ и реактивом Жирара¹⁷⁷ при pH 4,2, 37°C и концентрация реагентов 2 М, вычисленные по зависимости степени модификации тРНК от времени, равны соответственно 0,0294 и 0,0117 ч⁻¹. Таким образом, семикарбазид реагирует с тРНК примерно в 5, а реактив Жирара — в 2,5 раза медленнее, чем с цитидином. Медленнее, чем в случае нуклеозида, цитозинное звено модифицируется и в составе полицитидиловой кислоты, как можно судить на примере реакции с семикарбазидом¹⁶⁵ и малонилгидразидом¹⁷⁸. При участии цитозиновых звеньев полинуклеотида в образовании пар гуанин-цитозин модификация этих звеньев идет значительно медленнее, чем в том случае, когда цитозин находится на односпиральном участке полинуклеотида.

Углеводно-фосфатная цепь полинуклеотидов при модификации семикарбазидом¹⁷⁴ и реактивом Жирара¹⁷⁷ в заметной степени не разрушается. Однако вторичная структура полинуклеотидов после модификации этими агентами существенным образом изменяется (в случае реактива Жирара эффект выражен значительно силь-

* В случае модификации семикарбазидом тРНК получены данные¹⁷⁴, свидетельствующие о незначительной модификации аденинового ядра.

нее). Так, где-то держась 20-90 46°C. В то- дом 17 гипер- тРНК показыва- ную 26°C. и Т. этими двумя ре- центрирую акт- акцепторная а- няется в разл- актива Жирара- ность примерно- ствии реагенто- реактивом Жир- чество положит- Заканчивая- используемых- скорости их ре- физически модиф-

Сем- Реакт- Малон- О-Мет- Гидро-

Наиболее- ний являются п- ных для каждо- возрастает в р- реакти-

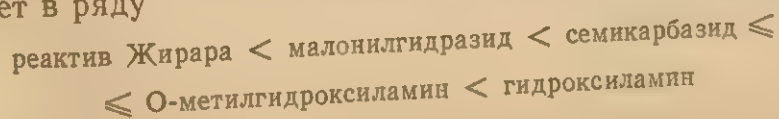
Прочие р- Помимо рас- оснований (в со- дезаминирован- реакции протек- вяют определ- кислот является- ализиса, и дан- роллизиса необх- При условиях

нее). Так, гиперхромия обработанной реактивом Жирара тРНК, содержащей 70% модифицированных звеньев, в температурном интервале 20—90° С составляет всего 8%, T_m этого препарата равна 46° С¹⁷⁷. В то же время при 89%-ной модификации семикарбазидом¹⁷⁴ гиперхромия составляет 20%, T_m равна 46° С. Нативная тРНК показывает в этом интервале температур гиперхромия, равную 26%, и T_m 54° С. Различие в модификации полинуклеотидов этими двумя реагентами проявляется также во влиянии их на акцепторную активность тРНК; при модификации семикарбазидом акцепторная активность различных индивидуальных тРНК меняется в различной степени¹⁷⁵, при модификации же с помощью реактива Жирара различные тРНК уменьшают акцепторную активность примерно в одинаковой степени¹⁷⁷. Такое различие в действии реагентов связано, возможно, с тем, что при модификации реактивом Жирара в полинуклеотид вводится значительное количество положительных зарядов.

Заканчивая рассмотрение основных нуклеофильных реагентов, используемых для модификации нуклеиновых кислот, сопоставим скорости их реакции с цитозиновым ядром, которое они все специфически модифицируют:

Реагент (условия реакции)	k_2 л·моль ⁻¹ ·с ⁻¹
Семикарбазид (рН 4,2; 37° С)	0,072
Реактив Жирара (рН 4,2; 37° С)	0,0144
Малонилгидразид (рН 4,2; 37° С)	0,025
О-Метилгидроксиламин (рН 4,9; 30° С)	0,042
Гидроксиламин (рН 6; 30° С)	0,094

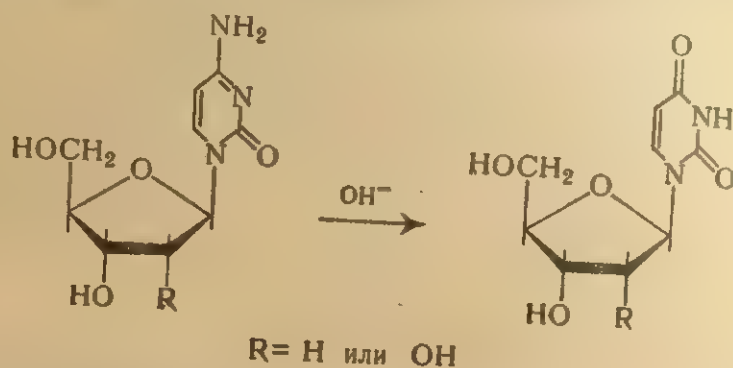
Наиболее реакционноспособными из рассмотренных соединений являются производные гидроксиламина, причем при оптимальных для каждого реагента значениях рН реакционная способность возрастает в ряду



Прочие реакции замещения аминогрупп

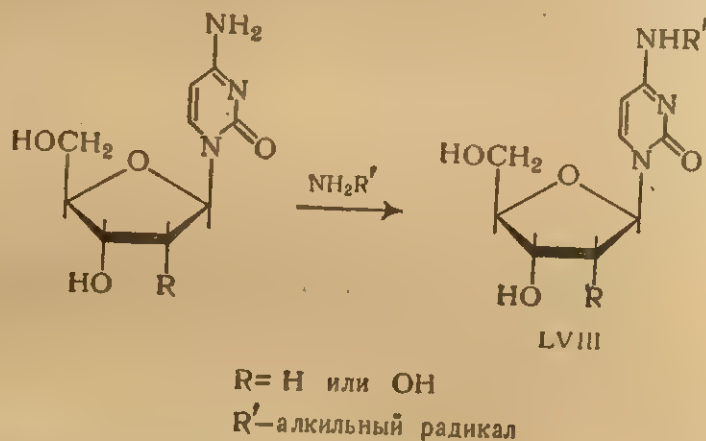
Помимо рассмотренных выше реакций замещения аминогрупп оснований (в составе нуклеозидов и нуклеотидов) следует отметить дезаминирование под действием щелочи и переаминирование. Эти реакции протекают при более жестких условиях, однако представляют определенный интерес. Щелочной гидролиз нуклеиновых кислот является одним из наиболее распространенных методов их анализа, и данные по дезаминированию оснований в условиях гидролиза необходимы для правильной оценки нуклеотидного состава. При условиях гидролиза (обычно действие 0,3 н. щелочи, 37° С,

24 ч) дезаминируется только ядро цитозина¹⁷⁹⁻¹⁸², причем степень дезаминирования высока и составляет 10—12%.



В этих условиях, кроме того, наблюдается заметное расщепление цитозинового и урацильного циклов. В более жестких условиях¹⁸³⁻¹⁸⁴ (100°С, 1 н. КОН или NaOH), хотя по-прежнему с наибольшей скоростью модифицируется ядро цитозина, наблюдается также заметное дезаминирование производных аденина¹⁸⁴. Следует отметить, что 5-метилдезоксцитидин дезаминируется медленнее, чем цитидин и дезоксцитидин¹⁸⁴; причины этого явления пока не ясны.

Переаминирование представляет собой возможный метод синтеза замещенных по аминогруппе аналогов оснований LVIII.

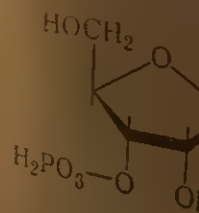


Переаминирование производных цитозина протекает в водных растворах при реакции с ароматическими аминами⁸⁸; оно сопровождается одновременным дезаминированием. Из исследованных аминов наибольшая скорость переаминирования при pH 4 и 95°С наблюдалась в случае *o*-аминофенола. Менее быстро реагируют анилин и β -нафтиламин. Значительно медленнее протекает реакция с α -нафтиламином и 9-амиоакридином. В последних двух случаях определенную роль в эффекте замедления реакции играют, вероят-

ко, простран
переаминиро
еще более

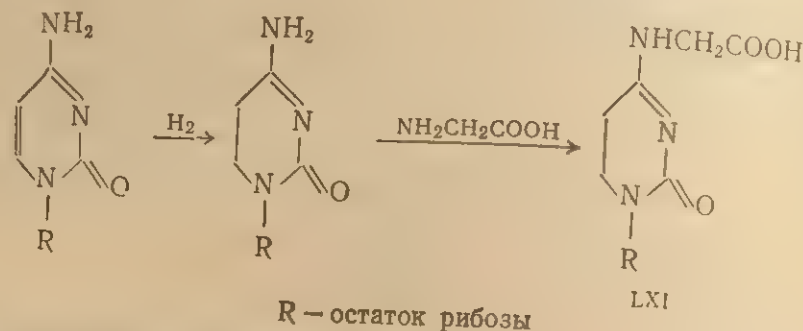
Обсужде
тозиновом я
производных
частности ра
текают чере
Кроме того,
лот (гл. 12)
аминогруппы
вых димерах

Лабильно
хорошо изве
лении пнтин
щие производ
разующегося
стр. 338). О
дигидроцитоз
фосфата LIX
робнее — см.
ельные реак
гидроуридин
фата¹⁸⁷.



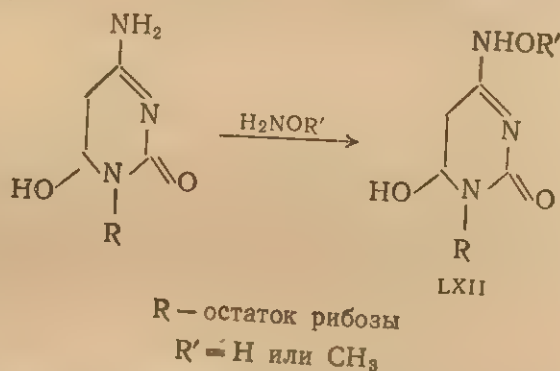
Реакция о
динмонофосф
скорость пере
pH 3. Обе реа
порядка, и ко
рования при
4 · 10⁻⁴ мин⁻¹.
дегидратации
рования. Скор
присутствии р

вание цитидина в присутствии глицина¹⁹⁰ при pH 9,8 и 7,8 приводит к количественному выходу 4-экзо-N-карбоксиметил-5,6-дигидроцитидина LXI.



При pH 6,6 эта реакция протекает лишь в незначительной степени, а при pH 5 практически не идет¹⁹⁰, что обусловлено, по-видимому, потерей глицином нуклеофильных свойств при протонировании аминогруппы в этом интервале значений pH. Аналогичное замещение аминогруппы наблюдается при гидрировании цитидина в присутствии ряда других аминов¹⁹⁰.

Сходным образом в присутствии таких сильных нуклеофильных агентов, как гидроксиламин или O-метилгидроксиламин, фотогидрат цитидина (6-окси-5,6-дигидроцитидин) практически количественно превращается в 4-экзо-N,6-диокси-5,6-дигидроцитидин LXII ($R' = H$) или 4-экзо-N-метокси-6-окси-5,6-дигидроцитидин LXII ($R' = CH_3$)¹⁹¹:



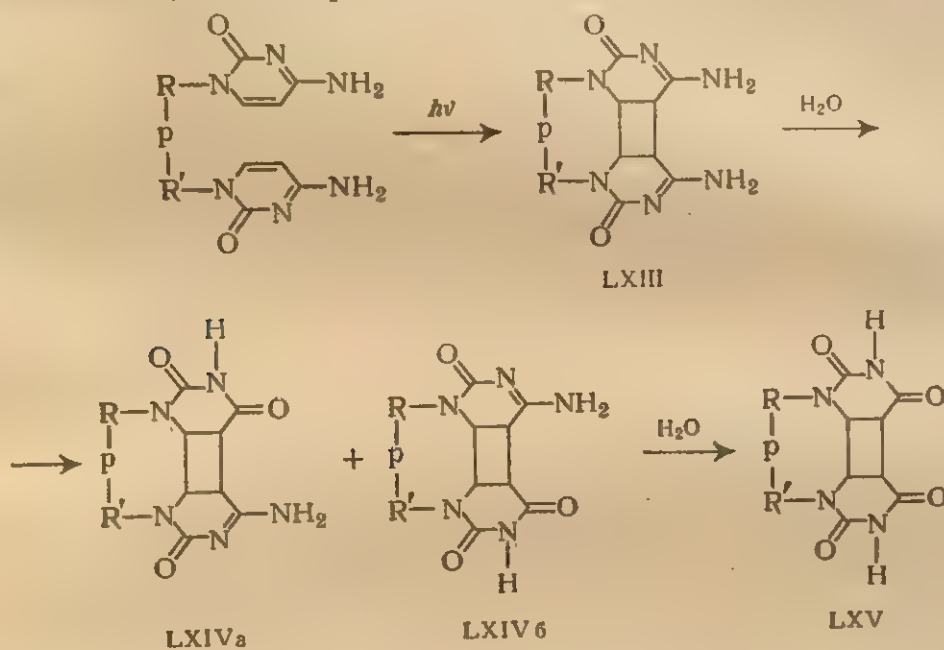
Скорость реакции замещения аминогруппы в данном случае значительно выше скорости дегидратации. Замещение аминогруппы с помощью гидроксиламина и O-метилгидроксиламина для производных дигидроцитозина протекает со скоростью, значительно более высокой, чем модификация цитозинового ядра теми же реагентами. Так, при 0° C в присутствии 0,25 M раствора гидроксиламина (pH 6,5) или O-метилгидроксиламина (pH 5,5) фотогидрат цитидина превращается в соединения LXII ($R' = H$ или CH_3) за 3 или 4 ч соответственно, тогда как цитидин за это же время и в этих же условиях модифицируется гидроксиламином всего на 2%,

При этом претерпевают сначала в смеси сине-зеленое и другие цвета. Возможно, димеры LXV дигидроцитозина с белками тендов¹⁹² и пр.

* При облучении отличия между LXIVa, LXIVb и

а О-метилгидроксиламином на 0,3% ¹⁹¹. Отсюда вытекает, в частности, что при реакции гидроксиламинов с цитидином (см. стр. 344) промежуточный продукт присоединения по двойной связи XLIX должен присутствовать в реакционной смеси лишь в малых концентрациях, подвергаясь быстрому замещению аминогруппы.

Легкое дезаминирование наблюдается также в случае таких производных дигидроцитозина, как образующиеся при облучении цитидил- $(3' \rightarrow 5')$ -цитидина димеры ¹⁸⁸. Если предположить, что образуются димеры цикlobутанового типа LXIII (см., однако, стр. 670), то дезаминирование может быть, по-видимому, представлено следующим образом:



R-p-R' — остаток рибозил- $(3' \rightarrow 5')$ -рибозы

При этом димеры LXIII, содержащие два цитозиновых ядра, претерпевают последовательное дезаминирование, превращаясь сначала в смесь димеров LXIVa и LXIVb, содержащих одно цитозиновое и одно урацильное ядро, и затем в димеры LXV, содержащие два урацильных ядра. Полное превращение димеров LXIII в димеры LXV происходит за сутки при комнатной температуре*.

Возможно, что легкое замещение аминогруппы в производных дигидроцитозина является причиной образования ковалентных связей белков с нуклеиновыми кислотами при облучении нуклеопротеидов ¹⁹² и при действии на них О-метилгидроксиламина ¹⁸⁹. В первом

* При облучении образуются два изомерных димера типа LXIII, структурные отличия между которыми пока не установлены; соответственно при дезаминировании должны образовываться по два изомера каждого из соединений LXIVa, LXIVb и LXV, которые, однако, не изолированы.

случае нуклеофильные группы белковой молекулы (например, амино- или меркаптогруппы) могут замещать аминокгруппу в фото- гидрате цитозина или в димерах, содержащих цитозинное ядро. Во втором случае аналогичное замещение может происходить в промежуточно образующемся 6-метоксиамино-5,6-дигидроцитозинном ядре XLIX ($R' = CH_3$). Возможно, что дигидроцитозино- производные образуются также в качестве промежуточных соединений при дезаминировании производных цитозина, как это, например, предполагается в случае дезаминирования в присутствии кислых буферов⁸⁸.

Реакции замещения аминокгруппы в нуклеозидах и нуклеотидах, и особенно в случае производных цитозина, под действием сильных нуклеофильных агентов протекают, как было показано, в довольно мягких условиях и вследствие этого широко применяются для модификации нуклеиновых кислот. Замена карбонильной группы требует существенно более жестких условий, и подобные замещения в нуклеозидах (например, на атом хлора^{193, 194} или на серу^{195, 196}) достаточно хорошо известны и широко применяются при синтезе аналогов нуклеозидов и нуклеотидов. Однако в данной книге такие превращения не рассматриваются, поскольку необходимые для них жесткие условия неприменимы для полинуклеотидов.

III. РЕАКЦИИ ЗАМЕЩЕНИЯ И ПРИСОЕДИНЕНИЯ ПО АТОМАМ АЗОТА

Как уже указывалось ранее (см. гл. 3), гетероциклические основания, входящие в состав нуклеозидов и нуклеотидов, содержат атомы азота двух типов. Атомы азота, обладающие двумя заместителями, отдают в сопряженную систему один π -электрон и имеют некоторый избыток электронной плотности. По своей химической характеристике они аналогичны атому азота в пиридине. Примером таких атомов азота могут служить N-3 и N-7 в пуринах, N-1 в аминокформе аденозина и N-3 в аминокформе цитидина. Эти атомы могут легко подвергаться атаке под действием электрофильных реагентов, в частности протона. Направление протонирования обычных нуклеозидов и нуклеотидов также уже обсуждалось в гл. 3. Как будет видно из материала, рассматриваемого в данном разделе, ориентация замещения под действием многих электрофильных агентов аналогична ориентации протонирования.

Атомы азота, обладающие тремя заместителями, отдают в сопряженную систему два π -электрона и несут частичный положительный заряд. По своей химической характеристике они аналогичны атому азота в пирроле или в циклических имидах. В тех случаях, когда одним из заместителей является атом водорода (например, N-1 в кетоформе гуанозина или N-3 в кетоформе уридина), последний за счет поляризации связи N—H может относи-

III РЕАКЦИИ
тельно лег
свойства
рассматр
ной плотн
тона, так
Наибол

тероцикли
электрофи
реакции аз
мы азота
кислоты
углерода
крытия ко
поляризова
нентов нук
C=N (на
C=O (на
замещения
же образо
вероятно,
щения у аз

1. Взаим

Изучени
лоты прив
этому вопр
тиворечива
ными мута
химиотерап
агенты, та
этого выяс
нуклеинов
фундамент
щих в норм

Метил

Как из
фильным х
органическ
ханизму:

В тех с
ние имеет

тельно легко отщепиться в виде протона, т. е. соединение обладает свойствами кислоты. В образующемся после диссоциации анионе рассматриваемые атомы азота уже обладают избытком электронной плотности и могут подвергаться атаке под действием как протона, так и других электрофильных реагентов.

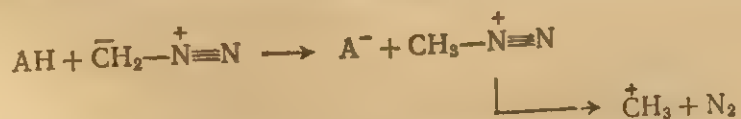
Наиболее характерные реакции замещения у атомов азота гетероциклического ядра протекают, таким образом, под действием электрофильных реагентов. К их числу относятся прежде всего реакции алкилирования нуклеозидов и нуклеотидов. При этом атомы азота гетероциклических ядер могут выступать в качестве нуклеофильных агентов в реакциях замещения у насыщенного атома углерода в алкилгалогенидах или алкилсульфатах, реакциях раскрытия кольца α -окисей и эпиминов, реакциях присоединения по поляризованной связи $C=C$ (например, цианэтилирование компонентов нуклеиновых кислот под действием акрилонитрила), связи $C=N$ (например, взаимодействие с карбодиимидами) или связи $C=O$ (например, ацилирование). Весьма характерной реакцией замещения у атомов азота гетероциклического ядра является также образование N-окисей под действием пероксидов; эта реакция, вероятно, также протекает по механизму электрофильного замещения у атомов азота.

1. Взаимодействие с алкилирующими агентами

Изучение действия алкилирующих агентов на нуклеиновые кислоты привлекает большое внимание; литература, посвященная этому вопросу, весьма обильна (обзоры — см. 197–199) и часто противоречива. Многие алкилирующие агенты являются эффективными мутагенами и канцерогенами; с другой стороны, целый ряд химиотерапевтических веществ, используемых как противораковые агенты, также относятся к данному классу соединений. В свете этого выяснение химических превращений, которые претерпевают нуклеиновые кислоты под действием алкилирующих агентов, имеет фундаментальное значение для понимания процессов, происходящих в нормальных и опухолевых клетках.

Метилирование диазометаном

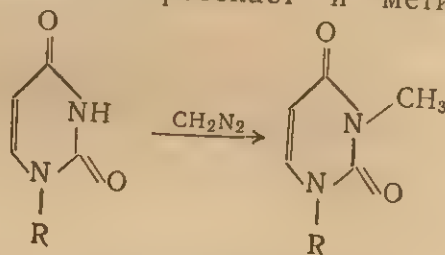
Как известно, атом углерода в диазометане обладает нуклеофильным характером, и это соединение легко взаимодействует с органическими кислотами (донорами протона) по следующему механизму:



В тех случаях, когда подвергающееся метилированию соединение имеет несколько реакционноспособных центров, направление

реакции зависит от экспериментальных условий. В условиях, когда метилируемое соединение является единственным донором протона в среде, действие диазометана должно приводить к замещению на метильную группу атома водорода, обладающего наиболее кислотными свойствами; в случае гетероциклических оснований нуклеиновых кислот это приводит к замещению у атома азота, связанного с водородом и обладающего наименьшей электронной плотностью. Если в реакционной смеси имеются и другие доноры протона, то атака образующегося метильного катиона может проходить по наиболее нуклеофильному центру молекулы, т. е. по атому азота с наибольшей электронной плотностью, причем это направление реакции может стать преобладающим.

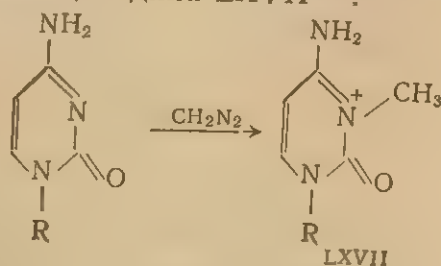
Экспериментальные данные по метилированию нуклеозидов диазометаном подтверждают указанные соображения. Метилирование производных уридина диазометаном было впервые описано в 1934 г. при доказательстве структуры этого нуклеозида²⁰⁰. В дальнейшем неоднократно сообщалось о метилировании диазометаном уридина и его производных в различных условиях^{6, 201-205}; во всех случаях продуктом реакции являются производные 3-N-метилуридина LXVI. Аналогично протекает и метилирование тимидина^{201, 204, 206, 207}.



R — остаток рибозы

В качестве побочной реакции наблюдалось лишь метилирование по сахару (см. гл. 9) с образованием 3-N,2'-O-диметилуридина²⁰⁸.

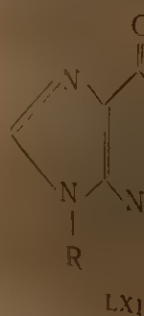
В молекуле цитидина наиболее кислотными свойствами обладает гидроксильная группа остатка рибозы при C-2'; в соответствии с этим при метилировании диазометаном в 1,2-диметоксиэтаноле происходит алкилирование остатка сахара²⁰⁹ (подробнее см. гл. 9). Напротив, при обработке водного раствора цитидина эфирным раствором диазометана наблюдается метилирование по ядру с образованием 3-N-метилцитидина LXVII²⁰⁴.



R — остаток рибозы

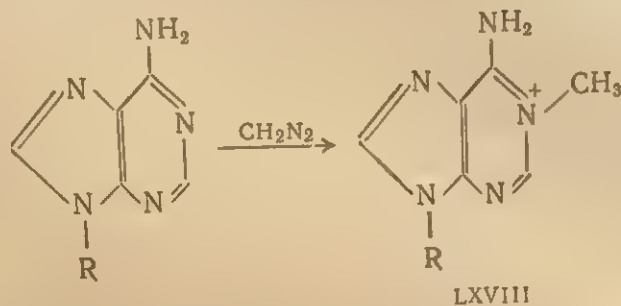
III РЕАКЦИИ
Аналоги
нозина: дей
дуктам за
в водно-эф
1-N-метила
и из 2'-дезо

Направл
висит от ус
зина в эс
LXIX²¹³; пр
7-N-метилгу



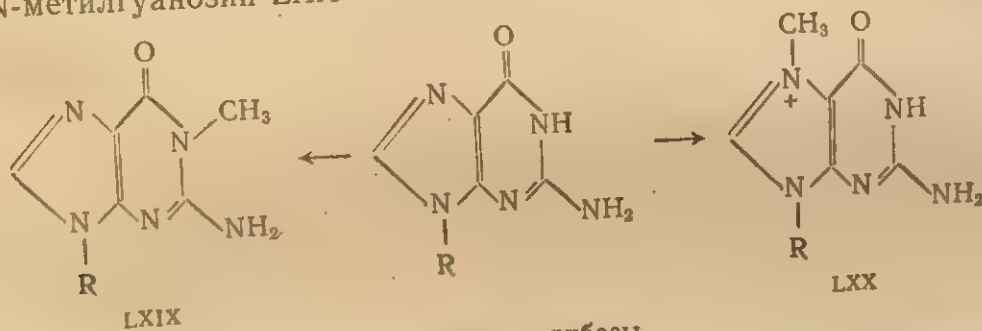
Соединен
зометана с
первоначаль
тура 1-метил
среде протек
эфира и ме
N-7 и 6-экзо
Способно
ном в водно
дин >> цитид
четырех дез
в этом случ
тимидин²⁰⁷.

Аналогичная картина наблюдается и при метилировании аденозина: действие диазометана в 1,2-диметоксиэтаноле приводит к продуктам замещения в остатке сахара²⁰⁹⁻²¹²; проведение же реакции в водно-эфирной эмульсии — к образованию с низким выходом 1-N-метиладенозина LXVIII²⁰⁴. Соответствующий продукт получен и из 2'-дезоксаденозина^{206, 207}.



R — остаток рибозы или дезоксирибозы

Направление реакции при метилировании гуанозина также зависит от условий. При обработке диазометаном суспензии гуанозина в эфире наблюдается образование 1-N-метилгуанозина LXIX²¹³; при реакции же в водно-эфирной среде был получен 7-N-метилгуанозин LXX^{204, 214, 215}.



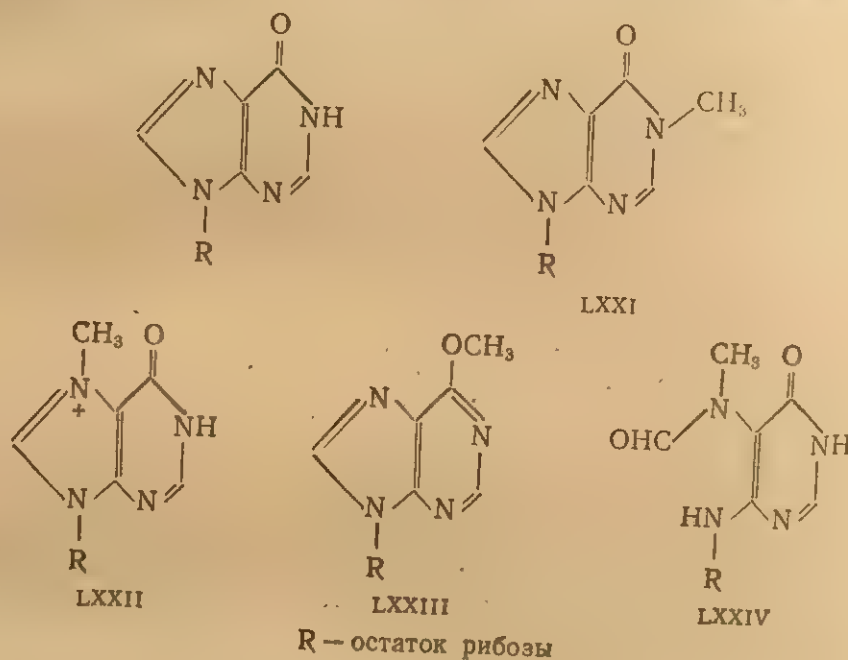
R — остаток рибозы

Соединение LXX было получено впервые взаимодействием диазометана с 2',3',5'-три-О-ацетилгуанозином в спиртовой среде²¹⁶; первоначально, однако, ему была неправильно приписана структура 1-метилгуанозина. Метилирование дезоксигуанозина в водной среде протекает аналогичным образом^{207, 214}; при реакции в смеси эфира и метанола обнаружены²⁰⁶ продукты замещения по N-1, N-7 и 6-экзо-О.

Способность рибонуклеозидов вступать в реакцию с диазометаном в водно-эфирной среде убывает в ряду²⁰⁴: гуанозин \approx уридин \gg цитидин $>$ аденозин. Аналогичный ряд наблюдается и для четырех дезоксинуклеозидов (тимидин вместо уридина), однако в этом случае дезоксигуанозин реагирует намного быстрее, чем тимидин²⁰⁷.

Метилированные нуклеозиды заметно отличаются по свойствам от неметилированных соединений. Для 7-N-метилдезоксигуанозина характерна крайняя легкость расщепления N-гликозидной связи (см. гл. 8), эта реакция протекает уже в нейтральной среде. В щелочной среде 7-N-метилгуанозин и его производные претерпевают расщепление имидазольного кольца (см. стр. 437). 1-N-Метиладенозин и его производные в щелочной среде перегруппировываются в 6-экзо-N-метилпроизводные (см. стр. 450), 3-метилцитидин в этих условиях легко дезаминируется до 3-метилуридина, который далее расщепляется с раскрытием гетероцикла (см. стр. 455).

Диазометан взаимодействует и с редкими компонентами РНК; наиболее подробно изучена его реакция с инозином²¹⁵⁻²¹⁸. При метилировании 2',3',5'-три-О-ацетилюнозина в спирто-эфирной среде главным продуктом реакции является 1-N-метилюнозин LXXI²¹⁶, наряду с ним образуются значительные количества 7-N-метилюнозина LXXII²¹⁵ и 6-метокси-9-(β-D-рибофуранозил)-пурина LXXIII²¹⁷:

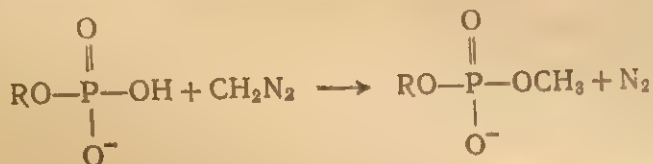


Аналогичные производные были получены при метилировании 2',3'-О-изопропилиденинозина в смеси спирт-диоксан. Однако при реакции с инозином в водном растворе при pH 7 за счет расщепления имидазольного цикла в 7-N-метилюнозине и последующего метилирования образуется также значительное количество 5-(формилметиламино)-6-(D-рибофуранозиламино)-дигидропиримидона-4 LXXIV²¹⁸.

Метилирование псевдоуридина приводит к образованию 1,3-ди-N-метильного производного²¹⁹. При действии на 4-тиоуридин диа-

заметана протекает в основном замещение у атома серы (см. стр. 428).

При переходе от нуклеозидов к нуклеотидам возникает новая побочная реакция — алкилирование по атому кислорода остатка фосфорной кислоты. Реакцию проводят обычно в водных растворах при $\text{pH} \sim 7$. При этом протонирован лишь один из атомов кислорода, и основным продуктом реакции являются фосфодиэфиры²⁰⁴; фосфотриэфиры образуются лишь в незначительных количествах.



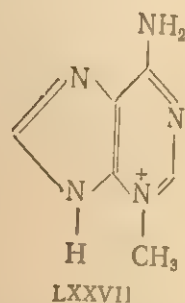
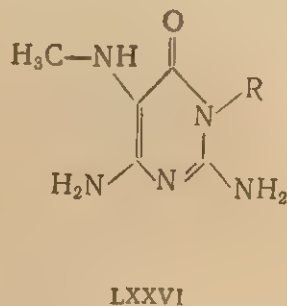
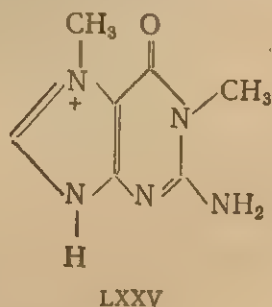
R — различные органические радикалы

Метилирование по остатку фосфорной кислоты является преобладающей реакцией в случае аденозин-5'-фосфата и цитидин-5'-фосфата. При метилировании уридин-5'-фосфата получается²⁰⁴ смесь 3-N-метилуридин-5'-фосфата и уридин-5'-метилфосфата в соотношении 3:2. Близкая картина наблюдается и для гуанозин-5'-фосфата.

О возможности избирательного метилирования гетероциклических оснований в олигонуклеотидах под действием диазометана в литературе имеются противоречивые сведения. Кембриджская группа исследователей при обработке диазометаном ApU, UpA и GrU получила с высоким выходом аденилил-(3'→5')-3-N-метилуридин^{207, 220}, 3-метилуридилил-(3'→5')-аденозин²²⁰ и 7-метилгуанилил-(3'→5')-уридин²²¹. С другой стороны, по данным Голы и Шайта²²², при метилировании ряда олигорибонуклеотидов диазометаном происходит сильное расщепление фосфодиэфирной связи и метилирование по 2'-гидроксильной группе остатка рибозы; при метилировании тимидилил-(3'→5')-тимидина отмечено образование заметных количеств триэфира. В случае ApU авторы последней работы наблюдали метилирование как по остатку урацила, так и по остатку аденина.

При метилировании диазометаном полинуклеотидов всегда наблюдается некоторая деградация полинуклеотидной цепи. Так, по данным английских исследователей, при метилировании полиуридиновой кислоты можно добиться 78%-ного превращения уридиловых звеньев в 3-N-метилуридиновые, однако при этом происходит заметное уменьшение константы седimentации полимера²⁰⁷. При метилировании РНК²²³ и ДНК²²⁴ основным направлением реакции является замещение по остатку гуанина. При проведении реакции с РНК в водно-эфирной среде с последующим кислотным гидролизом в качестве главных метилированных продуктов были

идентифицированы 7-N-метилгуанин (65% от суммы метилированных оснований) и 1-N-метиладенин (27%); в меньших количествах (8%) найдены 3-N-метилцитозин и продукты дальнейшего превращения 7-N-метилгуанина — 1,7-диметилгуанин LXXV, 2,6-диамино-5-метиламинодигидропиримидин-4 LXXVI ($R = H$) и его 3-N-метильное производное LXXVII ($R = CH_3$); 3-N-метиладенин не обнаружен.



Метилирование в аналогичных условиях ДНК из молок лосося с последующим кислотным гидролизом приводит к получению 7-N-метилгуанина (81%) и 3-N-метиладенина LXXVII (19%). 1-N-Метиладенина и 3-N-метилцитозина обнаружено не было. Необычное направление метилирования остатка аденина связано, очевидно, с относительной пространственной недоступностью атома N-1 аденина при двухспиральной структуре полимера.

При обработке диазометаном суспензии РНК в эфире с последующим кислотным гидролизом в качестве метилированных продуктов были выделены 3-N-метилурацил (в основном) и 1-N-метилгуанин²²³ (в меньшем количестве). Побочной реакцией при метилировании РНК и ДНК является расщепление полинуклеотидной цепи, которое в случае РНК происходит, по-видимому, за счет распада фосфотриэфиров (продуктов метилирования по фосфатной группе), а в случае ДНК — в основном за счет легкого отщепления 7-N-метилгуанина и последующей β-элиминации (см. гл. 8 и 10). Таким образом, метилирование диазометаном, по-видимому, непригодно для препаративного получения метилированных полинуклеотидов, но может быть с успехом применено при синтезе метилированных нуклеозидов и нуклеотидов.

Диазоэтан действует аналогично диазометану, хотя степень алкилирования РНК и ДНК под действием этого реагента заметно ниже^{223, 224}. В случае ДНК обработкой при pH 6,8 не удается добиться этилирования; реакцию можно провести при pH 8,0; соотношение 7-N-этилгуанин:3-N-этиладенин в продуктах кислотного гидролиза равно 3:1²²³.

С промежуточным образованием диазометана или метильных катионов связано, по-видимому, эффективное канцерогенное, канце-

III. РЕАКЦИИ
ростатическ
единицей L
дают диазо

$R-N \begin{matrix} \diagup C \\ \diagdown N \end{matrix}$
LXXVIII
Наиболее
соединения
N-нитро
N-метил
N-метил
N-метил
Показан

но в значит
РНК^{232, 233}

диалкилами
и N-метил
вание по
скорость ре
ветствует п
тана или м

Алкилир
происходя
на нуклеи
цесс²³⁶ — де
(см. гл. 6).

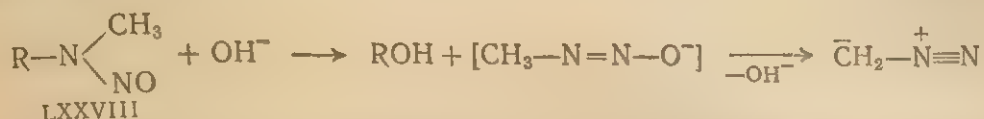
Этилиро
этилоксон
зование ал
шинства ре
растворе. П
си аденози
вергается т

Дейст
и сул

Алкилга
использую
нентов. На
ными реаг
являются
зидами об

* О прод

ростатическое и мутагенное действие ряда N-метил-N-нитрозосоединений LXXVIII, которые, как известно, при действии щелочи дают диазометан:



Наиболее часто используются для исследований следующие соединения этого класса:

- N-нитрозодиалкиламины ($\text{R} = \text{CH}_3, \text{C}_2\text{H}_5$);
- N-метил-N-нитрозомочевина ($\text{R} = \text{CONH}_2$);
- N-метил-N-нитрозоуретан ($\text{R} = \text{COOC}_2\text{H}_5$);
- N-метил-N-нитрозо-*n*-толуолсульфамид ($\text{R} = n\text{-CH}_2\text{C}_6\text{H}_4\text{SO}_2$);
- N-метил-N-нитрозо-N'-нитрогуанидин [$\text{R} = \text{C}(=\text{NH})\text{NHNO}_2$].

Показано, что биологическое действие этих соединений связано в значительной степени с их взаимодействием с ДНК^{225, 231} или РНК^{232, 233}. Основным направлением реакции в случае N-нитрозодиалкиламинов²²⁵, N-метил-N-нитрозо-*n*-толуолсульфама^{234, 352-354} и N-метил-N-нитрозо-N'-нитрогуанидина²³⁴⁻²³⁷ является алкилирование по N-7 остатков гуанина. Для последних двух реагентов скорость реакции возрастает с увеличением pH среды²³⁴, что соответствует предположению о промежуточном образовании диазометана или метильных катионов*.

Алкилирование не является, однако, единственной реакцией, происходящей при действии рассматриваемых нитрозосоединений на нуклеиновые кислоты. Другой протекающий при этом процесс²³⁶ — дезаминирование оснований, содержащих аминогруппу (см. гл. 6).

Этилирование нуклеозидов под действием борфторида триэтилоксония³⁴⁸, возможно, протекает через промежуточное образование алкильных радикалов. Эта реакция в отличие от большинства реакций алкилирования может быть выполнена в водном растворе. При обработке борфторидом триэтилоксония (pH 9) смеси аденозина, гуанозина, цитидина и уридина алкилированию подвергается только уридин.

Действие алкилгалогенидов и эфиров серной и сульфоновых кислот

Алкилгалогениды и эфиры серной и сульфоновых кислот часто используются для алкилирования нуклеиновых кислот и их компонентов. Наиболее подробно изучена реакция метилирования; обычными реагентами для метилирования нуклеозидов и нуклеотидов являются иодистый метил и диметилсульфат: реакцию с нуклеозидами обычно проводят в биполярных апротонных растворителях,

* О продуктах реакции нуклеозидов с N-метил-N-нитрозомочевинной — см.³⁵⁵.

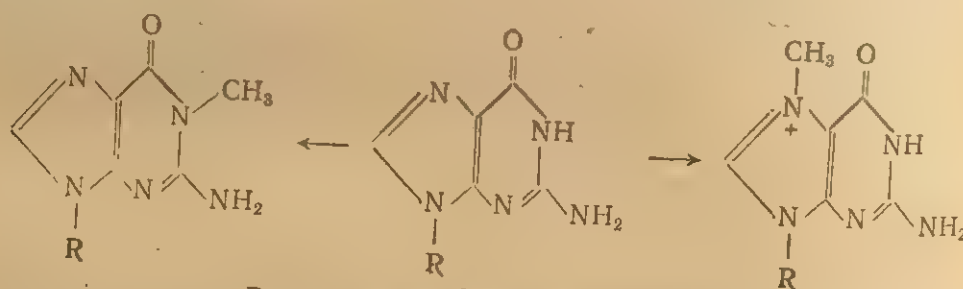
а с нуклеотидами — в водных растворах. Для метилирования полинуклеотидов чаще всего используют диметилсульфат или метилметансульфонат как алкилирующий агент и воду в качестве растворителя.

Взаимодействие этих алкилирующих агентов с гетероциклическими основаниями нуклеиновых кислот протекает, по-видимому, как бимолекулярное нуклеофильное замещение у насыщенного атома углерода:



B — гетероциклическое основание

Естественно, что алкилирование гетероциклического основания (и его производных) протекает при этом по месту наибольшей электронной плотности. Наиболее легко из обычных нуклеозидов подвергаются алкилированию производные гуанозина. Метилирование гуанозина и 2'-дезоксигуанозина иодистым метилом в диметилформамиде²¹⁵ или диметилсульфатом в водном растворе при pH 4^{215, 238} приводит к 7-N-метилгуанозину* или 7-N-метил-2'-дезоксигуанозину. Обработка иодистым метилом в диметилсульфоксиде в присутствии поташа дает 1-N-метилпроизводные²³⁹, при дальнейшем метилировании 1-N-метилгуанозина образуется 1,7-диметилгуанозин.



R — остаток рибозы и дезоксирибозы

Довольно легко подвергаются метилированию под действием рассматриваемых алкилирующих агентов и производные аденозина. Основным продуктом реакции при этом является 1-N-метил-аденозин^{215, 238, 241-243} или его производные; в качестве побочных продуктов идентифицированы 1-N,6-экзо-N-диметиладенозин^{238, 239} и 3,7-N,N-диметиладенин²³⁹. Отмечалось также образование нуклеозидов, которые после расщепления N-гликозидной связи дают 3-N-метиладенин^{243, 244} и 7-N-метиладенин²⁴⁵, однако сами соответствующие нуклеозиды выделены не были. Степень метилирования остатка аденина по N-3 и N-7 невелика: после метилирования дезоксиаденозин-5'-фосфата диметилсульфатом в водном растворе при pH 7 выходы нуклеотидов, превращающихся после кислотного

* В первоначальной работе²³⁸ продукту реакции было неверно приписано строение 1-N-метилгуанозина на основании идентичности с продуктом, полученным метилированием диазометаном (см. стр. 361).

III РЕАКЦИИ
гидролиза в
составили со
Единств
цитидина Д
дин и тимид
вступают*;
тилтимидина
для метилир
Таким об
данными али

Как и в с
нентов нукл
инозина. Пр
единственный
а при действе
1-N-метилино
на десятикрат
приводит к
лиденрибофу
который образ
точно возник

При мети
исходить по
ной группы.

* Микельс
полиуридилово
ствием димети
не проверены
диловой кисло
в водном раст
** Аналог
метилировании
существовании три-н

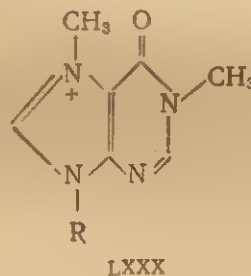
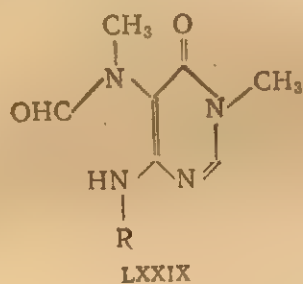
гидролиза в 1-N-метиладенин, 3-N-метиладенин и 7-N-метиладенин, составили соответственно 26; 1,2 и 2,3% ²⁴⁵.

Единственным продуктом, образующимся при метилировании цитидина диметилсульфатом, является 3-N-метилцитидин ²⁴⁶. Уридин и тимидин в обычных условиях метилирования в реакцию не вступают*; образование производных 3-N-метилуридина и 3-N-метилтимидина отмечалось лишь в жестких условиях, применяемых для метилирования гидроксильных групп углеводов ^{249, 250}.

Таким образом, легкость метилирования обычных нуклеозидов данными алкилирующими агентами убывает в ряду



Как и в случае метилирования диазометаном, из редких компонентов нуклеиновых кислот лучше всего изучено метилирование инозина. При действии иодистого метила в диметилсульфоксиде единственным продуктом реакции является 7-N-метилюнозин LXXII, а при действии метил-*n*-толилсульфоната в присутствии поташа — 1-N-метилюнозин LXXI ²¹⁵. Обработка 2',3'-О-изопропилиденинозина десятикратным избытком диметилсульфата в водном диоксане приводит к 3-N-метил-5-(формилметиламино)-6-(2',3'-О-изопропилиденрибофуранозиламино)-дигидропиримидону-4 (LXXIX) ²¹⁸, который образуется, по-видимому, за счет расщепления промежуточно возникающего 1,7-диметилюнозина LXXX**



R — остаток замещенной рибозы

При метилировании данными агентами нуклеотидов может происходить побочная реакция алкилирования по кислороду фосфатной группы. Поскольку нуклеофильность дианиона фосфомоноэфирной группы.

* Микельсон и др. ²⁴⁷ недавно сообщили о количественном метилировании полиуридиневой кислоты до поли-(3-N-метилуридиневой) кислоты под действием диметилсульфата в присутствии три-*n*-бутиламина. Эти условия реакции не проверены пока на мономерах. Метилирование остатков уридина в полиуридиневой кислоте было достигнуто также при действии метилметансульфоната ²⁴⁸ в водном растворе при pH 7.

** Аналогичное строение имеет, по-видимому, соединение, образующееся при метилировании 1-N- или 7-N-метилюнозинов действием диметилсульфата в присутствии три-*n*-бутиламина; ему приписывается строение 1,7-диметилюнозина ²⁵¹

ра значительно выше, чем для моноаниона фосфомоноэфира (или фосфодиэфира), предпочтительно проводить алкилирование нуклеозид-5'-фосфатов при pH около 4, когда эти соединения находятся в виде моноаниона. В этих условиях удалось добиться гладкого превращения аденозин-5'-фосфата в 1-N-метиладенозин-5'-фосфат²⁵². Побочные реакции образования фосфоэфиров подавляются еще сильнее при метилировании двузамещенных пирофосфатов, например P¹-(аденозин-5')-P²-бензилпирофосфата²⁵² или аденозиндифосфатглюкозы²⁵³. Аналогичным путем цитидин-5'-фосфат удается превратить в 3-N-метилцитидин-5'-фосфат¹⁵⁴. Оказалось, что даже при высоких значениях pH степень метилирования по фосфатной группе под действием рассматриваемых алкилирующих агентов невелика. Так, при обработке гуанозин-5'-фосфата иодистым метилом в диметилсульфоксиде в присутствии гидроксида тетрабутиламмония был получен с хорошим выходом 1-N-метилгуанозин-5'-фосфат²⁴⁰; в близких условиях осуществлено превращение инозин-5'-дифосфата в 1-N-метилюинозин-5'-дифосфат²⁴⁰.

При метилировании олигонуклеотидов диметилсульфатом побочные реакции незначительны²⁰⁴, и таким путем, например, удастся гладко провести метилирование остатка аденозина в аденилил-(3'—5')-уридине²⁰⁷ или остатка инозина в уридилил-(3'—5')-инозине²¹⁸. Сообщалось об успешном метилировании полиадениловой^{207, 248, 254, 255}, полицитидиловой^{207, 247, 248}, полигуаниловой²⁵¹ и даже полиуридиловой^{247, 248} кислот; наиболее удобные условия реакции здесь, по-видимому, действие диметилсульфата в водной среде в присутствии три-*n*-бутиламина²⁴⁷. В этих условиях полиинозиновая кислота дает продукт реакции, которому было приписано строение поли-(1,7-диметилюинозиновой) кислоты²⁵¹ (ср. подстрочное примечание на стр. 367); при действии же иодистого метила в водном диметилсульфоксиде образуется поли-(7-метилюинозиновая) кислота.

В природных полинуклеотидах реакционная способность различных гетероциклических оснований по отношению к данным алкилирующим агентам заметно различна. Как видно из данных табл. 5.4, метилирование суммарной РНК под действием метилметансульфоната протекает в основном по N-7 остатков гуанозина, в меньшей степени наблюдается реакция по N-1 остатков аденозина и по N-3 остатков цитидина²⁵⁶ (см. также³⁵³). Близкие результаты, хотя и при значительно меньшей степени алкилирования, получены при метилировании тРНК диметилсульфатом в диметилформамиде^{257, 356, 357}. Можно добиться и специфической модификации остатка гуанозина; например, при метилировании тРНК диметилсульфатом в водной среде при pH 5.0 достигается 50%-ное метилирование по остаткам гуанозина без затрагивания других нуклеозидов²⁴⁷. При алкилировании фенилаланиновой тРНК из дрожжей

действием
рых метили
динуклеоти

Таблица 5.4.
метилметансу

Продукты реакции
водной среде

Исход

Суммарная Р
Суммарная Р
Нативная ДН
Та же ДНК

* От сум
** Помин
(0,5% и 6-эк

Еще б
ДНК, особ
плекса. Пр
зна суще
образом п
чениями,
80%-ной
ния други
Модиф

применена
метилиров
выдержив
тилгуанин
щеплена
В случае
специфич
дифира
щепляется
а 3'-фос
гуанозина
принцип
(см. гл. 1
Втори
ции мети

действием диметилсульфата удалось подобрать условия, в которых метилируются лишь пять остатков гуанозина в молекуле полинуклеотида³⁵⁸.

Таблица 5.4. Метилирование РНК и ДНК под действием метилметансульфоната²⁵⁶

Продукты реакции после кислотного гидролиза
(водная среда, pH 7,2; 37° C)

Исходный полинуклеотид	Состав оснований *, %			
	7-N-метил-аденин	1-N-метил-аденин	3-N-метил-аденин	3-N-метил-цитозин
Суммарная РНК из дрожжей **	64	23	—	12
Суммарная РНК из печени крыс	71	16	1	12
Нативная ДНК из спермы лосося	86	5	9	—
Та же ДНК, но денатурированная	63	31	6	—

* От суммы метилированных оснований.

** Помимо указанных метилированных оснований обнаружены также 3-N-метилурацил (0,5%) и 6-экзо-N-метиладенин (1%).

Еще большая избирательность реакции наблюдается в случае ДНК, особенно при использовании нативного двухцепочечного комплекса. При этом реакционная способность остатка дезоксиаденозина существенно изменяется и метилирование происходит главным образом по N-3²⁵⁶; это связано, очевидно, со стерическими ограничениями, налагаемыми вторичной структурой. Удастся добиться 80%-ной модификации остатков дезоксигуанозина без затрагивания других нуклеозидов²⁴⁷.

Модификация полинуклеотидов диметилсульфатом может быть применена для исследования первичной структуры. Специфическое метилирование по остатку дезоксигуанозина в ДНК и последующее выдерживание в нейтральной среде приводит к отщеплению 7-метилгуанина; образующаяся «дегуаниловая ДНК» может быть расщеплена на блоки с помощью β-элиминации²⁴⁷ (см. гл. 1 и 10). В случае РНК метилирование можно использовать для повышения специфичности ферментативного расщепления, так как 3'-фосфодиэфирная связь, образуемая остатком 3-N-метилцитидина, не расщепляется под действием панкреатической пиримидил-РНК-азы, а 3'-фосфодиэфирная связь, образуемая остатком 7-N-метилгуанозина, — под действием гуанил-РНК-азы T₁. Последний принцип был использован при установлении структуры 5S РНК (см. гл. 1).

Вторичная структура ДНК сильно влияет на протекание реакции метилирования под действием алкилирующих агентов (см.

табл. 5.4); в образующемся продукте двухспиральная структура сохраняется, хотя T_m такой модифицированной ДНК заметно снижается по сравнению с исходной ДНК²⁴⁷. Защита остатков аденина и цитозина от действия метилирующих агентов наблюдается и в случае комплексов полирибонуклеотидов²⁴⁷. Так, двухцепочечный комплекс (поли-А)·(поли-У) устойчив к действию диметилсульфата, а комплекс (поли-Г)·(поли-С) метилируется этим агентом только по остаткам гуанозина. Менее устойчивый комплекс (поли-И)·(поли-С) полностью разрушается и метилируется в этих условиях. Вторичная структура одноцепочечных полинуклеотидов, стабилизированная за счет межплоскостных взаимодействий (например, в случае полиадениловой кислоты), сильно изменяется после метилирования метилметансульфонатом²⁵⁸. Возможно, что функция метилированных нуклеозидов — редких компонентов РНК (см. гл. 1) — и состоит в определенном изменении вторичной структуры полимера, необходимом для его биологического функционирования.

Ряд исследований был посвящен изучению влияния метилирования на биологические свойства полинуклеотидов: наблюдалось изменение способности синтетических полирибонуклеотидов направлять синтез полипептидов²⁵⁴, инактивация тРНК²⁵⁷, мутагенный эффект при действии на ДНК или РНК вирусов. В случае ДНК биологическое действие связано, по-видимому, с отщеплением 7-N-метилгуанина (см. гл. 8).

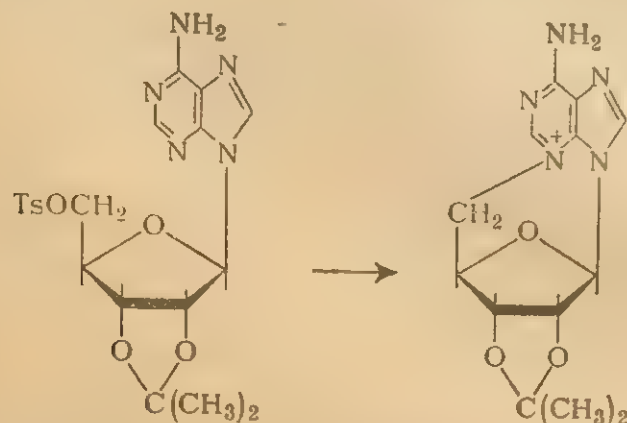
Алкилирование нуклеозидов, нуклеотидов и полинуклеотидов под действием других алкилирующих агентов рассматриваемого типа изучено гораздо слабее. При действии диэтилсульфата на гуанозин наблюдается алкилирование по N-7²⁵⁹. Продукты, получаемые при реакции этилметансульфоната с ДНК, аналогичны продуктам, образующимся с метилметансульфонатом, но реакция протекает медленнее²⁵⁸. При взаимодействии гуанозина, аденозина и цитидина с бромистым бензилом в диметилацетамиде при 37°C были получены 7-N-бензилгуанозин, 1-N-бензиладенозин и 3-N-бензилцитидин²⁶⁰; в более жестких условиях (действие бензилбромида в диметилформамиде или диметилсульфоксиде в присутствии гидроксида натрия) происходит²⁶¹ бензилирование и уридина с образованием смеси 3-бензилуридина и 3,2'-добензилуридина*.

Исследовано также действие бифункциональных реагентов этой группы например 1,4-ди-О-(метансульфонил)-бутандиола²⁵⁹; продукты, образующиеся при этом, аналогичны продуктам, полученным с другими бифункциональными реагентами (см. стр. 378).

При нагревании 5'-О-тозилатов производных аденозина²⁶², гуанозина²⁶³ и инозина²⁶³ происходит внутримолекулярное алкили-

* О взаимодействии рибонуклеозидов и РНК с аллилбромидом см. ²⁵⁹.

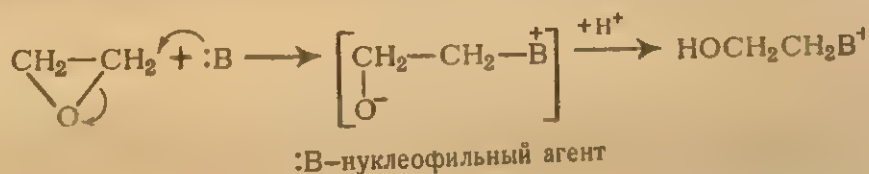
рование пуринового ядра по N-3 с образованием 3,5'-циклонуклеозидов:



Такие соединения были использованы при доказательстве конфигурации гликозидной связи в природных пуриновых нуклеозидах и для исследований конформации пуриновых нуклеозидов в растворах (см. гл. 2). Недавно обнаружено, что при взаимодействии нуклеозидов с гидроксиламин-О-сульфоновой кислотой $\text{NH}_2\text{OSO}_3\text{H}$ происходит N-аминирование гетероциклического ядра. Эта реакция, осуществленная первоначально на примере урацила^{349, 350}, была использована для синтеза 1-аминоинозина и 1-аминогуанозина из соответствующих нуклеозидов³⁵¹.

Действие α -окисей и β -лактонов

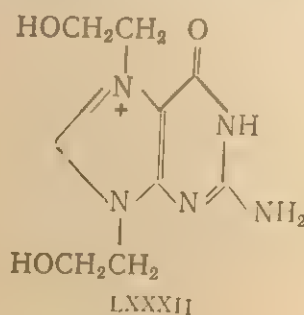
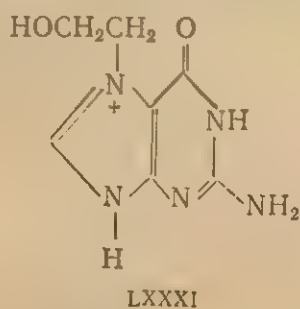
Как известно, α -окиси чрезвычайно легко раскрываются под действием нуклеофильных агентов, причем реакция протекает по бимолекулярному механизму:



Гетероциклические основания нуклеиновых кислот являются достаточно эффективными нуклеофильными агентами для участия в такой реакции. Как и в реакциях, рассмотренных в предыдущем разделе, алкилирование в данном случае происходит по атому азота, обладающему наибольшей электронной плотностью.

Взаимодействие гуанозина с окисью этилена при нагревании в диметилформамиде приводит к 7-N-(β -оксиэтил)-гуанину LXXXI²⁵⁹. Тот же продукт наряду с 7,9-ди-(β -оксиэтил)-гуанином

LXXXII образуется и при обработке дезоксигуанозина окисью этилена в значительно более мягких условиях (рН 7; 25°С).⁶¹ Таким образом, алкилирование по N-7 производных гуанозина сопровождается быстрым гидролизом гликозидной связи, вследствие чего первичный продукт реакции выделить не удается.



Алкилирование аденозина под действием окиси этилена гладко протекает в водном растворе при рН 6,5 и комнатной температуре²⁶⁵ (время полупревращения в этих условиях составляет ~13,5 ч). Продукт реакции идентифицирован как 1-N-(β-оксиэтил)-аденозин. При взаимодействии с аденозин-5'-трифосфатом происходит побочная реакция: алкилирование по остатку фосфорной кислоты. При этом в реакцию вступает лишь фосфомоноэфирная группа; фосфодиэфиры в этих условиях не алкилируются, и в двузамещенном пирофосфате — никотинамидадениндинуклеотиде — реакция протекает только по N-1 остатка аденина. Скорость реакции уридина с окисью этилена²⁶⁶ возрастает при увеличении рН; это связано, очевидно, с участием в реакции аниона нуклеозида. При рН 8—9 реакция заканчивается за 2 дня. Первичный продукт реакции 3-N-(β-оксиэтил)-уридин подвергается дальнейшему алкилированию по гидроксильным группам остатка рибозы. При взаимодействии с окисью этилена уридин-5'-фосфата образуется 3-N-(β-оксиэтил)-уридин-5'-(β-оксиэтил)-фосфат. Реакция окиси этилена с цитидином не изучалась, однако при реакции с 1-N-метилцитозином²⁶⁷ первоначально образуется 1-N-метил-3-N-(β-оксиэтил)-цитозин, который претерпевает дальнейшее алкилирование с образованием 1-N-метил-3,4-экзо-N-ди-(β-оксиэтил)-цитозина; последний легко дезаминируется до 1-N-метил-3-N-(β-оксиэтил)-урацила.

Таким образом, окись этилена является неспецифическим алкилирующим агентом и легко взаимодействует в мягких условиях со всеми основными компонентами нуклеиновых кислот. Однако при взаимодействии ее с РНК вируса табачной мозаики были обнаружены только продукты алкилирования гуанозина²⁶⁸.

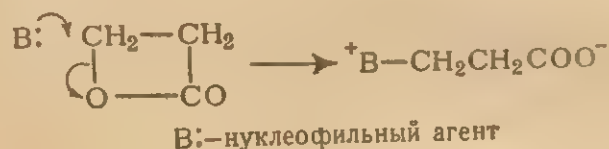
Иные результаты были получены при изучении взаимодействия нуклеозидов с окисью пропилена. По данным Пошона и Микельсона²⁴⁷, этот реагент при рН 6,0 и 5°С не затрагивает аденозин

и цитидин. В то же время уридин и тимидин быстро превращаются в этих условиях в соответствующие 3-N-(β-оксипропил)-производные; несколько медленнее реагирует гуанозин, образуя продукт неустойчивого строения. Очень легко вступает в реакцию инозин; строение получающегося продукта также не было доказано. Окись пропилен была использована для модификации ряда полинуклеотидов^{247, 268}.

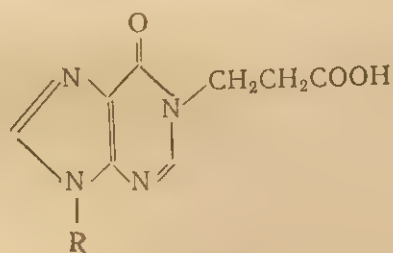
Действие диоксида бутадиена на гуанозин²⁵⁹ приводит, как и в случае других дизамещенных алкилирующих агентов, к смеси 7-N-алкилгуанина и бис-(гуанил)-производного (см. стр. 378).

α-Окись акролена является специфическим модифицирующим реагентом для гуанозина. В реакции участвует группировка $=C(NH_2)NH-$ гетероциклического ядра; под действием эпоксидной группы реагента происходит алкилирование по N-1. Эта реакция будет подробнее рассмотрена на стр. 412.

β-Лактоны реагируют с нуклеофильными агентами почти так же легко, как α-окиси:

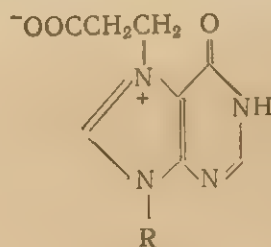


Было изучено взаимодействие простейшего представителя этого класса соединений, β-пропиолактона с производными гуанозина, дезоксигуанозина и инозина. Как и в случае окиси этилена, из продуктов реакции с гуанозином²⁶⁹, дезоксигуанозином²⁷⁰ и дезоксигуанозин-5'-фосфатом^{269, 270} удалось выделить лишь алкилированные основания: 7-N-(β-карбоксиэтил)-гуанин и 7,9-бис-(β-карбоксиэтил)-гуанин. При реакции с инозин-5'-фосфатом²⁷¹ направление алкилирования зависит от pH: в щелочной среде образуется 1-N-(β-карбоксиэтил)-инозин-5'-фосфат LXXXIII, в кислой — соответственно 7-N-(β-карбоксиэтил)-инозин-5'-фосфат LXXXIV:



LXXXIII

R — остаток рибозы



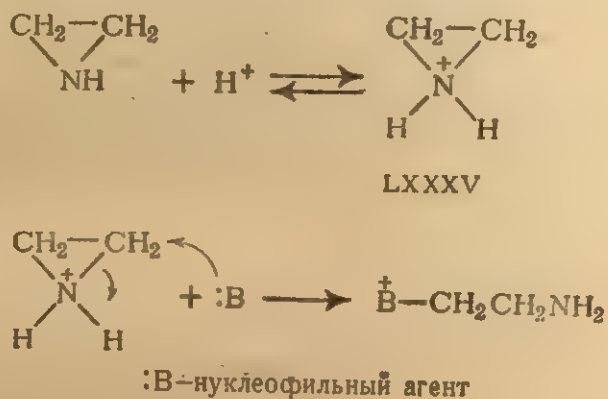
LXXXIV

Алкилирование ДНК под действием β-пропиолактона протекает по остаткам дезоксигуанозина²⁶⁹.

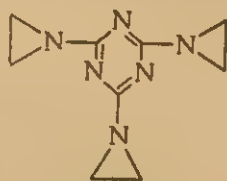
Действие эпиминов

Этиленимин и его производные обладают сильным мутагенным действием, многие противоопухолевые препараты относятся к этому классу соединений. Тем не менее взаимодействие эпиминов с нуклеиновыми кислотами изучено довольно слабо.

Как известно, эпимины, реакции которых в общем сходны с реакциями α -окисей, труднее поддаются атаке нуклеофильными агентами, и их реакции протекают обычно через промежуточное образование иммониевого иона LXXXV;



В слабощелочной среде обычные компоненты РНК не взаимодействуют с этиленимином, и при его действии на тРНК удается добиться специфической модификации по остаткам 4-тиоуридина (см. стр. 430). В нейтральной или слабокислой среде происходит алкилирование ДНК по остаткам дезоксигуанозина²⁷². При реакции дезоксигуанозина с триэтиленмеламином LXXXVI образуются два вещества, первому из которых на основе данных УФ-спектра и хроматографической подвижности была приписана структура соответствующего 7-N-алкилдезоксигуанозина, а второму — структура 7-N-алкилгуанина. Другие нуклеозиды с триэтилмеламином в исследованных условиях в реакцию не вступали*.

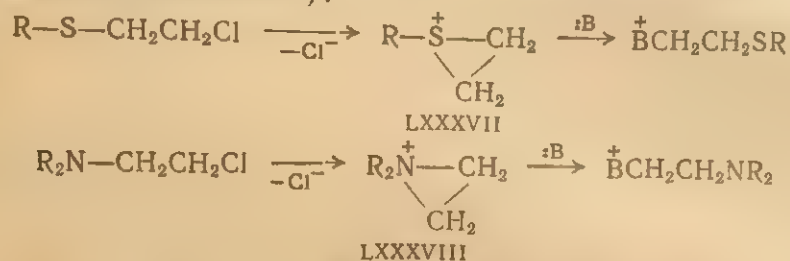


LXXXVI

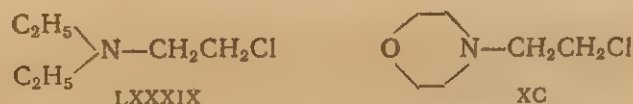
* В более ранней работе²⁷³ утверждалось, напротив, что в реакцию с триэтиленмеламином вступают только пиримидиновые, но не пурриновые нуклеозиды.

Действие монозамещенных (β-хлорэтил)-аминов и (β-хлорэтил)-сульфидов

Монозамещенные (β-хлорэтил)-амины и (β-хлорэтил)-сульфиды чрезвычайно легко взаимодействуют с нуклеофильными агентами. Реакция протекает через промежуточное образование циклического сульфониевого LXXXVII или циклического иммониевого LXXXVIII ионов, аналогичных иону LXXXV (промежуточному продукту при алкилировании эпиминами):



Как и эпимины, соединения этой группы, особенно дизамещенные (см ниже), являются чрезвычайно эффективными мутагенами и обладают противоопухолевой активностью. Качественно картина алкилирования компонентов нуклеиновых кислот под действием (β-хлорэтил)-аминов и (β-хлорэтил)-сульфидов сходна с наблюдаемой при реакции с диалкилсульфатами, т. е. наиболее реакционноспособным из обычных компонентов является гуанозин и в нейтральной среде алкилирование протекает по N-7^{274, 275}. Для монофункциональных азотистых ипритов LXXXIX и XC



было проведено детальное исследование кинетики реакции и структуры продуктов, получающихся при взаимодействии с нуклеозидами, нуклеотидами и полинуклеотидами²⁷⁶.

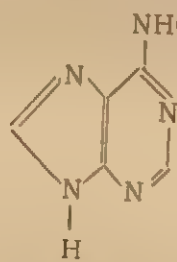
С реагентом LXXXIX скорость циклизации с образованием иона LXXXVIII значительно превосходит скорость последующего алкилирования; при реакции с реагентом XC циклизация является стадией, определяющей суммарную скорость процесса.

Ниже сопоставляется относительная реакционная способность некоторых нуклеозидов при их взаимодействии с диэтил-(β-хлорэтил)-амином LXXXIX (pH 7, 40° C)²⁷⁶:

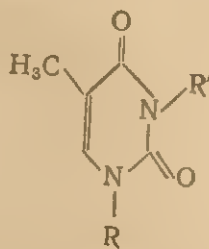
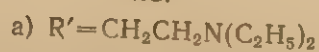
	Эффективность алкилирования *
Гуанозин	3000
Аденозин	850
Дезоксицитидин	500—600
Тимидин	40

* Отношение констант скоростей реакции алкилирования катиона LXXXVIII (R=C₂H₅) и реакции его гидролиза (вторая константа в условиях опыта равна 2·10⁻⁸ сек⁻¹).

Как видно из этих данных, реакционная способность нуклеозидов по отношению к LXXXIX падает в ряду гуанозин > аденозин > дезоксицитидин > тимидин. Аналогичная картина наблюдается и для других алкилирующих агентов (за исключением диазометана). Большинство выделенных после реакции веществ соответствует ожидаемым продуктам алкилирования (после кислотного гидролиза были получены 7-N-алкилгуанин, 3-N-алкилцитозин и 3-N-алкилтимин) или продуктам упомянутых выше побочных реакций — раскрытия имидазольного цикла в алкилгуанозине (см. стр. 362, подробнее стр. 437) или расщепления гликозидной связи и последующего алкилирования (7,9-диалкилгуанин). Имеются, однако, и интересные исключения. После кислотного гидролиза продуктов реакции LXXXIX с аденозином и его производными 1-N-(диэтиламиноэтил)-аденин не был обнаружен, а найден лишь 6-экзо-N-диэтиламиноэтиладенин ХСІ. Образование последнего соединения можно объяснить легкой перегруппировкой первичного продукта реакции (см. стр. 450), которая в данном случае легко протекает уже при pH 7 за счет внутримолекулярного катализа под действием диэтиламиногруппы алкильного заместителя. Алкилирование тимидина LXXXIX дает помимо нормального продукта реакции ХСІа также соединение ХСІІб, возникающее в результате дальнейшего алкилирования аминогруппы в боковой цепи.



ХСІ

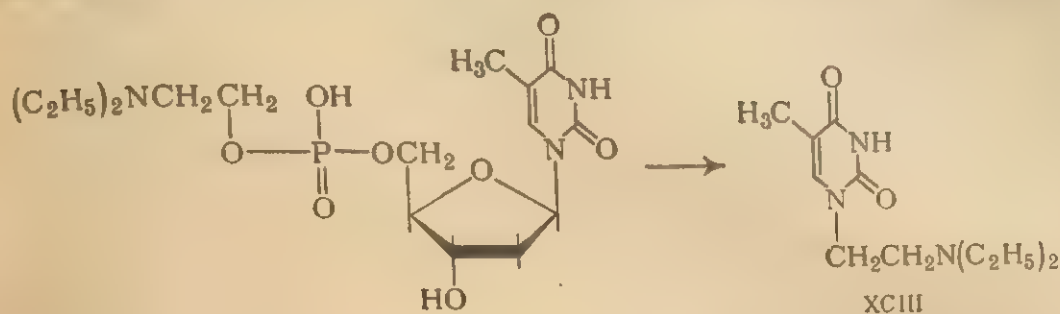


ХСІІ

R — остаток дезоксирибозы

При алкилировании нуклеотидов происходит в заметной степени и побочная реакция замещения по фосфатным группам; соответствующие продукты, однако, не были выделены, и об их образовании судили лишь по увеличению скорости распада алкилирующего агента. При алкилировании тимидин-5'-фосфата наряду с продуктами, аналогичными ХСІа и ХСІІб, отмечено неожиданное образование 1-N-(диэтиламиноэтил)-тимина ХСІІІ. Предполагается, что это соединение возникает за счет первоначального алкилирования по фосфатной группе и последующего внутримолеку-

лярного переноса алкильного остатка с расщеплением N-гликозидной связи.

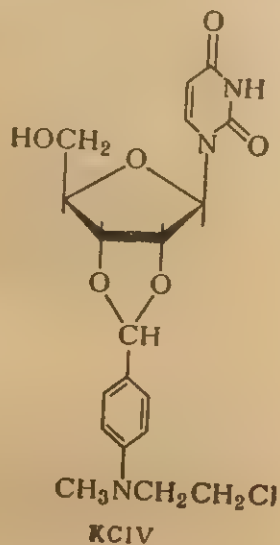


При переходе от нуклеозидов и мононуклеотидов к полинуклеотидам скорость реакции с монозамещенными азотистыми ипритами увеличивается. Так, алкилирование остатков аденозина в полиадениловой кислоте протекает приблизительно в 2,5 раза быстрее, чем в нуклеозиде. При проведении реакции с денатурированной ДНК образуются приблизительно равные количества продуктов алкилирования гуанина и аденина, в случае же нативного двухцепочечного полимера первоначально алкилируется только гуанин. При этом алкилирование остатков гуанина в денатурированной ДНК протекает приблизительно в 7 раз быстрее, а в нативной ДНК — почти в 50 (!) раз быстрее, чем алкилирование гуанозина. Причины столь резкого повышения реакционной способности при переходе от мономера к полимеру не ясны. Этот эффект может возникать за счет локального повышения концентрации реагента вследствие полианионных свойств ДНК или он может быть связан с изменением электронных свойств остатка основания за счет межплоскостных взаимодействий.

Высокая эффективность монозамещенных производных иприта и азотистого иприта как алкилирующих агентов для полинуклеотидов и относительно узкая специфичность реакции позволяют предполагать, что этот тип алкилирующих агентов может быть успешно использован для химической модификации нуклеиновых кислот. Предложено применение диэтил-(β-хлорэтил)-амин для «метки» положения остатков гуанина вдоль цепей и их последующего детектирования в ДНК с помощью электронной микроскопии²⁷⁷.

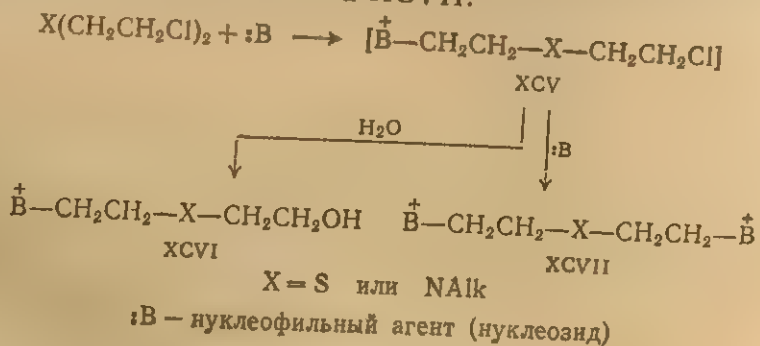
Для повышения избирательности алкилирования полинуклеотидов разрабатываются модифицирующие агенты, содержащие «адресующую группу»²⁷⁸, т. е. остаток моно- или олигонуклеотида, который за счет комплементарного взаимодействия с определенным участком полинуклеотидной цепи направлял бы действие алкилирующего агента по данному месту цепи. Примером подобного реагента может служить *n*-[N-(β-хлорэтил)-N-метиламино]-бензилиденуридин XCIV²⁷⁹; получены также аналогичные производные

уридин-5'-метилфосфата²⁸⁰, UpU, dTpU и dTpдTpU²⁸¹⁻²⁸². Эти соединения, так же как и простые ацетали *n*-[N-(β-хлорэтил)-N-метиламино]-бензальдегида, оказались способными проводить алкилирование остатка гуанозина в тРНК²⁸³⁻²⁸⁶. Однако вопрос о том, насколько повышается специфичность алкилирования при введении в молекулу реагента «адресующей группы», остается пока невыясненным.



Действие ди- и тризамещенных алкилирующих агентов

Наиболее известными реагентами данного типа являются иприт и дизамещенный азотистый иприт. Первичными продуктами при взаимодействии реагентов такого типа с нуклеозидами являются, очевидно, соответствующие β-хлорэтилтиоэтил- и β-хлорэтилалкиламиноэтилнуклеозиды типа XCV, которые в дальнейшем могут либо гидролизоваться до соответствующих β-оксиэтильных производных XCVI, либо алкилировать вторую молекулу нуклеозида с образованием продуктов типа XCVII:



Алкилирование гуанина) или ди-(β-хлорэтил)-N-метиламино] бензальдегида, оказались способными проводить алкилирование остатка гуанозина в тРНК. Однако вопрос о том, насколько повышается специфичность алкилирования при введении в молекулу реагента «адресующей группы», остается пока невыясненным.

Таблица 5.5.
и азотистых и
на 1 моль фо

(ClCH₂CH₂)₂S

(ClCH₂CH₂)₂N

(ClCH₂CH₂)₂N

(ClCH₂CH₂)₂N

(ClCH₂CH₂)₂N

(ClCH₂CH₂)₃N

(ClCH₂CH₂)₃N

(ClCH₂CH₂)₃N

(ClCH₂CH₂)₃N

(ClCH₂CH₂)₃N

(ClCH₂CH₂)₃N

(ClCH₂CH₂)₃N

(ClCH₂CH₂)₃N

(ClCH₂CH₂)₃N

(ClCH₂CH₂)₃N

(ClCH₂CH₂)₃N

(ClCH₂CH₂)₃N


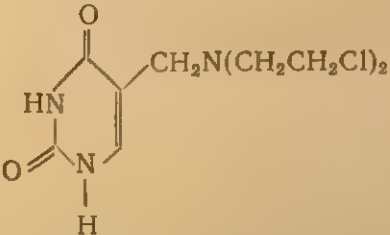
(ClCH₂CH₂)₃N

(ClCH₂CH₂)₃N

(ClCH₂CH₂)₃N

Алкилированные основания XCVI и XCVII (В — остаток 7-N-гуанина) были получены после обработки гуанозина ипритом²⁷⁴ или ди-(β-хлорэтил)-метиламином²⁵⁹. При алкилировании такими агентами полинуклеотидов реакция направляется в первую очередь по остаткам гуанина. При обработке ДНК азотистыми ипритами с последующим мягким кислотным гидролизом из образовавшихся продуктов, наряду с 7-N-алкилгуанинами и ди-(гуанил-7-N)-этилпроизводными²⁷⁵, было обнаружено небольшое количество соединений, аналогичных по УФ-спектрам 7-N-алкилгуанинам, но отличающихся заметно большей основностью²⁸⁷. Строение этих последних продуктов не было доказано, но возможно, что они возникают за счет дальнейшего алкилирования третичного азота в боковой цепи (подобно ХСIIа и ХСIIб). Было найдено также небольшое количество соединений, являющихся, по-видимому, продуктами алкилирования аденина, однако строение их опять-таки не доказано²⁸⁷.

Таблица 5.5. Алкилирование ДНК тимуса теленка под действием иприта и азотистых ипритов (рН 7,5; 2,4 моль алкилирующего агента на 1 моль фосфатных групп ДНК)²⁸⁷

Реагент	Время реакции, ч	Степень алкилирования гуанина *, %	Состав оснований производных гуанина **, %			
			гуанин	7-N алкил-гуанин XCVI	производное XCVII	неидентифицированный продукт алкилирования
(ClCH ₂ CH ₂) ₂ S	0,67	30	13,0	6,0	2,6	—
	3	54	8,4	6,4	3,6	—
(ClCH ₂ CH ₂) ₂ NH	1,5	18	17,7	1,1	2,2	0,8
(ClCH ₂ CH ₂) ₂ NCH ₃	1,5	53	10,3	3,7	6,3	1,1
	6	18	15,0	1,6	1,8	—
(ClCH ₂ CH ₂) ₃ N	1,5	73	5,9	4,1	10,2	2,3
	1,5	61	9,3	3,0	9,3	2,3

* От суммы всех оснований в полинуклеотиде.

** От суммы гуанина и его метилированных производных в продуктах реакции после кислотного гидролиза.

Взаимодействие иприта и азотистых ипритов с полинуклеотидами протекает чрезвычайно быстро и в мягких условиях²⁸⁸ (табл. 5.5). Продукты алкилирования ДНК уже при нейтральных рН могут разлагаться с расщеплением N-гликозидной связи²⁸⁷. После обработки щелочью они претерпевают расщепление имидазольного цикла (см. стр. 437), что приводит к повышению устойчивости N-гликозидной связи²⁸⁹.

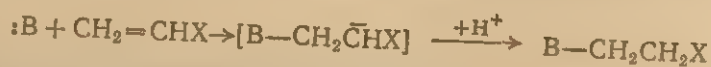
При алкилировании ДНК под действием иприта бис-(гуанил)-этильные производные образуются за счет остатков гуанина, содержащихся в различных цепях двухцепочечного комплекса^{275, 290}. Вследствие этого уже при очень малой степени алкилирования ДНК теряет способность к денатурации с полным расхождением цепей. Аналогичная картина наблюдается и в начальной стадии реакции ДНК с бис-(β-хлорэтил)-метиламином²⁹¹. При более высокой степени алкилирования производные типа ХСVII, по-видимому, образуются в заметно больших количествах за счет алкилирования соседних остатков гуанина в одной и той же полинуклеотидной цепи²⁸⁸.

Было исследовано взаимодействие полинуклеотидов и с дизаменными алкилирующими реагентами других типов. Алкилирование гуанозина²⁵⁹ и ДНК²⁹⁰ под действием диокси бутадиена дает после кислотного гидролиза смесь 7-N-(β, γ, δ-триоксибутил)-гуанина и α,δ-ди-(гуанил-7-N)-β,γ-бутандиола. При обработке ДНК низкими концентрациями последнего реагента и бис-(β,γ-эпокси)-пропилового эфира двухцепочечный комплекс ДНК теряет способность к денатурации²⁹¹.

1,4-Димезилоксибутан, применяющийся как противоопухолевое средство (милеран), намного менее эффективен в качестве агента, вызывающего алкилирование и ковалентное соединение цепей ДНК^{275, 291}, чем указанные выше агенты. В этом случае при реакции с РНК и ДНК после кислотного гидролиза были обнаружены 7-N-(δ-оксибутил)-гуанин и α,δ-ди-(гуанил-7-N)-бутан²⁷⁵.

2. Взаимодействие с реагентами, содержащими поляризованные C=C-связи

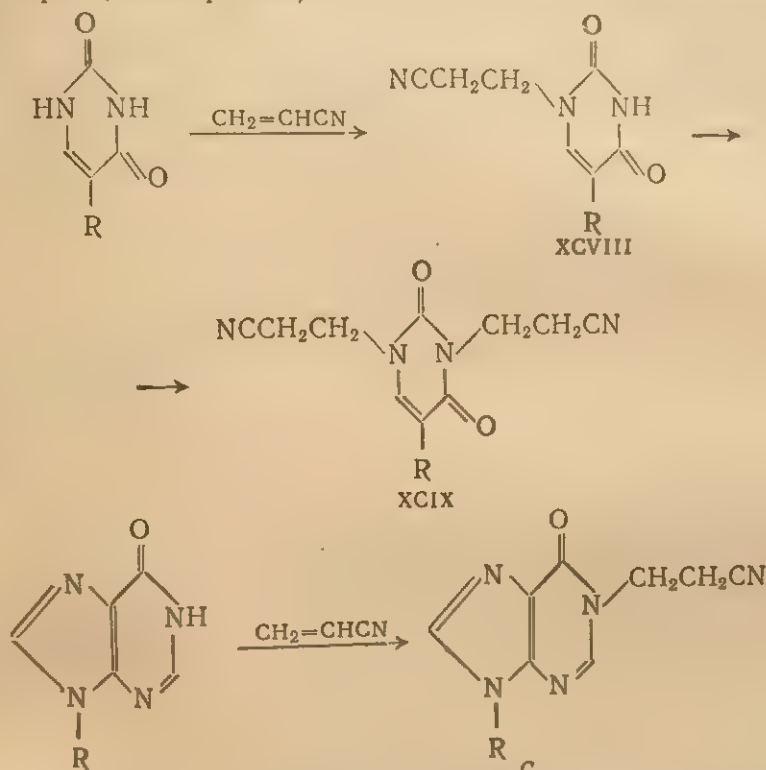
Как известно, олефины, содержащие сильные электроноакцепторные заместители, достаточно легко вступают в реакции нуклеофильного присоединения:



В качестве нуклеофильных агентов в такого рода реакциях могут выступать и некоторые нуклеозиды и нуклеотиды, причем в результате обычно образуются продукты, содержащие группировку $-CH_2CH_2X$ у атома азота гетероциклического кольца. Из реакций такого типа лучше всего изучено взаимодействие нуклеозидов и нуклеотидов с акрилонитрилом²⁹²⁻²⁹⁵. Эта реакция проте-

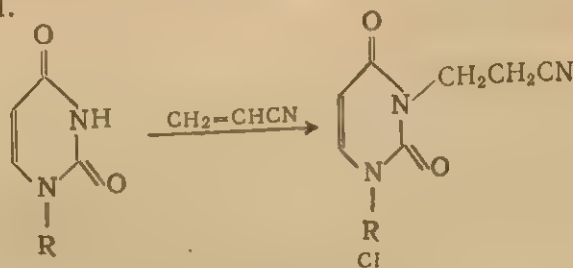
кает в мягких условиях и может быть легко применена для модификации полинуклеотидов.

Легче всего взаимодействуют с акрилонитрилом редкие компоненты тРНК — псевдоуридин²⁹²⁻²⁹⁵, инозин^{294 295} и 4-тиоуридин²⁹⁵; реакция гладко протекает уже в слабощелочной среде. Из псевдоуридина образуется 1-цианэтилпсевдоуридин XCVIII, который в дальнейшем медленно превращается в 1,3-дицианэтильное производное XCIX. Продуктом реакции с инозином является 1-цианэтил-инозин C; в случае же 4-тиоуридина цианэтирование протекает по атому серы (см. стр. 428).



R — остаток рибозы

Из обычных компонентов РНК в этих условиях с акрилонитрилом взаимодействует лишь уридин²⁹²⁻²⁹⁵, давая 3-цианэтильное производное CI.



R — остаток рибозы

Эта реакция протекает, однако, заметно медленнее, чем реакция с упомянутыми выше редкими компонентами; еще медленнее реагируют 5-метилуридин (риботимидин)²⁹⁵ и тимидин²⁹⁷. Цитидин, аденозин и гуанозин не подвергаются цианэтированию со азоту гетероциклического ядра. В сильнощелочной среде или при очень длительном выдерживании при pH 8,5 они все же дают небольшое количество продуктов реакции, являющихся, по-видимому, О-цианэтильными производными — за счет реакции по гидроксильным группам остатка сахара.

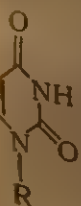
Скорость реакции нуклеозидов с акрилонитрилом сильно зависит от величины pH среды. При детальном исследовании кинетики этой реакции обнаружено, что цианэтированию подвергается только анион нуклеозида, обладающий значительно большей нуклеофильностью, чем неионизованная форма. Константы скорости взаимодействия акрилонитрила с рядом нуклеозидов (k) и их анионами [$k_{ан} = k(1 + 10^{pK_a - pH})$] приведены в табл. 5.6.

Таблица 5.6. Константы скорости псевдопервого порядка реакции взаимодействия акрилонитрила с нуклеозидами и их анионами (1 М раствор акрилонитрила, 0,05 М карбонат-бикарбонатный буфер, 30° С)²⁹⁵

Нуклеозид	$k \cdot 10^3$ (при pH 9,3), мин ⁻¹	$k_{ан} \cdot 10^3$, мин ⁻¹	Нуклеозид	$k \cdot 10^3$ (при pH 9,3), мин ⁻¹	$k_{ан} \cdot 10^3$, мин ⁻¹
Псевдоуридин	11,1	16,3	Тимидин . .	0,12	0,48
Инозин	12,5	16,8	Аденозин . .	0,12	—
4-Тиоуридин .	4,6	4,85	Гуанозин . .	~0,07	—
Уридин	0,39	0,73	Цитидин . .	~0,08	—
5-Метилуридин	0,15	0,47			

Как видно из приведенных данных, модификация нуклеозидов под действием акрилонитрила весьма специфична и протекает в мягких условиях, исключающих разрыв фосфодиэфирной связи. Это позволяет применить рассматриваемую реакцию для изучения вторичной структуры тРНК и для функциональных исследований.

Скорость модификации остатков псевдоуридина в тРНК зависит от вторичной структуры полимера. При взаимодействии акрилонитрила с суммарной тРНК из дрожжей в диметилсульфоксиде, содержащем 10—50% воды, степень модификации псевдоуридина в стандартных условиях увеличивается по мере увеличения содержания воды²⁹⁶, что связано с изменением вторичной структуры. Параллельно происходит уменьшение акцепторной активности тРНК из дрожжей. При модификации тРНК в смеси воды и диметилформамида в присутствии хлористого натрия в реакцию всту-



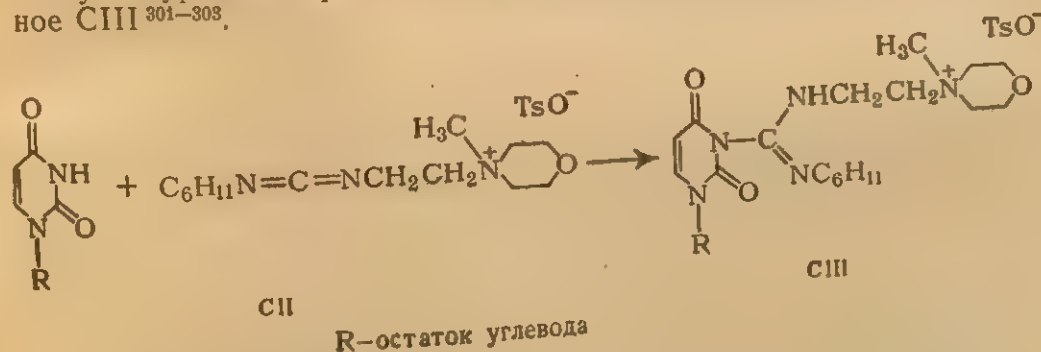
Показан
гуанозина 3
псевдоурид

падет приблизительно $1/3$ остатков псевдоуридина²⁹⁷; в присутствии хлористого магния скорость реакции с псевдоуридином заметно уменьшается и можно подобрать условия, при которых происходит лишь селективная модификация по остаткам инозина. Различие в реакционной способности остатков псевдоуридина в тРНК по отношению к действию акрилонитрила было показано и при модификации индивидуальной аланиновой тРНК из дрожжей²⁹⁸, содержащей 1 остаток инозина и 2 остатка псевдоуридина. В этом случае цианэтилирование протекает в первую очередь по остатку инозина, а затем по остатку псевдоуридина, не входящему в «универсальную» для всех тРНК последовательность рGrTrΨpC (см. стр. 291). Специфическая модификация тРНК по остаткам инозина и псевдоуридина по-разному влияет на их способность акцептировать аминокислоты и связываться с рибосомами в присутствии соответствующих тринуклеозиддифосфатов^{298, 299}.

Аналогично акрилонитрилу взаимодействуют с инозином и некоторые другие производные акриловой кислоты. При реакции 2',3'-О-изопропилиденинозина с метилакрилатом и акриловым ангидридом были получены соответственно 1-карбметоксиэтил- и 1-карбоксиэтил-2',3'-О-изопропилиденинозины³⁰⁰. Обработка акриловым ангидридом 2',3'-О-изопропилиденуридина и тимидина приводит лишь к соответствующим 5'-О-акрилоилпроизводным.

3. Взаимодействие с реагентами, содержащими связи C = N

Единственной известной реакцией такого типа является взаимодействие нуклеозидов с солями N-циклогексил-N'-(метилморфолий)-этилкарбодиимида CII. В реакцию вступают нуклеозиды, содержащие в гетероциклическом ядре группировку $-\text{CONH}-$ ^{301, 302}; в случае уридина при этом образуется 3-N-замещенное производное CIII³⁰¹⁻³⁰³.



Показано протекание аналогичной реакции для производных гуанозина^{301, 302}, дезоксигуанозина³⁰², тимидина³⁰², инозина³⁰⁴ и псевдоуридина³⁰⁵; в последнем случае образуется смесь 3-моно- и

1,3-дизамещенного нуклеозида. Реакция быстро протекает в слабощелочной среде. Изучение зависимости скорости реакции от pH показывает, что в реакции принимает участие анион нуклеотида. Скорость реакции уменьшается в ряду: инозин > уридин > гуанозин³⁰⁴ (табл. 5.7).

Таблица 5.7. Константы скорости псевдопервого порядка для реакции нуклеозидов и полинуклеотидов с тозилатом СII (0,1 М трис-HCl-буфер; pH 8,0; 23° С; 0,01 М Mg²⁺)

Нуклеозид или полинуклеотид	$k \cdot 10^3, \text{ мин}^{-1}$		Нуклеозид или полинуклеотид	$k \cdot 10^3, \text{ мин}^{-1}$	
	0,047 М СII	0,188 М СII		0,047 М СII	0,188 М СII
Уридин	3,4	13,7	Полиуридиловая кислота	2,2	8,8
Гуанозин	2,2	8,8	Валиновая тРНК из дрожжей	1,7	1,7
Инозин	9,3	37,2			

Аддукты, образующиеся из нуклеозидов и карбодиимида СII, разлагаются в слабощелочной среде с регенерацией нуклеозида. Исключение составляет 3-монозамещенное производное псевдоуридина, которое устойчиво к действию разбавленного аммиака³⁰⁵. Благодаря этому обстоятельству становится в принципе возможной специфическая модификация тРНК по остаткам псевдоуридина после обработки ее карбодиимидом СII и выдерживания в слабощелочной среде. Экспериментальная проверка такой возможности, однако, еще не проведена.

При pH ниже 7 взаимодействие нуклеотидов с карбодиимидом СII протекает по фосфатной группе, что в основном приводит к превращению нуклеозид-2' (3')-фосфатов в циклические фосфаты, а нуклеозид-5'-фосфатов — в олигонуклеотиды³⁰⁷. Однако в случае фосфодиэфиров побочная реакция по фосфатной группе не наблюдается, что позволяет успешно применять карбодиимид СII для модификации полинуклеотидов.

Одноцепочечные полинуклеотиды, в которых отсутствуют внутримолекулярные водородные связи между основаниями (например, полиуридиловая кислота), гладко реагируют с карбодиимидом СII^{304, 308}; скорость реакции при этом несколько ниже, чем для уридина (см. табл. 5.7). С двухцепочечными комплексами рибонуклеотидов и ДНК реакция практически не происходит³⁰⁸. Скорость и степень взаимодействия карбодиимида СII с тРНК сильно зависят от условий реакции³⁰⁸. При pH 8 и 30—40° С достигается полная модификация всех реакционноспособных остатков нуклеозидов; в присутствии же ионов Mg²⁺ при более низкой тем-

пературе степень модификации невелика и зависит от концентрации реагента³⁰⁴. Найдено, что при реакции карбодиимида СII с индивидуальной аланиновой тРНК из дрожжей в присутствии ионов магния модификация на участке последовательности рТрΨрСрGrArU не происходит³⁰⁹. Проведена и специфическая частичная модификация 5S РНК из *E. coli* под действием карбодиимида³⁶¹. О реакции карбодиимида с нуклеотидами и тРНК см. также³⁶².

Модификация полинуклеотидов карбодиимидом приводит к существенному изменению их способности расщепляться нуклеазами. Динуклеотиды, содержащие остаток модифицированного уридина, устойчивы к действию панкреатической пиридил-РНК-азы^{301, 302}. Это позволяет осуществить специфическое химико-ферментативное расщепление РНК по остаткам цитидиловой кислоты^{302, 310, 311}, что было использовано при установлении строения 5S РНК из *E. coli* (см. стр. 78) и для препаративного получения тринуклеотидов, содержащих на 3'-конце остаток цитидина³¹⁰. Динуклеотиды, содержащие на 3'-конце остаток модифицированного карбодиимидом уридина или псевдоуридина, устойчивы к действию фосфодиэстераз змеиного яда и селезенки³⁰⁵.

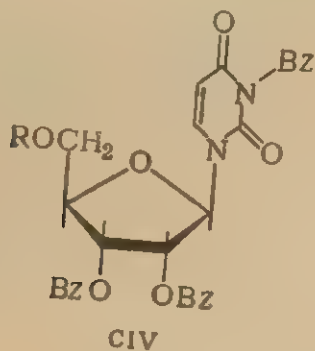
Сильная зависимость хода реакции с карбодиимидом СII от вторичной структуры и ограничение действия нуклеаз после модификации позволяют использовать реакцию с этим карбодиимидом для обнаружения полинуклеотидных участков, на которых происходит разрушение двухцепочечного комплекса при частичной денатурации ДНК³¹². После обработки ДНК карбодиимидом СII, а затем панкреатической ДНК-азой и фосфодиэстеразой змеиного яда удается выделить длинные олигонуклеотиды, возникающие из «дефектных» участков полимера.

4. Взаимодействие с реагентами, содержащими С=О-группы

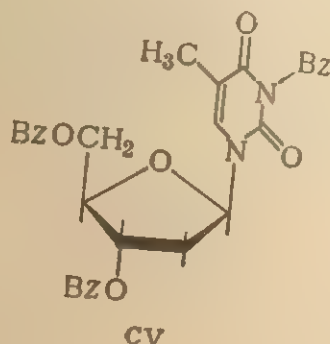
Ангидриды и хлорангидриды органических кислот, а также альдегиды взаимодействуют с нуклеозидами и нуклеотидами так, что электрофильная атака обычно направляется по экзоциклической аминогруппе основания или по гидроксильным группам остатка сахара. Такие реакции подробно рассмотрены в гл. 6 и 9. В некоторых случаях, однако, атака идет по атомам азота гетероциклического ядра.

Ацилирование. При бензоилировании уридина и тимидина действием бензоилхлорида в пиридине образуются соответственно 2',3',5'-три-О- и 3',5'-ди-О-бензоильные производные. В присутствии избытка ацилирующего агента образуются продукты, содержащие еще одну бензоильную группу¹⁹⁵, которые, по-видимому, являются

3,2',3',5'-тетрабензоилуридином CIVa и 3,8',5'-трибензоилтимидином CV;



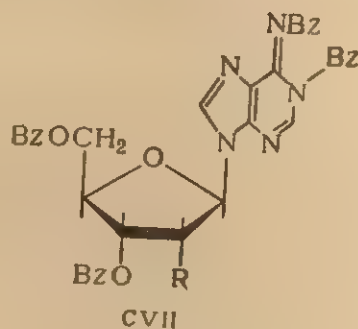
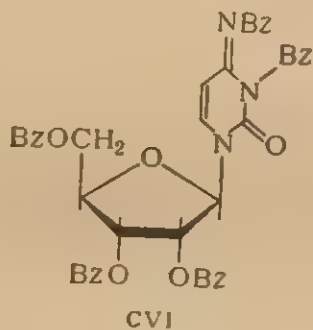
a (R = Bz)



b (R = H)

N-Бензоильная группа в подобных соединениях устойчива к действию разбавленных кислот; благодаря этому удается исчерпывающим бензоилированием 5'-О-трилиуридина и последующим кислотным гидролизом получить 3,2',3'-трибензоилуридин CIV³¹³.

Ацилирование цитидина протекает в первую очередь по экзотической аминогруппе (см. стр. 403), а затем по гидроксильным группам остатка сахара. В более жестких условиях удается получить 3,4-экзо-N, 2',3',5'-пентабензоилцитидин CVI³¹⁴. Аналогичные продукты бензоилирования (CVII) получены из аденозина^{315, 316} и 2'-дезоксаденозина³¹⁷.



(R = H или OBz)

Эти соединения легко теряют бензоильную группу, связанную с азотом гетероциклического ядра при мягкой щелочной обработке.

Действие формальдегида. При взаимодействии формальдегида с нуклеозидами и нуклеотидами образуются производные несколько-

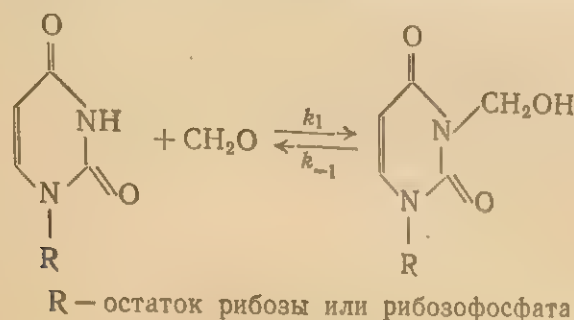
III
к их ти
реакт
азоту
показа

Про
нениям
лась да
уридин
казыва
(видим
мам N-

В н
ных ра
дегида
тидами
мгнове
де она
удае
рости
произв
вновес
дом (A
ратной
после
мальде
полнос

Зна
сия да
с ури
реакци
экзон
произв
Реакци
кислот
5'-фос

ких типов (см. стр. 322 и 409). Наиболее быстро протекающей реакцией является образование N-метилольных производных по азоту гетероциклического ядра, связанному с водородом, как это показано ниже на примере производных уридина^{318, 319}:



Протекание этой реакции сопровождается характерными изменениями в УФ-спектре (рис. 5.4). Аналогичная реакция наблюдалась для тимидина³¹⁹, инозина и его производных^{319, 320} и псевдоуридина³¹⁹; в последнем случае анализ изменения УФ-спектра показывает, что происходит образование двух типов производных (видимо, за счет реакции по атомам N-1 и N-3).

В нейтральных и слабощелочных растворах реакция формальдегида с нуклеозидами и нуклеотидами протекает практически мгновенно³¹⁹; в слабокислой среде она замедляется настолько, что удается измерить константу скорости образования метилольного производного (k) и константу равновесия реакции с формальдегидом (K) (табл. 5.8). Скорость обратной реакции также велика, и после удаления избытка формальдегида продукты реакции полностью разлагаются.

Значения константы равновесия для реакции формальдегида с уридин-5'-фосфатом близки к соответствующим значениям для реакции с аденозином, гуанозином и цитидином, протекающей по экзоциклической аминогруппе (см. стр. 409); скорость же реакции производных уридина значительно выше в одинаковых условиях. Реакция формальдегида с уридином в составе полиуридиловой кислоты протекает в 2,5—3 раза медленнее, чем реакция с уридин-5'-фосфатом (см. табл. 5.8).

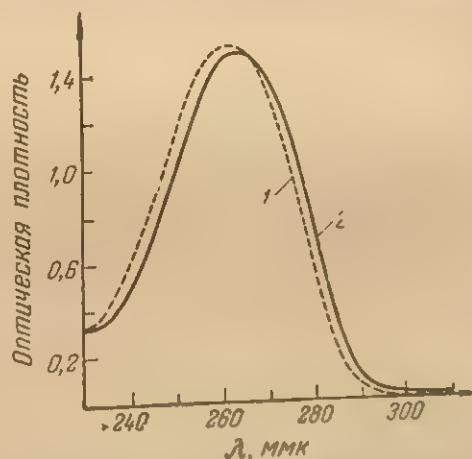


Рис. 5.4. УФ-Спектр уридина при pH 6,9 до (кривая 1) и после обработки 0,33 М раствором формальдегида (кривая 2).

Таблица 5.8. Константы скорости реакции * и константы равновесия ** при взаимодействии формальдегида с производными уридина (0,1 М ацетатный буфер, pH 4,68)³¹⁸

Нуклеотидный компонент реакции	Температура, °C	$k \cdot 10^4$, сек ⁻¹	K , л/моль	Нуклеотидный компонент реакции	Температура, °C	$k \cdot 10^4$, сек ⁻¹	K , л/моль
Уридин-5'-фосфат	10	1,78	3,2 ***	Полиуридилловая кислота	10	0,84	—
	20	6,52	2,43		20	2,01	—
	30	21,0	1,80		30	8,91	—
	40	61,0	1,33		40	21,9	—
	50	164,0	1,02		50	60,8	—

* $k = k_1 [\text{CH}_2\text{O}] + k_{-1}$ определена спектрофотометрическим методом при реакции с 1 М раствором формальдегида.

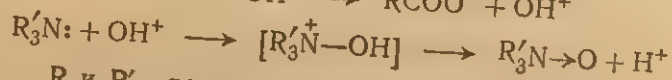
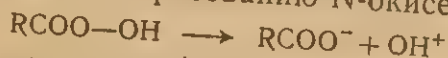
** $K = \frac{k_1}{k_{-1}}$ определена методом pH-статирования.

*** Определена спектрофотометрическим методом.

Атом азота гетероциклического ядра гуанозина участвует также в реакциях с α -дикарбонильными соединениями (см. гл. 6).

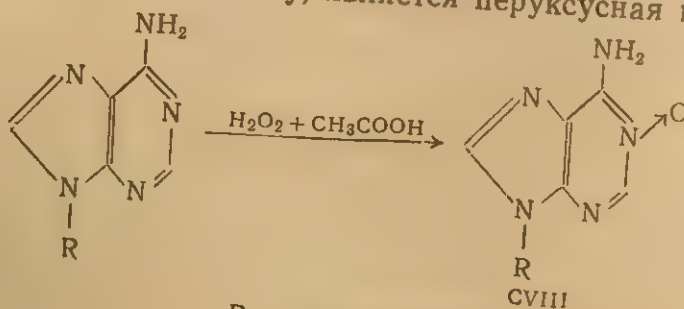
5. Окисление перкислотами

Как известно, органические перкислоты способны в кислой или нейтральной среде диссоциировать с образованием катиона гидроксила OH^+ . Электрофильная атака этим катионом молекулы третичных аминов приводит к образованию N-окисей:



R и R' — различные органические радикалы

Такого рода реакции известны и для производных нуклеозидов. Окисление аденозина и его производных под действием смеси перекиси водорода и уксусной кислоты гладко приводит к производным 1-N-окиси аденозина CVIII³²¹⁻³²⁴; действующим началом в этой реакции, по-видимому, является перуксусная кислота.



R — остаток рибозы

III РЕАКЦИИ

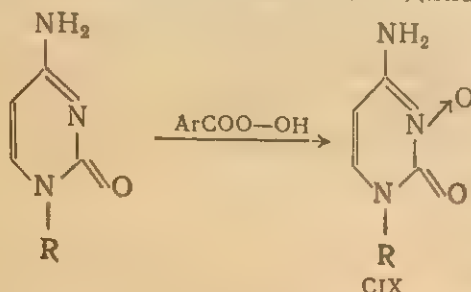
Вещ
аденозин
реагент
действи
ной 328 кл

Окисл
в слаб
ной кисл
при pH
Другие
не подве
гуанозин
рода и п
(см. стр.
кислотам
Харак
ний явля
действие
щелочи
ние пири
имидазол

Веще
цикличес

* Опис
перекиси во

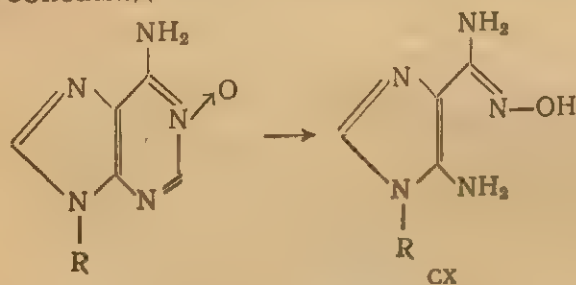
В еще более мягких условиях протекает окисление производных аденозина под действием моноперфталевой кислоты^{325, 326}; с этим реагентом удастся провести реакцию при pH 5—7. При взаимодействии цитидина с моноперфталевой³²⁷ или *м*-хлорпербензойной³²⁸ кислотой образуется 3-N-окись цитидина СІХ:



R — остаток рибозы

Окисление до N-окисей аденозина и цитидина протекает быстро в слабокислой среде. Оптимум pH для реакции *м*-хлорпербензойной кислоты с аденозином находится при pH 5,5, а с цитидином — при pH 6,0; скорости реакции с обоими нуклеозидами близки³²⁹. Другие основные компоненты нуклеиновых кислот в этих условиях не подвергаются окислению*. Напротив, в слабощелочной среде гуанозин, уридин и тимидин взаимодействует с перекисью водорода и перкислотами с расщеплением гетероциклического ядра³²⁹ (см. стр. 478). Взаимодействие редких компонентов РНК с перкислотами не изучалось.

Характерным свойством N-окисей гетероциклических оснований является крайне легкая способность подвергаться атаке под действием нуклеофильных агентов. При действии 1 н. раствора щелочи 1-N-окиси производных аденозина претерпевают расщепление пиримидинового кольца с образованием производных 4-аминоимидазол-5-карбоксамидоксима СХ^{322, 323}.



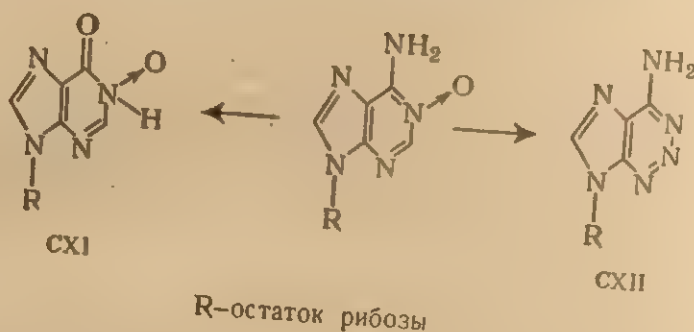
R — остаток рибозы

В еще более мягких условиях происходит расщепление гетероциклического ядра в молекуле 3-N-окиси цитидина³³¹. Строение

* Описано, однако, окисление гуанина до 7-N-окиси гуанина под действием перекиси водорода в трифторуксусной кислоте³³⁰.

продукта реакции в этом случае не было установлено, однако, по-видимому, он тоже образуется за счет отщепления атома С-2.

Превращение 1-N-окиси аденозина в имидазольное производное СХ легко протекает и в слабокислой среде. Дезаминирование 1-N-окиси аденозина до 1-N-окиси инозина СХI удается осуществить только в чрезвычайно мягких условиях^{330, 332, 333}. При действии же нитрита натрия в уксусной кислоте образуется 1-N-окись 2-азааденозина СХII (за счет промежуточного раскрытия пиримидинового цикла и последующей циклизации)³³⁴:



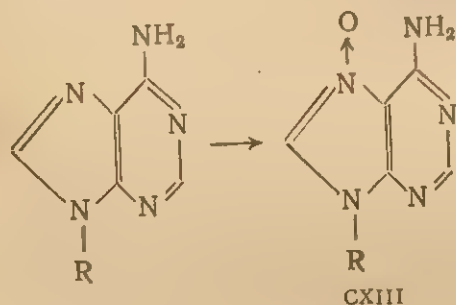
При гидрировании над никелевым катализатором N-окиси производных аденозина гладко переходят в соответствующие производные аденозина³²³.

Мягкие условия, используемые при окислении нуклеозидов моноперфталевой кислотой, позволяют успешно применить эту реакцию для модификации полинуклеотидов^{335, 363}. Так, окисление полиадениловой кислоты этим реагентом при pH 7 до 20°C заканчивается за 1,5—2 ч. При использовании эквимольных количеств моноперфталевой кислоты достигается модификация 13% остатков аденозина, при использовании десятикратного (в мольном соотношении) избытка пероксидной кислоты в этих условиях окисляется заметно медленнее полиадениловой, и степень модификации здесь ниже.

Двухспиральные комплексы полинуклеотидов окисляются моноперфталевой кислотой в заметно меньшей степени, чем односпиральные полинуклеотиды, как можно судить по различной степени модификации нативной и денатурированной ДНК, а также полиадениловой кислоты и комплекса (поли-А) · (поли-У). Вследствие этого модификация моноперфталевой кислотой может быть применена для определения размеров односпиральных участков в полинуклеотидах. Такие исследования были выполнены для суммарной тРНК из дрожжей³³⁶ и для компонентов рибосомальной РНК³³⁷. О применении к индивидуальной тРНК — см.³⁶⁴.

Модификация перекислотами может быть использована для специфического расщепления ДНК по остаткам дезоксицитидина³³¹, поскольку остаток 3-N-окиси дезоксицитидина при обработке щелочью претерпевает расщепление гетероциклического ядра. В продукте этой реакции, строение которого не установлено, N-гликозидная связь легко расщепляется под действием 50%-ной уксусной кислоты, что приводит к полимеру, содержащему остатки дезоксирибозы на месте остатков дезоксигуанозина в исходной цепи. Этот лишенный цитозина полимер при обработке щелочью может расщепляться по пути β -элиминации (см. стр. 575 сл.). Такая последовательность реакций была осуществлена для динуклеотида dpCdpT³³¹.

При взаимодействии аденина, аденозина, дезоксиаденозин-5'-фосфата, олигодезоксиадениловых кислот и ДНК с разбавленными растворами перекиси водорода в слабощелочной среде также происходит образование N-окисей производных аденина^{161, 162, 338}. В этом случае, однако, окисление проходит, по-видимому, по гомолитическому механизму и продуктом реакции является 7-N-окись CXIII³³⁸.



R — остаток дезоксирибозофосфата

Реакция протекает довольно медленно: при pH 7,4 время превращения дезоксиаденозин-5'-фосфата в 0,05 M растворе перекиси водорода составляет около 50 ч. Выход 7-N-окиси дезоксиаденозин-5'-фосфата невелик, так как идут многочисленные побочные процессы (расщепление N-гликозидной связи, окисление по C-2 и C-8 аденинового ядра). Стабильность 7-N-окиси дезоксиаденозин-5'-фосфата по отношению к кислотному и щелочному гидролизу не отличается заметно от устойчивости исходного нуклеотида; при облучении УФ-светом 7-N-окись аденина переходит в 8-оксиаденин³³⁸.

Образование 7-N-окиси аденина наблюдалось при облучении водных растворов аденина рентгеновскими лучами³³⁸. Возможно, что 7-N-окись аденина и его производных возникает и при других реакциях, в которых могут образовываться OH-радикалы, например при действии разбавленных растворов гидроксиламина на производные аденозина¹⁶⁰.

ЛИТЕРАТУРА

1. Visser D. W., Dittmer K., Goodman J., J. Biol. Chem., 171, 37 (1947).
2. Fukuhara T. K., Visser D. W., J. Biol. Chem., 190, 95 (1951).
3. Visser D. W., Frisch D. M., Huang B., Biochem. Pharmac., 5, 157 (1960).
4. Michelson A. M., Dondon J., Grunberg-Manago M., Biochim. Biophys. Acta, 55, 529 (1962).
5. Grunberg-Manago M., Michelson A. M., Biochim. Biophys. Acta, 80, 431 (1964).
6. Letters R., Michelson A. M., J. Chem. Soc., 1962, 71.
7. Fukuhara T. K., Visser D. W., J. Am. Chem. Soc., 77, 2393 (1955).
8. Frisch D. M., Visser D. W., J. Am. Chem. Soc., 81, 1756 (1959).
9. Duval J., Ebel J. P., Bull. Soc. chim. biol., 46, 1059 (1964).
10. Wang S. Y., Photochem. Photobiol., 1, 37 (1962).
11. Chang P. K., Welch A. D., Biochem. Pharmac., 6, 50 (1961).
12. Bessman M. J., Lehman J. R., Adler J., Zimmerman S. B., Simms E. S., Kornberg A., Proc. Nat. Acad. Sci. USA, 44, 633, 641, 1191 (1958).
13. Prusoff W. H., Holmes W. L., Welch A. D., Cancer Res., 13, 221 (1953).
14. Prusoff W. H., Biochim. Biophys. Acta, 32, 295 (1959).
15. Berens K., Shugar D., Acta Biochem. Polon., 10, 25 (1963).
16. Massaglia A., Rosa U., Sosi S., J. Chromatogr., 17, 316 (1965).
17. Hampton E. B., Rich M. A., Eidinoff M. L., J. Biol. Chem., 235, 3562 (1960).
18. Silvester D. J., White N. D., Nature, 200, 65 (1963).
19. Hugher W. L., Commerford S. L., Gitlin D., Krueger R. C., Schultze B., Shah V., Reilly P., Fed. Proc., 23, 640 (1964).
20. Michelson A. M., in «Synthetic Procedures in Nucleic Acid Chemistry», v. 1, Zorbach W. W., Tipson R. S. (eds), N. Y.—L., 1968, p. 491.
21. Chang P. K., Welch A. D., J. Med. Chem., 6, 428 (1963).
22. Chang P. K., Welch A. D., Biochem. Pharmac., 8, 327 (1961).
23. Chang P. K., J. Org. Chem., 30, 3913 (1965).
24. Lipkin D., Howard F. B., Nowatny D., Sano M., J. Biol. Chem., 238, PC2249 (1963).
25. Ascoli F., Kahan F. M., J. Biol. Chem., 241, 428 (1966).
26. Yoshida H., Duval J., Ebel J. P., Biochim. Biophys. Acta, 161, 13 (1968).
27. Duval J., Ebel J. P., C. r., D263, 1773 (1966).
28. Duval J., Ebel J. P., Bull. Soc. chim. biol., 49, 1665 (1967).
29. Michelson A. M., J. Chem. Soc., 1958, 1957.
30. Smrt J., Sorm F., Coll. Czech. Chem. Comm., 25, 553 (1960).
31. Szer W., Shugar D., Acta Biochim. Polon., 8, 363 (1961).
32. Ukita T., Irie M., Chem. Pharm. Bull., 8, 81 (1960); 9, 217 (1961).
33. Nowotny D., Lipkin D., Monatsch., 96, 125 (1965).
34. Jones A. S., Woodhouse D. L., Nature, 183, 1603 (1959).
35. Suzuki T., Ito E., J. Biochem. (Tokyo), 45, 403 (1958).
36. Баев А. А., Мирзабеков А. Д., Горшкова В. И., Венк-стерн Т. В., ДАН СССР, 152, 331 (1963).
37. Brammer K. W., Biochim. Biophys. Acta, 72, 217 (1963).
38. Shapiro R., Agarwal S. C., Biochem. Biophys. Res. Comm., 24, 401 (1966).
39. Holmes R. E., Robins R. K., J. Am. Chem. Soc., 86, 1242 (1964).
40. Микельсон А., Химия нуклеозидов и нуклеотидов, Изд. «Мир», 1965, стр. 48.

41. Ikehara M., Tada H., Muneyama K., Chem. Pharm. Bull., 13, 639 (1965).
42. Ikehara M., Tada H., Muneyama K., Kaneko M., J. Am. Chem. Soc., 88, 3165 (1966).
43. Ikehara M., Uesugi S., Kaneko M., Chem. Comm., 1967, 17.
44. Fox J. J., Shugar D., Biochim. Biophys. Acta, 9, 369 (1952).
45. Ueda T., Chem. Pharm. Bull., 8, 455 (1960).
46. Wang S. Y., J. Am. Chem. Soc., 81, 3786 (1959).
47. Otter B. A., Falco E. A., Fox J. J., Tetrahedron Letters, 1968, 2967.
48. Smith D. A., Roy-Burman P., Visser D. W., Biochim. Biophys. Acta, 119, 221 (1966); Roberts M., Visser D. W., J. Am. Chem. Soc., 74, 668 (1952).
49. Visser D. W., in «Synthetic Procedures in Nucleic Acid Chemistry», v. 1, Zorbach W. W., Tipson R. S., (eds), New York — London — Sydney — Toronto, 1968, p. 407.
- 50a. Visser D. W., in «Synthetic Procedures in Nucleic Acid Chemistry», v. 1, Zorbach W. W., Tipson R. S. (eds), New York — London — Sydney — Toronto, 1968, p. 410.
- 50b. Friedland M., Visser D. W., Biochim. Biophys. Acta, 51, 148 (1961).
- 50в. Beltz R. E., Visser D. W., J. Biol. Chem., 226, 1035 (1956).
51. Holmes R. E., Robins R. K., J. Am. Chem. Soc., 87, 1772 (1965).
52. Ikehara M., Muneyama K., Chem. Pharm. Bull., 14, 46 (1966).
53. Barker G. K., Hall M. E., Moss K. J., Biochim. Biophys. Acta, 46, 203 (1961).
54. Фриз Э., в кн. «Молекулярная генетика», под ред. Кона В., Дэвидсона Д., Изд. «Мир», 1964, стр. 226.
55. Freese E., J. Mol. Biol., 1, 87 (1959).
56. Litman R. M., Pardee A. B., Biochim. Biophys. Acta, 42, 117, 131 (1960).
57. Londos D., Duval J., Aubel-Sadron G., Ebel J. P., Bull. Soc. chim. biol., 49, 739 (1967).
58. Duval J., Ebel J. P., Bull. Soc. chim. biol., 47, 787 (1965).
59. Londos-Gagliardi D., Aubel-Sadron G., Ebel J. P., Bull. Soc. chim. biol., 50, 381 (1968).
60. Wempen I., Doerr I. L., Kaplan L., Fox J. J., J. Am. Chem. Soc., 82, 1624 (1960).
61. Flaks J. G., Cohen S. S., Biochim. Biophys. Acta, 25, 667 (1957).
62. Friedkin M., Fed. Proc., 16, 183 (1957).
63. Blakley R. L., Biochim. Biophys. Acta, 24, 224 (1957).
64. Phear E. A., Greenberg D. M., J. Am. Chem. Soc., 79, 3737 (1957).
65. Cline R. E., Fink R. M., Fink K., J. Am. Chem. Soc., 81, 2521 (1959).
66. Maley F., Arch. Biochem. Biophys., 96, 550 (1962).
67. Alegria A. N., Biochim. Biophys. Acta, 149, 317 (1967).
68. Кочетков Н. К., Будовский Э. И., Шибаяев В. Н., Елисеева Г. И., Изв. АН СССР, сер. хим., 1966, 1779.
69. Budowsky E. I., Shibaev V. N., Eliseeva G. I., in «Synthetic Procedures in Nucleic Acid Chemistry», v. 1, Zorbach W. W., Tipson R. S. (eds), New York — London — Sydney — Toronto, 1968, p. 436.
70. Микельсон А., Химия нуклеозидов и нуклеотидов, Изд. «Мир», 1965, стр. 110.
71. Hoffman H. D., Müller W., Biochim. Biophys. Acta, 123, 421 (1966).
72. Moudrianakis E. N., Beer M., Proc. Nat. Acad. Sci. US, 53, 564 (1965).
73. Erickson H., Beer M., Biochemistry, 6, 2694 (1967).
74. Moudrianakis E. N., Beer M., Biochim. Biophys. Acta, 95, 23 (1965).
75. Kriek E., Miller J. A., Juhl U., Miller E. C., Biochemistry, 6, 177 (1967).
76. Kriek E., Biochem. Biophys. Res. Comm., 20, 793 (1965).

77. Miller E. C., Juhl U., Miller J. A., Science, **153**, 1125 (1966).
78. Kriek E., Biochim. Biophys. Acta, **161**, 273 (1968).
79. Schweizer M. P., Chan S. I., Helmkamp G. K., Ts'o P. O. P., J. Am. Chem. Soc., **86**, 696 (1964).
80. Bullock F. J., Jardetzky O., J. Org. Chem., **29**, 1988 (1964).
81. Shelton K. R., Clark J. M., Biochemistry, **6**, 2735 (1967).
82. Остерман Л. А., Адлер В. В., Бибилашвили Р. Ш., Вopr. мед. хим., **13**, 200 (1967).
83. Chambers R. W., J. Am. Chem. Soc., **90**, 2192 (1968).
84. Fink R. M., Arch. Biochem. Biophys., **107**, 493 (1964).
85. Fink R. M., J. Biol. Chem., **238**, 1764 (1963).
86. Fink R. M., Fink K., J. Biol. Chem., **237**, 2889 (1962).
87. Cheong L., Rich M. A., Eidinoff M. L., J. Biol. Chem., **235**, 1441 (1960).
88. Shapiro R., Klein R. S., Biochemistry, **6**, 3576 (1967).
89. Heller S. R., Biochem. Biophys. Res. Comm., **32**, 998 (1968).
90. Остерман Л. А., Адлер В. В., Бибилашвили Р. Ш., Савочкина Л. П., Варшавский Я. М., Биохимия, **31**, 398 (1966).
91. Shapiro R., Pohl S. H., Biochemistry, **7**, 448 (1968).
92. Cohn W. E., Biochem. J., **64**, 28p (1956).
93. Moore A. M., Anderson S. M., Canad. J. Chem., **37**, 590 (1959).
94. Wang S. Y., Nature, **180**, 91 (1957); J. Org. Chem., **24**, 11 (1959).
95. Baudisch O., Davidson D., J. Biol. Chem., **64**, 233 (1925); Barszcz D., Trenner S., Shugar D., Acta Biochim. Polon., **10**, 9 (1963).
96. Nelson J. A., Ristow S. C., Holley R. W., Biochim. Biophys. Acta, **149**, 590 (1967).
97. Ishihara H., Suzuki N., Yokoi H., Nature, **182**, 1302 (1958).
98. Jones A. S., Woodhouse D. L., Nature, **183**, 1603 (1959).
99. Fukuhara T. K., Visser D. W., Biochemistry, **1**, 563 (1962).
100. Brady T. G., McEvoy-Bowe T. G., Nature, **168**, 299 (1951).
101. Massari L., Hoste J., Biochim. Biophys. Acta, **1**, 83 (1947).
102. Caputto R., Leloir L. F., Cardini C. E., Paladini A. C., J. Biol. Chem., **184**, 333 (1950).
103. Wang S. Y., Hashagen J. M., J. Mol. Biol., **8**, 333 (1964).
104. Yu C. T., Zamecnik P. C., Biochim. Biophys. Acta, **76**, 209 (1963).
105. Yu C., Zamecnik P. C., Biochem. Biophys. Res. Comm., **12**, 457 (1963).
106. Konhgiesser W., Z. Physiol. Chem., **316**, 146 (1959).
107. Ганстон Ф. Д., в кн. «Успехи органической химии», под ред. Кнунианца И. Л., т. I, Издательство, 1963, стр. 114.
108. Beer M., Stern S., Carmalt D., Mohlhendrich K. H., Biochemistry, **5**, 2283 (1966).
109. Burton K., Riley W. T., Biochem. J., **98**, 70 (1966).
110. Howgate P., Jones A. S., Tittensor J. R., J. Chem. Soc., (B), 1968, 275.
111. Highton R., Murr B. L., Shafa F., Beer M., Biochemistry, **7**, 825 (1968).
112. Burton K., Varney N. F., Zamecnik P. C., Biochem. J., **99**, 29c (1966).
113. Howgate P., Jones A. S., Tittensor J. R., J. Chem. Soc., (C), 1968, 275.
114. Honjo M., Furukawa Y., Nishikawa M., Kamiya K., Yoshio-ka Y., Chem. Pharm. Bull., **15**, 1076 (1967).
115. Bahnister B., Kagan F., J. Am. Chem. Soc., **82**, 3363 (1960).
116. Levene P. A., LaForge F. B., Ber., **45**, 608 (1912).
117. Burke D. C., J. Org. Chem., **20**, 643 (1955).
118. Haavaldsen L., Laland S. C., McKindley-McKee J., Roth E., Biochim. Biophys. Acta, **33**, 201 (1959).
119. Laland S. C., Serck-Hanssen G., Biochem. J., **90**, 76 (1964).

120. Селл
121. Green
122. Green
123. Smrt
124. Smrt
125. Roy-B
126. Acta, 14
127. Коет
128. Коет
129. ва Г. II
130. Коет
131. ва Г. II
132. Hanze
133. Cerutt
134. 90, 771
135. Cerutt
136. Kondo
137. Janio
138. Iwasa
139. Visser
140. phys., 70
141. Cohn V
142. Miller
143. Maco
144. Cerutt
145. Fox J.
146. Lee H.
147. Smit
148. Коула
149. Skula
150. Verwo
151. Verwo
152. 184 (196
153. Koche
154. phys. Ac
155. Budov
156. ska ya
157. Мать
158. стр. 59
159. Альб
160. Изд. «Х
161. Brow
162. Буд
163. ская
164. Lawle
165. Koche
166. Shiba
167. 3253.
168. Буд
169. ская
170. Janio
171. Улан
172. СССР,
173. Буд
174. ska ya
175. Буд
176. ко
177. Janio

120. Cohn W. E., Doherty D. G., J. Am. Chem. Soc., 78, 2863 (1956).
121. Green M., Cohen S. S., J. Biol. Chem., 225, 397 (1957).
122. Green M., Cohen S. S., J. Biol. Chem., 228, 601 (1957).
123. Smrt J., Coll. Czech. Chem. Comm., 32, 198 (1967).
124. Smrt J., Coll. Czech. Chem. Comm., 33, 2470 (1968).
125. Roy-Burman P., Roy-Burman S., Visser D. W., Biochim. Biophys. Acta, 142, 355 (1967).
126. Кочетков Н. К., Будовский Э. И., Шибаев В. Н., Елисеева Г. И., Изв. АН СССР, сер. хим., 1965, 914.
127. Кочетков Н. К., Будовский Э. И., Шибаев В. Н., Елисеева Г. И., ДАН СССР, 159, 605 (1964).
128. Hanze A. R., J. Am. Chem. Soc., 89, 6720 (1967).
129. Cerutti P., Kondo Y., Landis W. R., Witkop B., J. Am. Chem. Soc., 90, 771 (1968).
130. Cerutti P., Miller N., J. Mol. Biol., 26, 55 (1967).
131. Kondo Y., Witkop B., J. Am. Chem. Soc., 90, 764 (1968).
132. Janion C., Shugar D., Acta Biochim. Polon., 7, 309 (1960).
133. Iwasaki H., Yakugaki Zashi, 82, 1368 (1962).
134. Visser D. W., Van Praag D., Fukihara T. K., Arch. Biochem. Biophys., 70, 217 (1957).
135. Cohn W. E., Biochim. Biophys. Acta, 32, 569 (1959).
136. Miller N., Cerutti P. A., J. Am. Chem. Soc., 89, 2767 (1967).
137. Macon J. B., Wolfenden R., Biochemistry, 7, 3453 (1968).
138. Cerutti P., Holt J. W., Miller N., J. Mol. Biol., 34, 505 (1968).
139. Fox J. J., Van Praag D., J. Am. Chem. Soc., 82, 486 (1960).
140. Lee H. J., Wigler R. W., Biochemistry, 7, 1427 (1968).
141. Smith D. L., Elving P. J., J. Am. Chem. Soc., 84, 1412 (1962).
142. Скулачев В. П., Денисович Д. И., Биохимия, 31, 132 (1966).
143. Skulachev V. P., Nature, 198, 444 (1963).
144. Verwoerd D. W., Kohlhage H., Zillig W., Nature, 192, 1038 (1961).
145. Verwoerd D. W., Zillig W., Kohlhage H., Z. physiol. Chem., 332, 184 (1963).
146. Kochetkov N. K., Budowsky E. I., Shibaeva R. P., Biochim. Biophys. Acta, 68, 493 (1963).
147. Budowsky E. I., Shibaeva R. P., Sverdlov E. D., Monastyrskaya G. S., J. Mol. Biol. (in press).
148. Матъе Ж., Алле А., Принципы органического синтеза, Издательство, 1962, стр. 591.
149. Альберт А., Сергент Е., Константы ионизации кислот и оснований, Изд. «Химия», 1964, стр. 147.
150. Brown D. M., Hewlins M. J. E., J. Chem. Soc., (C), 1968, 1922.
151. Будовский Э. И., Шибаева Р. П., Сverdlov E. D., Monastyrskaya G. S., Мол. биол., 2, 321 (1968).
152. Lawley P. D., J. Mol. Biol., 24, 75 (1967).
153. Kochetkov N. K., Budowsky E. I., Sverdlov E. D., Shibaev V. N., Shibaeva R. P., Monastyrskaya G. S., Tetrahedron Letters, 1967, 3253.
154. Будовский Э. И., Сverdlov E. D., Шибаева Р. П., Monastyrskaya G. S., Кочетков Н. К., Мол. биол., 2, 329 (1968).
155. Janion C., Shugar D., Acta Biochim. Polon., 15, 107 (1968).
156. Уланов Б. П., Серебряный А. М., Костяновский Р. Г., ДАН СССР, 176, 474 (1967).
157. Budowsky E. I., Sverdlov E. D., Shibaeva R. P., Monastyrskaya G. S., Kochetkov N. K., J. Mol. Biol. (in press).
158. Будовский Э. И., Симукова Н. А., Шибаева Р. П., Кочетков Н. К., Биохимия, 30, 902 (1965).
159. Janion C., Shugar D., Acta Biochim. Polon., 12, 337 (1965).

160. Freese E., Bautz-Freese E., Graham S., *Biochim. Biophys. Acta*, **123**, 17 (1966).
161. Rhaese H. J., Freese E., *Biochim. Biophys. Acta*, **155**, 476 (1968).
162. Rhaese H. J., Freese E., Melzer M. S., *Biochim. Biophys. Acta*, **155**, 491 (1968).
163. Budowsky E. I., Sverdlov E. D., Monastyrskaya G. S., *J. Mol. Biol.*, **44**, 205 (1969).
164. Морозова Т. М., Салганик Р. И., *Биохимия*, **29**, 17 (1964).
165. Janion C., Shuhar D., *Acta Biochim. Polon.*, **15**, 107 (1968).
166. Brown D. M., Phillips J. H., *J. Mol. Biol.*, **11**, 663 (1965).
167. Phillips J. H., Brown D. M., *Progr. Nucl. Acid Res.*, **7**, 349 (1967).
168. Kochetkov N. K., Budowsky E. I., *Progr. Nucl. Acid Res.*, **9**, 403 (1969).
169. Складнева В. Б., Киселева Н. М., Будовский Э. И., Тихоненко Т. И., *Мол. биол.*, **4**, 110 (1970).
170. Lingens F., Schneider-Bernlöhr H., *Ann.*, **686**, 134 (1965).
171. Brown D. M., McNaught A. D., Shell P., *Biochem. Biophys. Res. Comm.*, **24**, 967 (1966).
172. Patel A. B., Brown H. D., *Nature*, **214**, 402 (1967).
173. Hayatsu H., Takeishi K., Ukita T., *Biochim. Biophys. Acta*, **123**, 445 (1966).
174. Hayatsu H., Ukita T., *Biochim. Biophys. Acta*, **123**, 458 (1966).
175. Muto A., Miura K., Hayatsu H., Ukita T., *Biochim. Biophys. Acta*, **95**, 669 (1965).
176. Kikugawa K., Hayatsu H., Ukita T., *Biochim. Biophys. Acta*, **134**, 221 (1967).
177. Kikugawa K., Muto A., Hayatsu H., Miura K., Ukita T., *Biochim. Biophys. Acta*, **134**, 232 (1967).
178. Galor L., Mellema J. B., Moudrianakis E. N., Beer M., *Biochemistry*, **6**, 1909 (1967).
179. Frits H. C., Kotter B., *Z. Naturforsch.*, **18b**, 124 (1963).
180. Marrian D., Spivcer V., Balis M. E., Brown G. B., *J. Biol. Chem.*, **189**, 533 (1951).
181. Davidson J. H., Smellie R. M., *Biochem. J.*, **52**, 594 (1952).
182. Будовский Э. И., Клебанова Л. М., *Вопросы мед. хим.*, **13**, 299 (1967).
183. Jones A. S., Main A. M., Walker R. T., *J. Chem. Soc.*, (C), 1966, 1784.
184. Jones A. S., Main A. M., Walker R. T., *J. Chem. Soc.*, (C), 1966, 692.
185. Whitehead C. W., Traverso J. J., *J. Am. Chem. Soc.*, **82**, 3971 (1960).
186. Miller N., Fox J. J., *J. Org. Chem.*, **29**, 1772 (1964).
187. Johns H. E., LeBlanc J. C., Freeman K. B., *J. Mol. Biol.*, **13**, 849 (1965).
188. Freeman K. B., Hariharan P. V., Johns H. E., *J. Mol. Biol.*, **13**, 833 (1965).
189. Shuster H., *Z. Naturforsch.*, **19b**, 815 (1964).
190. Janion C., Shugar D., *Acta Biochim. Polon.*, **14**, 293 (1967).
191. Small G. D., Gordin P., *J. Mol. Biol.*, **34**, 281 (1968).
192. Werbein A., Valentine R. C., Hidalgo-Salvatierra O., McLaren A. D., *Photochem. Photobiol.*, **7**, 253 (1968).
193. Gerster J. F., Jones J. W., Robins R. K., *J. Org. Chem.*, **28**, 945 (1963); Ikehara M., Uno H., Ishikawa F., *Chem. Pharm. Bull.*, **12**, 267 (1964); Ikehara M., Uno H., *Chem. Pharm. Bull.*, **13**, 221 (1965).
194. Zemlicka J., Sorm F., *Coll. Czech. Chem. Comm.*, **30**, 1880, 2052 (1965).
195. Fox J. J., Wempen I., Hampton A., Doerr I. L., *J. Am. Chem. Soc.*, **80**, 1669 (1958).
196. Fox J. J., Van Praag D., Wempen I., Doerr I. L., Cheong L., Knoll J. E., Eidinoff M. L., Bendich A., Brown G. B., *J. Am. Chem. Soc.*, **81**, 178 (1959).

197. Lawley P. D., *Progr. Nucl. Acid Res.*, 5, 89 (1966).
198. Wheeler G. P., *Cancer Res.*, 22, 651 (1962).
199. Росс У., Биологические алкилирующие агенты, Медгиз, 1964.
200. Levene P. A., Tipson R. S., *J. Biol. Chem.*, 104, 385 (1934).
201. Miles H. T., *Biochim. Biophys. Acta*, 22, 247 (1956); *J. Am. Chem. Soc.*, 79, 2565 (1957).
202. Szer W., Shugar D., *Acta Biochim. Polon.*, 7, 491 (1960); 8, 235 (1961).
203. Кочетков Н. К., Будовский Э. И., Шибаев В. Н., *Изв. АН СССР, сер. хим.*, 1962, 1035.
204. Haines J. A., Reese C. B., Todd A. R., *J. Chem. Soc.*, 1964, 1406.
205. Roosevelt T., Fleyscher M. H., Hall R. H., *J. Med. Chem.*, 8, 486 (1965).
206. Friedman O. M., Nahapatra G. N., Dash B., Stevenson R., *Biochim. Biophys. Acta*, 103, 286 (1965).
207. Brimacombe R. L. C., Griffin B. E., Haines J. A., Haslam W. J., Reese C. B., *Biochemistry*, 4, 2452 (1965).
208. Шер В., Шугар Д., *Биохимия*, 26, 840 (1961).
209. Martin D. M. G., Reese C. B., Stephenson G. F., *Biochemistry*, 7, 1406 (1968).
210. Broom A. D., Robins R. K., *J. Am. Chem. Soc.*, 87, 1145 (1965).
211. Khwaja T. A., Robins R. K., *J. Am. Chem. Soc.*, 88, 3640 (1966).
212. Gin J. B., Dekker C. A., *Biochemistry*, 7, 1413 (1968).
213. Броуде Н. Е., Будовский Э. И., Кочетков Н. К., *Мол. биол.*, 1, 214 (1967).
214. Haines J. A., Reese C. B., Todd A. R., *J. Chem. Soc.*, 1962, 5281.
215. Jones J. W., Robins R. K., *J. Am. Chem. Soc.*, 85, 193 (1963).
216. Brederick H., Martini A., *Chem. Ber.*, 80, 401 (1947).
217. Miles H. T., *J. Org. Chem.*, 26, 4761 (1961).
218. Scheit K. H., Holý A., *Biochim. Biophys. Acta*, 149, 344 (1967).
219. Cohn W. E., *J. Biol. Chem.*, 235, 1488 (1960).
220. Griffin B. E., Haines J. A., Reese C. B., *Biochim. Biophys. Acta*, 142, 536 (1967).
221. Reese C. B., Sulston J. E., *Biochim. Biophys. Acta*, 149, 293 (1967).
222. Holý A., Scheit K. H., *Biochim. Biophys. Acta*, 123, 430 (1966); 138, 230 (1967).
223. Kriek E., Emmelot P., *Biochemistry*, 2, 733 (1963).
224. Kriek E., Emmelot P., *Biochim. Biophys. Acta*, 91, 59 (1964).
225. Magee P. N., Farber E., *Biochem. J.*, 83, 114 (1963); Lawley P. D., Brookes P., Magee P. N., Graddock V. M., Swann P. F., *Biochim. Biophys. Acta*, 157, 646 (1968); Swann P. F., Magee P. N., *Biochem. J.*, 110, 39 (1968).
226. Terakawi A., Greenberg J., *Biochim. Biophys. Acta*, 95, 170 (1965).
227. Lingens F., Oltmanns O., *Z. Naturforsch.*, 21b, 660 (1966).
228. Chandra P., Wacker A., Süßmuth R., Lingens F., *Z. Naturforsch.*, 22b, 512 (1967).
229. Zamenhof S., Heldenmuth L. H., Zamenhof P. J., *Proc. Nat. Acad. Sci US*, 55, 50 (1966).
230. Craddock V. M., *Biochem. J.*, 106, 921 (1968).
231. Schoental R., *Biochem. J.*, 102, 5c (1967).
232. Singer B., Fraenkel-Conrat H., *Proc. Nat. Acad. Sci. US*, 58, 234 (1967).
233. Magee P. N., Lee K. Y., *Biochem. J.*, 91, 35 (1964).
234. McCalla D. R., *Biochim. Biophys. Acta*, 155, 114 (1968).
235. Rau J., Lingens F., *Naturwiss.*, 54, 517 (1957).
236. Lingens F., Rau J., Süßmuth R., *Z. Naturforsch.*, 23b, 1565 (1968).
237. Lawley P. D., *Nature*, 218, 580 (1968).
238. Brederick H., Haas H., Martini A., *Chem. Ber.*, 81, 307 (1948).

239. Broom A. D., Townsend L. B., Jones J. W., Robins R. K., *Biochemistry*, **3**, 494 (1964).
240. Pochon F., Michelson A. M., *Biochim. Biophys. Acta*, **145**, 321 (1967).
241. Wacker A., Ebert M., *Z. Naturforsch.*, **14b**, 709 (1959).
242. Brookes P., Lawley P. D., *J. Chem. Soc.*, **1960**, 539.
243. Coddington A., *Biochim. Biophys. Acta*, **59**, 472 (1962).
244. Lawley P. D., Brookes P., *Biochem. J.*, **89**, 127 (1963).
245. Lawley P. D., Brookes P., *Biochem. J.*, **92**, 19c (1964).
246. Brookes P., Lawley P. D., *J. Chem. Soc.*, **1962**, 1348.
247. Pochon F., Michelson A. M., *Biochim. Biophys. Acta*, **149**, 99 (1967).
248. Ludlum D. B., *Mol. Pharmacol.*, **2**, 585 (1966).
249. Furuhashi Y., Kobayashi K., Kanai K., Honjo M., *Chem. Pharm. Bull.*, **13**, 1273 (1965).
250. Hoffer M., *Chem. Ber.*, **93**, 2777 (1960).
251. Michelson A. M., Pochon F., *Biochim. Biophys. Acta*, **114**, 469 (1966).
252. Griffin B. E., Reese C. B., *Biochim. Biophys. Acta*, **68**, 185 (1963).
253. Кочетков Н. К., Будовский Э. И., Шибаев В. Н., Спиридонова С. М., *ХПС*, **1968**, 123.
254. Michelson A. M., Grunberg-Manago M., *Biochim. Biophys. Acta*, **91**, 92 (1964).
255. Ludlum D. B., Warner R. C., Wahba A. J., *Science*, **145**, 397 (1964).
256. Lawley P. D., Brookes P., *Biochem. J.*, **89**, 127 (1963).
257. Bollack C., Keith G., Ebel J. P., *Bull. Soc. chim. biol.*, **47**, 765 (1965).
258. Ludlum D. B., *Biochim. Biophys. Acta*, **119**, 630 (1966).
259. Brookes P., Lawley P. D., *J. Chem. Soc.*, **1961**, 3923.
260. Brookes P., Dipple A., Lawley P. D., *J. Chem. Soc.*, (C), **1968**, 2026.
261. Imura N., Tsuruo T., Ukita T., *Chem. Pharm. Bull.*, **16**, 1105 (1968).
262. Clark V. M., Todd A. R., Zussman J., *J. Chem. Soc.*, **1951**, 2952.
263. Holmes R. E., Robins R. K., *J. Org. Chem.*, **28**, 3483 (1963).
264. Windmueller H. G., Kaplan N. O., *Biochim. Biophys. Acta*, **61**, 307 (1962).
265. Windmueller H. G., Kaplan N. O., *J. Biol. Chem.*, **236**, 2716 (1961).
266. Ukita T., Okuyama H., Hayatsu H., *Chem. Pharm. Bull.*, **11**, 1399 (1963).
267. Mizuno H., Okuyama H., Hayatsu H., Ukita T., *Chem. Pharm. Bull.*, **12**, 1240 (1964).
268. Fraenkel-Conrat H., *Biochim. Biophys. Acta*, **49**, 169 (1961).
269. Roberts J. J., Warwick G. P., *Biochem. Pharmacol.*, **12**, 1441 (1963).
270. Colburn N. H., Richardson R. G., Boutwell R. K., *Biochem. Pharmacol.*, **14**, 1113 (1965).
271. Baugh C. M., Shaw E. N., *Biochim. Biophys. Acta*, **114**, 213 (1966).
272. Lawley P. D., Brookes P., *J. Mol. Biol.*, **25**, 143 (1967).
273. Lorkiewicz Z., Shybalski W., *J. Bacteriol.*, **82**, 195 (1961).
274. Brookes P., Lawley P. D., *Biochem. J.*, **77**, 478 (1960).
275. Brookes P., Lawley P. D., *Biochem. J.*, **80**, 496 (1961).
276. Price C. C., Gaucher G. M., Koneru P., Shibakawa R., Sowa J. R., Yamaguchi M., *Biochim. Biophys. Acta*, **166**, 327 (1968).
277. Уланов Б. П., Малышева Л. Ф., *Биофизика*, **12**, 235 (1967).
278. Belikova A. M., Zarytova V. F., Grineva N. I., *Tetrahedron Letters*, **1967**, 3557.
279. Беликова А. М., Гринева Н. И., *Изв. Сиб. отд. АН СССР, сер. хим.*, № 11, 79 (1966).
280. Гринева Н. И., Зарытова В. Ф., Кнорре Д. Г., *ЖОХ*, **40**, 215 (1970).
281. Гринева Н. И., Зарытова В. Ф., *Изв. Сиб. отд. АН СССР, сер. хим.*, № 5, 125 (1968).
282. Зарытова В. Ф., Соколова Н. И., Гринева Н. И., Кнорре Д. Г., Шабарова З. А., *Изв. Сиб. отд. АН СССР, сер. хим.*, № 6, 101 (1968).
283. Беликова А. М., Вахрушева Т. Е., Власов В. В., Гринева Н. И., Кнорре Д. Г., Курбатов В. А., *Мол. биол.*, **3**, 210 (1969).

284. Бел
321
19
Гри
285. Мол
Вас
Мол
286. Dos
287. Dos
288. Koh
289. Law
290. Koh
291. Cha
292. Yos
293. Yos
294. Ofel
295. Chem
296. Rak
297. Yosh
298. Yosh
299. Yosh
Acta
300. Jone
301. Gilh
302. Ho
303. Гир
304. Гир
351
305. Nay
306. Кно
Биох
307. Nay
308. Aug
309. Bros
310. Lee
(1965
311. Ива
312. Дре
Мол
313. Loh
314. Bro
315. Ben
1951
316. Wey
317. Sch
Soc.
318. Ayl
319. Eyr
320. Lew
321. Ste
Chem
322. Ste
323. Ste
1734
324. McC
325. Kle

284. Беликова А. М., Вахрушева Т. Е., Власов В. В., Гринева Н. И., Зарытова В. Ф., Кнорре Д. Г., Теплова Н. М., Мол. биол., 4, 30 (1970).
285. Гринева Н. И., Кнорре Д. Г., Сенженко Л. П., Теплова Н. М., Мол. биол. 4, 307 (1970).
286. Власов В. В., Гринева Н. И., Зарытова В. Ф., Кнорре Д. Г., Мол. биол., 4, 201 (1970).
287. Doskočil J., Šormova Z., Coll. Czech. Chem. Comm., 30, 481 (1965).
288. Doskočil J., Šormova Z., Coll. Czech. Chem. Comm., 30, 492 (1965).
289. Kohn K. W., Spears C. L., Biochim. Biophys. Acta, 145, 734 (1967).
290. Lawley P. D., Brookes P., J. Mol. Biol., 25, 143 (1967).
291. Kohn K. W., Spears C. L., Doty P., J. Mol. Biol., 19, 266 (1966).
292. Chambers R. W., Biochemistry, 4, 219 (1965).
293. Yoshida M., Ukita T., J. Biochem., 57, 818 (1965).
294. Yoshida M., Ukita T., Biochim. Biophys. Acta, 157, 455 (1968).
295. Ofengand J., Biochem. Biophys. Res. Comm., 18, 192 (1965); J. Biol. Chem., 242, 5034 (1967).
296. Rake A. V., Tener G. M., Biochemistry, 5, 3992 (1966).
297. Yoshida M., Ukita T., Biochim. Biophys. Acta, 157, 466 (1968).
298. Yoshida M., Kaziro Y., Ukita T., Biochim. Biophys. Acta, 166, 646 (1968).
299. Yoshida M., Furuichi Y., Kaziro Y., Ukita T., Biochim. Biophys. Acta, 166, 636 (1968).
300. Jones A. S., Tittensor J. R., Tetrahedron Letters, 1968, 3071.
301. Gilham P. T., J. Am. Chem. Soc., 84, 687 (1962).
302. Ho N. W. Y., Gilham P. T., Biochemistry, 6, 3632 (1967).
303. Гиршович А. С., Шубина Т. Н., Мол. биол., 3, 235 (1969).
304. Гиршович А. С., Грачев М. А., Обухова Л. В., Мол. биол., 2, 351 (1968).
305. Naylor R., Ho N. W. Y., Gilham P. T., J. Am. Chem. Soc., 87, 4209 (1965).
306. Кнорре Д. Г., Малыгин Э. Г., Мушинская Г. С., Фаворов В. В., Биохимия, 31, 334 (1966).
307. Naylor R., Gilham P. T., Biochemistry, 5, 2722 (1966).
308. Augustini-Tocco G., Brown G. L., Nature, 206, 683 (1965).
309. Brostoff S. W., Ingram V. M., Science, 158, 666 (1967).
310. Lee J. C., Ho N. W. Y., Gilham P. T., Biochim. Biophys. Acta, 95, 503 (1965).
311. Иванова О. И., Кнорре Д. Г., Малыгин Э. Г., Мол. биол., 1, 335 (1967).
312. Древич В. Ф., Кнорре Д. Г., Малыгин Э. Г., Салганик Р. И., Мол. биол., 1, 249 (1967).
313. Lohrmann R., Khorana H. G., J. Am. Chem. Soc., 86, 4188 (1964).
314. Brown D. M., Todd A. R., Varadarajan S., J. Chem. Soc., 1956, 2384.
315. Bentley H. R., Cunningham K. G., Spring F. S., J. Chem. Soc., 1951, 2301.
316. Weygand F., Wirth H., Chem. Ber., 85, 1000 (1952).
317. Schaller H., Weimann G., Lerch B., Khorana H. G., J. Am. Chem. Soc., 85, 3821 (1963).
318. Aylward N. N., J. Chem. Soc., (B), 1966, 627.
319. Eyring E. J., Ofengand J., Biochemistry, 6, 2500 (1967).
320. Lewin S., Experientia, 20, 666 (1964).
321. Stevens M. A., Magrath D. I., Smith H. W., Brown G. B., J. Am. Chem. Soc., 80, 2755 (1958).
322. Stevens M. A., Brown G. B., J. Am. Chem. Soc., 80, 2759 (1958).
323. Stevens M. A., Smith H. W., Brown G. B., J. Am. Chem. Soc., 81, 1734 (1959).
324. McCormick D. B., Biochemistry, 5, 746 (1966).
325. Klenow H., Frederiksen S., Biochim. Biophys. Acta, 52, 384 (1961).

326. Cramer F., Randerath K., Schäfer E. A., *Biochim. Biophys. Acta*, **72**, 150 (1963).
327. Cramer F., Seidel H., *Biochim. Biophys. Acta*, **72**, 157 (1963).
328. Delia T. J., Olsen M. J., Brown G. B., *J. Org. Chem.*, **30**, 2766 (1965).
329. Subbaraman L. R., Subbaraman J., Behrman E. J., *Chem. Comm., Biochemistry*, **8**, 3059 (1969).
330. Delia T. J., Brown G. B., *J. Org. Chem.*, **31**, 178 (1966).
331. Seidel H., *Biochim. Biophys. Acta*, **138**, 98 (1967).
332. Sigel H., Brintzinger H., *Helv. Chim. Acta*, **48**, 433 (1965).
333. Parham J. C., Fissekis J., Brown G. B., *J. Org. Chem.*, **31**, 966 (1966).
334. Stevens M. A., Smith H. W., Brown G. B., *J. Am. Chem. Soc.*, **82**, 3189 (1960).
335. Cramer F., Seidel H., *Biochim. Biophys. Acta*, **91**, 14 (1964).
336. Seidel H., Cramer F., *Biochim. Biophys. Acta*, **108**, 367 (1965).
337. Cramer F., Erdmann V. A., *Nature*, **218**, 92 (1968).
338. Rhaese H. J., *Biochim. Biophys. Acta*, **166**, 311 (1968).
339. Long R. A., Robins R. K., Townsend L. B., *J. Org. Chem.*, **32**, 2751 (1967).
340. Ikehara M., Tazawa I., Fukui T., *Chem. Pharm. Bull.*, **17**, 1019 (1969).
341. Ikehara M., Uesugi S., *Chem. Pharm. Bull.*, **17**, 348 (1969).
342. Fritzsche H., *Biochim. Biophys. Acta*, **149**, 173 (1967).
343. Maslova R. N., Lesnik E. A., Varshawsky Ya. M., *Biochem. Biophys. Res. Comm.*, **34**, 260 (1969).
344. Maslova R. N., Lesnik E. A., Varshawsky Ya. M., *FEBS Letters*, **3**, 211 (1969).
345. Shelton K. R., Clark J. M. jr., *Biochem. Biophys. Res. Comm.*, **33**, 851 (1968).
346. Di Giamberardino L., Koller T., Beer M., *Biochem. Biophys. Acta*, **182**, 523 (1969).
347. Hayatsu H., Iida S., *Tetrahedron Letters*, **1969**, 1031.
348. Kanaoka Y., Sato E., Aira M., Yonemitsu S., Mizuno Y., *Tetrahedron Letters*, **1969**, 3361.
349. Klötzer W., Herberz M., *Monatsh.*, **96**, 1731 (1965).
350. Klötzer W., *Monatsh.*, **97**, 1117 (1966).
351. Broom A. D., Robins R. K., *J. Org. Chem.*, **34**, 1025 (1969).
352. Singer B., Fraenkel-Conrat H., Greenberg J., Michelson A. M., *Science*, **160**, 1235 (1968).
353. Singer B., Fraenkel-Conrat H., *Biochemistry*, **8**, 3260 (1969).
354. Singer B., Fraenkel-Conrat H., *Biochemistry*, **8**, 3269 (1969).
355. Бедняк А. Е., Сизова С. Т., в сб. «Специфичность химического мутагена», Изд. «Наука», 1968, стр. 20.
356. Černa J., Rychlík I., Šorm F., *Coll. Czech. Chem. Comm.*, **31**, 366 (1966).
357. Захарян Р. А., Венкстерн Т. В., Баев А. А., *Биохимия*, **32**, 1068 (1967).
358. Bollack C., Dirheimer G., Ebel J. P., *Abstr. 6th Meet. of FEBS, Madrid*, 1969, p. 59.
359. Bollack C., Ebel J. P., *Bull. Soc. chim. biol.*, **50**, 2351 (1968).
360. Lawley P. D., Lethbridge J. H., Edwards P. A., Shooter K. V., *J. Mol. Biol.*, **39**, 181 (1969).
361. Lee J. C., Ingram V. M., *J. Mol. Biol.*, **41**, 431 (1969).
362. Meltz D. H., Brown G. L., *Biochemistry*, **8**, 2312, 2329 (1969).
363. Gangloff J., Ebel J. P., *Bull. Soc. chim. biol.*, **50**, 2335 (1968).
364. Cramer F., Doepner H., Haar F., Schlimme E., Seidel H., *Proc. Nat. Acad. Sci. US*, **61**, 1384 (1968).
365. Burton K., *Biochem. J.*, **104**, 686 (1967).

РЕАКЦИИ
ОСНОВНЫЕ
ПРОИЗВОДНЫЕ

1. ВВЕДЕНИЕ

Для построения модифицированной реакции, в новых и производных аденина и ксантина и их производных (см. гл. 3) карбонильной производной с тронной с свойствами, но отличающимися от амидов.

II. РЕАКЦИИ
ЭКЗОЦИКЛИЗАЦИИ

Экзоциклические основания сопряжены с воздействием σ-электрофильного заряда (и их производных) на атом, становясь центрами действия нуклеофильных карбонильных групп.

26 Задача

РЕАКЦИИ ЭКЗОЦИКЛИЧЕСКИХ ЗАМЕСТИТЕЛЕЙ ОСНОВАНИЙ НУКЛЕИНОВЫХ КИСЛОТ И ИХ ПРОИЗВОДНЫХ

I. ВВЕДЕНИЕ

Для понимания вопросов реакционной способности и химической модификации нуклеиновых кислот важное значение имеют реакции, в которых участвуют экзоциклические заместители пуриновых и пиримидиновых оснований, т. е. аминогруппы цитозина, аденина или гуанина, карбонильные группы урацила, гуанина, ксантина и их производных, а также реакции атома серы тиопроизводных (редких компонентов РНК). Как уже отмечалось выше (см. гл. 3), n -электроны атомов азота аминогрупп и кислорода карбонильных групп оснований нуклеиновых кислот (и их производных) в значительной степени взаимодействуют с π -электронной системой гетероциклического кольца, вследствие чего свойства соответствующих компонентов нуклеиновых кислот сильно отличаются от свойств простых аминов, амидов или тиоамидов.

II. РЕАКЦИЯ ЗАМЕЩЕНИЯ ПО АТОМУ АЗОТА ЭКЗОЦИКЛИЧЕСКОЙ АМИНОГРУППЫ

Экзоциклические аминогруппы пуриновых и пиримидиновых оснований, как упоминалось выше (см. стр. 153), при образовании сопряженной системы отдают в нее два π -электрона и приобретают вследствие этого частичный положительный заряд. Однако учет σ -электронной плотности (см. стр. 155) показывает, что суммарный заряд на атомах азота экзоциклических аминогрупп оснований (и их производных) будет все же отрицательным, и, таким образом, становится возможной атака электрофильных реагентов по этим центрам. К числу подобных реакций относится взаимодействие нуклеозидов с активированными производными карбоновых кислот (например, с ангидридами, хлорангид-

ридами и т. д.), активными альдегидами и другими соединениями с частичным положительным зарядом на атоме углерода (например, с диалкоксаминметанами — ацеталами диметилформамида). Электрофильными агентами, вступающими в реакцию по аминогруппе нуклеозидов, могут служить также азотсодержащие соединения, например соли диазония. Достаточно легко атакует аминогруппу в нуклеозидах и катион нитрозония — активный компонент, присутствующий в смеси нитрита и кислоты. Однако промежуточно образующееся диазосоединение в этом случае (в отличие от ароматических аминов) не может стабилизироваться за счет подачи электронов от ядра, вследствие чего оно крайне легко распадается и конечным результатом реакции, как и в случае алифатических аминов, является дезаминирование исходного соединения.

По своему химическому поведению аминогруппа в компонентах нуклеиновых кислот наиболее близка, по-видимому, к аминогруппе ароматических аминов, содержащих сильные электроноакцепторные заместители, например к аминогруппе *p*-нитроанилина. Дополнительное осложнение состоит здесь, однако, в том, что даже простейшие производные данного ряда (нуклеозиды) содержат также и другие функциональные группы, способные вступать в реакцию с электрофильными реагентами. Это атомы азота пиридинового типа в гетероциклическом ядре, гидроксильные группы остатка моносахарида. При переходе от нуклеозида к нуклеотиду проведение реакции осложняется еще больше: за счет появления в молекуле функциональной группы с сильными нуклеофильными свойствами — остатка фосфорной кислоты — создается возможность новых побочных реакций. При реакциях с олиго- и полинуклеотидами вследствие таких побочных реакций могут возникать тризамещенные производные фосфорной кислоты, в которых крайне облегчена атака нуклеофильных агентов на атом фосфора, что может приводить к расщеплению полимерной цепи. Поэтому подбор оптимальных условий проведения реакции по экзоциклическим заместителям ядер на полинуклеотиде является обычно достаточно трудной задачей.

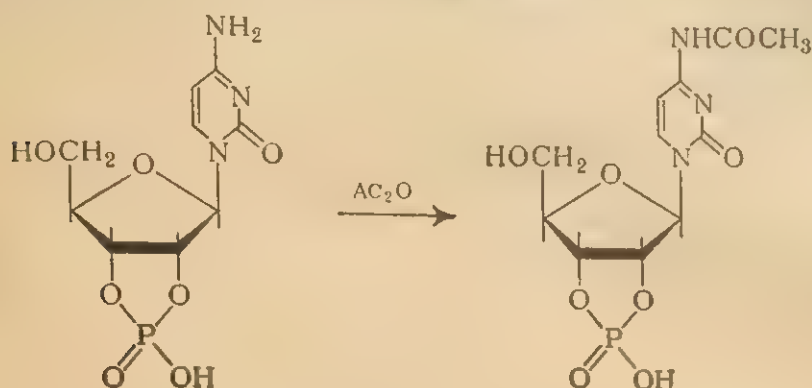
1. N-Ацилирование

Из трех основных нуклеозидов РНК, содержащих аминогруппы, легче всего вступает в реакции ацилирования цитидин. Специфическое ацилирование аминогруппы в цитидине без затрагивания гидроксильных групп остатка рибозы и атома азота N-3 может быть достигнуто при обработке нуклеозида ограниченным количеством ацилирующего агента.

Впервые избирательное N-ацилирование экзоциклической аминогруппы было осуществлено на примере цитидин-2',3'-циклофос-

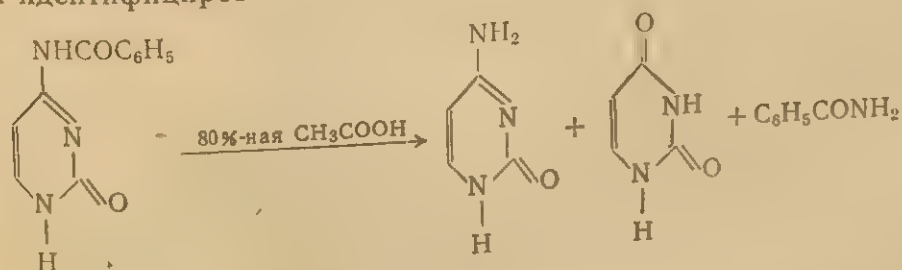


фата действием уксусного ангидрида в смеси диоксан — диметил-формамид в присутствии три-*n*-бутиламина¹.

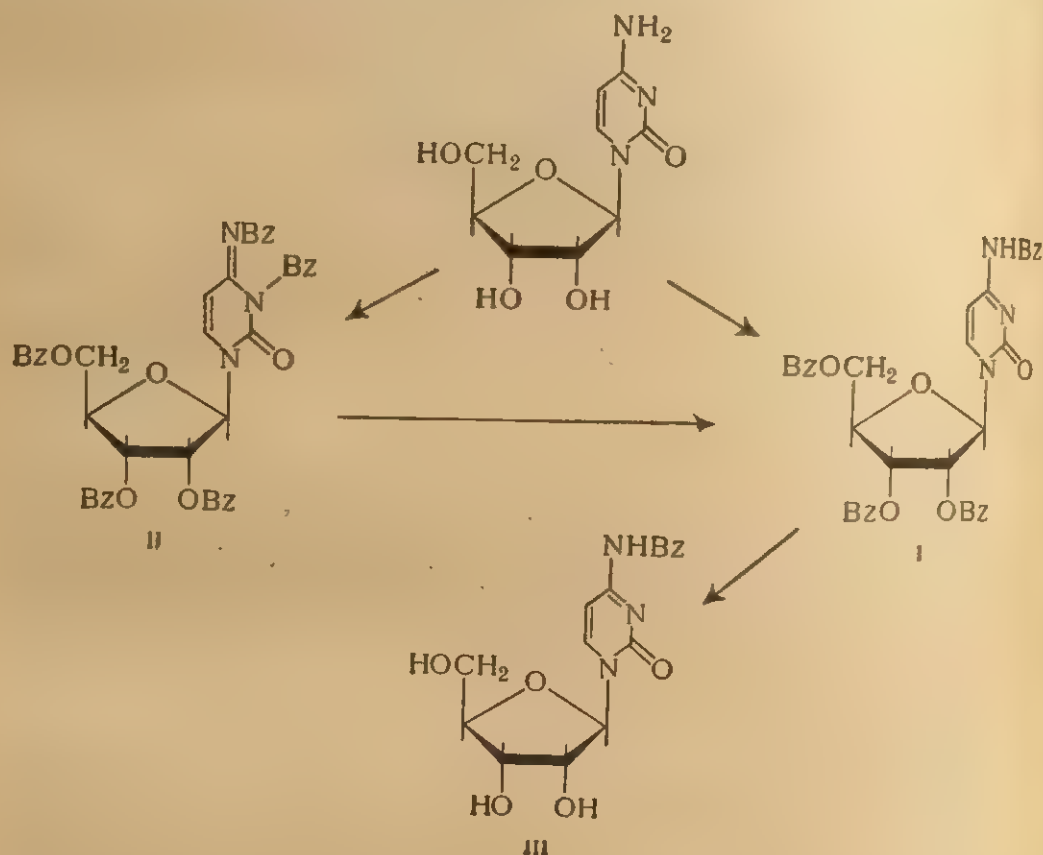


В дальнейшем оказалось, что селективное ацетилирование аминогрупп может быть проведено и при действии уксусного ангидрида в пиридине². Был предложен целый ряд специфических ацилирующих агентов: тиюксусная кислота³ и *N*-ацетокси-1,2-дигидрохинолинон-2⁴ — для избирательного *N*-ацетилирования цитидина; *N*-бензоилимидазол⁵, бензазид⁶ и *N*-бензоилоксисукцинимид⁷ — для *N*-бензоилирования цитидина. Однако наиболее удобным и общим методом селективного *N*-ацелирования цитидина и 2'-дезоксцитидина по аминогруппе является недавно разработанный метод^{8,9}, состоящий в постепенном добавлении ангидрида кислоты к кипящему спиртовому раствору нуклеозида; *N*-ацильные производные образуются при этом с выходом 80—90%.

Расположение ацильной группы у экзоциклического атома азота подтверждается физико-химическими свойствами *N*-ацетилцитидина^{10,11}. ИК-Спектры и спектры ЯМР однозначно показывают отсутствие в продукте реакции свободной NH_2 -группы и связь ацетильной группы с экзоциклическим заместителем, а не с азотом цикла. В УФ-спектре наблюдается характерный длинноволновый максимум в области 300 мк. В ряду производных цитозина структура подтверждена и химическим методом¹²: при кислотном гидролизе 4-экзо-*N*-бензоилцитозина наряду с цитозином и урацилом был идентифицирован бензамид:



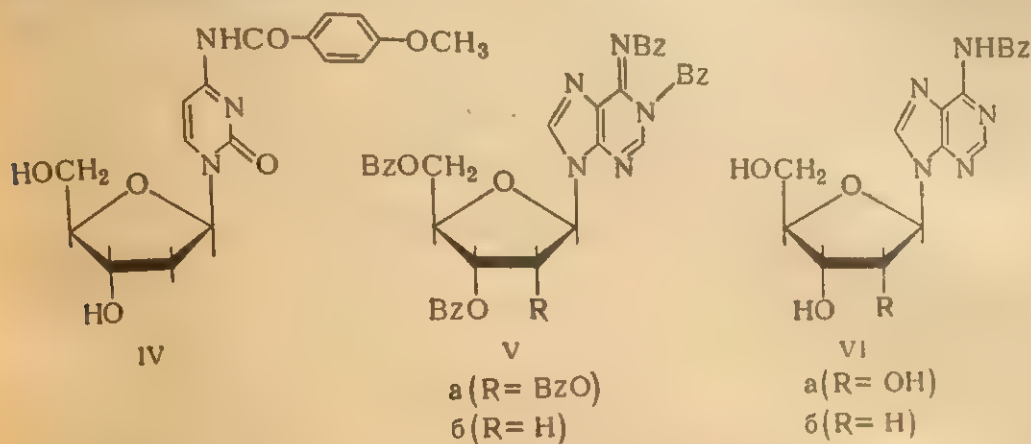
При ацилировании цитидина в более жестких условиях протекают и другие реакции. Так, при взаимодействии цитидина с бензоилхлоридом в пиридине¹² при комнатной температуре можно получить 4-экзо-N,2',3',5'-тетрабензоилцитидин I, а при 100°С — пентаацилированное производное II:



Соединение II легко переходит¹² в тетрапроизводное I; при мягкой щелочной обработке последнего удаётся получить¹³ 4-экзо-N-бензоилцитидин III. Бензоильная группа в соединении III отщепляется при более жесткой щелочной обработке.

Такой подход — полное ацилирование нуклеозида и последующее избирательное О-деацилирование — широко применяется в настоящее время для получения N-ацильных производных нуклеозидов и нуклеотидов, используемых в синтезе олигонуклеотидов (см. гл. 1). Различие в скорости отщепления О- и N-ацильных групп в нуклеозидах увеличивается при переходе от ацетатов к бензоатам и далее к производным *n*-метоксибензойной (анисовой) кислоты параллельно уменьшению скорости деацилирования. Поэтому наиболее часто в синтезе олигонуклеотидов используется N-(*n*-ани-

зоил)-2'-дезокситидин IV, который может быть получен с наиболее высоким выходом ¹⁴.



Избирательное деацилирование полностью ацилированных производных аденозина и гуанозина является единственным доступным методом получения N-ацильных производных этих нуклеозидов, так как при частичном ацилировании всегда образуются и O-ацильные производные. Исчерпывающее бензоилирование аденозина и 2'-дезоксаденозина действием бензоилхлорида приводит соответственно к пента-Va ^{15, 16} или тетрабензоилпроизводному Vb ¹⁴; при обработке этих соединений аммиаком получают 6-экзо-N-бензоиладенозин VIa ^{17, 18} или 6-экзо-N-бензоил-2'-дезоксаденозин VIb ¹⁴. Структура образующихся производных строго не доказана; она была принята по аналогии со структурой соответствующих производных цитидина.

Еще менее определенные данные имеются о структуре N-ацилированных производных гуанозина. Считается, что в известных соединениях этого ряда — N,2',3'-триацетилгуанозине ¹⁹ и N,2',5'-трибензоилгуанозине ²⁰ ацильная группа связана с аминогруппой при C-2, хотя данное предположение, по существу, не доказано*.

Как и следовало ожидать, N-ацильные производные нуклеозидов заметно отличаются по своему химическому поведению от обычных амидов кислот. Выше уже отмечалось, что они достаточно легко расщепляются в щелочной среде, причем действие аммиака или метиламина намного эффективнее, чем действие щелочи. Легкость расщепления уменьшается при переходе от производных цитидина к производным аденозина и особенно гуанозина; в последнем случае количественного деацилирования удается добиться только в случае ацетильных, но не бензоильных производных. Расщепление N-ацильных связей может происходить также

* Структура 2-экзо-N-ацилгуанинов недавно была доказана встречным синтезом ¹³⁷ из продуктов конденсации гуанина с α-дикарбонильными соединениями (см. стр. 413) и последующим восстановлением до 2-экзо-N-алкилгуанинов.

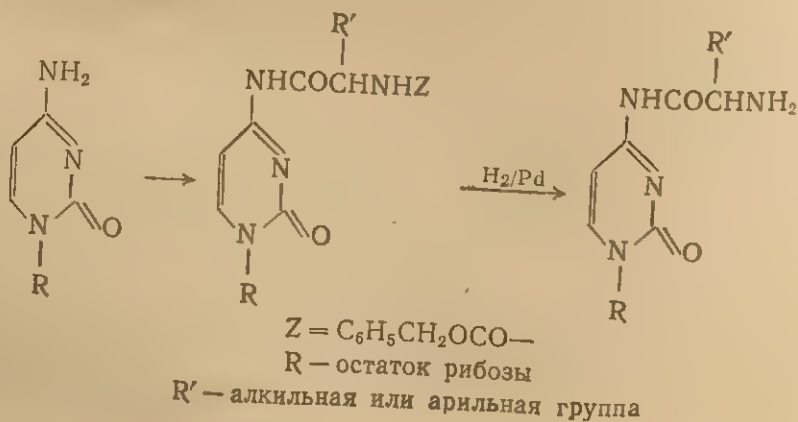
под действием гидроксиламина с образованием соответствующих гидроксамовых кислот, как это было показано на примере аминокислотных производных дезоксицитидина²¹.

Аналогичная реакция происходит и при действии гидразина. При этом удалось подобрать условия [0,5 М раствор гидразина в смеси пиридин — уксусная кислота (4:1), 14 ч при $\sim 20^\circ\text{C}$], в которых 4-экзо-N,3', 5'-трибензоилдезоксицитидин и тетрабензоил-дезоксиаденозин гладко превращаются в 3',5'-ди-О-бензоилдезоксицитидин и 3',5'-ди-О-бензоилдезоксиаденозин²²; для N-ацетил-дезоксигуанозина N-деацилирования в этих условиях не происходит.

При обработке экзо-N-ацильных производных цитозина и цитидина кислотой деацилирование сопровождается дезаминированием с отщеплением амида кислоты. Так, из N-ацетилцитозина образуются урацил и цитозин в соотношении 1:1, а из N-бензоилцитозина — в соотношении 33:1¹². В ряду производных нуклеозидов степень дезаминирования несколько меньше²³.

Другая необычная реакция экзо-N-ацильных производных нуклеозидов — легкое расщепление в них N-гликозидной связи, которое может происходить как при мягкой кислотной, так и при щелочной обработке. Эта реакция, так же как и дезаминирование N-ацильных производных нуклеозидов, становится более заметной с увеличением электронодонорных свойств радикала кислоты. Так, получить 6-экзо-N-анизоилдезоксиаденозин по схеме, аналогичной использованной для синтеза 6-экзо-N-бензоилдезоксиаденозина, не удалось из-за расщепления N-гликозидной связи¹⁴.

В связи с изучением проблемы взаимодействия нуклеиновых кислот с белками значительное внимание было уделено получению N-аминоацильных и пептидных производных нуклеозидов. Как и в случае простых ацильных производных, избирательной реакции по аминогруппе удается добиться только в случае цитидина²⁴ и его производных^{21, 25, 26}. Для этой цели может быть использовано взаимодействие нуклеозида со смешанным ангидридом защищенной аминокислоты:



II. ЗАМЕЩ

Бол
бобензо
гексилка
дит изби
не — О-а
сахара (

Получ
глюкопир
хлоранги
виях²⁷;

гидрокси
нин был
вым эфид
защитных
пировыва

Экзоц
гаться и
агентов.
ризованы
методов.

защитнен
этилфосф
N-фосфор
в случае

10%. Воз
зовать при
производн
фосфоами
расщепля

Ацилир
быть глад
ным место
фатной гр
устойчив

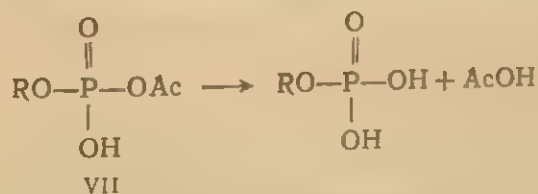
Исчерп
щепление
методом с
использова

Более удобным оказался метод, основанный на реакции N-карбобензоксикарбоаминокислоты с нуклеозидом в присутствии дициклодита избирательное N-аминоацилирование; в абсолютном пиридине — O-аминоацилирование по гидроксильным группам остатка сахара (см. гл. 9).

Получение аминоацильных производных аденозина и 9-(β-D-глюкопиранозил)-гуанина удалось осуществить лишь с помощью хлорангидридов N-фталоиламинокислот в довольно жестких условиях²⁷; реакция сопровождается ацилированием незамещенных гидроксильных групп в остатке моносахарида. 6-экзо-N-Глициладенин был синтезирован взаимодействием аденина с *п*-нитрофениловым эфиром N-карбобензоксиглицина и последующем удалением защитных групп²⁸, в водных растворах он крайне легко перегруппировывается в N-(пуринил-6)-глицин (см. стр. 454).

Экзоциклические аминогруппы в нуклеозидах могут подвергаться и фосфорилированию под действием фосфорилирующих агентов. Образующиеся при этом фосфоамиды не были охарактеризованы, а лишь обнаружены с помощью хроматографических методов. При фосфорилировании в стандартных условиях 2',3'-O-защищенных производных рибонуклеозидов при действии 2-цианэтилфосфата и дициклогексилкарбодиимида²⁹ в случае цитидина N-фосфорилированные производные образуются с выходом 45%, в случае аденозина выход составляет 20% и в случае гуанозина 10%. Возможность протекания такой реакции заставляет использовать при синтезе олигонуклеотидов защищенные по аминогруппе производные нуклеозидов и нуклеотидов. В отличие от обычных фосфоамидов продукты N-фосфорилирования нуклеозидов легко расщепляются при действии аммиака.

Ацилирование аминогруппы гетероциклического ядра может быть гладко осуществлено и для нуклеотидов. При этом первичным местом атаки ацилирующего агента является кислород фосфатной группы. Образующийся смешанный ангидрид типа VII мало устойчив и легко расщепляется при обработке водным пиридином:



R — остаток нуклеозида

Исчерпывающее ацилирование нуклеотидов и последующее расщепление O-ацильных производных оказалось наиболее удобным методом синтеза N-ацилированных нуклеотидов. Такой путь был использован для получения производных ряда дезоксирибонуклео-

зид-5'-фосфатов^{23, 30, 31, 138} и рибонуклеозид-3'-фосфатов^{13, 19, 32}. Аналогичный подход пригоден и для получения N-ацилированных рибонуклеозидфосфатов^{33, 34}.

Избирательное ацилирование остатка цитидина удается провести и в полинуклеотидах. При обработке водного раствора полицитидиловой кислоты смесью уксусного ангидрида и трибутиламина получен полимер, содержащий 25—28% остатков 4-экзо-N-ацетилцитидина³⁵; он сохраняет высокий молекулярный вес и полностью гидролизует панкреатической пиримидил-РНК-азой, что указывает на отсутствие изомеризации межнуклеотидной связи. Подобным же путем было проведено ацелирование сополимеров уридиловой и цитидиловой кислот³⁵. Действие тиоуксусной кислоты и трибутиламина на раствор цетавлоновой соли суммарной РНК в диметилформамиде дает полимер, в котором ацелировано до 60% остатков цитидина¹¹; при этом не происходит ацелирования других гетероциклических оснований (кроме цитозина) или гидроксильных групп остатков рибозы. Специфического ацелирования остатков цитидина в транспортной и рибосомальной РНК удается добиться также при действии уксусного ангидрида в диметилформамиде¹³⁹. Такого рода химическая модификация РНК может быть, очевидно, использована для различных функциональных исследований прежде всего для выяснения значения остатка 4-экзо-N-ацетилцитидина в составе тРНК, редким компонентом которой он является (см. стр. 53). Подобные исследования, однако, пока не описаны. Показано, что ацилирование аминогруппы цитидина приводит к уменьшению способности поли-С и поли-(С, U) вызывать включение аминокислот в бесклеточной системе синтеза белка³⁵.

Как уже отмечалось, производные 4-экзо-N-ацетилцитидина способны расщепляться панкреатической пиримидил-РНК-азой. Напротив, олигонуклеотиды, содержащие N-ацилированные остатки гуанозина, не являются субстратами для гуанил-РНК-азы T_1 ²⁰. В принципе ацелирование РНК по остаткам гуанозина могло бы быть полезным при исследовании первичной структуры РНК. Однако методов для решения этой задачи в настоящее время не разработано.

2. Взаимодействие с альдегидами

Пониженная способность аминогруппы гетероциклических оснований нуклеиновых кислот и их производных подвергаться электрофильной атаке приводит к тому, что эти вещества могут вступать в реакцию только с наиболее активными карбонильными соединениями. Уже в 1954 г. при изучении инактивации вируса табачной мозаики было обнаружено, что РНК этого вируса, а также нуклеозиды и нуклеотиды, содержащие экзоциклические аминогруп-

Рис. 6.1.
зид-5'-фос-
обработки
1 — кривая
фосфата;
3 — дезокси-
ция нукл.
 $2,89 \cdot 10^{-5}$ М;
0,91М; 0,11М

выделит
не доказ
заключи
дом в ка
ние N-м

Нель
туры ти
единени
раствор
Из с
акцию с
носпосо
произво
несколь

пы, претерпевают характерные изменения УФ-спектра при обработке растворами формальдегида³⁶. Ранее уже упоминалось (см. гл. 5) способность формальдегида оксиметилировать NH-группы гетероциклического ядра и в более жестких условиях вступать в реакцию по С-5 пиримидиновых ядер. В данной главе речь идет о взаимодействии формальдегида с экзоциклической аминогруппой гетероциклических оснований.

Эта реакция быстро протекает в разбавленных водных растворах аденозина, цитидина, гуанозина и их производных; она сопровождается изменением УФ-спектров (рис. 6.1) и понижением рН реакционной смеси. Продукты реакции неустойчивы и легко разлагаются при удалении избытка формальдегида; их не удалось

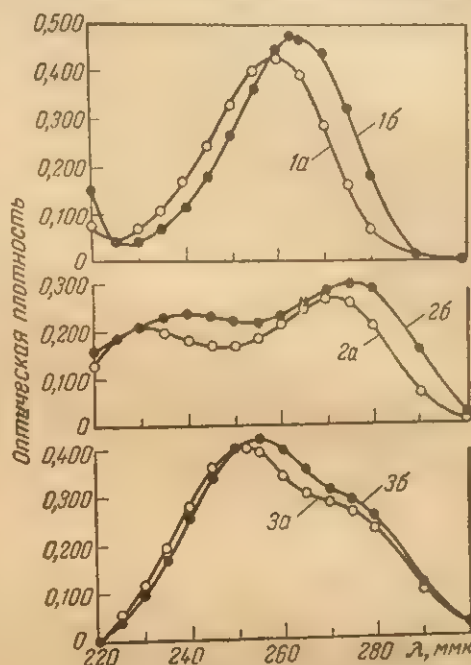
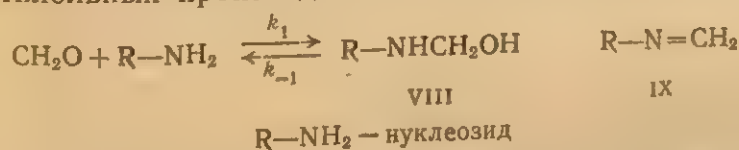


Рис. 6.1. УФ-Спектры дезокси-нуклеозид-5'-фосфатов до (а) и после их обработки формальдегидом (б)³⁹:

1 — кривая поглощения дезоксиаденозин-5'-фосфата; 2 — дезоксицитидин-5'-фосфата; 3 — дезоксигуанозин-5'-фосфата; концентрация нуклеотидов в каждом случае $2,88 \cdot 10^{-5}$ М, концентрация формальдегида 0,91М; 0,11М фосфатный буфер; рН 6,8.

выделить в индивидуальном состоянии, и строение их однозначно не доказано. На основании ряда косвенных данных^{35, 37-39} можно заключить, однако, что при реакции нуклеозидов с формальдегидом в качестве первичных продуктов наиболее вероятно образование N-метилольных производных типа VIII:



Нельзя, однако, однозначно исключить из рассмотрения структуры типа оснований Шиффа IX, хотя образование подобных соединений в применяемых условиях реакции (разбавленные водные растворы) кажется маловероятным.

Из основных компонентов РНК труднее всего вступают в реакцию с формальдегидом аденозин и его производные. Реакционная способность цитидина и гуанозина, а также их соответствующих производных близка, хотя гуанозин и его производные реагируют несколько быстрее. При переходе от рибонуклеотидов к дезокси-

рибонуклеотидам реакционная способность производных дезокси-гуанозина резко уменьшается и становится близкой к производным дезоксиаденозина.

Кинетика реакции нуклеотидов с формальдегидом хорошо описывается уравнением реакции первого порядка, достигающей равновесия⁴⁰; значения констант скоростей прямой (k_1) и обратной

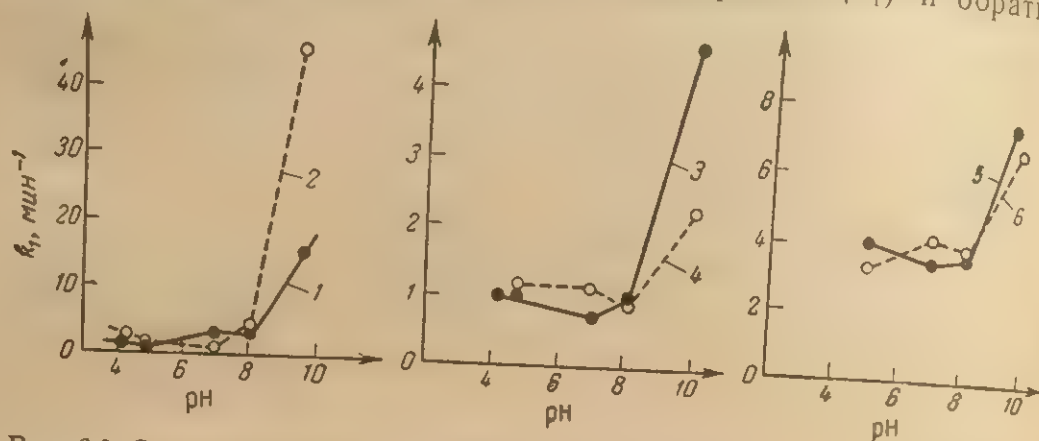


Рис. 6.2. Зависимость скорости реакции нуклеотидов с формальдегидом от pH⁴⁰.

1 — реакция гуанозин-5'-фосфата; 2 — дезоксигуанозин-5'-фосфата; 3 — аденозин-5'-фосфата; 4 — дезоксиаденозин-5'-фосфата; 5 — цитидин-5'-фосфата; 6 — дезоксцитидин-5'-фосфата; 1% — раствор формальдегида.

(k_{-1}) реакций, а также констант равновесия K приведены в табл. 6.1. Константа скорости псевдопервого порядка для прямой реакции линейно зависит от концентрации формальдегида.

Таблица 6.1. Константы скорости прямой и обратной реакций и константы равновесия взаимодействия нуклеозид-5'-фосфатов с формальдегидом

Спектрофотометрический контроль реакции: концентрация нуклеотидов $5 \cdot 10^{-4}$ М; концентрация формальдегида 0,333 М (1%); 0,1 М фосфатный буфер; pH 7,05; 25°C

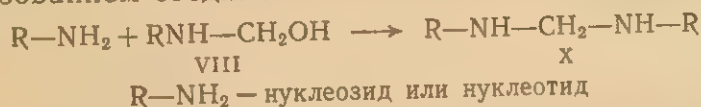
Нуклеотид	$k_1 \cdot 10^2$, мин ⁻¹	$k_{-1} \cdot 10^3$, мин ⁻¹	$K = \frac{k_1}{k_{-1}}$
Аденозин-5'-фосфат	0,585	0,51	11,4
Цитидин-5'-фосфат	3,04	1,83	16,6
Гуанозин-5'-фосфат *	3,50	6,60	5,3
Дезоксиаденозин-5'-фосфат	1,20	1,06	11,3
Дезоксцитидин-5'-фосфат	4,20	2,71	15,5
Дезоксигуанозин-5'-фосфат	1,30	0,29	45,0

* По данным³⁹, полученным в близких условиях, реакционная способность дезоксигуанозин-5'-фосфата заметно выше; отношение констант скоростей для реакций дезоксцитидин-5'-фосфата, дезоксигуанозин-5'-фосфата и дезоксиаденозин-5'-фосфата составляет 5 : 2 : 1.

Скорость реакции нуклеотидов с формальдегидом сильно зависит от pH⁴⁰ (рис. 6.2): она быстро увеличивается при pH выше 8,

что указывает на существование основного катализа. В реакцию вступают главным образом непротонированные формы оснований в составе нуклеозидов и нуклеотидов. В случае цитидина и дезоксицитидина показана, однако, возможность участия в реакции и протонированных форм нуклеозидов³⁸, причем константы равновесия для протонированных форм приблизительно в 10 раз меньше, чем для нейтральных форм. При изменении температуры скорость реакции различных нуклеотидов с формальдегидом изменяется примерно одинаково. Для дезоксинуклеозид-5'-фосфатов значение энергии активации найдено равным приблизительно 16,8 ккал/моль³⁹. Изменение ионной силы среды мало влияет на скорость реакции.

При продолжительной обработке нуклеозидов и нуклеотидов формальдегидом протекает следующая стадия реакции конденсации с образованием бис-(нуклеозидил)-или соответственно бис-(нуклеотидил)-метиленовых производных⁴¹. Строение этих соединений специально не доказывалось и по аналогии с первичной реакцией нуклеозидов с формальдегидом предполагается, что метиленовое звено соединяет аминогруппы двух остатков нуклеозидов с образованием соединений типа X:



Подобные бис-метиленовые производные устойчивы и могут быть выделены из реакционной смеси. Впервые их образование было показано на примере реакции формальдегида с аденозином⁴¹; в дальнейшем аналогичные соединения были получены исходя из аденозин-2'(3')-фосфата^{42, 43} и гуанозин-2'(3')-фосфата. При взаимодействии формальдегида со смесью аденозин-2'(3')-фосфата и гуанозин-2'(3')-фосфата удалось получить несимметричное производное типа X, содержащее остатки аденозина и гуанозина⁴³. Все эти бис-(нуклеотидил)-метиленовые производные были выделены также из продуктов щелочного гидролиза РНК, обработанной формальдегидом^{43, 44}.

Рассматриваемая реакция протекает очень медленно по сравнению с образованием N-метилольных производных* и выход бис-метиленовых производных невелик, достигая в оптимальных условиях 7—10%⁴³. Кривая, выражающая зависимость выхода бис-метиленовых производных от концентрации формальдегида, имеет характерный колоколообразный вид^{43, 45} с максимумом в области 0,1 М, что подтверждает необходимость для реакции исходного нуклеозида и N-метилольного производного типа VIII. Оптимум рН для этой реакции находится в слабокислой среде (рН ~4,8).

* Для препаративного получения соединения типа X из аденозина его выдерживали с раствором формальдегида в течение 393 (1) дней⁴¹.

Как видно из изложенного, взаимодействие формальдегида с нуклеозидами и нуклеотидами протекает в чрезвычайно мягких условиях и эта реакция может быть легко перенесена на полинуклеотиды.

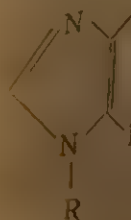
Скорость реакции формальдегида с полинуклеотидами в большой степени зависит от вторичной структуры полимера: реакция очень сильно замедляется или практически не протекает с двухцепочечными комплексами полинуклеотидов, стабилизированными водородными связями⁴⁶. Поэтому обработка формальдегидом широко используется в исследованиях вторичной структуры полинуклеотидов (см. гл. 4). Эта реакция была применена для изучения вторичной структуры полиадениловой⁴⁷ и полицитидиловой⁴⁸ кислот, а также для определения размеров и стабильности двухспиральных участков РНК^{39, 49-53} (см. также^{141, 142}). Денатурированная ДНК быстро реагирует с формальдегидом, причем продукт реакции теряет способность к ренатурации^{39, 40, 54}. Нативная ДНК, напротив, реагирует с формальдегидом крайне медленно⁵⁵; анализ кинетики реакции показывает, что реакция начинается на «дефектном» участке двухспиральной структуры⁵⁶ и концентрацию таких участков можно определить⁵⁷. Частичную денатурацию ДНК по специфическим участкам при действии формальдегида можно наблюдать под электронным микроскопом¹⁴³. Модификация полинуклеотидов формальдегидом была применена и для некоторых функциональных исследований, в частности для изучения инаktivации тРНК^{58, 59} и для исследования изменения кодирующей способности полиадениловой кислоты в бесклеточной системе³⁵.

Напротив, для исследования первичной структуры нуклеиновых кислот модификация формальдегидом не может иметь большого значения из-за неустойчивости первичных продуктов реакции и крайне медленного образования устойчивых продуктов типа X^* . Гораздо большие перспективы в этом отношении имеет взаимодействие нуклеотидов с альдегидами, содержащими дополнительные функциональные группы, взаимодействие которых с гетероциклическим ядром может приводить к стабилизации продукта реакции. Примером использования такого подхода при разработке специфических реагентов для химической модификации нуклеиновых кислот может служить исследование взаимодействия компонентов нуклеиновых кислот с α -окисью акролеина XI⁶⁰. Этот реагент способен гладко реагировать при pH 10,0 с гуанозинном и дезоксигуанозинном^{**}, в то время как другие обычные нуклеозиды

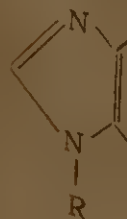
* Тем не менее образование бис-(нуклеотидил)-метиленовых производных можно использовать для ковалентного связывания сближенных в пространстве участков цепи тРНК¹⁴⁰.

** С 1 экв альдегида XI реакция в этих условиях заканчивается для обоих нуклеозидов за 30 мин при комнатной температуре; в нейтральной среде она идет значительно медленнее.

II ЗАМЕЩЕ
не вступа
ческая ам
трицикли

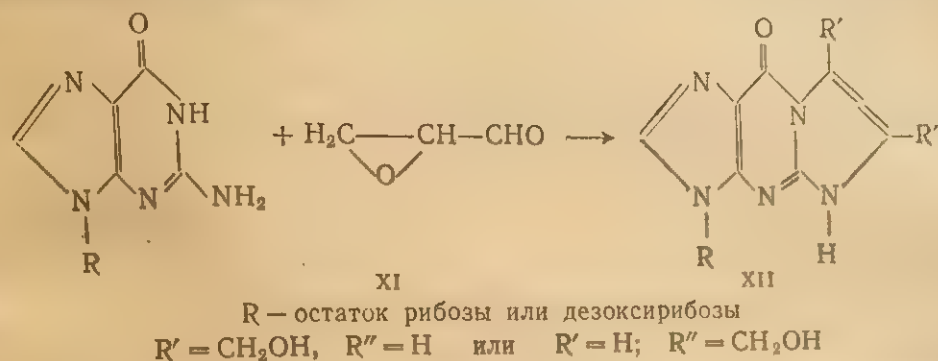


Необход
аминогруп
тилгуанин
напротив, 8
аналогично
со структур
Подобны
 α -дикарбони
ружена при
найдена до
активностью
во взаимодей
реакция гуа
(кетоксале



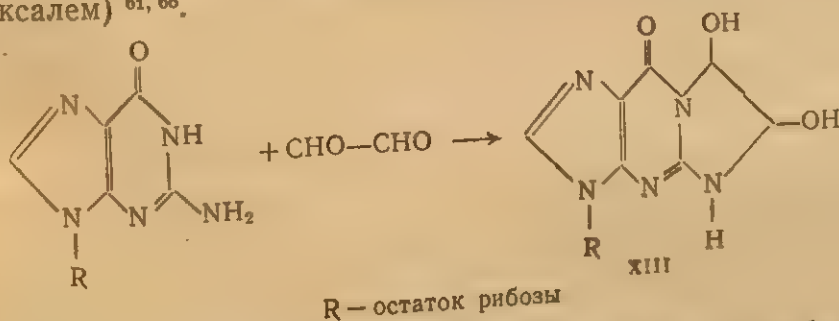
Помимо г
пать 2-экзо-N
N,N-диметил
не взаимодей
ное значение
реакции. Стр
циклического

не вступают в реакцию. Во взаимодействии участвуют экзоциклическая аминогруппа гуанина и атом азота N-1; в итоге образуется трициклический продукт XII:



Необходимость для реакции незамещенных экзоциклической аминогруппы и атома N-1 подтверждается тем, что 2-экзо-N-диметилгуанин и 1-N-метилгуанин не способны вступать в эту реакцию; напротив, 8-бромгуанозин и 7-(β -оксиэтил)-гуанин дают продукты аналогичного типа. Спектр ЯМР продуктов реакции согласуется со структурой XII.

Подобным же путем протекает и взаимодействие гуанозина с α -дикарбонильными соединениями^{61, 62}. Эта реакция впервые обнаружена при изучении инактивации вирусной РНК. При этом была найдена довольно хорошая корреляция между противовирусной активностью ряда α -кетоальдегидов и их способностью вступать во взаимодействие с гуанозином. Наиболее подробно изучалась реакция гуанозина с глиоксалем⁶²⁻⁶⁵ и 3-этоксипутанон-2-алем-1 (кетоксалем)^{61, 66}.



Помимо гуанозина и его производных в реакцию способен вступать 2-экзо-N-метилгуанин^{61, 64}; в противоположность этому 2-экзо-N,N-диметилгуанин⁶⁴, 1-N-метилгуанин⁶¹ и 1-N-метилгуанозин⁶⁴ не взаимодействуют с глиоксалем. Это указывает на существенное значение группировки $-\text{NH}-\text{C}(\text{NHR})=\text{N}-$ для протекания реакции. Структура продукта реакции с глиоксалем как трициклического соединения XIII подтверждается данными ЯМР⁶².

Продукт, образующийся из 3-этоксипутанон-2-аля-1, имеет, по-видимому, аналогичное строение.

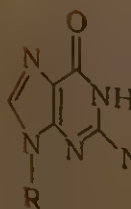
Недавно было показано, что при окислении периодатом продукта реакции гуанина с кетоксальем образуется 2-экзо-N-(α -этоксипропионил)-гуанин¹³⁷; это доказывает положение алкильного радикала в продукте реакции. Аналогичное строение имеет продукт реакции гуанина с пировиноградным альдегидом¹³⁷.

Количественная модификация гуанозин-5'-фосфата достигается⁶⁴ при действии 0,036 M (1%-ного) раствора глиоксаля в течение приблизительно 1 ч при 70°C и pH 6,8 (по более новым данным^{137, 144}, реакция идет быстрее при pH 7,0—8,5). Сообщалось об успешном проведении реакции при pH 4. По данным японских исследователей⁶⁵, которые контролировали прохождение реакции только спектрофотометрически, оптимум pH находится в щелочной области (pH 8,3—9,8) и реакция заканчивается за 2 ч (при комнатной температуре с 0,004 M раствором глиоксаля)*.

Продукт, образующийся при реакции гуанозина с глиоксальем, устойчив в кислой среде; в щелочной среде он довольно быстро разлагается с регенерацией гуанозина (время полупревращения при pH 10 и комнатной температуре составляет около 24 ч⁶⁴). При действии азотистой кислоты происходит расщепление продукта XIII с образованием ксантозина⁶²; окисление периодатом продукта, полученного модификацией гуанина (XIII, R = H), дает 2-экзо-N-формилгуанин^{67, 137}.

Под действием глиоксаля и 3-этоксипутанон-2-аля-1 легко может быть проведена модификация остатка гуанозина, входящего в состав олиго- или полинуклеотида. Оказалось, что продукт, полученный из динуклеозидмонофосфата GrC, не расщепляется под действием гуанил-РНК-азы T₁⁶⁸; в связи с этим модификацию глиоксальем удалось использовать для специфического химико-ферментативного расщепления тРНК^{63, 64}. Из четырех компонентов РНК, производные которых могут служить субстратами для гуанил-РНК-азы T₁, гуанозин и 2-экзо-N-метилгуанозин модифицируются глиоксальем с образованием продуктов, не способных всту-

* Возможно, что в данном случае изменение УФ-спектра связано не с образованием трициклических продуктов типа XIII, а с образованием неустойчивых продуктов, аналогичных продуктам реакции с формальдегидом (типа VIII). Эти же авторы наблюдали характерные изменения УФ-спектра при инкубации фосфатов аденозина, цитидина и уридина с 0,145 M раствором глиоксаля. Ни в одной из работ, в которых протекание реакции контролировалось спектрофотометрически после разбавления реакционной смеси или с помощью хроматографических методов, никаких доказательств прохождения реакции с этими нуклеотидами и соответствующими нуклеозидами получить не удалось^{61, 64}. Вместе с тем при окислении смеси аденина и глиоксаля действием периодата в тщательно контролируемых условиях был выделен 6-экзо-N-формиладенин⁶⁷, что свидетельствует о взаимодействии глиоксаля с аминогруппой аденина с образованием неустойчивых продуктов.



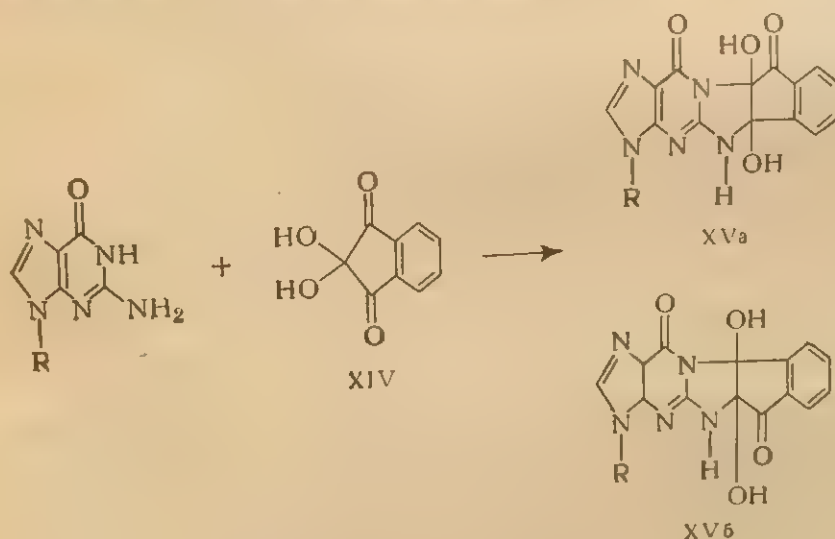
* При продолжении реакции остатков гуанозина не устанавливается. ** Недавно сообщено, что дрожжей 3-этоксипутанон-2-аля-1 остатка гуанозина

пать в ферментативную реакцию, 2-экзо-N,N-диметилгуанозин и инозин при действии глиоксаля не изменяются. Обработка тРНК в условиях, оптимальных для модификации мононуклеотидов*, дает полностью модифицированный полимер, который расщепляется ферментом в значительно меньшей степени, чем исходная тРНК.

Расщепление аналогичным путем индивидуальной валиновой тРНК из дрожжей приводит к образованию в основном крупных фрагментов.

При действии на тРНК из дрожжей⁶⁶ 3-этоксипутанон-2-оля-1 удалось подобрать условия, в которых модификации подвергаются только 15—20% остатков гуанозина — по-видимому, остатки, находящиеся в односпиральных участках полимера. После расщепления модифицированного продукта действием панкреатической пиридил-РНК-азы можно идентифицировать олигонуклеотиды, соответствующие этим участкам полинуклеотидной цепи, и получить таким образом сведения о вторичной структуре полимера**. Модификация глиоксалем и этоксибутаноналем была использована также для функциональных исследований тРНК⁶⁶ и ДНК⁶⁹.

Взаимодействие гуанозина и его производных с нингидрином XIV⁶² во многом аналогично рассмотренным выше реакциям. Реакция приводит к пентациклическому продукту XVa или XVb:



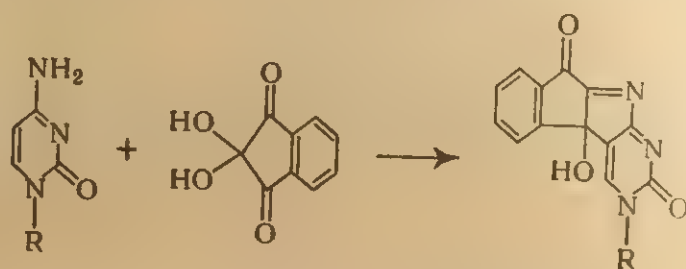
R-остаток рибозы

* При продолжительном взаимодействии тРНК с глиоксалем при 70°C из остатков гуанозина происходит образование не продукта XIII, а иного вещества, не установленного строения⁶⁴.

** Недавно списана частичная модификация фенилаланиновой тРНК из дрожжей 3-этоксипутанон-2-олем-1, при которой затрагиваются только два остатка гуанозина в молекуле¹⁴⁶.

Продукт реакции заметно менее устойчив в нейтральной и щелочной средах, чем соединение XIII, образующееся при реакции с глиоксалем. При реакции нингидрина с дезоксигуанозином хроматографически показано образование двух продуктов, которые могут быть изомерами XVa и XVб или стереоизомерами.

Нингидрин в отличие от других исследованных дикарбонильных соединений реагирует также и с цитидином и его производными



XVI

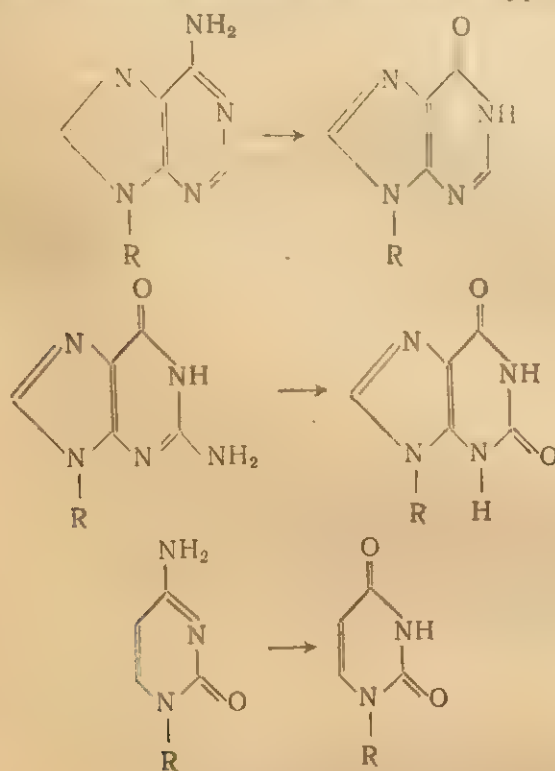
R—остаток рибозы или рибозофосфата

В качестве второго центра, подвергающегося электрофильной атаке (помимо NH_2 -группы), при этом выступает С-5 пиримидинового ядра, в результате чего образуется новая углерод-углеродная связь. Структура продукта реакции XVI согласуется с данными УФ-, ИК- и ЯМР-спектров; она подтверждена также рядом химических превращений. Реакция гладко протекает при комнатной температуре и нейтральных значениях pH. В случае цитидин-2',3'-циклофосфата образование продукта завершается за 18 ч. Цитидин и цитидин-2'(3')-фосфат реагируют несколько медленнее. Продукт реакции устойчив в щелочной среде. Это дает принципиальную возможность осуществить специфическую модификацию РНК по остаткам цитидина после обработки полимера нингидрином и последующего выдерживания при pH 9 (для расщепления продуктов типа XV, образующихся из гуанозиновых остатков).

3. Взаимодействие с азотистой кислотой

Как уже отмечалось выше, при реакции с азотистой кислотой содержащие аминогруппу пурины и пиримидины (и их производные), подобно аминопиридинам и алифатическим аминам, не дают устойчивых солей диазония. Промежуточно образующиеся диазосоединения легко распадаются, так что конечными продуктами реакции являются дезаминированные соединения. Например, при

реакции с азотистой кислотой аденозина, гуанозина и цитидина образуются соответственно инозин, ксантозин и уридин:



R — остаток рибозы

Для пуриновых и пиримидиновых оснований такое протекание реакции с азотистой кислотой было доказано еще в прошлом веке⁷¹⁻⁷³; возможность проведения аналогичных реакций с нуклеозидами была продемонстрирована в 1910 г.⁷⁴, а с нуклеотидами — в 1932 г.⁷⁵. Однако детальное исследование кинетики реакции с азотистой кислотой удалось провести лишь недавно⁷⁶, так как это было связано с техническими трудностями, вызываемыми постоянным изменением состава реакционной смеси (окислением нитрита, изменением pH и т. д.). Для получения воспроизводимых кинетических данных необходимо постоянно добавлять нитрит и кислоту или применять достаточно концентрированные буферные растворы. Скорость реакции удобно контролировать спектрофотометрически, поскольку продукты реакции заметно отличаются по своим УФ-спектрам от исходных соединений. Удовлетворительные результаты были получены также с помощью ионообменной хроматографии; применение для этой цели хроматографии на бумаге менее надежно.

Обычные условия реакции — обработка нуклеозида или нуклеотида нитритом натрия в уксусной кислоте или в ацетатных

буферных растворах*. Реакция протекает достаточно быстро, скорость возрастает в ряду

цитидин < аденозин < гуанозин

как об этом можно судить по значениям константы скорости реакции (табл. 6.2).

Таблица 6.2. Константы скорости псевдопервого порядка при взаимодействии нуклеозидов с азотистой кислотой⁷⁶

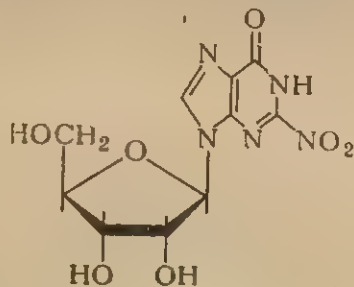
Концентрация аденозина и цитидина 0,029 М, гуанозина 0,014 М, концентрация нитрита натрия 0,57 М; 3,7 М ацетатный буфер; 37,5°C

Нуклеозид	$k \cdot 10^2, \text{ мин}^{-1}$		
	при pH 3,75	при pH 4,5	при pH 5,0
Гуанозин	8,5	1,8	0,37
Аденозин	3,3	0,70	0,16
Цитидин	2,4	0,44	0,062

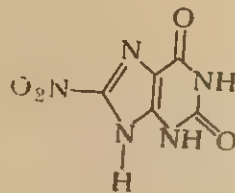
Скорость дезаминирования быстро увеличивается при понижении pH; удивительно, что протонированная форма нуклеозида подвергается атаке электрофильного реагента быстрее, чем нейтральная форма. В самом деле, при pH 5,0 отношение скоростей реакции гуанозина и цитидина (оба нуклеозида находятся при этом главным образом в нейтральной форме) составляет 6,0, а при pH 3,75 (гуанозин — главным образом в нейтральной форме, цитидин — в протонированной) составляет уже 3,6. При понижении температуры реакции различие в скорости дезаминирования разных нуклеозидов несколько увеличивается.

Дезаминирование гуанозина под действием азотистой кислоты сопровождается побочными реакциями. Из продуктов реакции удалось выделить небольшое количество 2-нитроинозина XVII^{76, 77}.

При дезаминировании гуанина образуется в небольших количествах аналогичное соединение — 2-нитрогипоксантин и в очень малых количествах 8-нитроксантин XVIII. Соединение XVIII мо-



XVII



XVIII

* Для препаративного получения инозин-5'-фосфата из аденозин-5'-фосфата использовался амилнитрит в 50%-ной уксусной кислоте¹⁴⁶.

жет бы
ботке
(90°C.
Де
зиды
ции с
лучить
При
ствени
связи
ксанто
и 37°C
в то вр
дает за
Дез
подвер
Подобр
ние ДН
дит ра
тидных
обработ
зования
ментар
двухцеп
выясне
нуклеоз
рый про
образук
ном — с
при де
при это
щеплен
работки
лишь ча
дит нек
основан
ными ну
Мод
примене
рострук
Посл
на мест
щеплен
нейшем
β-глим
остатки

жет быть получено ⁷⁶ с 5%-ным выходом из ксантозина при обработке его нитритом натрия в уксусной кислоте в жестких условиях (90° С, 3 дня).

Действие азотистой кислоты на метилированные рибонуклеозиды — редкие компоненты РНК — не изучено, однако при реакции с 6-экзо-N-метиладенином и 2-экзо-N-этилгуанином удается получить соответствующие N-нитрозо-N-алкилпроизводные ¹⁴⁷.

При действии азотистой кислоты на дезоксинуклеозиды существенной побочной реакцией является расщепление N-гликозидной связи в продуктах дезаминирования, особенно в случае дезокси-ксантозина, получающегося из дезоксигуанозина. Так, при pH 3,35 и 37° С дезокси-ксантозин за 2 ч расщепляется до ксантина на 56%, в то время как дезоксиинозин, образующийся из дезоксиаденозина, дает за 24 ч 54% гипоксантина ⁷⁸.

Дезаминированию под действием азотистой кислоты могут быть подвергнуты и остатки нуклеозидов в составе полинуклеотидов. Подобраны условия, в которых достигается полное дезаминирование ДНК ^{78, 79}; при этом, однако, в значительной степени происходит расщепление N-гликозидных связей пуриновых дезоксинуклеотидных звеньев. Отмечена и другая побочная реакция при обработке ДНК азотистой кислотой: получены доказательства образования небольшого количества ковалентных связей между комплементарными полинуклеотидными цепями, входящими в состав двухцепочечного комплекса ДНК ⁸⁰⁻⁸². Природа этой реакции не выяснена; возможно, что она состоит в алкилировании остатка нуклеозида (сближенного пространственно с нуклеозидом, который претерпевает дезаминирование) под действием промежуточно образующегося диазосоединения (ср. алкилирование диазометаном — стр. 359). Полного дезаминирования РНК удается добиться при действии нитрита натрия в ледяной уксусной кислоте ⁸³; при этом происходит заметная деградация полимера за счет расщепления фосфодиэфирных связей. В более мягких условиях обработки, когда побочные реакции сводятся к минимуму, протекает лишь частично дезаминирование ДНК и РНК. При этом происходит некоторое изменение относительной реакционной способности оснований, входящих в состав полимера, по сравнению со свободными нуклеотидами (табл. 6.3).

Модификация полинуклеотидов азотистой кислотой может быть применена для изучения первичной структуры полимеров, их макроструктуры и при функциональных исследованиях.

После исчерпывающего дезаминирования ДНК образующиеся на месте цитозиновых звеньев остатки урацила могут быть расщеплены под действием гидроксиламина (см. стр. 472) ⁷⁸. В дальнейшем возможно расщепление образующегося полимера по типу β-элиминации (см. гл. 10) и по тем участкам, где раньше находились остатки дезоксицитидина. Ценность этого метода для расщеп-

ления ДНК, однако, довольно сомнительна, так как побочная реакция расщепления N-гликозидной связи в остатках дезокси-ксантозина должна приводить также к расщеплению по местам исходных остатков дезоксигуанозина.

Таблица 6.3. Относительная скорость дезаминирования оснований при взаимодействии полинуклеотидов с азотистой кислотой

Полинуклеотид	Условия реакции	Отношение констант скоростей реакции или выходов оснований		Литература
		гуанин цитозин	аденин цитозин	
Рибонуклеозиды	0,57 М NaNO_2 ; 3,1 М ацетатный буфер (рН 4,5); 21,5°C	6,5	2,2	76
тРНК из <i>E. coli</i>	1,0 М NaNO_2 ; 0,25 М ацетатный буфер (рН 4,3); 21°C	2,1	1,4	84
РНК, выделенная из вируса табачной мозаики	То же	2,1	1,3	85
РНК в составе вируса табачной мозаики	1,0 М NaNO_2 ; 1 М ацетатный буфер (рН 4,2); 21°C	0,01	0,53	86
ДНК тимуса теленка, нативная	1 М NaNO_2 ; 0,25 М ацетатный буфер (рН 4,2); 20°C	2,2	0,44	87
Та же ДНК, денатурированная	То же	1,3	0,63	87

Данный метод, вероятно, может оказаться полезным для анализа распределения остатков тимидина и дезоксицитидина в полипиримидиновых олигодезокси-нуклеотидах. Применение дезаминирования РНК для анализа последовательности нуклеотидных звеньев основано на том, что производные ксантозина являются значительно худшими субстратами для гуанил-РНК-азы T_1 , чем производные инозина. Вследствие этого удалось подобрать условия, в которых дезаминированная РНК может быть специфически расщеплена под действием фермента по остаткам инозина⁸³, т. е. по тем участкам полинуклеотидной цепи, где в исходном полимере были остатки аденозина.

Некоторые выводы о макроструктуре полинуклеотидов могут быть сделаны на основании сравнения скоростей дезаминирования нуклеотидных звеньев в различных полинуклеотидах. Так, например, большая скорость дезаминирования ДНК внутри фаговой ча-

стицы фага S_D по сравнению со свободной двухцепочечной ДНК, полученной из этого же источника, позволила сделать вывод об особой макроструктуре ДНК в комплексе с белком фаговой оболочки⁸⁸. При этой конформации аминогруппы гетероциклических оснований более доступны, чем в двухцепочечном комплексе ДНК.

Другой подход к использованию модификации азотистой кислотой для исследования макроструктуры полинуклеотидов состоит в частичном дезаминировании полинуклеотида в мягких условиях и идентификации участков полинуклеотидной цепи, подвергшихся реакции. Этот подход был успешно применен, например, к аланиновой тРНК из дрожжей⁸⁹.

Изучалось также влияние частичного дезаминирования полинуклеотидов на способность тРНК вступать в биохимические реакции^{84, 90}, а также на способность синтетических полинуклеотидов служить матрицей для ДНК-полимеразы⁹¹ или функционировать в бесклеточной системе биосинтеза белка⁹². Азотистая кислота является эффективным мутагеном. По современным представлениям (обзор — см.⁹³), этот мутагенный эффект связан с дезаминированием остатков аденина и цитозина, так как продукты таких реакций — гипоксантин и урацил — способны образовывать комплементарные пары с цитозином и аденином. Дезаминирование же остатка гуанина приводит в основном к инаktivации генетического материала.

4. Прочие реакции замещения по аминогруппе

Помимо упомянутых выше реакций аминогруппа гетероциклических оснований (и их производных) может подвергаться атаке и некоторыми другими электрофильными реагентами. Важное значение для получения защищенных производных, используемых при синтезе олигонуклеотидов, имеет взаимодействие аденозина, цитидина, гуанозина и соответствующих дезоксирибонуклеозидов с бис-(алкокси)-диметиламинометанами (ацеталями диметилформамида)⁹⁴⁻⁹⁶, приводящая к N,N-диметиламинометиленовым производным XIX:

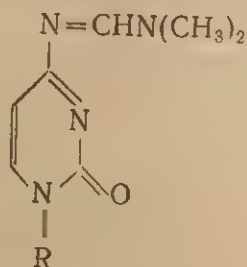


$R-NH_2$ — нуклеозид

Реакция гладко протекает при комнатной температуре в диметилформамиде или диметилсульфоксиде; отсутствие аминогруппы в продукте реакции подтверждается данными ИК-спектров. Образующиеся N,N-диметиламинометиленнуклеозиды устойчивы в обычных условиях синтеза олигонуклеотидов; их расщепление с регенерацией исходного нуклеозида происходит при кипячении

в спирте или при обработке разбавленным аммиаком*. Реакция легко может быть проведена и с олигонуклеотидами^{97, 98}.

В тех случаях, когда в реакцию вводится рибонуклеозид, происходит также образование О-диметиламинометиленовых производных (например, XX). Эти соединения, однако, очень легко расщепляются уже при добавлении воды, так что получение рибонуклеозидов, защищенных только по аминогруппе, не представляет трудностей.



XX

R — остаток 2',3'-О-(диметиламинометилен)-рибозы

Другая побочная реакция, которая может протекать при действии бис-(этокси)-диметиламинометана на олигонуклеотиды, — алкилирование остатков уридина⁹⁴. Было найдено, однако, что подобного алкилирования не наблюдается при использовании бис-(неопентил)-диметиламинометана⁹⁷.

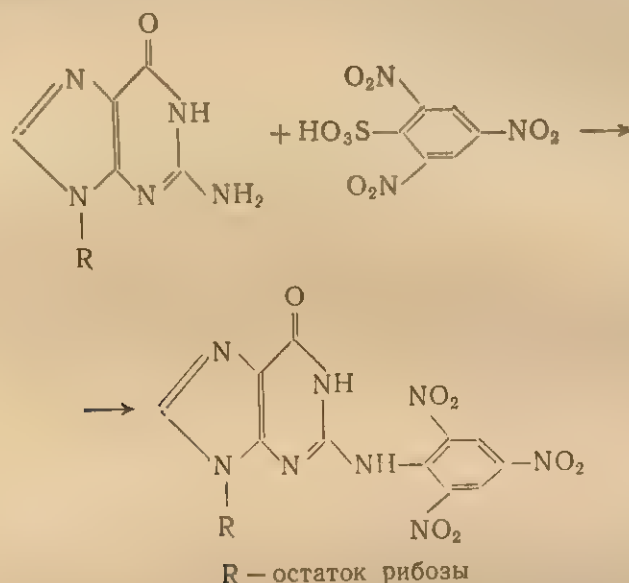
Как уже упоминалось выше (см. гл. 5), при действии алкилирующих агентов на нуклеозиды обычно происходит алкилирование по атомам азота гетероциклического ядра. В некоторых случаях, однако, возможно замещение по азоту аминогруппы, хотя строение продуктов реакции в большинстве случаев строго не доказано. Так, при обработке трифенилхлорметаном нуклеозидов, содержащих аминогруппу, наряду с образованием О-тримильных производных наблюдается N-тримильрование⁹⁹; эта реакция в еще большей степени протекает с производными трифенилхлорметана, содержащими в фенильных заместителях одну или несколько *n*-метоксильных групп^{14, 17, 31}. Такая реакция особенно характерна для производных гуанозина, где N-тримильрование идет быстрее, чем О-тримильрование³¹. N-Диметиламинометиленнуклеозиды не вступают в эту реакцию⁹⁶.

Виниловые эфиры, широко используемые для защиты гидроксильных групп остатка сахара в нуклеозидах и нуклеотидах — дигидропиран и этилвиниловый эфир, — могут в несколько более жестких условиях вступать в реакцию и по аминогруппе. Удалось, например, получить 6-экзо-N,2',5'-три-(тетрагидропиранил)-аденозин-3'-фосфат¹³, 5'-ацетил-2-экзо-N,2'-ди-(тетрагидропиранил)-гуанозин-3'-фосфат¹⁰⁰ и 6-экзо-N,2',5'-три-(α-этоксиэтил)-аденозин-

* О кинетике гидролиза N-диметиламинометиленнуклеозидов см. 146.

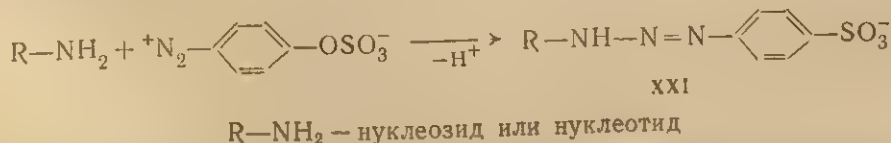
3'-фосфат¹⁰⁰. Строение двух последних соединений доказано их неспособностью реагировать с ацетальми диметилформамида. N-Тетрагидропиранильная группа в производном гуанозина может быть избирательно отщеплена мягким кислотным гидролизом без затрагивания O-тетрагидропиранильной группировки.

При взаимодействии гуанозина с 2,4,6-тринитробензолсульфокислотой протекает гладкое арилирование с образованием 2-экзо-N-пикрилгуанозина¹⁰¹:



Реакция протекает в достаточно мягких условиях и может быть применена для специфической модификации остатка гуанозина в РНК; побочным процессом при этом является взаимодействие с концевой фосфомоноэфирной группировкой полинуклеотидной цепи, которое можно использовать для метки концевых нуклеотидного остатка.

Реакция с участием экзоциклической аминогруппы, по-видимому, является основной при обработке нуклеозидов и нуклеотидов солями диазония. Наиболее подробно изучено взаимодействие нуклеозидов с диазотированными сульфаниловой кислотой¹⁰² и 2-аминобензол-1,4-дисульфокислотой¹⁰³. В первом случае основным продуктом реакции является диазоаминосоединение XXI (максимум поглощения в области 370—440 мк):



Реакция быстро протекает в слабощелочной среде. Например, в случае гуанозин-2' (3')-фосфата при pH 10 и 2°C превращение

заканчивается за 2 ч. За это же время аденозин-2'(3')-фосфат превращается на 30%, а цитидин-2'(3')-фосфат — на 10%. Кривая зависимости скорости реакции от pH имеет колоколообразный вид (рис. 6.3), причем оптимум pH для реакции с производным гуанозина (10,2) заметно отличается от оптимума pH для производных аденозина и цитидина (10,7). Продукты реакции неустойчивы

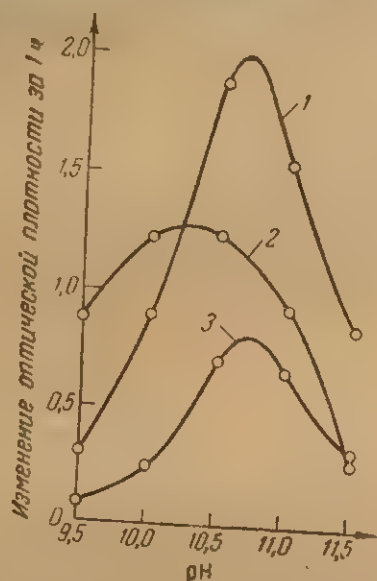


Рис. 6.3. Зависимость скорости реакции нуклеотидов с диазотированной сульфаниловой кислотой от pH ¹⁰²:

1 — реакция аденозин-2'(3')-фосфата (при 400 мМК); 2 — гуанозин-2'(3')-фосфата (при 370 мМК); 3 — цитидин-2'(3')-фосфата (при 370 мМК); концентрация реагента 0,05 моль/л; ~ 20° С.

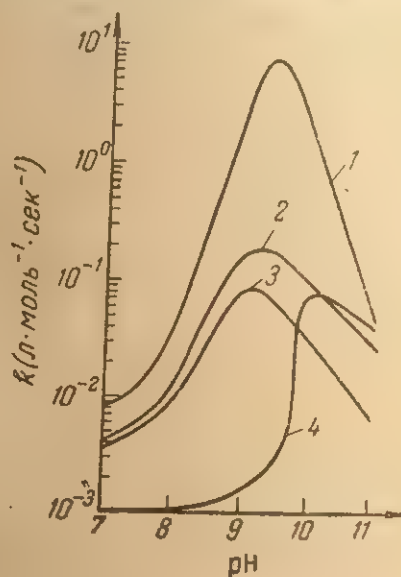


Рис. 6.4. Зависимость скорости реакции дезоксирибонуклеозид-5'-фосфатов с диазотированной 2-аминобензол-1,4-дисульфокислотой от pH ¹⁰³:

1 — реакция дезоксигуанозин-5'-фосфата; 2 — тимидин-5'-фосфата; 3 — дезоксиаденозин-5'-фосфата; 4 — дезоксцитидин-5'-фосфата; 22° С; $\mu = 0,15$.

в кислой среде; они быстро разлагаются уже при pH 3. Скорость разложения максимальна в случае производных аденозина, наиболее устойчив продукт реакции с гуанозином. При взаимодействии диазотированной сульфаниловой кислоты с пуриновыми нуклеотидами образуются и побочные продукты (по данным электрофореза на бумаге). Для аденозин-2'(3')-фосфата степень протекания побочных реакций невелика; при реакции гуанозин-2'(3')-фосфата получено три вещества в соотношении 7:2:1. Одно из них может быть изомерным соединению XXI диазоаминосоединением XXII



XXII

так как при кислотном гидролизе образующейся смеси наряду с гуанозин-2'(3')-фосфатом образуется заметное количество ксан-

* Из сульфанило гидролизе ** Пер получают такого типа зующиеся дин-5'-фосф

тозин-2'(3')-фосфата. Другой продукт образуется, по-видимому, в результате реакции замещения по С-8 ядра*.

Взаимодействие диазотированной 2-аминобензол-1,4-дисульфокислоты с дезоксинуклеотидами протекает, по-видимому, сходным образом**. Кинетика этой реакции аналогична рассмотренной выше для реакции с диазотированной сульфаниловой кислотой, хотя оптимум pH несколько сдвинут в более кислую область (рис. 6.4). Дезоксигуанозин-5'-фосфат при pH 9 (оптимальное значение) реагирует с диазотированной 2-аминобензол-1,4-дисульфокислотой по крайней мере в 60 раз быстрее, чем остальные дезоксинуклеотиды.

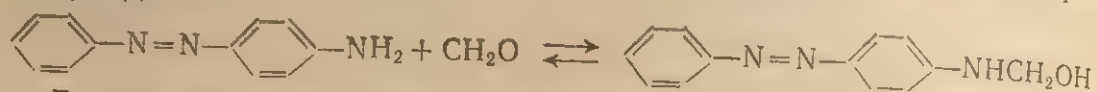
Реакция с диазотированной сульфаниловой кислотой может быть успешно применена для модификации остатков гуанозина и аденозина в ДНК и РНК¹⁰⁷; остатки цитидина в полинуклеотидной цепи не затрагиваются. Можно провести реакцию таким образом, что остатки аденозина и гуанозина в РНК модифицируются полностью (pH 10,7), или получить полную модификацию гуанозина при небольшой модификации аденозина (pH 10). Используя различия в значении оптимума pH и различную устойчивость полученных продуктов, можно добиться почти полной модификации остатков гуанозина при незначительной модификации других остатков нуклеозидов.

Диазониевые соли, содержащие две или более сульфогрупп, представляют значительный интерес как реагенты для введения в молекулу полинуклеотидов специфических группировок, могущих быть использованными для определения последовательности мономерных звеньев в цепи (см. гл. 1). Сульфогруппы способны прочно связывать ионы уранила, после чего их можно наблюдать на электронной микрофотографии¹⁰⁸. Было исследовано применение для этой цели диазотированной 2-аминобензол-1,4-дисульфокислоты^{109, 110}, с помощью которой оказалось возможным добиться 80%-ной модификации остатков гуанозина в ДНК при модификации остальных нуклеозидных звеньев не более 5%. В случае РНК специфичность этой реакции заметно меньше: при 60%-ной модификации остатков гуанозина степень реакции остатков прочих нуклеозидов составляет около 10%. Однако даже при такой степени побочных реакций проблема локализации остатка гуанозина в полинуклеотидной цепи может быть решена¹¹⁰.

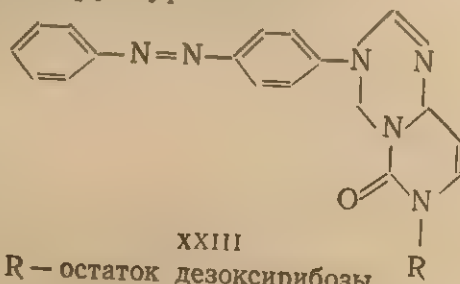
* Из продуктов реакции гуанозина и дезоксигуанозина с диазотированной сульфаниловой кислотой выделены соединения, дающие при мягком кислотном гидролизе 8-(*n*-бензолсульфонил)-гуанин и 8-(*n*-бензолсульфонил)-ксантин¹⁰⁴.

** Первоначально предполагалось¹⁰³, что из дезоксигуанозин-5'-фосфата получается продукт азосочетания по С-8 — по аналогии с известной реакцией такого типа для простых пуринов^{105, 106}. Считалось также, что продукты, образующиеся из дезоксицитидин-5'-фосфата, дезоксиаденозин-5'-фосфата и гуанидин-5'-фосфата, возникают в результате реакции по остатку сахара.

Возможно, что взаимодействие с аминогруппами оснований, входящих в состав нуклеиновых кислот, лежит в основе канцерогенного действия некоторых азокрасителей, например, *p*-диметиламиноазобензола, легко окисляющегося в организме с образованием *N*-оксиметильных производных. Было высказано предположение, что аналогичные соединения могут возникать (хотя бы в небольших количествах) и в смеси *p*-аминоазобензола с формальдегидом:



Было найдено, что при обработке РНК и ДНК смесью *p*-аминоазобензола и формальдегида происходит интенсивная модификация остатков цитозина, аденина и гуанина¹¹¹. Подобные реакции проведены и на уровне нуклеозидов. Продукту реакции с дезоксицитидином приписана структура XXIII



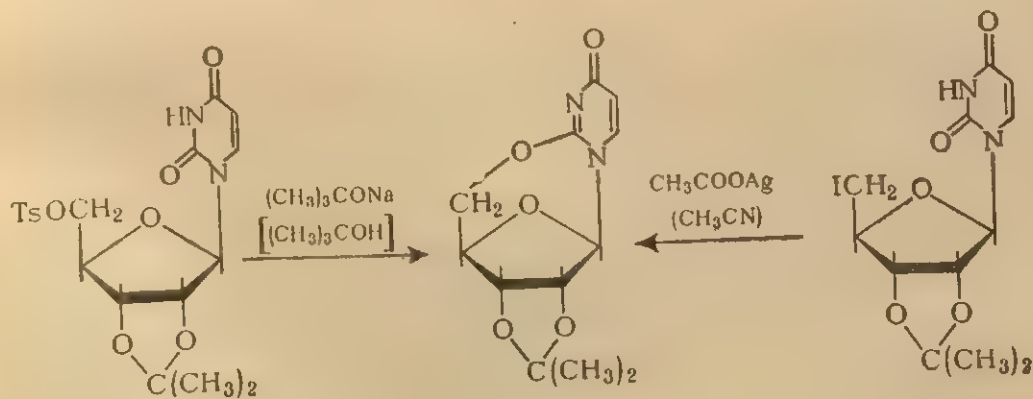
III. РЕАКЦИИ ЗАМЕЩЕНИЯ У ЭКЗОЦИКЛИЧЕСКИХ АТОМОВ КИСЛОРОДА И СЕРЫ

Как указывалось в гл. 3, преобладающей таутомерной формой урацила, гуанина, гипоксантина и других аналогичных оснований (и их производных) является кетоформа. При этом атом кислорода отдает в сопряженную систему один электрон и, следовательно, должен обладать частичным отрицательным зарядом и подвергаться атаке электрофильными реагентами. Таких реакций, однако, почти неизвестно; предпочтительным местом атаки электрофильных агентов является обычно один из атомов азота гетероциклического кольца. Редкие компоненты тРНК, содержащие серу (4-тиоуридин и производные 2-тиоуридина), по своей электронной структуре аналогичны соответствующим кислородным соединениям. Однако в силу значительно больших размеров атома серы *p*-электроны связаны заметно слабее. Вследствие этого при сопряжении с гетероциклическим ядром на атоме серы возникает значительно больший отрицательный заряд, и он легче подвергается атаке электрофильных агентов, чем атомы азота гетероциклического ядра. С другой стороны, может происходить легкая отдача электронов соответствующему акцептору, т. е. окисление серосодержащих нуклеозидов.

1. О-Алкилирование и образование циклонуклеозидов

Выше уже указывалось (см. стр. 359), что основным направлением алкилирования нуклеозидов под действием алкилирующих агентов типа диазометана является реакция по атомам азота гетероциклического ядра. В некоторых случаях, однако, в качестве побочных продуктов удается выделить и О-метильные производные, возникающие за счет замещения у экзоциклического атома кислорода. При метилировании уридина и тимидина такие продукты не обнаружены, но для некоторых производных этих соединений, например для 1-(β -D-арабинофуранозил)-5-фторурацила¹¹², они были выделены. При метилировании дезоксигуанозина диазометаном в эфире одним из продуктов реакции является 2-амино-6-метокси-9-(β -D-2'-дезоксирибофуранозил)-пурин¹¹³. Из продуктов метилирования 2',3',5'-три-О-ацетилюридина¹¹⁴ или инозина¹¹⁵ был выделен 6-метокси-9-(β -D-рибофуранозил)-пурин; выход его достигает 20%. О-Метилирование по экзоциклической карбонильной группе урацила и по гидроксильным группам остатка сахара отмечалось также при обработке тритилированных уридинов иодистым метилом и окисью серебра¹¹⁶.

В тех случаях, когда алкилирование по экзоциклическому атому кислорода является единственно возможным (по стерическим соображениям) направлением реакции, такое превращение протекает быстро и с высоким выходом. Подобная ситуация наблюдается при образовании циклонуклеозидов в результате внутримолекулярного алкилирования экзоциклического кислорода при С-2 пиримидинового кольца под действием алкилирующей группы, соединенной с остатком пентозы. Были получены 2-экзо-О,2',2-экзо-О,3'- и 2-экзо-О,5'-циклонуклеозиды производных уридина, тимидина, цитидина и их аналогов (обзоры — см.^{117, 118}). Для получения этих циклонуклеозидов используют обработку соответствующих мезитатов или тозилатов основаниями или действие солей серебра на галогенпроизводные.

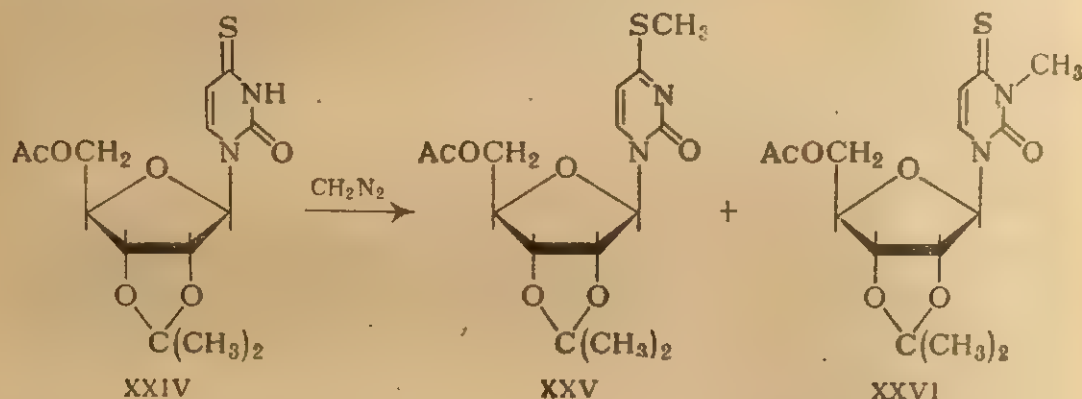


Циклонуклеозиды широко применяются для синтеза аналогов нуклеозидов с модифицированным гетероциклическим ядром и остатком моносахарида ¹¹⁷⁻¹¹⁹.

2. S-Алкилирование производных тиопиримидинов

При действии алкилирующих агентов на тиопиримидиновые нуклеозиды замещение у атома серы является основным направлением реакции.

Действие диазометана на 5'-О-ацетил-2',3'-О-изопропилиден-4-тиоуридин XXIV приводит к смеси продуктов S-метилирования XXV и N-метилирования XXVI в соотношении 3:1 ¹²⁰.

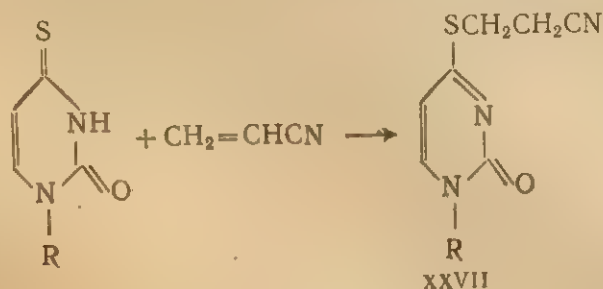


При метилировании 4-тиоуридина и его производных иодистым метилом в присутствии щелочи S-метильное производное является единственным продуктом реакции ^{121, 122}. Аналогичная реакция хорошо известна и для производных 6-меркаптопурииннуклеозидов; в этом случае удалось даже провести избирательное S-метилирование нуклеотидов без затрагивания фосфатной группы ¹²³.

Замещение у атома серы может происходить и под действием реагентов, содержащих поляризованную двойную связь; при этом образуются S-алкильные производные. Из реагентов такого рода лучше всего изучено действие акрилонитрила ¹²⁴ и N-этилмаленимида ¹²⁵.

Как отмечалось выше (см. стр. 381), при взаимодействии акрилонитрила с нуклеозидами и нуклеотидами происходит алкилирование по атомам азота гетероциклического ядра, причем можно добиться специфической модификации остатков псевдоуридина и инозина в цепи тРНК. 4-Теоуридин также гладко вступает в реакцию с акрилонитрилом, образуя продукт S-алкилирования XXVII

(2-тиоуридин в аналогичных условиях не реагирует):



R — остаток рибозы

Скорость реакции возрастает при увеличении pH (рис. 6.5); это позволяет считать, что в реакции участвует ионизированная форма 4-тиоуридина. При pH 9,0 в 1 M растворе акрилонитрила при 30 °C время полупревращения 4-тиоуридина составляет около 2,5 ч. Продукт реакции легко расщепляется в щелочной среде с регенерацией исходного 4-тиоуридина.

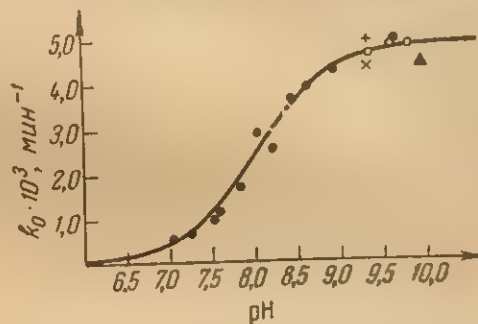
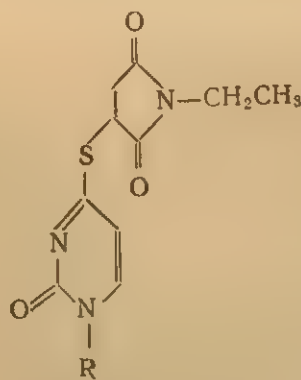


Рис. 6.5. Зависимость скорости реакции 4-тиоуридина с акрилонитрилом от pH ¹²⁴

$$k_0 = k_{\text{набл}} - k' \frac{[\text{OH}^-]}{[A]}$$

где [A] — концентрация акрилонитрила; k' — константа скорости щелочного гидролиза производного XXVII (1M раствор реагента; 30 °C).

В еще более мягких условиях протекает взаимодействие 4-тиоуридин-2'(3')-фосфата с N-этил-малеинимидом ¹²⁵; при pH 7,8 и 37 °C реакция в 0,003 M растворе реагента завершается за 3 ч. УФ-Спектры и данные электрофореза продукта реакции согласуются со структурой XXVIII (2-тиоуридин и его фосфаты не вступают в подобную реакцию).

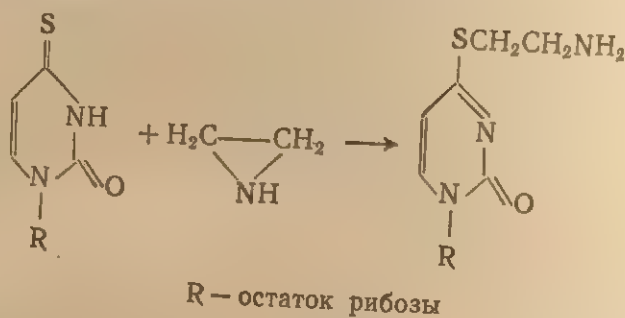


XXVIII

R — остаток рибозофосфата

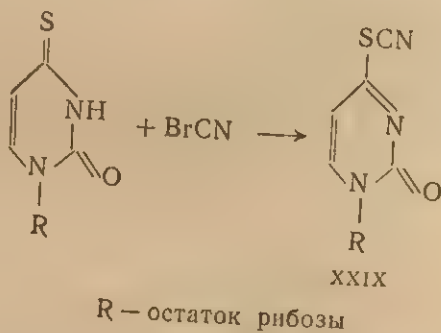
Условия данной реакции хорошо подходят для модификации полинуклеотида. Обработка тРНК из разных источников радиоактивным N-этилмалеинимидом показывает, что радиоактивная метка включается в полимер только в тех случаях, когда тРНК содержит остатки 4-тиоуридина, т. е. реакция высокоспецифична. Реакцию можно использовать для определения содержания остатков 4-тиоуридина в тРНК ¹²⁵. При полной модификации остатков 4-тиоуридина суммарная акцепторная активность тРНК из *E. coli* понижается на 10—12%.

Под действием этиленimina легко протекает S-аминоэтилирование 4-тиоуридина ¹²⁶:



С помощью этой реакции, проводя ее при pH 8,0 и 25 °C, можно осуществить специфическую модификацию тРНК по остаткам 4-тиоуридина.

Взаимодействие с бромцианом. Обработка 4-тиоуридина бромцианом при pH 8,9 и комнатной температуре быстро приводит к производному XXIX ¹²⁷:

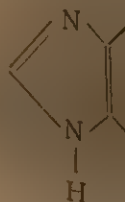


Аналогично реагируют различные меркаптопурины и их производные ¹²⁸. Хотя способность 2-тиоуридина вступать в эту реакцию не исследовалась, можно думать, что он будет себя вести подобно 4-тиопроизводному. Обычные нуклеозиды не вступают в реакцию с бромцианом, и поэтому данный реагент может быть применен для специфической модификации тРНК ¹²⁷.

3. Окисл

Под дей
творе иодно
дин быстр
XXX 129—132;

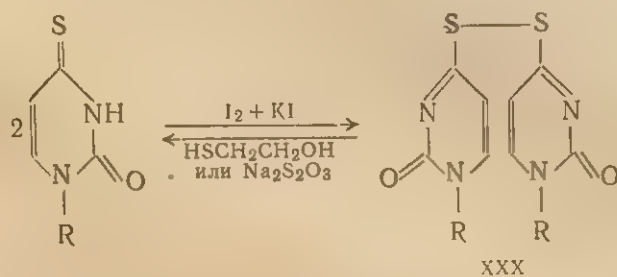
Обратное
сульфида X
ление проте
дисульфид
сульфеновой
аналогичен
действием
и пурин-6-су



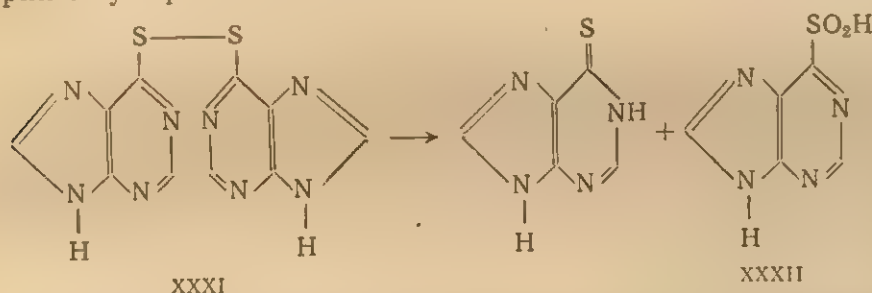
Обработк
нов, раство
к резкому у
и некотором
Из продукто
удалось вы
фида 4-тиоу
гой тРНК и
получены д
сульфида ¹³¹
мания изме
вания сопос

3. Окисление производных тиопиримидинов

Под действием разбавленного раствора иода в водном растворе иодистого калия при pH, близком к нейтральному, 4-тиоуридин быстро превращается в соответствующий дисульфид XXX¹²⁹⁻¹³²:



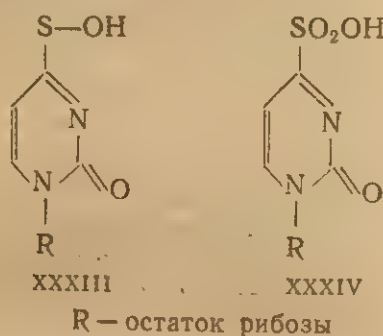
Обратное превращение можно осуществить при обработке дисульфида XXX 2-меркаптоэтанолом или тиосульфатом; восстановление протекает быстро и количественно^{129, 131}. В щелочной среде дисульфид XXX расщепляется с образованием 4-тиоуридина и сульфеновой кислоты XXXIII^{132, 133, 149}; этот процесс, по-видимому, аналогичен расщеплению дисульфида 6-меркаптопурина XXXI под действием щелочи в бескислородной среде до 6-меркаптопурина и пурин-6-сульфиновой кислоты XXXII¹³⁴



Обработка тРНК из *E. coli*, содержащих остатки тиопиримидинов, растворами иода в водном растворе KI^{132, 135, 136} приводит к резкому уменьшению способности акцептировать аминокислоты и некоторому изменению кривой дисперсии оптического вращения. Из продуктов гидролиза окисленной суммарной тРНК из *E. coli* удалось выделить нуклеотид, являющийся производным дисульфида 4-тиоуридина XXX¹³². При окислении очищенной тирозиновой тРНК из *E. coli*, содержащей два остатка 4-тиоуридина, были получены доказательства внутримолекулярного образования дисульфида¹³¹; однако акцепторная активность тРНК и ее конформация изменяются в этом случае лишь незначительно. На основании сопоставления данных по изменению биологической актив-

ности тРНК при алкилировании N-этилмалеинимидом и окислении раствором иода в растворе KI высказано предположение¹³⁸, что потеря акцепторной активности тРНК, вызываемая действием раствора иода в KI, происходит главным образом за счет образования дисульфидов из остатков 2-тиоцитидина и 5-метиламинометил-2-тиоуридина. Проводя окисление тРНК иодом в присутствии избытка 2-меркаптоэтанола или цистеина, можно добиться образования смешанных (второй компонент — не нуклеозидный остаток) дисульфидов¹²⁵. Обработанная таким образом суммарная тРНК из *E. coli* почти полностью сохраняет свою биологическую активность.

При окислении 4-тиоуридина и его производных KMnO_4 в мягких условиях образуется¹⁵⁰ уридин-4-сульфоновая кислота XXXIV, которая под действием различных нуклеофильных агентов легко претерпевает замещение при C-4.



Аналогичные продукты были получены при окислении 2',3'-О-изопропилиден-4-тиоуридина и 2'-дезоксид-4-тиоуридина периодатом¹⁵¹. Периодатное окисление с последующей реакцией с ^{14}C -метиламином предложено использовать для локализации положения остатков 4-тиоуридина в тРНК¹⁵². Возможно, что обнаруженное недавно фотохимическое превращение 4-тиоуридина в уридин-4-сульфоновую кислоту¹⁵³ также протекает через образование производных сульфоновых кислот.

ЛИТЕРАТУРА

1. Michelson A. M., J. Chem. Soc., 1959, 3655.
2. Sasaki T., Mizuno Y., Chem. Pharm. Bull., 15, 894 (1967).
3. Van Montagu M., Stockx J., Arch. Int. Physiol. Biochim., 73, 158 (1965).
4. Mizuno Y., Itoh T., Tagawa H., Chem. Ind., 1965, 1498.
5. Cramer F., Saenger W., Scheit K. H., Tennigkeit J., Ann. 679, 156 (1964).
6. Николенко Л. Н., Незавибатько В. Н., Толмачева Н. С., ХПС. 1967, 539.
7. Николенко Л. Н., Незавибатько В. Н., Семенова М. И., ЖОХ. 39, 223 (1969).
8. Watanabe K. A., Fox J. J., Angew. Chem., 78, 589 (1966).

ЛИТЕРАТУРА

9. Otter
- Zorbach
- London
- Ante
- Van M
- 77, 47
- Brow
- Ram
- Schal
- Soc., 85
- Bentl
- 1951, 2
- Weyg
- Smitt
- J. Am.
- Hall
- Lohr
- From
- 3533 (1
- Соко
- кофь
- Letsi
- 1968, 2
- Khog
- 83, 686
- Шаб
- кофь
- Шаб
- 2891, 3
- Соко
- кофь
- Шаб
- 215 (19
- Chhe
- Tene
- Ralp
- Ralp
- Chem.
- Lapic
- Chla
- Chla
- Mich
- 91, 92
- Fraer
- Hoar
- Lewi
- Hase
- Gros
- Фель
- Фель
- Feld
- Фель
- Фель
- Stae
- Steve
- Fasm
- (1964).

9. Otter B. A., Fox J. J., in «Synthetic Procedures in Nucleic Acid Chemistry», Zorbach W. W., Tipson R. S. (eds), v. 1, Interscience Publ., New York — London — Sydney — Toronto, 1968, p. 285.
10. Anteunis M., Van Montagu M., Bull. Soc. chim. Belg., **74**, 481 (1965).
11. Van Montagu M., Molemans F., Stockx J., Bull. Soc. chim. Belg., **77**, 471 (1968).
12. Brown D. M., Todd A., Varadarajan S., J. Chem. Soc., **1956**, 2384.
13. Rammler D. H., Khorana H. G., J. Am. Chem. Soc., **84**, 3112 (1962).
14. Schaller H., Weimann G., Lerch B., Khorana H. G., J. Am. Chem. Soc., **85**, 3821 (1963).
15. Bentley H. R., Cunningham K. G., Spring F. S., J. Chem. Soc., **1951**, 2301.
16. Weygand F., Wirth F., Chem. Ber., **85**, 1000 (1952).
17. Smith M., Rammler D. H., Goldberg I. H., Khorana H. G., J. Am. Chem. Soc., **84**, 430 (1962).
18. Hall R. H., Biochemistry, **3**, 769 (1964).
19. Lohrmann R., Khorana H. G., J. Am. Chem. Soc., **86**, 4188 (1964).
20. Fromageot H. P. M., Reese C. B., Sulston J. B., Tetrahedron, **24**, 3533 (1968).
21. Соколова Н. И., Баканова В. А., Шабарова З. А., Прокофьев М. А., ЖОХ, **33**, 2480 (1963).
22. Letsinger R. L., Miller P. S., Grams G. W., Tetrahedron Letters, **1968**, 2621.
23. Khorana H. G., Turner A. F., Vizsolyi J. P., J. Am. Chem. Soc., **83**, 686 (1961).
24. Шабарова З. А., Соколова Н. И., Бойкова Л. А., Прокофьев М. А., ЖОХ, **29**, 2917 (1959).
25. Шабарова З. А., Соколова Н. И., Прокофьев М. А., ЖОХ, **27**, 2891, 3028 (1957); **29**, 539 (1959).
26. Соколова Н. И., Баканова В. А., Шабарова З. А., Прокофьев М. А., Биохимия, **27**, 1079 (1962).
27. Шабарова З. А., Полякова З. П., Прокофьев М. А., ЖОХ, **29**, 215 (1959).
28. Chheda G. B., Hall R. H., Biochemistry, **5**, 2082 (1966).
29. Tener G. M., J. Am. Chem. Soc., **83**, 159 (1961).
30. Ralph R. K., Khorana H. G., J. Am. Chem. Soc., **83**, 2926 (1961).
31. Ralph R. K., Connors W. J., Schaller H., Khorana H. G., J. Am. Chem. Soc., **85**, 1983 (1963).
32. Lapidot Y., Khorana H. G., J. Am. Chem. Soc., **85**, 3857 (1963).
33. Chladek S., Smrt J., Coll. Czech. Chem. Comm., **29**, 214 (1964).
34. Chladek S., Zemlička J., Coll. Czech. Chem. Comm., **31**, 1785 (1966).
35. Michelson A. M., Grunberg-Manago M., Biochim. Biophys. Acta, **91**, 92 (1964).
36. Fraenkel-Conrat H., Biochim. Biophys. Acta, **15**, 307 (1954).
37. Hoard D. E., Biochim. Biophys. Acta, **40**, 62 (1960).
38. Lewin S., Humphreys D. A., J. Chem. Soc. (B), **1967**, 562.
39. Haselkorn R., Doty P., J. Biol. Chem., **236**, 2738 (1961).
40. Grossman L., Levine S. S., Allison W. S., J. Mol. Biol., **3**, 47 (1961).
41. Фельдман М. Я., Биохимия, **27**, 378 (1962).
42. Фельдман М. Я., Шубина М. Р., ДАН СССР, **174**, 236 (1967).
43. Feldman M. Ya., Biochim. Biophys. Acta, **149**, 20 (1967).
44. Фельдман М. Я., Биохимия, **30**, 203 (1965).
45. Фельдман М. Я., Биохимия, **29**, 720 (1964).
46. Staehelin M., Biochim. Biophys. Acta, **29**, 410 (1958).
47. Stevens C. L., Rosenfield A., Biochemistry, **5**, 2714 (1966).
48. Fasman G. D., Lindlow C., Grossman L., Biochemistry, **3**, 1015 (1964).

49. Penniston J. T., Doty P., *Biopolymers*, **1**, 145 (1963).
50. Stanley W. M., Bock R. M., *Biochemistry*, **4**, 1302 (1965).
51. Marciello R., Zubay G., *Biochem. Biophys. Res. Comm.*, **14**, 272 (1964).
52. Fasman G. D., Lindblow C., Seaman E., *J. Mol. Biol.*, **12**, 630 (1965).
53. Boedtker H., *Biochemistry*, **6**, 2718 (1967).
54. Stollar D., Grossman L., *J. Mol. Biol.*, **4**, 31 (1962).
55. Lewin S., *Arch. Biochem. Biophys.*, **113**, 584 (1966); Berns K. I., Thomas C. A., *J. Mol. Biol.*, **3**, 289 (1961).
56. Трифонов Э. Н., Лазуркин Ю. С., Франк-Каменецкий М. Д., *Мол. биол.*, **1**, 164 (1967).
57. Трифонов Э. Н., Шафрановская Н. Н., Франк-Каменецкий М. Д., Лазуркин Ю. С., *Мол. биол.*, **2**, 887 (1968).
58. Penniston J. T., Doty P., *Biopolymers*, **1**, 209 (1963).
59. Куханова М. К., Киселев Л. Л., Фролова Л. Ю., *Биохимия*, **28**, 1053 (1963).
60. Goldschmidt B. M., Blazei T. P., Van Duuren V. L., *Tetrahedron Letters*, 1968, 1583.
61. Staehelin M., *Biochim. Biophys. Acta*, **31**, 488 (1959).
62. Shapiro R., Hachmann J., *Biochemistry*, **5**, 2799 (1966).
63. Kochetkov N. K., Budowsky E. I., Broude N. E., Klebanova L. M., *Biochim. Biophys. Acta*, **134**, 492 (1967).
64. Кочетков Н. К., Будовский Э. И., Броуде Н. Е., *Мол. биол.*, **1**, 214 (1967).
65. Nakaya K., Takenaka O., Horinishi H., Shibata K., *Biochim. Biophys. Acta*, **161**, 23 (1968).
66. Litt M., Hancock V., *Biochemistry*, **6**, 1848 (1967).
67. Shapiro R., Agarwal S. C., Cohen B. I., *Abstr. Papers XXIst Congr. IUPAC, Nucleic Acid Chem.*, Prague, 1967, N 7.
68. Whitfield P., Witzel H., *Biochim. Biophys. Acta*, **72**, 338 (1963).
69. Броуде Н. Е., Басс И. А., Будовский Э. И., *Biochem. Biophys. Acta* (in press).
70. Shapiro R., Agarwal S. C., *J. Am. Chem. Soc.*, **90**, 474 (1968).
71. Strecker A., *Ann.*, **118**, 166 (1861).
72. Kossel A., *Ber.*, **18**, 1928 (1885).
73. Kossel A., Steudel H., *Z. physiol. Chem.*, **37**, 377 (1903).
74. Levene P. A., Jacobs W. A., *Ber.*, **43**, 3150 (1910).
75. Lohman K., *Biochem. Z.*, **254**, 381 (1932).
76. Shapiro R., Pohl S. H., *Biochemistry*, **7**, 448 (1968).
77. Shapiro R., *J. Am. Chem. Soc.*, **86**, 2948 (1964).
78. Shapiro H. S., Chargaff E., *Biochemistry*, **5**, 3012 (1966).
79. Matsuda M., Ogoshi H., *Biochim. Biophys. Acta*, **119**, 210 (1966).
80. Geiduschek E. P., *Proc. Nat. Acad. Sci. US*, **47**, 950 (1961).
81. Becher E. F., Zimmerman B. K., Geiduschek E. P., *J. Mol. Biol.*, **8**, 377 (1964).
82. Horn E. E., Herriot R. M., *Proc. Nat. Acad. Sci. US*, **48**, 1409 (1962).
83. Ushida T., Egami F., *J. Biochem.*, **57**, 742 (1965).
84. Carbon J. A., *Biochim. Biophys. Acta*, **95**, 550 (1965).
85. Schuster H., Schramm G., *Z. Naturforsch.*, **13b**, 697 (1958).
86. Schuster H., Wilhelm R. C., *Biochim. Biophys. Acta*, **68**, 554 (1963).
87. Schuster H., *Z. Naturforsch.*, **15b**, 304 (1960).
88. Tikhonenko T. I., Dobrov E. N., Velikodvorskaya G. A., Kiseleva N. P., *J. Mol. Biol.*, **18**, 58 (1966).
89. Nelson J. A., Ristow S. C., Holley R. W., *Biochim. Biophys. Acta*, **149**, 590 (1967).
90. Carbon J., Gurry J. B., *Proc. Nat. Acad. Sci. US*, **59**, 467 (1968).
91. Kotaka T., Baldwin R. L., *J. Mol. Biol.*, **9**, 323 (1964).

ЛИТЕРАТУРА

92. Babilio C., *Proc. Nat. Acad. Sci. US*, **59**, 467 (1968).
93. Orgel R. C., *Proc. Nat. Acad. Sci. US*, **59**, 467 (1968).
94. Zemlička, *Comm.*, **31**, 3 (1965).
95. Zemlička, *Comm.*, **31**, 3 (1965).
96. Zemlička, *Comm.*, **31**, 3 (1965).
97. Holý A., *Comm.*, **31**, 3 (1965).
98. Smrt J., *Comm.*, **31**, 3 (1965).
99. Michelson, *Comm.*, **31**, 3 (1965).
100. Brimacombe, *Comm.*, **31**, 3 (1965).
101. Azegaw, *Comm.*, **31**, 3 (1965).
102. Kössel H., *Comm.*, **31**, 3 (1965).
103. Moundria, *Comm.*, **31**, 3 (1965).
104. Hoffman, *Comm.*, **31**, 3 (1965).
105. Fischer H., *Comm.*, **31**, 3 (1965).
106. Albert A., *Comm.*, **31**, 3 (1965).
107. Kössel H., *Comm.*, **31**, 3 (1965).
108. Beer M., *Comm.*, **31**, 3 (1965).
109. Moundria, *Comm.*, **31**, 3 (1965).
110. Erikson, *Comm.*, **31**, 3 (1965).
111. Roberts J., *Comm.*, **31**, 3 (1965).
112. Fox J. J., *Comm.*, **31**, 3 (1965).
113. Friedman, *Comm.*, **31**, 3 (1965).
114. Miles H. T., *Comm.*, **31**, 3 (1965).
115. Scheit K., *Comm.*, **31**, 3 (1965).
116. Furukawa, *Comm.*, **31**, 3 (1965).
117. Fox J. J., *Comm.*, **31**, 3 (1965).
118. Микельсон, *Comm.*, **31**, 3 (1965).
119. Garg H. G., *Comm.*, **31**, 3 (1965).
120. Scheit K., *Comm.*, **31**, 3 (1965).
121. Ikeharu, *Comm.*, **31**, 3 (1965).
122. Kikugawa, *Comm.*, **31**, 3 (1965).
123. Thomas H., *Comm.*, **31**, 3 (1965).
124. Ofengand, *Comm.*, **31**, 3 (1965).
125. Carbon J., *Comm.*, **31**, 3 (1965).
126. Reid B. R., *Comm.*, **31**, 3 (1965).
127. Saneyoshi, *Comm.*, **31**, 3 (1965).
128. Saneyoshi, *Comm.*, **31**, 3 (1965).
129. Fox J. J., *Comm.*, **31**, 3 (1965).
130. Lipsett M., *Comm.*, **31**, 3 (1965).
131. Lipsett M., *Comm.*, **31**, 3 (1965).
132. Lipsett M., *Comm.*, **31**, 3 (1965).
133. Uziel M., *Comm.*, **31**, 3 (1965).

92. Basilio C., Wahba A. J., Lengyel P., Speyer J. F., Ochoa S., Proc. Nat. Acad. Sci. US, **48**, 613 (1962).
93. Orgel R. C., Adv. Enzymology, **27**, 289 (1965).
94. Zemlička J., Coll. Czech. Chem. Comm., **28**, 1060 (1963).
95. Zemlička J., Chladek S., Holý A., Smrt J., Coll. Czech. Chem. Comm., **31**, 3198 (1966).
96. Zemlička J., Coll. Czech. Chem. Comm., **32**, 3159 (1967).
97. Holý A., Smrt J., Coll. Czech. Chem. Comm., **31**, 3800 (1966).
98. Smrt J., Coll. Czech. Chem. Comm., **33**, 1462 (1968).
99. Michelson A. M., Todd A. R., J. Chem. Soc., **1949**, 2476.
100. Brimacombe R., Kemper W., Jaonini T., Smrt J., Coll. Czech. Chem. Comm., **33**, 2074 (1968).
101. Azegawi M., Iwai K., J. Biochem., **55**, 346 (1964).
102. Kössel H., Z. physiol. Chem., **340**, 210 (1965).
103. Moundrianakis E. N., Beer M., Biochim. Biophys. Acta, **95**, 23 (1965).
104. Hoffmann H. D., Müller W., Biochim. Biophys. Acta, **123**, 421 (1966).
105. Fischer H., Z. physiol. Chem., **69**, 69 (1909).
106. Albert A., Brown D. J., J. Chem. Soc., **1954**, 2060.
107. Kössel H., Doebring S., Z. physiol. Chem., **340**, 221 (1965).
108. Beer M., Moundrianakis E. N., Proc. Nat. Acad. Sci. US, **48**, 409 (1962).
109. Moundrianakis E. N., Beer M., Proc. Nat. Acad. Sci. US, **53**, 564 (1965).
110. Erikson H., Beer M., Biochemistry, **6**, 2694 (1967).
111. Roberts J. J., Warwick G. P., Nature, **197**, 88 (1963); Int. J. Cancer, **1**, 107, 179 (1966).
112. Fox J. J., Miller N. C., Cushley R. J., Tetrahedron Letters, **1966**, 4927.
113. Friedman O. M., Nahapatra G. N., Dash B., Stevenson R., Biochim. Biophys. Acta, **103**, 286 (1965).
114. Miles H. T., J. Org. Chem., **26**, 4761 (1961).
115. Scheit K. H., Holý A., Biochim. Biophys. Acta, **149**, 344 (1967).
116. Furukawa Y., Kobayashi K., Kanai Y., Honjo M., Chem. Pharm. Bull., **13**, 1273 (1965).
117. Fox J. J., Wempfen I., Adv. Carboh. Chem., **14**, 283 (1959).
118. Микельсон А., Химия нуклеозидов и нуклеотидов, Изд. «Мир», М., 1966, стр. 29.
119. Garg H. G., J. Sci. Ind. Res., **25**, 404 (1966).
120. Scheit K. H., Tetrahedron Letters, **1967**, 113.
121. Ikehara M., Ueda T., Ikeda K., Chem. Pharm. Bull., **10**, 767 (1962).
122. Kikugawa K., Sato F., Tsuruo T., Imura M., Ukita T., Chem. Pharm. Bull., **16**, 1110 (1968).
123. Thomas H. J., Montgomery J. A., J. Med. Chem., **11**, 44 (1968).
124. Ofengand J., J. Biol. Chem., **242**, 5034 (1967).
125. Carbon J., David H., Biochemistry, **7**, 3851 (1968).
126. Reid B. R., Biochem. Biophys. Res. Comm., **33**, 627 (1968).
127. Saneyoshi M., Nishimura S., Biochim. Biophys. Acta, **145**, 208 (1967).
128. Saneyoshi M., Chihara G., Chem. Pharm. Bull., **15**, 909 (1967).
129. Fox J. J., Van Praag D., Wempfen I., Doerr I. L., Cheong L., Knoll J. E., Eidinoff M. L., Bendich A., Brown G. B., J. Am. Chem. Soc., **81**, 178 (1959).
130. Lipsett M. N., J. Biol. Chem., **240**, 3975 (1965).
131. Lipsett M. N., Doctor B. P., J. Biol. Chem., **242**, 4072 (1967).
132. Lipsett M. N., J. Biol. Chem., **242**, 4067 (1967).
133. Uziel M., Biochem. Biophys. Res. Comm., **25**, 106 (1966).

134. Doerr I. L., Wempfen I., Clarke D. A., Fox J. J., *J. Org. Chem.*, **26**, 3401 (1961).
135. Carbon J. A., Hung L., Jones D. S., *Proc. Nat. Acad. Sci. US*, **53**, 979 (1965).
136. Goehler B., Doi P. H., *Proc. Nat. Acad. Sci. US*, **56**, 1047 (1967).
137. Shapiro R., Cohen B. J., Shuey S. J., Maurer H., *Biochemistry*, **8**, 238 (1969).
138. Hayes F. N., Hansbury E., Mitchell V. E., Rattlieff R. L., Williams D. L., *Europ. J. Biochem.*, **6**, 485 (1968).
139. Keith G., Ebel J. P., *Biochim. Biophys. Acta*, **166**, 16 (1968).
140. Axelrod V. D., Feldman M. Ya., Chuguev I. I., Bayev A. A., *Biochim. Biophys. Acta*, **186**, 33 (1969).
141. Cox R. A., Kanagalingam K., *Biochem. J.*, **103**, 749 (1967); **108**, 599 (1968).
142. Fenwick M. L., *Biochem. J.*, **107**, 851 (1968).
143. Bourguignon M. F., *Biochim. Biophys. Acta*, **166**, 242 (1968).
144. Броуде Н. Е., Будовский Э. И., *Biochim. Biophys. Acta* (in press).
145. Litt M., *Biochemistry*, **8**, 3249 (1969).
146. Holý A., *Coll. Czech. Chem. Comm.*, **33**, 2245 (1968).
147. Shapiro R., Shuey S. J., *Biochim. Biophys. Acta*, **174**, 403 (1969).
148. Holý A., Zemlička J., *Coll. Czech. Chem. Comm.*, **34**, 2449 (1969).
149. Pal B. C., Uziel M., Doherty D. G., Cohn W. E., *J. Am. Chem. Soc.*, **91**, 3634 (1969).
150. Hayatsu H., Yano M., *Tetrahedron Letters*, **1969**, 755.
151. Ziff E. B., Fresco J. R., *J. Am. Chem. Soc.*, **90**, 7338 (1968).
152. Ziff E. B., Fresco J. R., *Biochemistry*, **8**, 3242 (1969).
153. Pleiss M., Gchial H., Cerutti P. A., *Biochem. Biophys. Res. Comm.*, **34**, 70 (1969).

РЕАК
ТЕТЕР
НУКЛ

I. ВВЕД

Под д
ваний нук
вать расщ
является
мыкание с
атомов, чт
По тип
лот, атаку
и перегру
групп. Ряд
реагентов
электрофи
пуриновых
типом пре
является
(гидроксн
и двойной
дит к расщ
пом реакц
ных, явля
тамн двой
с последую

II. РЕАК
ПОД Д1. Расщ
в пуринРасщ
и нук
основ

РЕАКЦИИ РАСЩЕПЛЕНИЯ И ПЕРЕГРУППИРОВКИ ГЕТЕРОЦИКЛИЧЕСКИХ ЯДЕР ОСНОВАНИЙ НУКЛЕИНОВЫХ КИСЛОТ И ИХ ПРОИЗВОДНЫХ

I. ВВЕДЕНИЕ

Под действием ряда реагентов гетероциклические ядра оснований нуклеиновых кислот (и их производных) могут претерпевать расщепление. В некоторых случаях такое раскрытие цикла является промежуточной стадией реакции, за которой следует замыкание его с участием иных, чем в первоначальном цикле, групп атомов, что в итоге приводит к перегруппировкам.

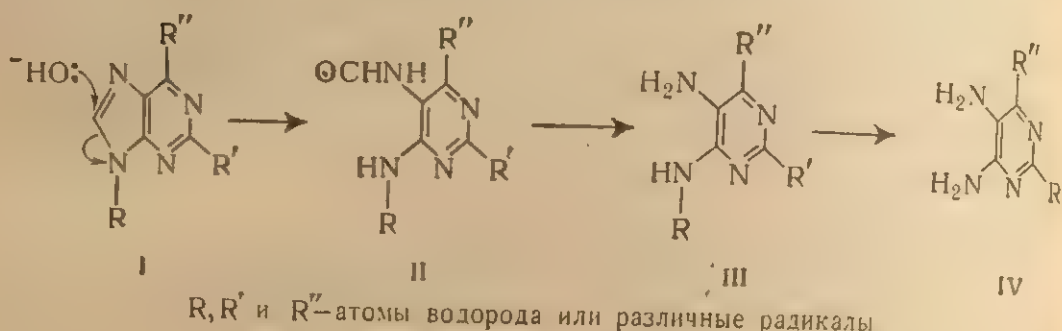
По типам реагентов и участкам оснований нуклеиновых кислот, атакуемым этими реагентами, реакции расщепления циклов и перегруппировки могут быть разделены на несколько больших групп. Ряд реакций происходит под действием нуклеофильных реагентов (обычно сильных оснований), атакующих наиболее электрофильные атомы углерода в ядрах оснований: С-2 и С-8 пуриновых и С-2 и С-4 — пиримидиновых производных. Другим типом превращений, характерным для пуриновых производных, является атака бифункциональными нуклеофильными реагентами (гидроксиламином, гидразином и его производными) атома С-4 и двойной связи С-5—С-6 (с присоединением по С-6), что приводит к расщеплению пиримидинового цикла. Третьим важным типом реакций, также специфичным для пиримидиновых производных, является атака окислительными электрофильными реагентами двойной связи С-5—С-6 в пиримидиновых соединениях с последующим расщеплением цикла в этом месте.

II. РЕАКЦИИ РАСЩЕПЛЕНИЯ И ПЕРЕГРУППИРОВКИ ЦИКЛОВ ПОД ДЕЙСТВИЕМ НУКЛЕОФИЛЬНЫХ АГЕНТОВ

1. Расщепление имидазольного цикла в пуриновых производных

Расщепление имидазольного цикла в пуриновых нуклеозидах и нуклеотидах и в других 9-замещенных пуринах под действием оснований (обычно OH^-) происходит, вероятнее всего, за счет

нуклеофильной атаки по С-8 пуринового ядра и приводит к производным 5,6-диаминопиримидина.



Известно довольно значительное количество работ, в которых эти реакции исследовались на различных примерах¹⁻²⁰.

Строение конечного продукта реакции зависит от природы производного пурина и условий проведения реакции. Если реакция протекает в достаточно мягких условиях, то удастся выделить первично образующийся 6-аминозамещенный пиримидин II. В более жестких условиях соединения типа II дают с отщеплением муравьиной кислоты 6-аминопиримидин III. Если расщеплению подвергаются пуриновые нуклеозиды (но не 9-алкилпурины), то в достаточно жестких условиях может также произойти отщепление рибозильного остатка, и в этом случае конечным продуктом реакции оказывается 5,6-диаминопиримидин IV.

Скорость расщепления имидазольного цикла в пуриновых производных зависит от концентрации атакующих ионов гидроксид-иона¹⁻³ (табл. 7.1). Такая зависимость дает основание считать, что атака OH^- по С-8 является стадией, определяющей скорость всего процесса.

Легкость расщепления имидазольного кольца в пуриновых нуклеозидах зависит от характера заместителей в ядре¹⁰, влияющих на электрофильность атома С-8 (см. гл. 3). Производные пуринов, содержащие заместители, ионизующиеся в щелочной среде, например оксогруппы при С-2 и С-6, такие, как гуанозин, дезокси-гуанозин, инозин, ксантозин и соответствующие основания, не претерпевают расщепления имидазольного цикла даже в весьма жестких условиях (1 н. КОН, 100°C)³ (см. табл. 7.1). Это объясняется, по-видимому, тем, что в ионизованной форме такие группировки при С-2 и С-6 представляют собой сильные электронодонорные

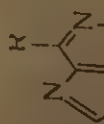
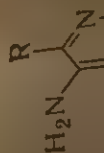
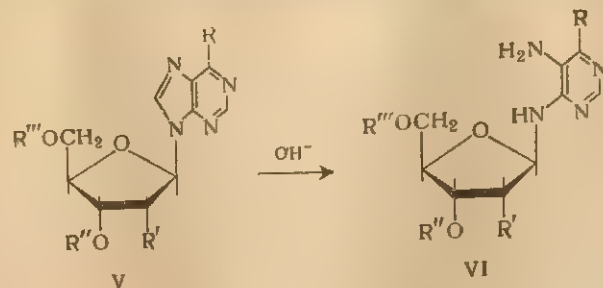


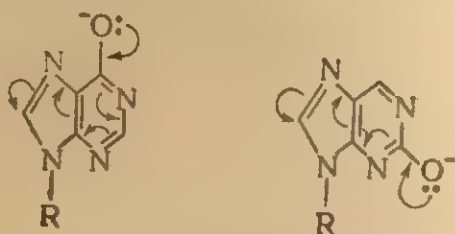
Таблица 7.1 Расщепление имидазольного цикла в пуриновых нуклеозидах и нуклеотидах под действием нуклеофильных агентов



Исходное соединение V	R	R'	R''	R'''	Реагент	Температура реакции, °C	Время реакции, ч	Степень превращения в VI, %	Литература
Аденозин	NH ₂	OH	H	H	1 н. KOH	100	1	28,5	2, 3
					0,3 н. KOH	100	1	11,0	3
					0,1 н. KOH	100	1	0,0	3
Дезоксиаденозин	NH ₂	H	H	H	1 н. KOH	100	1	27,0	3
		OH	PO(OH) ₂						
Аденозин-2'(3')-фосфат . . .	NH ₂	или OPO(OH) ₂	H	H	1 н. KOH	100	1	10,0	3
Дезоксиаденозин-5'-фосфат *	NH ₂	H	H	PO(OH) ₂	1 н. KOH	100	1	9,5	3
9-(β-D-Рибофуранозил)-пурин	H	OH	H	H	0,2 н. NaOH	24	24	100	4
6-Метил-9-(β-D-рибофуранозил)-пурин	CH ₃	OH	H	H	0,2 н. NaOH	24	24	60	5

* Аденил, гуанил, гуанозин, дезоксигуанозин, тироксантил, пиридин, ксантил и ксантозин в аналогичных условиях обработки (1 н. KOH, 100° C 1 ч) не расщепляются.

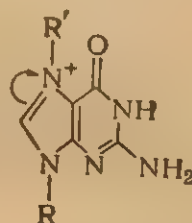
заместители, понижающие электрофильный характер атома С-8.



R — атом водорода или различные радикалы

Другие электронодонорные заместители в пиримидиновом цикле пуринов, такие, как NH_2 , CH_3 , хотя и не подавляют реакцию расщепления имидазольного цикла, но заметно снижают ее скорость. Так, в ряду 6-замещенных пуриновых нуклеозидов легкость расщепления имидазольного цикла падает с усилением электронодонорных свойств заместителя при С-6^{4, 5, 10}. 9- β -D-Рибофурозилпурин (небуларин) и его 6-метил-, 6-метилтио- и 6-хлорпроизводные легко расщепляются при комнатной температуре под действием 0,2 н. NaOH, в то время как 6-аминопурины в этих условиях устойчивы¹⁰.

С наибольшей легкостью имидазольный цикл расщепляется в 7-алкилгуанинах (табл. 7.2). Эти соединения раскрывают свой имидазольный цикл даже при pH, близких к нейтральному⁷⁻⁹, что связано, по-видимому, с наличием в молекуле 7-алкилгуаниновых производных положительного заряда на атоме N-7, сильно повышающего электрофильность атома С-8*.



R и R' — различные радикалы

Характер заместителя при N-7 в заметной степени влияет на легкость раскрытия имидазольного цикла; с усилением электроноакцепторных свойств заместителя расщепление облегчается. Так, в сравнимых условиях для различных 7-N-замещенных гуа-

* См. также^{15, 16, 19}. Производные пуринов, ацилированные по N-1 и N-3, в щелочной среде претерпевают расщепление с раскрытием пиримидинового цикла (см. стр. 442).

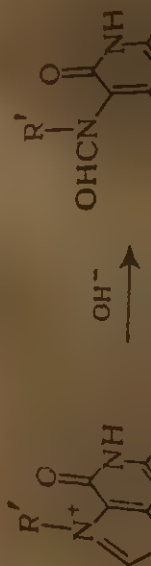
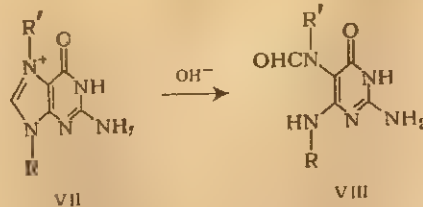


Таблица 7.2. Расщепление имидазольного цикла в 7,9-дизамещенных гуанинах под действием нуклеофильных агентов

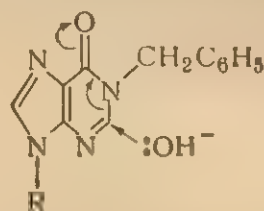


Исходное соединение VII	R	R'	Реагент	Температура реакции, °C	Время * реакции, ч	Степень превращения в VIII, %	Литература
7-Метил-9-этилгуанин	C ₂ H ₅	CH ₃	pH 12	37	(37,5)	—	1
7,9-Ди-(β-оксиэтил)-гуанин	HOCH ₂ CH ₂	HOCH ₂ CH ₂	pH 12	20	(2,3)	—	1
			Насыщенный раствор Ва (ОН) ₂	100	2	50	17
7,9-Ди-(морфолиноэтил)-гуанин			Насыщенный раствор Ва(ОН) ₂	100	2	100	6
7-Метилгуанозин	β-D-Рибофуранозил-1'	CH ₃	1 н. NaOH	37	0,5	100	7
			pH 10,2	20	(1,5)	—	1
7-Бензилгуанозия	β-D-Рибофуранозил-1'	C ₆ H ₅ CH ₂	pH 9,5	37	(0,5)	—	8
7-Метилгуанозин-5'-метилфосфат	5'-Метилфосфо-β-D-рибофуранозил-1'	CH ₃	pH 9	37	72	30	9
			pH 10	37	45	100	9
			pH 12	37	0,5	100	9
			2 н. NH ₄ OH	~ 20	2	100	9
7-Метилгуанозия	β-D-Рибофуранозил-1'	CH ₃	14%-ный NH ₄ OH	~ 20	2	56,8	20

* В скобках указано время, за которое достигается превращение исходного соединения на 50%.

Условия протекания реакций этого типа определяются строением соответствующих пуриновых производных, главным образом характером заместителей при N-1 и N-3, влияющих на электрофильность атома C-2.

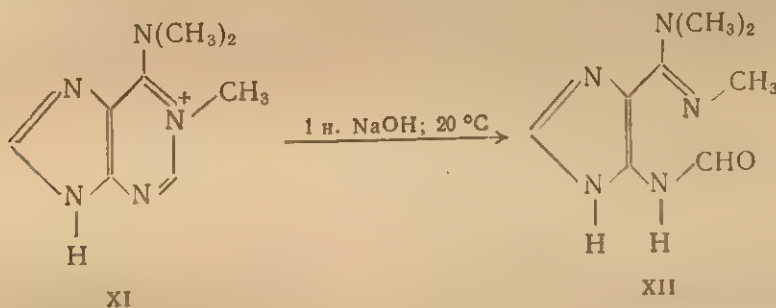
Производные инозина, замещенные по N-1, легко расщепляются под действием спиртовой щелочи²²⁻²⁵ (табл. 7.3). В этом случае связь N-1—C-2, по-видимому, активирована за счет карбонильной группы при C-6, не способной к енолизации:



R—остаток рибозы

Столь же легко протекает аналогичная реакция в ряду 1-N-замещенных производных 6-меркаптопурина^{37, 38}.

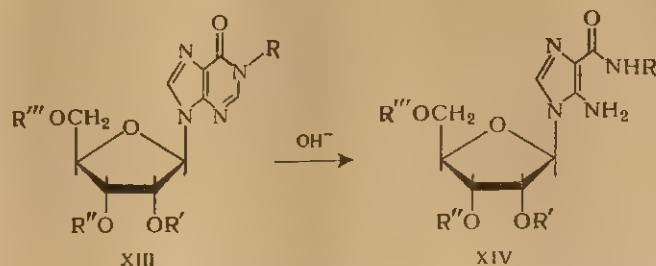
Еще легче (уже в слабощелочной среде) расщепляется пиримидиновый цикл в 1-N-алкиладенинах, однако в этом случае имидазольные производные типа IX возникают лишь как промежуточные продукты перегруппировки 1-N-алкиладенинов в 6-экзо-N-алкиладенины (стр. 450). Если же такая перегруппировка невозможна, как, например, для 6-экзо-N,N-диметил-1-N-метиладенина XI, то легко образуется имидазольное производное XII²⁹.



Расщепление пиримидинового цикла в 1-N-алкиладенинах происходит также при жесткой кислотной обработке последних* (табл. 7.4)^{8, 26-28}. Роль кислоты здесь состоит, по-видимому, в протонировании аденинового ядра по N-3 или N-7 с образованием двухзарядного катиона (о возможности образования такой формы см. стр. 179), в котором атом C-2 настолько электрофилен, что

* В этих условиях N-гликозидные связи в соответствующих адениновых нуклеозидах и нуклеотидах расщепляются (см. стр. 487).

Таблица 7.3. Расщепление пиримидинового цикла в 1-N-замещенных производных инозина под действием щелочных агентов (0,1—0,15 н.)

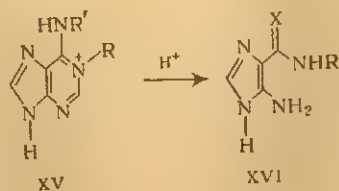


Исходное соединение XIII	R	R'	R''	R'''	Реагент	Температура реакции, °C	Время реакции, ч	Литература
1-Бензилинозин	$\text{C}_6\text{H}_5\text{CH}_2$	H	H	H	NaOH в спирте	При кипячении	3	22
1-Тозилинозин	$n\text{-CH}_3\text{C}_6\text{H}_4\text{SO}_2$	H	H	H	NaOH в спирте	При кипячении	5,5	23
1-Метоксиметил-2',3'-изо-пропилиденинозин-5'-ди-(п-нитрофенил)-фосфат	CH_3OCH_2	$-\text{C}(\text{CH}_3)_2-$		$\text{PO}(\text{OC}_6\text{H}_4\text{NO}_2 \cdot n)$	NaOH в спирте	При кипячении	1	24
1-(β-Карбоксиэтил)-инозин-5'-фосфат	$\text{CH}_2\text{CH}_2\text{COOH}$	H	H	$\text{PO}(\text{OH})_2$	KOH	100	0,5	25

Таблица 7.4. Расщепление пиримидинового цикла в аденине и его 1-N-замещенных производных под действием кислоты



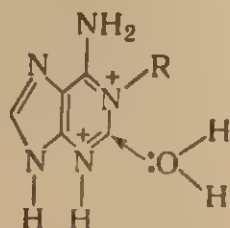
Таблица 7.4. Расщепление пиримидинового цикла в аденине и его 1-N-замещенных производных под действием кислоты



Исходное соединение XV	R	R'	X	Реагент	Температура реакции, °C	Время * реакции, мин	Степень превращения в XVI, %	Литература
Аденин	H	H	NH	6 н. HCl	150	120	100	26
1-Метиладенин	CH ₃	H	NH	6 н. HCl 1 н. HCl	100 80	(158) (350)	—	27 8
1-Бензиладенин	C ₆ H ₅ CH ₂	H	NH	1 н. HCl	80	(35)	—	8
Адениляктарная кислота	H	CHCH ₂ COOH COOH	O	1 н. HCl	100	180	44	28

* В скобках указано время, за которое достигается превращение исходного соединения на 50%.

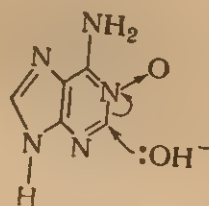
сравнительно легко подвергается атаке такого слабого нуклеофильного реагента, как вода.



R—алкильный радикал

В таких условиях раскрытие пиримидинового цикла претерпевает и сам аденин²⁶ (см. табл. 7.4). Заместители при N-1, обладающие электроноакцепторным характером, облегчают реакцию (например, 1-бензиладенин расщепляется легче 1-метиладенина⁸).

Другими производными аденина по N-1, которые претерпевают расщепление пиримидинового цикла как в щелочной, так и в кислой среде, являются N-окиси^{30–34} (табл. 7.5). В этих соединениях атом C-2 и связь N-1—C-2 так же, как и в 1-алкиладенинах, активированы положительным зарядом на N-1. Например, для аденина:



В щелочной среде N-окиси аденозина и аденозинмонофосфатов превращаются в производные XVIII³². Раскрытие пиримидинового цикла в молекуле N-окисей аденина и 2,6-диаминопурина происходит также при нагревании их при 140 °C с уксусным ангидридом; 2-метиладенин в этих условиях не расщепляется³³. Реакция протекает, по-видимому, за счет атаки ацетат-аниона по C-2 пурина и приводит к образованию производных XX.

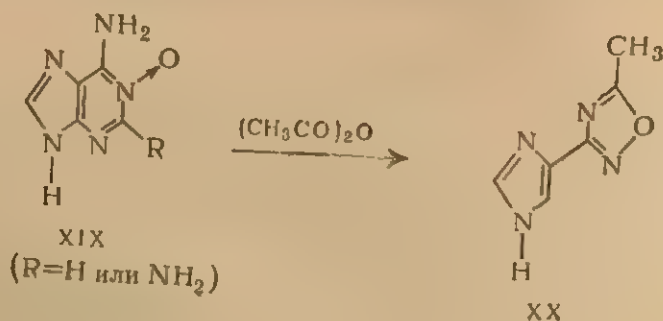
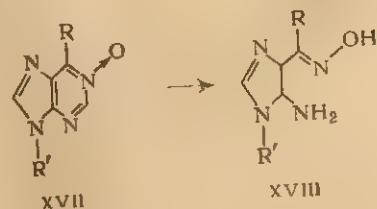


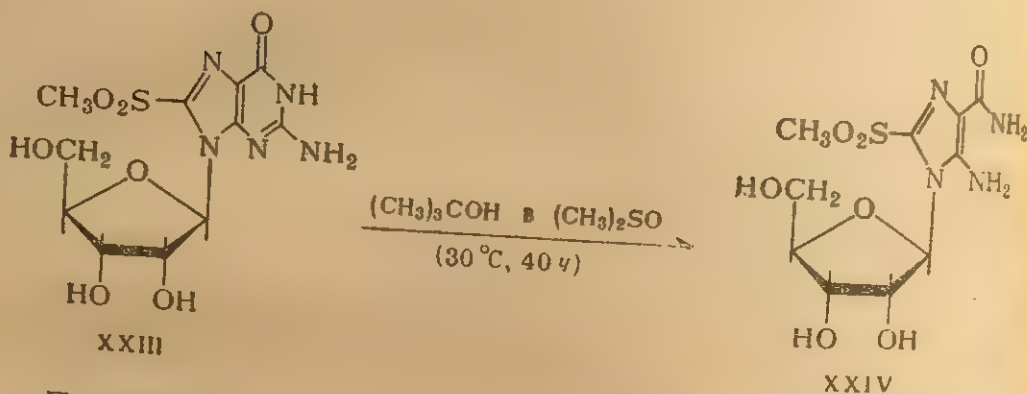
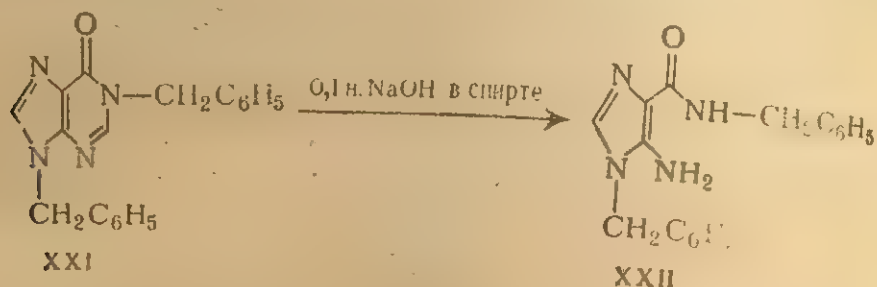
Таблица 7.5. Расщепление пиримидинового цикла в 1-N-окисях пуринов

Таблица 7.5. Расщепление пиримидинового цикла в 1-N-окисях пуринов



Исходная N-окись XVII	R	R'	Реагент	Температура реакции, °C	Время реакции, мин	Степень превращения в XVIII, %	Температура
Аденина	NH ₂	H	3 н. HCl 0,5 н. HCl	100 100	10 240	100 65	30 30
6-Метилпурина	CH ₃	H	2 н. HCl	100	4	100	31
Аденозина	NH ₂	β-D-Рибофуранозил-1'	1 н. NaOH	85	45	100	32
Аденозин-3'-фосфата	NH ₂	3'-Фосфо-β-D-рибофуранозил-1'	1 н. NaOH	85	45	100	32
Аденозин-5'-фосфата	NH ₂	5'-Фосфо-β-D-рибофуранозил-1'	1 н. NaOH	85	45	100	32

Производные гипоксантина XXI³⁵ и гуанина XXIII³⁶ под действием оснований также способны претерпевать расщепление пиримидинового цикла:



Производные 3-N-замещенных пуринов, подобно 1-N-замещенным, расщепляются в щелочной среде, как об этом свидетельствуют данные табл. 7.6. Из других соединений, не указанных в этой таблице, отметим расщепление аденинового циклонуклеозида XXVII^{35, 39, 40} (см. также²¹).

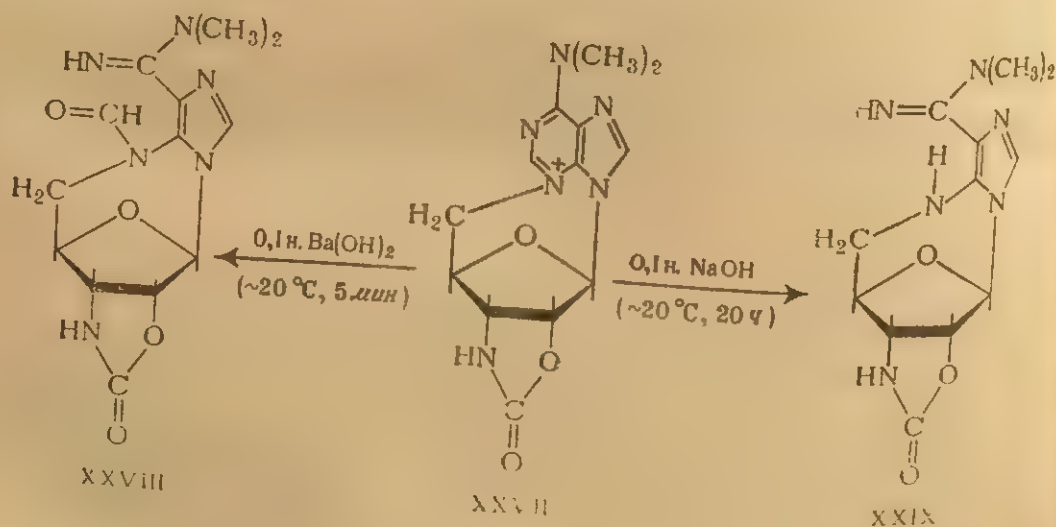
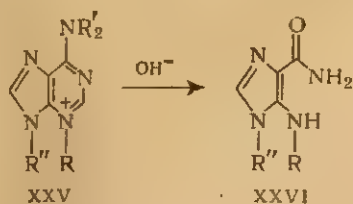


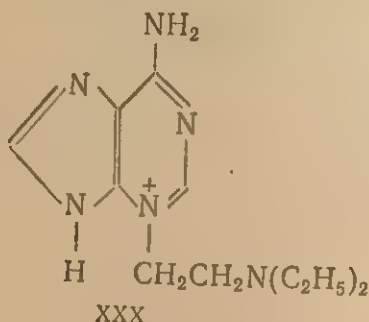
Таблица 7.6. Расщепление пиримидинового цикла в 3-N-замещенных пуринах под действием нуклеофильных агентов (при 100° C)

Таблица 7.6. Расщепление пиримидинового цикла в 3-N-замещенных пуринах под действием нуклеофильных агентов (при 100° C)



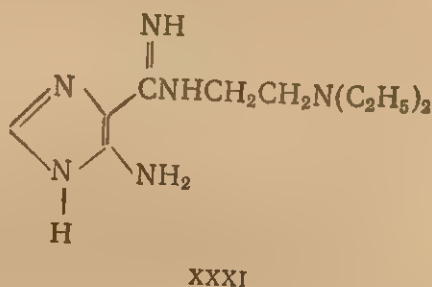
Исходное соединение XXV	R	R'	R''	Реагент	Время реакции, ч	Степень превраще- ния в XXVI, %	Литера- тура
3-Метиладенин	CH ₃	H	H	1 н. NaOH	2—4	Нет данных	29
3,9-Дибензил-6-экзо- N,N-диметиламино- пурин	C ₆ H ₅ CH ₂	CH ₃	C ₆ H ₅ CH ₂	0,15 н. NaOH	6	100	35

Однако 3-(β -диэтиламиноэтил)-аденин XXX оказался устойчивым к нагреванию⁶ (100°C, 1 ч) в 1,5 н. HCl или в 1 н. NaOH.



Для аденозина описано расщепление пиримидинового цикла в кислой среде в присутствии фруктозы и ионов меди⁴¹, механизм реакции неизвестен.

Данные о расщеплении остатков 1-N- и 3-N-алкиладенинов в составе РНК, ДНК и других полинуклеотидов практически отсутствуют (об образовании подобных производных при алкилировании полинуклеотидов см. стр. 364). Отмечается, что при действии на полиадениловую кислоту диэтил-(β -хлорэтил)-амин в течение 48 ч при pH 7 и 37°C с последующим кислотным гидролизом среди продуктов реакции обнаруживается производное имидазола XXXI.



Выход 6,3% от содержания аденина в полимере⁶.

3. Перегруппировка 1-N-алкиладениновых производных в 6-экзо-N-алкилсоединения

Различные производные 1-N-алкиладенинов (основания, нуклеозиды и нуклеотиды) в щелочной среде превращаются в соответствующие 6-экзо-N-алкилсоединения. Эта реакция по своему механизму сводится к перегруппировке Димрота⁴², хорошо известной для целого ряда гетероциклических соединений, и протекает

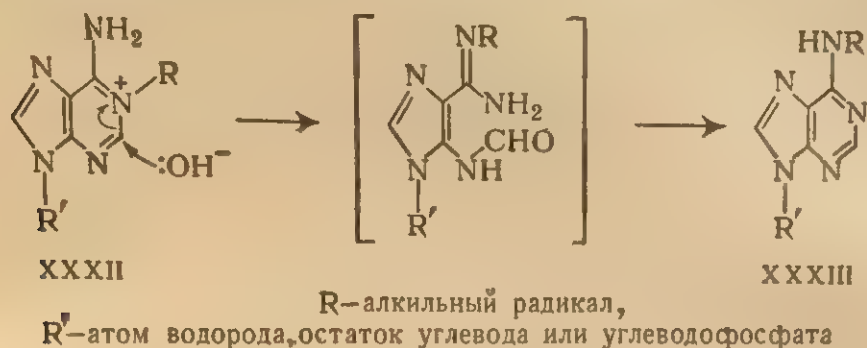
II. РАСЩЕПЛЕНИЕ
через
атаки

Хотя
точно ж
миаком
кает с з
нительн
(8—9)
де^{1, 50}.
сти пер
нозина
(рис. 7)
регрупп
ряженн

Рис. 7.1.
зина в
мость н
первого
(пунктир
протонир
щего нукл

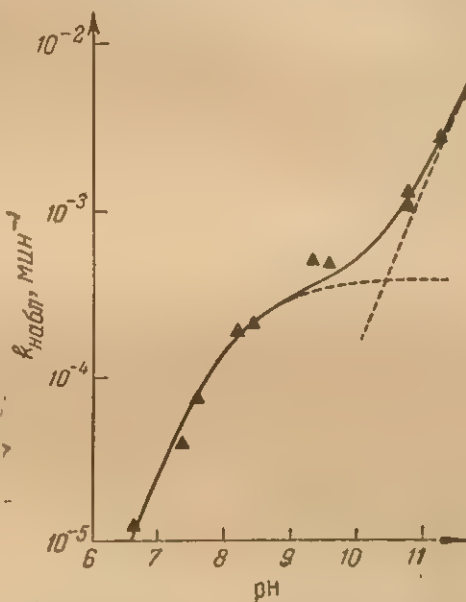
таток р
тральна

через промежуточное раскрытие пиримидинового цикла за счет атаки гидроксил-ионом атома С-2^{4, 8, 49}.

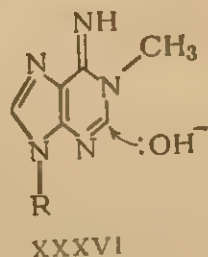


Хотя для проведения этой реакции часто применяются достаточно жесткие условия — нагревание с едкими щелочами или аммиаком^{8, 19, 27, 44, 46—48, 52—54} (табл. 7.7), — перегруппировка протекает с заметной скоростью при сравнительно невысоких значениях pH (8—9) и даже в нейтральной среде^{1, 50}. Характер зависимости скорости перегруппировки 1-N-метиладенозина в 6-экзо-N-метиладенозин (рис. 7.1) указывает на то, что перегруппировке подвергается как заряженная XXXII (R=CH₃, R'—ос-

Рис. 7.1. Перегруппировка 1-N-метиладенозина в 6-экзо-N-метиладенозин. Зависимость наблюдаемой константы скорости первого порядка $k_{\text{набл}}$ от pH⁵⁰ (пунктиром между pH 8 и 10 показан переход от протонированной к нейтральной форме реагирующего нуклеозида).

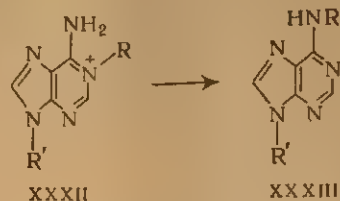


таток рибозы), так и нейтральная XXXVI формы соединения; нейтральная форма реагирует примерно на два порядка медленнее.



R—остаток рибозы

Таблица 7.7. Перегруппировка производных 1-N-алкиладенина в 6-экзо-N-алкиладенины



Исходное соединение XXXII	R	R'	Реагент	Темпера- тура реакции, °C	Время * реакции, ■	Степень превращения в XXXIII, %	Лите- ратура
1,9-Диметиладенин . . .	CH ₃	CH ₃	Вода	100	20	100	43
1-Бутил-9-метиладенин .	n-C ₄ H ₉	CH ₃	Вода	100	20	100	43
1-Метиладенозин . . .	CH ₃	β-D-Рибофуранозил-1'	0,25 н. NaOH	100	1,25	100	8
1-Бензиладенозин . . .	C ₆ H ₅ CH ₂	β-D-Рибофуранозил-1'	0,1 н. NaOH	37	(0,5)	—	19
1-Метил-2'-дезоксаде- нозин	CH ₃	β-D-Рибофуранозил-1'	0,1 н. NaOH	37	(0,33)	—	19
1-Изопентениладенин .	(CH ₃) ₂ C=CHCH ₂	H	0,25 н. NaOH	100	0,5	100	8
1-Изопентениладенозин	(CH ₃) ₂ C=CHCH ₂	β-D-Рибофуранозил-1'	1 н. NaOH	41	(33)	—	44
1-Изопентениладенозин- 5'-фосфат	(CH ₃) ₂ C=CHCH ₂	β-D-Рибофуранозил-1'	pH 7,5	100	(1)	—	45
			0,02 н. KOH	41	(0,12)	—	46
			конц. NH ₄ OH	60	(0,67)	—	47
	(CH ₃) ₂ C=CHCH ₂	5'-Фосфо-β-D-рибофура- нозил-1'	конц. NH ₄ OH	60	(1)	—	47

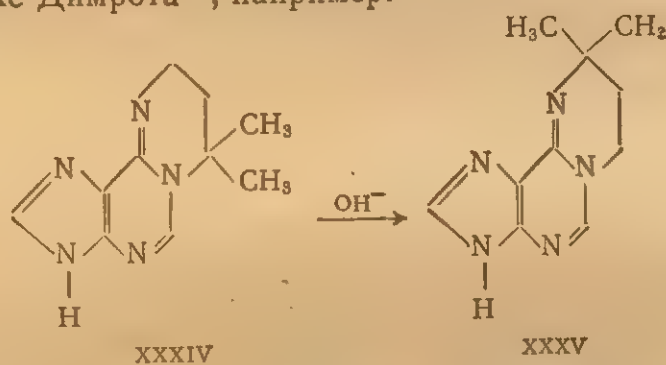
* В скобках указано время, за которое достигается превращение исходного соединения на 50%

н. расщепле
В 6-окс
цил, являе
Природа
значительн
аденозин
лишь неск
нозин-5'-ф
группиров
что и 1-N-э
по-видимом
перегруппи
оксидативн
водные с
группиров
5'-фосфата
медленнее
1,6-экзо
перегруппи

В обоих случаях стадией, определяющей общую скорость реакции, является, вероятно, атака гидроксил-анионом атома С-2.

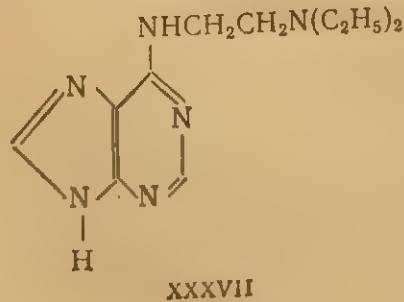
Природа алкильного заместителя, по-видимому, оказывает незначительное влияние на скорость перегруппировки. 1-N-Бензил-аденозин превращается в соответствующее 6-алкилпроизводное лишь несколько быстрее, чем 1-N-метиладенозин¹⁹. 1-N-Метиладенозин-5'-фосфат в широком интервале рН (от рН 7 до 12) перегруппировывается в 6-экзо-N-производное с той же скоростью, что и 1-N-этильный аналог¹. Заместители в остатке сахара также, по-видимому, не оказывают значительного влияния на скорость перегруппировки. Так, 1-N-метиладенозин-5'-фосфат и 1-N-дезоксиаденозин-5'-фосфат превращаются в 6-экзо-метиламинопредельные с одинаковой скоростью¹; 1-N-изопентениладенозин перегруппировывается лишь немного быстрее соответствующего 5'-фосфата⁴⁷. Соответствующие основания реагируют значительно медленнее и в более жестких условиях (см. табл. 7.7).

1,6-экзо-N-Диалкиладенозины также способны подвергаться перегруппировке Димрота⁴⁶, например:



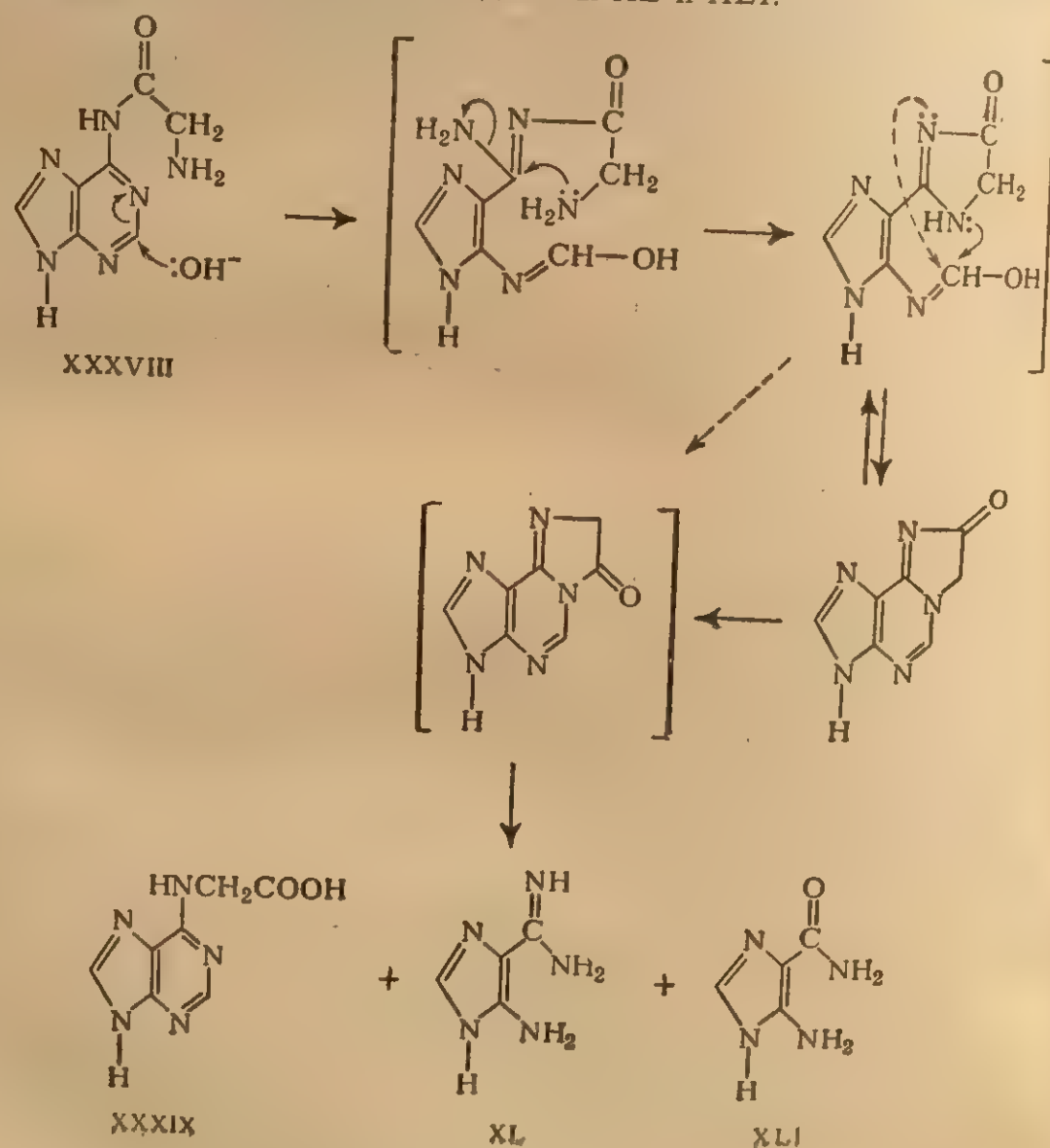
1,6-экзо-N,N-Триалкиладенины под действием щелочи превращаются в производные имидазола (см. стр. 442)²⁹.

Остатки 1-алкиладенина, образующиеся при алкилировании РНК и полирибонуклеотидов (см. стр. 363), могут перегруппировываться в производные 6-экзо-N-алкиладенина уже в процессе алкилирования⁶. Так, из продуктов реакции (β-хлорэтил)-диэтиламина с полиадениловой кислотой (при рН 7 и 37°C; 48 ч) после кислотного гидролиза был выделен 6-экзо-N-диэтиламиноэтиладенин XXXVII⁶.



Поскольку остатки 1-алкиладенинов встречаются в качестве минорных оснований в составе нуклеиновых кислот (см. стр. 57), следует учитывать возможность их превращения уже в слабощелочной среде в 6-экзо-N-алкилпроизводные, так как это может привести к ошибкам в определении нуклеотидного состава.

Перегруппировка Димрота, по-видимому, лежит также в основе недавно открытой реакции превращения 6-экзо-N-(α -аминоацил)-аденинов в N-(пуринил-6)- α -аминокислоты^{51, 150}, протекающей уже в нейтральных водных растворах. Например, после кипячения 6-экзо-N-глициладенина XXXVIII в воде в течение 36 ч был обнаружен пуринил-6-глицин XXXIX (выход 30%). Кроме того, были найдены аденин и продукты расщепления пиримидинового цикла в аденине — замещенные имидазолы XL и XLI.



4. Расщепление и перегруппировки цикла в пиримидиновых производных

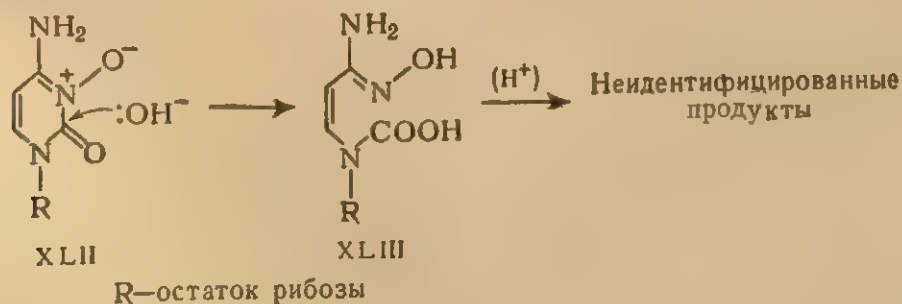
Пиримидиновый цикл в составе обычных пиримидиновых нуклеозидов и нуклеотидов довольно устойчив к действию щелочей, однако при достаточно жесткой щелочной обработке (1 н. КОН, 100°C) происходит его расщепление⁵⁵ (табл. 7.8). Реакция начинается, вероятно, с атаки гидроксил-иона по атому С-4 пиримидинового ядра, однако, поскольку первичные продукты быстро претерпевают дальнейшую деструкцию, из продуктов превращения были идентифицированы лишь мочевина и аммиак⁵⁵. Пиримидиновые основания в этих условиях устойчивы⁵⁵.

Таблица 7.8. Расщепление пиримидинового ядра в нуклеозидах и нуклеотидах под действием 1 н. раствора КОН (при 100° С)⁵⁵

Исходное соединение	Время реакции, %	Содержание в продукте исходного соединения, %	Исходное соединение	Время реакции, %	Содержание в продукте исходного соединения, %
Уридин	1	95	Цитидин-2'(3')-фосфат	1	90 *
	5,5	58	Цитидин	1	96 *
Уридин-2'(3')-фосфат	1	89	Дезоксицитидин	1	96 *
	5,5	57	5-Метилдезоксицитидин	1	100 *
Дезоксицитидин-5'-фосфат	1	93 *			

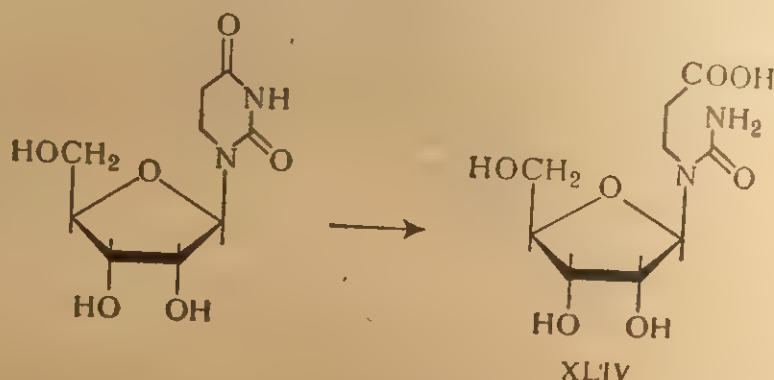
* В условиях реакции производные цитозина на 60—80% дезаминируются, превращаясь в соответствующие урацильные соединения.

Наличие в молекуле уридина при атоме N-3 алкильного заместителя в заметной степени облегчает раскрытие пиримидинового цикла под действием щелочей^{56, 57}. Нестойки в щелочной среде и другие 1,3-дизамещенные урацильные производные^{59—67}. Строение продуктов щелочного расщепления неизвестно, отмечено лишь, что при этом образуются производные мочевины⁵⁶. 3-N-Алкилцитидины в противоположность 3-N-алкилуридинам довольно устойчивы к действию щелочей^{1, 62}. Сравнительно легко (0,3 н. КОН, 40° С, 30 ч) расщепляется пиримидиновый цикл в молекуле N-3-окиси цитидина XLII⁶³.



Предполагается, что ион гидроксила атакует атом С-2, активированный положительным зарядом на атоме N-3 цитозинового ядра. Последующая кислотная обработка ациклического производного (предполагаемое строение XLIII) приводит к расщеплению гликозидной связи⁶³ (о применении реакций этого типа см. стр. 575).

Расщепление пиримидинового цикла в щелочной среде легче всего происходит после гидрирования двойной связи С-5—С-6 (см. гл. 5)^{56, 64–67, 151}. Дигидроуридин (и его 5'-фосфат) под действием разбавленного (0,01—0,1 н.) раствора щелочи при комнатной температуре превращается⁶⁴ в рибозильное производное уреидопрпионовой кислоты XLIV*:



Изучение кинетики этой реакции** для ряда дигидропиримидинов^{56, 65–67, 151} показало, что 3-N-алкилдигидропиримидины расщепляются под действием щелочей значительно быстрее производных, не содержащих заместителей при N-3⁵⁶, а производные тимина — заметно медленнее производных урацила^{56, 65, 67} (табл. 7.9). Дигидропиримидиновые нуклеозиды реагируют заметно быстрее дигидропиримидиновых оснований⁵⁶, хотя имеются данные, что скорости реакций оснований и нуклеозидов равны⁶⁵.

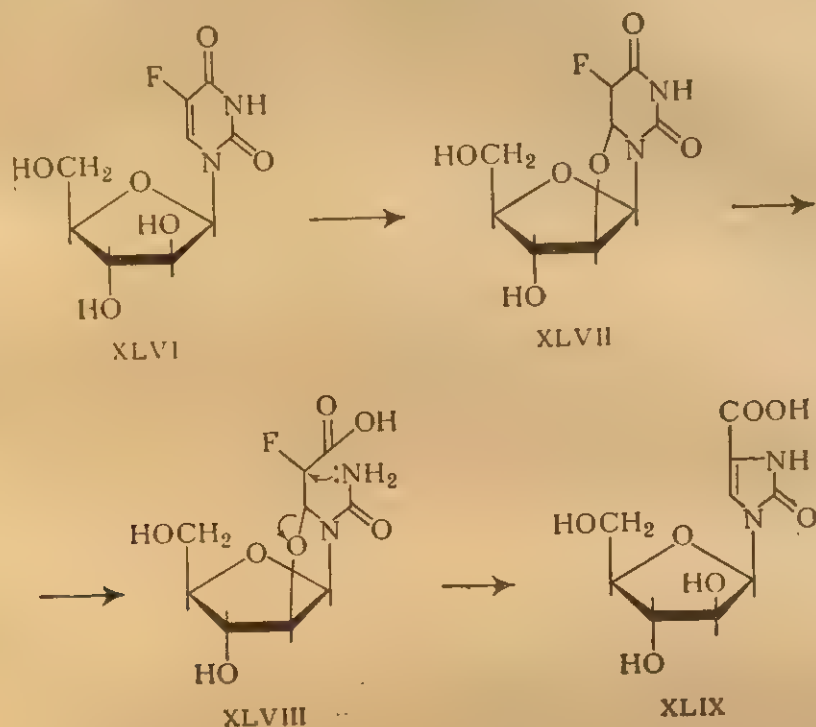
Насыщение двойной связи С-5—С-6, протекающее при галогенировании пиримидиновых производных (см. стр. 330), также приводит к соединениям, расщепляющимся с раскрытием цикла в щелочной среде^{69, 70}. Образующиеся при этом ациклические продукты охарактеризованы не были. Образование ациклических производных цитозина и частично тимина происходит, по-видимому, и при обработке ДНК иодом (рН 5,3; 100 °С, 5 мин) с последующим действием 1 н. раствором NaOH (100 °С, 1 ч)⁷¹.

Изучено расщепление пиримидинового цикла в 5-галогидзамещенных производных урацила и изоцитозина^{72–76, 152}. При обра-

* Аналогичное раскрытие цикла наблюдается при восстановлении уридина натрийборгидридом при рН 9,5—10 и облучении светом ртутной лампы низкого давления⁶⁸ (см. гл. 12). Продуктом реакции является рибозильное производное уреидоспирта, получающееся в результате дальнейшего восстановления.

** Детальное изучение кинетики щелочного гидролиза урацила, тимина и 3-N-метилурацила — см. 151.

ботке 1-(β -D-арабинофуранозил)-5-фторуридина XLVI 0,1 н. NaOH (60—70 °C, 30 мин) образуется ациклическое производное 2',2-циклонуклеозида XLVII⁷⁶. При более жесткой щелочной обработке (1 н. NaOH, 60 °C, 20 ч) соединение XLVII дает производное имидазола XLIX^{73, 76}:



Раскрытие цикла происходит, по-видимому, за счет нуклеофильной атаки по С-4 в промежуточно образующемся дигидропиримидиновом циклонуклеозиде XLVII^{73, 76}.

Аналогичная перегруппировка в имидазольный нуклеозид LI описана для 2',3'-О-изопропилиден-5-бромуридина L⁷⁵:

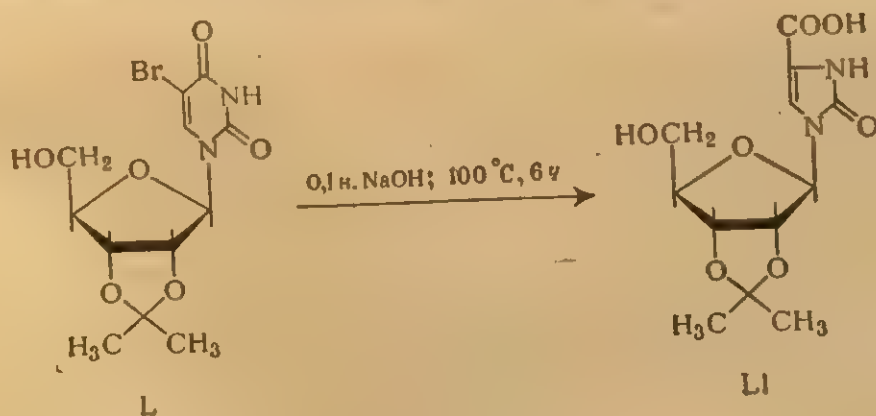
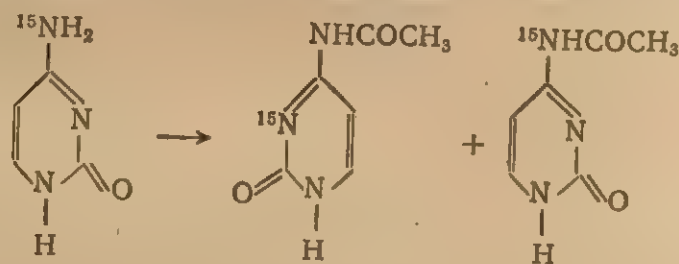


Таблица 7.9. Расщепление пиримидинового цикла в производных дигидропиримидинов под действием 0,1 н. раствора щелочи

Исходное 5,6-дигидропроизводное	Температура реакции, °C	Время полупревращения, мин	Литература
Урацила	22	3,7	
	27—29	2,5	56
	18 *	5,0	65
1-Метилурацила	22	15	67
3-Метилурацила	22	Очень быстро	56
1,3-Диметилурацила	22	2,1	56
5-Метилурацила (тимина)	22	6,1	56
	27—29	7,0	56
	18	10,0	65
1,3,5-Триметилурацила	22	14,5	67
1,3,6-Триметилурацила	22	>1 ч	56
Уридина	22	4,8	56
	27—29	2,5	65
3-Метилуридина	22	<1	56
Уридин-2'(3')-фосфата	22	6,5	56
Тимидина	22	8,4	56
	27—29	7,0	65
3-Метилтимидина	22	<1	56
Тимидин-5'-фосфата	22	19,0	56

* Использовался 0,01 н. раствор щелочи.

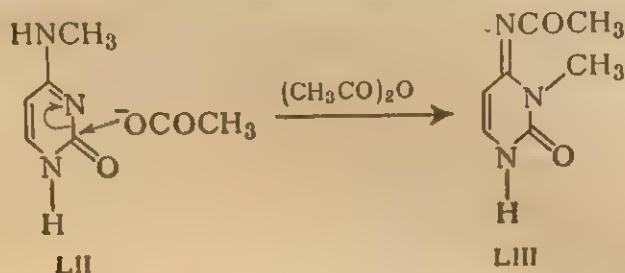
Ряд производных цитозина способен подвергаться перегруппировке Димрота ⁴² (о перегруппировках этого типа в ряду пуринов см. стр. 450) *. Сам цитозин претерпевает такую перегруппировку при длительном (108 ч) кипячении в уксусном ангидриде ⁸⁰, как это было показано с помощью меченых атомов:



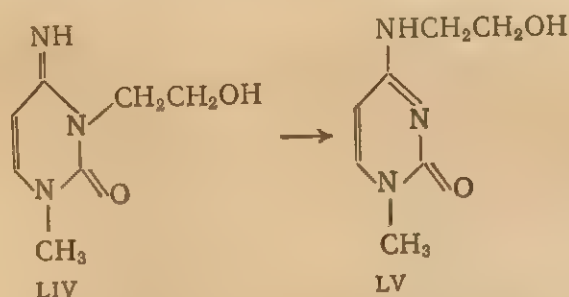
Реакция протекает с промежуточным раскрытием пиримидинового цикла ⁸⁰, по-видимому, за счет нуклеофильной атаки ацетат-

* В ряду пиримидинов перегруппировка Димрота детально изучена для неприродных 2-иминопиримидиновых производных ^{49, 77—79}.

анионом по С-2. В аналогичных условиях 4-экзо-N-метилцитозин LIII превращается в 3-N-метилцитозин LIV⁸¹:



Эта реакция представляет собой «обратную перегруппировку Димрота». Соответствующая «прямая перегруппировка», описанная для 1-N-метил-3-(β-оксиэтил)-цитозина LIV, протекает при нагревании с 1 н. NaOH (95 °С, 15 мин)⁸²:

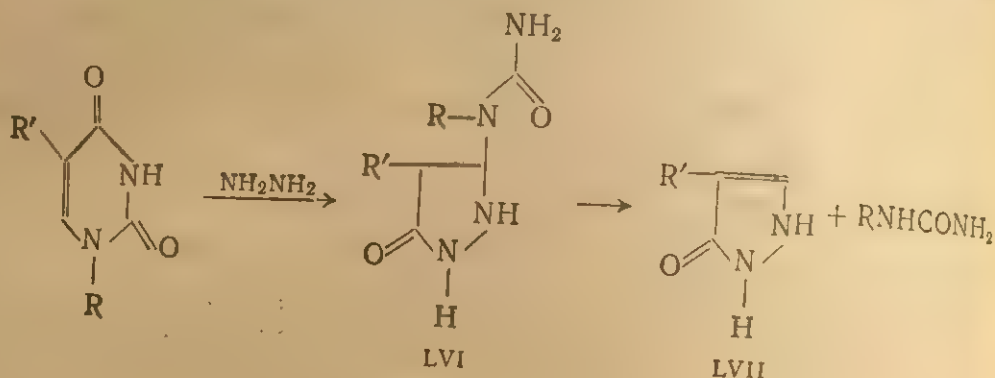


Интересно отметить, что 3-N-метилцитидин в этих условиях не подвергается перегруппировке, а только дезаминируется^{1, 62}.

III. РАСЩЕПЛЕНИЕ ПОД ДЕЙСТВИЕМ ГИДРАЗИНА

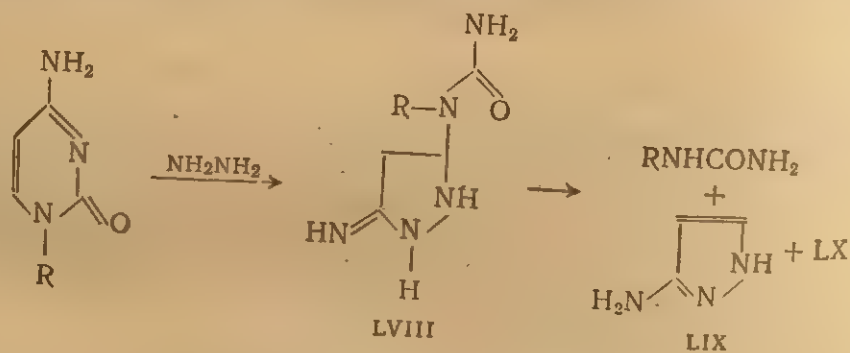
Мономерные компоненты нуклеиновых кислот. Выше уже рассматривалась (см. стр. 349) реакция гидразина в нейтральных или слабых водных растворах с цитозином и его производными, приводящая к замещению экзоциклической аминогруппы. При проведении реакции в щелочной среде⁸³⁻⁸⁸ или с безводным гидразином^{86, 89, 90} взаимодействие с компонентами нуклеиновых кислот сопровождается расщеплением пиримидинового цикла. Гуаниновое ядро под действием гидразина не разрушается^{86, 93}. Данные относительно ядра аденина противоречивы. По одним из них оно не разрушается даже в таких жестких условиях, как действие безводного гидразина при 60 °С в течение 20 ч^{86, 89, 90, 91} (ДНК фага ФХ174)⁹⁴; согласно другим — гидразин разрушает адениновое ядро, хотя и в меньшей степени, чем пиримидиновое^{93, 95, 96, 106}. Так, при обработке безводным гидразином дезоксиаденозин-5'-фосфата при 60 °С в течение 20 ч наблюдается разрушение нуклеотида на 50%⁹³. Более детально взаимодействие гидразина с ядром аденина пока не исследовано.

При расщеплении производных урацила^{91, 92} в качестве конечных продуктов реакции образуются мочевины и пиразолин-5 LVII ($R' = H$), а в случае производных тимина — соответственно 4-метилпиразолин-5 LVII ($R' = CH_3$)^{91, 92}:



R — атом водорода или различные радикалы
 $R' = H$ или CH_3

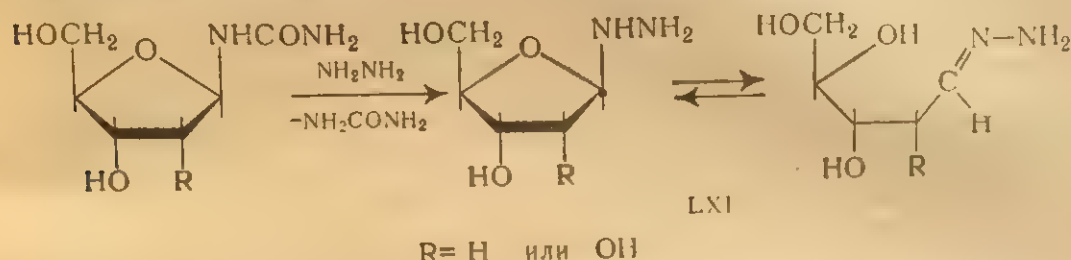
Производные цитозина^{91, 92} расщепляются гидразином с образованием мочевины и 5-аминопиразола LIX; кроме того, был обнаружен еще один продукт LX^{96, 106}, выход которого увеличивается при переходе от цитозина к его нуклеозидам и нуклеотидам¹⁰⁶. Это соединение, по-видимому, представляет собой 3-уреидопиразол⁹⁶, хотя ему приписывалась также структура N,N'-ди-(пиразол-3)-гидразина¹⁰⁶.



R — атом водорода или различные радикалы

Образование продуктов LVII и LIX, вероятно, происходит в результате отщепления мочевины от промежуточных 3-уреидопиразолидинов LVI и LVIII. В случае реакции пиримидиновых производных с самим гидразином такие промежуточные продукты выделены не были, однако их выделение и идентификация при реакциях с метилзамещенными гидразинами^{91, 92} (стр. 463) дает основание считать, что они образуются и в первом случае.

Если в реакции участвуют нуклеозиды или нуклеотиды, то образующиеся после отщепления пиразолина N-рибозил- или N-дезоксирибозилмочевины могут вступать в обменную реакцию с избытком гидразина в реакционной смеси, давая рибозил- или дезоксирибозилгидразоны LXI и незамещенную мочевину^{86, 106}.



При взаимодействии безводного гидразина с различными нуклеотидами и нуклеозидами^{86, 89, 90} наиболее реакционноспособными оказываются производные урацила; значительно менее реакционноспособны производные цитозина и наименьшая активность наблюдается в случае производных тимина и псевдоуридина (рис. 7.2). Во всех изученных примерах кинетика реакции подчиняется уравнению первого порядка^{88, 89}. Аналогичные закономерности получены также при использовании гидразингидрата^{84, 85, 106} и водных растворов гидразина^{4-6, 24} с тем значением pH, которое создавалось самим гидразином при используемой концентрации (табл. 7.10).

При реакции уридина с водными растворами гидразина, имеющими различное значение pH, максимальная скорость реакции наблюдается при pH 10,5⁸⁸. Наличие оптимума pH, по-видимому, свидетельствует о том, что реакция протекает между нейтральными молекулами уридина и гидразина. При повышении pH образующийся анион урацила реагирует с гидразином с меньшей скоростью, чем нейтральная молекула, тогда как при понижении pH скорость уменьшается за счет протонирования гидразина. Из подобных соображений следует, что оптимальное значение pH должно наблюдаться также для производных тимина, однако соответствующих экспериментальных подтверждений пока не получено. Известно лишь, что скорость реакции

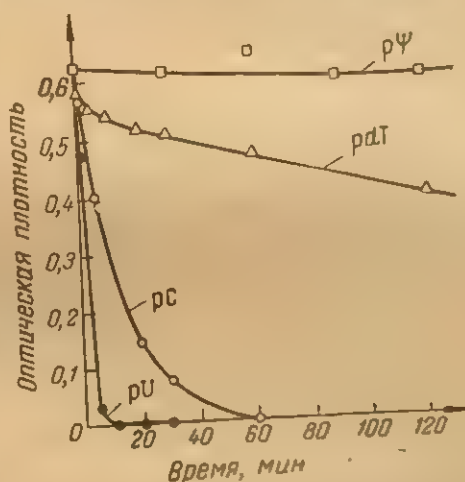


Рис. 7.2. Кинетика модификации ряда нуклеотидов безводным гидразином при 37° С⁸⁹.

В случае pΨ измерения проводились при pH 12, в остальных случаях — при pH 2,0, для pU и pdT показано изменение оптической плотности при 260 мμ, для pC — при 286 мμ, для pΨ — при 290 мμ.

Таблица 7.10. Кинетика гидразинолиза оснований, нуклеозидов и нуклеотидов гидразингидратом при 90° С в присутствии воды¹⁰⁶

Соединение	Время полупревращения, мин	Время, необходимое для полного завершения реакции, мин
Урацил	4	30
Уридин	< 1	10
Дезоксиуридин	< 1	20
Уридин-2'(3')-фосфат	~ 1	10
Уридин-5'-фосфат	< 1	5
Цитозин	20	180
Цитидин	4	25
Дезоксицитидин	8	50
Цитидин-2'(3')-фосфат	~ 1	25
Дезоксицитидин-5'-фосфат	6	25
Тимин	55	250
Тимидин	12	80
Тимидин-5'-фосфат	8	55
Аденозин-2'(3')-фосфат	210	—
Дезоксиаденозин-5'-фосфат	360	—

Примечание. Для аденозина за 4 ч в спектре реакционной смеси не наблюдается каких-либо изменений; для гуанозина и его нуклеотидов спектр реакционной смеси через 6 ч остается неизменным.

производных тимина с гидразином (10 М раствор реагента, 60° С, 4 ч) возрастает^{86, 87} при увеличении рН от 6 до 10:

рН	Степень модификации, %	
	для рdT	для рdC
6	42	76
8	70	89
10	77	97

Поскольку цитозиновое ядро теряет протон, по-видимому, только в сильно щелочных условиях, то при реакции с гидразином производных цитозина оптимум рН (если он имеется) должен быть сдвинут в щелочную область по сравнению с производными урацила и тимина. Однако и в этом случае нет соответствующих экспериментальных данных и наблюдается только возрастание скорости модификации при увеличении рН от 6 до 10. В данном интервале рН сохраняется та же закономерность в скорости модификации оснований гидразином, что и при использовании безводного гидразина, а именно^{86, 87}:

Производные урацила > Производные цитозина > Производные тимина

Этот ряд реакционной способности взаимодействия пиримидиновых производных с гидразином не меняется при изменении тем-

III РАСЩЕПЛЕНИЕ
ператур
чиваются

Дез
Тим

Сопос
с его вод
значения
зиды мел
ный гидр
90 мин,
10 М вод
ционной
дин-5'-фо
вительно
ниже «ко

Приве
лоспект
модифи
производ
ность ре
и 1,2-дим
разина м
производ
порядка
метилгид
ны⁸⁸ соот
тимина
нов⁸⁸; с
при 60°
цикличес
При р
разинами
пиразоли

В об
3-уредоз

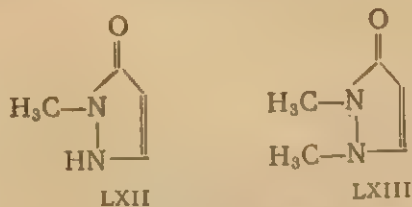
пературы, хотя абсолютные скорости реакции, естественно, увеличиваются с ее повышением^{86, 87}:

	Температура, °C	Время полупревращения (безводный гидразин) мин
Дезоксицитидин-5'-фосфат . .	60	14
	40	50
Тимидин-5'-фосфат	60	35
	40	143

Сопоставление скорости реакции с безводным гидразином и с его водными растворами показывает, что даже при оптимальных значениях pH водные растворы гидразина модифицируют нуклеозиды медленнее, чем безводный гидразин. Так, при 60°C безводный гидразин полностью разрушает дезоксицитидин-5'-фосфат за 90 мин, а тимидин-5'-фосфат — за 4 ч, тогда как при обработке 10 М водным раствором гидразина при pH 10 через 4 ч в реакционной смеси остается еще 3% дезоксицитидин-5'- и 23% тимидин-5'-фосфатов⁸⁷. Такое различие в действии реагентов не удивительно, поскольку концентрации водных растворов существенно ниже «концентрации» безводного гидразина.

Приведенные данные показывают, что гидразин является малоспецифическим агентом; с довольно близкими скоростями он модифицирует как цитозиновое, так и урацильное ядро, хотя производные урацила реагируют заметно быстрее⁹⁰. Специфичность реакции несколько повышается при использовании метил- и 1,2-диметилгидразинов⁸⁸, однако при введении в молекулу гидразина метильных групп скорость модификации пиримидиновых производных понижается^{86, 88}. Так, константы скорости первого порядка реакции уридина в 6,5 М водных растворах гидразина, метилгидразина и 1,2-диметилгидразина при 37°C и pH 10,5 равны⁸⁸ соответственно $2,4 \cdot 10^{-4}$; $1,4 \cdot 10^{-4}$ и $2 \cdot 10^{-5}$ сек⁻¹. Производные тимина реагируют с водными растворами замещенных гидразинов⁸⁸; с безводными метилгидразином и фенилгидразином за 6 ч при 60°C не удалось обнаружить заметной деградации гетероциклического ядра⁸⁶.

При реакции урацила с моно- и 1,2-диметилзамещенными гидразинами образуются 1-метилпиразолин-5 LXII и 1,2-диметилпиразолин-5 LXIII соответственно^{91, 92}:



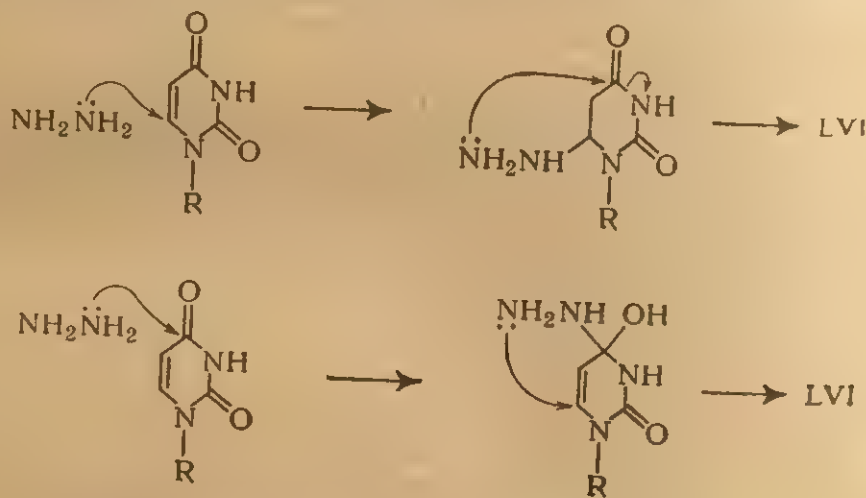
В обоих случаях удается выделить также промежуточные 3-урендозамещенные пиразолидиноны, причем устойчивость 1,2-ди-

метил-3-уреидопиразолидинона-5 выше, чем 1-метил-3-уреидопиразолидинона-5. По-видимому, такие же продукты должны образовываться при соответствующих реакциях нуклеозидов и нуклеотидов.

Исследование относительной скорости модификации оснований нуклеозидов и нуклеотидов под действием водных растворов гидразина¹⁰⁶ приводит к заключению, что основания менее реакционноспособны, чем нуклеозиды, которые, в свою очередь, менее реакционноспособны по сравнению с нуклеотидами; производные рибозы более реакционноспособны, чем дезоксирибопиримидины (см. табл. 7.10).

Такая закономерность понятна с точки зрения легкости ионизации соответствующих соединений (см. стр. 177). Соединения, наиболее легко отдающие протон в щелочной среде, реагируют с наименьшей скоростью.

Реакция гидразина с пиримидиновыми производными является последовательной нуклеофильной реакцией, механизм которой может быть представлен двумя альтернативными (или взаимодополняющими) схемами:



R-атом водорода или различные радикалы

Выбор между этими двумя путями реакции в настоящее время не может быть сделан из-за отсутствия достаточного количества экспериментальных данных.

Полинуклеотиды. Получение апириимидиновых полимеров. Гидразинолиз полинуклеотидов обычно проводят, используя безводный гидразин^{86, 89, 90, 93-104}, чтобы избежать расщепления фосфодиэфирных связей в щелочной среде^{98, 99}. Тем не менее проведение реакции с водными растворами гидразина при контролируемых значениях pH⁸⁷ дает аналогичные результаты (см. ниже).

При обработке ДНК безводным гидразином в достаточно мягких условиях (3—4 ч при 60°С^{86, 90, 93, 96, 100-104} или 20 ч при

37°С^{93, 95}) происходит полная деструкция цитозинового и тиминового ядер (табл. 7.11) при незначительном разрушении аденинового ядра. Уменьшение времени обработки приводит к неполному разрушению тиминовых производных^{90, 93, 95-97, 99}; напротив, увеличение времени реакции может, по-видимому, вызвать существенную дегградацию аденина^{93, 95, 96}. Данные по разрушению аденина в составе ДНК противоречивы (см. стр. 459), однако даже по самым высоким оценкам⁹³ за 4 ч при 60°С или за 20 ч при 37°С разрушается не более 10% адениновых ядер в ДНК, так что существует возможность достаточно селективного разрушения пиримидиновых ядер в полимере с получением апириимидиновых ДНК.

Таблица 7.11. Разрушение пиримидиновых ядер в составе ДНК под действием безводного гидразина⁹³

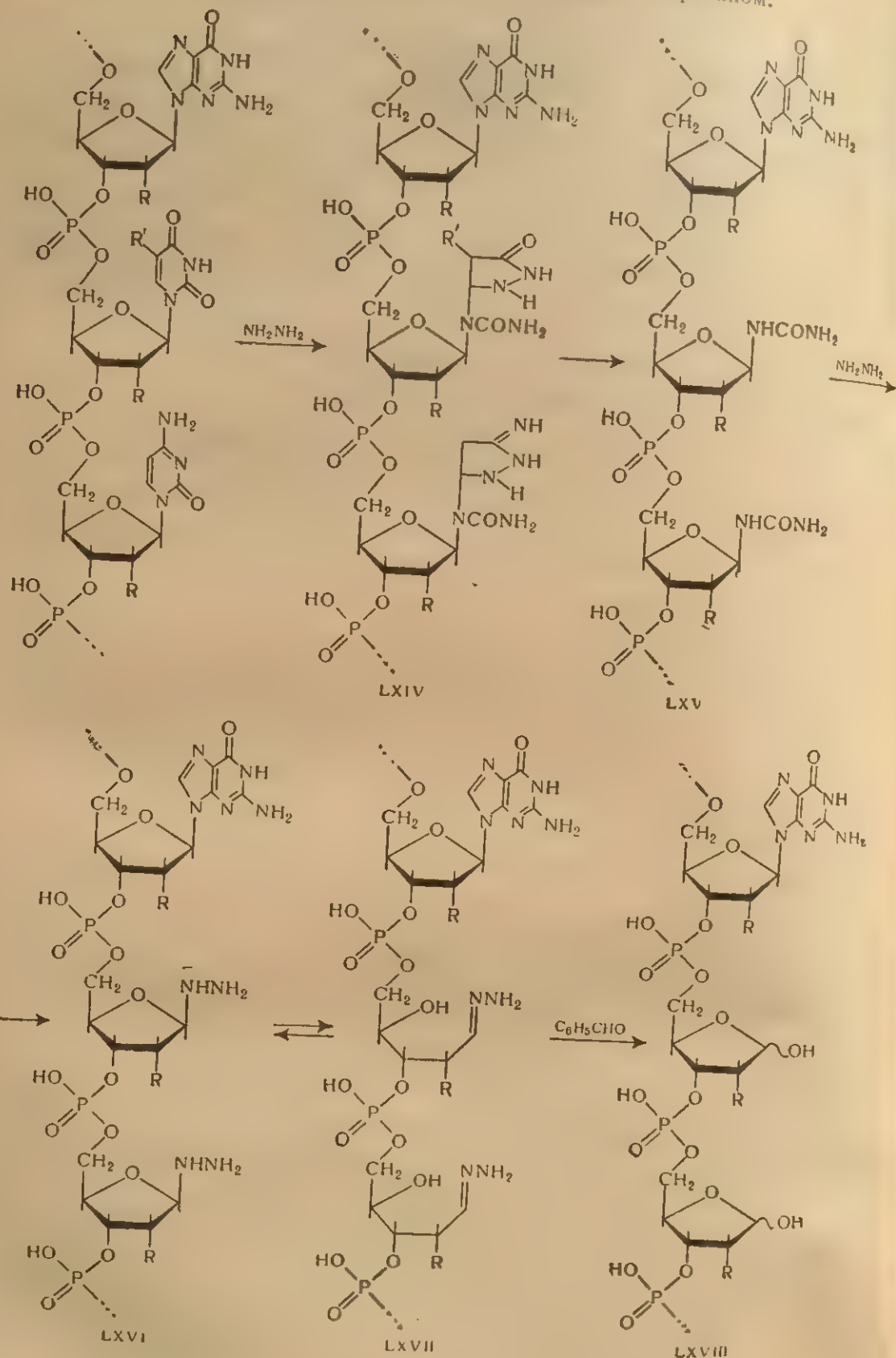
Время реакции, ч	Разложилось цитозина, %		Разложилось тимина, %	
	при 37°С	при 60°С	при 37°С	при 60°С
0	0	0	0	0
2	78	100	28	85
4	85	100	65	100
8	98	100	90	100
16	100	100	100	100

В случае РНК, содержащей более реакционноспособные (по сравнению с тиминном) урацильные ядра, полное разрушение урацила и цитозина в составе полимера происходит значительно скорее. Так, после обработки тРНК безводным гидразином при 50°С в течение 1 ч⁹⁸ или при 37°С в течение 1,5 ч⁸⁹ не удастся обнаружить в ее составе ни урацила, ни цитозина. Остатки малореакционноспособных рибозилтимина и 5-рибозилурацила при этом модифицируются, по-видимому, лишь в незначительной степени⁸⁹.

Реакция пиримидиновых оснований в составе нуклеиновых кислот, вероятно, протекает по той же схеме, что и реакция оснований в составе нуклеозидов (см. стр. 466).

Остаток цитозина в ДНК так же, как и в случае мономерных компонентов, дает наряду с 3-аминопиразолом 3-уреидопиразол, который обнаруживается в низкомолекулярных продуктах реакции⁹⁶. Образующиеся в составе полимера на последней стадии гидролиз могут существовать в циклической LXVI и ациклической LXVII таутомерных формах¹⁰⁵. В открытой форме LXVII имеется возможность β-элиминации фосфатной группы из 3'-положения остатка сахара и, кроме того, в водной среде возможен гидролиз связи 5'-CH₂O—P, рядом с которой в 4'-положении углевода находится гидроксильная группа (см. стр. 561). Вследствие этого в процессе гидразинолиза даже с безводным гидразином происходит

Взаимодействие нуклеиновых кислот с гидразином.



$\text{R} = \text{H}$ или OH , соответственно $\text{R}' = \text{CH}_3$ или H

IV. РАСЩЕ

заметная
довольно
ДНК мо
55 мин
ним мол
деграда
водить г
кой темп
ную апи
разиноли
чение 10
мидинов,
ДНК мал
Продукт
что свиде

Из по
(наприме
на, и в ко
линуклеот
ный остат
могут быт
мидинов
быть расщ
применяет
(см. стр. 5
гидразина
и муравьи
неорганич
дезоксир
свидетель
димому, п
ны, котор
быть пре
реакции с
с расщепл
тозина на
ноцитозин
щеплению
ний с пре
вой ДНК

IV. РАСЩЕ

Моном
разину, но
силамин, е

заметная деградация олигонуклеотидной цепи, хотя и получаются довольно высокомолекулярные фрагменты. Так, после обработки ДНК мол. веса $6 \cdot 10^6$ безводным гидразином при 60°C в течение 55 мин⁹⁹ получается набор апириимидиновых фрагментов со средним молекулярным весом примерно $5 \cdot 10^3$. Особенно сильно идет деградация в водных растворах гидразина⁹⁸. Однако если проводить гидразинолиз при достаточно низких значениях pH и низкой температуре, то удастся выделить довольно высокомолекулярную апириимидиновую ДНК. Это было показано на примере гидразинолиза ДНК фага T₂ при pH 9,5 и 0°C , проводившегося в течение 10 суток⁸⁷. В продуктах реакции не было обнаружено пириимидинов, а константа седиментации полученной апириимидиновой ДНК мало отличалась от константы седиментации исходной ДНК. Продукт модификации седиментировал узкой, неразмытой зоной, что свидетельствует о малой деградации полинуклеотидной цепи.

Из полученной апириимидиновой кислоты действием альдегидов (например, бензальдегида) могут быть удалены остатки гидразина, и в конечном счете на месте пириимидинового нуклеотида в полинуклеотидной цепи оказывается негликозилированный рибозильный остаток, фосфодиэфирные связи которого очень лабильны и могут быть расщеплены в мягких условиях (см. стр. 581). Апириимидиновые нуклеиновые кислоты вследствие этого легко могут быть расщеплены до олигопуриновых нуклеотидов, и это широко применяется при анализе распределения пуринов в ДНК и РНК (см. стр. 583). Следует отметить, что образующиеся под действием гидразина апириимидиновые ДНК при обработке дифениламином и муравьиной кислотой (см. стр. 574) незначительно выделяют неорганический фосфор и показывают заниженные отношения дезоксирибозы (по реакции с дифениламином) к фосфору. Это свидетельствует о том, что пириимидиннуклеозидные звенья (по-видимому, цитидиновые) не превращаются количественно в гидразоны, которые в дальнейшем обработкой бензальдегидом могут быть превращены в свободные дезоксирибозильные звенья⁹⁶. При реакции с цитозиновыми звеньями даже в щелочной среде наряду с расщеплением цикла наблюдается замещение аминогруппы цитозина на группу NHNH_2 ⁹². Образующийся при этом 4-экзо-N-аминоцитозин может оказаться значительно более устойчивым к расщеплению. Тем не менее, расхождения экспериментальных значений с предсказываемыми теоретически для полностью апириимидиновой ДНК не очень велики.

IV. РАСЩЕПЛЕНИЕ ПОД ДЕЙСТВИЕМ ГИДРОКСИЛАМИНА

Мономерные компоненты нуклеиновых кислот. Аналогично гидразину, но более специфично реагирует в щелочной среде гидроксилламин, если его концентрация достаточно велика. Реакция гидро-

ксиламина с цитозиновым ядром была уже рассмотрена выше (см. стр. 343); она имеет максимальную скорость при pH 6—6,2. По мере повышения pH скорость этой реакции падает. Напротив, скорость расщепления урацильного ядра в уридине и его нуклеотидах^{107–110} с повышением pH увеличивается, о чем можно судить, например, по уменьшению оптической плотности растворов нуклеозид-2'(3')-фосфатов в УФ-области спектра (рис. 7.3). Согласно этому критерию пуриновые нуклеозиды, а также тимидин и псевдоуридин¹⁰⁷ при действии гидроксил-амина в широком интервале значений pH (6—12) не разрушаются или разрушаются очень медленно.

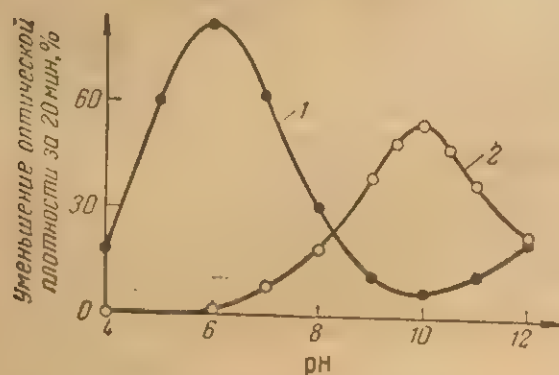


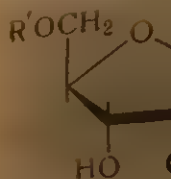
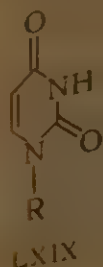
Рис. 7.3. Реакция цитидин-2'(3')-фосфата (кривая 1) и уридин-2'(3')-фосфата (кривая 2) с гидроксил-амином. Зависимость изменения оптической плотности растворов нуклеотидов от pH^{107, 108}.

(кривая 1 — изменение оптической плотности при 280 мкм; кривая 2 — при 260 мкм, концентрация реагента 6,5 М, 37° С).

но представлена как реакция первого порядка по уридину со скоростью; пропорциональной концентрации гидроксил-амина в реакционной среде. При pH 10 для 10 М раствора гидроксил-амина величина константы скорости реакции расщепления составляет примерно 1 ч^{-1} (при 37° С)¹¹⁰. Скорость модификации цитозинового ядра в этих условиях значительно ниже^{108, 111}; к моменту, когда с 6 М раствором гидроксил-амина реагирует 95% уридина, цитидин модифицируется¹⁰⁷ всего лишь примерно на 8%*. Таким образом, при pH 10 (в сравнительно мягких условиях) реакция с гидроксил-амином довольно специфична по отношению к уридину (из обычных нуклеозидов). Конечными продуктами реакции уридина и его фосфатов с гидроксил-амином является оксазолон-5 LXX (аналог пиразолон-5) и оксим рибозы LXXI или рибозофосфата, получающийся из промежуточно образующейся рибозилмочевины за счет обменной реакции с гидроксил-амином^{107–109}. Реакция протекает, вероятно, по механизму, аналогичному реакции с гидразином, и

* Следует отметить, что реакция с гидроксил-амином подвержена каталитическим влияниям, природа которых в настоящее время еще не ясна. Вследствие этих эффектов модификация цитидина в ряде случаев может быть значительной.

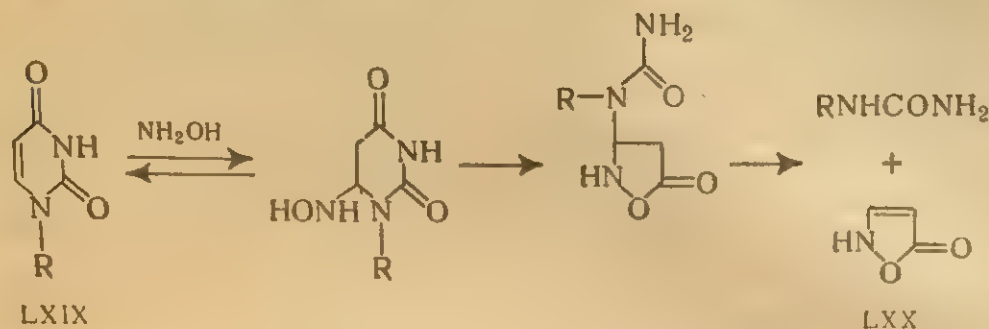
IV. РАСЩЕПЛЕНИЕ
ВКЛЮЧАЕТ



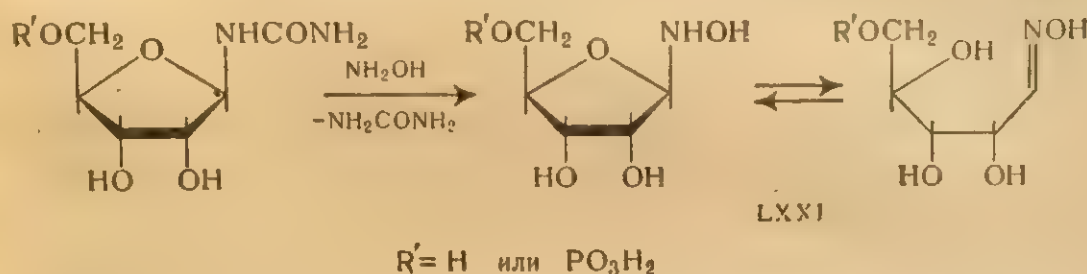
Первой
гидроксил-а
оптимум р
Сравни
леотидов с
что урацил
зано, по-в
так и с о
ральном я
боза; урид
оптической
ски с один
уридин-5'-д
в скорости
отношение
к скорости
2,5. Аналог
сиуридина

* При р
ности и скор
свпадают в
нения по дво
при высоких
считать ра

включает следующие стадии:



R-остаток рибозы или рибозо-5'-фосфата



Первой стадией реакции является присоединение аминогруппы гидроксилamina по двойной связи C-5—C-6 урацильного ядра; оптимум pH ≈ 8 ¹⁵³.

Сравнительных данных по кинетике реакции нуклеозидов и нуклеотидов с гидроксилaminом пока не имеется. Известно, однако, что урацил реагирует значительно медленнее уридина¹⁰⁷; это связано, по-видимому, как с различными значениями pK_a оснований, так и с облегчением нуклеофильной атаки при наличии в нейтральном ядре такого электроноакцепторного заместителя как рибоза; уридин-5'-фосфат и уридин-5'-дифосфат, судя по уменьшению оптической плотности растворов, реагируют при pH 10 практически с одинаковой скоростью, в то время как скорость реакции уридин-5'-дифосфатглюкозы значительно ниже¹¹². Эта разница в скорости увеличивается с повышением температуры, и при 90°С отношение констант скорости реакции первых двух соединений к скорости реакции уридиндифосфатглюкозы достигает величины 2,5. Аналогичные явления наблюдаются и для производных дезоксиуридина*. Возможной причиной наблюдаемых эффектов

* При pH 8 и низких температурах скорость уменьшения оптической плотности и скорость накопления продуктов расщепления цикла, по-видимому, не совпадают вследствие образования значительных количеств продуктов присоединения по двойной связи, не поглощающих в интервале 250—300 мμ¹⁵³. Однако при высоких температурах эти скорости можно с достаточной степенью точности считать равными.

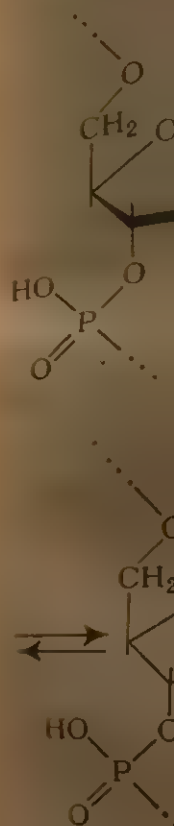
является существование определенного взаимодействия между остатком глюкозы и гетероциклическим основанием в нуклеозиддифосфатах¹¹³, вследствие чего реакция затрудняется. В связи с этим следует отметить, что скорости реакции 3-N-метилуридина с 5'-фосфата и соответствующей уридиндифосфатглюкозы равны¹¹², так что, возможно, конформация молекулы незамещенной уридиндифосфатглюкозы стабилизирована за счет водородной связи с участием протона N-3-урацильного остатка. Однако увеличение различия в скорости реакции с повышением температуры пока остается необъяснимым, хотя если в стабилизации конформации важную роль играют гидрофобные взаимодействия, которые усиливаются с температурой¹¹⁴, то такого эффекта можно было бы ожидать.

Влияние заместителей в гетероциклическом ядре уридина на кинетику его реакции с гидроксиламином подробно не исследовано. Можно отметить лишь, что введение метильной группы в случае 3-N-метилуридина¹¹² и тимидина¹⁰⁷ приводит к уменьшению скорости реакции. Аналог уридина — изоцитидин реагирует так же, как и уридин, с образованием изоксазолона-5¹⁰⁷, однако подробных сведений об этой реакции нет.

Полинуклеотиды. Специфичность действия гидроксилamina и относительно мягкие условия реакции с ним дают возможность избирательно модифицировать урацильные ядра в составе рибополинуклеотидов и РНК^{107, 111, 115-117}. Оптимальные условия модификации (рН 10, 10 М раствор реагента, 10° С, 150 ч) дают возможность полностью расщепить остатки урацила и заместить образующиеся остатки мочевины в соответствующих звеньях полинуклеотидной цепи на остатки гидроксилamina при незначительной модификации цитозиновых ядер (10—15%)*. Повышение температуры приводит к увеличению степени модификации цитозиновых звеньев и, по-видимому, к увеличению неспецифической деградации полинуклеотидной цепи. Понижение температуры до 0° С сильно замедляет расщепление урацильных звеньев. Сокращение времени реакции может привести к неполному замещению остатков мочевины в полинуклеотидной цепи, что усложняет задачу при необходимости получить полинуклеотид со свободными рибозильными звеньями (см. ниже). В приведенных оптимальных условиях неспецифическая деградация полинуклеотидной цепи минимальна, как это следует из незначительного уменьшения средней величины молекулярного веса поли-(А, С) и из того, что динуклеозидмонофосфат ГрС в данных условиях не расщепляется¹¹⁸. Однако наблюдается довольно значительная специфическая деградация по звеньям, содержащим продукты расщепления урацильного ядра, о чем можно судить, например, по сильному уменьшению среднего значе-

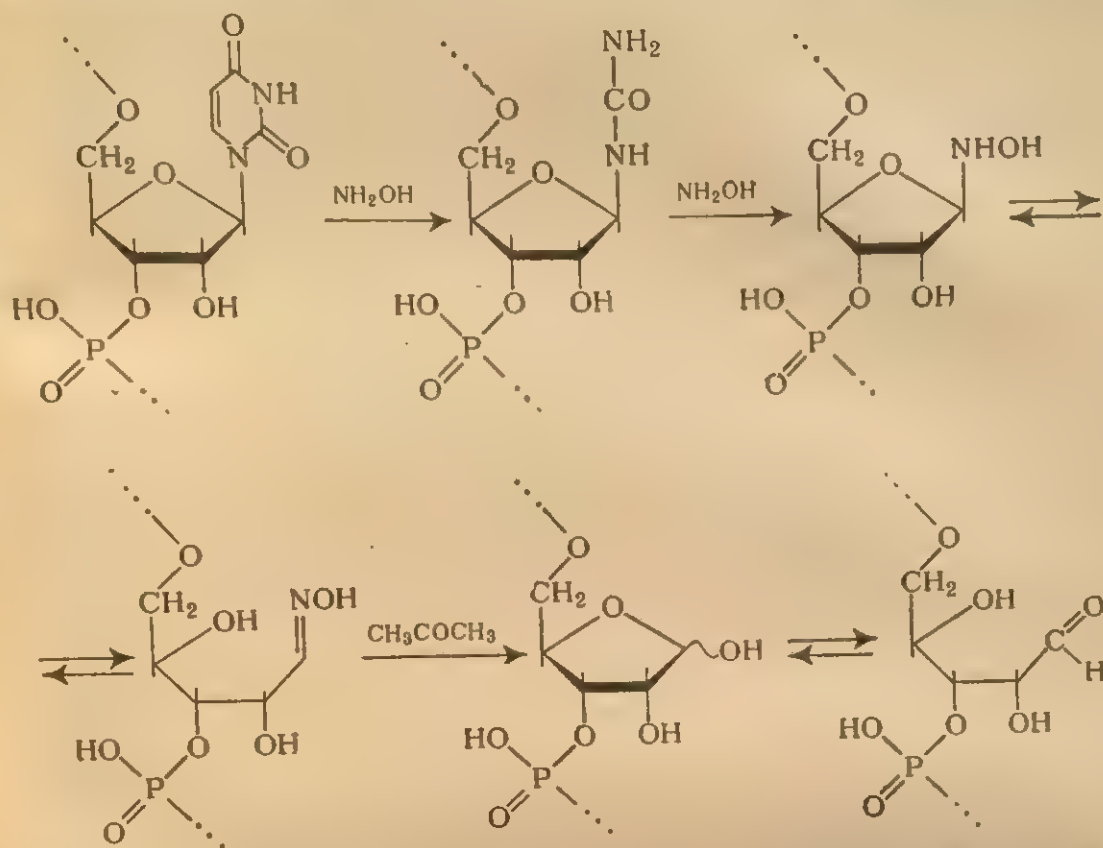
* См. примечание на стр. 468.

IV. РАСЩЕПЛЕНИЕ
НИЯ МОЛЕКУЛ
ДИФИКАЦИИ



Это расщепление...
существования...
рой облег...
соответств...
щихся по...
остаток ги...
может бы...
присутстви...
мер, содер...
рибозильн...
сутствии...
проведено...
ным рибоз...
соответств...
звеньям. С...
пенью рас...
особенно...
ляется ре...
нуклеот...

ния молекулярного веса полиуридилевой кислоты в процессе модификации ¹¹⁸.



Это расщепление связано, по-видимому, с возможностью существования оксима рибозы в открытой таутомерной форме, в которой облегчена β -элиминация фосфатной группы из 3'-положения соответствующего углеводного остатка (см. стр. 583). В получающихся после реакции с гидроксиламином дезурацильных РНК остаток гидроксиламина, присоединенный к рибозофосфатной цепи, может быть удален гидролизом в слабнокислой среде (рН 5) в присутствии циклогексанона ^{116, 117}. В результате образуется полимер, содержащий на месте уридиновых звеньев исходной РНК рибозильные звенья со свободным гликозидным центром. В присутствии катализаторов β -элиминации (см. стр. 584) может быть проведено специфическое расщепление такого полимера по свободным рибозильным остаткам и получены олигонуклеотидные блоки, соответствующие расщеплению исходной РНК по уридиновым звеньям. Специфичность подобного расщепления определяется степенью разрушения в процессе модификации других оснований, особенно цитозина. Следует иметь в виду, что гидроксилламин является реагентом, чувствительным ко вторичной структуре полинуклеотида ^{119, 120}, так что модификация может привести к

расщеплению только тех уридиновых звеньев, которые находятся в петлевых участках рибонуклеиновых кислот. Так, например, при модификации полиуридиловой кислоты 10 М раствором гидроксиламина при pH 10 и 10°C расщепление остатков урацила заканчивается через 30 ч, а при обработке комплекса (поли-А) · (поли-У) — только через 70 ч¹²⁰. При модификации тРНК¹¹⁹ при 0°C реагировало всего 30% урацильных остатков, тогда как при 37°C или при 10°C, но в присутствии мочевины, разрушающей вторичную структуру, расщепление остатков урацила было полным¹¹⁹. Чувствительность реагента ко вторичной структуре дает в принципе возможность расщепления полинуклеотидов по уридиновым звеньям, находящимся в односпиральных участках.

ДНК не содержит оснований, достаточно реакционноспособных по отношению к гидроксиламину (при pH 10), однако реакцию все же удается провести после дезаминирования ДНК, осуществляемого, например, азотистой кислотой, в результате чего цитозиновые остатки превращаются в урацильные. Это дает возможность специфического расщепления ДНК на олигонуклеотидные блоки по месту нахождения в исходной цепи дезоксицитидиновых звеньев, что особенно ценно, поскольку пока не известны ферменты, гидролизующие ДНК достаточно специфично по отношению к какому-либо определенному нуклеотиду. Такое сочетание двух методов химической модификации (обработки азотистой кислотой и гидроксиламином) с последующим кислотным гидролизом было применено для изучения распределения в ДНК тимидина¹²¹.

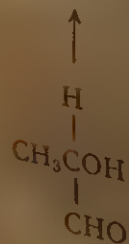
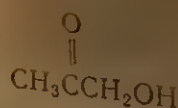
Особенности протекания реакции с гидроксиламином при низких концентрациях реагента. Если при достаточно высоких (более 0,1 моль/л) концентрациях гидроксиламин избирательно модифицирует урацильные ядра, то при концентрациях 10^{-1} — 10^{-2} моль/л в присутствии кислорода при pH 7—9 он неспецифически разрушает пиримидиновые основания и гуанин^{122–125}, модифицирует (без разрушения гетероцикла) аденин^{122–123}, давая два неидентифицированных продукта¹²³. При действии на нуклеозиды и нуклеотиды гидроксиламин в малых концентрациях вызывает отщепление оснований¹²³, а при обработке олигонуклеотидов и ДНК — интенсивное расщепление полинуклеотидной цепи. Скорость такого рода реакций уменьшается при увеличении концентрации реагента, при удалении кислорода из реакционной смеси или при добавлении каталазы, пероксидазы, трилона В и пирофосфата^{122, 125}. Продукты реакции нуклеотидов с гидроксиламином, по-видимому, идентичны продуктам, получающимся при действии перекиси водорода^{123, 124}, за исключением одного неидентифицированного продукта производного аденозина¹²³. Вероятно, что неспецифические реакции в этих условиях протекают за счет атаки радикалами $\text{OH}\cdot$, возникающими при окислении гидроксиламина. Разрушение полинуклеотидной цепи (так же как и при реакции с перекисью водо-

рода) вызывает дезоксирибозу стр. 478.

V. РАСЩЕПЛЕНИЕ ПЕРМАНГАТ

Мономер для в водных растворах, не затрачивается что первичные с пиримидиновыми си-5,6-дигидроксиламином с

При окислении тимидина и аденина (pH 9) окислены соотношением с пировиноградными условиями

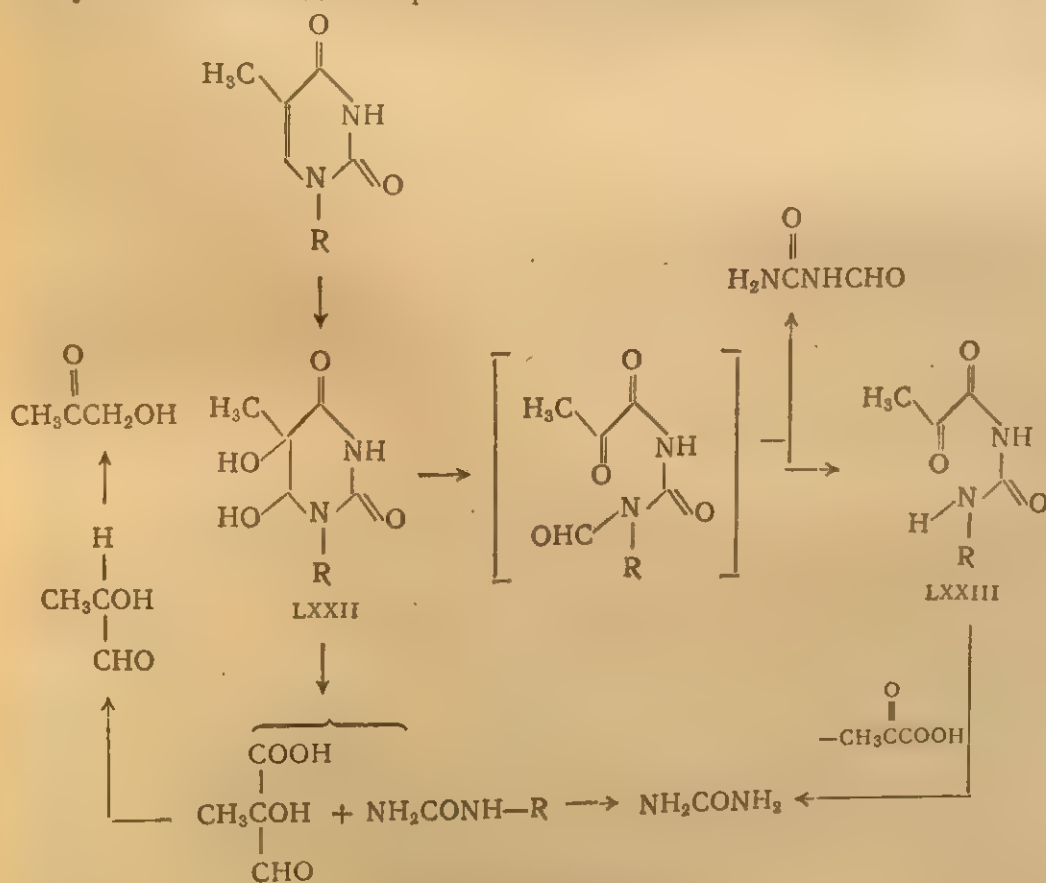


рода) вызывается, по-видимому, окислением атома C-1' остатка дезоксирибозы^{123, 154}. Подробнее этот вопрос рассмотрен на стр. 478.

V. РАСЩЕПЛЕНИЕ ЦИКЛОВ ПОД ДЕЙСТВИЕМ ПЕРМАНГАНАТА КАЛИЯ И ЧЕТЫРЕХОКСИ ОСМИЯ

Мономерные компоненты нуклеиновых кислот. Перманганат калия в водных растворах окисляет пиримидиновые основания и гуанин, не затрагивая аденин. Выше уже отмечалось (см. стр. 333), что первичными продуктами взаимодействия перманганата калия с пиримидиновыми основаниями являются, по-видимому, 5,6-диокси-5,6-дигидропроизводные, которые далее могут окисляться с образованием серии продуктов расщепления гетероциклического ядра.

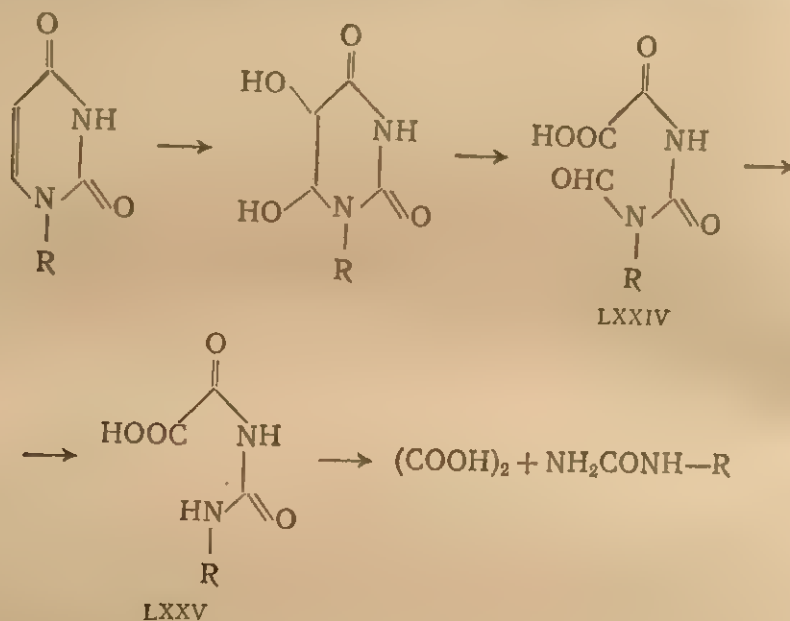
При окислении перманганатом калия (0,03—0,05 моль/л) 1-метилтимина и 1-фенилтимина при 37°С в нейтральной и слабощелочной (рН 9) среде в качестве продуктов реакции были идентифицированы соответствующие N-замещенные мочевины, оксиацетон, пировиноградная и муравьиная кислоты¹²⁶. Окисление в аналогичных условиях тимидина протекает по схеме^{126, 127}:



В продуктах реакции обнаружены 5,6-диокси-5,6-дигидротимидин LXXII¹²⁷, мочевины^{127, 128}, N-формилмочевина¹²⁷, N,N-дизамещенная мочевины LXXIII¹²⁷ и, возможно, N-дезоксирибозилмочевина^{127, 128}.

Окисление гликоля LXXII перманганатом приводило к той же серии продуктов¹²⁷.

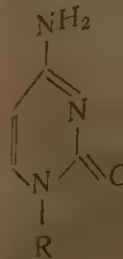
Окисление урацила при pH 7 приводит к оксалуриновой кислоте LXXV, аммиаку, мочеvine, щавелевой и муравьиной кислотам¹²⁹. Аналогично окисляются 1-алкил- и 1-арилзамещенные урацилы¹²⁹. Окисление нуклеозидов и нуклеотидов урацила, по-видимому, происходит аналогично и дает те же продукты, хотя в этом случае пока идентифицированы только производные мочевины¹²⁸. Окисление, очевидно, протекает с промежуточным образованием формилоксалуриновой кислоты LXXIV и может быть представлено следующим образом:¹²⁹



R — атом водорода или различные радикалы

Производные цитозина окисляются с образованием тех же продуктов, однако помимо мочевины образуются еще производные биурета LXXVII. Отношение выходов производных мочевины и производных биурета в случае цитозина и 1-метилцитозина составляет¹²⁹ соответственно 1:1,5 и 1:1,2; при окислении цитидина и дезоксицитидина это отношение равно¹²⁸ соответственно 4:1 и 3:1. Возможно, что образующийся на первой стадии окисления диол LXXVI может распадаться по двум направлениям: путем непосредственного окисления с образованием производных биурета LXXVII и путем дезаминирования (см. стр. 353) с образованием производ-

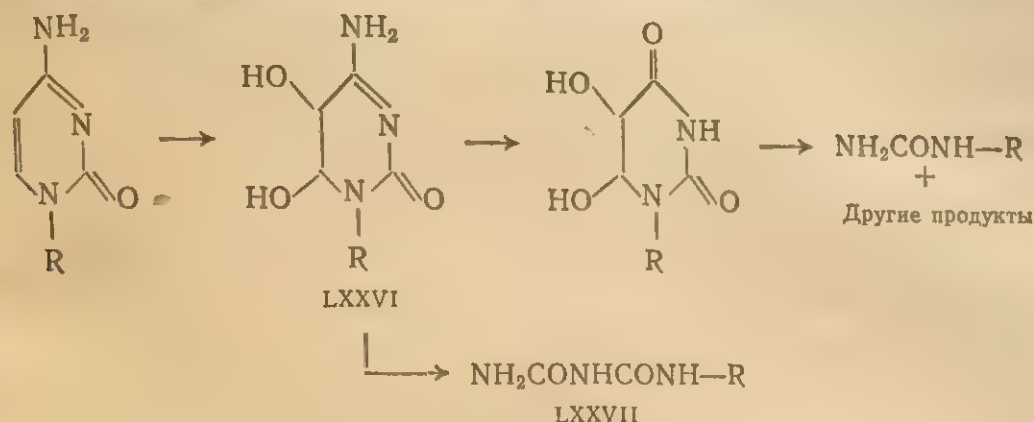
V. РАСЩЕПЛЕНИЕ
ных урацилов
нений сп



При окислении (по остаткам) гуанидин, ные производные (или их 2',3'-О-изомеры). Кроме того, окисления, что окисляется при окислении уриновых. В процессе разрушения основных оснований в водных растворах. При окислении уриновых оснований в водных растворах.

Реакции соответствующих центрированных 6,7 и 0° C и нуклеозидов поглощения концентрированных растворов.

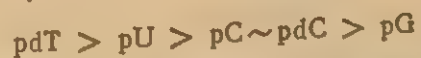
ных урацила, которые затем окисляются обычным для этих соединений способом, давая производные мочевины¹²⁹:



R — атом водорода или различные радикалы

При окислении гуанозина, дезоксигуанозина и их О-ацетильных (по остатку сахара) производных при pH 9 и 37°С образуются гуанидин, мочевина, рибоза или дезоксирибоза (или их ацетильные производные), а также рибозил- или дезоксирибозилмочевины (или их О-ацетильные производные)¹²⁸. При окислении 2',3'-О-изопропилиденгуанозина образуется щавелевая кислота. Кроме того, получают и другие неидентифицированные продукты окисления; общая схема реакции не ясна. Следует иметь в виду, что окисление нуклеозидов с незащищенной гидроксильной группой при С-5' приводит к частичному окислению с образованием уоновых кислот, рибозо- или дезоксирибозоряда^{127, 149}.

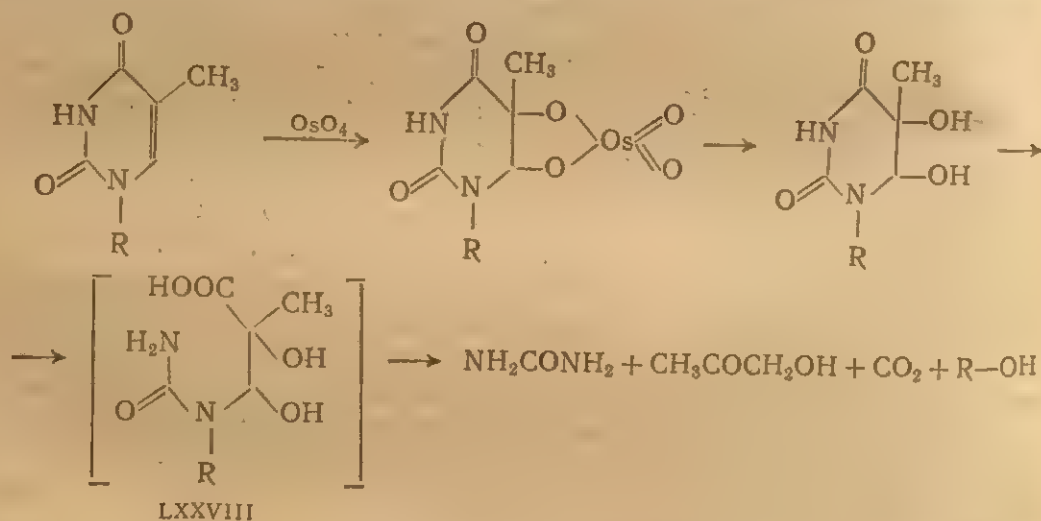
В процессе окисления под действием перманганата происходит разрушение сопряженной π -электронной системы гетероциклических оснований, что приводит к исчезновению характерного поглощения в области 250—290 мкм. Если о скорости окисления оснований судить по падению оптической плотности растворов производных в этом интервале длин волн, то 5'-нуклеотиды по своей реакционной способности к действию данного реагента могут быть расположены в ряд¹³⁰:



Реакционная способность нуклеозидов примерно такая же, как соответствующих нуклеотидов. При окислении сравнительно концентрированными растворами перманганата (0,03 моль/л) при pH 6,7 и 0°С оптическая плотность всех пиримидиновых нуклеотидов и нуклеозидов уменьшается практически до нуля за 1 ч, тогда как поглощение гуанозина изменяется всего на 10%. Уменьшение концентрации перманганата до $4 \cdot 10^{-4}$ моль/л дает возможность полностью окислить тимидин за 2 ч; оптическая плотность

растворов уридина за это же время падает на 50%, цитидина и дезоксицитидина — на 10%, а гуанозина и дезоксигуанозина не меняется вообще¹³⁰. Природа продуктов окисления в данных условиях пока не выяснена. Таким образом, при использовании разбавленных растворов перманганата из компонентов ДНК тимидин реагирует с наибольшей скоростью, и поэтому реакция, вероятно, может быть использована для специфической модификации тимидина в составе ДНК.

Более специфичен, чем перманганат калия, другой агент — четырехокись осмия, окисляющая только пиримидиновые основания и не затрагивающая пуриновые^{131, 132}. Выше (см. стр. 333) уже рассматривалась реакция четырехокиси осмия с пиримидиновыми нуклеозидами и нуклеотидами, приводящая к насыщению двойной связи С-5—С-6 с образованием 5,6-диокси-5,6-дигидропиримидинов. После окисления (см. стр. 333) образующиеся диолы могут быть превращены обработкой щелочью в уреидогликозиды LXXVIII¹³¹; остатки мочевины далее могут быть удалены кислотным гидролизом¹³¹ или действием гидразина, как описано ранее. В случае тимидина протекающая реакция может быть представлена следующей схемой¹³¹:



R — остаток дезоксирибозы

Поскольку тимидин реагирует значительно быстрее цитидина (см. стр. 333), окисление четырехокисью осмия может быть использовано для селективного удаления остатков тимина из ДНК.

Полинуклеотиды. При окислении перманганатом калия растворов ДНК¹³³⁻¹³⁷ и РНК¹³⁸ (обычно реакция проводится при pH 9 и 37°С в течение 19—20 ч) наблюдается количественное превращение пиримидиновых оснований и гуанина и в полиуглеводнофосфатной цепи из гетероциклических оснований остается только аденин. В остальных звеньях полимера рибозильные или дезоксирибозиль-

ные гру
а также
окислени
лочному
лостью¹³⁵,
удаление
местам л
гликозид
расщепле
ков моче
расщепле
В обоих
ненты не
тиды, сод
возможно
ниновых
тому, мо
продуктов

В разб
ганатом
При нейт
основания
рированно
в этих ж
те основа
концентри
ДНК, хот
периода¹³
этих усло

Реакци
удаления
для раск
мидинов
апиримид
легко гид
тидов. Де
шению ко
условиях
и компле
тРНК, по
лишь в од

* В нис
жены гуани
окислении

ные группы оказываются связанными с остатками мочевины*, а также с неидентифицированными азотсодержащими продуктами окисления, более устойчивыми, чем мочевина, к кислотному и щелочному гидролизу¹³⁷. После удаления мочевины обработкой щелочью^{135, 136} или путем замещения гидразином с последующим его удалением обработкой альдегидами¹³⁴ ДНК можно расщепить по местам локализации дезоксирибозильных остатков со свободным гликозидным центром (см. гл. 10). При щелочном методе такое расщепление цепи происходит одновременно с удалением остатков мочевины, а при обработке гидразином и альдегидом для расщепления необходима дополнительная обработка щелочью. В обоих случаях неидентифицированные азотсодержащие компоненты не удаляются и при расщеплении образуются олигонуклеотиды, содержащие аденин и неизвестное соединение¹³⁷, что не дает возможности использовать метод для изучения распределения адениновых звеньев в ДНК. При окислении РНК¹³⁸ также, по-видимому, можно ожидать появления наряду с мочевиной подобных продуктов окисления.

В разбавленных ($4 \cdot 10^{-4}$ моль/л) растворах окисление перманганатом чувствительно ко вторичной структуре полинуклеотида. При нейтральных значениях pH и 0°C данный агент не окисляет основания в составе нативной ДНК, тогда как окисление денатурированной ДНК протекает быстро¹³⁰. Аналогично при окислении в этих же условиях тРНК затрагиваются, по-видимому, только те основания, которые находятся в петлевых участках¹³⁰. Более концентрированные растворы перманганата окисляют и нативную ДНК, хотя окисление начинается после заметного индукционного периода¹³⁰. Как уже отмечалось, природа продуктов окисления в этих условиях пока не выяснена.

Реакция с четырехокисью осмия может быть использована для удаления тимина из ДНК¹³¹. Необходимость щелочной обработки для раскрытия цикла образующихся 5,6-диокси-5,6-дигидропиримидинов делает данную реакцию неприменимой для получения апириимидиновой РНК, поскольку в отличие от ДНК рибополимер легко гидролизует в щелочных растворах до смеси монуклеотидов. Действие четырехокиси осмия также специфично по отношению ко вторичной структуре полинуклеотида; в определенных условиях (см. стр. 334) реагент не окисляет нативную ДНК^{132, 133} и комплекс (поли-А) · (поли-У). При действии данного агента на тРНК, по-видимому, происходит окисление нуклеозидных звеньев лишь в односпиральных участках¹³².

* В низкомолекулярных продуктах окисления ДНК и РНК были обнаружены гуанидин и мочевина^{136, 138}, но не найден биурет, образующийся при окислении мономерных производных цитозина.

VI. РАСЩЕПЛЕНИЕ ПОД ДЕЙСТВИЕМ ПЕРЕКИСНЫХ ПРОИЗВОДНЫХ

Еще одним химическим реагентом, расщепляющим гетероциклические пиримидиновые производные нуклеиновых кислот, является перекись водорода. Пуриновые производные под действием перекиси водорода практически не расщепляются. Так, хотя при взаимодействии дезоксиаденозин-5'-фосфата с 0,05 М раствором перекиси водорода в присутствии ионов Fe^{3+} при pH 7,4 и 37°C после 48 ч реакции обнаруживаются неидентифицированные продукты расщепления пуринового цикла¹²⁴, их количество, однако, не превышает 6% от исходного нуклеотида*. Еще в меньшей степени расщепляется гуаниновое ядро¹²⁴. Конечными продуктами расщепления урацила, его нуклеозидов и нуклеотидов 3 М раствором перекиси водорода при pH 9—9,5 являются мочевины, рибозилмочевина и фосфаты рибозилмочевины соответственно, а также ряд неидентифицированных продуктов¹³⁹. В реакционной смеси образуется, кроме того, перекисное производное, структура которого не установлена¹³⁹. По-видимому, тимин и его нуклеозиды и нуклеотиды расщепляются аналогично. Относительно продуктов расщепления производных цитозина сведений пока нет.

Механизм действия перекиси водорода неясен. При малых концентрациях перекиси водорода (10^{-3} — 10^{-2} моль/л) существенную роль в этих реакциях играет образование радикалов, катализируемое соединениями переходных металлов, следы которых всегда присутствуют в реакционной смеси. Действительно, в присутствии такого комплексообразователя, как этилендиаминтетрауксусная кислота, расщепление остатков урацила и цитозина в полиуридиновой и полицитидиловой кислотах прекращалось или по крайней мере резко замедлялось¹⁴⁰.

При щелочных значениях pH и высоких концентрациях перекиси¹³⁹ окисление, возможно, идет по пути нуклеофильного присоединения анионов HOO^- по двойной связи C-5—C-6 пиримидиновых производных¹³⁹. Относительная скорость модификации различных нуклеотидов (о которой можно судить по падению оптической плотности в интервале 250—300 мкм при нейтральных значениях pH и малых концентрациях перекиси) падает в ряду^{124, 141}

производные цитозина > производные тимина > производные аденина > производные гуанина

При повышении pH скорость модификации производных урацила и тимина в растворах при высокой концентрации (~3 М) перекиси водорода повышается, тогда как модификация производ-

* О действии перекиси водорода на нуклеиновые кислоты и их мономерные компоненты с образованием N-окисей см. стр. 388.

ных цитозина, аденина и гуанина мало зависит¹³⁹ от pH. При pH 8—9,5 производные урацила и тимина реагируют с максимальной скоростью.

Побочным эффектом действия перекиси водорода на нуклеозиды и нуклеотиды является отщепление оснований от углеводного остатка (подробнее см. стр. 507).

При облучении растворов производных нуклеиновых оснований рентгеновскими лучами в присутствии кислорода наблюдаются процессы, во многом аналогичные тем, которые происходят под действием перекиси водорода. Это связано с возникновением при облучении тех же радикалов, что и при радикальном разложении перекиси водорода^{142—144, 155—157}.

Показано (обзоры — см. ^{155—158}), что при облучении рентгеновскими и γ -лучами в присутствии кислорода производные тимина, урацила и цитозина образуют гидроперекиси за счет присоединения по двойной связи C-5—C-6. Эти гидроперекиси могут затем превращаться в гликоли и — в случае производных цитозина и урацила — в производные изобарбитуровой кислоты. Возможно, что подобный ряд превращений наблюдается и при действии перекиси водорода в присутствии ионов переходных металлов¹²⁴. Образующиеся продукты присоединения могут далее разрушаться. Деструкция оснований под действием излучения довольно мала^{144, 155, 158}. При малых концентрациях перекиси водорода в присутствии ионов Fe^{3+} она также, по-видимому, незначительна¹²⁴. При действии на нуклеиновые кислоты перекиси водорода^{122, 123, 140, 145, 146} или ионизирующей радиации^{144, 146, 155—158} наряду с модификацией оснований происходит интенсивная деструкция полинуклеотидной цепи. Однако, если реакцию с перекисью водорода проводить при низкой температуре, деструкцию удастся в значительной степени предотвратить¹³⁹. Пользуясь значительным различием скоростей модификации оснований при высоких значениях pH, можно добиться селективной модификации остатков урацила в составе РНК или тимина в составе ДНК. Так, при действии на суммарную тРНК из дрожжей 6 М раствора перекиси водорода при pH 10 и +1°C после 20 ч наблюдается полное расщепление остатков урацила в цепи, тогда как остатки цитозина и гуанина модифицируются только на 10—14%¹³⁹. Отсутствие информации о природе продуктов расщепления, образующихся под действием перекиси водорода, не позволяет пока судить о возможностях применения этого реагента для целей модификации.

Перекись водорода также является реагентом, чувствительным по отношению ко вторичной структуре. Так, модификация урацила в составе полиуридиловой кислоты резко замедляется в присутствии полиадениловой кислоты, тогда как на модификацию полицитидиловой кислоты полиадениловая кислота не влияет¹⁴⁰.

Расщепление цикла оснований нуклеиновых кислот наблюдается и при действии органических пероксидов^{141, 147, 148, 159, 180}. При обработке этими реагентами производных аденина и цитозина были получены соответствующие N-окиси (см. стр. 388); с производными урацила, тимина и гуанина протекает расщепление цикла. На примере реакции с *m*-хлорпероксибензойной кислотой было показано, что уридин, тимидин и гуанозин дают при окислении уреидогликозиды и ряд других продуктов, аналогичных тем, которые получают при окислении этих соединений перманганатом^{148, 159}. Зависимость скорости реакции от pH имеет четкий максимум; максимальная скорость превращения наблюдается в щелочной области при значениях pH несколько больших, чем pK_a перкислоты (табл. 7.12). Это позволяет предположить нуклеофильный характер реакции, включающий взаимодействие аниона перкислоты с нейтральной молекулой основания. В случае пиримидиновых производных сначала, по-видимому, происходит присоединение аниона перкислоты по двойной связи с образованием перекисного соединения, которое превращается в 5,6-окись, гидролизующуюся далее до 5,6-диокси-5,6-дигидропроизводного. Последнее соединение претерпевает далее превращения, аналогичные наблюдаемым под действием перманганата (см. стр. 473). Наличие максимума при разрушении гуанинового цикла менее ясно.

Таблица 7.12. Кинетика деградации уридина, тимидина и гуанозина при 40°C под действием *m*-хлорпероксибензойной кислоты (pK_a перкислоты 7,6)¹⁴⁸

Нуклеозид	Оптимальное значение pH	<i>k</i> , моль ⁻¹ ·мин ⁻¹
Гуанозин	8,4	4,4
Уридин	8,6	3,8
Тимидин	8,6	0,7

Таким образом, в данной главе рассмотрены реакции расщепления и перегруппировок гетероциклических оснований нуклеиновых кислот, часть которых широко применяется при структурных исследованиях полимеров. Однако для исследования структуры нуклеиновых кислот после селективного удаления одного основания или группы оснований необходимо провести специфическое расщепление фосфодиэфирных связей, так чтобы затрагивались только те из них, которые соединяют с остальной частью молекулы образующиеся после удаления оснований углеводные остатки со свободным гликозидным центром. Эта проблема неразрывно связана с химией фосфоэфиров и фосфодиэфиров углеводов, рассматриваемых далее.

ЛИТЕРАТУРА

1. Bro
2. Mia
3. Jon
4. Ma
5. Go
6. Pri
7. Kri
8. Bro
9. Hai
10. Bro
11. Kri
12. Law
13. Law
14. Hug
15. Law
16. Law
17. Bro
18. Bro
19. Jon
20. Tow
21. Tow
22. Shov
23. Shav
24. Shav
25. Bau
26. Cava
27. Bro
28. Car
29. Pal
30. Stev
31. Stev
32. J. Org
33. Stev
34. Kler
35. Mon
36. J. Org
37. Elio
38. Mon
39. Bake

ЛІТЕРАТУРА

1. Brookes P., Lawley P. D., *Biochem. J.*, **89**, 127 (1963).
2. Mian A. M., Walker R. T., *J. Chem. Soc. (C)*, **1968**, 2577.
3. Jones A. S., Mian A. M., Walker R. T., *J. Chem. Soc. (C)*, **1966**, 692.
4. Magrath D. I., Brown G. B., *J. Am. Chem. Soc.*, **79**, 3252 (1957).
5. Gordon M. P., Weliky V. S., Brown G. B., *J. Am. Chem. Soc.*, **79**, 3245 (1957).
6. Price C. C., Gache G. M., Koneru P., Shibakawa R., Sowa J. R., Yamaguchi M., *Biochim. Biophys. Acta*, **166**, 327 (1968).
7. Kriek E., Emelot P., *Biochemistry*, **2**, 733 (1963).
8. Brookes P., Dipple A., Lawley P. D., *J. Chem. Soc. (C)*, **1968**, 2026.
9. Haines J. A., Reese C. B., Todd A., *J. Chem. Soc.*, **1962**, 5281.
10. Brown G. B., Gordon M. P., Magrath D. F., Hampton A., in «Ciba Foundation Symposium Chemistry and Biology of Purines», J. and A. Churchill, Ltd., L., 1957, p. 57.
11. Kriek E., Emelot P., *Biochim. Biophys. Acta*, **91**, 59 (1964).
12. Lawley P. D., Brookes P., *J. Mol. Biol.*, **25**, 143 (1967).
13. Lawley P. D., in «Progress in Nucleic Acid Research and Molecular Biology», v. 5, Davidson J. N., Cohn W. E. (eds), N. Y. — L., Acad. Press, 1966, p. 91.
14. Hurst R. O., Kurkiss A., *Canad. J. Biochem. Physiol.*, **36**, 919, 931 (1958).
15. Lawley P. D., Wallik C. A., *Chem. a. Ind.*, **1957**, 633.
16. Lawley P. D., *Proc. Chem. Soc.*, **1957**, 290.
17. Brookes P., Lawley P. D., *J. Chem. Soc.*, **1961**, 3923.
18. Brookes P., Lawley P. D., *Biochem. J.*, **80**, 496 (1961).
19. Jones J. W., Robins R. K., *J. Am. Chem. Soc.*, **85**, 193 (1963).
20. Townsend L. B., Robins R. K., *J. Am. Chem. Soc.*, **85**, 243 (1963); in «Synthetic Procedures in Nucleic Acid Chemistry», v. 1, Zorbach W. W., Tipson R. S. (eds), J. Wiley, N. Y. — L., 1968, p. 315.
21. Townsend L. B., *Chem. Revs.*, **67**, 533 (1967).
22. Shaw E., *J. Am. Chem. Soc.*, **80**, 3890 (1958).
23. Shaw E., *J. Am. Chem. Soc.*, **81**, 6021 (1959).
24. Shaw E., *J. Am. Chem. Soc.*, **83**, 4770 (1961).
25. Baugh C. M., Shaw E., *Biochim. Biophys. Acta*, **114**, 213 (1966).
26. Cavalieri J. F., Tinker J. F., Brown G. B., *J. Am. Chem. Soc.*, **70**, 3875 (1948).
27. Brookes P., Lawley P. D., *J. Chem. Soc.*, **1960**, 539.
28. Carter C. E., *J. Biol. Chem.*, **223**, 139 (1956).
29. Pal B. C., Horton C. A., *J. Chem. Soc.*, **1964**, 401.
30. Stevens M. A., Brown G. B., *J. Am. Chem. Soc.*, **80**, 2759 (1958).
31. Stevens M. A., Giner-Sorolla A., Smith H. W., Brown G. B., *J. Org. Chem.*, **27**, 567 (1962).
32. Stevens M. A., Smith H. W., Brown G. B., *J. Am. Chem. Soc.*, **81**, 1734 (1959).
33. Stevens M. A., Smith H. W., Brown G. B., *J. Am. Chem. Soc.*, **82**, 1148 (1960).
34. Klenow H., Frederiksen S., *Biochim. Biophys. Acta*, **52**, 384 (1961).
35. Montgomery J. A., Newson K., Clayton S. J., Thomas H. J., *J. Org. Chem.*, **31**, 2202 (1966).
36. Ikehara M., Muneyama K., *Chem. Pharm. Bull. (Tokyo)*, **14**, 46 (1966).
37. Elion G. B., *J. Org. Chem.*, **27**, 2478 (1962).
38. Montgomery J. A., Thomas H. J., *J. Org. Chem.*, **28**, 2304 (1963).
39. Baker B. R., Joseph J. P., *Am. Chem. Soc.*, **77**, 15 (1955).

40. Микельсон А., Химия нуклеозидов и нуклеотидов, Изд. «Мир», 1966, стр. 31.
41. King M. E., Carter C. E., Biochim. Biophys. Acta, 44, 232 (1960).
42. Dimroth O., Ann., 373, 336 (1910).
43. Taylor E. C., Loeffler P. K., J. Am. Chem. Soc., 82, 3147 (1960).
44. Leonard N. J., Fujii T., Proc. Nat. Acad. Sci. USA, 51, 73 (1964).
45. Leonard N. J., Achmatowicz S., Loeppky R. N., Carraway K. L., Grimm W. A. H., Szweykowska A., Hamzi H. Q., Skoog F., Proc. Nat. Acad. Sci. USA, 56, 709 (1966).
46. Martin D. M. G., Reese C. B., J. Chem. Soc. (C), 1968, 1731.
47. Grimm W. A. H., Leonard N. J., Biochemistry, 6, 3625 (1967).
48. Taylor E. C., in «Ciba Foundation Symposium on Chemistry and Biology of Purines», J. and A. Churchill, Ltd., L., 1957, p. 57.
49. Brown D. J., Nature, 189, 828 (1961).
50. Macon J. B., Wolfenden R., Biochemistry, 7, 3453 (1968).
51. Chheda G. B., Hall R. H., Biochemistry, 5, 2082 (1966).
52. Leonard N. J., Carraway K. L., Helgeson J. P., J. Heterocyclic Chem., 2, 291 (1965).
53. Coddington A., Biochim. Biophys. Acta, 59, 472 (1962).
54. Микельсон А., Химия нуклеозидов и нуклеотидов, Изд. «Мир», 1966, стр. 286.
55. Jones A. S., Mian A. M., Walker R. T., J. Chem. Soc. (C), 1968, 1784.
56. Janion C., Shugar D., Acta Biochim. Polon., 7, 309 (1960).
57. (58). Szer W., Shugar D., Acta Biochim. Polon., 7, 491 (1960).
59. Fox J. J., Shugar D., Bull. Soc. chim. Belge, 61, 44 (1952).
60. Shugar D., Fox J. J., Biochim. Biophys. Acta, 9, 199 (1952).
61. Shugar D., Fox J. J., Bull. Soc. chim. Belge, 61, 293 (1952).
62. Brookes P., Lawley P. D., J. Chem. Soc., 1962, 1349.
63. Siedel H., Biochim. Biophys. Acta, 138, 98 (1967).
64. Cohn W. E., Doherty D. G., J. Am. Chem. Soc., 78, 2863 (1956).
65. Green M., Cohen S. S., J. Biol. Chem., 225, 397 (1957).
66. Green M., Cohen S. S., J. Biol. Chem., 228, 601 (1957).
67. Batt R. D., Martin J. K., Ploeser J. M., Murray J. J., J. Am. Chem. Soc., 76, 3663 (1954).
68. Cerutti P., Kondo Y., Landis W. R., Witkop B., J. Am. Chem. Soc., 90, 771 (1968).
69. Levene P. A., La Forge F. B., Chem. Ber., 45, 615 (1912).
70. Cohn W. E., Biochem. J., 64, 28P (1956).
71. Jones A. S., Tittensor J. R., Walker R. T., J. Chem. Soc. (C), 1966, 1635.
72. Fox J. J., Miller N. C., Cushley R. J., Tetrahedron Letters, 1966, 4927.
73. Otter B. A., Fox J. J., J. Am. Chem. Soc., 89, 3663 (1967).
74. Doerr I. L., Fox J. J., J. Org. Chem., 32, 1462 (1967).
75. Otter B. A., Falco E. A., Fox J. J., Tetrahedron Letters, 1968, 2964.
76. Otter B. A., Falco E. A., Fox J. J., J. Org. Chem., 33, 3593 (1968).
77. Brown D. J., Harper J. S., J. Chem. Soc., 1965, 5543.
78. Brown D. J., Paddon-Row M. N., J. Chem. Soc. (C), 1967, 1928.
79. Brown D. J., England B. T., J. Chem. Soc. (C), 1967, 1922.
80. Wempfen I., Brown G. B., Ueda T., Fox J. J., Biochemistry, 4, 54 (1965).
81. Ueda T., Fox J. J., J. Org. Chem., 29, 1770 (1964).
82. Mizuno H., Okuyama H., Hayatsu H., Ukita T., Chem. Pharm. Bull. (Tokyo), 12, 1240 (1964).
83. Levene P. A., Bass L. W., J. Biol. Chem., 71, 126 (1926).
84. Baron F., Brown D. M., J. Chem. Soc., 1955, 2855.
85. Davis F. F., Allen F. W., J. Biol. Chem., 227, 907 (1957).

86. Tempe chim. Bio
87. Будов 379 (196)
88. Linge 611 (196)
89. Werw
90. Haber
91. Linge (1964).
92. Linge
93. Ellery
94. Sinsh
95. Cape R
96. Cashm (1969).
97. Takem
98. Takem
99. Takem
100. Charg Biochim
101. Haber
102. Haber (1963).
103. Haber
104. Charg 206, 145
105. Кочет Чижо 1967, стр
106. Hayes
107. Verwo 184 (196)
108. Verwo
109. Schus
110. Кочет 27, 519
111. Koche chins Acta, 14
112. Кочет ва Г. И
113. Кочет 741 (19)
114. Neme
115. Кочет
116. Кин В. Коche кова
117. Турч биол., 1
118. Budo phys. A
119. Кочет 168, 102
120. Коч 1, 58

86. Temperli A., Türlер H., Rüst P., Danon A., Chargaff E., Biochim. Biophys. Acta, 91, 462 (1964).
87. Будовский Э. И., Хайнс Д. А., Кочетков Н. К., ДАН СССР, 158, 379 (1964).
88. Lingens F., Schneider-Bernlöhr H., Biochim. Biophys. Acta, 123, 611 (1966).
89. Werwoerd D. W., Zillig W., Biochim. Biophys. Acta, 68, 484 (1963).
90. Habermann V., Coll. Czech. Chem. Comm., 26, 3147 (1961).
91. Lingens F., Schneider-Bernlöhr H., Angew. Chem., 76, 378 (1964).
92. Lingens F., Schneider-Bernlöhr H., Ann., 686, 134 (1967).
93. Ellery B. W., Simmons R. H., Nature, 210, 1159 (1966).
94. Sinsheimer R. L., Sedat J., J. Mol. Biol., 9, 489 (1964).
95. Cape R., Spencer J., Canad. J. Biochem., 46, 1063 (1968).
96. Cashmore A. R., Petersen G. B., Biochim. Biophys. Acta, 174, 591 (1969).
97. Takemura S., Biochim. Biophys. Acta, 29, 447 (1958).
98. Takemura S., Bull. Chem. Soc. Japan, 32, 926 (1959).
99. Takemura S., Bull. Chem. Soc., Japan, 32, 920 (1959).
100. Chargaff E., Rüst P., Temperli A., Morisawa S., Danon A., Biochim. Biophys. Acta, 76, 149 (1963).
101. Habermann V., Biochim. Biophys. Acta, 55, 999 (1962).
102. Habermann V., Maidlova E., Coll. Czech. Chem. Comm., 28, 2537 (1963).
103. Habermann V., Coll. Czech. Chem. Comm., 28, 510 (1963).
104. Chargaff E., Buchowicz J., Türlер H., Shapiro H. S., Nature, 206, 145 (1965).
105. Кочетков Н. К., Бочков А. Ф., Дмитриев Б. А., Усов А. И., Чижов А. С., Шибаев В. Н., в кн. «Химия углеводов», Изд. «Химия», 1967, стр. 113.
106. Hayes D. H., Hayes-Baron F., J. Chem. Soc. (C), 1967, 1528.
107. Verwoerd D. W., Zillig W., Kuhlhage H., Z. physiol. Chem., 332, 184 (1963).
108. Verwoerd D. W., Kuhlhage H., Zillig W., Nature, 192, 1038 (1961).
109. Schuster H., J. Mol. Biol., 3, 447 (1961).
110. Кочетков Н. К., Будовский Э. И., Симуква Н. А., Биохимия, 27, 519 (1962); Biochim. Biophys. Acta, 55, 255 (1962).
111. Kochetkov N. K., Budowsky E. I., Demushkin V. P., Turchinsky M. F., Simukova N. A., Sverdlov E. D., Biochim. Biophys. Acta, 142, 35 (1967).
112. Кочетков Н. К., Будовский Э. И., Шибаев В. Н., Елисеева Г. И., ДАН СССР, 172, 603 (1967).
113. Кочетков Н. К., Будовский Э. И., Шибаев В. Н., Биохимия, 28, 741 (1963).
114. Nemethy G., Scheraga H. A., J. Phys. Chem., 66, 1773 (1962).
115. Кочетков Н. К., Будовский Э. И., Турчинский М. Ф., Демушкин В. П., ДАН СССР, 152, 1005 (1963).
116. Kochetkov N. K., Budowsky E. I., Turchinsky M. F., Simukova N. A., Biochem. Biophys. Res. Comm., 19, 49 (1965).
117. Турчинский М. Ф., Гуськова Л. И., Будовский Э. И., Мол. биол., 1, 792 (1967).
118. Budowsky E. I., Simukova N. A., Guskova L. I., Biochim. Biophys. Acta, 166, 755 (1968).
119. Кочетков Н. К., Будовский Э. И., Демушкин В. П., ДАН СССР, 168, 102 (1966).
120. Кочетков Н. К., Будовский Э. И., Демушкин В. П., Мол. биол., 1, 583 (1967).

121. Shapiro H. S., Chargaff E., *Biochemistry*, **5**, 3012 (1966).
122. Freese E., Bautz-Freese E., Graham S., *Biochim. Biophys. Acta*, **123**, 17 (1966).
123. Rhaese H. J., Freese E., *Biochim. Biophys. Acta*, **155**, 476 (1968).
124. Rhaese H. J., Freese E., Melzer M. S., *Biochim. Biophys. Acta*, **155**, 491 (1968).
125. Freese E., Bautz-Freese E., *Biochemistry*, **4**, 2419 (1965).
126. Benn M. H., Chatamra B., Jones A. S., *J. Chem. Soc.*, **1960**, 1014.
127. Howgate P., Jones A. S., Tittensor J. R., *J. Chem. Soc.*, (C), **1968**, 275.
128. Jones A. S., Walker R. T., *J. Chem. Soc.*, **1963**, 3554.
129. Chatamra B., Jones A. S., *J. Chem. Soc.*, **1963**, 811.
130. Hayatsu H., Ukita T., *Biochem. Biophys. Res. Comm.*, **29**, 556 (1967).
131. Burton K., Riley W. T., *Biochem. J.*, **98**, 70 (1966).
132. Burton K., Varney N. F., Zamecnik P. C., *Biochem. J.*, **99**, 29c (1966).
133. Jones A. S., Bayley C. R., *Trans. Farad. Soc.*, **55**, 492 (1959).
134. Jones A. S., Walker R. T., *Nature*, **202**, 1108 (1964).
135. Jones A. S., Walker R. T., *Nature*, **202**, 24 (1964).
136. Jones A. S., Ross G. W., Takemura S., Thompson T. W., Walker R. T., *J. Chem. Soc.*, **1964**, 373.
137. Darby G. K., Jones A. S., Tittensor J. K., Walker R. T., *Nature*, **216**, 793 (1967).
138. Holbrook J. J., Jones A. S., Welch M. J., *J. Chem. Soc.*, **1965**, 3998.
139. Priess H., Zillig W., *Z. physiol. Chem.*, **342**, 73 (1965).
140. Melzer M. S., Tomlinson R. V., *Arch. Biochem. Biophys.*, **115**, 226 (1966).
141. Schweitz H., Luzzati D., *J. chim. phys.*, **60**, 1173 (1963).
142. Scholes G., Weiss J., *Nature*, **185**, 305 (1960).
143. Ekert B., Monier K., *Nature*, **184**, 58 (1959).
144. Scholes G., Ward J. F., Weiss J., *J. Mol. Biol.*, **2**, 379 (1960).
145. Schweitz H., *C. r. D264*, 1335 (1967).
146. Pollard E. C., Weller P. K., *Rad. Res.*, **32**, 417 (1967).
147. Luzzati D., Schweitz H., Bach M. L., Chevallier M. R., *J. chim. phys.*, **58**, 1021 (1961).
148. Subbraman L. R., Subbraman J., Behrman E. J., *Chem. Comm.*, **1968**, 1024.
149. Harmon R. E., Zmarova C. V., Gupta S. K., *Chem. a. Ind.*, **1969**, 1141.
150. Shheda G. B., Hall R. H., Tauna P. M., *J. Org. Chem.*, **34**, 3498 (1969).
151. Sander E. G., *J. Am. Chem. Soc.*, **91**, 3629 (1969).
152. Otter B. A., Falco E. A., Fox J. J., *J. Org. Chem.*, **34**, 2636 (1969).
153. Будовский Э. И., Домкин В. Д., Кочетков Н. К., ДАН СССР (1970) (в печати).
154. Rhaese H. J., *Biochim. Biophys. Acta*, **166**, 311 (1968).
155. Weiss J. J., *Progr. Nucl. Acid Res.*, **3**, 103 (1964).
156. Schules G., *Progr. Biophys.*, **13**, 59 (1963).
157. Freese E., Bautz-Freese E., *Radiation Res.*, Suppl. 6, 97 (1966).
158. Latarjet R., Ekert B., Demeresman P., *Radiation Res.*, Suppl. 3, 247 (1963).
159. Subbaraman L. R., Subbaraman J., Behrman E. J., *Biochemistry*, **8**, 3059 (1969).
160. Ebel J. P., Gangloff J., *Bull. Soc. chim. Biol.*, **50**, 2335 (1968).

РАСЩЕПЛЕНИЕ N-ГЛИКОЗИДНЫХ СВЯЗЕЙ В НУКЛЕОЗИДАХ, НУКЛЕОТИДАХ И ИХ ПРОИЗВОДНЫХ

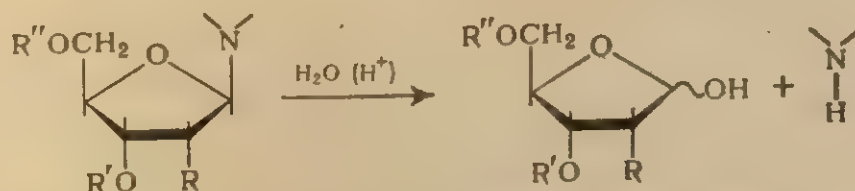
I. ВВЕДЕНИЕ

Реакции гидролиза гликозидных связей в нуклеозидах, нуклеотидах и нуклеиновых кислотах сыграли в свое время важную роль в установлении строения этих соединений. В настоящее время они находят широкое применение при анализе нуклеотидного состава нуклеиновых кислот и изучении их первичной структуры.

Известные методы расщепления N-гликозидных связей в нуклеозидах, нуклеотидах и нуклеиновых кислотах можно условно подразделить на две группы: 1) прямые методы расщепления N-гликозидных связей в обычных нуклеозидных звеньях под действием кислот или, реже, оснований; 2) косвенные методы, в которых лабилизация N-гликозидных связей достигается предварительной модификацией гетероциклического основания или сахарного остатка. Реакции гидролиза гликозидных связей после модификации оснований, не приводящей к нарушению их ароматического характера, мы относим к прямым методам.

II. ГИДРОЛИЗ N-ГЛИКОЗИДНЫХ СВЯЗЕЙ, КАТАЛИЗИРУЕМЫЙ КИСЛОТАМИ

Отщепление гетероциклических оснований при нагревании нуклеиновых кислот с минеральными кислотами было описано уже в первых исследованиях, посвященных этому классу соединений^{1, 2}. Общую схему реакции можно представить в следующем виде:



$\text{R} = \text{H}$ или OH ; R' и R'' — атомы водорода или незамещенные и замещенные фосфатные группировки

Для отщепления оснований используют водные растворы различных сильных неорганических кислот (HCl, HBr, H₂SO₄, HClO₄), ряда органических кислот (CCl₃COOH, HCOOH, CH₃COOH), а также сульфокатиониты в H⁺-форме³. Ввиду разнообразия условий (рН, температура, продолжительность реакции), применяемых для кислотного гидролиза N-гликозидных связей в различных нуклеозидах (например, табл. 8.1), а также моно-, олиго- и полинуклеотидах, обычно трудно провести количественное сравнение данных различных авторов. В то же время исследования кинетики кислотного гидролиза N-гликозидных связей немногочисленны и касаются почти исключительно нуклеозидов (табл. 8.2 и 8.3). Все же из совокупности имеющихся к настоящему времени данных можно сделать некоторые достаточно определенные выводы о связи строения соединений с их лабильностью к кислотному гидролизу. 2'-Дезоксирибозильные производные гидролизуются в 100—1000 раз быстрее соответствующих рибозильных производных;

Таблица 8.1. Условия кислотного гидролиза ряда нуклеозидов

Нуклеозид	Условия, необходимые для отщепления гетероциклического основания на 100%	Литература
Дезоксиаденозин	0,002 н. HCl; 100°C; 1 ч	4
Аденозин	0,1 н. HCl; 100°C; 1 ч	5
Дезоксиуридин	0,2 н. HCl; 100°C; 2 ч	6
Уридин	3 н. HCl; 125°C; 4 ч	7

Таблица 8.2. Кинетические параметры кислотного гидролиза нуклеозидов¹

$k_0 = k_1/[H^+]$, где k_1 — константа скорости гидролиза (первого порядка) при данном значении рН; ΔH_a — энтальпия активации; $\lg P$ — величина, пропорциональная энтропии активации и равная $\lg k_0 + \Delta H_a/2,3RT$

Исходное соединение	k_0 , сек ⁻¹ при 80°C	ΔH_a , ккал моль	$\lg P$
5-Окси-2'-дезоксиуридин	$1,4 \cdot 10^{-4}$	19,2	8,1
5-Бром-2'-дезоксиуридин	$4,4 \cdot 10^{-5}$	31,0	14,8
5-Хлор-2'-дезоксиуридин	$4,0 \cdot 10^{-5}$	31,0	14,8
5-Фтор-2'-дезоксиуридин	$4,2 \cdot 10^{-5}$	31,0	14,8
1-(2'-Дезокси-β-D-лихсофуранозил)-урацил	$4,0 \cdot 10^{-5}$	31,0	14,8
5-Метил-2'-дезоксиуридин (тимидин)	$2,2 \cdot 10^{-5}$	25,1	10,0
2'-Дезоксиуридин	$1,3 \cdot 10^{-5}$	31,0	14,2
2',3'-Дидезокси-3'-иодуридин	$5,8 \cdot 10^{-6}$	31,0	10,4
5-Оксиуридин	$5,1 \cdot 10^{-7*}$	20,0	6,1

* Для данного соединения k_1 не зависит от рН.

внутри каждого из этих классов производные пуринов гидролизуются намного быстрее, чем производные пиримидинов (см. табл. 8.3).

Таблица 8.3. Кинетические параметры кислотного гидролиза нуклеозидов и их монофосфатов при pH 1^{9, 9a}

для производных аденина, гуанина и тимина $\lg k_1$ линейно зависит от pH; для производных цитозина в интервале pH 1–4 величина $\lg k_1$ от pH не зависит (см. рис. 8.1)

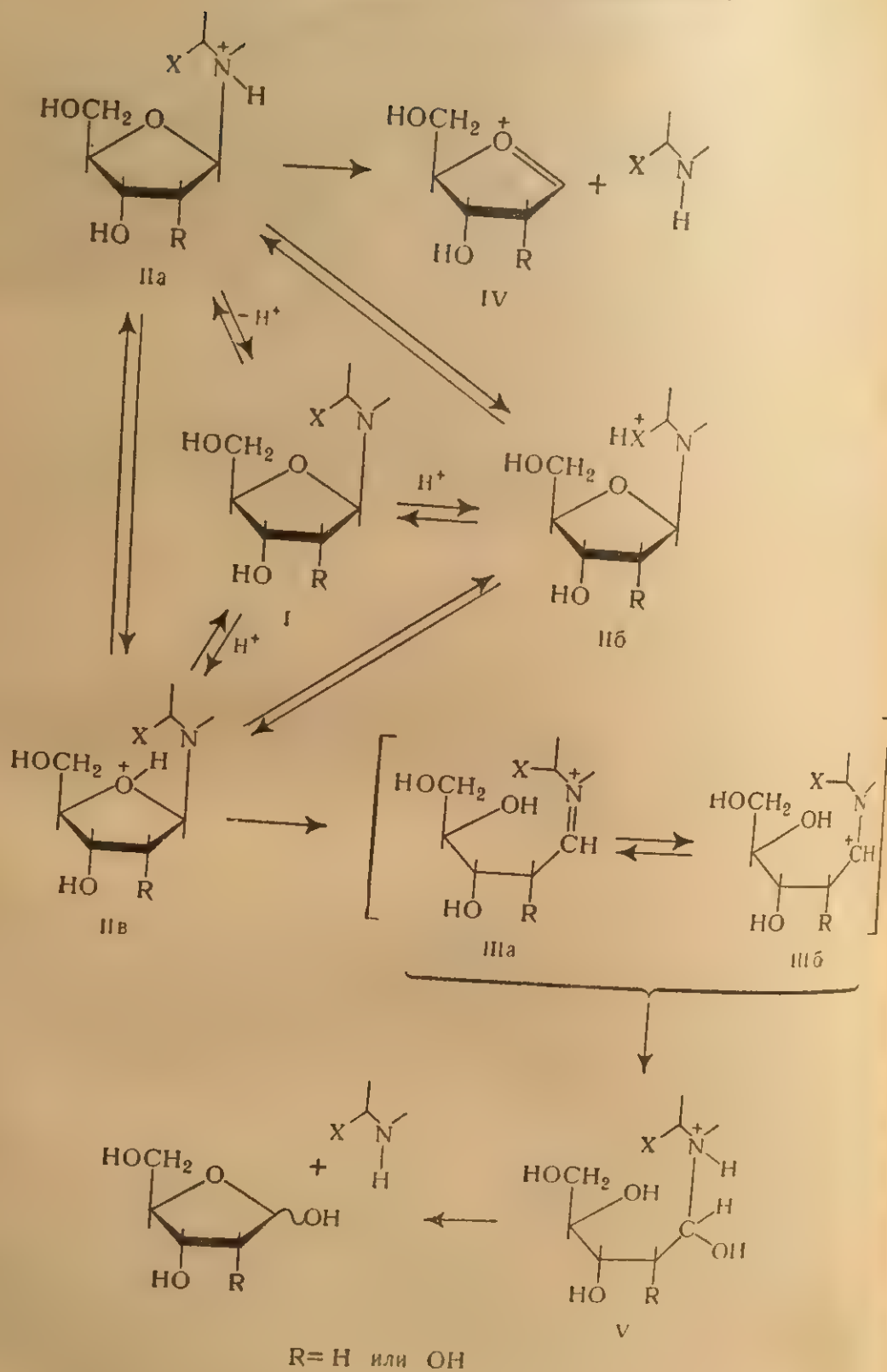
Исходное соединение	$k_1, \text{сек}^{-1}$ при 37°C	$\Delta H_a,$ ккал/моль
2'-Дезоксиаденозин	$4,3 \cdot 10^{-4}$	6,9
2'-Дезоксигуанозин	$8,3 \cdot 10^{-4}$	8,1
2'-Дезоксицитидин	$1,1 \cdot 10^{-7}$	—
2'-Дезоксиуридин	10^{-7*}	—
Аденозин	$3,6 \cdot 10^{-7}$	6,0
Гуанозин	$9,36 \cdot 10^{-7}$	11,5
Цитидин	10^{-9}	—
Уридин	10^{-9}	—
2'-Дезоксиаденозин-5'-фосфат	$3,1 \cdot 10^{-4}$	—
Аденозин-5'-фосфат	$3,8 \cdot 10^{-7}$	—
Аденозин-2'(3')-фосфат	$3,3 \cdot 10^{-7}$	—
2'-Дезоксигуанозин-5'-фосфат	$1,8 \cdot 10^{-4}$	—
Гуанозин-2'(3')-фосфат	$6,6 \cdot 10^{-7}$	—
2'-Дезоксицитидин-5'-фосфат	$2,0 \cdot 10^{-8}$	—
Тимидин-5'-фосфат	$2,0 \cdot 10^{-8}$	—

* Получено экстраполяцией из данных табл. 8.2.

Механизм реакции. Исследованию механизма кислотного гидролиза N-гликозидов, и в частности нуклеозидов, посвящен ряд работ^{10–16}. Тем не менее существующие к настоящему времени представления на этот счет остаются в значительной мере гипотетическими. Предложенные различными авторами варианты механизма кислотного гидролиза N-гликозидов представлены на схеме (см. стр. 488).

Для большинства исследованных нуклеозидов показано, что скорость их кислотного гидролиза линейно зависит от концентрации водородных ионов (рис. 8.1). Следовательно, ионы водорода должны принимать участие в стадии, определяющей общую скорость гидролиза. Согласно механизму, изображенному на схеме, атаке протоном может подвергаться либо гликозидный атом азота (путь I → IIa → IV), либо циклический атом кислорода углеводного остатка (путь I → IIb → IIIa). Первый механизм был отвергнут на основании того, что в случае N-гликозидов ароматических аминов протонирование гликозидного азота подавляет гидролиз¹¹. Однако недавно для объяснения ряда особенностей гидролиза пиримидиновых дезоксирибонуклеозидов^{11a} был предложен сходный

Кислотный гидролиз нуклеотидов.



II. ГИДРОЛИЗ

механизм, (стр. 491).
 В насто-
 лагающий
 кислорода
 тием фуран
 ванием про
 та типа че
 основания
 с этим мех
 акции кисл
 клеозидов
 двумя осно
 костью при
 циклическо
 весной кон
 ванного по
 точного п
 костью ра
 цикла. Пос
 сеть от уст
 ных продук
 способности
 оснований
 структуры
 ронов. С то
 ханизма р
 гидролиза
 клеозидами
 вызваны о
 тивным эф
 группы при
 ных. Этот
 затрудняет
 зует проме
 в пользу т
 атомов вод
 клеозидов
 на тозил

* В случа
 тельно было
 рибофуранозн
 ** С точк
 ние протонир
 стители в угл
 вание ядра, та

механизм, включающий протонирование пириимидинового ядра (см. стр. 491).

В настоящее время общепринятым является механизм, предполагающий в качестве первой стадии протонирование циклического кислорода углеводного остатка (I→IIв) с последующим раскрытием фуранозного цикла рибозы (или дезоксирибозы) * и образованием промежуточного продукта типа четвертичного шиффова основания (IIIа). В соответствии с этим механизмом скорость реакции кислотного гидролиза нуклеозидов должна определяться двумя основными факторами: легкостью присоединения протона по циклическому кислороду (равновесной концентрацией протонированного по кислороду промежуточного продукта IIв) и легкостью раскрытия фуранозного цикла. Последняя должна зависеть от устойчивости промежуточных продуктов IIIа и IIIб, т. е. от способности гетероциклических оснований стабилизировать эти структуры за счет подачи электронов. С точки зрения такого механизма различия в скоростях гидролиза между дезоксирибонуклеозидами и рибонуклеозидами вызваны отрицательным индуктивным эффектом гидроксильной группы при C-2' в рибопроизводных. Этот индуктивный эффект

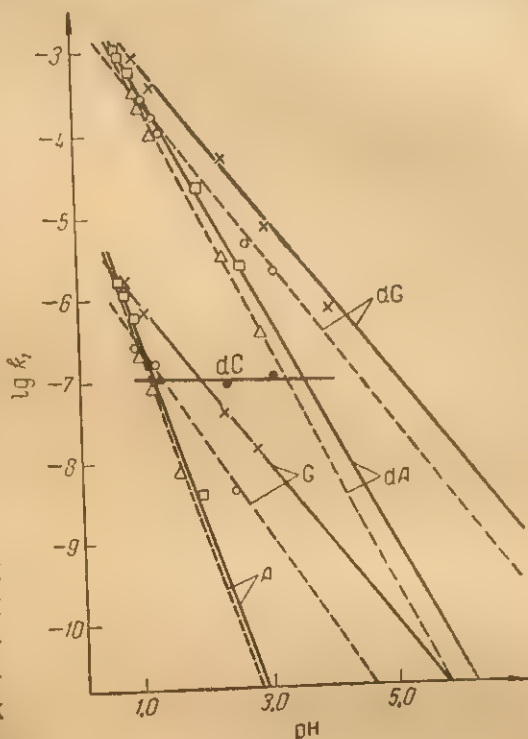


Рис. 8.1. Зависимость константы скорости (первого порядка) гидролиза нуклеозидов от pH при 37 (сплошные кривые) и 23° С (пунктирные кривые) ⁹

затрудняет протонирование циклического кислорода и дестабилизирует промежуточные продукты типа IIIа и IIIб **. Аргументами в пользу такого объяснения может служить то, что замещение атомов водорода гидроксильных групп в углеводных остатках нуклеозидов на более электроотрицательные группировки, например на тозилную ¹⁸, 2,4-динитробензоильную ¹⁹, или замещение

* В случае кислотного гидролиза 1-N-(β-D-рибофуранозил)-индола действительно было показано образование промежуточного продукта с раскрытием рибофуранозного цикла ¹⁷.

** С точки зрения механизма, предполагающего мономолекулярное отщепление протонированного основания (путь I→IV), электроноакцепторные заместители в углеводном остатке должны затруднять обе стадии — как протонирование ядра, так и разрыв N-гликозидной связи.

гидроксильной группы на атом иода⁸ (см. табл. 8.2) вызывает заметное уменьшение скорости гидролиза, в то время как 2',3'-дидезоксинуклеозиды гидролизуются еще быстрее, чем соответствующие 2'-дезоксинуклеозиды²⁰. (табл. 8.4).

Таблица 8.4. Кинетические параметры кислотного гидролиза (1 н. HCl, 100 °C) рибо- и дезоксирибонуклеозидов⁸

Исходное соединение	Время полупревращения, мин	k_1 , сек ⁻¹
Уридин	За 5 ч гидролиз на 5%	—
2'-Дезоксиуридин	104	$1,1 \cdot 10^{-4}$
Тимидин	56	$2,3 \cdot 10^{-4}$
2',3'-Дидезоксиуридин	8,2	$1,6 \cdot 10^{-3}$
3'-Дезокситимидин	7,2	$1,5 \cdot 10^{-3}$

Большую легкость гидролиза пуриновых нуклеозидов по сравнению с пиримидиновыми принято объяснять переносом протона от протонированного по N-3 остатка пурина на циклический кислород сахара^{10, 12}. Перенос осуществляется, по-видимому, в син-конформации нуклеозида, когда атом N-3 остатка пурина и циклический кислород рибозы сближены (см. стр. 142). При этом предполагается, что протонированные пуриновые нуклеозиды могут существовать в таутомерной форме, в которой протон находится при атоме N-3 (хотя достоверных данных о существовании таких таутомерных форм в настоящее время не имеется) или же по N-3 присоединяется второй протон, т. е. образуется дважды протонированный по пуриновому ядру промежуточный продукт. Этот процесс на схеме (см. стр. 488) изображен равновесием $I \rightleftharpoons IIб \rightleftharpoons IIв$, где X соответствует N-3 в пуриновых производных. Такое объяснение представляется, однако, маловероятным, так как в соответствии с предполагаемым механизмом скорость гидролиза N-гликозидов определяется не столько скоростью протонирования по циклическому кислороду сахара, сколько стабильностью образующегося при этом промежуточного продукта (протонированного по циклическому кислороду, IIв на схеме). Большая легкость гидролиза пуриновых нуклеозидов обусловлена скорее большей способностью пуринов по сравнению с пиримидинами стабилизировать положительный заряд в промежуточных продуктах типа IIIа или IIIб. Другим возможным объяснением различий в скоростях гидролиза пуриновых и пиримидиновых нуклеозидов является предположение, что гидролиз пиримидиновых производных протекает по иному механизму, заключающемуся в протонировании пиримидинового ядра с последующим мономолекулярным расщеплением N-гликозидной связи (см. стр. 491).

II ГИДРО...

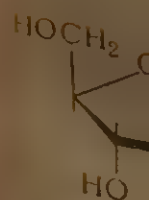
1. В. гидро...

Заме...

ние в I
(-OH, -
F) зам
(гидрол
100 °C 21

Об э
Влия...

сано ста
Однако
быть уд
ного ги
цикличе
путь I-
низм ки
протони
зо-O) с
зидной



* Ри
ленно, ч
(см. так
ростью 8

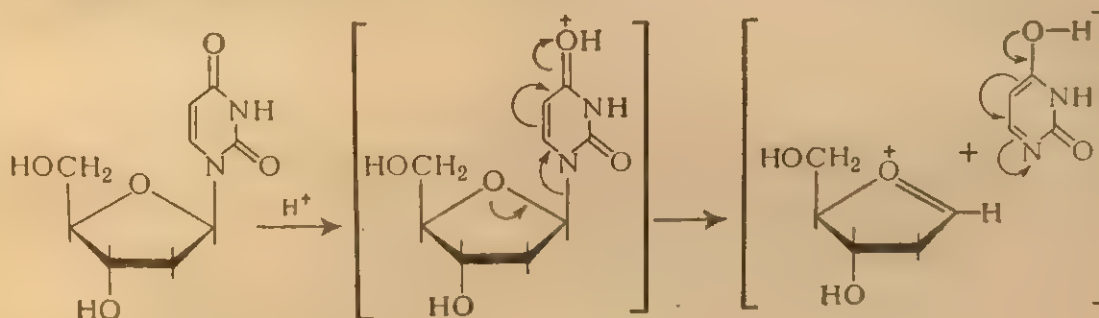
1. Влияние структурных факторов на кинетику гидролиза пиримидиновых производных

Заместители в ядре. В ряду дезоксирибозилурацилов* введение в положение 5 пиримидинового ядра как электронодонорных ($-\text{OH}$, $-\text{CH}_3$), так и электроноакцепторных заместителей ($-\text{Br}$, $-\text{Cl}$, $-\text{F}$) заметно повышает скорость расщепления гликозидной связи (гидролиз 5%-ной трихлоруксусной кислотой за 30 мин при 100°C ²¹):

Исходное соединение	Степень расщепления гликозидных связей, %
2'-Дезоксицитидин	76
2'-Дезоксиуридин	3
Тимидин	4,3
5-Фтор-2'-дезоксиуридин	13
5-Хлор-2'-дезоксиуридин	17
5-Бром-2'-дезоксиуридин	16
2'-Дезоксиаденозин	96
2'-Дезоксигуанозин	100

Об этом же свидетельствуют и данные табл. 8.2⁸.

Влияние электронодонорных заместителей может быть приписано стабилизации ими промежуточных продуктов типа IIIa и IIIb. Однако влияние электроноакцепторных заместителей не может быть удовлетворительно объяснено в рамках механизма кислотного гидролиза, предполагающего промежуточное протонирование циклического кислорода остатка сахара^{11a} (схема на стр. 488, путь I \rightarrow IIv). Ввиду этого был предложен альтернативный механизм кислотного гидролиза урацильных дезоксирибонуклеозидов — протонирование пиримидинового ядра (вероятно, по атому 4-экзо-О) с последующим мономолекулярным расщеплением N-гликозидной связи:

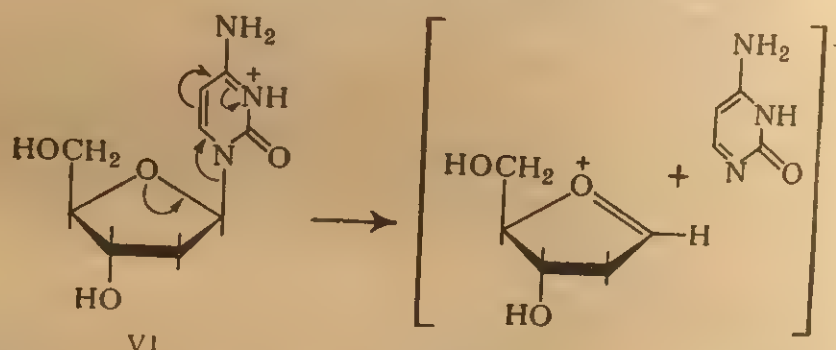


* Рибозилпиримидины в большинстве случаев гидролизуются настолько медленно, что прямые кинетические измерения для них провести не удастся^{8,9} (см. также табл. 8.3). 5-Оксиуридин гидролизуетс, однако, с заметной скоростью⁸ (см. табл. 8.2).

В соответствии с указанным механизмом на электронодонорные заместители при С-5 облегчают стадию протонирования пиримидинового ядра, а электроноакцепторные — разрыв гликозидной связи.

Такое предположение соответствует наблюдаемым различиям в характере влияния электронодонорных и электроноакцепторных заместителей на кинетические параметры реакции кислотного гидролиза пиримидиновых дезоксинуклеозидов. В то время как введение электронодонорных групп по С-5 понижает как энтропию, так и энтальпию активации, электроноакцепторные группы при С-5 влияют только на энтропию активации реакции гидролиза⁸ (см. табл. 8.2).

Аналогичный механизм пригоден, по-видимому, и для объяснения особенностей кислотного гидролиза дезоксицитидина VI. Это соединение гидролизуется значительно легче производных дезоксиуридина. Кроме того, при тех значениях pH (<4), когда цитозиновое ядро протонировано, скорость гидролиза не зависит⁹ от pH (см. рис. 8.1)*. Поэтому возможный механизм гидролиза дезоксицитидина может быть изображен следующей схемой:

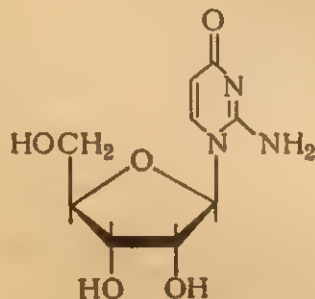


Введение метильной группы по С-5 цитозинового ядра не оказывает значительного влияния на скорость расщепления гликозидной связи (гидролиз 0,4 н. серной кислотой при 100°С)^{23, 24}:

Исходное соединение	$k_1 \cdot 10^4$ сек ⁻¹
2'-Дезоксицитидин	3,7
2'-Дезоксицитидин-5'-фосфат	0,6
2'-Дезоксицитидин-3', 5'-дифосфат	0,28
5-Метил-2'-дезоксицитидин	2,9
5-Метил-2'-дезоксицитидин-5'-фосфат	0,58
5-Метил-2'-дезоксицитидин-3', 5'-дифосфат	0,27
Тимидин	0,34
Тимидин-5'-фосфат	0,23
Тимидин-3', 5'-дифосфат	0,12

* Имеются, однако, данные²², что гликозидная связь в дезоксицитидине легко расщепляется уже при pH 6,8 (полное расщепление при 100°С достигается за 4 ч).

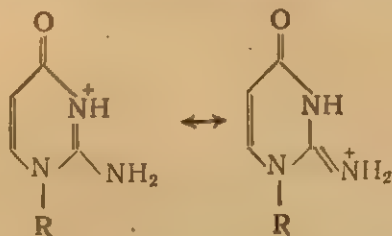
Ацилирование экзоциклической аминогруппы в дезоксицитидине приводит к заметной лабильности N-гликозидной связи^{25, 26}. Так, при гидролизе 4-экзо-N,3'-диацетил-5'-тритилдезоксицитидина 80%-ной уксусной кислотой (100°С, 5 мин) в продуктах реакции были обнаружены заметные количества цитозина и 4-экзо-N-ацетилцитозина²⁵. Среди пиримидиновых нуклеозидов и нуклеотидов наиболее лабильна к действию кислот N-гликозидная связь в производных изоцитидина VII^{12, 27, 28}.



VII

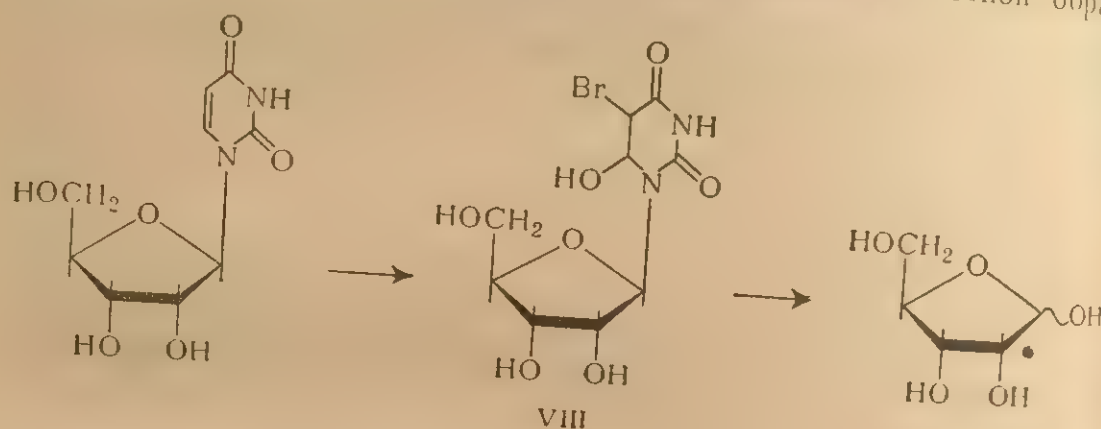
Сам изоцитидин является одним из немногих пиримидинрибонуклеозидов, который с заметной скоростью гидролизруется разбавленной уксусной кислотой²⁷. Обычное объяснение повышенной лабильности изоцитидиновых производных к действию кислот заключается в том¹², что экзоциклической аминогруппе в пиримидиновом ядре приписывают способность переносить протон на циклический атом кислорода в углеводном остатке (возможные аргументы против этой точки зрения — см. стр. 490).

Однако в рамках механизма кислотного гидролиза, предполагающего протонирование циклического кислорода остатка ribозы, лабильность изоцитидина к кислотам можно скорее приписать стабилизирующему влиянию аминогруппы на промежуточные продукты типа IIIa и IIIб. С точки зрения альтернативного механизма протонирования ядра изоцитидина должно облегчать разрыв N-гликозидной связи в большей степени, чем в 2-кетопиримидинах, так как в этом случае положительный заряд распределен между N-3 и 2-экзо-N:

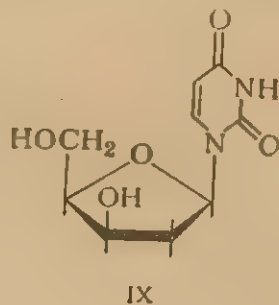


R — остаток ribозы или ribозофосфата

Насыщение двойной связи С-5—С-6. Нарушение ароматичности пиридинового ядра в нуклеозидах и их фосфатных производных значительно облегчает кислотный гидролиз N-гликозидной связи как для рибо-, так и для дезоксирибопроизводных²⁹⁻³⁴. Стабильность этих соединений в кислой среде аналогична стабильности обычных гликозидаминов. Это обстоятельство было использовано для выделения 2'-D-дезоксирибозы из продуктов мягкого кислотного гидролиза 5,6-дигидропроизводных дезоксицитидина и тимидина³²⁻³⁴ (например, после нагревания в течение 15 мин при 100°С с 0,1 н. соляной кислотой). При обработке пиридининуклеозидов бромной водой образуются 5-бром-6-окси-5,6-дигидропроизводные VIII (см. стр. 330), в которых N-гликозидная связь весьма лабильна³⁵⁻³⁷ и легко расщепляется при мягкой кислотной обработке:



Заместители в углеводном остатке. Пространственное расположение гидроксильных групп в углеводных остатках 1-(β-D-пентозофуранозилурацилов, по-видимому, не оказывает существенного влияния на степень лабильности по отношению к кислотному гидролизу N-гликозидной связи, поскольку 1-(β-D-арабинофуранозил)- и 1-(β-D-липсофуранозил)-урацилы столь же устойчивы в условиях гидролиза, как и сам уридин⁸. В ряду 1-(2'-дезокси-β-D-пентозофуранозил)-урацилов было показано, что 1-(2'-дезокси-β-D-липсофуранозил)-урацил IX гидролизруется кислотой с заметно большей скоростью, чем 2'-дезоксиуридин (см. табл. 8.2).



п. ги
Возм
форма
Как
ноакце
удалени
кислотн
водных.
бозилпи
более у
стр. 492
фосфата
недиссо
ные гру
замести
положит
Прот
в произ
группир
лизуетс
ния сост
ляется у

Анал
дин-3',5'
зина³⁸.
произво
конформ

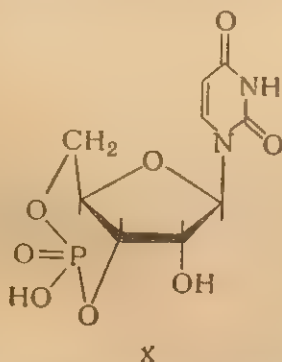
2. В
гидро

Заме
нина бо
нина, пр
босоедин
чивости
нем р

Возможно, что это различие обусловлено особенностями конформации дезоксиликофуранозильных производных.

Как уже указывалось выше (см. стр. 489), введение электроноакцепторных заместителей в углеводный остаток понижает, а удаление гидроксильных групп значительно повышает скорость кислотного гидролиза гликозидных связей в пиримидиновых производных. N-Гликозидные связи в фосфорилированных 2'-дезоксирибозилпиримидинах в условиях кислотного гидролиза значительно более устойчивы, чем в соответствующих нуклеозидах^{23, 24} (см. стр. 492); эта устойчивость возрастает при переходе от моно- к дифосфатам. Такая закономерность связана, по-видимому, с тем, что недиссоциированные (в условиях кислотного гидролиза) фосфатные группы являются довольно сильными электроноакцепторными заместителями, поскольку атом фосфора в них несет частичный положительный заряд.

Противоположное влияние на стабильность гликозидной связи в производных уридина оказывает наличие 3',5'-циклофосфатной группировки^{38, 39}. Уридин-3',5'-циклофосфат X очень быстро гидролизуются 1 н. соляной кислотой (при 100° С время полупревращения составляет 8 мин), причем основным продуктом гидролиза является урацил (67%)³⁸.



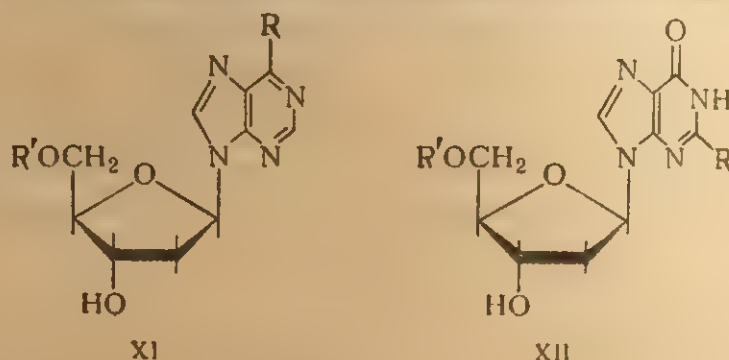
Аналогично ведет себя тимидин-3',5'-циклофосфат³⁹, но не цитидин-3',5'-циклофосфат, дающий в этих условиях лишь следы цитозина³⁸. Такая значительная лабилизация N-гликозидных связей в производных урацила, по-видимому, обусловлена особенностями конформации остатка сахара (см. стр. 131).

2. Влияние структурных факторов на кинетику гидролиза пуриновых производных

Заместители в ядре. N-Гликозидные связи в производных гуанина более лабильны к действию кислот, чем в производных аденина, причем это характерно как для рибо-, так и для дезоксирибосоединений (см. табл. 8.3 и рис. 8.1). Данное различие в устойчивости по отношению к кислотам увеличивается с повышением pH.

Ряд изменений в экзоциклических заместителях аденинового и гуанинового ядер вызывает уменьшение стабильности N-гликозидных связей в их производных. Как видно из данных табл. 8.5, замена аминогрупп в ядрах аденина и гуанина на гидроксильные приводит к значительному понижению прочности N-гликозидных связей; при этом производные ксантина (замещение в ядре гуанина) гидролизуются легче, чем производные гипоксантина (замена в ядре аденина).

Таблица 8.5. Кислотный гидролиз при pH 3,35 и 37°C дезоксиаденозина, дезоксигуанозина и их дезаминированных производных (k_1 — константы скорости гидролиза первого порядка)



Исходное соединение	Формула	$k_1, \text{сек}^{-1}$	Литература
2'-Дезоксиаденозин	XI ($R=\text{NH}_2$; $R'=\text{H}$)	$2,3 \cdot 10^{-7}$	9
2'-Дезоксигуанозин	XII ($R=\text{NH}_2$; $R'=\text{H}$)	$7,7 \cdot 10^{-6}$	9
2'-Дезоксиксантиозин-5'-фосфат	XII ($R=\text{OH}$; $R'=\text{PO}_3\text{H}_2$)	$3 \cdot 10^{-6}$	40
2'-Дезоксиинозин-5'-фосфат .	XI ($R=\text{OH}$; $R'=\text{PO}_3\text{H}_2$)	$9,7 \cdot 10^{-5}$	40

Еще большее влияние на прочность N-гликозидных связей оказывает алкилирование пуринов по атомам N-3 и N-7 (табл. 8.6; см. также стр. 362) ⁴¹⁻⁵⁶.

Наличие заместителей по N-3 и N-7 в ядрах гуанина и аденина влияет и на скорость гидролиза ДНК, содержащей такие замещенные основания (гидролиз при pH 7,2 и 37° C) ⁴⁷:

Отщепляющийся пурин	Время отщепления половинного содержания основания, ч
3-($\text{HOCH}_2\text{CH}_2\text{SCH}_2\text{CH}_2$)-Аденин . .	8
3-Метиладенин	25
3-($\text{HOCH}_2\text{CH}_2\text{SCH}_2\text{CH}_2$)-Гуанин . .	50
7-Метилгуанин	140

В ряду производных дезоксигуанозина введение заместителей по N-7 вызывает очень значительную лабильзацию N-гликозид-

и гидролиз
ных связей
дезоксигуано
температура
10 тыс. раз
теля при N-7
лиза, которая
 C_2H_5

Причиной
дезоксигуано
N-гликозидно
ко, непонятно
по N-7 в зна
N-гликозидно
8.6).

В еще бо
на) неустойч
дезоксигуано
7-метилдезо
при pH 7 и

В то же
аденозине У
но отличае
Причины эти

(HO)₂OR

ных связей⁴¹⁻⁵⁰. Как видно из данных табл. 8.6, N-7-замещенные дезоксигуанозины уже в нейтральной среде при достаточно низких температурах гидролизуются с заметной скоростью (примерно в 10 тыс. раз быстрее, чем сам дезоксигуанозин). Природа заместителя при N-7 оказывает определенное влияние на скорость гидролиза, которая возрастает в ряду



Причиной лабильности N-гликозидной связи в 7-N-замещенных дезоксигуанозинах является, по-видимому, сопряжение электронов N-гликозидной связи с катионным центром на N-7. Остается, однако, непонятным, почему в ряду гуанозина аналогичное замещение по N-7 в значительно меньшей степени влияет на лабильность N-гликозидной связи к кислотному гидролизу^{47, 51, 54, 55} (см. табл. 8.6).

В еще большей степени (чем 7-N-замещенные дезоксигуанозины) неустойчива гликозидная связь в 3-N-^{47, 54, 56} и 7-N-замещенных дезоксиаденозинах⁵⁶. Так, расщепление гликозидной связи в 3- и 7-метилдезоксиаденозин-5'-фосфатах XIV и XV на 50% проходит при pH 7 и 37° C за 1,5 ч⁵⁶ (см. также стр. 496).

В то же время в 1-N-метиладенозине XVI и 6-экзо-N-метиладенозине XVII устойчивость гликозидной связи лишь незначительно отличается от таковой в самом аденозине^{49, 50, 52, 53} (табл. 8.7). Причины этих различий не вполне ясны.

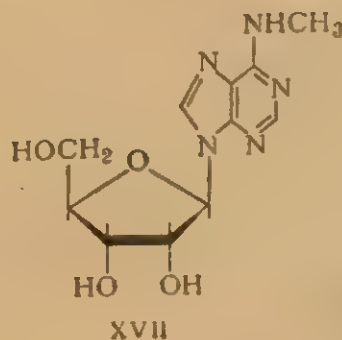
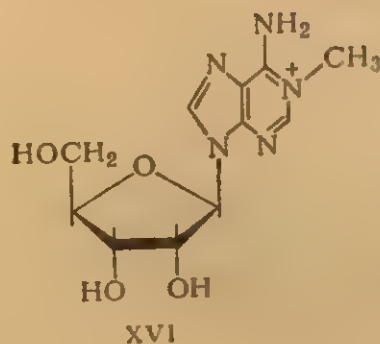
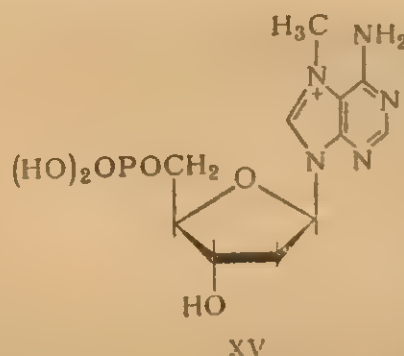
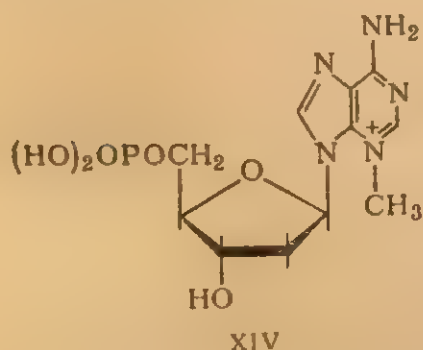
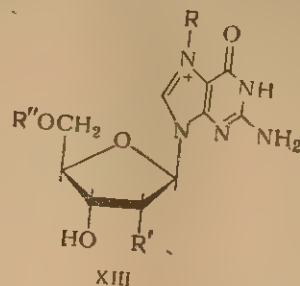
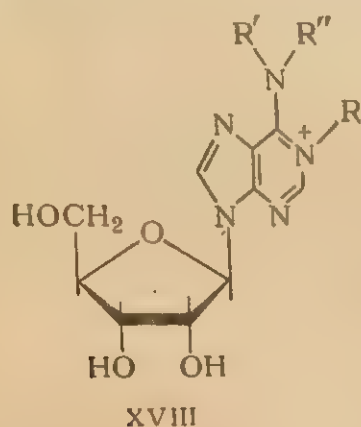


Таблица 8.6. Влияние заместителей при N-7 на лабильность к кислотному гидролизу N-гликозидных связей в производных гуанина



Исходное соединение XIII	R	R'	R''	pH среды	Температура реакции, °C	Время полу-превращения, ч	$k_1 \cdot 10^5$, сек ⁻¹	Литература
Гуанозин	H	OH	H	0	37	1,9	10	9
7-Метилгуанозин	CH ₃	OH	H	0	37	7,1	2,7	47
7-Этилгуанозин	C ₂ H ₅	OH	H	0	37	9,9	2,0	47
7-Метилгуанозин	CH ₃	OH	H	0	50	1,6	12,0	49
7-Бензилгуанозин	C ₆ H ₅ CH ₂	OH	H	0	50	0,88	21	49
7-Метилгуанозин-5'-метилфосфат	CH ₃	OH	PO(OH) ₂	7,0	37	35	0,55	51
2'-Дезоксигуанозин	H	H	OCH ₃					
7-Метил-2'-дезоксигуанозин-5'-фосфат	H	H	H	6,9	37	9,1 · 10 ³	2,1 · 10 ⁻⁴	9
7-Этил-2'-дезоксигуанозин-5'-фосфат	CH ₃	H	PO(OH) ₂	6,9	37	16	1,2	47
7-(HOCH ₂ CH ₂ SOCH ₂ CH ₂)-2'-дезокси-гуанозин-5'-фосфат	C ₂ H ₅	H	PO(OH) ₂	6,9	37	19	1,0	47
7-(ф-Оксипропил)-2'-дезоксигуанозин	HOCH ₂ CH ₂ SOCH ₂ CH ₂	H	PO(OH) ₂	7,0	37	8,0	2,3	47
	HOCH ₂ CH ₂	H	H	7,0	25	20	0,96	47

Таблица 8.7. Влияние различных заместителей на лабильность к кислотному гидролизу (1 н. соляной кислотой) N-гликозидных связей в производных аденина

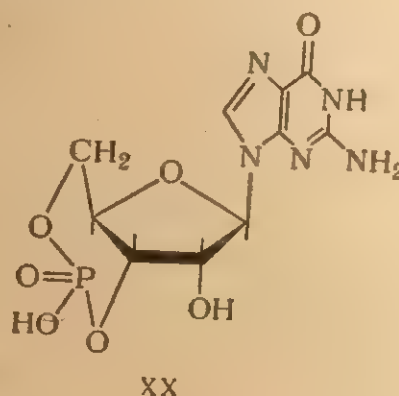
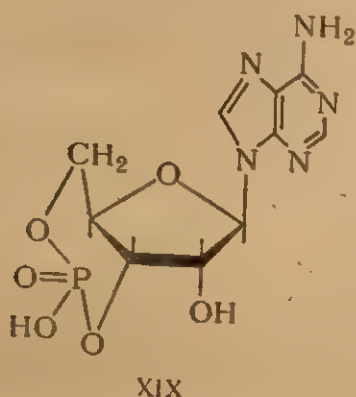


Исходное соединение XVIII	R	R'	R''	Температура реакции, °C	Время полу- превращения, ч	k ₁ · 10 ⁵ , сек ⁻¹	Литература
Аденозин	H	H	H	41	7,9	2,4	52
6-экзо-N-Метил- аденозин	H	CH ₃	H	41	7,9	2,4	48
6-экзо-N,N-Ди- метиладенозин	H	CH ₃	CH ₃	41	10,5	1,8	53
6-экзо-N-Изопен- тениладенозин	H	(CH ₃) ₂ C=CHCH ₂	H	41	6,0	3,2	52
1-Метиладенозин	CH ₃	H	H	41	12,6	1,5	48
1-Изопентенил - аденозин	(CH ₃) ₂ C=CHCH ₂	H	H	41	11,5	1,7	52
1-Метиладенозин	CH ₃	H	H	80	Полный гидролиз за 10 мин		50
1-Бензиладенозин	C ₆ H ₅ CH ₂	H	H	80	Полный гидролиз за 5 мин		50

Заместители в углеводном остатке. Данные, позволившие бы оценить влияние различного пространственного расположения гидроксильных групп в сахарных остатках на прочность N-гликозидных связей, практически отсутствуют. Скорости гидролиза N-гликозидных связей в пуриновых нуклеотидах и соответствующих нуклеозидах различаются незначительно^{9, 21}, особенно в ряду производных аденина⁹ (см. табл. 8.3). Фосфорилирование 7-N-замещенных дезоксигуанозина заметно стабилизирует N-гликозидную связь, скорость кислотного гидролиза которой падает в ряду нуклеозид > нуклеозидмонофосфат > нуклеотидное звено в цепи

ДНК⁴⁷ (см. табл. 8.6 и стр. 496). Имеются, однако, данные, что скорости гидролиза аденозина, гуанозина и соответствующих 2'(3')-монофосфатов в 6 н. соляной кислоте при 100°C примерно равны²¹. Показано также³⁸, что расщепление N-гликозидных связей в пуриновых рибонуклеозид-3',5'-циклофосфатах протекает значительно медленнее, чем в соответствующих монофосфатах (гидролиз 1 н. соляной кислотой при 100°C):

Исходное соединение	Время полупревращения, мин
Аденозин-3',5'-циклофосфат XIX . . .	30
Гуанозин-3',5'-циклофосфат XX . . .	28
Аденозин-5'- и аденозин-2'(3')-фос- фаты	2-4



Эти различия связаны, по-видимому, с особенностями конформации пуриновых нуклеозид-3',5'-циклофосфатов.

3. Кислотный гидролиз N-гликозидных связей в полинуклеотидах

При переходе от нуклеозидов и нуклеотидов к олиго- и полинуклеотидам основные закономерности, связывающие лабильность N-гликозидных связей по отношению к кислотному гидролизу со строением нуклеозидных звеньев, сохраняются (о влиянии фосфорилирования гидроксильных групп остатков сахаров см. стр. 495 и 499). Однако кислотный гидролиз N-гликозидных связей в полинуклеотидах сопровождается расщеплением фосфодиэфирных связей*, причем в полирибонуклеотидах эти два процесса могут протекать независимо, а в полидезоксирибонуклеотидах расщепление фосфодиэфирных связей под действием кислот протекает после отщепления основания от соответствующего нуклеотидного звена (подробнее — см. стр. 572).

* В кислой среде может происходить гидролиз фосфомоноэфирных связей также и в мононуклеотидах, см. стр. 542.

Отщепление гетероциклических оснований с одновременной деградацией полинуклеотидной цепи является основой ряда методов анализа нуклеотидного состава нуклеиновых кислот⁵⁷. Например, для определения состава оснований как в ДНК, так и в РНК широко используется жесткий кислотный гидролиз, приводящий к расщеплению всех гликозидных связей. При этом полирибозо- или полидезоксирибозофосфатная цепь разрушается; углеводные остатки подвергаются деградации. Чаще всего применяется гидролиз 70%-ной хлорной кислотой (100°С, 1 ч), 98—100%-ной муравьиной кислотой (175°С, 2 ч), реже — для гидролиза ДНК — обработка 6 н. соляной кислотой (100°С, 3 ч, в атмосфере углекислого газа)⁵⁷. Недостатком этих методов является частичное дезаминирование и разрушение гетероциклических оснований, что сказывается, естественно, на достоверности получаемых результатов⁵⁷. В несколько более мягких условиях (нагревание с 0,2 н. серной кислотой, 100°С, 35 мин) ДНК может быть расщеплена²⁴ до пуриновых оснований и полипиримидиновых олигонуклеотидов* (подробнее см. 572). При обработке РНК 1 н. соляной кислотой (100°С, 1 ч) образуются пуриновые основания и пиримидиновые мононуклеотиды⁵⁷.

Для ДНК, но не для РНК, легко осуществимо отщепление пуриновых оснований (апуринизация) без существенного расщепления фосфодиэфирных связей (табл. 8.8).

Таблица 8.8. Отщепление пуриновых оснований и гидролиз фосфодиэфирных связей в ДНК и РНК.

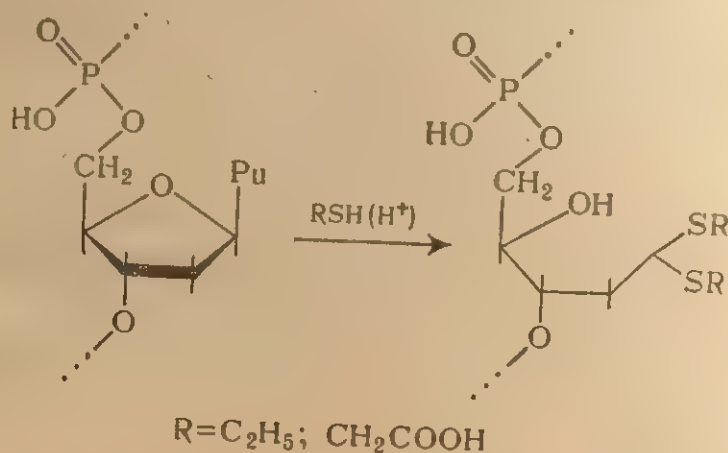
Значения констант скоростей реакций при различных рН (37°С)⁵⁸.
 k_f — константа скорости первого порядка гидролиза фосфодиэфирных связей; k_p — средняя константа скорости первого порядка отщепления пуриновых оснований (гуанин отщепляется быстрее аденина)

Исходный полинуклеотид	рН	$k_f \cdot 10^6$ мин ⁻¹	$k_p \cdot 10^6$ мин ⁻¹	Исходный полинуклеотид	рН	$k_f \cdot 10^6$ мин ⁻¹	$k_p \cdot 10^6$ мин ⁻¹
ДНК	2,4	6,6	780	РНК	2,4	6,4	1,2
	2,0	—	—		2,0	12,7	2,7
	1,8	—	—		1,8	15,8	3,2

Частичная апуринизация ДНК наблюдается⁵⁹ уже при нагревании ее водных растворов в интервале рН 6,1—7,3 при 65—100°С (в этих условиях происходит также частичное отщепление цитозина⁵⁹).

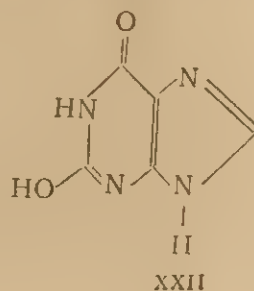
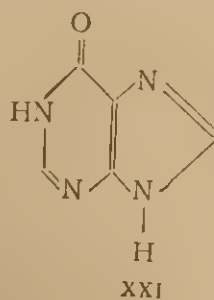
* Показано, что в этих условиях происходит также частичное отщепление цитозина и тимина^{24, 60}. Об использовании апуриновых ДНК для анализа частоты встречаемости различных полипиримидиновых последовательностей в ДНК см. стр. 575.

Для количественного отщепления пуринов из ДНК применяется обработка разбавленной соляной кислотой (рН 1,6; 37°С, 24 ч) 67%-ной муравьиной кислотой (37°С, 18 ч) ^{61, 62} или сульфокатионами в H⁺-форме ⁶³. Другим вариантом апуринизации является действие на ДНК тиольных соединений в присутствии кислот; при этом в цепи на месте пуриновых оснований возникают тиоацеталь-



Для этих целей были использованы этилмеркаптан в присутствии концентрированной соляной кислоты (18°С, 14 ч) ^{64, 65} и 98%-ная меркаптоуксусная кислота в присутствии хлористого цинка и сульфата натрия (37°С, 36 ч) ⁶⁶. Апуринизация ДНК с помощью каждого из перечисленных методов сопровождается некоторой деградацией фосфодиэфирных связей ^{4, 61-68}, наименьшей при использовании 67%-ной муравьиной кислоты ^{61, 62}.

Кислотный гидролиз может быть использован также для более избирательного удаления тех или иных пуриновых оснований из состава ДНК после их предварительной модификации. Так, после полного дезаминирования оснований в составе ДНК действием азотистой кислоты (см. стр. 416) при инкубации продукта при рН 3,35 и 37°С за 72 ч отщепляется 94% ксантина XXI (продукта дезаминирования гуанина) и только 22% гипоксантина XXII (продукта дезаминирования аденина ⁴⁰; см. также табл. 8.5):



В очень мягких условиях — при значениях pH, близких к нейтральному, и 37°С — от ДНК отщепляются пуриновые основания замещенные по N-3 и N-7^{41, 42, 45, 47, 54, 56}. Особенно быстро в этих условиях отщепляются 3-N-замещенные аденины⁵⁶ (см. стр. 496).

Для олиго- и полирибонуклеотидов, как уже отмечалось, отщепление обычных оснований под действием кислот сопровождается гидролизом фосфодиэфирных связей, причем последний процесс идет даже с несколько большей скоростью, чем первый (см. табл. 8.8). Для коротких олигонуклеотидов в некоторых случаях удается расщепить более лабильные к действию кислот гликозидные связи с сохранением (частичным) фосфоэфирных связей. Так, при кислотном гидролизе динуклеозидмонофосфата ХрС удается выделить рибозил-(3' → 5')-цитидин⁶⁹. Известен, однако, пример (правда, пока единственный) избирательного отщепления от РНК в условиях кислотного гидролиза необычного минорного компонента. Недавно было показано, что в составе фенилаланиновой тРНК из дрожжей имеется кислотолабильное основание, природа которого неизвестна⁷⁰. При мягкой кислотной обработке (pH 2,9 при 37°С в течение 3—4 ч) это основание может быть отщеплено от тРНК без сколько-нибудь существенной деградации полинуклеотидной цепи⁷¹.

III. РАСЩЕПЛЕНИЕ N-ГЛИКОЗИДНЫХ СВЯЗЕЙ В ПИРИМИДИНОВЫХ ДЕЗОКСИРИБОНУКЛЕОЗИДАХ, НЕ КАТАЛИЗИРУЕМОЕ КИСЛОТАМИ ИЛИ ОСНОВАНИЯМИ

N-Гликозидная связь в ряде пириимидиновых дезоксирибонуклеозидов (дезоксиуридине, тимидине и 5-бромдезоксиуридине) гидролизуется^{11a} с заметной скоростью в нейтральной и слабокислой средах (pH 3—7). В этом интервале pH скорость гидролиза практически не зависит от pH и ионной силы среды (табл. 8.9).

Таблица 8.9. Кинетические параметры гидролиза ряда пириимидиндезоксирибонуклеозидов в нейтральной и слабокислой средах при 95°С

Исходное соединение	$k_1 \cdot 10^6, \text{сек}^{-1}$			$\Delta H,$ ккал/моль	$\Delta S,$ э. е.
	при pH 4	при pH 5,5	при pH 7,0		
2'-Дезоксиуридин	3,0	3,1	3,0	32,1	+8,7
Тимидин	1,3	1,2	1,2	34,5	+3,5
5-Бром-2'-дезоксиуридин	53	57	50	32,4	+10,3

Как видно из табличных данных, электронодонорные заместители в положении 5 урацильного ядра понижают, а электроноак-

цепторные — повышают скорость гидролиза N-гликозидной связи по сравнению с самим дезоксиуридином. Величины логарифмов константы скорости гидролиза находятся в линейной зависимости от pK_a диссоциации протона при N-1 в соответствующих пиримидиновых основаниях. Исходя из этих данных, было высказано предположение, что реакция гидролиза протекает по мономолекулярному механизму.

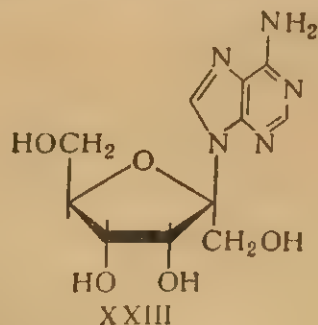
IV. РАСЩЕПЛЕНИЕ N-ГЛИКОЗИДНЫХ СВЯЗЕЙ В ЩЕЛОЧНОЙ СРЕДЕ

N-Гликозиды, в частности нуклеозиды, как правило, устойчивы в щелочной среде. Известно, однако, несколько исключений из этого правила. Так, хотя гликозидные связи в пиримидиновых нуклеозидах устойчивы к действию 1 н. раствора NaOH при 100°C в течение 1 ч, аденозин, дезоксиаденозин и дезоксигуанозин (но не гуанозин) в этих условиях частично отщепляют гетероциклические основания⁷²:

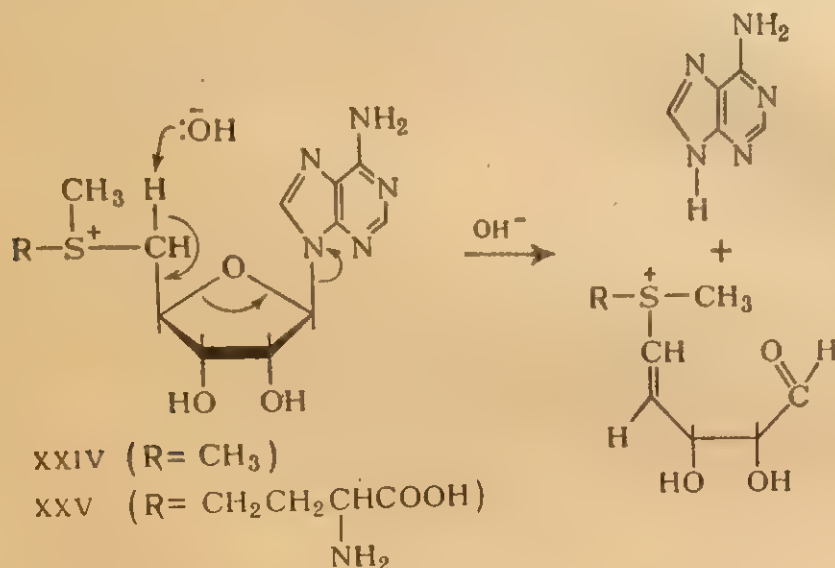
Исходное соединение	Степень расщепления гликозидной связи, %
Аденозин	28,5
2'-Дезоксиаденозин	23
Гуанозин	0
2'-Дезоксигуанозин	4,5

Имеются также данные о том, что частичный гидролиз гликозидных связей в дезоксиаденозине и дезоксигуанозине протекает при действии 1 н. раствора NaOH при 37°C в течение 48 ч²². Гораздо более лабильны к действию щелочей гликозидные связи в некоторых производных аденина. Так, в аденозин-3',5'-циклофосфате XIX под действием 1 н. раствора NaOH [но не Ba(OH)₂] при 90°C необычайно легко происходит количественное отщепление аденина (время полупревращения 36 мин)^{38, 73, 74}.

В тех же условиях уридин-3',5'-циклофосфат также частично отщепляет урацил³⁸. Другое производное аденина — нуклеозидный антибиотик псикофуранин XXIII гидролизруется до аденина как под действием кислот, так и щелочей⁷⁵; скорость щелочного гидролиза пропорциональна концентрации ионов OH⁻. Механизмы всех этих реакций неизвестны.

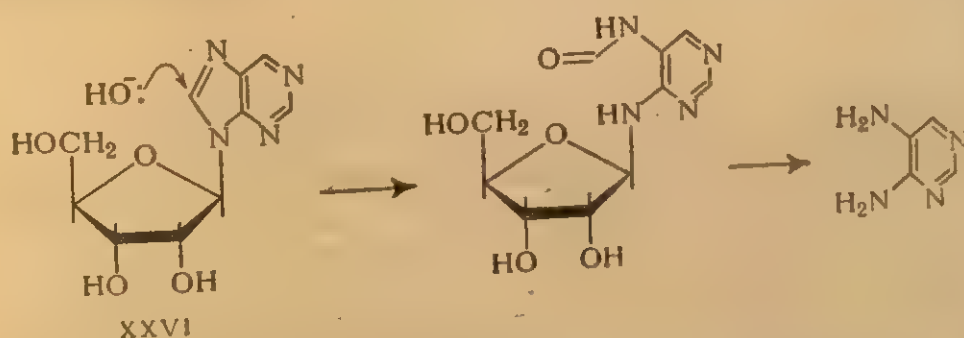


Другой тип гидролиза N-гликозидных связей под действием оснований известен для нуклеозидов, в которых гидроксильная группа при C-5' заменена на сульфониновую. Например, 5'-дезоксип-5'-диметилтиоаденозин XXIV и S-аденозилметионин XXV при действии разбавленных растворов щелочей на холоду отщепляют основание^{76, 77}.



Аналогичная реакция известна также для производных уридина и инозина⁷⁷.

Для некоторых пуриновых нуклеозидов расщепление гликозидной связи происходит после раскрытия имидазольного цикла пурина под действием щелочей. Так, 9-(β -D-рибофуранозил)-пурин (небуларин) XXVI и его 6-метил-, 6-хлор- и 6-метилмеркаптопро-



изводные при действии разбавленной щелочи сравнительно легко гидролизуются до соответствующих 5,6-дiamiнопиримидинов⁷⁸⁻⁸⁰. Подробнее о реакциях этого типа см. гл. 7.

V. ДРУГИЕ РЕАКЦИИ, ПРИВОДЯЩИЕ К РАСЩЕПЛЕНИЮ ГЛИКОЗИДНЫХ СВЯЗЕЙ

Расщепление гликозидных связей «непрямыми методами» может быть проведено либо путем предварительной деструкции гетероциклических оснований, либо после модификации углеводных остатков, приводящих к лабильности N-гликозидных связей.

Деструкция оснований особенно широко используется в ряду пиримидиновых производных. Наиболее важными и широко применяемыми реакциями этого типа являются расщепление пиримидиновых оснований в составе нуклеозидов и нуклеотидов³, а также РНК⁸¹ и ДНК⁸²⁻⁸⁵ гидразином и расщепление производных уридина (как мономерных, так и в составе РНК)⁸⁶⁻⁹⁰ гидроксиламином (об условиях проведения и механизме этих реакций см. гл. 7, о применении — гл. 10). В результате деструкции оснований пиримидиннуклеотидные звенья в составе нуклеиновых кислот превращаются в рибозил (дезоксирибозил)-гидразинные или -гидроксиламинные звенья, в которых N-гликозидная связь легко расщепляется^{84, 90, 91} при умеренно кислых значениях pH (~4).

Расщепление пиримидиновых оснований в составе РНК до рибозилмочевинных звеньев происходит также при действии концентрированных растворов перекиси водорода при pH 9–10⁹². В составе ДНК пиримидиновые основания могут быть разрушены, кроме того, обработкой окислителями — водными растворами KMnO_4 ^{93, 94} и OsO_4 ⁹⁵. При действии перманганата может происходить также побочное разрушение гуанина⁹⁴. При окислении OsO_4 с наибольшей скоростью разрушается тимин⁹⁵ (подробнее о реакциях этого типа см. стр. 476).

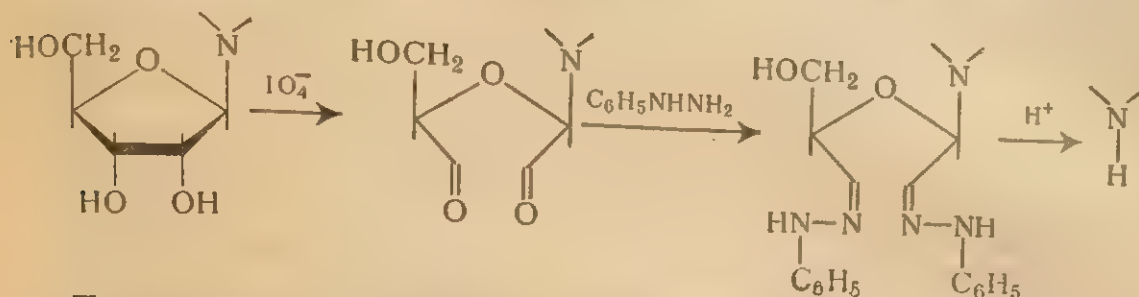
Описано⁹⁶ специфическое удаление остатка цитозина из динуклеозидмонофосфата путем окисления до 3-N-окиси с последующей щелочной и кислотной обработками (подробнее см. 455).

Избирательное разрушение пуриновых оснований как в составе нуклеозидов и нуклеотидов, так и в нуклеиновых кислотах наблюдается при так называемых «фотодинамических реакциях» — облучении моно- или полинуклеотидов видимым светом в присутствии ряда акридиновых или тиазиновых красителей⁹⁷⁻¹⁰⁰ (подробнее — см. гл. 12).

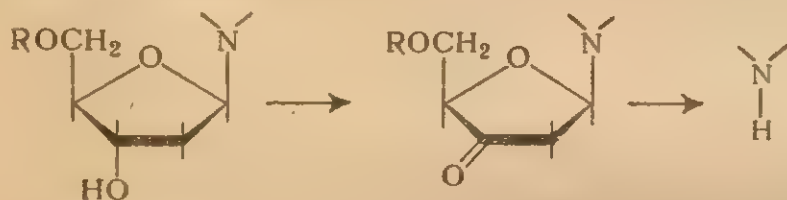
В ряде случаев ослабление гликозидной связи в нуклеозидах вызывается модификацией углеводного остатка. Так, периодатное окисление рибонуклеозидов, 5'-рибонуклеотидов и 3'-концевых рибонуклеотидных звеньев (со свободной OH-группой при C-3'), используемое при ступенчатой деградации полинуклеотидов (см. стр. 64 и 531), значительно лабильзует гликозидную связь.

Особым случаем периодатного окисления, приводящим к удалению оснований, является окисление остатка псевдоуридина в составе РНК¹⁰². Гликозидная связь в этом случае не затрагивается (подробнее см. стр. 609).

Пуриновые и пиримидиновые нуклеотиды отщепляются от продуктов периодатного окисления в сравнительно мягких условиях (рН 3, 37°С) в присутствии первичных аминов¹⁰¹ или, еще легче, фенолгидразина¹⁰¹

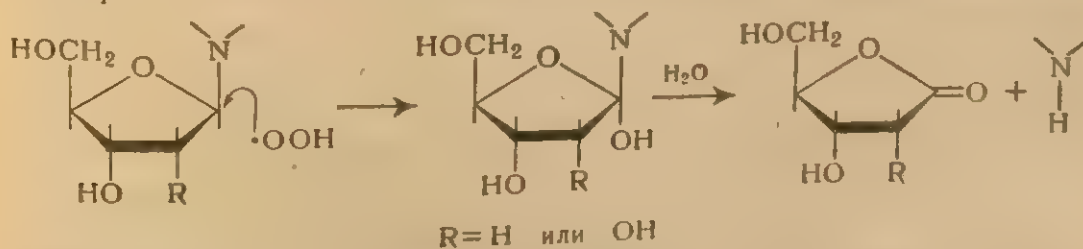


Под действием производных карбодимида¹⁰³ или уксусного ангидрида¹⁰⁴ в диметилсульфоксиде происходит отщепление оснований от дезоксинуклеозид-5'-фосфатов или олигодезоксинуклеотидов с нефосфорилированной концевой ОН-группой при С-3'. В этих условиях ОН-группа при С-3' остатка дезоксирибозы окисляется до карбонильной и гетероциклические основания отщепляются по механизму β-элиминации*.



R — замещенная или незамещенная фосфатная группа

Другим примером реакции отщепления основания в результате модификации остатка сахара может служить взаимодействие перекиси водорода в присутствии Fe^{3+} или разбавленных растворов гидроксиламина (генерирующих в присутствии кислорода воздуха перекисные радикалы) с нуклеозидами, нуклеотидами и полинуклеотидами^{105–106}. Одним из происходящих при этом процессов является атака перекисными радикалами гликозидного атома С-1' остатка сахара с окислением до производного рибоновой (дезоксирибоновой) кислоты^{105–106}. Гликозидная связь в таких производных крайне лабильна, что приводит к отщеплению оснований^{105, 106}.



* О применении этого метода для ступенчатой деградации ДНК см. стр. 66.

Легкость протекания этих реакций (в ряду дезоксирибонуклеозидов) зависит от природы основания и уменьшается в ряду $T > A > C > G$ ¹⁰⁶. Сходная реакция наблюдается при облучении ДНК видимым светом в присутствии солей железа¹⁰⁷ (см. гл. 12).

ЛИТЕРАТУРА

1. Kossel A., Arch. Anat. Physiol., Physiol. Abt., 1891, 181.
2. Kossel A., Neumann A., Ber., 26, 2753 (1893); Z. phys. Chem., 22, 74 (1897).
3. Baron F., Brown D. M., J. Chem. Soc., 1955, 2855.
4. Tamm C., Hodes M. E., Chargaff E., J. Biol. Chem., 195, 49 (1952).
5. Shapiro H. S., Chargaff E., Biochim. Biophys. Acta, 23, 451 (1957).
6. Levene P. A., Jacobs W. A., Ber., 42, 2469, 2703 (1909).
7. Levene P. A., Jacobs W. A., Ber., 44, 1027 (1911).
8. Garrett E. R., Seydel J. K., Sharper A. J., J. Org. Chem., 31, 2219 (1966).
9. Venner H., Hoppe-Sayler's Z. physiol. Chem., 339, 14; (1964); 344, 189 (1966).
10. Kenner G. W., in «Giba Foundation Symposium on Chemistry and Biology Purines», Little Brown a. Co., Boston, Mass., 1957, p. 312.
11. Isabelle H. S., Frush H. I., J. Org. Chem., 23, 1309 (1958).
- 12a. Shapiro R., King S., Biochemistry, 8, 1806 (1969).
12. Dekker C. A., Ann. Rev. Biochem., 29, 453 (1960).
13. Micheel F., Heesing A., Chem. Ber., 94, 1814 (1961).
14. Capon B., Connett B. E., Tetrahedron Letters, 1964, 1395.
15. Capon B., Connett B. E., J. Chem. Soc., 1965, 4497.
16. Simon H., Palm D., Chem. Ber., 98, 433 (1965).
17. Preobrazhenskaya M. N., Vigdorchik N. N., Suvorov N. N., Tetrahedron, 23, 4653 (1967).
18. Brown D. M., Fasman G. D., Magrath D. I., Todd A. R., J. Chem. Soc., 1954, 1448.
19. Wempen I., Doerr I. L., Kaplan L., Fox J. J., J. Am. Chem. Soc., 82, 1624 (1960).
20. Pflitzer K. E., Moffatt J. G., J. Org. Chem., 29, 1508 (1964).
21. Wacker A., Träger L., Z. Naturforsch., 18b, 13 (1963).
22. Greer S., Zamenhof S., J. Mol. Biol., 4, 123 (1962).
23. Shapiro H. S., Chargaff E., Biochim. Biophys. Acta, 39, 62 (1960).
24. Shapiro H. S., Chargaff E., Biochim. Biophys. Acta, 26, 596 (1957).
25. Michelson A. M., Todd A. R., J. Chem. Soc., 1954, 34.
26. Khorana H. G., Turner A. F., Visvolyi J. P., J. Am. Chem. Soc., 83, 686 (1961).
27. Кочетков Н. К., Будовский Э. И., Шибаев В. Н., ХПС, 1965, 328.
28. Doerr I. L., Fox J. J., J. Org. Chem., 32, 1462 (1967).
29. Levene P. A., La Forge F. B., Ber., 45, 608 (1912); J. Biol. Chem., 13, 508 (1912).
30. Hilbert G. E., Johnson T. B., J. Am. Chem. Soc., 52, 5489 (1930).
31. Cohn W. E., Doherty D. G., J. Am. Chem. Soc., 78, 2863 (1956).
32. Burke D. C., Chem. a. Ind., 1954, 1393.
33. Laland S. G., Rothe E., Acta Chem. Scand., 10, 1058 (1956).
34. Haaveldsen L., Laland S. G., McKee J. M., Roth E., Biochim. Biophys. Acta, 33, 201 (1959).
35. Massart L., Hoste J., Biochim. Biophys. Acta, 1, 83 (1947).
36. Brady T. G., McEvoy - Bowe F., Nature, 168, 299 (1951).
37. Cohn W. E., Biochem. J., 64, 28P (1956).

38. Smith 698 (1969).
39. Tener Soc., 80 (1969).
40. Shapiro 80 (1969).
41. Lawley logy», 1966.
42. Reine 1966.
43. Lawley 1966.
44. Brook 1966.
45. Lawley 1966.
46. Brook 1966.
47. Lawley 1966.
48. Jones 1966.
49. Windt (1962).
50. Brook 1966.
51. Haine 1966.
52. Marti 1966.
53. Kissm (1955).
54. Kriek 1966.
55. Захар (1967).
56. Lawley 1966.
57. Уайат сона Д 1966.
58. Pollm 1966.
59. Greer 1966.
60. Jones 1966.
61. Peters 1966.
62. Burto 1966.
63. Lalan 1966.
64. Lucy J 1966.
65. Kent P 1966.
66. Jones 1966.
67. Hurle Scand. 1966.
68. Tamm 1966.
69. Witze 1966.
70. RajBh Hosko (1967).
71. Thilbe 1966.
72. Jones 1966.
73. Suthe 1966.
74. Lipki (1959).
75. Garre 1966.
76. Parks 1966.
77. Frank Chem. S 1966.
78. Gordo 3245 1966.
79. Ma 1966.

38. Smith M., Drummond G. I., Khorana H. G., J. Am. Chem. Soc., 83, 698 (1961).
39. Tener G. M., Khorana H. G., Markham R., Pol E. H., J. Am. Chem. Soc., 80, 6223 (1958).
40. Shapiro H. S., Chargaff E., Biochemistry, 5, 3012 (1966).
41. Lawley P. D., in «Progress in Nucleic Acid Research and Molecular Biology», v. 5, Davidson J. N., Cohn W. E. (eds), p. 290, Acad. Press., N. Y. — L., 1966.
42. Reiner B., Zamenhof S., J. Biol. Chem., 228, 475 (1957).
43. Lawley P. D., Proc. Chem. Soc. (London), 1957, 290.
44. Brookes P., Lawley P. D., J. Chem. Soc., 1961, 3923.
45. Lawley P. D., Brookes P., Nature, 192, 1081 (1961).
46. Brookes P., Lawley P. D., Biochem. J., 80, 496 (1961).
47. Lawley P. D., Brookes P., Biochem. J., 89, 127 (1963).
48. Jones J. W., Robins R. K., J. Am. Chem. Soc., 85, 193 (1963).
49. Windmuller H. G., Kaplan N. O., Biochim. Biophys. Acta, 61, 307 (1962).
50. Brookes P., Dipple A., Lawley P. D., J. Chem. Soc., (C), 1968, 2026.
51. Haines J. A., Reese C. B., Todd A. R., J. Chem. Soc., 1962, 5281.
52. Martin D. M., Reese C. B., J. Chem. Soc. (C), 1968, 1731.
53. Kissman H. M., Pidacks C., Baker B. R., J. Am. Chem. Soc., 77, 18 (1955).
54. Kriek E., Emelot P., Biochim. Biophys. Acta, 91, 59 (1964).
55. Захарян Р. А., Венкстерн Т. В., Баев А. А., Биохимия, 32, 1068 (1967).
56. Lawley P. D., Brookes P., Biochem. J., 92, 19C (1964).
57. Уайатт Г., в кн. «Нуклеиновые кислоты», под ред. Чаргаффа Э., Давидсона Дж., Издательство, 1957, стр. 443.
58. Pollman W., Schramm G., Z. Naturforsch., 16b, 673 (1961).
59. Greer S., Zamenhof S., Fed. Proc., 18, 238 (1959).
60. Jones A. S., Tittensor J. R., Walker R. T., Nature, 209, 296 (1966).
61. Petersen G. B., Burton K., Biochem. J., 75, 17 (1960).
62. Burton K., Petersen G. B., Biochem. J., 92, 666 (1964).
63. Laland S. G., Acta Chem. Scand., 8, 449 (1954).
64. Lucy J. A., Kent P. W., Research, 6, 495 (1953).
65. Kent P. W., Lucy J. A., Ward P. F. V., Biochem. J., 61, 529 (1955).
66. Jones A. S., Letham D. S., J. Chem. Soc., 1956, 2573.
67. Hurlen E., Laland S. G., Cox R. A., Peacock A. R., Acta Chem. Scand., 10, 793 (1956).
68. Tamm C., Chargaff E., J. Biol. Chem., 203, 689 (1953).
69. Witzel H., Ann., 620, 126 (1959).
70. RajBhandary U. L., Chang S. H., Stuart A., Faulkner R. D., Hoskonson R. M., Khorana H. G., Proc. Nat. Acad. Sci. USA, 57, 751 (1967).
71. Thilbe R., Zachau H. G., Europ. J. Biochem., 5, 546 (1968).
72. Jones A. S., Mian A. M., Walker R. T., J. Chem. Soc., (C), 1966, 692.
73. Sutherland E. W., Rall T. W., J. Biol. Chem., 232, 1077 (1958).
74. Lipkin D., Cook W. H., Markham R., J. Am. Chem. Soc., 81, 6196 (1959).
75. Garrett E. R., J. Am. Chem. Soc., 82, 827 (1960).
76. Parks L. W., Schlenk F., J. Biol. Chem., 230, 295 (1958).
77. Frank W., Weiczotkowski J., Hughe N. A., Baddiley J., Proc. Chem. Soc. (London), 1961, 449.
78. Gordon M. P., Weliky V. S., Brown G. B., J. Am. Chem. Soc., 79, 3245 (1957).
79. Magrath D. I., Brown G. B., J. Am. Chem. Soc., 79, 3252 (1957).

РЕАКЦИИ УГЛЕВОДНЫХ ОСТАТКОВ
НУКЛЕИНОВЫХ КИСЛОТ

I. ВВЕДЕНИЕ

В молекулах ДНК все функциональные группы углеводных остатков нуклеотидных звеньев, находящихся в середине полимерной цепи, замещены и свободными являются лишь гидроксильные группы концевых остатков дезоксинуклеотидов. В большинстве случаев природные дезоксиполинуклеотиды и дезоксиолигонуклеотиды — продукты их расщепления — содержат на 5'-конце цепи (см. примечание на стр. 44) остаток фосфорной кислоты. Таким образом, единственной свободной функциональной группой углеводных остатков является гидроксильная группа 3'-концевого остатка нуклеотида. В циклических ДНК даже эта единственная группа отсутствует. В противоположность этому в молекулах РНК каждое нуклеотидное звено, находящееся в середине полимерной цепи, содержит свободную гидроксильную группу при С-2' остатка рибозы, а 3'-концевой нуклеотид цепи имеет незамещенную 2',3'-*цис*-гликольную группировку. В аминоксил-тРНК по одной из гидроксильных групп 3'-концевого остатка нуклеотида присоединяется сложной эфирной связью остаток аминокислоты.

Для гидроксильных групп моносахаридов и их производных характерны три типа реакций (подробнее см.¹⁾): замещение атома водорода гидроксильной группы под действием электрофильных агентов; окисление, приводящее к образованию кетонной группы или расщеплению С—С-связи, и, наконец, замещение у атома углерода под действием нуклеофильных агентов.

В производных нуклеиновых кислот наиболее исследованы реакции первой группы — ацилирование и алкилирование по гидроксильной группе остатка сахара, а также реакции присоединения к олефинам с поляризованной двойной связью, например, к виниловым эфирам. Эти реакции применяются для определения концевых групп в олигодезоксирибонуклеотидах (см. гл. 1), а также для изучения вторичной структуры и функциональных исследований в ряду полирибонуклеотидов, особенно тРНК. Очень важное значение имеют реакции такого типа для мономерных компонентов нуклеиновых кислот: нуклеозидов и нуклеотидов, где они

используются для введения защитных группировок в углеводный остаток.

Нужно отметить, что гидроксильные группы углеводных остатков в полинуклеотидах не являются единственными или даже наиболее нуклеофильными центрами молекулы: действие электрофильных агентов может затрагивать, кроме того, атомы азота гетероциклического ядра (см. гл. 5), экзоциклические аминогруппы (см. гл. 6) или кислород остатка фосфорной кислоты (см. гл. 10). Поэтому для проведения избирательной модификации именно по гидроксильным группам углеводного остатка требуется тщательный подбор условий реакции.

Окисление изолированной гидроксильной группы в олиго- и полинуклеотидах находит некоторое применение для определения концевых последовательностей в олигодезоксинуклеотидах (см. гл. 1). В ряду рибонуклеотидов гораздо шире используется для этой цели окисление *цис*-гликольной группировки с помощью периодата.

Реакции нуклеофильного замещения у атома углерода характерны, вообще говоря, не столько для углеводов со свободной гидроксильной группой, сколько для производных углеводов, например эфиров сульфоновых кислот или галоиддезоксисахаров. Такие реакции широко используются в ряду нуклеозидов для получения производных с измененной структурой углеводного остатка (обзоры — см. ^{2, 3}). Однако провести подобные реакции не только с олиго- или полинуклеотидами, но даже с моонуклеотидами до сих пор не удалось*.

Наконец, природные полинуклеотиды могут быть переведены расщеплением гетероциклических ядер составляющих звеньев (см. гл. 7) или N-гликозидных связей (см. гл. 8) в полимеры, в которых часть углеводных остатков содержит свободные гликозидные центры. Свойства таких полинуклеотидов изучены довольно слабо; наиболее характерная для них реакция — легкое расщепление полинуклеотидной цепи за счет β -элиминации — рассмотрена в гл. 10.

II. АЦИЛИРОВАНИЕ ГИДРОКСИЛЬНЫХ ГРУПП УГЛЕВОДНЫХ ОСТАТКОВ

1. Ацилирование

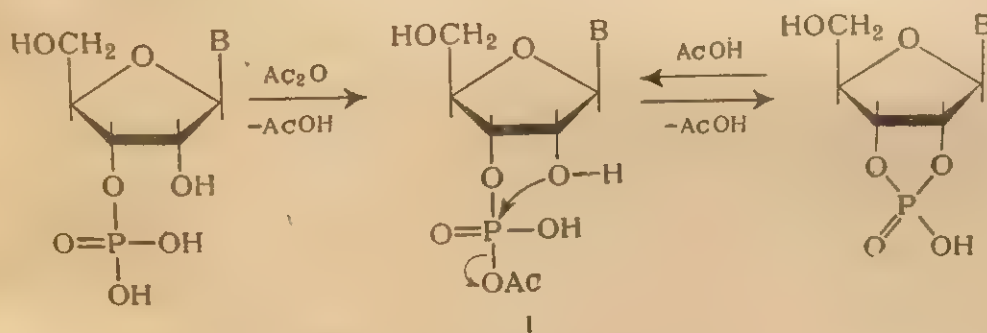
Нуклеозиды и нуклеотиды. Для получения полностью ацилированных по углеводному остатку производных нуклеозидов используют обычно действие ангидридов или хлорангидридов уксусной

* Единственным исключением является, по-видимому, работа Микельсона⁴, в которой описано мезилирование уридин-2',3'-циклофосфата и превращение 5'-О-мезилуридин-2',3'-циклофосфата в соответствующие 5'-дезоксип-5'-тиоацетил-, 5'-дезоксип-5'-бром- и 5'-дезоксип-5'-иодпроизводные.

или бензойной кислоты в безводном пиридине. В случае производных аденозина⁵⁻⁷, гуанозина^{5, 7-10}, уридина^{11, 12} и тимидина¹²⁻¹⁴ гладко образуются соответствующие полные О-ацетаты или О-бензоаты; в случае же цитидина дело осложняется легкостью ацилирования аминогруппы (см. гл. 6). Эта побочная реакция может быть подавлена проведением ацилирования в присутствии кислотного катализатора. Так, например, описано получение 5'-О-ацетилцитидина нагреванием нуклеозида с уксусным ангидридом в ледяной уксусной кислоте¹⁵.

Упомянутые выше условия — действие ангидрида кислоты в безводном пиридине — являются, по-видимому, вполне удовлетворительными для ацилирования гидроксильных групп и в нуклеотидах (см., например,^{16, 17}). Образующийся при этом в первую очередь смешанный ангидрид нуклеотида и карбоновой кислоты легко расщепляется при обработке водным пиридином.

Ацетилирование гидроксильной группы углеводного остатка в дезоксирибонуклеозид-5'-фосфатах гладко протекает¹⁸ под действием уксусного ангидрида в водной среде при pH 7. В этих условиях гетероциклическое основание не ацилируется даже в случае производных цитидина. При аналогичном ацилировании рибонуклеозид-3'-фосфатов за счет внутримолекулярного фосфорилирования 2'-гидроксильной группы в смешанном ангидриде I в значительных количествах образуются циклические фосфаты.

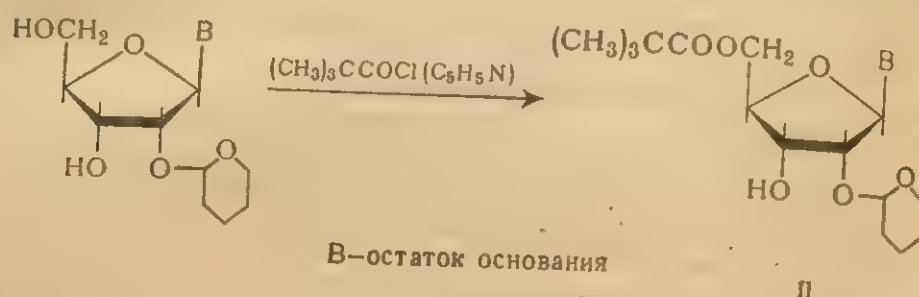


I, B—остаток основания

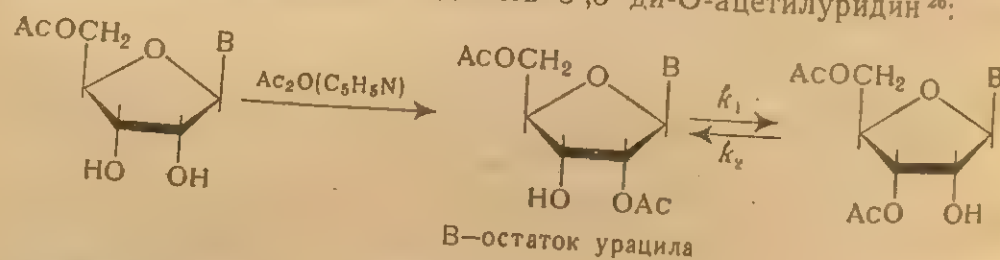
Эту побочную реакцию удастся полностью подавить, проводя ацилирование в присутствии избытка ацетат-иона. При этом гладко образуется 2',5'-ди-О-ацетилуридин-3'-фосфат¹⁹ и 2',5'-ди-О-ацетиладенозин-3'-фосфат²⁰ (в зависимости от исходного нуклеотида). В случае цитидин- и гуанозин-3'-фосфатов происходит так же ацилирование остатка основания²¹; аналогичная реакция наблюдается и при бензоилировании в сходных условиях аденозин-3'-фосфата²⁰.

Первичная гидроксильная группа в остатке моносахарида нуклеозида легче подвергается ацилированию, чем вторичная; это

различие особенно четко выражено в ряду дезоксинуклеозидов⁷. Избирательность реакции можно повысить, применяя для ацилирования производные кислот, содержащих объемистый алкильный радикал. Так, ацилирование 2'-О-тетрагидропиранилпроизводных уридина, аденозина и N-ацетилцитидина действием пивалилхлорида (хлорагидрида триметилуксусной кислоты) приводит к соответствующим 5'-О-пивалил-2'-О-тетрагидропиранилнуклеозидам II²², защищенным производным, используемым в полинуклеотидном синтезе.



При моноацетилировании 5'-О-замещенных производных уридина и аденозина образуется смесь 2'-О- и 3'-О-ацетатов в соотношении 2:1²³; эти соединения, однако, крайне легко переходят друг в друга^{24, 25}, в результате чего образуется равновесная смесь с преобладанием 3'-О-изомера (после кипячения в пиридине в течение 1 ч соотношение 2'-О- и 3'-О-ацетатов составляет приблизительно 1:3). При кристаллизации смеси диацетатов, полученных частичным ацетилированием 5'-О-ацетилируридина, удается с почти количественным выходом выделить 3',5'-ди-О-ацетилируридин²⁶.

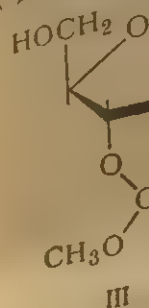


Изомеризация 2'- и 3'-О-ацильных производных рибонуклеозидов быстро протекает в безводном пиридине²⁴; еще быстрее реакция проходит в водных растворах при pH около 7 (табл. 9.1).

Во всех исследованных случаях равновесие смещено в сторону образования 3'-изомера. Скорость реакции сильно зависит от природы ацильного остатка²⁴, скорости изомеризации бензоатов, ацетатов и формиатов относятся как 1:18:670. Некоторое влияние оказывает и природа гетероциклического основания: производные аденозина изомеризуются на 10—15% быстрее, чем производные уридина.

II. АЦИЛИРОВАНИЕ

Для спектров удобно использовать под действием



Структурная формула ацилирования.

Таблица 9.1. Константы скорости (20° С, 0,1 М)

3'-О-Ацетилируридин

3'-О-Ацетиладенозин

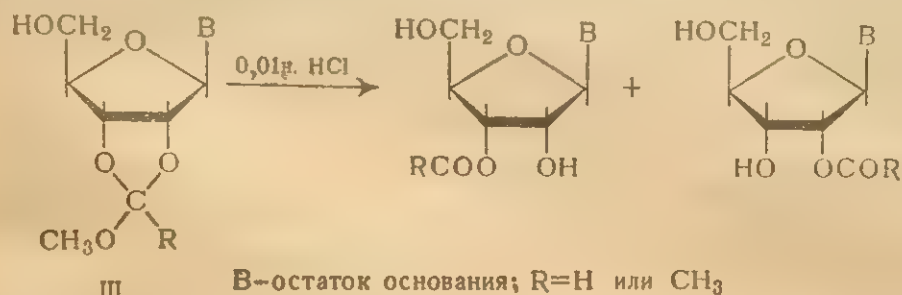
3'-О-Формилцитидин

* Смесь 2'-О-ацетата и 3'-О-ацетата

** Смесь 2'-О-ацетата и 3'-О-ацетата

Из О-ацильных производных нуклеозидов. Для отщепления ацильного остатка в водном аммиачном растворе и более медленное в водном растворе. Кратковременное кипячение данных та... расщепляющих О-ацильных производных в зависимости от природы ацильного остатка (табл. 9.2)

Для специфического получения 2'(3')-О-моноацилнуклеозидов удобно использовать расщепление 2',3'-циклических ортоэфиров III под действием разбавленных кислот^{27, 28}.



Структура выделяемого продукта зависит от скорости изомеризации ацильных производных и от их способности к кристаллизации.

Таблица 9.1. Изомеризация и гидролиз 3'-О-ацилрибонуклеозидов (20° С, 0,1 М фосфатный буфер, pH 7,0)²⁵

Ацилнуклеозид	Изомеризация		Гидролиз
	$k_1 + k_2$, мин ⁻¹	k_1/k_2	$k_{\text{гидр.}}$, мин ⁻¹
3'-О-Ацетиладенин	5,4 $1,21 \cdot 10^{-3}$ *	1,7 1,7	$1,54 \cdot 10^{-5}$
3'-О-Ацетилгуанидин	$1,41 \cdot 10^{-3}$ * $1,56 \cdot 10^{-3}$ **	2,7 3,0	$1,71 \cdot 10^{-5}$
3'-О-Формиладенин	8,82 * 11,3 **	4,3 4,6	$3,95 \cdot 10^{-3}$

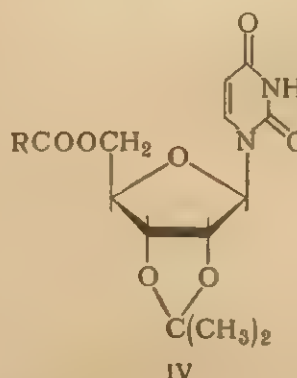
* Смесь 0,1 М фосфатного буфера с диметилсульфоксидом (8 : 1).

** Смесь 0,1 М фосфатного буфера с диметилформамидом (8 : 1).

Из О-ацилнуклеозидов и нуклеотидов могут быть легко регенерированы исходные незамещенные нуклеозиды и нуклеотиды. Для отщепления О-ацильных групп обычно применяют обработку водным аммиаком или метилатом натрия в метаноле. Предложены и более мягкие условия деацилирования²⁹ — длительное выдерживание в триэтиламонийбикарбонатном буфере при pH 7,5 или кратковременное действие щелочного раствора гидроксиламина. Из данных табл. 9.1 видно, что 2'(3')-О-моноацилнуклеозиды быстро расщепляются в водных растворах при pH 7. Скорость отщепления О-ацильных групп зависит от природы остатка кислоты, увеличиваясь по мере увеличения отрицательного индуктивного эффекта³⁰ (табл. 9.2).

Большое внимание уделяется получению ацильных производных нуклеозидов с ацильной группой, легко отщепляющейся в мягких условиях. В синтезе олигонуклеотидов предложено использовать О-формильные³¹, О-трифторацетильные³², О-метоксиацетильные³³ и О-(β -бензоил)-пропионильные³⁴ производные нуклеозидов*, а также различные алкил- и арилкарбонаты³⁵⁻³⁹ или 2',3'-циклические карбонаты рибонуклеозидов^{37, 40}.

Таблица 9.2. Гидролиз 5'-О-ацил-2',3'-О-изопропилиденуридинов IV в водном растворе при 20°C³⁰

 IV	R	pH среды	Время полупревращения, мин
	C ₆ H ₅	11,0	680
	CH ₃	11,6	100
	H	11,2	1,75
	CH ₂ Cl	10,0	22
	CCl ₃	11,0	1-2
		8,2	1,5
	CF ₃	7,0	3
		7,0	Мгновенно

Олиго-и полинуклеотиды. Как уже отмечалось выше, первичным продуктом ацетилирования нуклеотидов является смешанный ангидрид нуклеотида и уксусной кислоты, внутримолекулярный алкоголь которого может приводить в случае олигорибонуклеотидов к изомеризации или расщеплению фосфодиэфирной связи. Хотя нуклеофильность фосфодиэфиров значительно ниже, чем у моноэфиров, опасность таких побочных процессов при ацилировании олигорибонуклеотидов вполне реальна. На примере уридилил-(3'→5')-уридина было показано⁴¹, что при действии уксусного ангидрида в пиридине происходит расщепление динуклеозидфосфата на 30%, а оставшийся продукт содержит 21% (2'→5')-изомера; при ацетилировании в присутствии HCl расщепление проходит на 50%, а изомеризация на 43%. Вместе с тем при проведении реакции в присутствии триэтиламина или тетраэтиламмонийацетата количественное ацетилирование гидроксильных групп не сопровождается сколько-нибудь заметной изомеризацией или деградацией фосфодиэфирной связи. Такие условия были успешно применены для защиты гидроксильных групп в динуклеозидфосфатах⁴², од-

* Недавно предложены для этой цели О-производные дигидрокориновой кислоты¹⁰⁴; такие сложные эфиры расщепляются под действием химотрипсина

нако при этом одновременно наблюдается ацелирование аминогрупп гетероциклических оснований. Побочной реакции по аминок группам удается избежать, проводя ацелирование действием уксусного ангидрида в водном растворе при pH 7. Олигодезоксинуклеотиды гладко превращаются в этих условиях в соответствующие 5'-О-ацетаты⁴³, что позволяет применить реакцию ацелирования для определения концевых гидроксильных групп в дезоксиолигомерах.

Аналогичные условия оказались пригодными для ацелирования полирибонуклеотидов⁴³. Удобнее проводить ацелирование в 5%-ном водном диметилформамиде⁴⁴, что обеспечивает гомогенность реакционной смеси и лучшую воспроизводимость результатов модификации. С помощью этого метода удалось провести частичное ацелирование полиуридиловой и полиадениловой кислот⁴⁵, а также суммарной тРНК из дрожжей^{43, 44} без сколько-нибудь заметной деградации полимеров. Модификация тРНК с помощью ацелирования была применена при изучении вторичной структуры и функциональных исследованиях тРНК и полирибонуклеотидов.

Степень ацелирования гидроксильных групп тРНК в данных условиях однозначно определяется начальной концентрацией уксусного ангидрида; легко можно получить препараты тРНК, в которых проацелировано до 70% гидроксильных групп. В присутствии ионов Mg^{2+} , стабилизирующих вторичную структуру тРНК, скорость ацелирования несколько снижается, однако предельная степень ацелирования при этом существенно не меняется⁴⁴. Изменение условий проведения реакции заметно влияет на распределение ацетильных групп в полимере⁴⁶ (рис. 9.1). Препараты частично ацелированной тРНК, имеющие одинаковую общую степень ацелирования, но полученные в разных условиях, обладают различной акцепторной активностью.

При ацелировании суммарной тРНК из дрожжей⁴³ происходит быстрое уменьшение величины гиперхромного эффекта и изменение константы седиментации, что свидетельствует о разрушении вторичной структуры, которая полностью исчезает при ацелировании 25—30% гидроксильных групп⁴⁴. Частично ацелированная полиадениловая кислота сохраняет способность к

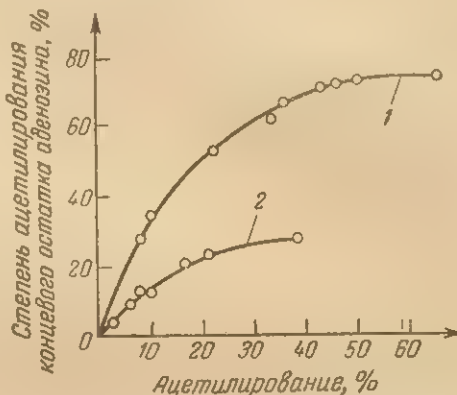
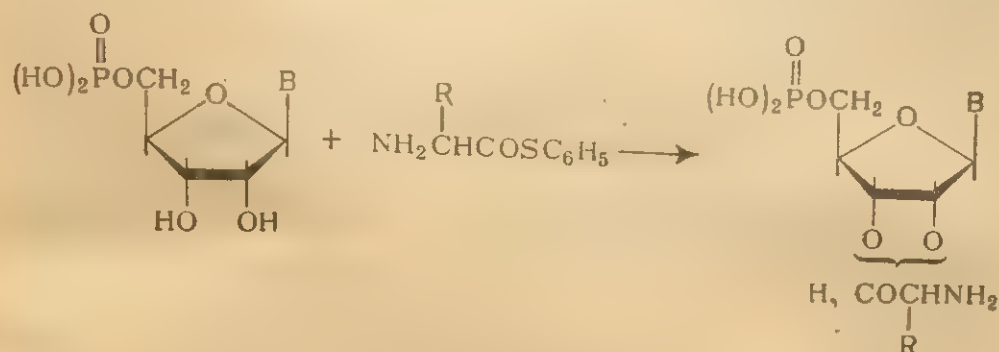


Рис. 9.1. Зависимость степени ацелирования концевой *цис*-гликольной группировки от общей степени ацелирования суммарной тРНК из дрожжей⁴⁶:

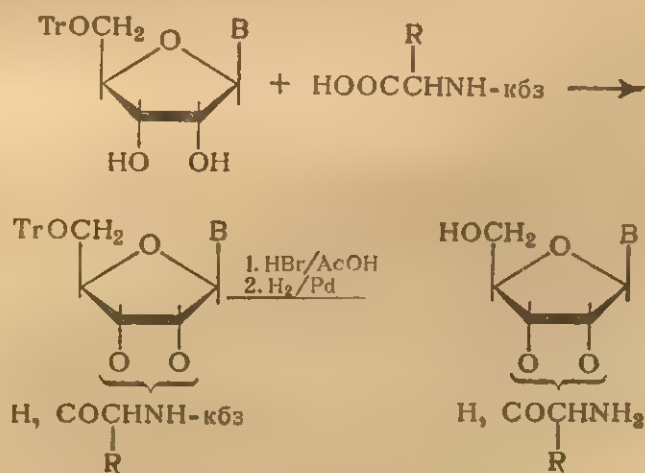
1 — реакция проводилась в 5%-ном диметилформамиде; 2 — то же, в присутствии 0,2 М бората натрия.

могут быть переведены в соответствующие 2'(3')-О-аминоацилнуклеозиды.



B—остаток основания; R—алкильный радикал

Гораздо более высокие выходы О-аминоацильных производных достигаются при конденсации N-карбобензоксикаминокислот с защищенными нуклеозидами в присутствии дициклогексилкарбодимида^{53–55} или при взаимодействии ангидрида N-карбобензоксикаминокислоты с нуклеозидом⁵⁶. При проведении реакции в абсолютном пиридине аминогруппы гетероциклических оснований не затрагиваются. Защитные группы с остатков нуклеозида и аминокислоты могут быть удалены при обработке кислотой и гидрогенолизе; в этих условиях О-аминоацильные производные нуклеозидов достаточно устойчивы.

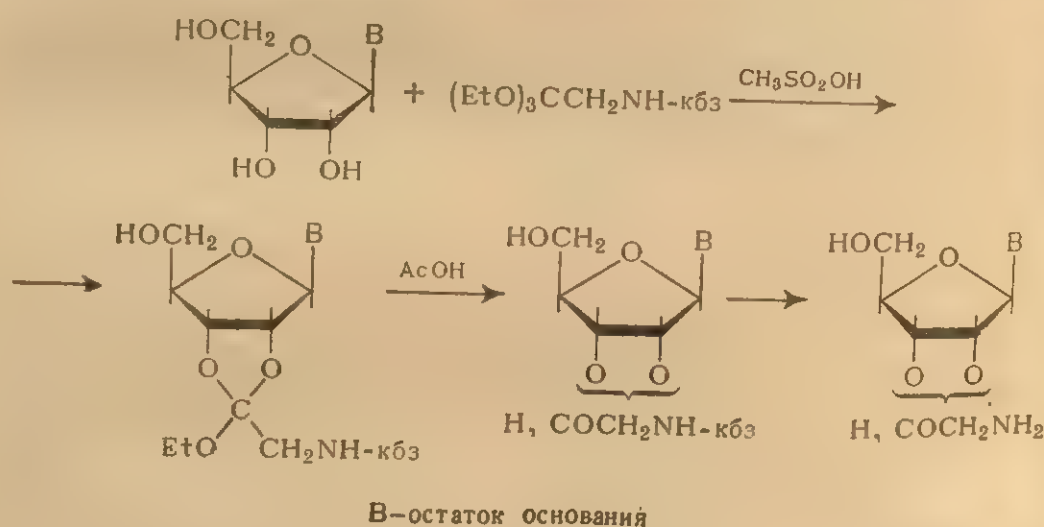


B—остаток основания; R—алкильный или арильный радикал

При реакции с незащищенным нуклеозидом 5'-О-аминоацилирование протекает быстрее, чем реакция по вторичным гидроксильным группам.

Конденсация N-третилглицина с суммарной тРНК из дрожжей под действием дихлорогексилкарбодимида в абсолютном пиридине приводит к продукту, в котором основная часть включенной аминокислоты соединена сложноэфирной связью с концевым остатком аденозина⁵⁷. Эффективное аминоацилирование нуклеозидов и нуклеотидов может быть осуществлено при действии имидазолидов N-замещенных аминокислот^{58, 59}; при использовании *трет*-бутилоксикарбонильной и формильной защитных групп реакция может быть проведена в водном растворе. В этих условиях аминогруппа цитидина не затрагивается. С помощью данного метода удалось осуществить аминоацилирование суммарной тРНК из дрожжей^{60, 61}, причем 60—65% остатков аминокислоты оказалось соединено с концевой *цис*-гликольной группировкой полимера.

Наконец, для специфического аминоацилирования *цис*-гликольной группировки предложен метод⁶², основанный на образовании циклических ортоэфиров аминокислот (см. стр. 529) с их последующим превращением в О-аминоацильные производные (см. стр. 515):



Этот метод был успешно применен к олигонуклеотидам^{63, 64}; использование его ограничивается, однако, труднодоступностью ортоэфиров аминокислот.

2'(3')-О-Аминоацильные производные нуклеозидов и нуклеотидов крайне легко гидролизуются и изомеризуются в нейтральной или слабощелочной среде^{52, 65—68}; по скорости изомеризации и гидролиза они сравнимы с 2'(3')-О-формилнуклеозидами²⁵ (см. стр. 515). В связи с этим можно предполагать, что природные ами-

осн. нуклеотидов
зам. фосф. групп
задание 3'-О-

3. Получен
кислотами

Гидроксила
тидах может
водных кисло
Лучше все
этой цели пр
хлорангидри
причем в ряде
акционной сме
агентов (обзор
меняются и д

Взаимодей
зидов с хлора
фонокислоты в
с соответств
фенилирован
защищенную
зуются 2'-О-э
удаётся получ
О превращени
циклофосфат +
водить реакци
как в пиридин
ных условиях
лофосфата⁹⁰.
химии нуклеоз
леводным оста

Описано по
с 2,4-динитроб
ставляют инте
Их расщеплен
ких нуклеофи
фенол.

Рибонуклео
легко образую
нако, слишком
использовать в
чительно успе
лоты: при кип
разуются фено

оацил-ТРИК представляют собой равновесную смесь 2'- и 3'-О-изомеров, хотя имеются данные, указывающие на сильное преобладание 3'-О-аминоацилпроизводных⁶⁹⁻⁷¹.

3. Получение эфиров с неорганическими кислотами

Гидроксильная группа остатка сахара в нуклеозидах и нуклеотидах может подвергаться ацилированию под действием производных кислот фосфора, серы, бора и кремния.

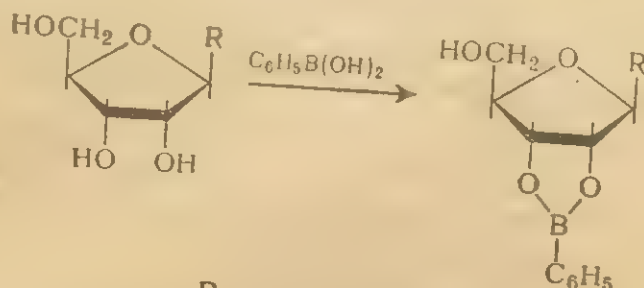
Лучше всего разработано фосфорилирование нуклеотидов. Для этой цели предложен целый ряд фосфорилирующих агентов — хлорангидридов или ангидридов замещенных фосфорных кислот, причем в ряде случаев последние получают непосредственно в реакционной смеси при действии соответствующих конденсирующих агентов (обзоры — см.^{72, 73}). Наиболее мягкие агенты успешно применяются и для фосфорилирования олигонуклеотидов⁷⁴⁻⁸¹.

Взаимодействие свободных или частично защищенных нуклеозидов с хлорангидридами *n*-толуолсульфокислоты или метансульфокислоты в безводном пиридине приводит к эфирам нуклеозидов с соответствующими сульфоновыми кислотами^{6, 13, 82-86}. При сульфонилировании 5'-замещенных рибонуклеозидов, содержащих незащищенную *цис*-гликольную группировку, предпочтительно образуются 2'-О-эфиры^{87, 88}. В случае уридина⁸⁹ и тимидина¹³ легко удается получить полностью сульфонилированные нуклеозиды. О превращении уридин-2',3'-циклофосфата в 5'-О-мезилуридин-2',3'-циклофосфат⁴ уже упоминалось; в этом случае необходимо проводить реакцию в диоксане в присутствии три-*n*-бутиламина, так как в пиридине легко идет полимеризация фосфатов. В аналогичных условиях удалось провести мезилирование аденозин-2',3'-циклофосфата⁹⁰. Сульфозэфиры широко применяются в синтетической химии нуклеозидов для получения производных с измененным углеводным остатком.

Описано получение эфиров тимидина⁹¹ и 2'-дезоксаденозина⁹² с 2,4-динитробензолсульфеновой кислотой; эти соединения представляют интерес как защищенные производные нуклеозидов. Их расщепление протекает в мягких условиях под действием таких нуклеофильных агентов, как тиосульфат, цианид или тиофенол.

Рибонуклеозиды с незамещенной *цис*-гликольной группировкой легко образуют комплексы с борной кислотой; эти комплексы, однако, слишком неустойчивы для того, чтобы их можно было использовать в качестве защитных группировок нуклеозидов⁹³. Значительно успешнее оказалось использование фенолборной кислоты: при кипячении ее смесей в пиридине с нуклеозидами образуются фенолборонаты, которые удается выделить^{94, 95} и

использовать в качестве защищенных производных при синтезе нуклеозид-5'-фосфатов⁹⁶ и -пирофосфатов⁹⁷.



R-остаток основания

Фенилборонатная группировка легко отщепляется при действии этиленгликоля или пропандиола-1,3.

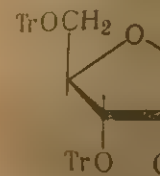
Взаимодействие нуклеозидов и нуклеотидов с триметилхлорсиланом, гексаметилдисилазаном или N-бис-(триметилсилил)-ацетамидом в пиридине приводит к полностью замещенным (по гидроксильным группам углеводного остатка) О-триметилсилильным производным^{98, 99}; в случае нуклеотидов реакция проходит также по кислородным атомам остатка фосфорной кислоты. Получающиеся триметилсилильные производные используются для газожидкостной хроматографии⁹⁸⁻¹⁰² и масс-спектрометрии¹⁰³ нуклеозидов и нуклеотидов. Реакцию удалось распространить на олигонуклеотиды¹⁰⁴; в этом случае в качестве агента, вводящего силильную группировку, был использован N-бис-(триметилсилил)-трифторацетамид.

III. АЛКИЛИРОВАНИЕ ГИДРОКСИЛЬНЫХ ГРУПП УГЛЕВОДНЫХ ОСТАТКОВ

1. Взаимодействие с диазометаном

Как уже отмечалось (см. стр. 360), при взаимодействии нуклеозидов с диазометаном в первую очередь протекает алкилирование атомов азота гетероциклического ядра. Как побочная реакция при этом может наблюдаться и алкилирование гидроксильных групп остатка углевода; наиболее реакционноспособной является гидроксильная группа при С-2' в рибонуклеозидах. Впервые получение производных 3,2'-диметилуридина — при действии диазометана на производные уридина — было описано в 1961 г.¹⁰⁵

Особо благоприятные условия для О-алкилирования гидроксильных групп остатка сахара — действие диазометана в водном растворе 1,2-диметоксиэтана при нагревании^{106, 107}. При этом аденозин¹⁰⁶⁻¹⁰⁹ и цитидин¹⁰⁸ гладко превращаются в соответствующие 2'-О-метилнуклеозиды. Из реакционной смеси удастся также вы-

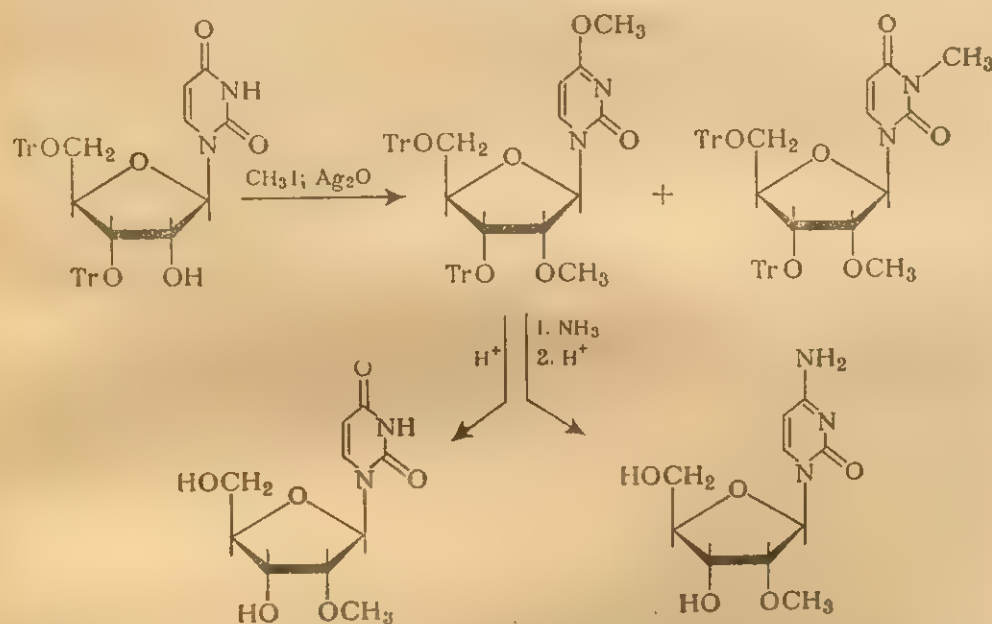


Обработ
существ
рам 114-116.
лирование
Другой м
в присутс
не свобод
зидов рас
условиях

и лишь присутствующие в меньших количествах 3'-О-метиладенозин^{108, 109} и 3'-О-метилцитидин¹⁰⁸, а также незначительные количества 5'-О-метил- и 2',3'-ди-О-метиладенозина¹⁰⁹.

2. Взаимодействие с галоидными алкилами

Гидроксильные группы нуклеозидов алкилируются под действием иодистого метила и окиси серебра в метаноле в условиях, близких к обычно применяемым для метилирования производных моносахаридов. Кроме того, наблюдается метилирование и гетероциклического основания (см. гл. 5). Было проведено исчерпывающее метилирование аденозина, гуанозина и уридина¹¹⁰, а также уридин-3'-фосфата¹¹¹ и РНК¹¹². Метилирование 3',5'- и 2',5'-ди-О-тритуридинов было использовано¹¹³ для синтеза 2'-О-метилуридина и 2'-О-метилцитидина (редких компонентов РНК) и соответствующих 3'-О-метилнуклеозидов.



Обработка производных уридина хлористым бензилом в присутствии щелочи приводит к соответствующим бензиловым эфирам¹¹⁴⁻¹¹⁶; в случае других нуклеозидов происходит также алкилирование по атомам азота гетероциклического ядра (см. стр. 370). Другой метод О-бензилирования — действие бромистого бензила в присутствии гидроксида натрия в диметилсульфоксиде^{117, 118} — также не свободен от указанного недостатка. Бензиловые эфиры нуклеозидов расщепляются гидрогенолизом над палладием в мягких условиях (при этом пириимидиновое ядро не затрагивается). Это

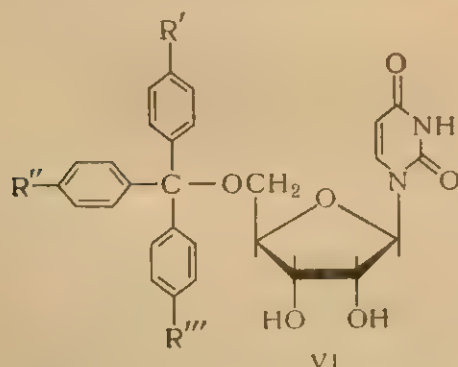
позволяет использовать 2'-О-бензилуридин в синтезе полинуклеотидов¹¹⁵; 3'-О-бензилуридин, полученный из 2',5'-ди-О-тритуридина, был успешно применен для получения 2',5'-ди-О-ацитуридинов¹¹⁶.

3. Взаимодействие с триарилхлорметанами

Обработка нуклеозидов трифенилхлорметаном в абсолютном пиридине приводит главным образом к замещению у первичной гидроксильной группы^{6, 10-114, 119-125}; в аналогичных условиях могут быть получены и 5'-О-тритуридин-3'-фосфаты. В реакцию вступают и вторичные и гидроксильные группы, хотя и менее легко. Так, при тритилировании уридина удалось выделить 2',5'-ди-О-¹²⁶ и 3',5'-ди-О-тритуридины¹²⁷ и даже небольшое количество 2',3',5'-три-О-тритуридина^{128, 129}.

Трифенилметилловые эфиры расщепляются при действии разбавленной кислоты, что позволяет применять их для защиты гидроксильных групп в нуклеозидах и нуклеотидах. При использовании тритильных производных в синтезе олигорибонуклеотидов было обнаружено, однако, что в условиях отщепления защитных групп происходит заметная изомеризация фосфодиэфирной связи. Вследствие этого в настоящее время более широко используются метокситрифенилметилловые производные нуклеозидов^{10, 130, 131} и нуклеозид-3'-фосфатов^{19, 20}, которые расщепляются в значительно более мягких условиях. С введением каждой *n*-метоксигруппы скорость кислотно-катализируемого гидролиза триарилловых эфиров увеличивается приблизительно в 10 раз (табл. 9.3). Уже производные *n*-анизилдифенилкарбинола легко расщепляются при комнатной температуре в пиридин-ацетатном буфере¹³².

Таблица 9.3. Гидролиз 5'-О-триарилметилуридинов VI в 80%-ной уксусной кислоте при 20 °C¹³⁰



R'	R''	R'''	Время, необходимое для полного гидролиза, мин
H	H	H	2880
OCH ₃	H	H	120
OCH ₃	OCH ₃	H	15
OCH ₃	OCH ₃	OCH ₃	1

Содержащие метоксигруппы триарилхлорметаны взаимодействуют с нуклеозидами быстрее, чем сам трифенилхлорметан, при этом наблюдается несколько меньшая избирательность реакции. Это касается как замещения по вторичным гидроксильным груп-

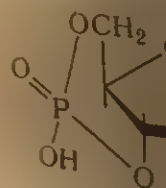
IV. РЕАКЦИИ
нам, так и
жащих ам
акции пре
и нуклеоти
количеств
гетероцикл
Триарилме
ного оста
нуклеотид

IV. РЕАКЦИИ
УГЛЕВО

Нуклео
ны в при
двойной с

R -

Впервы
дигидропи
2'-О-тетра
легко пре
фосфат VI
вых синте

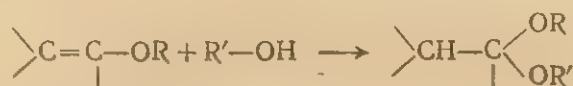


Взаимо
лучения
нуклеозид
защитнен
шие ди-С
проводят
метилсуль
водород,

нам, так и N-тритилирования гетероциклических оснований, содержащих аминогруппу (см. стр. 422). Для подавления последней реакции предложено проводить триарилметилирование нуклеозидов и нуклеотидов в диметилформамиде в присутствии эквивалентного количества основания^{21, 133}; при этом происходит протонирование гетероциклического основания, что понижает его нуклеофильность. Триарилметилирование первичной гидроксильной группы углеводного остатка может быть успешно выполнено и в случае олигонуклеотидов⁴².

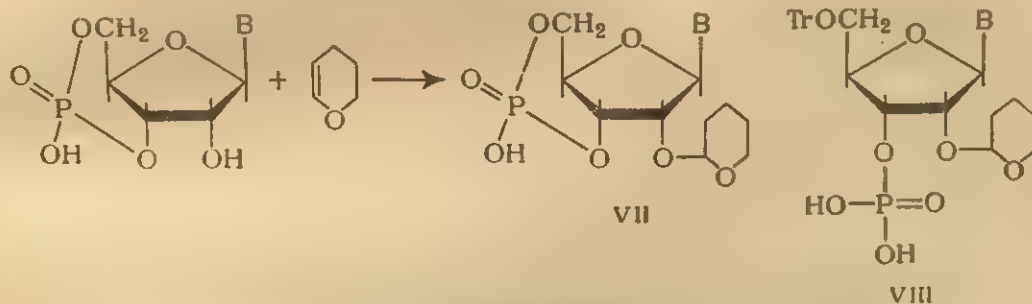
IV. РЕАКЦИИ ГИДРОКСИЛЬНЫХ ГРУПП УГЛЕВОДНЫХ ОСТАТКОВ С ВИНИЛОВЫМИ ЭФИРАМИ

Нуклеозиды и нуклеотиды, подобно обычным спиртам, способны в присутствии кислотных катализаторов присоединяться по двойной связи виниловых эфиров с образованием ацеталей:



R — алкильный радикал; R' — остаток нуклеозида или нуклеотида

Впервые эта реакция была описана на примере взаимодействия дигидропирана с уридин-3',5'-циклофосфатом^{130, 134}; образующийся 2'-О-тетрагидропиранилуридин-3',5'-циклофосфат VII может быть легко превращен в 5'-О-тритил-2'-О-тетрагидропиранилуридин-3'-фосфат VIII — нуклеотидный компонент, использовавшийся в первых синтезах олигорибонуклеотидов.



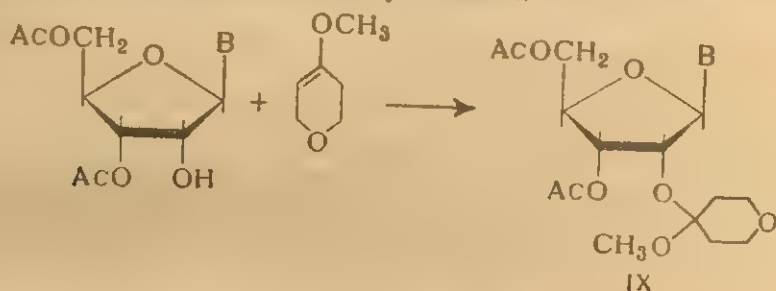
B — остаток основания

Взаимодействие с дигидропираном было использовано для получения 2'-О-тетрагидропиранильных производных 5'-О-ацетилнуклеозид-3'-фосфатов¹³⁵ и 3',5'-ди-О-ацетилнуклеозидов²²; из незащищенных нуклеозидмонофосфатов образуются соответствующие ди-О-тетрагидропиранильные производные^{136, 137}. Реакцию проводят обычно в растворе диоксана, диметилформамида или диметилсульфоксида; в качестве катализатора используют хлористый водород, *n*-толуолсульфокислоту или трифторуксусную кислоту.

Тетрагидропиранильная группа может быть отщеплена действием разбавленной уксусной кислоты, сульфокислотных катионитов в пиридине или аммониевой форме¹³⁵ или 0,01 н. соляной кислоты²²; изомеризация фосфодиэфирной связи в олигонуклеотидах при использовании последнего реагента незначительна.

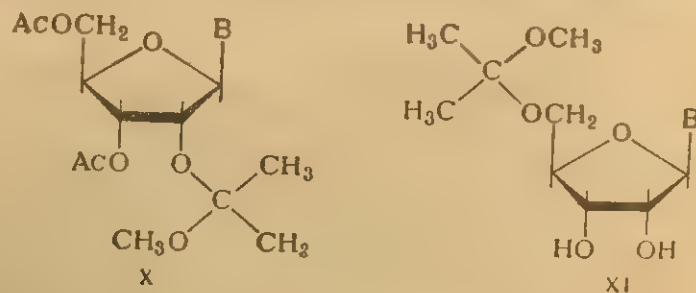
Очень легко вступают в реакцию с нуклеозидами и нуклеотидами виниловые эфиры — производные ацетальдегида^{138, 139}. Образующиеся 2'-О-(α -алкокси)-этилпроизводные расщепляются в более мягких условиях, чем тетрагидропиранильные эфиры; они с успехом используются при синтезе олигонуклеотидов. Реакция дигидропирана и винилэтилового эфира с динуклеозидфосфатами также протекает гладко и не сопровождается расщеплением или изомеризацией фосфодиэфирной связи^{16, 41}.

Недавно было предложено использовать для блокирования гидроксильных групп в нуклеозидах 4-метокси-5,6-дигидропиран^{140, 195}; образующиеся производные типа IX могут быть расщеплены в чрезвычайно мягких условиях.



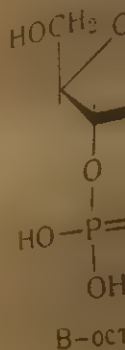
В-остаток основания

При взаимодействии 3',5'-ди-О-ацетилуридина с 2-метоксипропаном образуется смешанный кеталь X¹⁴⁰; аналогично реагирует 1-метилциклогексен. Образующиеся кетали чрезвычайно лабильны в кислой среде: период полупревращения при гидролизе при pH 4,0 и 20°С составляет соответственно 4 и 10 мин. Подобные соединения могут быть получены и реакцией транскетализации: при обработке уридина 2,2-диметоксипропаном и ди-*n*-нитрофенилфосфатом избирательно образуется 5'-О-(α -метоксизопропил)-уридин XI¹⁴¹.



В-остаток урацила

Аналогичные
в присутствии
фосфата первично
приблизительно



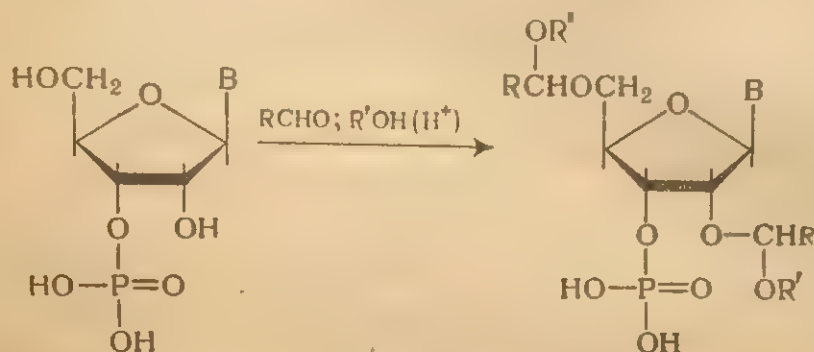
Описано взаи
феном¹⁴³; полу
расщепляется в



V. РЕАКЦИИ Г
УГЛЕВОДНЫХ
СОЕДИНЕНИЙ

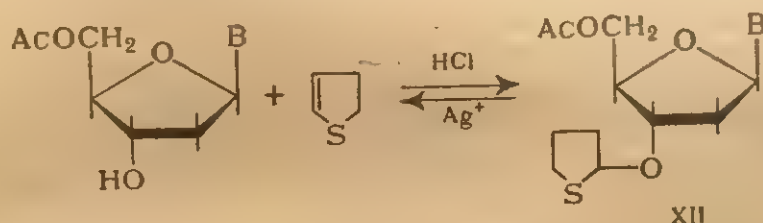
Рибонуклеози
группировку, пр
ствии кислотных
ацетали или ке
ляется образова
при реакции с
обычно применя
ную или хлорну
однако, пр

Аналогичные смешанные ацетали возникают при взаимодействии нуклеозидов и нуклеотидов со смесью альдегида и спирта в присутствии трифторуксусной кислоты¹⁴². В случае уридин-3'-фосфата первичная и вторичная гидроксильные группы реагируют приблизительно с одинаковой скоростью.



B—остаток урацила; R и R'—алкильные радикалы

Описано взаимодействие 5'-О-ацетилтимидина с 2,3-дигидротиофеном¹⁴³; получающийся полуацеталь-полутиацеталь XII легко расщепляется в нейтральной среде при действии ионов серебра:

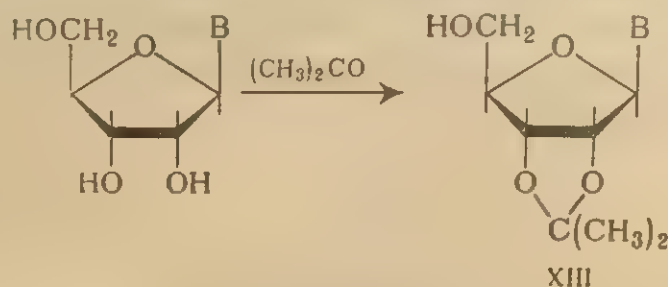


B—остаток тимина

V. РЕАКЦИИ ГИДРОКСИЛЬНЫХ ГРУПП УГЛЕВОДНЫХ ОСТАТКОВ С КАРБОНИЛЬНЫМИ СОЕДИНЕНИЯМИ И ИХ ПРОИЗВОДНЫМИ

Рибонуклеозиды, содержащие незамещенную *цис*-гликольную группировку, при реакции с альдегидами и кетонами в присутствии кислотных катализаторов образуют пятичленные циклические ацетали или кетали. Классическим примером такой реакции является образование 2',3'-О-изопропилиденовых производных XIII при реакции с ацетоном^{83, 144–148}; в качестве катализаторов здесь обычно применяют хлористый водород, *n*-толуолсульфокислоту, серную или хлорную кислоту. Наилучшие результаты достигаются, однако, при использовании в качестве катализатора ди-*n*-нитрофе-

нилфосфата ¹⁴⁹ и добавлении в качестве водоотнимающего средства кетала ацетона ¹⁴⁹ или ортомуравьиного эфира ¹⁵⁰.

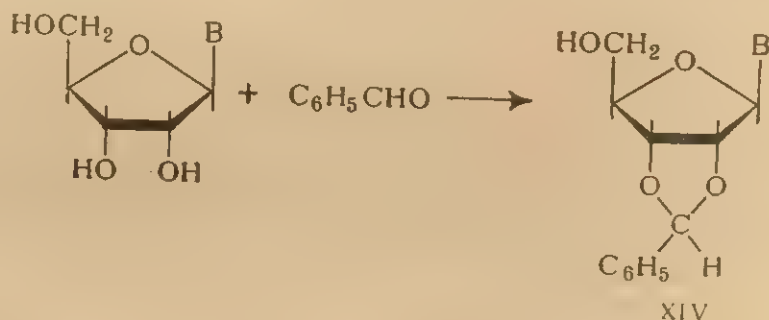


В-остаток основания

Реакция распространена на широкий круг кетонов различного строения. Образующиеся кетали расщепляются при мягком кислотном гидролизе; скорость их распада зависит от структуры исходного кетона (рН 2 и 26° С) ^{150, 151}:

2', 3'-О-Заместитель	Время полупревращения при гидролизе, ч
Циклооктилиден	2,5
Циклогептилиден	3
Циклопентилиден	4
Метил-трет-бутилметилен	20
Изопропилиден	20
Диэтилметилен	40
Дифенилметилен	> 40

Аналогично протекает взаимодействие нуклеозидов с альдегидами ^{152, 153} (хотя первоначально продукту реакции с бензальдегидом ^{146, 154, 155} была приписана структура 3',5'-О-бензилиденового производного):



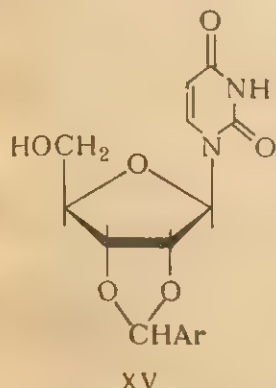
В-остаток основания

Для проведения реакции был предложен целый ряд кислотных катализаторов; в настоящее время чаще всего используют трифторуксусную кислоту. В зависимости от условий реакции можно выделить оба диастереомерных 2',3'-О-бензилиденнуклеозиды XIV¹⁵⁶. Циклические ацетали нуклеозидов легко расщепляются в слабокислой среде; скорость гидролиза увеличивается при введении в ароматическое ядро заместителей с электронодонорными свойствами (табл. 9.4) ^{30, 153}.

Специфичность взаимодействия альдегидов и кетонов с *цис*-гликольной группировкой рибонуклеотидов и легкость расщепления образующихся продуктов позволяют широко использовать эту реакцию для избирательной защиты гидроксильных групп. Она гладко протекает также с нуклеотидами и олигонуклеотидами.

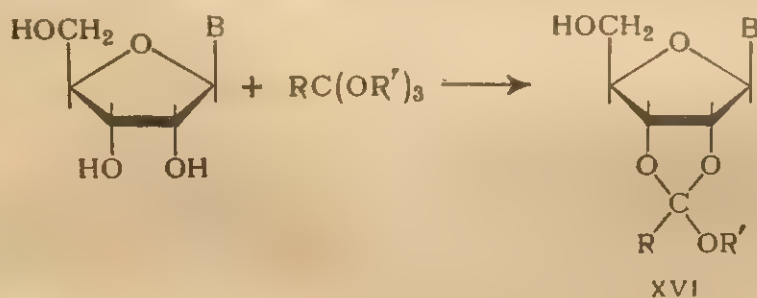
Таблица 9.4. Гидролиз 2',3'-О-арилиденуридинов XV в 80%-ной уксусной кислоте при 25 °C³⁰

Ar	Время, ч	Степень превращения, %
<i>n</i> -Хлорфенил-	72	10
Фенил-	20	20
<i>n</i> -Метоксифенил-	10	100
<i>n</i> -Диметиламинофенил-	1	50
2,4-Диметоксифенил-	0,08	60



Примечание. В данных условиях 2',3'-О-изопропилиденуридин за 20 ч расщепляется на 20%.

Обработка рибонуклеозидов ортоэфирами в присутствии кислоты приводит к циклическим ортоэфирам типа XVI^{139, 157-159}:



B-остаток основания; R = H, CH₃; R' = CH₃, C₂H₅

Под действием разбавленной кислоты они легко превращаются в смесь 2'(3')-моноацилрибонуклеозидов (см. стр. 515), последующая щелочная обработка приводит к регенерации *цис*-гликольной группировки.

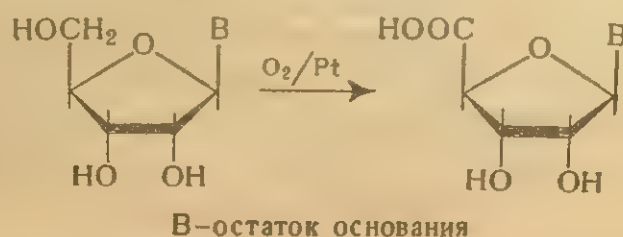
При взаимодействии рибонуклеозидов с тетраметилортокарбонатом были получены 2',3'-О-диметоксиметилиденнуклеозиды¹⁹⁶, превращающиеся в кислой среде в 2',3'-О-карбонаты нуклеозидов.

VI. ОКИСЛЕНИЕ УГЛЕВОДНЫХ ОСТАТКОВ

1. Окисление изолированной гидроксильной группы

При обработке слабощелочных растворов нуклеозидов кислородом в присутствии платинового катализатора происходит избирательное окисление первичной гидроксильной группы^{160, 161} с

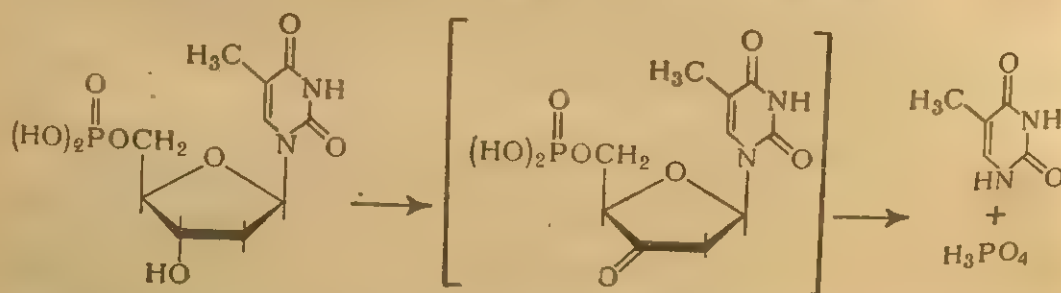
образованием производных уроновых кислот:



Аналогичному превращению подвергаются тимидин-3'-фосфат и тимидилил-(3'→5')-тимидин; в этом случае требуются существенно более жесткие условия, однако выходы продуктов реакции достаточно высоки¹⁶⁰. Описано окисление первичной спиртовой группы в тимидилил-(3'→5')-тимидине под действием перекиси водорода в присутствии дезактивированного платинового катализатора¹⁶².

Обработка дезоксинуклеозидов хромовым ангидридом в пиридине также приводит к производным уроновых кислот¹⁶³. Окисление, по-видимому, частично проходит и по вторичной гидроксильной группе при С-3', но соответствующие кетоны нестабильны и крайне легко разлагаются с выделением гетероциклического основания. Присутствие оснований в реакционной смеси было обнаружено как при реакции с нуклеозидами, так и при окислении дезоксцитидин-5'-фосфата и тимидин-5'-фосфата.

Единственными продуктами, которые удается идентифицировать после взаимодействия тимидин-5'-фосфата с дициклогексилкарбодиимидом в диметилсульфоксиде¹⁶⁴, являются неорганический фосфат и тимин. Этот результат объясняют окислением 3'-гидроксильной группы под действием диметилсульфоксида¹⁶⁵ и последующим расщеплением 3'-кетотимидин-5'-фосфата



2'-Кетоуридин и 3'-кетоуридин удалось получить при обработке 3',5'- или 2',5'-ди-О-тритуридинов смесями диметилсульфоксид-дициклогексилкарбодиимид, диметилсульфоксид — пятиокись фос-

VI ОКИСТ
фра ил
щим де
TrOC

Эти с
Так, 3'-к
урацил.
Окисл
ствием д
нуклеозид

Проду
оксинукле
расщепле
реакция
довательн
цу. Еще л
содержащ
случае ок
на одно э
окисления

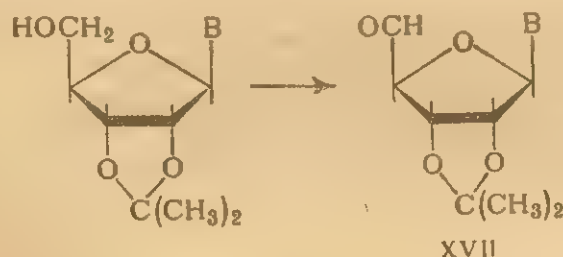
2. Оки
цис-Гл
зид-5'-фос
лоты¹⁶⁸ с

фора или диметилсульфоксид — уксусный ангидрид с последующим детритилированием¹⁶⁶:



Эти соединения весьма неустойчивы в слабощелочной среде. Так, 3'-кетонуклеид при pH 10,8 практически мгновенно выделяет урацил.

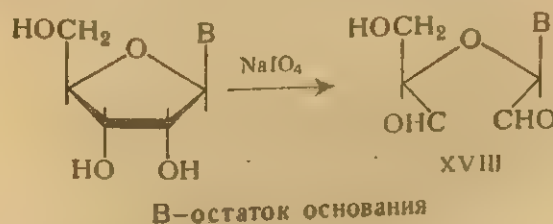
Окисление 2',3'-О-защищенных производных уридина под действием диметилсульфоксида гладко приводит к соответствующим нуклеозид-5'-альдегидам XVII¹⁶⁴:



Продукты окисления первичной спиртовой группы в олигодезоксинуклеотидах достаточно легко претерпевают β-элиминацию с расщеплением фосфодиэфирной связи^{160, 162} (см. стр. 66); эта реакция была предложена для определения нуклеотидной последовательности в дезоксиолигонуклеотидах, примыкающей к 3'-концу. Еще легче протекает расщепление в олигодезоксинуклеотидах, содержащих на 5'-конце цепи остаток 3'-кетонуклеозида. В этом случае образование основания и олигонуклеотида, содержащего на одно звено меньше, чем исходный, происходит уже в процессе окисления¹⁶⁷.

2. Окисление *цис*-гликольной группировки в рибопроизводных

цис-Гликольная группировка в рибонуклеозидах и рибонуклеозид-5'-фосфатах легко окисляется под действием солей подной кислоты¹⁶⁸ с образованием диальдегидов типа XVIII:

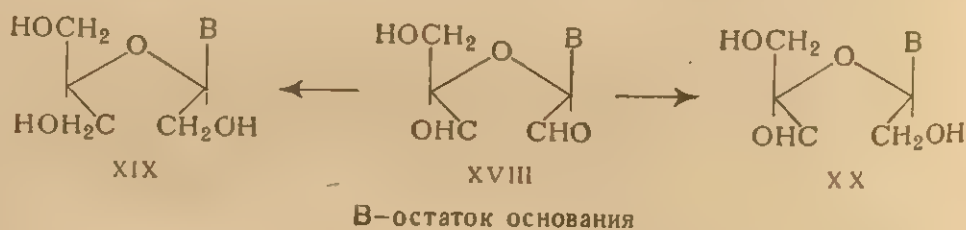


В разбавленных водных растворах при pH, близких к нейтральному, это окисление высокоспецифично для гликольных групп; при трех-пятикратном избытке периодата натрия окисление рибонуклеозидов протекает количественно приблизительно за 30 мин при комнатной температуре или за 1 ч при 0° С.

Анализ продуктов периодатного окисления широко используется для установления строения олиго- и полисахаридов, а также различных производных моносахаридов. Этот подход был использован, в частности, и при выяснении строения мономерных компонентов нуклеиновых кислот. Таким путем была получена информация о размерах окисного цикла углеводного остатка в нуклеозидах^{168, 169}, месте связи этого остатка и пуринового основания в нуклеозидах¹⁷⁰, конфигурации у гликозидного центра рибозы¹⁷¹ и о положении фосфатной группы в нуклеотидах, образующихся при расщеплении РНК¹⁶⁸.

Продукты окисления нуклеозидов — диальдегиды типа XVIII — существуют в водных растворах, по-видимому, в виде гидратов. Хотя для производных нуклеозидов определенных данных по этому поводу не имеется, в ряду простых производных моносахаридов на основании УФ-спектров и полярографии был сделан вывод об отсутствии свободной альдегидной группы в продукте реакции. Тем не менее химические превращения продуктов периодатного окисления удается хорошо объяснить исходя из диальдегидной структуры.

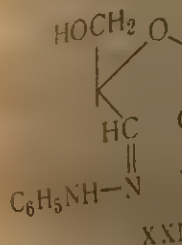
При восстановлении продуктов окисления нуклеозидов действием боргидрида натрия в слабощелочной^{169, 172} или нейтральной¹⁷³ среде гладко образуются соответствующие триолы XIX; восстановление в слабокислой среде дает альдегиддиолы типа XX¹⁷².



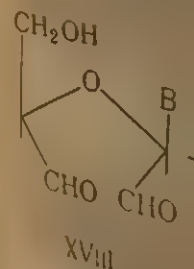
При мягком кислотном гидролизе триолов XIX были получены гетероциклические основания, глицерин и гликолевый альдегид¹⁷².

Диальдегиды XVIII легко взаимодействуют с производными гидразина, обычными реагентами на альдегидные группы, причем структура продуктов реакции зависит от применяемого реагента и экспериментальных условий. Так, реакция с фенилгидразином в слабощелочной среде приводит к бис-фенилгидразону XXI¹⁷², в

VI ОКИСЛЕНИЕ
10 время ка
продукт при
димо. струк
реакции с т
видимому, а
Чрезвычай
зидов взаимо
лученного из
соединение X



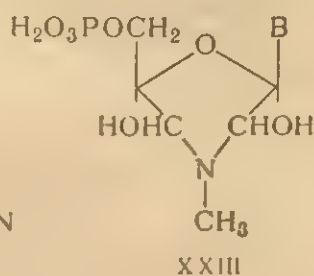
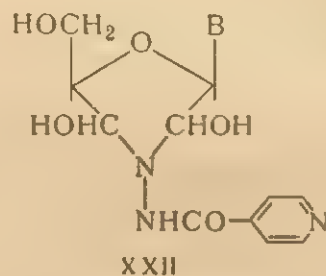
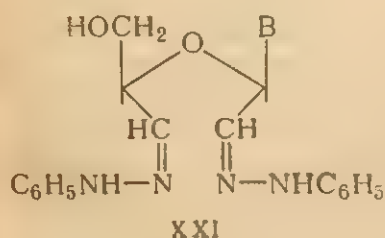
Наконец,
денсации, пр
связи. Так, о
шее к нукле



Весьма х
ления нукле
ность к легк
ходит разры
гл. 10) с отл

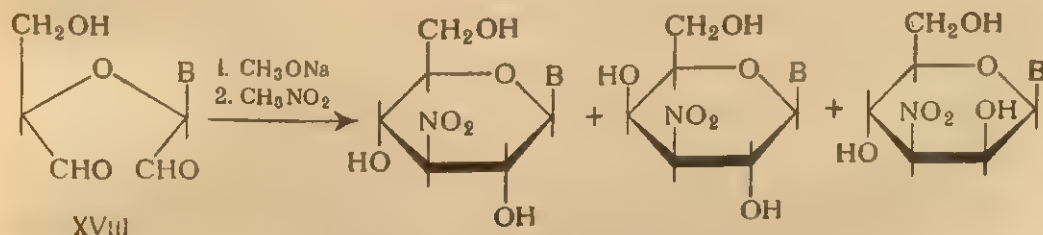
то время как с гидразидом изоникотиновой кислоты образуется продукт присоединения одной молекулы реагента, имеющий, видимо, структуру XXII¹⁷⁴. Аналогичный продукт возникает и при реакции с тиосемикарбазидом¹⁷⁵, но семикарбазид реагирует, по-видимому, аналогично фенилгидразину¹⁷⁶.

Чрезвычайно легко продукты периодатного окисления нуклеозидов взаимодействуют с аминами. При реакции диальдегида, полученного из аденозин-5'-фосфата, с метиламином было выделено соединение XXIII¹⁷⁷.



В-остаток основания

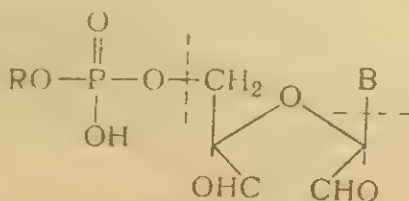
Наконец, диальдегиды XVIII могут вступать и в реакции конденсации, приводящие к образованию новой углерод-углеродной связи. Так, описано их взаимодействие с нитрометаном, приводящее к нуклеозидам, производным 3'-нитро-3'-дезоксигексоз¹⁷⁸⁻¹⁸⁰:



В-остаток основания

Весьма характерным свойством продуктов периодатного окисления нуклеозид-5'-фосфатов и их производных является способность к легкому расщеплению в щелочной среде. При этом происходит разрыв фосфомоноэфирной или фосфодиефирной связи (см. гл. 10) с отщеплением неорганического фосфата или фосфомоно-

эфира, а также разрыв N-гликозидной связи с выделением гетероциклического основания.



B—остаток основания;

R—атом водорода или различные радикалы

Эффективными катализаторами такого расщепления служат первичные амины; промежуточными продуктами в этом случае являются, очевидно, соединения типа XXIII, которые легко расщепляются при $pH < 6$. Аналогичный продукт конденсации с гидразидом (XXII) устойчив в интервале $pH 4-8$ ¹⁷⁸.

Фенилгидразоны XXI при обработке избытком фенилгидразина в уксусной кислоте легко расщепляются с выделением гетероциклических оснований¹⁷². Расщепление N-гликозидной связи в диальдегидах существенно облегчается в присутствии избытка периодата в реакционной смеси¹⁸¹; возможно, что это связано с «перекислением» — гидроксилированием промежуточного продукта по C-1'. Подобного рода реакции хорошо известны при периодатном окислении производных углеводов в жестких условиях.

Обработка периодатом олиго- или полирибонуклеотидов приводит к окислению *цис*-гликольной группировки 3'-концевого нуклеозидного звена. Превращение протекает несколько медленнее, чем в случае мономерных нуклеозидов. В интервале $pH 5-9$ при комнатной температуре реакция полностью специфична. При повышении температуры могут наблюдаться побочные процессы — расщепление звеньев псевдоуридина и гетероциклических ядер других нуклеозидных звеньев (см. гл. 11), однако в обычно используемых условиях ($pH 5-9$, комнатная температура) протекания этих побочных реакций в сколько-нибудь заметной степени не наблюдается.

Периодатное окисление олиго- и полинуклеотидов широко применяется для анализа и разделения смесей олиго- и полинуклеотидов.

Большое внимание было уделено применению периодатного окисления для выделения индивидуальных тРНК (обзор — см.¹⁸²). Смесь тРНК подвергают ферментативному аминокислотированию и обрабатывают затем периодатом; при этом разрушаются концевые гликольные группировки всех тРНК, не этерифицированные остатком аминокислоты. Продукты их окисления отделяют от аминокислот-тРНК с помощью рассмотренных выше реакций с аминами или гидрозидами кислот. Для этой цели предложена адсорбция

- ЛИТЕРАТУРА
1. Кочетков О. С.
 2. Микельстр. 12.
 3. Garg H.
 4. Michels

* Образовательного опре-

тРНК, содержащих концевой остаток диальдегида, на аминоэтил-целлюлозе¹⁸³ или взаимодействии^{184, 185} их с гидразидом 2-оксинафталин-3-карбоновой кислоты, за которым следует азосочетание продукта реакции с диазотированным о-дианизидином и отделение полученного красителя с помощью ионообменной хроматографии*. Наиболее удобным является, по-видимому, использование для адсорбции продуктов окисления гидразида полнакриловой кислоты, заключенного в агаровый гель¹⁸⁶. С помощью этого метода в сочетании с другими методами фракционирования удалось получить высокоочищенные препараты валиновой тРНК из дрожжей¹⁸⁷⁻¹⁸⁹.

Аналогичный принцип может быть использован для отделения олигонуклеотидов, содержащих 3'-концевую последовательность нуклеотидов с незамещенной *цис*-гликольной группировкой, от других продуктов, образующихся при расщеплении РНК под действием рибонуклеаз^{190, 191}.

Периодатное окисление РНК с последующей модификацией образующихся диальдегидов под действием меченых реагентов может быть использовано, кроме того, для определения 3'-концевых групп полимера¹⁷³⁻¹⁷⁶ (см. стр. 47). Наиболее удобным для этой цели является применение гидразида ¹⁴C-изоникотиновой кислоты с высокой удельной активностью¹⁷⁴ или бортритада натрия NaBT₄¹⁷³.

Окисление 3'-концевого нуклеозидного звена РНК и последующее расщепление прилегающей к нему фосфодиэфирной связи с выделением гетероциклического основания могут быть использованы для ступенчатого укорачивания цепи олиго- или полинуклеотидов (см. стр. 65). С помощью этого метода для ряда вирусных РНК удалось установить нуклеотидные последовательности, прилегающие к 3'-концу молекулы (см. стр. 81).

Наконец, выполнен ряд исследований по изучению влияния окисления периодатом на функциональные свойства полирибонуклеотидов^{175, 176, 192}. В частности, найдено, что фенилаланиловая тРНК из дрожжей после окисления периодатом и последующего восстановления NaBH₄ сохраняет способность акцептировать аминокислоты¹⁹³.

ЛИТЕРАТУРА

1. Кочетков Н. К., Бочков А. Ф., Дмитриев Б. А., Усов А. И., Чижов О. С., Шибаев В. Н., Химия углеводов, Изд. «Химия», 1967, стр. 132.
2. Микельсон А., Химия нуклеозидов и нуклеотидов, Изд. «Мир», 1966, стр. 12.
3. Garg H. G., J. Sci. Ind. Res., 25, 404 (1966).
4. Michelson A. M., J. Chem. Soc., 1962, 979.

* Образование аналогичного красителя положено в основу метода количественного определения тРНК¹⁹⁷.

5. Bredereck H., Martini A., Chem. Ber., **80**, 401 (1947).
6. Andersen W., Hayes D. H., Michelson A. M., Todd A. R., J. Chem. Soc., 1954, 1882.
7. Hayes D. H., Michelson A. M., Todd A. R., J. Chem. Soc., 1955, 808.
8. Weygand F., Sigmund W., Chem. Ber., **86**, 160 (1953).
9. Fox J. J., Wempen I., Hampton A., Doerr I. L., J. Am. Chem. Soc., **80**, 1669 (1958).
10. Schaller H., Weimann G., Lerch B., Khorana H. G., J. Am. Chem. Soc., **85**, 3821 (1963).
11. Levene P. A., Tipson R. S., J. Biol. Chem., **101**, 529 (1933).
12. Fox J. J., Van Praag D., Wempen I., Doerr I. L., Cheong L., Knoll J. E., Eidinoff M. L., Bendich A., Brown G. B., J. Am. Chem. Soc., **81**, 178 (1959).
13. Michelson A. M., Todd A. R., J. Chem. Soc., 1955, 816.
14. Beltz R., Visser D. W., J. Am. Chem. Soc., **77**, 736 (1955).
15. Sasaki T., Mizuno Y., Chem. Pharm. Bull., **15**, 894 (1967).
16. Brimacombe R., Kemper W., Yaonini T., Smrt J., Coll. Czech. Chem. Comm., **33**, 2074 (1968).
17. Saneyoshi M., Chem. Pharm. Bull., **16**, 1400 (1968).
18. Stuart A., Khorana H. G., J. Am. Chem. Soc., **85**, 2346 (1963); J. Biol. Chem., **239**, 3885 (1964).
19. Lapidot Y., Khorana H. G., J. Am. Chem. Soc., **85**, 3852 (1963).
20. Lapidot Y., Khorana H. G., J. Am. Chem. Soc., **85**, 3857 (1963).
21. Lohrmann R., Khorana H. G., J. Am. Chem. Soc., **86**, 4188 (1964).
22. Griffin B. E., Jarman M., Reese C. B., Tetrahedron, **24**, 639 (1968).
23. Johnston G. A. R., Tetrahedron, **24**, 6987 (1968).
24. Reese C. B., Trentham D. R. Tetrahedron Letters, 1965, 2467.
25. Griffin B. E., Jarman M., Reese C. B., Sulston J. E., Trentham D. R., Biochemistry, **5**, 3638 (1966).
26. Brown D. M., Fasman G. D., Magrath D. I., Todd A. R., J. Chem. Soc., 1954, 1448.
27. Fromageot H. P. M., Griffin B. E., Reese C. B., Sulston J. E., Tetrahedron, **23**, 2315 (1967).
28. Fromageot H. P. M., Reese C. B., Sulston J. E., Tetrahedron, **24**, 3533 (1968).
29. Гринева Н. И., Зарытова В. Ф., Кнорре Д. Г., Изв. Сиб. отд. АН СССР, сер. хим., № 5, 118 (1968).
30. Cramer F., Bär H. P., Rhaese H. J., Sängner W., Scheit K. H., Schneider G., Tennigkeit J., Tetrahedron Letters, 1963, 1039.
31. Zemlička J., Beranek J., Smrt J., Coll. Czech. Chem. Comm., **27**, 2784 (1962).
32. Kresze G., Lodemann E., Wacker A., Z. Naturforsch., **22b**, 285 (1967).
33. Reese C. B., Stewart J. C. M., Tetrahedron Letters, 1968, 4273.
34. Letsinger R. L., Caruthers M. H., Miller P. S., Ogilvie K. K., J. Am. Chem. Soc., **89**, 7146 (1967).
35. Letsinger R. L., Ogilvie K. K., J. Org. Chem., **32**, 296 (1967).
36. Ogilvie K. K., Letsinger R. L., J. Org. Chem., **32**, 2365 (1967).
37. Windholz T. B., Johnston D. B. R., Tetrahedron Letters, 1967, 2555.
38. Cook A. F., J. Org. Chem., **33**, 3589 (1968).
39. Hampton A., Nichol A. W., J. Org. Chem., **31**, 3402 (1966).
40. Hampton A., Nichol A. W., Biochemistry, **5**, 2076 (1966).
41. Smrt J., Tetrahedron Letters, 1967, 3133.
42. Smrt J., Coll. Czech. Chem. Comm., **33**, 1462 (1968).
43. Кнорре Д. Г., Пустошилова Н. М., Теплова Н. М., Шамо-
вский Г. Г., Биохимия, **30**, 1218 (1965).

ЛИТЕРАТУРА

44. Кнорре Д. Г., Пустошилова Н. М., Теплова Н. М., Шамо-
вский Г. Г., Биохимия, **30**, 1218 (1965).

45. Кнорре Д. Г., Пустошилова Н. М., Теплова Н. М., Шамо-
вский Г. Г., Биохимия, **30**, 1218 (1965).

46. Кнорре Д. Г., Пустошилова Н. М., Теплова Н. М., Шамо-
вский Г. Г., Биохимия, **30**, 1218 (1965).

47. Кнорре Д. Г., Пустошилова Н. М., Теплова Н. М., Шамо-
вский Г. Г., Биохимия, **30**, 1218 (1965).

48. Кнорре Д. Г., Пустошилова Н. М., Теплова Н. М., Шамо-
вский Г. Г., Биохимия, **30**, 1218 (1965).

49. Кнорре Д. Г., Пустошилова Н. М., Теплова Н. М., Шамо-
вский Г. Г., Биохимия, **30**, 1218 (1965).

50. Кнорре Д. Г., Пустошилова Н. М., Теплова Н. М., Шамо-
вский Г. Г., Биохимия, **30**, 1218 (1965).

51. Кнорре Д. Г., Пустошилова Н. М., Теплова Н. М., Шамо-
вский Г. Г., Биохимия, **30**, 1218 (1965).

52. Кнорре Д. Г., Пустошилова Н. М., Теплова Н. М., Шамо-
вский Г. Г., Биохимия, **30**, 1218 (1965).

53. Кнорре Д. Г., Пустошилова Н. М., Теплова Н. М., Шамо-
вский Г. Г., Биохимия, **30**, 1218 (1965).

54. Кнорре Д. Г., Пустошилова Н. М., Теплова Н. М., Шамо-
вский Г. Г., Биохимия, **30**, 1218 (1965).

55. Кнорре Д. Г., Пустошилова Н. М., Теплова Н. М., Шамо-
вский Г. Г., Биохимия, **30**, 1218 (1965).

56. Кнорре Д. Г., Пустошилова Н. М., Теплова Н. М., Шамо-
вский Г. Г., Биохимия, **30**, 1218 (1965).

57. Кнорре Д. Г., Пустошилова Н. М., Теплова Н. М., Шамо-
вский Г. Г., Биохимия, **30**, 1218 (1965).

58. Кнорре Д. Г., Пустошилова Н. М., Теплова Н. М., Шамо-
вский Г. Г., Биохимия, **30**, 1218 (1965).

59. Кнорре Д. Г., Пустошилова Н. М., Теплова Н. М., Шамо-
вский Г. Г., Биохимия, **30**, 1218 (1965).

60. Кнорре Д. Г., Пустошилова Н. М., Теплова Н. М., Шамо-
вский Г. Г., Биохимия, **30**, 1218 (1965).

61. Кнорре Д. Г., Пустошилова Н. М., Теплова Н. М., Шамо-
вский Г. Г., Биохимия, **30**, 1218 (1965).

62. Кнорре Д. Г., Пустошилова Н. М., Теплова Н. М., Шамо-
вский Г. Г., Биохимия, **30**, 1218 (1965).

63. Кнорре Д. Г., Пустошилова Н. М., Теплова Н. М., Шамо-
вский Г. Г., Биохимия, **30**, 1218 (1965).

64. Кнорре Д. Г., Пустошилова Н. М., Теплова Н. М., Шамо-
вский Г. Г., Биохимия, **30**, 1218 (1965).

65. Кнорре Д. Г., Пустошилова Н. М., Теплова Н. М., Шамо-
вский Г. Г., Биохимия, **30**, 1218 (1965).

66. Кнорре Д. Г., Пустошилова Н. М., Теплова Н. М., Шамо-
вский Г. Г., Биохимия, **30**, 1218 (1965).

67. Кнорре Д. Г., Пустошилова Н. М., Теплова Н. М., Шамо-
вский Г. Г., Биохимия, **30**, 1218 (1965).

68. Кнорре Д. Г., Пустошилова Н. М., Теплова Н. М., Шамо-
вский Г. Г., Биохимия, **30**, 1218 (1965).

69. Кнорре Д. Г., Пустошилова Н. М., Теплова Н. М., Шамо-
вский Г. Г., Биохимия, **30**, 1218 (1965).

70. Кнорре Д. Г., Пустошилова Н. М., Теплова Н. М., Шамо-
вский Г. Г., Биохимия, **30**, 1218 (1965).

71. Кнорре Д. Г., Пустошилова Н. М., Теплова Н. М., Шамо-
вский Г. Г., Биохимия, **30**, 1218 (1965).

72. Кнорре Д. Г., Пустошилова Н. М., Теплова Н. М., Шамо-
вский Г. Г., Биохимия, **30**, 1218 (1965).

72a. Кнорре Д. Г., Пустошилова Н. М., Теплова Н. М., Шамо-
вский Г. Г., Биохимия, **30**, 1218 (1965).

73. Кнорре Д. Г., Пустошилова Н. М., Теплова Н. М., Шамо-
вский Г. Г., Биохимия, **30**, 1218 (1965).

74. Кнорре Д. Г., Пустошилова Н. М., Теплова Н. М., Шамо-
вский Г. Г., Биохимия, **30**, 1218 (1965).

75. Кнорре Д. Г., Пустошилова Н. М., Теплова Н. М., Шамо-
вский Г. Г., Биохимия, **30**, 1218 (1965).

76. Кнорре Д. Г., Пустошилова Н. М., Теплова Н. М., Шамо-
вский Г. Г., Биохимия, **30**, 1218 (1965).

77. Кнорре Д. Г., Пустошилова Н. М., Теплова Н. М., Шамо-
вский Г. Г., Биохимия, **30**, 1218 (1965).

78. Кнорре Д. Г., Пустошилова Н. М., Теплова Н. М., Шамо-
вский Г. Г., Биохимия, **30**, 1218 (1965).

79. Кнорре Д. Г., Пустошилова Н. М., Теплова Н. М., Шамо-
вский Г. Г., Биохимия, **30**, 1218 (1965).

80. Кнорре Д. Г., Пустошилова Н. М., Теплова Н. М., Шамо-
вский Г. Г., Биохимия, **30**, 1218 (1965).

81. Кнорре Д. Г., Пустошилова Н. М., Теплова Н. М., Шамо-
вский Г. Г., Биохимия, **30**, 1218 (1965).

82. Кнорре Д. Г., Пустошилова Н. М., Теплова Н. М., Шамо-
вский Г. Г., Биохимия, **30**, 1218 (1965).

44. Кнорре Д. Г., Малышева А. Н., Пустошилова Н. М., Севастьянов А. П., Шамовский Г. Г., Биохимия, 31, 1181 (1966).
45. Кнорре Д. Г., Шамовский Г. Г., Мол. биол., 2, 37 (1968).
46. Кнорре Д. Г., Пустошилова Н. М., Севастьянов А. П., Биохимия, 33, 56 (1968).
47. Кнорре Д. Г., Сиротюк В. И., Стефанович Л. Е., Мол. биол., 1, 837 (1967).
48. Кнорре Д. Г., Пустошилова Н. М., Теплова Н. М., Биохимия, 31, 666 (1966).
49. Zachau H. G., Feldmann H., Progr. Nucl. Acid Res., 4, 217 (1965).
50. Wieland T., Jaenicke F., Merz H., Ossorio M., Ann., 613, 95 (1958).
51. Wieland T., Merz H., Pfeleiderer G., Chem. Ber., 93, 1816 (1960).
52. Zachau H. G., Kaгаи W., Chem. Ber., 93, 1830 (1960).
53. Дрейман Э. Я., Дмитриева В. А., Камзолова С. Г., Шабарова З. А., Прокофьев М. А., ЖОХ, 31, 3899 (1961).
54. Соколова Н. И., Баканова В. А., Шабарова З. А., Прокофьева М. А., ЖОХ, 33, 2408 (1963).
55. Шабарова З. А., Смирнов В. Д., Прокофьев М. А., Биохимия, 29, 502 (1964).
56. Rammner D. H., Khorana H. G., J. Am. Chem. Soc., 85, 1997 (1963).
57. Слуцкий О. И., Готтих Б. П., Биохимия, 30, 1032 (1965).
58. Пурыгин П. П., Краевский А. А., Готтих Б. П., Изв. АН СССР, сер. хим., 1968, 378.
59. Тарусова Н. Б., Краевский А. А., Пурыгин П. П., Цилевич Т. Л., Готтих Б. П., Изв. АН СССР, сер. хим. (в печати).
60. Готтих Б. П., Краевский А. А., Киселев Л. Л., Фролова Л. Ю., Мол. биол., 1, 767 (1967).
61. Готтих Б. П., Краевский А. А., Цилевич Т. Л., Рудзите Л. Н., Изв. АН СССР, сер. хим. (в печати).
62. Zemlička J., Chládek S., Coll. Czech. Chem. Comm., 31, 3775 (1966).
63. Chládek S., Zemlička J., Coll. Czech. Chem. Comm., 32, 1776 (1967).
64. Chládek S., Zemlička J., Coll. Czech. Chem. Comm., 33, 232 (1968).
65. Wolfenden R., Biochemistry, 2, 1090 (1963).
66. Zachau H. G., Chem. Ber., 93, 1822 (1960).
67. Coles N., Bukenberger M. W., Meister A., Biochemistry, 1, 317 (1962).
68. Ishida T., Miura K. I., J. Mol. Biol., 11, 341 (1965).
69. Frank W., Zachau H. G., Z. physiol. Chem., 331, 258 (1963).
70. Sonnenbichler J., Feldmann H., Zachau H. G., Z. physiol. Chem., 334, 283 (1963); 341, 249 (1965).
71. Wolfenden R., Rammner D. H., Lipmann F., Biochemistry, 3, 329 (1964).
72. Clark V. M., Hutchinson D. W., Kirby J. A., Warren S. G., Angew. Chem., 76, 704 (1964).
- 72a. Браун Д. М., в кн. «Успехи органической химии», т. 3, Изд. «Мир», 1966, стр. 79.
73. Ueda T., Fox J. J., Adv. Carbohydr. Chem., 22, 307 (1967).
74. Smrt J., Sorm F., Coll. Czech. Chem. Comm., 28, 2415 (1963).
75. Smrt J., Sorm F., Coll. Czech. Chem. Comm., 28, 2434 (1963).
76. Duffield A. M., Nussbaum A. L., J. Am. Chem. Soc., 86, 111 (1964).
77. Söll D., Khorana H. G., J. Am. Chem. Soc., 87, 350 (1965).
78. Michelson A. M., Biochim. Biophys. Acta, 114, 460 (1966).
79. Holý A., Smrt J., Coll. Czech. Chem. Comm., 31, 1528 (1966).
80. Holý A., Pischel H., Coll. Czech. Chem. Comm., 32, 3719 (1967).
81. Griffin B. E., Reese C. B., Tetrahedron, 24, 2537 (1968).
82. Levene P. A., Tipson R. S., J. Biol. Chem., 105, 419 (1934).

83. Levene P. A., Tipson R. S., *J. Biol. Chem.*, **121**, 131 (1937).
84. Benz E., Elmore N. F., Goodman L., *J. Org. Chem.*, **26**, 1557 (1961).
85. Reist E. J., Hart P. A., Goodman L., Baker B. R., *J. Org. Chem.*, **26**, 1557 (1961).
86. Horwitz J. P., Chua J., Noell M., Donatti J. T., *J. Org. Chem.*, **32**, 817 (1967).
87. Brown D. M., Todd A. R., Varadarajan S., *J. Chem. Soc.*, **1956**, 2388.
88. Todd A. R., Ulbricht T. L. V., *J. Chem. Soc.*, **1960**, 3275.
89. Codington J. F., Fecher R., Fox J. J., *J. Am. Chem. Soc.*, **82**, 2794 (1960).
90. Michelson A. M., *J. Chem. Soc.*, **1959**, 1371.
91. Letsinger R. L., Fontaine J., Mahadevan V., Schexhayder D. A., Leone R. E., *J. Org. Chem.*, **29**, 2615 (1964).
92. Grams G. W., Letsinger R. L., *J. Org. Chem.*, **33**, 2589 (1968).
93. Ikehara M., Ohtsuka E., *Chem. Pharm. Bull.*, **12**, 145 (1964).
94. Юркевич А. М., Колодкина И. И., Преображенский Н. А., *ДАН СССР*, **164**, 828 (1965).
95. Юркевич А. М., Варшавская Л. С., Колодкина И. И., Преображенский Н. А., *ЖОХ*, **37**, 2002 (1967).
96. Юркевич А. М., Колодкина И. И., Евдокимова Г. С., Бажакина Е. Т., Преображенский Н. А., в сб. «Химия органических соединений фосфора», Изд. «Наука», 1967, стр. 215.
97. Колодкина И. И., Варшавская Л. С., Юркевич А. М., Преображенский Н. А., *ЖОХ*, **37**, 1996 (1967).
98. Sasaki Y., Hashizume T., *Anal. Biochem.*, **16**, 1 (1966).
99. Hashizume T., Sasaki Y., *Anal. Biochem.*, **15**, 199 (1966).
100. Hancock R. L., Goleman D. L., *Anal. Biochem.*, **10**, 365 (1965).
101. Hancock R. L., *J. Gas. Chrom.*, **4**, 363 (1966).
102. Gehrke C. W., Stalling D. L., Ruyle C. D., *Biochem. Biophys. Res. Comm.*, **28**, 819 (1967).
103. McCloskey J., Lawson A. M., Tsuboyama K., Krueger P. M., Stilwell R. N., *J. Am. Chem. Soc.*, **90**, 4182 (1968).
104. Hunt D. F., Hignite C. E., Biemann K., *Biochem. Biophys. Res. Comm.*, **33**, 378 (1968).
105. Шер В., Шугар Д., *Биохимия*, **26**, 840 (1961).
106. Broom A. D., Robins R. K., *J. Am. Chem. Soc.*, **87**, 1145 (1965).
107. Khwaja T. A., Robins R. K., *J. Am. Chem. Soc.*, **88**, 3640 (1966).
108. Martin D. M. G., Reese C. B., Stephenson G. F., *Biochemistry*, **7**, 1406 (1968).
109. Gin J. B., Dekker C. A., *Biochemistry*, **7**, 1413 (1968).
110. Levene P. A., Tipson R. S., *J. Biol. Chem.*, **94**, 809 (1932); **97**, 491 (1932); **101**, 529 (1933).
111. Brown D. M., Magrath D. J., Todd A. R., *J. Chem. Soc.*, **1954**, 1442.
112. Anderson A. S., Barker G. R., Gulland M. J., Lock M. V., *J. Chem. Soc.*, **1952**, 369.
113. Fukuhara Y., Kobayashi K., Kahai Y., Honjo M., *Chem. Pharm. Bull.*, **13**, 1273 (1965).
114. Michelson A. M., Todd A. R., *J. Chem. Soc.*, **1956**, 3459.
115. Griffin B. E., Reese C. B., Stephenson G. F., Trentham D. R., *Tetrahedron Letters*, **1966**, 4349.
116. Reese C. B., Trentham D. R., *Tetrahedron Letters*, **1965**, 2459.
117. Kikugawa K., Sato F., Tsuruo T., Imura N., Ukita T., *Chem. Pharm. Bull.*, **16**, 1110 (1968).
118. Imura N., Tsuruo T., Ukita T., *Chem. Pharm. Bull.*, **16**, 1105 (1968).
119. Brederick H., *Ber.*, **66**, 198 (1933); *Z. physiol. Chem.*, **223**, 61 (1934).
120. Levene P. A., Tipson R. S., *J. Biol. Chem.*, **104**, 385 (1934).

121. Levene P. A., Tipson R. S., *J. Biol. Chem.*, **109**, 623 (1935).
122. Michelson A. M., Todd A. R., *J. Chem. Soc.*, 1953, 951.
123. Michelson A. M., Todd A. R., *J. Chem. Soc.*, 1954, 34.
124. Horwitz J. P., Urbanski I. A., Chua J., *J. Org. Chem.*, **27**, 3300 (1962).
125. Codington J. F., Doerr I. L., Fox J. J., *J. Org. Chem.*, **29**, 588 (1964).
126. Yung N. C., Fox J. J., *J. Am. Chem. Soc.*, **83**, 3060 (1961).
127. Zemlička J., *Coll. Czech. Chem. Comm.*, **29**, 1734 (1964).
128. Blank H. U., Pfeleiderer W., *Tetrahedron Letters*, 1967, 869.
129. Codington J. F., Fox J. J., *Carbohydrate Res.*, **3**, 124 (1966).
130. Smith M., Rammler D. H., Goldberg I. H., Khorana H. G., *J. Am. Chem. Soc.*, **84**, 430 (1962).
131. Rammler D. H., Lapidot Y., Khorana H. G., *J. Am. Chem. Soc.*, **85**, 1989 (1963).
132. Ohtsuka E., Khorana H. G., *J. Am. Chem. Soc.*, **89**, 2195 (1967).
133. Lohrmann R., Söll D., Hayatsu H., Ohtsuka E., Khorana H. G., *J. Am. Chem. Soc.*, **88**, 819 (1966).
134. Smith M., Khorana H. G., *J. Am. Chem. Soc.*, **81**, 2911 (1959).
135. Smrt J., Sorm F., *Coll. Czech. Chem. Comm.*, **27**, 73 (1962).
136. Rammler D. H., Khorana H. G., *J. Am. Chem. Soc.*, **84**, 3112 (1962).
137. Straus D. B., *J. Am. Chem. Soc.*, **87**, 1735 (1965).
138. Женодарова С. М., Седелъникова Э. А., *Изв. АН СССР, сер. хим.*, 1964, 1344.
139. Chládek S., Zemlička J., Sorm F., *Coll. Czech. Chem. Comm.*, **31**, 1785 (1966).
140. Reese C. B., Saffhill R., Sulston J. E., *J. Am. Chem. Soc.*, **89**, 3366 (1967).
141. Hampton A., *J. Am. Chem. Soc.*, **87**, 4654 (1965).
142. Седелъникова Э. А., Женодарова С. М., *ЖОХ*, **38**, 2234, 2239 (1968).
143. Cohen L. A., Steele J. A., *J. Org. Chem.*, **31**, 2333 (1966).
144. Levene P. A., Tipson R. S., *J. Biol. Chem.*, **106**, 113 (1934).
145. Baddiley J., Todd A. R., *J. Chem. Soc.*, 1947, 648.
146. Michelson A. M., Todd A. R., *J. Chem. Soc.*, 1949, 2476.
147. Chambers R. W., Moffatt I. G., Khorana H. G., *J. Am. Chem. Soc.*, **79**, 3747 (1957).
148. Chambers R. W., Shapiro R., Kurkov V., *J. Am. Chem. Soc.*, **82**, 970 (1960).
149. Hampton A., *J. Am. Chem. Soc.*, **83**, 3640 (1961).
150. Chládek S., Smrt J., *Coll. Czech. Chem. Comm.*, **28**, 1301 (1963).
151. Hampton A., Frattantoni J. C., Carroll P. M., *J. Am. Chem. Soc.*, **87**, 5481 (1965).
152. Brown D. M., Haynes L. J., Todd A. R., *J. Chem. Soc.*, 1950, 408, 2399.
153. Cramer F., Sanger W., Scheit K. H., Tennigkeit J., *Ann.*, **679**, 156 (1964).
154. Gulland J. M., Smith H., *J. Chem. Soc.*, 1947, 338.
155. Gulland J. M., Smith H., *J. Chem. Soc.*, 1948, 527.
156. Bagget N., Foster A. B., Webber J. W., Lipkin D., Phillips B. E., *Chem. a. Ind.*, 1965, 136.
157. Zemlička J., Chládek S., Holy A., Smrt J., *Coll. Czech. Chem. Comm.*, **31**, 3198 (1966).
158. Eckstein F., Cramer F., *Chem. Ber.*, **98**, 995 (1965).
159. Griffin B. E., Jahrman M., *Tetrahedron*, **23**, 2301 (1967).
160. Moss G. P., Reese C. B., Schofield K., Shapiro R. S., Todd A. R., *J. Chem. Soc.*, 1963, 1149.
161. Iwai K., Honjo M., *Chem. Pharm. Bull.*, **13**, 7 (1965).
162. Vizsolyi J. P., Tener G. M., *Chem. a. Ind.*, 1962, 263

163. Jones A. S., Williamson A. R., Winkley M., Carbohydrate Res., 1, 187 (1965).
164. Pfitzner K. E., Moffatt J. G., J. Am. Chem. Soc., 85, 3027 (1963).
165. Pfitzner K. E., Moffatt J. G., J. Am. Chem. Soc., 87, 5661, 5670 (1965).
166. Cook A. F., Moffatt J. G., J. Am. Chem. Soc., 89, 2696 (1967).
167. Gabriel T., Chen W. Y., Nussbaum A. L., J. Am. Chem. Soc., 90, 6833 (1968).
168. Lythgoe B., Todd A. R., J. Chem. Soc., 1944, 592.
169. Viscontini M., Hoch D., Karrer P., Helv. Chim. Acta, 38, 642 (1955).
170. Lythgoe B., Smith H., Todd A. R., J. Chem. Soc., 1947, 355.
171. Davoll J., Lythgoe B., Todd A. R., J. Chem. Soc., 1946, 883.
172. Khym J. X., Cohn W. E., J. Am. Chem. Soc., 82, 6380 (1960).
173. Rajbhandary U. L., J. Biol. Chem., 243, 556 (1968).
174. Hunt J. A., Biochem. J., 95, 441 (1965); Midgley J. E. M., Biochim. Biophys. Acta, 108, 340 (1965).
175. Dulbecco R., Smith J. D., Biochim. Biophys. Acta, 39, 358 (1960).
176. Steinschneider A., Fraenkel-Conrat H., Biochemistry, 5, 2729 (1966).
177. Khym J. X., Biochemistry, 2, 344 (1963).
178. Watanabe K. A., Beranek J., Friedman H. A., Fox J. J., J. Org. Chem., 30, 2735 (1965).
179. Beranek J., Friedman H. A., Watanabe K. A., Fox J. J., J. Heterocyclic Chem., 2, 188 (1965).
180. Lichtenthaler F. M., Albrecht H. P., Chem. Ber., 99, 575 (1966).
181. Neu H. C., Heppel L. A., J. Biol. Chem., 239, 2927 (1964).
182. Stephenson M. L., Zamecnik P. C., in «Methods in Enzymology», v. 12, part A, Moldave K., Grossman L. (eds), Acad. Press., N. Y. — L., 1967, p. 670.
183. Zubay G., J. Mol. Biol., 4, 347 (1962).
184. Zamecnik P. C., Stephen M. L., Scott J. F., Proc. Nat. Acad. Sci. US, 46, 811 (1960).
185. Stephenson M. L., Zamecnik P. C., Proc. Nat. Acad. Sci. US, 47, 1627 (1961).
186. Кнорре Д. Г., Мызина С. Д., Сандахчиев Л. С., Изв. Сиб. отд. АН СССР, сер. хим., № 11, 135 (1964).
187. Фролова Л. Ю., Сандахчиев Л. С., Кнорре Д. Г., Киселев Л. Л., ДАН СССР, 158, 235 (1964).
188. Мирзабеков А. Д., Крутилина А. И., Решетов П. Д., Сандахчиев Л. С., Кнорре Д. Г., Хохлов А. С., Баев А. А., ДАН СССР, 160, 1200 (1965).
189. Грачев М. И., Мензорова Н. И., Сандахчиев Л. С., Будовский Э. И., Кнорре Д. Г., Биохимия, 31, 840 (1966).
190. Habermann V., Maidlova E., Cerny R., Coll. Czech. Chem. Comm., 31, 149 (1966).
191. Lee J. S., Gilham P. T., J. Am. Chem. Soc., 88, 5685 (1966).
192. Michelson A. M., Grunberg-Manago M., Biochim. Biophys. Acta, 91, 92 (1964).
193. Cramer F., Haar F., Schlimme E., FEBS Letters, 2, 136 (1968).
194. Sachev H. S., Starkovsky N. A., Tetrahedron Letters, 1969, 733.
195. Griffin B. E., Reese C. B., Tetrahedron, 25, 4057 (1969).
196. Niaz G. R., Reese C. B., Chem. Comm., 1969, 552.
197. Russev G., Anal. Biochem., 27, 244 (1969).

РАСЩЕПЛЕНИЕ ФОСФОЭФИРНЫХ СВЯЗЕЙ И НЕКОТОРЫЕ ДРУГИЕ РЕАКЦИИ ФОСФАТНЫХ ГРУПП НУКЛЕИНОВЫХ КИСЛОТ И ИХ КОМПОНЕНТОВ

1. ВВЕДЕНИЕ

Реакции, приводящие к расщеплению фосфоэфирных (в особенности фосфодиэфирных) связей, занимают особое место в ряду других химических превращений нуклеиновых кислот и их компонентов. Они являются основой аналитических методов, используемых для определения состава и строения нуклеиновых кислот. Хотя в настоящее время химические методы гидролиза фосфоэфирных связей в значительной степени уступили место ферментативным, позволяющим проводить такое расщепление в более мягких условиях и более специфично, тем не менее возможности химических способов гидролиза еще далеко не исчерпаны.

Расщепление фосфодиэфирных связей, особенно в ряду полирибонуклеотидов, может происходить под действием разнообразных реагентов в широком интервале значений pH (в том числе и близких к нейтральному) и при различных температурах. Поэтому знание границ устойчивости фосфодиэфирных связей при работе с биологически активными нуклеиновыми кислотами и полинуклеотидами особенно важно.

Известны два основных типа реакций, приводящих к расщеплению фосфоэфирных связей. Они могут разрываться в результате расщепления связи P—O при межмолекулярной или внутримолекулярной нуклеофильной атаке атома фосфора. К этому типу относятся реакции гидролиза фосфомоноэфирных связей в мононуклеотидах и фосфодиэфирных связей в нуклеозидциклофосфатах и полирибонуклеотидах, катализируемые кислотами, щелочами и другими основаниями, а также соединениями тяжелых металлов. Расщепление фосфоэфирных связей может происходить также вследствие разрыва связи C—O в фосфомоно- и фосфодиэфирах, имеющих в углеводном остатке карбонильную группу в β -положении по отношению к фосфоэфирной связи. По такому механизму проходит кислотный гидролиз ДНК, расщепление под действием первичных аминов апуриновых и апиримидиновых ДНК, дезурацильных РНК, а также 3'-концевых нуклеотидных остатков в РНК

после периодатного окисления и аналогичные реакции в ряду производных ДНК.

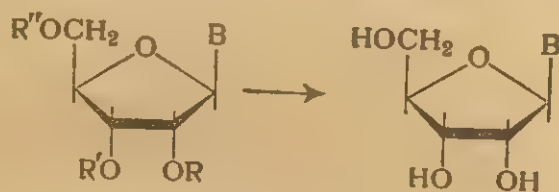
Помимо перечисленных реакций в этой главе будут рассмотрены также реакции, приводящие к алкилированию фосфатных групп, и некоторые реакции концевых фосфатных групп полинуклеотидов. Реакции пирофосфатов и других нуклеотидангидридов в этой главе не рассматриваются (см. ¹).

II. РЕАКЦИИ С РАЗРЫВОМ СВЯЗЕЙ Р—О

1. Гидролиз фосфомоноэфирных связей в рибонуклеотидах и расщепление РНК до нуклеозидов

Реакции гидролиза фосфомоноэфирных связей, хорошо изученные для разнообразных моноэфиров фосфорной кислоты, в том числе и природных *, в ряду производных нуклеиновых кислот исследованы относительно мало. Это связано прежде всего с тем, что существуют хорошо разработанные методы ферментативного дефосфорилирования мононуклеотидов и концевых нуклеотидных звеньев в олиго- и полинуклеотидах, в то время как химические методы расщепления фосфомоноэфирных связей в рассматриваемых соединениях далеки от совершенства.

Общим методом химического гидролиза рибонуклеозидмонофосфатов до рибонуклеозидов является обработка при pH 4 (обычно в аммонийформнатном буфере) и высокой температуре (100°С и выше) ^{4, 5}. Такие условия, как было показано для простых алкилфосфатов, являются оптимальными для расщепления фосфомоноэфирных связей ^{2, 3, 6-8}:



В — остаток основания
R, R' и R'' — атомы водорода или PO₃H₂

Поскольку оптимум pH реакции гидролиза фосфомоноэфиров совпадает с оптимумом pH существования этих соединений в форме моноаниона, предполагают, что механизм реакции заключается в перераспределении электронов в таком моноанионе (чисто внутримолекулярном или с участием молекулы воды), приводящем в итоге к расщеплению связи Р—О ^{2, 3, 6}. Роль нуклеофильного реа-

* Обзоры — см. ^{2, 3}.

II. РЕАКЦИИ
ОН-групп



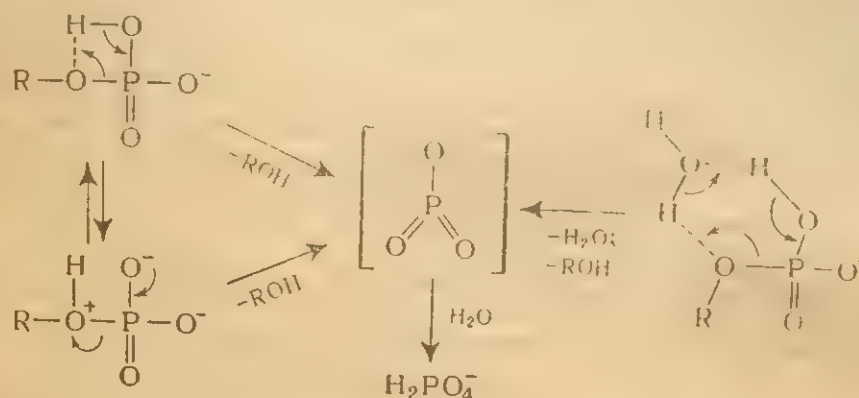
Изучение
форилирова
скорости от
от положен
(табл. 10.1).

Таблица 10.1. М
растворе форми

Адензин-2'-фос
Аденозин-3'-фос
Аденозин-2',5'-ди
Аденозин-3',5'-ди
Аденозин-2',3',5'

Природа о
ноэфирной св
(табл. 10.2).
Нагревани
значениях pH
щеплению фос
лишь пиримид
(причем цитид
пуриновых нук
гидролиз N-гли

гента, атакующего атом фосфора, играет недиссоциированная OH-группа:



R—различные органические радикалы

Изучение гидролиза фосфомоноэфирных связей в ряду фосфорилированных производных аденозина при pH 4 показало, что скорости отщепления фосфатных групп сравнительно мало зависят от положения и числа фосфатных групп в остатке рибозы (табл. 10.1).

Таблица 10.1. Гидролиз аденозинфосфатов до нуклеозидов в 0,4 M растворе формиата аммония (pH 4, 100 °C, 4 ч)¹

Исходное соединение	Степень гидролиза до аденозина, %	Относительная скорость гидролиза в пересчете на одну отщепляющуюся фосфатную группу
Аденозин-2'-фосфат	52	1
Аденозин-3'-фосфат	46	0,89
Аденозин-2',5'-дифосфат	18	0,62
Аденозин-3',5'-дифосфат	23,5	0,91
Аденозин-2',3',5'-трифосфат	21,5	1,2

Природа основания влияет на скорость расщепления фосфомоноэфирной связи, по-видимому, в несколько большей степени (табл. 10.2).

Нагревание моонуклеотидов в водных растворах при низких значениях pH (меньших или равном 1) также приводит к расщеплению фосфомоноэфирных связей^{10, 11}. Однако в этих условиях лишь пиримидиновые нуклеотиды расщепляются до нуклеозидов (причем цитидин в значительной степени дезаминируется); для пуриновых нуклеотидов со значительно большей скоростью идет гидролиз N-гликозидных связей (см. гл. 8). Из пуриновых 2'(3')-

нуклеотидов при этом образуются рибозо-2'(3')-фосфаты, сравнительно быстро отщепляющие фосфатную группу, вероятно, по механизму β -элиминации (см. стр. 573), а из пуриновых 5'-нуклеотидов — соответственно рибозо-5'-фосфат, гидролизующийся значительно медленнее. С этими факторами, по-видимому, связаны большие различия в скоростях гидролиза фосфомоноэфирных связей: 2'(3')-моонуклеотиды гидролизуются быстрее, чем 5'-моонуклеотиды, а пуриновые нуклеотиды — быстрее, чем пиримидиновые (табл. 10.3).

Таблица 10.2. Гидролиз рибонуклеозид-5'-фосфатов до нуклеозидов при кипячении в аммоний-форминатном буфере⁵

Исходное соединение	pH	Время, ч	Выход нуклеозидов, %
Аденозин-5'-фосфат	5,0—5,5	40	80
Гуанозин-5'-фосфат	4,0	60	83
Уридин-5'-фосфат	4,0	120	88
Цитидин-5'-фосфат	5,0—5,5	70	54 *

* Низкий выход цитидина связан с его частичным дезаминированием до уридина⁹.

Гидролиз фосфоэфирных связей в нуклеозид-2'(3')-фосфатах протекает также под действием солей и гидроокисей тория¹², циркония¹², редкоземельных элементов^{13, 14} и свинца¹⁵. Например, при нагревании при 100° С в течение 20 мин с гидроокисью лантана уридин-2'(3')- и цитидин-2'(3')-фосфаты почти количественно превращаются в соответствующие нуклеозиды¹³. Скорость этой реакции очень сильно зависит от температуры. При 65° С и pH 7 полное дефосфорилирование нуклеотидов под действием гидроокисей лантана, церия и лютеция идет более 100 ч¹⁴.

Таблица 10.3. Гидролиз рибонуклеотидов в 0,1 н. HCl при 105° С¹⁰

Исходное соединение	Время полупревращения, мин	$k_1 \cdot 10^3$, мин	Исходное соединение	Время полупревращения, мин	$k_1 \cdot 10^3$, мин
Уридин-2'(3')-фосфат	720	0,4	Уридин-5'-фосфат	3590	0,085
Цитидин-2'(3')-фосфат	600	0,5	Аденозин-5'-фосфат	1050	0,26
Аденозин-2'(3')-фосфат	60	5,0	Гуанозин-5'-фосфат	1050	0,26
Гуанозин-2'(3')-фосфат	180	1,6			

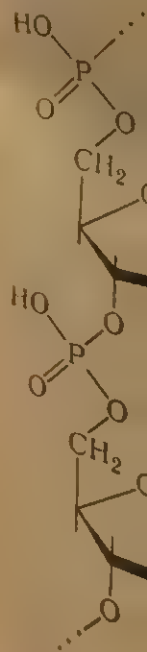
В присутствии солей тория и циркония при 37° С нуклеозид-2'(3')-фосфаты отщепляют неорганический фосфат как в кислой

(pH 3,6), та
лись в это
(табл. 10.4)

Ионы дву
2'(3')-фосфа
Катализ

нениями тяж
ностью связ
фильность а
наличие в ос
фоэфирной с
вином ионов
гидроксильн
фатной груп
форилирован

В молеку
только в кон
рые позволи
группы в Р
стоящее вре
ментативные
расщеплятьс
типа первой
зей с образ
которой сле
связей:

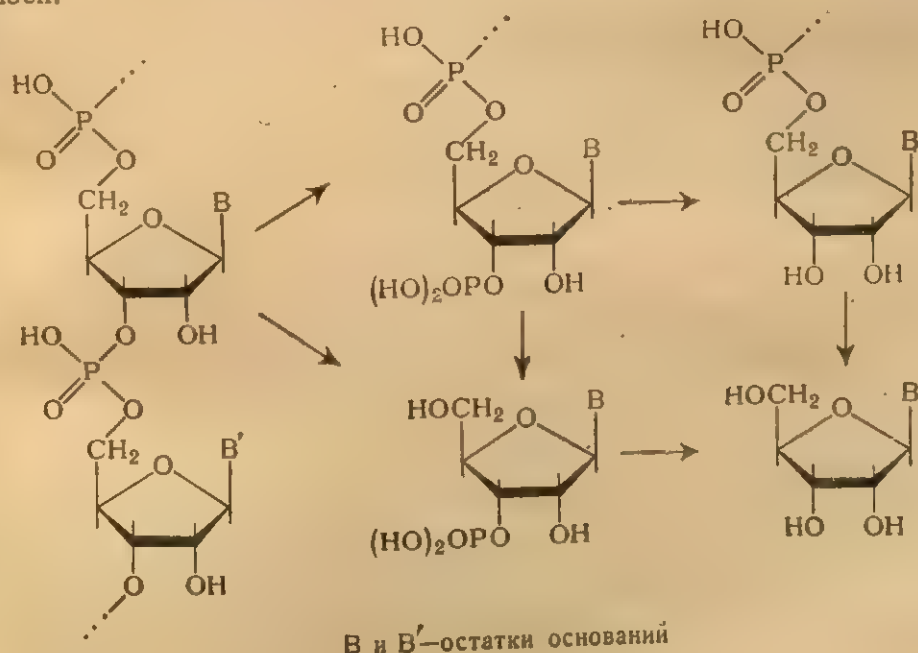


(рН 3,6), так и в щелочной (рН 8,3) среде¹². Соли тория оказались в этом отношении значительно активнее солей циркония (табл. 10.4).

Ионы двухвалентного свинца дефосфорилируют рибонуклеозид-2'(3')-фосфаты за 2—4 ч при рН 6 и 100 °С¹⁵.

Катализ реакции гидролиза фосфомоноэфирных связей соединениями тяжелых металлов объясняется, по-видимому, их способностью связываться с фосфатными группами, повышая электрофильность атома фосфора¹⁵. Для протекания реакции необходимо наличие в остатке сахара гидроксильной группы, соседней с фосфоэфирной связью, поскольку дезоксирибонуклеотиды под действием ионов металла не дефосфорилируются¹². Принимает ли эта гидроксильная группа участие в связывании ионов металла с фосфатной группой или в какой-либо другой стадии реакции дефосфорилирования, в настоящее время неизвестно.

В молекуле полинуклеотида фосфомоноэфирные связи имеются только в концевых 3'- или 5'-звеньях. Химические реакции, которые позволили бы избирательно удалять концевые фосфатные группы в РНК без расщепления фосфодиэфирных связей, в настоящее время неизвестны, и для этих целей применяются ферментативные методы. Под действием ряда реагентов РНК могут расщепляться с образованием нуклеозидов. Во всех реакциях этого типа первой стадией является расщепление фосфодиэфирных связей с образованием моно- и олигонуклеотидов (см. стр. 553 сл.), за которой следует гидролиз образовавшихся фосфомоноэфирных связей:

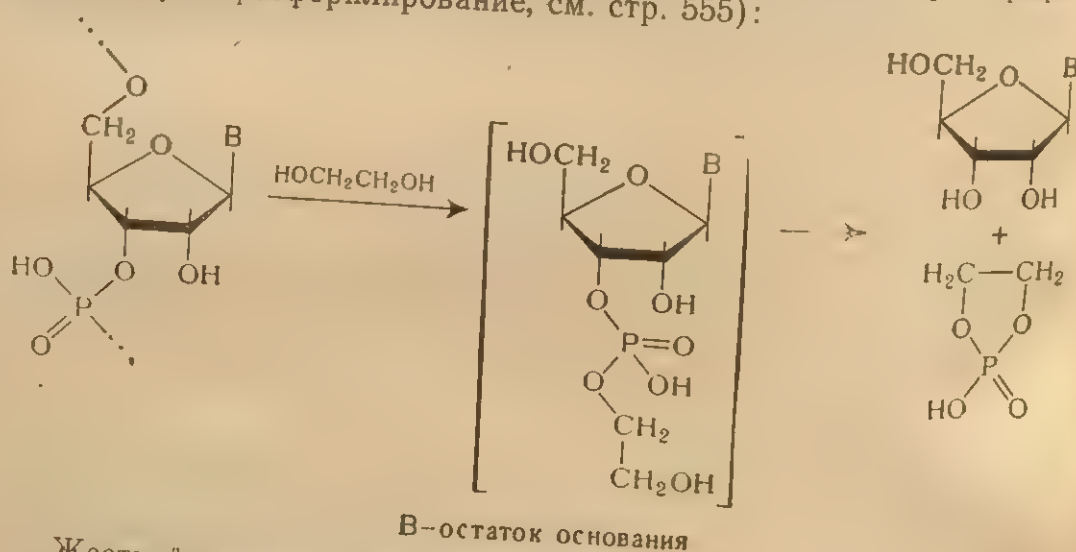


Реакция гидролиза РНК до нуклеозидов широко использовалась для изучения нуклеотидного состава РНК¹⁶⁻¹⁹. Одним из первых методов такого гидролиза¹⁷ было нагревание РНК с раствором аммиака при 175—180 °С. В дальнейшем для повышения выхода нуклеозидов были использованы более мягкие условия гидролиза¹⁸. Для получения нуклеозидов применялось также длительное (110 ч) кипячение растворов РНК в 50%-ном водном пиридине¹⁹. Все эти реакции сопровождаются значительным дезаминированием цитидина²⁰.

Таблица 10.4. Гидролиз нуклеозид-2'(3')-фосфатов под действием солей тория и циркония ($5 \cdot 10^{-2}$ М) при 37° С за 24 ч¹²

Исходное соединение	Степень отщепления неорганического фосфата, %			
	под действием солей Th ^{IV}		под действием солей Zr ^{IV}	
	при pH 8,3	при pH 3,6	при pH 8,3	при pH 3,6
Аденозин-2'(3')-фосфат . .	79,2	77,4	22,5	13,7
Цитидин-2'(3')-фосфат . .	54,9	76,1	11,3	16,1
Гуанозин-2'(3')-фосфат . .	34,5	64,5	6,5	8,0
Уридин-2'(3')-фосфат . . .	40,3	68,6	18,6	17,0

Нуклеозиды образуются при нагревании РНК при 100° С в течение 4 ч в безводном этиленгликоле, содержащем 10% пиперидина²⁰. Гидролиз протекает, вероятно, по механизму перэтерификации (трансфосфорилирование, см. стр. 555):



Жесткий кислотный гидролиз РНК долгое время являлся основным методом получения пиримидиновых рибонуклеозидов¹⁶ (производные пуринов в этих условиях гидролизуются до оснований, см. гл. 8). Для этих целей применяли, например, нагревание РНК с 10%-ной серной кислотой при 130 °С²¹ или с 0,1—1 н. соляной

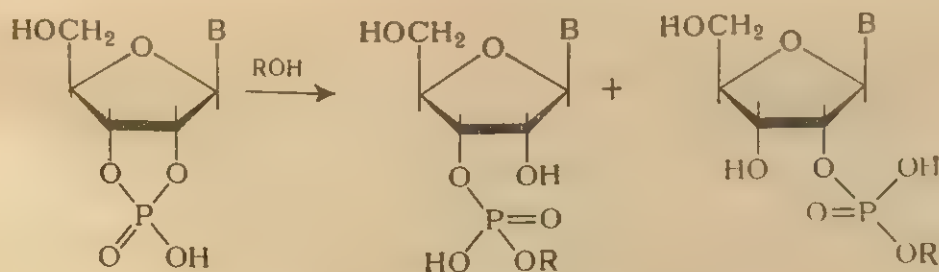
кислотой при 100 °C в течение 24—48 ч^{18, 22}. В настоящее время кислотный гидролиз РНК до нуклеозидов не применяется, так как при этом происходит значительное дезаминирование цитидина²².

РНК также может расщепляться до нуклеозидов при pH 4 в условиях, оптимальных для гидролиза фосфомоноэфирных связей. Так, при нагревании РНК в 8 М растворе формиата аммония (pH 4, 140 °C, 5 ч)⁹ или в 50%-ном водном формамиде (130 °C, 10 ч)^{9, 23}, превращающемся в этих условиях в формиат аммония, с высоким выходом образуются аденозин, гуанозин и уридин. Цитидин, однако, в указанных условиях дезаминируется более чем на 50%⁹. Данный метод был предложен для препаративного получения нуклеозидов из РНК²³.

Соли и гидроокиси ряда тяжелых металлов катализируют расщепление РНК до нуклеозидов (см. стр. 568). С наибольшей скоростью эта реакция протекает при кипячении РНК с гидроокисью свинца (pH 8, 3 ч)¹⁵ и гидроокисью висмута (pH 4, 4—6 ч)¹⁵. Менее активны гидроокиси редкоземельных металлов La^{III}, Ce^{III}, Lu^{III}^{14, 15, 24}, а также циркония и тория¹² (см. табл. 10.10).

2. Гидролиз фосфоэфирных связей в рибонуклеозидциклофосфатах

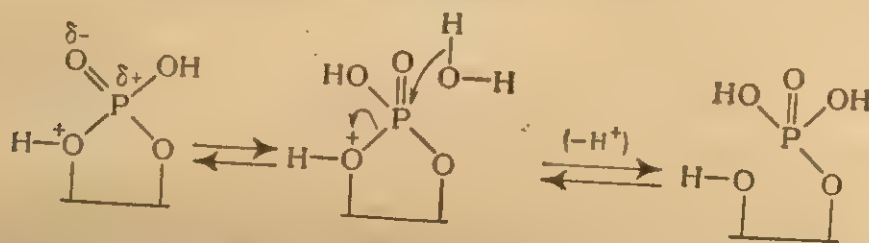
Рибонуклеозид-2',3'-циклофосфаты. Рибонуклеозид-2',3'-циклофосфаты* являются промежуточными продуктами гидролиза РНК и полирибонуклеотидов под действием рибонуклеаз^{27, 28}, при химическом гидролизе РНК, катализируемом кислотами и основаниями²⁸ (стр. 553 сл.) и при изомеризации (взаимопревращении) рибонуклеозид-2'- и рибонуклеозид-3'-фосфатов²⁹ (см. стр. 563). Фосфодиэфирная связь в рибонуклеозид-2',3'-циклофосфатах расщепляется в щелочной и кислой средах. При этом образуется смесь рибонуклеозид-2'- и -3'-фосфатов, если реакция проводится в воде, или соответствующих моноалкилфосфатов, если средой являются безводные спирты:



B—остаток основания; R= H или Alk

* О методах синтеза рибонуклеозидциклофосфатов см. ^{25, 26}.

Скорости этих реакций чрезвычайно велики по сравнению со скоростями аналогичных превращений нециклических фосфодиэфиров, например диалкилфосфатов, гидролиз и сольволиз которых идет в 10^6 — 10^7 раз медленнее^{2,3}. Эти различия объясняют особенностями строения пятичленных циклофосфатов^{2,3}. Гидролиз рибонуклеозид-2',3'-циклофосфатов особенно быстро идет в кислой среде. Исследования кинетики гидролиза этих соединений³⁰, а также циклофосфатов ряда *цис*-гликолей^{2,3} привели к заключению^{2,3,30}, что расщеплению фосфодиэфирной связи подвергается недиссоциированная и протонированная (вероятно, по одному из кислородов фосфатного цикла) форма циклофосфата*. В такой форме атом фосфора обладает частичным положительным зарядом, повышающим его электрофильность, и способен подвергаться атаке слабыми нуклеофильными реагентами — молекулой воды или спирта; протонирование по атому кислорода облегчает разрыв связи P—O.



Реакция обратима, хотя обратный процесс идет со значительно меньшей скоростью³⁰. На кинетику кислотного гидролиза рибонуклеозид-2',3'-циклофосфатов оказывает влияние природа основания ($k_1 = k_0[H^+]^2$, где k_1 — наблюдаемая константа скорости кислотного гидролиза при 30° C)³⁰.

Исходное соединение	$[H^+]$, моль/л	k_0 , сек ⁻¹ ·моль ⁻²
Уридин-2',3'-циклофосфат . .	0,010—0,040	0,28
Цитидин-2',3'-циклофосфат . .	0,040—0,100	0,17
Аденозин-2',3'-циклофосфат . .	0,050—0,100	0,06

Среди пиримидиновых производных с наибольшей скоростью расщепляется уридин-2',3'-циклофосфат; пиримидиновые циклофосфаты гидролизуются быстрее, чем производные аденозина.

Причины различий в скоростях гидролиза пуриновых и пиримидиновых циклофосфатов не вполне ясны. В работе³⁰ рассмотрены две возможные причины этого эффекта — участие в переходном состоянии атома кислорода при С-2 пиримидинового ядра, ускоряющее реакцию, и влияние положительного заряда на N-1

* Этот вывод основан на том, что при pH, большем pK_a циклофосфатной группы, скорость гидролиза изменяется пропорционально квадрату концентрации ионов водорода, а при значениях pH, меньших pK_a циклофосфата (т. е. когда циклофосфатная группа недиссоциирована), — пропорционально первой степени концентрации ионов водорода³⁰.

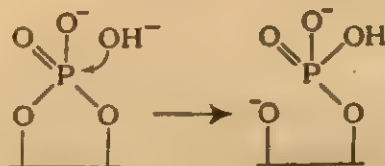
в адениновом ядре, замедляющее реакцию за счет эффекта поля. Предпочтение отдается второму фактору.

Продукты кислотного гидролиза нуклеозид-2',3'-циклофосфатов — 2'- и 3'-нуклеотиды — образуются в количествах, близких к эквимольному³⁰, что является следствием почти равновероятного раскрытия циклофосфатов по обоим кислородам остатка рибозы.

Взаимопревращение 2'- и 3'-рибонуклеотидов, хотя и происходит в условиях реакции, но со значительно меньшей (приблизительно на порядок) скоростью³⁰. В безводных спиртах в присутствии HCl (1 капля насыщенного раствора HCl в диоксане на 1 мл спирта) рибонуклеозид-2',3'-циклофосфаты быстро превращаются в смесь моноалкил-2'- и -3'-нуклеозидфосфатов (за 10—20 мин при комнатной температуре). Таким методом были получены рибонуклеозид-2' (3')-метил-, -этил-, -*n*-пропил-, *трет*-бутил-³¹, а также -изопропил- и -бензилфосфаты³².

Кислотный гидролиз применяется для раскрытия концевых 2',3'-циклофосфатных группировок в олигонуклеотидах, образующихся при расщеплении РНК под действием рибонуклеаз. Для этих целей применяют обычно обработку 0,1 н. соляной кислотой при комнатной температуре в течение 4 ч^{25, 34} или 4 н. муравьиной кислотой при комнатной температуре в течение 3 ч³³.

Щелочной гидролиз рибонуклеозид-2',3'-циклофосфатов идет в более жестких условиях и с меньшей скоростью, чем кислотный. Так, для полного гидролиза этих соединений применяют нагревание с 1 н. раствором NaOH при 100°C в течение 1 ч²⁵. Скорость реакции пропорциональна концентрации гидроксил-анионов³⁰. Предполагаемый механизм превращения включает в качестве определяющей скорость стадии атаку ионом OH⁻ или каким-либо другим основанием по слабо электрофильному в данных условиях атому фосфора (поскольку одна из гидроксильных групп фосфатной группировки ионизована).



В отличие от кислотного щелочной гидролиз рибонуклеозид-2',3'-циклофосфатов полностью необратим. На скорость реакции, как и при кислотном гидролизе, оказывает влияние природа основания (табл. 10.5).

Уридин-2',3'-циклофосфат расщепляется несколько быстрее цитидинового производного, аденозин-2',3'-циклофосфат — значительно медленнее³⁰. Причина подобного различия пока не ясна. Соотношение изомерных нуклеозид-2'- и -3'-фосфатов, образующихся при щелочном гидролизе нуклеозид-2',3'-циклофосфатов, близко к

эквивольному, однако с небольшим преобладанием 3'-изомера (0,5 н. NaOH, 20 ч при 37 °C) ⁸⁴:

Исходное соединение	Выход 2'-нуклеотида, %	Выход 3'-нуклеотида, %
Цитидин-2',3'-циклофосфат . . .	45	55
Уридин-2',3'-циклофосфат . . .	40	60
Гуанозин-2',3'-циклофосфат . . .	45	55

Расщепление рибонуклеозид-2',3'-циклофосфатов алкоголями щелочных металлов в спиртовых средах, приводящее к образованию рибонуклеозид-2' (3')-алкилфосфатов ^{31, 35}, протекает значительно медленнее аналогичной реакции, катализируемой кислотами (см. стр. 549), и сопровождается образованием побочных продуктов ³⁵. Так, при обработке аденозин-2',3'-циклофосфата 1 М раствором бензилата натрия в бензиловом спирте в течение 17 ч при комнатной температуре были получены аденозин-2' (3')-бензилфосфаты (31%) и аденозин-2' (3')-монофосфаты (60%) ³⁵. В аналогичных условиях (0,2 М растворы алкоголятов натрия в соответствующих спиртах, 20 ч при комнатной температуре) из нуклеозид-2',3'-циклофосфатов получены нуклеозид-2' (3')-метил-, -этил-, -*n*-пропил- и -трет-бутилфосфаты ³¹. Особенностью реакции является преимущественное образование 3'-алкилфосфатов в случае спиртов с разветвленными алкильными радикалами (трет-бутильным, изопропильным) ³¹. Возможно это объясняется пространственными затруднениями, возникающими при атаке такими объемистыми нуклеофильными реагентами атома фосфора ³⁶.

Таблица 10.5. Константы скорости * щелочного гидролиза нуклеозид-2',3'-циклофосфатов ³⁰

Исходное соединение	Температура, °C	[OH ⁻], моль/л	$k_0 \cdot 10^3$, сек ⁻¹ · моль ⁻¹
Уридин-2',3'-циклофосфат	30	0,025—0,10	5,0
Цитидин-2',3'-циклофосфат	40	0,025—0,10	8,9
Аденозин-2',3'-циклофосфат	40	0,040—0,10	6,9
	30	0,05	1,4

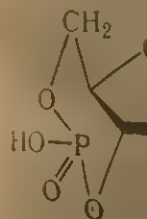
* $k_1 = k_0 \cdot [\text{OH}^-]$, где k_1 — константа скорости щелочного гидролиза первого порядка.

Для раскрытия концевых циклофосфатных группировок в олиго- и тем более полинуклеотидах щелочной гидролиз неприменим, поскольку в этих условиях с большей скоростью идет гидролиз межинуклеотидных фосфодиэфирных связей (см. стр. 553).

В слабощелочной и нейтральной средах (рН 4—7) при температуре 85—100 °C уридин- и аденозин-2',3'-циклофосфаты гидролизуются ³⁰ до соответствующих нуклеозидов *. Стадней, определяю-

* Сообщение о том, что при гидролизе в нейтральной среде уридин-2',3'-циклофосфат превращается в уридин-3'-фосфат ³⁷ оказалось ошибочным ³⁰.

II РЕАКЦИИ
шей скоро
после чего
фомоноэф
Нуклео
оксирибон
действием
диэфирной
условий ре
проводяе
Первый из
нуклеозид
рой — к с
рилирую

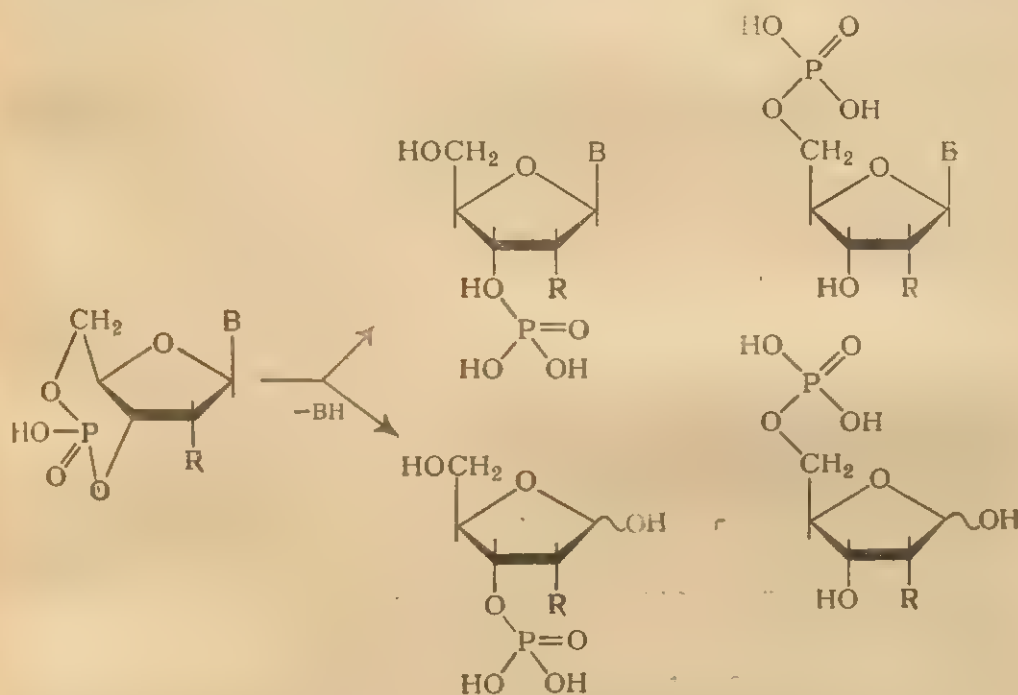


Скорос
циклофос
циклофос

* При
фаты, превр

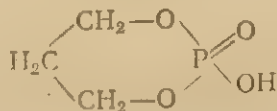
щей скорость реакции, является гидролиз фосфодиэфирной связи, после чего протекает более быстрый в этих условиях гидролиз фосфомоноэфирной связи (см стр. 542) ³⁰.

Нуклеозид-3',5'-циклофосфаты. Рибонуклеозид-3',5'- и дезоксирибонуклеозид-3',5'-циклофосфаты (об их синтезе см. ³⁸⁻⁴⁰) под действием кислот и оснований претерпевают расщепление фосфодиэфирной связи, которое во многих случаях, в зависимости от условий реакции и природы основания и углеводного остатка, сопровождается гидролизом N-гликозидной связи (стр. 495, 504). Первый из указанных процессов приводит к образованию смеси нуклеозид-3'- и -5'-фосфатов (с преобладанием 3'-изомеров)*, второй — к смеси рибозо- (или дезоксирибозо-) фосфатов, дефосфорилирующихся в более жестких условиях:



В—остаток основания; R=H или OH

Скорость гидролиза фосфодиэфирных связей в нуклеозид-3',5'-циклофосфатах значительно выше, чем в обычных шестичленных циклофосфатах, например в пропандиол-1,3-циклофосфате ^{41, 2, 3}



* При кислотном гидролизе первоначально образуются нуклеозид-3'-фосфаты, превращающиеся затем в смесь нуклеозид-2' (3')-фосфатов.

Это связано, по-видимому, с особенностями конформации молекул нуклеозид-3',5'-циклофосфатов, в которых шестичленная циклофосфатная система находится в *транс*-сочленении с пятичленным рибо-(дезоксирибо-)фуранозным циклом (см. стр. 132)⁴⁰.

Механизм расщепления фосфодиэфирных связей в нуклеозид-3',5'-циклофосфатах под действием кислот и оснований, вероятно, аналогичен механизму расщепления этих связей в нуклеозид-2',3'-циклофосфатах под действием тех же агентов (см. стр. 547). Он может включать атаку нуклеофильным реагентом атома фосфора и разрыв связи P—O; расщепление связи P—O при C-5' происходит с большей скоростью, чем связи P—O при C-3'⁴⁰, возможно, ввиду их стереохимической неэквивалентности.

Кислотный гидролиз дезоксирибонуклеозид-3',5'-циклофосфатов⁴² и пуриновых рибонуклеозид-3',5'-циклофосфатов приводит к выделению оснований⁴⁰ (см. стр. 495), сопровождающему разрыв фосфодиэфирных связей^{40, 43}. Так, при нагревании аденозин-3',5'-циклофосфата с сульфокатионитом в H⁺-форме образуется смесь рибозо-2'-, -3'- и -5'-фосфатов⁴³; в более жестких условиях — при нагревании с 1 н. соляной кислотой при 100° — продуктами реакции являются аденин, рибоза и ортофосфорная кислота⁴⁰. При аналогичной обработке (1 н. HCl, 100°C) уридин-3',5'-циклофосфат полностью расщепляется за 1 ч (время полупревращения 8 мин); при этом образуются урацил (67%), уридин-2'(3')-фосфат (27%) и уридин-5'-фосфат (6%). Цитидин-3',5'-циклофосфат разрушается полностью за 2 ч (время полупревращения 26 мин); при этом возникают цитозин (6%), цитидин-2'(3')-фосфат (78%) и цитидин-5'-фосфат (13%)⁴⁰.

Таблица 10.6. Гидролиз рибонуклеозид-3', 5'-циклофосфатов в 0,2 н. растворе Ba(OH)₂ (100° С, 30 мин)⁴⁰

Исходное соединение	Продукты гидролиза	Выход, %
Уридин-3',5'-циклофосфат	Уридин-3'-фосфат	81
	Уридин-5'-фосфат	14
Цитидин-3',5'-циклофосфат	Цитидин-3'-фосфат	41
	Цитидин-5'-фосфат	8
	Уридин-3'-фосфат *	37
	Уридин-5'-фосфат *	7
Аденозин-3',5'-циклофосфат	Аденозин-3'-фосфат	84
	Аденозин-5'-фосфат	16
Гуанозин-3',5'-циклофосфат	Гуанозин-3'-фосфат	80
	Гуанозин-5'-фосфат	20

* Образуются за счет дезаминирования производных цитозина.

При щелочном гидролизе нуклеозид-3',5'-циклофосфатов состав продуктов реакции зависит от применяемого реагента. При нагревании в 1 н. растворе NaOH при 100°С аденозин-3',5'-циклофосфат отщепляет ^{40, 43, 44} аденин (см. стр. 504), а уридин-3',5'-циклофосфат — урацил, хотя основным продуктом реакции является уридин-3'-фосфат (~70%) ⁴⁰. В то же время тимидин-3',5'-циклофосфат в этих условиях количественно превращается в смесь моонуклеотидов (время полупревращения 24 ч) — тимидин-3'-фосфат (80%) и тимидин-5'-фосфат (20%) ⁴⁵. Значительно более эффективна в качестве гидролизующего агента гидроокись бария, в 0,2—0,4 н. растворах которой при 100°С гидролиз фосфодиэфирных связей в рибонуклеозид-3',5'-циклофосфатах проходит количественно за 30 мин и практически не сопровождается отщеплением оснований ^{40, 44}. При этом 3'- и 5'-нуклеотиды образуются в соотношении примерно 5 : 1 (табл. 10.6).

Каталитический эффект ионов бария ⁴⁰ обусловлен, вероятно, их способностью связываться с фосфатной группой.

3. Гидролиз фосфодиэфирных связей в полинуклеотидах

Два типа полинуклеотидов — ДНК и РНК — резко различаются по стабильности фосфодиэфирных связей. В то время как РНК при относительно мягкой щелочной обработке гидролизует до моонуклеотидов, ДНК в этих условиях довольно устойчива; то же относится к действию соединений тяжелых металлов (см. стр. 568). При кислотном гидролизе происходит деградация полимеров обоих типов, однако характер продуктов и механизм расщепления фосфодиэфирных связей для ДНК и РНК в этом случае различен. Большинство реакций, приводящих к расщеплению фосфодиэфирных связей в РНК, протекает по механизму трансфосфорилирования с участием гидроксильной группы при С-2' остатка рибозы, в то время как для ДНК характерен распад фосфодиэфирных связей по механизму β-элиминации с предварительным отщеплением оснований (см. стр. 571) или с окислением остатка дезоксирибозы (см. стр. 590).

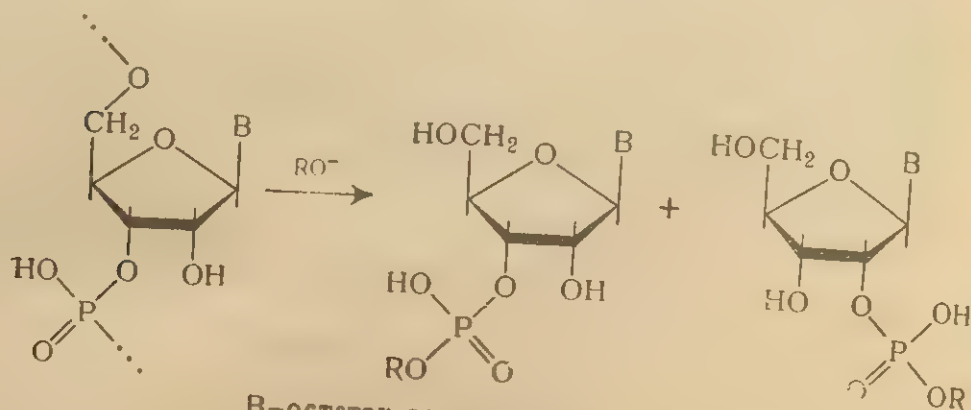
Реакции такого типа изучены и для РНК (см. стр. 593).

Щелочной гидролиз РНК

Фосфодиэфирные связи в молекуле РНК расщепляются под действием оснований. Если гидролиз идет в водной среде, то конечными продуктами являются нуклеозид-2'(3')-фосфаты; при обработке алкоголями щелочных металлов в спиртовых средах

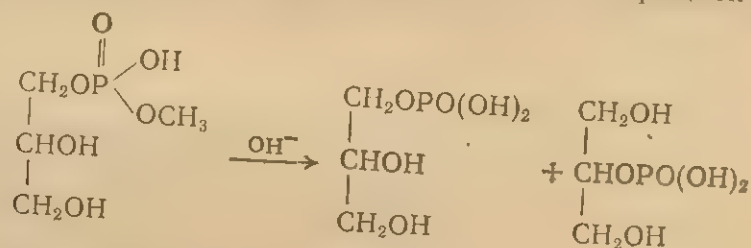
Выход, %	
81	
14	
41	
8	
37	
7	
81	
10	
30	
20	

образуются нуклеозид-2' (3')-алкилфосфаты:

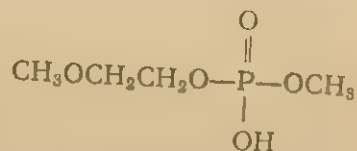


В-остаток основания; R=H или Alk

Относительная легкость гидролиза фосфодиэфирных связей РНК под действием щелочи, отмеченная еще первыми исследователями⁴⁶, представляется необычной, если сравнить ее с устойчивостью тех же связей в ДНК и диалкилфосфатах^{2, 3, 47}. Известно, однако, ряд фосфодиэфиров, которые, подобно РНК, легко гидролизуются в щелочной среде. Все они содержат ОН-группу в α -положении по отношению к фосфоэфирной связи^{2, 3}. Так, 1-метилфосфат глицерина⁴⁸, диметилфосфат этиленгликоля⁴⁸ и 2'- или 3'-(но не 5'-)бензилфосфаты аденозина^{49, 50} быстро гидролизуются в щелочной среде; процесс сопровождается миграцией фосфатной группы:

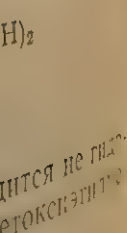


Если в α -положении к фосфоэфирной группе находится не гидроксильная, а алкоксигруппа, как, например, в 2-метоксиглиметилфосфате

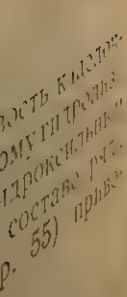


то такие фосфодиэфиры проявляют обычную устойчивость к щелочному гидролизу^{2, 3}. Сходной устойчивостью к щелочному гидролизу обладают и РНК, химически метилированные по гидроксильным группам при С-2' остатков рибозы⁵¹. Присутствие в составе ряда РНК 2'-О-метилрибонуклеозидных звеньев (см. стр. 55) приво-

ириых сс
ми исслед
ее с ус
3, 47. Извест
, легко гидро
группу в α -по
Так, 1-метил
и 2'- или 3'-
гидролизуются
й фосфатной



ность к...
омут...
гидроксильных
составе р-ра
р. 55) прив...

$$H)_2$$

$$H)_2$$

ность к...
омут...
гидроксильных
составе р-ра
р. 55) прив...

$$H)_2$$

основании того ⁵⁷, что при щелочном гидролизе РНК в $H_2^{18}O$ в фосфатную группу образующихся мононуклеотидов включается только один атом ^{18}O .

Каталитическая роль оснований заключается в том, что они вызывают диссоциацию ОН-группы при С-2' остатков рибозы*, повышая тем самым ее нуклеофильность, после чего внутримолекулярная нуклеофильная атака по атому фосфора может протекать либо по механизму замещения (путь А), либо по механизму присоединения (путь Б). Механизм присоединения был отвергнут, так как образование промежуточного пятиковалентного триэфира I должно было бы приводить к миграции фосфоэфирного остатка в процессе щелочного гидролиза. В действительности это не наблюдается: среди продуктов неполного щелочного гидролиза цитидин-3'-бензилфосфата не обнаружен цитидин-2'-бензилфосфат ⁵⁸, а среди продуктов неполного гидролиза РНК не обнаружено олигонуклеотидов, содержащих 2',5'-фосфодиэфирные связи ⁵⁸.

Изучение кинетики щелочного гидролиза олигонуклеотидов ⁶⁰⁻⁶² и различных РНК ^{59, 63-70} показало, что скорость расщепления фосфодиэфирной связи, соединяющей два нуклеотидных остатка, зависит от их природы.

Ниже приводятся данные по расщеплению ряда динуклеозидмонофосфатов в 0,5 н. растворе NaOH (28°C, 8 ч) ⁶²:

Исходный динуклеозид- монофосфат	Степень расщепления фосфодиэфирной связи, %	Исходный динуклеозид- монофосфат	Степень расщепления фосфодиэфирной связи, %
ApA	47	ApC	44
GpA	58	GpC	68
CpA	76	CpC	78
UpA	88	UpC	96

При расщеплении динуклеотидов в 0,86 н. растворе КОН при 26°C были получены следующие результаты ⁶⁰:

Исходный динуклеотид	Относительная скорость гидролиза	Исходный динуклеотид	Относительная скорость гидролиза
UpUp	1,0	ApGr	0,21
CpCp	0,62	GpAp	0,18
GpCp	0,25	ApAp	0,10
ApUp	0,25		

Сравнение приведенных данных показывает, что наибольшее влияние на скорость щелочного гидролиза оказывает структура 5'-концевого звена: все динуклеозидфосфаты типа Руд—р—N рас-

* При pH 12 скорость образования нуклеозид-2',3'-циклофосфатов при гидролизе РНК возрастает пропорционально концентрации ионов OH^- , а при pH выше 12, когда ОН-группа при С-2' практически полностью диссоциирована, — не зависит от pH ⁵⁷.

щепляются значительно медленнее динуклеозидфосфатов типа $\text{Pyd}-\text{p}-\text{N}$. Гораздо меньше влияет на скорость расщепления фосфодиэфирной связи характер 3'-концевого звена, хотя динуклеозидфосфаты типа $\text{Pyd}-\text{p}-\text{Pyd}$ гидролизуются заметно медленнее производных типа $\text{Pyd}-\text{p}-\text{Pyd}$.

В олиго- и полинуклеотидах с наименьшей скоростью гидролизуются полипуриновые последовательности, особенно блоки олиго-А, а с наибольшей — полипиримидиновые последовательности, из которых наименее устойчивы⁵⁹ блоки олиго-У (табл. 10.7).

Таблица 10.7. Частичный гидролиз фосфодиэфирных связей в гомополинуклеотидах при pH 10⁵⁹

Исходный полинуклеотид	Температура гидролиза, °C	Время частичного расщепления фосфодиэфирных связей, мин		
		на 1%	на 10%	на 50%
Поли-А	100	2,5	26	150
Поли-У	90	0,7	7	46
Поли-С	100	0,05	5	32

Большая устойчивость полипуриновых блоков проявляется также в том, что при неполном гидролизе РНК образуются преимущественно пуриновые олигонуклеотиды⁵⁹. При гидролизе РНК до мононуклеотидов различия в скоростях гидролиза фосфодиэфирных связей в значительной степени нивелированы, однако и в этом случае проявляется большая устойчивость фосфодиэфирной связи у адениновых звеньев. Так, при гидролизе дрожжевой тРНК в 1 н. растворе КОН при 25 °C время, за которое в виде нуклеозид-2'(3')-фосфата выделится половина от содержания в РНК данного нуклеотида, составляет⁶⁹ 5,6 ч для Ар, 2,8 ч для Gr; 2,3 ч для Ср и 2,6 ч для Ур.

Природа влияния оснований на скорость гидролиза фосфодиэфирной связи продолжает оставаться предметом обсуждения. Возможно, что одной из основных причин меньшей реакционной способности фосфодиэфирных связей в пуриновых олигонуклеотидах являются межплоскостные взаимодействия, более сильные между пуриновыми основаниями^{59, 66} (по сравнению с взаимодействиями между пиримидинами). В частности, для динуклеотидного звена они приводят к такой конформации, при которой атом фосфора удален от ОН-группы при С-2' остатка рибозы, а вращение связи С-3'—О заторможено. Это затрудняет переход динуклеотидного звена в конформацию, необходимую для достижения переходного состояния реакции гидролиза. Предполагается, что при наличии межплоскостного взаимодействия оснований скорость гидролиза фосфодиэфирной связи примерно в 10 раз меньше, чем при

беспорядочном расположении оснований соседних нуклеотидных остатков⁵⁹. Влияние pH, температуры и ионной силы на относительную реакционную способность фосфодиэфирных связей может быть сопоставлено с влиянием этих факторов на межплоскостные взаимодействия между соответствующими основаниями⁵⁹ (см. гл. 4). Так, наибольшие различия в скоростях гидролиза фосфодиэфирных связей наблюдаются⁵⁹ при pH 11, когда ионизация остатков гуанина и урацила нарушает межплоскостные взаимодействия, в результате чего полигуаниловые блоки гидролизуются значительно быстрее полиадениловых, а полиуридилловые — быстрее полицитидиловых*.

Еще одним фактором, который может влиять на скорость гидролиза фосфодиэфирных связей РНК, является предполагаемое образование водородных связей между атомом кислорода карбонильной группы при C-2 в пиримидиновых остатках или атомом N-3 в пуриновых остатках и OH-группой при C-2' в остатках рибозы (см. стр. 141), что должно приводить к повышению нуклеофильности данной OH-группы^{38, 63}. Согласно этой гипотезе пиримидиновые основания образуют более прочные водородные связи, вследствие чего соответствующие фосфодиэфирные связи более реакционноспособны^{38, 63}. Очевидно, что этот фактор может влиять на устойчивость фосфодиэфирных связей только в той области pH (<12), где OH-группа при C-2' диссоциирована в незначительной степени.

На устойчивость фосфодиэфирных связей, по-видимому, влияет, кроме того, длина полинуклеотидной цепи^{60, 69, 70}. Количественные данные о таком влиянии отсутствуют, однако отмечалось, что скорость гидролиза фосфодиэфирных связей в РНК больше, чем в коротких олигонуклеотидах^{66, 70}. Такой же вывод был сделан⁶⁹ на основании изучения кинетики образования мононуклеотидов при щелочном гидролизе тРНК.

Это заключение основано на том, что образование мононуклеотидов при щелочном гидролизе тРНК происходит как псевдомономолекулярная реакция. Так как одновременный гидролиз двух соседних фосфодиэфирных связей маловероятен, предполагается, что расщепление тРНК идет в две стадии: быстрый хаотический (случайный) распад на олигонуклеотиды и последующий более медленный ступенчатый гидролиз образовавшихся олигонуклеотидов до мононуклеотидов⁶⁹.

Вопрос о влиянии длины полинуклеотидной цепи на скорость гидролиза в настоящее время еще не ясен.

* Следует отметить, что межплоскостные взаимодействия являются, по-видимому, не единственной причиной большей прочности фосфодиэфирных связей в пуриинуклеозидных звеньях, поскольку аналогичные различия в скоростях гидролиза наблюдаются и для фосфодиэфирных связей в нуклеозид-2',3'-циклофосфатах (см. стр. 548).

Методи
весьма раз
окисей ще
гидроокис
от комнат
миака, при
не использ
количеств
ние получ
чение 16—
время, сум

Щелочи
ляется од
нуклеотидн
нии нукле
звеньев в
тод имеет
гидролиза
водных ци
разрушени
также 7-N
442), пере
метиладен
ния этих
годен.

Гидрол
стадии, ко
щепиться,
(табл. 10.8
В усло
торой спе
жду пирн
Гидрол
еотидов)

* Обзор

Методики щелочного гидролиза РНК до мононуклеотидов весьма разнообразны*. Использовались водные растворы гидроксидов щелочных металлов различной концентрации (0,1—1 н.), гидроксиды бария⁷³, аммиака⁷⁴, пиперидина⁷⁵ при температурах от комнатной до 100 °С и выше. Гидролиз водными растворами аммиака, применявшийся в более ранних работах, в настоящее время не используется, так как приводит к образованию значительных количеств нуклеозидов (см. стр. 546). Наибольшее распространение получил метод гидролиза 0,3 н. раствором КОН при 37 °С в течение 16—20 ч^{76, 77}. Другие методики, применяемые в настоящее время, суммированы ниже⁷²:

Реагент	Температура, °С	Время гидролиза, мин
1 н. КОН	80	60
0,1 н. КОН	100	20
0,05 н. КОН	100	40
10%-ный пиперидин . .	100	90
1%-ный пиперидин . .	100	300

Щелочной гидролиз РНК до мононуклеотидов, хотя он и является одним из самых распространенных методов определения нуклеотидного состава РНК и часто применяется при установлении нуклеотидной последовательности и определении концевых звеньев в олигонуклеотидах (см. стр. 45), как аналитический метод имеет ряд существенных недостатков. В процессе щелочного гидролиза РНК происходит существенное дезаминирование производных цитозина⁷⁸ и в еще большей степени 3-N-метилцитозина, разрушение производных 5,6-дигидроурацила (см. стр. 456), а также 7-N-метилпуринов и 1-N-метилгипоксантина (см. стр. 440 и 442), перегруппировка производных 1-N-метиладенина в 6-экзо-N-метиладенины (см. стр. 450). Поэтому для анализа содержания этих соединений в составе РНК щелочной гидролиз непригоден.

Гидролиз РНК в щелочной среде может быть остановлен на стадии, когда только часть фосфодиэфирных связей успевает расщепиться, что приводит к образованию набора олигонуклеотидов (табл. 10.8).

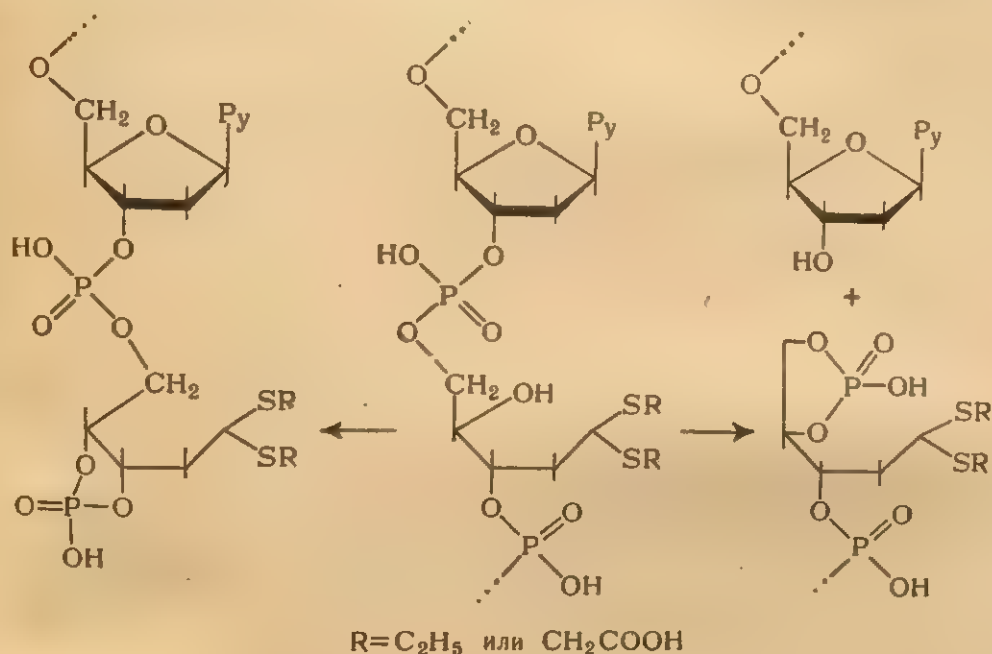
В условиях, указанных в табл. 10.8, гидролиз обладает некоторой специфичностью⁵⁹, поскольку фосфодиэфирные связи между пиримидиновыми нуклеозидами расщепляются быстрее, чем между пуриновыми нуклеозидами (см. стр. 556).

Гидролиз РНК до олигонуклеотидов (преимущественно динуклеотидов) протекает также при нагревании со слабыми анионитами,

* Обзоры — см. 20, 71, 72.

Щелочной гидролиз тиоацетальных производных апуриновых ДНК

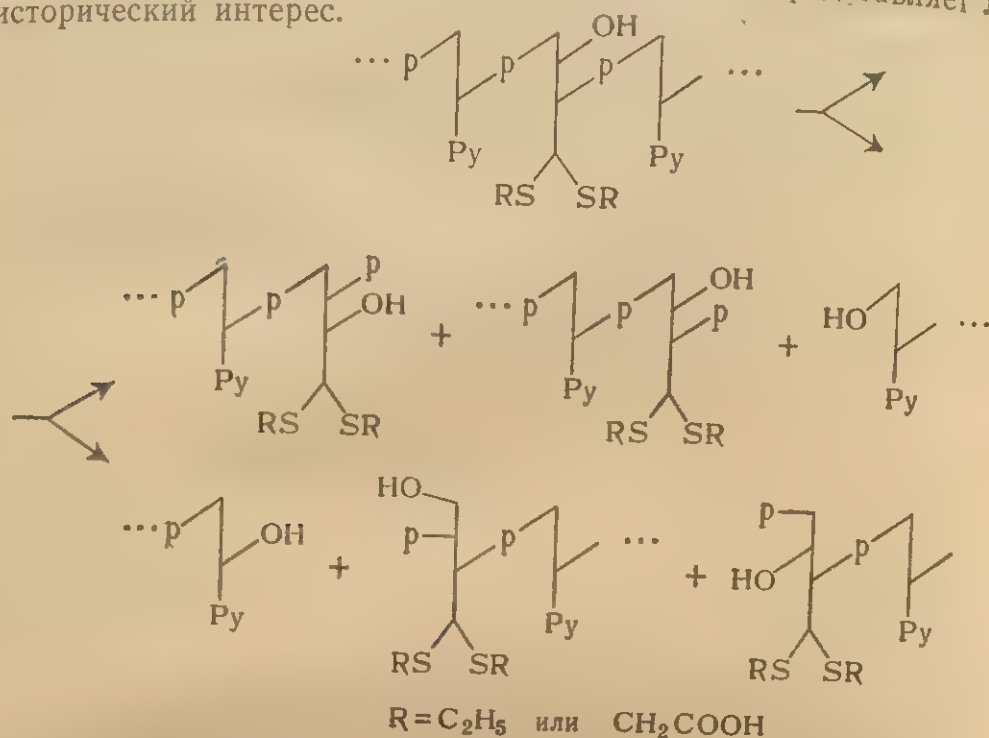
Тиоацетальные производные апуриновых ДНК образуются при действии на ДНК меркаптанов в кислой среде (см. стр. 502). В таких модифицированных ДНК на месте пури nukлеозидных звеньев находятся ациклические дезоксирибозилтиоацетальные звенья со свободной OH-группой при C-4', которая является α -оксигруппой по отношению к обоим фосфатным остаткам (как 3'-, так и 5'-), связывающим такое звено с соседними по цепи.



Обработка тиоацеталей апуриновых ДНК 1 н. раствором NaOH при 37°С в течение 26 ч приводит к расщеплению фосфодиэфирных связей у дезоксирибозилацетальных звеньев по механизму с участием OH-группы при C-4', аналогичному механизму щелочного расщепления РНК (см. стр. 555), в результате чего образуются полипиримидиновые олигонуклеотиды^{85–87}. Однако такой гидролиз модифицированных ДНК идет неоднозначно, поскольку OH-группа при C-4' может участвовать в расщеплении связи P—O как с 5'-конца, так и с 3'-конца фрагмента, а также с обеих сторон сразу⁸⁸.

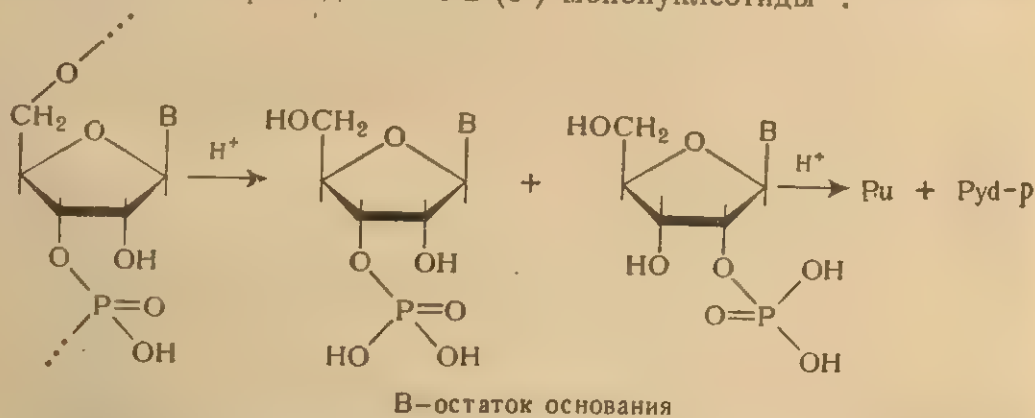
Следствием неоднозначности протекания гидролиза фосфодиэфирных связей является гетерогенность образующихся олигонуклеотидов по концевым группам (как 3'-, так и 5'-), поэтому дан-

ный метод гидролиза ДНК в настоящее время представляет лишь исторический интерес.



Кислотный гидролиз РНК и изомеризация фосфодиэфирных связей

В кислой среде РНК расщепляется до смеси нуклеозид-2'(3')-фосфатов. При достаточно жесткой кислотной обработке наряду с гидролизом фосфодиэфирных связей протекает также расщепление N-гликозидных связей в пуриinnуклеотидных звеньях (см. гл. 8). В результате конечными продуктами реакции являются пуриновые основания и пиримидиновые 2'(3')-мононуклеотиды*:

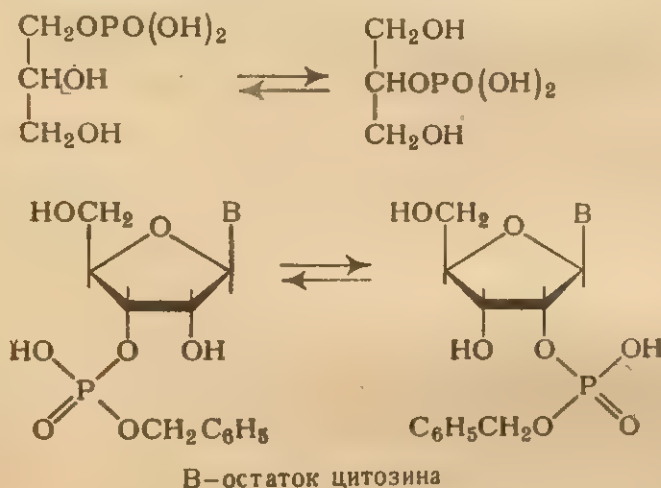


* Кислотный гидролиз РНК может сопровождаться также расщеплением фосфомоноэфирных связей в образующихся мононуклеотидах (см. стр. 546)

Особенно в кислой среде реакция фосфомоноэфирных связей протекает с участием воды. Такой вид реакции, в котором участвуют фосфатные группы, был обнаружен

Механизм реакции связан с механизмом одновременного разрыва N-гликозидной связи и фосфодиэфирной связи по атому кислорода. Недиссоциированная кислота довольно слабо катализирует гидролиз нуклеотидных фосфатных групп в 3-м

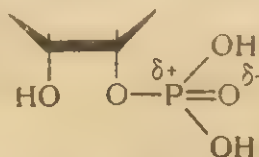
Особенностью гидролиза фосфодиэфирных связей РНК в кислой среде является то, что одновременно с ним протекает изомеризация фосфодиэфирных связей^{58, 89} и, кроме того, изомеризация фосфомоноэфирных связей в 2'- и 3'-моонуклеотидах⁴⁹. Все три реакции протекают по одному и тому же механизму и обусловлены участием ОН-группы при С-2' остатка рибозы в этих процессах. Такой вывод был сделан на основании изучения превращений, которым подвергаются в кислой среде фосфомоно- и фосфодиэфиры, имеющие оксигруппу в α-положении к фосфоэфирной связи^{2, 3}. Так, было показано, что под действием кислот происходит миграция фосфатной группы в глицерофосфатах⁹⁰⁻⁹¹. При частичном кислотном гидролизе цитидин-3'-бензилфосфата среди продуктов реакции был обнаружен цитидин-2'-бензилфосфат⁵⁸.



Механизм кислотного гидролиза РНК* в основных чертах сходен с механизмом расщепления РНК под действием оснований, одновременно с которым он и был предложен^{50, 56, 58}. Как расщепление, так и изомеризация фосфодиэфирной связи происходят вследствие нуклеофильной атаки ОН-группы при С-2' (остатки рибозы) по атому фосфора соседней 3'-фосфодиэфирной группировки. Недиссоциированная гидроксильная группа при С-2' является довольно слабым нуклеофильным агентом. Однако в условиях кислотного гидролиза (при pH ~ 1 или ниже) диссоциация межнуклеотидных фосфатных групп в РНК по свободной гидроксильной группе в значительной степени подавлена, так как их pK_a лежат

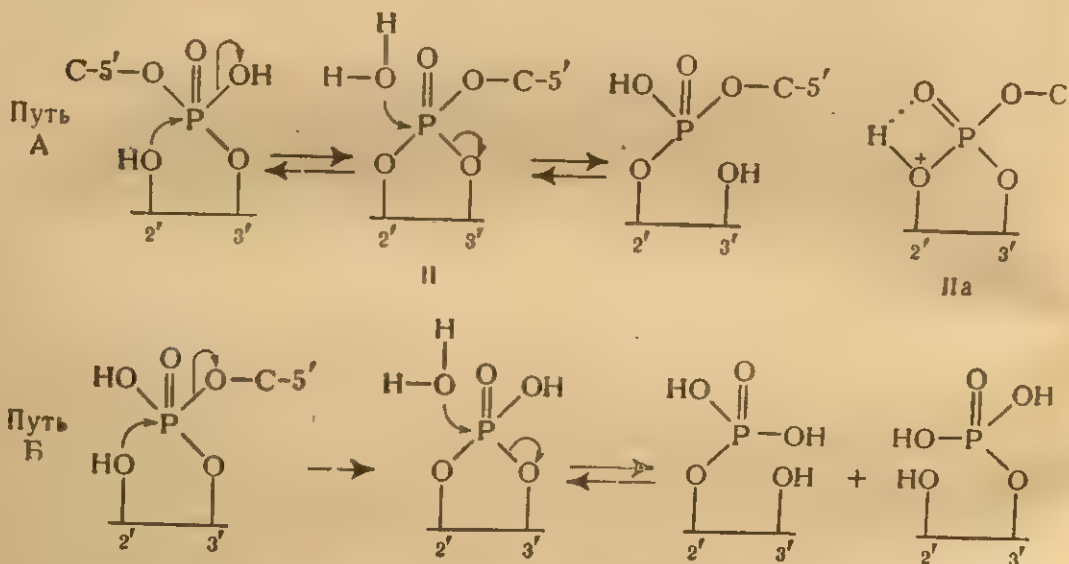
* Обзоры — см. 36, 55.

в пределах 0,7—1 (см. стр. 189). Это приводит к значительному повышению электрофильности атома фосфора*.



Атака гидроксильной группы при С-2' по атому фосфора может происходить либо по механизму замещения, либо по механизму присоединения, сходными с теми, которые были уже рассмотрены для щелочного гидролиза фосфодиэфирных связей РНК (см. стр. 555). В случае кислотного гидролиза РНК окончательный выбор между этими двумя направлениями еще не сделан.

В соответствии с механизмом замещения атака по атому фосфора сопровождается расщеплением связи Р—О, причем уходящей группой может быть либо недиссоциированная ОН-группа при атоме фосфора (путь А), либо фосфоэфирная группировка С-5'—О (путь Б):



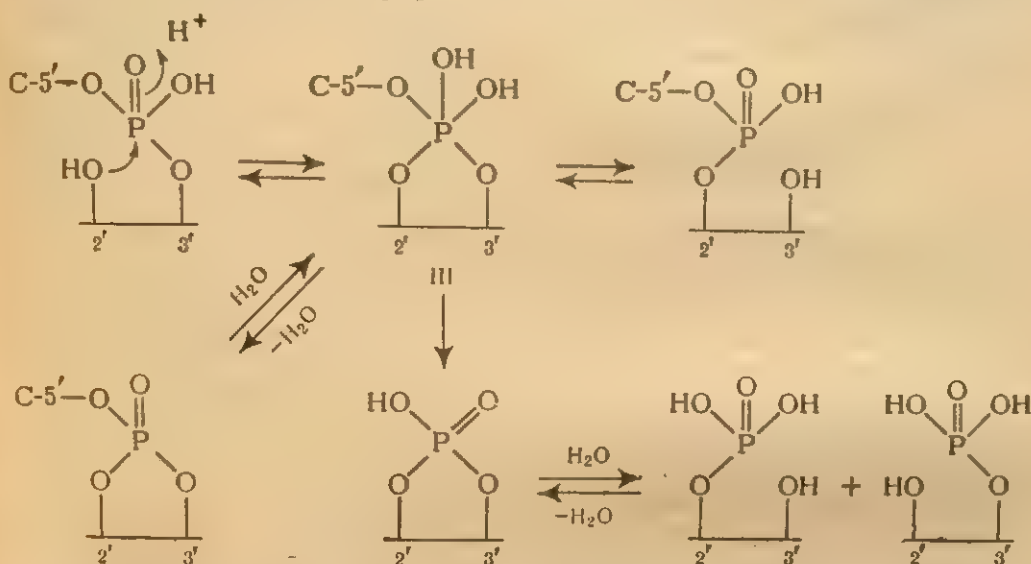
Путь А приводит к изомеризации фосфодиэфирных связей, а путь Б — к их гидролизу.

Возражением против такого механизма является то, что он предполагает протекание изомеризации через промежуточное образование циклотриэфира II, который не удается обнаружить, хотя соот-

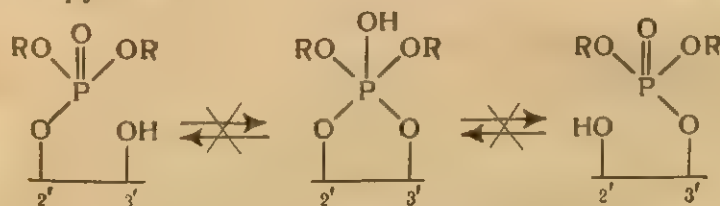
* Скорость кислотного гидролиза фосфодиэфирных связей РНК в интервале рН 1,8—2,4, когда большая часть вторичных фосфатных групп диссоциирована, пропорциональна (в первом приближении) концентрации водородных ионов⁹². Следует ожидать, что при рН < 1 концентрация водородных ионов не должна оказывать существенного влияния на скорость процесса.

ветствующие модельные циклотриэфиры были описаны и оказались достаточно устойчивыми в условиях кислотного гидролиза⁹³. Поэтому было высказано предположение, что циклотриэфиры типа II не являются истинными промежуточными продуктами в реакции кислотного гидролиза, а существуют лишь в виде активированного комплекса типа IIa, протонированного по кислороду гидроксильной группы при C-2' (или C-3') остатка рибозы³⁶ (о протонировании этих групп в процессе кислотного гидролиза нуклеозид-2',3'-циклофосфатов см. стр. 548).

Согласно механизму присоединения общим промежуточным продуктом реакции изомеризации и реакции гидролиза является пятиковалентный циклотриэфир III.



Однако в соответствии с этим механизмом³⁶ в условиях кислотного гидролиза должна была бы наблюдаться взаимная изомеризация нуклеозид-2'- и -3'-диалкилфосфатов, что в действительности не было обнаружено⁹⁴:



R—алкильный радикал

Таким образом, оба предполагаемых механизма кислотного гидролиза РНК имеют свои «узкие места», и окончательный выбор между ними в настоящий момент сделать затруднительно.

Кинетика кислотного гидролиза РНК практически не изучена (см., однако⁹²). На примере динуклеозидмонофосфатов было показано, что скорость расщепления фосфодиэфирной связи в кислой среде зависит от природы нуклеотидных остатков, соединенных этой связью (т. е. от входящих в их состав оснований)^{62, 89}. При этом наблюдаются те же закономерности, что и при щелочном гидролизе (см. стр. 556): с наименьшей скоростью расщепляются фосфодиэфирные связи в динуклеозидмонофосфатах с 5'-концевым пуриновым звеном. Ниже приведены данные, характеризующие сравнительную устойчивость ряда динуклеозидмонофосфатов к действию 0,3 н. HCl (8 ч при 45° C)⁶²:

Исходный динуклео- зидмонофосфат	Степень расщепления фосфодиэфирной связи, %	Исходный динуклео- зидмонофосфат	Степень расщепления фосфодиэфирной связи, %
ApA	69	ApC	75
GpA	65	GpC	70
CpA	80	CpC	76
UpA	86	UpC	84

В отличие от реакции, катализируемой основаниями, при кислотном гидролизе наиболее устойчивы фосфоэфирные связи в динуклеозидфосфатах с 5'-концевым гуаниновым звеном^{36, 62}. Эта устойчивость падает в ряду $G > A > C > U$, хотя наблюдаемые различия меньше, чем при щелочном гидролизе⁶². (Возможные причины влияния природы оснований на устойчивость фосфодиэфирных связей в олигонуклеотидах уже рассматривались на стр. 557).

Поскольку изомеризация фосфодиэфирных связей в кислой среде протекает одновременно с их гидролизом и, возможно, через один и тот же промежуточный продукт, зависимость скорости обоих процессов от природы составляющих оснований одинакова, что было показано изучением продуктов неполного кислотного гидролиза ряда динуклеозидмонофосфатов⁸⁹.

Методики кислотного гидролиза РНК до мононуклеотидов немногочисленны (см. обзоры^{71, 72}). Для этих целей обычно применяют обработку РНК 1 н. соляной кислотой при 37° C в течение 18 ч⁷¹. Реакция протекает вначале как гетерогенная вследствие малой растворимости РНК в кислоте. Хотя этот метод до недавнего времени использовался для аналитических целей значительно реже, чем щелочной гидролиз РНК, он имеет по сравнению с ним ряд преимуществ. Так, гидролиз 1 н. соляной кислотой при 37° C приводит к значительно меньшему дезаминированию производных цитозина, чем при щелочном гидролизе (см. стр. 559). Щелочелабильные основания, такие, как 1-N-метиладенин и другие 1-, 3- и 7-алкилпурины, в этих условиях не претерпевают ни перегруппировок, ни расщепления цикла (см. гл. 7), хотя гликозидные связи в производных 3- и 7-алкилпуринов в этих условиях расщепляются (см. гл. 8). Такое расщепление гликозидных связей, наблюдаемое, хотя

Таблица 10

Температура
°C20
100
100

* Изомеризация

Изомеризация
желательна
при кислотном
при расщеплении
гонуклеотидов
расщепление
кислота
фосфодиэфирных
связей при
более кра...

и в значительно меньшей степени и для других пуриновых нуклеотидов (см. гл. 8), несколько ограничивает применимость кислотного гидролиза для аналитических целей.

Кислотный гидролиз РНК до пуриновых оснований и пиримидиновых нуклеотидов, очень широко применявшийся в более ранних исследованиях (особенно до развития современных методов хроматографического анализа, см. обзоры^{71, 16)}), используется для анализа нуклеотидного состава РНК и в настоящее время. С этой целью РНК нагревают при 100°С с 1 н. соляной кислотой в течение 1 ч⁹⁵; реже применяется гидролиз 0,4 н. серной кислотой при 100°С в течение 1 ч⁹⁶. Побочными процессами, протекающими в этих условиях, являются: расщепление гликозидной связи в производных дигидроурацила (см. гл. 8), частичное дезаминирование производных цитозина (на 2—4%)⁹⁵; возможна также частичная деградация 1-метиладенина (см. стр. 442).

Гидролиз РНК кислотами может быть прерван на стадии образования олигонуклеотидов^{88, 97}. Так, при обработке РНК 6 н. соляной кислотой в течение 3 мин из реакционной смеси были выделены, хотя и в небольших количествах, короткие олигонуклеотиды⁸⁸. Частичный гидролиз РНК значительно удобнее проводить при более высоких значениях рН, так как при этом удастся контролировать степень расщепления фосфодиэфирных связей (табл. 10.9).

Таблица 10.9. Частичный гидролиз РНК в кислой среде⁵⁹

Температура, °С	рН	Время частичного расщепления фосфодиэфирных связей, мин		
		на 1%	на 10% *	на 50%
20	1	10	100	600
100	2	—	4	50
100	3	4	40	—

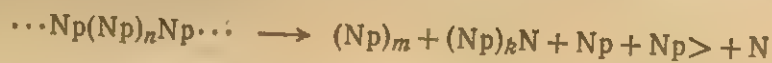
* Изомеризация фосфодиэфирной связи в этих условиях протекает менее чем на 1%.

Изомеризация и гидролиз фосфодиэфирных связей являются нежелательными побочными процессами, которые могут происходить при кислотной обработке РНК или олигонуклеотидов, например при раскрытии концевых 2', 3'-циклофосфатных группировок в олигонуклеотидах (см. стр. 547). В условиях, обычно применяемых для расщепления 2', 3'-циклофосфатных группировок (0,1 н. соляная кислота при комнатной температуре в течение 4 ч), изомеризация фосфодиэфирных связей проходит, по-видимому, лишь в незначительной степени⁵⁹, хотя процент расщепления фосфодиэфирных связей при этом довольно велик. Предпочтительнее использовать более кратковременную кислотную обработку.

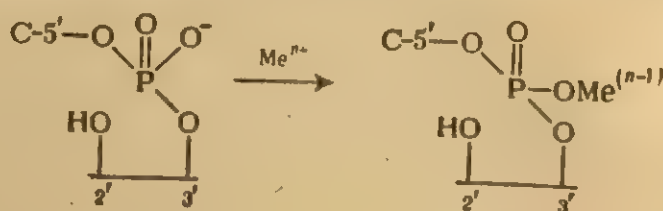
Незначительная изомеризация фосфодиэфирных связей (1—5%) часто наблюдается при удалении группировок, используемых в олигонуклеотидном синтезе для защиты гидроксильной группы при С-2' (тетрагидропиранильной, этоксиэтильной). Для этого обычно применяют нагревание защищенных олигонуклеотидов с разбавленными (5—20%-ными) растворами уксусной кислоты⁹⁸⁻¹⁰⁰. Изомеризация фосфодиэфирных связей особенно нежелательна, если синтетические олигонуклеотиды предназначены для последующих биохимических исследований. Например, олигонуклеотиды, содержащие 2',5'-фосфодиэфирные связи, неактивны в системе Ниренберга—Лидера¹⁰¹.

Гидролиз РНК под действием соединений тяжелых металлов

Соли и гидроокиси многих тяжелых металлов, среди которых есть представители всех групп периодической системы элементов (табл. 10.10), катализируют расщепление фосфодиэфирных связей в РНК, причем некоторые из них катализируют также и гидролиз фосфомоноэфирных связей (см. стр. 544). Оба процесса часто протекают с достаточно близкими скоростями, в результате чего продуктами реакции наряду с олиго- и 2'(3')-моонуклеотидами являются также и нуклеозиды:



Гидролиз фосфодиэфирных связей РНК, катализируемый соединениями тяжелых металлов, протекает с максимальной скоростью, как правило, в нейтральной, слабощелочной (реже в слабокислой) средах (табл. 10.10), т. е. в тех условиях, в которых большинство из этих металлов образует с РНК труднорастворимые соли (вернее, комплексы). Образование комплексов металлов с вторичными фосфатными группировками РНК, вероятно, и обуславливает их каталитический эффект^{36, 15}. Катионы металлов, подобно протонам, присоединяются к кислороду фосфатной группы и повышают электрофильность атома фосфора, что облегчает атаку последнего ОН-группой при С-2' остатка рибозы*.



* Возможно, что ОН-группа при С-2' принимает также участие в связывании катионов металлов¹⁴.

Участие ОН-группы при С-2' остатка рибозы в этом процессе вытекает из образования наряду с 2'(3')-моонуклеотидами также и нуклеозид-2',3'-циклофосфатов (см. табл. 10.10). Кроме того, ДНК^{12, 14} и РНК⁵¹, метилированные химическим путем по гидроксильным группам при С-2', не претерпевают расщепления фосфодиэфирных связей в присутствии соединений тяжелых металлов.

Условия, используемые для гидролиза РНК под действием соединений тяжелых металлов, сильно варьируют у различных исследователей (см. табл. 10.10). Это затрудняет количественное сравнение эффекта металлов различной природы. Тем не менее имеющиеся данные показывают, что быстрее всего расщепление фосфодиэфирных связей происходит под действием соединений свинца и редкоземельных элементов Ce^{III} , La^{III} , Lu^{III} ^{14, 15, 24, 103, 104}; несколько менее активны Zn^{II} , Cd^{II} , Bi^{III} ^{102, 103, 105}. Как было показано, в присутствии соединений свинца¹⁰⁴, лантана¹⁴ и цинка¹⁰² на скорость расщепления заметное влияние оказывает нуклеотидный состав полирибонуклеотида: пуриновые полинуклеотиды гидролизуются значительно медленнее полипиримидиновых производных³⁶ (как и при щелочном и кислотном гидролизе РНК). В присутствии соединений тех же металлов медленнее расщепляются полинуклеотиды, обладающие более прочной вторичной структурой¹⁰⁴. Причины этих закономерностей, возможно, те же, что и для щелочного гидролиза РНК (см. стр. 553).

Гидролиз РНК, катализируемый соединениями тяжелых металлов, в настоящее время для препаративных или аналитических целей не применяется, однако возможность расщепления фосфодиэфирных связей в присутствии соединений тяжелых металлов в мягких условиях — при нейтральных рН и невысоких температурах — всегда следует учитывать при работе с РНК¹⁰³.

III. РЕАКЦИИ С РАЗРЫВОМ СВЯЗЕЙ С—О

Расщепление фосфоэфирных связей в нуклеиновых кислотах с разрывом связей С—О наблюдается в тех случаях, когда эти связи активированы карбонильной группой в остатке сахара, находящейся по отношению к ним в β -положении. Введение такой карбонильной группы может быть достигнуто либо удалением основания (см. гл. 7 и 8), что приводит к активации 3'-фосфоэфирной связи, либо окислением гидроксильных групп в углеводном остатке (см. гл. 9). В последнем случае могут быть активированы как 3'-, так и 5'-фосфоэфирные связи.

Таблица 10.10. Гидролиз РНК и полирибонуклеотидов в присутствии соединений тяжелых металлов

Исходный полирибонуклеотид	Соединение металла	pH среды	Температура, °C	Продолжительность реакции, #	Степень расщепления фосфодиэфирных связей, %	Продукты реакции	Литература
Поли-А	$\text{Cu}^{II} (2 \cdot 10^{-4} \text{ M})$	5	64	20	90	Моно- и олигонуклеотиды	102
Поли-А	$\text{Zn}^{II} (2 \cdot 10^{-4} \text{ M})$	7	64	5	100	Моно- и олигонуклеотиды	102
Поли-У		7	64	5	100		
Поли-С		7	64	15	100		
Поли-Г		7	64	30	50		
РНК из дрожжей		7	64	15	100		
РНК ВТМ	$\text{Zn}^{II} (10^{-3} \text{ M})$	6,5	65	0,17	Потеря биологической активности	—	103
РНК из дрожжей	$\text{Zn}(\text{OH})_2$ (суспензия)	8	100	8	100	Мононуклеотиды	15, 106
РНК из дрожжей	$\text{Zn}(\text{CH}_3\text{COO})_2$	7	100	10—15			
	$\text{Cd}(\text{OH})_2$	4	100	24			
	(суспензия)	8	100	8	100	Мононуклеотиды	15, 106
РНК из дрожжей	$\text{Al}(\text{OH})_3$ (суспензия)	7	100	10—15			
		4	100	24	—	Мононуклеотиды и нуклеозиды	106—108, 15, 106—108
РНК из дрожжей	$\text{La}^{III} (2 \cdot 10^{-4} \text{ M})$	8	100	—	—	Моно- и олигонуклеотиды	24
РНК из дрожжей	$\text{La}^{III} (2 \cdot 10^{-4} \text{ M})$	4	100	—	89	Моно- и олигонуклеотиды	14
РНК из дрожжей	$\text{La}^{III} (2 \cdot 10^{-4} \text{ M})$	7	64	1,7—3,4	—	Нуклеотиды	14
РНК из дрожжей	$\text{La}^{III} (2 \cdot 10^{-4} \text{ M})$	7	64	1,7—3,4	—	Нуклеотиды	24
РНК из дрожжей	Ce^{III}	7	64	1,7—3,4	—	Нуклеотиды	14
Поли-У	La^{III}	7	64	1,7—3,4	—	Моно- и олигонуклеотиды	14
РНК из дрожжей	$\text{Ce}(\text{OH})_3, \text{La}(\text{OH})_3$	7—8	100	—	—	Нуклеотиды	15
РНК из дрожжей	$\text{Lu}(\text{OH})_3$	8	80	60—70	100	Нуклеотиды	51
РНК из дрожжей	$\text{Th}^{IV} (10^{-4} \text{ M})$	8,5	37	72	—	Нуклеотиды, моно- и олигонуклеотиды	12
РНК из дрожжей	$\text{Sn}(\text{OH})_2, \text{Fe}(\text{OH})_2$	pH 7—8	100	—	—	Нуклеотиды, моно- и олигонуклеотиды	15
РНК из дрожжей	$\text{Pb}(\text{OH})_2$ (суспензия)	8	100	3	100	Нуклеотиды	15
Поли-А	$\text{Pb}^{II} (10^{-4} - 10^{-3})$	4	100	—	—	Нуклеотиды и олигонуклеотиды	104
		7,5—8,5	37	1,7	—	Олигонуклеотиды	104
		8	37	1,7	—	Олигонуклеотиды, мононуклеотиды и нуклеозиды	104
		8	37	1,7	—	Олигонуклеотиды, мононуклеотиды и нуклеозиды	104
РНК ВТМ	Pb^{II}	5,8	Комнатная	24	100	Мононуклеотиды	103
РНК из дрожжей	$\text{V}_2(\text{OH})_5$ (суспензия)	4	100	1,7	—	Моно- и олигонуклеотиды	102
РНК ВТМ	Cr^{III}	6,5	65	0,3—1	Потеря биологической активности	—	103
РНК из дрожжей	$\text{Mn}^{II} (2 \cdot 10^{-4} \text{ M})$	7	64	20	—	Олигонуклеотиды	102
РНК из дрожжей	$\text{Co}^{II} (2 \cdot 10^{-4} \text{ M})$	7	64	20	—	Олигонуклеотиды	102
	$\text{Ni}^{II} (2 \cdot 10^{-4} \text{ M})$	7	64	20	—	Олигонуклеотиды	102

Таблица 10.10. Гидролиз РНК и полирибонуклеотидов
в присутствии соединений тяжелых металлов

Исходный полирибонуклеотид	Соединение металла	pH среды	Температура, °C	Продолжительность реакции, ч	Степень расщепления фосфорэфирных связей, %	Продукты реакции	Литература
Поли-А	$\text{Cu}^{II} (2 \cdot 10^{-4} \text{ M})$	5	64	20	90	Моно- и олигонуклеотиды	102
Поли-А	$\text{Zn}^{II} (2 \cdot 10^{-4} \text{ M})$	7	64	5	100	Моно- и олигонуклеотиды	102
Поли-У		7	64	5	100		
Поли-С		7	64	15	100		
Поли-Г		7	64	30	50		
РНК из дрожжей	$\text{Zn}^{II} (10^{-3} \text{ M})$	7	64	15	100	—	103
РНК ВТМ		6,5	65	0,17	Потеря биологической активности		
РНК из дрожжей	$\text{Zn}(\text{OH})_2$ (суспензия)	8	100	8	100	Мононуклеотиды	15, 106
РНК из дрожжей	$\text{Zn}(\text{CH}_3\text{COO})_2$	7	100	10—15			
	$\text{Cd}(\text{OH})_2$	4	100	24			
	(суспензия)	8	100	8			
РНК из дрожжей	$\text{Al}(\text{OH})_3$ (суспензия)	7	100	10—15	100	Мононуклеотиды	15, 106
		4	100	24			
РНК из дрожжей	$\text{La}^{III} (2 \cdot 10^{-4} \text{ M})$	8	100	—	—	Многонуклеотиды и нуклеотиды	106, 108, 15
		7	37	300 суток	89	Моно- и олигонуклеотиды, нуклеозиды	106—108, 21
Поли-С	$\text{La}^{III} (2 \cdot 10^{-4} \text{ M})$	7	64	1,7—3,4	—	Моно- и олигонуклеотиды	14
Поли-У		7	64	100	—	Нуклеозиды	14
Поли-А		7	37	30 суток	31		24
Поли-Г		7	64	1,7—3,4	—	Моно- и олигонуклеотиды	14

Поли-У	Lu^{III}	7	64	1,7—3,4	—	Моно- и олигонуклеотиды	14
РНК из дрожжей	$\text{Ce}(\text{OH})_3, \text{La}(\text{OH})_3$	7—8	100	—	—	Нуклеозиды	15
РНК из дрожжей	$\text{La}(\text{OH})_3$	8	80	60—70	100	Нуклеотиды	51
РНК из дрожжей	$\text{Th}^{IV} (10^{-4} \text{ M})$	8,6	37	72	—	Нуклеозиды, моно- и олигонуклеотиды	12
РНК из дрожжей	$\text{Sm}(\text{OH})_3, \text{Eu}(\text{OH})_3$	10	100	—	—	Нуклеозиды	—

Поли-U	Lu ^{III}	7	64	1,7-3,4	—	Моно- и олиго- нуклеотиды	14
РНК из дрожжей	Ce(OH) ₃ , La(OH) ₃	7-8	100	—	—	Нуклеозиды	15
РНК из дрожжей	La(OH) ₃	8	80	60-70	100	Нуклеозиды	51
РНК из дрожжей	Th ^{IV} (10 ⁻² M)	8,6	37	72	—	Нуклеозиды, мо- но- и олиго- нуклеотиды	12
РНК из дрожжей	Sn(OH) ₂ , Fe(OH) ₂	pH 7-8	100	—	—	Нуклеозиды, мо- но- и олиго- нуклеотиды	15
РНК из дрожжей	Pb(OH) ₂ (суспензия)	8 4	100 100	3 —	100 —	Нуклеозиды	15
		7,5- 8,5	37	1,7	—	Нуклеозиды и мнуклеотиды	15
Поли-A	Pb ^{II} (10 ⁻⁴ - 10 ⁻³)	8	37	1,7	—	Олигонуклеоти- ды	104
Поли-U						Олигонуклеоти- ды, монону- клеотиды и нуклеозиддик- лофосфаты	104
Поли-I							
Поли-C							
(Пол-А) (пол-У)	Pb ^{II}	5,8	Комнатная	24	100	Монуклеотиды	103
(Пол-Г) (пол-С)		4	100	1,7	—	Моно- и олиго- нуклеотиды	102
РНК ВТМ	Bi(OH) ₃ (суспензия)	4	100	4-6	100	Нуклеозиды	105
РНК из дрожжей	Cu ^{III}					—	103
	Mn ^{II}						
	Ni ^{II}						
	Co ^{II}						
РНК из дрожжей	Mn ^{II} (2 · 10 ⁻⁴ M)	7	64	20	—	Олигонуклеоти- ды	102
	Co ^{II} (2 · 10 ⁻⁴ M)	7	64	20	—	Олигонуклеоти- ды	102
	Ni ^{II} (2 · 10 ⁻⁴ M)	7	64	20	—	Олигонуклеоти- ды	102

один углеводный остаток с пуриновым основанием и две связанные с ним фосфатные группы двух нуклеотидных звеньев).

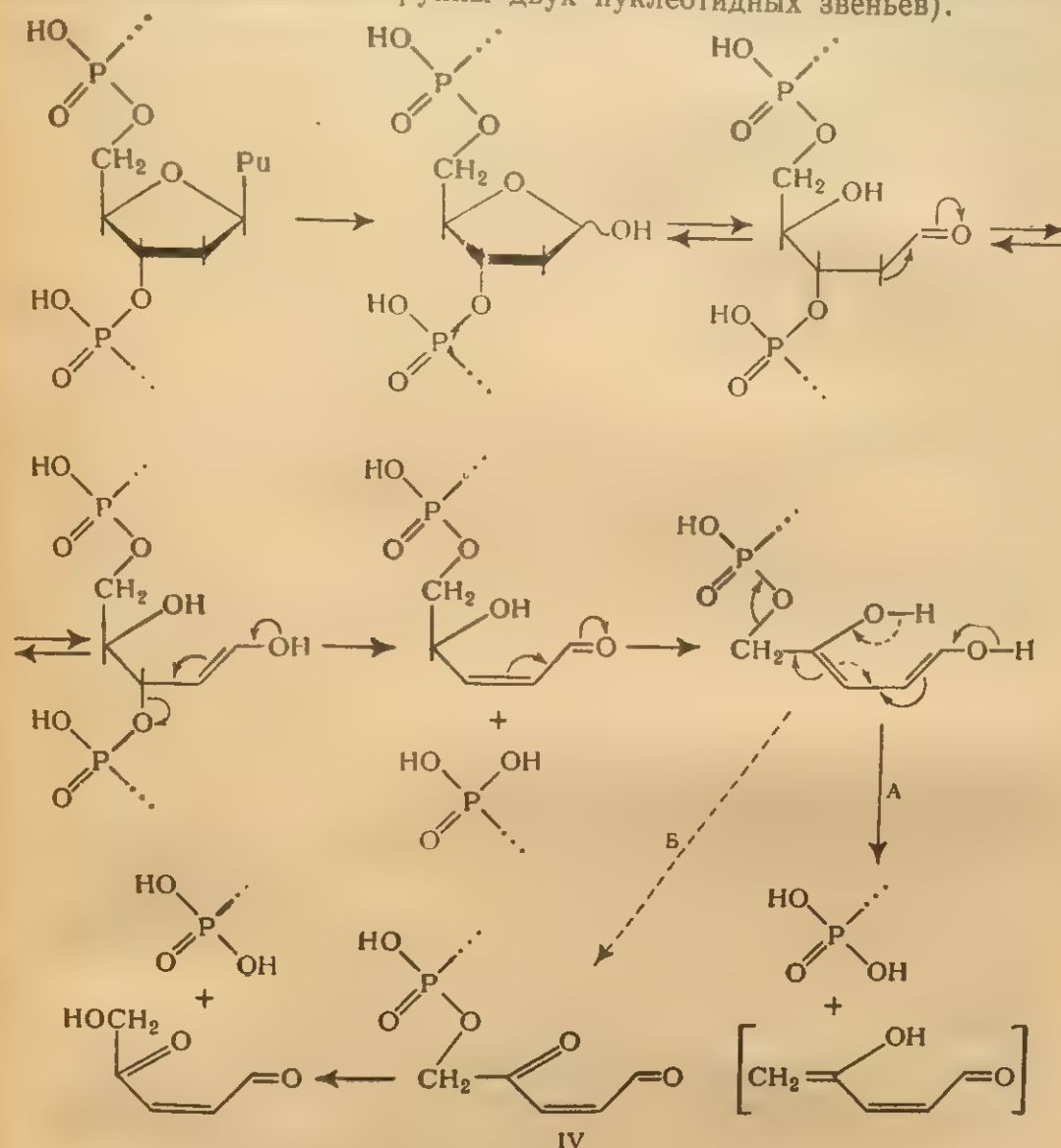
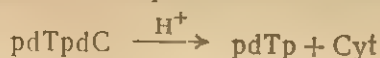


Схема 3. Кислотный гидролиз ДНК.

В ациклической таутомерной форме дезоксирибозильного звена 3'-фосфоэфирная группа находится в β -положении к карбонильной группе при С-1 и может отщепляться по механизму β -элиминации, хорошо известному для фосфорных эфиров β -оксикарбонильных соединений^{125, 126}. Отщепление 5'-фосфатной группы у того же звена может происходить в результате дальнейших превращений дезоксирибозильного остатка либо по механизму, подобному β -элими-

нации (путь А), либо через промежуточное образование соединения IV, имеющего карбонильную группу в α -положении к 5'-фосфодиэфирной связи, по механизму α -элиминации, описанному для α -кетосфорных эфиров¹²⁷ (путь Б). Альтернативный механизм, предполагающий участие ОН-группы при С-4' дезоксирибозного остатка (механизм трансфосфорилирования, см. стр. 553 и 561), был отвергнут, поскольку он предполагает образование значительных количеств олигонуклеотидов, дефосфорилированных по 3'- или 5'-концевым звеньям, которые не были обнаружены в сколько-нибудь заметных количествах^{115, 119}.

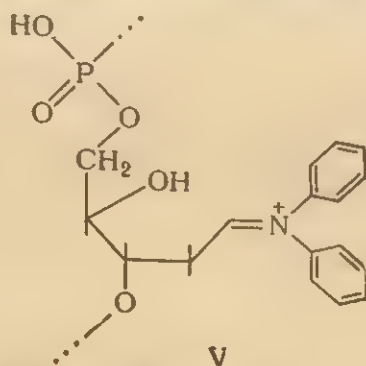
Обычным методом кислотной дегградации ДНК является нагревание ее 2%-ного раствора в 0,2 н. серной кислоте при 100°С в течение 35 мин¹²⁸. При данном методе гидролиза эти условия являются оптимальными, так как они позволяют достичь достаточно полного расщепления фосфодиэфирных связей у дезоксирибозильных звеньев, образовавшихся в результате апуринизации ДНК (см. также стр. 500). Большая продолжительность реакции приводит к частичной апириминизации ДНК и расщеплению соответствующих фосфодиэфирных связей, как было показано при изучении кинетики кислотного гидролиза пиримидиновых олигонуклеотидов. При этом остаток цитозина отщепляется с большей скоростью, чем остаток тимина¹¹⁵. Так, при длительном нагревании динуклеотида pдТрпС в 0,2 н. серной кислоте при 100°С протекает преимущественное отщепление цитозина и образование тимидин-3',5'-дифосфата:



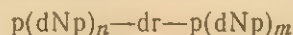
Другим вариантом кислотного гидролиза ДНК является обработка муравьиной кислотой в присутствии различных ароматических аминов¹²⁹, среди которых наиболее эффективным оказался дифениламин¹²⁹⁻¹³⁴. Стандартная процедура гидролиза заключается в инкубации ДНК с 2%-ным раствором дифениламина в 66%-ной муравьиной кислоте при 30°С в течение 17 ч¹³⁴. Продуктами реакции (так же как и при гидролизе ДНК 0,2 н. серной кислотой) являются пиримидиновые моно- и олигодезоксинуклеотиды с 3'- и 5'-концевыми фосфатными группами p(dNp)_n, незначительные количества пиримидиновых 3'- и 5'-моонуклеотидов (менее 1% от общего содержания пиримидинов в ДНК¹³⁵), неорганический фосфат и неидентифицированные продукты превращения дезоксирибозы.

Строение олигонуклеотидов, образующихся при гидролизе ДНК действием муравьиной кислоты в присутствии дифениламина, указывает на то, что реакция протекает по механизму β -элиминации. Роль муравьиной кислоты сводится к апуринизации ДНК^{129, 133}, а дифениламин, без которого расщепление фосфодиэфирных связей практически не происходит¹³³, по-видимому, образует с карбонильной группой ациклической формы остатка дезоксирибозы «ен-

амин» V, что облегчает β -элиминирование 3'-фосфатной группы (об использовании аминов в реакциях β -элиминации см. стр. 581).



Сравнение двух указанных методов кислотного расщепления ДНК показало, что при гидролизе муравьиной кислотой с дифениламином образуется больше коротких ($n \leq 4$) олигонуклеотидов^{119, 133}. Эти различия обусловлены неполным расщеплением фосфодиэфирных связей по негликозилированным (апуринизированным) остаткам дезоксирибозы в ДНК при гидролизе 0,2 н. серной кислотой¹³⁵. Так, из продуктов расщепления ДНК серной кислотой были выделены пиримидиновые олигонуклеотиды, содержащие негликозилированные дезоксирибозильные звенья, типа



где dr — остаток дезоксирибозы.

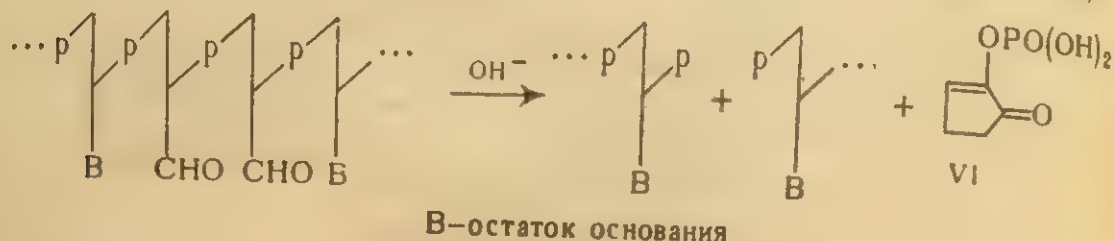
В то же время среди продуктов гидролиза ДНК муравьиной кислотой в присутствии дифениламина такие олигонуклеотиды обнаружены не были¹³⁵. Кроме того, при гидролизе ДНК 0,2 н. серной кислотой побочная реакция — отщепление цитозина — идет в заметно большей степени (5,5% от общего содержания цитозина в ДНК), чем при расщеплении муравьиной кислотой и дифениламином (1,2%)¹³⁵. Таким образом, последний метод является более количественным и специфичным¹³⁵.

Оба метода кислотного гидролиза ДНК были использованы для анализа распределения остатков пиримидинов в ДНК^{124, 129, 136–140, 224–228}; полученные данные говорят о том, что такое распределение существенно отличается от статистического. Очевидно, что для более тонкого изучения первичной структуры ДНК оба указанных метода непригодны.

Щелочной гидролиз ДНК с частично удаленными основаниями

Более общим методом расщепления фосфодиэфирных связей в ДНК является щелочной гидролиз молекул полинуклеотида, из которых тем или иным способом удалены какие-либо основания. При

щелочном гидролизе такой модифицированной ДНК фосфодиэфирные связи расщепляются у дезоксирибозильных звеньев со свободным гликозидным центром (как и при кислотном гидролизе ДНК):



Основными продуктами реакции являются ^{141, 142} нуклеозид-3',5'-дифосфаты и олигонуклеотиды, фосфорилированные по 3'- и 5'-концевым звеньям, неорганический фосфат и 2-оксоциклопентенил-1-фосфат VI *, являющийся продуктом превращения негликозилированных звеньев. В ряде работ было, однако, показано, что в продуктах щелочного гидролиза ДНК с частично удаленными основаниями содержатся значительные количества олигонуклеотидов, лишенных концевых фосфатных групп ¹⁴³⁻¹⁴⁵. Эти данные могут быть интерпретированы различным образом с точки зрения двух возможных механизмов щелочного гидролиза ДНК с частично удаленными основаниями: 1) β-элиминации фосфатных групп ^{53, 146} и 2) их гидролиза по механизму трансфосфорилирования с участием OH-группы при C-4' дезоксирибозильного звена в ациклической форме ¹⁴⁷⁻¹⁴⁸. Роль обоих механизмов в настоящее время продолжает оставаться предметом обсуждения ¹⁴¹⁻¹⁴⁵. Преимущественное образование олигонуклеотидов, фосфорилированных по 3'- и 5'-концевым звеньям ¹⁴², и выделение из продуктов щелочного гидролиза апуриновых ДНК значительных количеств 2-оксоциклопентенил-1-фосфата VI ^{141, 142} свидетельствуют в пользу того, что расщепление 3'-фосфодиэфирных связей у дезоксирибозильных звеньев со свободным гликозидным центром проходит по механизму β-элиминации (схема 4, см. стр. 577).

Этот механизм аналогичен рассмотренному ранее для кислотного гидролиза ДНК (см. стр. 572). Роль гидроксил-анионов (как и протонов при β-элиминации, катализируемой кислотами) заключается в енолизации карбонильной группы при C-1' в открытой форме остатка дезоксирибозы, приводящей к β-элиминации 3'-фосфатной группы. Отщепление 5'-фосфатной группы может происходить либо по механизму, подобному β-элиминации, либо по механизму α-элиминации (см. также стр. 574). Образование 2-оксоциклопентенил-1-фосфата VI может быть связано с двумя путями превра-

* Это соединение, идентифицированное сравнительно недавно ¹⁴¹⁻¹⁴², в более ранних работах часто обозначалось как «ненуклеотидный органический фосфат».



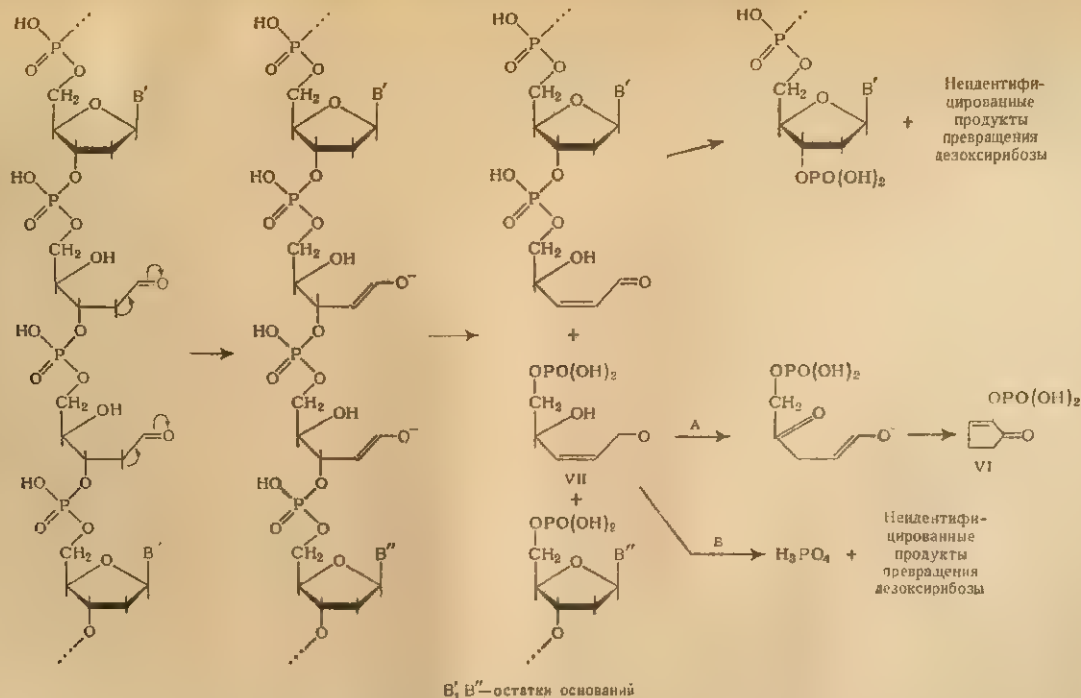
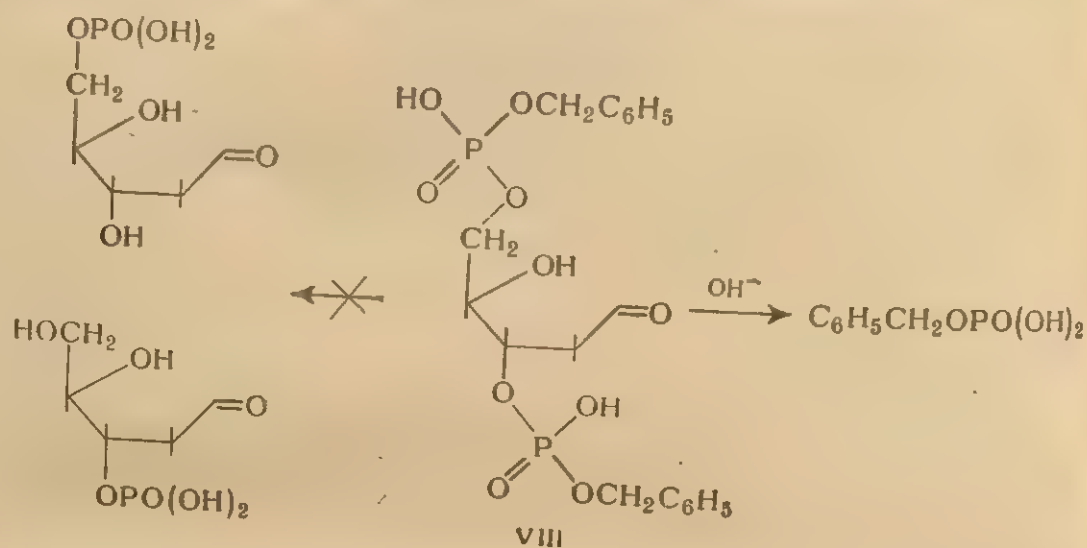


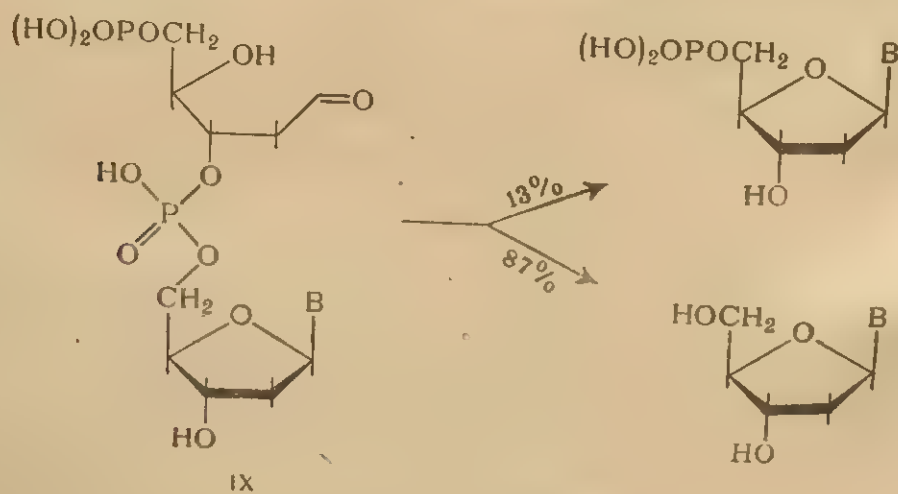
Схема 4. Щелочной гидролиз модифицированной ДНК.

щения промежуточного продукта VII: с отщеплением (путь Б) и без отщепления фосфата (путь А).

В пользу подобного механизма и против участия ОН-группы при С-4' в расщеплении фосфодиэфирных связей при щелочном гидролизе ДНК с частично удаленными основаниями свидетельствуют также результаты изучения щелочного гидролиза 2'-дезоксирибофуранозил-3',5'-бис-монобензилфосфата VIII¹⁴¹. В продуктах реакции был обнаружен только бензилфосфат (90%), а 3'- и 5'-рибозофосфаты отсутствовали, что однозначно указывает на отщепление бензилфосфата по механизму β-элиминации¹⁴¹.



Иной результат был получен при изучении гидролиза модельного соединения 5'-фосфодезоксирибозилил-(3' → 5')-тимидина IX



В-остаток тимина

III. РЕ

в 0.3
в этом
ния ф
ОН-г
дин-5'

Эт
дезок
окси
до N-
обраб
мых д
такой

Ес
N-гли
мидин
ствите
при С

Та
стично
β-эли
оксид

Ще
различ
основа

С этой
ром К

ром ш
тами р

пирим
нуклео

(о дру
содерж
нуклео

метода
100° С

и того
Ще

ным м
из пол
ного ги
твор К
18 ч) п

гидраз
ванным
ями на
ной ДН

в 0,3 н. растворе КОН при 40°С¹⁴⁹. Основным продуктом реакции в этом случае являлся тимидин, образовавшийся за счет расщепления фосфодиэфирной связи по механизму циклизации с участием ОН-группы при С-4', а по пути β-элиминации (образование тимидин-5'-фосфата) гидролиз прошел лишь на 13%.

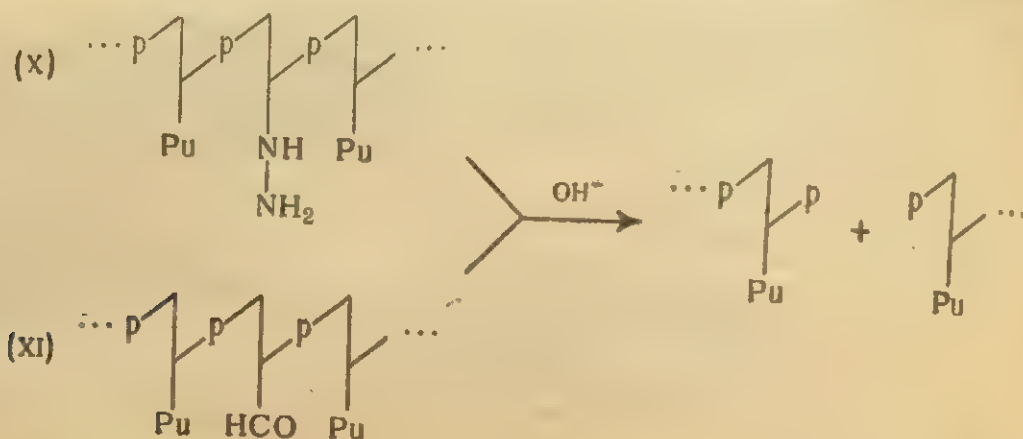
Это заключение может быть, однако, и ошибочным. 5'-Фосфодезоксирибозил- (3'→5')-тимидин был получен¹⁴⁹ из 5'-фосфодезоксицитидил- (3'→5')-тимидина окислением цитозинового ядра до N-окиси (см. стр. 389) с последующей щелочной и кислотной обработкой, приводящей к расщеплению цикла (см. стр. 455). Прямых доказательств полного расщепления гликозидной связи после такой обработки не приводится.

Если же щелочной деградации подвергалось ациклическое N-гликозидное производное 5'-фосфодезоксирибозил- (3'→5')-тимидина, то расщепление фосфодиэфирной связи должно было действительно идти по механизму циклизации гидроксильной группы при С-4' (см. стр. 561).

Таким образом, возможно, что щелочной гидролиз ДНК с частично удаленными основаниями проходит частью по механизму β-элиминации, а частью по механизму циклизации с участием гидроксильной группы при С-4'.

Щелочной гидролиз был использован для расщепления ряда различных ДНК с частично удаленными тем или иным способом основаниями, например для расщепления апуриновых ДНК¹⁵⁰. С этой целью апуриновые ДНК обрабатывают 0,2—0,3 н. раствором КОН при 100°С в течение 35—60 мин¹¹⁹ или 0,3—1,0 н. раствором щелочи при 37°С в течение 18—24 ч¹⁵¹. Основными продуктами реакции, как и при кислотном гидролизе ДНК, являются пиримидиновые нуклеозид-3',5'-дифосфаты и пиримидиновые олигонуклеотиды, фосфорилированные по 3'- и 5'-концевым звеньям (о других продуктах реакции см. стр. 576). При этом относительное содержание каждого из типов олигонуклеотидов (по длине цепи и нуклеотидному составу) достаточно близко совпадает, если оба метода — гидролиз 0,3 н. щелочью и 0,2 н. серной кислотой при 100°С в течение 35 мин — применяются для расщепления одного и того же препарата ДНК¹¹⁹.

Щелочной гидролиз до недавнего времени являлся единственным методом расщепления ДНК после избирательного удаления из полинуклеотида пиримидиновых оснований действием безводного гидразина (см. стр. 464). Обработке щелочью (0,2—0,3 н. раствор КОН при 100°С, 1 ч или 1—0,75 н. раствор КОН при 37°С, 18 ч) подвергались апиридинные ДНК как с дезоксирибозилгидразинными (X)^{152–155} (см. стр. 465), так и с негликозилированными дезоксирибозильными (XI)^{156–158} (см. стр. 467) звеньями на месте пиримидиновых нуклеозидных звеньев в исходной ДНК:



Основными продуктами реакции являются пуриновые нуклеозид-3',5'-дифосфаты и олигонуклеотиды, фосфорилированные по 3' и 5'-концевым звеньям. Отмечено также образование дефосфорилированных по концевым звеньям олигонуклеотидов (см. стр. 576) ^{143, 144}. Кроме того, имеется указание ¹⁴⁵ на неполноту и плохую воспроизводимость результатов при щелочном расщеплении апириимидиновых ДНК с дезоксирибозилгидразинными звеньями *. Метод был использован для изучения распределения пуриновых оснований в ДНК ^{145, 157} (о возможных ограничениях данного метода ¹⁵⁹ в связи с неоднозначностью протекания реакции гидразина с дезоксицитидиновыми звеньями ДНК см. стр. 467).

Применимость метода щелочного гидролиза ДНК с частично удаленными основаниями для изучения распределения того или иного типа оснований в ДНК в значительной степени зависит от специфичности реакций, используемых для избирательного разрушения или удаления оснований из состава ДНК, и от строения образующихся дезоксирибозильных звеньев (наличие или отсутствие заместителей у гликозидного атома модифицированного звена). Так, после окисления ДНК перманганатом калия (см. стр. 476), в результате чего разрушаются все основания, кроме аденина, последующий щелочной гидролиз приводит к образованию адениновых олигонуклеотидов $p(dAp)_n$, главным образом тринуклеозидтетрафосфатов ¹⁴⁶. Дальнейшие исследования показали, однако, что часть образующихся олигонуклеотидов содержит нуклеотидные дезоксирибозильные производные ¹⁶⁰.

Щелочной гидролиз был применен также для расщепления ДНК после ее предварительного дезаминирования с последующим гидроксиламинолизом (удаление остатков цитозина и большей части остатков гуанина, см. стр. 472) ¹⁶¹, а также после предварительного окисления OsO_4 (разрушение остатков тимина и частично остатков

* Это связано, вероятно, с тем, что в дезоксирибозилгидразинных звеньях расщепление фосфодиэфирных связей по механизму β -элиминации затруднено ¹⁴⁵.

III. РЕАКЦИИ
цитозина.
оснований
литических
ными мето.
ные с оста
строения.
путем ДНК

Расще
основа

Этот мет
стично уда
производные
С-1' дезокси
Было по

как реакти
NH₂NHCON
C₆H₅NHNH₂
лин C₆H₅NH
ДНК протек
от природы
ся ^{163, 164} оли
звену и нес
превращения
основанием),
Строение эт
клеотидных
установлено.

«Ненукле
зультате ре
продуктам
нозил-3',5'-д
ток семикар
ными гидраз
нигидразин
«ненуклеоти
ческих фосф
поглощают
ческий фосф
щийся в рез
гидразином,
2-оксоцикло

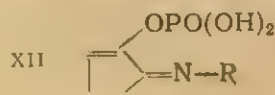
цитозина, см. стр. 477) ^{161, 162}. Однако обе эти реакции удаления оснований недостаточно специфичны для использования их в аналитических целях. Кроме того, после удаления оснований указанными методами образуются дезоксирибозильные звенья, связанные с остатками мочевины и азотистых соединений неизвестного строения. Поэтому щелочной гидролиз модифицированных таким путем ДНК приводит к неоднозначным результатам.

Расщепление ДНК с частично удаленными основаниями под действием аминов

Этот метод расщепления фосфодиэфирных связей в ДНК с частично удаленными основаниями был открыт при попытке получить производные ряда азотистых оснований по карбонильным группам C-1' дезоксирибозильных звеньев апуриновой ДНК ¹⁶³.

Было показано, что в присутствии азотистых оснований, таких, как реактив Жирара Т $\text{NH}_2\text{NHCOCH}_2\text{N}^+(\text{CH}_3)_3$, семикарбазид $\text{NH}_2\text{NHCONH}_2$, тиосемикарбазид $\text{NH}_2\text{NHCSNH}_2$, фенилгидразин $\text{C}_6\text{H}_5\text{NHNH}_2$, 2,4-динитрофенилгидразин $(\text{NO}_2)_2\text{C}_6\text{H}_3\text{NHNH}_2$ и анилин $\text{C}_6\text{H}_5\text{NH}_2$, гидролиз фосфодиэфирных связей в апуриновой ДНК протекает при 37° С и рН 2,5—3,5 за 1—8 ч (в зависимости от природы азотистого основания). Продуктами реакции являются ^{163, 164} олигонуклеотиды, фосфорилированные по 5'-концевому звену и несущие на 3'-конце нуклеотидные остатки (продукты превращения дезоксирибозильного звена, связанные с азотистым основанием), а также «нуклеотидные органические фосфаты». Строение этих 3'-концевых «нуклеотидных фрагментов» и «нуклеотидных органических фосфатов» в настоящее время еще не установлено.

«Нуклеотидные органические фосфаты», образующиеся в результате реакции ¹⁴C-семикарбазида с апуриновой ДНК, идентичны продуктам реакции ¹⁴C-семикарбазида с 2'-дезоксид-рибофуранозил-3',5'-дифосфатом ¹⁶⁴ и содержат один атом фосфора на остаток семикарбазида ^{163, 164}. Обработка апуриновой ДНК производными гидразина (семикарбазидом, фенилгидразином, 2,4-динитрофенилгидразином) приводит к образованию двух типов 3'-концевых «нуклеотидных звеньев» и двух типов «нуклеотидных органических фосфатов», причем первичные продукты реакции сильно поглощают в области 300—400 мкм ¹⁶⁴. «Нуклеотидный органический фосфат» (первичный УФ-поглощающий продукт), образующийся в результате реакции апуриновой ДНК с 2,4-динитрофенилгидразином, по данным ¹⁶⁴, идентичен 2,4-динитрофенилгидразону 2-оксоциклопентенил-1-фосфата ¹⁵¹



Это позволяет предположить, что 3'-концевые «ненуклеотидные фрагменты» и «ненуклеотидные органические фосфаты» (первичные продукты реакции) являются производными 2-оксоциклопентенил-1-фосфата и азотистых оснований (соединения типа XII).

Взаимодействие модифицированной (апуриновой или апиримидиновой) ДНК с азотистыми основаниями в общем виде можно представить схемой 5 (см. стр. 582).

Реакция протекает, по-видимому, по механизму β -элиминации, на что указывает строение продуктов расщепления апуриновой ДНК^{163, 164} и условия проведения реакции, исключающие возможность распада фосфодиэфирных связей по механизму циклизации (в интервале $\text{pH} \geq 2$ апуриновые ДНК достаточно устойчивы). Роль азотистых оснований заключается в образовании производных по гликозидному атому С-1' дезоксирибозильного остатка, что облегчает протекание β -элиминации (об аналогичных реакциях в ряду производных РНК см. ниже).

Реакция была использована для расщепления апиримидиновой ДНК. Препараты модифицированной ДНК обрабатывали 3%-ным раствором анилина при pH 5 и 37° С в течение 3 ч. Образующиеся олигонуклеотиды, как было показано при включении в них меченого ¹⁴С анилина¹⁶⁵, имеют строение $(\text{pN})_n$, где N — остаток пуринового нуклеозида, $n = 1 - 8$. Данный метод гидролиза фосфодиэфирных связей был использован для анализа распределения пуринов (в частности, 6-метиламинопурина) в ДНК¹⁶⁶.

Расщепление ДНК с частично удаленными основаниями под действием различных азотистых оснований является, по-видимому, наиболее перспективным из всех методов подобного типа деградации, существующих в настоящее время; реакция протекает быстро, количественно и в мягких условиях, исключающих побочные реакции.

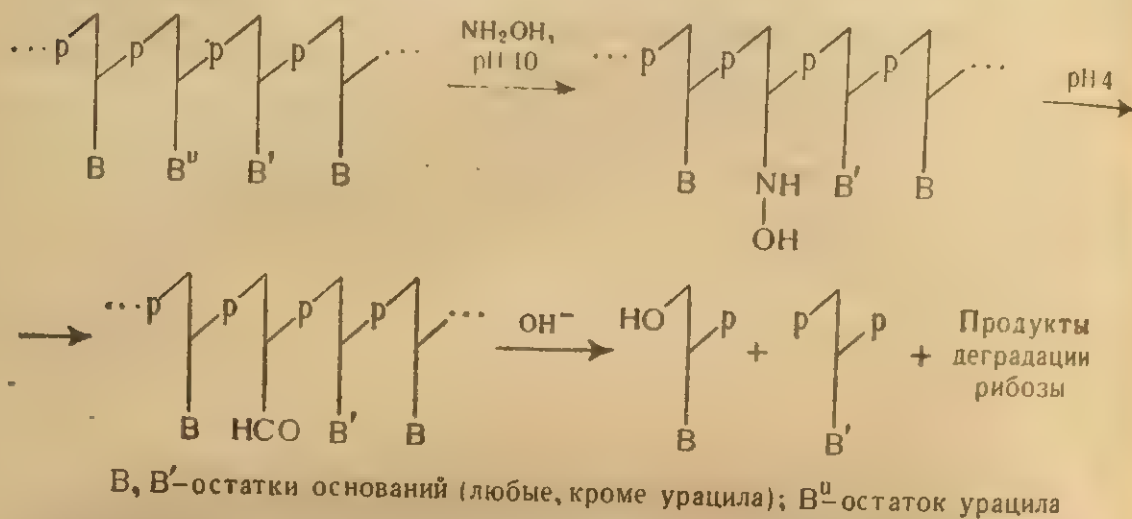
Расщепление РНК с частично удаленными основаниями

Реакции, приводящие к расщеплению РНК с избирательно удаленными основаниями (о методах получения таких РНК см. гл. 7 и 8), были изучены главным образом на примере дезурацильных РНК, образующихся в результате обработки РНК гидроксиламином при pH 10 (см. стр. 470).

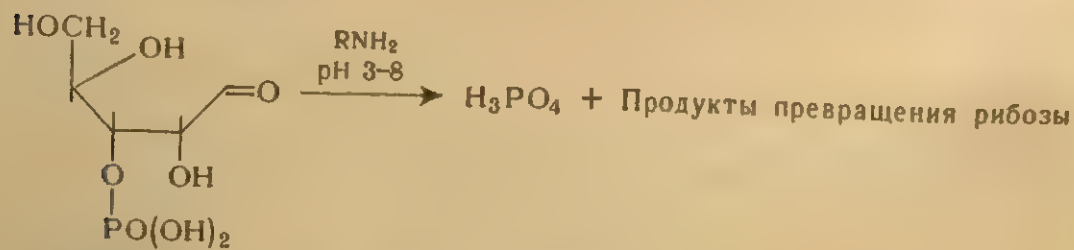
Щелочной гидролиз таких дезурацильных РНК приводит к образованию наряду с нуклеозид-2'(3')-фосфатами нуклеозид-2'(3'),5'-дифосфатов, получающихся, по-видимому, за счет β -элиминации 3'-фосфоэфирных связей у негликозилированных рибозильных звеньев РНК, так как количество таких нуклеозид-2'(3'),5'-дифосфатов эквивалентно содержанию в РНК уридина¹⁶⁷. Для избирательного химического гидролиза дезурацильных РНК по

H, E: остатки оснований
 R = NHCOCH₂N(CH₃)₂; NHCONH₂; NHCSNH₂; NH⁺C₆H₄NH₂; NH⁺C₆H₄NO₂; C₆H₅
 Схема 5. Взаимодействие модифицированной ДНК с азотистыми основаниями

негликозилированным рибозильным звеньям, очевидно, неприменимы методы кислотного и щелочного гидролиза, используемые при расщеплении апуриновых и апиримидиновых ДНК (см. стр. 575 сл.), поскольку при этом происходит гидролиз всех фосфоэфирных связей РНК. Такой специфический гидролиз модифицированных РНК удастся, однако, осуществить в присутствии первичных аминов^{168, 169} (см. также стр. 581).

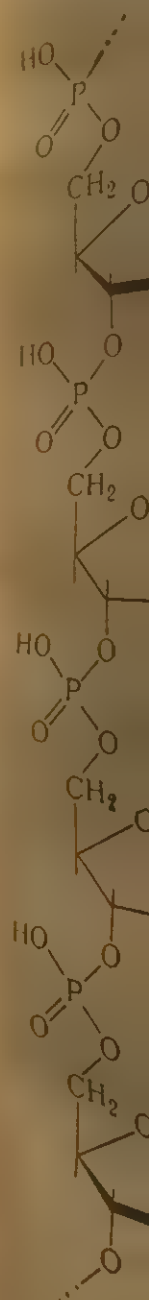


Первичные жирные амины и аминокислоты (глицин, лизин, β-аланин) в интервале pH 3—8 оказались малоэффективными²⁶⁹. Например, в присутствии лизина расщепление дезурацильной тРНК по негликозилированным рибозильным звеньям идет с заметной скоростью лишь в достаточно жестких условиях (pH 8, 80°С), но даже и при этом не достигается полноты расщепления¹⁶⁹. В то же время ароматические амины (анилин, *n*-анизидин) катализируют эффективное расщепление дезурацильной РНК в слабокислой среде (pH 5) и при невысокой температуре (37°С)¹⁶⁸. Эффективность различных аминов и влияние pH были изучены на модельной реакции — отщеплении неорганического ортофосфата от рибозил-3'-фосфата¹⁷⁰:



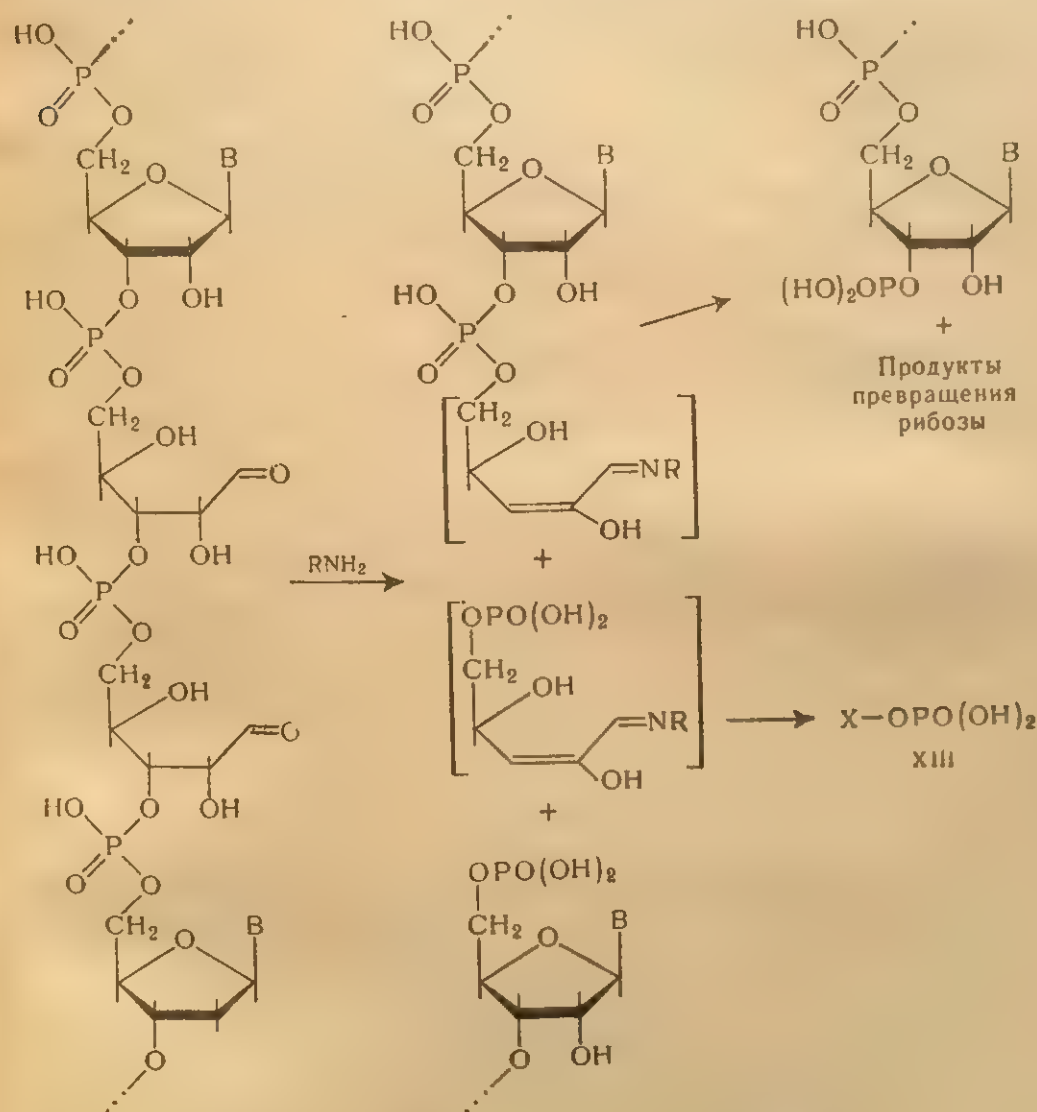
R = CH₃; CH₂CH₂NH₂; CH₂CH₂COOH; (CH₂)₃CH(NH₂)COOH; C₆H₅;
C₆H₄SO₃H-*n*; C₆H₄COOH-*n*; C₆H₄COOH-*o*; C₆H₄OCH₃-*n*

Среди
акции ока
дина при
ностью Р
звеньям 3
дами был
известного
дезурацил



Схема

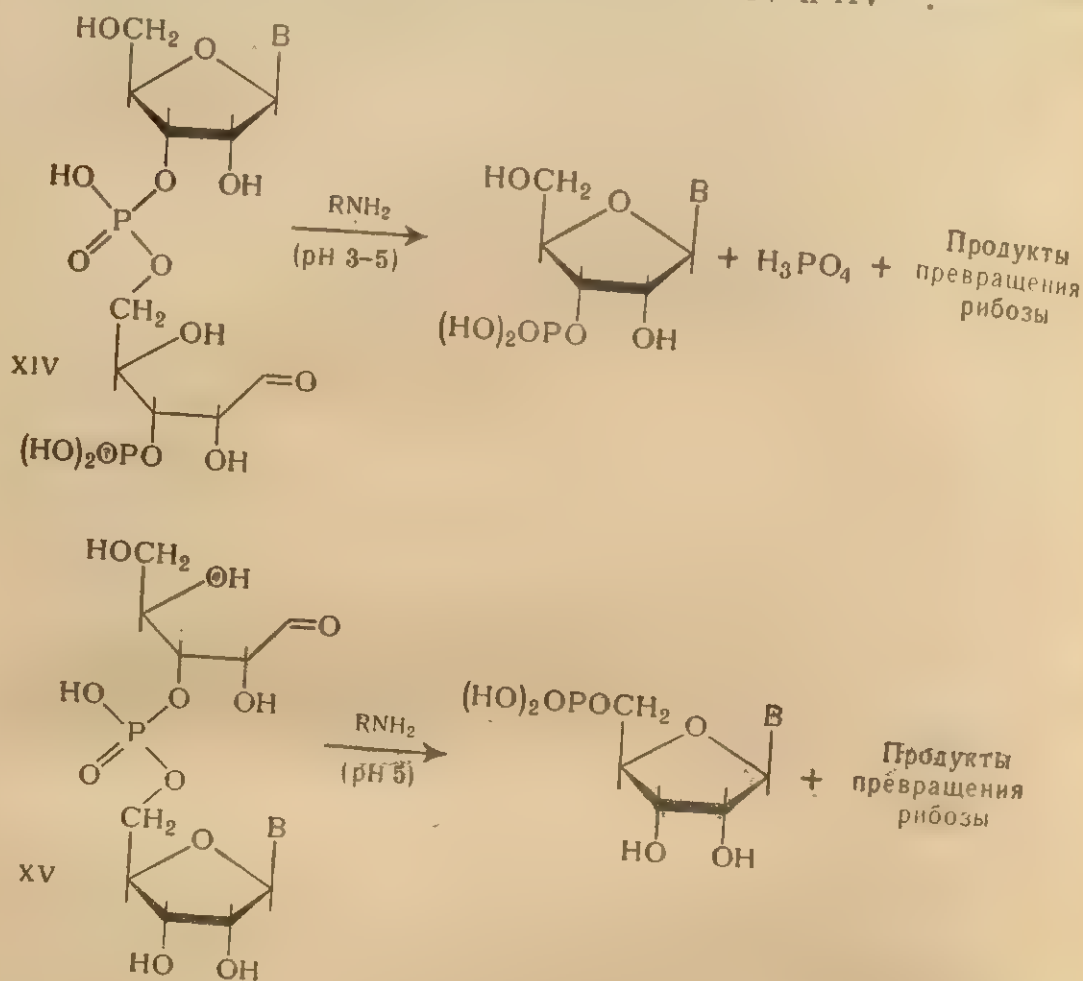
Среди изученных соединений наиболее эффективным в этой реакции оказался *n*-анизидин при рН 5¹⁷⁰. В присутствии *n*-анизидина при рН 5 и 37°С дезурацильная рибосомальная РНК полностью расщепляется по негликозилированным рибозильным звеньям за 12 ч¹⁶⁸. В продуктах реакции наряду с олигонуклеотидами был обнаружен «ненуклеотидный органический фосфат» неизвестного строения (XIII), являющийся продуктом превращения дезурацильных рибозильных звеньев¹⁶⁸ (схема 6).



В-остаток основания; $R = C_6H_5, C_6H_4OCH_3$ - и

Схема 6. Гидролиз модифицированной РНК в присутствии аминов.

Характер концевых звеньев в олигонуклеотидах, образующихся при расщеплении дезурацильной РНК в присутствии ароматических аминов, был выяснен при изучении продуктов превращения в тех же условиях модельных соединений XIV и XV ¹⁷¹.



В-остаток аденина; $\text{R} = \text{C}_6\text{H}_5$ или $p\text{-CH}_3\text{OC}_6\text{H}_4$

Эти данные показывают, что расщепление дезурацильной РНК в присутствии ароматических аминов приводит к олигонуклеотидам $(\text{pN})_n$ ¹⁷¹.

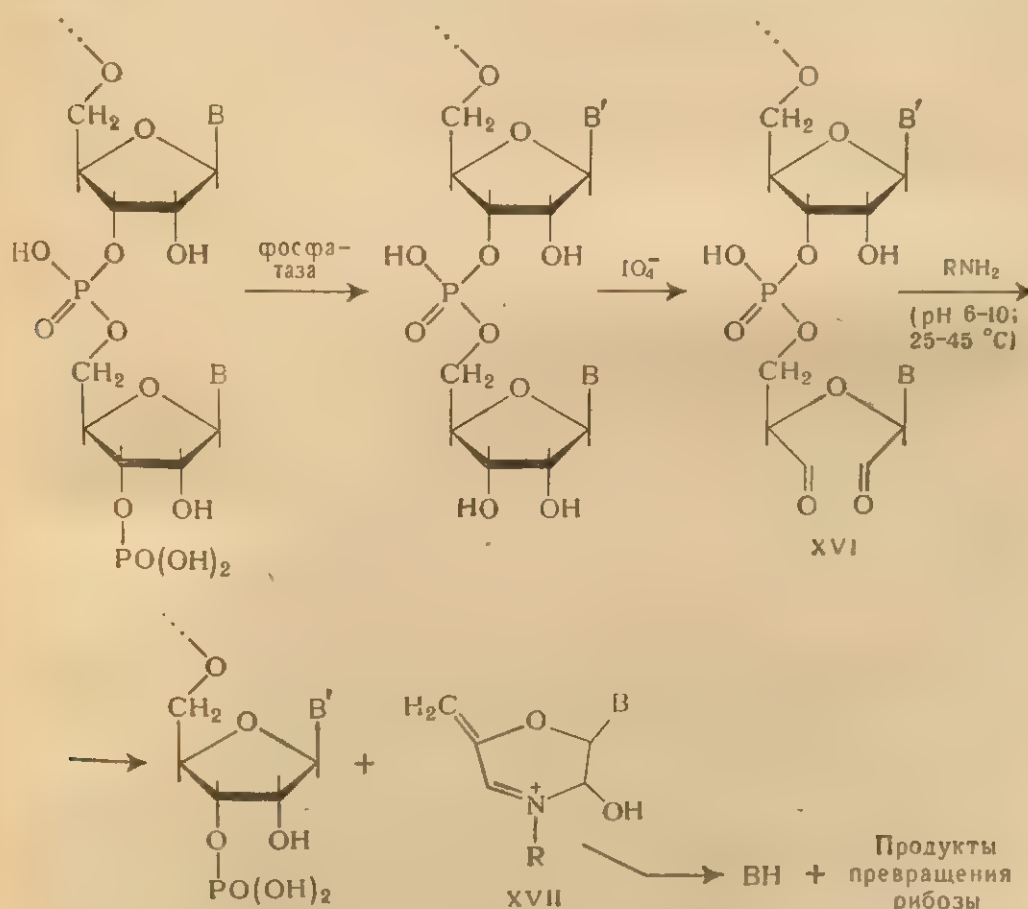
Недавно ¹⁷² описано успешное применение метода расщепления в присутствии аминов к фенилаланиновой тРНК из дрожжей, из состава которой было избирательно удалено одно единственное кислотолабильное основание неизвестной природы (см. стр. 503). Инкубация этой модифицированной тРНК в 0,4 М растворе лизина при pH 8,5 и 45°C в течение 2 ч или в 0,3 М растворе аннина при pH 5 и 25°C в течение 5 ч приводит к распаду молекулы на две половинки (разрыв вблизи середины цепи) ¹⁷². При этом

не было обнаружено каких-либо побочных реакций, поскольку РНК, состоящая из таких двух половинок, агрегированных за счет водородных связей (см. гл. 4), в значительной степени сохраняет способность акцептировать фенилаланин¹⁷². Это показывает, что метод химического расщепления РНК с избирательно удаленными основаниями не уступает по своим возможностям ферментативным методам гидролиза фосфодиэфирных связей РНК.

2. Расщепление фосфодиэфирных связей у концевых звеньев полинуклеотидов

Ступенчатая деградация олиго- и полирибонуклеотидов с 3'-конца цепи

Метод ступенчатой деградации полирибонуклеотидной цепи с 3'-конца, впервые описанный в работах^{173, 174}, включает несколько стадий:



B, B'—остатки оснований; R—органический радикал

Продукты превращения рибозы

Если олиго- или полинуклеотид фосфорилирован по 3'-концу, первой стадией является ферментативное дефосфорилирование. Затем следует периодатное окисление, превращающее 3'-концевой нуклеозидный остаток в 2',3'-диальдегид XVI, в котором 5'-фосфодиэфирная связь находится в β -положении к 3'-альдегидной группе (подробнее о периодатном окислении см. стр. 531). Завершающей стадией является расщепление 5'-фосфодиэфирной связи в диальдегидном производном XVI под действием различных первичных аминов. В результате образуется олиго- или полинуклеотид, «укороченный» с 3'-конца на одно нуклеотидное звено. Весь цикл превращений может быть повторен. От продукта превращения бывшего 3'-концевого нуклеотидного звена XVII при действии кислоты ($\text{pH} \leq 3$) или щелочи ($\text{pH} > 11$) отщепляют основание, определяемое далее обычными аналитическими методами. «Разрешающая способность» метода (возможность определять достаточно длинную 3'-концевую последовательность олигонуклеотида или РНК) зависит от полноты прохождения каждой стадии реакции. Важнейшей из этих стадий является расщепление фосфодиэфирной связи в диальдегиде XVI под действием аминов. Первоначально для этой цели использовали глициновый буфер ($\text{pH} 10-10,5$; 37°C , 18 ч)^{175, 176}. Таким методом была проведена ступенчатая деградация^{173, 177} ряда динуклеотидов

CrGr, ArCr, ArUr, GrCr, GrUr, ArUr
и тринуклеотидов

ArArCr, ArGrCr, GrArCr

В поисках оптимальных условий проведения реакции изучалось влияние ряда аминокислот и первичных аминов (глицина, аспарагина, лизина, метиламина, циклогексиламина)¹⁷⁷⁻¹⁸², pH среды¹⁷⁸⁻¹⁸¹, температуры¹⁸² на скорость расщепления фосфодиэфирной связи в диальдегидах, полученных периодатным окислением рибонуклеозид-5'-фосфатов и ряда олигонуклеотидов со свободной концевой *цис*-гликольной группировкой. Было показано, что расщепление желаемой фосфодиэфирной связи наиболее эффективно протекает в присутствии анилина¹⁸³, лизина¹⁷⁹⁻¹⁸², циклогексиламина^{178, 181, 182} и, в несколько меньшей степени, метиламина¹⁸⁰⁻¹⁸². Для продуктов периодатного окисления ряда динуклеозидмонофосфатов и олигонуклеотидов было продемонстрировано, что в присутствии лизина, циклогексиламина и метиламина достаточно полное расщепление фосфодиэфирной связи ($>95\%$) происходит только при повышенной температуре (45°C)¹⁸², в то время как при использовании анилина реакция протекает количественно при 24°C ¹⁸³. Данные о влиянии pH на скорость распада фосфодиэфирной связи противоречивы. Для протекания первой стадии реакции (образования аддукта между окисленным периодатом нуклеотидом и амином, см. стр. 589), по данным^{180, 181}, оптимальным является

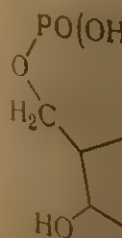
III. РЕАКЦИИ

$\text{pH} > 9$.
фосфодиэфирной
мальной
Для про
периода
в прис
нии pH
связей в
 45°C в
наково

При
датом а
дией ре
и одной
ние про

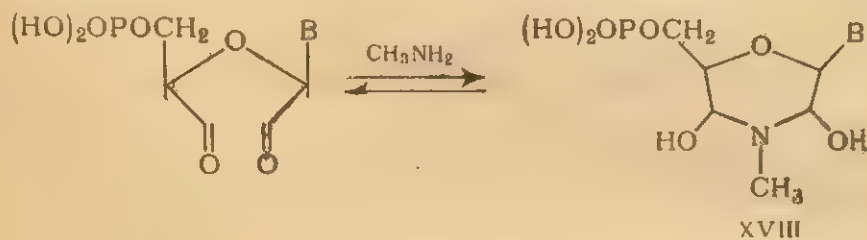
(НО

При
происхо



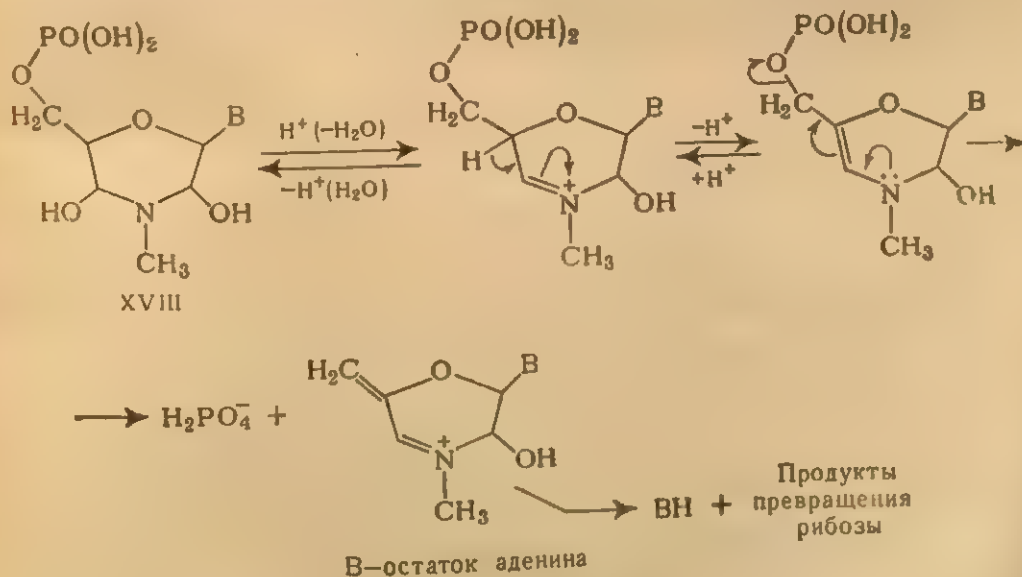
$\text{pH} > 9$. Для второй стадии реакции (собственно расщепления фосфоэфирной связи) необходимо, чтобы pH был меньше 8, с максимальной же скоростью эта стадия протекает при pH , равном 6,5. Для процесса отщепления неорганического фосфата от продукта периодатного окисления аденозин-5'-фосфата было показано, что в присутствии анилина скорость реакции возрастает при понижении pH с 7 до 5¹⁸³. В то же время расщепление фосфодиэфирных связей в олигонуклеотидах, окисленных периодатом, протекает при 45°C в присутствии лизина, метиламина и циклогексиламина одинаково эффективно (за 60—90 мин) во всем интервале pH 6—9¹⁸².

При изучении взаимодействия метиламина с окисленным периодатом аденозин-5'-фосфатом^{184, 185} было найдено, что первой стадией реакции является образование аддукта между диальдегидом и одной молекулой амина. Этот аддукт имеет, по-видимому, строение производного морфолина XVIII.



В-остаток аденина

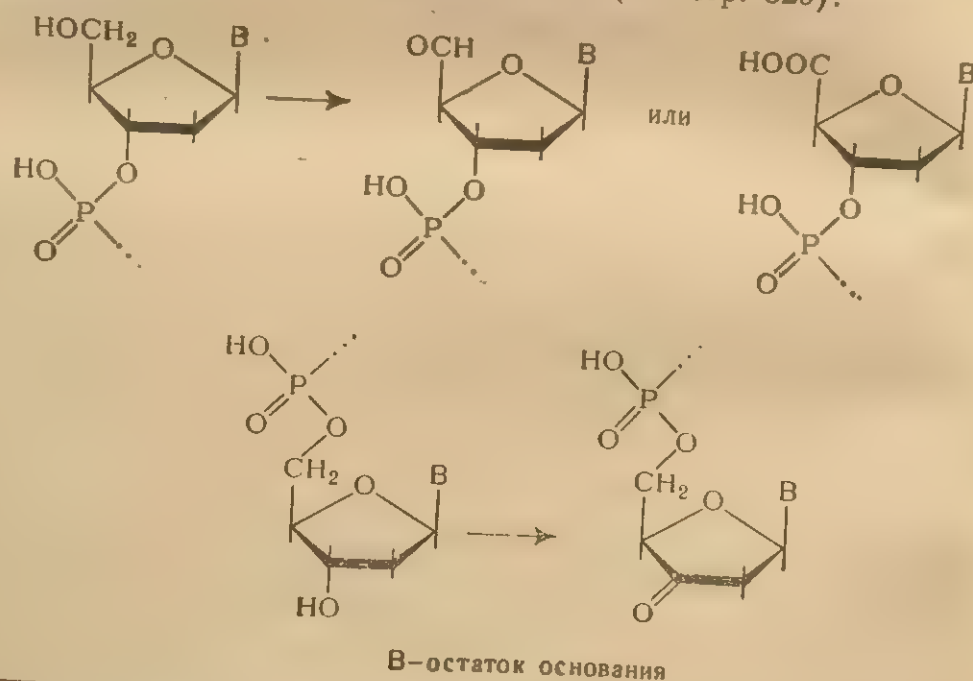
При $\text{pH} > 9$ этот аддукт достаточно устойчив, а при $\text{pH} < 8$ происходит отщепление фосфата по механизму β -элиминации:



Метод ступенчатой деградации с 3'-конца цепи был применен для анализа концевых последовательностей в тРНК^{178, 182, 187} и РНК вируса табачной мозаики^{183, 186}. С использованием лизина была успешно определена 3'-концевая последовательность-рСрСрА в суммарном препарате тРНК^{182, 187}. Расщепление фосфодиэфирных связей в присутствии анилина позволило определить 3'-концевую пентануклеотидную последовательность рGrСрСрСрА в РНК вируса табачной мозаики¹⁸⁶. В 3'-концевом олигонуклеотиде GrUpUrArСрСрАрСрСрСрА, полученном из РНК фага f2 с использованием циклогексиламина (рН 8, 45°С, 90 мин), удалось определить последовательность шести концевых нуклеотидов¹⁸⁸. Наиболее длинную 3'-концевую последовательность — 26 нуклеотидных остатков — удалось идентифицировать этим методом* в фенилаланиновой тРНК из *E. coli* (1 М раствор лизина, рН 8,0, 45°С, 90 мин)²²⁹. О других методах определения концевых последовательностей в РНК см. стр. 64.

Ступенчатая деградация ДНК

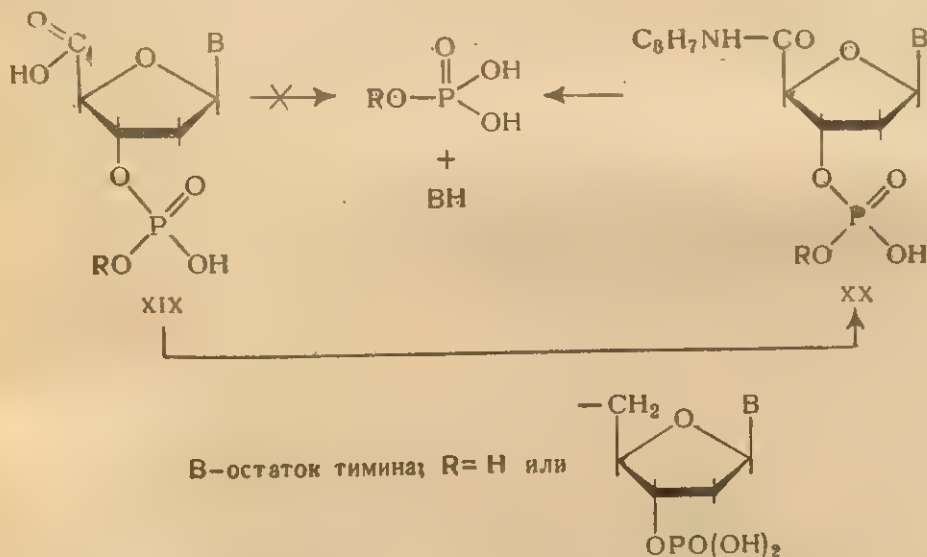
Разработка методов ступенчатой деградации ДНК стала возможной после открытия реакций, позволяющих в мягких условиях превратить гидроксильные группы концевых дезоксирибонуклеотидных остатков ДНК в карбонильные (см. стр. 529).



* Присутствие в полинуклеотидной цепи остатка псевдоуридина, окисляющегося периодатом (см. гл. II)^{189, 190}, мешает последовательной деградации.

В результате таких превращений фосфодиэфирные связи концевых нуклеотидных звеньев активируются образовавшейся β -карбонильной группой и могут быть расщеплены по механизму β -элиминации. Идея такого метода ступенчатой деградации ДНК впервые была высказана Тоддом¹⁹¹ и Джонсом¹⁹². В настоящее время возможность осуществления последовательной деградации ДНК показана, однако, лишь на уровне моонуклеотидов и небольших олигонуклеотидов.

Отщепление 5'-концевых нуклеотидных звеньев было продемонстрировано на продуктах окисления гидроксильной группы при С-5' до карбоксильной в тимидин-3'-фосфате и динуклеотиде d(TrTr) перекисью водорода¹⁹³ или кислородом воздуха¹⁹⁴ в присутствии платинового катализатора. Соединение XIX со свободной карбоксильной группой не претерпевает деградации фосфоэфирных связей в щелочной среде¹⁹⁴. Однако после превращения карбоксильной группы в амидную (XX) фосфоэфирные связи в окисленном звене количественно расщепляются в 0,25 н. растворе NaOH при 100°C за 40 мин¹⁹³. Одновременно наблюдается отщепление тимина^{193, 194}.



Для отщепления 3'-концевых нуклеотидных звеньев от олигодезоксинуклеотидов была использована¹⁹⁵ реакция окисления первичных и вторичных спиртов диметилсульфоксидом в уксусном ангидриде*. Так, дезоксинуклеозид-5'-фосфаты при нагревании в растворах уксусного ангидрида и пиридина в диметилсульфоксиде

* Аналогичное превращение наблюдается при действии на тимидин-5'-фосфат диметилсульфоксида и дициклогексилкарбодиимида^{196, 197}, однако эта реакция неприменима к олигонуклеотидам¹⁹⁶.

Для удаления 3'-фосфатных групп, возникающих после отщепления 3'-концевого нуклеозида, была использована обработка фосфатазой¹⁹⁶.

Применение этого метода к различным тринуклеотидам с защищенной ОН-группой на 5'-конце дало удовлетворительные результаты: на каждой «ступени» деградации в качестве основного продукта было выделено ожидаемое гетероциклическое основание¹⁹⁶.

В настоящее время этот метод еще не может быть использован для деградации ДНК, так как в условиях, используемых для окисления и одновременного расщепления фосфодиэфирных связей в 3'-концевых звеньях, наблюдается заметная апуринизация; кроме того, отщепление оснований из дезоксиолigonуклеотидов протекает незначительно¹⁹⁶.

3. Некоторые другие реакции нуклеиновых кислот, приводящие к расщеплению фосфодиэфирных связей *

Ряд реакций нуклеиновых кислот сопровождается деградацией полинуклеотидной цепи. В большинстве случаев это связано с отщеплением или разрушением гетероциклических оснований, как, например, при действии на нуклеиновые кислоты гидразина и гидроксилamina (см. стр. 464, 470), обработке их KMnO_4 или OsO_4 (см. стр. 476), при фотодинамическом разрушении оснований (см. гл. 12). В других случаях разрушение связано с окислением рибо-

Таблица 10.11. Расщепление фосфодиэфирных связей в ДНК (из *E. coli*, мол. вес $2 \cdot 10^6$) и РНК (из ВТМ, мол. вес $1 \cdot 10^7$) при инкубации их водных нейтральных растворов (рН 6,9—7,8) при различных температурах¹⁸⁹

Значения k_1 рассчитаны по уменьшению среднего молекулярного веса ДНК и РНК по формуле $k_1 = \frac{2,3}{t} \lg \frac{MB_t}{MB_0}$ где t — время, сек; MB_0 и MB_t — средний молекулярный вес полинуклеотида в начале инкубации и в момент времени t . Время полупревращения оценивалось по понижению среднего молекулярного веса полинуклеотида

Температура, °C	Расщепление ДНК		Расщепление РНК	
	k_1 , сек ⁻¹	время полупревращения	k_1 , сек ⁻¹	время полупревращения
5	$1,0 \cdot 10^{-12}$	1160 дней	$5,1 \cdot 10^{-11}$	23 дня
20	$1,0 \cdot 10^{-11}$	116 дней	$3,1 \cdot 10^{-10}$	90 ч
37	$1,1 \cdot 10^{-10}$	10 дней	$1,9 \cdot 10^{-9}$	15 ч
50	$5,6 \cdot 10^{-10}$	49 ч	$5,9 \cdot 10^{-9}$	5 ч
75	$9,6 \cdot 10^{-9}$	3 ч	$5,0 \cdot 10^{-8}$	33 мин
100	$1,1 \cdot 10^{-7}$	15 мин	$3,2 \cdot 10^{-7}$	5 мин

* Распад нуклеиновых кислот, проходящий под действием физических агентов (например, ультразвука), здесь не рассматривается.

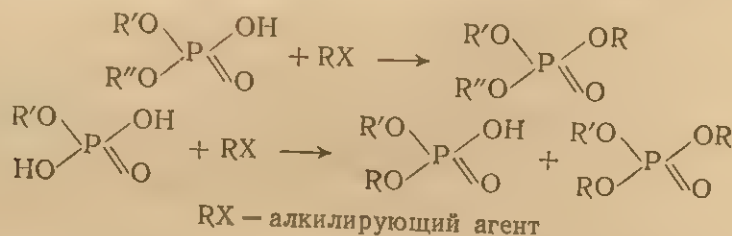
зильных или дезоксирибозильных остатков по С-1', что также приводит к отщеплению оснований и деградации полинуклеотидной цепи (см. действие разбавленных растворов гидроксилamina и перекиси водорода, стр. 472, 478). Медленный распад фосфодиэфирных связей происходит также при инкубации водных нейтральных растворов нуклеиновых кислот в широком интервале температур (табл. 10.11) ^{198, 199}.

В случае РНК гидролиз в нейтральной среде идет, по-видимому, по обычному механизму с участием ОН-группы при С-2' остатка рибозы (см. стр. 555). Распад ДНК, вероятно, обусловлен отщеплением пуриновых оснований (см. гл. 8). Действительно, была отмечена деградация апуриновой ДНК (натриевой соли) при нагревании в водных растворах до 100°С, причем происходило отщепление цитозина и образование тиминовых олигонуклеотидов, содержащих, вероятно, 5'-концевые фосфатные группы ^{200, 201}. Механизм превращения неизвестен.

IV. НЕКОТОРЫЕ РЕАКЦИИ, ПРИВОДЯЩИЕ К ОБРАЗОВАНИЮ ФОСФОЭФИРНЫХ СВЯЗЕЙ

1. Алкилирование по фосфатной группе

При действии алкилирующих агентов на нуклеиновые кислоты и их фосфорилированные мономерные компоненты (см. гл. 5) наряду с реакциями по атомам азота гетероциклических оснований может происходить также образование фосфорнокислых эфиров (алкилирование по фосфору):



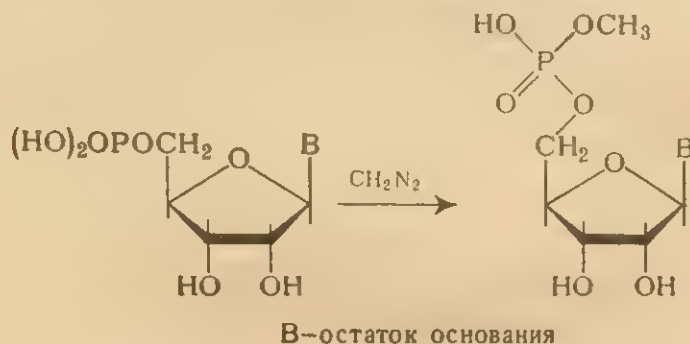
Образование подобных фосфатных эфиров всегда рассматривали как мешающую побочную реакцию, которой старались избежать. Поскольку анализ продуктов реакции алкилирования нуклеиновых кислот очень часто проводится методами, исключающими обнаружение продуктов алкилирования «внутренних» (межнуклеотидных) фосфатных групп, то сведения об алкилировании фосфатных групп полинуклеотидов немногочисленны и часто противоречивы.

Наибольшее число известных примеров алкилирования фосфатной группы относится к реакциям алкилирования мононуклеоти-

дов. При
лишь в
реакции
вание ну
азомеган
значитель
раванием

При 10
тана наб.
эфира 3-N
агента в
диметил
на цитиди
ком диазо
монометил
нуклеотид
ровании д
растворит
При а
степень а
среды 202, 20
фата на ц
количеств
цитидин-5
группа в
лает ее
жается; н
том при р
фосфатов
показано
лена при
Данны
ных груп
весьма п

дов. При этом, как правило, образуются моноэфиры нуклеотидов, и лишь в отдельных случаях отмечено существование в продуктах реакции следов диалкильных эфиров нуклеотидов. Так, алкилирование нуклеозид-5'-фосфатов в нейтральном водном растворе диазометаном при комнатной температуре приводит к образованию значительных количеств монометилowych эфиров (наряду с метилированием гетероциклических оснований)²⁰²⁻²⁰⁴.

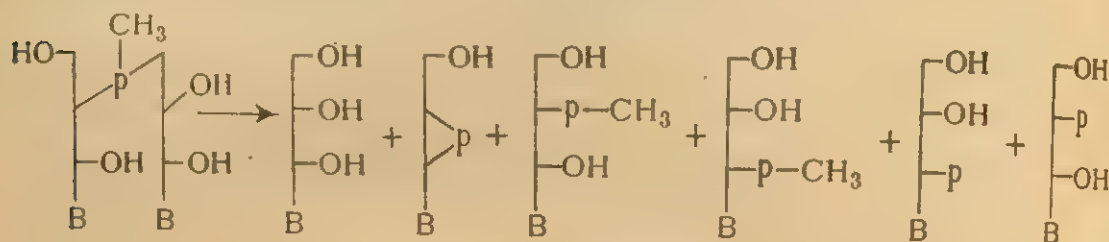


При 100-кратном (в мольном соотношении) избытке диазометана наблюдается количественное образование монометилового эфира 3-N-метилуридин-5'-фосфата; при 110-кратном избытке реагента в продуктах реакции были обнаружены, кроме того, следы диметилового эфира 3-N-метилуридин-5'-фосфата²⁰³. При действии на цитидин- и аденозин-5'-фосфаты более чем 100-кратным избытком диазометана происходило образование лишь соответствующих монометилowych эфиров нуклеозид-5'-фосфатов. Диметилowe эфиры нуклеотидов образуются в значительных количествах при алкилировании диазометаном растворов моонуклеотидов в органических растворителях²⁰⁵.

При алкилировании моонуклеотидов эфирами сульфокислот степень алкилирования фосфатной группировки зависит от pH среды^{202, 203, 206}. Так, в нейтральной среде действие диметилсульфата на цитидин-5'-фосфат приводит к образованию значительных количеств (>30%) монометилowych эфиров цитидин- и 3-N-метилцитидин-5'-фосфатов²⁰³. При более кислых pH, когда фосфатная группа в моонуклеотидах находится в виде моноаниона (что делает ее менее нуклеофильной), степень ее алкилирования снижается; например, обработка аденозин-5'-фосфата диметилсульфатом при pH 4,5 приводит к образованию лишь 5—10% монометилфосфатов^{202, 206}. Моноалкилирование по фосфатной группе было показано также в случае реакции уридин-5'-фосфата с окисью этилена при pH 10²⁰⁷.

Данные относительно алкилирования межнуклеотидных фосфатных групп в соединениях, содержащих фосфодиэфирные связи, весьма противоречивы. Отмечалось²⁰², что при алкилировании

диазометаном нуклеозид-2',3'-циклофосфатов и динуклеозидмонофосфатов^{202, 204, 208} в водных растворах при pH 7 образования метиловых эфиров по фосфатной группе не наблюдается. Однако при действии диазометана на ряд динуклеозидмонофосфатов (например, UpU, ApU) в водных растворах при pH 8 происходит расщепление фосфодиэфирной связи, возрастающее пропорционально времени реакции и избытку диазометана. Среди продуктов реакции были обнаружены²⁰⁹ нуклеозид-2',3'-циклофосфаты и метиловые эфиры нуклеозид-2'(3')-фосфатов*, возникающие, вероятно, при распаде метиловых эфиров динуклеозидмонофосфатов.



V-остаток урацила

В тех же условиях dTpdT на 14% превращается в метиловый эфир динуклеозидмонофосфата²⁰⁹.

При действии на динуклеозидмонофосфаты UpA и ApU диметилсульфата при pH 7 алкилирование по фосфатной группе обнаружено не было^{202, 204}. Значительное алкилирование по фосфатной группе отмечается при обработке поли-U ипритом $\text{S}(\text{CH}_2\text{CH}_2\text{Cl})_2$ при pH 7,8²¹⁰.

Еще более неопределенным остается вопрос, происходит ли метилирование фосфатных групп в нуклеиновых кислотах (см. 211). Согласно²¹², метилирование водных растворов РНК диазометаном приводит к уменьшению ее молекулярного веса и сильному снижению числа фосфатных групп, способных титроваться протамином. Эти эффекты возрастают с повышением количества диазометана, вводимого в реакцию, и снимаются при добавлении в реакционную среду ионов Mg^{2+} ²¹². Они были приписаны метилированию фосфатных групп в РНК, однако непосредственных доказательств такого метилирования не имеется. Было высказано предположение²¹³, что при алкилировании нуклеиновых кислот реакция алкилирования по фосфатным группам является промежуточной стадией реакции алкилирования по гетероциклическим основаниям. Хотя в дальнейшем это допущение было отвергнуто, возможность существования промежуточных продуктов такого типа вновь обсуждалась недавно^{214, 215} в связи с особенностями кинетики алкилирования ДНК β-хлорэтиламинами.

* Необходимо, однако, отметить, что об образовании этих соединений судили, пользуясь косвенными методами²⁰⁹.

10. РЕАКЦИИ. ПР
2. Реакции
в полинукл

Введение м
кислот исполь
стей в конце
В настоящ
ввести замест
ДНК и в 5'-ко
явилось метил
вания основан
эфиров под д
с метанолом, д
ниевые соли ф
O
RO-P

С помощью
фосфатные гр
pdTpC, pdTpC
мониевые соли
в метаноле за
ственно превра

(HO)₂OPC

HO

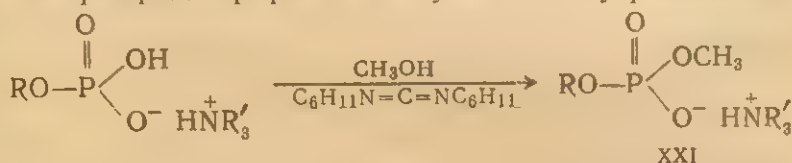
O

Впоследств
ся метилиров

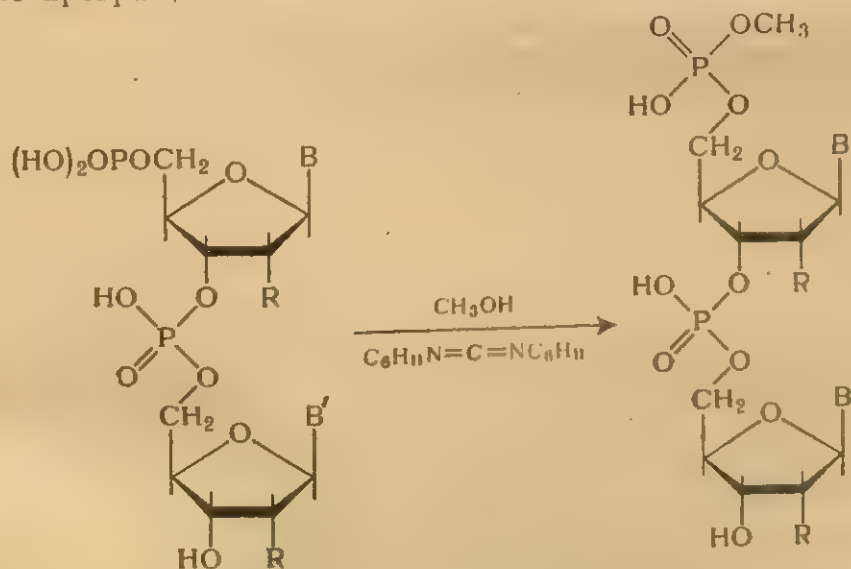
2. Реакции концевых фосфатных групп в полинуклеотидах

Введение метки по концевым фосфатным группам нуклеиновых кислот используется для анализа нуклеотидных последовательностей в концевых участках полинуклеотидов (см. гл. 1).

В настоящее время известно несколько реакций, позволяющих ввести заместители в 3'- и 5'-концевые фосфатные группировки ДНК и в 5'-концевые фосфатные группировки РНК. Первой из них явилось метилирование концевых фосфатов²¹⁶. Метод метилирования основан на том, что триалкиламмониевые соли фосфомоноэфиров под действием дициклогексилкарбодимида реагируют с метанолом, давая соответствующие диэфиры XXI; триалкиламмониевые соли фосфодиэфиров не вступают в эту реакцию^{216, 217}.



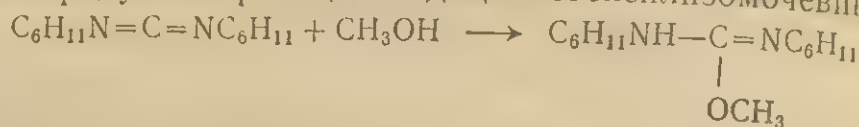
С помощью этой реакции были прометилированы 5'-концевые фосфатные группировки в олигонуклеотидах $(\text{pdT})_n [n=1-4]$, pdTpdc , pdTpda и $(\text{pA})_n [n=1-4]$ ²¹⁶. Триэтил- или трибутиламмониевые соли олигонуклеотидов под действием карбодимида в метаноле за 24—48 ч при комнатной температуре²¹⁶ количественно превращались в монометиловые эфиры:



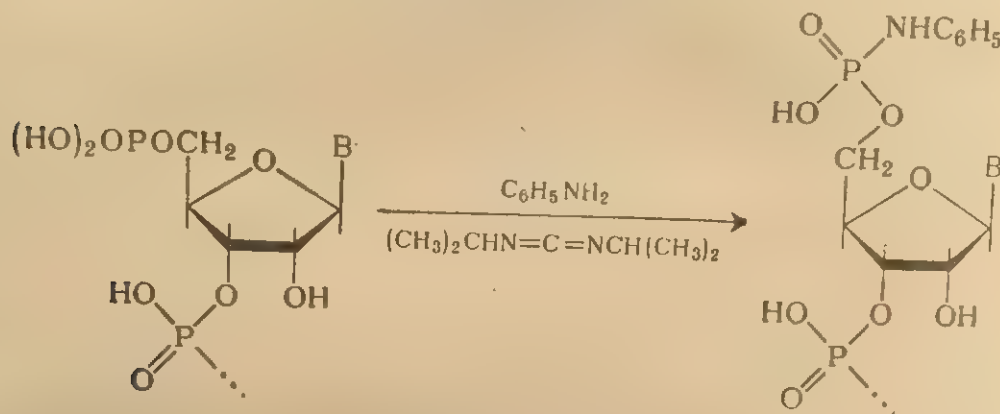
B, B' -остатки оснований; $\text{R} = \text{H}$ или OH

Впоследствии было обнаружено, что реакция сопровождается метилированием гетероциклических оснований (см. гл. 5)

побочным продуктом реакции — дициклогексизомочевинной ²¹⁸.

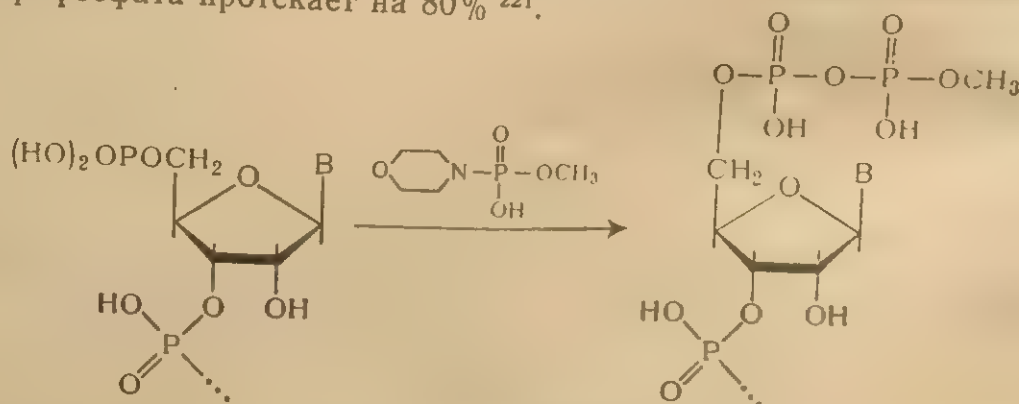


Аналогичная реакция была использована для превращения 5'-концевых фосфатных групп в фосфоанилидные. Это было достигнуто обработкой триалкиламмониевых солей олигонуклеотидов (pA)₃, (pU)₄, а также тРНК диизопропилкарбодиимидом в присутствии анилина в смеси воды, диметилформамида и трет-бутилового спирта при pH 8 ^{218, 219}. Реакция идет при комнатной температуре и за 24—48 ч протекает на 60—80% ^{218, 219}.



В-остаток основания

Такой метод с использованием ¹⁴C-анилина был применен ^{218, 219} для анализа 5'-концевой последовательности в суммарной тРНК из *E. coli* *. Конденсация ¹⁴C-метилфосфоморфолида с три-*n*-гексил-аммониевой солью тРНК позволяет превратить 5'-концевой фосфат полинуклеотида в ¹⁴C-метилпирофосфат ²²¹. Реакция проводится при комнатной температуре в пиридине; за 6—7 дней образование пирофосфата протекает на 80% ²²¹.



В-остаток основания

* Аналогично могут быть получены аминокислотные и пептидные производные ряда полинуклеотидов ²²⁰.

Литература
Методы
ности в
пользов
трофеи
Опи
динид
концево
Лит
1. Ми
стр.
2. Сох
3. Bru
W. A
4. Bad
5. Так
J. Ph
6. Bun
J. Ch
7. Fleu
8. Des
9. Hay
10. Mic
11. Bac
12. Tra
(1965)
13. Bac
14. Eich
15. Dim
(1959)
16. Leve
Mono
17. Leve
18. Lori
(1948)
19. Brec
20. Bocl
dave
21. Leve
22. Lori
23. Dim
C. A.
24. Bam
25. Mar
lan N
26. Shu
Molda
27. Ша
28. Mar
29. Coh
30. Abra
(1967)
31. Bark
Chem.

Метод был применен для анализа 5'-концевой последовательности в суммарной тРНК из *E. coli* ²²¹. Для тех же целей было использовано превращение 5'-концевого фосфата тРНК в 2,4-динитрофениловый эфир ²²².

Описанное недавно цианэтилирование олигонуклеотидов карбодимидным методом также может найти применение для введения концевой метки ²²³.

ЛИТЕРАТУРА

1. Микельсон А., Химия нуклеозидов и нуклеотидов, Изд. «Мир», 1966, стр. 187—286.
2. Cox J. R., Ramsay O. B., Chem. Rev., 64, 317 (1964).
3. Bruice T. C., Benkovic S. J., in «Bioorganic Mechanisms», v. 2, part 1, W. A. Benjamin, Inc., New York — Amsterdam, 1966.
4. Baddiley J., Buchanan J. G., Letters R., J. Chem. Soc., 1958, 1000.
5. Таками А., Имадзава М., Ириэ М., Укита Т., Якугаку дзасси, J. Pharm. Soc. Japan, 85, 658 (1965); РЖБиохим., 1966, 8Ф229.
6. Bunton C. A., Lewellyn D. R., Oldham K. G., Vernon C. A., J. Chem. Soc., 1958, 3574.
7. Fleury P., C. r., 221, 4161 (1945).
8. Desjoberg A., Bull. Soc. chim. France, 14, 809 (1947).
9. Hayes D. H., J. Chem. Soc., 1960, 1184.
10. Michelson A. M., Todd A. R., J. Chem. Soc., 1949, 2476.
11. Bacher J. E., Allen F. W., J. Biol. Chem., 182, 701 (1950).
12. Trapmann H., Devani M., Hoppe-Seyler's Z. physiol. Chem., 340, 81 (1965).
13. Bacher J. E., Allen F. N., J. Biol. Chem., 188, 59 (1951).
14. Eichhorn G. L., Butzow J. J., Biopolymers, 3, 79 (1965).
15. Dimroth K., Witzel H., Hülsen W., Mirbach H., Ann., 620, 94 (1959).
16. Levene P. A., Bass L. W., Nucleic Acids (American Chemical Society Monograph Series), N. Y., 1931.
17. Levene P. A., Jacobs W. A., Ber., 43, 3150 (1910).
18. Loring H. S., Ordway G., Pierce J. G., J. Biol. Chem., 176, 1123 (1948).
19. Brederick H., Martini A., Richter F., Ber., 74, 694 (1941).
20. Bock R. M., in «Methods in Enzymology», v. 12, part A, Grossman L., Moldave K. (eds), Academic Press, N. Y. — L., 1967, p. 224.
21. Levene P. A., J. Biol. Chem., 39, 77 (1919).
22. Loring H. S., Ploeser J. M., J. Biol. Chem., 178, 439 (1949).
23. Dimroth K., Hamm R., Jaenicke L., Holle K., пат. ФРГ 820328; C. A., 48, 2091e (1954).
24. Bamann E., Trapmann H., Fischler F., Biochem. Z., 325, 89 (1954).
25. Markham R., in «Methods in Enzymology», v. 3, Colowick S. P., Kaplan N. O. (eds), Academic Press, N. Y. — L., 1957, p. 805.
26. Shugar D., in «Methods in Enzymology», v. 12, part A, Grossman L., Moldave K. (eds), Academic Press, N. Y. — L., 1967, p. 131.
27. Шапот В. С., Нуклеазы, Изд. «Медицина», 1968.
28. Markham R., Smith J. D., Biochem. J., 52, 552 (1952).
29. Cohn W. E., J. Am. Chem. Soc., 72, 1471 (1950).
30. Abrash H. I., Cheung C.-C. S., Davis J. C., Biochemistry, 6, 1298 (1967).
31. Barker G. R., Montagne D. M., Moss R. J., Parsons M. A., J. Chem. Soc., 1957, 3786.

32. Tener G. M., Khorana H. G., J. Am. Chem. Soc., 77, 5349 (1955).
33. Венкстерн Т. В., Ли Л., Крутилина А. И., Аксельрод В. Д., Мирзабеков А. Д., Баев А. А., Мол. биол., 2, 597 (1968).
34. Michelson A. M., J. Chem. Soc., 1959, 1371.
35. Dekker C. A., Khorana H. G., J. Am. Chem. Soc., 76, 3522 (1954).
36. Witzel H., in «Progress in Nucleic Acid Research», v. 2, Davidson J. N., Cohn W. E. (eds), Academic Press, N. Y.—L., 1963, p. 227.
37. Cheung C.-C. S., Abrash H. I., Biochemistry, 3, 1883 (1964).
38. Rall T. W., Sutherland E. W., in «Methods in Enzymology», v. 5, Colowick S. P., Kaplan N. O. (eds), Academic Press, N. Y.—L., 1962, p. 337.
39. Borden R. K., Smith M., J. Org. Chem., 31, 3247 (1966).
40. Smith M., Drummond G. I., Khorana H. G., J. Am. Chem. Soc., 83, 698 (1961).
41. Khorana H. G., Tener G. M., Wright R. S., Moffatt J. G., J. Am. Chem. Soc., 79, 430 (1957).
42. Drummond G. I., Gilgan M. W., Reiner E. J., Smith M., J. Am. Chem. Soc., 86, 1627 (1964).
43. Sutherland E. W., Rall T. W., J. Biol. Chem., 232, 1077 (1959).
44. Lipkin D., Cook W. H., Markham R., J. Am. Chem. Soc., 81, 6198 (1959).
45. Turner A. F., Khorana H. G., J. Am. Chem. Soc., 81, 4651 (1959).
46. Thannhauser S. J., Hoppe-Seyler's Z. physiol. Chem., 91, 329 (1914).
47. Fono A., Arkiv Kemi, Mineral Geol., 24A, № 33, 14, 15 (1947).
48. Bally O., Gaume J., Bull. Soc. chim. France, 2, 354 (1935); 3, 1396 (1936).
49. Brown D. M., Todd A. R., J. Chem. Soc., 1952, 44.
50. Brown D. M., Todd A. R., J. Chem. Soc., 1952, 52.
51. Egami F., Ishimura H., Shimomura M., Hoppe-Seyler's Z. physiol. Chem., 295, 349 (1953).
52. Lane B. G., Biochemistry, 4, 212 (1965).
53. Brown D. M., Todd A. R., in «Nucleic Acids», v. 1, Chargaff E., Davidson J. N. (eds), Academic Press, 1955, p. 409.
54. Микельсон А., Химия нуклеотидов и нуклеозидов, Изд. «Мир», 1966, стр. 176—177, 373—375.
55. Brown D. M., in «Comprehensive Biochemistry», v. 8, part 2, Florkin M., Stotz E. H. (eds), Elsevier Publishing Co., Amsterdam, 1963, p. 224—228.
56. Brown D. M., Todd A. R., J. Chem. Soc., 1953, 2040.
57. Lipkin D., Talbert P. T., Cohn M., J. Am. Chem. Soc., 76, 2871 (1954).
58. Brown D. M., Magrath D. I., Nelson A. H., Todd A. R., Nature, 177, 1124 (1956).
59. Bock R. M., in «Methods in Enzymology», v. 12, part A, Grossman L., Moldave K. (eds), Academic Press, N. Y.—L., 1967, p. 218.
60. Lane B. G., Butler G. C., Canad. J. Biochem. Physiol., 37, 573 (1959).
61. Lane B. G., Allen F. W., Canad. J. Biochem. Physiol., 39, 721 (1961).
62. Witsel H., Ann., 635, 185 (1960).
63. Cavalieri H. F., J. Am. Chem. Soc., 73, 4899 (1951).
64. Bacher J. E., Kauzman W., J. Am. Chem. Soc., 74, 3779 (1952).
65. Hakim A. A., J. Biol. Chem., 225, 689 (1957).
66. Lane B. G., Butler G. C., Biochim. Biophys. Acta, 39, 281 (1959).
67. Eigner J., Boedtker H., Michaels G., Biochim. Biophys. Acta, 51, 165 (1961).
68. Ginoza G., Nature, 181, 958 (1958).
69. Kaltrieder H. B., Scott J. F., Biochim. Biophys. Acta, 55, 379 (1962).
70. Michelson A. M., Acta Biochim. Polon., 6, 335 (1959).
71. Wyatt G. P., in «The Nucleic Acids», v. 1, Davidson J. N., Chargaff E. (eds), Academic Press, N. Y.—L., 1955, p. 243.

72. Lorig (eds).
73. Lorig
74. Bol
75. Sed
76. Mar
- Chem
77. Dav
78. Буд
79. Dim
80. Lipk
81. Tan
82. Shion
- 8392d
83. Lipk
84. Lipk
- (1961)
85. Jone
86. Jone
87. Jone
88. Meri
89. Witz
90. Bail
91. Cha
92. Poll
93. Szer
94. Brov
95. Mar
96. Visc
97. Coh
98. Smi
- Chem.
99. Chlá
100. Hol
101. Nish
- 653 (
102. Butz
103. Huf
- mistry
104. Far
105. Dim
106. Dim
- Z. ph
107. Jaer
- (1952)
108. Dim
109. Kos
110. Lev
111. Tha
- (192
112. Tha
113. Lev
114. Dek
115. Sha
116. Coh
117. Spe
118. Sha

72. Loring H. S., in «The Nucleic Acids», v. 1, Davidson J. N., Chargaff E. (eds), Academic Press, N. Y.—L., 1955, p. 137.
73. Loring H. S., Roll P. M., Pierce J. G., J. Biol. Chem., **174**, 729 (1948).
74. Boulanger P., Montreuli J., Bull. Soc. chim. biol., **33**, 784, 791 (1951).
75. Sedat J. W., Hall J. B., J. Mol. Biol., **12**, 174 (1965).
76. Marriann D. H., Smicer V. L., Balis M. E., Brown G. B., J. Biol. Chem., **189**, 533 (1951).
77. Davidson J. N., Smellic R. M. S., Biochem. J., **52**, 594 (1952).
78. Будовский Э. И., Клебанова Л. М., Вопр. мед. хим., **13**, 299 (1967).
79. Dimroth K., Matthalus W., Angew. Chem., **68**, 579 (1956).
80. Lipkin D., Talbert P. T., Chem. a. Ind., 1955, 143.
81. Tanaka K., J. Biochem. (Tokyo), **47**, 398 (1960).
82. Shionogi A. Co., Ltd., (by Tanaka K.), яп. пат. 4148 (1962); C. A., **61**, 8392d (1964).
83. Lipkin D., Dixon J. S., Science, **116**, 525 (1952).
84. Lipkin D., Dixon J. S., Talbert P. T., J. Am. Chem. Soc., **83**, 4772 (1961).
85. Jones A. S., Letham D. S., Stacey M., J. Chem. Soc., 1956, 2579.
86. Jones A. S., Letham D. S., Stacey M., J. Chem. Soc., 1956, 2584.
87. Jones A. S., Stacey M., Watson B. E., J. Chem. Soc., 1957, 2454.
88. Merrifield R. B., Wooley D. W., J. Biol. Chem., **197**, 521 (1952).
89. Witzel H., Ann., **620**, 122 (1959).
90. Bailly M. C., C. r., **208**, 442 (1939).
91. Chargaff E., J. Biol. Chem., **145**, 455 (1942).
92. Pollman W., Schramm W., Z. Naturforsch., **16b**, 673 (1961).
93. Szer W., Schugar D., Acta Biochim. Polon., **9**, 131 (1962).
94. Brown D. M., Margrath D. I., Todd A. R., J. Chem. Soc., 1955, 4396.
95. Markham R., Smith J. D., Biochem. J., **49**, 401 (1951).
96. Vischer E., Chargaff E., J. Biol. Chem., **176**, 715 (1948).
97. Cohn W. E., Markham R., Biochem. J., **62**, 17P (1956).
98. Smith M., Rammley H. G., Goldberg I. H., Khorana H. G., J. Am. Chem. Soc., **84**, 430 (1962).
99. Chládek S., Smrt J., Coll. Czech. Chem. Comm., **29**, 214 (1964).
100. Holý A., Smrt J., Coll. Czech. Chem. Comm., **31**, 3800 (1966).
101. Nishimura H., Sekiya T., Ukita T., Biochim. Biophys. Acta, **174**, 653 (1969).
102. Butzow J. J., Eichhorn G. I., Biopolymers, **3**, 95 (1965).
103. Huff J. W., Sastry K. S., Gordon M. P., Wacker W. E. C., Biochemistry, **3**, 501 (1964).
104. Farkas W. R., Biochim. Biophys. Acta, **155**, 401 (1968).
105. Dimroth K., Witzel H., Ann., **620**, 109 (1959).
106. Dimroth K., Jaenicke L., Vollbrechts-Hausen I., Hoppe Seyler's Z. physiol. Chem., **289**, 71 (1952).
107. Jaenicke L., Dimroth K., Jaenicke D., Angew. Chem., **64**, 653 (1952).
108. Dimroth K., Witzel H., Angew. Chem., **68**, 579 (1956).
109. Kossel A., Neumann A., Ber., **26**, 2753 (1893).
110. Levene P. A., Jacobs W. A., J. Biol. Chem., **12**, 411 (1912).
111. Thannhauser S. J., Offenstein B., Z. physiol. Chem., **114**, 39 (1921).
112. Thannhauser S. J., Blanco G. G., Z. physiol. Chem., **161**, 116 (1926).
113. Levene P. A., J. Biol. Chem., **126**, 63 (1938).
114. Dekker C. A., Michelson A. M., Todd A. R., J. Chem. Soc., 1953, 947.
115. Shapiro H. S., Chargaff E., Biochim. Biophys. Acta, **26**, 596 (1957).
116. Cohn W. E., Volkin E., Biochim. Biophys. Acta, **24**, 359 (1957).
117. Spencer J. H., Chargaff E., Biochim. Biophys. Acta, **68**, 18 (1963).
118. Shapiro H. S., Chargaff E., Biochim. Biophys. Acta, **76**, 1 (1963).

119. Shapiro H. S., Chargaff E., *Biochim. Biophys. Acta*, **91**, 262 (1964).
120. Shapiro H. S., Chargaff E., *Biochim. Biophys. Acta*, **23**, 451 (1957).
121. Smith M., Moffatt J. G., Khorana H. G., *J. Am. Chem. Soc.*, **80**, 2612 (1958).
122. Michelson A. M., *Tetrahedron*, **2**, 333 (1958).
123. Микельсон А., *Химия нуклеозидов и нуклеотидов*, Изд. «Мир», 1966, стр. 429—432.
124. Shapiro H. S., Rudner R., Miura K., Chargaff E., *Nature*, **205**, 1068 (1965).
125. Meyerhof O., Lohmann K., *Biochem. Z.*, **271**, 98 (1934).
126. Foster A. B., Overlend W. G., Slacey M. J., *J. Chem. Soc.*, 1951, 980, 987.
127. Fleury P., Courtois J., Desjobert A., *Bull. Soc. chim. France*, **1948**, 694.
128. Shapiro H. S., in «*Methods in Enzymology*», v. 12, part A, Grossmann L., Moldave K. (eds), Academic Press, N. Y.—L., 1967, p. 205.
129. Burton K., Peterson G. B., *Biochem. J.*, **75**, 17 (1960).
130. Burton K., *Biochem. J.*, **62**, 315 (1956).
131. Peterson G. B., *Biochem. J.*, **87**, 495 (1963).
132. Lunt M. R., Siebke J.-C., Burton K., *Biochem. J.*, **92**, 27 (1964).
133. Peterson G. B., Burton K., *Biochem. J.*, **92**, 666 (1964).
134. Burton K., in «*Methods in Enzymology*», v. 12, part A, Grossmann L., Moldave K. (eds), Academic Press, N. Y.—L., 1967, p. 222.
135. Jones A. S., Tittensor J. R., Walker R. T., *Nature*, **209**, 298 (1966).
136. Shapiro H. S., Chargaff E., *Biochim. Biophys. Acta*, **26**, 608 (1957).
137. Shapiro H. S., Chargaff E., *Biochim. Biophys. Acta*, **39**, 62, 68 (1960).
138. Rudner R., Shapiro H. S., Chargaff E., *Biochim. Biophys. Acta*, **129**, 85 (1966).
139. Burton K., *Biochem. J.*, **74**, 35P (1960).
140. Burton K., *Biochem. J.*, **77**, 547 (1960).
141. Brammer K. W., Jones A. S., Mian A. M., Walker R. T., *Biochim. Biophys. Acta*, **166**, 732 (1968).
142. Jones A. S., Mian A. M., Walker R. T., *J. Chem. Soc. (C)*, **1968**, 2042.
143. Symons R. H., Ellery B. W., *Biochim. Biophys. Acta*, **145**, 368 (1967).
144. Cape R. E., Spencer J. H., *Fed. Proc.*, **26**, 565 (1967).
145. Ванюшин Б. Ф., Бурьянов Я. И., *Биохимия*, **34**, 546 (1969).
146. Bayley C. R., Jones A. S., *Trans. Farad. Soc.*, **55**, 492 (1959).
147. Tamm C., Shapiro H. S., Lipshitz R., Chargaff E., *J. Biol. Chem.*, **203**, 673 (1953).
148. Hodes M. E., Chargaff E., *Biochim. Biophys. Acta*, **22**, 348 (1956).
149. Seidel H., *Biochim. Biophys. Acta*, **138**, 98 (1967).
150. Linstead R. P., Owen L. N., Webb R. F., *J. Chem. Soc.*, **1953**, 1211.
151. Bayley C. R., Brammer K. W., Jones A. S., *J. Chem. Soc.*, **1961**, 1903.
152. Habermann V., *Biochim. Biophys. Acta*, **55**, 999 (1962).
153. Habermann V., *Coll. Czech. Chem. Comm.*, **28**, 510 (1963).
154. Габерман В., *Биохимия*, **28**, 999 (1963).
155. Habermann V., Habermannova S., Cernova M., *Biochim. Biophys. Acta*, **76**, 310 (1963).
156. Chargaff E., Rüst P., Temperli A., Morisava S., Danon A., *Biochim. Biophys. Acta*, **76**, 149 (1963).
157. Chargaff E., Buchowicz J., Türler H., Shapiro H. S., *Nature*, **206**, 145 (1965).
158. Shapiro H. S., in «*Methods in Enzymology*», v. 12, part A, Grossman L., Moldave K. (eds), Academic Press, N. Y.—L., 1967, p. 212.
159. Cashmore A. R., Peterson G. B., *Biochim. Biophys. Acta*, **174**, 591 (1969).

ЛИТЕРАТУРА

160. Darb 216, 79
161. Sha
162. Bur
- 162a. Bur
- (1966)
163. Livir
164. Coom
- (1969)
165. Ваню
166. Бурь
- ский
167. Koch
- Biophy
168. Коче
- ский
169. Seife
- (1967)
170. Буд
- ХПС, в
171. Буд
- биол. 1
172. Phili
- Biocher
173. Whit
174. Brow
175. Brow
176. Whit
177. Haka
- Kyoto
178. Yu C.
179. Ogur
180. Khym
181. Cohn
- Structu
- Strasbo
182. Neu H
183. Stein
- (1966)
184. Khym
185. Brow
186. Whit
187. Khym
188. Weite
189. Toma
- (1965)
190. Toma
- (1965)
191. Rees
- Soc., 1
192. Jone
193. Viss
194. Moss
195. 1963, 1
196. Albr
- Galri
- 6833 (1

160. Darby G. K., Jones A. S., Tittensor J. K., Walker R. T., *Nature*, **216**, 793 (1967).
161. Shapiro H. S., Chargaff E., *Biochemistry*, **5**, 3012 (1966).
162. Burton K., Hiley W. T., *Biochem. J.*, **98**, 70 (1966).
- 162a. Burton K., Varney N. F., Zamecnik P. C., *Biochem. J.*, **99**, 29C (1966).
163. Livingston D. C., *Biochim. Biophys. Acta*, **87**, 538 (1964).
164. Coombs M. M., Livingston D. C., *Biochim. Biophys. Acta*, **174**, 161 (1969).
165. Ванюшин Б. Ф., Бурьянов Я. И., *Биохимия*, **34**, 718 (1969).
166. Бурьянов Я. И., Ванюшин Б. Ф., Боброва В. К., Белозерский А. Н., *ДАН СССР*, **183**, 707 (1969).
167. Kochetkov N. K., Budowsky E. I., Turchinsky M. F., *Biochem. Biophys. Res. Comm.*, **19**, 49 (1965).
168. Кочетков Н. К., Будовский Э. И., Гуськова Л. И., Турчинский М. Ф., *Мол. биол.*, в печати.
169. Seifert W., Zillig W., Hoppe-Seyler's *Z. physiol. Chem.*, **348**, 1017 (1967).
170. Будовский Э. И., Гуськова Л. И., Хазан И., Турчинский М. Ф., *ХПС*, в печати.
171. Будовский Э. И., Гуськова Л. И., Турчинский М. Ф., *Мол. биол.*, в печати.
172. Philippson P., Thiebe R., Wintermeyer W., Zachau H. G., *Biochem. Biophys. Res. Comm.*, **33**, 923 (1968).
173. Whitfield P. R., Markham R., *Nature*, **171**, 1151 (1953).
174. Brown D. M., Fried M., Todd A. R., *Chem. a. Ind.*, **1953**, 352.
175. Brown D. M., Fried M., Todd A. R., *J. Chem. Soc.*, **1955**, 2206.
176. Whitfield P. R., *Biochem. J.*, **58**, 390 (1954).
177. Nakamori S., in «Proceedings of the 8th Symposium on Nucleic Acids», Kyoto (Japan), 1959, p. 16.
178. Yu C.-T., Zamecnik P. C., *Biochim. Biophys. Acta*, **45**, 148 (1960).
179. Ogur M., Small J. D., *J. Biol. Chem.*, **235**, PC60 (1960).
180. Khym J. X., Cohn W. E., *J. Biol. Chem.*, **236**, PC9 (1961).
181. Cohn W. E., Khym U. X., in «Acides ribonucléiques et polyphosphates. Structure, synthèse et fonction», Colloques Internationaux du C. N. R. S., Strasbourg, 1961, C. N. R. S., Paris, 1962, p. 217.
182. Neu H. C., Heppel L. A., *J. Biol. Chem.*, **239**, 2927 (1964).
183. Steinschneider A., Frankel-Conrat H., *Biochemistry*, **5**, 2735 (1966).
184. Khym J. X., *Biochemistry*, **2**, 343 (1963).
185. Brown D. M., Read A. P., *J. Chem. Soc. (C)*, **1965**, 5072.
186. Whitfield P. R., *Biochim. Biophys. Acta*, **108**, 202 (1965).
187. Khym J. X., Uziel M., *Biochemistry*, **7**, 423 (1968).
188. Weith H. L., Gilham P. T., *J. Am. Chem. Soc.*, **89**, 5473 (1967).
189. Tomasz M., Chambers R. W., *Biochim. Biophys. Acta*, **108**, 510 (1965).
190. Tomasz M., Sanno Y., Chambers R. W., *Biochemistry*, **4**, 1710 (1965).
191. Reese C. B., Schofield K., Shapiro R., Todd A. R., *Proc. Chem. Soc.*, **1960**, 290.
192. Jones A. S., Williamson A. R., *Chem. a. Ind.*, **1960**, 1624.
193. Vizsolyi J. P., Tener G. M., *Chem. a. Ind.*, **1962**, 263.
194. Moss G. P., Reese C. B., Schofield K., Todd A. R., *J. Chem. Soc.*, **1963**, 1149.
195. Albright J. D., Goldman L., *J. Am. Chem. Soc.*, **87**, 4216 (1965).
196. Galriel T., Chen W. Y., Nussbaum A. L., *J. Am. Chem. Soc.*, **90**, 6833 (1968).

197. Pflitzner K. E., Moffatt J. G., *J. Am. Chem. Soc.*, **87**, 5661 (1965).
198. Greer S., Zamenhof S., *Fed. Proc.*, **18**, 238 (1959).
199. Eigner J., Boedtker H., Michaelis G., *Biochim. Biophys. Acta*, **51**, 165 (1961).
200. Ademiec A., Shugar D., *Naturwiss.*, **46**, 356 (1959).
201. Ademiec A., Shugar D., *Acta Biochim. Polon.*, **6**, 425 (1959).
202. Griffin B. E., in «Methods in Enzymology», v. 12, part A, Grossmann L., Moldave K. (eds), Academic Press, N. Y. — L., 1967, p. 141.
203. Haines J. A., Reese C. B., Todd A. R., *J. Chem. Soc.*, **1964**, 1406.
204. Brimacombe R. L., Griffin B. E., Haines J. A., Haslam W. J., Reese C. B., *Biochemistry*, **4**, 2452 (1965).
205. Szer W., Shugar D., *Acta Biochim. Polon.*, **7**, 491 (1960).
206. Griffin B. E., Reese C. B., *Biochim. Biophys. Acta*, **68**, 185 (1963).
207. Ukita T., Okuyama H., Hayatsu H., *Chem. Pharm. Bull. (Tokyo)*, **11**, 1400 (1963).
208. Griffin B. E., Reese P. B., *Tetrahedron Letters*, **1964**, 2925.
209. Holy H., Schert K.-H., *Biochim. Biophys. Acta*, **138**, 230 (1967).
210. Abell C. W., Rosini L. A., Ramseur M. R., *Proc. Nat. Acad. Sci. US*, **54**, 608 (1965).
211. Lowely P. D., in «Progress in Nucleic Acid Research and Molecular Biology», v. 5, Davidson J. N., Cohn W. E. (eds), Academic Press, N. Y. — L., 1966, p. 89.
212. Kriek E., Emmelot P., *Biochemistry*, **2**, 733 (1963).
213. Lett J. T., Parkins G. M., Alexandour P., *Arch. Biochem. Biophys.*, **97**, 80 (1962).
214. Rutman R. J., Chun E. H. L., Jones J., *Biochim. Biophys. Acta*, **174**, 663 (1969).
215. Price C. C., Gausher G. M., Koneru P., Shibakawa R., Sowa J. R., Yamaguchi M., *Biochim. Biophys. Acta*, **166**, 327 (1968).
216. Khorana H. G., *J. Am. Chem. Soc.*, **81**, 4652 (1959).
217. Smith M., Moffatt J. G., Khorana H. G., *J. Am. Chem. Soc.*, **80**, 6204 (1958).
218. Ralph R. K., Young R. J., Khorana H. G., *J. Am. Chem. Soc.*, **85**, 202 (1963).
219. Ralph R. K., Young R. J., Khorana H. G., *J. Am. Chem. Soc.*, **84**, 1490 (1962).
220. Преображенская Н. Н., Соколова Н. И., Шабарова З. А., Прокофьев М. А., *ХПС*, **1965**, 342.
221. RajBhandary U. L., Young R. J., Khorana H. G., *J. Biol. Chem.*, **239**, 3875 (1964).
222. Chiang P.-C., Hu P.-C., Chi T.-H., Liang C.-C., Sheng Wu Hua Hsueh Wu Wu Li Hsue Pao, **4**, 574 (1964); *C. A.*, **62**, 14981g (1965).
223. Narang S. A., Dheer S. K., Michnewicz J. J., *J. Am. Chem. Soc.*, **90**, 2702 (1968).
224. Neulart M.-M., *Biochim. Biophys. Acta*, **149**, 422 (1967).
225. Ooka T., Neulart-Portier M.-M., *Biochim. Biophys. Acta*, **182**, 542 (1969).
226. Cerny R., Mushynski W. E., Spencer J. H., *Biochim. Biophys. Acta*, **169**, 439 (1968).
227. Salomon R., Kaye A. M., *J. Mol. Biol.*, **43**, 581 (1969).
228. Hoard D. E., Ratliff R. L., Williams L., Hayes F. N., *J. Biol. Chem.*, **244**, 5368 (1969).
229. Uziel M., Khyrn J. X., *Biochemistry*, **8**, 3254 (1969).

НЕКО
НУК

I. ВВЕД

В пред
актерные
клеточных
дают нео
существом
других ну
в данной
главе.

II. РЕА
И ЕГО

Необы
связаны с
которая д
фильных
присоедин
также пр
гетероцик
цикличес
точно ле
В нас
кого типа
на Ia в у
зидных с
лучить с
продукто
кинетиче
вод, что
атака пр
которых
чем IIIa
—16—

НЕКОТОРЫЕ РЕАКЦИИ РЕДКИХ КОМПОНЕНТОВ
НУКЛЕИНОВЫХ КИСЛОТ

I. ВВЕДЕНИЕ

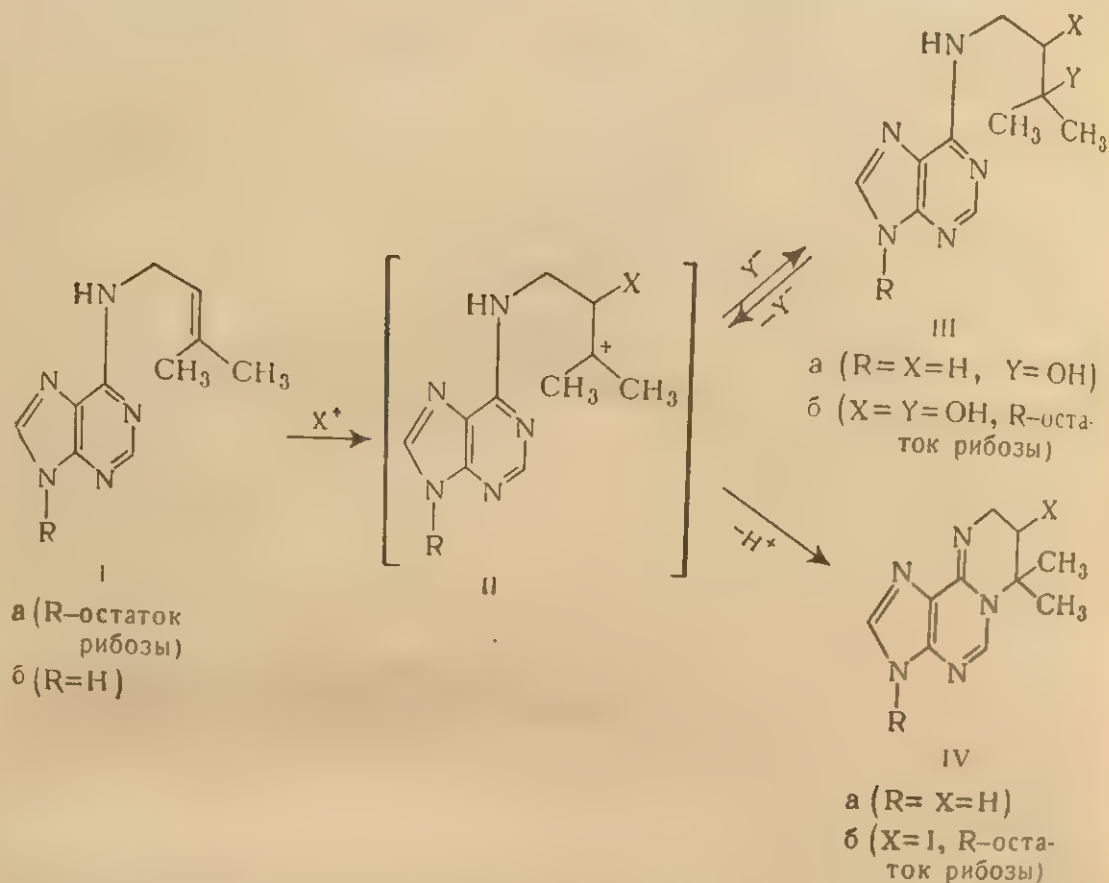
В предыдущих главах были описаны химические реакции, характерные для основных и большей части редких компонентов нуклеиновых кислот. Однако некоторые редкие компоненты обладают необычными химическими свойствами, обусловленными присутствием в их молекуле функциональных групп, отсутствующих в других нуклеозидах. Эти реакции, выходящие за рамки принятой в данной книге классификации, кратко рассматриваются в данной главе.

II. РЕАКЦИИ 6-ЭКЗО-N-ИЗОПЕНТЕНИЛАДЕНОЗИНА
И ЕГО ПРОИЗВОДНЫХ

Необычные химические свойства 6-экзо-N-изопентениладенозина связаны с присутствием в алкильном заместителе этиленовой связи, которая довольно легко подвергается атаке под действием электрофильных реагентов. Образующийся карбкатион II достаточно легко присоединяет нуклеофильный агент, давая аддукт III, но может также претерпевать внутримолекулярное алкилирование атома N-1 гетероциклического ядра аденина (см. гл. 5) с образованием трициклического соединения типа IV. Аддукт III также может достаточно легко переходить в соединение IV через карбкатион II.

В настоящее время известны по крайней мере две реакции такого типа. При кислотном гидролизе 6-экзо-N-изопентениладенозина Ia в условиях, обычно применяемых для расщепления N-гликозидных связей в пуриновых нуклеозидах (см. гл. 8), не удается получить соответствующий агликон Ib^{1,2}, так как образуется смесь продуктов его гидратации (IIIa) и циклизации (IVa). Детальное кинетическое исследование этого процесса³ позволило сделать вывод, что расщепление N-гликозидной связи протекает быстрее, чем атака протона по двойной связи. Удалось подобрать условия, в которых образуется только основание Ib или смесь Ib и IIIa, причем IIIa возникает в результате последовательных реакций: Ia → Ib → IIIa. Смесь Ib и IIIa может быть количественно переведена

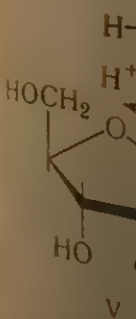
в циклический продукт IVa под действием фторборной или трифторуксусной кислот.



По аналогичному механизму протекает, вероятно, взаимодействие 6-экзо-N-изопентениладенозина с иодом^{1, 4}.

Реакция заканчивается практически мгновенно при комнатной температуре и нейтральном pH. Прочие нуклеозиды в этих условиях не затрагиваются, что позволяет применять реакцию с иодом для высокоспецифической модификации тРНК⁴. Механизм этой реакции изучен довольно плохо; показано, однако¹, что первичным продуктом является смесь стереоизомеров трициклического иодида IVб, которые могут претерпевать дальнейшие превращения с отщеплением иода.

Модификация остатка 6-экзо-N-изопентениладенозина в составе тРНК под действием иода позволила впервые обнаружить различие элементов структуры тРНК, необходимых для выполнения акцепторной и адапторной функций. Оказалось, что после кратковременного действия иода на серинспецифическую тРНК из дрожжей способность ее присоединять серин практически не изменяется, в то время как способность образовывать комплекс с рибосомами в при-



Движение циклического атома Р. Уже что это образуют остатка псевдоур

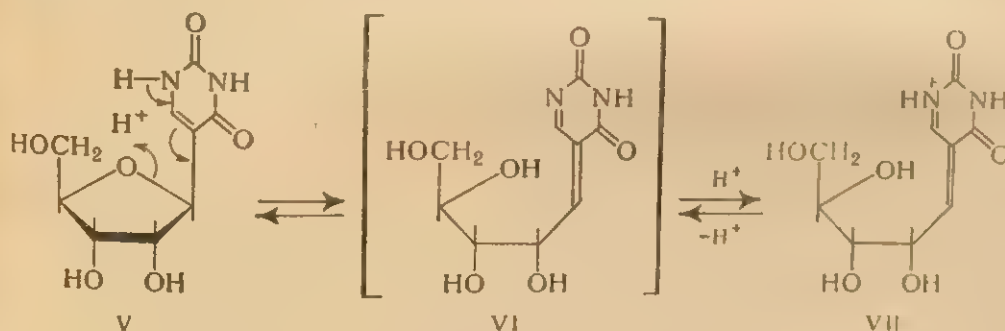
* Обзо

сутствии соответствующего кодирующего рибополинуклеотида оказывается утраченной⁴.

При кратковременном действии перманганата на 6-экзо-N-изопентениладенозин в нейтральной среде удается получить¹ продукт гидроксирования двойной связи IIIб; наряду с ним образуется аденозин и небольшое количество неидентифицированного продукта.

III. РЕАКЦИИ ПСЕВДОУРИДИНА И ЕГО ПРОИЗВОДНЫХ *

Отличие химического поведения псевдоуридина от поведения обычных пиримидиновых нуклеозидов связано с двумя особенностями его структуры: наличием двух атомов азота, связанных с водородом, и присутствием С-гликозидной связи. Особенности реакций замещения в гетероциклическом ядре псевдоуридина уже рассматривались в гл. 5; здесь мы остановимся только на превращениях, обусловленных наличием С-гликозидной связи. К их числу относятся: легкая изомеризация углеводного остатка в составе нуклеозида и необычное для других пиримидиновых нуклеозидов поведение при каталитическом гидрировании и окислении периодатом. Все эти превращения удается хорошо объяснить, исходя из предположения о легком раскрытии фуранозного цикла в псевдоуридине V с образованием промежуточного продукта с сопряженными двойными связями (VI) или его катиона (VII):

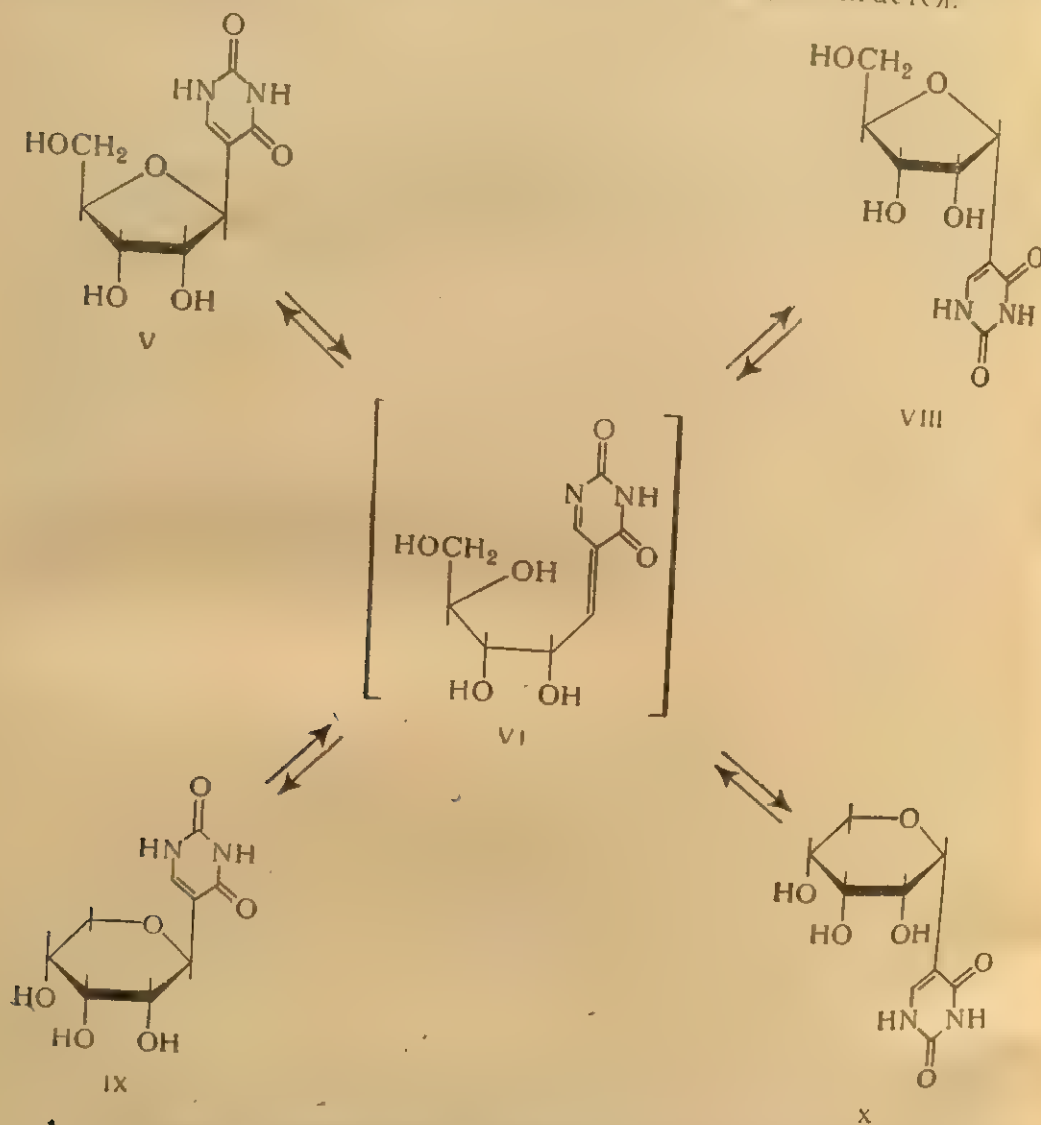


Движущей силой этого процесса может служить протонирование циклического кислорода остатка рибозы или потеря протона атомом N-1 гетероциклического ядра.

Уже при установлении строения псевдоуридина⁶ было отмечено, что это соединение довольно легко претерпевает мутаротацию — образуются изомеры, различающиеся размером цикла углеводного остатка и конфигурацией гликозидной связи. Природный изомер псевдоуридина 5-(β-D-рибофуранозил)-урацил V (так называемый псевдоуридин C)^{6,7} частично превращается после нагревания в

* Обзор — см. 5.

течение 1 ч в 1 н. соляной кислоте в 5-(α -D-рибофуранозил)-урацил VIII (псевдоуридин В) ^{6,7}, 5-(β -D-рибопиранозил)-урацил IX (псевдоуридин А_S) ^{6,8,9} и 5-(α -D-рибопиранозил)-урацил X (псевдоуридин А_F) ^{6,8,9}. Соотношение изомеров V:VIII:IX:X в образующейся смеси составляет приблизительно 2:1:2:1. Аналогичная смесь образуется при изомеризации в тех же условиях псевдоуридина В; изомеризация пиранозных изомеров псевдоуридина идет заметно медленнее, и равновесие за 1 ч не достигается.

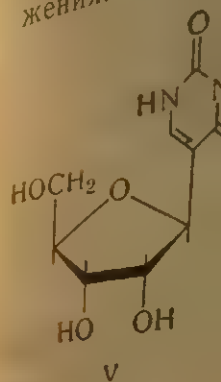


Аналогичная изомеризация протекает и в щелочной среде ^{6,8}; в этом случае процесс, очевидно, также проходит через промежуточный продукт VI.

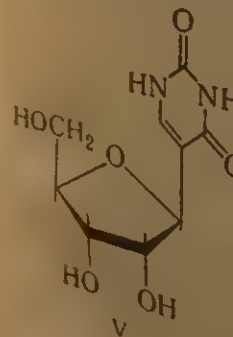
При каталитическом гидрировании псевдоуридина в условиях, приводящих обычно к насыщению двойной связи C-5—C-6 в пири-

III РЕАКЦИИ ПО

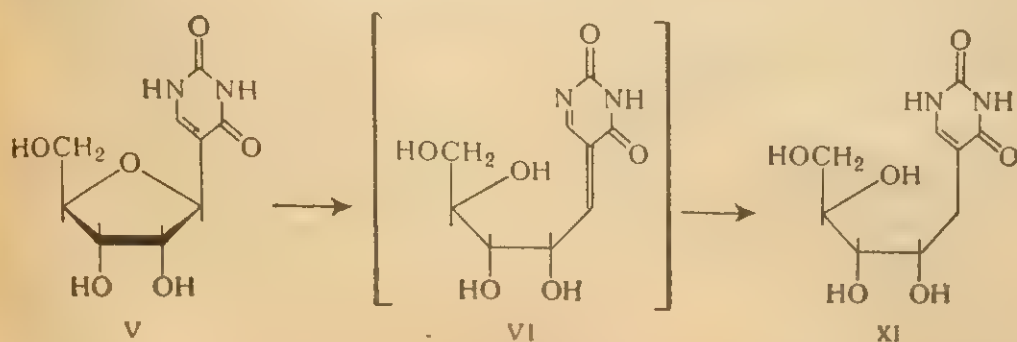
мидиновом ци
1 моль водоро
цесс также мо
нения VI, дис
жения.



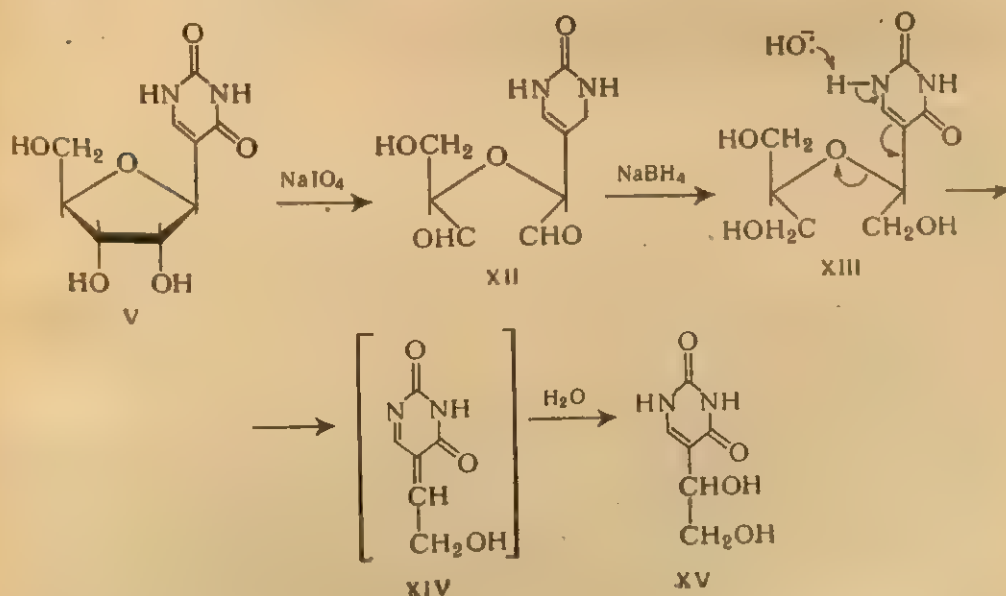
Окисление
(см. стр. 531)
рядом с ним обр
После восстано
с небольшим в
единение получ
доуридинов А_F
Образование X
ствием щелочи
дельного соеди



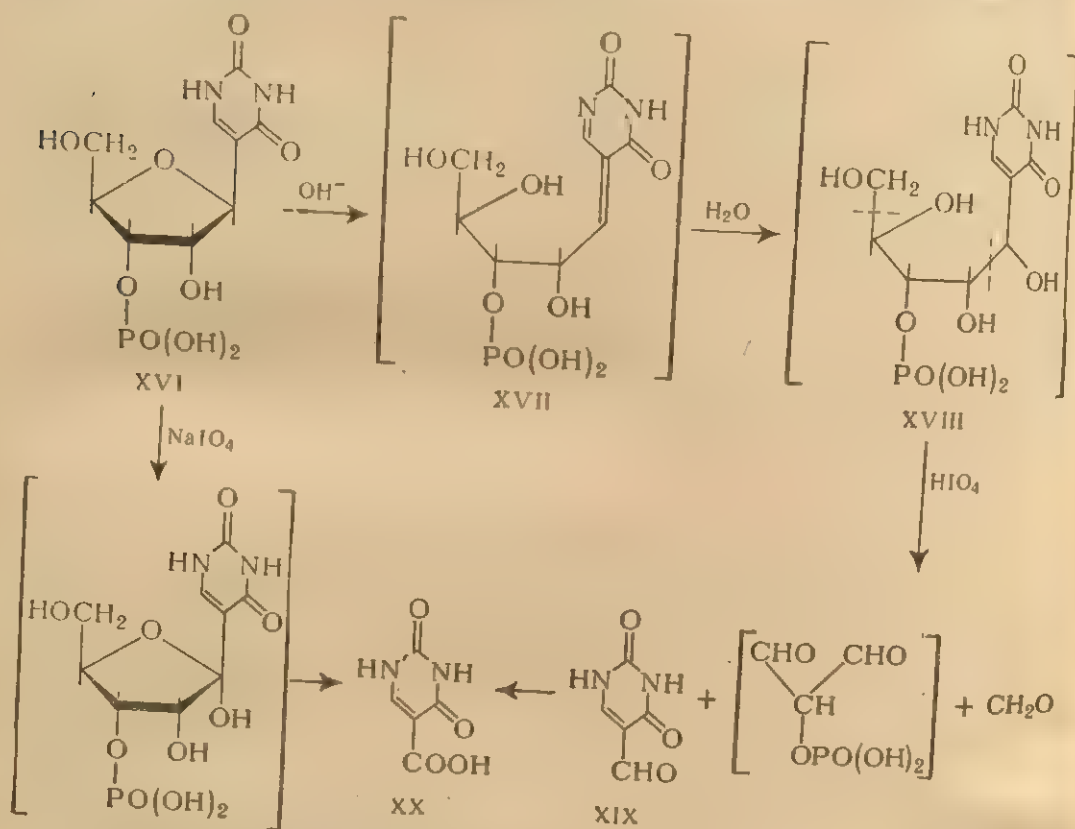
мидиновом цикле (см. стр. 336), на 1 моль соединения поглощается 1 моль водорода и образуется 5-(D-рибитил)-урацил XI⁶; этот процесс также можно объяснить промежуточным образованием соединения VI, диеновая система которого восстанавливается в 1,4-положения.



Окисление псевдоуридина С периодатом в обычных условиях (см. стр. 531) приводит к соответствующему диальдегиду XII; наряду с ним образуются два продукта неустановленного строения⁶. После восстановления диальдегида действием NaBH_4 образуется с небольшим выходом 5-(α, β -диоксиэтил)-урацил XV. Это же соединение получено в результате последовательной обработки псевдоуридинов А_F и А_S периодатом, боргидридом натрия и щелочью⁹. Образование XV можно объяснить распадом диола XIII под действием щелочи и последующей гидратацией возникающего непредельного соединения XIV.



В более жестких условиях под действием периодата расщепляются и производные псевдоуридина, не содержащие незамещенной *цис*-гликольной группировки, например псевдоуридин-3'-фосфат XVI¹⁰. Так, при pH 8,9 и 50° С 1 моль этого соединения поглощает 4,3 моль периодата в течение 23 ч; среди продуктов реакции были идентифицированы неорганический фосфат (0,9 моль), формальдегид (0,35 моль), 5-формилурацил XIX (0,3 моль) и урацил-5-карбоновая кислота XX (0,5 моль). Образование первых трех продуктов реакции может быть объяснено переходом псевдоуридин-3'-фосфата в щелочной среде в соединение XVII и его последующей гидратацией. Образующийся тетраол XVIII окисляется далее, давая 5-формилурацил, формальдегид и фосфорилосималоновый диальдегид, а неорганический фосфат получается при распаде фосфорилосималонового диальдегида:



Урацил-5-карбоновая кислота может образоваться за счет дальнейшего окисления 5-формилурацила или прямого гидроксирования по С-1' исходного соединения XVI (с последующим разложением). Такое окисление нетипично для действия периодата, однако следует помнить, что реакция проводится в условиях, значительно отличающихся от обычно применяемых для окисления

III РЕАКЦИИ ПО
1,2-гликолей.
медленно пер
вую кислоту:



Данные по
уридин-2' (3')-
5-карбоновая
ния псевдоур
области; одно
разрушение с
УФ-области с
фигурованы,

Таблица 11.1. Окисление уридин-2' (3')-

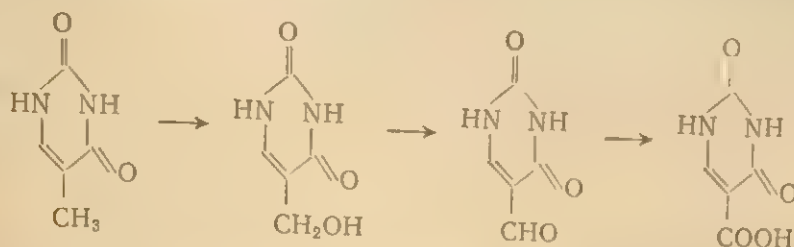
pH среды	Продукты реакции
----------	------------------

8,9	23
7,5	29
7,3	27
7,0	30

8,9	23
7,5	21

Существенно
и наблюдается
разрушается
зает 79% исхо
фосфат расще
аденозин-2' (3')
периодатного
ков псевдоури

1,2-гликолей. Удалось показать, что при pH 8,9 и 50° С даже тимин медленно переходит под действием периодата в урацил-5-карбоновую кислоту:



Данные по периодатному окислению псевдоуридин-3'-фосфата и уридин-2' (3')-фосфата приведены в табл. 11.1. При pH 7,5 урацил-5-карбоновая кислота является единственным продуктом окисления псевдоуридин-3'-фосфата, поглощающим в ультрафиолетовой области; одновременно становится заметным и другой процесс — разрушение соединения с потерей характерного поглощения в УФ-области спектра. Образующиеся при этом продукты не идентифицированы, и механизм реакции остается неясным (см. также ¹⁸).

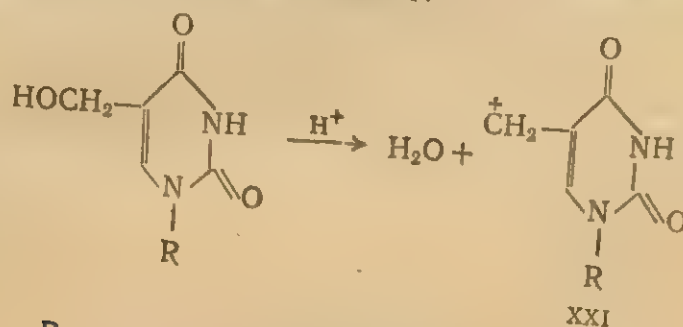
Таблица 11.1. Окисление псевдоуридин-3'-фосфата и уридин-2' (3')-фосфата периодатом при 50 ° С¹⁰

рН среды	Продолжи тельность реакции, ч	Состав результирующей смеси, %			Суммарный выход продуктов, поглоща- ющих в УФ-области, %
		урацил-5-карбо- вая кислота	5-формил- урацил	исходное соединение	
Окисление псевдоуридин-3'-фосфата					
8,9	23	44	28	9	82
7,5	29	23	0	19	42
7,3	27	18	0	34	52
7,0	30	следы	0	44	44
Окисление уридин-2' (3')-фосфата					
8,9	23	—	—	66	66
7,5	21	—	—	73	73

Существенно, что последняя реакция деструкции неспецифична и наблюдается для всех нуклеозид-2' (3') фосфатов. Быстрее всего разрушается уридин-2' (3')-фосфат: за 100 ч при pH 7 и 50° С исчезает 79% исходного нуклеотида. В тех же условиях цитидин-2' (3')-фосфат расщепляется на 53%; гуанозин-2' (3')-фосфат — на 25%, и аденозин-2' (3')-фосфат — на 6%. Вследствие этого применение периодатного окисления для специфического расщепления остатков псевдоуридина в тРНК не представляется возможным ¹⁶.

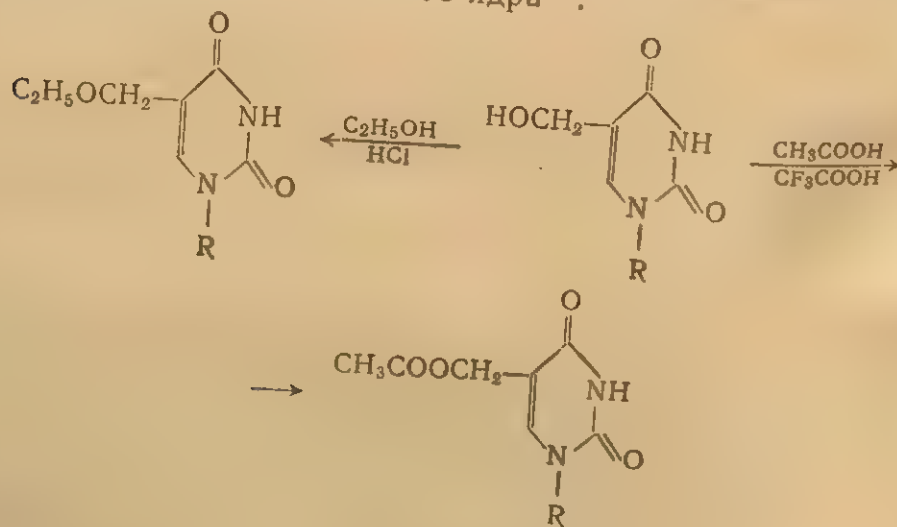
IV. РЕАКЦИИ 5-ОКСИМЕТИЛПИРИМИДИНОВЫХ ПРОИЗВОДНЫХ

Гидроксильная группа в производных 5-оксиметилпиримидинов заметно отличается по своему химическому поведению от гидроксильных групп углеводного остатка в нуклеозидах и нуклеотидах. Для 5-оксиметилпиримидинов весьма характерны реакции нуклеофильного замещения у атома углерода, протекающие по мономолекулярному механизму. Это связано с относительно высокой устойчивостью катиона XXI, образующегося из производных 5-оксиметилпиримидинов при действии кислот:



R — атом водорода или различные радикалы

К числу таких реакций нуклеофильного замещения относится легкое образование метиловых и этиловых эфиров из производных 5-оксиметилуридина при действии соответствующих спиртов и соляной кислоты¹¹⁻¹³. Аналогично могут быть получены и ацетаты¹¹. Обработка 2',3'-О-изопропилиден-5-оксиметилуридина уксусной кислотой в присутствии каталитических количеств трифторуксусной кислоты приводит к избирательному ацетилированию по оксиметильной группе пиримидинового ядра¹⁴:



R — углеводный остаток

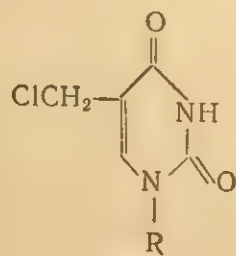
IV. РЕАКЦИЯ
При вза
водных 5-ок
ристым вод
5-хлорметил
5-оксиметил
типа XXIII

При гидри
цесса^{11, 16}: на
5,6-дигидроур
уридину XXV
нейшему восс

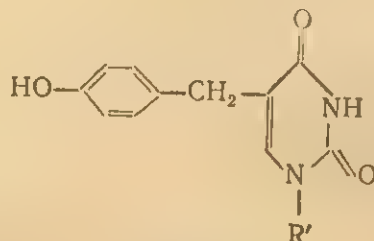
HOCH₂—

При испол
проведении ги
метильной гру
в нейтральном
происходит нас
При окисле
платиной в

При взаимодействии защищенных (по остатку сахара) производных 5-оксиметилдезоксипуридина с хлористым тионом или хлористым водородом в диоксане легко образуются соответствующие 5-хлорметилнуклеозиды¹³ XXII; описана конденсация производных 5-оксиметилпуридина с фенолами¹⁵, приводящая к продуктам типа XXIII.



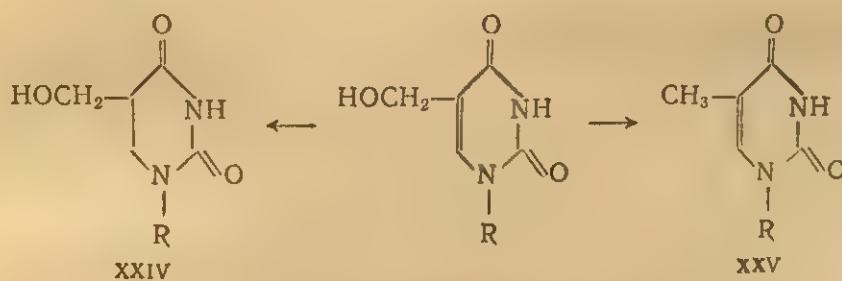
XXII



XXIII

R и R' — углеводные остатки

При гидрировании 5-оксиметилпуридина конкурируют два процесса^{11, 16}: насыщение двойной связи с образованием 5-оксиметил-5,6-дигидропуридина¹⁶ XXIV и гидрогенолиз, приводящий к 5-метилпуридину XXV (риботимидину), который может подвергаться дальнейшему восстановлению:



XXIV

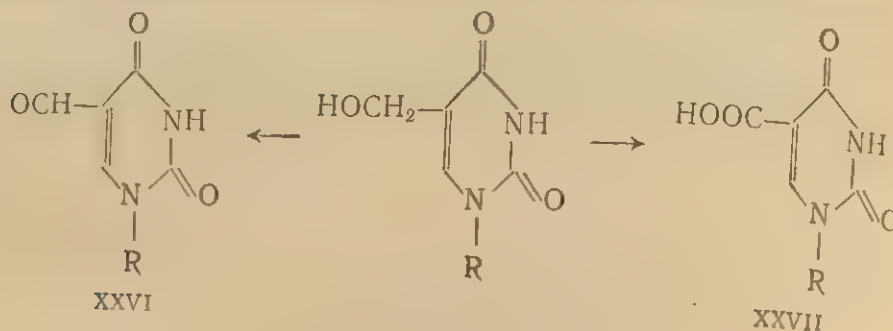
XXV

R — остаток рибозы

При использовании платинового или родиевого катализатора и проведении гидрирования в уксусной кислоте гидрогенолиз оксиметильной группы является преобладающей реакцией¹⁴; напротив, в нейтральном растворе над родиевым катализатором в основном происходит насыщение двойной связи¹⁶.

При окислении 5-оксиметилпуридина действием кислорода над платиной в уксусной кислоте главным продуктом реакции является

альдегид XXVI^{11, 17}; окисление под действием двуокиси марганца приводит к уридин-5-карбоновой кислоте XXVII¹¹:



R — остаток рибозы

При проведении окисления над платиновым катализатором в щелочной среде 5-оксиметильная группа окисляется до карбоксильной¹⁷; одновременно протекает окисление по остатку сахара.

ЛИТЕРАТУРА

1. Robins M. J., Hall R. H., Thedford R., Biochemistry, 6, 1837 (1967).
2. Biemann K., Tsunakawa S., Sonnenbichler J., Feldmann H., Dutting D., Zachau H. G., Angew. Chem., 78, 600 (1966).
3. Martin D. M. G., Reese C. B., J. Chem. Soc. (C), 1968, 1731.
4. Fittler F., Hall R. H., Biochem. Biophys. Res. Comm., 25, 441 (1966).
5. Chambers R. W., Progr. Nucl. Acid Res., 5, 349 (1966).
6. Cohn W. E., J. Biol. Chem., 235, 1488 (1960).
7. Michelson A. M., Cohn W. E., Biochemistry, 1, 490 (1962).
8. Chambers R. W., Kurkov V., Shapiro R., Biochemistry, 2, 1192 (1963).
9. Chambers R. W., Kurkov V., Biochemistry, 3, 326 (1964).
10. Tomasz M., Sanno Y., Chambers R. W., Biochemistry, 4, 1710 (1965).
11. Cline R. E., Fink R. M., Fink K., J. Am. Chem. Soc., 81, 2521 (1959).
12. Baker B. R., Schwan T. J., Santi D. V., J. Med. Chem., 9, 66 (1966).
13. Brossmer R., Röhm E., Z. physiol. Chem., 348, 1431 (1967).
14. Scheit K. H., Chem. Ber., 99, 3884 (1966).
15. Brossmer R., Angew. Chem., 79, 691 (1967).
16. Green M., Barner H. D., Cohen S. S., J. Biol. Chem., 228, 621 (1957).
17. Iwai K., Honjo M., Chem. Pharm. Bull., 13, 7 (1965).
18. Dugaiczky A., Eyler J. J., J. Biol. Chem., 244, 2750 (1969).

ФОТОХИМИЯ
НУКЛЕИНОВЫХ

I. ВВЕДЕНИЕ

Фотохимия и поглощения имми-
ным поглощение
словлено аромат-
рых и пиримид-
фотохимии нукл-
в молекулах нук-
ни ультрафиол.

Исследования
кислотные кисло-
следнее время
Влияние УФ-о-
вых кислот (см
понентов нуклеи-
нуклеиновых ки-
собственно орга-
оснований, нук-
внимание обра-
нуклеиновых ки-

II. ОСНОВНЫЕ

В соответствии
фотохимические из-
мого системой; в
в возбужденное со-
мической эквивале-
активировать одну
Далее активиро-
ни; могут расхо-
вставляя в разнооб-
исские процессы, в
ном состоянии, и
образовавшихся в

* Более

ФОТОХИМИЯ НУКЛЕИНОВЫХ КИСЛОТ И ИХ КОМПОНЕНТОВ

I. ВВЕДЕНИЕ

Фотохимия изучает процессы, происходящие в молекулах при поглощении ими света. Нуклеиновые кислоты обладают интенсивным поглощением в ультрафиолетовой области спектра, что обусловлено ароматической природой входящих в их состав пуриновых и пиримидиновых гетероциклических оснований. Предметом фотохимии нуклеиновых кислот являются изменения, происходящие в молекулах нуклеиновых кислот или их компонентов при облучении ультрафиолетовым светом.

Исследования действия ультрафиолетового облучения на нуклеиновые кислоты и их компоненты интенсивно развиваются в последнее время (обзоры — см. ¹⁻⁸) в трех основных направлениях: 1) влияние УФ-облучения на функциональные свойства нуклеиновых кислот (см., например, ³⁵³); 2) органическая фотохимия компонентов нуклеиновых кислот; 3) физика возбужденных состояний нуклеиновых кислот и их компонентов. В данной главе рассмотрена собственно органическая фотохимия пуриновых и пиримидиновых оснований, нуклеозидов, нуклеотидов и полинуклеотидов. Особое внимание обращено на изменение химических свойств компонентов нуклеиновых кислот при переходе их в возбужденное состояние.

II. ОСНОВНЫЕ ПОНЯТИЯ И ЗАКОНОМЕРНОСТИ ФОТОХИМИИ *

В соответствии с первым законом фотохимии (закон Гротгуса — Дрепера) фотохимические изменения происходят только под действием света, поглощаемого системой; в результате поглощения кванта (фотона) система переходит в возбужденное состояние. Согласно второму закону фотохимии (закон фотохимической эквивалентности Эйнштейна) каждый поглощенный квант способен активировать одну молекулу.

Далее активированные молекулы (т. е. находящиеся в возбужденном состоянии) могут расходовать полученную энергию различными путями в том числе вступая в разнообразные химические реакции. Различают первичные фотохимические процессы, в которых участвуют непосредственно молекулы в возбужденном состоянии, и вторичные («темновые») реакции, т. е. превращения продуктов, образовавшихся в результате первичных процессов.

* Более подробно об основах фотохимии см. ⁹⁻¹¹.

Энергия, необходимая для возбуждения одной молекулы, т. е. энергия одного кванта q при данной длине волны может быть записана уравнением (1)

$$E_2 - E_1 = q = h\nu = \frac{hc}{\lambda} \quad (1)$$

где E_2 и E_1 — энергии соответственно возбужденного и основного состояний молекулы; h — постоянная Планка; ν и λ — частота и длина волны поглощенного излучения; c — скорость света.

Энергия, необходимая для возбуждения 1 моль вещества при данной длине волны, называется эйнштейном (E):

$$1E = qN = \frac{hc}{\lambda} N \quad (2)$$

где N — число Авогадро.

Для λ , равной 2000 и 7000 Å (коротковолновая граница ближней ультрафиолетовой области и начало инфракрасной области), 1 E равен 143 ккал/моль и 40,8 ккал/моль соответственно. Для λ , равной 2537 Å (длина волны, часто применяемая в фотохимии нуклеиновых кислот), 1 E равен 113 ккал/моль.

Как было сказано выше, энергия, поглощенная молекулой при возбуждении, может расходоваться различными путями, т. е. не каждый поглощенный квант вызывает химическую реакцию. Отношение числа прореагировавших молекул к числу поглощенных квантов (на единицу объема) называется квантовым выходом процесса:

$$\Phi = \frac{\text{число прореагировавших молекул}}{\text{число поглощенных квантов}} = \frac{\text{число прореагировавших молей}}{\text{число поглощенных эйнштейнов}} \left(\frac{\text{моль}}{E} \right) \quad (3)$$

Если каждый поглощенный квант вызывает фотохимическую реакцию, квантовый выход реакции равен единице (или двум в случае фотодимеризации). Квантовый выход Φ первичного фотохимического процесса может отличаться от полного (измеряемого) квантового выхода Φ вследствие протекания вторичных реакций. Необходимо подчеркнуть разницу между квантовым выходом реакций и химическим выходом конечного продукта.

При изучении механизма и кинетики фотохимических реакций, в частности в фотохимии нуклеиновых кислот¹², пользуются понятием поперечного сечения, которое определяется долей прореагировавших молекул на единицу дозы (количество эйнштейнов на единицу поверхности):

$$\sigma = \left(\frac{d[M]/dL}{[M_0]} \right)_{L \rightarrow 0} \quad (4)$$

где $[M]$ — концентрация прореагировавших молекул; $[M_0]$ — концентрация исходных молекул; L — доза.

Обычно в фотохимических исследованиях σ измеряют в $\text{см}^2/\text{мкЕ}$.

Поскольку при постоянной интенсивности облучения доза пропорциональна времени, поперечное сечение фотореакции пропорционально скорости превращения при данной интенсивности излучения.

Возбужденные состояния. Частоты, характерные для ультрафиолетового излучения, соответствуют частотам электронных переходов, т. е. ультрафиолетовый свет возбуждает колебания электронов, вызывая переход их на более высокий энергетический уровень.

Основное (невозбужденное) состояние молекулы в соответствии с принципом Паули является синглетным S_0 , т. е. спины обоих электронов, находящихся на

одной орбита-
тронов перехо-
молекула мож-
электронов ан-
нов параллель-
В больш

растворе, учас-
или самое ни-

триплетное со-
возбужденное

ризуется опре-
временем жиз-

распределением
кового в основ-

ким образом, м-
и возбужденно-

две отличные
мические инди-

ладающие разл-
способностью.

способность в воз-
нии, вообще го-

ствии избытка
неспаренных эл-

триплетного
меньше энергии

синглетного со-
но с большим

нов друг от
взаимным отта-

плетном состоя-
представлена сх-

гии, иллюстри-
поглощения эн-

ждении и некот-
ходования при

жденного состо-
ным, т. е. в теч-

жденного состо-
при поглощении

расходовать в
Излучатель

стояния в осно-
длиной волны

где M^* и M_0 —

Излучение,
вается флуорес-

ческих молекул
 $T_1 \rightarrow S_0$ (рис. 12)

фосфоресценции

* Исключе-
обладающие не-

** Здесь и
в возбужденном

одной орбитали, антипараллельны *. При возбуждении молекулы один из электронов переходит на другую орбиталь, запрет Паули снимается, и возбужденная молекула может находиться либо в возбужденном синглетном состоянии (спины электронов антипараллельны), либо в возбужденном триплетном (спины электронов параллельны).

В большинстве органических фотохимических процессов, протекающих в растворе, участвует или самое нижнее возбужденное синглетное состояние S_1 , или самое нижнее возбужденное триплетное состояние T_1 . Каждое

возбужденное состояние характеризуется определенной энергией, временем жизни и электронным распределением, отличным от такового в основном состоянии. Таким образом, молекула в основном и возбужденном состояниях — это две отличные друг от друга химические индивидуальности, обладающие различной реакционной способностью. Реакционная способность в возбужденном состоянии, вообще говоря, выше вследствие избытка энергии и наличия неспаренных электронов. Энергия триплетного состояния обычно меньше энергии соответствующего синглетного состояния, что связано с большим удалением электронов друг от друга и меньшим взаимным отталкиванием в триплетном состоянии. На рис. 12.1 представлена схема уровней энергии, иллюстрирующая процессы поглощения энергии при возбуждении и некоторые пути ее расходования при переходе из возбужденного состояния в основное. Возбужденное состояние является метастабильным, т. е. в течение определенного времени, называемого временем жизни возбужденного состояния, возбужденная молекула расходует энергию, полученную при поглощении кванта, и переходит в основное состояние. Эта энергия может расходоваться несколькими путями.

Излучательные переходы. Молекула может перейти из возбужденного состояния в основное, отдавая избыточную энергию в виде излучения с большей длиной волны по сравнению с поглощенной (см. рис. 12.1, переходы σ и ϵ) **:



где M^* и M_0 — молекула в возбужденном и основном состоянии соответственно.

Излучение, сопровождающее переход $S_1 \rightarrow S_0$ (рис. 12.1, переход σ), называется флуоресценцией. Время жизни флуоресценции для большинства органических молекул составляет $10^{-9} - 10^{-6}$ сек. Излучение, сопровождающее переход $T_1 \rightarrow S_0$ (рис. 12.1, переход ϵ), принято называть фосфоресценцией. Время жизни фосфоресценции для большинства органических молекул составляет $10^{-3} - 10$ сек.

* Исключение могут составлять, например, парамагнетики, т. е. вещества, обладающие неспаренными электронами.

** Здесь и далее звездочкой помечены величины и обозначения, относящиеся к возбужденным состояниям.

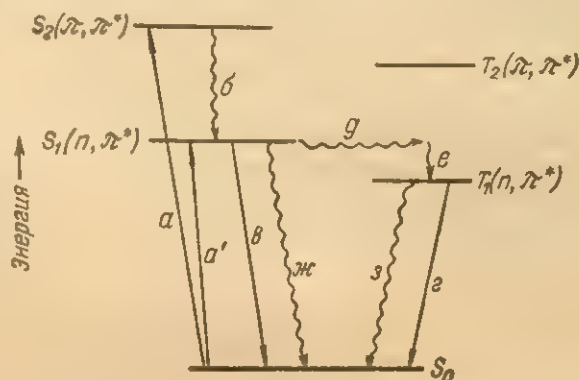
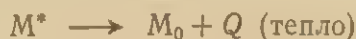


Рис. 12.1. Схема уровней энергии для не-насыщенных соединений, содержащих гетероатомы. Горизонтальными линиями обозначены энергии самых нижних колебательных уровней каждого состояния (энергии более высоких колебательных уровней не показаны). Прямые стрелки обозначают электронные переходы, сопровождающиеся поглощением или испусканием кванта. Волнистые стрелки соответствуют безызлучательным переходам ⁹. Обсуждение показанных переходов — см. текст.

Безызлучательные переходы. Различают несколько типов безызлучательных переходов^{9, 10}. Некоторые из них, наиболее важные для понимания дальнейшего материала, следующие.

1. Молекула может переходить из одного состояния в другое, расходуя избыточную энергию в виде тепла при столкновении с другими молекулами (рис. 12.1, переходы *ж* и *з*):



2. Внутримолекулярный переход $S_1 \rightarrow T_1$ (рис. 12.1, переходы *д* и *е*), называемый интеркомбинационной конверсией. Этот переход заслуживает особого внимания, поскольку возбужденное триплетное состояние T_1 , как наиболее долгоживущее, несомненно, играет важную роль в фотохимических реакциях, а непосредственное заселение его из основного состояния ($S_0 \rightarrow T_1$) является сильно запрещенным процессом.

3. Возбужденная молекула может передать избыточную энергию другой молекуле:



Если перенос энергии инициирует химическую реакцию молекулы акцептора M_a , такая реакция называется фотосенсибилизированной.

Фотохимическая реакция. Молекула, находящаяся в возбужденном состоянии, может расходовать избыточную энергию, полученную при возбуждении, вступая в химическую реакцию. Однако далеко не всякая молекула, будучи переведенной в возбужденное состояние, претерпевает затем химические изменения. Значительная часть возбужденных молекул, не успевая вступить в химическую реакцию, возвращается в исходное состояние. Однако даже кратковременное пребывание молекул в возбужденном состоянии вследствие их высокой реакционной способности открывает возможности проведения в мягких условиях весьма интересных специфических химических превращений.

III. СПЕКТРЫ ПОГЛОЩЕНИЯ НУКЛЕИНОВЫХ КИСЛОТ И ИХ КОМПОНЕНТОВ

Из изложенного очевидно, что для фотохимических исследований необходимо детальное изучение спектров поглощения исследуемого вещества. Это позволяет не только правильно выбрать диапазон длин волн для возбуждения молекул, но и судить о механизме и возможных результатах первичных фотохимических процессов. Обсуждение огромного материала по УФ-спектрам^{2, 13-18} поглощения нуклеиновых кислот и их компонентов в рамках данной главы не представляется возможным. В этом разделе приведены лишь краткие основные сведения, необходимые для понимания материала, изложенного далее.

Нуклеиновые кислоты и их компоненты интенсивно поглощают в ближней ультрафиолетовой области (200—300 м.мк); максимум абсорбции, как правило, находится в области около 260 м.мк.

УФ-Поглощение нуклеиновых кислот и их компонентов обусловлено поглощением пуриновых и пиримидиновых оснований, а именно

III. СПЕКТРЫ
 $\pi - \pi^*$ и $n - \pi^*$
 ды соответс
 телей на π
 n -орбиталях
 ронических
 гл. 3). По
 более интер
 условлен гл
 переходами n
 поглощения
 320 м.мк) 19
 Поскольку
 реходами, с
 распределе
 относительн
 заместител
 влияния оп
 правило, на
 —ОН при С
 ственно при
 заместител
 чительно сл
 трам основа
 шения ряда
 водного ост
 метилцитид
 Спектры
 поскольку
 ванной или
 электронной
 форм являе
 пары электр
 но, сильно
 сольватаци
 ственно вли
 вых поглощ
 более четк
 спектров пр
 тационных
 Наиболь
 нуклеиновы
 нуклеическо
 двойной св
 а. Следует
 л-электроны
 оснований в

$\pi - \pi^*$ - и $n - \pi^*$ -электронными переходами в них^a. $\pi - \pi^*$ -Переходы соответствуют возбуждению π -электронов с π -связывающих орбиталей на π^* -разрыхляющие, а $n - \pi^*$ -переходы — с несвязывающих n -орбиталей (например, из свободной пары электронов азота гетероциклического ядра или кислорода карбонильной группы — см. гл. 3). Полосы, соответствующие $\pi - \pi^*$ -переходам, значительно более интенсивны. Максимум поглощения в области 260 мкм обусловлен главным образом $\pi - \pi^*$ -переходами и лишь отчасти переходами $n - \pi^*$ -типа. Последние проявляются иногда на кривых поглощения в виде плеч в более длинноволновой области (280—320 мкм)¹⁹⁻²².

Поскольку спектры поглощения обусловлены электронными переходами, они зависят от факторов, влияющих на электронное распределение. Существенное влияние на спектры, в частности на относительную энергию $\pi - \pi^*$ - и $n - \pi^*$ -переходов, оказывают заместители в пуриновом или пиримидиновом ядре²³⁻²⁷. Характер влияния определяется природой и положением заместителей. Как правило, наибольшее влияние оказывают заместители $-\text{NH}_2$ или $-\text{OH}$ при С-2 и С-4 для пиримидинов и их производных и соответственно при С-2 и С-6 для пуринов. Алкильный или рибозильный заместитель при N-1 пиримидина или при N-9 пурина влияет значительно слабее^{25, 26}, поэтому спектры нуклеозидов близки к спектрам оснований. Следует, однако, отметить, что в спектрах поглощения ряда соединений все же отражается взаимодействие углеводного остатка с основанием, как например, в случае цитидина, метилцитидина и цитидин-2'(3')-фосфата²⁸⁻³⁰.

Спектры компонентов нуклеиновых кислот зависят от рН^{28, 31}, поскольку переход от нейтральной формы основания к протонированной или депротонированной сказывается на распределении электронной плотности в гетероциклических ядрах, а соотношение форм является функцией рН раствора. Протонирование свободной пары электронов атома азота гетероциклического ядра, естественно, сильно сказывается на $n - \pi^*$ -электронных переходах (см. гл. 3). Сольватация, особенно в полярных растворителях, также существенно влияет на $n - \pi^*$ -переходы, вследствие чего плечи на кривых поглощения, соответствующие $n - \pi^*$ -переходам, проявляются более четко в неполярных растворителях^{23, 27}. Важные изменения спектров происходят, кроме того, при межплоскостных и комплементарных взаимодействиях оснований в полинуклеотидах (см. гл. 4).

Наиболее существенно на спектрах поглощения компонентов нуклеиновых кислот сказывается нарушение ароматичности гетероциклического основания, наблюдаемое, например, при насыщении двойной связи С-5—С-6 в пиримидиновых производных^{32, 33}.

^a Следует отметить, что при УФ-облучении возбуждаются главным образом π -электроны. Этот момент важен при рассмотрении реакционной способности оснований нуклеиновых кислот и их производных в возбужденном состоянии.

IV. ВОЗБУЖДЕННЫЕ СОСТОЯНИЯ НУКЛЕИНОВЫХ КИСЛОТ И ИХ КОМПОНЕНТОВ

Как уже указывалось, возбуждение молекулы (например, гетероциклического основания нуклеиновых кислот) меняет ее электронную структуру, что приводит к изменению ее важнейших физических и химических свойств, и в частности константы диссоциации, константы таутомерного равновесия, реакционной способности и т. д. Разные возбужденные состояния различаются энергией, электронным распределением и временем жизни. Поэтому очевидно, что возбужденная молекула должна обладать различными свойствами в зависимости от того, в каком возбужденном состоянии она находится. Следовательно, для изучения поведения нуклеиновых кислот в возбужденном состоянии, и в частности механизма фотохимических реакций, важно знать, через какое возбужденное состояние протекает та или иная реакция, характеристику этого возбужденного состояния и, наконец, что представляет собой молекула основания или его производного в данном возбужденном состоянии.

Основными источниками информации о характере возбужденных состояний нуклеиновых кислот и их компонентов являются спектры поглощения и люминесценции, спектры электронного парамагнитного резонанса (ЭПР)³⁴. Весьма перспективен метод импульсного фотолиза (краткий обзор — см.⁹), лишь недавно получивший применение в фотохимии нуклеиновых кислот.

1. Характеристика возбужденных состояний

Мономерные компоненты

Большинство компонентов нуклеиновых кислот люминесцирует только при низких температурах, так как в растворах при комнатной температуре энергия возбуждения рассеивается в основном в результате безызлучательных процессов. Поэтому сведения, приведенные ниже, относятся главным образом к возбужденным состояниям компонентов нуклеиновых кислот в замороженных растворах при низких температурах ($\sim 80^\circ \text{K}$).

Спектры люминесценции ряда 5'-нуклеотидов представлены на рис. 12.2 (о спектрах люминесценции оснований, нуклеозидов и нуклеотидов см. также ³⁶⁻⁴¹).

На основании спектров поглощения и люминесценции были определены важнейшие параметры, характеризующие возбужденные состояния нуклеотидов. Некоторые из них представлены в табл. 12.1.

Из сравнения спектров поглощения и флуоресценции при низких температурах следует, что геометрия молекулы при переходе в возбужденное синглетное состояние существенно не меняется³⁹.

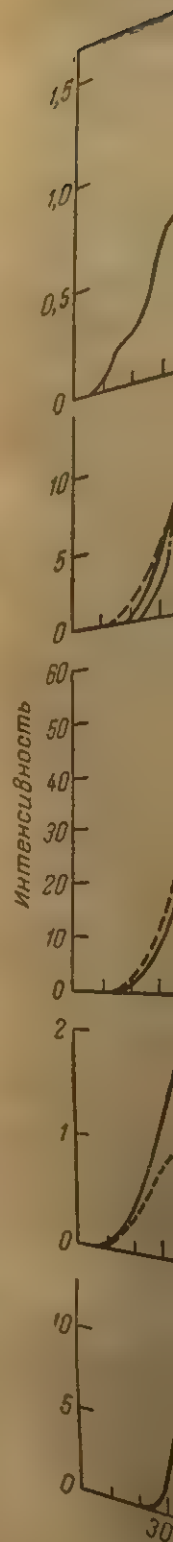


Рис. 12.2. Спектры люминесценции) мономерных компонентов нуклеиновых кислот при 80°K ³⁵.

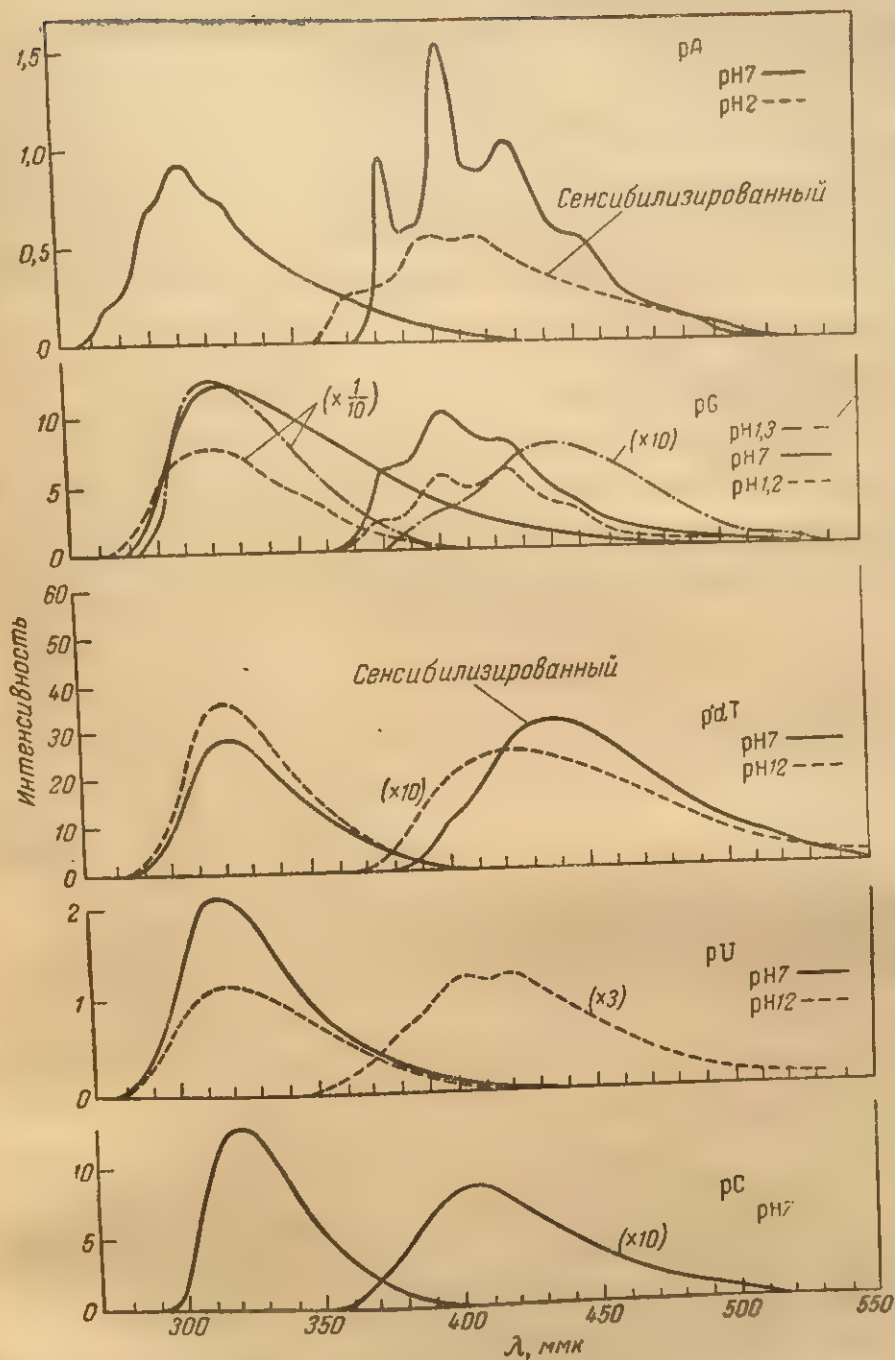


Рис. 12.2. Спектры люминесценции (флуоресценции и фосфоресценции) мононуклеотидов в смеси этиленгликоль — вода (1:1) при 80°K³⁶.

В большинстве работ состояние S_1 описывается как π, π^* -состояние^{36, 38, 42}. Однако ряд данных указывает на возможность значительно менее интенсивного возбуждения несвязывающих электронов атомов азота и кислорода гетероциклических оснований, т. е. на существование n, π^* -состояний^{27, 43}. Причем в зависимости от природы заместителей в гетероциклическом ядре относительные энергии n, π^* - и π, π^* -уровней могут меняться, т. е. нижним возбужденным синглетным состоянием может быть π, π^* - или n, π^* -состояние²⁷.

Таблица 12.1. Параметры возбужденных синглетного и триплетного состояний некоторых 5'-нуклеотидов³⁵

E — энергия возбуждения; $^1\Phi_P$ и $^3\Phi_P$ — квантовые выходы флуоресценции и фосфоресценции; $^1\Phi_{икк}$ — квантовый выход интеркомбинационной конверсии; $1 - (^1\Phi_P + ^1\Phi_{икк})$ и $1 - \frac{^3\Phi_P}{^1\Phi_{икк}}$ — квантовые выходы безызлучательного перехода в основное состояние из синглетного и триплетного состояний; $^1\tau_P$ — время жизни флуоресценции; $^1\tau$ — время жизни синглетного возбужденного состояния; $^3\tau$ — время тушения триплетного возбужденного состояния

Нуклеотид	pH среды	Синглетное состояние						Триплетное состояние			
		$E \cdot 10^3, \text{ см}^{-1}$	$^1\Phi_P$	$^1\Phi_{икк}$	$1 - (\Phi_P + \Phi_{икк})$	$^1\tau_P, \text{ нсек}$	$^1\tau, \text{ нсек}$	$^3E \cdot 10^3, \text{ см}^{-1}$	$^3\Phi_P$	$1 - \frac{^3\Phi_P}{^1\Phi_{икк}}$	$^3\tau, \text{ сек}$
pA	—	35,2	0,01	0,02	0,97	3,0	2,8	26,7	0,015	0,35	2,1
pG	—	34,0	0,13	0,15	0,72	12,0	5,0	27,2	0,07	0,5	1,3
pC	—	33,7	0,05	—	0,95	5,5	—	27,9	0,01	—	0,34
pdT	7,0	34,1	0,16	0	0,84	4,5	3,2	26,3	—	—	0,33
pU	12,0	34,4	0,24	0,15	0,61	5,5	2,9	27,0	0,003	0,8	0,5
	7,0	34,9	0,01	0	0,99	4,5	—	—	—	—	—
	12,0	35,0	—	—	—	4,5	—	—	—	—	—

Возбужденное триплетное состояние нуклеотидов, как правило, является π, π^* -состоянием^{27, 34, 35}. Энергия возбужденного триплетного состояния значительно ниже, чем синглетного.

Важно подчеркнуть, что в ряду рассмотренных соединений наименьшей энергией триплетного состояния обладает тимидин-5'-фосфат в нейтральной форме. Интенсивность заселения возбужденного триплетного состояния характеризуется квантовым выходом интеркомбинационной конверсии $\Phi_{икк}$. Для pdT и pU при pH 7 эти величины равны нулю (см. табл. 12.1), т. е. в разбавленных растворах при низких температурах возбуждение изолированных молекул этих соединений на триплетный уровень возможно, по-видимому, только путем сенсibilизации. Однако в концентрированных замороженных растворах pdT и pU наблюдается фосфоресценция, что свидетельствует о заселении в этих условиях триплетного уровня³⁹.

Возбужденные состояния нуклеотидов в растворах при температурах выше 0°С исследованы в значительно меньшей степени.

Ряд данных свидетельствует об изменении их свойств при повышении температуры от 77 до 298° К.

В растворах нейтральных форм большинства нуклеотидов флуоресценция и фосфоресценция почти полностью гасятся^{35, 36, 39}. Одной из возможных причин этого явления является увеличение скорости внутренней конверсии, которое должно приводить к уменьшению величины τ по крайней мере на два порядка (до 10^{-11} сек) и уменьшению величины $\Phi_{\text{флк}}$, если только последняя не увеличивается с температурой⁴⁴. Имеются экспериментальные данные, свидетельствующие о том, что возможно получить при комнатной температуре значения $\Phi_{\text{флк}}$, сравнимые с соответствующими величинами при 77° К⁴⁵.

Предполагается, что с повышением температуры и понижением вязкости среды энергия возбужденного синглетного состояния нуклеотидов уменьшается вследствие реориентации молекул растворителя, окружающих молекулу нуклеотида³⁵. Одним из доводов в пользу такого заключения является сдвиг в красную область максимума флуоресценции протонированного аденина при повышении температуры от 80 до 271° К³⁵.

В водных растворах флуоресценция была обнаружена для протонированных форм аденина, гуанина и соответствующих нуклеотидов^{46, 311}, а также для анионов гуанина⁴⁶ и тимина⁴⁷. Аналогичную флуоресценцию проявляют нейтральные формы замещенных нуклеотидов, близкие по строению к протонированным (незамещенным), например 7-N-метилгуаниловая и 7-N-метилюрициловая кислоты и соответствующие нуклеозиды⁴⁸. Интенсивность флуоресценции нуклеотидов ниже, чем для нуклеозидов. В интервале от 0 до 60° С интенсивность флуоресценции является функцией температуры, однако сдвига максимума флуоресценции в этом интервале температур не наблюдается⁴⁸.

С помощью метода импульсного фотолиза получен ряд характеристик возбужденного триплетного состояния урацила в водном растворе, в частности определено его время жизни в отсутствие тушителей ($6,1 \pm 0,5$ мксек³¹²).

Константы ионизации. Перераспределение электронной плотности при возбуждении оснований, нуклеозидов и нуклеотидов влияет на легкость диссоциации или присоединения протона к пуриновым и пиримидиновым ядрам, иными словами, меняет рК этих соединений. Энергия возбуждения нейтральных и ионизованных молекул различна, что в шкале волновых чисел может быть выражено уравнением

$$\nu_{\text{МН}} - \nu_{\text{М}} = \Delta\nu \quad (5)$$

где $\Delta\nu$ (в см^{-1}) определяется как средняя величина сдвигов в спектрах поглощения и флуоресценции при переходе от протонированной (МН) к депротонированной (М) форме соединения⁴⁹.

Разность энергий, определяемая $\Delta\nu$, характеризует разницу энергетических уровней ионизации в основном и возбужденном состояниях. Отсюда разность между pK в основном и возбужденном состоянии может быть вычислена по следующему уравнению:

$$pK^* - pK = - \frac{hc}{kT} \Delta\nu \quad (6)$$

Значения $\Delta\nu$ некоторых нуклеотидов, определенные из спектров поглощения и флуоресценции, приведены в табл. 12.2.

Таблица 12.2. Изменение энергии возбуждения при ионизации нуклеотидов³⁹

Нуклеотид	pH среды	$\Delta\nu, \text{см}^{-1}$	Нуклеотид	pH среды	$\Delta\nu, \text{см}^{-1}$
pdT	7-11	-250	pC	1-7	-250
pA	1-7	-350	pU	7-11	-60
pG	1-7	-740			
	12	-260			

Из данных табл. 12.2 и уравнения (6) следует, что при возбуждении pK повышается, т. е. протон связывается более прочно. Значения $\Delta\nu$ относительно невелики; это означает, что изменения pK , по-видимому, не очень значительны. Для сравнения можно привести $\Delta\nu$ β -нафтола, равное $+3300 \text{ см}^{-1}$ и соответствующее сдвигу pK на 7 единиц⁴⁰.

Непосредственное сравнение величин pK и pK^* нуклеотидов подтверждает неравенство $pK < pK^*$ ^{36, 50}; количественные данные, однако, весьма противоречивы. При расчете термодинамических параметров ионизации при комнатной температуре были использованы только данные спектров поглощения⁵⁰, а в случае применения спектров эмиссии сравнивались данные по pK для возбужденных состояний при 77°K и основного при 298°K ³⁶, что, вероятно, неправомерно вследствие зависимости pK от температуры. Кроме того, для замороженных растворов термин pK вообще условен, так как равновесие протолитической реакции в этих условиях, по-видимому, не достигается.

Таутомерное равновесие. Имеются данные, свидетельствующие о различии в свойствах возбужденных состояний разных таутомерных форм производных пиримидинов³⁶. N-Метилзамещенные пиримидины, моделирующие лактамную форму, не флуоресцируют при комнатной температуре и обнаруживают слабую флуоресценцию при 77°K . O-Метилзамещенные пиримидины, являющиеся моделью лактимной формы, напротив, сильно флуоресцируют при комнатной температуре и фосфоресцируют при 77°K ³⁶.

Возбуждение молекулы, вызывающее перераспределение электронной плотности в гетероциклическом основании, приводит к сдвигу таутомерного равновесия. Квантовохимические расчеты показывают, что в возбужденном состоянии облегчается переход оснований в редкие лактимные (для гуанина, урацила и тимина) и иминные (для цитозина и аденина) формы⁵⁰⁻⁵². По данным Данилова⁵¹, в первом возбужденном синглетном состоянии аденин переходит в иминную форму легче, чем цитозин, а тимин и урацил переходят в лактимную форму легче, чем гуанин, т. е. относительная легкость перехода различных оснований в редкие таутомерные формы обратна таковой в основном состоянии.

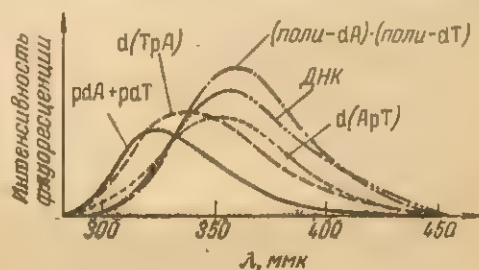


Рис. 12.3. Спектры флуоресценции моно-, олиго- и полинуклеотидов⁸⁵.

Полинуклеотиды

Нуклеотидное звено, входящее в состав полинуклеотидной цепи, принимает участие в сложном комплексе взаимодействий с соседними звеньями. В возбужденном состоянии такие взаимодействия (особенно обусловленные π -электронами) усиливаются,^{85, 44}. Об этом свидетельствуют, в частности, более резкие различия в спектрах флуоресценции, чем в спектрах поглощения, при переходе от моно- к олиго- и полинуклеотидам^{35, 39, 42, 44, 53-54} (рис. 12.3). С другой стороны, взаимодействие мономерных звеньев в полинуклеотидной цепи изменяет свойства возбужденных состояний полинуклеотидов. Время жизни синглетного возбужденного состояния моонуклеотидных звеньев в полинуклеотиде приблизительно в 100 раз меньше, чем для мономерных компонентов.

На основании спектров флуоресценции и ряда других фактов было высказано предположение о существовании в полинуклеотидах при низких температурах синглетных эксимеров, т. е. возбужденных аддуктов, образующихся в результате перекрывания π -электронных облаков возбужденного гетероциклического основания с соседним по цепи невозбужденным основанием^{35, 54}.

Для некоторых двухцепочечных полинуклеотидов характерно безызлучательное тушение возбуждения. Например, комплексы (поли-А) · (поли-У) и (поли-dG) · (поли-dC) не люминесцируют при низких температурах в отличие от составляющих их моонуклеотидов^{42, 54, 57}. Однако ДНК флуоресцирует при 77° К⁴².

Наконец, весьма характерным для возбужденных полинуклеотидов при низких температурах является перенос энергии возбуждения нуклеотидными звеньями^{39, 44, 55, 56, 58}. Возможны синглет-синглетный и триплет-триплетный переносы. Триплет-триплетный

перенос особенно важен при изучении фотохимии полинуклеотидов. Перенос, естественно, осуществляется только в направлении уменьшения энергии возбуждения, что приводит независимо от длины волны возбуждающего излучения к заселению триплетного уровня составляющего нуклеотида с наименьшей энергией триплетного возбуждения. Это находит отражение в спектрах фосфоресценции. Например, при pH 7 спектр d(ApT) соответствует спектру pdT, поскольку значение 3E для pdT меньше, чем для dAp. В щелочной области спектр динуклеозидмонофосфата соответствует спектру dAp, так как здесь уже величина 3E меньше для dAp, чем для аниона pdT³⁵. С этим согласуется тот факт, что при 77° К триплетное состояние ДНК соответствует триплетному состоянию pdT, как можно судить по данным спектров фосфоресценции и ЭПР⁵⁹.

Аналогично моонуклеотидам возбужденные состояния полинуклеотидов меняются при переходе от низких температур к более высоким. Большинство полинуклеотидов не люминесцирует в возбужденных состояниях при комнатной температуре. По-видимому, уменьшается время жизни возбужденного синглетного состояния, что в случае неизменности $\Phi_{\text{инк}}$ должно привести к уменьшению выхода триплетов⁴⁴. Ди- и полинуклеотиды, содержащие остатки протонированного гуанозина, 7-N-метилгуанозина, 7-N-метилюридина или остатки 4-экзо-N-ацетилцитидина, флуоресцируют при возбуждении в растворах при температурах выше 0° С^{47,60,311}. Интенсивность флуоресценции олиго- и полинуклеотидов почти вдвое меньше, чем для моонуклеотидов, и зависит, кроме того, от последовательности моонуклеотидов; сдвига λ_{max} флуоресценции не происходит. По-видимому, в данном случае эксимеры не образуются и синглетный перенос энергии к флуоресцирующему основанию отсутствует^{48, 60}. Однако ряд данных свидетельствует о возможности переноса энергии в растворах ДНК при температурах выше 0° С⁴⁴.

Исходя из приведенных данных, можно полагать, что в возбужденных состояниях различие в реакционной способности моонуклеотидов как таковых и в составе полимера больше, чем в основном состоянии, за счет усиления межплоскостного взаимодействия и возможности переноса энергии.

Следует отметить, что большинство данных по возбужденным состояниям нуклеотидов и нуклеиновых кислот получено при низких температурах, когда влиянием природы растворителя или вязкости среды можно пренебречь. В растворах при комнатной температуре влияние растворителя и ряд других факторов могут существенно менять свойства молекулы в возбужденном состоянии и сам характер заселения возбужденных уровней. В еще большей степени это относится к биологическим системам. Поэтому, исполь-

IV ВОЗБУЖДЕННЫЕ
ЗУЯ ДАННЫЕ
ТРЕНИИ КОНК
ВОЗМОЖНОСТИ

2. Электронно-нуклеиновый

Переход
перераспреде
тронной стру
В связи с эт
электронный
кислот в воз
в основном
главным обр
рые данные,
и возбужде
ДНК⁷¹⁻⁷³.

Пиримидиновые

Для расч
ном состоян
приближени
крытых обол
ляет различа
Основные ре
дены в табл.

Анализ п
закономерно
связи С-5—С-6
связей. Увел
С-5 и С-6. Д
шей степени
состоянии в
С-5—С-6. Эт

Следует,
в триплетно
лее сильны
переход в с
данным Пк
глетным и т

При пер
пиримидино
тронов, кото
стью. Наибо

зая данные по возбужденным состояниям нуклеотидов при рассмотрении конкретной реакции, необходимо всегда критически оценить возможность их применения для данных конкретных условий.

2. Электронная структура оснований нуклеиновых кислот в возбужденных состояниях

Переход молекулы в возбужденное состояние характеризуется перераспределением электронной плотности, т. е. изменением электронной структуры и вследствие этого ее реакционной способности. В связи с этим представляют интерес квантовохимические расчеты электронной структуры гетероциклических оснований нуклеиновых кислот в возбужденном состоянии (об их электронной структуре в основном состоянии см. гл. 3). Такие расчеты были выполнены главным образом для пиримидинов⁶¹⁻⁶⁹. Получены также некоторые данные, характеризующие триплетное состояние пуринов^{52, 63, 70} и возбужденные состояния комплементарных пар оснований ДНК⁷¹⁻⁷³.

Пиримидиновые основания

Для расчетов электронных структур пиримидинов в возбужденном состоянии использовали метод молекулярных орбиталей в приближении Хюккеля и метод самосогласованного поля для открытых оболочек. Последний в отличие от метода Хюккеля позволяет различать триплетное и синглетное возбужденные состояния. Основные результаты таких квантовохимических расчетов приведены в табл. 12.3—12.5.

Анализ приведенных данных позволяет обнаружить следующие закономерности. При возбуждении резко уменьшается порядок связи С-5—С-6 при незначительном уменьшении порядка других связей. Увеличивается индекс свободной валентности⁶⁵ на атомах С-5 и С-6. Для урацила и тимина эти эффекты проявляются в большей степени, чем для цитозина. Следовательно, в возбужденном состоянии возрастает реакционная способность двойной связи С-5—С-6. Этот вывод подтверждается экспериментально (см. ниже).

Следует, однако, отметить, что, по данным Данилова⁶⁷, переход в триплетное возбужденное состояние сопровождается гораздо более сильным снижением порядка двойной связи С-5—С-6, чем переход в синглетное возбужденное состояние; в то же время, по данным Пюльмана⁶⁵, этой разницы между возбужденными синглетным и триплетным состояниями не наблюдается.

При переходе в триплетное возбужденное состояние на атомах пиримидинов возникает определенная плотность неспаренных электронов, которая может быть аппроксимирована спиновой плотностью. Наибольшая плотность неспаренных электронов сосредоточена

на атомах С-5 и С-6, что делает эти атомы наиболее реакционно-способными. По данным Данилова ⁶⁷, большая часть общей электронной плотности на С-5 и С-6 пиримидинов обусловлена плотностью неспаренных электронов. Согласно Пюльману ⁶⁵, спиновая плотность на С-5 и С-6 цитозина значительно меньше, чем на других атомах той же молекулы и чем на С-5 и С-6 урацила и тимина.

Таблица 12.3. Порядки связей в молекулах пиримидиновых оснований в основном и первых возбужденных состояниях

Основание	Состояние	Порядки связей							С-5—С-6	Литература
		N-1—C-2	N-1—C-6	C-2—N-3	C-2—2-экзо-O	N-3—C-4	C-4—C-5	C-4—4-экзо-X		
Урацил	S ₀	0,365	0,479	0,376	0,811	0,371	0,387	0,799	0,819	74
		0,315	0,319	0,321	0,846	0,305	0,332	0,839	0,890	66
	S ₁	0,390	0,464	0,346	0,752	0,317	0,467	0,718	0,413	65
		—	—	—	—	—	—	—	0,444	69
Тимин	T ₁	0,364	0,396	0,396	0,808	0,317	0,518	0,506	0,449	65
		0,309	0,307	0,314	0,851	0,286	0,395	0,811	0,085	66
	S ₀	0,325	0,293	0,319	0,843	0,308	0,333	0,836	0,903	66
		0,390	0,461	0,346	0,765	0,312	0,456	0,714	0,411	65
Цитозин	S ₁	0,288	0,430	0,366	0,845	0,192	0,410	0,525	0,424	66
		0,368	0,390	0,395	0,807	0,314	0,518	0,499	0,451	68
	T ₁	0,305	0,310	0,320	0,851	0,269	0,449	0,778	0,106	66
		0,375	0,529	0,433	0,778	0,636	0,525	0,470	0,758	74
	S ₀	0,306	0,389	0,432	0,791	0,742	0,435	0,377	0,846	66
		0,397	0,363	0,477	0,714	0,466	0,522	0,358	0,665	65
Урацил	S ₁	—	—	—	—	—	—	—	0,553	66
		0,287	0,394	0,527	0,475	0,500	0,391	0,391	0,826	65
	T ₁	0,274	0,312	0,414	0,810	0,683	0,526	0,352	0,144	66

Расчеты электронной плотности, плотности неспаренных электронов на С-5 и С-6 и порядка связи С-5—С-6, проведенные для ряда замещенных пиримидинов ^{65, 67, 69}, позволяют судить о влиянии заместителей в пиримидинах на реакционную способность С-5 и С-6 в возбужденном состоянии, и в частности на способность к димеризации под действием УФ-облучения, поскольку плотность неспаренных электронов коррелирует с легкостью фотодимеризации ^{65, 69}. Исключение здесь составляет азатимин. По-видимому, введение в пиримидиновое ядро третьего атома азота меняет характер возбужденного триплетного состояния ^{65, 69}.

Таблица 12.4. Значения электронной плотности на атомах пиримидиновых оснований в основном и первых возбужденных состояниях

Основание	Состояние	Электронная плотность на атомах									Литература
		N-1	C-2	N-3	C-4	C-5	C-6	2-экзо-О	4-экзо-Х	5-экзо-С	
Урацил	S_0	1,689	0,768	1,762	0,788	1,219	0,859	1,463	1,456		74
		—	—	—	—	1,064	0,942	—	—		67
	S_1	1,487	0,886	1,723	0,928	0,995	1,231	1,394	1,356		65
Тимин		—	—	—	—	0,796	1,038	—	—		69
	T_1	1,691	0,806	1,747	1,005	0,979	1,145	1,445	1,182		65
		—	—	—	—	0,926	1,086	—	—		67
Цитозин	S_0	—	—	—	—	1,047	0,958	—	—		67
	S_1	1,511	0,870	1,739	0,959	0,972	1,231	1,368	1,409	1,021	65
		—	—	—	—	0,838	1,051	—	—		69
Цитозин	T_1	1,693	0,805	1,748	1,016	0,954	1,153	1,447	1,195	1,041	65
		—	—	—	—	0,928	1,085	—	—		67
Цитозин	S_0	1,639	0,796	1,438	0,828	1,169	0,835	1,492	1,803		74
		—	—	—	—	1,090	0,901	—	—		67
	S_1	1,604	0,799	1,299	1,149	1,079	1,190	1,066	1,814		65
Цитозин		—	—	—	—	0,964	1,136	—	—		69
	T_1	1,721	0,993	1,130	1,120	1,103	1,003	1,141	1,789		65
		—	—	—	—	0,924	1,102	—	—		67

Таблица 12.5. Спиновая плотность на атомах пиримидиновых оснований в первом возбужденном триплетном состоянии⁶⁵

Основание	Спиновая плотность на атомах*								
	N-1	C-2	N-3	C-4	C-5	C-6	2-экзо-О	4-экзо-Х	5-экзо-С
Урацил	0,147	0,005	0,074	0,295	0,412 (0,822)	0,496 (0,875)	0,012	0,556	
Тимин	0,145	0,004	0,078	0,298	0,379 (0,723)	0,497 (0,871)	0,010	0,554	0,004
Цитозин	0,147	0,299	0,333	0,339	0,044 (0,664)	0,097 (0,842)	0,605	0,135	

* В скобках приведены значения плотности неспаренных электронов⁶⁷.

По относительной способности к образованию фотодимеров при УФ-облучении замещенные пиримидины могут быть разделены на несколько групп (на четыре, табл. 12.6). Легкость фотодимеризации уменьшается в следующем порядке: соединения 1-й группы >

> соединения 2-й группы > соединения 3-й группы (в порядке расположения в табл. 12.6); соединения 4-й группы не димеризуются при облучении⁶⁵.

Таблица 12.6. Спиновая плотность на атомах С-5 и С-6 замещенных пиримидинов

Основание	Спиновая плотность на атомах*		Плотность неспаренных электронов на связи С-5—С-6**
	С-5	С-6	
Тимин	0,723	0,871	1,21
Урацил	0,822	0,875	1,25
6-Метилурацил	0,820	0,802	1,21
Оротовая кислота	0,787	0,811	1,12
Изоцитозин	0,169	0,722	1,16
5-Аминоурацил	0,616	0,864	1,05
5-Метилцитозин	0,561	0,837	0,88
Цитозин	0,664	0,842	0,86
2-Тиотимин	0,254	0,768	0,71
5-Нитроурацил	0,000	0,019	—
6-Азатимин	0,735	0,778	1,14

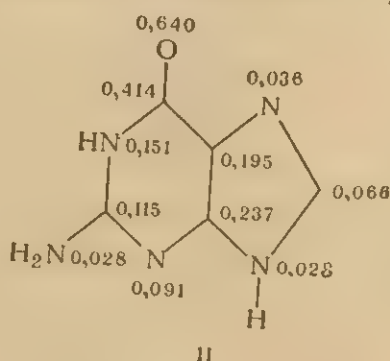
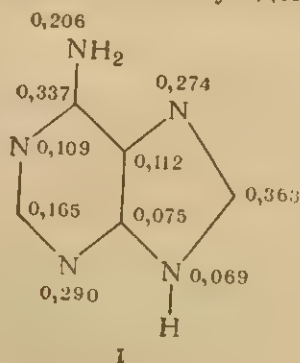
* По данным 69.

** По данным 64.

Таким образом, результаты квантовохимических расчетов свидетельствуют о том, что пиримидины в возбужденном состоянии должны подвергаться атаке по двойной связи С-5—С-6 значительно легче, чем в основном состоянии. Реакционная способность пиримидинов в синглетном и триплетном возбужденных состояниях, по-видимому, неодинакова.

Пуриновые основания

Величины спиновой плотности на скелетных атомах аденина I и гуанина II в возбужденном триплетном состоянии⁵² приведены ниже:



Из данных квантовохимических расчетов следует, что плотность неспаренных электронов на атомах молекулы аденина I падает в ряду



а для гуанина II в ряду



При этом в аденине спиновая плотность на атомах имидазольного ядра и на N-3 значительно выше, чем в гуанине. Имеющиеся данные недостаточны для сравнения реакционной способности пуринов в основном и возбужденном состояниях.

V. ФОТОХИМИЧЕСКИЕ ПРЕВРАЩЕНИЯ НУКЛЕИНОВЫХ КИСЛОТ И ИХ КОМПОНЕНТОГ

1. Фотореакции пиримидиновых производных

Урацил и его производные

В настоящее время для урацила и его производных известно два основных типа фотохимических реакций: присоединение по двойной связи C-5—C-6 и димеризация.

УФ-Излучение индуцирует присоединение к урацилу и его производным воды^{75,76}, спиртов^{2,77,78}, синильной кислоты⁷⁹. Это согласуется с результатами квантовохимических расчетов, из которых следует, что при возбуждении урацила УФ-облучением повышается реакционная способность двойной связи C-5—C-6, причем электронная плотность на атоме C-6 слегка увеличивается, а на C-5 уменьшается (см. стр. 629). Отсюда становится понятным тот факт, что урацил, двойная связь которого в основном состоянии способна к присоединению лишь сильных нуклеофильных агентов (см. стр. 342), в возбужденном состоянии реагирует даже с такими слабыми нуклеофилами, как вода.

Возбуждение облегчает также поляризацию двойной связи C-5—C-6 под действием электронодонорных или электроноакцепторных заместителей; в возбужденном урациле эта связь до некоторой степени сравнима с алифатической двойной связью, сопряженной с электроноакцепторной группой (например, как в α , β -ненасыщенных кетонах)⁸⁰.

Фотогидратация. Наиболее изученной фотореакцией урацила является гидратация. При облучении водного раствора урацила III ($R = R' = H$) происходит присоединение воды и образуется

нием и последующим замыканием связи N-1—C-6³¹³ (ср. также^{94, 96}).

Скорость дегидратации фотогидратов уридиловых кислот при нагревании в слабощелочной среде зависит от положения фосфатной группы, понижаясь в ряду $\text{Urd} > \text{U}(2')\text{p} > \text{pU} > \text{Up}(3')$. Рассмотрение молекулярных моделей приводит к предположению⁹⁵,

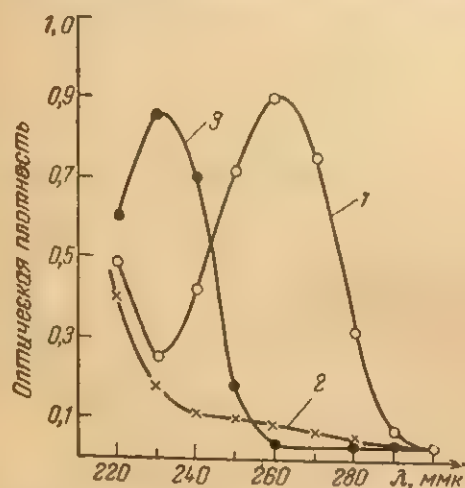


Рис. 12.4. УФ-спектры поглощения уридина (кривая 1) и фотогидрата уридина (кривая 2) в нейтральной среде и аниона фотогидрата уридила при pH 12 (кривая 3)⁹⁴.

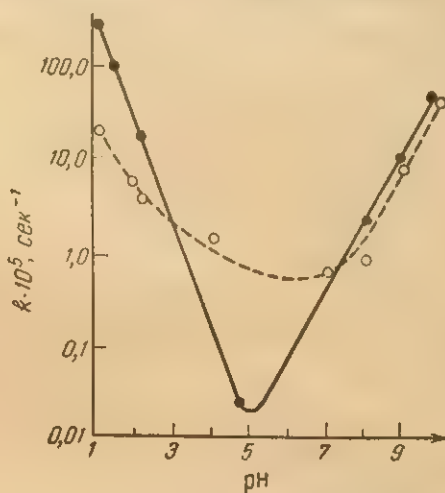


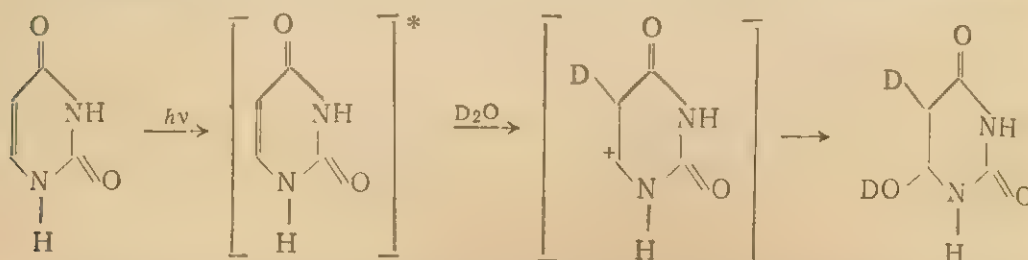
Рис. 12.5. Регенерация производных урацила из соответствующих фотогидратов. Зависимость константы скорости регенерации урацила (пунктирная кривая) и 1,3-диметилурацила (сплошная кривая) от pH⁷⁷.

что фосфатные группы в положениях 2' или 5' должны сильнее взаимодействовать с урацильным ядром, чем в положении 3', однако строгих экспериментальных подтверждений этого эффекта пока нет.

Механизм реакции. Ряд фактов, и в частности отсутствие влияния кислорода на скорость образования фотогидрата⁹⁰, позволили предположить, что в реакцию фотогидратации вступает урацил, находящийся в первом возбужденном синглетном состоянии^{45, 91–93}. Квантовый выход⁹³ и величина константы скорости образования фотогидрата урацила⁹² возрастают с уменьшением pH (рис. 12.6 и 12.7).

При изучении зависимости скорости образования фотогидрата урацила от pH обнаружен специфический анионный эффект, согласующийся с гипотезой ионного фотогидратации, включающий в качестве первой стадии протонирование урацила, находящегося в первом синглетном возбужденном состоянии, с последующим присоединением воды⁹². Место присоединения протона строго не

установлено. Быстрый обмен водорода при С-5 при проведении реакции в D_2O * позволил предположить следующий механизм фотогидратации⁸³:



Указанный механизм возможен, по-видимому, и для 1-метилурацила, который обнаруживает аналогичную урацилу зависимость скорости реакции от рН.

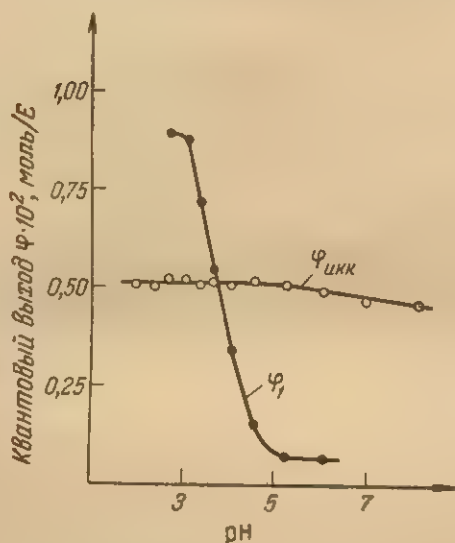


Рис. 12.6. УФ-Облучение (265 мкм) урацила в атмосфере азота. Зависимость квантовых выходов фотогидратации ϕ_1 и интеркомбинационной конверсии $\phi_{инк}$ от рН⁹³.

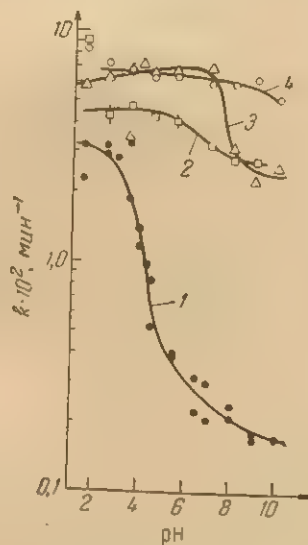


Рис. 12.7. Гидратация производных урацила при УФ-облучении. Зависимость константы скорости реакции от рН⁹²:

1 — фотогидратация урацила; 2 — 1-этоксиурацила; 3 — 1-циклогексилурацила; 4 — уридина.

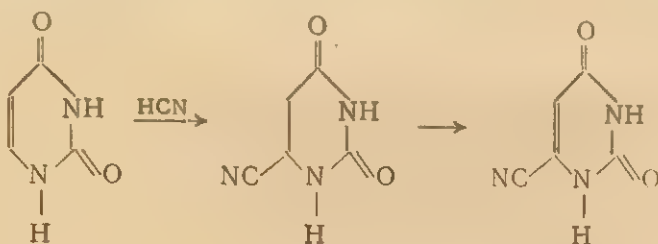
Однако для уридина и 1,3-диметилурацила механизм фотогидратации, по-видимому, иной, поскольку в случае уридина константа скорости реакции слабо зависит от рН⁹² (см. рис. 12.7), а константа скорости фотогидратации 1,3-диметилурацила не зависит от рН и на порядок превышает соответствующую константу для ура-

* Следует отметить, что скорость гидратации урацильных ядер РНК в H_2O больше, чем в D_2O ; изотопный эффект, по данным³⁶², составляет 2,2.

цила. Кроме того, в случае фотогидратации 1,3-диметилурацила специфический анионный эффект отсутствует⁹¹.

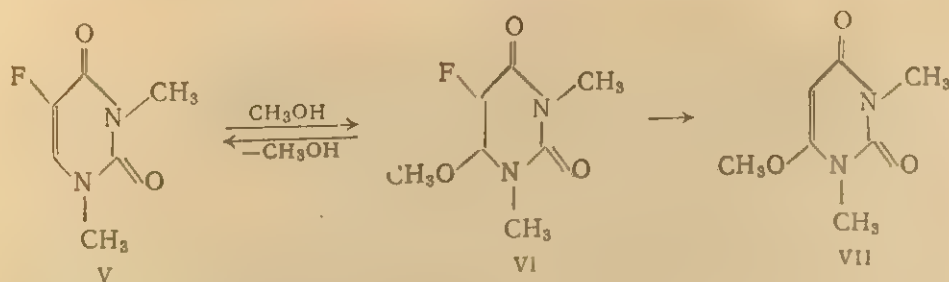
Присоединение HCN. При УФ-облучении урацила и уридина в нейтральных водных растворах синильной кислоты (0,01—0,05 M) поглощение при 260 мкм падает значительно быстрее, чем при облучении в воде. Состав и структура продуктов реакции не установлены, однако показано, что они содержат урацильное ядро с насыщенной связью С-5—С-6 и цианогруппу⁷⁹. Эти данные позволяют считать, что под действием УФ-облучения HCN, подобно воде, присоединяется по двойной связи С-5—С-6 урацильного ядра⁷⁹.

По данным³¹⁴, начальные стадии фотореакции урацила с HCN при pH 7 могут быть выражены схемой



Расчеты, основанные на изменениях спектров урацила в процессе реакции, показали, что скорость реакции урацила с HCN на три порядка превышает скорость фотогидратации; это согласуется с большей нуклеофильной активностью HCN по сравнению с водой⁷⁹.

Присоединение спиртов. Имеется ряд данных, свидетельствующих о том, что при облучении урацила и 1,3-диметилурацила в спиртах последние, подобно воде, обратимо присоединяются по двойной связи С-5—С-6^{77, 97, 98}. Более подробно реакция присоединения спиртов исследована на примере взаимодействия 5-фтор-1,3-диметилурацила V с метанолом при УФ-облучении ($\lambda > 270$ мкм)⁷⁸. При этом образуется 5-фтор-6-метокси-1,3-диметил-5,6-дигидроурацил VI.



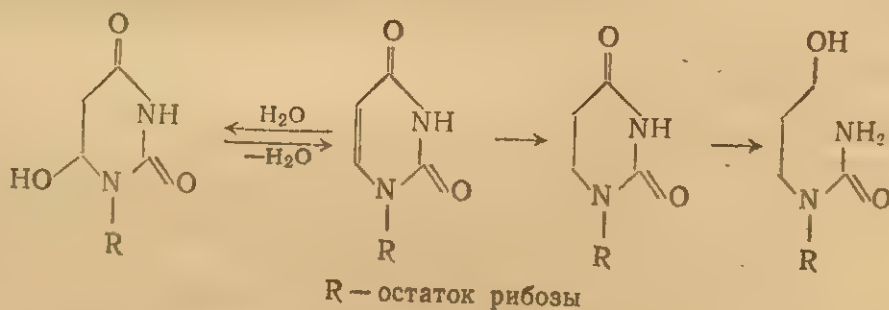
Соединение VI в кислой и щелочной среде регенерирует исходный продукт, а при облучении более коротковолновым УФ-излуче-

нием (254 мкм), подобно фотогидрату 5-фтор-1,3-диметилурацила, отщепляет элементы HF, давая 6-метокси-1,3-диметилурацил VII.

Для урацила и его производных известно, кроме перечисленных, несколько реакций фотоиндуцированного присоединения по двойной связи C-5—C-6, не относящихся, по-видимому, к типу нуклеофильных.

Фотовосстановление. При облучении (253,7 мкм) водного раствора уридина в присутствии боргидрида натрия образуется 5,6-дигидроуридин^{99, 100}. Для уменьшения побочной реакции — гидратации уридина — фотовосстановление проводят при повышенной температуре (50°С). Оптимальным для реакции является pH среды 9,5—10. Механизм фотовосстановления уридина детально не исследовался. В случае тимидина показано, что при фотовосстановлении водород из натрийборгидрида (в виде H⁻ или атомарного водорода) присоединяется к атому C-5, а к C-6 присоединяется водород из растворителя¹⁰⁰. Однако не исключено, что для уридина механизм фотовосстановления иной, поскольку реакция может идти через разные возбужденные состояния.

При длительном воздействии NaBH₄ (при облучении или в темноте) происходит вторичная реакция — восстановительное расщепление связи N-3—C-4 в молекуле дигидроуридина с образованием рибозильного производного γ-оксипропилмочевины. Фотогидрат уридина в результате темновой реакции с NaBH₄ образует D-рибозилмочевину³⁴.

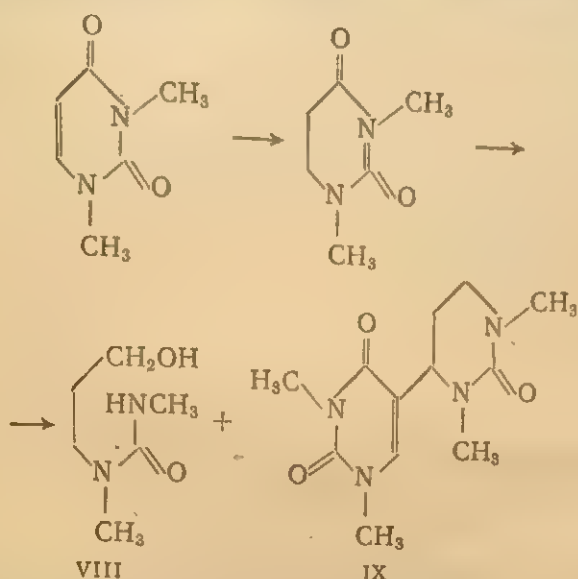


В определенных условиях фотовосстановление является достаточно специфической реакцией и, по-видимому, может быть применено для специфической модификации звеньев уридина в составе РНК¹⁰⁰. Однако следует учесть образование при облучении РНК других первичных фотопродуктов и то, что фотогидрат цитидина также вступает в темновую реакцию с NaBH₄⁸⁴. В условиях фотовосстановления урацила или его 1-N-замещенных 3-N-метилованных производных урацила практически устойчивы. При более длительном облучении в присутствии натрийборгидрида 1,3-диметилурацил восстанавливается до 1,3-диметил-5,6-дигидроурацила, который в результате темновой реакции с NaBH₄ дает γ-замещенный

V. ФОТОХИМ

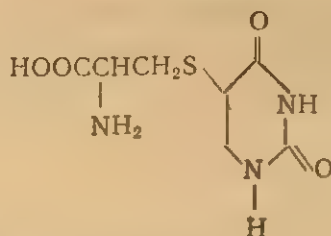
пропанол
масс-спекФотоди
возможно.Присоед
(253,7 мкм)
гидрохлори
ил-5,6-диги
спектроскоПродукт
15 мин) и
ляется при
чается при
поли-С, по
двухспирал
(253,7 мкм)
нилаланино
стидином, а
обнаружен
связи (за

пропанол VIII и продукт ³¹⁵, имеющий, по данным ЯМР-, ИК- и масс-спектров, строение IX:



Фотодимер урацила нециклобутанового типа (см. стр. 639), возможно, имеет структуру, сходную с IX.

Присоединение цистеина и других аминокислот. При облучении (253,7 мкм) водного раствора урацила в присутствии избытка гидрохлорида цистеина 25% урацила превращается в 5-S-цистеинил-5,6-дигидроурацил X¹⁰¹ (строение доказано с помощью ЯМР-спектроскопии).

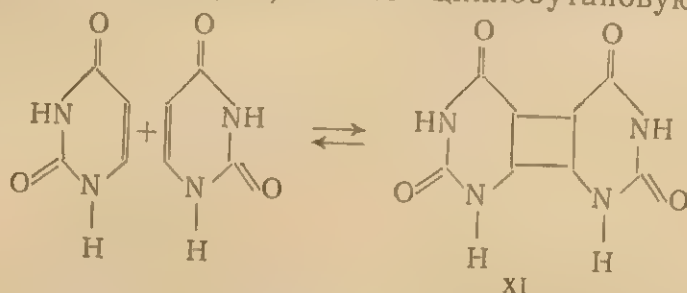


X

Продукт присоединения X устойчив к нагреванию (100° С, 15 мин) и к действию кислот (6 н. соляная кислота), но расщепляется при обработке 0,1 н. раствором NaOH. ³⁵S-Цистеин включается при облучении в поли-U и РНК, в меньшей степени — в поли-С, поли-dT и ДНК. Включение резко уменьшается в случае двухспиральных полинуклеотидов. Урацил при облучении (253,7 мкм) способен также связываться с глицином, серином, фенилаланином, тирозином, триптофаном, цистином, метионином, гистидином, аргинином и лизином. Наибольший процент связывания обнаружен для цистеина, тирозина и фенилаланина³¹⁶. Характер связи (за исключением цистеина) не установлен.

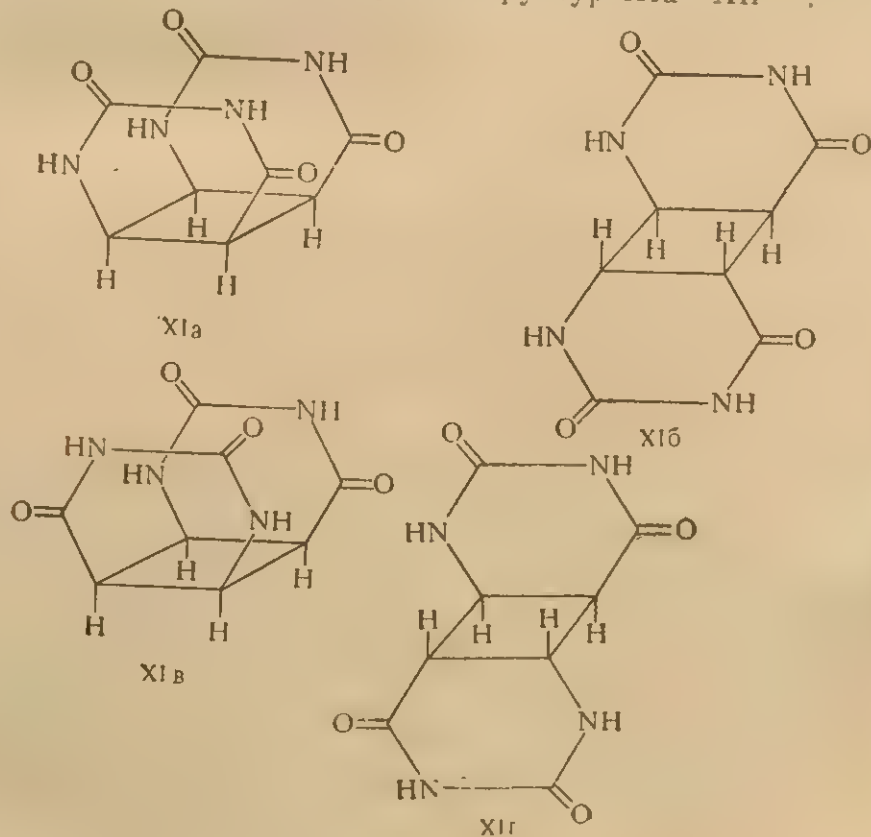
Предполагается, что реакции такого типа моделируют возможные пути образования сшивок между белками и полинуклеотидами в нуклеопротеидах ^{102, 316-318}.

Фотодимеризация. Наряду с присоединением воды УФ-облучение урацила приводит к реакции иного типа — присоединению второй молекулы пиримидина с образованием димера ^{103, 104}, который, как было показано позднее, имеет циклобутановую структуру XI ^{2, 105}.



Аналогичные димеры образуют при облучении уридин ^{90, 106}, уридиловые кислоты ¹⁰⁷, динуклеозидмонофосфаты уридина ^{12, 108} и уридин в составе поли-U ^{109, 110} и РНК ¹⁰⁷. При облучении замороженных растворов урацила и его производных ^{98, 103, 104, 111} фотодимеризация является основной реакцией.

Структура фотодимеров. Фотодимер урацила XI может иметь одну из четырех стереоизомерных структур XIa—XIг ¹⁰⁵:



При
зается
и для
стояни
перехо
творе
один из
раствора
ных ядер

нию * тр
По-видим
d(UrU)
UrU², в
образую
UrU¹, т.
UrU² и U

При об
циклобута
дающий
УФ- и ИК

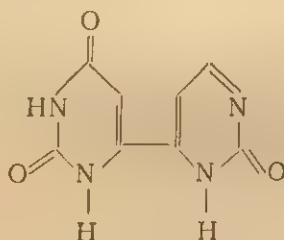
а также
цила 319

Свойст
образован
к исчезнов
фотодимер
235 м.мк (

* Здесь
димера. нан
молекулы у
значают фот

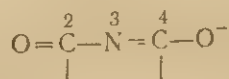
При облучении замороженных растворов урацила^{98, 105} образуется изомер со структурой XIa; аналогичные данные получены и для уридина¹⁰⁶. Есть указания на то, что при продолжительном стоянии оттаявшего водного раствора димера урацила он частично переходит в другой изомер¹¹². Облучение урацила в водном растворе приводит к образованию нескольких изомерных димеров⁹⁰, один из которых идентичен димеру, полученному из замороженного раствора⁴⁵. Фотодимеризация (облучение при 265 мк) урацильных ядер в динуклеозидмонофосфате $\overline{\text{UrU}}$ приводит к образованию * трех изомеров $\overline{\text{UrU}}^1$, $\overline{\text{UrU}}^2$ и $\overline{\text{UrU}}^3$ в соотношении 6 : 2 : 1¹². По-видимому, $\overline{\text{UrU}}^1$ имеет структуру типа XIa. При облучении $\text{d}(\overline{\text{UrU}})$ выделено два изомера, аналогичных по свойствам $\overline{\text{UrU}}^1$ и $\overline{\text{UrU}}^2$, в соотношении 5 : 1¹⁰⁸. Большинство димерных фрагментов, образующихся при облучении поли-U, обладают характеристиками $\overline{\text{UrU}}^1$, т. е., вероятно, соответствуют структуре типа XIa. Структуры $\overline{\text{UrU}}^2$ и $\overline{\text{UrU}}^3$ не идентифицированы.

При облучении урацила в замороженном водном растворе кроме циклобутанового димера XIa был выделен фотопродукт, не обладающий циклобутановой структурой, которому на основании ЯМР-, УФ- и ИК-спектров была приписана структура



а также фотопродукт, являющийся, по-видимому, тримером урацила³¹⁹.

Свойства фотодимеров. Насыщение двойной связи C-5 C-6 при образовании фотодимера приводит, как и в случае фотогидрата, к исчезновению максимума поглощения в области 260 мк. Анион фотодимера обнаруживает максимум поглощения в области 235 мк (рис. 12.8), что вызвано образованием хромофора



* Здесь и далее горизонтальная скобка над символами — обозначение фотодимера: например, $\overline{\text{UrU}}$ — фотодимер, образуемый урацильными ядрами одной молекулы уридилил-(3'→5')-уридина. Цифровые индексы сверху справа обозначают фотодимеры с различными (в данном случае изомерными) структурами.

В отличие от фотогидрата фотодимер урацила стабилен в кислой среде, относительно стабилен в разбавленной щелочи при комнатной температуре и быстро деградирует при повышенной температуре. Фотодимер уридилил-(3'→5')-уридина \overline{UrU} при pH 9,3 претерпевает обратимое расщепление одного из урацильных ядер, по-видимому, по связи N-3—C-4¹². Фотодимеры уридиловых кислот при обработке 1 н. раствором NaOH при 37°С¹⁰⁷ деградируют за 18 ч на 30—40%.

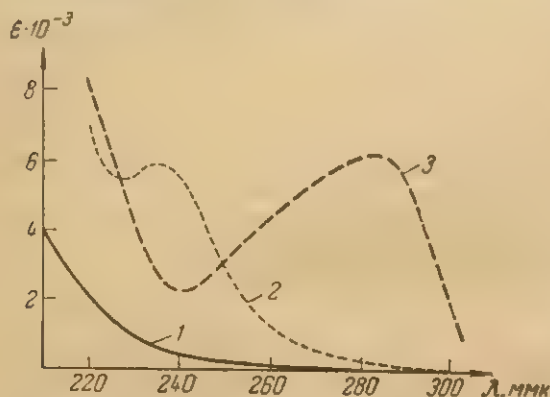


Рис. 12.8. Спектры поглощения фотодимера урацила при pH 7 (кривая 1) и при pH 13 (кривая 2), а также продукта, полученного облучением фотодимера (2537Å), при pH 13 (кривая 3)¹⁰⁸.

длины волны применяемого света и сдвигается в сторону мономеров при ее уменьшении^{76, 103, 104, 109}.

Механизм фотодимеризации. Присутствие кислорода в водном растворе при фотодимеризации урацила, а также ряда его замещенных (уридина, уридиловых кислот) снижает выход соответствующего димера^{90, 113–115}. Аналогичный эффект наблюдается при фотодимеризации урацила в ацетонитриле в присутствии изопрена⁴⁵. Кислород и изопрен являются, как известно, тушителями триплетного состояния, и поэтому приведенные факты являются доводом в пользу того, что фотодимеризация протекает через нижнее возбужденное триплетное состояние⁹³. Это же подтверждается и данными, полученными с помощью импульсного фотолиза водных растворов урацила³¹². Другим, правда косвенным, доводом в пользу этого положения является проведение фотодимеризации урацила с помощью фотосенсибилизации¹¹⁶ (известно, что при фотосенсибилизации возбуждается триплетное состояние).

При обычной фотореакции заселение триплетного возбужденного состояния достигается за счет интеркомбинационной конверсии. Исходя из предположения, что фотодимеризация урацила в водном растворе идет через триплетное состояние, по выходу фотодимера был определен квантовый выход интеркомбинационной конверсии $\Phi_{\text{ИКК}}$ и время жизни возбужденного триплетного состоя-

Важнейшим свойством фотодимеров является фотолabileность. Облучение водных растворов фотодимеров приводит к их расщеплению и образованию исходного мономера^{76, 103, 104, 109}. Фотодимеризация в растворе является, таким образом, обратимой реакцией. Равновесие между образованием мономеров и фотодимеров, которое устанавливается при длительном облучении соединений, зависит от

У ФОТОХИМ
ния, оказ
тически н
волны, т.
факт мож
ционная
возбужде
Как ух
ния, чрез
быть разл
целого ря
на электро
ния замест
ности пол
характера
Анализ ки
зывает, ч
 \overline{UrU}^3 об
только чер
а \overline{UrU}^1 и
поли-U — и
рез сингле
ризация ор
ет, по-вид
состояние
На ди
урацила п
оказывает
подробных
возбужден
случае нет
Соотно
ратации
сказанного
цил и его
двум напр
Относител
вий облуче
ция, темпе
структуры
стителее в
В замо
ными про
образовани
положить
мидиновых
41

ния, оказавшееся равным примерно 10^{-5} сек⁹³. Величина $\Phi_{икк}$ практически не зависит от pH и увеличивается с уменьшением длины волны, т. е. с ростом энергии облучения (рис. 12.9). Последний факт может быть объяснен, если предположить, что интеркомбинационная конверсия происходит с высших колебательных уровней возбужденного синглетного состояния урацила⁹³.

Как уже указывалось выше, характер возбужденного состояния, через которое протекает фотореакция полинуклеотидов, может быть различным в зависимости от целого ряда факторов, влияющих на электронное распределение: влияния заместителей, степени полимерности полинуклеотида, наличия и характера высших структур и т. д. Анализ кинетических данных показывает, что фотодимеры $\overline{UrU^2}$ и $\overline{UrU^3}$ образуются, по-видимому, только через триплетное состояние, а $\overline{UrU^1}$ и димерные фрагменты в поли-U — и через триплетное, и через синглетное состояния⁹³. Димеризация оротовой кислоты протекает, по-видимому, через триплетное состояние^{113, 115, 117, 118, 320}.

На димеризацию 1,3-диметилурацила присутствие кислорода не оказывает влияния⁹⁰, однако более подробных сведений о характере возбужденного состояния в этом случае нет.

Соотношение процессов фотогидратации и фотодимеризации. Из

сказанного выше вытекает, что под действием УФ-облучения урацил и его производные в водных растворах могут реагировать по двум направлениям: с образованием фотогидрата и фотодимера. Относительный выход обоих продуктов фотолиза зависит от условий облучения (агрегатное состояние соединения, его концентрация, температура, длина волны и величина дозы облучения) и от структуры исходного производного урацила, т. е. от наличия заместителей в урацильном ядре.

В замороженных растворах при низких дозах облучения основными продуктами реакции являются фотодимеры¹⁰⁴. Легкость образования димеров в замороженных растворах позволяет предположить существование в этих условиях агрегатов молекул пиримидиновых производных с определенной ориентацией оснований

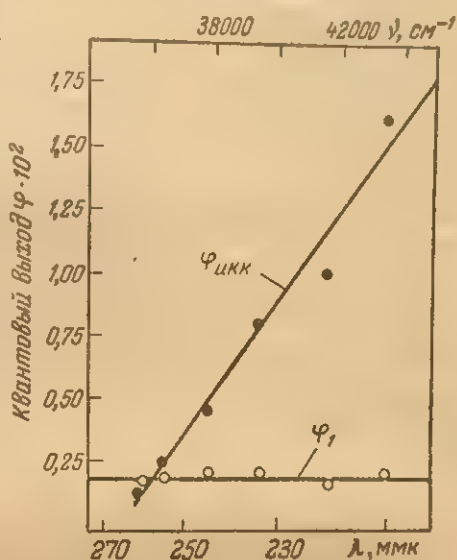


Рис. 12.9. УФ-Облучение урацила в водном растворе. Зависимость квантовых выходов гидратации Φ_1 и интеркомбинационной конверсии $\Phi_{икк}$ от энергии облучения⁹³.

относительно друг друга, облегчающей фотодимеризацию⁹⁸. Так, урацил в замороженном водном растворе при дозе облучения $5,4 \cdot 10^4$ эрг/мм² образует почти исключительно фотодимер; увеличение дозы до $8,6 \cdot 10^5$ эрг/мм² приводит к преимущественному образованию фотогидрата¹⁰⁴.

При облучении разбавленных водных растворов урацила (10^{-4} М) основным продуктом фотолиза является фотогидрат. Уридин и уридиловая кислота образуют практически только фотогидрат, оротовая кислота — только фотодимер. Увеличение концентрации соединения, применение более длинноволнового излучения (270—280 мкм) и удаление из раствора кислорода повышают выход фотодимера. Увеличение длины волны не сказывается на выходе фотогидрата, поскольку квантовый выход гидратации не зависит от λ (см. рис. 12.9), однако увеличивает выход фотодимера, так как при этом уменьшается его расщепление на мономерные компоненты. Ингибирующее влияние кислорода на выход фотодимеров производных урацила иллюстрируется данными, представленными в табл. 12.7. В присутствии кислорода повышается относительный выход фотогидрата (см. также⁹⁰).

Таблица 12.7. Фотогидратация и фотодимеризация производных урацила при pH 4,4⁹⁰

Степень потери поглощения в области λ_{max} соединения определяет суммарный выход его фотогидрата и фотодимера, степень возврата поглощения в области λ_{max} после повторного облучения при 235 мкм — выход фотодимера

Соединение	Доза при 265 мкм, мкЕ/см ²	Степень потери поглощения в области λ_{max} %		Степень возврата поглощения в области λ_{max} после повторного облучения при 235 мкм, %	
		в азоте	в присутствии кислорода	в азоте	в присутствии кислорода
Урацил	20	69	64	29	2
Уридин	2	54	48	2	0
Уридин-5'-фосфат	6	95	95	2	0
Уридин-2' (3')-фосфат	2	64	61	2	0
Дезоксиуридин-5'-фосфат	2	60	58	3	1
Оротовая кислота	10	54	16	39	5
1,3-Диметилурацил	12	92	92	2	1,5
Уридил-ил-(3'→5')-уридин	1	50	50	9,5	7,5

Фотолиз олиго- и полинуклеотидов. Как указывалось выше, близкое расположение и соответствующая ориентация относительно друг друга пиримидиновых оснований в составе олиго- и полинуклеотидов облегчают образование фотодимеров. В то время как уридиловая кислота в разбавленных водных растворах дает прак-

для $\overline{\text{UpU}}$. Скорость образования последовательностей $\overline{\text{UpUpUp}}$ в 3 раза меньше, чем общая скорость образования димерных фрагментов; при малых дозах облучения относительное количество по-

следовательностей $\overline{\text{UpUpUp}}^{\text{H}_2\text{O}}$ невелико. Это свидетельствует о том, что в цепи поли-U легче всего димеризуются урацильные ядра, находящиеся рядом с уже образовавшимися димерными фрагментами. Гидратация урацильного ядра также облегчает димеризацию соседних звеньев. Относительно легкости гидратации ядра, соседнего с гидратированным, в настоящее время сведений нет. Возможно, что механизм фотолиза полиуридиловой кислоты включает передачу энергии вдоль полинуклеотидной цепи.

Таким образом, в полиуридиловой кислоте, подвергнутой УФ-облучению, фотопродукты распределены не статистически, а сосредоточены в виде групп.

Наличие двухцепочечной вторичной структуры существенно влияет на ход фотолиза, причем в разной степени на образование фотогидратов и фотодимеров. Скорость образования гидратных звеньев в комплексе (поли-A) · (поли-U) в 10 раз меньше, а димерных фрагментов в 5 раз меньше, чем в поли-U. Относительное

содержание последовательностей $\overline{\text{UpUpUp}}^{\text{H}_2\text{O}}$ превышает величину, рассчитанную исходя из предположения, что положение последующих модификаций в цепи не зависит от положения предыдущих. По-видимому, фотогидратные звенья возникают в полимерной цепи гораздо скорее рядом с уже образовавшимися димерными фрагментами, чем с интактными урацильными ядрами^{7, 120, 121}. На основании этих данных предложен механизм фотолиза двухцепочечного комплекса, согласно которому образование димерного фрагмента приводит к локальному плавлению двойной спирали в данной области, что облегчает фотогидратацию соседних звеньев при последующем облучении⁷.

5-Галоидурацилы

Нуклеиновые кислоты, содержащие остатки 5-галоидурацилов, гораздо более чувствительны к УФ-облучению, чем обычные полинуклеотиды¹²²⁻¹²⁵. Это объясняется существенными различиями в фотохимическом поведении урацила и его галоидпроизводных вследствие значительного изменения электронной структуры урацильного ядра при введении сильного электроотрицательного галоидного заместителя¹²⁶. Следует отметить сложность и относительно меньшую изученность фотохимии галоидпроизводных урацила. В настоящее время можно привести лишь основные закономерности их фотохимического поведения.

V. ФОТОХИМИЯ

5-Галон
фторураци
сы, протека

5-Фтор

(R=R'=C

добно ура

воду, дава

ция в отли

УФ-облуче

(λ < 270 м

отщепляют

Дальнейше

нениям.

При фо

5-бромур

(R=R'=

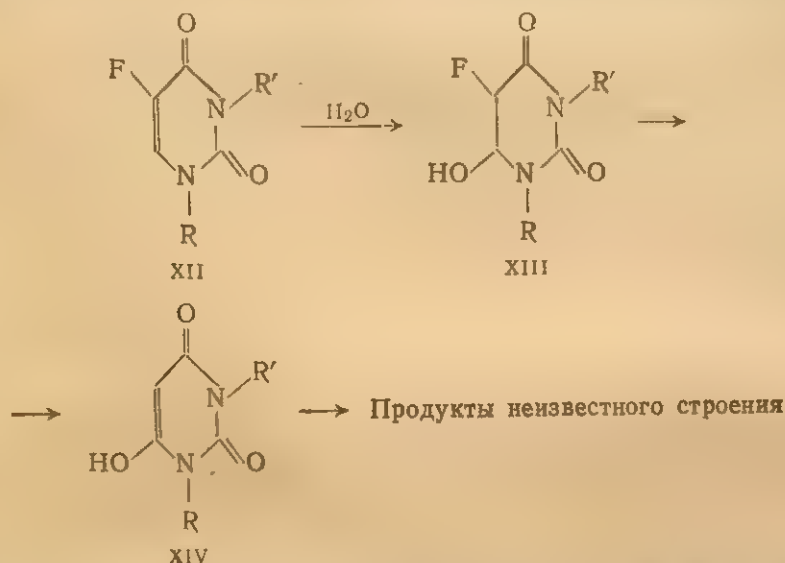
ляется отщ

Методо

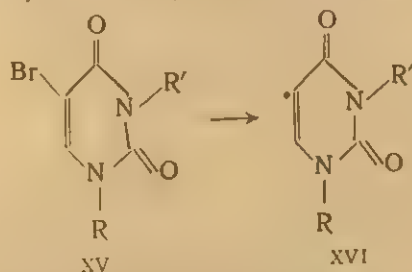
текает пр

5-Галоидурацилы не образуют фотогидратов (за исключением фторурацила) и димеров циклобутанового типа. Основные процессы, протекающие при их облучении, имеют радикальный характер.

5-Фторурацил XII ($R = R' = H$), 5-фтор-1,3-диметилурацил XII ($R = R' = CH_3$) и 5-фторуридин XII (R -остаток рибозы, $R' = H$), подобно урацилу, при облучении в нейтральной среде присоединяют воду, давая соответствующий фотогидрат XIII. Однако эта реакция в отличие от урацила протекает только при длинноволновом УФ-облучении ($\lambda > 270$ мкм). Под действием коротковолнового ($\lambda < 270$ мкм) излучения фотогидраты производных фторурацила отщепляют HF, образуя производные барбитуровой кислоты XIV. Дальнейшее облучение приводит к неидентифицированным соединениям.



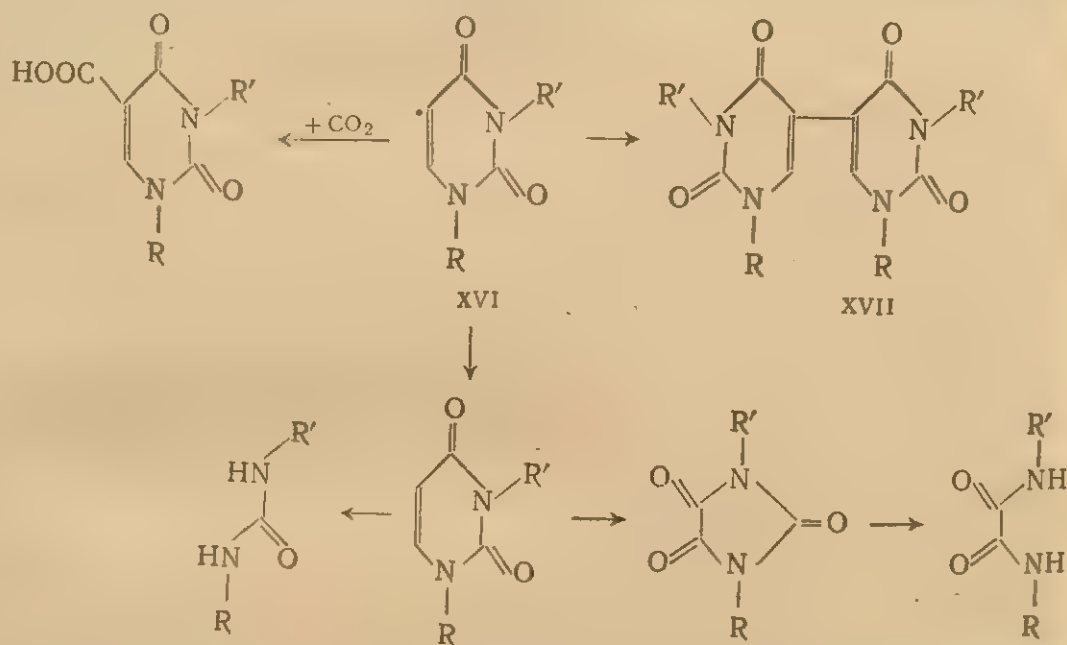
При фотолизе водных нейтральных или кислых растворов 5-бромурацила XV ($R = R' = H$) и 5-бром-1,3-диметилурацила XV ($R = R' = CH_3$) одним из основных первичных фото процессов является отщепление брома и образование радикала XVI:



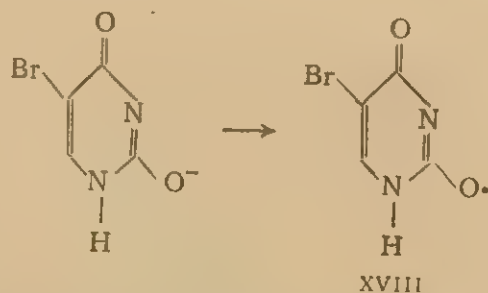
Методом импульсного фотолиза показано, что этот процесс протекает при поглощении УФ-излучения в области ниже 240 мкм.

Образование радикала типа XVI подтверждается тем, что среди продуктов, полученных при облучении водного раствора 5-бром-урацила, был обнаружен 5,5'-диурацил XVII ($R = R' = H$), образование которого легко представить рекомбинацией радикалов XVI. Основным продуктом фотолиза 5-бром-урацила в воде является урацил¹²⁷, образующийся, по-видимому, в результате взаимодействия радикала XVI с донором водорода, однако 5-оксиурацила обнаружено не было, так что, вероятно, XVI не реагирует с водой¹²⁷. Кроме того, обнаружен ряд продуктов расщепления урацильного ядра.

Аналогично протекает фотолиз водного раствора 5-бром-1,3-диметилурацила XV ($R = R' = CH_3$).



Методом импульсного фотолиза показано, что при УФ-облучении щелочных растворов 5-бром-урацила (pH 10,5) происходит отрыв электрона от аниона 2-оксисоединения и образование радикала XVIII¹³¹:



Происходит ли в данном случае отщепление брома и образование радикала типа XVI, строго не показано.

Звенья 5-бром урацила в составе ДНК подвергаются фотолизу при 254 мк значительнее быстрее, чем сам 5-бром урацил в водном или замороженном растворе¹³². Возможно, это объясняется переносом энергии, поскольку энергия триплетного возбуждения 5-бром урацила¹³³ ниже, чем для других оснований.

Предварительные данные, полученные с помощью метода импульсного фотолиза для 5-иод урацила, свидетельствуют о том, что одним из первичных процессов фотолиза водного раствора этого соединения является, как и в случае 5-бром производного, отщепление иода с образованием радикала типа XVI¹³¹. Одним из продуктов, полученных при УФ-облучении водного раствора 5-иод урацила, является урацил¹²⁹; основная масса фотопродуктов не идентифицирована. Предположение об образовании аллоксановой кислоты¹²⁹ недостаточно обосновано (ср.¹²⁷). В присутствии меркаптоэтанола, цистеина или в 99%-ном этаноле урацил становится главным продуктом фотолиза 5-иод урацила¹³⁰. При УФ-облучении водного раствора 5-иод урацила в присутствии 0,01 М цистеина образуется фотопродукт, который предварительно был идентифицирован как тиоэфир S-(урацилил-5)-цистеин¹³⁰ (ср. стр. 637).

Облучение 5-иод урацила в области перехода $S_0 \rightarrow T_1$ (~ 380 мк) в диметилсульфоксиде приводит к выделению свободного иода, что свидетельствует о нестабильности 5-иод урацила в триплетном состоянии¹³³.

4-Тиоурин

При облучении водного раствора 4-тиоуридина в области максимума поглощения ($\lambda_{\max} = 331$ мк) образуется смесь продуктов, содержащая, в частности³²¹, продукт присоединения воды по двойной связи С-5—С-6. То обстоятельство, что 4-тиоурин поглощает в более длинноволновой области по сравнению с обычными нуклеозидами, позволяет избирательно модифицировать звено 4-тиоуридина в составе тРНК. При облучении при 335 мк водной тРНК_i в какодильном буфере (рН 7) звено 4-тиоуридина в положении 8 с 5'-конца цепи полинуклеотида избирательно возбуждается и реагирует с пространственно близко расположенным звеном цитидина в положении 13; квантовый выход этой реакции составляет $5 \cdot 10^{-3}$ моль/Е. На основании незначительных изменений УФ-спектра звена 4-тиоуридина предполагается³²², что фотореакция затрагивает атом N-3 или атомы С-5 и С-6. Такая фотореакция приводит к локальному изменению конформации молекулы тРНК, при этом тРНК сохраняет способность к аминокислотированию. При облучении в аналогичных условиях смеси мономерных 4-тиоуридина и цитидина или гидролизата тРНК указанный продукт взаимодействия не образуется.

При облучении 4-тиоуридина в *трет*-бутаноле в присутствии воздуха происходит окисление тиогруппы; образующийся продукт далее превращается в результате гидролиза в уридин. В отсутствие кислорода эта реакция не идет. Облучение тиюридина в присутствии кислорода и аммиака приводит к образованию смеси уридина и цитидина³²¹. Аналогично реагирует 4-тиоуридин в составе неструктурированной тРНК при облучении *трет*-бутанольного раствора триметилгексадециламмониевой соли тРНК из *E. coli*³²¹.

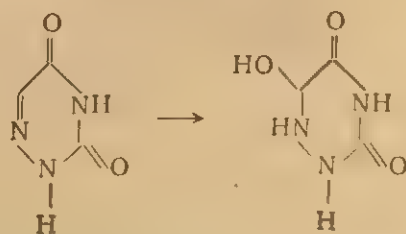
Псевдоуридин и его производные

Поскольку в молекуле псевдоуридина остаток рибозы присоединен к атому С-5 пиримидинового кольца, фотохимическое поведение псевдоуридина резко отлично от поведения других производных уридина. Фотолиз псевдоуридина в водном растворе необратим, по-видимому, вследствие частичной деградации пиримидинового ядра³²³. Характер фотолиза псевдоуридиловых кислот зависит от положения фосфатной группы. При облучении псевдоуридин-3'-фосфата в продуктах реакции обнаружен неорганический фосфат, 5-формилурацил и неидентифицированное соединение, не содержащее фосфора, но сохраняющее, вероятно, пиримидиновое ядро. Псевдоуридин, его 2'-фосфат и 2',3'-циклофосфат не образуют при облучении указанных соединений³²⁴. Облучение тРНК или олигонуклеотидов, содержащих звенья псевдоуридина, сопровождается деградацией полинуклеотидной цепи^{324, 325}.

6-Азаурацил

6-Азаурацил приблизительно втрое устойчивее урацила к действию УФ-облучения в стандартных условиях воздействия¹³⁴. Одной из причин такой повышенной устойчивости является, по-видимому, увеличение электроноакцепторных свойств связи С-5—N-6 по сравнению со связью С-5—С-6 в урациле¹³⁵.

При облучении (254 мк) 6-азаурацила в водном растворе был выделен с 50%-ным выходом 5-окси-5,6-дигидро-6-азаурацил^{135, 136}:



Реакция протекает, вероятно, через возбужденное триплетное состояние^{136, 326}.

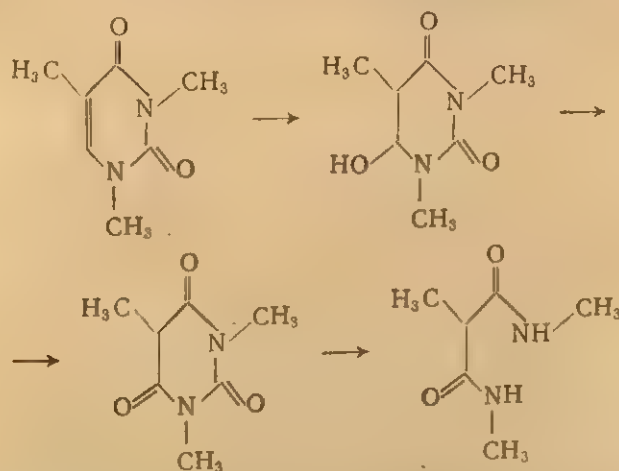
Значительное влияние на скорость фотореакции 6-азаурацила оказывают заместители при N-3^{136, 327}. При нагревании фотопродукта в кислой среде образуется¹³⁴ исходный 6-азаурацил с выходом 40%.

Значения pK_a замещенных 6-азаурацилов в возбужденном состоянии заметно ниже, чем в основном.

Тимин и его производные

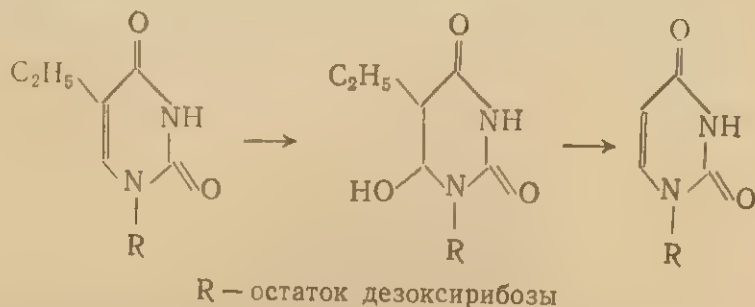
Подобно урацилу в молекуле тимина, находящейся в возбужденном состоянии, наиболее реакционноспособным местом является двойная связь C-5—C-6. Это указывает на принципиальную возможность протекания фотохимических реакций, аналогичных реакциям урацила. Однако наличие метильной группы при C-5 существенно влияет на поведение тимина при облучении и на свойства его фотопродуктов.

Фотогидратация. В отличие от урацила тимин не образует устойчивого фотогидрата. Косвенные данные позволяют предполагать, что при УФ-облучении водного раствора тимина некоторое количество фотогидрата (<5%) все же образуется, однако он весьма нестоек и после прекращения облучения регенерирует исходный тимин в течение 1—2 мин¹³⁷. О способности тимина присоединять воду по двойной связи C-5—C-6 и неустойчивости образующегося фотогидрата свидетельствуют также данные, полученные при изучении фотовосстановления тимидина¹⁰⁰ (см. стр. 662). Доводом в пользу этого служит, кроме того, образование N,N'-диметил-метилмалондиамида¹³⁸ при облучении 1,3-диметилтимина; реакция может, вероятно, протекать по схеме^{100, 138}:



Замена метильной группы при C-5 на этильную изменяет фотохимические свойства соединения. Так, аналог тимидина —

5-этилдезоксипуридин при УФ-облучении (254 мкм) превращается в дезоксипуридин путем фотогидратации по связи С-5—С-6 и последующей элиминации молекулы этанола:



При более длинноволновом (265 мкм) облучении раствора 5-этилдезоксипуридина основной реакцией является фотодимеризация³²⁸.

Фотодимеризация. Наиболее характерной для фотохимии тимина и его производных является реакция фотодимеризации. В разбавленных водных растворах (10^{-4} М) тимин практически устойчив к малым дозам облучения светом ближней ультрафиолетовой области (220—300 мкм). Квантовый выход^{103, 139} его фотохимического изменения (λ 253,7 мкм) не превышает 10^{-4} . В отсутствие кислорода облучение при 265 мкм разбавленных водных растворов (10^{-4} М) тимина, тимидина и тимидин-5'-фосфата приводит к образованию с небольшим выходом соответствующих фотодимеров (табл. 12.8)⁹⁰. Фотодимеризация 1,3-диметилтимина³²⁹ в концентрированных (0,1 М) водных растворах протекает с относительно высоким квантовым выходом ($\sim 5 \cdot 10^{-2}$).

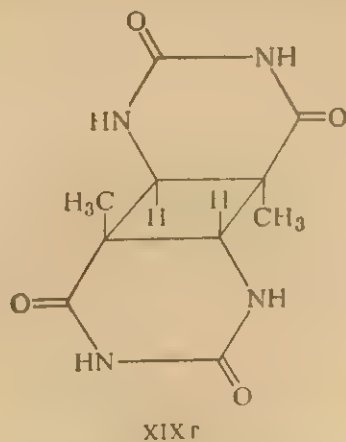
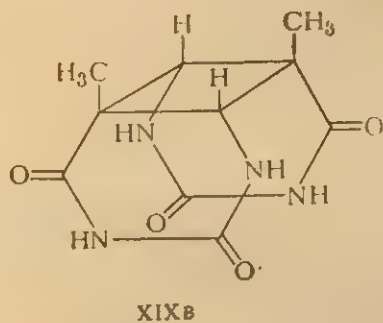
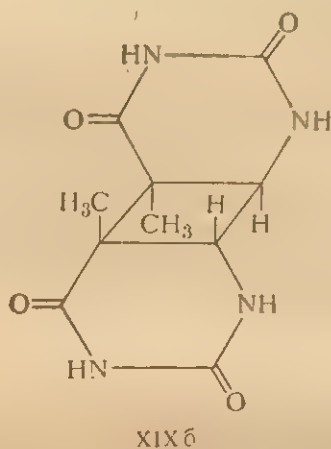
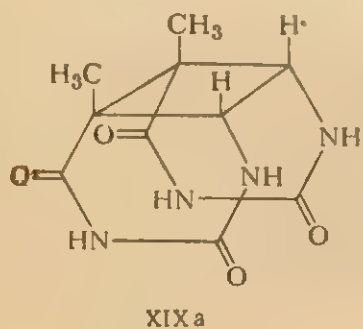
Таблица 12.8. Фотодимеризация производных тимина в водном растворе при рН 4,4⁹⁰

Соединение	Доза при 265 мкм, мкЕ/см ²	Степень потери поглощения в области λ_{max} , %		Степень возврата поглощения в области λ_{max} после повторного облучения при 235 мкм, %	
		в азоте	в присутствии кислорода	в азоте	в присутствии кислорода
Тимин	30	10	6	9	1
Тимидин	12	12	3	9	0
Тимидин-5'-фосфат	11	11	2	6	0

Несколько легче фотодимеризация тимина протекает в ацетонитриле; начальный квантовый выход реакции⁴⁵ составляет $5 \cdot 10^{-3}$. Тиминовые фотодимеры с высоким выходом (40—90%) образуются

при УФ-облучении замороженных растворов тимина или его производных^{98, 103, 111, 140, 141}. Квантовый выход димеров $1 < \phi < 2$ (теоретически $\phi_{\text{max}} = 2$, поскольку реагируют две молекулы соединения¹⁴²). Несколько ниже процент димеризации при облучении производных тимина в сухих пленках (17—50% в зависимости от влажности)^{98, 112, 143, 144}. Относительно легко звенья тимина димеризуются в составе олиго- и полинуклеотидов¹⁴⁵⁻¹⁴⁷, а также в ДНК^{148, 149}. Однако квантовый выход в этих случаях значительно ниже и составляет $3 \cdot 10^{-3} - 3 \cdot 10^{-2}$.

Структура фотодимеров. Фотодимер тимина обладает циклобутановой структурой^{140, 141}, для которой теоретически возможны четыре изомера XIXa — XIXг:

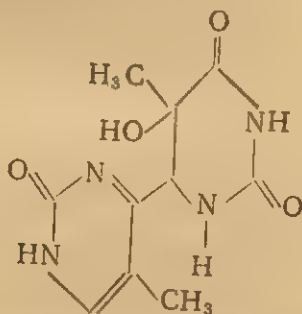


Все указанные изомеры были обнаружены в продуктах фотодимеризации тимина или его производных. Строение их подтверждено с помощью ИК- и ЯМР-спектров, химическим путем, а также

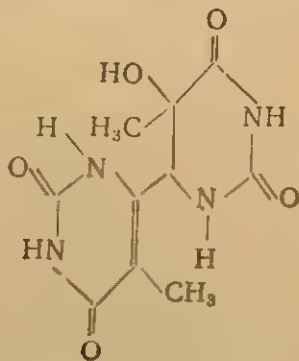
другими методами ^{100, 150-155, 330}. Исследована кристаллическая структура изомеров типа XIXг фотодимеров тимина и 1-метилтимина ^{331, 332}. Образование того или иного изомера обусловлено природой конкретного производного тимина и условиями фотодимеризации.

Димер XIXа является главным продуктом фотолиза тимина в замороженном растворе ¹⁴⁴. Аналогично димеры типа XIXа являются основными продуктами, образующимися при фотолизе водных растворов тимина ⁸⁰, d(TrT) ¹⁵⁶ и ДНК ^{153, 157} при температурах выше 0°С (ср. ³³³). При облучении тимина, d(TrT) и ДНК в водном растворе образуются, кроме того, димеры типа XIXб ^{156, 158}. Фотолиз тимидина в замороженном растворе приводит к образованию изомеров всех четырех типов ¹⁵³.

Кроме обычных димеров при УФ-облучении тимина в замороженном растворе ^{159, 334}, d(TrT) в водном растворе ¹⁵⁶ и ДНК в замороженном растворе ^{160, 161, 335} и в сухих пленках ^{162, 336} образуются фотопродукты, также, по-видимому, являющиеся димерами, но не обладающие циклобутановой структурой. Близкий по свойствам продукт был выделен при облучении ДНК бактериальных спор ^{162, 163}. Для нециклобутанового фотопродукта фотолиза тимина предложен ряд альтернативных структур ^{162, 164, 165}. На основании данных ЯМР-, ИК-, УФ- и масс-спектров в качестве наиболее вероятной рассматривается формула ¹⁵⁹.



Иная структура была предложена ³¹⁵ исходя из данных рентгенографических исследований:



V. ФОТОХИМИЯ

Окончат
фотодимера

Помимо
пов при об
также фото
на ^{166, 334}.

Свойства
ров тимина
поглощения

Рис. 12.11.

аддукта ¹⁵⁹

1 - спектр фото

d(TrT)⁴ в ней

Фотодим

pH; XIXв —

интервале р

водных тим

расщепления

показывает,

группы с рК

Подобно

бильны. При

меров тимин

мономеров

возрастает

выход распа

ров близок

Фотодим

присутствии

мого света

тивирующ

XIXа, н

Окончательное решение вопроса о структуре нециклобутанового фотодимера тимина в настоящее время остается открытым.

Помимо фотодимеров нециклобутанового и циклобутанового типов при облучении тимина в замороженном растворе обнаружен также фотопроduct, являющийся, по-видимому, тримером тимина^{166, 334}.

Свойства фотодимеров. В УФ-спектрах циклобутановых димеров тимина в нейтральной и кислой средах отсутствует максимум поглощения в области 260 мкм (рис. 12.11, см. также³³⁷).

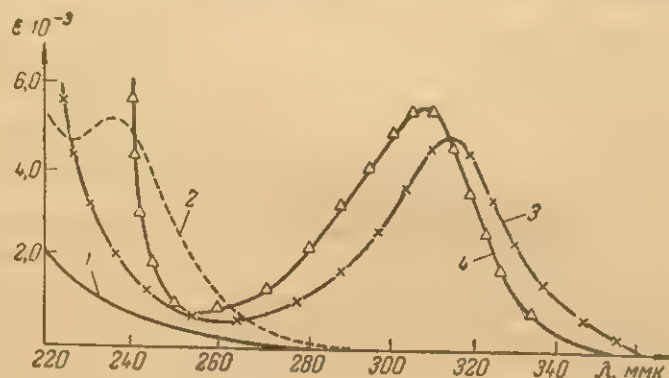


Рис. 12.11. УФ-Спектры циклобутановых фотодимеров тимина¹⁶³ и фотоддукта¹⁵⁹ d(Trp)⁴:

1 — спектр фотодимера тимина при pH 7; 2 — то же, в 0,1 н. растворе NaOH; 3 — спектр d(Trp)⁴ в нейтральной среде и при pH 2; 4 — то же, что 3, но при pH 12.

Фотодимеры XIXa и XIXb устойчивы при кислых и щелочных pH; XIXb — относительно устойчив при $1 < \text{pH} < 6$; а XIXg — в интервале pH 1—3^{153, 337}. Гликозидная связь в фотодимерах производных тимина ослаблена¹⁶⁷ и может быть прогидролизована без расщепления димеров¹⁵³. Титрование четырех изомерных димеров показывает, что в каждом из них имеются две ионизирующиеся группы с $\text{pK}_1 \sim 10,5$ и $\text{pK}_2 \sim 12,2$ (по-видимому, $> \text{N}-3-\text{H}$).

Подобно фотодимерам урацила, тиминовые димеры фотолabile. При облучении ($\lambda < 290$ мкм) водных растворов фотодимеров тимина и его производных они распадаются до исходных мономеров^{103, 141, 168}. Чувствительность фотодимеров к облучению возрастает с уменьшением длины волны излучения¹⁴⁷. Квантовый выход распада фотодимеров тимина и его производных до мономеров близок к единице (0,6—0,7)^{98, 103, 145, 147, 337}.

Фотодимеры, полученные при облучении ДНК, распадаются в присутствии фотореактивирующего фермента под действием видимого света^{169, 170}. Есть данные, указывающие на то, что фотореактивирующий фермент из дрожжей разлагает только димеры типа XIXa, но не XIXb¹⁵⁸.

Фосфодиэфирная связь в фотодимерах динуклеотидов устойчива к действию фосфодиэстеразы змеиного яда¹⁵⁸. При гидролизе этой фосфодиэстеразой УФ-облученной ДНК образуются олигонуклеотиды типа $d(pNp\overline{TpT})^{148}$.

Аддукт тимина, полученный при УФ-облучении замороженного раствора, обладает максимумом поглощения в области 316 мкм (см. рис. 12.11). После кипячения в 0,5 н. соляной кислоте в течение 90 мин в УФ-спектре появляется второй максимум в области 256 мкм, что позволяет предполагать регенерацию двойной связи C-5—C-6¹⁵⁹. Полученный при облучении $d(\overline{TpT})$ нециклобутановый фотопродукт $d(\overline{TpT})^4$ обладает аналогичным УФ-спектром (λ_{\max} 325 мкм). При облучении в области максимума поглощения (313 мкм) он обратимо переходит в неидентифицированный фотопродукт $d(\overline{TpT})^3$. Обратная реакция — переход $d(\overline{TpT})^3 \rightarrow d(\overline{TpT})^4$ — осуществляется при облучении в области 240 мкм¹⁶⁵.

Кинетика и механизм фотодимеризации. Тимин. Легкость димеризации его в замороженном водном растворе и высокий квантовый выход реакции объясняются агрегацией молекул тимина при замораживании и тем, что молекулы в этих агрегатах ориентированы относительно друг друга благоприятным для димеризации образом⁹⁸. Образование агрегатов показано спектроскопически^{98, 172}. Важность их появления для фотодимеризации подтверждается отсутствием димеров при УФ-облучении замороженных растворов тимина в глицерине^{98, 171}, где агрегаты не образуются. В ориентации молекул тимина большую роль играет, по видимому, вода^{98, 111, 142}. Это подтверждается рентгенографическими исследованиями моногидрата тимина¹⁷³. Кроме того, УФ-облучение тимина в сухих пленках дает значительно меньший выход фотодимера (17%), чем в замороженном растворе; с увеличением влажности выход димера возрастает до 20—50%¹⁴⁴.

Таким образом, как и в случае производных урацила, благоприятными для димеризации факторами являются достаточно близкое расположение молекул тимина и соответствующая ориентация их относительно друг друга.

Приведенные факты объясняют низкий процент димеризации тимина в растворе и относительно большую легкость его димеризации в составе ди- и полинуклеотидов.

Динуклеозидфосфаты. УФ-облучение водного раствора тимидилил-(3→5)-тимидина приводит к образованию двух изомерных фотодимеров: $d(\overline{TpT})^1$ типа XIXa и $d(\overline{TpT})^2$ типа XIXб — в соотношении 5:1. Относительный выход изомеров не зависит от длины волны излучения. Однако суммарный выход димеров зависит от длины волны и составляет 2,5% при 225 мкм и 95% при 289 мкм (при оптимальных дозах облучения)¹⁹⁶. Очевидно, как и для ури-

диновых оли-
вается равн-
меров. Равн-
при увеличе-
при ее уме-
в водных ра-
творах, и со-
чения) $1 \cdot 10^{-}$

для $d(\overline{TpT})^2$
длины волн-
мости попер-
длины волн-
ной скорост-
при облучен-
выход расще-
зависит от д-
шей степени
(см. рис. 12.

Кроме об-
лучении $d(\overline{TpT})$
не обладаю-
турой $d(\overline{TpT})$
этого фотод-
скорость обр-

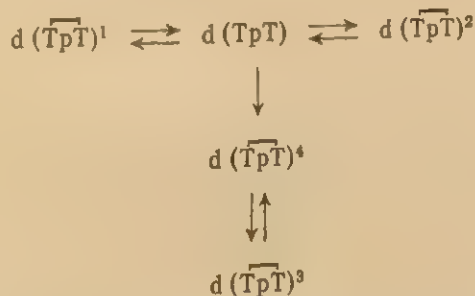
логичными
Таким обр-
в водном ра-
вить следую-

Динукле-
Циклически-
нию, очеви-
молекуляр-

диновых олигомеров, при продолжительном облучении устанавливается равновесие между образованием и расщеплением фотодимеров. Равновесие сдвигается в сторону образования фотодимеров при увеличении длины волны и в сторону образования мономеров при ее уменьшении. Квантовый выход образования фотодимеров в водных растворах значительно меньше, чем в замороженных растворах, и составляет (оптимальные значения) $1 \cdot 10^{-2}$ для $d(\overline{\text{TpT}})^1$ и $0,25 \cdot 10^{-2}$

для $d(\overline{\text{TpT}})^2$. Величина его зависит от длины волны (рис. 12.12)¹⁵⁶. Из зависимости поперечных сечений реакции от длины волны следует, что с максимальной скоростью фотодимеры образуются при облучении 260—270 мкм. Квантовый выход расщепления фотодимеров $d(\overline{\text{TpT}})$ зависит от длины волны в гораздо большей степени, чем для димеров тимина¹⁴⁷ (см. рис. 12.12).

Кроме обычных фотодимеров при облучении $d(\overline{\text{TpT}})$ образуется фотодимер, не обладающий циклобутановой структурой $d(\overline{\text{TpT}})^4$ (см. стр. 652). Количество этого фотодимера, его квантовый выход, скорость образования¹⁵⁶ сравнимы с аналогичными величинами для $d(\overline{\text{TpT}})^2$. Таким образом, превращение $d(\overline{\text{TpT}})$ в водном растворе под действием УФ-облучения можно представить следующей общей схемой¹⁵⁶.



Динуклеотид $d(\text{pTpT})$ образует димеры аналогично $d(\overline{\text{TpT}})$ ^{145, 146}. Циклический динуклеотид pTpT полностью устойчив к УФ-облучению, очевидно, вследствие стерических препятствий для внутримолекулярной димеризации¹⁴⁶.

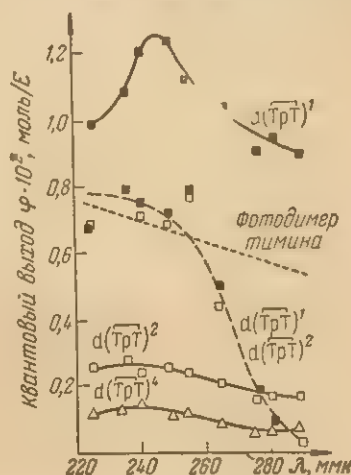


Рис. 12.12. Зависимость от длины волны квантовых выходов образования (сплошные кривые) и расщепления (пунктирные кривые) фотодимеров $d(\overline{\text{TpT}})$ ¹⁵⁶.

Полинуклеотиды. Как отмечалось выше, для фотодимеризации необходимы два условия — достаточно высокая местная концентрация тимина (самого или его производного) и благоприятствующая реакции ориентация тиминовых ядер относительно друг друга.

Первое условие, очевидно, выполняется в поли-dT и d(TpTp)-последовательностях в ДНК. Второе зависит от ряда факторов и прежде всего от конформации полинуклеотида и, следовательно, от температуры. УФ-Облучение политимидиловой кислоты в водном растворе при комнатной температуре приводит к фотодимеризации соседних нуклеозидных звеньев; закономерности этой димеризации аналогичны таковым для динуклеозидфосфатов, однако квантовый выход образования фотодимеров вдвое выше (0,02—0,03)^{147, 338}. Начальная скорость низкотемпературной фотодимеризации поли-dT при 77° К приблизительно в 5 раз выше, чем при комнатной температуре (см. стр. 651). Однако конечное количество фотодимеров в 4 раза меньше¹⁷⁵, что, вероятно, объясняется малой долей тиминовых ядер, ориентированных благоприятно для димеризации при 77° К. При УФ-облучении замороженных растворов ДНК при 77° К только 0,65% тиминовых звеньев переходит в димерные фрагменты, а при комнатной температуре — уже около 20%¹⁷⁵. При низкой температуре сшивки между цепями практически не образуются (см. ниже). Следует отметить, что понижение температуры влияет не только на степень фотодимеризации, но и на характер получающегося продукта. В этих условиях в ДНК из *E. coli* наряду с димерными фрагментами циклобутановой структуры образуются заметные количества тиминовых димерных фрагментов нециклобутанового типа¹⁶¹ (см. также стр. 652).

Зависимость фотодимеризации тиминовых ядер от конформации ДНК подтверждается также тем фактом, что в пленках ДНК с относительной влажностью выше 65% образуются главным образом фотодимеры циклобутанового типа. При более низкой относительной влажности количество этих фотодимеров уменьшается и повышается выход фотопродуктов нециклобутанового типа (так называемых «споровых»). По-видимому, при уменьшении относительной влажности конформация ДНК в пленках изменяется³³⁶.

Фотодимеризация тиминовых звеньев в одно- и двухцепочечных полинуклеотидах протекает с различной легкостью. В водных растворах при комнатной температуре денатурированная ДНК образует большее количество димерных фрагментов, чем нативная¹⁷⁶. Димеризация тиминовых звеньев в поли-dT протекает с большей скоростью, чем в комплексе (поли-dA) · (поли-dT)¹⁷⁶. Вместе с тем УФ-облучение денатурированной ДНК в водном растворе приводит к большему количеству димерных фрагментов, чем для той же ДНК в растворе этиленгликоля¹⁷⁶. Очевидно, наличие двухцепочечной

цепной структуры при облучении фотодимеризации тот факт, что взаимодействие при УФ-облучении денатурированной ДНК приводит к димеризации при температуре фотодимеризации; в облученном растворе димеризация падает¹⁷⁶ (р.

Димеризация в ДНК происходит за счет взаимодействия одной цепи с димерными фрагментами, также смешивания звеньев тимина при УФ-облучении. Типов в виде нативной ДНК отмечено, что сшивки между цепями^{178a, 179a, 179b} чаще зависят от количества облучения (спектрально-аналогична тимина. Возникновение сшивок является результатом воздействия на локальное по-видимому, вых ядер.

Возбуждение фотодимеризации тимина (см. табл. 1) в присутствии изоляционных веществ способствует реакции в

42 Зак. 614

ческой структуры затрудняет образование димерных фрагментов при облучении, а межплоскостное взаимодействие облегчает фотодимеризацию^{176, 338}. В пользу последнего предположения говорит тот факт, что в растворителях, уменьшающих межплоскостное взаимодействие, степень димеризации тиминовых ядер в d(TpT)¹⁷⁴ при УФ-облучении понижается.

В денатурированной ДНК количество образующихся при облучении димерных фрагментов линейно уменьшается при повышении температуры. Для нативной ДНК при температуре ниже T_m фотодимеризация не зависит от температуры; в области плавления количество димерных фрагментов резко падает¹⁷⁶ (рис. 12.13).

Димеризация тиминовых звеньев в ДНК происходит главным образом между соседними основаниями одной цепи^{2, 151}. Кроме тиминовых димерных фрагментов образуются также смешанные фотодимеры из звеньев тимина и цитозина¹⁴⁹. При УФ-облучении ДНК и полинуклеотидов в виде сухих пленок^{177, 178} и нативной ДНК в водном растворе отмечено, кроме того, образование сшивок между различными цепями^{178а, 179а, 179б, 180}. В последнем случае зависимость относительного количества образовавшихся сшивок от длины волны применяемого излучения (спектр действия реакции) аналогична кривой УФ-поглощения тимина. Возможно, что причиной сшивок является димеризация тиминовых звеньев из разных цепей¹⁷⁹. Температурная зависимость и ряд других факторов указывают на то, что для образования подобных сшивок необходимо локальное плавление двойной спирали^{179а, 179б, 180}, облегчающее, по-видимому, необходимую для димеризации ориентацию тимино-вых ядер.

Возбужденные состояния, предшественники фотодимеров. Димеризация тимина в водном растворе ингибируется кислородом⁹³ (см. табл. 12.8), а в ацетонитриле полностью подавляется в присутствии изопрена⁴⁵. Поскольку кислород и изопрен являются тушителями триплетного состояния, приведенные результаты свидетельствуют о том, что в этих условиях тимин может вступать в реакцию в возбужденном триплетном состоянии¹⁸¹. Доводом в

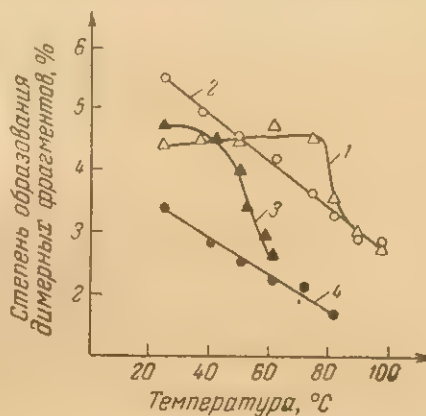


Рис. 12.13. УФ-Облучение (при 254 мкм) растворов ДНК из *Escherichia coli*. Зависимости степени образования димерных фрагментов от температуры¹⁷⁶:

1 — нативная ДНК в воде; 2 — денатурированная ДНК в воде; 3 — нативная ДНК в смеси этиленгликоль — вода; 4 — денатурированная ДНК в смеси этиленгликоль — вода; доза 10^4 эрг/мм². T_m ДНК в воде 79° С; T_m в смеси этиленгликоль — вода 59° С.

пользу того, что тимин в возбужденном триплетном состоянии способен димеризоваться, служит факт фотосенсибилизированной димеризации тимина в растворе^{116, 155, 182, 184}, когда заселение триплетного уровня тимина осуществляется за счет переноса энергии от возбужденного сенсибилизатора.

На основании изучения спектров флуоресценции предполагается, что в замороженном водном растворе димеризация идет через синглетное возбужденное состояние тимина^{181, 185}. Фотодимеризация d(TrT) в растворе не подавляется кислородом и другими характерными тушителями триплетных состояний^{90, 186}. Этот факт еще не может служить строгим доказательством синглетного возбужденного состояния как предшественника димера, поскольку из-за близкого расположения тиминовых ядер в d(TrT) скорость димеризации может превышать скорость тушения⁹³. Однако спектры флуоресценции также свидетельствуют в пользу синглетного возбужденного состояния¹⁸⁸.

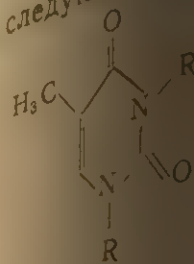
С помощью триплетной сенсибилизации ацетофеноном показано, что звенья тимина в ДНК могут димеризоваться при облучении через возбужденное триплетное состояние¹⁸⁷. Однако это ни в коей мере не означает, что фотодимеризация не может идти при прямом возбуждении в синглетное состояние¹⁸⁸.

Таким образом, по-видимому, в зависимости от условий и от природы облучаемых соединений фотодимеризация тимина может идти как через возбужденное синглетное, так и через возбужденное триплетное состояние.

Фотодимеризация 1,3-диметилтимина в растворах также может протекать через состояния S_1 или T_1 . Участие того или другого возбужденного состояния в образовании фотодимеров зависит, в частности, от природы растворителя³³⁹. В водных растворах фотодимеризация 1,3-диметилтимина идет, вероятно, главным образом через синглетное состояние; предполагается образование синглетных эксимеров^{329, 340}.

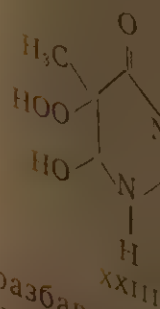
Окисление. Длительное УФ-облучение тимина в водном растворе приводит к окислению метильной группы при С-5 и к частичной деградации тиминового ядра. Среди фотопродуктов, полученных при облучении (254 мк) водного раствора тимина (10^{-2} М, 16 ч при pH 6,1 и 37°С), были обнаружены 5-формилурацил XXI ($R = R' = H$), урацил III ($R = R' = H$), 5-оксиметилурацил XX ($R = R' = H$) и неидентифицированный альдегид¹⁸⁹. В аналогичных условиях, но после более длительного облучения (84 ч) 1,3-диметилтимин образует сложную смесь продуктов, среди которых были идентифицированы: аммиак, метиламин, 5-карбокси-1,3-диметилурацил XXII ($R = R' = CH_3$), уксусная кислота, муравьиная кислота, формальдегид и 5-формил-1,3-диметилурацил XXI ($R = R' = CH_3$) как главный продукт реакции¹⁹⁰. По-видимому, фотоокисление тимина и его замещенного производного протекает

У. ФОТОХИМИЧЕСКИЕ
по следующей сх



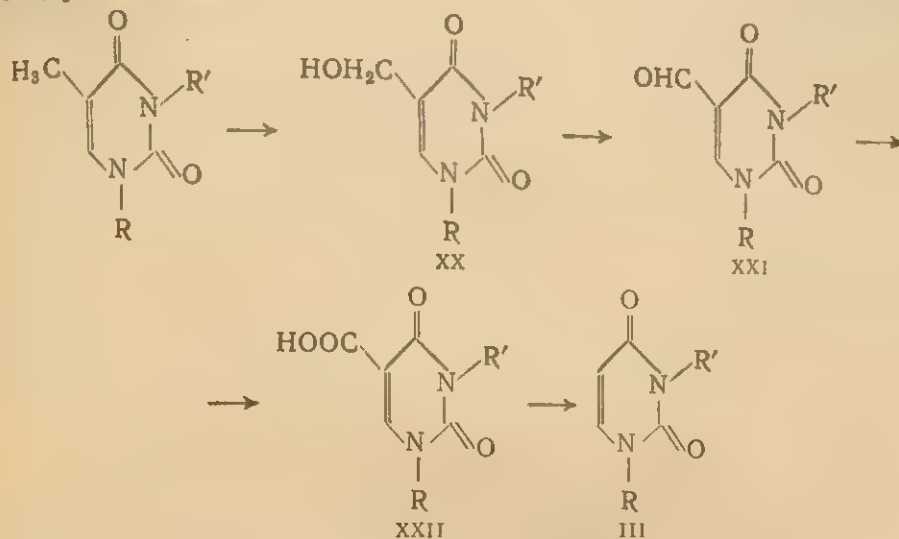
В качестве о
предложено пром

Иной тип фот
его в насыщенный
лучением (184,9
энергией, чем об
ваниях (250—270
образуются гидро
гликоль XXV, а т

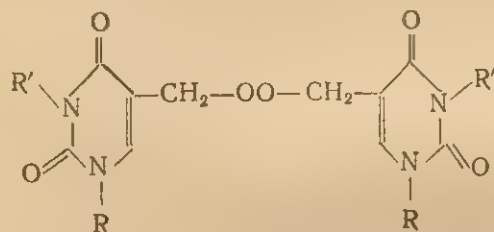


В разбавленн
происходит главн
зование гидро

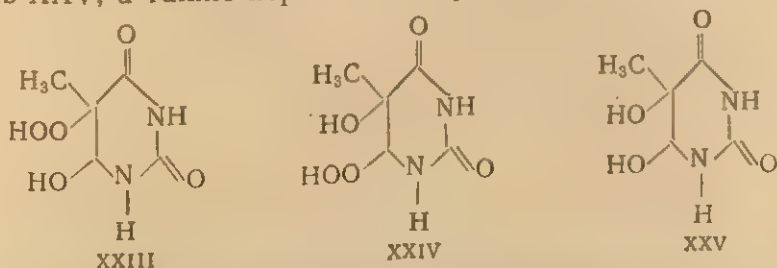
по следующей схеме^{189, 190}:



В качестве одного из возможных механизмов фотоокисления предложено промежуточное образование перекиси¹⁹¹

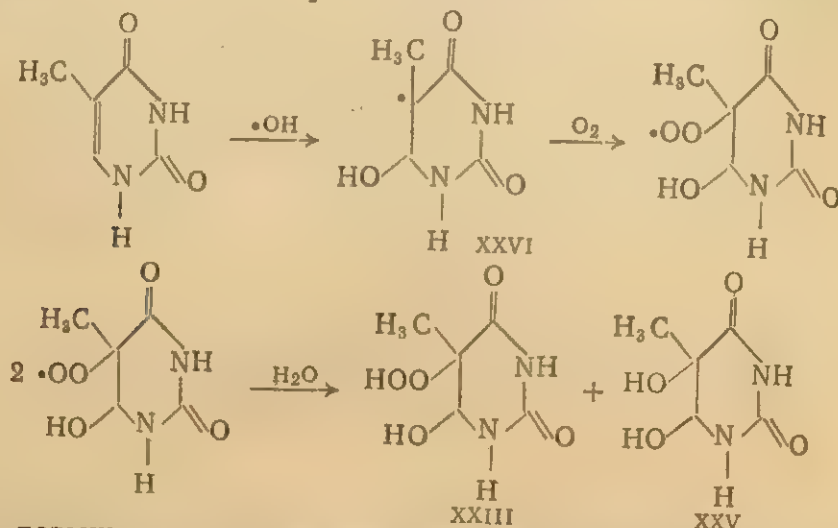


Иной тип фотоокисления тимина наблюдается при облучении его в насыщенных кислородом водных растворах дальним УФ-излучением (184,9 мкм), обладающим значительно более высокой энергией, чем обычно применяемое в фотобиологических исследованиях (250—270 мкм). При фотолизе тимина в таких условиях образуются гидроперекиси XXIII и XXIV (цис- и транс-изомеры), гликоль XXV, а также перекись водорода¹³⁹.

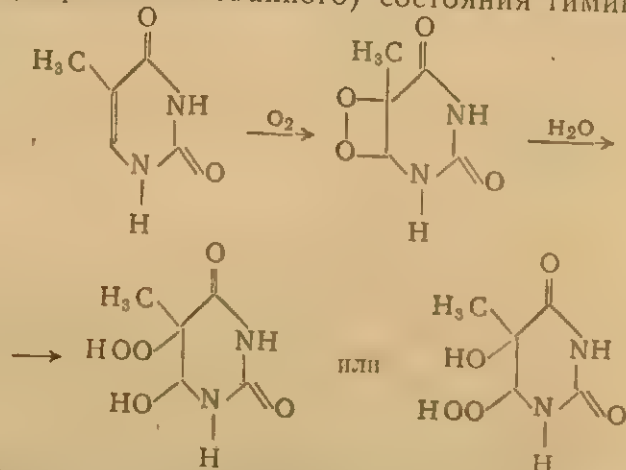


В разбавленных растворах при облучении УФ-светом (184,9 мкм) происходит главным образом фотолиз воды, а не тимина, и образование гидроперекиси XXIII (в результате атаки по двойной

связи С-5—С-6 ОН-радикалом^{192, 193}) является вторичным фотопроцессом¹³⁹:



При повышении концентрации тимина практически все излучение поглощается тимином, т. е. происходит его прямой фотолиз. Образование одних и тех же продуктов в разбавленных и более концентрированных растворах свидетельствует о том, что реакция идет через то же промежуточное состояние XXVI. Это означает, что при прямом фотолизе тимина (184,9 мкм) последний, по-видимому, возбуждается в фотоионизованное состояние, которое характеризуется отрывом электрона (а не переходом его на более высокий энергетический уровень, как при обычном возбуждении)¹³⁹. Возможен, однако, и другой механизм, объясняющий образование четырех изомерных гидроперекисей: реакция проходит через присоединение кислорода по двойной связи С-5—С-6 высшего возбужденного (нефотоионизованного) состояния тимина¹³⁹:

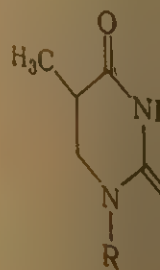


Таким образом, и при облучении УФ-светом высокой энергии возбуждение локализуется на двойной связи С-5—С-6. Возбужде-

В. ФОТОХИМИЧЕ

ние тимина п
кой УФ-обла
Фотовосст
дозами (2.
или ДНК в в
тах реакции
тимин (или е
тиминových з
зависит от т
с количеством
гидротиминов
дозах облучен
виях ниже, че

Механизм
кальный. По
творе образук
электроном пр
тате присоеди
му С-6 тимин
можно, что э
при образова
тимина фотол
гидротимидина
и в качестве
дезоксирибози

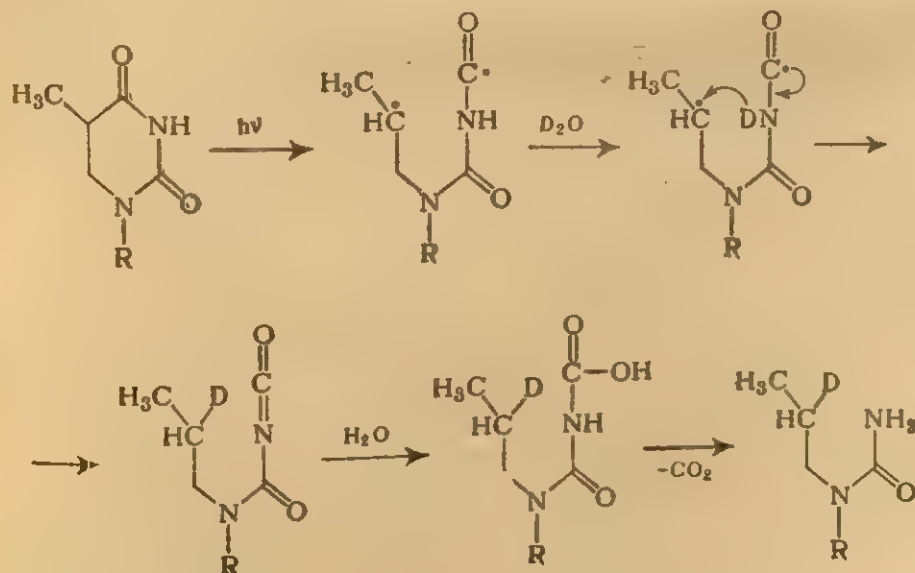


H₃C

ние тимина при 184,9 мк согласуется с его поглощением в далекой УФ-области ¹³⁹.

Фотовосстановление. При УФ-облучении достаточно высокими дозами ($2 \cdot 10^6$ эрг/мм²) тимина и ДНК в замороженном растворе или ДНК в водном растворе при комнатной температуре в продуктах реакции наряду с димером тимина был обнаружен 5,6-дигидротимин (или его звенья в составе ДНК) ¹⁹⁴. Количество дигидротиминовых звеньев, образовавшихся при облучении ДНК, мало зависит от температуры и при данных высоких дозах сравнимо с количеством димерных тиминовых фрагментов. По-видимому, дигидротиминовые звенья образуются в ДНК и при более низких дозах облучения, но квантовый выход их образования в этих условиях ниже, чем для образования димеров (ср. ³).

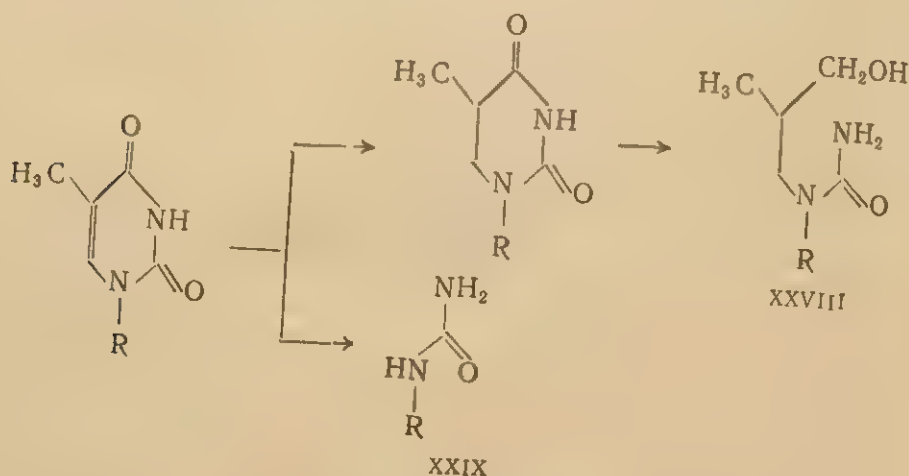
Механизм образования звеньев дигидротимина, вероятно, радикальный. Показано, что при облучении ДНК в замороженном растворе образуются тиминовые свободные радикалы с неспаренным электроном при С-5. Образование радикалов происходит в результате присоединения водорода или дейтерия из растворителя к атому С-6 тимина, находящегося в возбужденном состоянии ¹⁹⁵. Возможно, что эти радикалы являются промежуточным продуктом при образовании остатков дигидротимина. Производные дигидротимина фотолabile. При УФ-облучении водного раствора дигидротимида наблюдается потеря ~80% поглощения при 230 мк и в качестве главного продукта реакции образуется N-пропил-N-дезоксирибозилмочевина XXVII ¹⁰⁰:



XXVII

R-остаток дезоксирибозы

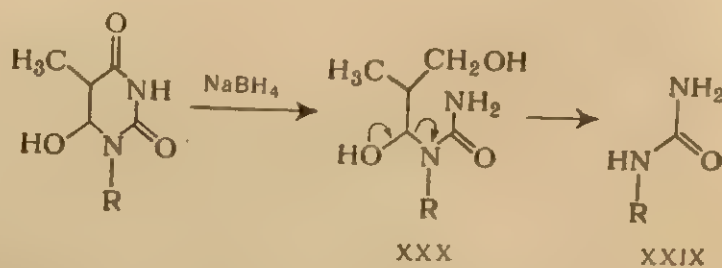
Фотовосстановление в присутствии боргидрида натрия. При облучении (253,7 мкм в водном растворе) в присутствии боргидрида натрия тимидин восстанавливается до дигидротимидина, который далее претерпевает восстановительное расщепление связи N-3—C-4 с образованием уреидоспирта XXVIII^{196, 197}. Последняя стадия не зависит от облучения.



R — остаток дезоксирибозы

Показано, что атом водорода (или дейтерия) из восстанавливающего агента присоединяется к атому C-5, а к C-6 присоединяется водород из растворителя. По-видимому, здесь, как и в отсутствие NaBH₄ (см. выше), промежуточными продуктами являются радикалы тимидина с неспаренным электроном при C-5. Кроме уреидоспирта XXVIII из продуктов реакции с выходом, близким к 30%, была выделена N-деоксирибозилмочевина XXIX.

Образование XXIX свидетельствует в пользу того, что в указанных условиях вначале образуется фотогидрат тимидина, который, подобно дигидротимину, расщепляется под действием NaBH₄¹⁰⁰.



R — остаток дезоксирибозы

Подтверждением предварительной фотогидратации тимидина служит образование в аналогичных условиях соответствующих производных мочевины типа XXX (выход $\sim 50\%$) в случае фотогидратов уридина и цитидина⁸⁴.

6-Азатимин

Введение электроотрицательного атома азота в пиримидиновое ядро сильно сказывается на фотохимическом поведении соединений. 6-Азатимин значительно более устойчив к УФ-излучению, чем тимин. При облучении ($5,8 \cdot 10^3 \text{ эрг/мм}^2$) замороженных растворов тимина и 6-азатимина в фотопродукты переходит 69% тимина и только 0,3% 6-азатимина. В присутствии тимина выход фотопродуктов 6-азатимина возрастает до 0,5%, а в присутствии цитозина — до 9%. Структура фотопродуктов в этих реакциях не исследована, однако, по-видимому, они не являются смешанными продуктами фотореакции 6-азатимина с тиминном или с цитозином¹⁹⁸. В присутствии азатимина выход фотопродуктов тимина и цитозина уменьшается¹⁹⁸.

Фотохимия звеньев 6-азатимина в составе ДНК не исследована. Однако известно, что бактерии, выращенные в присутствии 6-азатимина или 6-азаурацила, в 10—20 раз устойчивее нормальных к инактивирующему действию УФ-облучения (253,7 мкм)¹⁹⁹.

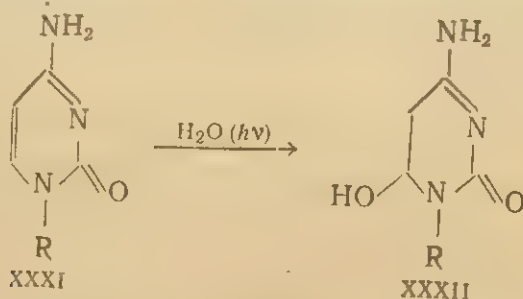
Цитозин и его производные

Распределение электронной плотности в цитозине, находящемся в возбужденном состоянии, как показывают результаты квантово-химических расчетов, отличается от распределения в урациле и тимине. В случае цитозина электронная плотность на атомах C-5 и C-6 увеличивается при возбуждении лишь незначительно, но сильно возрастает на атоме N-3, который даже в нейтральной молекуле является наиболее электроотрицательным атомом кольца (в противоположность атому C-5 для урацила и тимина). Результаты расчетов согласуются с экспериментальными данными, которые показывают, что фотохимические свойства цитозина и его производных во многом отличны от свойств производных урацила и тимина.

Наиболее характерной фотореакцией мономерных производных цитозина в водном растворе является гидратация. Однако в противоположность фотогидрату урацила фотогидраты производных цитозина крайне неустойчивы. В полимерной цепи цитозиновые ядра димеризуются под действием облучения, но эти димерные фрагменты отличны по свойствам от урацильных и тиминовых димерных фрагментов циклобутанового типа и образуются, по-видимому, по другому механизму.

Фотогидратация. При облучении в водных растворах цитозин, его замещенные, цитидин и цитидиловые кислоты XXXI присоединяют молекулу воды по двойной связи C-5—C-6 и образуют фото-

гидраты ^{200, 203}, являющиеся производными 6-окси-5,6-дигидроцитозина XXXII ^{84, 137, 204}.



R — атом водорода, остаток рибозы или рибозофосфата

При облучении цитидин-3'-фосфата помимо фотогидрата образуется с малым выходом крайне нестойкий (время полураспада 9 мин) фотопродукт неизвестной структуры ²⁰⁵.

Квантовый выход фотогидратации ^{200, 202, 205} зависит от длины волны применяемого излучения и от pH (рис. 12.14). Кривые зависимости квантового выхода фотогидратации от pH аналогичны кривым титрования Ср, т. е. для протонированной формы цитидин-3'-фосфата вероятность образования фотогидрата при облучении в

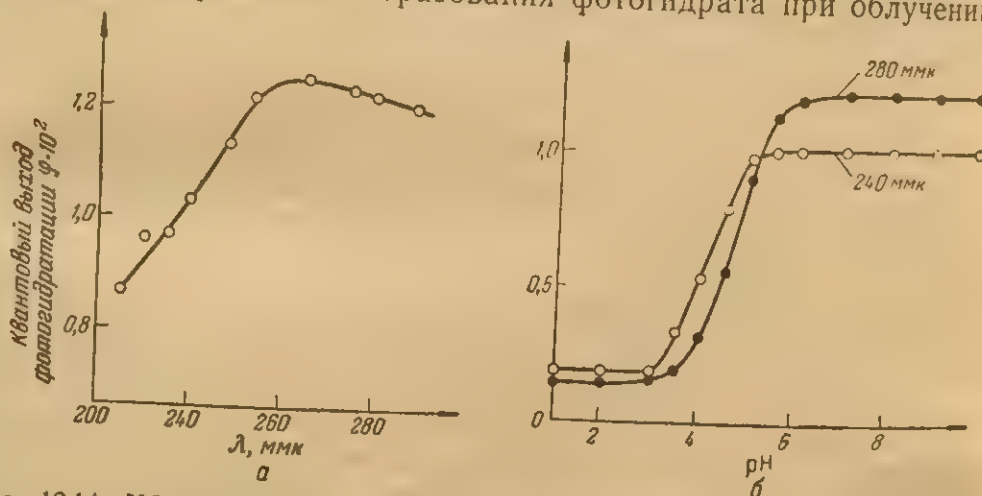


Рис. 12.14. УФ-Облучение цитидин-3'-фосфата. Зависимость квантового выхода фотогидратации от длины волны (а: pH раствора 6,5) и от pH среды (б) ²⁰⁵.

6—10 раз меньше, чем для нейтральной формы ²⁰⁵. Поперечное сечение образования фотогидрата также является функцией длины волны и pH. Зависимость поперечного сечения от pH совпадает с аналогичной зависимостью для квантового выхода ²⁰⁵.

Из приведенных данных очевидно, что наибольшая вероятность образования фотогидратов и максимальная скорость процесса достигаются при облучении в области 260—270 мμ при pH ≥ 5.

Под действием облучения фотогидраты образуются также звеньями цитозина, входящими в состав ди- ^{206, 208} и полинуклеотидов ^{206, 207, 209, 210, 341}.

У ФОТОХИМИИ
СВОЙСТВ
НЫХ ЦИТОЗИН

$\epsilon \cdot 10^{-3}$

12

8

4

200

Рис. 12.15. различный

270 мμ и по
лено насыщ

В кислой сре
тонирования
Подобно
зина и его
соответствую
С-5—С-6 (на
H₂O
Ср — соответ
В отличи
раты цитозин
нии в нейтра
образом в и
стичное деза
ильных про

Свойства фотогидратов. Образование фотогидратов производных цитозина сопровождается уменьшением поглощения в области

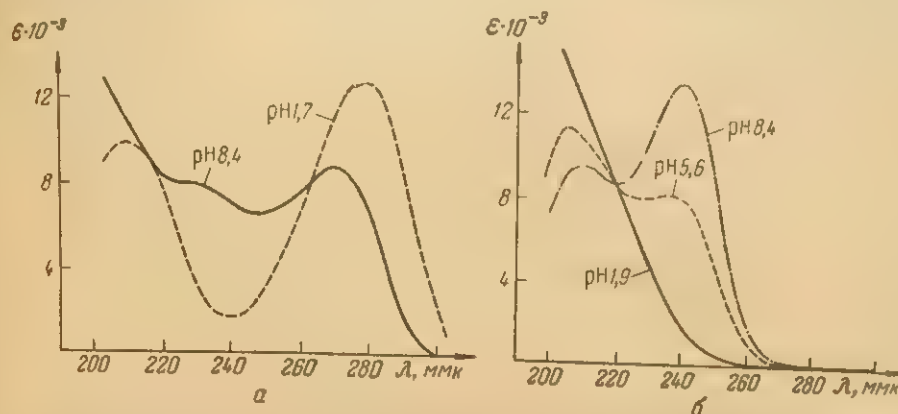
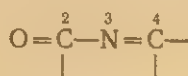


Рис. 12.15. УФ-Спектры цитидин-3'-фосфата (а) и его фотогидрата (б) при различных рН²¹¹.

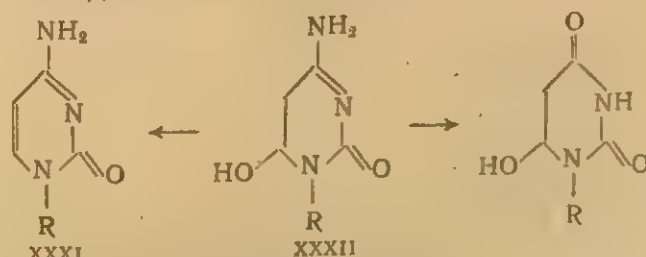
270 мμ и появлением максимума в области 240 мμ, что обусловлено насыщением двойной связи С-5—С-6 и наличием хромофора



В кислой среде максимум при 240 мμ исчезает в результате протонирования по атому N-3 (рис. 12.15).

Подобно дигидроцитозиновым производным, фотогидраты цитозина и его замещенных имеют более высокое значение pK_a , чем соответствующее соединение с ненасыщенной двойной связью С-5—С-6 (например, для Ср величина pK_a составляет 4,26, а для Н₂О Ср — соответственно 5,56).

В отличие от фотогидратов производных урацила²¹¹ фотогидраты цитозиновых производных весьма нестойки. При выдерживании в нейтральных водных растворах они превращаются главным образом в исходные продукты^{200, 202}; кроме того, наблюдается частичное дезаминирование^{96, 211} с образованием фотогидратов урацильных производных:



R — атом водорода, остаток рибозы или рибозофосфата

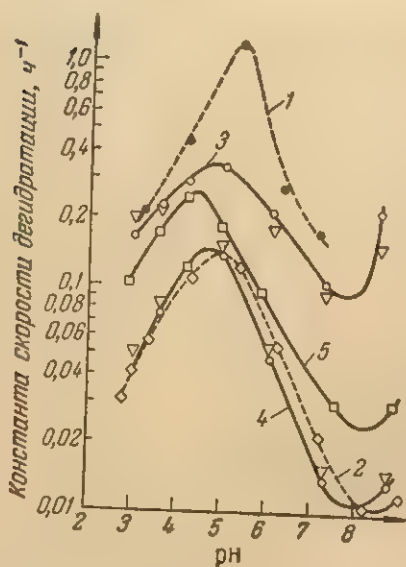


Рис. 12.16. Дегидратация фотогидратов производных цитозина при 0°С. Зависимость константы скорости реакции от рН ²¹².

1 — pC; 2 — Cr; 3 — CrC;
4 — CrC; 5 — CrC.

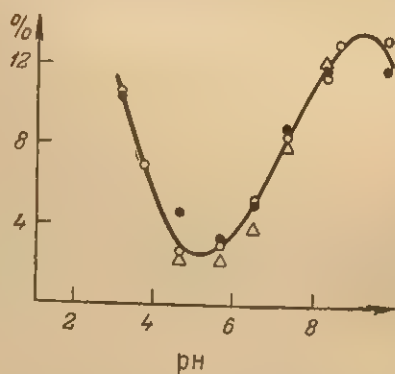


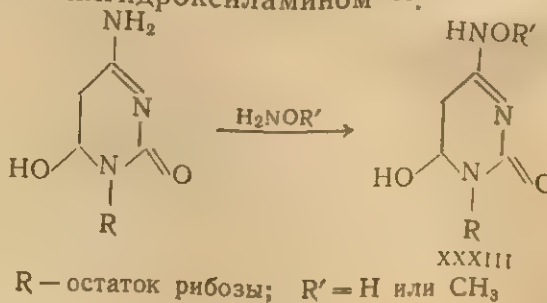
Рис. 12.17. Дезаминирование фотогидрата цитидин-3'-фосфата. Зависимость степени дезаминирования (в % от общего содержания фотогидрата) от рН ²¹¹.

(жирными кружочками показаны данные, полученные при 25°С, светлыми кружочками — при 15°С, треугольниками — при 6°С).

Скорость дегидратации зависит от рН и достигает максимального значения при рН 4,5—5. На кинетику дегидратации влияет также природа заместителей при N-1. Так, фотогидрат цитидин-5'-фосфата дегидратируется быстрее, чем фотогидрат цитидин-3'-фосфата; соответственно и динуклеозидомонофосфат. СрС устойчивее, чем СрС (рис. 12.16). Этерификация фосфатной группы цитидин-5'-фосфата значительно снижает скорость дегидратации при рН 6—7 ²⁰³.

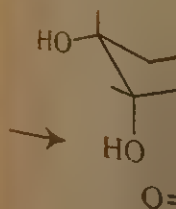
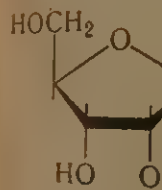
Дезаминирование фотогидратов цитозиновых производных протекает медленнее, чем дегидратация. Например, период полупревращения фотогидрата цитидин-3'-фосфата при рН 7,5 и 37°С составляет 50 мин; за это время 45,5% фотогидрата дегидратируется до Ср и только 4,5% дезаминируется до фотогидрата уридин-3'-фосфата ²¹¹. Скорость дезаминирования цитидин-3'-фосфата зависит от рН среды. В области максимальной скорости процесса дегидратации (рН 5) количество фотогидрата, подвергшегося дезаминированию, минимально (рис. 12.17).

Замещение цитозиновых производных по аминогруппе приводит к значительному увеличению стабильности соответствующих фотогидратов ^{203, 213}. Так, фотогидрат цитидина можно превратить в стабильное соединение, обработав его гидросиламином или О-метилгидросиламином ²¹⁴:



Легкость увеличения при насыщении. Известно, что значительная часть дезаминирования цитидина происходит в амина ²¹⁶.

Под действием терпеев и разовании одним из д

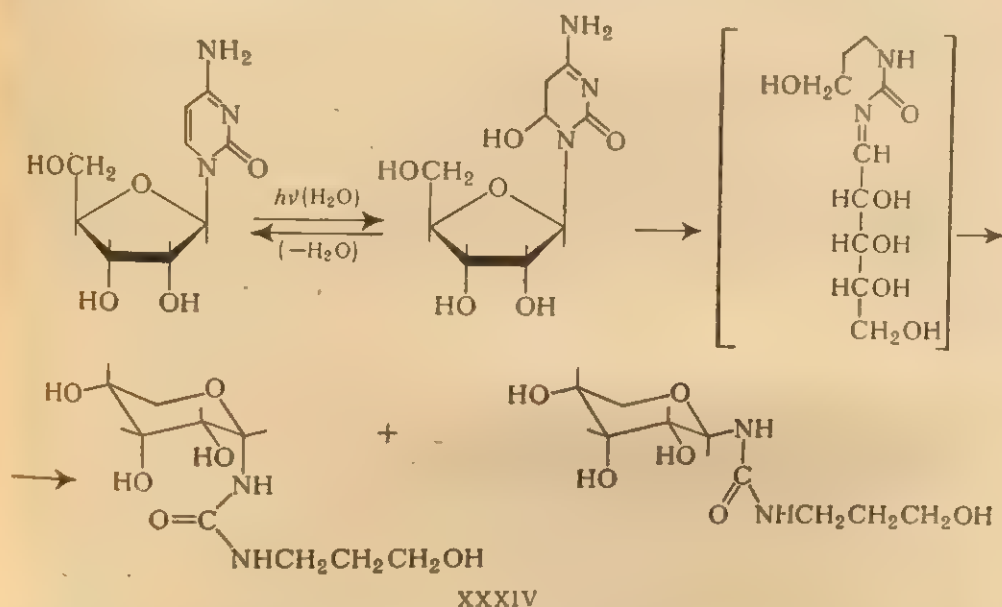


Фотолиз... так и в бу... зина и его... в частности... ионов на... гие фотоп... ные 138, 217.

Замена... донорную... ские свойс... случае про... ценных ци

Легкость дезаминирования фотогидрата цитозина обусловлена увеличением лабильности аминогруппы при С-4, происходящим при насыщении двойной связи С-5—С-6 в результате фотогидратации. Известно, что в производных дигидроцитозина аминогруппа значительно лабильнее, чем в производных цитозина. Она легче дезаминируется (см. стр. 339, 355; о механизме дезаминирования цитидина см. ²¹⁵) и легче замещается на остаток аминокислоты или амина ²¹⁶.

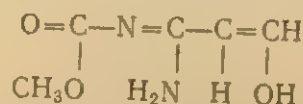
Под действием боргидрида натрия фотогидрат цитидина претерпевает восстановительное расщепление и дезаминирование с образованием рибозилоксипропилмочевины XXXIV⁸⁴, что является одним из доказательств структуры фотогидрата.



Фотолиз замещенных цитозинов. Цитидин и цитидиловая кислота обратимо образуют фотогидрат при облучении как в воде, так и в буферных растворах. На фотохимическое поведение цитозина и его замещенных оказывают влияние неорганические ионы, в частности фосфатный и пирогосфатный. В присутствии этих ионов наряду с фотогидратом цитозина образуются частично другие фотопродукты, в настоящее время не идентифицированные ^{138, 217}.

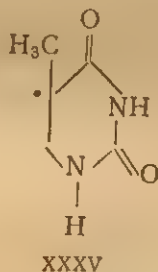
Замена карбонильной группы при С-2 цитозина на электронодонорную (метокси- или метил-) существенно меняет фотохимические свойства соединения. Влияние неорганических ионов в этом случае проявляется более ярко. При фотолизе подобных замещенных цитозинов в воде фотогидрат не является единственным

фотопродуктом^{2, 217}, а в фосфатном буфере он вовсе не образуется^{217, 218}. В УФ-спектре продуктов фотолиза, полученных в фосфатном буфере, отсутствует максимум поглощения при 240 мкм, но появляется максимум в области 300 мкм^{2, 217, 219}. При фотолизе 2-метокси-4-аминопиримидина в 0,05 М фосфатном буфере (рН 7,0) было выделено два основных продукта. На основании ряда свойств одному из них ($\lambda_{\max} = 300$ мкм) приписана структура



Второй продукт ($\lambda_{\max} = 275$ мкм) является, по-видимому, замещенным пиримидином²¹⁸.

Распределение электронной плотности в пиримидиновом ядре существенно меняется с введением электронодонорного заместителя при С-5. Из сравнения фотохимических свойств урацила и тимина можно заключить, что метильная группа при С-5 повышает устойчивость пиримидинового ядра к УФ-облучению в водных растворах; кроме того, для производных тимина более характерна фотодимеризация, а не фотогидратация. Имеются данные о том, что метильная группа при С-5 стабилизирует радикал XXXV



По-видимому, введение метильной группы по С-5 в ядро цитозина оказывает аналогичное влияние на фотохимическое поведение цитозиновых производных. 5-Метил- и 5-оксиметилцитидины, а также их нуклеотиды более устойчивы к действию УФ-излучения, чем сам цитидин (квантовый выход превращения их при фотолизе $\sim 10^{-3}$). Фотопродукты этих соединений при нагревании их растворов или при выдерживании в кислой среде не регенерируют исходные соединения, т. е., по-видимому, фотопродукты не являются фотогидратами. УФ-Спектры этих фотопродуктов свидетельствуют о сохранении пиримидинового цикла²²⁰.

Фотолиз производных цитозина в спирте. При УФ-облучении в спиртовом растворе цитозин и ряд его алкильных замещенных образуют фотопродукт с максимумом поглощения в области 300 мкм^{2, 221}. Цитидин, по-видимому, также вступает в аналогичную реакцию²²². Структура данных фотопродуктов в настоящее

в. фотохимич
время не уст
лучающиеся
нагревании
Водный раст
при 313 м.и
При облу
образуются
растворитель
облучением
творения в в
ного раствор
При облу
пает редкая

имеющая²²³
полагают на
(см. стр. 657)

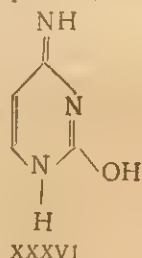
Фотодимер
тозин, цитиди
фотолизе зам
ходом 3—7%
ние^{3, 112}, поск
мер цитозина
женных раст
смешанные ф
фотодимеры
облучении ра
дов²⁰⁹, а такж

Свойства
изучены глав
тидил- (3'→5'
СрС (фосфа
который в р
фотодимер
В водном ра
вращаясь в
ченни СрС

время не установлена, изучен лишь ряд их свойств. Продукты, получающиеся при фотолизе цитозина и 1-метилцитозина в спирте, при нагревании частично регенерируют исходные соединения^{2, 221, 222}. Водный раствор фотопродукта цитозина чувствителен к облучению при 313 мк²²¹.

При облучении 2,6-диметилцитозина в воде, этаноле и гексане образуются идентичные фотопродукты; вероятно, в данном случае растворитель не участвует в реакции². Фотопродукт, полученный облучением 5-метилцитозина в спирте ($\lambda_{\text{max}} = 310$ мк), после растворения в воде спонтанно превращается в продукт фотолиза водного раствора 5-метилцитозина ($\lambda_{\text{max}} = 285$ мк)².

При облучении цитозина в этаноле в реакцию, вероятно, вступает редкая таутомерная форма цитозина XXXVI

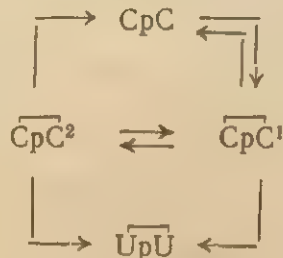


имеющая²²³ максимум поглощения в области 240 мк. Это предполагают на основании УФ-спектров и спектров действия реакции (см. стр. 657).

Фотодимеризация. При УФ-облучении в водном растворе цитозин, цитидин и цитидиловые кислоты не димеризуются^{2, 90}. При фотолизе замороженного раствора димер цитозина образуется с выходом 3—7%. Очевидно, фотодимеризация облегчает дезаминирование^{3, 112}, поскольку при оттаивании замороженных растворов димер цитозина легко превращается в димер урацила^{3, 112}. В замороженных растворах цитозин образует также с небольшим выходом смешанные фотодимеры с урацилом и тиминном¹¹². Цитозиновые фотодимеры образуются, кроме того, наряду с фотогидратами при облучении растворов цитозиновых олиго-^{207, 208, 224} и полинуклеотидов²⁰⁹, а также растворов ДНК^{149, 225} и РНК²²⁶.

Свойства фотодимеров. Свойства цитозиновых фотодимеров изучены главным образом на примере продуктов, образуемых цитидил-(3'→5')-цитидином СрС. При облучении водного раствора СрС (фосфатный буфер, рН 7,2, 0°С) образуется фотодимер СрС¹, который в результате темновой реакции обратимо превращается в фотодимер СрС² с иной электрофоретической подвижностью. В водном растворе оба фотодимера частично дезаминируются, превращаясь в один и тот же уридиновый фотодимер УрУ. При облучении СрС¹ и СрС² превращаются в исходное соединение СрС²²⁷.

Фотохимические превращения CrC в водном растворе могут быть представлены следующей общей схемой:



Вследствие высокой лабильности цитозиновых фотодимеров структура их до настоящего времени не установлена. Исчезновение максимума поглощения в области 270 мкм (рис. 12.18) указывает

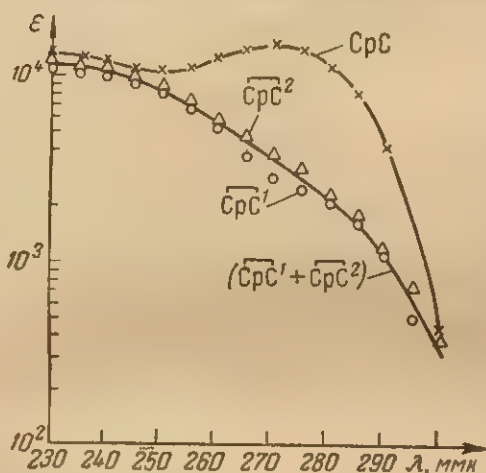
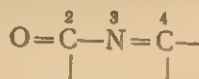


Рис. 12.18. УФ-Спектр CrC и его фотодимеров ²²⁸.

на нарушение сопряженной системы пиримидиновых ядер аналогично тому, как это происходит при насыщении двойной связи C-5—C-6 в процессе фотогидратации. Однако в спектре обоих фотодимеров (CrC^1 и CrC^2) отсутствует и характерный для фотогидратов максимум в области 240 мкм, что свидетельствует об исчезновении хромофора ²²⁸



По-видимому, цитозиновые фотодимеры не являются обычными димерами циклобутанового типа, так как образование таких димеров предполагает сохранение указанного хромофора.

Для фотодимеров, образующихся при облучении CrC , предложено несколько вероятных структур ²²⁷ (по аналогии с фотодимеризацией других соединений — см., например, ^{229, 230}), однако окончательное решение этого вопроса требует дополнительных экспериментальных данных.

Следует отметить, что коэффициенты молярной экстинкции цитозиновых фотодимеров значительно выше, чем для тиминовых фотодимеров при всех длинах волн ²²⁸.

Выход фотодимеров при облучении водного раствора CrC зависит от ряда факторов *, и в частности от pH среды и длины волны

* Ввиду легкости дезаминирования для цитозиновых фотодимеров выход часто определяется по выходу продукта их превращения UprU .

облучения. Нейтральная молекула динуклеозидмонофосфата образует фотодимер значительно легче, чем протонированная²⁰⁸ (рис. 12.19). С увеличением длины волны облучения выход фотодимеров возрастает²⁰⁸. Скорость обратной реакции (расщепление фотодимеров при облучении) увеличивается с уменьшением длины волны в равной мере как для $\overline{\text{CrC}}^1$, так и для $\overline{\text{CrC}}^2$, однако квантовый выход обратной реакции не зависит от длины волны²²⁸. Скорость фоторасщепления цитозиновых фотодимеров значительно выше, чем аналогичных производных урацила и тимина. Это отчасти объясняется более высокими коэффициентами молярной экстинкции цитозиновых фотодимеров²²⁸. Кроме фоторасщепления лабильность фотодимеров $\overline{\text{CrC}}$ обусловлена также темновыми реакциями — взаимным превращением



и дезаминированием. Сравнение констант скоростей этих реакций при различных значениях pH показывает²²⁷, что оба фотодимера наиболее устойчивы в области pH 6,8—8,4, причем $\overline{\text{CrC}}^2$ несколько более устойчив, чем $\overline{\text{CrC}}^1$. Дезаминирование, вероятно, не протекает одновременно по обоим звеньям оснований.

Скорость дезаминирования зависит от температуры. Так, время полупревращения при pH 7,0 и 0°С составляет 100 ч, а при 25°С соответственно 10 ч. Иными словами, при комнатной температуре за 24 ч $\overline{\text{CrC}}$ полностью дезаминируется в $\overline{\text{UrU}}$ ²⁰⁸.

Закономерности образования цитозиновых димерных фрагментов в полинуклеотидах аналогичны таковым для динуклеозидфосфатов.

При облучении ДНК наряду с уже отмечавшейся димеризацией тиминовых звеньев наблюдается фотодимеризация цитозиновых звеньев, а также образование димерных фрагментов смешанного типа (из цитозиновых и тиминовых ядер). Эффективность образования цитозиновых димерных фрагментов меньше, а скорость их расщепления при коротковолновом облучении больше, чем для тиминовых димерных фрагментов²⁰⁸. При низких дозах облучения ДНК содержание цитозиновых фотодимерных фрагментов сравнимо с количеством тиминовых димерных участков. При высоких

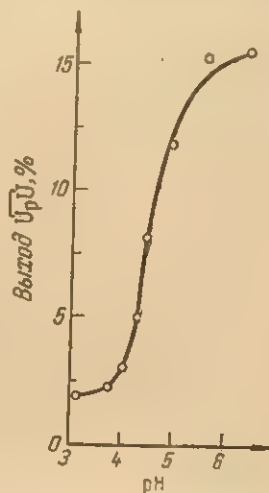


Рис. 12.19. Образование фотодимеров при облучении (280 мкм) $\overline{\text{CrC}}$. Зависимость максимального выхода $\overline{\text{UrU}}$ (в % от $\overline{\text{CrC}}$) от pH (0,005 М фосфатный или формиатный буфер, 4°С)²⁰⁸.

дозах доля тиминовых фрагментов возрастает²²⁸ вследствие большей лабильности цитозиновых фотодимеров.

Соотношение процессов фотогидратации и фотодимеризации. Относительная эффективность образования фотогидратов и фотодимеров для производных цитозина в настоящее время изучена только на динуклеозидмонофосфате. Показано, что при облучении в

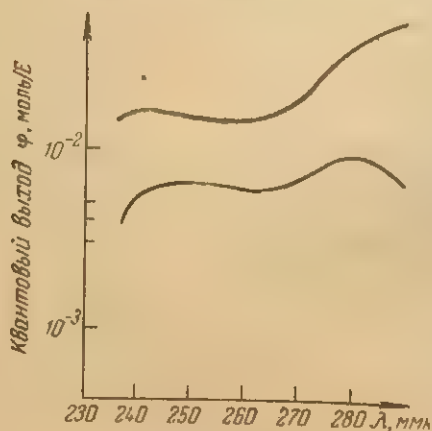


Рис. 12.20. Фотолиз СрС. Зависимость квантового выхода образования димера СрС¹ (верхняя кривая) и фотогидрата (нижняя кривая) от длины волны²²⁸.

интервале длин волн 230—290 нм квантовый выход (рис. 12.20) и поперечное сечение фотодимеризации значительно выше, чем для фотогидратации. Таким образом, при этих длинах волн образование димеров является предпочтительным.

По-видимому, именно в силу этого обстоятельства, а также вследствие нестабильности фотогидратов производных цитозина последние не были обнаружены при облучении нативной ДНК²³¹ и двухспиральных полинуклеотидных комплексов^{206, 209}. Ряд данных свидетельствует о том, что при облучении одноцепочечных полинуклеотидов (денатурированная ДНК¹⁴⁹, РНК²³² и поли-С^{206, 233}) фотогидраты цитозиновых производных образуются. Как недавно было показано, в нативной ДНК и двух-

цепочечных полинуклеотидных комплексах цитидиновые остатки образуют фотогидратные звенья, однако квантовый выход таких гидратных звеньев в 2—3 раза ниже, чем для одноцепочечных полинуклеотидов³⁴¹. Межплоскостное взаимодействие также, по-видимому, затрудняет образование фотогидратных цитидиновых звеньев, поскольку квантовый выход фотогидратации поли-С в 90%-ном этиленгликоле вдвое выше, чем в воде, и практически равен квантовому выходу гидратации рС в воде³⁴¹.

Следует, однако, отметить, что предложенный метод³⁴¹ допускает и иную трактовку полученных результатов.

Отсутствие данных о зависимости образования цитозиновых фотогидратов и фотодимеров в полинуклеотидах от дозы облучения не позволяет пока более определенно судить об относительном содержании этих фотопродуктов в облученных полинуклеотидах.

2. Фотореакции пуриновых производных

Фотолиз в водных растворах. Отличительной чертой фотохимии пуринов и их производных является относительно большая по сравнению с пиримидиновыми производными устойчивость к УФ-облу-

в фотолиз
чению 75,3
чески ус
меризаци
УФ-излуч
лямах, в
основани
изменени
(253,7 м.
ставляет
нований
меняются
го- и пол
чивость,
изменени
по крайн
составля
Глико
бильна в
фосфат,
приводят
аденина
Устой
от харак
ядре^{239, 2}
нин, аде
карбонил
ность со
пуринов
> гуанин
Для
исчезнов
ствии ки
аденина:
УФ-облу
дят к де
менения
(гуанин,
лородом
Прод
ных в во
аденина
рый, воз
окислите
разруше
жить, чт
аденина
43 Зак

чению^{75, 234-236}. Пуриновые компоненты нуклеиновых кислот практически устойчивы к дозам, вызывающим фотогидратацию и фотодимеризацию пиримидиновых производных. При увеличении дозы УФ-излучения наблюдается снижение поглощения пуринов при λ_{max} , вплоть до его полного исчезновения²³⁷⁻²³⁹. Определенный на основании данных УФ-спектров квантовый выход фотохимического изменения водных растворов аденина и гуанина при облучении (253,7 мкм) на порядок ниже, чем для производных урацила, и составляет $0,6 \cdot 10^{-4}$ и $2 \cdot 10^{-4}$ соответственно^{2,97}. При переходе от оснований к нуклеозид-3'-фосфатам эти величины практически не изменяются ($0,5 \cdot 10^{-4}$ для Ар и $1,5 \cdot 10^{-4}$ для Гр)²⁰⁷. Пуриновые олиго- и полинуклеотиды проявляют большую фотохимическую устойчивость, чем моонуклеотиды. Квантовый выход фотохимического изменения АрА и поли-А, определенный по изменению УФ-спектра, по крайней мере на порядок ниже, чем для Ар; для поли-Г он составляет $0,5 \cdot 10^{-4}$ ²⁰⁷.

Гликозидная связь в пуриновых нуклеозид-5'-трифосфатах лабильна в условиях УФ-облучения. Дозы, при которых аденозин-3'-фосфат, аденозин-5'-фосфат и аденозин практически не изменяются, приводят к заметному расщеплению аденозин-5'-трифосфата до аденина².

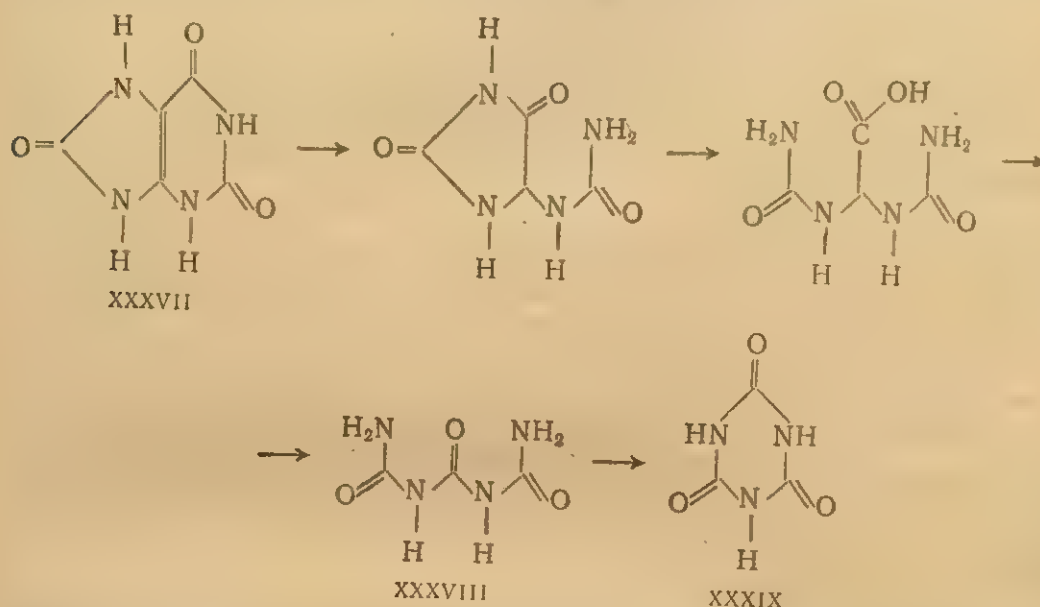
Устойчивость пуриновых производных к УФ-облучению зависит от характера и положения заместителей в гетероциклическом ядре^{239, 240}. Наиболее устойчивы при облучении ($\lambda > 230$ мкм) аденин, аденозин и адениловые кислоты. Введение в пуриновое ядро карбонильной группы, особенно при С-2, повышает чувствительность соединения к УФ-облучению. Фотохимическая устойчивость пуриновых производных падает в ряду аденин > гипоксантин > гуанин > ксантин > мочевая кислота^{239, 240}.

Для аденина и гипоксантина (заместители при С-6) скорость исчезновения поглощения в максимуме увеличивается в присутствии кислорода. Особенно ярко этот эффект проявляется в случае аденина: дозы, вызывающие полную деградацию аденина при УФ-облучении в присутствии кислорода, в атмосфере азота приводят к деструкции основания лишь на 10%²⁴⁰. Фотохимические изменения пуриновых производных с заместителями при С-2 и С-6 (гуанин, ксантин, мочевая кислота), напротив, ингибируются кислородом²⁴⁰.

Продукты фотохимических превращений пуриновых производных в водном растворе мало исследованы. Из продуктов фотолиза аденина был выделен в небольших количествах гипоксантин, который, возможно, образуется в присутствии кислорода в результате окислительного отщепления аминогруппы. Однако гипоксантин образуется и при проведении реакции электрофильность атома С-6 жите, что в возбужденном состоянии электрофильность атома С-6 аденина увеличивается, и в результате нуклеофильной атаки

гидроксил-анионами происходит замещение аминогруппы на гидроксильную.

При длительном УФ-облучении пуриновых производных, т. е. в условиях полного исчезновения поглощения при λ_{max} , в продуктах фотолиза были обнаружены аммиак и мочевина²³⁹, что свидетельствует о расщеплении пуриновых ядер. Механизм этого расщепления пока не изучен. При длительном облучении мочевой кислоты XXXVII наряду с аммиаком и мочевиной в небольших количествах образуются триурет XXXVIII и циануровая кислота XXXIX; по-видимому, по следующей схеме²⁴¹:



8-Азааденин и 8-азагуанин значительно менее устойчивы к УФ-облучению, чем аденин и гуанин¹³⁴; продукты фотопревращений азапроизводных не исследованы.

Фотолиз N-окисей пуриновых производных. В отличие от обычных замещенных пуринов N-окиси пуриновых производных проявляют высокую чувствительность к УФ-облучению в водном растворе. Квантовый выход фотохимического превращения N-окиси аденина составляет 0,1²⁴², т. е. по сравнению с аденином N-окись аденина чувствительнее к УФ-свету более чем в 1000 раз. Следует отметить, что даже для большинства пиримидиновых производных квантовый выход фотохимического изменения значительно меньше.

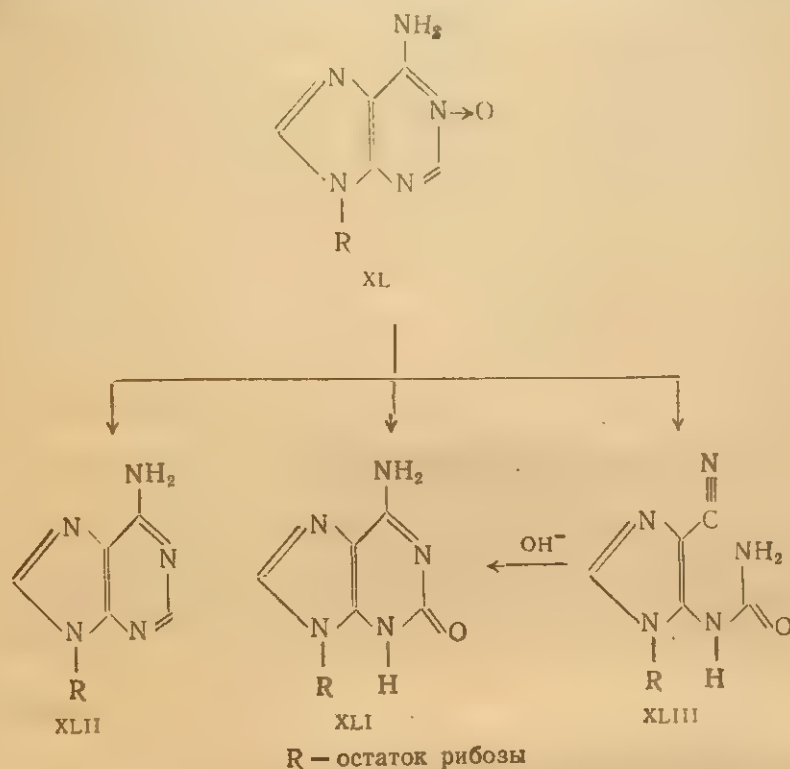
Изучение фотохимических свойств N-окисей пуриновых производных проведено в основном на N-окисях аденина и аденозина²⁴²⁻²⁴⁵. Фотолиз водных растворов этих соединений сопровождается уменьшением интенсивности поглощения в максимуме (230 мкм) и небольшим увеличением абсорбции в области 290 мкм. Основными продуктами фотолиза N-окиси аденозина XL являются

У. ФОТОХИМИЯ
ИЗОГУАНОЗИН
АЗОЛИТРИОС

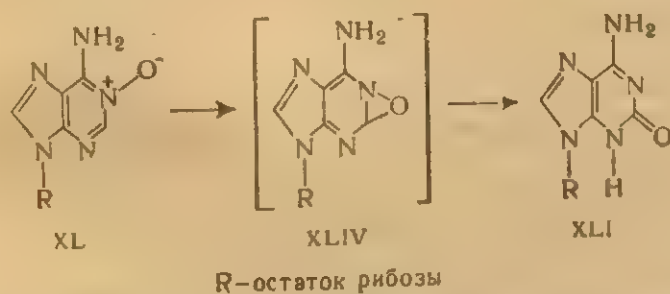
Таким
ление окис
и расщепл
можно, чт
промежут

Относ
висят от
рН 6 относ
топродукт

изогуанозин (кротонозин) XLII, аденозин XLI и замещенный имидазолилрибозид XLIII²⁴⁵.



Таким образом, фотореакция идет по трем направлениям: удаление окисного кислорода, перенос его к соседнему атому углерода и расщепление пиримидинового цикла по связи N-1—C-6. Возможно, что перенос кислорода к атому C-2 осуществляется через промежуточное производное XLIV²⁴³:



Относительные количества образующихся фотопродуктов зависят от условий облучения, в частности от pH среды. В воде при pH 6 относительные количества исходной N-окиси аденозина и фотопродуктов составляют: XL — 5%, XLI — 20%, XLII — 10%,

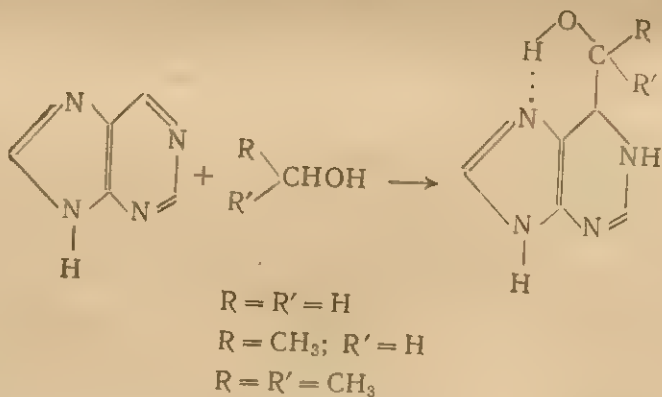
XLIII — 20%. В щелочной среде (pH 10) количество изогуанозина XLI увеличивается до 60%, поскольку XLIII в этих условиях способен циклизироваться до XLI. В кислой среде (0,01 н. H_2SO_4) фотолиз идет с меньшей интенсивностью и преимущественной реакцией является образование аденозина²⁴⁵; в результате получается: XL — 25%, XLI — 7%, XLII — 25%, XLIII — 5%.

Аналогично протекает фотолиз N-окиси аденина, из продуктов которого были выделены аденин, изогуанин и соединение, по ряду свойств аналогичное XLIII^{242, 243, 245}.

Сходным образом реагируют N-окиси и других 6-замещенных пуринов. N-Окись 6-метилпурина образует при облучении 2-оксипуринов переноса окисного кислорода к C-2, по-видимому, не происходит: в продуктах облучения N-окиси изогуанина был обнаружен только изогуанин²⁴³.

Предварительные данные свидетельствуют о том, что N-окись аденозина сохраняет высокую чувствительность к УФ-облучению и в составе полинуклеотидов. N-Окись поли-А легко подвергается фотолизу; при последующем щелочном гидролизе обнаружен фотопроduct с УФ-спектром, аналогичным спектру изогуанозина²⁴⁵.

Присоединение спиртов. При облучении (253,7 мкм) раствора пурина в абсолютных дегазированных спиртах образуется ковалентная связь между α -углеродным атомом спирта и атомом C-6 пурина^{246, 247}.



Структура фотопродуктов подтверждена данными УФ-, ИК-, ЯМР- и масс-спектров; при реакции в этаноле было выделено два изомера. Возникающие фотопродукты в спиртовом растворе весьма чувствительны к влаге и кислороду, в твердом виде они более стабильны²⁴⁷.

Присоединение молекулы спирта сопровождается уменьшением поглощения при λ_{max} пурина (260 мкм) и появлением двух новых максимумов в областях 240 и 292 мкм. Квантовый выход этой реакции $\sim 0,2$ ^{246, 247}. В водном этаноле квантовый выход значительно

ниже, чем в абсолютном этаноле. Фотолиз спирта приводит к образованию 6-этоксипурина и 6-этоксипурина в этаноле²⁴⁷.

VI. ФОТОСЕНСИБИЛИЗАЦИЯ

Фотохимические процессы в компонентах молекул могут приводить к образованию соединений (см. стр. 651), способных к облучению, а также к образованию соединений, способных к облучению, а также к образованию соединений, способных к облучению.

Димеризация

В определенных условиях, вызванных облучением, могут образовываться соединения (650, 669), из которых 118, 155, 182.

В качестве примера можно привести бензофенон, который обладает способностью к образованию коротковолновых соединений (340 мкм, уреаза, лота 116, 118 димеризаторов. В некоторых случаях не удается получить чистые соединения из смеси, в которой присутствуют компоненты из смеси (стр. 651), смешанные с новыми звеньями.

ниже, чем в абсолютном. В водном *трет*-бутаноле реакция не идет. Фотолиз спиртовых растворов пурина, насыщенных кислородом, приводит (судя по УФ-спектрам) к другим фотопродуктам, структура и свойства которых не исследованы²⁴⁷.

Фотолиз 6-метилпурина в спирте протекает, по-видимому, аналогично фотолизу пурина, однако аденин, гипоксантин, ксантин и 6-этоксипурин устойчивы к облучению (253,7 мкм) в дегазированном этаноле²⁴⁷.

VI. ФОТОСЕНСИБИЛИЗИРОВАННЫЕ РЕАКЦИИ

Фотохимические изменения в нуклеиновых кислотах и их компонентах могут быть результатом фотосенсибилизированных реакций (см. стр. 618), т. е. реакций, в которых не происходит непосредственного возбуждения оснований нуклеиновых кислот при облучении, а осуществляется передача энергии возбужденной молекулы-сенсибилизатора молекуле-акцептору (основание или действующий на него реагент). Передача энергии может проходить различными путями^{9, 10, 248}, например через образование метастабильного комплекса сенсибилизатора и акцептора или путем непосредственного переноса энергии. Важную роль в процессах сенсибилизации играет триплет-триплетный перенос энергии²⁴⁹.

Димеризация пиримидинов

В определенных условиях пиримидиновые производные в возбужденном состоянии способны димеризоваться. Помимо димеризации, вызванной непосредственным возбуждением пиримидиновых соединений (облучение в области 260 мкм, см. стр. 638, 650, 669), известна также фотосенсибилизированная димеризация^{118, 155, 182, 183, 187, 250}.

В качестве сенсибилизаторов наиболее часто применяют кетоны — бензофенон, ацетофенон, пропиофенон, ацетон. Все эти вещества обладают заметным поглощением выше 310 мкм в отличие от пиримидинов, спектр поглощения которых расположен в более коротковолновой области. Под действием облучения в области 310—340 мкм урацил^{118, 182, 250}, тимин^{116, 155, 182, 183} и оротовая кислота^{116, 118} димеризуются в водных растворах в присутствии сенсибилизаторов. В результате реакции образуются фотодимеры, аналогичные полученным при прямом фотолизе. Цитозин в указанных условиях не димеризуется. Образование фотогидратов ни для одного из четырех соединений не наблюдается. При сенсибилизированном ацетофеноном фотолизе ДНК образуются димерные фрагменты из тиминовых звеньев^{187, 342, 343} (изомеры типа XIXa, см. стр. 651), смешанные димерные фрагменты из тиминовых и цитозиновых звеньев и остатки 5,6-дигидротимина; относительные началь-

ные скорости образования этих продуктов составляют 1,00; 0,03 и 0,02 соответственно ³⁴². При сенсibilизированном фотолизе денатурированной ДНК степень фотодимеризации составляющих звеньев выше, чем при фотолизе нативной ДНК. В случае денатурированной ДНК помимо фотодимерных фрагментов типа XIXa отмечено ³⁴³ образование в малых количествах и продуктов типа XIXb.

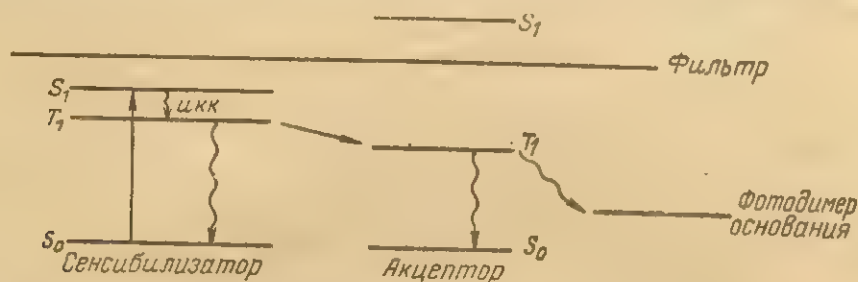


Рис. 12.21. Схема уровней энергии и переноса энергии в реакции фотосенсибилизированной димеризации ¹¹⁶.

При фотолизе ДНК, сенсibilизированном ацетоном, возникают и цитозиновые димерные фрагменты ³⁴³ (сам цитозин не фотодимеризуется в присутствии ацетона ¹¹⁶).

Следует отметить, что применение длинноволнового УФ-излучения при фотосенсибилизации практически исключает фотореверсию димеров до мономеров ^{116, 187}, довольно значительную в случае прямого фотолиза (см. стр. 640, 653).

Известно, что перенос энергии от сенсibilизатора к акцептору возможен только в том случае, если энергия данного возбужденного состояния сенсibilизатора выше энергии возбужденного состояния акцептора. Для возбужденных состояний пиримидинов характерны относительно низкие триплетные и высокие синглетные уровни энергии. Сравнительная оценка энергии синглетных и триплетных возбужденных состояний исследуемых соединений и фотосенсибилизаторов, а также ряд других фактов показывает, что в случае фотосенсибилизированной димеризации возбуждение пиримидинов осуществляется за счет триплет-триплетного переноса энергии ^{58, 59, 116, 118, 184, 187}. Рис. 12.21 иллюстрирует относительное расположение уровней энергии сенсibilизатора и акцептора и процессы, протекающие после возбуждения сенсibilизатора.

Значения энергии триплетных уровней кетонных сенсibilизаторов и некоторых пиримидинов приведены в табл. 12.9.

Хотя величины энергий, полученные для твердых растворов при 77° К, не строго применимы для водных растворов при комнатной температуре, однако с их помощью можно получить достаточное представление о принципах подбора сенсibilизаторов, их специфичности и относительной эффективности. В частности, при сенсibilизированном ацетофеноном возбуждении ДНК ⁵⁹ возбуждаются

только тиминовые звенья, так как для остальных оснований ДНК энергии триплетных возбужденных состояний выше, чем для ацетофенона (см., например, значение $E_{0,0}$ в табл. 12.9). Эффективность триплет-триплетного переноса тем выше, чем больше разность энергий триплетных состояний сенсibilизатора и акцептора.

Таблица 12.9. Энергия триплетных уровней ряда сенсibilизаторов¹¹⁶ и пиримидинов по данным спектров флуоресценции при 77°K

(E_T — энергия триплетного состояния, соответствующая максимуму полосы флуоресценции; $E_{0,0}$ — экстраполированная энергия перехода между нулевыми колебательными уровнями триплетного и основного состояний)

Соединение	$E_T, \text{см}^{-1}$	$E_{0,0}, \text{см}^{-1}$	Литература
Сенсibilизаторы:			
Бензофенон	24 400	24 800	251
Ацетофенон	26 000	26 500	116
Ацетон	—	28 200	252
Акцепторы:			
Цитозин	25 000	27 900	59
Урацил	24 400	27 500	59
Тимин	23 200	26 300	116
Оротовая кислота	—	21 300	118

Этим отчасти обусловлена зависимость квантового выхода фотосенсibilизированной димеризации от природы основания и сенсibilизатора (табл. 12.10). Кроме того, факторами, определяющими эффективность триплет-триплетного переноса энергии, являются поглощение сенсibilизатора в области длин волн применяемого излучения и эффективность интеркомбинационной конверсии в молекулах сенсibilизатора.

Таблица 12.10. Фотосенсibilизированная димеризация пиримидинов с использованием разных сенсibilизаторов¹¹⁶

Пиримидин	Длина волны применяемого облучения, мкм	Φ 103, моль/Е		
		ацетон ($1 \cdot 10^{-3}$ М)	ацетофенон ($1 \cdot 10^{-3}$ М)	бензофенон ($5 \cdot 10^{-5}$ М)
Урацил	313	4,1	0,39	0,02
Тимин	313	4,2	1,6	11
Оротовая кислота	334	35	22	110

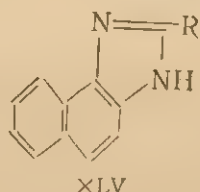
Примечание. Величины молярной экстинкции сенсibilизаторов при использованных длинах волн:

	при 313 мкм	при 334 мкм
Ацетон	0,35	0,02
Ацетофенон	105	27
Бензофенон	880	197

Расщепление фотодимеров

Димерные тиминовые фрагменты, образующиеся при УФ-облучении ДНК, расщепляются при их облучении видимым светом в присутствии фотореактивирующих ферментов. Изучению этого процесса посвящено большое количество работ (см., например, обзор⁶), однако механизм его до настоящего времени окончательно не выяснен.

С целью изучения систем, моделирующих действие фотореактивирующих ферментов, исследовалась возможность фоторасщепления пиримидиновых фотодимеров с помощью химических сенситрифилен-2-сульфоокислоты и нафталин-2,6-дисульфокислоты, а также нафтимидазолы XLV ($R = H$ или CH_2OH)



сенситбилизируют расщепление тиминовых фотодимеров при облучении в области 313 $m\mu$ ²⁵³.

Интересно, что димер типа $d(Np\overline{TpT})$, где N — рибозид нафтимидазола XLV ($R = H$), не расщепляется при облучении светом, поглощаемым этим нафтимидазолом¹²³. Однако данное исследование проводилось в присутствии кислорода (тушитель триплетного состояния), что затрудняет трактовку результатов.

Механизм фотосенситблизованного расщепления тиминовых фотодимеров не установлен. Для фотосенситблизации с помощью сульфокислот показано участие в реакции триплетных состояний²⁵³.

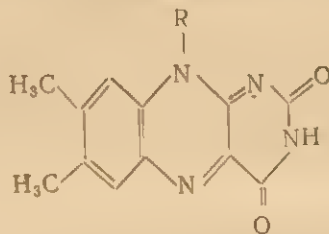
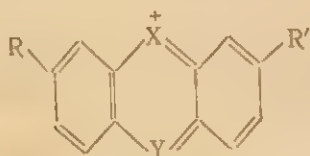
Фотодимеры 1,3-диметилурацила расщепляются при облучении в области длин волн, больших 290 $m\mu$, в присутствии хлоранила²⁵⁴. Показано, что фотореактивирующий фермент из дрожжей расщепляет *цис-син*-, но не *транс-син*-фотодимерные тиминовые фрагменты в облученной денатурированной ДНК¹⁵⁸. Сенситблизация хлоранилом также оказалась избирательной: *транс-анти*-фотодимер 1,3-диметилурацила устойчив в условиях сенситблизации, остальные стереоизомеры расщепляются с различной скоростью²⁵⁴.

Имеются указания¹²³ на расщепление тиминовых фотодимеров при облучении их в водном растворе видимым светом в присутствии уранилацетата; наряду с тимином в этом случае были выделены продукты, строение которых не установлено.

VII. ФОТОДИНАМИЧЕСКИЙ ЭФФЕКТ

Фотодинамическим эффектом, или фотодинамическим действием, в химии нуклеиновых кислот называют сенсibilизированное красителями окисление оснований и их производных при облучении видимым светом в присутствии кислорода. Результатом фотодинамического действия является деструкция главным образом пуриновых оснований и нуклеозидов²⁵⁵⁻²⁵⁸, приводящая в случае нуклеиновых кислот к потере биологической активности²⁵⁹⁻²⁶². При более жестких условиях облучения иногда помимо пуриновых нуклеозидов частично деградируют также тимидин и уридин²⁵⁶.

Сенсibilизаторы. Фотодинамической активностью обладают красители, относящиеся к различным классам. Наиболее изучено фотодинамическое действие метиленового синего XLVI^{255, 256, 263, 267, 270}, тиопиронина XLVII^{261, 271, 273}, акридинового оранжевого XLVIII^{260, 264}, профлавина XLIX^{261, 274}, а также рибофлавина L^{258, 262, 268, 275, 276} и родственных ему люмифлавина LI^{277, 278} и люмихрома LII^{259, 265, 266}.



- XLVI. $X = S$; $Y = N$; $R = R' = N(CH_3)_2$
 XLVII. $X = S$; $Y = CH$; $R = R' = N(CH_3)_2$
 XLVIII. $X = NH$; $Y = CH$; $R = R' = N(CH_3)_2$
 XLIX. $X = NH$; $Y = CH$; $R = R' = NH_2$

- L. $R = CH_2(CHOH)_3CH_2OH$
 LI. $R = CH_3$
 LII. $R = H$

Одним из факторов, обуславливающих фотодинамическую активность красителей, является, по-видимому, их способность образовывать комплексы с определенными гетероциклическими основаниями нуклеиновых кислот^{260, 279}, что характерно, например, для акридинов^{280, 281, 344} и рибофлавина²⁸². Определенную роль играет также, вероятно, способность красителей-сенсibilизаторов подвергаться фотовосстановлению^{256, 283}. Однако общность этих положений строго не доказана, поскольку возможно, что механизм фотодинамического действия различных красителей не одинаков.

Фотодинамическое действие красителей в известной мере специфично. Например, в присутствии тиопиронина, метиленового синего и люмихрома происходит фотоокисление гуанозина и его производных^{255, 256, 263, 264, 267, 271}. Рибофлавин сенсibilизирует фотоокисление главным образом аденозина^{258, 268} и его производных^{257, 276}, а также гуанозина²⁵³. Возможно, что одной из причин такой специфичности является различие в способности красителей

к комплексообразованию с определенными гетероциклическими основаниями.

Факторы, влияющие на скорость фотодинамического окисления. Фотодинамический эффект наблюдается при облучении растворов, в которых концентрация красителя ниже концентрации окисляемого вещества и составляет 10^{-7} — 10^{-4} М²⁵⁶. Кривая зависимости скорости реакции от концентрации красителя имеет колоколообразную форму, т. е. проходит через максимум. При окислении гуанозина в присутствии метиленового синего максимальная скорость реакции наблюдается при соотношении реагентов 1 : 41²⁵⁶. Эффективность фотодинамического действия красителей различна, т. е. при одних и тех же концентрациях разных красителей скорость фотоокисления неодинакова. Количественное сопоставление фотодинамической активности в стандартных условиях было проведено лишь в немногих случаях. Так, показано, что метиленовый синий значительно эффективнее акридинового оранжевого при разрушении гуанозина²⁶⁴; при окислении звеньев гуанозина в составе полинуклеотида это различие в значительной степени сглаживается²⁶⁴.

На основании данных по биологической инактивации ДНК^{262, 273} (например, потере инфекционности) можно расположить красители по уменьшению фотодинамической активности в ряд: тиопиронин, рибофлавин > метиленовый синий > акридиновый оранжевый > люмихром.

Скорость фотодинамического окисления зависит также от pH среды. Как видно из данных табл. 12.11, скорость фотоокисления увеличивается при переходе к pH, превышающим pK_a гетероциклического основания. По-видимому, анионные формы оснований реагируют быстрее нейтральных²⁵⁶. Не исключено, однако, что определенную роль здесь играет ионизация красителей, так как значения pK_a некоторых из них лежат в области pH ~ 9.

Относительная специфичность фотодинамического действия красителей, приводящая к окислительному разрушению определенных гетероциклических оснований, сохраняется при проведении реакции на уровне полинуклеотидов^{255, 259–261, 270}. Однако скорость деградации звеньев гуанозина при облучении ДНК видимым светом в присутствии метиленового синего почти на порядок меньше, чем в случае мономерного нуклеозида²⁵⁶.

При проведении реакции в мягких условиях (низкая концентрация красителя ~ 10^{-7} М, непродолжительное время облучения) не наблюдается расщепления полинуклеотидной цепи или оно протекает лишь в незначительной степени²⁷⁰. В этих условиях, по-видимому, происходит частичное нарушение вторичной структуры двухцепочечных полинуклеотидов^{256, 279}. В более жестких условиях, при повышении концентрации красителя, например, до 10^{-5} М и применении длительного облучения видимым светом, наблюдается деградация полинуклеотидной цепи²⁷⁹. Предполагается, что сначала

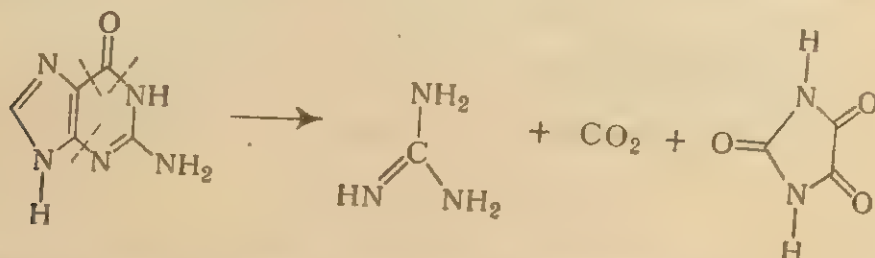
VII ФОТОДИНАМИКА
появляются
двухцепочечные
Таблица 12.11
при облучении

Мочевая кислота
Теофиллин
Ксантин . . .
Ксантозин . . .
Гуанин . . .
Гуанозин . . .
Тимин . . .
Тимидин . . .
Урацил . . .
Гипоксантин
Пурин . . .
6-Хлорпурин
Инозин . . .
Аденозин . . .

* В скобках

Как от
действием
инактивации
потере инф
рующей ак
а также
Сущест
случаев на
нуклеотидн
видимым с
оранжевого
ционности,
тически не
ности в зн
ских основ
Продук
фотосенси
оранжевым
вина и риб
чения. Отс
пользу то
только по
окисление

нию даже при низких дозах облучения углекислого газа, параба-новой кислоты и гуанидина:



Использование гуанина, меченного в различных положениях ^{14}C , показало, что фотодинамическая деградация может идти, по-види-мому, одновременно по нескольким направлениям с расщеплением пиримидинового и имидазольного циклов ^{259, 265, 266}. По-видимому, это справедливо и для других замещенных пуринов ²⁶⁷.

В продуктах фотосенсибилизированного окисления аденина иден-тифицирован в небольших количествах гипоксантин, лабильный в условиях облучения ²⁶⁸. Возможно, что его образование путем окис-лительного дезаминирования является одной из первых стадий де-струкции аденина.

Необходимо отметить, что при проведении фотодинамического окисления нуклеозидов, нуклеотидов или нуклеиновых кислот сле-дует избегать применения трис-буфера, так как в условиях реакций образуются аддукты трис-(оксиметил)-аминометана с продуктами окислительной деструкции ²⁶⁹.

Влияние структурных и других факторов. Способность основа-ний, нуклеозидов и их производных к фотодинамическому окисле-нию зависит от характера и положения заместителей в гетероци-клическом ядре. Так, при облучении в присутствии метиленового синего расщепление пуринового ядра характерно для мочевой кис-лоты, ксантина, 2,6-диаминопурина и ряда других производных. 6-Меркаптопурин и 6-тиогуанозин чувствительны к фотодинамиче-скому действию метиленового синего, однако их окисление, по-ви-димому, не сопровождается полной деградацией пуринового ядра, как можно судить по данным УФ-спектров ^{257, 267}. Полную устойчи-вость к фотодинамическому окислению обнаруживают 8-азапу-рины ^{257, 267}. В исследованных условиях аденин, гипоксантин и 2,6,8-трихлорпурин также устойчивы к фотодинамическому действию метиленового синего ²⁵⁷.

Механизм фотодинамического действия *. Красители, применяе-мые в качестве сенсibilизаторов, поглощают свет в видимой об-ласти, основания нуклеиновых кислот — в ультрафиолетовой об-ласти спектра. Таким образом, при облучении видимым светом мо-гут возбуждаться лишь молекулы красителя. Ряд данных, в част-

* Подробное обсуждение механизмов фотопроцессов, сенсibilизированных красителями, см. 10, 277, 286, 287, 846, 847.

ности результаты, полученные с помощью импульсного фотолиза²⁷⁸ и ингибирования реакции парамагнитными ионами²⁵⁹, свидетельствуют о том, что краситель участвует в реакции в возбужденном триплетном состоянии^{259, 277, 278, 287} (о характеристиках триплетных состояний красителей см.³⁴⁵).

Согласно имеющимся данным, наиболее вероятные механизмы фотодинамического эффекта сводятся к следующему: либо возбужденный краситель реагирует с кислородом и получающееся при этом соединение окисляет производное основания, либо осуществляется перенос энергии сенсibilизатора на кислород, который в возбужденном состоянии реагирует с производным основания^{277, 287}. Прямой перенос энергии сенсibilизатора на производные основания невозможен, так как E_T красителя меньше E_T производного основания. Например, E_T люмифлавина²⁸⁸ составляет $16\,500\text{ см}^{-1}$, а E_T гуанозина⁵⁸ $23\,300\text{ см}^{-1}$. Однако не может быть полностью исключен механизм переноса энергии на производное основания с высших возбужденных уровней триплетного состояния красителя, заселенных в результате двухфотонного процесса²⁸⁹.

VIII. ДЕЙСТВИЕ ВИДИМОГО СВЕТА В ПРИСУТСТВИИ ИОНОВ ЖЕЛЕЗА

При облучении водных растворов оснований нуклеиновых кислот видимым светом в присутствии ионов двух- и трехвалентного железа в нейтральной или слабокислой среде гетероциклические основания полностью или частично расщепляются, о чем свидетельствуют изменения УФ-спектров растворов. Пиримидины расщепляются при этом быстрее пуринов²⁹⁰. В аналогичных условиях нуклеозиды и нуклеотиды наряду с частичной деградацией составляющих оснований претерпевают расщепление N-гликозидной связи с выделением свободного основания. При облучении полинуклеотидов наблюдаются те же процессы, сопровождающиеся, кроме того, частичным гидролизом фосфодиэфирных связей и потерей биологической активности²⁹⁰.

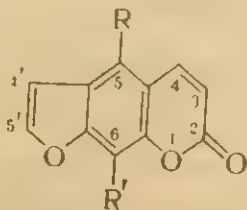
Наличие или отсутствие кислорода практически не влияет на ход фотореакции с ионами трехвалентного железа. Перекись водорода ускоряет реакцию, особенно в присутствии ионов двухвалентного железа.

Механизм данной фотореакции не установлен; по-видимому, одной из стадий является процесс фотосенсибилизации.

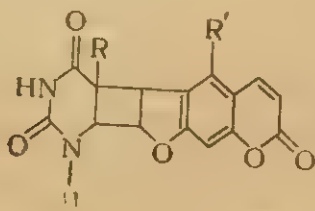
IX. ФОТОРЕАКЦИИ, ВЫЗВАННЫЕ ВОЗБУЖДЕНИЕМ РЕАГЕНТА

Реакция с фурукумаринами. Фотореакция может быть индуцирована возбуждением одного из участвующих во взаимодействии компонентов. Выше рассматривались реакции, в которых в возбу-

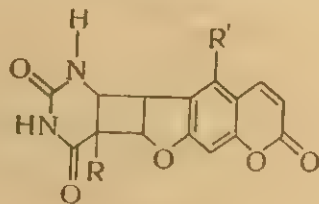
жденном состоянии находится основание нуклеиновой кислоты или его производное. Известно, помимо того, несколько фотореакций реагента. К их числу относятся реакции пириимидиновых производных с фурукумаринами — псораленом LIII и бергаптенем LIV, индуцируемые облучением (при 365 мкм, т. е. в области поглощения фурукумаринов) ²⁹¹⁻²⁹⁶.

LIII ($R=R'=H$)LIV ($R=OCH_3$, $R'=H$)

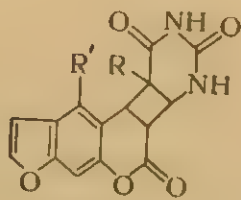
В отсутствие облучения фурукумарины образуют с ДНК нестойкие соединения, по-видимому, комплексной природы ²⁹¹. При облучении водных замороженных растворов фурукумаринов (псоралена или бергаптена) в присутствии по крайней мере 10-кратного избытка тимина или урацила были выделены продукты, содержащие два компонента. На основании их УФ-, ИК-, ЯМР-спектров и ряда других свойств этим компонентам была приписана структура аддуктов типа LV (присоединение по двойной связи C-4'—C-5' фурукумарина) и типа LVI (присоединение по двойной связи C-3—C-4 фурукумарина) ^{293, 294}. В обоих случаях образуются по крайней мере по два изомера (а и б):



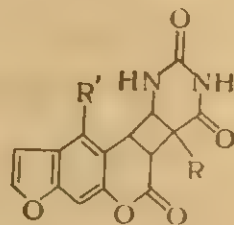
LVa



LVb



LVIIa



LVIIb

$R=H, CH_3$; $R'=H, OCH_3$

Х. ВЛИЯНИЕ К

Аддукты
ротковолно
(250—315 м

В случае
натной тем

C-3—C-4 фу
Продукты ти
ринов в ана
ктеозидами,
и ДНК ²⁹³⁻²⁹

Показано
с цитидином
аддуктов не
тозина реак

Фурукума
реакция про
выше случая
дин реагируе

видимому, ин
УФ-спектрам

Присоеди
ароматическ
зываются с н

плоскостного
клических ос
комплексы с

в водном не
продукты его

турированной
на ход этой р

градирует, по
Место присое

не установлен

Х. ВЛИЯНИЕ
НА ФОТОД

Как уже у
изменению ил

лот. Добавлен
небольших ко
профлавина э
зующих комп
тельному син
акридиновым
товым изд

Аддукты обоих типов фотолabileны. При облучении в более коротковолновом, чем исходное излучение, диапазоне длин волн (250—315 мкм) они расщепляются до исходных соединений²⁹³⁻²⁹⁶.

В случае облучения при 365 мкм в водных растворах при комнатной температуре присоединение идет преимущественно по связи C-3—C-4 фурукумарина с образованием продуктов типа LVI²⁹³. Продукты типа LV и LVI образуются также при реакции фурукумаринов в аналогичных условиях с урацильными и тиминовыми нуклеозидами, нуклеотидами и полинуклеотидами, а также с РНК и ДНК²⁹³⁻²⁹⁶.

Показано, что фурукумарины при облучении реагируют также с цитидином и поли-С, однако структура возникающих при этом аддуктов не исследована. Предполагается, что с производными цитозина реакция идет по другому механизму²⁹⁵.

Фурукумарины при облучении реагируют также с 6-азауридином, реакция протекает значительно медленнее, чем в рассмотренных выше случаях. Продукты ее не исследовались. 5-Бромдезоксипуридин реагирует с фурукумарином, однако реакция протекает, по-видимому, иначе, чем с урацилом и тиминном, как можно судить по УФ-спектрам²⁹⁵.

Присоединение ароматических углеводов. Полициклические ароматические углеводороды способны, хотя и не очень прочно, связываться с нуклеиновыми кислотами, по-видимому, за счет межплоскостного (гидрофобного) взаимодействия с ядрами гетероциклических оснований^{297, 298}. Показано, что 3,4-бензпирен образует комплексы с ДНК²⁹⁹. При облучении в области $\lambda > 300 - 400$ мкм в водном нейтральном растворе 3,4-бензпирен³⁰⁰ или, возможно, продукты его фотопревращения³⁰¹ ковалентно связываются с денатурированной ДНК. Наличие или отсутствие кислорода не влияет на ход этой реакции. ДНК в данных условиях, по-видимому, не деградирует, по крайней мере при непродолжительном облучении³⁰⁰. Место присоединения 3,4-бензпирена или его фотопродуктов к ДНК не установлено.

Х. ВЛИЯНИЕ КОМПЛЕКСООБРАЗОВАТЕЛЕЙ НА ФОТОДИМЕРИЗАЦИЮ

Как уже упоминалось, ультрафиолетовое излучение приводит к изменению или потере биологической активности нуклеиновых кислот. Добавление в раствор нуклеиновой кислоты перед облучением небольших количеств ($10^{-7} - 10^{-5}$ М) акридинового оранжевого³⁰², профлавина^{303, 304}, атебрина, акрифлавина или акридина³⁰⁵, образующих комплексы с нуклеиновыми кислотами, приводит к значительному снижению степени фотоинактивации. Установлено, что акридиновые красители ингибируют вызываемую ультрафиолетовым излучением фотодимеризацию пиримидиновых звеньев

в полинуклеотидной цепи^{303, 306, 307}. Аналогичный эффект оказывает и ряд других соединений, образующих комплексы с ДНК (метиленовый зеленый, производные хинолина, фенантрена)^{348, 349}.

Добавление красителя после облучения не влияет на фотохимические повреждения, однако повторное облучение — уже в присутствии красителя — приводит к уменьшению количества ранее образовавшихся димерных фрагментов^{303, 306}. Ряд данных указывает на то, что красители, ингибирующие фотодимеризацию, не влияют на расщепление фотодимеров и уменьшение количества последних при облучении вызвано сдвигом равновесия между мономерными звеньями оснований в полинуклеотидной цепи и их димерными фрагментами в сторону мономерных остатков из-за замедления димеризации³⁰⁶.

В литературе обсуждаются два возможных механизма защитного действия красителей. Один из них предполагает ингибирование фотодимеризации вследствие стерических затруднений, вызванных интеркаляцией (внедрением) молекул красителя между основаниями полинуклеотида^{301-306, 308}. Согласно второму механизму, защитное действие красителей обусловлено миграцией энергии возбуждения с оснований ДНК на комплексно-связанные с ними молекулы красителя (с последующим высвечиванием ее в виде флуоресценции или конверсией в тепловую энергию)^{302, 305, 350}. В этом процессе основание служит сенситизатором, а краситель акцептором. Ряд данных свидетельствует о возможности такой миграции энергии^{309, 310, 348, 350}. Миграционный механизм позволяет предполагать ингибирование не только фотодимеризации, но и других фото-реакций производных оснований нуклеиновых кислот³⁶⁵.

Ионы металлов (Cu^{2+}), образующие комплексы с основаниями ДНК, также влияют на выход фотодимерных фрагментов, повышая или понижая его в зависимости от структуры комплекса³⁵¹. Возможно, что помимо изменения взаимного расположения оснований в таких комплексах подобный эффект отчасти объясняется изменением энергетических уровней оснований в составе комплекса³⁵¹.

ЛИТЕРАТУРА

1. Шугар Д., в кн. «Нуклеиновые кислоты», под ред. Чаргаффа Э., Дэвидсона Дж., Издательство, 1962, стр. 34—37.
2. McLaren A. D., Shugar D., Photochemistry of Proteins and Nucleic Acids, Pergamon Press, Oxford, 1964.
3. Ваккер А., в кн. «Нуклеиновые кислоты», под ред. Кона В., Дэвидсона Дж., Изд. «Мир», 1965, стр. 412—444.
4. Setlow J. K., in «Current Topics in Radiation Research», Ebert M., Howard A. (eds), North Holland Publishing Company, Amsterdam 1965.
5. Smith K. C., Rad. Res., Suppl., 6, 54 (1966).
6. Setlow J. K., Rad. Res., Suppl., 6, 141 (1966).
7. Johns H. E., in «Radiation Research», Silini G. (ed.), North-Holland Publishing Company, Amsterdam, 1967, p. 733.

ЛИТЕРАТУРА

8. Bugg J. G., Noyes A. A.
9. Турро Н.
10. Калверт
11. Рид С., Воинилит, 1960.
12. Brown I. (1966).
13. Beaven C., Davidson J.
14. Jordan D.
15. Data for Biochemistry, Jones K. M.
16. Франк-Капелков и нуклеиновых кислот, 1967, стр. 118.
17. Венкстербелков и нуклеиновых кислот, 1967.
18. Methods in Biochemistry, Press, N. Y.
19. Mason S. F.
20. Rich A., Proc. Natl. Acad. Sci., 47, 1085 (1955).
21. Krishnan
22. Clarck L.
23. Drobni J.
24. Drobni J.
25. Kleinwachter, 6, 133 (1966).
26. Kleinwachter, 5, 579 (1965).
27. Augenstein
28. Fox J. J., Shugar D.
29. Fox J. J., Shugar D. (1953).
30. Shugar D.
31. Fox J. J., Shugar D.
32. Batt R. D., Soc., 76, 3663 (1953).
33. Janion C.
34. Shulman I.
35. Eisinger J.
36. Longworth, 2930 (1966).
37. Sklar, J. (1966).
38. G. (1966).
39. G. (1966).
40. Co. (1966).
41. Hé. (1966).
42. Rah. (1966).
43. Kasha. (1961).
44. Guéron.

8. Burr J. G., in «Advances in Photochemistry», Pitts J. N., Hammond G. W., Noyes A. A. jr. (eds), Interscience, N. Y., 1969, p. 193.
9. Турро Н., Молекулярная фотохимия, Изд. «Мир», 1967.
10. Калверт Дж., Питтс Дж., Фотохимия, Изд. «Мир», 1968.
11. Рид С., Возбужденные электронные состояния в химии и биологии, Издатинлит, 1960.
12. Brown I. H., Freeman K. B., Johns H. E., J. Mol. Biol., 15, 640 (1966).
13. Beaven G. H., Holiday E. R., in «The Nucleic Acids», Chargraff E., Davidson J. N. (eds.), v. 1, Acad. Press, N. Y., 1955, p. 493—551.
14. Jordan D. O., The Chemistry of Nucleic Acids, London, 1960.
15. Data for Biochemical Research, Dawson R. M. C., Elliott D. C., Elliott W. H., Jones K. M. (eds), Oxford, 1962, p. 74.
16. Франк-Каменецкий М. Д., в кн. «Физические методы исследований белков и нуклеиновых кислот», под ред. Лазуркина Ю. С., Изд. «Наука», 1967, стр. 115.
17. Венкстерн Т. В., Баев А. А., Спектры поглощения минорных компонентов и некоторых олигонуклеотидов рибонуклеиновых кислот, Изд. «Наука», 1967.
18. Methods in Enzymology, v. 3, Colowick S. P., Kaplan N. O. (eds), Acad. Press, N. Y., 1957, p. 720, 800.
19. Mason S. F., J. Chem. Soc., 1959, 1240.
20. Rich A., Proc. Nat. Acad. Sci. US, 46, 1044 (1960).
21. Krishnan V. G., Goodman L., J. Am. Chem. Soc., 83, 2042 (1961).
22. Clark L. B., Tinoco I. jr., J. Am. Chem. Soc. 87, 11 (1965).
23. Drobnik J., Augenstein L., Photochem. Photobiol., 5, 13 (1966).
24. Drobnik J., Augenstein L., Photochem. Photobiol., 5, 83 (1966).
25. Kleinwächter V., Drobnik J., Augenstein L., Photochem. Photobiol., 6, 133 (1967).
26. Kleinwächter V., Drobnik J., Augenstein L., Photochem. Photobiol., 5, 579 (1966).
27. Augenstein L., Studia Biophys., 3, 9 (1967).
28. Fox J. J., Shugar D., Biochim. Biophys. Acta, 9, 369 (1952).
29. Fox J. J., Cavalieri L. F., Chang N., J. Am. Chem. Soc., 75, 4315 (1953).
30. Shugar D., Wierzchowski K. L., Post. Biochem., Suppl. 4, 243 (1958).
31. Fox J. J., Shugar D., Biochim. Biophys. Acta, 9, 199 (1952).
32. Batt R. D., Martin J. K., Ploeser J. M., Murray J., J. Am. Chem. Soc., 76, 3663 (1954).
33. Janion C., Shugar D., Acta Biochim. Polon., 7, 309 (1960).
34. Shulman R. G., Rahn R. O., J. Chem. Phys., 45, 2940 (1966).
35. Eisinger J., Photochem. Photobiol., 7, 597 (1968).
36. Longworth J. W., Rahn R. O., Shulman R. G., J. Chem. Phys., 45, 2930 (1966).
37. Skulachev V. P., Goldstein I. I., Roschupkin R. I., Biochim. Biophys. Acta, 129, 645 (1966).
38. Гольдштейн И. И., Рошупкин Д. И., Скулачев В. П., Биохимия, 31, 927 (1966).
39. Guéron M., Eisinger J., Shulman R. G., J. Chem. Phys., 47, 4077 (1967).
40. Cohen B. J., Goodman L., J. Am. Chem. Soc., 87, 5487 (1965).
41. Hélène C., Santus R., Plix M., C. r., C262, 1349 (1966).
42. Rahn R. O., Shulman R. G., Longworth J. W., Proc. Nat. Acad. Sci. USA, 53, 893 (1965).
43. Kasha M., El-Bayoumi M. A., Rhodes W., J. chim. phys., 58, 916 (1961).
44. Guéron M., Shulman R. G., Ann. Rev. Biochem., 37, 571 (1968).

45. Lamola A. A., Mittal J. P., *Science*, **154**, 1560 (1966).
46. Børrensen H. C., *Acta Chem. Scand*, **17**, 921 (1963).
47. Udenfried S., Zaltzman P., *Anal. Biochem.*, **3**, 49 (1962).
48. Leng M., Pochon F., Michelson A. M., *Biochim. Biophys. Acta*, **169**, 338 (1968).
49. Weller A., *Progr. Reaction Kinetics*, **1**, 189 (1961).
50. Сухоруков Б. И., Полтев В. И., Блюменфельд Л. А., *Биофизика*, **9**, 266 (1964).
51. Данилов В. И., *Биофизика*, **12**, 540 (1967).
52. Pullman B., Pullman A., in «Progress in Nucleic Acid Research and Molecular Biology», v. 9, Davidson J. N., Cohn W. E. (eds), Acad. Press, N. Y. — L., 1969, p. 327.
53. Koudelka J., Augenstein L., *Photochem. Photobiol.*, **7**, 613 (1968).
54. Eisinger J., Guéron M., Shulman R. G., Yamane T., *Proc. Nat. Acad. Sci. USA*, **55**, 1015 (1966).
55. Guéron M., Shulman R. G., Eisinger J., *Proc. Nat. Acad. Sci. USA*, **56**, 814 (1966).
56. Hélène C., Douzou P., Michelson A. M., *Biochim. Biophys. Acta*, **109**, 261 (1965).
57. Rahn R. O., Yamane T., Eisinger J., Longworth J. W., Schulman R. G., *J. Chem. Phys.*, **45**, 2947 (1966).
58. Hélène C., *Biochem. Biophys. Res. Comm.*, **22**, 237 (1966).
59. Lamola A. A., Guéron M., Yamane T., Eisinger J., Schulman R. G., *J. Chem. Phys.*, **47**, 2210 (1967).
60. Pochon F., Leng M., Michelson A. M., *Biochim. Biophys. Acta*, **169**, 350 (1968).
61. Mantione M. J., Pullman B., *Biochim. Biophys. Acta*, **91**, 387 (1964).
62. Pullman B., Mantione M. J., *Biochim. Biophys. Acta*, **95**, 668 (1965).
63. Berthod H., Giessner-Prettre C., Pullman A., *Int. J. Quant. Chem.*, **1**, 123 (1967).
64. Denis A., Pullman A., *Theoret. chim. acta*, **7**, 110 (1967).
65. Pullman B., *Photochem. Photobiol.*, **7**, 525 (1968).
66. Данилов В. И., Шрамко О. В., Дядюша Г. Г., *Биофизика*, **12**, 544 (1967).
67. Дядюша Г. Г., Данилов В. И., Шрамко О. В., *Мол. биол.*, **1**, 539 (1967).
68. Danilov V. I., *Photochem. Photobiol.*, **6**, 233 (1967).
69. Danilov V. I., Kruglyak Y. A., Kuprievitch V. A., Ogloblin V. V., *Theoret. chim. acta*, **14**, 242 (1969).
70. Berthod H., Giessner-Prettre C., Pullman A., *Theoret. chim. acta*, **5**, 53 (1966).
71. Куприевич В. А., Данилов В. И., Шрамко О. В., *Мол. биол.*, **1**, 343 (1967).
72. Данилов В. И., Куприевич В. А., Шрамко О. В., *Биофизика*, **12**, 186 (1967).
73. Данилов В. И., Куприевич В. А., Шрамко О. В., *ДАН СССР*, **177**, 1465 (1967).
74. Пюльман Б., в кн. Пюльмана Б., Пюльмана А. «Квантовая биохимия», Изд. «Мир», 1965, стр. 185.
75. Sinsheimer R. L., Hastings R., *Science*, **110**, 525 (1949).
76. Sinsheimer R. L., *Rad. Res.*, **1**, 505 (1954).
77. Moore A. M., Thomson C. H., in «Progress in Radiobiology», v. 4, Mitchel J. S., Holmes B. E., Smith C. L. (eds.), Edinburg, 1956, p. 75.
78. Fikus M., Wierzchowski K. L., Shugar D., *Photochem. Photobiol.*, **4**, 521 (1965).
79. Moore A. M., *Canad. J. Chem.*, **37**, 1281 (1959).
80. Albert A., in «Heterocyclic Chemistry», London, 1959, p. 82.

ЛИТЕРАТУРА

Moore A.
Moore A.
Wechte
Miller
Chamb
Gattn
Moore
Wang
(1956).
Wang S.
Greens
Biophys.
Burr J.
Burr J.
(1968).
Brown
Fikus M.
Logan
Schust
Shugar
(1958).
Wang S.
Cerutti
90, 771 (1
100. Witkop
101. Smith
102. Smith
103. Smieta
(1961).
104. Wacker
Biol., **3**, 7
105. Dönges
106. Fahr E
(1967).
107. Zachau
108. Hellei
USA, **50**,
109. Wierzo
110. Swens
111. Wang
112. Smith
113. Sztum
114. Beuke
115. Sztum
Photobiol.
116. Green
(1968).
117. Herbe
33, 643 (1
118. Charli
119. Pears
120. Pears
121. De Bo
122. Smith
123. Wacke
mann
chem. P

81. Moore A. M., *Canad. J. Chem.*, **35**, 163 (1957).
82. Moore A. M., *Canad. J. Chem.*, **36**, 281 (1958).
83. Wechter W. J., Smith K. C., *Biochemistry*, **7**, 4064 (1968).
84. Miller N., Cerutti P., *Proc. Nat. Acad. Sci. USA*, **59**, 34 (1968).
85. Chambers R. W., *J. Am. Chem. Soc.*, **90**, 2192 (1968).
86. Gattner H., Fahr E., *Ann.*, **670**, 84 (1963).
87. Moore A. M., Thomson C. H., *Science*, **122**, 594 (1955).
88. Wang S. Y., Apicella M., Stone B. R., *J. Am. Chem. Soc.*, **78**, 4180 (1956).
89. Wang S. Y., *J. Am. Chem. Soc.*, **80**, 6196 (1958).
90. Greenstock C. L., Brown I. H., Hunt J. W., Johns H. E., *Biochem. Biophys. Res. Comm.*, **27**, 431 (1967).
91. Burr J. G., Park E. H., *Rad. Res.*, **31**, 547 (1967).
92. Burr J. G., Gordon B. R., Park E. H., *Photochem. Photobiol.*, **8**, 73 (1968).
93. Brown I. H., Johns H. E., *Photochem. Photobiol.*, **8**, 273 (1968).
94. Fikus M., Shugar D., *Acta Biochim. Polon.*, **13**, 40 (1966).
95. Logan D. M., Whitmore G. F., *Photochem. Photobiol.*, **5**, 143 (1966).
96. Schuster H., *Z. Naturforsch.*, **19b**, 815 (1964).
97. Shugar D., Wierzchowski K. L., *Post. Biochem., Suppl.*, **4**, 243 (1958).
98. Wang S. Y., *Nature*, **190**, 690 (1961).
99. Cerutti P., Kondo Y., Landis W., Witkop B., *J. Am. Chem. Soc.*, **90**, 771 (1968).
100. Witkop B., *Photochem. Photobiol.*, **7**, 813 (1968).
101. Smith K. C., Aplin R. T., *Biochemistry*, **5**, 2125 (1966).
102. Smith K. C., Meun D. H. C., *Biochemistry*, **7**, 1033 (1968).
103. Smietanowska A., Shugar D., *Bull. Acad. Polon. Sci., Cl. II*, **9**, 375 (1961).
104. Wacker A., Weinblum D., Träger L., Moustafa Z. H., *J. Mol. Biol.*, **3**, 790 (1961).
105. Dönges K. H., Fahr E., *Z. Naturforsch.*, **21b**, 87 (1966).
106. Fahr E., Fürst G., Dörhöfer G., Popp H., *Angew. Chem.*, **79**, 235 (1967).
107. Zachau H. G., *Hoppe-Seyler's Z. physiol. Chem.*, **336**, 176 (1964).
108. Helleiner C. W., Pearson M. L., Johns H. E., *Proc. Nat. Acad. Sci. USA*, **50**, 761 (1963).
109. Wierzchowski K. L., Shugar D., *Acta Biochim. Polon.*, **6**, 313 (1959).
110. Swenson P. A., Setlow R. B., *Photochem. Photobiol.*, **2**, 419 (1963).
111. Wang S. Y., *Fed. Proc.*, **24**, pt. 3, S-71 (1965).
112. Smith K. C., *Photochem. Photobiol.*, **2**, 503 (1963).
113. Sztumpf E., Shugar D., *Photochem. Photobiol.*, **4**, 719 (1965).
114. Beukers R., Ijlst J., Berends W., *Rec. trav. chim.*, **78**, 879 (1959).
115. Sztumpf-Kulikowska E., Shugar D., Boag J. W., *Photochem. Photobiol.*, **6**, 41 (1967).
116. Greenstock C. L., Johns H. E., *Biochem. Biophys. Res. Comm.*, **30**, 21 (1968).
117. Herbert M. A., Hunt J. W., Johns H. E., *Biochem. Biophys. Res. Comm.*, **33**, 643 (1968).
118. Charlier M., Hélène C., *Photochem. Photobiol.*, **6**, 501 (1967).
119. Pearson M. L., Johns H. E., *J. Mol. Biol.*, **19**, 303 (1966).
120. Pearson M. L., Johns H. E., *J. Mol. Biol.*, **20**, 215 (1966).
121. De Boer G., Pearson M., Johns H. E., *J. Mol. Biol.*, **27**, 131 (1967).
122. Smith K. C., *Photochem. Photobiol.*, **3**, 1 (1964).
123. Wacker A., Dellweg H., Träger L., Kornhauser A., Lodemann E., Türeck G., Selzer R., Chandra P., Ishimoto M., *Photochem. Photobiol.*, **3**, 369 (1964).

124. Hitchinson F., Koehnlein W., *Rad. Res.*, **31**, 547 (1967).
125. Lion M. B., *Biochim. Biophys. Acta*, **155**, 505 (1968).
126. Berens K., Shugar D., *Acta Biochim. Polon.*, **10**, 25 (1963).
127. Ishihara H., Wang S. Y., *Biochemistry*, **5**, 2307 (1966).
128. Ishihara H., Wang S. Y., *Biochemistry*, **5**, 2302 (1966).
129. Rupp W. D., Prusoff W. H., *Biochem. Biophys. Res. Comm.*, **18**, 145 (1965).
130. Rupp W. D., Prusoff W. H., *Biochem. Biophys. Res. Comm.*, **18**, 158 (1965).
131. Danziger R. M., Hayon E., Langmuir M. E., *J. Phys. Chem.*, **72**, 3842 (1968).
132. Wacker A., Dellweg H., Weinblum D., *J. Mol. Biol.*, **3**, 787 (1961).
133. Rothman W., Kearns D. R., *Photochem. Photobiol.*, **6**, 775 (1967).
134. Kittler L., Berg H., *Photochem. Photobiol.*, **6**, 199 (1967).
135. Kittler L., Berg H., *J. Electroanal. Chem.*, **16**, 251 (1968).
136. Kittler L., Löber G., *Studia Biophys.*, **3**, 65 (1967).
137. Fahr E., Kleber R., Boebinger E., *Z. Naturforsch.*, **21b**, 219 (1966).
138. Wang S. Y., *Nature*, **184**, Suppl. 4, 184 (1959).
139. Daniels M., Grimison A., *Biochim. Biophys. Acta*, **142**, 292 (1967).
140. Beukers R., Berends W., *Biochim. Biophys. Acta*, **41**, 550 (1960).
141. Beukers R., Berends W., *Biochim. Biophys. Acta*, **49**, 181 (1961).
142. Fuchtbauer W., Mazur P., *Photochem. Photobiol.*, **5**, 323 (1966).
143. Ishihara H., *Photochem. Photobiol.*, **2**, 455 (1963).
144. Wang S. Y., *Nature*, **200**, 879 (1963).
145. Sztumpf E., Shugar D., *Biochim. Biophys. Acta*, **61**, 555 (1962).
146. Johns H. E., Rapaport S. A., Delbrück M., *J. Mol. Biol.*, **4**, 104 (1962).
147. Deering R. A., Setlow R. B., *Biochim. Biophys. Acta*, **68**, 526 (1963).
148. Setlow R. B., Carrier W. L., Bollum F. J., *Biochim. Biophys. Acta*, **91**, 446 (1964).
149. Setlow R. B., Carrier W. L., *J. Mol. Biol.*, **17**, 237 (1966).
150. Wulff D. L., Fraenkel G., *Biochim. Biophys. Acta*, **51**, 332 (1961).
151. Blackburn G. M., Davies R. J. H., *Biochem. Biophys. Res. Comm.*, **22**, 704 (1966).
152. Blackburn G. M., Davies R. J. H., *J. Chem. Soc.*, **1966**, 2239.
153. Weinheim D., Johns H. E., *Biochim. Biophys. Acta*, **114**, 450 (1966).
154. Weinblum D., *Biochem. Biophys. Res. Comm.*, **27**, 384 (1967).
155. v. Wilucki I., Mátthäus H., Krauch C. H., *Photochem. Photobiol.*, **6**, 497 (1967).
156. Johns H. E., Pearson M. L., Le Blanc J. C., Helleiner C. W., *J. Mol. Biol.*, **9**, 503 (1964).
157. Blackburn G. M., Davies R. J., *J. Am. Chem. Soc.*, **89**, 5941 (1967).
158. Ben-Hur E., Ben-Ishai R., *Biochim. Biophys. Acta*, **166**, 9 (1968).
159. Varghese A. J., Wang S. Y., *Science*, **160**, 186 (1968).
160. Varghese A. J., Wang S. Y., *Science*, **156**, 955 (1967).
161. Rahn R. O., Hosszu J. L., *Photochem. Photobiol.*, **8**, 53 (1968).
162. Stafford R. S., Donnelan J. E., *Proc. Nat. Acad. Sci. USA*, **59**, 822 (1968).
163. Smith K. C., Yoshikawa H., *Photochem. Photobiol.*, **5**, 777 (1966).
164. Wang S. Y., Varghese A. J., *Biochem. Biophys. Res. Comm.*, **29**, 543 (1967).
165. Pearson M. L., Ottensmeyer F. P., Johns H. E., *Photochem. Photobiol.*, **4**, 739 (1965).
166. Wang S. Y., Varghese A. J., *Biochem. Biophys. Res. Comm.*, **33**, 102 (1968).
167. Wacker A., Träger L., *Z. Naturforsch.*, **18b**, 13 (1963).
168. Beukers R., Ijlststra J., Berends W., *Rec. trav. chim.*, **78**, 883 (1959).

169. Setlow R. B., *Science*, **153**, 1430 (1964).
170. Cook R. J., *Science*, **153**, 1430 (1964).
171. Wang S. Y., *Science*, **153**, 1430 (1964).
172. Davis R. J., *Science*, **153**, 1430 (1964).
173. Gerdt R., *Science*, **153**, 1430 (1964).
174. Wacker A., *Science*, **153**, 1430 (1964).
175. Rahn R., *Science*, **153**, 1430 (1964).
176. Hosszu J., *Science*, **153**, 1430 (1964).
177. Barancov S., *Science*, **153**, 1430 (1964).
178. Smith K., *Science*, **153**, 1430 (1964).
- 178a. Marmur J., *Science*, **153**, 1430 (1964).
179. Савич А., *Science*, **153**, 1430 (1964).
- 179a. Завилья М., *Science*, **153**, 1430 (1964).
- 179b. Завилья М., *Science*, **153**, 1430 (1964).
180. Glisic V., *Science*, **153**, 1430 (1964).
181. Eisinger R., *Science*, **153**, 1430 (1964).
182. Elad D., *Science*, **153**, 1430 (1964).
183. Ben-Hur E., *Science*, **153**, 1430 (1964).
184. Kornhau J., *Science*, **153**, 1430 (1964).
185. Lamola A., *Science*, **153**, 1430 (1964).
186. Eisinger R., *Science*, **153**, 1430 (1964).
187. Lamola A., *Science*, **153**, 1430 (1964).
188. Lamola A., *Science*, **153**, 1430 (1964).
189. Alcántar A., *Science*, **153**, 1430 (1964).
190. Alcántar A., *Science*, **153**, 1430 (1964).
191. Wang S. Y., *Science*, **153**, 1430 (1964).
192. Daniels M., *Science*, **153**, 1430 (1964).
193. Ekert B., *Science*, **153**, 1430 (1964).
194. Yamane T., *Science*, **153**, 1430 (1964).
195. Pershan A., *Science*, **153**, 1430 (1964).
196. Ballé G., *Science*, **153**, 1430 (1964).
197. Kondo Y., *Science*, **153**, 1430 (1964).
198. Günter H., *Science*, **153**, 1430 (1964).
199. Günter H., *Science*, **153**, 1430 (1964).
200. Sinsheim J., *Science*, **153**, 1430 (1964).
201. Wierzechowski J., *Science*, **153**, 1430 (1964).
202. Wierzechowski J., *Science*, **153**, 1430 (1964).
203. Fikus M., *Science*, **153**, 1430 (1964).
204. Kleber R., *Science*, **153**, 1430 (1964).
205. Becker H., *Science*, **153**, 1430 (1964).
206. Wierzechowski J., *Science*, **153**, 1430 (1964).
207. Wierzechowski J., *Science*, **153**, 1430 (1964).

169. Setlow J. K., Boling M. E., Bollum F. J., Proc. Nat. Acad. Sci. USA, 53, 1430 (1965).
170. Cook J. S., Photochem. Photobiol., 6, 97 (1967).
171. Wang S. Y., Photochem. Photobiol., 3, 395 (1964).
172. Davis S. L., Tinoco I., Nature, 210, 1286 (1966).
173. Gerdil R., Acta Cryst., 14, 333 (1961).
174. Wacker A., Lodemann E., Angew. Chem., 77, 133 (1965).
175. Rahn R. O., Hosszu J. L., Photochem. Photobiol., 7, 637 (1968).
176. Hosszu J. L., Rahn R. O., Biochim. Biophys. Res. Comm., 29, 327 (1967).
177. Baranowska J., Shugar D., Acta Biochim. Polon., 7, 505 (1960).
178. Smith K. C., O'Leary M. E., Science, 155, 1024 (1967).
- 178a. Marmur J., Grossman L., Proc. Nat. Acad. Sci. USA, 47, 778 (1961).
179. Савич А. П., Завильгельский Г. Б., ДАН СССР, 162, 952 (1965).
- 179a. Завильгельский Г. Б., Борисова О. Ф., Минченкова Л. Е., Минят Э. Е., Биохимия, 29, 508 (1964).
- 179b. Завильгельский Г. Б., Минченкова Л. Е., Минят Э. Е., Савич А. П., Биохимия, 30, 652 (1965).
180. Glišin V. P., Doty P., Biochim. Biophys. Acta, 142, 314 (1967).
181. Eisinger J., Shulman R. G., Proc. Nat. Acad. Sci. USA, 58, 895 (1967).
182. Elad D., Krüger C., Smidt G. M. J., Photochem. Photobiol., 6, 495 (1967).
183. Ben-Hur E., Elad D., Ben-Ishai R., Biochim. Biophys. Acta, 149, 355 (1967).
184. Kornhauser A., Herac J. N., Trinaistic W., Chem. Comm., 1968, 1108.
185. Lamola A. A., Eisinger J., Proc. Nat. Acad. Sci. US, 59, 46 (1968).
186. Eisinger J., Lamola A. A., Biochem. Biophys. Res. Comm., 28, 558 (1967).
187. Lamola A. A., Yamane T., Proc. Nat. Acad. Sci. USA, 58, 443 (1967).
188. Lamola A. A., Photochem. Photobiol., 7, 619 (1968).
189. Alcántara R., Wang S. Y., Photochem. Photobiol., 4, 473 (1965).
190. Alcántara R., Wang S. Y., Photochem. Photobiol., 4, 465 (1965).
191. Wang S. Y., Alcántara R., Photochem. Photobiol., 4, 477 (1965).
192. Daniels M., Scholes G., Weiss J., Wheeler C. M., J. Chem. Soc., 1957, 226.
193. Ekert B., Monier R., Nature, 184, B. A. 58 (1959).
194. Yamane T., Wiluda B. J., Shulman R. G., Proc. Nat. Acad. Sci. USA, 58, 439 (1967).
195. Pershan P. S., Shulman R. G., Wiluda B. J., Eisinger J., Physics, 1, 163 (1964).
196. Ballé G., Cerutti P., Witkop B., J. Am. Chem. Soc., 88, 3946 (1966).
197. Kondo Y., Witkop B., J. Am. Chem. Soc., 90, 764 (1968).
198. Günter H. L., Prusoff W. H., Biochim. Biophys. Acta, 149, 361 (1967).
199. Günter H. L., Prusoff W. H., Biochim. Biophys. Acta, 142, 304 (1967).
200. Sinsheimer R. L., Rad. Res., 6, 121 (1957).
201. Wierzchowski K. L., Shugar D., Biochim. Biophys. Acta, 25, 355 (1957).
202. Wierzchowski K. L., Shugar D., Acta Biochim. Polon., 8, 219 (1961).
203. Fikus M., Wierzchowski K. L., Shugar D., Photochem. Photobiol., 1, 325 (1962).
204. Kleber R., Fahr E., Boebinger E., Z. Naturwiss., 52, 513 (1965).
205. Becker H., Le Blanc J. C., Johns H. E., Photochem. Photobiol., 6, 733 (1967).
206. Wierzchowski K. L., Shugar D., Photochem. Photobiol., 1, 21 (1962).
207. Wierzchowski K. L., Shugar D., Acta Biochim. Polon., 7, 377 (1960).

208. Freeman K. B., Hariharan P. V., Johns H. E., *J. Mol. Biol.*, 13, 833 (1965).
209. Setlow R. B., Carrier W. L., Bollum F. J., *Proc. Nat. Acad. Sci. USA*, 53, 1111 (1965).
210. Small G. D., Tao M., Gordon M. P., *J. Mol. Biol.*, 38, 75 (1968).
211. Johns H. E., Le Blanc J. C., Freeman K. B., *J. Mol. Biol.*, 13, 849 (1965).
212. Hariharan P. V., Johns H. E., *Photochem. Photobiol.*, 7, 239 (1968).
213. Janion C., Shugar D., *Acta Biochim. Polon.*, 15, 261 (1968).
214. Small G. D., Gordon M. P., *J. Mol. Biol.*, 34, 281 (1968).
215. Shapiro R., Klein R. S., *Biochemistry*, 6, 3576 (1967).
216. Janion C., Shugar D., *Acta Biochim. Polon.*, 14, 293 (1967).
217. Moore A. M., *Canad. J. Chem.*, 41, 1937 (1963).
218. Pitha P. M., Butler G. C., *Canad. J. Biochem.*, 46, 893 (1968).
219. Moore A. M., *Rad. Res.*, 16, 610 (1962).
220. Wierzchowski K. L., Shugar D., *Acta Biochim. Polon.*, 7, 63 (1960).
221. Hélène C., Douzou P., *C. r.* 258, 196 (1964).
222. Hélène C., Haug A., Delbrück M., Douzou P., *C. r.*, 259, 3385 (1964).
223. Hélène C., Rivial J. L., Pochon F., *C. r.*, 264, 861 (1967).
224. Haug A., *Photochem. Photobiol.*, 3, 207 (1964).
225. Dellweg H., Wacker A., *Z. Naturforsch.*, 17b, 827 (1962).
226. Merriam V., Gordon M. P., *Photochem. Photobiol.*, 6, 309 (1967).
227. Hariharan P. V., Johns H. E., *Photochem. Photobiol.*, 8, 11 (1968).
228. Hariharan P. V., Johns H. E., *Canad. J. Biochem.*, 48, 911 (1968).
229. Valentine D., Turro N. J., Hammond G. S., *J. Am. Chem. Soc.*, 86, 5202 (1964).
230. Taylor E. C., Kan R. O., *J. Am. Chem. Soc.*, 85, 776 (1963).
231. Setlow R. B., Carrier W. L., *Photochem. Photobiol.*, 2, 49 (1963).
232. Tao M., Gordon M. P., Nester E. W., *Biochemistry*, 5, 4146 (1966).
233. Ono J., Wilson R. G., Grossman L., *J. Mol. Biol.*, 11, 600 (1965).
234. Carter C. E., *J. Am. Chem. Soc.*, 72, 1835 (1950).
235. Errera M., *Biochim. Biophys. Acta*, 8, 30 (1952).
236. Cristensen E., Giese A. C., *Arch. Biochem. Biophys.*, 51, 208 (1954).
237. Heyroth F. F., Loufbourrow J. R., *J. Am. Chem. Soc.*, 53, 3441 (1931).
238. Rapport D., Canzanelli A., *Science*, 112, 469 (1950).
239. Canzanelli A., Guild R., Rapport D., *Am. J. Physiol.*, 167, 364 (1951).
240. Klaud M. J., Johnson L. A., *J. Am. Chem. Soc.*, 79, 6187 (1957).
241. Fellig J., *Science*, 119, 129 (1954).
242. Levin G., Brown G. B., *Fed. Proc.*, 21, 372 (1962).
243. Brown G. B., Levin G., Murphy S., *Biochemistry*, 3, 880 (1964).
244. Levin G., Setlow R. B., Brown G. B., *Biochemistry*, 3, 883 (1964).
245. Cramer F., Schlingloff G., *Tetrahedron Letters*, 1964, 3201.
246. Linschitz H., Connolly J. S., *J. Am. Chem. Soc.*, 90, 2979 (1968).
247. Connolly J. S., Linschitz H., *Photochem. Photobiol.*, 7, 791 (1968).
248. Rabek J. F., *Photochem. Photobiol.*, 7, 5 (1968).
249. Теренин А. Н., Ермолаев В. Л., *Изв. АН СССР, сер. физ.*, 1956, 471.
250. Krauch C. H., Krämer D. M., Chandra P., Mildner P., Fellig H., Wacker A., *Angew. Chem.*, 79, 944 (1967).
251. Kearns D. R., Case W. A., *J. Am. Chem. Soc.*, 88, 5087 (1966).
252. Borkman R. F., Kearns D. R., *J. Chem. Phys.*, 44, 945 (1966).
253. Lamola A. A., *J. Am. Chem. Soc.*, 88, 813 (1966).
254. Rosenthal J., Elad D., *Biochem. Biophys. Res. Comm.*, 32, 599 (1968).
255. Simon M. J., Van Vunakis H., *J. Mol. Biol.*, 4, 488 (1962).
256. Simon M. J., Van Vunakis H., *Arch. Biochem. Biophys.*, 105, 197 (1964).

257. Zenda 13, 1108
258. Uehara (1964).
259. Susse (1963).
260. Sastry
261. Singer
262. Tsugita (1965).
263. Waskel 129, 49 (1963).
264. Sastry
265. Sussenb 263 (1964)
266. Sussenb (1965).
267. Friedma
268. Uehara (1966).
269. Van Vun mistry, 5, 3
270. Simon M (1965).
271. Wacker A
272. Dellweg
273. Wacker A
274. Bellin J.
275. Uehara K (Japan), 59,
276. Uehara K (Japan), 59,
277. Knowles
278. Knowles
279. Freifelde 389 (1961).
280. Galley W.
281. Kubota J.
282. Roth J. A.,
283. Oster G., *Chem. Soc.*,
284. Bellin J. S.
285. Bellin J. S.
286. Теренин А
287. Livingsto
288. Lhoste J. (1966).
289. Hélène C.,
290. Singer B.
291. Musajo L.,
292. Musajo L.,
293. Musajo L., Exp (1967).
294. Musajo L., *Photochem. Ph*

257. Zenda K., Saneyoshi M., Chihara G., Chem. Pharm. Bull. (Tokyo), **13**, 1108 (1965).
258. Uehara K., Mizoguchi T., Okada Y., J. Biochem. (Japan), **55**, 685 (1964).
259. Sussenbach J. S., Berends W., Biochim. Biophys. Acta, **76**, 154 (1963).
260. Sastry K. S., Gordon M. P., Biochim. Biophys. Acta, **129**, 32 (1966).
261. Singer B., Fraenkel-Conrat H., Biochemistry, **5**, 2446 (1966).
262. Tsugita A., Okada Y., Uehara K., Biochim. Biophys. Acta, **103**, 360 (1965).
263. Waskell L. A., Sastry K. S., Gordon M. P., Biochim. Biophys. Acta, **129**, 49 (1966).
264. Sastry K. S., Gordon M. P., Biochim. Biophys. Acta, **129**, 42 (1966).
265. Sussenbach J. S., Berends W., Biochem. Biophys. Res. Comm., **16**, 263 (1964).
266. Sussenbach J. S., Berends W., Biochim. Biophys. Acta, **95**, 184 (1965).
267. Friedman P. A., Biochim. Biophys. Acta, **166**, 1 (1968).
268. Uehara K., Mizoguchi T., Hosomi S., J. Biochem. (Japan), **59**, 550 (1966).
269. Van Vunakis H., Seaman E., Kahan L., Kaplan J. W., Biochemistry, **5**, 3986 (1966).
270. Simon M. I., Grossman L., Van Vunakis H., J. Mol. Biol., **12**, 50 (1965).
271. Wacker A., Türck G., Gerstenberger A., Naturwiss., **50**, 377 (1963).
272. Dellweg H., Werner O., Biophysik, **3**, 241 (1966).
273. Wacker A., Chandra P., Studia Biophys., **3**, 239 (1967).
274. Bellin J. S., Oster G., Biochim. Biophys. Acta, **42**, 533 (1960).
275. Uehara K., Mizoguchi T., Okada Y., Umemoto J., J. Biochem. (Japan), **59**, 556 (1966).
276. Uehara K., Mizoguchi T., Okada Y., Kuwashima J., J. Biochem. (Japan), **59**, 443 (1966).
277. Knowles A., Studia Biophys., **3**, 97 (1967).
278. Knowles A., Roe E. M. F., Photochem. Photobiol., **7**, 421 (1968).
279. Freifelder D., Davidson P. F., Geiduschek E. R., Biophys. J., **1**, 389 (1961).
280. Galley W. C., Biopolymers, **6**, 1279 (1968).
281. Kubota J., Miura M., Bull. Chem. Soc. Japan, **40**, 2989 (1967).
282. Roth J. A., McCormick D. B., Photochem. Photobiol., **6**, 657 (1967).
283. Oster G., Bellin J. S., Kimball R. W., Schrader M. E., J. Am. Chem. Soc., **81**, 5095 (1959).
284. Bellin J. S., Grossman L. J., Photochem. Photobiol., **4**, 45 (1965).
285. Bellin J. S., Yankus C. A., Biochim. Biophys. Acta, **112**, 363 (1966).
286. Теренин А. Н., Фотоника молекул красителей, Изд. «Наука», 1967.
287. Livingston R., Studia Biophys., **3**, 1 (1967).
288. Lhoste J. M., Haug A., Hemmerich P., Biochemistry, **5**, 3290 (1966).
289. Hélène C., Studia Biophys., **3**, 43 (1967).
290. Singer B., Fraenkel-Conrat H., Biochemistry, **4**, 226 (1965).
291. Musajo L., Rodighiero G., Breccia A., Dall'Aqua F., Malesani G., Photochem. Photobiol., **5**, 739 (1966).
292. Musajo L., Rodighiero G., Breccia A., Dall'Aqua Z., Malesani G., Experientia, **22**, 75 (1966).
293. Musajo L., Bordin F., Bevilacqua R., Photochem. Photobiol., **6**, 927 (1967).
294. Musajo L., Bordin F., Caporale G., Marciani S., Rigati G., Photochem. Photobiol., **6**, 711 (1967).

295. Krauch C. H., Krämer D. M., Wacker A., *Photochem. Photobiol.*, **6**, 341 (1967).
296. Krauch C. H., *Strahlentherapie*, **136**, 250 (1968).
297. Ts'o P. O. P., Lu P., *Proc. Nat. Acad. Sci. US*, **51**, 17 (1964).
298. Brookes P., Lawley P. D., *Nature*, **202**, 781 (1964).
299. Ball J. K., McCarter J. A., Smith M. F., *Biochim. Biophys. Acta*, **103**, 275 (1965).
300. Ts'o P. O. P., Lu P., *Proc. Nat. Acad. Sci. USA*, **51**, 272 (1964).
301. Reske G., Stauff J., *Z. Naturforsch.*, **20b**, 15 (1965).
302. Завильгельский Г. Б., Ильяшенко Б. Н., Минят Э. Е., Рудченко О. Н., *ДАН СССР*, **155**, 937 (1964).
303. Beukers R., *Photochem. Photobiol.*, **4**, 935 (1965).
304. Setlow R. B., Setlow R. B., *Nature*, **213**, 907 (1967).
305. Завильгельский Г. Б., Рудченко О. Н., Данилейченко В. В., *Биофизика*, **14**, 34 (1969).
306. Setlow R. B., Carrier W. L., *Nature*, **213**, 906 (1967).
307. Klimek M., Vlášínová M., *Studia Biophys.*, **3**, 249 (1967).
308. Setlow R. B., *Science*, **153**, 379 (1966).
309. Well G., Calvin M., *Biopolymers*, **1**, 401 (1963).
310. Владимиров Ю. А., Гарлоев В. Н., в сб. «Молекулярная биофизика», под ред. Франка Г. М., Изд. «Наука», 1965, стр. 149.
311. Michelson A. M., Pochon F., *Biochim. Biophys. Acta*, **174**, 604 (1969).
312. Whillans D. W., Herbert M. A., Hunt J. W., Johns H. E., *Biochem. Biophys. Res. Comm.*, **36**, 912 (1969).
313. Pietrzykowska I., Shugar D., *Biochem. Biophys. Res. Comm.*, **37**, 225 (1969).
314. Evans N. A., Savige W. E., McLaren A. D., *Photochem. Photobiol.*, **9**, 515 (1969).
315. Kondo Y., Witkop B., *J. Am. Chem. Soc.*, **91**, 5264 (1969).
316. Smith K. C., *Biochem. Biophys. Res. Comm.*, **34**, 354 (1969).
317. Goddard V., Streeter D., Weber C., Gordon M. P., *Photochem. Photobiol.*, **5**, 213 (1966).
318. Werbin H., Valentine R. C., Hidalgo-Salvatierra O., McLaren A. D., *Photochem. Photobiol.*, **7**, 253 (1968).
319. Khattak M. N., Wang S. Y., *Science*, **163**, 1341 (1969).
320. Whillans D. W., Johns H. E., *Photochem. Photobiol.*, **9**, 323 (1969).
321. Pleiss M., Ochiai H., Cerutti P. A., *Biochem. Biophys. Res. Comm.*, **34**, 70 (1969).
322. Favre A., Yaniv M., Michelson A. M., *Biochem. Biophys. Res. Comm.*, **37**, 266 (1969).
323. Lis A. W., Allen F. W., *Biochim. Biophys. Acta*, **49**, 190 (1961).
324. Tomasz M., Chambers R. W., *J. Am. Chem. Soc.*, **86**, 4216 (1964).
325. Tomasz M., Chambers R. W., *Biochemistry*, **5**, 773 (1966).
326. Kittler L., Löber G., *Studia Biophys.*, **6**, 41 (1968).
327. Kittler L., Löber G., *Photochem. Photobiol.*, **10**, 35 (1969).
328. Pietrzykowska I., Shugar D., *Science*, **161**, 1248 (1968).
329. Morrison H., Feely A., Kleopfer R., *Chem. Comm.*, **1968**, 358.
330. Hollis D. P., Wang S. Y., *J. Org. Chem.*, **32**, 1620 (1967).
331. Camerman N., Nyburg S. C., Weinblum D., *Tetrahedron Letters*, **1967**, 4127.
332. Einstein J. R., Hosszu J. L., Longworth J. W., Rahn R. O., Wei C. H., *Chem. Comm.*, **1967**, 1063.
333. Longworth J. W., *Proc. Nat. Acad. Sci. US*, **59**, 829 (1968).
334. Rahn R. O., Hosszu J. L., *Photochem. Photobiol.*, **10**, 131 (1969).
335. Rahn R. O., Setlow J. K., Hosszu J. L., *Biophys. J.*, **9**, 510 (1969).
336. Rahn R. O., Hosszu J. L., *Biochim. Biophys. Acta*, **190**, 126 (1969).

ЛІТЕРАТУРА

337. Herchem.
338. Tra 16, 83
339. Mo
340. Lis
341. Gros (1968)
342. Lam
343. Ben (1968)
344. Bla
345. Cha
346. Kea
347. Gro
348. Suth 545
349. Suth
350. Suth
351. Suth
352. Sma
353. Setl

337. Herbert M. A., LeBlanc J. C., Weinblum D., Johns H. E., Photochem., Photobiol., 9, 33 (1969).
338. Tramer Z., Wierzchowski K. L., Shugar D., Acta Biochim. Polon., 16, 83 (1969).
339. Morrison H., Kleopfer R., J. Am. Chem. Soc., 90, 5037 (1968).
340. Lisewski R., Wierzchowski K. L., Chem. Comm., 1969, 348.
341. Grossman L., Rodgers E., Biochem. Biophys. Res. Comm., 33, 975 (1968).
342. Lamola A. A., Photochem. Photobiol., 9, 291 (1969).
343. Ben-Ishai R., Ben-Hur E., Hornfeld Y., Israel J. Chem., 6, 769 (1968).
344. Blake A., Peacocke A. R., Biopolymers, 6, 1225 (1968).
345. Chambers R. W., Kearns D. R., Photochem. Photobiol., 10, 215 (1969).
346. Kearns D. R., Khan A. U., Photochem. Photobiol., 10, 193 (1969).
347. Grossweiner L. J., Photochem. Photobiol., 10, 183 (1969).
348. Sutherland J. C., Sutherland B. M., Biochim. Biophys. Acta, 190, 545 (1969).
349. Sutherland B. M., Sutherland J. C., Biophys. J., 9, 1045 (1969).
350. Sutherland B. M., Sutherland J. C., Biophys. J., 9, 292 (1969).
351. Sutherland B. M., Sutherland J. C., Biophys. J., 9, 1329 (1969).
352. Small G. D., Tao M., Gordon M. P., J. Mol. Biol., 38, 75 (1968).
353. Setlow R. B., Progr. Nucl. Acid Res., 8, 257 (1968).

ПРЕДМЕТНЫЙ УКАЗАТЕЛЬ

Аддаза (Дезоксинуклеотидилтрансфераза терминальная) 97—102
 «Адресующие» агенты 377, 378
 Аденилиладенилилцитидиловая кислота 588
 Аденилиладениловая кислота 556
 Аденилиладенозин 245, 246
 гидролиз 556, 566
 изотопный обмен 327
 ионизация 244
 оптические свойства 238, 239, 241
 фотореакции 673
 Аденилиладенозинциклофосфат 242, 244
 Аденилилгуанилилцитидиловая кислота 588
 Аденилилгуаниловая кислота 556
 Аденилилгуанозин 238, 240, 241, 245, 327
 Аденилилуридиловая кислота 556, 588
 Аденилилуридин 245
 алкилирование 363, 368, 596
 восстановление 342
 ионизация 244
 оптические свойства 238—241
 Аденилилцитидиловая кислота 588
 Аденилилцитидин 245
 гидролиз 556, 566
 ионизация 244
 оптические свойства 238—241, 243
 Адениловая кислота
 возбужденные состояния 623
 восстановление 341
 ионизация 195
 N-окись, полимер 676
 олигомер 283, 284, 597, 598
 полимер см. Полиадениловая кислота
 сополимер с гуаниловой кислотой 106
 — с уридиловой кислотой 287
 — с цитидиловой кислотой 470
 спектры 243

Аденилянтарная кислота 445
 Аденин 21, 25, 206
 ацилирование 407
 возбужденные состояния 623, 625, 630, 673
 гомоассоциация 224, 227—229, 232
 ионизация 178—183, 186, 191—193
 индексы свободной валентности 198
 комплементарные пары 28, 217 сл., 421
 конформация 127
 окисление 391, 473
 N-окись 391, 446, 447, 674, 676
 расщепление 439, 445, 446
 реакции с альдегидами 414
 — с гидроксиламином 472
 таутомерия 149, 162—165, 625
 фотореакции 673, 674, 677
 электронная структура 148, 154—156, 630, 631
 энергетические параметры 159—161, 165
 S-Аденозилметионин 505
 Аденозин [9-(β -D-Рибофуранозил)-аденин] 21, 25, 49
 алкилирование 361, 367, 372, 375—377, 522, 523
 арилирование 370
 ацилирование 386, 405, 407
 восстановление 337, 340, 341
 галоидирование 316, 317
 гидролиз гликозидной связи 486, 487, 489, 497, 499, 500, 504
 гомоассоциация 231, 234
 изотопный обмен 327
 ионизация 183, 186, 189—193
 конформация 131—133, 135, 136
 образование из РНК 547
 окисление 388, 389, 391, 414, 508
 N-окись 388—390, 446, 447, 674—676

Аденозин
 расщепление
 реакции с азотом
 — с акрилоном
 — с альдегидом
 — с ацетальдегидом
 — с гидразином
 — с гидроксидом
 — с диметиламином
 — с солями
 спектры 180, 17
 таутомерия 17
 фотореакции
 циклонуклеозиды
 электронная структура
 Аденозинбензилфосфат
 Аденозиндифосфат
 Аденозиндифосфат
 Аденозин-5'-трифосфат
 Аденозин-2',3',5'-трифосфат
 Аденозин-2'-фосфат
 гидролиз 543—545
 ионизация 189
 Аденозин-2'(3')-фосфат
 гидролиз 500
 образование
 окисление 611
 расщепление
 реакции с альдегидом
 — с гидразином
 — с солями
 Аденозин-3'-фосфат
 ацилирование
 гидролиз 17
 ионизация 17
 конформация
 образование
 N-окись 446,
 производные
 фотореакции
 Аденозин-5'-фосфат
 алкилирование
 возбужденные состояния
 гидролиз 500
 — фосфозиды
 гомоассоциация
 изотопный обмен
 ионизация 1
 конформация
 образование
 окисление 53

Аденозин

- производные 54, 139, 225, 231, 316, 514
- расщепление 439, 442, 450
- реакции с азотистой кислотой 417, 418
- с акрилонитрилом 382
- с альдегидами 387, 409, 411
- с ацеталями 421
- с гидразином 462
- с гидроксиламинами 348, 472
- с диметиламинометанами 421
- с солями диазония 323
- спектры 180, 181, 239
- таутомерия 176, 177
- фотореакции 673, 681, 683, 684
- циклонуклеозиды 138, 139, 371, 448
- электронная структура 358
- Аденозинбензилпирофосфат 368
- Аденозинбензилфосфаты 550, 554
- Аденозиндифосфат 189, 342, 543
- Аденозиндифосфатглюкоза 368
- Аденозин-5'-трифосфат 105, 106, 189, 673
- Аденозин-2',3',5'-трифосфат 543
- Аденозин-2'-фосфат
 - гидролиз фосфоэфирной связи 543—545
 - ионизация 189, 192
- Аденозин-2'(3')-фосфат
 - гидролиз гликозидной связи 487, 500
 - образование 550
 - окисление 611
 - расщепление 439, 442
 - реакции с альдегидами 411
 - с гидразином 462
 - с солями диазония 424
- Аденозин-3'-фосфат
 - ацилирование 513
 - гидролиз фосфоэфирной связи 543
 - ионизация 179, 189, 192
 - конформация 125, 127, 131, 133, 136
 - образование 552
 - N-окись 446, 447
 - производные 422, 423
 - фотореакции 673
- Аденозин-5'-фосфат
 - алкилирование 363, 368, 372, 596
 - возбужденные состояния 621, 622, 624
 - гидролиз гликозидной связи 487, 500
 - фосфоэфирной связи 544
 - гомоассоциация 233
 - изотопный обмен 327, 330
 - ионизация 179, 189, 192
 - конформация 125, 127, 131, 133, 136
 - образование 552
 - окисление 533, 589

Аденозин-5'-фосфат

- N-окись 446, 447
- реакции с альдегидами 410
- спектры 176, 239
- фотореакции 673
- Аденозин-2',3'-циклофосфат
 - ацилирование 521
 - гидролиз фосфоэфирных связей 548—550
- Аденозин-3',5'-циклофосфат
 - гидролиз гликозидной связи 500, 504, 553
 - фосфоэфирных связей 552, 553
 - конформация 131, 138
- 8-Азааденин 674
- 2-Азааденозин 390
 - N-окись 390
- 8-Азагуанин 674
- Азапурины 684
- Азатимин 628, 630, 663
- 6-Азаурацил 160, 648, 649, 663
 - производные 206, 207
- 6-Азауридин 687
- Азациитидины 171
 - производные 219
- 8-Азосульфобензилгуанозин 324
- Азотистая кислота, реакции 69, 291, 416—421
- 5'-О-Акрилоил-2',3'-О-изопропил-иденуридин 383
- 5'-О-Акрилоилтимидин 383
- Акридиновые красители 28, 506, 681—683, 687
- Актиномицин 260
- Алкилирование
 - ДНК 363—365, 369, 370, 373, 374, 377, 379, 380, 442, 596, 597
 - оснований (и их производных) 359 сл., 422, 427, 428, 453, 522, 523, 525, 595, 597
 - РНК 72, 363, 364, 368—370, 372, 380, 442, 453, 596, 597
 - тРНК 368, 370—374, 378, 430, 432
 - углеводных остатков 522—525
 - фосфатных групп 372, 376, 549, 550, 553, 554, 560, 594—599
- 2-Аминоадениловая кислота, полимер 105, 265
- 2-Аминоаденин (2,6-Диаминопурин)
 - 182, 227, 684
 - N-окись 446
- 2-Аминоаденозин 226
- Аминоалкилирование
 - мономерных компонентов 322, 323, 374
 - полинуклеотидов 374
- Аминоацилирование
 - мономерных компонентов 406, 407, 518—521
 - тРНК 520

5-Аминодезоксиуридин 318
 1-Аминогуанозин 371
 1-Амиоинозин 371
 2-Амино-6-метокси-9-дезоксирибофу-
 ранозилпурин 427
 5-Аминоурацил 630
 5-Аминоуридин 318
 4-экзо-N-Аминоцитозин 349
 производные 173
 4-экзо-N-Аминоцитидин 350
 4-экзо-N-Анизоил-3'-О-ацетилдезок-
 ситидин-5'-фосфат 87, 89
 6-экзо-N-Анизоилдезоксиаденозин
 406
 N-Анизоилдезоксцитидин 405
 4-экзо-N-Анизоилдезоксцитидин-5'-
 фосфат 87
 1-Арабинопиранозил-5-метилурацил
 187, 188
 1-Арабинопиранозил-5-метилцитозин
 187, 188
 1-Арабинопиранозилурацил 187, 188
 1-Арабинопиранозилцитозин 187,
 188
 1-Арабинофуранозилтимин 184
 1-Арабинофуранозилурацил 494
 1-Арабинофуранозил-5-фторурацил
 184, 187, 188, 427, 457
 1-Арабинофуранозил-5-фторцитозин
 184, 187, 188
 N-Арилгидроксиламины 325
 Ассоциация оснований и их производ-
 ных 193, 194, 216 сл.
 3'-О-Ацетиладенозин 515
 N-Ацетилдезоксигуанозин 406
 2-экзо-N-Ацетилдезоксигуанозин-5'-
 фосфат 87
 5'-Ацетил-2-экзо-N,2'-ди-(тетрагидро-
 пиранил)-гуанозин-3'-фосфат
 422
 5'-О-Ацетил-2',3'-О-изопропилиден-4-
 тиоуридин 428
 5'-О-Ацетил-2',3'-О-изопропилиден-
 уридин 516
 4-экзо-N-Ацетилтетрагидроцитидин
 339
 Ацетилтимидины 88, 527
 5'-О-Ацетилтимидин-3'-бензилхлор-
 фосфат 88
 3'-О-Ацетилтимидин-5'-фосфат 87, 89
 Ацетилюридин 514, 515
 Ацетилцитидины 53, 339, 403,
 513
 производные 514
 N-Ацетилцитозин 406, 493
 Ацилирование
 мономерных компонентов 385—388,
 402 сл., 512 сл.
 полинуклеотидов 388, 408, 516—
 520

1-Бензиладенин 445, 446
 Бензиладенозины 370, 452, 453,
 499
 7-Бензилгуанозин 370, 441, 442
 7-Бензилдезоксигуанозин 497
 2',3'-О-Бензилиден-5'-О-тритилгуано-
 зин 218, 219
 2',3'-О-Бензилиден-5'-О-тритилино-
 зин 219, 226
 2',3'-О-Бензилиден-5'-О-тритилцити-
 дин 219, 226
 2',3'-О-Бензилиденуридин 529
 1-Бензилинозин 444
 Бензилюридин 370, 524
 Бензилцитидин 370
 6-экзо-N-Бензоиладенозин 405
 6-экзо-N-Бензоил-3'-О-ацетилдезокс-
 аденозин-5'-фосфат 87, 89
 6-экзо-N-Бензоилдезоксиаденозин 405,
 406
 6-экзо-N-Бензоилдезоксиаденозин-5'-
 фосфат 87
 5'-О-Бензоил-2',3'-О-изопропилиден-
 уридин 516
 4-экзо-N-Бензоилцитидин 404
 4-экзо-N-Бензоилцитозин 403
 8-(*n*-Бензолсульфонил)-гуанин 425
 8-(*n*-Бензолсульфонил)-ксантин 425
 Бергаптен 686
 7,9-Бис-(карбокситил)-гуанин 373
 N,N'-Бис-(кетодигидропиримидил)-
 гидразин 349
 Брауна константа 206
 Браше реакция 28
 8-Бромаденозин 316
 8-Бромаденозинфосфаты 316
 8-Бромгуанозин 315—317, 413
 8-Бромгуанозин-5'-фосфат 316
 5-Бромдезоксисуридин 318
 гидролиз гликозидной связи 486,
 491, 503
 ионизация 317
 конформация 133, 140
 окисление 333
 спектры 317
 фотореакции 687
 5-Бромдезоксисуридин-5'-фосфат 103
 5-Бромдезоксцитидин 102, 133, 140,
 223, 313
 5-Бромдезоксцитидинтрифосфат 313
 5-Бром-6-оксидигидротимин 319, 331
 5-Бром-6-оксидигидроуридин 331, 332,
 494
 5-Бром-6-оксидигидроцитидин 332
 5-Бром-1,3-диметилурацил 645, 646
 5-Бромурацил 227
 дипольный момент 158
 ионизация 169
 окисление 333
 фотореакции 645—647

5-Бромуридин 104
 5-Бромуридин-
 гомоассо-
 компле-
 конформ-
 получении
 5-Бромуридин
 5-Бромцитидин
 104
 5-Бромцитидин
 5-Бромцитидин
 1-Бутил-9-ме-
 Бутилпурин
 4-экзо-N-(H-

Взаимодейст-
 (и их
 межплоск-
 компле-
 Водородные
 203, 2
 Восстановле-
 мономерн-
 532, 6
 полинукл-
 Вторичная
 16, 21

Галоидирова-
 мономерн-
 204, 3
 полинукл-
 Гамметта ур-
 Гамметта ф-
 1-Галактопи-
 187, 1
 1-Галактопи-
 187, 1
 1-Галактопи-
 1-Галактопи-
 Гидразиды
 реакции
 тами
 — с пол-
 534, 5
 Гидразины
 реакции
 нента-
 464, 5
 — с ДН
 — с РН
 — с тРН
 Гидроксила-
 реакции
 тами
 467—
 — с ДН
 — с РН
 — с тРН

5-Бромуридиловая кислота, полимер 104

5-Бромуридин 331, 457
гомоассоциация 231
комплементарные пары 223
конформация 131, 136
получение 312, 316—318

5-Бромуридинмонофосфаты 313

5-Бромцитидиловая кислота, полимер 104

5-Бромцитидин 313, 316

5-Бромцитидинмонофосфаты 313

1-Бутил-9-метиладенины 452

Бутилпурины 231

4-экзо-N-(н-Бутил)-цитозин 186

Взаимодействия между основаниями (и их производными)
межплоскостные 230 сл.

комплементационные 226 сл.

Водородные связи 141—143, 183, 185, 203, 217 сл.

Восстановление

мономерных компонентов 336—342, 532, 636, 661, 662

полинуклеотидов 342, 661

Вторичная структура макромолекул 16, 216 сл.

Галондирование

мономерных компонентов 199, 202, 204, 311 сл., 330—333

полинуклеотидов 318—321, 332

Гамметта уравнение 205

Гамметта функция кислотности 170

1-Галактопиранозил-5-метилурацил 187, 188

1-Галактопиранозил-5-метилцитозин 187, 188

1-Галактопиранозилурацил 187, 188

1-Галактопиранозилцитозин 187, 188

Гидразиды

реакции с мономерными компонентами 203, 350—353, 533, 534

— с полинуклеотидами 352, 353, 534, 535, 581

Гидразины

реакции с мономерными компонентами 203, 349—351, 459—464, 506

— с ДНК 69, 464—467, 506

— с РНК 69, 465, 466, 506

— с тРНК 465

Гидроксиламины

реакции с мономерными компонентами 141, 203, 343 сл., 391, 467—470, 506, 507

— с ДНК 69, 348, 349, 472, 473

— с РНК 69, 470, 471, 506

— с тРНК 17, 287, 472

Гидролиз см. Расщепление гидролитическое

Гипоксантин 21

восстановление 341

ионизация 178, 179, 183, 193

комплементарные пары 421

расщепление 438, 439

фотореакции 673, 677, 683, 684

электронная структура 426

энергетические параметры 160, 164

Гипохромизм процентный 237

Гипохромия процентная 236, 237, 288, 289

Гипохромный эффект 236 сл.

Гликозилдезоксцитидины 56, 57

Глицерин, 1-метилфосфат 554

6-экзо-N-Глициладенин 407, 454

9-Глюкопиранозилгуанин 407

Глюкопиранозилдиметиламинодигидропиримидон 170

1-Глюкопиранозил-3-метилтимин 166, 167

1-Глюкопиранозил-3-метилурацил 167

1-Глюкопиранозил-5-метилурацил (Глюкопиранозилтимин) 166, 167, 187, 188

1-Глюкопиранозил-5-метилцитозин 187, 188

1-Глюкопиранозилурацил 166, 167, 187, 188

1-Глюкопиранозилцитозин 187, 188

1-Глюкопиранозил-4-этоксидигидропиримидон 166, 167

1-Глюкопиранозил-4-этокси-5-метилдигидропиримидон 166, 167

Гомоассоциация оснований (и их производных) 193, 194, 218 сл.

Гротгуса — Дрепера закон 615

Гуанилиладенилцитидиловая кислота 588

Гуанилиладениловая кислота 556

Гуанилиладенин 238, 240, 241, 245, 556, 566

Гуанилилгуанозин 238, 241

Гуанилилуридиловая кислота 588

Гуанилилуридин 237—241, 243, 245, 363

Гуанилилцитидиловая кислота 556, 588

Гуанилилцитидин 245

гидролиз 556, 566

реакция с альдегидами 414

реакция с гидроксиламином 470

оптические свойства 238—241

Гуаниловая кислота

возбужденные состояния 623

ионизация 191, 195

полимер см. Полигуаниловая кислота

реакции с гидразином 462

Гуаниловая кислота
 сополимер с адениловой кислотой 106
 — с инозиновой кислотой 105
Гуанин 21, 28, 199
 возбужденные состояния 623, 625, 630
 гомоассоциация 224, 228, 229, 232
 индексы свободной валентности 198
 ионизация 178—181, 183, 194, 267
 комплементарные пары 28, 217 сл., 421
 окисление 389, 473
 N-окись 389
 расщепление 438, 439
 реакции с азотистой кислотой 418
 — с альдегидами 414
 спектры 180
 таутомерия 149, 162, 164, 165, 625
 фотореакции 673, 674, 683, 684
 электронная структура 148, 154, 155, 426, 630, 631
 энергетические параметры 159—161, 164, 165
Гуанозин [9-(β -D-Рибофуранозил)-гуанин] 21, 49, 50
 алкилирование 361, 366, 367, 371, 373, 375—377, 379, 523
 арилирование 370, 423
 ацилирование 405
 галонирование 315, 316, 317
 гидролиз гликозидной связи 487, 489, 498, 500, 504
 изотопный обмен 327
 ионизация 182, 183, 189—192, 194
 конформация 132, 133
 образование из РНК 547
 окисление 389, 475, 476, 480, 508
 производные 139, 218, 219, 225, 361, 475
 расщепление 438, 439, 480
 реакции с азотистой кислотой 417, 418
 — с акрилонитрилом 208, 382
 — с альдегидами 387, 409, 412—415
 — с N-арилгидроксиламинами 325, 326
 — с ацетальдами 421
 — с гидразином 462
 — с диметиламинометанами 421
 — с карбодинимидом 384
 — с солями диазония 323—325, 425
 спектры 175, 176, 180—182, 239
 таутомерия 175, 176
 фотореакции 681, 682, 683, 684
 электронная структура 358
 энергетические параметры 685
Гуанозиндифосфат 189, 342
Гуанозин-5'-трифосфат 106, 189
Гуанозин-2'-фосфат 189, 192

Гуанозин-2'(3')-фосфат
 гидролиз гликозидной связи 487, 500
 — фосфоэфирной связи 544, 546
 образование 550
 окисление 611
 реакции с альдегидами 411
 — с солями диазония 423, 424
Гуанозин-3'-фосфат
 ацилирование 513
 гомоассоциация 234
 ионизация 189, 192
 образование 552
 производные 422, 423
 фотореакции 673
Гуанозин-5'-фосфат
 алкилирование 363, 368
 возбужденные состояния 621, 622, 624
 гидролиз фосфоэфирной связи 544
 гомоассоциация 234
 ионизация 189, 192
 образование 552
 окисление 475
 реакции с альдегидами 410, 414
 спектры 239
Гуанозин-2',3'-циклофосфат 550
Гуанозин-3',5'-циклофосфат 500, 552
Дезоксиаденилдезокситидиловая кислота 572
Дезоксиаденилтимидин 626
Дезоксиадениловая кислота
 олигомер 102
 полимер 101, 656
 — сополимер с тимидиловой кислотой 101
Дезоксиаденозин [9-(β -D-Дезоксирибофуранозил)-аденин] 25, 56
 алкилирование 361
 ацилирование 386, 405, 521
 гидролиз гликозидной связи 486, 487, 489, 491, 496, 504
 гомоассоциация 231, 233, 234
 ионизация 183, 192, 193
 конформация 127, 133, 136, 140
 производные 316
 расщепление 439, 442
 реакции с азотистой кислотой 419
 — с ацетальдами 421
 — с диметиламинометанами 421
 спектры 176
Дезоксиаденозин-5'-трифосфат 101, 102
Дезоксиаденозин-3'-фосфат 626
Дезоксиаденозин-5'-фосфат
 алкилирование 366
 гидролиз гликозидной связи 487
 ионизация 192
 окисление 391
 N-окись 391
 производные 87

Дезоксиаденозин-5'-фосфат
 расщепление 439, 442, 459, 478
 реакции с альдегидами 409, 410
 — с гидразином 350, 459, 462
 — с перекисями 478
 — с солями диазония 424, 425
 структура 56, 125
 5'-Дезокси-5'-галоидурин-2',3'-циклофосфаты 512
 Дезоксигуаниловая кислота, полимер 101, 265, 625
 Дезоксигуанозин [9-(β -D-Дезоксирибофуранозил)-гуанин] 25, 56
 алкилирование 361, 366, 372—374, 427
 гидролиз гликозидной связи 487, 489, 491, 496—498, 504
 гомоассоциация 233
 ионизация 183, 189, 192, 194
 комплементарные пары 223
 конформация 133, 140
 окисление 475, 476
 производные 475
 расщепление 438, 439
 реакции с азотистой кислотой 419
 — с альдегидами 412, 413
 — с ацеталями 421
 — с диметиламинометанами 421
 — с нингидрином 416
 — с солями диазония 425
 Дезоксигуанозин-5'-трифосфат 101
 Дезоксигуанозин-5'-фосфат
 алкилирование 373
 гидролиз гликозидной связи 487
 ионизация 189, 192, 193
 реакция с формальдегидом 409, 410
 спектры 180
 5'-Дезокси-5'-диметилтиоаденозин 505
 Дезоксиинозин 419
 Дезоксиинозиновая кислота, полимер 101, 265
 Дезоксиинозин-5'-трифосфат 101
 Дезоксиинозин-5'-фосфат 496
 Дезоксиксантозин 419
 Дезоксиксантозин-5'-фосфат 496
 Дезоксиликсофуранозилурацил 486, 494
 Дезоксинуклеотидилтрансфераза терминальная (Аддаза) 97—102
 Дезоксирибоза 21, 25, 332, 494
 1-Дезоксирибозил-5-метилдигидропиримидон 336
 Дезоксирибозилдигидропиримидон 336
 Дезоксирибозофосфаты 551, 578
 Дезоксирибонуклеазы (ДНК-азы) 35, 36, 63, 72, 101, 257, 269, 270, 385
 Дезоксирибонуклеиновые кислоты (ДНК)
 алкилирование 363—365, 369, 370, 373, 374, 377, 379, 380, 442, 596, 597

Дезоксирибонуклеиновые кислоты
 апириимидиновые 69, 464—467, 477, 541, 574, 579, 580, 582, 583
 апуриновые 69, 369, 501, 502, 541, 561, 562, 572—576, 579, 581, 583, 593, 594
 в агаре 62
 внеядерная 34, 35, 48, 260
 возбужденные состояния 625, 626, 627, 678
 выделение 29—35
 галоидирование 318—320, 332, 456
 дезаминирование 365, 472, 502, 580
 действие ионов металлов 266
 — растворителей 267
 денатурация 279 сл., 380
 изотопный обмен 254, 282, 330
 компоненты основные 24, 56, 57
 редкие (минорные) 57, 58
 концевые группировки 47, 48
 макроструктура 249 сл., 320, 349, 369, 370, 380, 412, 421, 479, 656
 методы характеристики 30—35
 окисление 334, 390, 391, 476, 477, 479, 506, 590, 591
 определение молекулярного веса 30, 257, 275
 — нуклеотидного состава 25, 30, 31
 — первичной структуры 82, 83
 плавучая плотность 31, 59, 268, 274
 расщепление гидролитическое в присутствии аминов 581—583
 — кислотное 41, 42, 69, 364, 369, 379, 419, 472, 501—503, 506, 572—575
 — ферментативное 41, 67 сл., 654
 — химическое 369, 419, 442, 467, 472, 477, 496, 593
 — химическое ступенчатое 66, 590, 591
 — щелочное 391, 442, 477, 553, 561, 562, 575—581
 реакции концевых фосфатов 597
 — с азосоединениями 426
 — с азотистой кислотой 69, 419—421
 — с альдегидами 412, 415
 — с N-арилгидроксиламинами 326
 — с гидразидами 353
 — с гидразином 69, 459, 464—467, 506
 — с гидроксиламином 69, 348, 349, 472, 473
 — с карбодимидами 384, 385
 — с N-метил-N-нитрозосоединениями 365
 — с перекисями 479
 — с перманганатом калия 476, 477, 506

Дезоксирибонуклеиновые кислоты
 реакции с солями диазония 324, 425
 — с тетраоксисью осмия 477, 506
 ренатурация 267, 268, 270, 273—279
 репликативная форма 32, 256, 260
 сложность 275, 276
 спектры поглощения 28, 29, 615, 618, 619
 «спутник» («сателлит») 34, 60, 64
 степень спирализации 263
 структура цепи 27, 41 сл., 511
 температура плавления 31, 59, 264 сл.
 титрование 254
 формы 250—256, 261, 273
 фосфорилирование 47
 фотовосстановление 661
 фотогидратация 672
 фотодимеризация 651—654, 656—658, 661, 669, 671, 678, 680, 688
 фотодинамический эффект 682, 683
 фоторасщепление 682
 фотореакции 647
 — сенсibilизированные 677, 678
 — в присутствии ионов железа 508
 — с аминокислотами 637
 — с полициклическими углеводородами 687
 — с фурукумаринами 686, 687
 фракционирование 31, 34
 цветные реакции 28, 29
 циклические 48, 49, 256 сл., 268 сл., 511
 9-(β -D-Дезоксирибофуранозил)-аденин см. Дезоксиаденозин
 9-(β -D-Дезоксирибофуранозил)-гуанин см. Дезоксигуанозин
 Дезоксирибофуранозил-3',5'-дифосфат 581
 1-(β -D-Дезоксирибофуранозил)-тимин см. Тимидин
 1-(β -D-Дезоксирибофуранозил)-урацил см. Дезоксиуридин
 1-(β -D-Дезоксирибофуранозил)-цитозин см. Дезоксицитидин
 3'-Дезокситимидин 490
 5'-Дезокси-5'-тиоацетилуридин-2',3'-циклофосфат 512
 Дезокситиоуридин 432
 Дезоксиуридилдезоксиуридин 639, 643
 Дезоксиуридин [1-(β -D-Дезоксирибофуранозил)-урацил] 57
 восстановление 236
 галоидирование 312, 313
 гидролиз гликозидной связи 486, 487, 490, 491, 494, 503
 изотопный обмен 329
 ионизация 183, 187, 188, 192
 окисление 333, 474, 478

Дезоксиуридин 57
 производные 102
 реакции с альдегидами 322
 — с гидразином 462
 спектры 167, 317
 фотореакции 632, 633
 Дезоксиуридин-5'-фосфат 322, 642
 2'-Дезокси-2'-фторуридин 187, 188
 2'-Дезокси-2'-фторцитидин 183, 184, 187, 188
 Дезоксицитидилдезоксиадениловая кислота 572
 Дезоксицитидилтимидин 391
 Дезоксицитидиловая кислота, полимер 101, 265, 625
 Дезоксицитидин [1-(β -D-Дезоксирибофуранозил)-цитозин] 25, 56
 алкилирование 375, 376
 ацилирование 403, 405, 493
 восстановление 338
 галоидирование 312, 313, 335
 гидролиз гликозидной связи 487, 489, 491, 492
 гомоассоциация 231
 дезаминирование 354
 ионизация 183—185, 187, 188, 194
 окисление 333, 474, 476
 производные 493
 расщепление 455, 460
 реакции с альдегидами 411
 — с аминами 354
 — с ацетальдами 421
 — с гидразидами 351
 — с гидразинами 460, 462
 — с диметиламинометанами 421
 спектры 170, 171
 Дезоксицитидин-3',5'-дифосфат 492, 572
 Дезоксицитидин-5'-трифосфат 101
 Дезоксицитидин-5'-фосфат
 гидролиз гликозидной связи 487, 492
 окисление 475, 530
 производные 87, 88
 расщепление 455, 463
 реакции с альдегидами 409, 410
 — с гидразином 462, 463
 — с солями диазония 424, 425
 5-Дейтероуридин-5'-фосфат 328
 Диазометан 359—364, 522, 523, 595, 596
 Диазония соли 323—325, 423—425
 2,6-Диаминопурин см. 2-Аминоаденин
 2',5'-Ди-О-ацетиладенозин-3'-фосфат 513
 Диацетилдезоксигуанозин-5'-фосфат 87, 89
 Диацетилдезоксицитидин-5'-фосфат 88
 3',5'-Ди-О-ацетилтимидин 219, 334

Диацетил-5'-О-трифилдесоксицитидин 493
 3',5'-Ди-О-ацетилауридин 514, 526
 2',5'-Ди-О-ацетилауридин-3'-фосфат 513
 3,9-Дибензил-6-экзо-N,N-диметиламин-
 нопурин 449
 Дибензилгипоксантин 448
 3,2'-Дибензилауридин 370
 3',5'-О-Дибензоилдесоксиаденозин 406
 3',5'-Ди-О-бензоилдесоксицитидин 406
 3',5'-Ди-О-бензоилтимидин 385
 5,5-Дибром-6-оксидигидроуридин 314, 331
 5,6-Дигидродесоксицитидин 338
 Дигидропиримидон 182
 Дигидротимидин 174, 350, 458, 661, 662
 Дигидротимидин-5'-фосфат 458
 Дигидротимин 125, 458, 661, 662
 Дигидроурацил 125, 226, 458
 производные 125
 Дигидроуридиловая кислота, полимер 106
 Дигидроуридин 21, 51
 конформация 125
 образование 337, 339, 340, 636
 производные 138, 338
 расщепление 456, 458, 478
 спектры 174
 Дигидроуридин-2' (3')-фосфат 458
 Дигидроуридин-5'-фосфат 456
 Дигидроцитидин 190, 338
 производные 356
 Дигидроцитидин-2' (3')-фосфат 338, 339
 Дигидроцитидин-5'-фосфат 338
 Дигидроцитидин-2',3'-циклофосфат 338
 Дигидроцитозин 174, 190, 355—358
 Ди-(гуанил)-бутандиол 380
 Ди-(гуанил)-бутан 380
 Дидезоксирибозидин 486
 7,9-Ди-(карбоксиэтил)-гуанин 373
 1,4-Димезилоксибутан (Милеран) 380
 Диметиладенины 181, 186, 206, 366, 452
 Диметиладенозины 53, 231, 234, 366, 499, 529
 Диметилазацитозин 219
 2',3'-О-(п-Диметиламинобензильден)-
 уридин 529
 1,3-Диметил-5-бромурацил 169
 Диметилгуанин 175, 176, 364, 413
 Диметилгуанозин 55, 366, 415
 2-экзо-N,N-Диметилдесоксигуанозин 58
 Диметилдесоксицитидин 185, 186
 1,3-Диметилдигидроурацил 458, 636
 1,7-Диметиллинозин 367
 1,7-Диметилинозиновая кислота, поли-
 мер 368

1,3-Диметилтимин 649, 650, 658
 1,3-Диметилаурацил 169
 дипольный момент 158
 спектры 166
 фотореакции 632—636, 641, 680
 3,2'-Диметилауридин 360, 522
 Диметилцитозины 169, 170, 172, 173, 180, 185, 669
 4-экзо-N,N-Диметилцитидин 172, 346
 4-экзо-N,N-Диметилцитидин-5'-фосфат 346
 2',3'-О-(Диметоксибензильден)-уридин 93, 529
 7,9-Ди-(морфолиноэтил)-гуанин 441
 Димрота перегруппировка 450—454, 458, 459
 5,6-Диоксидигидротимидин 334, 474
 Диоксидигидроцитидин 356
 7,9-Ди-(β-оксиэтил)-гуанин 180, 371, 441
 5-(α,β-Диоксиэтил)-урацил 609
 Ди-О-трифилуридин 523, 524, 530
 5,5'-Диурацил 646
 1,3-Ди-(цианэтил)-псевдоуридин 381
 (Диэтиламиноэтил)-аденины 376, 450, 453
 1-N-(Диэтиламиноэтил)-тимин 376
 ДНК см. Дезоксирибонуклеиновые кислоты
 ДНК-лигаза (ДНК-силаза, Полину-
 клеотидсоединяющий фермент)
 100, 102, 103, 106, 257, 259
 ДНК-полимераза 98, 101—103, 421
 Замещение
 по углеводным остаткам 512
 по экзоциклическим атомам осно-
 ваний (и их производных) 401 сл.
 по ядру оснований (и их производ-
 ных) 311 сл.
 Защитные группировки
 алкоксиэтильные 526
 анизоильная 87, 93
 ацетальные и кетальные 526—529
 ацетиальная 87—89, 94, 95, 138, 219, 225, 316, 334, 361, 362, 405, 422, 427, 428, 475, 493, 513—516, 525, 526
 бензильденная 218, 219, 226, 528, 529
 — замещенные 93, 94, 529
 бензильная 88, 523, 524
 бензоилпропиоильная 516
 бензоильная 87, 88, 95, 219, 385, 386, 403—406, 513, 514, 516
 бутилоксикарбонильная 520
 диметиламинобензильденная 94
 диметиламинометилиденная 95, 421, 422
 диметоксибензильденная 93, 94

Защитные группировки

- диметоксиметилиденовая 529
 - динитробензойная 321, 489
 - динитробензолсульфенильная 521
 - изопропилиденовая 137—139, 225, 335, 362, 367, 383, 427, 428, 432, 449, 457, 475, 516, 527—529, 531, 612
 - карбобензоксид- 519
 - карбонатные 516
 - коричной кислоты производные 516
 - кремнийсодержащие (силильные) 522
 - мезильная 512, 521
 - метоксиацетильная 516
 - метоксibenзойная 405
 - метокситетрагидропиранильная 526
 - метокситритильные 95, 524
 - нитрофенильная 444
 - ортоэфирные 529
 - пивалильная (триметилацетильная) 514
 - силильные (кремнийсодержащие) 522
 - тетрагидропиранильная 422, 423, 514, 525, 526, 568
 - тозильная 489, 521
 - триметилацетильная (пивалиль-ная) 514
 - тритильная 88, 89, 218, 219, 225, 226, 386, 422, 427, 493, 520, 523—525, 530
 - трифторацетильная 516
 - трихлорацетильная 516
 - трихлорэтильная 88, 89, 92, 93
 - фенилборонатная 521, 522
 - формильная 514, 515, 516, 520
 - хлорацетильная 516
 - цианоэтильная 89, 92, 93
 - этоксиметилиденовая 95
 - этоксизетильная 95, 422, 423, 568
- Изоадениловая кислота, полимер 104
- Изогуанин 676
- N-окись 676
- Изогуанозин (Кротонозид) 234, 675, 676
- Изомеризация
- аминоацилрибонуклеозидов и -ну-клеотидов 520
 - ацилрибонуклеозидов 514, 515
 - фосфодизэфирных связей 516, 524, 526, 559, 563, 564, 566—568
- Изопентениладенины 452
- Изопентениладенозин-5'-фосфаты 452, 453
- Изопентениладенозины 452, 453, 499, 605—607
- 2',3'-О-Изопропилиденаденозин 139, 316

- 2',3'-О-Изопропилиден-5-бромурин 457
- 2',3'-О-Изопропилиденгуанозин 139, 475
- 2',3'-О-Изопропилиденинозин 262, 367, 383
- 2',3'-О-Изопропилиден-5-оксиметил-урин 612
- 2',3'-О-Изопропилидентеоуридин 335, 432
- 2',3'-О-Изопропилиден-5'-О-тритил-аденозин 225
- 2',3'-О-Изопропилиден-5'-О-тритил-урин 225
- 2',3'-О-Изопропилиденуридин 383, 516, 529
- Изопропилпурины 231
- Изотопный обмен атомов водорода 326—330
- Изоцитидиловая кислота 493
- Изоцитидин 470, 493
- Изоцитозин 630
- 4-Имино-2-метокси-1-метилдигидропи-римидин 170, 172
- Ингибиторы рибонуклеаз 36
- Индексы свободных валентностей 198 сл., 627
- Инозин 21, 54
- алкилирование 362, 367, 427
 - гомоассоциация 231, 234
 - ионизация 182, 183, 189, 190, 192, 193
 - N-окись 390
 - производные 219, 226, 362, 367, 383, 427, 444
 - расщепление 438, 439
 - реакции с акрилонитрилом 208, 381, 382
 - с альдегидами 387
 - с карбодимидом 384
 - спектры 175, 181
 - таутомерия 175, 176
 - фотореакции 683
- Инозиндифосфат 189, 191, 342, 368
- Инозиновая кислота
- полимер см. Полиинозиновая кисло-та
 - сополимер с гуаниловой кислотой 105
- Инозин-5'-трифосфат 105, 189
- Инозин-5'-фосфат
- алкилирование 373
 - ионизация 189, 192
 - получение 418
 - производное 444
- Интеркалирующие красители 259, 260, 688
- Информационные РНК (иРНК) 36, 40
- 8-Иодгуанозин 317
- 5-Иоддезоксиуридин 133, 140, 313, 317

6-Иодгуанин 26
3-Иодгуанин 2
3-Иодгуанин 104
5-Иодгуанин 3
5-Иодгуанинтр
5-Иодгуанинтр
5-Иодгуанинтр
104
5-Иодгуанинтр
производные
Иприт (и е
(β-Хлорэтил
Иприт азотист
см. (β-Хл

Карбодимиды
407, 507, 5
599

1-Карбоксимети
иденинозин
5-Карбокси-1,3-
4-экто-N-Карбо
дин 355
5-Карбоксимети
водное 52
5-Карбоксимети
51, 52
5-Карбоксимети
7-N-Карбоксиз
1-Карбоксизтил
иденинозин
1-(Карбоксизтил
373, 444
Карбон уравни
Каталаза 472
3-Кетотимидин-
Кетотимидин 5
Комплементарн
217 сл., 22
Конденсация (и
отидов 84,
Константы ион
их производ
623 сл.
Конформация
ассоциатов 2
ДНК см. Де
кислоты, м
РНК см. Ри
ты, макро
тРНК см. Тр
роструктур
конверта 129
оснований
121 сл., 18
твист T 129
углеводных
циклопентан
Кооперативност
280, 284, 28

45•

6-Иодпурин 206
 5-Иодурацил 227, 647
 5-Иодуридиловая кислота, полимер 104
 5-Иодуридин 313, 317
 5-Иодуридинтрифосфат 315
 5-Иодцитидиловая кислота, полимер 104
 5-Иодцитидин 313
 производные 313
 Иприт (и его производные) см. (β-Хлорэтил)-сульфиды
 Иприт азотистый (и его производные) см. (β-Хлорэтил)-амины
 Карбодиимиды 17, 282, 291, 383—385, 407, 507, 519, 520, 530, 591, 597—599
 1-Карбметоксизтил-2',3'-О-изопронил-иденинозин 383
 5-Карбокси-1,3-диметилурацил 658
 4-экзо-N-Карбоксиметилдигидроцитидин 356
 5-Карбоксиметил-2-тиоуридин, производное 52
 5-Карбоксиметилуридин, производное 51, 52
 5-Карбоксиметилцитозин 179
 7-N-Карбоксизтилгуанин 373
 1-Карбоксизтил-2',3'-О-изопронил-иденинозин 383
 1-(Карбоксизтил)-инозин-5'-фосфат 373, 444
 Карласа уравнение 122, 123, 134
 Каталаза 472
 3-Кетотимидин-5'-фосфат
 Кетоуридинны 530, 531
 Комплементарность 18, 24, 27, 28, 217 сл., 227 сл., 249 сл.
 Конденсация (полимеризация) нуклеотидов 84, 85
 Константы ионизации оснований (и их производных) 168, 171 сл., 623 сл.
 Конформация
 ассоциатов 235
 ДНК см. Дезоксирибонуклеиновые кислоты, макроструктура
 РНК см. Рибонуклеиновые кислоты, макроструктура
 тРНК см. Транспортные РНК, макроструктура
 конверта 129 сл.
 оснований (и их производных), 121 сл., 188, 203, 235, 490
 твист *T* 129 сл.
 углеводных остатков 127 сл.
 циклопентана 127, 128, 129
 Кооперативность процессов 15, 264, 280, 284, 286, 297

Корреляционные уравнения 205 сл.
 Коэффициент специфичности полинуклеотидов 60
 Красители
 акридиновые 506, 681, 682, 683, 687
 интеркалирующие 259, 260, 688
 тиазиновые 506
 фотодинамический эффект 681—685
 Кротонозид (Изогуанозин) 234, 675, 676
 Ксантин 21, 160
 ионизация 178, 179, 183
 расщепление 438, 439
 фотореакции 673, 677, 683, 684
 Ксантозин 21
 ионизация 183
 расщепление 438
 реакция с азотистой кислотой 419
 фотореакции 683
 Ксантозин-2'(3')-фосфат 424
 1-Ксилопиранозил-5-метилурацил 187, 188
 1-Ксилопиранозил-5-метилцитозин 187, 188
 1-Ксилопиранозилурацил 187, 188
 1-Ксилопиранозилцитозин 187, 188
 Ксилофуранозилтимин 184
 1-(β-D-Ликсофуранозил)-тимин 184
 1-(β-D-Ликсофуранозил)-урацил 494
 Макроструктура полимерных молекул 16
 5'-О-Мезилуридин-2',3'-циклофосфат 512
 6-Меркаптопурин 684
 производные 431, 443
 Метиладениловые кислоты, полимеры 104
 1-N-Метиладенин 181, 364, 367, 445, 446
 2-Метиладенин 446
 3-N-Метиладенин 181, 364, 366, 367, 449
 6-экзо-N-Метиладенин 186, 369, 419
 7-N-Метиладенин 366, 367
 9-Метиладенин 158, 223, 224
 1-N-метиладенозин 53, 361, 362, 366
 восстановление 340, 341
 гидролиз гликозидной связи 497, 499
 ионизация 177
 перегруппировка 451—453
 2-Метиладенозин 53
 3-N-Метиладенозин 180
 6-экзо-N-Метиладенозин 341, 451—453
 гидролиз гликозидной связи 497, 499
 гомоассоциация 231
 7-N-Метиладенозин 180
 2'-О-Метиладенозин 231, 234, 522, 523

- 3'-О-Метиладенозин 523
Метиладенозин-5'-фосфаты 368, 453
5-Метиламино-2-тиоурин 52, 432
1-Метил-5-бромурацил 169, 223
1-Метил-5-бромцитозин 223
7-Метилгуаниловая кислота 623
Метилгуанины 180, 364, 413
Метилгуанозин 182
1-Метилгуанозин 55, 361, 366, 413
2-экзо-N-Метилгуанозин 55, 414
7-Метилгуанозин 361, 362, 366, 623
гидролиз гликозидной связи 498
расщепление 441, 442
7-Метилгуанозин-5'-метилфосфат 441
1-Метилгуанозин-5'-фосфат 368
1-Метилдезоксаденозин 361, 452, 453
6-экзо-N-Метилдезоксаденозин 58, 231, 234, 452
Метилдезоксаденозин-5'-фосфаты 497
7-Метилдезоксигуанозин-5'-фосфат 180, 498
Метилдезоксигуанозины 362, 366, 497, 498
Метилдезоксипуридин (см. также Тимин) 187, 188, 492
5-Метилдезоксцитидин 57
гидролиз гликозидной связи 492
дезаминирование 354
ионизация 184—188
окисление 333
расщепление 455
5-Метилдезоксцитидин-3',5'-дифосфат 492
5-Метилдезоксцитидин-5'-фосфат 492
1-Метилдигидроаденозин 340
3-Метилдигидротимидин 458
Метилдигидроурацилы 125, 190, 458
3-Метилдигидроуридин 174, 458
1-Метилдигидроцитозин 190
5-Метилдигидроцитозин 350
Метилдиметиламинодигидропиримидон 170
1-N-Метилинозин 54, 231, 234, 362, 367
7-N-Метилинозин 362, 367, 623
1-N-Метилинозин-5'-дифосфат 368
7-Метилинозиновая кислота 623
полимер 368
6-Метилмеркаптопурин 206
6-Метилмеркаптопуринрибозид 348
1-Метил-4-метоксидигидропиримидон 169
N-Метил-N-нитрозосоединения 365
5-Метил-5-оксибарбитуровая кислота 334
1-N-Метил-3-N-(β-оксиэтил)-урацил 372
Метилоксиэтилцитозины 372, 459
1-N-Метилди-(β-оксиэтил)-цитозин 372
6-Метилпурин 206, 231, 234, 247, 676, 677
N-окись 447, 676
9-Метилпурин 158, 231
8-Метилсульфогуанозин 448
3-Метилтимидин 166, 167
производные 367
1-Метилтимин
комплементарные пары 220, 221, 223, 224
окисление 473
фотореакции 652
Метилтиодиметилаллиладенозин 54
1-Метилурацил 169
гомоассоциация 224
ионизация 187, 188, 190
комплементарные пары 223
спектры 166
фотореакции 632, 634, 642
3-Метилурацил 166, 369, 456
5-Метилурацил см. Тимин
6-Метилурацил 630
Метилуридиловые кислоты 523
полимеры 104, 367
3-Метилуридин 51, 360, 362
производные 367
реакции с гидроксиламинами 470
спектры 166, 167
5-Метилуридин см. Риботимидин
О-Метилуридин 523
3-Метилуридин-5'-диметилфосфат 595
3-Метилуридин-5'-метилфосфат 595
3-Метилуридин-5'-фосфат 339, 470
3-Метилуридинфосфатглюкоза 470
1-Метил-5-фторурацил 223
1-Метил-5-фторцитозин 223
Метилцитидиловые кислоты 523, 668
полимеры 104
3-Метилцитидин 52, 346, 360, 366, 459
восстановление 340
ионизация 172
4-экзо-N-Метилцитидин 52, 185, 346
5-Метилцитидин 52, 184, 187, 188, 202, 350, 630, 668
О-Метилцитидины 522, 523
Метилцитидин-5'-фосфаты 346, 368, 595
1-Метилцитозин 372
гомоассоциация 224
ионизация 172, 187, 188
комплементарные пары 219—221, 223, 225
спектры 169—171, 174, 181
окисление 474
фотореакции 173, 669
3-Метилцитозин 364, 369, 459
4-экзо-N-Метилцитозин 185, 186, 349
5-Метилцитозин 347, 350, 630
6-Метилцитозин 347
7-Метил-9-этилгуанин 441

1-Метил-4-этил
166
Метил
«гибридн
молекула
«прибли
лекул
«прибли
кулы»
2-Метоксипу
2',3'-О-(п-М
529
6-Метоксипу
5'-О-(Метокс
1-Метоксипу
инозин-
фосфат
6-Метоксипу
6-Метокси-9-
427
(Метоксипу
2-Метоксипу
Милеран (1,4-
Минорные к
рибонук
поненты
вые ки
кие
5-Морфолино
Мочевая кис
684
Небуларин см
Никотинадени
Нингидрин 41
Нитрование н
2-Нитрогипок
2-Нитроинози
8-Нитроксант
5-Нитроураци
5-Нитроураци
кислот
5-Нитроуриди
Нуклеаза ми
Облучение (с
ские про
у-лучами
рентгенове
Окисление 53
каталинич
перекисям
периодати
588—590
перманган
473—477
тетраоксид
477, 506
фотодинам
фотохимич

1-Метил-4-этоксидигидропиримидон
166

Методы

«гибридизации» 279

молекулярных орбиталей 150 сл.

«приближения изолированной молекулы» 197—200

«приближения реагирующей молекулы» 200—205

2-Метокси-4-аминопиримидин 668

2',3'-О-(п-Метоксибензилиден)-уридин
529

6-Метокси-1,3-диметилаурацил 636

5'-О-(Метоксиизопропил)-уридин 526

1-Метоксиметил-2',3'-изопропилиден-
инозин-5'-ди-(п-нитрофенил)-
фосфат 444

6-Метоксипурин 206

6-Метокси-9-рибофуранозилпурин 362,
427

(Метокситритил)-уридины 524

2-Метоксиэтилметилфосфат 554

Милеран (1,4-Димезилоксибутан) 380

Минорные компоненты см. Дезокси-
рибонуклеиновые кислоты, ком-
поненты редкие; Рибонуклеино-
вые кислоты, компоненты ред-
кие

5-Морфолиноуридин 318

Мочевая кислота 201, 673, 674, 683,
684

Небуларин см. 9-Рибофуранозилпурин

Никотинадениндинуклеотид 143, 372

Нингидрин 415, 416

Нитрование нуклеозидов 321

2-Нитрогипоксантин 418

2-Нитроинозин 418

8-Нитроксантин 418

5-Нитроурацил 630

5-Нитроурацил-1-β-D-рибурановая
кислота 321

5-Нитроуридин 321

Нуклеаза микрококков 72, 101

Облучение (см. также Фотохимиче-
ские превращения)

γ-лучами 479

рентгеновское 479

Окисление 530, 531, 591, 592

каталитическое 529—531, 590, 591

перекисями 335, 478—480, 506, 507

периодатное 414, 506, 507, 531—535,
588—590

перманганатом калия 334, 335,
473—477, 506

тетраокисью осмия 333, 334, 476,
477, 506

фотодинамическое 681

фотохимическое 658—660

8-Оксиаденин 391

Оксиалкилирование оснований и их
производных 322, 323, 371—373

7-N-(δ-Оксибутил)-гуанин 380

5-Оксидезоксиуридин 486

5-Оксидигидроазаурацил 648

6-Оксидигидроурацил (Фотогидрат
урацила) 632, 633, 640, 641, 642,
677

6-Оксидигидроуридин (Фотогидрат
уридина) 202, 632, 633, 636, 641

6-Оксидигидроуридин-3'-фосфат 355

6-Оксидигидроуридин-5'-фосфат 327,
328

6-Оксидигидроцитидин (Фотогидрат
цитидина) 21, 190, 202, 208, 356,
636

6-Оксидигидроцитидин-3'-фосфат 355

6-Оксидигидроцитозин (Фотогидрат
цитозина) 664, 665, 666, 667, 677

Оксиметилбутениладенозин 54

5-Оксиметилдезоксидеоксиуридин 322, 613

5-Оксиметилдезоксидеоксиуридин-5'-фосфат
322

5-Оксиметилдезоксидеоксидитидиловая кис-
лота 322

5-Оксиметилдезоксидитидин 56

5-Оксиметилдигидроуридин 613

2-Окси-6-метилпурин 676

5-Оксиметилаурацил 658

5-Оксиметилуридин 322, 612—614
производные 612, 613

5-Оксиметилцитидиловая кислота 668

5-Оксиметилцитидин 53, 668

5-Оксиметилцитозин 347

3-(Оксипропил)-тимидин 373

3-(Оксипропил)-уридин 373

5-Оксиуридин 51, 332, 486, 491

5-Оксидитидин 332

4-экзо-N-Оксидитозин, производные
173

6-экзо-N-(Оксиэтил)-аденозин 186

7-(Оксиэтил)-гуанин 371, 413

7-(Оксиэтил)-дезоксигуанозин 498

3-(Оксиэтил)-уридин 372

2-Оксоциклопентенилфосфат 576, 577,
581—583

Оротидин 21

Оротовая кислота 21, 630

фотореакции 641, 642, 677, 679

энергетические параметры 679

Пентабензоиладенозин 386, 405

Пентабензоилдезоксидеоксиаденозин 406

Пентабензоилцитидин 386, 404

Первичная структура макромолекул
16

Перегруппировки оснований (и их
производных) 437, 443, 450 сл.

Перкислоты 287, 298, 388—291

- Пероксидаза 472
 5'-О-Пиваллил-2'-О-(тетрагидропири-
 нил)-нуклеозиды 514
 2-экзо-Н-Пикрилгуанозин 423
 Пиримидин 158, 232
 Полиадениловая кислота 101, 264,
 283, 288, 292, 293, 330
 алкилирование 368, 370, 377, 453
 ацилирование 517, 518
 возбужденные состояния 625
 гидролиз 557, 570, 571
 окисление 477, 479
 производные 453
 расщепление 450
 реакции с альдегидами 412
 — с гидроксиламином 472
 синтез 105
 фотореакции 644, 673
 Поли-2-аминоадениловая кислота 105,
 265
 Поли-5-бромцитидиловая кислота 104
 Полигуаниловая кислота 265, 288,
 292, 293
 алкилирование 368, 370
 макроструктура 283
 синтез 105
 Полидезоксиадениловая кислота 101,
 656
 Полидезоксигуаниловая кислота 101,
 265, 625
 Полидезоксиинозиновая кислота 101,
 265
 Полидезоксцитидиловая кислота 101,
 265, 625
 Полидигидроуридиловая кислота 106
 Поли-(1,7-диметилинозиновая) кис-
 лота 368
 Полиинозиновая кислота 265
 алкилирование 368, 370
 гидролиз 570, 571
 получение 104
 Поли-(5-иодуридиловая) кислота 104
 Поли-(5-иодцитидиловая) кислота 104
 Поли-(метиладениловые) кислоты 104
 Поли-(7-метилюридиновая) кислота
 368
 Поли-(метилуридиловые) кислоты
 104, 367
 Поли-(метилцитидиловые) кислоты
 104
 Полимеризация (поликонденсация)
 ди-, три- и тетра-нуклеотидов 88
 нуклеотидов 44, 63, 84, 86—88,
 104
 Полинуклеотидкиназа 47, 79
 Полинуклеотидсоединяющий фермент
 см. ДНК-лигаза
 Полинуклеотидфосфорилаза 97—100,
 103, 104, 289
 Полипсевдоуридиловая кислота 104
- Политимидиловая кислота 93, 101,
 637, 656
 Полиуридиловая кислота 101, 264,
 265, 287, 288, 292, 330
 алкилирование 363, 367, 368, 370,
 596
 ацилирование 518
 возбужденные состояния 625
 гидролиз 557, 570, 571
 макроструктура 283
 окисление 390, 477—479
 реакции с альдегидами 387, 388
 — с гидроксиламином 471, 472
 — с карбодимидом 384
 синтез 105
 фотореакции 637—639, 641, 643,
 644
 Поли-(5-фторуридиловая) кислота
 104
 Полициклические углеводороды, вза-
 имодействие с ДНК 687
 Полицитидиловая кислота 265, 287,
 292, 293
 алкилирование 268, 370
 ацилирование 408
 гидролиз 557, 570, 571
 макроструктура 283
 окисление 390, 478, 479
 реакции с альдегидами 412
 — с гидразидами 352
 — с гидроксиламинами 348
 фотореакции 637, 672, 687
 Правило линейной зависимости сво-
 бодных энергий 187, 205, 206,
 207
 Проназа 29
 Пропандиолциклофосфат 551
 Псевдоуридиловая кислота, полимер
 104
 Псевдоуридин 21, 52
 алкилирование 362
 восстановление 339, 607—609
 изомеризация 607, 608
 окисление 607, 609, 610
 расщепление 68, 468
 реакции с акрилонитрилом 381,
 382
 — с альдегидами 387
 — с гидроксиламином 468
 — с карбодимидом 384
 фотореакции 648
 Псевдоуридин-2'-фосфат 648
 Псевдоуридин-3'-фосфат 610, 611, 648
 Псевдоуридин-5'-фосфат 461
 Псевдоуридин-2',3'-циклофосфат 648
 Псикофуранин 504
 Псорален 686
 Пурин
 гомоассоциация 231—234, 248
 изотопный обмен 327

Пурин

комплементарные пары 232
спектры 157, 206
фотореакции 676, 677, 683
энергетические параметры 160, 201, 247

Пуринилглицин 454

Пуринрибозид см. Рибофуранозилпурин

Пуринсульфиновая кислота 431

Расщепление гидролитическое (Гидролиз)

N-гликозидных связей 485 сл.
оснований (и их производных) 437 сл.

фосфодиэфирных связей 64 сл. 533, 542 сл.

фосфомоноэфирных связей 533, 542—547, 562, 568

5-Рибитилурацил 339, 609

Рибоза 25, 332

1-Рибозилгексагидропиримидон 338—340

Рибозилпурин см. Рибофуранозилпурин

1-Рибозилтетрагидропиримидинон 340

1-Рибозилэтоксидигидропиримидон 162

Рибозофосфаты 551, 584

Рибонуклеазы (РНК-азы) 29, 72

гуаниловые 69 сл., 97, 104, 291, 369, 408, 414, 420

ингибиторы 36

кислая селезенки 72, 78 сл.

панкреатическая 42, 43, 69 сл., 96, 97, 142, 291, 297, 369, 385, 408, 643

Рибонуклеиновые кислоты (РНК)

алкилирование 72, 78, 79, 363, 364, 368—370, 372, 380, 442, 453, 596, 597

апиримидиновые 465

апуриновые 501, 561

ацилирование 47, 408

выделение 35—41

галоидирование 318—321, 332

дезаминирование 559, 567

«дезурацильные» 470, 583, 584—586

информационные см. Информационные РНК

компоненты основные 24, 49, 50

компоненты редкие (минорные)

49, 50—56, 59, 362, 387, 605 сл.

концевые группировки 44 сл., 535

макроструктура 261, 262, 282 сл., 412, 569

методы характеристики 36, 37

окисление 47, 476, 477, 479, 506, 535, 588—590

Рибонуклеиновые кислоты

первичной структуры определение 15, 17, 73 сл., 535, 588—590

перегруппировка оснований 453

расщепление гидролитическое

в присутствии аминов 584—587

— до нуклеозидов 545, 546, 547, 559, 570, 571

— под действием соединений металлов 568—571

— кислотное 58, 59, 363, 364, 369, 419, 501, 506, 546, 547, 562 сл.

— ферментативное 42, 43, 55, 70 сл., 300, 369, 547, 549

— химико-ферментативное 71, 72, 73 сл.

— химическое 442, 470, 471, 546, 547, 593

— химическое ступенчатое 65, 66, 588—590

— частичное 73 сл., 557, 559, 560, 567

— щелочное 42, 45, 59, 63, 353, 354, 411, 546, 547, 553—560, 583

расщепление гликозидных связей 562, 567

реакции концевых фосфатов 46, 423, 597

реакции с азосоединениями 426

— с азотистой кислотой 419, 420

— с альдегидами 72, 408, 409, 411, 412, 413

— с анилином 46

— с N-арилгидроксиламинами 326

— с гидразинами 69, 465, 466, 506

— с гидроксиламинами 69, 470, 471, 506

— с метилфосфоморфолидом 46

— с нингидрином 416

— с перекисями 479, 506

— с перманганатом калия 476, 477

— с солями диазония 324, 425

репликативная форма 37

рибосомальные см. Рибосомальные РНК

спектры денатурации 289

спектры поглощения 28, 29, 615, 618, 619

степень спирализации 300

структура цепи 27, 41 сл., 511

транспортные см. Транспортные РНК

формы 262

фотовосстановление 636

фотогидратация 634, 672

фотодимеризация 638, 669

фотодинамический эффект 683

фотореакция с аминокислотами 637

Рибонуклеиновые кислоты
фотореакции с фурукумаринами 687
цветные реакции 28, 29
Рибосомальные РНК (рРНК) 36—39
ацилирование 408
галоидирование 319, 320
компоненты 49 сл., 60, 61
окисление 390
первичной структуры определение 77 сл.
расщепление 585
Рибосомальные SS РНК
макроструктура 298—300
первичной структуры определение 77 сл.
реакция с карбодимидом 385
структура цепи 48
Риботимидин 21, 613
ионизация 183, 184, 189
окисление 478
реакции с акрилонитрилом 382
Риботимидин-5'-фосфат 462
9-(β -D-Рибофуранозил)-аденин см. Аденозин
9-Рибофуранозил-2-амино-6-метокси-
пурин 175
9-(β -D-Рибофуранозил)-гуанин см. Гуанозин
1-Рибофуранозилдигидропиримидон 340
9-Рибофуранозил-6-диметиламинопу-
рин 176
1-Рибофуранозилиндола 489
9-Рибофуранозил-6-метоксипурин 175
9-Рибофуранозилпурин (Небуларин) 231—234, 439, 440, 505
производные 439, 440, 505
1-(β -D-Рибофуранозил)-тимин см. Риботимидин
1-(β -D-Рибофуранозил)-урацил см. Уридин
1-(β -D-Рибофуранозил)-цитозин см. Цитидин
РНК см. Рибонуклеиновые кислоты
РНК-полимераза (Транскриптаза) 98, 99, 105, 106, 415
РНК-синтетаза (Репликаза) 98—100
Сверхспирализация (Суперспирали-
зация) см. Дезоксирибонуклеи-
новые кислоты, циклические
Сенсибилизированные фотореакции 613, 640, 658, 677—680
Символы и сокращения 20 сл.
Спирализация ДНК см. Дезоксирибо-
нуклеиновые кислоты, макро-
структура
Спирализация РНК см. Рибонуклеи-
новые кислоты, макроструктура

Стрептодорназа 72
Суперспирализация (сверхспирализа-
ция) см. Дезоксирибонуклеино-
вые кислоты, циклические
Сульфонилирование 521
Таутомерия оснований (и их произ-
водных) 162 сл., 624, 625
Тафта константы 206, 207
Тафта уравнение 205
Теофиллин 683
Тетрабензоиладенозин 405
Тетрабензоилдезоксаденозин 386, 405, 406
Тетрабензоилуридин 386
Тетрабензоилцитидин 404
2'-О-(Тетрагидропиранил)-аденозин 514
2'-О-(Тетрагидропиранил)-N-ацетил-
цитидин 514
2'-О-(Тетрагидропиранил)-уридин 514
2'-О-Тетрагидропиранилуридин-3',5'-
циклофосфат 525
Тетрагидротимидин, производное 338
Тетрагидроуридин 337
Тетрагидроцитидин 338, 339
Тетрануклеотидная гипотеза 14, 58
Тимидилдезоксигуанозин, производ-
ные 88
Тимидилитимидилитимидин 91, 92
Тимидилитимидилуридин, произ-
водные 378
Тимидилитимидиловая кислота 591
Тимидилитимидин
алкилирование 363, 596
окисление 530
синтез 88—90
фотореакции 652, 654, 655, 657, 658
Тимидилуридин, производные 378
Тимидиловая кислота
олигомер 91—93, 102, 597
полимер 93, 101, 637, 656
реакции с перекисями 478
сополимер с дезоксиадениловой
кислотой 101
Тимидин [1-(β -D-Дезоксирибофурано-
зил)-тимин, 5-Метилдезокси-
уридин]
алкилирование 360, 361, 366, 373, 375, 376, 427
ацилирование 385, 521
восстановление 336, 337, 338, 339
гидролиз гликозидной связи 486, 490—492, 503
гомоассоциация 231, 232
ионизация 182—184, 191, 192
окисление 333, 334, 389, 473, 475, 476, 478, 480, 508

Тимидин

- производные 88, 89, 103, 109, 219, 334
- расщепление 468, 480
- реакции с акриловым ангидридом 383
 - с акрилонитрилом 382
 - с альдегидами 387
 - с гидразинами 203, 350, 462
 - с гидроксилaminaми 203, 468, 470
- спектры 166, 167
- структура 25, 56
- таутомерия 165 сл.
- фотовосстановление 636, 649
- фотогидратация 662, 663
- фотодимеризация 650
- фотодинамический эффект 681
- фотоокисление 683
- фотореакция с фурукумаринами 687
- циклонуклеозиды 140, 427
- Тимидин-3',5'-дифосфат 492, 572, 574
- Тимидин-5'-трифосфат 101, 103
- Тимидин-3'-фосфат 552, 591
 - производные 88, 89
- Тимидин-5'-фосфат
 - алкилирование 376
 - возбужденные состояния 621, 622, 624, 626
 - гидролиз гликозидной связи 487, 492
 - ионизация 189, 192
 - конформация 126, 133, 136, 140
 - образование 552
 - окисление 475, 530, 591
 - полимеризация 86, 88
 - производные 87, 89
 - расщепление 463
 - реакции с гидразинами 461—463
 - с солями диазония 424, 425
 - фотореакции 650
- Тимидин-3',5'-циклофосфат 495, 553
- Тимин (5-Метилурацил) 21, 28
 - возбужденные состояния 623, 625, 627—629, 649, 657, 658, 660, 661
 - галоидирование 319, 331
 - гомоассоциация 223, 229
 - изотопный обмен 328
 - индексы свободной валентности 198
 - ионизация 178, 183, 187, 188, 191, 192
 - комплементарные пары 28, 217 сл.
 - окисление 478
 - расщепление 456
 - реакции с гидразином 462
 - таутомерия 162, 165, 625
 - фотовосстановление 661, 662
 - фотогидратация 649, 677

Тимин

- фотодимеризация 265, 650—654, 657, 658, 677, 679
- фотодимеры 651—654, 669, 680
- фотоокисление 658, 659, 660, 683
- фотореакции 663
 - с фурукумаринами 686
- электронная структура 154, 155, 627—630
- энергетические параметры 160, 161, 165, 679
- Тиминрибозид см. Риботимидин
- Тиогуанозин 684
- Тиотимидин, производные 102
- Тиотимин 630
- 2-Тиоуридин 340, 426, 429, 430
- 4-Тиоуридин 51, 295
 - алкилирование 362, 428, 430
 - восстановление 340
 - конформация 138
 - окисление 431, 432
 - производные 428, 432
 - реакции с акрилонитрилом 381, 382, 428, 429
 - с бромцианом 430
 - фотореакции 647, 648
 - электронная структура 426
- 5-Тиоуридин, производное 335
- 4-Тиоуридин-2'(3')-фосфат 429
- 2-Тиопитидин 52, 432
- 1-Тозилинозин 444
- Транспортные РНК (тРНК) 103
 - алкилирование 368, 370, 374, 378, 430, 432
 - аминоацилирование 38, 39, 518—521, 534
 - ацилирование 408, 517, 518
 - выделение 16, 38, 39
 - восстановление 339, 340
 - галоидирование 319, 320, 332, 606
 - денатурация 285 сл.
 - изотопный обмен 297
 - компоненты редкие (минорные) 50, 51, 52, 53, 54, 339, 340
 - конформеры 296, 297, 299
 - макроструктура 285 сл., 320, 321, 352, 353, 382, 415, 421, 472, 479, 517, 647
 - окисление 39, 334, 390, 432, 477, 534, 535, 611
 - первичной структуры определение 67, 73 сл., 590
 - расщепление гидролитическое в присутствии аминов 586, 587
 - кислотное 503
 - ферментативное 287, 291, 294, 297, 415
 - щелочное 557, 558
 - реакции концевых фосфатов 598, 599

Транспортные РНК
 реакции с азотистой кислотой 420, 421
 — с акрилонитрилом 382, 383
 — с альдегидами 412, 415
 — с бромцианом 430
 — с гидразидами 352, 353
 — с гидразином 465
 — с гидросиламином 17, 287, 472
 — с карбодимидом 17, 384, 385
 — с периодатом 611
 — с перманганатом калия 477
 — с раствором иода 431, 432
 — с тетраокисью осмия 477
 степень спирализации 288 сл.
 структура цепи 27, 48
 температура плавления 286
 «универсальный» тетрануклеотид 76, 291, 294, 297, 383
 фотодинамический эффект 683
 фоторасщепление 648
 фотореакции 647, 648
 фракционирование 39
 Третичная структура макромолекул 16
 2',3',5'-Три-О-ацетиладенозин 316
 Триацетилгуанозины 219, 225, 361, 405
 2',3',5'-Три-О-ацетилаинозин 362, 427
 2',3',5'-Три-О-ацетилуридин 219
 2',3',5'-Три-О-бензоил-6-азацитидин 219
 Трибензоилдезоксцитидин 406
 3,3',5'-Трибензоилтимидин 385
 Трибензоилуридины 385, 386
 2',3',5'-Три-О-(динитробензоил)-уридин 321
 Триметиладенин 443
 1,7,9-Триметилгуанин 180
 Триметилдигидроурацилы 458
 Триметиленмеламин 374
 Триметилцитозин 172, 185
 7-N-(γ,γ,γ-Триоксибутил)-гуанин 380
 Три-(тетрагидропиранил)-аденозин-3'-фосфат 422
 5'-О-Тритил-2'-О-тетрагидропиранил-уридин-3'-фосфат 525
 5'-О-Тритилтимидин 89
 5'-О-Тритилтимидин-3'-фосфат, производные 88, 89
 5'-О-Тритилуридин 386
 2',3',5'-Три-О-тритуридин 525
 5'-О-Трифторацетил-2',3'-О-изопропил-иденуридин 516
 5'-О-Трихлорацетил-2',3'-О-изопропил-иденуридин 516
 2,6,8-Трихлорпуридин 684
 Три-(α-этоксиэтил)-аденозин-3'-фосфат 422
 Туберцидин 106

Угледодные остатки
 алкилирование 522—525
 аминокислотирование 518—521
 ацилирование 512 сл., 521 сл.
 окисление 529—535
 реакции с виниловыми эфирами 525—527
 — с карбонильными производными 527—529
 «Универсальный» тетрануклеотид в тРНК 76, 291, 294, 297, 383
 Уотсона — Крика модель 14, 28, 60, 216 сл., 249 сл.
 Урацил 21, 199
 N-аминирование 371
 возбужденные состояния 623, 625, 627—629, 631, 633
 галондирование 330
 гомоассоциация 224, 227, 232, 247, 248
 индексы свободной валентности 198
 ионизация 178, 183, 187, 188, 191, 192, 226
 комплементарные пары 219 сл., 421
 конформация 126
 окисление 333, 473, 474, 478
 расщепление 456
 реакции с гидразидами 462, 463
 — с гидросиламинами 371, 469, 472
 спектры 166, 167
 таутомерия 149, 162, 164, 165, 166, 625
 фотовосстановление 636
 фотогидрат см. 6-Оксидигидроурацил
 фотогидратация 631 сл., 634, 635, 641, 642
 фотодимеризация 638, 639, 640, 642, 677
 фотодимеры 637, 638, 639, 640, 641, 642
 фотоокисление 683
 фотоприсоединение 631, 635, 637
 фотореакции 668
 — с фурукумаринами 686
 фототример 639
 хлорметилирование 323
 электронная структура 426, 627, 628, 629, 630
 энергетические параметры 159—161, 164, 165, 202, 679
 Урацил-5-карбоновая кислота 610, 611, 614
 Урацилилцистеамин 647
 Уридилладенозин 238, 240, 241, 244, 245
 алкилирование 363, 596
 гидролиз 556, 566

Уридилгуанозин 238, 240, 241, 243, 244, 245, 342

Уридилинозин 368

Уридилуридиловая кислота 556

Уридилуридин 237—239, 241, 244, 245

алкилирование 378, 596

ацилирование 516

производные 378

фотореакции 639—644, 647, 669—671

Уридилцитидин 238, 240, 241, 245

гидролиз 556, 566

Уридиловая кислота

галоидирование 330

изотопный обмен 329

ионизация 191, 195

олигомер 342, 598

окисление 474, 478

оксиметилирование 322

полимер см. Полиуридиловая кислота

сополимер с адениловой кислотой 287

— с цитидиловой кислотой 186, 408

фотореакции 632, 638, 640, 642

Уридин [1-(β -D-Рибофуранозил)-урацил] 21, 25, 49, 50, 162

алкилирование 360, 361, 366, 367, 372, 373, 427, 522—524

аминометилирование 323

арилирование 370

ацилирование 385, 521

восстановление 336, 337, 339, 340, 456

галоидирование 312—314, 330—332, 494

гидролиз гликозидной связи 486, 487, 490, 494

гомоассоциация 231, 233, 247

изотопный обмен 328, 329

ионизация 182—184, 187—193

конформация 132, 133, 135, 137, 138, 182

нитрование 321

образование из РНК 547

окисление 333, 389, 474, 476, 478, 480

производные 93, 377

— алкилирование 427, 523

— ацилирование 386, 514, 516

— восстановление 141, 336

— галоидирование 314

— комплементарные пары 219, 225

— нитрование 321

— окисление 530, 531

— реакции с акриловым ангидридом 383

— — с гидроксиламинами 141

Уридин

расщепление 455, 456, 463, 468, 469, 478, 480

реакции с акрилонитрилом 208, 381, 382

— с альдегидами 323, 387

— с виниловыми эфирами 526

— с гидразинами 203, 461, 462, 463

— с гидроксиламинами 203, 468, 469

— с карбодимидом 383

спектры 141, 317, 633

таутомерия 165 сл.

фотовосстановление 636

фотогидрат см. 6-Оксидигидроуридин

фотогидратация 632, 634, 642

фотодимеризация 638, 639, 640, 642, 679

фотодимеры 638, 639, 669

фотореакции 681

— с фурукумаринами 687

циклонуклеозиды 137, 138, 427

электронная структура 358

Уридиндифосфат 189, 342, 469

Уридиндифосфатглюкоза 337, 469, 470

Уридин-5'-метилфосфат, производные 378

Уридинсульфоновая кислота 432

Уридинтрифосфат 105, 108, 189, 315

Уридин-2'-фосфат 141, 633

Уридин-2'(3')-фосфат

галоидирование 312, 313

гидролиз фосфоэфирной связи 544, 545

ионизация 189, 192

образование 550

окисление 611

расщепление 455, 468

реакции с гидразином 462

— с гидроксиламином 468

фотореакции 642

Уридин-3'-фосфат

ацилирование 513

конформация 133

образование 552, 553

реакции с альдегидами 527

спектры 141

фотореакции 203, 633, 641

Уридин-5'-фосфат 141

алкилирование 363, 372, 523, 595

аминометилирование 323

возбужденные состояния 621, 622

восстановление 337

галоидирование 312, 313

гидролиз фосфоэфирной связи 544

ионизация 189, 192, 193

конформация 126, 131, 136

образование 552

окисление 475

Уридин-5'-фосфат
 расщепление 469
 реакции с альдегидами 387, 388
 — с гидразинами 461, 462
 — с гидроксиламином 469
 спектры 166, 167, 239
 фотореакции 203, 632, 633, 642
 Уридин-2',3'-циклофосфат
 ацилирование 512
 гидролиз фосфоэфирных связей 548, 549, 550
 ионизация 189, 191, 192
 Уридин-3',5'-циклофосфат
 гидролиз гликозидной связи 495, 504, 553
 — фосфоэфирных связей 552, 553
 конформация 131
 реакции с виниловыми эфирами 525
 Уроновые кислоты 530
 Уэлаанда реакционный комплекс 200
 Фельгена реакция 28
 1-Фенилтимин 473
 4-экзо-N-(β-Фенилэтил)-5-метилдезокситидин 185
 Фенол, ассоциация с аденином 232
 Флавинадениндинуклеотид 143
 8-(N-Флуоренилацетамидо)-гуанозин 325
 8-(N-Флуоренилацетамидо)-дезоксигуанозин 325
 Формальдегид, реакции 283, 322, 386—388, 409—412
 с ДНК 254, 267, 268, 271, 282
 с РНК 261, 288, 289
 с тРНК 287, 289
 с 5S РНК 299
 6-экзо-N-Формиладенин 414
 3'-О-Формиладенозин 515
 2-экзо-N-Формилгуанин 414
 5-Формил-1,3-диметилурацил 658
 5'-О-Формил-2',3'-О-изопропилиденуридин 516
 5-Формилурацил 610, 658
 Формицин 106
 Фосфатаза 518
 5'-Фосфодезоксирибозилилтимидин 578, 579
 5'-Фосфодезокситидилилтимидин 579
 Фосфодиэстеразы 45, 289
 змеиного яда 42, 45, 46, 51, 63, 297, 385, 654
 кишечника 41
 селезенки 43, 45, 46, 67, 385
 Фосфомоноэстераза 47, 48, 51
 Фосфорилирование
 мономерных компонентов 407, 521

Фосфорилирование
 олиго- и полинуклеотидов 47, 95, 521
 5'-Фосфотимидилилдезоксиаденозин 597
 5'-Фосфотимидилилдезокситидин 574, 597
 5'-Фосфотимидилилтимидин 655
 Фотогидрат урацила см. 6-Оксидигидроурацил
 Фотогидрат уридина см. 6-Оксидигидроуридин
 Фотогидрат цитидина см. 6-Оксидигидроцитидин
 Фотогидрат цитозина см. 6-Оксидигидроцитозин
 Фотодинамический эффект (фотодинамическое действие) 681—685
 Фотореактивирующие ферменты 653, 680
 Фотосенсибилизированные реакции 618, 640, 658, 677—680
 Фотохимические превращения 615 сл.
 в присутствии железа 685
 влияние комплексообразователей 687, 688
 возбужденные состояния 616, 617, 620 сл.
 излучательные и безызлучательные переходы 617, 618
 интеркомбинационная конверсия 618 сл.
 квантовый выход 616 сл.
 основные понятия 615—618
 поперечное сечение 616, 664
 реакции с фурукумаринами 685, 686
 таутомерия 624, 625
 Фторалкилдезокситидины 186
 5-Фтордезоксипуридин 140
 гидролиз гликозидной связи 486, 491
 ионизация 187, 188, 317
 конформация 133, 136
 спектры 317
 5-Фтордезокситидин 184, 185, 187, 188
 5-Фтор-4-экзо-N,N-диметилдезокситидин 185
 5-Фтор-1,3-диметилурацил 635, 636, 645
 5-Фтор-4-экзо-N-метилдезокситидин 185
 5-Фторметилцитидин 185
 5-Фторметилцитозин 185
 5-Фтор-6-метокси-1,3-диметилдигидроурацил 635
 5-Фторурацил 645
 5-Фторуридиловая кислота, полимер 104

5-Фторуридин
 ионизация 18
 спектры 317
 фотореакции
 5-Фторцитидин
 Химографин 516
 5'-О-Хлорацетидин
 иденуридин
 2',3'-О-(7-Хлорб)
 5-Хлордезоксипу
 491
 Хлорметилирова
 6-Хлорпурин 20
 5-Хлоруридилов
 104
 5-Хлоруридин 31
 5-Хлоруридин-2'
 5-Хлоруридин-5'
 5-Хлорцитидин 3
 (β-Хлорэтил)-ам
 380
 (β-Хлорэтил)-су
 378—380
 6-Цианпурин 20
 1-Цианэтилинози
 1-Цианэтилпсевд
 3-Цианэтилурид
 N-Циклогексил-
 нилэтил)-
 1-Циклогексилу
 комплементар
 221, 225
 производные
 фотореакции
 Циклопентан, к
 5-S-Цистенилд
 Цитидилиладен
 243—245
 гидролиз 556
 Цитидилилгуани
 Цитидилилгуано
 Цитидилилпури
 Цитидилилцити
 гидролиз 556
 спектры 670
 фотореакции
 672
 Цитидиловая к
 галондирова
 ионизация 1
 полимер см.
 лота
 реакции с а
 — с гидраз
 сополимер с
 470

5-Фторуридин

ионизация 184, 187, 188, 317

спектры 317

фотореакции 645

5-Фторцитидин 184, 185, 187, 188

Химотрипсин 516

5'-О-Хлорацетил-2',3'-О-изопропил-
иденуридин 516

2',3'-О-(*n*-Хлорбензилиден)-уридин 529

5-Хлордезоксинуридин 312, 317, 486, 491

Хлорметилирование урацила 323

6-Хлорпурин 206, 683

5-Хлоруридиловая кислота, полимер 104

5-Хлоруридин 312, 314, 317

5-Хлоруридин-2' (3')-фосфат 312

5-Хлоруридин-5'-фосфат 312

5-Хлорцитидин 312, 314

(β -Хлорэтил)-амины, реакции 375—380

(β -Хлорэтил)-сульфиды, реакции 375, 378—380

6-Цианпурин 206

1-Цианэтилинозин 381

1-Цианэтилпсевдоуридин 381

3-Цианэтилуридин 381

N-Циклогексил-N'-(метилморфоли-
нилэтил)-карбодимид 78

1-Циклогексилурацил

комплементарные пары 218, 219, 221, 225

производные 225, 226

фотореакции 634

Циклопентан, конформации 127—129

5-S-Цистеинилдигидроурацил 637

Цитидилиладенозин 238, 240, 241, 243—245

гидролиз 556, 566

Цитидилилгуаниловая кислота 588

Цитидилилгуанозин 238, 240, 241, 244

Цитидилилуридин 238, 240, 241, 245

Цитидилилцитидиловая кислота 556

Цитидилилцитидия 238, 241, 243, 245

гидролиз 556, 566

спектры 670

фотореакции 355, 357, 666, 669—672

Цитидиловая кислота 105

галоидирование 330, 332

ионизация 191, 195

полимер см. Полицитидиловая кислота

реакции с альдегидами 322

— с гидразинами 460

сополимер с адениловой кислотой 470

Цитидиловая кислота

сополимер с уридиловой кислотой 106, 408

фотореакции 663, 664, 667

Цитидин [1-(β -D-Рибофуранозил)-цитозин] 21, 25, 49, 50, 202, 339

алкилирование 360, 361, 366, 367, 372, 373, 522

арилирование 370

ацилирование 386, 402—404, 406, 513

восстановление 338, 339, 340, 356

галоидирование 312, 313, 314, 330

гидролиз гликозидной связи 487

гомоассоциация 231, 247

дезаминирование 328, 354, 543, 547

изотопный обмен 328, 329

ионизация 172, 183—185, 187—193

конформация 131—133, 136, 137

образование из РНК 547

окисление 333, 389, 508

N-окись 389, 455, 456

производные 141, 174, 218, 219, 226

расщепление 328, 455, 460

реакции с азотистой кислотой 417, 418

— с акрилонитрилом 382

— с альдегидами 322, 387, 409, 411, 414, 416

— с аминами 354

— с ацеталями 421

— с гидразидами 209, 351, 352

— с гидразинами 349, 350, 460, 462

— с гидросиламинами 345, 346, 356, 357, 468

— с диметиламинометанами 421

— с нингидрином 416

спектры 170, 171, 180, 181, 619

таутомерия 169—174

фотогидрат см. 6-Оксидигидроцитидин

фотогидратация 663, 664, 667

фотореакции 647, 668, 687

циклонуклеозиды 180, 427

электронная структура 358

энергетические параметры 202

α -Цитидин 53

Цитидинбензилфосфаты 556, 563

Цитидиндифосфат 342

Цитидин-5'-метилфосфат 595

Цитидинтрифосфат 105, 106, 313, 346

Цитидин-2' (3')-фосфат

восстановление 338, 339

гидролиз фосфоэфирной связи 544, 546

ионизация 189, 192

образование 550

окисление 611

расщепление 455, 468

- Цитидин-2'(3')-фосфат
 реакции с гидразином 462
 — с гидроксиламином 468
 — с нингидрином 416
 — с солями диазония 424
 спектры 619
 Цитидин-3'-фосфат 355
 ацилирование 513
 ионизация 179, 665
 конформация 124, 126, 131, 136, 137
 образование 355, 552
 спектры 665
 фотореакции 664—666
 Цитидин-5'-фосфат
 алкилирование 363, 368, 595
 возбужденные состояния 621, 622
 восстановление 338
 гидролиз фосфоэфирной связи 544
 ионизация 189, 192
 конформация 137
 образование 552
 окисление 475
 реакции с альдегидами 410
 — с гидразидами 351
 — с гидразинами 461
 спектры 239
 фотореакции 666, 671
 Цитидин-2',3'-циклофосфат
 ацилирование 402, 403
 восстановление 338
 гидролиз фосфоэфирных связей 548—550
 ионизация 189, 192
 реакция с нингидрином 416
 Цитидин-3',5'-циклофосфат 495, 552
 Цитозин 21, 25, 199
 ацилирование 458
 возбужденные состояния 625, 627—629, 663, 679
 галоидирование 330
 гомоассоциация 228, 229, 232, 247, 248
 индексы свободной валентности 198
 ионизация 124, 178—181, 183, 185—188, 190—193
 комплементарные пары 28, 217 сл., 421
 конформация 124, 126
 окисление 473, 474, 476
 перегруппировка 458
 производные 185, 186
 Цитозин
 реакции с гидразинами 349, 350, 459, 460, 462
 — с гидроксиламинами 472
 спектры 181
 таутомерия 149, 162, 164, 165, 625
 фотогидрат см. 6-Оксидигидроцитозин
 фотогидратация 663 сл.
 фотодимеризация 669, 677, 678
 фотодимеры 669
 фотореакции 668—670
 электронная структура 148, 154—156, 627—630, 663
 энергетические параметры 159—161, 164, 165, 202, 679
 Чаргаффа правила 59, 60, 250, 252, 261
 Четвертичная структура макромолекул 16
 Эйнштейна закон 615
 Экзонуклеазы
 I 67
 III 63, 67
 Эксимеры 605, 626
 α -Элиминация 574, 576
 β -Элиминация 369, 389, 419, 507, 531, 544, 553, 573—578, 580, 583, 591
 Энергия
 локализации 200 сл.
 резонанса 164
 Этидийбромид 259, 260
 3-Этиладенин 364
 7-Этиладенин 364
 9-Этиладенин 218—221, 223, 225
 производные 225, 226
 Этиладенозин-5'-фосфаты 453
 Этилгуанины 182, 219—221, 415
 7-Этилгуанозин 442, 498
 7-Этилдезоксигуанозин 497, 498
 5-Этилдезоксипуридин 650
 9-Этилпуридин 231
 2-О-Этилпуридин, производное 137, 138
 4-экзо-N-Этилцитозин 186
 4-Этоксидигидропиридон 166
 4-Этоксидигидропиридон 169
 2-экзо-N-(α -Этоксипропионил)-гуанин 414
 6-Этоксипуридин 677
 1-Этоксипуридин 634

Николай Кондратов
 Евгений Давыдов
 Михаил Флоринский
ОРГАНИЧЕСКОЕ
 Издательство
 720 с.

Редактор О. Технический
 Художник К. Корректоры С. Т. 12258. Подписано
 Уч.-изд. л. 50,64.
 Ордена Трудового
 Ленинградская т.
 Комитета по печ.

*Николай Константинович Кочетков, Эдуард Израилевич Будовский,
Евгений Давидович Свердлов, Наталия Андреевна Симукова,
Михаил Флорианович Турчинский, Владимир Николаевич Шибанов*

ОРГАНИЧЕСКАЯ ХИМИЯ НУКЛЕИНОВЫХ КИСЛОТ

Издательство „Химия“, М., 1970 г.

720 с.

УДК 547.963.32 : 577.155.2

Редактор О. И. Слуцкий

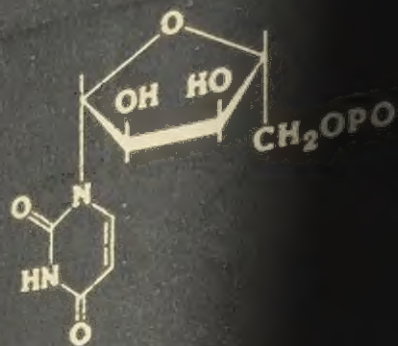
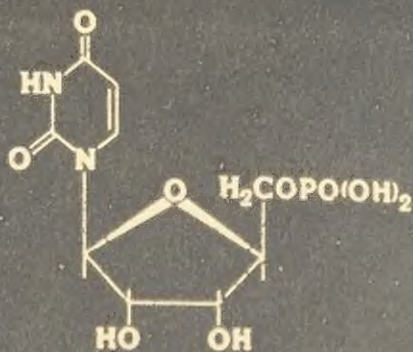
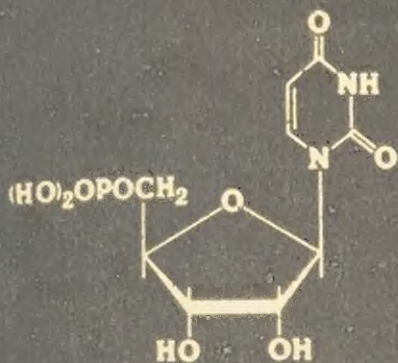
Технический редактор В. В. Коган

Художник К. М. Егоров

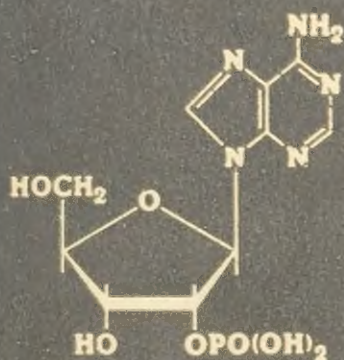
Корректоры С. А. Губенко, Г. Е. Потапова

Т12 256. Подписано к печати 7/VIII 1970 г. Формат бумаги 60×90¹/₁₆. Печ. л. 45.
Уч.-изд. л. 50,64. Тираж 6000 экз. Типограф. бум. № 2. Цена 3 р. 24 к. Тем. план 1970 г., № 23.
Зак. № 614.

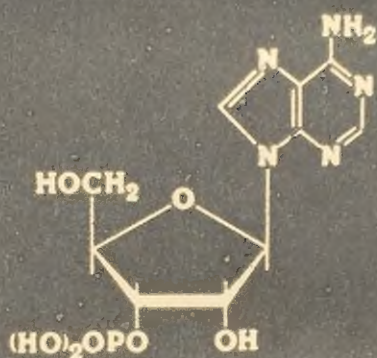
Ордена Трудового Красного Знамени
Ленинградская типография № 2 имени Евгении Соколовой Главполиграфпрома
Комитета по печати при Совете Министров СССР, Измайловский проспект, 29.



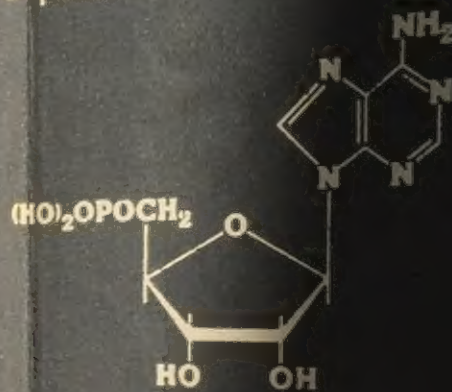
рU
уридин-5'-фосфат



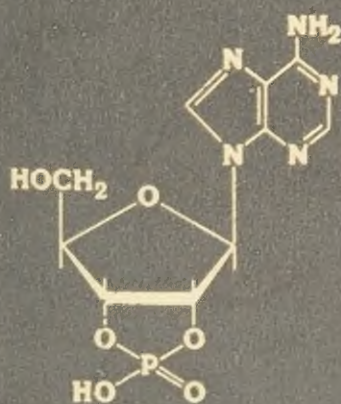
A(2')p
аденозин-2'-фосфат



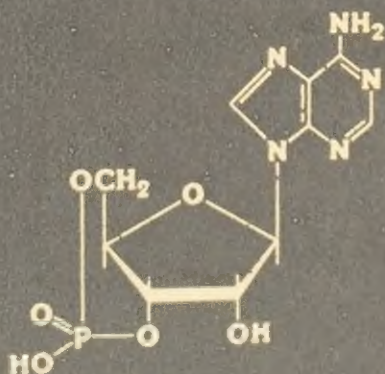
Ap
аденозин-3'-фосфат



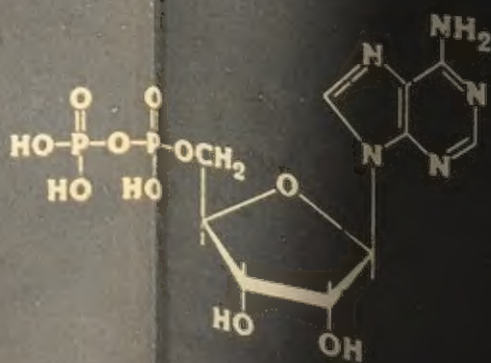
pA
аденозин-5'-фосфат



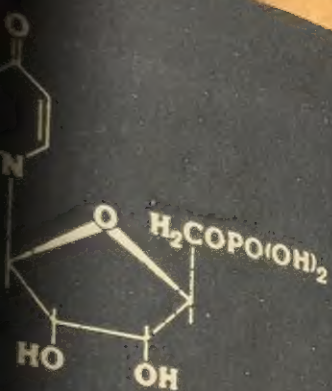
Ap, A(2,3')p
аденозин-2,3'-циклофосфат



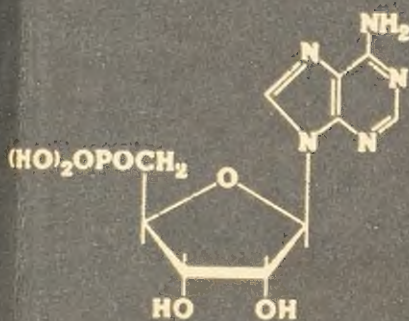
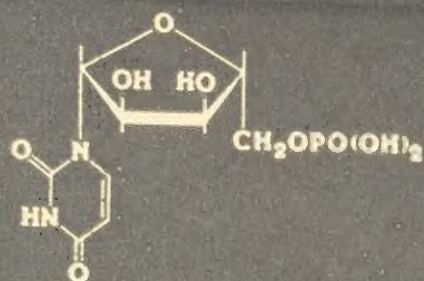
A(3,5')p
аденозин-3,5'-циклофосфат



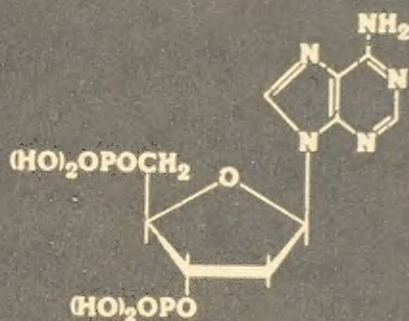
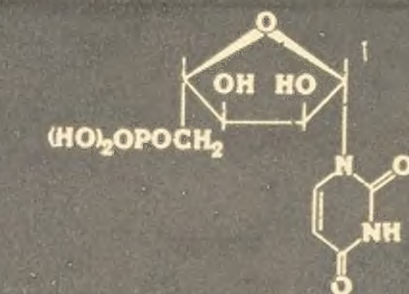
аден-зи



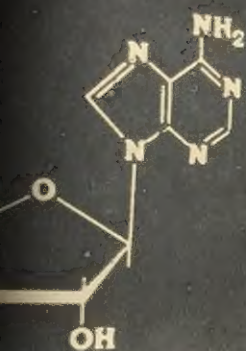
pU
уридин-5'-фосфат



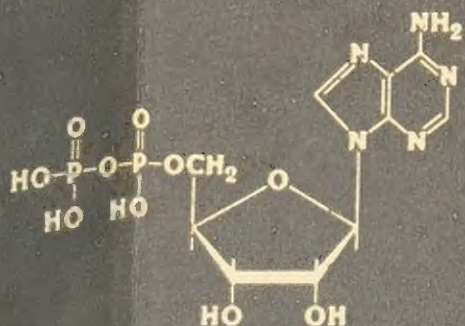
pA
аденозин-5'-фосфат



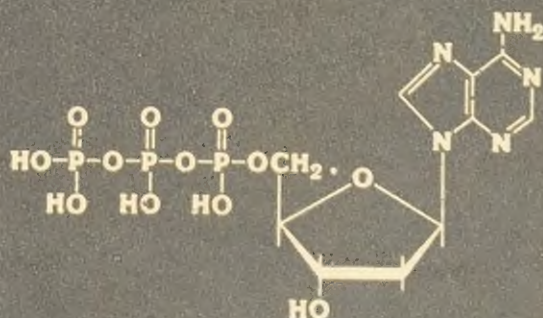
pdAp
дезоксиаденозин-3',5'-дифосфат



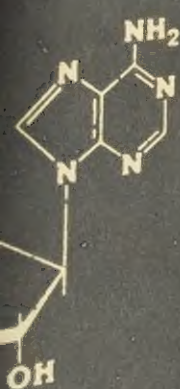
Ap
ин-3'-фосфат



ppA
аден-зин-5'-дифосфат



pppA
дезоксиаденозин-5'-трифосфат



5'>p
-циклофосфат

30.2/4.

ОРГАНИЧЕСКАЯ ХИМИЯ
НУКЛЕИНОВЫХ КИСЛОТ